

Հ. Գ. ՄԱՂԱՔՅԱՆ

ՄԵՏԱՂԱՅԻՆ
ՀԱՆՔԱԿԱՅՐԵՐ

ԵՐԵՎԱՆ 1958

11892 13770

Wing up side.

Handwritten scribble

Handwritten scribble

1958

M 28 18260

25.9.08



АКАДЕМИЯ НАУК АРМЯНСКОЙ ССР

ИНСТИТУТ ГЕОЛОГИЧЕСКИХ НАУК

И. Г. МАГАКЬЯН

РУДНЫЕ МЕСТОРОЖДЕНИЯ

(Промышленные типы месторождений
металлических полезных ископаемых)

Издательство АН Армянской ССР
ЕРЕВАН ~ 1958

ՀԱՅԿԱԿԱՆ ՍՍՌԻ ԳԻՏՈՒԹՅՈՒՆՆԵՐԻ ԱԿԱԴԵՄԻԱ

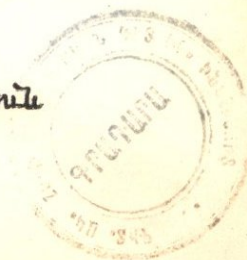
ԳԵՈՂՈԳԻԱԿԱՆ ԳԻՏՈՒԹՅՈՒՆՆԵՐԻ ԻՆՍՏԻՏՈՒՏ

Ն.Գ.ՄԱՂԱՔՅԱՆ

11892
ՄԵՏԱՂԱՅԻՆ
ՆԱՆՔԱՎԱՅՐԵՐ

(Մետաղային օգտակար հանածոների հանքավայրերի
արդյունաբերական աիպերը)

Իսպիական ՍՍՌԻ ԳԱ հրատարակչություն
ԵՐԵՎԱՆ ~ 1958



Տպագրվում է Հայկական ՍՍՌ Գիտությունների
ակադեմիայի Խմբագրական-հրատարակչական
խորհրդի որոշմամբ

Սույն գրքում լուսարանված են սև, հազվադեպ, գունավոր, ազնիվ, ազդրոակտիվ և ցրված մետաղների հանքավայրերի առաջացման պայմանները: Նկարագրված են այդ մետաղների ինչպես Սովետական Միության, այնպես էլ արտասահմանյան երկրների խոշոր ու բնորոշ հանքավայրերը և նրանց առանձին զենետիկ ախպերի որոնման նշանները:

Ի տարբերություն գրքի սուսական հրատարակության (И. Г. Магакян, Рудные месторождения, 1955, Москва, Госгеолтехиздат) հեղինակը տվյալ ձեռնարկը զգալիորեն վերամշակել և լրացրել է նոր տվյալներով:

Գիրքը ներկայացնում է ձեռնարկ հիմնականում բարձրագույն ուսումնական հաստատությունների գեոլոգիական մասնագիտության ուսանողների և արտադրության մեջ աշխատող գեոլոգների համար:

Ա Ռ Ա Ջ Ա Բ Ա Ն

Հայկական ՍՍՌ էկոնոմիկայում լեռնային արդյունաբերությունը զրավում է առաջնակարգ տեղերից մեկը և նրա դերն օրավուր մեծանում է: Ռեսպուբլիկայում գործում են բազմաթիվ արտադրական, ուսումնական և գիտա-հետազոտական գեոլոգիական հիմնարկներ ու ձեռնարկություններ, որոնք կոչված են ապահովելու հատկապես մետաղային օգտակար հանածոների հանքավայրերի բազմակողմանի ուսումնասիրությունը և մշակումը:

Այդ պատվարեր խնդիրն իրագործելու համար կարևորագույն նշանակություն ունի գեոլոգիական կադրերի պատրաստման և նրանց որակի հետագա աննախընթաց բարձրացման հարցը:

Այդ հարցում դժվար է գերազնահատել մետաղային օգտակար հանածոների հանքավայրերի մասին հայերեն ձեռնարկի գերը, որը մինչև օրս մեզ մտա բացակայում է: Առաջին անգամ հայերեն հրատարակվող սույն ձեռնարկը կոչված է լրացնելու հենց այդ բացը:

Հեղինակը սույն ձեռնարկի հիմքում դրել է 1945 թվականից Լենինգրադի Հեռնային ինստիտուտում և 1950 թվականից Երևանի Պետական համալսարանում կարգացվող «Մետաղային օգտակար հանածոների հանքավայրերի արդյունաբերական տիպերը» իր, դասախոսությունների սղագրությունները, ինչպես նաև 1955 թ. այդ դասախոսությունների ուսսերեն հրատարակված տեքստը, որը հետագայում վերամշակվել և զգալիորեն լրացվել է:

Սույն ձեռնարկում ընդհանրացված են առանձին մետաղների հանքավայրերի գենետիկ տիպերի վերաբերյալ բոլոր մատչելի նյութերը, վերլուծված են հանքանյութերի կարևորագույն արդյունաբերական տիպերի առաջացման պայմանները և բեր-

ված է հայրենական ու արտասահմանյան գլխավոր հանքավայրերի նկարագրությունը: Միաժամանակ հաշվի են առնված հանքառաջացման ընդհանուր տեսության մշակման և հանքավայրերի առանձին արդյունաբերական տիպերի ուսումնասիրության բնագավառում սովետական գիտնականների կողմից ձեռք բերված խոշոր նվաճումները:

Հեղինակն իր հիմնական նպատակն է համարել՝ հնարավորության սահմաններում պարզորոշ պատկերացում տալ առանձին մետաղների հանքավայրերի գենետիկ տիպերի և հանքանյութերի կուրևորագույն արդյունաբերական ֆորմացիաների մասին, գեոլոգիական այն կոնկրետ պայմանների մասին, որոնցում առաջանում են նրանք և, հետևաբար, կարող են հանդիպել, ինչպես նաև հանքանյութերի բնույթի, առանձնահատկությունների, հանքանյութերի առանձին ֆորմացիաների արժեքավորության և որոնման նախադրյալների ու նշանների մասին՝ ֆորմացիաներ, որոնց տակ հասկացվում են որոշակի գեոլոգիական և ֆիզիկո-քիմիական պայմաններում առաջացած միներալների պարագենետիկ ասոցիացիաներ:

Հեղինակը հեռու է այն մտքից, որ առաջարկվող ձեռնարկը գերծ է հնարավոր սխալներից և թերություններից, մանավանդ որ մինչև այժմ գոյություն չունի հայերեն լեզվով մշակված և բոլորի կողմից ընդունելութուն գտած մասնագիտական տերմինոլոգիա:

Հեղինակը երախտագիտությամբ կրնդունի այն բոլոր դիտողություններն ու լրացումները, որոնք կարող են օգտագործվել ձեռնարկի վերահրատարակման ժամանակ:

Սույն ձեռնարկի հայերեն տեքստը շարադրելու գործում մեծ օգնություն են ցույց տվել գեոլոգներ՝ Է. Ա. Սաչատրյանը, Ն. Ա. Սահակյանը, Է. Հ. Հարությունյանը, Ս. Ա. Բուբիկյանը, իսկ գծագրերի պատրաստման գործում՝ քարտեզագիր Կ. Գ. Շահմուրադովը, որոնց հեղինակը հայտնում է իր անկեղծ երախտագիտությունը:

Հեղինակն առանձնապես երախտապարտ է գրքի լամբագիր՝ գեոլոգո-միներալոգիական գիտությունների թեկնածու Ա. Շ. Բոչարյանին, որը մեծ ջանք է ներդրել տեքստի ոճաբանական մշակման և մասնագիտական հայերեն տերմինոլոգիայի ընտրության գործում:

Պրոֆեսոր Է. Գ. Մաղարյան

Ն Ե Ր Ա Մ Ո Ւ Թ Յ Ո Ւ Ն

Մարդկության հնագույն կուլտուրաները՝ հարյուր հազարավոր տարիներ առաջ պարեռլիտը և նեոլիտը փոխարինվեցին բրոնզի դարի կուլտուրայով, սրի համար բնորոշ է պղնձի և անագի համաձուլվածքների լայն կիրառումը: Փոքր քանակություններով կիրառվել են ոսկին, արծաթը, կապարը և ցինկը, իսկ փոքր-ինչ ավելի ուշ մարդիկ սկսել են օգտագործել նաև ծարիրը և սնդիկը: Վերը թվարկված՝ մետաղների վրա էր հիմնված հնագրայան մետալուրգիան: Մարդու առօրյայում մյուս մետաղներից ավելի շուտ հենց այդ մետաղների կիրառումը բացատրվում է պղնձի, ոսկու և արծաթի բնածին ձևով հաճախակի գտնվելով, ինչպես նաև պղնձի, կապարի ու ցինկի օքսիդային և կարբոնատային հանքանյութերի, անագի գլխավոր միներալի՝ կասսիտերիտի և կապարի, ծարիրի ու սնդիկի սուլֆիդների դյուրահալությամբ և մշակման համեմատաբար հեշտությամբ: Զգալիորեն ավելի ուշ լայն կիրառում է ստացել երկաթը, սրը հանքանյութերից ձուլվել է փայտածուխով:

Ըստ եղած հնէաբանական տվյալների, հնագույն մետալուրգիան ծնունդ է առել պղնձի և անագի բազալի վրա դեռ ն. թ. 15—20 հազար տարի առաջ Ասորեստանում, Հնդկաստանում և Զինաստանում, իսկ հանքանյութերից նկատելի քանակություններով երկաթի ձուլումն սկսվել է նույն երկրներում զգալիորեն ավելի ուշ՝ երկրորդ հազարամյակում մինչև ն. թ.:

Հետաքրքրական է նշել, որ մինչև ն. թ. 8—9-րդ դդ. Ուրարտու պետությունում (Հարավային Անդրկովկասի տերիտորիայում) արագորվել է բրոնզի ու արույրի (լատուն) և միաժամանակ նաև երկաթի ու պողպատի զգալի քանակություն, որից պատրաստում էին աշխատանքի գործիքներ և զենք:

Վաղ անցյալում պողպատյա իրեր էին պատրաստում նաև հնդկիկները, ասորիները և սկյութները:

Պղնձի, անագի, կապարի, արծաթի, ոսկու և այլ մետաղների շատ հին մշակումների հետքերի առատութունը Սովետական Միության տերիտորիայում (Ուրալ, Ուկրաինա, Հյուսիսային Կովկաս, Անդրկովկաս, Միջին Ասիա, Ալթայ և այլն), վկայում է մեր հայրենիքի հնագաղարյան բնակիչների մոտ լեռնային գործի զգալի թափի մասին:

Ն. թ. 9—10-րդ դդ. մետաղային հանքավայրերի զգալի մշակումներ են կատարվել Միջին Ասիայում, իսկ 15-րդ դ. սկսվել է Ուրալի, Կարելիայի, Տուլայի, Սապոյրի երկաթի հանքավայրերի մշակումը և փոքր-ինչ ավելի ուշ պղնձի, կապարի, արծաթի, ոսկու հանքավայրերի մշակումը Ուրալում և Ալթայում:

Պետրոս I օրոք և ամբողջ 18-րդ դարի ընթացքում Ռուսաստանը երկաթի, պղնձի և կապարի ձուլմամբ աշխարհում գրավում էր առաջին տեղը, իսկ ուշս փարպետները ձուլման և մետաղներից առարկաներ պատրաստելու հմտությամբ մեծ հրուշակ էին վայելում: Սակայն հետագայում Ռուսաստանում ճարտարական ոեժիմի ուժեղացումը և երկրի լեռնային արդյունաբերության մեջ օտարերկրյա կապիտալի մեծ մասնակցութունը ստեղծում են այնպիսի դրություն, որի պայմաններում Ռուսաստանն առաջին համաշխարհային պատերազմի սկզբին (1914), չնայած երկրի ընդերքում տարբեր հանքանյութերի խոշորագույն պաշարների առկայությանը, այնուամենայնիվ մի շարք հիմնական մետաղների՝ երկաթի, պղնձի, կապարի, ցինկի ձուլման մասշտաբով ետ է մնում Արևմտյան Եվրոպայի երկրներից և ԱՄՆ-ից: Բոլորովին չէին արտադրվում նիկել, մոլիբդեն, վոլֆրամ, անագ, ծարիր և այլ կարևոր մետաղներ:

Մինչդեռ, հանրահայտ է, որ ընդերքից արդյունահանվող օգտակար հանածոների, նույն թվում մետաղայինների, նշանակութունը յուրաքանչյուր երկրի տնտեսության համար հսկայական է:

Առանց չափազանցներու կարելի է ասել, որ լեռնային արդյունաբերության և նրա հետ սերտորեն կապված արդյունաբերական արտադրության բնագավառների զարգացման վիճակը հանդիսանում է ազգային հարստության, երկրի հզորության և անկախության հիմնական չափանիշը:

Հսկայական նշանակութիւն ունեն, օրինակ, երկաթի և մանգանի հանքանյութերը, որոնք քարածխի հետ միասին կազմում են սև մետալուրգիայի և ծանր արդյունաբերութեան հումքային բաղան:

Քրոմը, տիտանը, վանադիումը, նիկելը, կորալտը, մոլիբդենը, վոլֆրամն անփոխարինելի են բարձրորակ պողպատների և համաձուլվածքների արտադրութեան մեջ: Արդյունաբերութեան տարրեր բնագավառներում լայնորեն կիրառվում են հազվագյուտ մետաղները՝ անագը, բիսմութը, մկնդեղը, ծարիրը և սնդիկը: Գունավոր մետաղները՝ պղինձը, կապարը և ցինկը լայն կիրառում են գտել մեքենաշինութեան և էլեկտրատեխնիկայի մեջ, իսկ ալյումինիումը և մագնեզիումը (վերջին ժամանակները նաև տիտանը) ավիացիոն արդյունաբերութեան մեջ:

Ազնիւլ մետաղները՝ արծաթը, ոսկին և սլատինի խմբի մետաղները հանդիսանում են միջազգային հաշվարկների վալյուտա, իսկ սլատինը՝ նաև կարևոր տեխնիկական մետաղ:

Որպես ներմիջուկային էներգիայի աղբյուր, միանգամայն բացառիկ նշանակութիւն են ձեռք բերել ուրանի և թորիումի հանքանյութերը, ինչպես նաև ցրված և հազվագյուտ հողերի մետաղները՝ տանտալը, նիոբիումը, բերիլիումը, ցիրկոնիումը, լիթիումը, զերմանիումը, դալլիումը, ինդիումը, սենիումը, տելուրը, սելենը և այլն, որոնք լայն կիրառում են ստացել էլեկտրոնիկայում, ավտոմատիկայում, ռադիոտեխնիկայում և ատոմային արդյունաբերութեան մեջ:

Օգտակար հանածոները հսկայական դեր են կատարում ՄՍՌՄ ժողովրդական տնտեսութեան և առաջին հերթին ծանր արդյունաբերութեան զարգացման գործում: Հայտնի է, որ Վ. Ռ. Լենինը լեռնային արդյունաբերութեան զարգացմանը հատուկ նշանակութիւն էր տալիս, և երիտասարդ Սովետական իշխանութեան առաջին իսկ քայլերն ուղղված էին պատերազմի հետևանքով ավերված հանքերի ու հանքանոցերի վերականգնումանը:

ՄՄԿՊ 20-րդ պատմական համագումարի կողմից բնդունված ժողովրդական տնտեսութեան զարգացման վեցերորդ հնգամյա պլանի (1956—1960) դիրեկտիվներում նախատեսվում է հետևյալ մետաղների արտադրութեան հետագա զգալիորեն ավելի մեծ աճ՝ պողպատ 51⁰/₀, պղինձ 60⁰/₀, մոլիբդեն 2 անգամ, ալյումինիում 2,1 անգամ. նախատեսված է բարձր

մաքրություն ունեցող գունավոր և հազվագյուտ մետաղների արտադրութեան ան էլեկտրոնիկայի, ավտոմատիկայի, օադիո-տեխնիկայի զարգացումն ապահովելու համար, ինչպես նաև կիսահաղորդիչների արտադրութեան համար և այլն: Խնդիր է դրվում ընդլայնել մետաղների հումքային քաղաքան, հատկապես Միութեան արևելյան շրջաններում, քարածխի խոշոր հանքավայրերի և էլեկտրակենտրոնայի աղբյուրների մոտ, ինչպես նաև կազմակերպել հանքային հումքի կոմպլեքսային վերամշակումը և հանքանյութերից մետաղների ստացման տեխնիկայի բարձրացումը:

Սովետական ամբողջ ժողովրդի անձնվեր աշխատանքն ապահովում է այդ վիթխարի պլանի կատարումը:

1956 թվականի պլանի կատարման հրապարակված արդյունքները ցույց են տալիս, որ այդ թվականին ձուլվել է ավելի քան 45 մլն. տ. պողպատ (համարյա $2\frac{1}{2}$ անգամ ավելի, քան 1940 թ.), արդյունահանվել է ավելի քան 70 մլն. տ. նավթ (համարյա $2\frac{1}{2}$ անգամ ավելի, քան 1940 թ.), ավելի քան 390 մլն. տ. քարածուխ ($2\frac{1}{2}$ անգամ ավելի, քան 1940 թ.):

Սովետական զեոլոգները՝ որոնողները և հետախույզների ջանքերով ոչ միայն խիստ ընդլայնվել են հայտնի շատ մետաղների հումքային ռեսուրսները, այլև հայտնաբերվել են նոր, Ռուսաստանում նախկինում համարյա անհայտ կամ զեֆիրյոտային մետաղների՝ քրոմի, տիտանի, վանադիումի, նիկելի, կոբալտի, վոլֆրամի, մոլիբդենի, անագի, ծարիրի, սնդիկի, ալյումինիումի, մի շարք հազվագյուտ և ցրված մետաղների հրակայան պաշարներ, որոնց բազայի վրա ստեղծված է այդ մետաղների հզոր արդյունաբերություն:

Սովետական զեոլոգների աշխատանքների բնորոշ առանձնահատկություններն են նոր ուղիների, արդյունաբերության համար հումքի նոր աղբյուրների որոնումները, այսպես, հայտնաբերվել են, մեզ համար նոր, սուլֆիդ-կասսիտերիտային, պղինձ-մոլիբդենային, պղինձ-նիկելային, սկանդիում - շեելիտային, տիտանի ցրոնային հանքանյութերի, կավահողով հարուստ բոքսիտների, նեֆելինային սիենիտների և ալունիտների, վանագիումարեր թերթաքարերի և այլ խոշոր հանքավայրեր:

Սովետական զեոլոգներ Վ. Ա. Օբրուչևը, Ս. Ս. Սմիրնովը, Ա. Ն. Զավարիցկին, Ա. Գ. Բեաեխտինը, Յու. Ա. Բիլիբինը իրենց ընկերների ու աշակերտների հետ միասին ստեղծել են մետաղային հանքավայրերի առաջացման սովետական առաջա-

գիմական տեսությունը և իրենց տեսական ընդհանրացումները հաստատել են հանքային նոր շրջանների և մետաղային հանքավայրերի նոր տիպերի խոշոր հայտնագործումներով:

* * *

Ներկայումս մարդկությունն օգտագործում է ավելի քան 50 մետաղ, որոնք արդյունաբերության տարբեր բնագավառներում ըստ իրենց ունեցած կիրառման խմբավորվում են հետևյալ կերպ (նկ. 1).

I Ս և մետաղներ՝ երկաթ (Fe), մանգան (Mn), քրոմ (Cr):

II. Հաղվագյուտ մետաղներ՝

ա) Հաղվագյուտ մետաղներ, որոնք կիրառվում են հատուկ պողպատների և հատուկ համաձուլվածքների արտադրության մեջ՝ տիտան (Ti), վանադիում (V), նիկել (Ni), կոբալտ (Co), մոլիբդեն (Mo), վոլֆրամ (W):

բ) Հաղվագյուտ մետաղներ, որոնք կիրառվում են արդյունաբերության տարբեր բնագավառներում՝ անագ (Sn), բիսմութ (Bi), մկնդեղ (As), ծարիր (Sb), սնդեղ (Hg):

III. Գունավոր մետաղներ՝ պղինձ (Cu), կապար (Pb), ցինկ (Zn), ալյումինիում (Al), մագնեզիում (Mg): Վերջին երկու մետաղը (Al և Mg) հաճախ անջատում են մյուսներից որպես թեթև մետաղների առանձին խումբ:

IV. Ազնիվ մետաղներ՝ արծաթ (Ag), ոսկի (Au), պլատին (Pt) և պլատինի խմբի մետաղներ՝ պալլադիում (Pd), օսմիում (Os), իրիդիում (Ir), ռոդիում (Rh) և ռուտենիում (Ru):

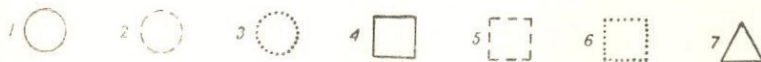
V. Ռադիոակտիվ մետաղներ՝ ուրան (U), թորիում (Th), ռադիում (Ra):

VI. Յրված և հաղվագյուտ հողային մետաղներ՝

ա) Յրված գլխավորապես լեռնային սպարների ուղեկից միներալներում, պեղմատիտներում, սկանդիում, ինչպես նաև պնևմատոլիտային առաջացումների մեջ՝ տանտալ (Ta), նիոբիում (Nb), բերիլիում (Be), ցիրկոնիում (Zr), հաֆնիում (Hf), լիթիում (Li), ցեզիում (Cs), ռութիդիում (Rb), հաղվագյուտ հողեր (TR), ցերիում (Ce), իտրիում (Y), սկանդիում (Sc), բոր (B):

բ) Յրված գլխավորապես գունավոր մետաղների սուլֆիդային հանքանյութերում, մասամբ հաղվագյուտ մետաղների

	1																
	H																
2	3	4	5	6	7	8	9										
He	Li	Be	B	C	N	O	F										
10	11	12	13	14	15	16	17										
Ne	Na	Mg	Al	Si	P	S	Cl										
18	19	20	21	22	23	24	25	26	27	28	29	30	31	32	33	34	35
Ar	K	Ca	Sc	Ti	V	Cr	Mn	Fe	Co	Ni	Cu	Zn	Ga	Ge	As	Se	Br
36	37	38	39	40	41	42	43	44	45	46	47	48	49	50	51	52	53
Kr	Rb	Sr	Y	Zr	Nb	Mo	(Ma)	Ru	Rh	Pd	Ag	Cd	In	Sn	Sb	Te	I
54	55	56	57-71	72	73	74	75	76	77	78	79	80	81	82	83	84	85
Xe	Cs	Ba	TR	Hf	Ta	W	Re	Os	Ir	Pt	Au	Hg	Tl	Pb	Bi	Po	(Ab)
86	87	88	89	90	91	92											
Rn	(Vi)	Ra	Ac	Th	Pa	U											



Նկ. 1

1—Սև մետաղներ, 2—հազվագյուտ մետաղներ, օգտագործվող սև մետալուրգիայում որպես լեգիրող հավելույթներ, 3—հազվագյուտ մետաղներ օգտագործվող արդյունաբերության սարքեր բնազավառներում, 4—զուրնավոր մետաղներ, 5—ազնիվ մետաղներ, 6—ուսպիտակափվ մետաղներ, 7—ցրված և հազվագյուտ հողային մետաղներ:

հանքանյութերում՝ կադմիում (Cd), գալիում (Ga), գերմանիում (Ge), ինդիում (In), ռենիում (Re), տալիում (Tl), տելուր (Te), սելեն (Se):

Սույն ուսումնական ձեռնարկում նշված հաջորդականությամբ էլ նկարագրված են առանձին մետաղները, ընդ որում նրանցից յուրաքանչյուրի համար բերված են հետևյալ տեղեկությունները՝ համառոտ պատմական տվյալներ, կիրառման բնագավառները, հանույթը և համաշխարհային պաշարները, գեոքիմիան, գլխավոր միներալները, հանքանյութերի տիպերը, պահանջները հումքի նկատմամբ, հանքավայրերի գենետիկ տիպերը և հանքանյութերի ֆորմացիաները, մետալուրգենիկ մարդերը և դարաշրջանները, Սովետական Միության և արտասահմանյան երկրների ամենագլխավոր (և տիպիկ) հանքավայրերի նկարագրությունը:

I. ՍԵՎ ՄԵՏԱՂՆԵՐ

Ե Ր Կ Ա Թ (Fe)

ԸՆԴՀԱՆՈՒՐ ՏԵՂԵԿՈՒԹՅՈՒՆՆԵՐ

Երկաթն առաջին անգամ հիշատակվում է պապիրուսի վրա գրված եգիպտական արձանագրություններում, մոտավորապես 4000 տարի ն. թ. առաջ: Այդ արձանագրությունները բովանդակությունից երևում է, որ երկաթն այն ժամանակ շատ բարձր է գնահատվել և ներկայացրել է մի հազվագյուտ բան. շատ հնարավոր է, որ նկատի է ունեցվել երկնաքարային (մետեորային) երկաթը, իսկ հանքաքարից մետաղ ձուլելու եղանակը սովորել են շատ ավելի ուշ:

Երկաթից պատրաստած իրերն առաջին անգամ հայտնվել են երկրորդ հազարամյակում ն. թ. առաջ Եգիպտոսում և Ասորեստանում, փոքր-ինչ ավելի ուշ, ըստ երևույթին, Հնդկաստանում և Չինաստանում:

Դեռ մինչև ն. թ. 9—8-րդ դարերը երկաթն արդեն լայնորեն կիրառվել է շատ երկրներում, այդ թվում նաև Հարավային Ռուսաստանի և Անդրկովկասի (Ուրարտու) տերիտորիաներում. գործածությունից դուրս են մղվել մինչև այդ հայտնի մետաղները և այդպիսով նշանավորվել է բրոնզի դարին փոխարինող երկաթի դարի սկիզբը: Այդ նույն ժամանակաշրջանում, որտեղ ավյակների համաձայն, մարդիկ սովորել են նաև պողպատ ձուլել, սակայն նրա լայն կիրառումն աշխատանքի գործիքների և զենքի արտագրություն մեջ սկսվում է մեր դարաշրջանի սկզբներին:

Երկաթի մետալուրգիայի համար նշանավոր թվական հանդիսացավ 14-րդ դարը, երբ ծխել սկսեցին առաջին, դեռ չափազանց պրիմիտիվ դոմնաները, և չուգունն ու երկաթն սկսեցին ձուլվել զգալի քանակություներով:

17-րդ դարի վերջերին և առանձնապես 18-րդ դարի սկզբներին, Պետրոս I օրոք, Ռուսաստանում կարելի էր, տուրայի և ուրալյան երկաթի հանքանյութերի բազայի վրա հիմնվում են համեմատաբար հզոր մետալուրգիական գործարաններ և ամբողջ 18-րդ դարի ընթացքում Ռուսաստանը չուզուներ ու պողպատի ձուլումով աշխարհում գրավում է առաջին տեղը:

18-րդ դարում երկաթի հանքանյութն սկսեցին ձուլել քարածխով (մինչև այդ ձուլումը կատարվում էր փայտածուխով), որի կապակցությամբ երկաթի մետալուրգիայի զարգացումը մի նսր, հզոր թափ ստացավ:

1856 թ. կառուցվեցին առաջին բևեռեմերովյան կոնվերտորները (պտտվող թորանոթանման վառարաններ), որոնց մեջ չուգունը վերածուլվում էր պողպատի և երկաթի:

Մետալուրգիայի հետագա զարգացումը 20-րդ դարում հանգեց հատուկ պողպատների և համաձուլվածքների գյուտին, որոնց բազադրուծյան մեջ մեծ դեր են կատարում հազվագյուտ մետաղները՝ պողպատների որակը խիստ բարձրացնող լեգիրող հավելույթները:

Երկաթի հանքանյութից ձուլում են չուգուն (C 2,5—4⁰/₀ պարունակությամբ), պողպատ (C 1,5—0,2⁰/₀) և երկաթ (C 0,2—0,04⁰/₀), ինչպես նաև պողպատային չուգուն (C 2,5—1,5⁰/₀): Արդյունաբերութայն տարբեր բնագավառներում ամենից բայն կերպով կիրառվում են պողպատները, զգալիորեն ավելի քան չուգունը և երկաթը:

Չուգունը ձուլվում է երկաթի հանքանյութից դոմնաներում, որոնք գործում են կոքսով և քարածխով, պողպատը և երկաթը վերածուլվում են չուգունից բևեռեմերովյան կոնվերտորներում, բոցարձակ մարտենյան վառարաններում կամ թոմասյան եղանակով: Վերջին եղանակը, որը բնորոշվում է վառարաններում հիմքային բոլորապատումի (ֆուտերովկա) կիրառումով և ֆլյուսների օգտագործումով, հնարավորություն է տալիս ֆոսֆոր պարունակող երկաթի հանքանյութից ձուլել չավորակ պողպատ և զուգընթաց ստանալ թոմասյան խարամ՝ ֆոսֆորով հարուստ արժեքավոր պարարտանյութ գյուղատնտեսութայն համար:

Ներկայումս մշակված են այնպիսի եղանակներ, որոնք թույլ են տալիս խուսափել չուգունի ստադիայից և հանքանյութից անմիջականորեն պողպատ ու երկաթ ստանալ, ինչպես նաև

կիրառվում են երկաթի հանքանյութի էլեկտրաձուլման մեթոդներ:

Որակյալ (լեգիրված) պողպատներ ստանալու համար սովորական պողպատները վերաձուլվում են հատուկ վառարաններում կամ գրաֆիտային հալամաններում. նրանց խառնում են մանգան, քրոմ, իսկ հազվագյուտ մետաղներից՝ ամենից հաճախ վանադիում, նիկել, կոբալտ, մոլիբդեն, վոլֆրամ, որոնք պողպատին հաղորդում են մածուցիկություն և ամրություն:

Երկաթի հանքանյութի համաշխարհային հանույթը տարեկան կազմում է մոտ 400—500 մլն. տ.: Գլխավոր արդյունահանող երկրներն են՝ ԱՄՆ, ՍՍՌՄ, Ֆրանսիան, ինչպես նաև Շվեդիան, Կուբան, Հնդկաստանը, Ֆիլիպպինները, Բրազիլիան և Կանադան:

Երկաթի արդյունաբերական հանքանյութերի համաշխարհային հաշվառված պաշարները (առանց երկաթային կվարցիտների) կազմում են 60—70 մլրդ. տ., որոնց զգալի մասը բաժին է ընկնում ՍՍՌՄ-ին, Հնդկաստանին, Բրազիլիային, Շվեդիային, Ֆրանսիային, ԱՄՆ-ին, Չինաստանին, Կուբային և մի շարք այլ երկրների: Սակայն բարձրորակ հանքանյութով ապահովված են ամենևին էլ ոչ բոլոր երկրները, նույնիսկ այսպես կոչվող մեծ տերություններից մի քանիսը: Օրինակ՝ ԱՄՆ-ի հարուստ հանքանյութերի պաշարները, որոնք կենտրոնացած են Վերին լճի շրջանում, խիստ սպառված են և այդ կապակցությամբ ԱՄՆ ներմուծում են զգալի քանակությամբ հանքանյութ և մտադիր են անցնելու Մեզզերի բլրաշարի (Վերին լճի շրջան) երկաթային կվարցիտների մշակմանը: Անգլիան հիմնականում հենվում է ներմուծած (շվեդական, ալժիրական և իսպանական) հանքանյութի վրա, օգտագործում է ծծմբաթթվային արտադրության մնացորդները և համարյա զուրկ է սեփական բարձրորակ երկաթի հանքանյութերից:

Գերմանական Ֆեդերալ Ռեսպուբլիկայի, Յապոնիայի, Իտալիայի և մի շարք այլ երկրների մետալուրգիան հիմնականում գործում է ներմուծված հանքանյութով:

Սովետական Միությունն ունի բարձրորակ երկաթի հանքանյութերի շատ մեծ պաշարներ, սակայն սովետական զետլոգների առաջ զբված է մի պատասխանատու խնդիր, այն է՝ բարելավել և ընդլայնել եղած հումքային բազան, հայտնաբերել և հետախուզել բարձրորակ հանքանյութերի նոր հանքավայրեր՝ սեղադրված արդյունաբերական կենտրոնների մոտ և հատկա-

պես երկրի արևելյան շրջաններում, ածխի խոշոր ավազանները և էլեկտրաէներգիայի աղբյուրների մոտ:

1954 թվականին պողպատի համաշխարհային ձուլումը կապիտալիստական երկրներում կազմել է 182 մլն. տ. (ԱՄՆ-ում 88, Գերմանական Ֆեդերալ Ռեսպուբլիկայում 20, Անգլիայում 19,5, Ֆրանսիայում 10, Յապոնիայում 8 մլն. տ. և այլն): ՍՍՌՄ կողմից գլխավորվող դեմսկրատական լազերի երկրներում պողպատի ձուլումն այդ նույն թվականին կազմել է 63 մլն. տ., որից 42 մլն. տ. բաժին է ընկնում ՍՍՌՄ-ին:

Չուգունի ձուլումը փոքր-ինչ զիջում է պողպատի ձուլմանը, ընդ որում ձուլվող չուգունի մոտ 90% հանդիսանում է այսպես կոչված «վերամշակվող», այսինքն՝ երկաթի ջարդի հետ միասին վերաձուլվում է պողպատի:

Անհրաժեշտ է ընդգծել, որ այն ժամանակ, երբ ՍՍՌՄ-ում դիտվում է չուգունի և պողպատի ձուլման անշեղ ու արագ վերելք (1913 թ. 4,2 մլն. տ. պողպատ, 1954 թ. 42 մլն. տ., 1960 թ. ըստ պլանի 68 մլն. տ.), ԱՄՆ-ի և հատկապես Անգլիայի ու Ֆրանսիայի համար աճի տեմպերն զգալիորեն ավելի ցածր են, մեծ տատանումներով ըստ տարիների:

* * *

Երկրի կեղևում երկաթի միջին պարունակությունը (կլարիլը) կազմում է 4,2%:

Երկաթն ըստ տարածվածության զիջում է միայն թթվածնին, սիլիցիումին, ալյումինիումին: Նա կապված է գլխավորապես հիմքային և ուլտրահիմքային լեռնային ապարների և ավելի հազվադեպ երկաթով աղքատ, թթու և ալկալային ապարների հետ:

Օրգանական աշխարհում երկաթը, որպես կենդանիների հեմոգլոբինի և բույսերի քլորոֆիլի բաղադրամաս, նույնպես շատ կարևոր դեր է կատարում:

Հայտնի են երկաթով հարուստ հարյուրավոր միներալներ և զրանց թվում ապար կաղմող լայն տարածված միներալներ, սակայն ստորև բերված մի քանի միներալներն են միայն, որ կարելի է գիտել որպես մետաղի ձուլման կարևոր աղբյուրներ՝

Մագնետիտ $FeFe_2O_4$ (72,4% Fe):

Հեմատիտ Fe_2O_3 (70% Fe). հեմատիտի խոշորքյուրեզ թիթեղաձև և գնդաձև (սֆերոլիտային) կուտակումները կրում են երկաթի փայլ կամ սպեկուլյարիտ անունը. թեփուկավոր և

փայլարանման ազրեդասաները կոչվում են երկաթային փայլարիկ:
Գոյություն ունի խորանարդային մոդիֆիկացիա—մագգլումիա:

Երկաթի հիդրօքսիդներ ($48-63\%$ Fe)¹ լիմոնիտ $\text{HFeO} \cdot \text{aq}$,
գյոթիտ HFeO_2 , տուրյիտ-դյոթիտի, լիմոնիտի և հիդրօհեմա-
տիտի նուրբ մեխանիկական խառնուրդ:

Սիդերիտ FeCO_3 ($48,2\%$ Fe):

Երկաթային քլորիտներ ($27-38\%$ Fe)² շամոզիտ, քլու-
րինգիտ և երկաթի ալլ ջրային ալյուսմոսիլիկատներ:

Իլմենիտ Fe TiO_3 ($36,8\%$ Fe և $31,6\%$ Ti):

Երկաթի հանքանյութով ազատ որոշ երկրներում (օրինակ
Անգլիայում), որպես երկաթի հանքանյութի դերանյութ (суп-
порт), օգտագործում են ծծմբաթթվային արտադրութային մնա-
ցորդները (սուլֆիդների թրծումից հետո մնացորդներում մնում
է Fe_2O_3 , որը ենթարկվում է ազլմեքացման և ձուլման):

Անհրաժեշտ է նշել ևս երկու միներալային ձև, որոնք բա-
վականին սովորական են երկաթի հանքանյութերում, այն է՝
մարաիտ և մուշկետովիտ: Մարաիտը ներկայացնում է հեմա-
տիտի պսևդոմորֆոզն ըստ մագնետիտի, մարտիտացման պրո-
ցեսը բնորոշ է մագնետիտային հանքավայրերի օքսիդացման
զոնայի համար, ավելի հազվագեպ տեղի է ունենում էնդոգեն
պայմաններում, թթվածնային սեծիմի փոփոխման (թթվա-
ծնային պոտենցիալի աճի) ժամանակ: Մուշկետովիտը, ընդհա-
կառակը, իրենից ներկայացնում է մագնետիտի պսևդոմորֆոզն
ըստ հեմատիտի, այսինքն՝ թեթևակալոր մագնետիտ, որն առա-
ջացել է էնդոգեն պայմաններում, սովորաբար սկառնային և
բարձր ջերմաստիճանային հիդրոթերմալ հանքավայրերում,
թթվածնի դերի նվազման պարագայում, վերակառուցման պայ-
մաններում: Մուշկետովիտացման պրոցեսն ըստ ժամանակի
հաճախ համընկնում է սուլֆիդների նստեցման հետ:

Արդյունաբերութային միսիմալ պահանջները երկաթի հան-
քանյութերի նկատմամբ ելնում են հանքանյութի մեջ $25-30\%$
ոչ պակաս երկաթի պարունակությունից, զրատակար խառնուրդ-
ներ են հանդիսանում ֆոսֆորը, ծծումբը և մկնդեղը:

Ձուլման ենթակա հանքանյութերի և կոնցենտրատների կոն-
գրիցիաները հանքանյութերի զանազան տիպերի համար փոքր-
ինչ տարբեր են՝ երկաթի պարունակությունը մագնետիտային
և հեմատիտային հանքանյութերի համար պահանջվում է $46-$
 50% ոչ պակաս, լիմոնիտայինի (զորշ երկաթաքարի) համար՝

37—45⁰/₀, սիգերիտայինի համար, նրանց դյուրահալման կապակցութեամբ՝ 30—35⁰/₀:

Նշված պահանջներին չբավարարող հանքանյութերը մագնիսային սեպարացիայի, ֆլոտացիայի, լվացման կամ թրծման եղանակով ենթարկվում են հարստացման, որից հետո ձուլվում են:

Վնասակար խառնուրդների վերաբերյալ անհրաժեշտ է նշել, որ հանքանյութի մեջ ծծմբի պարունակութունը չպետք է գերազանցի 0,25⁰/₀, ֆոսֆորի պարունակութունը՝ 0,1—0,2%, մկնդեղի պարունակութունը՝ 0,05—0,07⁰/₀:

Թուլատրելի սահմանից ծծմբի ավելի բարձր պարունակութան դեպքում ստիպված են լինում հանքանյութը նախօրոք մանրացնել, թրծել, ալյուրահեռ ազլոմերացնել, որը խիստ թանկացնում է մետաղի արժեքը: Գոմնային ձուլման պրոցեսում ծծմբի խառնուրդից ազատվում են մանգանի հավելույթով, որը ծծումբը կապում է խարամի մեջ անցնող MnS միացութեան ձևով:

Ֆոսֆորի բարձր պարունակութեան դեպքում կիրառվում են ձուլման հատուկ մեթոդներ (թոմասյան, մարտենյան վառարանների հիմքային բոլորապատումով), որոնց դեպքում ֆոսֆորն անցնում է խարամի մեջ:

Նրկաթի հանքանյութերում արժեքավոր խառնուրդներ են հանդիսանում՝ մանգանը, նիկելը, կոբալտը, վանադիումը, ինչպես նաև պղինձը և, որոշակի սահմաններում, տիտանն ու քրոմը:

**ՀԱՆՔԱՎԱՅՐԵՐԻ ԳԵՆԵՏԻԿ ՏԻՊԵՐԸ ԵՎ ՀԱՆՔԱՅԻՆ
ՖՈՐՄԱՅԻՆՆԵՐԸ, ԵՐԿԱԹԱՀԱՆՔԱՅԻՆ ՄԱՐՁՆԵՐԸ
ԵՎ ԴԱՐԱՇՐՋԱՆՆԵՐԸ**

Նրկաթի կուտակման պայմանները բազմազան են, և նրա արդյունաբերական հանքավայրերն առաջանում են ամենատարբեր գեոլոգիական պրոցեսների հետևանքով (էնդոգեն, էկզոգեն, մետամորֆոգեն), ընդգրկելով փաստորեն գենետիկական դասակարգման բոլոր խմբերը:

Սակայն, առանձին գենետիկ տիպերի տեսակարար կշիռը խիստ տարբեր է: Էնդոգեն հանքավայրերի շարքում հայտնի են բուն մագմատիկ, պեգմատիտային և տարբեր հետմագմատիկ (էկզալյացիոն, սկառնային, հիդրոթերմալ) հանքավայրեր, էկզոգենների շարքում՝ ցրտների, երկաթե գլխարկների, լատերի-

տային հողմնահարման մնացորդային հանքավայրեր, ինֆիլտրացիոն և նստվածքային հանքավայրեր, մետամորֆոզեններէ շարքում՝ շատ խոշոր մետամորֆացված հանքավայրեր:

Բուն մագմատիկ հանքավայրերի խմբում երկաթը տալիս է սեգրեզացիոն բնույթի փոքր կուտակումներ (բնածին երկաթը Գրենլանդիայի բազալտներում, մագնետիտի ցանը և շիբուները շատ երկրների անդեդիտներում, բազալտներում, դիաբազներում) և շատ խոշոր կուտակումներ հիստերոմագմատիկ և լիկվացիոն հանքավայրերում. վերջիններին արդյունաբերական նշանակութունը փոքր է, քանի որ երկաթը հանդես է գալիս սուլֆիդների ձևով:

Պեգմատիտային հանքավայրերում, հատկապես ալկալային մագմայի հետ կապված պեգմատիտներում, հազվագեղ չեն իլմենիտի և տիտանոմագնետիտի փոքր կուտակումները:

Երկաթի հետմագմատիկ հանքավայրերից անհրաժեշտ է նշել էկզալյացիոն հանքավայրերի հազվագյուտ տիպը (օրինակ՝ հեմատիտային այն հանքանյութերը Գերմանիայի Լան և Դիլ մուլդաների կերատոֆիրներում, որոնք կապված են, ինչպես ենթադրում են, կերատոֆիրների ստորջրյա արտաշիթումների հետ) և ավելի սովորական ու արդյունաբերական տեսակետից արժեքավոր սկառնային և հիգրոթերմալ բարձր ու միջին ջերմաստիճանային հանքավայրերը:

Երկաթի էնդոգեն հանքավայրերի ընդհանուր տեսակարար կշիռը, էկզոգենները և մետամորֆոզենների համեմատությամբ, այնուամենայնիվ մեծ չէ:

Էկզոգեն հանքավայրերի մեջ, բացի արդյունաբերական փոքր նշանակութուն ունեցող ծովային ցրոններից, երկաթի գլխարկներից և ինֆիլտրացիոն հանքավայրերից, հարկավոր է նշել բավականաչափ խոշոր լատերիտային հողմնահարման տիպի մնացորդային և շատ կարևոր նշանակութուն ունեցող նստվածքային հանքավայրերը:

Երկաթի համար արդյունաբերական ամենակարևորը հանդիսանում է մետամորֆոզեն հանքավայրերի տիպը:

Ստորև բերված է երկաթի հանքավայրերի արդյունաբերական տիպերի ավելի մանրամասն բնութագիրն ըստ գենետիկ տիպերի և ֆորմացիաների:

1. Հիստերոմագմատիկ կամ ուշ մագմատիկ հանքավայրերն առաջանում են մնացորդային հանքային մագմաներում ցնդող

էլեմենտները հետ (որպիսիք են F, Cl, P, իսկ հիմքային մագնիսներում նաև Ti) երկաթի անջատման հետևանքով:

Երկաթի հիստերոմագնատիկ հանքանյութերը կարելի է ստորաբաժանել երկու ֆորմացիայի՝

ա) Կիրունայի տիպի ապատիտ-մագնետիտային հանքանյութերի ֆորմացիա և բ) Ուրալյան (Կուսայի) տիպի տիտանո-մագնետիտային հանքանյութերի ֆորմացիա:

Ապատիտ-մագնետիտային ֆորմացիան տարածականորեն և գենետիկորեն սերտ կերպով կապված է սիենիտների և սիենիտ-գիորիտների հետ, բնորոշվում է երկու գլխավոր հանքառաջացնող միներալները՝ մագնետիտի և ապատիտի միակցումներով, որոնց խառնվում են հեմատիտ, փայլարներ, ֆլյուորիտ: Մնացորդային մագնատում երկաթի անջատմանը նպաստող ցնդողների դերն այստեղ կատարում են ֆտորը և ֆոսֆորը, որոնք հանդես են գալիս ֆտոր-ապատիտի ձևով:

Բնորոշ են երկաթի շատ բարձր ($55-70\%$) և ֆոսֆորի բարձր ($2-4\%$) և ալկալի) պարունակությունը ունեցող դայկաձև և ոսպնյակաձև հանքամարմինները: Ֆոսֆորի խառնուրդի պատճառով այս տիպի հանքանյութերը երկար ժամանակ կիրառում չէին գտնում և սկսեցին լայնորեն կիրառվել միայն 19-րդ դարի վերջերին, ձուլման թոմասյան եղանակի գյուտից հետո:

Այս տիպի խոշոր հանքավայրեր հայտնի են Շվեդիայում (Կիրունավարան, Լյուոսսավարան, Հելլիվարան Հյուսիսային Շվեդիայում, Գրենզբերգը Կենտրոնական Շվեդիայում), համեմատաբար ոչ մեծ հանքավայրեր՝ Նորվեգիայում և ՍՍՌՄ-ում¹:

Հյուսիսային Շվեդիայի մագնետիտային հանքավայրերի պաշարները կազմում են շատ մեծ թիվ՝ 5 միլիարդ տոննա հանքանյութ. սա երկաթի խոշորագույն հանքավայրերից մեկն է և մագնետիտի ամենախոշոր կուտակումն աշխարհում: Հյուսիսային Շվեդիայի հանքավայրերը և առանձնապես ամենանշանակալի Կիրունա հանքավայրը, որի անունով էլ կոչվում է տիպը, մշակվում են խոշոր մասշտաբով և հանքանյութ մատակարարում Գերմանիայի ու Անգլիայի մետալուրգիական գործարաններին: Այս տիպի հանքավայրերի տեսակարար կշիռը երկաթի հանքանյութերի համաշխարհային հանույթի մեջ կազմում է մոտավորապես 5% և համարյա ամբողջովին բաժին է ընկնում Շվեդիային:

¹ Տիտանոմագնետիտային հանքավայրեր հայտնի են նաև Զանգեզուրում (Կալաքար, Արամազդ և ուրիշներ):

Տիտանումագնետիտային ֆորմացիան տարածականորեն և գենետիկորեն սերտ կերպով կապված է զարբեր-պիրոքսենիտների հետ և ներկայացված է երականման մարմիններով, բներով և մագնետիտի ու իմենիտի ցանով, երբեմն սուլֆիդների (բոռնիտի, խալկոպիրիտի), քրոմիտի և հազվադեպ պլատինի միներալների ոչ մեծ խառնուրդով: Բնորոշ են հանքանյութերի սիդերոնիտային ստրուկտուրան և մագնետիտի մեջ իմենիտի (տիտանումագնետիտ) և բոռնիտի մեջ խալկոպիրիտի տրոհման ստրուկտուրաները:

Տիտանումագնետիտային հանքանյութերը պարունակում են սովորաբար 50—55% Fe, մինչև 8—12% Ti, հաճախ մինչև 0,5—1% V արժեքավոր խառնուրդ, երբեմն էլ մի քիչ Cu և Pt:

Այս տիպի հանքավայրերը լայնորեն տարածված են Ուրալի արևելյան լանջում (Կուսայի հանքավայրը Հարավային Ուրալում, Պերվոուրալսկինը Միջին Ուրալում, Կաչկանար լեռը Հյուսիսային Ուրալում և ուրիշներ): Հանքավայրեր կան նաև Լագոգա լճի ափին (Վելիմէկի) և Օնեգա լճի ափին (Պուդոփորսկի)¹: Նման հանքավայրեր հայտնի են հարավային Շվեդիայում, Նորվեգիայում, ԱՄՆ-ում, Տանգանիկայում, Հարավային Աֆրիկայում, Հնդկաստանում և այլ երկրներում: Սովորաբար, հանքավայրերի մասշտաբը համեմատաբար մեծ չէ և առանձին օբյեկտների պաշարները կազմում են ընդամենը մի քանի տասնյակ միլիոն տոննա հանքանյութ. բացառությույն են կազմում շատ խոշոր, բայց դեռ թույլ ուսումնասիրված Տանգանիկայի հանքավայրերը, որոնք գտնվում են Նյասոսա լճի հյուսիս-արևելյան ծայրամասի մոտ, ինչպես նաև Հարավային Աֆրիկայի հանքավայրերը, որոնք կապված են Բուշվելգի լոպոլիտի հետ: Տանգանիկայի Լիգանգա հանքավայրի հանքանյութերի պաշարները կազմում են 1,2 մլրդ. տոննա:

Տիտանումագնետիտային հանքավայրերի տեսակարար կշիռը երկաթի հանքանյութերի համաշխարհային հանույթի մեջ մեծ չէ, սակայն հարկ է նշել, որ այդ տիպի հանքանյութերը բնականից լեգիրված են, պարունակում են վանադիումի շատ արժեքավոր խառնուրդ, վանադիում պարունակող մագնետիտի՝ կոպսոնիտի $Fe(Fe, V)_2O_4$ ձևով. նրանցից ձուլում են որակյալ վանադիումային պողպատ և ստանում տիտան:

¹ Այս տիպին են դասվում Լեբյաժինսկը Ուրալում և Կապուտանն ու Կալաբարը (հյուսիսային տեղամաս) Հայկական ՍՍՌ-ում:

2. Սկառնային (կոնաակա-մետասոմատիկ) հանքավայրեր: Երկաթի սկառնային հանքավայրերը սերտորեն կապված են չափավոր թթու գրանիտոիդների՝ գրանոդիորիտների, կվարցային գիորիտների ու մոնցոնիտների հետ և ամենից հաճախ տեղադրված են նրանց և կարբոնատային շերտախմբերի, իսկ հազվագեպ՝ ինտրուզիվ և հրաբխածին (տուֆեր, պորֆիրիտներ) ապարների կոնտակտներում, ինչպես նաև հենց ինտրուզիվ ապարներում:

Հանքավայրերը ներկայացված են մագնետիտի և հազվագեպ հեմատիտի ցանով, բներով ու շերտաձև մարմիններով, տեղադրված սկառնային զոնաներում, որոնք կազմված են գրանատներից, պիրոքսեններից, էպիդոտից, սկապուլիտից և այլ միներալներից: Հանքանյութերը պարունակում են 25-ից մինչև 70% (սովորաբար 40—50%) Fe և հաճախ մինչև 1—2% S, որոնք կապված են սուլֆիդների, գլխավորապես պիրիտի հետ: Այդ հանքավայրերում ամենից արժեքավոր են վերին հորիզոնները օքսիդացման զոնայի սահմաններում, որտեղ հանքանյութերը մարտիտային են (նրանց մեջ եղած պիրիտն օքսիդացած է, իսկ ծծումբը տարավայրացված): Սկառնային հանքավայրերի հանքանյութերում հաճախ գիտվում է կորալտի արժեքավոր խոռոչեր, ինչպես նաև պղնձի բարձր պարունակություն:

Այս տիպի հանքավայրերը լայնորեն տարածված են ՄՍՌՄ-ում, որոնք են՝ Մագնիտնայա լեռը, Բլագոդատ լեռը, Վիսոկայա լեռը Ուրալում, Գաշքեսանը Ազրբեջանական ՄՍՌ-ում¹, Սարբայսկին Հյուսիս-արևմտյան Ասիայի ստանում և այլն. արտասահմանյան հանքավայրերից կարելի է նշել Բանատը Ռումինիայում, Ռիֆթ Մարոկկոյում, Ալբոն-Սպրինգսը ԱՄՆ-ում (Յուտանահանգ):

Հանքավայրերի մասշտաբը սովորաբար մեծ չէ, խոշոր հանքավայրեր, հանքանյութի 100 մլն. տ. ավելի պաշարներով, համեմատաբար հազվագեպ են, որի կապակցությամբ այս տիպի հանքավայրերի տեսակարար կշիռը հանքանյութերի համաշխարհային հանույթի մեջ մեծ չէ:

3. Հիդրոթերմալ հանքավայրերը երկաթի համար այնքան էլ բնորոշ չեն, սակայն երբեմն հանդիպում են այս տիպի հանքանյութի բավականաչափ խոշոր կուտակումներ:

Ըստ առաջացման պայմանների և հանքանյութի կազմի կարելի է առանձնացնել՝ ա) բարձր ջերմաստիճանային մերձ-

¹ Այս տիպին են դասվում նաև Մակերի-դոշը և Սուդադյանը Հայկական ՄՍՌ-ում:

մակերեսային մագնետիտային հանքանյութերի հանքավայրերի ֆորմացիա, որը կապված է տրապպոնների հետ (հանքավայրերի Անգարա-Իլիմսիի խումբ) և բ) միջին ջերմաստիճանային սի-
զերիտային հանքանյութերի հանքավայրերի ֆորմացիա, որը հանդես է գալիս երակային (Զիգերլանդը Գերմանիայում) և կարբոնատային շերտախմբերում տեղագրված մետասոմատիկ (Բակալինը Հարավային Ուրալում, Էրցբերգն Ավստրիայում, Ուենցան Ալժիրում, Յավորիկը Հարավսլավիայում, Բիլբաոն Հյուսիսային Իսպանիայում) խորքային, հավանականորեն գրա-
նիտոիդային, օջախների հետ կապված կոլտակների ձևով:

Առանձին օբյեկտների մասշտաբը որոշվում է պաշարների բավականաչափ մեծ թվերով՝ հանքանյութի հարյուրավոր միլիոն տոննաներով: Հանքանյութի որակը շատ բարձր է, հատկապես մանգանի արժեքավոր խառնուրդ պարունակող դյուրահալ հան-
քանյութեր ունեցող սիզերիտային հանքավայրերի համար: Այս տիպի հանքանյութերի տեսակարար կշիռը համաշխարհային հա-
նույթի մեջ մեծ է:

4. Մագնետիտ-իլմենիտային ցրոնների ֆորմացիա: Ցրոնների աղբյուր են հանդիսանում երկաթի արմատական հանքավայրերը և գլխավորապես երկաթի միներալների ցան պարունակող ինտրուզիվ ու էֆֆուզիվ լեռնային ապարները: Փոքր արդյունաբերական նշանակություն ունեն մագնետիտային ա-
վազների ժամանակակից ծովային ցրոնները Յապոնիայում և Իտալիայում, ինչպես նաև ՄՍՌՄ-ում՝ Սև ծովի ափում, Բաթումիից մինչև Սոչի բնկած հատվածում:

Վերջին ժամանակներս Հայկական ՄՍՌ-ում և Միջին Ասիա-
յում ուսումնասիրված են բրածո (էոցենյան և ավելի հին) ցրոն-
ների տիպի հանքավայրեր, ըստ որում այդ ցրոնները ներկա-
յացված են մագնետիտ-իլմենիտային ավազաքարերով՝ Fe, Մի բարձր պարունակությամբ և V խառնուրդով:

Ցրոնային հանքավայրերի մասշտաբը մեծ է, և որպես եր-
կաթի հանքավայրեր նրանք արդյունաբերական չնչին դեր ունեն¹:

5. Երկաթի գլխարկների ֆորմացիան առաջանում է սուլֆի-
դային, ավելի հաճախ կոլչեդանային հանքավայրերի, իսկ հազվա-

¹ Մագնետիտ-իլմենիտային մերձափնյա-ծովային ցրոնները (հակա-
պես Տրավանկորի և Ավստրալիայի) հանդիսանում են իլմենիտային կոնցեն-
տրատների կարևոր աղբյուր, որը ծառայում է որպես տիտան ստանալու
հումք:

դեպ երկաթի կարբոնատային հանքանյութերի օքսիդացման հետևանքով: Հանքանյութերը ներկայացված են երկաթի հիդրօքսիդներով, որոնք խորքում սուլֆիդային պղինձ-ծծում բիոլչեդանային կամ սիդերիտային հանքանյութի են անցնում:

Երկաթի գլխարկները լայնորեն տարածված են Ուրալում, պղնձի կոլչեդանային հանքավայրերի ելքերում. բնորոշ է լիմոնիտի մեջ ցրված ոսկու խառնուրդը:

Հանքավայրերի մասշտաբը փոքր է, որպես երկաթի հանքավայրեր սրանց նշանակությունը մեծ չէ:

6. Երկաթային լատերիտների ֆորմացիան առաջանում է ուլտրահիմքային ապարների զանգվածների հողմահարման հետևանքով: Հանքանյութերը կազմված են երկաթի հիդրօքսիդներից և պարունակում են լիմոնիտի մեջ ցրված ու հողմահարման ժամանակ պահպանված քրոմիտի հատիկների խառնուրդ, ինչպես նաև ուլտրահիմքային ապարների համար բնորոշ էլեմենտների՝ մանգանի, նիկելի, կոբալտի խառնուրդ:

Cr, Mn, Ni, Co արժեքավոր խառնուրդներն այս տիպի հանքանյութերը դարձնում են բնականից լեգիրված, որոնցից անմիջականորեն, առանց հատուկ հավելույթների, հնարավոր է ձուլել որակյալ պողպատներ:

Այս տիպի հանքավայրեր հայտնի են Միջին Ուրալում (Ելիզավետինսկի), Հարավային Ուրալում, ինչպես նաև Ֆիլիպպիններում, Կուբա կղզում, Ֆրանսիական Գվինեայում (Կոնակրի) և Ինդոնեզիայում:

Հանքավայրերի մասշտաբը հաճախ խոշոր է՝ պաշարները հաշվում են հարյուրավոր միլիոն տոննաներով, իսկ Կուբա կղզու համար (Մոս և Մայարի հանքավայրեր) կազմում են 2 միլիարդ տոննա: Երկաթի հանքանյութերի համաշխարհային ընդհանուր հանույթի մեջ այնուամենայնիվ այս տիպն ունի երկրորդական նշանակություն:

7. Ինֆիլտրացիոն ծագման սֆերոսիդերիտային և լիմոնիտային հանքանյութերի ֆորմացիա, որն առաջացել է երկաթի տարալվացման, տեղափոխման և վերանստեղծման հետևանքով: Այս տիպին են պատկանում Ալապաեսկի հանքավայրը (Հյուսիսային Ուրալ), Էգրիմոնտ հանքավայրն Անգլիայում, հավանաբար Վյատկա, Կամա և Սիսոլա գետերի ջրբաժանների հանքավայրերը (այլ տվյալներով վերջինները նստվածքային տիպի են):

Հանքանյութերի որակը ցածր է. հանքավայրերը սովորա-

քար ունեն փոքր մասշտաբ և արդյունաբերական երկրորդական նշանակութիւն:

8. Նստվածքային ծագման գյոթիտ-շամոզիտ-սիդերիտային հանքանյութերի ֆորմացիան երկաթի համար շատ բնորոշ է և լայնորեն տարածված: Հանքավայրերն առաջանում են ծովային ու լճային ալագաններում մակերեսային ջրերի միջոցով երկաթի կոլլոիդալ միացութիւնների տեղափոխման և ծովային ալագանների մերձափնյա գոտում նրանց կոագուլյացիայի (նըստեցման) հաշվին, կոագուլյացիան տեղի է ունենում ջրում լուծված և էլեկտրոլիտների դեր կատարող աղերի հետ շփվելու ժամանակ կամ լճերի ու ճահիճների հատակում հումուսային թթուների ներգործութեան տակ և կամ բակտերիաների ու ջրմուռների կենսագործունեութեան հետեանքով:

Նայած թթվածնային ուժիւնի և PH մեծութեանը նստում են օքսիդային (լիմոնիտ, գյոթիտ, հեմատիտ), սիլիկատային (երկաթային քլորիտներ) կամ կարբոնատային (սիդերիտային) հանքանյութերը: Սովորաբար հանքանյութերի ամենահզոր և հարուստ շերտերը հարում են սինկլինալային ճկվածքներին— մուլդաներին, ընդ որում մուլդաների կենտրոնական մասերում նստում են թերօքսիդային, իսկ ծայրամասերում՝ օքսիդային հանքանյութերը: Այս հանքանյութերի համար շատ բնորոշ է օօլիտային սարուկտուրան:

Երկաթի հանքանյութերի նստվածքային հանքավայրերի մեջ բոս հասակի կարելի է առանձնացնել՝

Պրոտերոզոյան հանքավայրերը՝ Անգարա-Պիտի երկաթահանքի ալագանը (Անգարա գետի ստորին հոսանքներում) և Հարավային Աֆրիկայի մի շարք այլ հանքավայրեր (վերջինները մետամորֆացված են):

Ստորին սիլուրի՝ Նորմանդիայի, Թյուրինգիայի, Բոհեմիայի, Նյու-Փատենդլենդի (Վարանա) հանքավայրերը:

Վերին սիլուրի՝ Կլինտոն (ԱՄՆ-ի Արևելյան նահանգներ) հանքավայրը:

Ստորին կարբոնի՝ Տուլայի, Լիպեցկի հանքավայրերը:

Յուրայի՝ Լոթարինգիայի, Անգլիայի հանքավայրերը:

Կավճի՝ Պապյորի, Այատի հանքավայրերը:

Երրորդական՝ Կերչի, Թամանի հանքավայրերը:

Երկաթի նստվածքային հանքավայրերի համար բնորոշ են Fe պարունակութիւնը 20—50⁰/₀ սահմաններում (ավելի հաճախ

30—40⁰/₀) և մինչև մի քանի տոկոս Mn, մինչև 0,1⁰/₀ V, մինչև 0,2—0,5 (նույնիսկ 1,5⁰/₀) P և հարյուրերորդական մասերից մինչև 0,15⁰/₀ As խառնուրդը:

Երկաթի ծովային նստվածքային հանքավայրերի հանքանյութերի պաշարները հաշվվում են միլիարդավոր տոննաներով (Լոթարինգիայի համար մինչև 15 մլրդ. տ.). իրենց արդյունաբերական նշանակությամբ սրանք մետամորֆոզեն հանքավայրերից հետո գրավում են երկրորդ տեղը՝ տալով երկաթի հանքանյութերի համաշխարհային հանույթի մոտավորապես 30%:

9. Մետամորֆոզեն ծագման մագնետիտ-հեմատիտային հանքանյութերի ֆորմացիան երկաթի համար առաջատար դեր է կատարում. բավական է նշել, որ երկաթի հանքանյութերի համաշխարհային պաշարների գերակշռող մասը և համաշխարհային հանույթի մինչև 60⁰/₀ բաժին է ընկնում մինչքեմբրյան, գըլխավորապես պրոտերոզոյան հասակի մետամորֆոզեն հանքավայրերի տիպին:

Հանքավայրերը ներկայացված են երկաթային զտվոր կվարցիտների և եղջրաքարերի հզոր շերտախմբերով, մագնետիտ-հեմատիտային և կալժքարային ենթաշերտերի հերթագայությամբ, որոնց մեջ Fe պարունակությունը տատանվում է 25—40⁰/₀-ի սահմաններում, և այդ շերտախմբերին ենթակա սյունանման և շերտանման հոծ հարուստ հանքանյութերի կուտակումներով, որոնց մեջ Fe պարունակությունը կազմում է 50—70⁰/₀ վնասակար խառնուրդները՝ ծծումբն ու ֆոսֆորն աննշան պարունակություն (ընդամենը տոկոսի հարյուրերորդական մասեր) ունեն:

Երկաթային կվարցիտները և եղջրաքարերն առաջացել են շերտավոր կալժքար-երկաթային նստվածքների գինամոմետամորֆիզմի հետևանքով, իսկ մասսիվ հանքանյութերի կուտակումները՝ հիդրոթերմալ լուծույթների կողմից այդ ապարների վերամշակման պրոցեսում: Այդ լուծույթները տարալվացել են կալժքարային ենթաշերտերի կվարցը և նրա տեղը նստեցրել մագնետիտ: Այլ գեպքերում մասսիվ հանքանյութերն առաջացել են հին հոգմանահարման պրոցեսում, որն ուղեկցվել է կվարցին տեղակալող երկաթի հիդրօքսիդների և սիլիկատի նստեցումով:

Մետամորֆոզեն հանքավայրերը լայնորեն տարածված են ՍՍՌՄ-ում (Կրիլոյ Ռոզ, Կուրսկի մագնիսային անոմալիա՝ ԿՄԱ,

Կոլա թերակղզու, Փոքր Խինգանի, Յակուտական ԱՍՍՌ հանքավայրերը), ԱՄՆ-ում (Վերին լիճ), Հնդկաստանում (Բինար, Օրիսասա և այլ նահանգներում), Բրազիլիայում, Վենեսուելայում, Մանջուրիայում, Կորեայում և Հյուսիսային Չինաստանում, Հարավային Աֆրիկայում, Արևմտյան Ավստրալիայում, Կանադայում, Նյու-Ֆաունդլենդյան Լաբրադորում, Նորվեգիայում:

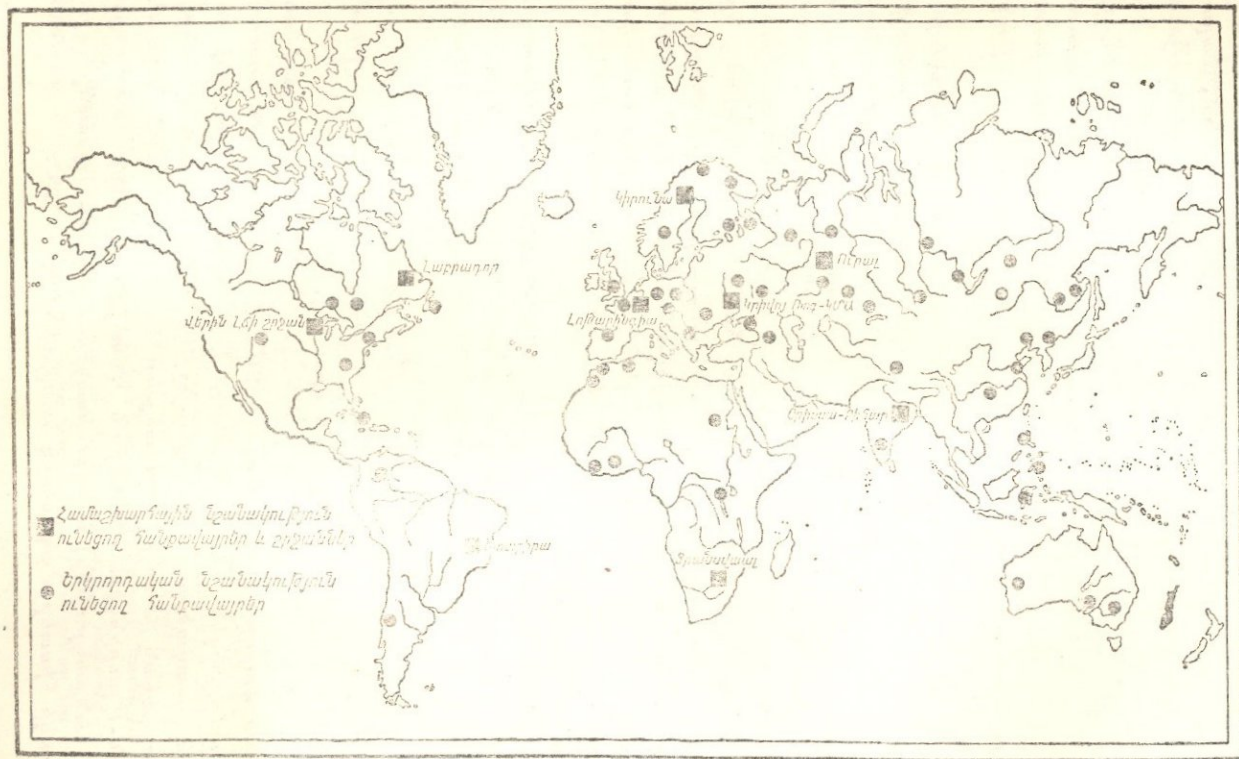
Հանքավայրերի մասշտաբը շատ խոշոր է՝ երկաթային կվարցիտների և եղջրաքարերի պաշարները հաշվվում են տասնյակ և նույնիսկ հարյուրավոր միլիարդ տոննաներով, իսկ բարձրորակ հարուստ մասսիվ հանքանյութերի պաշարները՝ միլիարդ տոննաներով:

Մշակվում են սովորաբար մասսիվ, հարուստ հանքանյութերը Fe 46⁰/₀-ից ավելի պարունակությամբ, իսկ երկաթային կվարցիտները դիտվում են որպես ապագայի հանքանյութեր, որոնցից հարստացման միջոցով հնարավոր է ստանալ բարձրորակ կոնցենտրատներ: Այսպիսի երկաթային կվարցիտները Fe 36—39⁰/₀ միջին պարունակությամբ շահագործվում են Հյուսիսային Նորվեգիայի Ջյուդվարանգեր հանքավայրում, որտեղ ներանցից ստանում են կոնցենտրատներ, որոնք բրիկետացվում են արտահանման համար (տարեկան արտահանվում է մոտավորապես 1 միլիոն տոննա բրիկետ Fe 65—70⁰/₀ պարունակությամբ): Երկաթային կվարցիտները 1952 թ. մշակվում են նաև ՍՍՌՄ-ում (ԿՄԱ):

Մետամորֆոզեն հանքավայրերը մշակվում են խիստ ինտենսիվ կերպով. ամենահզոր արդյունաբերական երկրները՝ ՍՍՌՄ-ի և ԱՄՆ-ի մետալուրգիան հիմնվում է գլխավորապես այդ տիպի հանքանյութերի վրա:

Երկաթի հանքանյութերի գլխավորապես մարզերն ըստ մայր ցամաքների բերվում են ստորև, իսկ նրանց բաշխումը ցույց է տրված կից քարտեզի վրա (նկ. 2):

Եվրոպա. գլխավոր նշանակություն ունեն՝ հարավ-ուսական մարզը (Կրիվոյ Ռոգի և ԿՄԱ-ի պրոտերոզոյան հասակի մետամորֆոզեն հանքավայրեր), Լոթարինգիան (յուրայի հասակի նստվածքային հանքանյութեր), Կերչ-թամանը (վերին երրորդական հասակի նստվածքային հանքանյութեր), Նորմանդիան-թյուրինգիան-Բոհեմիան (ստորին սիլուրի նստվածքային հանքանյութեր) և Հյուսիսային Շվեդիան (պրոտերոզոյան հասակի հիստերոմագմատիկ հանքավայրեր):



Նկ. 2. Աշխարհի երկաթի խոշորագույն հանքավայրեր:

Ա ս ի ա . խոշորագույն մարզերն են՝ պալեոգոյան սկառնային հանքավայրերի ուրալյան մարզը, կավճի հասակի նստվածքային հանքավայրերի Հարավ-ուրալյան մարզը, Հնդկական և Մանջուրա-Կորեական մարզերը (մինչքեմբրի մետամորֆոզեն հանքավայրեր), Ֆիլիպպինները (երկաթային լատերիտներ), Անգա-րա-Պիտի ավազանը (նստվածքային հանքավայրեր):

Ա Ֆ ր ի կ ա . համաշխարհային նշանակութուն ունեցող խոշորագույն մի մարզ գտնվում է Հարավ-Աֆրիկյան Միության սահմաններում և ներկայացված է մինչքեմբրյան հասակի մետամորֆոզեն հանքավայրերով: Ավելի փոքր նշանակութուն ունի երրորդական և կավճի հասակի հիդրոթերմալ ու սկառնային հանքավայրերի Հյուսիս-Աֆրիկյան մարզը:

Հարավային Ամերիկա . մեծ նշանակութուն ունի բրազիլիական երկաթահանքային մարզը Մինաս Գերաս նահանգի մինչքեմբրի շերտախմբում տեղադրված շատ խոշոր մետամորֆոզեն հանքավայրերով:

Հյուսիսային Ամերիկա . այստեղ ամենակարևորներն են Վերին լճի և Լաբրադորի մարզերն իրենց մինչքեմբրի հասակի մետամորֆոզեն հանքավայրերով. ավելի փոքր նշանակութուն ունեն Նյու-Փատենդլենդ, կղզու. (Վարանա և այլն) ստորին սիլուրյան նստվածքային հանքավայրերը, ԱՄՆ-ի արևելյան նահանգների (Կլիմոնտ և այլն) վերին սիլուրյան հանքավայրերը և Կուբա կղզու երկաթային լատերիտները:

Երկաթի հանքավայրերն ըստ դարաշրջանների բաշխվում են հետևյալ ձևով՝

Մինչքեմբրյան դարաշրջանն ամենահարուստն է երկաթով: Այդ ժամանակ առաջացել են ՍՍՌՄ-ի (Կրիվոյ Ռոզի, ԿՄԱ, Կոլա թերակղզու, Փոքր Խինգանի հանքավայրերը) և արտասահմանյան երկրների (ԱՄՆ-ի, Հնդկաստանի, Բրազիլիայի, Կանադայի, Հարավային Աֆրիկայի, Մանջուրիայի, Կորեայի, Սկանդինավյան երկրների) բոլոր խոշորագույն մետամորֆոզեն հանքավայրերը, ինչպես նաև Շվեդիայի ապատիտ-մագնետիտային և Հարավային ու Կենտրոնական Աֆրիկայի տիտանումագնետիտային խոշոր հանքավայրերը: Երկաթի մինչքեմբրյան հանքավայրերին բաժին է ընկնում համաշխարհային պաշարների ճնշող մասը և համաշխարհային հանույթի 60⁰/₀:

Կալեդոնյան դարաշրջան: Ստորին պալեոգոյի ժամանակ առաջացել են Վարանայի երկաթի հանքանյութերի նստվածքային հանքավայրերը, Նորմանդիայի, Թյուրինգիայի, Բոհեմիայի հանքավայրերը, իսկ վերին սիլուրում՝ Կլինտոն հանքավայրը: Այս հանքավայրերն ունեն երկրորդական նշանակություն:

Հերցինյան դարաշրջան: Արգյունաբերական տեսակետից երկաթի կարևոր հանքավայրեր հայտնի են ՍՍՌՄ-ում (Ուրալի սկանդին, հիդրոթերմալ և հիստերոմագմատիկ հանքավայրերը, Տուլայի և Լիպեցկի նստվածքային հանքավայրերը):

Կիմմերյան դարաշրջան: Յուրայի և կավճի ընթացքում առաջացել են երկաթի հանքանյութերի շատ խոշոր նստվածքային հանքավայրեր, այդ թվում Լոթարինգիայի, Մապյորի, Այատի, Նիդերիայի հանքավայրերը, ինչպես նաև Ալժիրի և Թունիսի հիդրոթերմալ հանքավայրերը, Միջին ու Հարավային Ուրալի և Ֆիլիպպինների երկաթային լատերիտները: Այդ բոլոր հանքավայրերին բաժին է ընկնում երկաթի հանքանյութերի համաշխարհային հանույթի 30⁰/₀-ից ավելին:

Ալպիական դարաշրջան: Այստեղ անհրաժեշտ է նշել Կերչի նստվածքային ծագման և Կուրա կղզու երկաթային լատերիտների խոշոր հանքավայրերը:

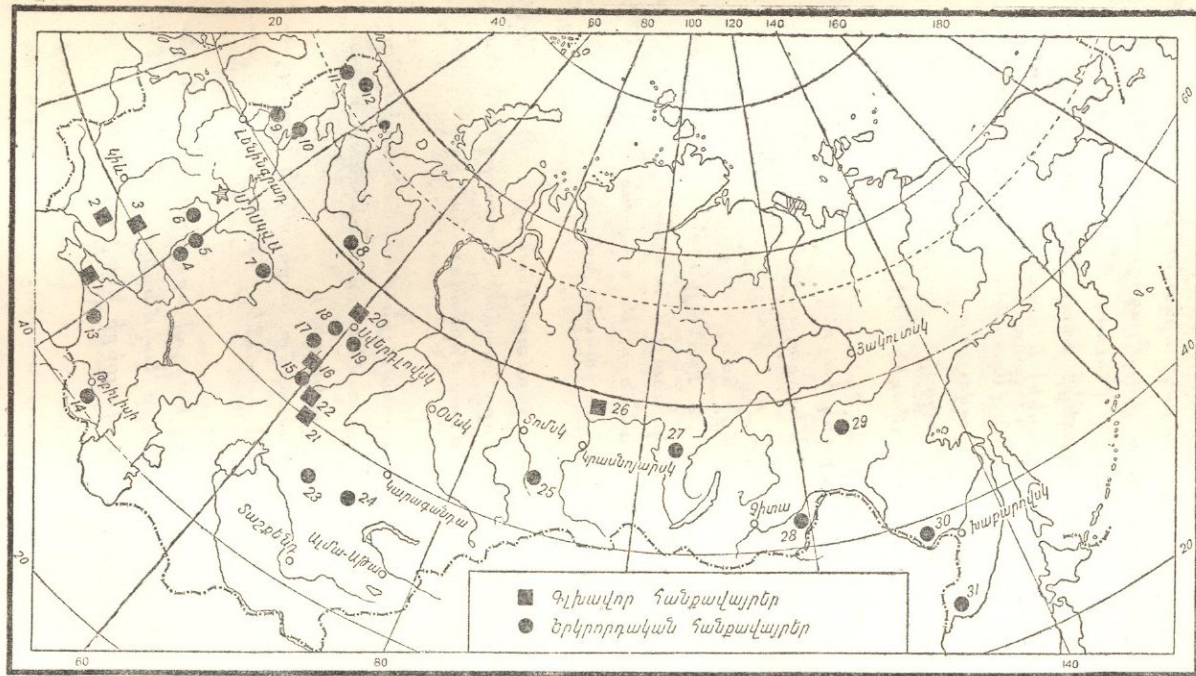
Այսպիսով, երկաթի համար կարևորագույն դարաշրջաններ են հանդիսանում՝ մինչքեմբրյան (մետամորֆոզեն ու հիստերոմագմատիկ հանքավայրեր) և կիմմերյան (երկաթային լատերիտների ու նստվածքային հանքավայրեր) դարաշրջանները, որոնց բաժին են ընկնում հանքանյութերի հիմնական պաշարները և համաշխարհային հանույթի 90⁰/₀-ից ավելին:

* * *

Սովետական Միության երկաթահանքային գլխավոր շրջաններն են (նկ. 3)¹

1) Ուկրաինական ՍՍՌ և ՌՍՖՍՌ կենտրոնական շրջանները՝ Կրիվոյ Ռոդ, ԿՄԱ մետամորֆոզեն հանքավայրերը, Տուլայի, Լիպեցկի և Մապյորի նստվածքային հանքավայրերը:

2) Ղրիմը և Կովկասը, Կերչի, Թամանի և Մալկայի նրստ-



Նկ. 3. ՍՍՌՄ-ի երկաթի հանքավայրերը և շրջանները. 1—Կելչ, 2—Կրիվոյ Ռոզ, 3—Կուբսկի մագնիտային անոմալիա (KMA), 4—Սապյորի, 5—Լիպեցկի, 6—Տուլայի, 7—Վիկտուրի, 8—Կամա-Վյատկա-Սիստլայի խումբ, 9—Վելիմեկի, 10—Պուզոժգորսկի, 11—Ենսկի, 12—Օլենեգորսկի, 13—Մալկաի, 14—Գաշեան, 15—Բախալ, 16—Մագնիտնայա լեռ, 17—Ելիզավետինսկի, 18—Վիսոկայա լեռ, 19—Արապակսկի, 20—Բլազոգոլա լեռ, 21—Կուստանայի խումբ, 22—Այատի, 23—Կարսակայայի խումբ, 24—Աթատուլի խումբ, 25—Տելբեռի խումբ, 26—Անդաբա-Պիտի ավազան, 27—Անդաբա-Բլիմի խումբ, 28—Ժելեզնի կրյամ, 29—Հարավային Յակուտիայի խումբ, 30—Կիմկան, 31—Օլչինսկի:

վածքային հանքավայրերը, Դաշքեսանի սկառնային հանքավայրը:

3) Ուրալը, համարյա իր ամբողջ երկայնությամբ բազմաթիվ սկառնային (Մագնիտնայա լեռ, Բլագոդատ լեռ, Վիսոկայա լեռ և այլն), հիստերոմագմատիկ (Կուսա, Պերվոուրալսկ, Կաչկանար), երկաթային լատերիտների տիպի մնացորդային (Շլիզավեռինսկի, Օրսկի, Ակտյուբինսկի) և առանձին խոշոր հիդրոթերմալ (Բակալ), ինֆիլտրացիոն (Ալապսկսկի) ու նստվածքային (Այատի, Խալիլովսկի) հանքավայրերով:

4) Կարելիան և Կոլա թերակղզին՝ բավական խոշոր տիտանոմագնետիտային, մետամորֆոզեն (Օլենոգորսկի) և սկառնային (Ենսկի) հանքավայրերով:

5) Ղազախսկան ՄՍՌ, որտեղ հայտնի են սկառնային հանքավայրերը Կուստանայի ու Մերձբալխասյան շրջաններում և մետամորֆոզեն (Կարսակպայ) ու թույլ մետամորֆացված նստվածքային (Աթասույի խումբ) հանքավայրեր:

6) Կուզնեցկի Ալատաուն և Լեռնային Շորիան՝ Տելբես, Թեմիր-Տաու, Արական և այլ սկառնային հանքավայրերով:

7) Անգարա-Պիտի երկաթահանքային ավազանը, որը ներկայացված է վերին պրոտերոզոյան հասակի նստվածքային հանքավայրերով:

8) Անգարա-Իլիմի բարձր ջերմաստիճանային մագնետիտային հանքավայրերի խումբը, որը կապված է տրապպների հետ:

9) Փոքր Խինգանն իր մետամորֆոզեն հանքավայրերով (Կիմկան և ուրիշներ):

10) Յակուտական ԱՍՍՌ հարավային մասի հանքավայրերը (Սիվազլի, Տայոմնոյէ և կոնտակտ-մետասոմատիկ կամ մետամորֆոզեն (?) ծագման այլ հանքավայրեր):

ՄՍՌ-ի համար ամենամեծ արդյունաբերական նշանակութուն ունեն Կրիվոյ Ռոզի—ԿՄԱ շրջանները և Ուրալի հանքավայրերը:

Մտորե, նույն կարգով, ինչ կարգով որ շարադրված են գենետիկ տիպերը և երկաթահանքերի ֆորմացիաները, բերվում է առանձին, ամենաբնորոշ հանքավայրերի նկարագրությունը:

ՀԻՍՏԵՐՈՄԱԴՄԱՏԻԿ ՀԱՆՔԱՎԱՅՐԵՐ

ԱՊԱՏԻՏ-ՄԱԳՆԵՏԻՏԱՅԻՆ ՖՈՐՄԱՅԻՆ

Հյուսիսային Շվեդիայի հանքավայրերը

Հյուսիսային Շվեդիայում, Նորրոտտեն շրջանում (Շվեդական Հապլանդիա) գտնվում են մագնետիտի միջև երեք տասնյակ հանքավայրեր, որոնք թվում խոշոր արդյունաբերական նշանակութուն ունեն Կիրունավարա, Լյուոսսավարա և Հելլիվարա հանքավայրերը:

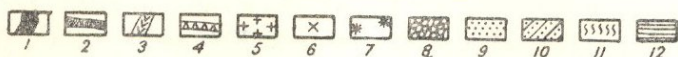
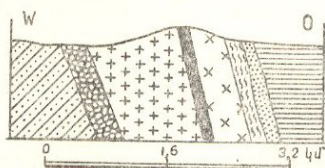
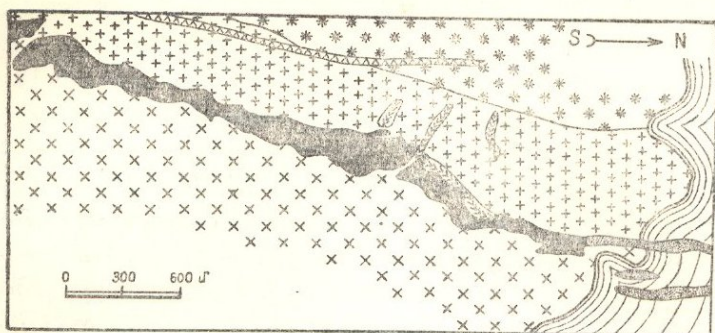
Կիրունավարա հանքավայրի շրջանը կազմված է միջաքեմբրյան շերտախմբերից, այն է՝ արխեյան կոնգլոմերատներից (Կուլբրավարա շերտախումբ), որոնց վրա տեղադրված է կանաչքարային ապարների հզոր հաստվածքը: Վերջինս իր հերթին ծածկված է սիենիտային պորֆիրների ծածկոցներով, որոնք վերևում փոխվում են կվարցային պորֆիրների: Ավելի վեր տրանսգրեսիվ կերպով և անկյունային աններդաշնակությամբ տեղադրված է Սաուկի շերտախումբը, որը ներկայացված է պրոտերոզոյան հասակի ֆիլիտներով, ալագաքարերով և կվարցիտներով (նկ. 4):

Հանքավայրի շրջանը սառցադաշտերով հերկված, մորենների մնացորդներով և սառցադաշտային լճերով ներկայացված մի հարթավայր է, որի վրա բարձրանում է «Հանքային լեռնաշղթա» անունը կրող և միջօրեականի ուղղութուն ունեցող մի լեռնակատար. նրա միջին համեմատական բարձրութունը տեղանքի նկատմամբ կազմում է 250 մ: Լեռնակատարը կազմված է մասսիվ մագնետիտային հանքանյութերից, որոնք հարում են սիենիտային պորֆիրների (հանքամարմնի պատկած կող) և կվարցային պորֆիրների (հանքամարմնի կախված կող) կոնտակտին:

Սիենիտային և կվարցային պորֆիրներն էֆֆուզիվ բնույթ ունեն, սակայն հանքավայրի շրջանում հայտնի են նաև ինտրուզիվ սիենիտների ելքեր:

Հանքամարմինը դայկաձև է, նա տարածվում է համարյա ճիշտ միջօրեականի ուղղությամբ և բավականին զսռիթա՝ 55° անկյան տակ ընկնում է դեպի արևելք:

Ըստ տարածման Կիրունայի հանքամարմինը հետամտված



Նկ. 4. Շվեդիայի Կիրունա երկաթի հանքավայրի շրջանի քարտեզ (բառ Լուևերմի և Պետերսոնի)

Կարվածքը որոշ չափով ընդհանրացված է (բառ Պ. Հեյերի)

- 1—երկաթի հանքանյութ, 2—բերվածքների տակ տեղադրված հանքանյութ,
 3—ապլիտային դաշիաներ, 4—կվարց-պորֆիրային դաշիա, 5—սիենիտ-պորֆիր,
 6—կվարց-պորֆիր, 7—սիենիտ, 8—կոնգլոմերատ, 9—ավազաբար,
 10—կանաչքարային ապարներ, 11—ֆիլիտներ, 12—գրաուվակներ:

է 4400 մ, որից 3000 մ ավելին մերկացված է էրոզիայով, իսկ հյուսիսային ուղղությամբ նա ծածկված է Լյուսոսավարա լճի նստվածքներով. հանքամարմինը լճի հատակով զեոֆիզիկական մեթոդներով հետամտված է ես 1200 մ:

Հանքամարմնի կարողությունը տատանվում է լայն սահմաններում՝ 34-ից մինչև 152 մ և միջին հաշվով կազմում է 90 մ: Ըստ խորություն հանքամարմինը հորատանցքերով հետամտված է 1 կմ, իսկ գեոֆիզիկոսների տվյալների համաձայն հետամտվում է մակերեսից ավելի քան 2000 մ խորությունը: Ըստ բերված թվերի Կիրունայի հանքամարմինն ունի շատ խոշոր մասշտաբ և հսկայական պաշարներ:

Գլխավոր հանքամարմնից դեպի կախված կողը (կվարցային պորֆիրներ) անջատվում են հանքանյութի ապոֆիզներ, իսկ

պառկած կողում (սիենիտային պորֆիրների մեջ) գիտվում են բրեկչիացած տեղամասեր, որոնց մեջ սիենիտային պորֆիրների բեկորները ցեմենտացված են հանքանյութով:

Հանքամարմինը շատ տեղերում հատվում է ապլիտի, սիենիտի, գրանիտի և պեգմատիտի երակներով:

Հանքանյութերը մասսիվ են, ամուր, խեցածե կոարվածքով, հազվադեպ Ֆլյուիդայ և բրեկչիանման տեքստուրաներով: Նրանք հիմնականում կազմված են մադնետիտից, որին նկատելի քանակությամբ (մինչև 12—15⁰/₀) խառնվում են ֆտորապատիտ և փոքր քանակությամբ հեմատիտ, գիտսիդ, ամֆիբոլ, տուրմալին, ցիրկոն, բիտալիտ, կալցիտ, կվարց:

Մադնետիտի փոխհարաբերություններն ապատիտի հետ շատ սերտ են և վկայում են երկու միներալներին համարյա միաժամանակյա անջատման մասին: Ապատիտի պարունակությունը հանքանյութում անհավասարաչափ է, փոփոխվում է ըստ հանքամարմնի տարածման և նվազում է խորքում:

Հանքամարմնի կոնտակտներում, պարունակող ապարներում տեղ-տեղ տարածված են ախիտիտ-սկապուլիտային սկառներ, իսկ «Ռեկտոր» հանքամարմնի կոնտակտում, որն առանձնապես հարուստ է ապատիտով (20⁰/₀ ապատիտ), պարունակող ապարների մեջ գիտվում են սերիցիտացում, կվարցացում և կարբոնատացում: Դա վկայում է ցնդող կոմպոնենտներով հանքային մագմայի հարուստ լինելու և պնեմատոլիզի ու ապարների հիդրոթերմալ փոփոխման պրոցեսների զարգացման մասին, որոնք տեղի են ունեցել հանքային մագմայի սառեցման վերջին ստադիաներում:

Կիրունայի հանքանյութերի արդյունաբերական տեսակները պարունակում են 58—70⁰/₀ Fe և 0,01—2,5⁰/₀ P, առանձնացվում են A մինչև G տեսակը ներառյալ, ընդ որում նրանցից լավագույնը՝ A պարունակում է 69—70⁰/₀ Fe, 0,025—0,05⁰/₀ P, իսկ ցածրագույն տեսակը՝ G պարունակում է 58⁰/₀ Fe և ավելի քան 4⁰/₀P:

Պաշարների ճնշող մասը բաժին է ընկնում Fe բարձր (60—68⁰/₀) և P զգալի (2⁰/₀) պարունակություն ունեցող հանքանյութերին. հանքանյութերը գլխավորապես թոմասային են: Հանքանյութերում S պարունակությունը ցածր է, սովորաբար 0,05⁰/₀ ոչ ավելի. հանքանյութը պարունակում է մի քիչ (մինչև 0,7⁰/₀) Mn, մինչև 0,3⁰/₀ TiO₂ և մինչև 0,13—0,18⁰/₀V:

Հանքավայրի ծագումը շվեդական գեոլոգ Պեր Հեյերի կողմից (1931, Symposium sur les gisements de fer du monde, 1952) համարվում է որպես սիենիտային մագմայի խորքային գիֆերենցիացիայի արդյունք, որից անջատվել է Fe և ցնդողներով (F և P) հարստացած հանքային հալոցքը:

Պտնում են, որ հանքային հալոցքի անջատմանը նպաստել են ցնդողները և որ դա եղել է լիվլացիայի նման մի պրոցես, մագմայի անլուծելի մասի անջատումով: Վերջին տեսակետը հիմնավորվում է էքսպերիմենտալ աշխատանքներով, որոնք ցույց են տվել, որ F ներկայությամբ մագնետիտը և ապատիտը ալկալային սիլիկատային մագմայից անջատվում են հատուկ հալոցքի ձևով (Fischer, Reinhard, 1950):

Սկզբում տեղի են ունեցել սիենիտային և կվարցային պորֆիրների արտավիժումներ, այնուհետև այդ երկու տարրեր ծածկոցների կոնտակտի երկայնքով ստաշացել են խախտումներ, որոնք ուղեկցվել են բրեկչիացումով: Կոնտակտի, որպես թուլացած գոնայի, երկայնությամբ ավելի ուշ ներդրվել է հանքային մագման, որն անջատվել է մեծ խորության վրա սիենիտային մագմայի գիֆերենցիացիայի պրոցեսում: Վերջապես, հանքային մագմայի բյուրեղացումից հետո (որը սառել է դայկանման հանքամարմնի ձևով) տեղի է ունեցել սիենիտ-պորֆիրի, գրանիտի, ապլիտի և պեգմատիտի դայկաների ներդրում, որոնք հատում են հանքանյութը և վկայում են այն մասին, որ հանքային մագմայի ներդրումը կատարվել է նախքան մագմատիկ օջախի բյուրեղացման ավարտումը և ապլիտների ու պեգմատիտների անջատման պրոցեսները, այսինքն՝ ուշ մագմատիկ (հիստերոմագմատիկ) ստադիայում:

Վերջին տարիներս, գեոլոգներից ոմանք, նրանց թվում նաև Ս. Լանդերգրենը, ուսումնասիրելով Կենտրոնական Շվեդիայի հանքավայրերի երկաթի հանքանյութերը, արտահայտել են ուշադրով մի տեսակետ Կիրունա և Գրենգոսերգ տիպի հանքավայրերի մետամորֆոզեն ծագման մասին (Landergrén, 1948):

Երկաթով, ֆոսֆորով, վանադիումով և ցնդող էլեմենտներով հարստացած նստվածքային նյութը ենթարկվել է էնդոգեն փոփոխությունների լեռնակազմական ֆազի գրոսերման պայմաններում, ֆազ, որն ուղեկցվել է սիենիտների ներդրումով և մետամորֆիզմով, որի ժամանակ ստաշացել է նոր պայմանների համար կայուն՝ մագնետիտ-ապատիտ-սիլիկատային հան-

քանյութերի ֆաջիան: Հանքանյութերն առաջացել են էնդոգեն պրոցեսների ժամանակ, սինեխաների ինտրուզիայի հետ սերտորեն կապված և բարձր ջերմության պայմաններում (այս բանում Լանդերգրենը համաձայն է Պ. Հեյերի հետ), սակայն հանքանյութերի հարստացումը երկաթով տեղի է ունեցել էկզոգեն պայմաններում:

Այնուամենայնիվ ավելի հիմնավորված պետք է համարել Պ. Հեյերի տեսակետը:

Լյուսոսսավարա. հանքավայրը գտնվում է Կիրունավարա հանքավայրից անմիջականորեն դեպի հյուսիս, նմանապես սինեխաների և կվարցային պորֆիրների կոնտակտում և գիտվում է որպես Կիրունայի շարունակութունը դեպի հյուսիս: Դսպլանման հանքամարմինը, որը կազմված է ապատիտախառն մագնետիտի հանքանյութից, ըստ տարածման հետամտված է 1600 մ, 45 մ միջին կարողություններ:

Հելլիվարա. հանքավայրը գտնվում է Կիրունայից 100 կմ դեպի հարավ, վերաբյուրեղացած, տեղ-տեղ գնեյսանման լեպտախաների մեջ, որոնք կազմում են լայնակի տարածման մի գոտի:

Հանքամարմինները ներկայացված են ոսպնյակների սերիայով, որոնք 18—30 մ կարողություն լայնակի ուղղությամբ հետամտված են 5 կմ, իսկ անկման ուղղությամբ՝ 500 մ: Հանքային ոսպնյակների և գնեյսների կոնտակտում, գնեյսների մեջ տեղի ունի սկստոնացման պրոցես գրանատի, պիրոքսենի, ամֆիբոլի և ֆլյուորիտի զարգացմամբ: Հանքանյութերը մասսիվ են, հարուստ (60—68% Fe, 0,14—1% P) և բազկացած են ապատիտախառն մագնետիտից ու հեմատիտից: Ի տարբերություն Կիրունայի ամուր հանքանյութերի, որոնք ունեն խեցածե կոտլըրվածք, Հելլիվարայի հանքանյութերը վերաբյուրեղացած են, ներկայացված 1 մմ հատիկներով, որի շնորհիվ և լավ հարստացվում են:

Հանքանյութի մանրացումից և մագնիսային սեպարացիայից հետո ստանում են կոնցենտրատներ, որոնք պարունակում են՝ Fe 71,5% և P 0,01%~ից պակաս:

Հյուսիսային Շվեդիայի նկարագրված հանքավայրերն ունեն խոշոր պաշարներ, մոտ 5 միլիարդ տոննա հանքանյութ, ինտենսիվորեն մշակվում են (1951 թ. արդյունահանված է 16,5 միլիոն տոննա) և հիմնականում արտահանվում են Անգլիա ու Գերմանիա:

Հյուսիսային Շվեդիայի հանքավայրերին նման են Կենտրոնական Շվեդիայի հանքավայրերը (Գրենգարերգը՝ Ստոկհոլմից 150 կմ դեպի արևմուտք), որոնք տեղագրված են թերթավորված թթու էֆֆուզիվների՝ լեպտիտների մեջ և մշակվում են շվեդական մետալուրգիայի կարիքների համար. ներկայացված են Fe և P ավելի ցածր պարունակություներ ունեցող հանքանյութերով (60% Fe, 0,6—1% P), մոտավորապես 200 մլն. տ. հանքանյութի պաշարներով:

ՏԻՏԱՆՈՄԱԳՆԵՏԻՏԱՅԻՆ ՖՈՐՄԱՅԻՆ

Ուրալի արևելյան լանջի հանքավայրերը:

Տիտանոմագնետիտային հանքավայրերը, Ուրալի արևելյան լանջի գարբրո-պիրոքսենիտների ինտրուզիաների հետ գենետիկորեն սերտ կապված, շատ սովորական են լեռնաշղթայի ամբողջ երկարությամբ՝ հյուսիսում Դենեժկին Կամենից սկսած մինչև Ջլատոուստ քաղաքի շրջանը հարավում:

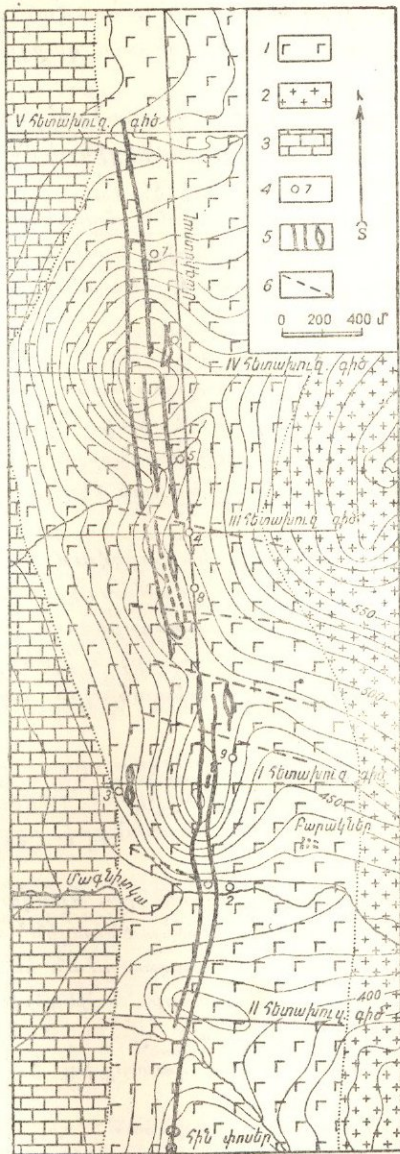
Կուսսայի հանքավայրը (Կուսայի մագնիսային երկաթաքարերը) հանգիստանում է ամենաուսումնասիրված խոշորագույն օբյեկտներից մեկը:

Հանքավայրը գտնվում է Ջլատոուստ քաղաքից 18 կմ դեպի հյուսիս (Հարավային Ուրալ):

Ըստ Ի. Ի. Մալիշևի և Ա. Վ. Պեկի (1934, 1936, 1937) շրջանը կազմված է գարբրոյի փոքր զանգվածից, որը միջին հաշվով 1 կմ լայնությամբ միջօրեականի ուղղությամբ ձգված է մի քանի կիլոմետր. արևելքից զանգվածին սահմանակցում են մինչքեմբրյան հասակի զրանիտո-գնեյսները, իսկ արևմուտքից՝ պալեոզոյան կրաքարերը (նկ. 5):

Հանքամարմինները տեղագրված են գարբրոյի զանգվածի մեջ և ներկայացված են բներով, ցանավոր հանքանյութերի գոտիներով ու երակաձև կուտակներով. վերջինները հարում են վրաշարժային տիպի ճեղքերին և ամենամեծ արժեքն են ներկայացնում:

Երակաձև կուտակները կազմում են երեք փոխադարձ գուգահեռ գոտիներ, որոնք ձգված են համարյա միջօրեականի ուղղությամբ և 45° անկյան տակ ընկնում են դեպի հարավ-արևելք: Երկու արևմտյան գոտիներն ըստ երկարության հետամըտված են 2,5 կմ, իսկ արևելյան գոտին ընդհատվում է և հետամտված է 1 կմ:



Նկ. 5. Կուսայի հանքավայրի գեոլոգիական քարտեզ

1—գաբրրո և աֆիբրոլիտներ, 2—զրանիտո-գնեյսներ, 3—կրաքարեր, 4—հորատանցքեր, 5—հանքային կուտակներ, 6—խախտումներ:

Հանքամարմինների կարողությունը համեմատաբար մեծ է և տատանվում է 1-ից մինչև 10 մ սահմաններում:

Հանքամարմինների զալրանդներում զարգացած են քլորիտ և գրանատ:

Հանքայնացումը լեռնային փոքրվածքներով հետամտված է մինչև 250 մ խորությունը, իսկ գեոֆիզիկական տվյալների համաձայն այն ձգվում է մինչև 800 մ:

Հանքանյութերը բաղկացած են մագնետիտից (60—70%) և իլմենիտից (20—30%) բուռնիտի, խալկոպիրիտի¹, քլորիտի, պիրոքսենի, պիրիտի, հեմատիտի և տեղ-տեղ քրոմիտի ու ապատիտի փոքր խառնուրդով:

Հանքանյութերը պարունակում են 50—57⁰/₀ Fe, 10—20⁰/₀ TiO₂, 1—2⁰/₀ Cr₂O₃, 0,12⁰/₀ S, ինչպես նաև V արժեքավոր խառնուրդի նկատելի քանակություն: Վանագիումը կապված է մագնետիտի հետ և սովորաբար է իրոմորֆ խառնուրդի, մասամբ էլ, հավանաբար, V պարունակող մագնետիտի (կուլտոնիտի) ձևով, որի կազմն է Fe(Fe,V)₂O₄:

Կոստայի հանքանյութերը ենթարկվում են մանրացման և մագնիսային սեպարացիայի, որի ժամանակ ստացվում է երկու կոնցենտրատ՝ մագնետիտային (օգտագործվում է որակյալ վանադիումային պողպատի ձուլման համար) և իլմենիտային (օգտագործվում է մետաղային Ti և տիտանային սպիտականերկերի արտադրություն մեջ):

Հանքավայրն ունի հիստերոմագնետիկ ծագում, առաջացել է բյուրեղացման վերջին ստադիաներում գարբուրոյի մագմայից հանքային հալոցքի անջատման հետևանքով, որը հարստացած է եղել Fe, Ti և V-ով:

Ըստ Ա. Վ. Պեկի պատկերացումների, երականման մարմինների առաջացումը կապված է միջհատիկային տիտանոմագնետիտային հանքային մագմայի արտամղման հետ, որը կատարվում է արտաքին դինամիկ ուժերի ազդեցությամբ՝ ուղղված դեպի ինտրուզիայի բյուրեղացած վերին մասի ճեղքերը: Այդ արտամղումը, ըստ երևույթի, կատարվել է սառչող ինտրու-

¹ Այս տիպի առանձին հանքավայրերում (Վոլկովյան և ուրիշներ) պղնձի սուլֆիդների դերն աճում է, շատ բնորոշ են բուռնիտ-խալկոպիրիտի արոհման ստրուկտուրաները: Ըստ Մ. Ա. Կաշինի, «Վոլկովյան տիպի» հանքանյութերը, որպես պղինձ-երկաթ-վանադիումային, ներկայացնում են կոմպլեքսային արդյունաբերական հետաքրքրություն:

զիսայի որոշ միջին զոնայից, որտեղ սիլիկատային միներալներն արդեն բյուրեղացած են եղել, իսկ նրանց միջև եղած տարածությունները լցված են եղել տիտանոմագնետիտային հալոցքով: Այն դեպքերում, երբ գինամիկ ներգործումը բացակայել է, ակներեկորեն առաջացել են ցանավոր հանքանյութերը, որոնք բնորոշվում են սիդերոսիտային ստրուկտուրայով:

Այսպիսի մեկնաբանության դեպքում մասսիվ հանքանյութերը գեպի խորքը պետք է բաժանվեն բարակ երակիկներին, որոնք կարող են փոխանցվել ցանավոր հանքանյութի զոնաներին, որպիսի երևույթը և հաճախ գիտվում է իրականության մեջ:

Այդ տեսակետից հասկանալի է դառնում նաև երակային հանքայնացման «բազմահարկ» լինելը: Դա արտահայտվում է նրանով, որ զգալի ուղղաձիգ շարքի սահմաններում (800 մ ավելի) գեպի խորքը մի շարք երակներ սեպածն վերանում են և փոխարինվում մյուսներով:

Հանքավայրն ունի զգալի պաշարներ:

Հարավ-Արևմտյան Տանգանիկայի նոտոքե 2րջանի հանքավայրերը: Հարավ-Արևմտյան Տանգանիկայի վերջերս հայտնաբերված տիտանոմագնետիտային խոշոր հանքավայրերը տարածականորեն և զենեալիորեն սերտ կերպով կապված են մինչքեմբրի կամ ստորին պալեոզոյի հասակի գաբրոոյի ինտրուզիայի հետ, որը ներգրվել է վարնետվածքի երկայնքով:

Հանքանյութերը տեղադրված են խոշորահատիկ գաբրոոների մեջ: Ըստ առաջացման ժամանակի և հանքամարմիններին ձևի առանձնացվում են՝

ա) ինտրուզիվ կուտակի հոսքին և շերտավորությանը զուգահեռ տիտանոմագնետիտի ներգաշնակ փոքր ոսպնյակներ ու ենթաշերտեր: Հանքանյութի ու գաբրոոյի կոնտակտները կտրուկ չեն, և հանքանյութերը գիտվում են որպես գաբրոոյի հետ միաժամանակյա՝ վաղմագմատիկ գոյացումներ: Հանքամարմիններին մասշտաբը փոքր է, և նրանք սովորաբար արդյունաբերական նշանակություն չունեն:

բ) Շտովածև և ոսպնյակածև աններգաշնակ հանքամարմիններ՝ հատող ու կտրուկ կոնտակտներով, հաճախ նրանք հարում են գաբրոոներին և պարունակող ապարներին կոնտակտներին կամ վերահսկման են ենթարկվում դուերիտային գայկաներ պարփա-

կող թուլացած զոնաների կողմից: Հանքամարմիններն ունեն
բավական զգալի մասշտաբ:

զ) Փոխանցիկ տիպի հանքավայրեր, որոնք օժտված են կ'
ներդաշնակ, կ' աններդաշնակ հանքավայրերի հատկանիշներով:
Այս տիպին է պատկանում ամենախոշոր արդյունաբերական օր-
յեկտը՝ Լիզանգան: Հանքամարմինն իրենից ներկայացնում է
մի խոշոր կուտակ, որը պարունակող անորթողիտների և լեյկո-
կրատ գաբրրոնների մեջ թեպետ տեղադրված է համարյա ներ-
գաշնակ, սակայն ձևավորվել է ավելի ուշ և կոնտակտներում
ուղեկցվում է անորթողիտների ու գաբրրոնների քլորիտացու-
մով և ուրալիտացումով: Հանքանյութը պարունակում է 49—
50% Fe, 12—13,7% TiO₂, 0,41% V₂O₅, ընդամենը 0,016% P₂O₅,
0,004% S:

Ամենախոշոր արդյունաբերական հանքամարմիններն են
աններդաշնակ և փոխանցիկ տիպի (Լիզանգա) հանքամարմին-
ները, որոնք զիտվում են որպես հիտաերոմագմատիկ գոյա-
ցումներ:

Շրջանի հանքավայրերի հանքանյութերի ընդհանուր պա-
շարները կազմում են 1,2 միլիարդ տոննա:

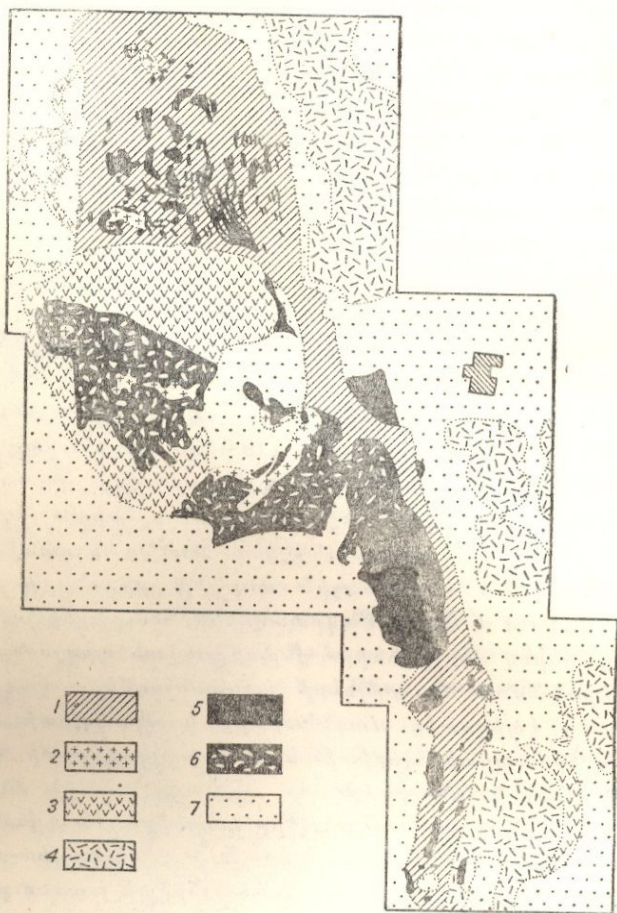
ՄԿԱՌՆԱՅԻՆ ՀԱՆՔԱՎԱՅՐԵՐ

Որպես երկաթի սկանոսյին կամ կոնտակտ-մետասոմատիկ
հանքավայրերի տիպիկ օրինակներ մենք կքննարկենք Բլադո-
դատ և Մագնիտնայա լեռների հանքավայրերը:

Բլադոդատ լեռ. հանքավայրը գտնվում է Հյուսիսա-
յին Ուրալում, Կուշվա քաղաքից 1 կմ դեպի արևելք, մորֆո-
լոգիայեստ արտահայտված է միջօրեականի ուղղությամբ ձգված
մի բարձրավանդակով, որի համեմատական բարձրությունը
կազմում է 150 մ:

Լեռան արևմտյան լանջը կազմված է էպիդոտացված պոր-
ֆիրիտներից և դիաբազներից (S₂+D₁), որոնք 25° անկյան տակ
ընկնում են դեպի հարավ-արևելք, Բլադոդատ լեռան կենտրոնա-
կան ու արևելյան մասերը կազմող միջին դեռնի հասակի թթու
էֆֆուզիվների, թերթաքարերի և կրաքարերի շերտախմբի տակ
(նկ. 6): Այդ շերտախմբերը ձեղքված են սիենիտային պորֆիր-
ների փոքր շտովներով ու գայկաներով, որոնք կապված են

հանքավայրից դեպի հարավ գտնվող սիենիտի խոշոր զանգվածի հետ: Սիենիտներն այստեղ դիտվում են որպես գարբրոյի մագմայի ածանցյալներ, մագմա, որը ներգրվել է հավանաբար միջին դեռնի վերջում:



Նկ. 6. Բլագոդատ լեռան գեոլոգիական քարտեզ
(ըստ Վ. Մ. Գերսիլի)

1—տուֆա-թերթաքարային շերտախմբի ապարներ, 2—սիենիտներ և սիենիտ-պորֆիրներ, 3—պորֆիրիտներ և նրանց հաշվին առաջացած էպիդոտ-գրանատային ապարներ, 4—հանքաբեր հաստվածքի հողմ-նահարված ապարներ, 5—մագնետիտային հանքանյութեր, 6—պլուտավոր հանքանյութեր, 7—բերվածքներ:

Հանքային կուտակները տեղագրված են գլխավորապես Բլազոդատ լեռան արևելյան լանջին և մորֆոլոգիապես ներկայացված են հանքամարմինների երկու տիպով՝ մագնետիտ պարունակող գրանատ-էպիդոտային սկառների շերտանման կուտակներով և մագնետիտ-գաշտաշպատային հանքանյութերի շտեկանման ու դայկանման մարմիններով:

Գլխավոր արդյունաբերական նշանակություն ունեն շերտանման սկառային կուտակները, որոնք ըստ տարածման հետամտված են 1,5 կմ, ըստ անկման՝ 700 մ: Նրանց միջին գումարային կարողությունը կազմում է 74 մ (մինչև 200 մ), իսկ առանձին կուտակների կարողությունը տատանվում է 5—7 մինչև 56 մ սահմաններում:

Միջին դեոնի կրաքարերի ենթաշերտերի հաշվին տեղակայման ճանապարհով առաջացած հանքային կուտակները հերթագայում են սովորաբար էպիդոտացված կերատոֆիրների, տուֆերի ու թերթաքարերի ենթաշերտերի հետ:

Ինչ վերաբերում է մագնետիտ-գաշտաշպատային, այսպես կոչված «պուտալոր» հանքանյութերին (մագնետիտի սև ֆոնի վրա առանձնանում են վարդագույն գաշտային շպատի ցաները), ապա նրանք սերտորեն կապված են սիենիտային պորֆիրների շտոկների ու դայկաների հետ, տալիս են աստիճանական անցումներ դեպի սիենիտային պորֆիրները, ներկայացնելով, ինչպես գտնում է Ս. Գ. Բագրատունին, հանքաքեր լուծույթներով և գազերով վերջիններիս վերամշակման արդյունք:

Շերտանման կուտակների հանքանյութերը կազմված են գրանատից, էպիդոտից, մագնետիտից և սկապուլիտի, քլորիտի, ալբիտի, հեմատիտի, պիրիտի, երբեմն խալկոպիրիտի ու սֆալերիտի աննշան խառնուրդից:

«Պուտալոր» հանքանյութերը կազմված են գլխավորապես մագնետիտից և օրթոկլազից, պիրոքսենի, սկապուլիտ-մարիալիտի (պարունակում է Na ու Cl) և պիրիտի խառնուրդով: Անհրաժեշտ է նշել, որ մագնետիտը զարգանում է տեղակայման եզանակով ըստ օրթոկլազի, որի քայքայված մնացորդները պահպանվում են մագնետիտային ագրեգատների միջև:

Այդ երկու տիպի հանքանյութերում երկաթի պարունակությունը տատանվում է լայն սահմաններում (25—63⁰/₀): Տարբերում են հետևյալ տեսակները՝ 1-ին տեսակ (Fe > 50⁰/₀), 2-րդ տեսակ (40—50⁰/₀ Fe), 3-րդ տեսակ (25—40⁰/₀ Fe). «պու-

տավոր» հանքանյութերը մտնում են գլխավորապես վերջին տեսակի մեջ:

Բացի դրանից, անջատվում է գլաքարային հանքանյութերի հատուկ տեսակ, որն առաջացել է հանքամարմինների արմատային ելքերի քայքայման հետևանքով:

Ըստ միներալոգիական կազմի, հանքանյութերի մեջ առանձնացնում են խոր հորիզոնների առաջնային մագնետիտային հանքանյութեր, որոնք գեպի վեր անցնում են կիսամարտիտային և մարտիտային օքսիդացած հանքանյութերի: Առաջնային հանքանյութերում S պարունակությունը հաճախ գերազանցում է $1^0/0$ -ից (սուլֆիդների, գլխավորապես պիրիտի խառնուրդի հաշվին), մարտիտային հանքանյութերում S պարունակությունը $0,1^0/0$ -ից ավելի չէ, և բնական է, որ մարտիտային հանքանյութերն առանձնապես բարձր են գնահատվում: P պարունակությունը բոլոր տիպերի հանքանյութերում բարձր չէ՝ $0,01—0,15^0/0$, երբեմն պարունակվում է նաև Cu (մինչև $0,8^0/0$):

Ըստ Ի. Ա. Ջիմինի, հանքային զանգվածը խախտված է հետհանքային խզվածքներով, որի հետևանքով հանքավայրի առանձին բլոկներ են թարկվել են ուղղաձիգ տեղաշարժերի: Հանքավայրերի հյուսիս-արևմտյան մասը հարավ-արևելյան մասի նկատմամբ բարձրացված է միջին հաշվով 140 մ:

Հյուսիս-արևմտյան մասում օքսիդացած հանքանյութերը շատ թույլ են զարգացած, որը, ըստ երևույթի, կապված է միկրոբեկտրային բարձրացումների երիտասարդ հասակի հետ:

Բլազոդատ լեռան հանքանյութերի ծագման վերաբերյալ գոյություն ունի երկու տեսակետ:

Կ. Ի. Բոգդանովիչը և Վ. Մ. Դերվիզը հանքավայրը համարում են փոխանցիկ տիպի՝ հիստերոմագմատիկից գեպի կոնտակտ-մետասոմատիկը: Ըստ Դերվիզի, սիենիտների ներդրումը և բյուրեղացումն ուղեկցվել են հանքային մագմայի անջատումով, որը «պուտավոր» հանքանյութերի շտոկների ու դայկաների ձևով ներարկվել է սուլֆո-թերթաքարային շերտախմբի մեջ: Մագմայի ցնդող կոմպոնենտների հաշվին կրաքարերի ենթաշերտերի երկայնությամբ առաջացել են հանքաքեր սկառնների կոնտակտ-մետասոմատիկ շերտանման մարմիններ: Երկաթը դուրս է բերվել $FeCl_2$ կամ $FeCl_3$ տիպի քլորիդների ձևով, ընդ որում Cl հանքանյութերում հանդես է եկել սկապոլիտ-մարիալիտի ձևով:

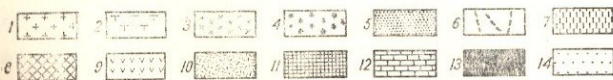
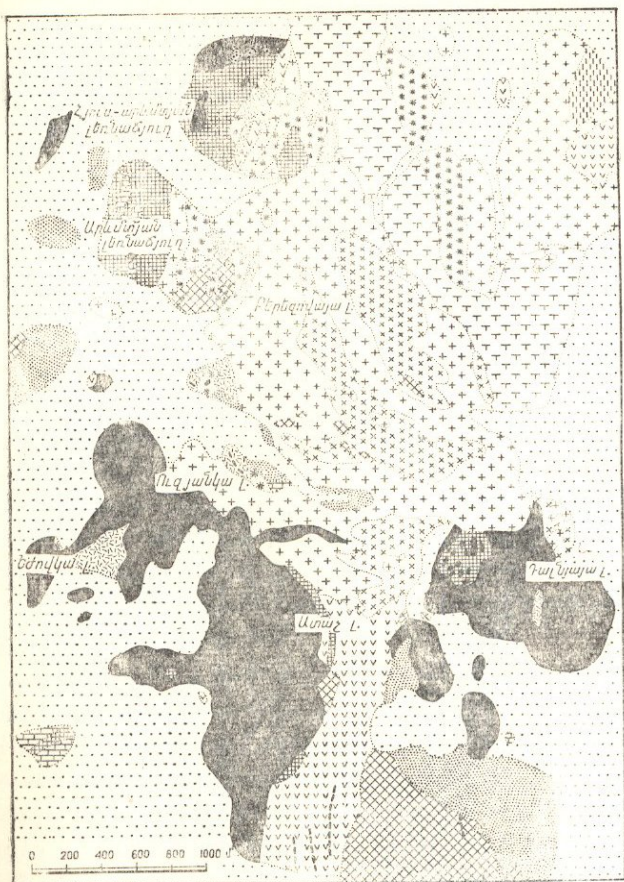
Ե. Գ. Բագրատունին, նշելով «պուտավոր» հանքանյութերի և սիենիտ-պորֆիրների դաշկանների կամ շտոկների միջև եղած սերտ կապն ու փոխադարձ անցումները, ինչպես նաև «պուտավոր» հանքանյութերում դաշտային շպտը մագնետիտով տեղակալելու երևույթի լայն զարգացումը, Բլազոդատ լեռան հանքավայրը համարում է ամբողջապես սկառնային: Նա գտնում է, որ հանքավայրն առաջացել է կոնտակտ-մետասոմատիկ ճանապարհով, ընդ սրում միևնույն հանքաբեր լուծույթները միաժամանակ կրաքարային ենթաշերտերը վերամշակել են գրանատ-էպիդոտային սկառները, իսկ սիենիտ-պորֆիրի դաշկաններն ու շտոկները՝ «պուտավոր» հանքանյութերի:

Երկրորդ տեսակետն ավելի լավ է հարմարվում վաստերի հետ և ավելի ընդունելի է:

Հանքավայրի պաշարները շատ զգալի են. նա մշակվում է 1735 թվականից (հայտնաբերված է 1728 թ.):

Մագնիտնայա լեռ. հանքավայրը գտնվում է Հարավային Ուրալում. նրա բազայի վրա նախորդ հնգամյակների տարիներին ստեղծվել են հզոր մետալուրգիական գործարաններ և աճել է մի նոր, մեծ քաղաք՝ Մագնիտոգորսկը:

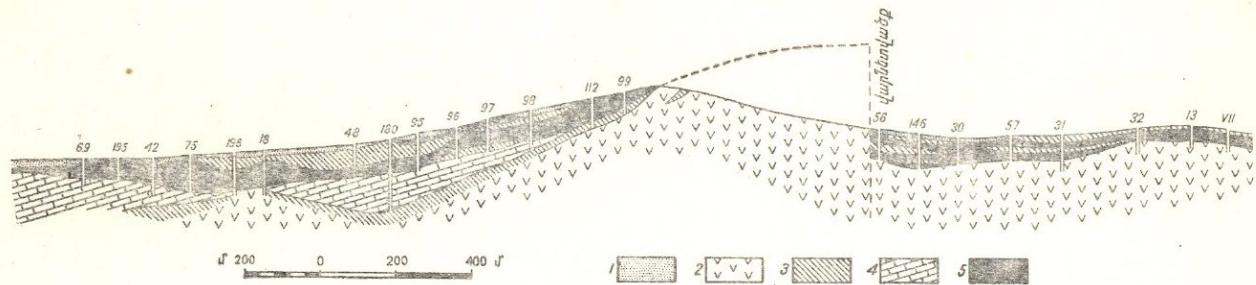
Հանքավայրի շրջանը կազմված է դեոնի և ստորին կարբոնի (?) տուֆո-նստվածքային շերտախմբից, յաշմաներից ու կրաքարերից, որոնք առաջացրել են երկու սինկլինային ծալք (նկ. նկ. 7, 8): Այդ շերտախումբը ձեղքված է Մագնիտնայա լեռան գագաթներն ու լանջերը կազմող հերցինյան հասակի զանազան ինտրուզիվ ապարներով (գրանիտներով, սիենիտներով, գրանոզիտներով, դիորիտներով և այլն): Նրա գագաթներից մեկը՝ Ատաչ լեռը, կազմված է պորֆիրիտների բրեկչիաներից և տուֆերից, որոնք գրանիտոիդների կոնտակտներում անցնում են անդալուզիտ, սիլիմանիտ ու կորդիերիտ պարունակող եղջրաքարացած ապարի՝ ստաչիտի: Ատաչիտը լայն զարգացած է նաև հանքավայրի շատ այլ տեղամասերում և կազմում է հանքամարմինների պսակած կողը: Կրաքարերը, որոնց կարողութունը կազմում է 100—200 մ, գրանիտոիդների կոնտակտներում համարյա լիովին վերամշակված են գրանատ-պիրոքսենային, էպիդոտ-գրանատային, փայլար-գրանատային և այլ տիպի սկառների, որոնց ենթակա են հոծ հանքանյութի տարբեր չափերի բներ, ոսպնյականման ու շերտանման կուտակներ և ցանավոր հանքանյութերի տեղամասեր:



Նկ. 7. Մագնիտոնայա լեռան գեոլոգիական քարտեզ
(ըստ Ա. Ն. Զավարիցկու)

1—զբանիտ, հորնբլենդային և պիրոքսենային, 2—սիենիտ և կվարցով աղքատ կարմիր զբանիտ, 3—զբանոգիորիտ, կվարց-գիորիտ, 4—ուրալիտային և ավզիտային դիորիտ, 5—ձիկրոզբանիտ, ֆելզիտ և նրանց բրեկչիաներ, 6—կլավարց-կերատոֆիրային երակներ, 7—կերատոֆիր, 8—երակային և ոչ մեծ կնտրուզիաների ավզիտային-ուրալիտային դիորիտ, 6—օլիգոկլազային և ուրալիտ-լարրագորիտային պորֆիրիտ, 10—դիորիտներ և պորֆիրիտներ, կոնտակտում մասամբ փոփոխված եղջրաքարերի, 11—զբանատային ապաքաներ և այլ սկաններ, 12—ստորին կարբոնի կրաքարեր և մարմարներ, 13—արմատական և բեկորային հանքանյութ, 14—էլյուվի, ալլուվի, դելյուվի:
(Քարտեզը որոշ չափով պարզեցված է)

4—Մետաղային հանքավայրեր



Նկ. 8. Մագնիսոնայա լեռ հանքավայրի գեոլոգիական կտրվածք
 (ըստ Ա. Ն. Զավարիցկու)
 1—բերվածքներ, 2—ատաչիտ և պարֆիրիտ, 3—սկառնային ապարներ, 4—ժարժար,
 5—հանքանյութ:

Մինչև 60—70 մ կարողութուն ունեցող գլխավոր կուտակը, որը գուրս է գալիս մակերես արևմուտքում՝ Առաջ, Ուզյանկա ու Եժովկա լեռների, և արևելքում՝ Գալնյայա լեռան շրջանում, 10 մետր բարձրութուն ունեցող ելուստներով մշակվում է 3000 մ տարածության վրա:

Հանքանյութը կազմված է մագնետիտից, սիանի սիլիկատներից, ոչ մեծ քանակության հեմատիտից, պիրիտից և հազվադեպ խալկոպիրիտից, սֆալերիտից, գալենիտից, արսենոպիրիտից: Օքսիդացման զոնայում (մակերեսից մինչև 40—50 մ խորությունը) լայնորեն զարգացած է մարտիտը, իսկ սուլֆիդները տարավազվել են:

Fe պարունակութունն արդյունարերական հանքանյութերում տատանվում է 25—67⁰/₀-ի սահմաններում, S-ը առաջնային մագնետիտային հանքանյութում կազմում է 2—3⁰/₀, մարտիտայինում՝ մինչև 0,1⁰/₀, P-ը՝ 0,01—0,07⁰/₀: Ըստ Fe պարունակության առանձնացնում են՝ 1-ին տեսակի (Fe 52⁰/₀ և ավելի) և 2-րդ տեսակի (Fe 25—52⁰/₀) հանքանյութ, բացի գրանից, ինչպես Բլագոդատ լեռան հանքավայրում, այստեղ նույնպես առանձնացնում են գլաքարային հանքանյութերի տեսակ:

Հանքավայրը մանրամասնորեն ուսումնասիրել է Ա. Ն. Չավարիցկին (1923—1927), որը ցույց է ավել, որ լամպրոֆիրների (գիրոլիտների ու պորֆիրիտների) դաշկաները՝ մետաղաբեր գրանիտոիդների ածանցյալները, սկաննացած են, իսկ ապլիտները դաշկաները թարմ են և հատում են սկաննային կուտակները: Այստեղից եզրակացություն է արված սկաննառաջացման և լրիվ գիֆերենցված կազմի դաշկաների ներդրման ժամանակի համընկնելու մասին: Հանքայնացումը կապված է գրանիտոիդային օջախից երկաթի հալոիդների ցնդող միացությունների կամ երկաթի թերօքսիդի գուրս բերվելու հետ, ընդ որում կոնտակտային զոնայում մագնետիտն առաջանում է հետևյալ սխեմայով՝

$$3\text{FeO} + \text{CO}_2 = \text{Fe}_3\text{O}_4 + \text{CO}:$$

Հանքայնացումը պատկանում է կոնտակտ-մետասոմատիկ հանքավայրերի տիպին:

Հանքավայրի պաշարները նրա շահագործման նախօրեին կազմում էին շատ մեծ թիվ:

ՀԻՊԻՐՈԹԵՐՄԱԼ ՀԱՆՔԱՎԱՅՐԵՐ

Հիպոթերմալ հանքավայրերի բնորոշ օրինակներ են հանքիսանում բարձր ջերմաստիճանային մագնետիտային հանքավայրերի Անգարա-Իլիմի խումբը և սիդերիտային հանքանյութերի միջին ջերմաստիճանային Բակալի, Յավորիկի ու Զիգերլանդի հանքավայրերը:

Հանքավայրերի Անգարա-Իլիմի խումբը գրանցվում է Անգարա գետի և նրա վտակի՝ Իլիմ գետի ավազաններում:

Շրջանում լայն տարածված են ստորին սիլուրի նստվածքները, որոնք ներքևում ներկայացված են կրաքարերով ու դոլոմիտներով (Իլիմ գետի ավազանում), իսկ վերևում՝ ավազաքարերով, կավերով, մերգելներով (Անգարա գետի ավազանում): Ստորին սիլուրի շերտախումբն առաջացրել է փոքրաթեք ծալքեր և ծածկված է պերմի-կարբոնի ածխաբեր ավազաթերթաքարային շերտախմբով՝ տունգուսյան ենթաշերտախմբով: Տունգուսյան ենթաշերտախմբի նստեցումն ուղեկցվել է տրապպների խտրուկիվ կուտակների, շերտաձև երակների ու շտոկների արտավիժումներով և ներդրումով, տրապպները ներկայացված են դարբրոներով և գիաբազներով: Որոշ շտոկներ հասնում են խոշոր չափերի՝ ավելի քան 1 կմ ընդլայնական կտրվածքով:

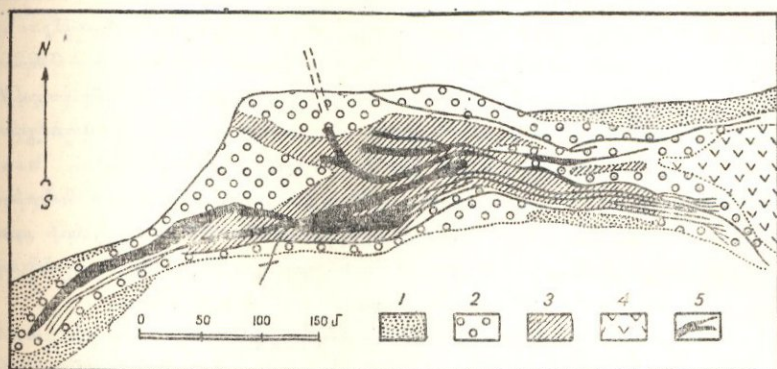
Հանքայնացումը տարածականորեն և զենեախորեն սերտ կերպով կապված է տրապպների հետ, հանքամարմինները տեղադրված են տրապպների, մասամբ ստորին սիլուրի ապարների, ինչպես նաև տունգուսյան ենթաշերտախմբի ավազաքարերի և թերթաքարերի մեջ (նկ. 9):

Հանքավայրերի ստրուկտուրայում կարևոր դեր են կատարում հրաբխային խողովակները, որոնք լցված են տուֆային նյութով և լայնակի տեկտոնական դոնաները: Հայնակի ճեղքերի երկայնքով տեղադրված են հանքային երակները, իսկ հրաբխային խողովակների սահմաններում տեղայնացված է մետասոմատիկ (բրեկչիանման և ցանավոր) հանքայնացումը:

Հանքամարմինների համար բնորոշ է երակային ձևը, երակները հաճախ ճյուղավորված են, ըստ տարածման հետամտվում են հյուսիս-արևմտյան և լայնակի ուղղություններով հարյուրավոր մետրեր (մինչև 2—3 կմ): Նրանց կարողությունը տատանվում է մի քանի սանտիմետրից մինչև 5—6 մ, իսկ մի

շարք գլխավոր երակների համար՝ մինչև 20—30 մ (մի դեպքում 50—60 մ). երակները 55—80° զառիթափ անկումով հեռամբա-
ված են մինչև 500 մ խորությունը:

Երակների կառուցվածքը սովորաբար սանրածև է, հաճախ զարգացած են զրուզային տեքստուրաներ: Երակների հետ մեկ-



Նկ. 9. Կրասնոյարսկի հանքավայրի գեոլոգիական բարտեզ (ըստ Ե. Ն. Գուսկինայի)

1—ավազաքարեր, 2—զրանատացած ապարներ, 3—հանքայնացած բրեկչիաներ, 4—տրապպներ, 5—հանքային երակներ:

տեղ, սակայն բավականաչափ հազվագեղ (Կորչունովյան հանքավայր) հանդիպում են մինչև 100 մ կարողություն ունեցող շտեկներ և շտեկվերկային զոնաներ:

Հանքամարմինները կազմված են գլխավորապես (90—95%) մագնետիտից և հեմատիտից, որոնց սրոշ չափով խառնվում են կալցիտ, քլորիտ, քլոր-ապատիտ, պիրիտ և խալկոպիրիտ: Մի շարք հանքային երակներ ուղեկցվում են մինչև 40 մ կարողություն ունեցող ցանավոր հանքայնացման զոնաներով:

Հանքավայրի մագնետիտն ունի յուրահատուկ կառուցվածք ու բաղադրություն: Բնորոշ են կեղևածև (օօլիտանման) անջատումները¹ ցեմենտացված խառնուրդների ձևով հանդես եկող միներալներով: Մագնետիտը ներկայացված է մագնեզիոֆերրի-

¹ Ա. Ն. Զավարիցկին ենթադրություն է արել այն մասին, որ այս խմբի հանքավայրերի այսպես կոչվող «օօլիտային» մագնետիտային հանքանյութերն առաջացել են Կարլովի Վարայի «Միսեոային քար» տիպի արագոնիտային առաջացումները մագնետիտով տեղակալելու հաշվին:

տով և պարունակում է 18—23⁰/₀ FeO (այն դեպքում, երբ նորման կազմում է 31⁰/₀ FeO) և 5—8⁰/₀ MgO:

Կոպային ապարների հանքամերձ փոփոխություններն արտահայտված են ամենուրեք, հատկապես պարզորոշ՝ սկսածնացած կարբոնատային ապարներում (զարգանում են գրանատ, գիսպսիդ, վոլլաստոնիտ, սերպենտին, քլորիտ և այլն):

Հանքանյութերի որակը բարձր է՝ Fe պարունակությունը մասսիվ հանքանյութերում կազմում է 48—60⁰/₀, S—0,02—0,48⁰/₀, P—0,1⁰/₀, որը տեղ-տեղ ապատիտի խառնուրդի հաշվին բարձրանում է մինչև 0,8—1⁰/₀: Հեշտությամբ հարստացվող ցանավոր հանքանյութերում Fe կազմում է 27—36⁰/₀:

Ներկայումս տվյալ խմբի հանքավայրերն ուսումնասիրվում և մանրամասնորեն հետախուզվում են: Ամբողջ խմբի պաշարները զգալի են, հատկապես հեռաքրքրական են Կորչունովսկի, Լուգնոգորսկի և Կրասնոյարսկի հանքավայրերը:

Հանքավայրերը դասվում են փոքր խորությունների բարձր ջերմաստիճանային գոյացումների շարքը: Բարձր ջերմության մասին վկայում է հանքանյութերի կազմը (մագնետիտ) և հատկապես կոպային ապարների փոփոխման ընույթը (սկսածնացում): Փոքր խորություններում ձևավորվելու մասին վկայում են հեռեկայ տվյալները՝ հանքանյութերի տեղագրումը արտավիժած ապարներին՝ տրապպների մեջ, որոնց արմատային մասերի հետ գեներտիկորեն կապված են հանքանյութերը, երակների սանրածև և դրուզային տեքստուրաները, մագնետիտի կեղևածև կաուցվածքը:

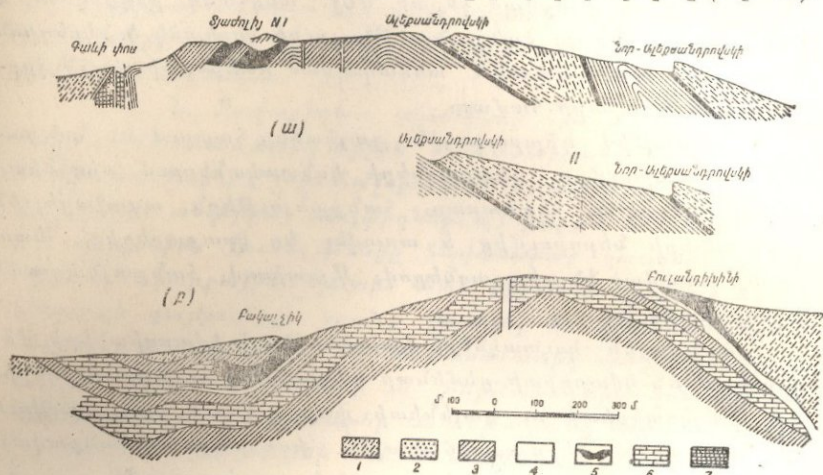
Սանրածև մագնետիտային հանքանյութերը, որոնք ներկայացված են մինչև 3,5 սմ երկարության մագնետիտի ձողածև բյուրեղների ագրեգատով, ըստ Օ. Մ. Դեգտյարևի և Լ. Մ. Պլոտնիկովի կարծիքի, առաջացել են արագոնիտի տեղակալման ճանապարհով և ոչնչով չեն տարբերվում հանքավայրի շրջակայքում տարածված արագոնիտի բյուրեղների և ագրեգատների տեսքից:

Ըստ Ս. Ս. Մմիրնովի (1932), գեներտիկական կապը տրապպների հետ ապացուցվում է հանքանյութերում և հանքամերձ փոփոխությունների նյութերում սիլիկատների ունեցած աննշան գերով, երկաթի, մագնեզիումի ու կալցիումի հսկայական ներմուծումով, ինչպես նաև հանքայնացման ընդհանուր գեոլոգիական միջավայրով:

Երկաթը, հալանարար, ներմուծվել է քլորային միացու-
թյունների ձևով. բազալտային մագմայի կողմից քլորը կարող
էր փոխանակել տրապպային ֆորմացիայով ձեղքված քեմրրիի
խայտարդեա աղաբեր նստվածքներից:

Բակալի հանքավայրը գտնվում է Հարավային Ու-
րալում, Ջլատոուստ քաղաքից 65 կմ դեպի հարավ-արևմուտք:

Շրջանը կազմված է քեմրրիի հասակի կվարցիտների, թերթա-
քարերի և դոլոմիտների (սարոմատոլիտների խմբի ջրմուռների
մնացորդներով) բակալի ենթաշերտախմբից, որը ձեղքվել է դիա-
բազների դայկաներով և առաջացրել հյուսիս-արևելյան տարա-
ձուս ունեցող մի շարք ծալքեր, որոնց առանցքներն ընդհան-
րապես խորասուզվում են դեպի հարավ-արևմուտք: Բուլանդի-
խա, Շուլդա և Իրկուսկան լեռները կազմող երեք անտիկլինա-
լային ծալքերը ներկայացված են ոչ-բարձր թմբերով (նկ. 10):



Նկ. 10. Իրկուսկան (ա) և Բուլանդիխա (բ) լեռներով կազմված
կտրվածքներ

- 1—կվարցիտներ, 2—կոնգլոմերատներ, 3—թերթաքարեր, 4—դիաբազի
երակներ, 5—գորշ երկաթաքար, 6—կրաքար, 7—սիդերիտ:

Հանքամարմինները ներկայացված են շերտանման կու-
տակներով, որոնք սլարփակված են կարբոնատային ապարների
մի քանի հորիզոններում և մեծ մասամբ ձգտում են հանքայ-
նացումը վերահսկող վարնետվածքային խախտումներին:

Հանքայնացումը ձգվում է միջօրեականի ուղղության վար-

Նեափածքների երկայնքով և հանքամարմինները պարունակում են չտեղակալված ապարների առանձին բլոկներ. հանքամարմինները տեղ-տեղ երականման են և շատ բարդ ձև ունեն, որը պայմանավորված է ձեղքերի սխառեմի երկայնությամբ տեղի ունեցած տեղակալումով, ձեղքեր, որոնցով շրջանառություն են կատարել լուծույթները: Հանքայնացումը հաճախ բնագատվող է՝ բնային:

Ըստ Ա. Ն. Զավարիցկու (1939), հանքավայրում երկաթի հանքանյութերը ոչ մի տեղ անընդհատ շերտ չեն առաջացնում, այլ իրենցից ներկայացնում են անկանոն ուրվագծեր և ծուռումուռ սահմաններ ունեցող բներ ու տեղամասեր, որոնք համարյա միշտ անցնում են շերտի լայնակի ուղղությամբ:

Հանքանյութերի մեջ պահպանվում են գիարազի գալիաներով հատված դոլոմիտների տեղամասեր (բլոկներ):

Հանքայնացումը կենտրոնացված է գլխավորապես կրաքարի վերին դոլոմիտացված շերտի մեջ, տեղ-տեղ բնդգրկում է նաև ստորին շերտը: Հանքանյութն ունի կեղևաձև կոնկրեցիոն անջատում, որը հատուկ է տեղակալված ստերեոֆիտային ջրմուռային կրաքարի համար:

Բաղմաթիվ գիարազային գալիաներ հատում են հանքաբեր շերտախումբը. գիարազների կոնտակտներում սիդերիտը փոփոխված չէ և, հետևաբար, հանքանյութերն առաջացել են գիարազների ներգրումից և առավել ևս կրաքարերից հետո, որոնք հատված են գիարազներով: Այսպիսով, հանքայնացումն էպիգենետիկ է:

Հանքային կուտակների կախված կողի կվարցիտների մեջ գիտվում են կվարցիտի ցեմենտը տեղակալող սիդերիտի, պիրիտի, խալկոպիրիտի ու գալենիտի փոքր բներ և ցան. գիտվում են նաև միջին ջերմաստիճանային հիդրոթերմալ հանքավայրերի համար բնորոշ սերիցիտացում և քլորիտացում:

Ըստ տարածման հանքամարմինները հետամտվում են 100-ից մինչև 1800 մ, ըստ անկման՝ մինչև 400 մ. նրանց կարողությունը տատանվում է 3—5 մինչև 75 մ սահմաններում, միջին կարողությունը սովորաբար կազմում է 20—40 մ:

Մինչև 100 մ խորությունը հանքանյութերը ներկայացված են լիմոնիտով և տուրչիտով, ավելի ցած՝ առաջնային սիդերիտային հանքանյութերով, որոնք պարունակում են կվարցի, պիրիտի, խալկոպիրիտի, գալենիտի, բարիտի և երկաթի փայլի խառնուրդ: Դիտվում են սիդերիտային հանքանյութերի աստիճանական անցումներ գեպի սիդերիտացված դոլոմիտները, դոլո-

միտացված կրաքարերը և կրաքարերը: Միզերիտային հանքանյութերը պարունակում են 20—40⁰/₀, միջին հաշվով 33—35⁰/₀ Fe, 0,05—0,1⁰/₀ P, 0,2—1,7⁰/₀S, 1—3⁰/₀Mn:

Օքսիդացած հանքանյութերը պարունակում են 30—60⁰/₀ Fe, տոկոսի հարյուրերորդական մասեր S և P, մի քանի տոկոս Mn. ամենամեծ արժեքն են ներկայացնում հատկապես օքսիդացած հանքանյութերը, և արդի հանույթի երեք քառորդը հիմնըվում է գրանց վրա, սակայն պաշարների հիմնական մասը բաժին է բնկնում սիզերիտային հանքանյութերին:

Ամենաարժեքավորն են տուրյիտային հանքանյութերը, որոնց մեջ առանձնացվում են երկու տարբերակ՝ մատիտային (карандашова) հանքանյութ, կապակցված, ավելի ամուր, ծակոտկեն, կարմրագորշ գույնի, կարմրագորշ խազով և սև հանքանյութ (чернотал), փխրուն, հողային կազմությամբ, դարչնագույն գորշ և համարյա սև—դարչնագույն գորշ խազով:

Հանքավայրի գենեզիսի հարցում գոյություն ունի երկու հիմնական տեսակետ.

1. Ա. Ն. Ջավախիցիու տեսակետի համաձայն նա հիզրոթերմալ մետասոմատիկ միջին ջերմաստիճանային հանքավայր է, որն առաջացել է չորս հաջորդական ստադիայով՝ ա) սիզերիտ, բ) կվարց, անկերիտ, սուլֆիդներ, գ) բարիտ և երկաթի փայլ, դ) արագոնիտ: Լուծույթները հավանաբար կապված են այն միևնույն խորքային օջախի հետ, որի հետ կապված են նաև դիարազի գոյաները. նրանք շարժվել են վարնետովածքային ճեղքերով և առաջացրել են մետասոմատիկ հանքամարմիններ կարրոնատային ապարների և թերթաքարերի կոնտակտների երկայնքով, որոնք կատարել են անթափանց էկրանների դեր:

2. Գ. Վ. Նալիվկինի և Ա. Ն. Մալախովի տեսակետի համաձայն հանքավայրը նստվածքային ծագում ունի և առաջացել է հետեյալ ձևով. Բակալի յագունայի հատակին կուտակվել են երկաթի կարրոնատների քիմիական նստվածքները կամ ծովի ջրերի երկաթային միացությունների ազդեցության տակ խիստ փոփոխման է ենթարկվել կրաքարային տիղմը: Կվարցի և սուլֆիդների երակիկների ձևավորումը կապվում է հանքավայրի հետագա մետամորֆիզմի հետ:

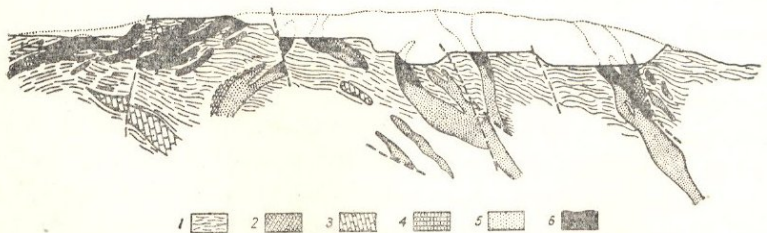
Հանքանյութերի հիզրոթերմալ ծագման օգտին խոսող գըլխավոր փաստերն են հանդիսանում՝ հանքամարմինների հարումը վարնետովածքներին, այսինքն, հանքայնացման ստրուկտու-

րային վերահսկումը, հանքանյութի մեջ դոլոմիտային կրաքարերի տեքստուրայի հիմնական գծերի պահպանումը, կրաքարեր, որոնք պարունակում են սիդերիտի պակասորժոգները քստ ջրամուսների, հանքանյութի և կրաքարերի կոնտակտի ծուռումուռ բնույթը, չտեղակալված դոլոմիտային կրաքարի բեկորների առկայությունը հանքանյութերի մեջ, հանքանյութում P ցածրը և S բարձր պարունակությունը,

նստվածքային գեներզիսը Ա. Ե. Մալախովը հիմնավորում է սիդերիտային հանքանյութերի շերտային ձևով և նրանց հերթագայությունները դոլոմիտների, հազվադեպ կվարցիտների հետ, շերտերի կտրվածքում բյուրեղային մագնեզիտի առկայությամբ (որը նույնպես գիտվում է որպես նստվածքային առաջացում), սիդերիտների զգալի տարածումով, այդ թվում նաև դեպրեսիաներում:

Ընդունելով, որ Բակալի հանքավայրի առաջացման պայմանների հարցը դեռ մնում է վիճարկելի, այնուամենայնիվ մենք գտնում ենք, որ հանքանյութերի հիդրոթերմալ մետասոմատիկ գեներզիսի մասին եզած տեսակետն ավելի է հիմնավորված:

Հանքավայրի մասշտաբը զգալի է, հանքանյութերի որակը (հատկապես տուրյիտային), շատ բարձր է, և նրանք ինտենսիվորեն մշակվում են:



Նկ. 11. Յավորիկ հանքավայրի գեոլոգիական կտրվածք

- 1—թերթաքարեր, ավազաքարեր, 2—հանքայնացած թերթաքարեր, 3—կրաքարեր, 4—հանքայնացած կրաքարեր, 5—սիդերիտ, 6—լիմոնիտ:

Յավորիկ. հանքավայրը գտնվում է Արևմտյան Բոսնիայում (Հարավսլավիա), հարում է կրաքարային ոսպնյակներ պարունակող վերին կարբոնի ավազաքարա-թերթաքարային շերտախմբին (Նկ. 11):

Հանքամարմինները ձևն անկանոն է՝ ոսպնյակաձև, շտտկաձև, երբեմն երակաձև. դարդանում են մետասոմատիկ կերպով, ըստ կրաքարերի և վերահսկվում են խախտման զոնաներով: Հանքամարմինների երկարությունն ըստ տարածման հասնում է մինչև 700 մ, կարողությունը՝ մինչև 35 մ և ըստ անկման նրանք հետամտված են 300—350 մ: Նրանց կոնտակտները պարունակող ապարների հետ տեղ-տեղ կտրուկ են, և կրաքարերն առանց փոխանցիկ զոնայի տեղակալված են սիդերիտով. այլ դեպքերում կոնտակտային զոնան լայն է և ներկայացված է զսլոմիտով ու անկերիտով:

Առաջնային հանքանյութը սիդերիտային է, պիրիտի, գալենիտի, սֆալերիտի, խալկոպիրիտի և բարիտի խառնուրդով. սուլֆիդները և բարիտը միշտ սիդերիտից ավելի երիտասարդ են: Դիտվում է խալկոպիրիտի էմուլսիոն տրոհում սֆալերիտի դաշտերի ներսում: Մերձմակերեսային զոնայում սիդերիտն օքսիդացած է լիմոնիտի, ընդ որում ճեղքերի երկայնքով օքսիդացումը շատ խորն է թափանցում:

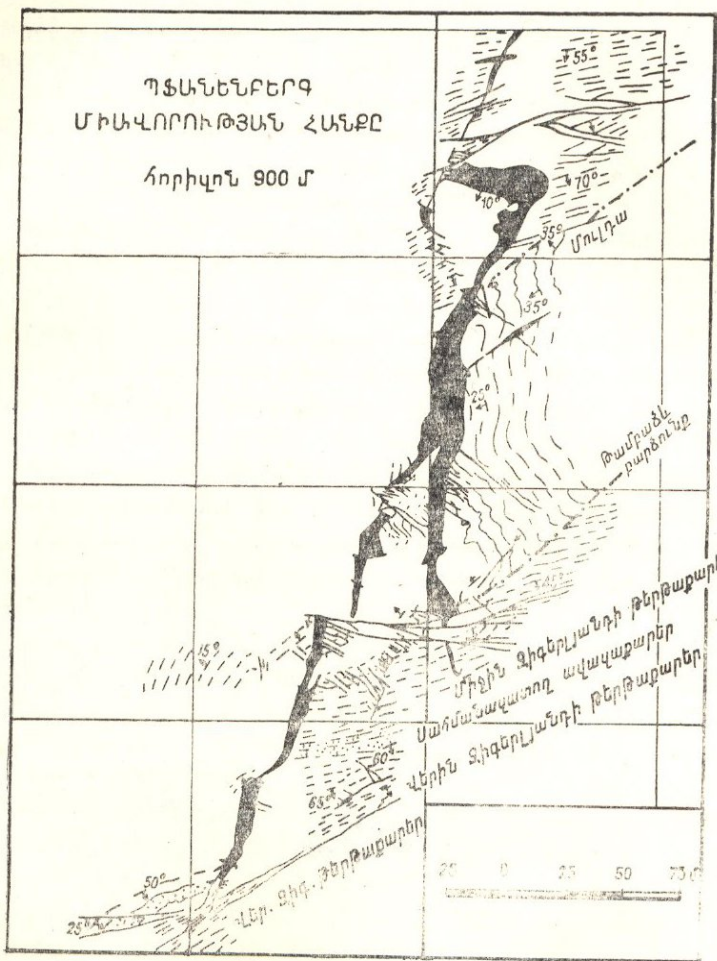
Հանքանյութերը, հատկապես լիմոնիտայինը, շատ բարձրորակ են. նրանք պարունակում են 53,20% Fe, մոտ 2% Mn, 0,04% P, 0,03% S, 0,13% Pb. սիդերիտային հանքանյութերը պարունակում են մինչև 42% Fe, 1,8% Mn, 0,24% և ավելի S:

Հանքավայրը միջին ջերմաստիճանային է, հիդրոթերմալ մետասոմատիկ տիպի: Հանքայնացման մայր աղբյուրը հայտնի չէ (Symposium sur les gisements de fer du monde, 1952):

Զիգերլանդ հանքավայրը գտնվում է Արևմտյան Գերմանիայում (Հարավային Վեստֆալիա), մշակվում է 2000 տարուց ի վեր:

Շրջանը կազմված է ստորին դեոնի ավազաքարերից ու թերթաքարերից և ստորին ու միջին դեոնի կերատոֆիրներից ու դիարազներից, որոնք հատված են վերին դեոնի հասակի բազմաթիվ դիարազային դայկաններով:

Հանքամարմինները ներկայացված են զտիթալի երակներով և գլխավորապես տեղադրված են ստորին դեոնի թերթաքարերում (նկ. 12): Երակները հաճախ համրիչաձև են, ըստ տարածման հետամտվում են մինչև 2 կմ, նրանց կարողությունը տատանվում է 1-ից մինչև 20—30 մ: Հայտնի են նաև ոչ մեծ (100 × 30մ) շտտկներ: Լեռնային փորվածքներով հանքայնացումը հետամտված է մինչև 800—1100մ խորությունը:



Նկ. 12. Ջիգերլանդ հանքավայրի հանքային երակների հարթագիծը (ըստ Տիեհնաուգի)

Գլխավոր հանքային միներալն է փոքր-ինչ անսովոր բազալթոլիթյան սիդերիտը (85% FeCO_3 , $8-9\%$ MnCO_3 , $6-7\%$ $[\text{Mg}, \text{Ca}] \text{CO}_3$), որին խառնվում են կվարց, «կարմիր սիդերիտ» (նուրբ դիսպերսային Fe_2O_3 -ով ներծծված սիդերիտ), հեմատիտ, սուլֆիդներ: «կարմիր սիդերիտը» և հեմատիտն առաջացել են հանքայնացման ավելի ուշ ստադիաներում, և, ակներևորեն, լու-

ծույթներում թթվածնի կոնցենտրացիայի բարձրացման կապակցությամբ:

Հանքային երակների և վերին դեռնի հասակի նրանց հատող դիաբազային դայկաների կոնտակտներում սիդերիտն անցնում է մագնետիտի, մի փաստ, ըստ որի հանքայնացման հասակը որոշակիորեն սահմանվում է որպես մինչվերինդեռնյան:

Սիդերիտային հանքայնացման վրա տեղ-տեղ վերադրվել ու տեղակալում է այն ավելի երիտասարդ հանքայնացումը, որը ներկայացված է կոբալտի ու նիկելի արսենիդներով, գալենիտով, սֆալերիտով, բոռնիտով, ստիրնիտով, մարկազիտով, որոնց երակները հանդիպում են նաև շրջանի կարբոնի հասակի ապարներում:

Զիդերլանդի հանքավայրի հանքանյութերը պարունակում են՝ $30-37\%$ Fe, $5,7-7,5\%$ Mn (արժեքավոր խառնուրդ), $0,01-0,03\%$ P և սովորաբար տակոսի տասներորդական մասեր S:

Հանքանյութի պաշարները ներկայումս կազմում են ընդամենը 30 միլիոն տոննա. նրա տարեկան արդյունահանումը կազմում է 1—1,5 միլիոն տոննա: Հանքավայրը պատկանում է երակային հիդրոթերմալ, միջին ջերմաստիճանային տիպին և կապվում է էրոզիայով չմերկացված խորքային մագմատիկ օջախի հետ (Symposium sur les gisements de fer du monde, 1952):

ՄՆԱՅՈՐԳԱՅԻՆ ԵՎ ԻՆՖԻՆԻՏԻՄԱԿԱՆ ՀԱՆՔԱՎԱՅՐԵՐ

Հատերիտային հողմնահարման տիպի մնացորդային հանքավայրերի օրինակներ են հանդիսանում Ելիզավետինսկի հանքավայրը Միջին Ուրալում և Կուրա կղզու հանքավայրերը, իսկ ինֆիլտրացիոն հանքավայրերի օրինակ՝ Ալապակսկը Միջին Ուրալում:

Ելիզավետինսկի հանքավայրը գտնվում է Սվերդլովսկ քաղաքից 12 կմ դեպի հարավ: Հանքավայրի հանքանյութերն իրենցից ներկայացնում են գորշ երկաթաքարեր՝ նիկելով, կոբալտով և քրոմով լեգիրված:

Շրջանում զարգացած է հիմքային և ուլտրահիմքային ապարների մի կոմպլեքս, որի մեջ գոռնիտային զանգվածները շրջապատված են պերիդոտիտների, օլիվինային պիրոքսենիտ-

ների և զարբերոսների կոնցենտրիկ զոնաներով („Материалы по металлогении Южного Урала“, 1941):

Հանքավայրը հարուստ է Ուկրաինայի լեռների կենտրոնական դուրիտային զանգվածին և ներկայացված է երեք գլխավոր հանքային կուտակով, որոնք ձգված են միջօրեականի ուղղությամբ և մեծ տարածություններ են զբաղում: Կուտակները շերտանման են, նրանք տեղադրված են դուրիտների անհարթ մակերեսի վրա: Հանքամարմինների կարողությունը տատանվում է 0,5 միլն չև 60—70 մ սահմաններում:

Կտրվածքը վերից վար հեռանալն է՝

1) էլլուվիալ-դելյուվիալ նստվածքներ միլն չև 10 մ կարողությամբ:

2) Փոշենման հանքանյութեր կամ օլսրանների զոնա, պինդ կայծքարային հանքանյութերի տեղամասերով հորիզոնի ստորին մասում: Կարողությունը 0,5—30 մ և ավելի:

3) Դուրիտի քայքայման զոնա, որը ներկայացված է կարրոնատացված և մասնակիորեն նստրոնիտացված դուրիտով: Կարողությունը միլն չև 4 մ:

4) Մերպենտինացված դուրիտ:

Փոշենման հանքանյութերը ներկայացված են գլոբիտով և հիդրոգլոբիտով, որոնք առաջացնում են պսեդոմորֆոզներ ըստ օլիվինի ու սերպենտինի, պահպանելով դուրիտի տեքստուրային և ստրուկտուրային առանձնահատկությունները: Փոքր քանակությամբ կան մանգանի հիդրօքսիդներ, երկրորդային փոշենման մագնետիտ, քրոմչալինելիդ, ասբոլան, կվարց, կարբոնատներ:

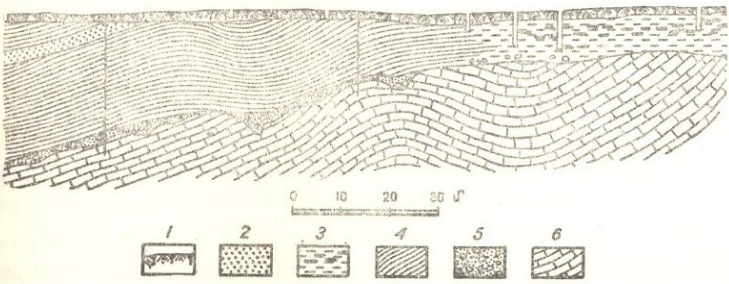
Ըստ առաջացման պայմանների հանքավայրը պատկանում է մնացորդային տիպին, որը կապված է դուրիտների հին յուրայի հասակի հողմնահարման կեղևի հետ: Հանքավայրի, ինչպես գորշ երկաթաքարերի, այնպես էլ կոբալտի (ասբոլանային հանքանյութեր) պաշարները զգալի են:

Կուբա կղզու հանքավայրերը հանդիսանում են երկաթային հանքանյութերի խոշորագույն կուտակումներ, որոնք կապված են ուլտրահիմքային ապարների զանգվածների լատերիտային հողմնահարման հետ: 5-ից միլն չև 25 մ կարողության լատերիտային ծածկոցը զբաղում է 150 կմ² ընդհանուր մակերես և ընդհատումներով հետամտվում է տասնյակ կիլոմետրեր:

Հանքանյութերը ներկայացված են հողախառն էլլուվիայով, որը կազմված է երկաթի հիդրօքսիդներից, հեմատիտից, սեր-

պենտինիտի մնացորդներից՝ քրոմիտի հատիկների, նիկելի սի-
լիկատների և տեղ-տեղ ապրուանի խառնուրդով: Հանքանյութերը
պարունակում են 40—50% Fe, մինչև 4% Cr₂O₃ (միջին հաշ-
վով 1,5—1,6%), մինչև 2,5% Ni (միջին հաշվով 0,7—0,8%),
0,5-ից մինչև մի քանի տոկոս Mn, տոկոսի հարյուրերորդական
մասեր P, մինչև 0,2% S, մինչև 18—30% SiO₂, 10—12%
Al₂O₃, մի քիչ Co:

Հանքավայրի հատակը երբորդական է: Հանքավայրերի
ընդհանուր պաշարները կազմում են հոկայական թիվ, 15 մի-
լիարդ տոննա հանքանյութ (ներանցից 3 միլիարդ տոննա հա-
րուստ հանքանյութ): Մոտ և Մայարի ամենախոշոր հանքա-
վայրերի պաշարները կազմում են համապատասխանաբար 2 մի-
լիարդ և 600 միլիոն տոննա հանքանյութ: Հանքանյութերը
բնականից լեգիրված են, պարունակում են Cr, Mn, Ni և Co.
սրանք ինտենսիվորեն մշակվում և արտահանվում են ԱՄՆ:



Նկ. 13. Գեոլոգիական կարվածք գ. Կուսիկովայի մոտի
հետախուզական գծով

- 1—բուսական շերտ, կավավազահող, 2—ավազաքար, 3—կավային
թերթաքարերի էլյուվի, մասամբ դունաթափված գորշ երկա-
թաքարի կոնկրեցիաներով («բելիկ»), 4—վերին նամյուրի և
միջին կարբոնի հասակի մուգ-կանաչ և ածխային կավային
թերթաքարեր, 5—ավազ, կարստային ալերիտ, 6—վերին վիզելի
հասակի կրաքարեր:

Ալապա և սկի հանքավայրը գտնվում է Հյուսիսային
Ռուրալում, Սվերդլովսկ քաղաքից 180 կմ դեպի հյուսիս-արևելք:
Շրջանը կազմված է ստորին կարբոնի կրաքարերից, որոնց
լվացման մակերեսը շատ անհարթ է և լի է կարստային ձագար-
ներով (նկ. 13):

Ըստ Ա. Ա. Պրոսինի (1954), հանքամարմիններ պարունակող այսպես կոչվող «բելիկ»-ային, հանքաբեր հաստվածքը տեղագրված է վիզեյի և ստորին նամյուրի հասակի կարբոնատային ապարների տարբեր հորիզոնների լվացված մակերեսի վրա: «Բելիկները» միշտ առաջացնում են օրեսլ վերին նամյուրի և միջին կարբոնի հասակի բեկորային ապարների տարածման դաշտերի շուրջը, ապարներ, որոնք տրանսգրեսիվ կերպով տեղագրված են կարբոնատային շերտախմբի (վիզեյի և ստորին նամյուրի հասակի) վրա և հարում են սինկլինալային ճկվածքներին:

«Բելիկը» հողմնահարված, գունաթափված ապար է, կազմված համարյա բացառապես կայծքարային նյութից և ներկայացնում է վերին նամյուրի և միջին կարբոնի բեկորային ապարների հողմնահարման կեղևի հատուկ տարբերակ, որն առաջացել է կարստային պրոցեսների զարգացման պայմաններում:

Հանքային հորիզոնը տեղագրված է գեանաջրերի զոնայի սահմաններում հանքայնացման ենթարկված «բելիկների» հորիզոնի ստորին մասում և ներկայացված է բներով ու շերտանման կուտակներով, որոնք միջօրեականի ուղղությամբ հետամղված են 30 կմ երկարությույն ունեցող գոտում:

Ամենախոշոր հանքամարմիններն ունեն 1,5—2 կմ երկարությույն և մինչև 40 մ, միջին հաշվով 8—10 մ կարողությույն:

Հանքայնացումը տարածվում է նաև ստորին կարբոնի կրաքարերում, որոնց մեջ հանդիպում են հանքանյութերի փոքր բներ, սպինյակներ և երակիկներ:

Հանքանյութերը ներկայացված են մի քանի սանտիմետրից մինչև 0,5 մ բնդայնական կտրվածք ունեցող լիմոնիտի կոնկրեցիաներով և սֆերոսիդերիտով, որոնք ցեմենտացված են կանաչ քլորիտացված կավերով, իսկ գեանաջրերի ժամանակակից մակերեսովից բարձր՝ գորշ օխրայացած կավերով: Հանքանյութերը պարունակում են 32—42% Fe, 0,07% ոչ ավելի S, 0,03—0,09% P, 0,1—0,3% Mn, 10 մինչև 25% SiO₂:

Հանքավայրի առաջացման պայմանների վերաբերյալ միասնական կարծիք չկա: Ն. Ա. Ուսպենսկին հանքավայրը համարում է ինֆիլտրացիոն, հիմնվելով գլխավորապես գեանաջրերի գործունեության զոնայի սահմաններում սֆերոսիդերիտի և լիմոնիտի էպիգենետիկ զարգացման վրա:

Ըստ Ա. Ա. Պրոնինի պատկերացումների, մթնոլորտային ջրերը միջին կարրոնի ապարներից դուրս են բերել բազալ գազաբաժանումը, բացի SiO_2 և Al_2O_3 -ից, առաջացնելով «բելիկ» երկաթը շրջապատի ապարներից ներմուծվել է ածխաթթվային կամ հիդրօքսիդային միացությունների ձևով, որոնք կուտակվել են վերին նամյուրի ու միջին կարրոնի ապարների և վիզյի կրաքարերի կոնտակտի զոնայում: Այստեղ առաջացել են երկաթի կարրոնատներից կամ հիդրօքսիդներից կազմված հանքամարմիններ: Երկաթի միացությունների նստեցումը վերահսկվել է ստորերկրյա ջրերի մակերևույթով. երկաթի նստեցումը տեղի է ունեցել կրաքարերի մակերեսին կամ «բելիկների» շերտախմբի ներսում: Հանքավայրերը հավանաբար հիմնականում առաջացել են տրիասում ու յուրայում և ներկայացնում են վերին նամյուրի ու միջին կարրոնի նստվածքային ապարների հողմահարման և տարավայրման արդյունք:

Հանքավայրն ունի զգալի պաշարներ:

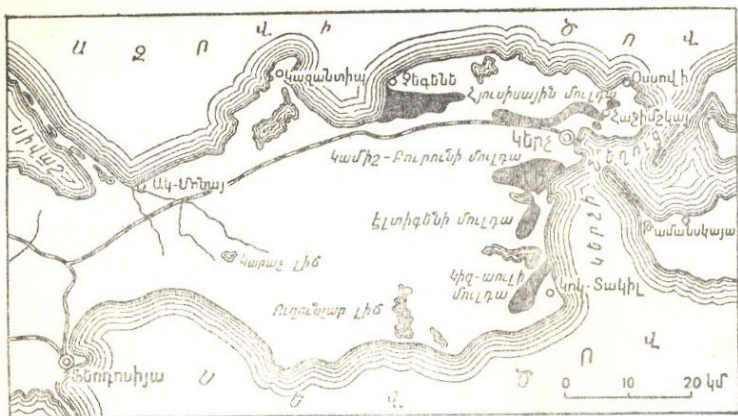
ՆՍՏՎԱԾՔԱՅԻՆ ՀԱՆՔԱՎԱՅՐԵՐ

Երկաթի հանքանյութերի նստվածքային հանքավայրերի քնորոշ օրինակներ են հանդիսանում Կերչ թերակղզու, Լոթարինգիայի և Անգարա-Պիտի ավազանի հանքավայրերը:

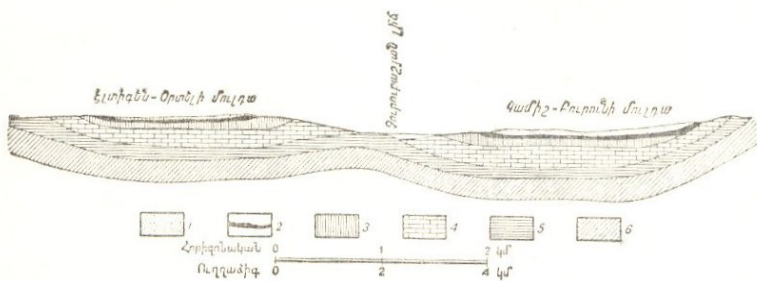
Կերչ թերակղզու հանքավայրերը Թաման թերակղզում շարունակվող հանքաբեր գոտու հետ միասին, 150 կմ² ավելի հանքայնացման ընդհանուր մակերեսով, ներկայացնում են երկաթի նստվածքային հանքանյութերի խոշորագույն կուտակումներից մեկն աշխարհում:

Շրջանը կազմված է վերին երրորդականի նստվածքներից, որոնք առաջացրել են լայնակի և հյուսիս-արևելյան ուղղություներ ունեցող փոքրաթեք ծալքեր. անտիկլինալները լվացված են, լավ պահպանվել են սինկլինալներ-մուլդաները, որոնց հարում են հանքանյութերը (նկ. նկ. 14 ա, 14 բ):

Ամենախոշոր հանքաբեր մուլդաներն են (հարավից դեպի հյուսիս—հյուսիս-արևմուտք)՝ Կիզաուլի, Էլտիպենի, Կամիշ-Բուրունի, Հյուսիսային, Ակմանայի մուլդաները: Առանձին մուլդաների հանքաբեր տարածությունները տատանվում են 0,5 մինչև 27,7 կմ² սահմաններում (ամենախոշորը Կամիշ-Բուրունի մուլդան է):



Նկ. 14 ա. Կերչի երկարի հանրավայրերի ակնարկային քարտեզ:



Նկ. 14 բ. Կերչի հանրավայրերի գեոլոգիական կտրվածքը Էլտիգենի և Կամիշ-Բուրունի մուղաների ուղղությամբ
 1—վերհանքային և վերին կիմմերյան նստվածքներ, 2—հանքային շերտեր, 3—ստորին կիմմերյան նստվածքներ, 4—սլոնտյան կրաքար (խեցաքար), ածուխ և ավազ, 5—մէսոխ (կավեր, մերգելներ, ավազներ), 6—սարմատ:

Մուղաները կազմող նստվածքների կտրվածքը (վերից վար)՝

Զորրորդական կավա-ավազահողեր և ավազներ:

Պլիոցենյան նստվածքներ՝

Կույալնիցիու հարկ—ավազներ, գիպսաբեր կավեր:

Կիմմերյան հարկ:

Վերին կիմմերյան նստվածքներ՝ կավեր, որոնք իրենց շերտերի ստորին մասում պարունակում են երկաթախառն ա-

վաղների ենթաշերտեր, կերչենիա (Fe, Mn, Ca, Mg ջրային ֆոսֆատ) և ծծմբային միացություններ:

Միջին կիմմերյան նստվածքներ՝ հանքային հորիզոն մինչև 25—30 մ կարողությամբ:

Ստորին կիմմերյան նստվածքներ՝ երկաթային ավազներ օօլիտային հանքանյութերի և խեցաքարի ենթաշերտերով:

Պոնտի հարկ՝ կրաքարեր, խեցաքարեր:

Մէոտիա՝ կավեր, ավազներ, մերգելներ:

Հանքային հորիզոնը տեղադրված է համարյա հորիզոնական, նրա անկման անկյունը մուլդաների թևերում հասնում է 10—15°: Հանքային շերտի կարողությունը մուլդաների եզրերից սկսած (մի քանի մետր) աճում է մինչև 25—30 մ նրանց առանցքային մասում:

Հանքային շերտը կազմված է օօլիտային հանքանյութերից, որոնք ներկայացված են միլիմետրի մասերից մինչև 5—10 մմ չափեր ունեցող երկաթի միներալների օօլիտներով, ցեմենտացված երկաթի ջրային ալյումոսիլիկատներով և ֆոսֆատներով (զանազան կերչենիտներ ու վիլիանիտ $Fe_3(PO_4)_2 \cdot 8H_2O$), բարիտով, պիրոլյուզիտով, պսիլոմելտոսով, երկաթի և մանգանի կարբոնատներով: Տեղ-տեղ հանգիպում են 10—15 սմ մինչև 1 մ կարողության սիզերիտային հանքանյութերի ենթաշերտեր (հանքային շերտի ստորին հորիզոններում) և մանգանի հանքանյութերի բարակ ենթաշերտիկներ, որոնք պարունակում են 18—35% Mn:

Որակի տեսակետից լավագույն հանքանյութեր են հանգիսանում այսպես կոչվող «Կորժ»-երը, որոնք իրենցից ներկայացնում են պիրոլյուզիտով ցեմենտացված պինդ օօլիտային հանքանյութեր: Մանգանի բարձր պարունակություն ($> 3\%$) ունեցող հանքանյութերը ներկված են սև գույնով և կրում են «ձկնկիթային հանքանյութ» տեղական անունը:

Հանքանյութերի գլխավոր զանգվածը պատկանում է երկու՝ դարչնագույն (հիդրոգյոթիտային) և ծխախոտագույն (վերջինը կազմված է հիդրոգյոթիտից, լեպտոքլորիտից և նոնարսիտից) տիպերի: Տեղ-տեղ, թեթօքսիդային պայմաններում, ծխախոտագույն հանքանյութերի հետ միասին զգալի տարածում են ստանում մոխրա-կանաչ սիզերիտային ու սիզերիտ-լեպտոքլորիտ-հիդրոգյոթիտային հանքանյութերը և լիկալ ձևով սև հիդրոգյոթիտ-պսիլոմելան-վաղի հանքանյութերը, որոնք առաջա-

ցել են օքսիդացման պայմաններում: Մուլդաների կենտրոնական մասերում գիտվում է ծխախոտագույն և մոխրա-կանաչ հանքանյութերի (թերօքսիդային ֆացիա), իսկ մուլդաների ծայրամասերում դարչնագույն և սև հանքանյութերի (օքսիդային ֆացիա) օրինաչափ գերակշռություն:

Կերչի հանքավայրի հանքանյութերը պարունակում են՝ 20—51⁰/₀ Fe (միջինն ըստ առանձին մուլդաների 30—36⁰/₀), 0,1—11⁰/₀ Mn, 0,4—1,5⁰/₀ P (կերչենիտների և վիվիանիտի հաշվին), 0,01—0,6⁰/₀ S (հանքանյութերում սուլֆիդների՝ պիրրոտինի, սեալգարի, աուրիպիդմենտի խառնուրդի հաշվին), ինչպես նաև V և As փոքր քանակություներ: Հանքանյութի արժեքավոր խառնուրդներն են՝ Mn և V, ֆլատակարները՝ S, P և As: P բարձր պարունակության կապակցությամբ կերչի հանքանյութերը համարվում են թոմասյան հանքանյութեր:

Հանքավայրն ուսումնասիրող գեոլոգները (Ն. Ե. Եֆրեմով, Գ. Ա. Բեչեկ) կերչի հանքանյութերի առաջացումը կապում են ծանծաղ քաղցրահամ լագուններում երկաթի նստեցման հետ, ուր երկաթը կոլլոիդալ վիճակում տեղափոխվել է Կուբան գետի միջոցով: Երկաթի հանքանյութերի նստեցումը տեղի է ունեցել գլխավորապես վերականգնման միջավայրում, առաջնային միներալներն են եղել սիդերիտը և լեպտոքլորիտը (շամոզիտը), որոնք հետագայում օքսիդացել և վեր են ածվել հիդրոգյոթիտի (Главнейшие железорудные месторождения СССР, 1934. Ефремов, 1938):

Խոշոր մասշտաբը և կարյերներով մշակելու հնարավորությունը այս հանքավայրը ՍՍՌՄ հարավի մետալուրգիայի համար դարձնում են վերին աստիճանի հետաքրքիր օբյեկտ:

Լոթարինգիայի հանքավայրերը: Լոթարինգիայի օօլիտային «մինետային»¹ հանքանյութերի հանքավայրերն ըստ պաշարների գտնվում են երկաթի խոշորագույն հանքավայրերի շարքում, իսկ մշակման մասշտաբով (տարեկան 40—50 միլիոն տոննա հանքանյութ) զիջում են միայն Վերին լճի շրջանին:

Երկաթահանքային ավազանը, որը գրավում է 1100 կմ² տարածություն, գտնվում է Ֆրանսիայում և միայն արևելյան ծայ-

¹ Օօլիտները շատ մանր են. հավանաբար այստեղից է ծագել «minette» տերմինը՝ ֆրանսերեն mine (հանքանյութ) բառի փոքրացուցիչը:

բամասում փոքր-ինչ մտնում է Գերմանիայի, Լյուքսեմբուրգի և Բելգիայի տերիտորիաները:

Լոթարինգիայի երկաթային հանքանյութերի և Ռուրի քարածխի բազայի վրա ստաջացել է Գերմանիայի ու Ֆրանսիայի ծանր արդյունաբերությունը:

Լոթարինգիայում, ինչպես նաև Կերչի երկաթահանքային շրջանում, հանքայնացումը հարում է սինկլինալային իջվածքներին՝ մուլդաներին, և հանքային շերտախումբն ամենամեծ կարողություն ու հարստություն է հասնում մուլդաների առանցքային մասերում:

Մուլդաները տարածվում են հյուսիս-արևմուտքից դեպի հարավ-արևելք. առանձնացնում են հետևյալ երկաթահանքային ավազանները (հյուսիսից դեպի հարավ)՝ Լոնգվի, Օտտանժ-Լանդըր, Օրն և Արս, Նանսի:

Ըստ Ժ. Բիշելոնի (Bichelonne et Angot, 1939), հանքանյութերը տեղագրված են ստորին աալենի ավազաքարերի և վերին աալենի մերգելների միջև:

Հանքաքեր շերտախմբի կարողությունը տատանվում է 25-ից մինչև 50 մ սահմաններում՝ Օտտանժ-Լանդր ավազանում հասնելով 60 մ, իսկ Նանսի ավազանում իջնելով մինչև 10 մ, քանի որ վերջինում նախքան միջին յուրայի շերտախմբի նստեցումը տեղի է ունեցել լվացում: Հանքային շերտախումբը ներկայացված է 1-ից մինչև 5 մ կարողության հանքային և նույն կարողության հանքազուրկ շերտերի հերթագայությունով: Օտտանժ-Լանդր ավազանի հանքային շերտախմբի կտրվածքում վերից վար առանձնացվում են հետևյալ հանքային շերտերը՝ կարմիր շերտեր (1—4 շերտ), դեղին շերտեր (1—2 շերտ), մոխրագույն շերտ, դարչնագույն շերտ, սև շերտեր (1—2 շերտ), կանաչ շերտեր (1—2 շերտ):

Այս կտրվածքը մյուս ավազաններում չի պահպանվում և միայն մշակման գլխավոր օբյեկտ հանդիսացող մոխրագույն շերտն է (կարողությունը 4—9 մ), որ ամեն տեղ պահպանված է: Նա կազմված է կարբոնատային ցեմենտ պարունակող դյուրահալ հանքանյութերից (ի տարբերություն բազմաթիվ այլ շերտերի, որոնք կազմված են կայծքարային ցեմենտ ունեցող դժվարահալ հանքանյութերից): Օուլիաները մանր են, 1/4—1 մմ ընդլայնական կտրվածքով, կազմված են գյոթիտից և սաիլվնոսիդերիտից (Fe գեյկենման օքսիդ H_2O անորոշ պարունակությամբ), երկաթային քլորիտների, սիդերիտի, երբեմն հեմատիտի և մագնետիտի խառ-

նուրգով: Օօլիտների ցեմենտը նույն կազմութունն ունի, ինչ որ օօլիտները, բացի այդ, դալի դեր են կատարում կարբոնատային և արգիլիտա-գետրիտային նյութերը:

Մշակվող հանքանյութերում Fe պարունակությունը տատանվում է 30-ից մինչև 50⁰/₀ սահմաններում, իսկ մեկնակարևոր մոխրագույն շերտի համար միջին հաշվով նա կազմում է 31—36⁰/₀: հանքանյութերը պարունակում են 0,5—1,8⁰/₀ P (այսինքն Կերչի հանքանյութի նման հանդիսանում են թոմասյան), 0,5-ից մինչև մի քանի տոկոս Mn, 0,01—0,4⁰/₀ S և մինչև 0,1⁰/₀ V:

Հանքավայրը նման է Կերչին և պատկանում է նստվածքային ախլին: Հանքային պրոցեսը զարգացել է էվոլյուցիոն կերպով՝ կայծքարային ախլիների նստեցումից, որոնք Fe պարունակել են միայն քլորիտների և սիդերիտի ձևով, գեպի բուն երկաթա-քլորիտային օօլիտների առաջացումը, ընդ որում այդ օօլիտները հետագայում անջատվել են առաջնային երկաթային զանգվածից, տեղափոխման ժամանակ օքսիդացել և վեր են անվել լիմոնիտի և ապա ցեմենտացել կրաքարային կամ արգիլիտա-գետրիտային նյութով:

Օօլիտների առաջացումը տեղի է ունենում առաջնային ախլիային երկաթային նստվածքում և իրենից ներկայացնում է բիոքլիմիական պրոցես (Symposium sur les gisements de fer du monde, 1952):

Հանքային շերտախումբը փոքր անկյան տակ ընկնում է գեպի արևմուտք և երկաթահանքային ավազանի արևմտյան ծայրամասում հորատանցքերով հատված է 900 մ խորություն վրա:

Մշակումը կատարվում է բաց աշխատանքներով (արևելքում) և 200 մ ավելի խորութուն ունեցող հանքահորերով (արևմուտքում):

Լոթարինգիայի ընդհանուր պաշարները կազմում են 15 միլիարդ տոննա հանքանյութ (որից 4,5 միլիարդը հետախուզված է, իսկ 10,5 միլիարդը հնարավոր). մշակման ընթացքում, սկսած 1834 թ. արդյունահանվել է մոտավորապես 1,5 միլիարդ տոննա հանքանյութ:

Անգարա-Պիտի երկաթահանքային ավազանը, որը գտնվում է Անգարա գետի ստորին հոսանքներում, զգալի հետաքրքրություն է ներկայացնում: Նրա նկարագրությունը բերվում է ըստ Յու. Գ. Ստարիցկու նյութերի:

Շրջանը կազմված է վերին պրոտերոզոյան կավային և կարբոնատային ապարների շերտախմբից, որի մեջ առանձնացվում է ստորին անգարյան շերտախումբը, ներկայացված հանքային մանր գետաքարային կոնգլոմերատների (գրավելիտների), երկաթային ավազաքարերի, ալևրոլիտների և արգիլիտների հերթագայությամբ: Հանքային կոնգլոմերատները հարում են կտրվածքի ստորին մասին, որն առանձնացվում է 70—100 մ կարողությամբ հանքային հորիզոնի անվան տակ:

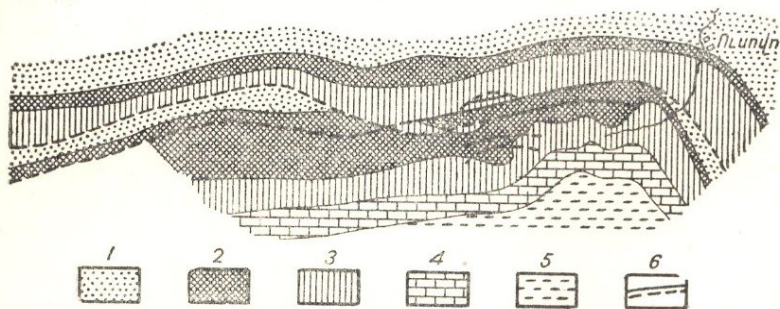
Սովորաբար հանքային հորիզոնը աստիճանաբար անցնում է ստորագիբ կավային թերթաքարերին և միայն տեղ-տեղ նրա հիմքում գիտվում է աններգաշնակութուն. այդպիսի տեղամասերին են հարում արգյունարեռահան և այդ թվում Ստորին-Անգարայի հանքավայերը:

Ստորին-Անգարայի հանքավայրը: Այստեղ հանքային հորիզոնը կազմում է փոքրաթեք սինկլինալ և հարթագծում առաջացնում է մի պայտ, որն ուռուցիկ կողմով ուղղված է դեպի հյուսիս-արևմուտք: Ծալքի հարավ-արևմտյան թեք խզված է այսպես կոչվող Գլխավոր վարնետովածքով, որը հետամտված է 10 կմ, ունի մոտավորապես 300 մ ամպլիտուդա և հանքային շերտի ելքը մակերեսում երկուտակում է (նկ. 15):

Հանքային հորիզոնի սահմաններում առանձնացնում են յոթ ենթաշերտախումբ, որոնցից չորսը կազմված են հանքային գրավելիտներից, իսկ նրանց հետ հերթագայող երեքը՝ կավային ու ավազաքարային ապարներից: Ենթաշերտախմբերի մեջ առանձնացվում են սովորաբար 3—5 մ կարողության առանձին շերտեր. նրանցից մեկը, որը ներկայացված է հանքային գրավելիտով, հասնում է 25 մ կարողության (տեղադրված է նա հանքային հորիզոնի հիմքում): Ստորին շերտն ըստ տարածման անընդհատ հետամտվում է 4 կմ, մյուսները արագ կերպով սեպածե կտրվում են:

Հանքանյութերի մեջ առանձնացված են երկու տարբերակ՝ գրավելիտներ և նստվածքային բրեկչիաներ: Գրավելիտները կազմված են հեմատիտի, հիդրոհեմատիտի, երկաթային քլորիտի գետաքարերից, որոնք ցեմենտացված են կավա-կամ ավազահեմատիտային նյութով: Տեղ-տեղ պահպանվել են հեմատիտային մասսիվ հանքանյութերի փոքր ոսպնյակներ և ենթաշերտեր, որոնք հանգիսացել են գրավելիտների հանքային գետաքարերի առաջացման աղբյուրը:

Նստվածքային բրեկչիաները կազմված են քլորիտային, հեմատիտային և սիդերիտային հանքանյութերի անկյունազուգորդ բեկորներից և գետաքարերից, որոնք միակցվել են կվարցի ավազահատիկների խառնուրդ պարունակող սիդերիտային ցեմենտով:



Նկ. 15. Ստորին-Անգարայի հանքավայրի տեղամասերի գեոլոգիական քարտեզ (բստ Յու. Գ. Ստարիցկու)

1—Ուստվոյի շերտախմբի հանքային շերտի կախված կողի ավազաքարեր և թերթաքարեր, 2—Ուստվոյի շերտախմբի հանքային հորիզոն (բակլային հանքանյութերի, երկաթային և լեպտոքլորիտային ավազաքարերի, թերթաքարերի և արգիլիտների ենթաշերտերի հերթազուգործումը), 3—Ուստվոյի շերտախմբի հանքային հորիզոնի պռակած կողի թերթաքարեր և արգիլիտներ, 4—մոխրագույն մասսիվ (սիֆային) կրաքարեր *Collenia* ջրմուռներով, 5—Օտտերլիտային թերթաքարեր (սև, կարմիր և մոխրագույն), 6—տեկտոնական խզուճներ:

Երկու տիպի հանքանյութերի գլխավոր միներալներն են՝ հիդրոհեմատիտը, հեմատիտը, սիդերիտը, երկաթային քլորիտը (շամոզիտը)՝ մագնետիտի, գյոթիտի, պիրիտի, պսիլոմելանի, ցրաունիտի, կվարցի, կավային միներալների, քլորիտոսիլի և հրբեմն խալկոպիրիտի աննշան խառնուրդով:

Գրավելիտային հեմատիտ-հիդրոհեմատիտային հանքանյութերն ամենաբարձրորակն են. նրանց բաժինը կազմում է ամբողջ պաշարի 68⁰/₁₀₀-ը. նստվածքային բրեկչիաներում հանքային միներալներից գերակշռում է սիդերիտը:

Հանքանյութերում Fe միջին պարունակությունը կազմում է 40—50⁰/₁₀₀, ֆոսֆոր խառնուրդները (S և P) քիչ են: Պաշարները խոշոր են:

Ըստ գենետիկ տիպի հանքավայրը պատկանում է նստվածքային չմետամորֆացված հանքավայրերին: Երկաթը ներմուծ-

վել է մայր ցամաքից գետնաջրերով ու մակերեսային ջրերով և օբսիդների հիդրատների ձևով երկաթային սիլիկատների հետ միատեղ նստեցվել է ծանծաղջրյա ավազանի մերձափնյա զոնայում, առաջացնելով թույլ շերտավորված նստվածք: Ծովի հատակի տատանումների և ծովային հոսանքների շնորհիվ այդ նստվածքը վերալվացվել և առաջացրել է մանր գետաքարեր, որոնք պահպանում են նստվածքի սկզբնական տեքստուրան: Վերանստեցված գրավելիտների դիագենեզն ուղեկցվել է երկաթային միներալների ջրազրկմամբ, որի հետևանքով առաջացել են դյոթիտ, հիդրոհեմատիտ, հեմատիտ և մագնետիտ (վերջինը վերականգնման միջավայրում, պարագենետիկորեն սիդերիտի հետ միասին):

Ամենաինտենսիվ վերալվացում տեղի է ունեցել այն տեղամասերում, որտեղ ծովի հատակի տատանումները հասել են առավելագույն չափի, և վերալվացումն ընդգրկել է ոչ միայն հանքային նստվածքը, այլև ստորագիր կավային թերթաքարերը. հատկապես այդպիսի տեղամասերում, որտեղ հանքային հորիզոնը թերթաքարերի վրա տեղադրված է փոքր անկյունային աններդաշնակությամբ, առաջացել են հեմատիտային հանքանյութերի ամենահզոր և բարձրորակ շերտերը:

Այսպիսով, արդյունաբերական հանքայնացումը վերահըսկվում է հանքային հորիզոնի և ստորագիր ապարների ստրատիգրաֆիական փոխհարաբերություններով: Հանքային հորիզոնի ֆացիալ բնույթը նկատելի կերպով փոփոխվում է հարավ-արևմուտքից դեպի հյուսիս-արևելք հանքային հորիզոնի կարողության նվազեցման և ավազա-կավային ենթաշերտերի կողմից հանքային ենթաշերտերի արտամղման ուղղությամբ:

Իս վկայում է այն մասին, որ առափնյա գիծը գտնվել է հանքավայրից դեպի հարավ-արևմուտք. վերջինը հաստատվում է հանքային գետաքարերի մոտավորապես 315° ազիմուտով կողմնորոշվելու հիման վրա:

ՄԵՏԱՄՈՐՖՈԳԵՆ ՀԱՆՔԱՎԱՅՐԵՐ

Մետամորֆոզեն տիպի թվաշատ հանքավայրերի մեջ ամենաուսումնասիրվածները և արդյունաբերական տեսակետից կարևորները հանդիսանում են՝ Սովետական Միությունում կրի-

վոյ Ռոզը և ԿՄԱ, արտասահմանում Վերին լիճը, ինչպես նաև Բրազիլիայի և Հնդկաստանի հանքավայրերը:

Կրիվոյ Ռոզի շրջանի հանքավայրերը հայտնի են եղել շատ վաղ անցյալում և հանդիսացել են հուշակավոր «սկյուլթական երկաթի» աղբյուր (5—4-րդ դդ. մինչև ն. թ.):

Կրիվոյ Ռոզի երկաթահանքային ավազանը մինչ պատերազմը տալիս էր Սովետական Միության ամբողջ հանույթի համարյա 65⁰/₁₀ ներկայումս, չնայած հանույթի ծավալի զգալի աճին, ավազանի տեսակարար կշիռը ընդհանուր հանույթի մեջ փոքր-ինչ նվազել է:

Ավազանի արդյունաբերական յուրացումն սկսվել է միայն անցյալ դարի 70-ական թվականներին: Այդ նույն ժամանակից էլ սկսվել է նրա գեոլոգիական ուսումնասիրությունը: Չնայած ավազանի գեոլոգիային նվիրված աշխատությունների հակայական քանակությունը, նրա ուսումնասիրությունը գեոևս ավարտված չի կարելի համարել:

Կրիվոյ Ռոզի ավազանը (նկ. 16) հանդիսանում է Ուկրաինական բյուրեղային զանգվածի մի մասը և ձգված է միջօրեականին մոտիկ, հյուսիս-արևելյան ուղղությամբ՝ մոտավորապես 100 կմ նիկոլոգեդիկ կայարանից համարյա մինչև Գնեպր գետը:

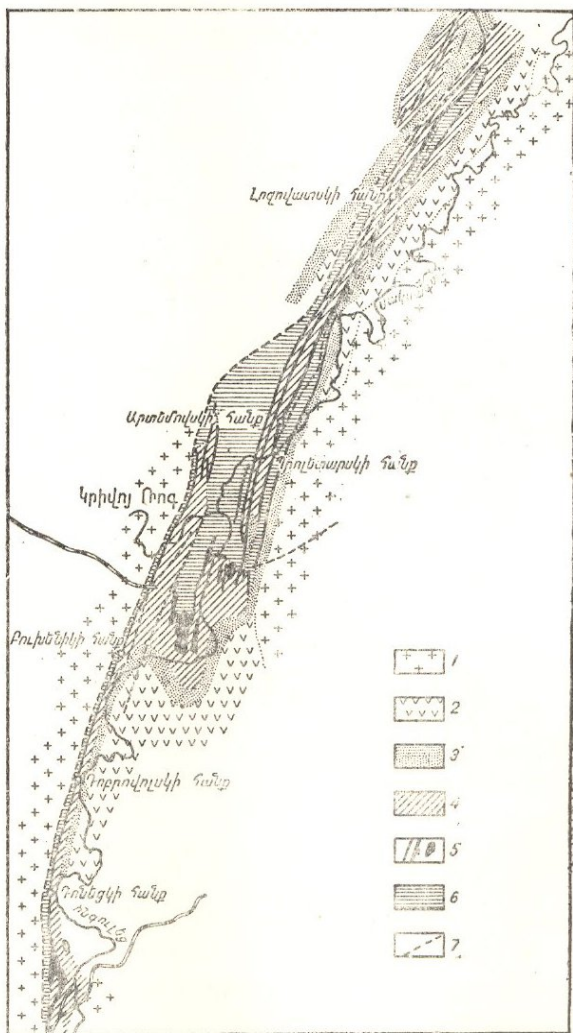
Կրիվոյ Ռոզի ենթաշերտախմբի ապարների էլքերի լայնությունը տատանվում է 0,5 կմ հյուսիսում մինչև 6—7 կմ Կրիվոյ Ռոզ քաղաքի շրջանում: Արևելքից և արևմուտքից այդ ապարները սահմանավազված են գրանիտներով, պեգմատիտներով և նրանց միգմատիտներով և ծածկված են երրորդական ու չորրորդական նստվածքներով:

Կրիվոյ Ռոզի շրջանի կարվածքը վարից վեր ներկայացված է հետևյալ ապարներով՝

1. Արխեյի ենթաշերտախումբ, որը ներկայացված է գրանիտներով ու գնեյսներով և նրանց վրա տեղադրված կանաչքարային ապարներով:

2. Պրոտերոզոյի հասակի Կրիվոյ Ռոզի շերտախումբ, որը արանագրեսիվ կերպով և կարուկ անկյունային աններդաշնակությունով տեղադրված է արխեյի ապարների վրա և, վերջին աշխատությունները համաձայն, ներկայացված է երեք բաժնով (նկ. 17)՝

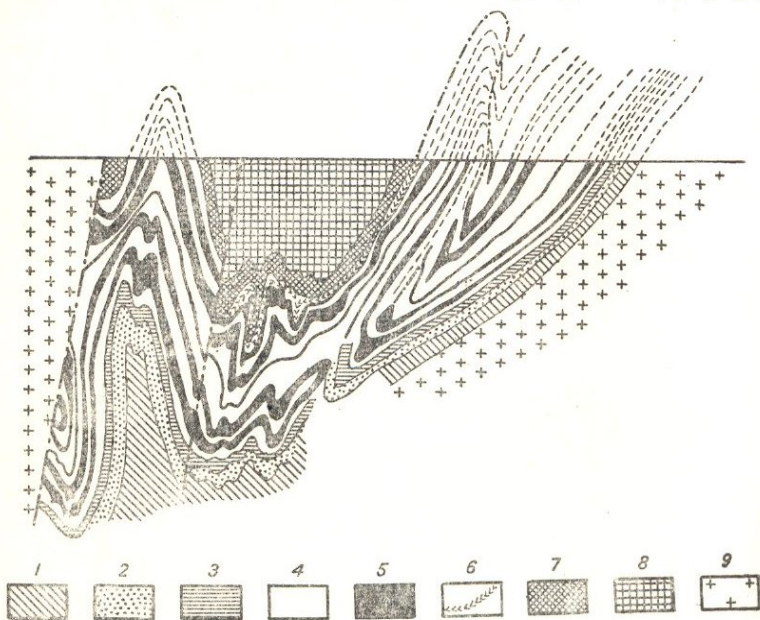
ա) ստորին՝ արկոզա-ֆելլիտային կամ կավա-ավազային բաժին (K₁),



Նկ. 16. Կրիվոյ Ռոգ հանրավայրի գեոլոգիական քարտեզ
 1—գրանիտներ և գնեյսներ, 2—կանաչքարային ապարներ,
 3—արկոզային ապարներ և ֆիլլիտներ, 4—բյուրխային և
 հորնբլենդային թերթաքարեր, 5—երկաթային կվարցիտ,
 6—վերին թերթաքարային շերտախուժք, 7—վրաշարժի գիծ:

բ) միջին՝ երկաթահանքային բաժին (K_2),
 գ) վերին՝ կավա-թերթաքարային վերհանքային բաժին
 (K_3);

Ստորին՝ արկոզա-ֆիլլիտային բաժինը, որը տեղադրված է
 կանաչքարային ապարների և գրանիտների վրա, ներկայացված



Նկ. 17. Արվոյ Ռոզ. կարևավատկա երկաթգծային կայարանի
 շրջանի բնդլայնական կտրվածք
 (բստ Յա. Ն. Բեկեցի)

1—արկոզ, 2—ֆիլլիտ, 3—տալկային թերթաքար, 4—ամֆիբոլիտային թերթաքար, 5—երկաթային եղջրաքարեր և ջեոպիլիտներ, 6—վերհանքային շերտախումբ, 7—վերին բաժնի թերթաքարեր և կվարցիտներ, 8—վերին բաժնի ածխային թերթաքարեր, 9—գրանիտներ և միզմատիտներ:

է արկոզային ավազաքարերով և տեղ-տեղ կոնգլոմերատներով (կարողությունը 50—400 մ), որոնց վրա տեղադրված են ֆիլլիտները (կարողությունը 50—200 մ), որոնք գեպի վեր փոխարինվում են տալկային և ալտինոլիտային թերթաքարերով (կարողությունը 10—40 մ):

Միջին՝ երկաթահանքային բաժինը բաղկացած է երկաթային եղջրաքարերի և կվարցիտների վեց հորիզոնից, որոնք միմ-

յանցից բաժանված են ամֆիբոլային և քլորիտային թերթաքարերով: Նրա ընդհանուր կարողութունը մոտավորապես 400 մ է, որից կեսը բաժին է ընկնում երկաթային եղջրաքարերին և կվարցիտներին:

Վերին կավա-թերթաքարային բաժինը ներկայացված է կավա-փայտարային, ածխա-գրաֆիտային և այլ թերթաքարերով, որոնց հիմքում տեղ-տեղ տեղադրված են կոնգլոմերատների ոսպնյակներ՝ երկաթային եղջրաքարերի ու ջեոսպիլիտների գետաքարերով: Միջին ու վերին բաժինների միջև տեղի է ունեցել տևական ընդմիջում և վերին բաժնի թերթաքարերը տեղադրված են միջին՝ երկաթահանքային բաժնի տարբեր հորիզոնների վրա:

Առաջին և երկրորդ (ներքևից) երկաթային հորիզոնները համապատասխանում են առաջին Սակսագանյան և Չերվոնոկամպանեյսկի շերտերին, երրորդը ներկայացված է երկաթային եղջրաքարերի փոքր կարողութուն ունեցող ենթաշերտով, չորրորդ երկաթային հորիզոնը համապատասխանում է Գլեեվատյան շերտին և երկրորդ Սակսագանյան շերտի պոստկամ կողին, հինգերորդը՝ երկրորդ Սակսագանյան և Չերվոնյան շերտերին, վեցերորդը՝ երկրորդ Սակսագանյան շերտի արևմտյան զուգահեռ գոտուն:

Արդյունաբերական ամենամեծ նշանակություն ունի երկրորդ Սակսագանյան շերտը, որին հարում է հանքային կուտակների գերակշռող մասը:

Ավազանի գեոլոգիական ստրուկտուրայի մասին եղած ժամանակակից պատկերացումների հիմքում դրված է Յա. Ն. Բելեյեի կողմից մշակված ստրատիգրաֆիան:

Բելեյեի ստրատիգրաֆիական սյունակում գործ ենածվում ներկայումս ընդունված «երկաթային եղջրաքարեր» և «ջեոսպիլիտներ» անունները, ընդ որում «երկաթային եղջրաքարեր» անվան տակ հասկանում են այնպիսի ապարներ, որոնց մեջ հերթադաշտում են առավելապես հանքային միներալներից և կվարցից բաղկացած 2—10 մմ լայնության զոլեր: «Ջեոսպիլիտներում» նույն զոլերն ունեն 2 մմ պակաս լայնութուն: Այսպիսով, այդ տարբերությունը ձևական է և, բացի այդ, ինքը «ջեոսպիլիտ» տերմինն անհաջող է, քանի որ ամերիկյան դրականութունից այն մեխանիկորեն փոխադրվել է Կրիվոյ Ռոզ, առանց հաշվի առնելու տեղական ապարների առանձնահատկությունները: Ինչպես ցույց է տվել Յու. Իր. Պոլովինկինան

(Труды ВСЕГЕИ, вып. 2, 1950), Կրիվոյ Ռոզի երկաթային ապարները պետք է անվանել «երկաթային կվարցիտներ», որպիսի անունը և ընդունված է հետագա շարադրման ընթացքում:

Կրիվոյ Ռոզի երկաթային կվարցիտները բնորոշվում են նուրբ զոլավորությամբ (զոլերի լայնությունը սակավաթիվ դեպքերում գերազանցում է 2—3 մմ, սովորաբար այն չափվում է միլիմետրերով), ընդ որում հերթագայում են առավելապես սրկէ մեկ միներալից կազմված զոլերը: Այդ միներալների մեջ ամենից հաճախ հանդիպում են կվարցը, մագնետիտը (կամ նրա էկզոգեն փոփոխման արդյունքը՝ մարաիտը), երկաթային փայլարիկը, քլորիտը, բիտիտը, ամֆիբոլները, շատ հազվադեպ՝ էգիրլինը: Երկաթային կվարցիտներում մեծ մասամբ հերթագայում են հանքային և ոչ հանքային ենթաշերտերը, ընդ որում վերջինները հիմնականում ներկայացված են կվարցով:

Հանքային ենթաշերտերը կազմված են 70⁰/0 մագնետիտից, մարաիտից ու հեմատիտից և 30⁰/0 կվարցից, որը թափանցված է հեմատիտի շատ մանր ներփակումներով, այդ իսկ պատճառով ունի կարմրավուն երանգ: Ոչ հանքային ենթաշերտերը կազմված են 80—90⁰/0 կվարցից, նմանապես հեմատիտով թափանցված, և 10—20⁰/0 նույն հանքային միներալներից, որոնք հանդիպում են հանքային ենթաշերտերում:

Հանքային միներալները ներկայացված են մանր, 0,01—0,03 մմ չափի բյուրեղային հատիկներով, իսկ կվարցը միաձույլ է և առաջացել է կոլլոիդալ սիլիկատների մետամորֆիզմի հետևանքով:

Ըստ Բեկեցի տվյալների, Կրիվոյ Ռոզի ավազանն իր կենտրոնական մասում կազմված է (տե՛ս նկ. 17)՝ ա) Գլխավոր Սակսագանյան սինկլինալից կենտրոնում, բ) Տորոպակո-Լիխմանովյան անտիկլինալից արևմուտքում և գ) Արևելյան եզրամասից: Վերջինն իր հերթին կազմված է սինկլինալից և անտիկլինալից: Ծալքերի առանցքները թույլ ալիքաձև են, մերկանում են Կրիվոյ Ռոզ քաղաքի շրջանում (Ձերժինսկու անվ. հանքավարչություն) և այստեղից փոքր թեքությամբ (15—20° անկյան տակ) խորասուզվում են հյուսիսային ուղղությամբ. շերտերը ամենուրեք 30-ից մինչ 75° անկյան տակ ընկնում են դեպի արևմուտք:

Ծալքավոր ստրուկտուրաները բարդացված են բազմաթիվ խզումային խախտումներով: Սրանցից ամենախոշորներն են Սակսագանյան և Արևմտյան վրաշարժները, որոնցից առաջինն

անցնում է ավազանի հարավային մասով, անջատելով Սակա-
գանյան սինկլինալը Տորոպակո-Լիխմանովյան անտիկլինալից:
Փրունդեի անվան հանքի շրջանում նա դիտվում է կախված կողի
ապարներում:

Ավազանի հյուսիսային մասում լայնորեն տարածված են
վարնետավածքային տիպի ընդլայնական խախտումներ:

Բացի այդ գլխավոր ստրուկտուրաներից, կան բարձր կարգի
ծալքավոր և խզումային շատ խախտումներ, ընդհուպ մինչև
նուրբ ծալքավորումը և մանր ձեղքավորությունը: Ըստ Յու.
Գ. Գերշոյդի տեկտոնական սխեմայի (Сов. геол. № 37, 1949),
ավազանում տեղի է ունեցել ծալքավորման երկու ֆազ՝ առա-
ջինը ծալքավորել է K_1 և K_2 նստվածքները, իսկ երկրորդը՝
կրիոյ Ռոգի ամբողջ շերտախումբը, այդ թվում նաև K_3 վեր-
հանքային ենթաշերտախումբը:

Ըստ հանքանյութերի միներալոգիական կազմության, հան-
քակուտակների ձևի, հանքամերձ փոփոխությունների և տար-
բեր ստրուկտուրաներին հանքանյութերի հարման, ավազանի
սահմաններում առանձնացնում են երեք հանքադաշտ՝ 1) Սակ-
սագանյան կամ Կենտրոնական, 2) Հյուսիսային, 3) Հարավային
(կամ Իլլիչի):

Երկաթի հանքանյութերի ամենամեծ պաշարները կուտակ-
ված են Կենտրոնական դաշտում:

Սակսագանյան հանքադաշտը տեղադրված է Գլխավոր սին-
կլինալի Արևելյան եզրամասում: Այստեղ կենտրոնացված է ավա-
զանի պաշարների 90%:

Գաշտի սահմաններում տարածված են երեք տիպի հան-
քանյութեր՝

ա) մարտիտային (լեղակներ), ճիմնականում կազմված են
մարտիտից (90%), SiO_2 (6—8%) և այլ փոքրաքանակ խառնուրդ-
ներից: Հանքանյութերը փուխը են, ծակոտկեն (ծակոտկենու-
թյունը միջին հաշվով կազմում է 15—20%), սակայն երբեմն
հասնում է մինչև 35% այն դեպքում, երբ պարունակող ապար-
ների ծակոտկենությունը 3—4% է): Երբեմն հանդիպում են շատ
պինդ լեղակներ, որոնք կազմված են լիմոնիտով ցեմենտացված
մարտիտային հատիկներից: Այդպիսի հանքանյութերում երկա-
թի պարունակությունն ամենաբարձրն է (մինչև 68%):

բ) Մարտիտ-հիդրոհեմատիտային (ներկալեղակներ), բաղ-
կացած են առավելապես մարտիտից և ճիլոհեմատիտից կազմ-

ված են թաշերտերից. ենթաշերտերը հերթագայում են իրար հետ, նրանց կարողութունը հասնում է 20 սմ, սովորաբար՝ 2—5 սմ: Այս հանքանյութերը պարունակում են կավային նյութի զգալի խառնուրդներ:

դ) Հիդրոհեմատիտային (ներկեր), բաղկացած են հիդրոհեմատիտից, կավային միներալների և սիլիկատի խառնուրդով:

Հանքանյութերի միներալոգիական կազմը միշտ սերտորեն կապված է պարունակող ապարների կազմի հետ: Մարտիտային հանքանյութերը միշտ տեղագրված են մարտիտային երկաթային կվարցիտների մեջ, մարտիտ-հիդրոհեմատիտայինը՝ երկաթային կվարցիտների մեջ, որտեղ հանքային զույրը հերթագայում են սիլիկատային (քլորիտային, բիտիտային և այլն) զույրերի հետ. հիդրոհեմատիտային հանքանյութերը տեղագրված են քլորիտային, բիտիտային կամ ամֆիբոլային թերթաքարերի մեջ:

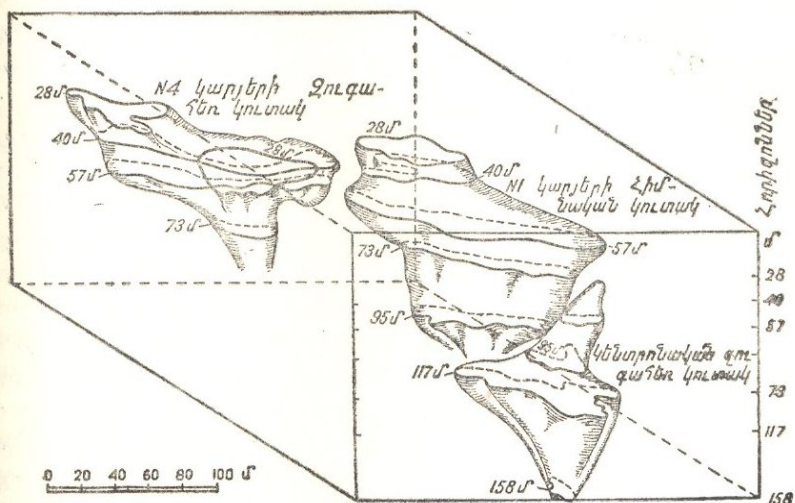
Սակսագանյան դաշտի հանքանյութերը բնորոշվում են նաև նրանով, որ նրանց մեջ միշտ պահպանվում է առաջնային զուլտորութունը, ընդ որում պարունակող ապարներից այն անցնում է հանքակուտակների մեջ:

Ըստ հանքամարմինների մորֆոլոգիայի ծալքերի թվերում տեղագրված մասսիվ կուտակումների մեջ տարբերում են սյունանաման և շտոկանաման (նկ. 18) մարմիններ, որոնք սինկլինալի փականում անցնում են առանցքային կուտակների տիպի հզոր հոծ հանքայնացման:

Սյունանաման և շտոկանաման (վերջիններն ավելի անկանոն են) կուտակները հորիզոնական կտրվածքում ներկայացված են ոսպնյակներով, որոնք ըստ տարածման (այսինքն ոսպնյակների երկար առանցքի ուղղությամբ) հետամտվում են 100—150 մ, հազվագեպ մինչև 1000 մ և տասնյակ մետրերից մինչև 100 մ կարողությամբ հետախուզված են 600—800 մ մինչև 1140 մ խորությունը: Մտրուկտուրային տեսակետից սյունանաման մարմինները հարում են երկաթային կվարցիտների շերտախմբի ճմլման, բեկորատման (միջշերտային բրեկչիաների) զոնաներին:

Սակսագանյան դաշտի սահմաններում հանքայնացումը բաշխվում է անհավասարաչափ, առանձին հանգույցների կամ գոտիների ձևով: Այդ հանգույցները հարում են ապարների ֆլեկտուրանման ծովածքներին: Հանքանյութի գլխավոր զանգ-

վածը կենտրոնացված է Արևելյան եզրամասի սինկլինալային ծալքի առանցքում, Կրիվոյ Ռոգ քաղաքի մոտ:



Նկ. 18. Կուտակների բլոկ-դիագրամ (Լիբիցեխտի Պանվան հանք):

Արգյունաբերական հանքանյութերի մեջ ըստ երկաթի պարունակության առանձնացնում են հետևյալ տեսակները՝

- 1) Fe 62⁰/₁₀₀ և ավելի, 2) Fe 62—58⁰/₁₀₀,
- 3) Fe 58—54⁰/₁₀₀, 4) Fe 54—50⁰/₁₀₀, 5) Fe 50—46⁰/₁₀₀:

Հանքանյութում ֆլուատալար խառնուրդների պարունակությունը բարձր չէ՝ S մինչև 0,05⁰/₁₀₀, P 0,02—0,09⁰/₁₀₀: Mn պարունակությունը հասնում է մինչև 0,45⁰/₁₀₀, տեղ-տեղ կա V խառնուրդ: Հանքանյութերն ըստ որակի դասվում են աշխարհի երկաթի ամենալավ հանքանյութերի շարքը: Հարուստ մասսիվ հանքանյութերի պաշարները շատ զգալի են¹:

¹ Կրիվոյ Ռոգի ամբողջ շրջանի երկաթային կվարցիտների պաշարները հսկայական են, սակայն սիլիկահոդի բարձր պարունակության և դրա հետ կապված հանքանյութերի ղժվարահալ լինելու պատճառով երկաթային կվարցիտները ներկայումս չեն օգտագործվում: Բայց այդ հանքանյութերի հալը ստացման պրոբլեմը արդեն լուծված է՝ մանրացումից և մագնիսային սեպարացիայից հետո նրանցից հնարավոր դարձավ ստանալ բարձրորակ կոնցենտրատներ Fe 60⁰/₁₀₀ պարունակությամբ: Դա հիմք է տալիս հուսալու, որ երկաթային կվարցիտները մոտ ապագայում արգյունաբերական կիրառում կգտնեն:

Սակազանյան հանքադաշտի հանքանյութերի ծագման հարցը վաղուց ի վեր քննարկվում է, սակայն մինչև այժմ այն լուծված համարել չի կարելի: Քննարկվում են երկու հարց՝ երկաթային կվարցիտների (որոնք պարունակում են սովորաբար 40—45%₀ ոչ ավելի երկաթ) և 46—70%₀ երկաթ պարունակող բուն հանքանյութերի ծագումը:

Երկաթային կվարցիտների ծագման վերաբերյալ բոլորի կողմից ընդունված է այն կարծիքը, որ նրանք հանդիսանում են մինչքեմբրյան ծովի նստվածքներ, որոնք հետագայում ենթարկվել են ուժեղ մետամորֆիզմի: Սակայն դեռ լրիվ պարզված չեն՝ երկաթի աղբյուրի հարցը (ներմուծում մայր ցամաքներից, թե ստորջրյա էֆուզիվների էկսզալյացիաներ), տեղափոխման եղանակը (իրական, թե կոլլոիդալ լուծույթներ, կամ թե բեկորային նյութ), նստեցման եղանակը (քիմիական, թե մեխանիկական), նուրբ գոլավորության պատճառը և այլն:

Երկաթային կվարցիտները, ըստ ընդհանուր կարծիքի, ներկայացնում են երկաթի կոլլոիդալ հիդրօքսիդների ու սիլիկանոզի շերտավոր հերթագայող նստվածքների գինամոմետամորֆիզմի արդյունք: Երկաթի կոլլոիդալ հիդրօքսիդների և սիլիկանոզի հերթագայող ենթաշերտերի նստեցումը կատարվել է մինչքեմբրյան ծովերում, առափնյա գծից որոշ տարածության վրա, համեմատաբար խորջրյա պայմաններում, որը հաստատվում է հանքային հաստվածքներում բեկորային նյութի բացակայությամբ:

Երկաթային կվարցիտների առաջացման համար ելանյութ ծառայող նստվածքային շերտախմբերի համեմատաբար խործովյա բնույթը հաստատվում է նաև Հարավային Աֆրիկայում վերջերս հայտնաբերված խոշոր երկաթահանքային ավազանում կատարված գեոլոգիական ուսումնասիրություններով: Այստեղ մինչքեմբրյան ծովի առափնյա գծից որքան հեռանում ենք, տեղի են ունենում բեկորային ավազաքարային ցեմենտում ամփոփված մերձափնյա մետամորֆացված օօլիտային հանքանյութերի ֆացիալ անցումներ դեպի երկաթային կվարցիտները, որոնք իրենցից ներկայացնում են կոլլոիդալ լուծույթներից առաջացած ավելի խորջրյա նստվածքներ:

Մինչքեմբրյան դարաշրջանում խորջրյա երկաթային քիմիական նստվածքների խիստ գերակշռումը մերձափնյա նրստվածքների համեմատությամբ, ըստ Ն. Մ. Ստրախովի (1947), բացատրվում է մինչքեմբրյան ծովերի հավանաբար ցածր աղիու-

թյամբ, որի պայմաններում երկաթը մերձավայրային զոնայում կոագուլյացիայի չի ենթարկվել, այլ զգալի քանակությամբ տեղափոխվել է ալագանի ավելի հեռավոր և խոր մասերը, որտեղ և նստել է:

Երկաթի հիդրօքսիդների բարակ ենթաշերտերի հերթագայումը կոլլոիդալ սիլիկահողի նույնպիսի ենթաշերտերի հետ կապված է ջրում երկաթի և սիլիկահողի կոլլոիդների նստեցման տարրեր արագության հետ, որը հաստատվում է քիմիկոսներ Մուրի և Մեյնարդի փորձով: Անոթի մեջ քաղցրահամ ջրի վրա ավելացվում է երկաթի հիդրօքսիդների կոլլոիդալ միացությունների և SiO_2 խառնուրդի լուծույթ. այդ լուծույթից սկզբում անոթի հատակում բարակ ենթաշերտի ձևով նստում են երկաթի հիդրօքսիդները SiO_2 փոքր մասի հետ, իսկ ավելի ուշ երկաթի հիդրօքսիդների վրա նստում է կոլլոիդալ սիլիկահողի ենթաշերտ՝ երկաթի հիդրօքսիդների փոքր խառնուրդով: Լուծույթի նոր բաժինների հավելույթն առաջացնում է այդպիսի ենթաշերտերի կրկնվող նստեցում, որոնք ըստ քիմիական կազմի շատ մոտ են երկաթային կվարցիտներին հանքային և ոչ հանքային ենթաշերտերին (Moore and Maynard, 1929):

Քանի որ հեշտ է պատկերացնել երկաթի միացություններին և սիլիկահողի պարբերական մուտքը մայր ցամաքից ծովային ավազանները, ապա երկաթի հիդրօքսիդների և սիլիկահողի հերթագայող ենթաշերտերի հզոր շերտախմբերի առաջացման պրոցեսը գտնում է բավականին ճշգրիտ բացատրություն:

Նկարագրված կազմի նստվածքային շերտախմբերի գինամոմետամորֆիզմն ուղեկցվել է երկաթի հիդրօքսիդների հաշվին մագնետիտի ու հեմատիտի առաջացումով, իսկ կոլլոիդալ սիլիկահողի հաշվին՝ կայծքարային ենթաշերտերի առաջացումով, որի հետևանքով էլ ձևավորվել են երկաթային կվարցիտների հզոր շերտախմբերը:

Հարուստ հանքանյութերի ծագման վերաբերյալ արտահայտվել են մի քանի հիպոթեզներ, որոնցից գլխավորները ժամանակագրական կարգով քննարկվում են ստորև:

Սինգենետիկ հիպոթեզը (Կոնտիկենց, Պյատնիցկի) ենթադրում է, որ հանքային կուտակներն առաջացել են պարունակող ապարների հետ միաժամանակ: Այս հիպոթեզը հավանություն չի գտել, քանի որ հանքամարմինների տեղադրման

ձևը և կոնտակտների բնույթն անվիճելիորեն խոսում են հանքանյութերի էպիդենետիկ ծագման մասին:

Մագմատիկ հիպոթեզը (Տանատար) ենթադրում է մետամորֆոզային շերտախմբի մեջ հանքային մագմայի ներթափանցում, որն առաջացրել է ինչպես երկաթային կվարցիտների նուրբ զսլավորությունը, այնպես էլ առանձին հանքամարմիններ: Հետադրում Տանատարի կողմից մագմատիկ ներթափանցումը փոխարինվում է «գազաջրային» ներթափանցումով, սակայն այս վարիանտով ևս հիշյալ հիպոթեզը կողմնակիցներ չի գտել և ներկայումս ընդունված չէ:

Հիդրոթերմալ-մետասոմատիկ հիպոթեզ (Պյատոնիցկի, Սեմենենկո), որի համաձայն հանքանյութերը գոյացել են հիդրոթերմալ այն լուծույթների շրջանառությամբ հետևանքով, որոնք կվարցային ենթաշերտերը տեղակալել են մագնետիտով և հեմատիտով:

Հիդրոթերմալ հիպոթեզը (Բելեցկ) ներկայումս համարվում է ամենալրիվ մշակվածը: Յա. Ն. Բելեցկը նախ և առաջ տարբերում է Հյուսիսային, Կենտրոնական և Հարավային դաշտերի ծագումը: Այնուհետև, այդ հեղինակը Կենտրոնական դաշտի հանքամարմինների կառուցվածքում սահմանում է հետևյալ օրինաչափությունները՝

ա) Հանքային միներալները միևնույն ենթաշերտերը թափանցում են պարունակող ապարներից հանքամարմինների մեջ:

բ) Կվարցային և այլ ոչ հանքային ենթաշերտերը մոտենալով հանքամարմնի կոնտակտին, աստիճանաբար բարակում և կոնտակտում սովորաբար սեպաձև կտրվում են:

գ) Հանքամարմինների կոնտակտները սովորաբար աստիճանական են («գրիֆուզային են»):

Հանքանյութերի կազմի վերը նշված կախվածությունը պարունակող ապարների կազմից, ինչպես և մյուս բոլոր փաստերը Բելեցկին թույլ տվեցին ենթադրելու, որ Կրիվոյ Ռոգի հանքամարմիններն առաջացել են երկաթային կվարցիտներից սիլիկահոդի հեռացման հետևանքով, ընդ որում սիլիկահոդի հեռացման գործոն են հանդիսացել ալկալային հիդրոթերմալ լուծույթները: Վերջինները շարժվել են ֆլեկսուրանման ծովածքներից հարող ապարների ամենաձեղքավորված մասերով. դրանով էլ բացատրվում է Սկսապանյան դաշտի սահմաններում առանձին հանքային հանվույցների առկայությունը:

է կզոգեն հիպոթեզը (Մարտինենկո, Կոտլյար, Ստա-
րիցկի), հիմնվելով սիլեիկահողի տարալվացման փաստերի և
հանքանյութերի միներալոգիական կազմի վրա (մարտիտ, հիդ-
րոնեմատիտ), պնդում է, որ նրանց առաջացումը պարտական է
մթնոլորտային ջրերին:

Մակերեսային ջրերի շրջանառութային համար ամենանպաս-
տավոր տեղամասեր են հանդիսացել մանր ձեղքայնութային զո-
նաները, որոնք առաջացել են ծալքավորութային հանգույցնե-
րում տեկտոնական նախապատրաստման հետևանքով:

Հյուսիսային հանքադաշտը հանքանյութերի կազմով
զգալիորեն տարբերվում է Կենտրոնականից: Այստեղ խիստ գե-
րակշռում են երկու տիպի հանքանյութ՝ ա) մագնետիտային,
բ) հեմատիտ-մարտիտ-մագնետիտային:

Հանքային կուտակները տեղայնացած են պարունակող
ապարների տեղադրումից անկախ, հատում են նրանց և հարում
գնեպլյան երիտասարդ գրանիտների էկզոկոնտակտներին: Հան-
քանյութերի տարածման շրջանը միաժամանակ հանդիսանում
է ալկալային տեղակալման լայն զարգացման շրջան. վերջինում
լայնորեն տարածված են ալկալիսի միներալներ, ինչպիսիք են
էգիլինը, սիբեկիտը, ալբիտը, բիտիտը, ամֆիբոլները, կարբո-
նատները (անկերիտ, գոլումիտ):

Մագնետիտային հանքանյութերը սերտորեն կապված են
մագնետիտ-կումմինգտոնիտային թերթաքարերի հետ, որոնք
առաջացել են երկաթային կվարցիտների և թերթաքարերի հաշ-
վին, այսպես կոչված երկաթային տեղակալման էտապում, որն
ուղեկցվել է կվարցացումով:

Հեմատիտ-մարտիտ-մագնետիտային հանքանյութերն առա-
ջացել են ավելի ուշ էտապում և կապված են մագնետիտային
հանքանյութերի ալկալային տեղակալման հետ. այստեղ տարած-
ված են մուշկետովիտ, մագգյումիտ, էգիլին, ալկալային ամֆի-
բոլ (ոիբեկիտ), ալբիտ և պահպանվում են կումմինգտոնիտի
մնացորդներ:

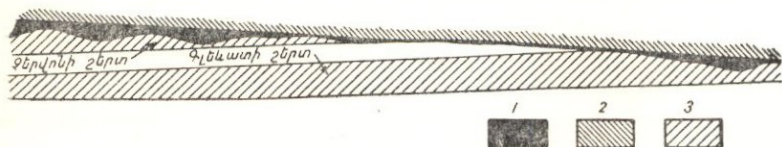
Ըստ Վ. Ի. Սենյուկովի գիտումների, ալկալային տեղակա-
լումը հաջորդում է երկաթայինին և վերադրվում նրա վրա,
ընդ որում մագնետիտային հանքանյութերի տեղակալման (ադ-
քատացման) պրոցեսները խորքում ուժեղանում են:

Երկու պրոցեսն էլ ունեն հիդրոթերմալ-մետասոմատիկ
ընույթ և սերտորեն կապված են հետիլիվոյոտոգյան կարմիր

միկրոկլինային գրանիտների հետ. տեղ-տեղ նրանք ուղեկցվում են սուլֆիդային հանքայնացումով:

Մագնետիտային հանքանյութերում Fe պարունակությունը հասնում է 62—65⁰/₀, մագնետիտ-ամֆիբոլային թերթաքարերում՝ 28—35⁰/₀, իսկ մագնետիտի ալիալային տեղակալման ինտենսիվ զարգացման ժամանակ առաջացած ալբիտիտային և էգիրինային ապարներում այն իջնում է մինչև 16⁰/₀:

Հյուսիսային հանքադաշտի տեսակարար կշիռն ավազանի երկաթի քնդհանուր հանույթի մեջ աննշան է:



Նկ. 19. Չերվոնի և Պլեկատի տարածման շերտաձև հանքայնացման առաջացման սխեման (քառ. Ն. Պ. Սեմենենկոյի)

1—հանքանյութ, 2—վերհանքային շերտախումբ, 3—երկաթային կվարցիտներ և եղջրաքարեր:

Հարավային (Իլլիչի) հանքադաշտը գտնվում է Կրիվոյ Ռոգ քաղաքից դեպի հարավ: Նրա համար բնորոշ է այն, որ հանքանյութերը հարում են Կրիվոյ Ռոգի ենթաշերտախմբի միջին և վերին (K_2 և K_3) բաժինների կոնտակտին, ունեն շերտանման կուտակների կամ խոշոր սալնյակների ձև: 4—5 մ կարողություն հանքային կուտակներից մեկն ունի 800 մ երկարություն (նկ. 19) և գիտվում է որպես նստվածքային մետամորֆացած առաջացում:

Այս դաշտի հանքանյութերն իրենց կազմով հիշեցնում են ինչպես Կենտրոնական, այնպես էլ Հյուսիսային դաշտերի հանքանյութերը. այստեղ հանդիպում են՝ ա) մագնետիտ-մարտիտային, բ) մարտիտ-հիդրոհեմատիտային, գ) մագնետիտ-քլորիտային, մագնետիտ-ամֆիբոլային, մագնետիտ-կարբոնատային հանքանյութեր: Առաջին և հատկապես երրորդ տիպը համապատասխանում են Հյուսիսային դաշտի հանքանյութերին, իսկ մարտիտ-հիդրոհեմատիտային հանքանյութերը ոչնչով չեն տարբերվում Սակսագանյան դաշտի հանքանյութերից:

Հանքակուտակներն այստեղ տեղադրված են կամ K_3 ենթաշերտախմբում, նրա ստորին կոնտակտի մոտ, առաջին

20—30 մ սահմաններում, կամ K_2 -ի ամենավերին մասերում: Ընդամին K_3 -ում սովորաբար տեղադրված են մագնետիտային, իսկ K_2 -ում՝ մարտիտային հանքանյութերը:

Հարավային դաշտի հանքանյութերի ծագումը վերջնականապես պարզարանված չէ: Երկաթի պաշարները և հանույթնայտեղ աննշան են¹:

Վերջերս Յա. Ն. Բելլեյը, զարգացնելով իր տեսակետը Կրիվոյ Ռոգի հանքանյութերի ծագման վերաբերյալ, Սակսագանյան հանքադաշտի հարուստ հանքանյութերի առաջացման հարցում մեծ տեղ է տալիս ոչ թե հիդրոթերմալ (մագմատոգեն), այլ մետամորֆային ծագման հանքաբեր լուծույթներին:

Կրիվոյ Ռոգի համար ամբողջությամբ վերցրած նա առանձնացնում է հարուստ հանքանյութերի հինգ խոշոր գենետիկ խումբ՝

1) Հիդրոթերմալ—մետասոմատիկ հանքանյութեր (Հյուսիսային հանքադաշտ, ամբողջ պաշարների 3⁰/₀):

2) Մետամորֆային հանքանյութեր, որոնք կապված են մետամորֆային ծագման տաքացած ջրերի շրջանառության հետ (Սակսագանյան հանքադաշտ և մասամբ Հարավային հանքադաշտ, հարուստ հանքանյութերի ամբողջ պաշարների 65⁰/₀):

3) Մետամորֆոգեն—ինֆիլտրացիոն հանքանյութեր (առաջացել են մետամորֆային ծագման հանքանյութերի վրա հին հոգմահարման կեղևի վերագրման հետևանքով): Սրանց են պատկանում Սակսագանյան և Հարավային հանքադաշտերի ներկալեզակները և լեզակները, որոնք կազմում են պաշարների 30⁰/₀:

4) Նստվածքա-մետամորֆային ծագման հանքանյութեր հիդրոթերմալ-մետասոմատիկ պրոցեսների վերագրմամբ (Հարավային հանքադաշտ,—շերտանման կուտակներ, պաշարների 2—3⁰/₀):

5) Ինֆիլտրացիոն և գլաքարային գորշ երկաթաքարեր՝ երրորդական դարաշրջանում երկաթային կվարցիտների և թերթաքարերի միջին ու վերին բաժինների կոնտակտի երկայնքով և մակերեսային պայմաններում կատարված հոգմահարման արդյունք (պաշարների 0,5⁰/₀):

¹ Կրիվոյ Ռոգ հանքավայրի նկարագրության ժամանակ օգտագործվել են Յու. Գ. Ստարիցկու և Վ. Ի. Սենյուկովի կողմից սիրալիբրոեն տրամագրված նյութերը:

Եզրակացութեան մեջ նա միանգամայն իրավացիորեն գրում է՝

«Ըստ երևույթին, Կրիվոյ Ռոգի հանքավայրերը ձևավորվել են մի քանի տարրեր պրոցեսների մասնակցութեամբ և անցել են առաջացման շատ բարդ ուղի՝ ծովային ավազանում առաջնային նստեցումից մինչև մետամորֆոզին, հիդրոթերմալ և հիպերգեն պրոցեսները»:

Կուրսկի մագնիսային անոմալիայի շրջանի հանքավայրերը (ԿՄՍ), Նախիկին Կուրսկի նահանգի սահմաններում մագնիսային անոմալիան, որն առանձնապես ինտենսիվ է Կուրսկ քաղաքից դեպի հարավ և հարավ-արևելք ընկած շրջաններում, հայտնի է եղել դեռևս 1784 թ. (հայտնաբերված է ալադեմիկոս Պ. Բ. Ինոխովցևի կողմից), սակայն նրա պատճառները երկար ժամանակ մնում էին անհայտ:

Միայն Հոկտեմբերյան Մեծ ռևոլյուցիայից հետո, 1919 թվականին, Վլադիմիր Իլյիչ Լենինի կողմից ստորագրված որոշմամբ, այս անոմալիայի պատճառները պարզելու և գործնական նշանակությունը որոշելու նպատակով Աշխատանքի և Պաշտպանութեան Խորհուրդը կազմակերպեց մանրամասն ուսումնասիրություններ:

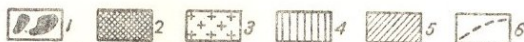
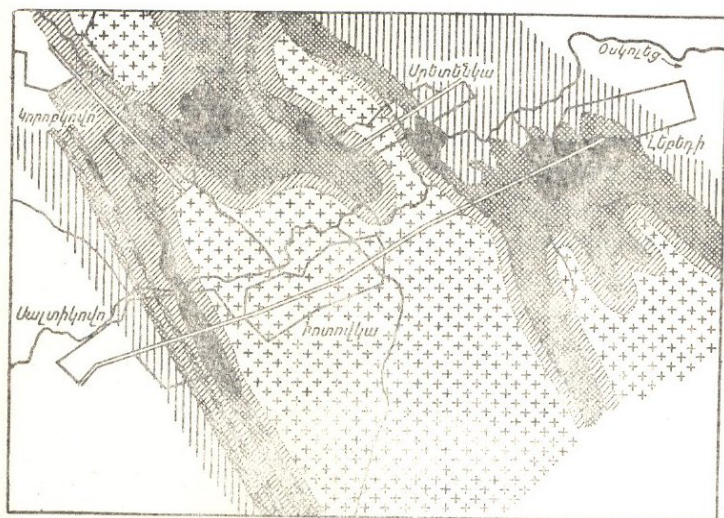
1921 թվականի հունիսին վերված առաջին իսկ հորատանցքը Շչիգրի քաղաքի տեղամասում 167 մ խորութեան վրա հանդիպեց մագնետիտ պարունակող երկաթային կվարցիտների, որով և պարզվեց անոմալիայի պատճառը:

Ներկայումս այստեղ կատարված են գեոլոգո-հետախուզական և գեոֆիզիկական զգալի աշխատանքներ, որոնց հետևանքով ԿՄՍ շրջանը որոշվել է որպես աշխարհիս խոշորագույն երկաթահանքային ավազան, հանքանյութերի հսկայական հեռանկաքային պաշարներով:

Մագնիսային անոմալիաներ հաստատված են ընդարձակ տարածության վրա՝ Մոգիլև քաղաքի լայնությունից մինչև Խարկովի մարզի Կուլյանսկ քաղաքը միջօրեականի ուղղությամբ 600 կմ տարածությամբ և 40-ից մինչև 250 կմ լայնությամբ: 1952 թվականից կազմակերպված են երկաթային կվարցիտների հանույթը և հարստացումը (կոնցենտրատները պարունակում են 60—65% Fe) և նախատեսված է սկսել Լերեգինսկի և այլ տեղամասերի հարուստ հանքանյութերի մշակումը: ԿՄՍ շրջանի երկաթաքարի հանքավայրը Կրիվոյ Ռոգի հանքավայրի հետք

միասին, որպես սովետական մետալուրգիայի հումքային բազա անկասկած մեծ դեր կկատարեն:

ԿՄՍ շրջանը կազմված է 50—500 մ կարողություն ունեցող մեզո-կայնոզոյան և պալեոզոյան հասակի նստվածքային շերտախմբերից, որոնց տակ տեղադրված են մինչքեմբրյան հիմքի ապարները (նկ. 20): Մինչքեմբրի լվացման մակերեսը շատ անհարթ է: Շերտախմբի կազմության մեջ Վ. Ի. Լուչիցկին առանձնացնում է երեք բաժին՝



Նկ. 20. Կուրսկի մագնիսային անոմալիայի շրջանի մինչքեմբրի գեոլոգիական քարտեզ

1—հարուստ հանքանյութերի կուտակներ, 2—երկաթային կվարցիտներ, 3—գնեյսներ և զրանիտներ, 4—բրոտիտային թերթաքարեր, 5—ստորին շերտախմբի սերիցիտ-բրոտիտային և քլորիտային թերթաքարեր, 6—վրաշարժի գիծ:

1) Կերին կրաքարեր, դուրմիտներ, ֆիլլիտանման և բրոտիտային թերթաքարեր:

2) Միջին երկաթային կվարցիտներ (1-ից մինչև 5 շերտ), որոնք տեղ-տեղ հերթազայում են ամֆիբոլային, քլորիտային և բրոտիտային թերթաքարերի հետ: Երկաթային կվարցիտների կարողությունը 200—350 մ է:

3) Ստորին փայլարային և քլորիտային թերթաքարեր, բիտտիտային գնեյսներ: Երկաթային կվարցիտների կոնտակտը նրանց ծածկող վերին բաժնի թերթաքարերի հետ, ինչպես և Կրիվոյ Ռոգում, աններդաշնակ է:

Ստրուկտուրային տեսակետից ԿՄԱ շրջանը ներկայացնում է Վորոնեժյան խոշոր անտեկլիզայի մի մասը, որի կազմի մեջ Բ. Պ. Եպիֆանովն առանձնացնում է հետևյալ զոնաները՝

1) Հյուսիս-արևելյան (Տիմ-Շչիգրովյան) սինկլինալային զոնա:

2) Կենտրոնական (Կուրսկի) անտեկլինալային զոնա:

3) Հարավ-արևելյան (Բելոգորսկի) սինկլինալային զոնա:

Վորոնեժյան անտեկլիզայի զարգացման գեոլոգիական պատմության մեջ նա առանձնացնում է երկու էտապ՝ ա) մինչ-քեմբրյան (Պորիֆեյան) և բ) ետմինչքեմբրյան: Առաջին էտապում առաջացել են երկաթային կվարցիտները և տեղի են ունեցել բազմիցս կրկնվող ծալքավորման շարժումներ: Վերին բաժնի ասպրների նստեցումից առաջ տեղի է ունեցել ընդամիջում, առաջացել է հողմահարման կեղև, որի կապակցությամբ հիշյալ հեղինակն առաջարկում է մնացորդային հարուստ հանքանյութեր որոնել վերին բաժնի նստվածքների տակ:

ԿՄԱ հանքանյութերի մեջ անհրաժեշտ է տարբերել երկու տիպ՝ երկաթային կվարցիտներ և հարուստ հանքանյութեր:

Երկաթային կվարցիտները ներկայացնում են նուրբ շերտավոր ապար հանքային և կվարցային կամ քլորիտ-ամֆիբոլ-բիտտիտային ենթաշերտերի հերթադաշտությամբ: Հանքային միներալներից գերակշռում է մագնետիտը հեմատիտի (երկաթի փայլի և նուրբ դիսպերսային հեմատիտի) և մուշկետովիտի ստորադաս դերով: Փոքր քանակություներով առկա են սուլֆիդներ (պիրրոտին, պիրիտ, խալկոպիրիտ և հազվագեղ արսենոպիրիտ, գալենիտ, սֆալերիտ): Օքսիդացած հանքանյութերում գերակշռում են մարտիտը և հիդրոհեմատիտը, հազվագեղ հանդիպում են գյոթիտ և հիդրոգյոթիտ: Երակային միներալները ներկայացված են կվարցով, պիրոքսենով, ամֆիբոլով, քլորիտով, փայլարներով, կարբոնատներով, հազվագեղ սֆենով, ապատիտով և այլն:

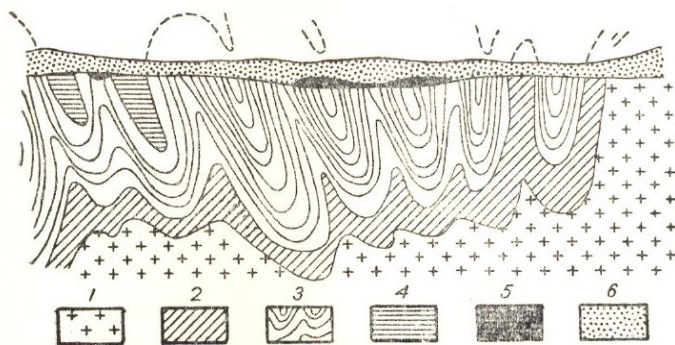
Fe պարունակությունը երկաթային կվարցիտներում տատանվում է 25-ից մինչև 45⁰/₁₀ սահմաններում, առանձին տեղամասերում միջին հաշվով կազմելով 33—39⁰/₁₀: S պարու-

նակությունը կազմում է տոկոսի հարյուրերորդ և տասներորդ մասեր (մինչև $0,8\%$), P—տոկոսի հարյուրերորդ մասեր (հազվագեղ մինչև $0,7\%$), MnO մինչև $0,1\%$, TiO_2 մինչև $0,22\%$ ։

ԿՄԱ-ի հարուստ հանքանյութերը ներկայացված են տարրեր՝ նստվածքային, մնացորդային և հիպոգեն առաջացումներով։

Նստվածքային հանքանյութերի հանքավայրերը մասշտաբով մեծ չեն, տեղադրված են դեռնի, կարբոնի և յուրայի փուխը նստվածքների մեջ, ներկայացնելով վերավազված մեխանիկական նյութի նստեցման (կոնգլոմերատա-բրեկչիանման և ավազախառն հանքանյութեր, Fe 40—60%), կամ կոլլոիդալ լուծույթներից նստեցման (մանր օօլիտային հեմատիտային, հիդրոհեմատիտային և սիդերիտ-քլորիտ-հիդրոգյոթիտային հանքանյութեր, Fe 28—40%) արդյունք. հանքանյութերի աղբյուր են հանդիսացել գլխավորապես երկաթային կվարցիտները։

Ամենամեծ տարածում և արդյունաբերական նշանակություն ունեցող հողմահարման կեղևի մնացորդային հանքանյու-



Նկ. 21. ԿՄԱ, սխեմատիկ կտրվածք Կորսովի տեղամասի վրայով (ըստ Զագյանի)

1—զրանիտո-գնեյս, 2—ստորադիր շերտախմբի տալի-սերիցիտային և այլ թերթաքարեր, 3—երկաթային կվարցիտներ, 4—քլորիտ-հոբլենդային թերթաքարեր, 5—հանքանյութ, 6—երիտասարդ նստվածքային ապարներ։

թերը (նկ. 21) տեղադրված են երկաթային կվարցիտների շերտերի գլխին (հողմահարման կեղևի մահերեսային տիպ), կամ հարում են նրանց մեջ եղած ճեղքերին և բեկորատման զոնաներին (հողմահարման կեղևի գծային տիպ)։ Մնացորդային հանքանյութերի կարողությունը (տարածման խորությունը) սովոր-

բարար կազմում է տասնյակ մետրեր, սակայն երբեմն հասնում է 150-ից մինչև 270 մ:

Զուլավոր տեքստուրայի հանքանյութերը մարտիտային և հիդրոհեմատիտային են, գյսթիտի, հիդրոգյոթիտի, հազվադեպ մագգյոմիտի հետ: Վերին հորիզոններում լայնորեն զարգացած է սիդերիտը, առաջանում են մանգանի հիդրօքսիդներ, պիրիտ և մարկազիտ:

Սիդերիտն առաջանում է հեմատիտի երկաթի հաշվին CO_2 -ով հարուստ մակերեսային ջրերի շրջանառության պրոցեսում: CO_2 -ի ներթափանցման խորությունը սովորաբար 5—10 մ է և խորքում սիդերիտի քանակութունն արագ նվազում է: Սուլֆիդներն առաջացել են սուլֆատներ պարունակող (S փոխ է առնվել բուսական մնացորդներով հարուստ նստվածքներից) դեանաջրերի ներթափանցման և երկաթի հետ նրանց փոխազդեցության հետևանքով: Սուլֆիդները, ինչպես նաև սիդերիտը, տարածված են ամենավերին հորիզոններում:

Մնացորդային հանքանյութերը գրավում են մինչև մի քանի քառ. կիլոմետր տարածություն և բնորոշվում են խոշոր պաշարներով ու հանքանյութերի բարձր որակով, որոնք պարունակում են 47—66% Fe, 0,04 մինչև 0,7% S (բարձր պարունակությունը հատուկ է միայն վերին հորիզոններին), 0,02—0,1% P:

Հիպոգեն հանքանյութերը հայտնաբերվել են վերջին տարիները կերեգինակի և Սալտիկովա-Կորոբկովսկի տեղամասերում, որտեղ նրանք ներկայացված են հեմատիտ-մագնետիտային հանքանյութերի ոչ մեծ մեծաքանակությամբ մարմիններով և երակներով, որոնց առաջացումն ուղեկցվել է ալիալային և մագնետիտային մեծաքանակությամբ էնդոգեն պրոցեսներով:

Մ. Ի. Կալգանովը, որն ուսումնասիրել է ԿՄԱ շրջանը, հարուստ հանքանյութերի հանքավայրերի առաջացման համար առանձնացնում է հետևյալ էտապները՝

ա) Մինչ միջին դեոնյան. Երկաթային կվարցիտների հաշվին մնացորդային հանքանյութերի առաջացման ցամաքային ժամանակաշրջան: Այս հանքանյութերի մեծ մասը լվացված է:

բ) D_2 մինչև C_1 ՝ ծովային ժամանակաշրջան: Մնացորդային հանքանյութերի լվացում և նստվածքային հանքանյութերի նստեցում:

գ) C_2 — J_1 ՝ ցամաքային ժամանակաշրջան: Երկաթային

կվարցիտների օքսիդացում և երկաթի մնացորդային հարուստ հանքանյութերի ձևավորում: Տեղ-տեղ հավանաբար տեղի է ունեցել մնացորդային հանքանյութերի սիդերիտացում և նրանց մասնակի լվացում:

դ) $J_1 - Olg_1$ ՝ ծովային ժամանակաշրջան: Յուրայում տեղի է ունեցել մնացորդային հանքանյութերի մասնակի լվացում և նրանց վերանստեցում նստվածքային հանքանյութերի ձևով:

ե) Olg_1 —մինչև այժմ: Մնացորդային հանքանյութերը գտնվում են նստվածքային ապարների հզոր ծածկոցի տակ և էսկան փոփոխությունների չեն ենթարկվում:

Վերին լճի շրջանի հանքավայրերը, որոնք գրտնըվում են Միննեսոտա, Միչիգան և Վիսկոնսին նահանգներում, ԱՄՆ-ի համար ունեն լճոսկան նշանակություն, տալով տարեկան 60-ից մինչև 80 մլն. տ. հանքանյութ: Այստեղ շահվում են մի քանի հազար ոչ մեծ հանքավայրեր, որոնք ենթակա են Մեզեյբի, Մարկետ, Գոգերիկ, Վերմիլյոն, Կյուելյունա և այլ բլրաշարքերը կազմող երկաթային կվարցիտների մինչքեմբրյան շերտախմբերին:

Շրջանի կտրվածքը վերից վար հետևյալն է՝

1. Քեմբրի—ավազաքարեր:

2. Ալգոնկի սերիա:

ա) Կյուելյունա—ավազաքարեր, հիմքային լավաների ծածկոցներ և հիմքային ինտրուզիաներ:

բ) Հուրոն. վերին հուրոն (անայմիկ)—կվարցիտներ, երկաթային ֆորմացիա, թերթաքարեր, միջին հուրոն—երկաթային ֆորմացիա, թերթաքարեր, կվարցիտներ. ստորին հուրոն—կվարցիտներ, կոնգլոմերատներ, գոլամիտներ, թերթաքարեր, բազալազան ինտրուզիաներ:

3. Արխեյան սերիա:

ա) Լավրենտյան գրանիտներ և գնեյսներ:

բ) Կյուոտին. վերին—երկաթային ֆորմացիա, նստվածքային և մետամորֆային ապարներ. ստորին—հիմքային կազմության, մասամբ մետամորֆացված լավաներ:

Երկաթային ֆորմացիաները ներկայացված են եղջրաքարերով և ջեպիլիտներով, որոնք նման են Կրիվոյ Ռոզի ապարներին, սակայն ավելի թույլ են մետամորֆացված: Կրիվոյ Ռոզից Վերին լճի հանքավայրը տարբերվում է նրանով, որ այստեղ երկաթային ֆորմացիաները հարում են տարբեր հասակի երեք

շերտախամբի (վերին հուրոն, միջին հուրոն և կյուռտին), երկաթահանքային ֆորմացիաների ընդհանուր կարողությունը 300—400 մետր է, ընդ որում տնտեսական գլխավոր նշանակություն ունեն վերին երկու ֆորմացիան և հատկապես միջին հուրոնյանը:

Արդյունաբերական նշանակություն ունեն մասսիվ հանքանյութերի ոսպնյակաձև և սյունաձև կուտակումները, որոնց մի մասը հետամտվում է շատ խոր՝ մինչև 800—1200 մ (ինչպես Կրիվոյ Ռոգում), իսկ մյուս մասը մի քանի տասնյակ մետր խորություն վրա արագորեն սեպաձև կտրվում է (ԿՄԱ հանքային կուտակներին նման): Հանքամարմինների կարողությունը հասնում է 100 մ, իսկ սովորաբար կազմում է տասնյակ մետրեր:

Հանքանյութերը կվարց-հեմատիտային են, հազվադեպ կվարց-մագնետիտային, մարտիտային և գյոթիտային: Հանքանյութերում որպես սովորական ուղեկիցներ ավելի կամ պակաս քանակությամբ կան ստիլպնոմելան (երկաթի սիլիկատ), միննեսոտիտ (երկաթային տալի), գրյուներիտ (երկաթային ամֆիբոլ), գրինալիտ (երկաթի ջրային սիլիկատ) և գլաուկոնիտ: Հարուստ հանքանյութերը պարունակում են 50—62% Fe, հարյուրերորդական մասերից մինչև 0,1% S և P:

Կյուխունա հանքային բլրաշարքում հանքամարմինները մինչև 300 մ լայնությամբ և 50—150 մ կարողությամբ, ըստ տարածման հետամտված են մինչև 1500 մ:

Երկաթային հանքանյութերի հիմքում տեղադրված են մանգանով հարստացած ենթաշերտեր (8—9 մինչև 22% Mn պարունակությամբ):

Վերին լճի շրջանի հարուստ հանքանյութերի պաշարները կազմում են մոտավորապես 1 միլիարդ տ. (մշակման ժամանակամիջոցում հանված է 2,5 միլիարդ տ. հանքանյութ), երկաթային կվարցիտների պաշարները, 35% Fe միջին պարունակությամբ, կազմում են 70 միլիարդ տոննա:

Վերին լճի հանքավայրերի ծագման հարցը լրիվ ուսումնասիրված չէ: Լեյսը հարուստ կուտակումների առաջացումը կապում է մակերեսային ջրերի գործունեության հետ, իսկ Գրյուները (1937, 1946)՝ հիդրոթերմալ լուծույթների շրջանառության հետ: Ուրիշ գեոլոգներ արտահայտում են կոմպրոմիսային տեսակետ (1943) և առանձնացնում են հանքանյութեր, առաջացած հիդրոթերմալ տեղակալման պրոցեսում (Վերմիլյոն, Գո-

գերիկ, Մարկետ բլրաշարքեր) և հանքանյութեր, կապված մթնոլորտային ջրերի շրջանառության հետ (Մեզելբի բլրաշարք):

Մեզելբի բլրաշարքի հարուստ հանքանյութերի հետ մեկտեղ արգյունաբերական հետաքրքրություն են ներկայացնում մագնետիտային կվարցիտները, որոնց մեջ մագնետիտն առաջացել է հեմատիտի հաշվին գարբրոյի ինտրուզիվի ազդեցության ներքո: Այդպիսի մագնետիտային կվարցիտները, ծախվարդ տոննա հանքանյութի պաշարներով, հեշտությամբ հարստացվում են և նրանցից կարող են ստացվել մինչև 68% Fe պարունակող կոնցենտրատներ:

Բրազիլիայի հանքավայրերը: Հարուստ հանքանյութերի ամենախոշոր արգյունաբերական հանքավայրերը գրտնրվում են Մինաս-Գերասես շրջանում և ենթակա են պրոտերոզոյան շերտախմբին, որի մեջ վարից վեր առանձնացվում են չորս հորիզոն՝ կվարցիտներ, թերթաքարեր, իտաքիլիտներ (երկաթային կվարցիտներ), թերթաքարեր: Ամենից ավելի լավ պահպանված է իտաքիլիտների հորիզոնը՝ 300 մ կարողությամբ:

Շրջանում զարգացած են բազմազան ավելի երիտասարդ ինտրուզիվ ապարներ՝ ուլտրահիմքայիններից մինչև թթու գրանիտները:

Իտաքիլիտը, որն իր կառուցվածքով համանման է երկաթի մետամորֆոզեն հանքանյութերի զարգացման այլ շրջանների երկաթային կվարցիտներին կամ ջեպպիլիտներին, պարունակում է 40—45% Fe. SiO₂ տարալվացման հետևանքով վերին հորիզոններում Fe պարունակությունը հասնում է 55, տեղ-տեղ մինչև 66%:

Հարուստ, այսպես կոչվող պինդ հանքանյութերը ներկայացված են հեմատիտով և առաջացել են իտաքիլիտից, այնտեղ, որտեղ կայծքարային ենթաշերտերում շատ կարևոնատ (գոլոմիտ) է եղել, հեմատիտի փոխարեն առաջացել են մագնետիտ և մարտիտ: Այդ պինդ հանքանյութերն առաջացրել են փոփոխական կարողության ոսպնյակներ (մի քանի սանտիմետրից մինչև 300 մ) մինչև 1000 մ երկարությամբ և համարյա բոլորը տեղադրված են իտաքիլիտների մեջ, որտեղ նրանք ծագել են իտաքիլիտի կվարցային ենթաշերտերը հեմատիտով և երկաթի այլ միներալներով տեղակալելու ճանապարհով: Անհրաժեշտ է նշել, որ պինդ հանքանյութերի մեջ պահպանվում է իտաքիլիտի կառուցվածքը, իսկ շատ դեպքերում պինդ հանքանյութի ոսպնյակներում

պահպանվում են նաև մնացորդներ՝ իտաբիրիտի չտեղակալված բլոկները: Հետաքրքրական է, որ հարուստ պինդ հանքանյութերը, որպես կանոն, հարում են իտաբիրիտներին երկրորդ կարգի ծալքերի առանցքային մասերին. հավանական է, որ այն տեղամասերում, որտեղ տեղի է ունեցել մաքսիմալ ճնշում, SiO_2 լուծելիությունը հեմատիտի լուծելիության համեմատ խիստ աճել է:

Պինդ հանքանյութերի հետ մեկտեղ ավելի փոքր տարածում ունեն «կանգե» տիպի հանքանյութերը (լիմոնիտով ցեմենտացված պինդ հանքանյութի բրեկչիա) և փափուկ հանքանյութերը, որոնք ներկայացնում են պինդ հանքանյութերի հողմնահարման և մասամբ միլոնիտացման հետևանքով առաջացած փոշենման հեմատիտ:

Շահագործվում և արտահանվում են շատ հարուստ պինդ հանքանյութերը $\text{Fe } 68,7\%$ և $\text{P } 0,036\%$ պարունակությամբ:

Այդ հարստագույն համաշխարհային հանքավայրերի առաջացման պայմանները լրիվ պարզարանված չեն. մասնավորապես պարզ չէ լուծույթների բնույթը (սուպերգեն են, թե կապված են ինտրուզիվների հետ), որոնց շրջանառությունը պայմանավորել է հարուստ հանքանյութերի առաջացումը, և մասամբ պարզ չէ հարուստ հանքանյութերի երկաթի աղբյուրը: Հարցը նրանումն է, որ հանքամարմինների մոտ իտաբիրիտները տարալվացված չեն և նույնիսկ փոքր-ինչ հարստացած են երկաթով, ուստի ավելի տրամաբանական է համարել, որ երկաթը տարալվացվել է ամբողջ շերտախմբից, տեղափոխվել և վերանստել է բարենպաստ պայմաններում ու հորիզոններում: Այնուամենայնիվ Բրազիլիական գեոլոգների մեծամասնությունը համաձայն է, որ տեղակայումը թափանցել է մեծ խորություններ և ընթացել է ջերմաստիճանի բարձրացման պայմաններում (Symposium sur les gisements de fer du monde, 1952):

Հնդկաստանի հանքավայրերը: Ամենախոշոր հանքավայրերը գտնվում են Բիհար (Սինգբուլի շրջան) և Օրիսա մարզերում և հարում են մինչքեմբրյան շերտախմբին (երկաթահանքային սերիա), որը բաղկացած է լավաների և տուֆերի հետ հերթագայող երկաթային կվարցիտներից ու թերթաքարերից: Այս սերիայի մեջ ներգրված են հիպերբազիտներ և գրանիտներ: Երկաթային կվարցիտները ծալքավորված են և առաջացնում են բլրաշարքեր, որոնց վերին մասերում գոյացել են հարուստ հանքանյութերի հզոր կուտակումներ:

Երկաթային կվարցիտների կայծքարային և հանքային առանձին ենթաշերտերի կարողությունը միլիմետրի մասերից հասնում է մինչև 2,5—4 սմ: Կայծքարային ենթաշերտերում գերակշռում է խալցեդոնանման և միկրոբյուրեղային կվարցը, որը նայած նրա մեջ երկաթի պարունակությունը, ներկված է դեղին, կարմիր կամ դորշ գույներով:

Մանրագիտակի տակ կվարցի մեջ դիտվում են հեմատիտի մանր ներփակումներ, երբեմն մագնետիտի և մարտիտի բյուրեղիկներ, կվարցի մանր շեղանկյունիներ (պսևդոմորֆոզներ ըստ սիդերիտի): Մակերեսում կվարցը մասամբ տարալվացված է: Հանքային ենթաշերտերը կազմված են հեմատիտից և մարտիտի ոչ մեծ քանակությամբ, երբեմն նրանց մեջ հանդիպում է մեծ քանակության մագնետիտ:

Երկաթային կվարցիտների շերտախմբի ընդհանուր կարողությունը հասնում է 900 մետրի, սակայն հավանական է, որ դա իրական կարողությունը չէ, որն զգալիորեն ավելի փոքր է: Երկաթային կվարցիտներում Fe պարունակությունը տատանվում է 20-ից մինչև 30,5⁰/₁₀₀:

Երկաթային կվարցիտների շերտախմբին ենթակա են մասսիվ հանքանյութերի կուտակումներ, նրանց միջև դիտվում են աստիճանական անցումներ և երբեմն հաջողվում է հետամտել առանձին ենթաշերտերի անցումը կվարցիտներից դեպի մասսիվ հանքանյութը: Վերջինի մեջ հանդիպում են երկաթային կվարցիտների չփոփոխված մնացորդներ, սակայն այդ բյուրեղներն այնուամենայնիվ որոշ չափով հարստացած են երկաթով: Մասսիվ հանքանյութերը հիմնականում կազմված են հեմատիտից, տարածվում են մակերեսից մինչև 30 մ երբեմն ավելի խոր, իսկ ավելի ցած տեղադրված են շերտավոր և փոշենման հանքանյութերը, հանքային ենթաշերտերի միջև գտնվող դատարկություններով, որոնք լցված են երկաթի փոշենման հիդրօքսիդներով:

Մասսիվ հանքանյութերում Fe պարունակությունը միջին հաշվով կազմում է 62⁰/₁₀₀, P—0,08⁰/₁₀₀, S—0,01⁰/₁₀₀: Շերտավոր և փոշենման հանքանյութերը փոքր-ինչ ավելի աղքատ են և պարունակում են 55—60⁰/₁₀₀ Fe:

Երկաթային կվարցիտների հզոր շերտախմբի առաջացումը մի շարք հետազոտողների կողմից բացատրվում է մայր ցամաքից SiO₂ և Fe միացությունների տեղափոխումով մինչքեմբրյան ավազանը, իսկ մյուսների կողմից՝ ստորջրյա հրաբխային

գործունեությունը, որն ուղեկցվել է Ֆումարոլ-սուֆատարային ստադիայում SiO_2 և Fe ներմուծումով:

Մասսիվ հանքանյութերը գլխավորում են որպես կայծքարային ենթաշերտերի կվարցը երկաթի հիդրատներով տեղակալելու արդյունք, որոնք հետագայում վերափոխվել են հեմատիտի: Այնտեղ, որտեղ տեղակալումը լրիվ չի եղել, առաջացել են ծակոտկեն, թերթավորված, փոշենման հանքանյութեր, իսկ մերձ-մակերեսային զոնայում՝ մասսիվ հանքանյութեր, որոնց մեջ ծակոտիները լիովին լցված են երկաթի հիդրատներով: Միլիկահողի տարավայրում, երկաթի տեղափոխումը և վերանստեցումը կապվում է մակերեսային ջրերի շրջանառության հետ:

Առանձին տեղամասերում, ինտրուզիվների կոնտակտներում, տեղ-տեղ, որտեղ հանքանյութերը ենթարկվել են մետամորֆիզմի, երկաթային (հեմատիտային) կվարցիտները վերամշակված են գրյուններիտ-կոլումմինգատնիտ պարունակող կվարցմագնետիտային հանքանյութերի (Symposium sur les gisements de fer du monde, 1952):

ԸՆԴՀԱՆՐԱՅՈՒՄ ԵՐԿԱԹԻ ՎԵՐԱԲԵՐՅԱԼ ԵՎ ՈՐՈՆՄԱՆ ՆՇԱՆՆԵՐԸ

Երկաթն արդյունաբերական խոշոր կուտակումներ է տալիս էնդոգեն, էկզոգեն և մետամորֆոգեն տիպի հանքավայրերում: Արդյունաբերական տեսակետից հատկապես կարևոր են մետամորֆացված և նստվածքային հանքավայրերը. պակաս նշանակություն ունեն երկաթային լատերիտների տիպի, հիստերոմագմատիկ, սկանոնային և հիդրոթերմալ հանքավայրերը:

Երկաթի նշված տիպերի հանքավայրերի առաջացման գեոլոգիական պայմանները և հանքանյութերի կազմը տարբեր են, ռստի նրանց որոնման նշանները, նկարագրվում են առանձին-առանձին:

Մետամորֆոգեն (մետամորֆացված) հանքավայրերը հարում են մինչքեմբրյան, գլխավորապես պրոտերոզոյան հասակի շերտախմբերին, որոնք տարածված են վահանների սահմաններում կամ մերկացած են ծալքավոր զոնաների խոր վայրված տեղամասերում: Հանքավայրերը ներկայացված են երկաթային կվարցիտների հզոր (մինչև 200—300 մ) հորիզոններով, որոնց մեջ տեղագրված են հարուստ մասսիվ հանքանյութերի

կուտակումներ, որոնք առաջացել են հիդրոթերմալ, մետամորֆային կամ, այլ դեպքերում, մթնոլորտային ջրերի կողմից երկաթի վերանստեցման պրոցեսում: Լուծույթների շրջանառության հետ կապված հարուստ հանքանյութերի տեղայնացումը վերահսկվում է բեկորատման գոնաներով, էկրանավորող թերթաքարերի կոնտակտներով կամ հին հողմահարման մակերեսներով: Այն դեպքերում, երբ մասսիվ հանքանյութերի առաջացումը սրոշակիորեն կապված է էնդոգեն պրոցեսների հետ, նրանց բաշխումը վերահսկվում է գրանիտոիդների հետ եղած էկզոկոնտակտի գոնայով, այսինքն՝ Լուծույթների ազդրուրով և ակալալին մետասոմատոզի (էգիլինացման, ալբիտացման) գրսևարման տեղամասերով:

Երկաթային կվարցիտների հզոր շերտախմբերի երկաթի ազդրուրն են հանդիսացել լատերիտային ծածկոցները, իսկ մի շարք հետադոտողների կարծիքով՝ հիմքային կազմության էֆուզիվների արտավիժումները, որոնց առկայությունը շրջանի մինչքեմբրյան կտրվածքում երկաթով հարուստ հզոր շերտախմբերի առաջացման համար գրական նշան է համարվում:

Մետամորֆոզեն հանքավայրերի հանքանյութերը շատ բարձրորակ են (Fe—50—70%, S և P—տոկոսի հարյուրերորդական մասեր). նրանց բաժին է ընկնում երկաթի հանքանյութերի համաշխարհային հանույթի մոտավորապես 60% (Կրիվոյ Ռոզ, ԿՄԱ, Վերին լիճ, Հնդկաստանի, Բրազիլիայի և այլ հանքավայրեր):

Հանքանյութերում մագնեալտի սովորական գերակշռումը թույլ է տալիս հանքավայրերի որոնման և հետախուզման ժամանակ լայնորեն կիրառել մագնիսոմետրիկ մեթոդները:

Նստվածքային հանքավայրերը ներկայացված են հսկայական տարածությունների վրա պահպանված, սովորաբար օօլիտային հանքանյութերի շերտերով, որոնք նստել են կոլլոիդալ միացություններից գեոսինկլինալային ավազանների մերձափնյա ավազա-կավային նստվածքների մեջ, հազվագեղ վահանների լճա-ճահճային ավազաններում: Ավազանի հատակի խորացման հետ միասին հանքանյութերի նստեցման մեջ դիտվում է ֆացիաների հերթավորություն՝ օքսիդայինից շամոդիտայինի միջոցով դեպի սիդերիտային հանքանյութերը. հանքային շերտերի կարողությունը փոփոխական է և մաքսիմալ չափերի է հաս-

նում սինկլինալային ճկվածքները—մուլդաների առանցքային մասերում:

Աշխարհի ամենախոշոր հանքավայրերը հարում են սիլուրի, յուրայի և կավճի շերտախմբերին. առանձին հանքավայրեր կարրոնի և երրորդական հասակ ունեն: Երկաթի աղբյուր են հանդիսացել լատերիտային ծածկոցները, և նստվածքային հանքավայրերի առաջացմանը նախորդել է մայր ցամաքի լատերիտային հողմահարումը:

Նստվածքային հանքավայրերի հանքանյութերը պարունակում են 30—40% Fe, մի քանի տոկոս Mn, մի քիչ V, երբեմն Co և Ni:

P պարունակությունը նրանց մեջ բարձր է՝ 0,5—1,5%, այսինքն՝ հանքանյութերը թոմասյան են: Այս տիպին բաժին է ընկնում երկաթի հանքանյութերի համաշխարհային հանույթի մինչև 30% (Լոթարինգիա, Կերչ, Կլինտոն, Վաբանա և այլն):

Երկաթային լատերիտների տիպի հանքավայրերը ներկայացնում են ուլտրահիմքային և հիմքային ապարների հողմահարման կեղև, որն առաջացել է մերկացված զանգվածների վրա, բարենպաստ կլիմայական պայմաններում:

Հանքանյութերը մայր ապարների վրա տեղագրված են թիկնոցանման ծածկոցի ձևով և զեպի խորքը աստիճանաբար անցնում են չփոփոխված ինարուզիվ զանգվածների: Հանքանյութերի որակը բարձր է (Fe—40—50%, խառնուրդների ձևով հանդիպում են՝ Mn, Cr, Ni, Co, V). համարվում են բնական լեգիրված հանքանյութեր: Այս տիպին բաժին է ընկնում երկաթի հանքանյութերի համաշխարհային հանույթի մոտ 5% (Միջին ու Հարավային Ուրալի, Կուբայի, Ֆիլիպպինների հանքավայրերը, Կոնակրին Գվինեայում և այլն):

Հիստերոմագմատիկ հանքավայրերը ներկայացված են տպատիտ-մագնետիտային (Կիրունավարա, Լյուսասավարա, Հելլիվարա) և տիտանո-մագնետիտային հանքանյութերի (Կուսա, Կաչկանար լեռ, Ադիրոնդեյի, Լիգանգա և ուրիշներ) զայկանման և երականման մարմիններով, ընդ որում տպատիտ-մագնետիտային հանքանյութերը տեղագրված են սիենիտների ու գնեյաների, իսկ տիտանո-մագնետիտային հանքանյութերը՝ գարբրոնների և պիրոքսենիտների զանգվածների մեջ:

Ապատիտ-մագնետիտային հանքանյութերը հարուստ են

Fe (55—70%), սակայն պարունակում են մեծ քանակությամբ P (մի քանի տոկոս) և հանդիսանում են թոմասյան:

Տիտանո-մագնեախտային հանքանյութերը պարունակում են 50% Fe, մինչև 10% Ti, 0,5—1% V. սրանցից ստանում են վանադիումով լեզիրված մագնեախտային կոնցենտրատներ և իւմենիտային կոնցենտրատներ (վերջինները Ti ազդյուր են հանդիսանում):

Հանքանյութերի համար որոնման չափանիշ է հանդիսանում նրանց տեղագրումը որոշակի պետրոգրաֆիական կազմության ինտրուզիվ զանգվածների մեջ՝ թուլացած տեկտոնական զոնաների երկայնքով (մասսիվ հարուստ հանքանյութերի համար) կամ զանգվածի մեջ ցանի ձևով (տիտանո-մագնեախտային ցանավոր հանքանյութեր):

Այս տիպի հանքանյութերը տալիս են երկաթի հանքանյութերի համաշխարհային հանույթի մոտավորապես 5% (գըլխավորապես Կիրունավարա խոշոր հանքավայրի մշակման հաշվին):

Որոնման և հետախուզման ժամանակ լայնորեն կիրառվում են մագնիսոսկոպիկ մեթոդներ:

Կոնստատ-մետասոմատիկ (սկառնային) հանքավայրերը տարածականորեն և դենեախորեն սերտ կերպով կապված են չափավոր թթու կազմության գրանիտոիդային ապարների հետ և հարում են գրանատ-պիրոքսեն-էպիդոտային, հազվագեղ սկապոլիտային սկառնային զոնաներին, որոնք զարգանում են ինտրուզիվ զանգվածների և կարբոնատային շերտախմբերի կոնտակտներում: Հանքանյութերը մագնեախտային են՝ հեմատիտի ու սուլֆիդների խառնուրդով, ցանավոր ու մասսիվ, հանդես են գալիս բների ու շերտանման կուտակների ձևով: Fe պարունակությունը տատանվում է լայն սահմաններում՝ 25—67%, P քիչ է, S առաջնային հանքանյութերում պարունակվում է մինչև 1—3%, իսկ օքսիդացման զոնայի մարտիտային հանքանյութերում հարյուրերորդական մասերից մինչև 0,1—0,2%: Հանքանյութերը երբեմն պարունակում են Cu և Co խառնուրդ: Այս տիպի դերը երկաթի հանքանյութերի հանույթի մեջ մեծ է: Որոնման և հետախուզման ժամանակ լայնորեն կիրառվում են մագնիսոսկոպիկ մեթոդները:

Հիդրոթերմալ հանքավայրերը ներկայացված են բարձր ջերմաստիճանային մագնեախտ-հեմատիտային և միջին

Չերմաստիճանային սիդերիտային հանքանյութերով: Առաջինները կապված են տրապպիտների հետ և տեղագրված են տրապպիտների ու նստվածքային ապարների մեջ՝ նրանց ճեղքերի երկայնքով (երակային հանքանյութեր), ինչպես նաև տուֆային նյութով լցված հրաբխային խողովակների մեջ (մետասոմատիկ կուտակներ): Հանքանյութերը հիմնականում մագնետիտային են, պարունակում են 50—60% Fe և մինչև 0,8% P (քլորապատիտի հաշվին): Որոնումները ժամանակ հաշվի է առնվում սրանց սերտ կապը տրապպիտների դաշտերի հրաբխային խողովակների և խախտման զոնաների հետ և լայնորեն կիրառվում են մագնիտոմետրիկ մեթոդները:

Սիդերիտային հանքանյութերը ներկայացված են երակներով թերթաքարերի մեջ և հաճախ մետասոմատիկ կուտակներով կարրոնատային շերտախմբերում, խախտման զոնաների երկայնքով, որոնք հիդրոթերմալ լուծույթների շրջանառության համար ուղիների դեր են կատարել: Հանքանյութերը կապված են գոլոմիտացված ապարների հետ, իսկ մակերեսային ելքերում ներկայացված են երկաթի գլխարկներով: Առաջինային հանքանյութերը պարունակում են 30—35% Fe, Mn խառնուրդ (1—3%), մեծ քանակությամբ S (մինչև 1—2%): Օքսիդացած հանքանյութերն ավելի բարձրորակ են՝ Fe մինչև 50—60%, Mn—մի քանի տոկոս, S—տոկոսի հարյուրերորդական մասերից մինչև 0,1%: Հիդրոթերմալ հանքավայրերը երկաթի հանքանյութերի համաշխարհային հանույթում փոքր դեր են կատարում:

ՀԻՄՆԱԿԱՆ ԳՐԱԿԱՆՈՒԹՅՈՒՆ ԵՐԿԱԹԻ ՎԵՐԱԲԵՐՅԱԼ

Аникеев Н. П. Геология и минералогия Ангаро-Илимских железорудных месторождений. Труды Вост.-Сиб. геол. треста, вып. 19, 1936.

Белевцев Я. Н. Рудные поля и соображения о генезисе железных руд Криворожского бассейна. Изв. АН СССР, серия геол., № 2, 1951.

Белевцев Я. Н. Похождения залізних руд Саксаганьского району Кривого Рогу. Геологічний журнал, т. XIII, вып. 3, 1953.

Белевцев Я. Н. Образование маритовых руд Кривого Рога. Минер. сборник Львов. геол. общ., № 7, 1953.

Главнейшие железорудные месторождения СССР, т. I и II, ЦНИГРИ, 1934.

Доброхотов М. Н. К вопросу о генезисе богатых железных руд Криворожского типа. Геол. журнал АН УССР, т. XIV, вып. 1, 1954

Ефремов Н. Е. К генезису железорудных месторождений Керченского и Таманского п-ов. Сов. геология, № 5, 1938.

Железорудные месторождения мира, т. I, II, 1955.

Заварицкий А. Н. Гора Магнитная и ее месторождения железных руд. Труды Геол. ком., новая серия, вып. 122, ч. I, II, III, 1923—1927.

Заварицкий А. Н. К вопросу о происхождении железных руд Бакала. Труды ИГН, вып. 13, серия рудных месторождений (№ 2), 1939.

Зимин И. А. Месторождение железных руд горы Благодать. Геология и полезные ископаемые Урала, вып. I, 1947.

Кашин С. А. О волковском типе медно-железо-ванадиевого оруденения в основных породах на Урале. Геология и полезные ископаемые Урала, вып. I, 1947.

Кашин С. А. Медно-титаномагнетитовое оруденение в основных интрузивных породах Урала. Труды ИГН, вып. 91, серия рудных месторождений (№ 9), 1948.

Кожевников К. Е. и Пантелеев И. А. Месторождения никель,-кобальт, и хромсодержащих бурых железняков Среднего Урала. Геология и полезные ископаемые Урала, вып. I, 1947.

Константинов С. В. и Кечек Г. А. Керченский железорудный бассейн. Труды ВГРО, вып. 132, 1936.

Котляр В. Н. О генезисе железных руд Кривого Рога. Горный журн., № 12, 1953.

Крашенинников Г. Ф. Геология Ангаро-Илимского железорудного района. Труды Вост.-Сиб. геол. треста, вып. 12, 1935.

Кротов Б. П. Халиловское месторождение комплексных железных руд. АН СССР. 1942.

Малахов А. Е. К вопросу о происхождении сидеритовых руд Бакальского типа. Труды Горно-геол. инст. Ур. фил. АН СССР, вып. 26, 1955.

Малышев И. И. и др. Титаномагнетитовые месторождения Урала. Ур. фил. АН СССР, серия уральская, вып. I, 1934.

Мартыненко Л. Н. К вопросу об образовании богатых руд Кривого Рога. Уч. зап. Черновицкого гос. унив. т. VII, серия геол.-геогр., вып. 2, 1950.

Материалы по металлогении Южного Урала (железо, никель, хром). АН СССР, СОПС, 1941.

Паффенгольц К. Н. Дашкесан и Заглик. Труды Геолкома, новая серия, вып. 170, 1928.

Пронин А. А. О происхождении месторождений железных руд так называемого „алапаевского типа“ на Урале. Зап. ВМО, ч. 83, № 4, 1954.

Пэк А. В. Титаномагнетитовые месторождения Урала. Труды СОПС АН СССР, серия уральская, 1, 2, 1936.

Пэк А. В. К вопросу о генезисе и классификации титаномагнетитовых месторождений Урала. Труды Конференции по генезису руд железа, марганца и алюминия. АН СССР, 1937.

Русинович И. А. Геологическое строение северо-восточной полосы и генезис железных руд КМА. Сов. геология, № 28, 1948.

Семенов Н. П. Структура рудных полей Криворожских железорудных месторождений. АН УССР, 1946.

Смирнов С. С. Железорудные месторождения Восточно-Сибирского края. Изд. Вост.-Сиб. ГРТр., 1932.

Старицкий Ю. Г. Генезис руд Саксаганского района Криворожского бассейна. Геол. журн. АН УССР, № 3, 1954.

Страхов Н. М. Железорудные фации и их аналоги в истории земли. Труды ИГН, вып. 73, серия геол. (№ 22), 1947.

Танатар Н. И. Генетические взаимоотношения Криворожских, Курских и Керченских железорудных месторождений. Днепропетровск, гос. унив., Научн. записки, т. XXXI, 1948.

Bichelonne J. et Angot P. Le bassin ferrifère de Lorraine. I. v. Paris, 1939.

Dorr I. V. N. Manganese and Iron Deposits of Morro do Urucum, Mato Grosso, Brazil. U. S. Geol. Surv. Bull. 946—A. Washington, 1945.

Dunn I. A. The Origin of the Banded Hematite ores in India. Econ. Geol. v. XXXVI, № 4, pp. 355—379, 1941.

Fischer, Reinhard. Entmischungen in Smelzen aus Schwermetalloxyden, Silicaten und Phosphaten. Neues Jahrb. f. Mineralogie, Abh. Bd. 81, 1950.

Geijer P. The Iron Ores of the Kiruna Type. Swedisch. Geol. Surv., № 367, Stokholm, 1931.

Geijer Per and Magnusson Nils H. Geological History of the Iron Ores of Central Sweden. 18 th Internat. Geol. Congress, London, 1948.

Gruner J. W. Hydrothermal Leaching of Iron Ores of the Lake Superior Type. Econ. Geol., V. 32, 1937.

Gruner I. W. Mineralogy and geology of the Mesabi range, 128 p. p. St. Paul, Minn. Iron Range Resources and Rehabilitation Commission, 1946.

James H. L. Sedimentary facies of the Lake Superior iron-bearing formation, and their relation to volcanism and geosynclinal development. Geol. Soc. Amer. Bull., v. 62, 1951.

Johnes H. Cecil., Iron Ore Deposits of Bihar and Orissa. Mem. Geol. Surv. India. Vol. LXIII, pt. 2, Calcutta, 1934.

Krusch P. Die Siegerländer Spatgänge, ihre geologische Stellung und wirtschaftliche Bedeutung. Glückauf, 72, S 321—329, 1936.

Landergren S. On the Geochemistry of swedish iron ores and associated rocks. Sverig. Geol. Unders. Ser. C, № 496 Årsbok 42 (1948) № 5.

Maii V. J. The relation of the origin of soft iron ores of Michigan. Econ. geol. v. 47, № 7, 1953.

Moore E. S. and Maynard J. E. Solution, Transportation and Precipitation of Iron and Silica. Econ. Geol. v. 24, 1929, pp. 272—303, 365—402, 506—527.

Roberts H. M. and Bartley M. W. Hydrothermal Replacement in Deep Seated Iron Ore Deposits of the Lake Superior Region. Econ. Geol. v. 38, 1943.

Sakamoto T. The origin of the pre-cambrian banded iron ores. Amer. Journ. of Science. July 1950.

Symposium sur les gisements de fer du monde. Alger, 1952, XIX. Congrès géologique International. Edité par F. Blondel et L. Marvier, t. II, Atlas.

Մ Ա Ն Գ Ա Ն (Mn)

ԸՆԴՀԱՆՈՒՐ ՏԵՂԵԿՈՒԹՅՈՒՆՆԵՐ

Մանգանի հանքանյութերը հայտնի էին շատ հեռավոր անցյալում. շատ երկրներում հանդիպել են մանգանի և երկաթ-մանգանի հանքանյութերի հին մշակումների հետքեր: 18-րդ դարի վերջում մանգանի հանքանյութերը սկսել են կիրառվել քիմիական և ներկերի արդյունաբերության մեջ, սակայն մանգանի հանքանյութերի հանույթը մետալուրգիայի կարիքների համար առաջին անգամ մեծ մասշտաբով սկսվել է միայն 19-րդ դարի վերջերին Ռուսաստանում՝ Ճիաթուրայի և Նիկոպոլի հանքավայրերի բազայի վրա, իսկ այնուհետև արտասահմանում՝ Հնդկաստանում և Բրազիլիայում:

Մանգանի գլխավոր հատկությունը, որն ապահովում է նրա լայն կիրառումը մետալուրգիայում, հանդիսանում է պողպատին մածուցիկություն, կոեղիություն և կարծրություն հաղորդելու ունակությունը: Բացի դրանից, երկաթի հանքանյութի ձուլման ժամանակ մանգանի հավելույթը օժանդակում է ֆլուսակար խառնուրդների և հատկապես ծծմբի հեռացմանը խարամի մեջ. ծծմբի հետ մանգանն առաջացնում է խարամի մեջ անցնող MnS միացությունը:

Ժամանակակից մետալուրգիան առանց մանգանի իմաստ չունի և սովորական պողպատի ձուլման ժամանակ մանգանի միջին ծախսը 1 տոննա պողպատի համար կազմում է 6 կգ: Զգալի քանակությամբ մանգան օգտագործվում է հատկապես պողպատների հատուկ տեսակների արտադրության մեջ: Մանգանի հանքանյութերի ամբողջ հանույթի 90-ից մինչև 95% օգտագործվում է մետալուրգիայում:

Մանգանախառն պողպատները շատ լայն կիրառում ունեն

երկաթուղային անլիներ, թրթուրավոր փոխանցման շղթաներ, սպառազինություն պատրաստելու համար:

Մանգանի հանքանյութերի հանույթի մնացած մասը (5—10%) օգտագործվում է գլխավորապես քիմիական արդյունաբերության մեջ, ինչպես նաև չոր մարտկոցների, ապակու, ջնարակի արտագրության համար և այլն: Mn սուլֆատը օգտագործվում է որպես չեղոք և ալկալային հողերի պարարտանյութ:

Մանգանի հանքանյութերի համաշխարհային հանույթը կազմում է 7—8 մլն. տ., ընդ որում մանգանի հանքանյութեր ամենից շատ արդյունահանվում են Սովետական Միությունում, Հնդկաստանում (մոտավորապես 1 մլն. տ.), Հարավ-Աֆրիկյան Միությունում, Բրազիլիայում, Մարոկկոյում, Կուբայում:

Սովետական Միությունը ոչ միայն լիովին ապահովում է իր պահանջները, այլև հանդիսանում է մանգանի հանքանյութերի խոշորագույն արտահանիչ:

Հարկավոր է նշել, որ արտասահմանյան որոշ ինդուստրիալ երկրներ՝ ԱՄՆ, Անգլիա, Գերմանիա, Ֆրանսիա, Յպոնիա ապահովված չեն մանգանի հանքանյութերով և համարյա լիովին կախված են այլ երկրներից հանքանյութերի ներմուծումից:

Մանգանի հանքանյութերի համաշխարհային պաշարները կազմում են մոտավորապես 2,5 մլրդ. տ., որոնք բաժին են ընկնում գլխավորապես ՍՍՄ-ին, Հարավ-Աֆրիկյան Միությանը, Հնդկաստանին, Բրազիլիային, Չինաստանին, Մարոկկոյին, Կուբային, Էկվադորին, Ուրուգվային, Եգիպտոսին, Գանային և մի շարք այլ երկրների:

* * *

Երկրի կեղևում մանգանի կլարկը կազմում է 0,1%: Մանգանը կապված է գլխավորապես հիմքային ապարների հետ, թթու և ալկալային ապարներում նրա բացարձակ պարունակությունն ավելի ցածր է, սակայն $\frac{Mn}{Fe}$ հարաբերությունը թթու ապարներում ավելի մեծ է, քան հիմքայիններում:

Մենդելեևի պարբերական սխեմում մանգանը և երկաթը գտնվում են միևնույն խմբում և կողք-կողքի, որը բացատրում է այդ էլեմենտների հատկությունների նմանությունը շատ գծեր

և, մասնավորապես, մանգանի և երկաթի իզոմորֆորեն մեկը մյուսին տեղակալելու ունակությունը:

Միլիկատներում և կարբոնատներում՝ էնդոգեն պայմաններում երկարժեք Fe և Mn հաճախ հանդիպում են միասին:

Էկզոգեն պայմաններում երկաթը սովորաբար զրոսերվում է որպես եռարժեք, իսկ մանգանը՝ որպես քառարժեք էլեմենտ, Fe և Mn կոլլոիդալ միացությունների լիցքերը տարբեր են (Fe համար +, Mn համար —), նստեցման համար բարենպաստ pH մեծությունները նույնպես տարբեր են (Fe թերօքսիդն անջատվում է, երբ $\text{pH}=7$, Fe օքսիդը՝ երբ $\text{pH}=2,3$, մինչդեռ Mn թերօքսիդն անջատվում է $\text{pH}=8,7$, իսկ Mn օքսիդը՝ $\text{pH}=2-4$ պայմաններում): Այդ կապակցությամբ Fe և Mn վիճակը էկզոգեն պայմաններում տարբեր է, նրանց միգրացիայի ուղիները սովորաբար բաժանվում են, և նրանք առաջացնում են մեկուսացած արդյունաբերական կուտակումներ (գլխավորապես նստվածքային):

Այն ժամանակ, երբ երկաթի հանքանյութերի նստվածքային կուտակումները սերտորեն կապված են ավազա-կավային նստվածքների հետ, մանգանի հանքանյութերի կուտակումները, ինչպես այդ ընդգծում է Ա. Գ. Բեռեխտինը (1944), ամենից հաճախ զուգակցվում են ծանծաղջրյա կայծքարային նստվածքների (օպսիդների, սպոնդուլիտների, սիլիցիլիտների, յաշմանների) հետ և շատ քիչ զեպքերում՝ ավազա-կավային և կարբոնատային սպարների հետ:

Անհրաժեշտ է նշել, որ քանի որ MnO_2 հիդրատը կոլլոիդալ լուծույթներում լիցքավորված է բացասաբար, ուստի նա ընդունակ է կլանելու Ba, Li, K, Ca, Co, Ni, Cu, Zn և այլ կատիոններ, որի կապակցությամբ մանգանի միներալներում (հատկապես պսիլոմելան-վադի մեջ) զիտվում է այդ մետաղների խառնուրդ:

Հայտնի են Mn զգալի քանակություններ պարունակող ավելի քան 150 միներալ, սակայն նրանցից միայն մի քանիսն են խաղում կարևոր արդյունաբերական գեր:

Պիրոլյուզիա— MnO_2 , Mn պարունակությունը՝ 55—63⁰/₀, մանգանի հանքանյութերի կարևորագույն արդյունաբերական միներալն է: Սովորական է նստվածքային հանքավայրերի հանքանյութերում, մանգանի գլխարկներում, հազվագեղ հիդրոթերմալ հանքավայրերում:

Բրաունիտ— $Mn^{II}Mn^{III}O_3$ կամ Mn_2O_3 , Mn պարունակու-
թյունը՝ 60—69⁰/₁₀₀;

Հաուսմանիտ — $MnMn_2O_4$, Mn պարունակությունը՝ 65—
72⁰/₁₀₀;

Բրաունիտը և հաուսմանիտը սովորական են սկանդինավյան, ինչպես նաև նստվածքային և մետամորֆացված հանքավայրերում:

Մանգանիտ— $MnO_2 \cdot Mn(OH)_2$, Mn պարունակությունը՝
50—62⁰/₁₀₀, բնորոշ է նստվածքային հանքավայրերի համար, ա-
ռաջանում է ավելի խորջրյա ֆացիաներում, քան պիրոլյուզիտը
և պիրոմելան-վադը, թթվածնի պակասության պայմաններում:

Պսիլոմելան — $m MnO \cdot MnO_2 \cdot n H_2O$, Mn պարունակու-
թյունը՝ 35—60⁰/₁₀₀, MnO մի մասը ակադակված է BaO , K_2O ,
 CaO , Li_2O , CuO , ZnO , CoO , NiO և այլն: Մանգանի կարևոր
հանքանյութ է, բնորոշ է նստվածքային հանքավայրերի և ման-
գանի գլխարկների համար, հանդիպում է նաև հիդրոթերմալ
հանքավայրերում:

Ռոզոխիտ— $MnCO_3$, Mn պարունակությունը՝ 40—45⁰/₁₀₀,
սովորական է նստվածքային հանքանյութերում (ավելի խոր-
ջրյա ֆացիայում), հանդիպում է հիդրոթերմալ հանքանյու-
թերում:

Մանգան-կալցիտ (Ca, Mn) CO_3 , Mn պարունակությունը՝
7—25⁰/₁₀₀ և օլիգոնիտ— $(Mn, Fe) CO_3$, Mn պարունակությունը՝
23—32⁰/₁₀₀, բնորոշ են նստվածքային հանքավայրերի համար,
սակայն հանդիպում են նաև հիդրոթերմալ հանքավայրերում:

Ռոզոնիտ (օրլեց)— $(Mn, Ca) SiO_3$, Mn պարունակություն-
ը՝ 32—36⁰/₁₀₀, հանդիսանում է սիլիկատային նստվածքային,
մետամորֆացված և սկանդինավյան հանքավայրերի գլխավոր մի-
ներարը:

Հազվագեպ հանդիպում են՝ ալարանդին MnS (հիդրոթեր-
մալ հանքավայրերում), ֆրանկլինիտ $(Zn, Mn) Fe_2O_4$ (սկան-
դինավյան հանքավայրերում), մանգան պարունակող գրանատներ և
էպիդոտներ:

Մանգանի հանքանյութերի կոնգրեցիաները հետևյալն են:
Մետալուրգիական արդյունաբերության մեջ մանգանի հանքա-
նյութերից ձուլում են հատուկ համաձուլվածք՝ ֆերրոմանգան
(50—80⁰/₁₀₀ Mn) և այսպես կոչվող «հայելային չուգուն» (15—
35⁰/₁₀₀ Mn):

Ֆերրոմանգանը կիրառվում է ավելի պատասխանատու

դեպքերում բարձրորակ պողպատների ձուլման համար, իսկ «հայելային չուգունը»՝ պակաս պատասխանատու դեպքերում:

Հանքանյութերը և կոնցենտրատները ստորաբաժանվում են մի շարք տեսակների: I A տեսակը լավագույնն է, պարունակում է՝ Mn $> 50\%$, SiO₂ մինչև 9% , P մինչև $0,2\%$: I B տեսակը պարունակում է՝ Mn $40-50\%$, SiO₂ $9-15\%$, P մինչև $0,17\%$: II և III տեսակները պարունակում են՝ Mn $30-40\%$, SiO₂ $15-35\%$, P մինչև $0,18\%$:

I տեսակի հանքանյութերից ստանդարտ մարկաների ֆերրոմանգան ձուլելու համար P պարունակությունը 1% Mn համար չպետք է գերազանցի $0,0035\%$ -ից:

II և III տեսակի հանքանյութերը կիրառվում են ոչ ստանդարտ մարկաների ֆերրոմանգան և գլխավորապես «հայելային չուգուն» ձուլելու համար: Կրաքարախառն, կարբոնատային հանքանյութերը կիրառվում են որպես ֆլյուս սովորական պողպատի ձուլման ժամանակ. նրանց մեջ Mn պարունակությունը կարող է լինել 30% -ից էլ ցածր (մինիմալ սահմանը $8-12\%$ Mn և $0,006\%$ P 1% Mn համար):

Քիմիական արդյունաբերություն պահանջներն այլ են. այստեղ կարևոր է MnO₂ պարունակությունը: Առանձնապես խիստ պահանջներ է ներկայացնում էլեկտրաարդյունաբերությունը՝ չոր մարտկոցների արտադրությունը: Քիմիական (պերօքսիդային) հանքանյութերը պետք է պարունակեն $85-88\%$ ոչ պակաս MnO₂ (համարյա մաքուր պիրոլյուզիտային հանքանյութեր), ոչ ավելի քան 1% Fe₂O₃, $2-3\%$ CaO, 4% SiO₂:

Անհրաժեշտ են հանքանյութերի նախնական հատուկ փորձարկումները, քանի որ հանքանյութերի միներալոգիական կազմից, ստրուկտուրայից և խառնուրդների առկայությունից կախված, երբեմն մինչև 90% MnO₂ պարունակող հանքանյութերը պիտանի չեն լինում և, ընդհակառակն, 70% MnO₂ պարունակող հանքանյութերը կարող են հաջողությամբ օգտագործվել:

ՀԱՆՔԱՎԱՅՐԵՐԻ ԳՆՆԵՏԻԿ ՏԻՊԵՐԸ, ՄԱՆԳԱՆԻ ՄԱՐՁԵՐԸ ԵՎ ԳԱՐԱՇՐՋԱՆՆԵՐԸ

Մանգանը կուտակումներ է տալիս գեոլոգիական տարբեր՝ էնդոգեն, էկզոգեն և մետամորֆոգեն պրոցեսների ժամանակ: Բուն մագմատիկ կուտակում (մինչև 10% Mn) հայտնի է

միայն Հնդկաստանի գրանիտոիդներում (կողուրիաներում) և կապվում է մագմայի կողմից մանգանով հարուստ կավային շերտախմբերի հիբրիդացման և ասիմիլացման երևույթների հետ: Հետմագմատիկ՝ սկառնային և հիդրոթերմալ հանքավայրերի մեջ հայտնի են արդյունաբերական օբյեկտներ, սակայն մանգանի էնդոգեն հանքավայրերի դերն ընդհանուր առմամբ շատ աննշան է:

Էկզոգեն հանքավայրերի մեջ բավականին լայնորեն զարգացած են մանգանի գլխարկները, երբեմն հանդիպում են ինֆիլտրացիոն հանքավայրեր, և հատկապես խոշոր արդյունաբերական նշանակութուն ունեն նստվածքային հանքավայրերը:

Մետամորֆոգեն հանքավայրերը ևս բավականին լայն տարածում ունեն և առաջանում են մանգանի նստվածքային հանքավայրերի և մանգանով հարուստ ապարների մետամորֆիզմի հետևանքով:

Մանգանի համար ամենակարևոր տիպերն են հանդիսանում նստվածքայինը և մանգանի գլխարկները, որոնք առաջանում են մանգանի նստվածքային և, գլխավորապես, մետամորֆացված հանքանյութերի օքսիդացման ժամանակ:

Ստորև բերվում է մանգանի հանքանյութերի արդյունաբերական կարևոր գենետիկ տիպերի և ֆորմացիաների ավելի մանրամասն բնութագրերը (հիմնականում ըստ Ա. Գ. Բեռեխտաինի):

1. Սկառնային տիպը (հաուսամանիտ-բրաունիտային ֆորմացիա) գենետիկորեն կապված է չափավոր թթու ապարների ինտրուզիաների հետ և տեղագրված է վերջինների և կարրոնատային շերտախմբերի կոնտակտներում: Այստեղ բնորոշ միներալներ են հանդիսանում մանգան պարունակող գրանատները, պիրոքսենները և էպիդոտները, մագնետիտը, հաուսամանիտը, բրաունիտը, ոտոնիտը, տեղ-տեղ ֆրանկլինիտը:

Սա մանգանի հանքավայրերի հազվագյուտ տիպ է, որն ունի երկրորդական նշանակութուն: Որպես օբինակներ կարող են ծառայել Լանգբան (Շվեդիա), Ֆրանկլին (ԱՄՆ) հանքավայրերը, ինչպես նաև Լիպովայա լեռը Հյուսիսային Ուրալում:

2. Հիդրոթերմալ հանքավայրեր՝ միջին ջերմաստիճանային, կապված գրանիտոիդների հետ և ցածր ջերմաստիճանային, մերձ-մակերեսային, կապված ստորջրյա էֆուզիվ գործունեությամբ հետ (էֆուզիվ-նստվածքային հանքավայրեր):

ա) Միջին ջերմաստիճանային երակային և մետասոմատիկ հանքավայրեր, որոնք կազմված են սոդոխրոգիտից, կվարցից, բարիտից, սոդոնիտից, բրաունիտից, հաուսմանիտից, պիրոլյուզիտից, պսիլոմելանից, հեմատիտից, մագնետիտից, պիրիտից և այլ միներալներից: Որպես օրինակներ կարող են ծառայել Իլֆելդը և Իլմենաուն Գերմանիայում, Ռոմանեշը Ֆրանսիայում և մի շարք ոչ մեծ հանքավայրեր Մարսիկոյում, Բյուտտը ԱՄՆ-ում, Սապալսկու հանքը ստորին Տագիլի մոտ: Այս հանքավայրերի արդյունաբերական նշանակությունը մեծ է:

բ) Ցածր ջերմաստիճանային հանքավայրերը ներկայացված են մետասոմատիկ բներով, շերտանման ու հատող ճեղքային երակներով և բրեկչիանման հանքանյութերի զոնաներով, որոնք կազմված են էֆուզիվ-նստվածքային շերտախմբերում տեղադրված պիրոլյուզիտ-պսիլոմելանի հանքանյութերից՝ ագատի, խալցեդոնի, բարիտի, կալցիտի հետ: Լայնորեն տարածված են Բուլղարիայում, Թուրքիայում, Փոքր Կովկասում¹, ինչպես նաև Յապոնիայում (Ֆուկույամա), Ֆիլիպպիններում (Բուսուանգ և Կորոն կղզիներ), Մեքսիկայում, Կուբայում և շատ այլ երկրներում: Նրանք երբեմն սերտորեն կապված են մանգանի նստվածքային կուտակումների հետ և մշակվում են վերջին տարիներում: Այդ հանքավայրերի նշանակությունը մեծ է:

3. Մանգանի գլխարկներն առաջանում են տարբեր գեներտիկ տիպերի հանքավայրերի օքսիդացման ժամանակ և ներկայացված են օքսիդացած փուխր հանքանյութերով, որոնց կազմութան մեջ մտնում են պիրոլյուզիտը և պսիլոմելանը: Այս տիպում մանգանի արդյունաբերական կուտակումները կապված են նստվածքային և մետամորֆոզեն ծագման խոշոր հանքավայրերի օքսիդացման հետ: Մանգանի գլխարկները խորքում սովորաբար փոխանցվում են կարբոնատային և կարբոնատա-սիլիկատային նստվածքային հանքանյութերի կամ մանգանի սիլիկատներով հարուստ մետամորֆացված ապարների:

Մանգանի գլխարկների օրինակներ կարող են ծառայել Մազուլի (Արևմտյան Սիրիեր), Մարսյատակոյե և Պուլունոչնոյե (Հյուսիսային Ուրալ), Մերձմագնիտոգորսկի (Հարավային Ուրալ) հանքավայրերի օքսիդացած հանքանյութերի զոնաները, ինչպես նաև Գանայի, Հնդկաստանի, Բրազիլիայի և Հարավ-Աֆրի-

¹ Մրիգյուզ, Սեքար, Աջաջուր և ուրիշ հանքավայրեր Հայկական ՍՍՌ-ում:

կյան Միության հանքավայրերի մանգանի հզոր գլխաբեկները: Սովետական Միությունում հանքավայրերի այս տիպը խիստ երկրորդական դեր է խաղում, սակայն արտասահմանյան երկրընների համար նա շատ կարևոր է:

4. Նսավածքային հանքավայրեր՝ ծովային և լճային: Պիրոլյուզիտ - պսիլոմելան - մանգանիտի և ոսգոխրոզիտ - մանգանիլալցիտի հանքանյութերի ֆորմացիաներ:

ա) Ծովային նսավածքային հանքավայրերը ներկայացնում են ամենամեծ հետաքրքրություն և մանգանի համար հանդիսանում են կարևորագույն գեներալի տիպ: Մանգանի նսավածքային հանքանյութերը սովորաբար սերտորեն զուգակցվում են ծանծաղջրյա կաթճարային նսավածքների հետ և տեղադրված են մերձափնյա զոնայում: Առափնյա գծից աստիճանաբար հեռանալով, օքսիդային (պիրոլյուզիտ - պսիլոմելանային) հանքանյութերը նախ փոխարինվում են մանգանիտային, այնուհետև մանգանի կարբոնատային հանքանյութերով. ֆացիաների այդ հերթափոխումը կատարվում է տարբեր արագություններ և կախված է ավազանի հատակի խորասուզման արագությունից (ձիաթուրայում ֆացիաների հերթափոխումը կատարվում է 10—12 կմ տարածության վրա, Պոլուեոչնոյե հանքավայրում՝ 0,5 կմ պակաս տարածության վրա):

Օքսիդային հանքանյութերն իրենց որակով հանդիսանում են լավագույնը, մինչդեռ խորջրյա պայմաններում նստեցված կարբոնատային հանքանյութերը պարունակում են մեծ քանակությամբ մլասակար խառնուրդներ՝ P, S և SiO₂: Մակերեսում կարբոնատային հանքանյութերն օքսիդանում են, սակայն այդ օքսիդացած հանքանյութերը, որոնք արտաքուստ երբեմն նման են առաջնային օքսիդային հանքանյութերին, վերջիններից տարբերվում են իրենց փոխը կառուցվածքով և P բարձր պարունակությամբ:

Միանգամայն անհրաժեշտ է արդեն հենց դաշտում առաջնային օքսիդային հանքանյութերը տարբերել օքսիդացածներից և, ավյալներ ունենալով շրջանի պալեոտալիսարհագրության ու առափնյա գծի դիրքի մասին, ինչպես և հայտնաբերելով կարբոնատային կամ նրանց հաշվին առաջացած օքսիդացած հանքանյութերը, հետախուզումն ուղղել դեպի առափնյա գիծը, հաշվի առնելով, որ ամենաբարձրորակ առաջնային, օքսիդային հանքանյութերն առաջանում են առափնյա գծի մոտ: Հարկավոր է

նկատի ունենալ հանքանյութերի ֆաջիաների (օքսիդային և կարբոնատային) հնարավոր հերթափոխումները ուղղաձիգ կտրվածքում՝ հանքառաջացման ժամանակաշրջանում ավազանի խորացման կամ ծանծաղացման կադակցութեամբ:

Այն ժամանակ, երբ նստվածքային խոշոր հանքավայրերի մեծ մասը կապված է կայծքարային նստվածքների հետ (Ճիաթուրա, Նիկոպոլ, Պոլունոչնոյե), առանձին հանքավայրեր ներկայացված են մանգան պարունակող կրաքարերով (Ուլուտե-լյակը Արևմտյան Մերձուրալում) կամ մանգանաբեր ավազաքարերով (Լարինսկոյե՝ Հյուսիսային Կովկասում):

Ըստ որակի լավագույնն են համարվում Ճիաթուրայի, Նիկոպոլի, Պոլունոչնոյե հանքավայրերի կոնկրեցիոն օքսիդային հանքանյութերը, որոնք ներկայացված են մանգանի օքսիդների հեշտութեամբ հարստացվող կոնկրեցիաներով փուխը կայծքարային ցեմենտում:

բ) Մանգանի և երկաթ-մանգանի հանքանյութերի լճային և ճահճային հանքավայրերն առաջանում են քաղցրահամ լճերում և ներկայացված են մանգանի հիդրօքսիդներից կազմված կոնկրեցիոն հանքանյութերով: Հանքանյութերը նստում են մերձափնյա զոնայում, նրանց առաջացման պայմանները վատ են ուսումնասիրված. հավանական է, որ մանգանի և երկաթի առաջացումը կապված է հումուսային թթուների ներգործութեան, իսկ կոնկրեցիաների առաջացումը՝ միկրոօրգանիզմների կենսագործունեության հետ:

Ժամանակակից լճային հանքանյութերը լայն տարածում ունեն Կարելիայում, Ֆինլանդիայում, Շվեդիայում, Կանադայում, իսկ բրածո (երրորդական) հանքավայրեր հայտնի են Հարավային Ուրալում և Ալթայում:

Մանգանի լճային հանքավայրերի արդյունաբերական նշանակությունը չնչին է:

5. Մե տ ա մ ո Ր Ֆ ո գ ե ն հ ա ն ք ա վ ա յ Ր ե Ր Ը ներկայացնում են մանգանի հանքանյութերի նստվածքային հանքավայրերի կամ մանգանով հարուստ նստվածքային ապարների մետամորֆիզմի արդյունք:

Օքսիդային (պիրոլյուզիտ-պսիլոմելանային) հանքանյութերի մետամորֆիզմը բերում է վերջինների ջրազրկմանը և նրանց հաշվին բրաունիտ-հաուսմանիտային հանքանյութերի առաջացմանը: Այդ պրոցեսների ժամանակ ազատվող ջուրը

կարող է կատարել հանքային նյութի վերանստեղծում և այդպիսով առաջացնել երակներ, որոնք արտաքուստ նմանվում են հիդրոթերմալ երակներին:

Բրաունիտ-հաուսմանիտային հանքանյութերով ներկայացված և համեմատաբար թույլ մետամորֆացված նախկինում նստվածքային հանքավայրերի օրինակներ են հանդիսանում Կենտրոնական Ղազախստանի (Կարասկայայի և Աթասույի հանքավայրերի խումբ) հանքավայրերը, ինչպես նաև Հնդկաստանի որոշ հանքավայրեր:

Մանգանով հարուստ ապարների ուժեղ մետամորֆիզմի ժամանակ առաջանում են մանգանի սիլիկատներ (առավելապես գրանատ), այդպիսի հանքանյութերն արդյունաբերական նշանակություն չունեն (Հնդկաստանի, Բրազիլիայի, Փանայի հանքավայրերի մեծ մասը, հանքավայրերի Մերձմագնիտոգորսկու խումբը, որտեղ մշակվում են միայն մանգանային գլխարկները): Մանգանի օպալ-կարբոնատային հանքանյութերի սեգիոնալ մետամորֆիզմի ժամանակ առաջանում են սիլիկատ-կարբոնատային հանքանյութերի հանքավայրեր (Ուսինսկի, հավանաբար Փուելվան):

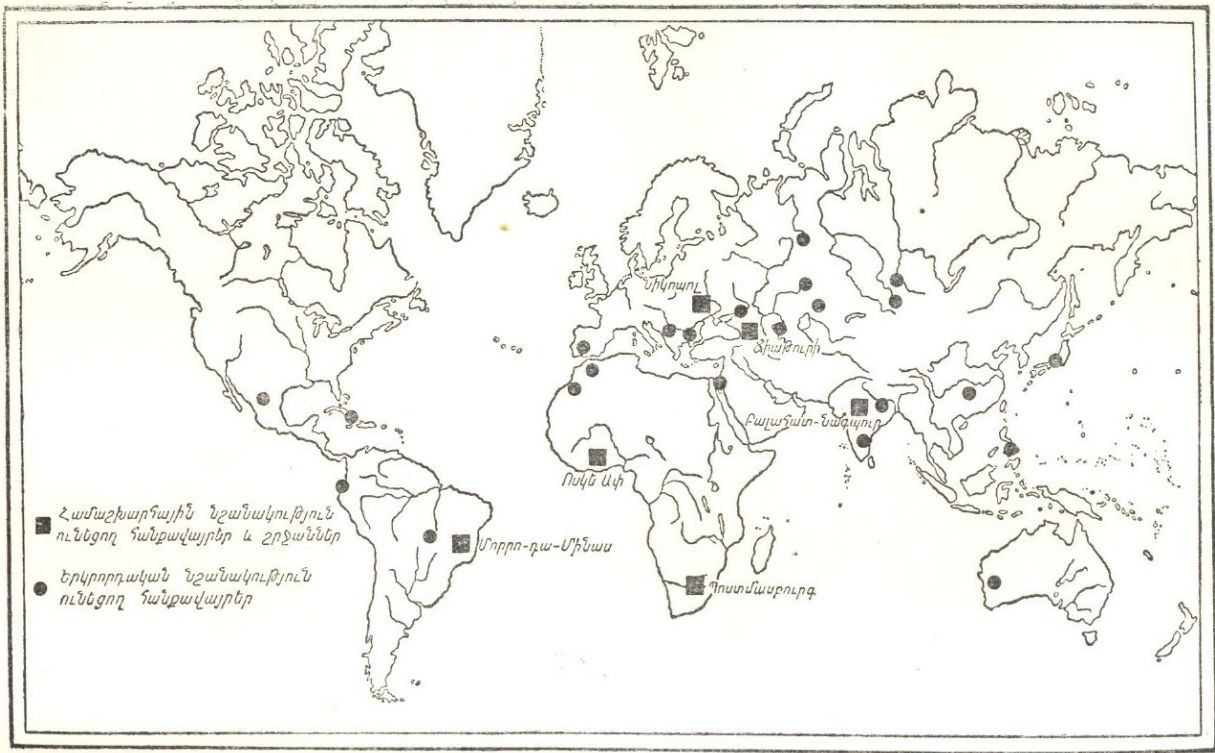
Մանգանահանքային մարդերը և գարաշքըջանները: Մանգանահանքային ամենազլխավոր մարդերը բերվում են ըստ մայր ցամաքների (նկ. 22):

Եվրոպա. օլիգոցենի հասակի նստվածքային հանքանյութերի նիկոպոլի մարդ:

Ասիա. օլիգոցենի հասակի նստվածքային հանքանյութերի ձիաթուրա-Աջամեթի-Չխարի և Հյուսիս-Ուրալյան մարդեր, քեմբրի (Ուսինսկի հանքավայր) և պրոտերոզոյի (Մադուսկի հանքավայր) նստվածքային, մասամբ մետամորֆացված հանքանյութերի Արևմտա-Սիբիրական մարդ, մինչքեմբրի մետամորֆոզեն հանքավայրերի Հնդկական մարդ, երրորդական հասակի հիդրոթերմալ հանքավայրերի Խաղաղ-օվկիանոսյան մարդ (Յապոնիա, Փիլիպիններ):

Աֆրիկա. մինչքեմբրի հասակի մետամորֆոզեն հանքավայրերի Պոստմասրուրգի մարդ ու Փանա (Ոսկյա ափ) և վերին կավճի նստվածքներում տեղագրված նստվածքային հանքավայրերի Հյուսիս-Աֆրիկյան (գլխավորապես Մարոկկոյի) մարդ:

Հարավային Ամերիկա. մինչքեմբրի մետամորֆոզեն հանքավայրերի Բրազիլիական մարդ:



Նկ. 29. Աշխարհի մանգանի խոշորագույն հանքավայրեր:

Մանգանի հանքավայրերն ըստ դարաշրջանների բաշխվում են հետևյալ կերպ՝

Մինչ քեմբրյան դարաշրջանը շատ հարուստ է մանգանով: Այդ ժամանակ առաջացել են Հնդկաստանի, Բրազիլիայի, Արևմտյան և Հարավային Աֆրիկայի շատ խոշոր մետամորֆոզեն հանքավայրեր, ինչպես նաև ՍՍՌՄ մի շարք հանքավայրեր (Մագուլսկի, Մագան-Չաբա, Փոքր Խինգանի հանքավայրեր): Մանգանի մինչքեմբրյան հանքավայրերին բաժին է ընկնում մանգանի հանքանյութերի համաշխարհային հանույթի 1/3-ը:

Քեմբրի. միջին քեմբրիին հարում է նստվածքային մետամորֆացված կարբոնատային և սիլիկատ-կարբոնատային հանքանյութերի մի շատ խոշոր՝ Ուսինսկու հանքավայրը:

Գեոն. սրան են պատկանում Մերձագնիտոգորսկի շրջանի նստվածքային մետամորֆացված հանքավայրերը (մշակվում են օքսիդացման գոնաները), Կենտրոնական Ղազախստանի, Կարսակպայի շրջանի հանքավայրերը (Ջեզգի, Նալգատաս և այլն):

Սոսրին կարբոն. այս հասակին են դասվում Հարավային Ուրալի նստվածքային հանքավայրերը, Կենտրոնական Ղազախստանի Աթասուլի խումբը (Կարաջալ, Կոտյ և ուրիշներ), իսկ արտասահմանյան հանքավայրերից՝ Ում--Բոգման Եգիպտոսում և Գուելվան Իսպանիայում:

Վերին պերմ. այս հասակին է վերագրվում մանգան պարունակող կրաքարերի Արևմտյան Մերձուրալի Ուլուտեկյակ խոշոր հանքավայրը:

Վերին կավիճ և պալեոգեն (օլիգոցեն). օլիգոցենում առաջացել են ՍՍՌՄ նստվածքային հանքանյութերի շատ խոշոր հանքավայրեր (Նիկոպոլ, Ճիաթուրա, Աջամեթի-Չխարի, Մանգիշլակ, Լարինսկի, Պուլունոչնոյե, Մարսյատսկի), իսկ վերին կավճի ընթացքում՝ Մարոկկոյի բավականին խոշոր նստվածքային հանքավայրերը (Իմինի և ուրիշներ) և մի շարք հանքավայրեր Բալկաններում ու Թուրքիայում (նստվածքային և հիդրոթերմալ հանքավայրեր): Հատկապես հարուստ են օլիգոցենի հանքավայրերը, որոնց բաժին է ընկնում մանգանի հանքանյութերի համաշխարհային հանույթի համարյա 2/3-ը (հիմնականում ՍՍՌՄ):

Այսպիսով, մանգանի համար կարևորագույն դարաշրջաններ են հանդիսանում օլիգոցենյանը (նստվածքային հանքա-

վայրեր) և մինչքեմբրյանը (մետամորֆացված նստվածքային հանքավայրեր), որոնց բաժին են ընկնում մանգանի հանքանյութերի համարյա ամբողջ պաշարները և գործնականորեն համաշխարհային ամբողջ հանուլթը:

ՄՍՌՄ-ի համար կարևորագույն մարզեր են հանդիսանում Նիկոպոլինը և Ճիաթուրայինը, արտասահմանյան երկրների համար՝ Հնդկաստանի, Բրազիլիայի, Գանայի, Հարավ-Աֆրիկյան Միության մարզերը:

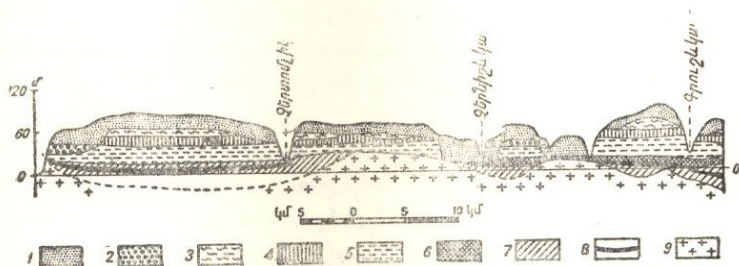
ՄՍՌՄ մանգանահանքային գլխավոր շրջաններն են՝ Նիկոպոլի շրջանը, նստվածքային ծագման վաղուց մշակվող շատ խոշոր հանքավայրերով, Ճիաթուրայի և նրան հարևան Աջամեթի-Չիսարի շրջանները՝ նստվածքային տիպի վաղուց շահագործվող շատ խոշոր հանքավայրերով, Մանգիշլակի շրջանը Նիկոպոլի և Ճիաթուրայի տիպի հանքանյութերով, Լաբայի շրջանն օլիգոցենի մանգանալեր ավազաքարերով, Հյուսիս-Ուրալյան շրջանը Պոլունոչնոյե, Մարոյատսկի և այլ օլիգոցենյան (?) նրստվածքային հանքավայրերով, Մերձագնիտոգոբսկի շրջանը դեվոնի յաջմաների շերտախմբին ենթակա նստվածքային մետամորֆացված հանքավայրերով, վերին պերմի հասակի մանգանալեր կրաքարերի Ուլուաեյակ հանքավայրը, Կեևորոնական Ղազախստանը դեոնի և սոորին կարբոնի հասակի նստվածքային մետամորֆացված հանքավայրերով, Արևմայան Սիբիրը (Մադուլսկի և Ուսինսկի նստվածքային, մետամորֆացված հանքավայրեր), Արևելյան Սիբիրը (Մազան-Չարայի, Փոքր Խինգանի մինչքեմբրյան մետամորֆացված հանքավայրեր):

ՄԱՆԳԱՆԻ ՀԱՆՔԱՎԱՅՐՆԵՐԻ ՆԿԱՐԱԳՐՈՒԹՅՈՒՆԸ

Որպես բնորոշ օրինակներ նկարագրվում են՝ ամենաարժեքավոր նստվածքային, օքսիդային հանքանյութերի հանքավայրերը՝ Նիկոպոլը, Ճիաթուրան և Պոլունոչնոյեն, նստվածքային կարբոնատա-սիլիկատային հանքանյութերի Ուսինսկի (Իվանովսկի) խոշոր հանքավայրերը, Մադուլսկի հանքավայրի մանգանի գլխարկը և շատ համառոտ Հնդկաստանի, Բրազիլիայի, Գանայի և Հարավ-Աֆրիկյան Միության մետամորֆոգեն հանքավայրերի մանգանի գլխարկները:

Նիկոպոլի հանքավայրը գտնվում է Գնեպը գետի աջ ափին, Նիկոպոլ քաղաքից դեպի հյուսիս, շահագործվում է 1886 թ.:

Հանքավայրը նստվածքային ծագում ունի և ներկայացված է հանքանյութերի շերտանման կուտակներով, որոնք տեղ-տեղ անմիջականորեն տեղադրված են մինչքեմբրի գրանիտների ու գնեյսների լվացված ալիքաձև մակերեսի վրա, իսկ հաճախ հանքամարմինների տակ տեղադրված են օլիգոցենի հասակի ավազները և օպոկանման կայծքարային կավերը (նկ. 23). հանքակուտակների առաստաղում տեղադրված են օլիգոցենի կավերը, իսկ նրանց վրա արանսգրեսիվ կերպով նստած են սարմատի հարկի (միոցեն) կավերն ու ավազները:



Նկ. 23. Նիկոպոլի մանգանի հանքավայրերի շրջանի գեոլոգիական կտրվածք

- 1—չորբորդահան նստվածքներ, 2—վերին պլիոցեն (ալլյուվի), 3—կարմրագորշ կավերի հարկ, 4—պոնտական հարկ, 5—տոպիրլովյան շերտեր և սարմատ, 6—միջերկրածովային նստվածքներ, 7—պալեոգեն, 8—մանգանային հանքանյութ, 9—բյուրեղային ապարներ և կաոլիններ:

Հանքային շերտը տեղադրված է համարյա հորիզոնական, տեղ-տեղ 5—7° թեքությամբ դեպի հարավ: Հանքաբեր շերտի կարողությունը փոփոխական է և կախված է նրա տակ գտնվող բյուրեղային ապարների սելեֆի անհարթություններից՝ բարձրացման տեղերում հանքաբեր շերտը սեպաձև անհայտանում է, իսկ իջվածքներում հասնում է 3—4 մ և ավելի կարողություն:

Հանքաբեր շերտը ներկայացված է մի քանի սանտիմետրից մինչև 0,3 մ կարողություն ունեցող հանքային և ավազա-կավային ենթաշերտերի հերթագայությունով: Հանքանյութերի մեջ խիստ կերպով գերակշռում են պիրոլյուզիտային և մանգանիտային հանքանյութերը, տեղ-տեղ (շերտի հիմքում և ավելի հարավ, նախկին ավազանի ավելի խորջրյա մասում) թույլ զար-

գացած են կարրոնատային՝ մանգան-կալցիտային և կալցիում-
ռոդոխրոդիտային հանքանյութերը:

Առաջնային-օքսիդային հանքանյութերի մեջ առանձնաց-
վում են հետևյալ տիպերը՝

ա) կոնկրեցիոն հանքանյութեր, որոնք ներկայացված են
պիրոլյուզիտի (փուխր ավազա-կավային զանգվածում) և ման-
գանիտի (մանրահատիկ նստվածքներում, հարավում, նախկին
ավազանի ավելի խորջրյա մասում) կոնկրեցիաներով: Ըստ կոն-
կրեցիաների չափերի տարբերում են՝ «կոտորակ» («дробка»)
մինչև 5 մմ տրամագծով, «բնկույզ» («орех») 5—15 մմ տրա-
մագծով և ավելի խոշոր կոնկրեցիաներ 30—250 մմ տրա-
մագծով: կոնկրեցիոն հանքանյութերը հեշտությամբ հարստաց-
վում և տալիս են I տեսակի կոնցենտրատներ՝ Mn 50% և ավելի
պարունակությամբ:

բ) Ծակոտիկեն հանքանյութեր: Սրանք կազմված են ան-
կանոն ձևի ծակոտիկեն կոնկրեցիաներից, որոնք իրենցից ներկա-
յացնում են մանգանի հիդրօքսիդների և կվարցի ու դաշտային
շղպառի հատիկների կարծես թե միակցված օօլիտների սերտ
խառնուրդ: Հանքանյութերը կարծր են, գլխավոր հանքային
միներալներն են պիլոմելանը և մանգանիտը՝ պիրոլյուզիտի
խառնուրդով: Այս հանքանյութերը համեմատաբար ավելի վատ
են հարստացվում և տալիս են II տեսակի կոնցենտրատներ, Mn
40—42% և ավելի բարձր պարունակությամբ:

գ) «Մրի» («сажи») տիպի հանքանյութերը լայն տարա-
ծում ունեն և ներկայացված են մրանման պիրոլյուզիտի հա-
րուստ հանքանյութերով ու մանգանի հիդրօքսիդներով ներծրծ-
ված կավերով, վերջինները պարունակում են 10—15% Mn: Այս
տիպի հանքանյութը հարստացման չի ենթարկվում:

դ) Ամուր պիլոմելանից կազմված հոծ զանգվածներ, որոնք
առաջացնում են «պրիսուխա» («присуха») և բարակ ենթաշեր-
տերի ձևի «պլիտնյակ» («плитняк») հանքանյութերի տարբե-
րակներ:

Արդյունաբերական գլխավոր նշանակություն ունեն հան-
քանյութերի առաջին երկու տիպերը և հատկապես կոնկրեցիոն
հանքանյութերը:

Հանքավայրի հում հանքանյութերը պարունակում են 20—
35% Mn և այդ իսկ պատճառով նրանց հարստացումը պար-
տադիր է:

Մտանում են երեք տեսակի կոնցենտրատներ՝ I տեսակ՝ 48—52⁰/₀ Mn, 0,16—0,22⁰/₀ P, II տեսակ՝ 42—46⁰/₀ Mn, 0,17—0,25⁰/₀ P, III տեսակ՝ 30—35⁰/₀ Mn, 0,18—0,36⁰/₀ P:

Հանքավայրն ունի նստվածքային ծագում, որը հաստատվում է հանքանյութերի շերտային կուտակների տեղադրմամբ ծանծաղջրյա ավազա-կավային նստվածքների մեջ: Վերջիններս պարունակում են շնածկների ատամներ, կետանմանների ոսկորներ, ուստանինների միջուկներ և ֆաունայի այլ մնացորդներ: Հանք պարունակող ավազա-կավային շերտախմբի կազմը (կվարց, դաշտային շղպատ) ցույց է տալիս, որ նա առաջացել է ի հաշիվ մինչքեմբրյան հիմքի ապարների լվացման: Որպես մանգանի աղբյուր, ըստ երևույթին, հանդիսացել են մինչքեմբրյան գրանիտները, գնեյսները և կանաչքարային ապարները, որոնցից մանգանը դուրս է բերվել մակերեսային ջրերով և նստել օլիգոցենի ժամանակաշրջանի ծանծաղջրյա ավազանի մերձափնյա մասում: Մանգանի միներալների նստեցման մեջ դիտվում է որոշակի ֆացիալուծյուն՝ ավազանի ծանծաղջրյա մերձափնյա մասում (հյուսիսային տեղամասեր) նստել են պիրոլյուզիտի հանքանյութերը, որոնք ավազանի խորացման հետ զուգընթաց հարավային ուղղությամբ նախ փոխարինվում են մանգանիտային, այնուհետև կարբոնատային հանքանյութերով: Նիկոպոլի հանքավայրն իր շատ հարմար աշխարհագրական դիրքի (գտնվում է Կրիլոյ Ռոգ—Դոնբաս երկաթուղային մագիստրալի վրա), հանքանյութերի բարձր որակի և հսկայական պաշարների շնորհիվ շատ մեծ դեր է կատարում ՄՍՌՄ-ի, իսկ վերջին տարիներին նաև դեմոկրատական երկրների մետալուրգիային մանգան մատակարարելու գործում:

Ճիաթ ու ր ա յ ի հ ա ն ք ա վ ա յ ը ը գտնվում է Արևմտյան Վրաստանում, Սև ծովի՝ Փոթի նավահանգստից դեպի հյուսիսարևելք, շահագործվում է 1877 թվականից սկսած: Նրա հանքանյութերը «Փոթի մարկայի» անվան տակ, շնորհիվ իրենց բացառիկ բարձր որակի համաշխարհային հռչակ են վայելում: Հանքավայրը գտնվում է 600—800 մ բացարձակ բարձրություն ունեցող և Կվիրիլա գետով ու նրա վտակներով կտրված սարահարթի սահմաններում:

Ըստ Ա. Գ. Բետելստինի, հանքավայրի կտրվածքը վարից վեր ներկայացված է հետևյալ ապարներով (նկ. 24 ա).

Զիրուլայի մինչքեմբրյան հասակի գրանիտային զանգված (Կվիրիլայի ստորին հասանքում):

Աններգաշնակութուն:

Լեյասի կվարցային պորֆիրներ:

Աններգաշնակութուն:

Յուրայի հասակի կրաքարեր (պահպանվել են տեղ-տեղ):

Աններգաշնակութուն:

Վերին կավճի հասակի կրաքարեր 250 մ կարողությամբ:

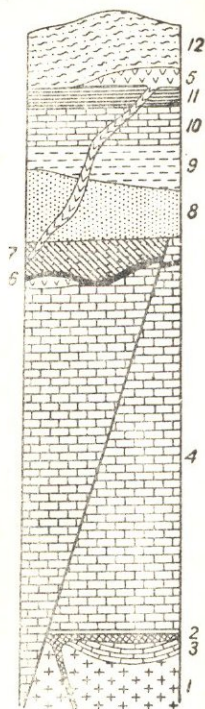
Աններգաշնակութուն:

Ծանծաղջրյա երրորդական նստվածքներ, որոնց հիմքում տեղագրված է հանքարեր հորիզոնը:

Երրորդական շերտախմբի ստորին մասում տեղագրված են օլիգոցենի կայծքարային քիմիական նստվածքները սպոնգոլիտների և ավազա-կավային նստվածքների ենթաշերտերով, որոնք արանսգրեսիվ կերպով ծածկված են միոցենի նստվածքներով՝ չոկրակի ավազներով և կավերով, սպանիոգոնտային կրաքարերով, ֆոլադային հորիզոնով, սարմատի ավազա-կավային նստվածքներով: Համարյա հորիզոնական տեղագրված երրորդական շերտախմբի ընդհանուր կարողությունը հասնում է մինչև 150 մետրի:

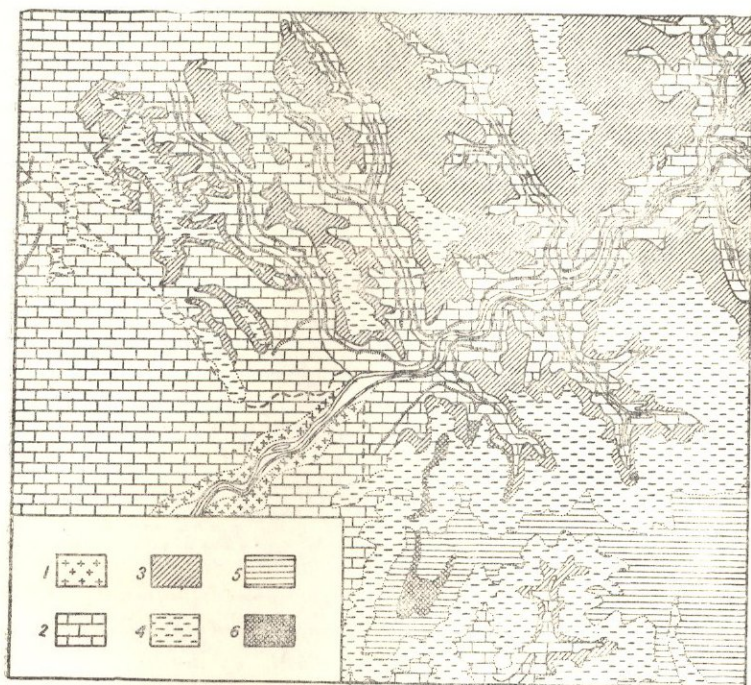
Հարավային մասում (Պերեվիսի սարահարթ) նստվածքային ապարների ամբողջ շերտախումբը ճեղքված է օլիվինային բազալտներով, որոնց ապոֆիզները հասնում են հանքարեր հորիզոնի տակ: Հանքարեր հորիզոնը մեղմ, փոքր թեքությամբ ընկնում է դեպի արևելք: Հանքավայրի մակերեսը կիսով չափ լվացված է Կվիրիլայ գետի կողմից (նկ. 24 բ):

Հանքարեր հորիզոնն իրենից ներկայացնում է փուխր կայծքարային ենթաշերտերի հետ հերթագայվող փոքր կարողության



Նկ. 24 ա. ձիարւբայի հանքավայրի շրջանի սխեմատիկ ստրատիգրաֆիական սյունակ
1—կվարցային պորֆիրներ և նրանց տուֆեր, 2—պորֆիրիտների երակներ, 3—յուրայի հասակի կրաքարեր, 4—վերին կավճի կրաքարեր, 5—բազալտ, 6—հանքաշերտ, 7—օլիգոցենի ավազաքարեր, 8—չոկրակի ավազներ, 9—չոկրակի կավեր, 10—սպանիոգոնտային կրաքարեր, 11—ֆոլադային հորիզոն, 12—ստորին սարմատի ավազային կավեր:

հանքային շերտիկների մի սերիա: Հանքային ենթաշերտերի թիվը աատանվում է 3 մինչև 15-ի սահմաններում, իսկ նրանցից յուրաքանչյուրի կարողությունը՝ մի քանի սանտիմետրից մինչև 50—80 սմ: Հանքաբեր հորիզոնի արդյունաբերական կարողությունը աատանվում է 2 մինչև 5 մ, որը լավ պահպանվում է մեծ տարածությունների վրա:



Նկ. 24 բ. ձիաբուրայի մանգանի հանքավայրի սխեմատիկ գեոլոգիական քարտեզ (քստ Ա. Գ. Բեռեխտինի)

1—ստորագիւր կվարցային պորֆիրներ և տուֆեր, 2—վերին կավճի կրաքարեր, 3—օլիգոցեն, որի հիմքում տեղադրված է հանքաբեր շերտախումբը, 4—միոցենի հասակի չոկրակի, սպանիոգոնտային և ֆուրգային նստվածքներ, 5—միոցենի ստորին սարմատյան կավեր, 6—բազալտ:

Հանքաբեր հորիզոնի ուղղաձիգ կտրվածքում անհրաժեշտ է առանձնացնել առաջնային՝ օքսիդային հանքանյութերի ենթաշերտերի ստորին սերիա և ավելի ազքատ վերին սերիա, որը

կազմված է մասամբ օքսիդային, իսկ հանքավայրի հյուսիս-արևելյան տեղամասերում՝ բացառապես կարբոնատային, մակերեսում օքսիդացած հանքանյութերից: Հանքանյութերի կազմության այդպիսի հերթափոխումը վիայում է նրանց նստեցման սեփմի փոփոխման և ավազանի հատակի իջեցման հետևանքով օքսիդացման ֆազիան սիդերիտային ֆազիայով փոխարինվելու մասին: Փացլաների հերթափոխումը հիանալի կերպով արտահայտված է նաև հորիզոնական ուղղությամբ և հանքավայրի հարավ-արևմտյան տեղամասերում գրանորված պիրոլյուզիտային լումեկանի հանքանյութերի գերակշռմամբ, որոնք հյուսիս-արևելյան ուղղությամբ (ցամաքից հեռանալու և ավազանի խորանայու հետ միասին) փոխարինվում են մանգանիտային, այնուհետև կարբոնատային հանքանյութերով:

Առաջնային՝ օքսիդային հանքանյութերի մեջ առանձնացնում են հետևյալ տիպերը՝

ա) Ցանավոր օօլիտային հանքանյութեր՝ հանքավայրի հանքանյութերի կարևորագույն տիպ: Հանքանյութերը ներկայացված են պիրոլյուզիտի, պսիլոմեկանի կամ մանգանիտի 1—8 մմ, հազվադեպ մինչև 15—20 մմ չափերի օօլիտներով, որոնք ցրված են փոխը կայծքարային զանգվածի մեջ: Օօլիտների քանակը տատանվում է լայն սահմաններում (նոսր ցանավորից մինչև խիտ ցանավոր հանքանյութեր), որի կապակցությամբ էլ Mn պարունակությունը տատանվում է մի քանի տոկոսից մինչև 30%: Օօլիտային հանքանյութերը լավ են հարստացվում և հիմնական աղբյուր են հանդիսանում աշխարհում լավագույն որակի՝ I A տեսակի կոնցենտրատներ ստանալու համար, որոնք պարունակում են՝ Mn 52—58% և P—0,15% ոչ ավել:

բ) «Բելտա» («Бельта») սև (պիրոլյուզիտային) կամ գորշ (մանգանիտային) հանքանյութ. իրենից ներկայացնում է կավանման զանգված, որը կազմված է մանգանի մրանման կամ օպալա-ավազային նյութով շաղախված մանր օօլիտներից: «Բելտան» պարունակում է՝ Mn 42—50%, P—0,15—0,22%, այս հանքանյութերը վատ են հարստացվում (կորուստները մեծ են) և օգտագործվում են հում վիճակում: Սև բելտան հանդիպում է մակերեսում և խորքում փոխարինվում է գորշով, որի օքսիդացման արդյունքն էլ հենց հանդիսանում է: Սև բելտայում MnO₂ պարունակությունը հասնում է 80—90%, այդ հանքանյութերը

որպես քիմիական (պերօքսիդային) հանքանյութեր շատ բարձր են գնահատվում:

դ) «Պլաստ» („ПЛАСТ“)՝ մանրահատիկ կամ օօլիտային կառուցվածքի մասսիվ կարծր հանքանյութ, որը տեղ-տեղ առաջացնում է ինքնուրույն ենթաշերտեր: Մո պարունակությունը 50—58⁰/₀, P—0,10—0,18⁰/₀. սա պատրաստի կոնցենտրատ է, տվյալ տիպի հանքանյութերի քանակական նշանակությունը մեծ է:

Բացի հանքանյութերի այդ գլխավոր տիպերից, հանքավայրում կարելի է առանձնացնել նաև կարրոնատային՝ մանգան-կալցիտային և ոսգոխրոզիտային հանքանյութեր, Մո 6—30⁰/₀ և P մինչև 0,4—0,5⁰/₀ պարունակությամբ, որոնք տարածված են հանքավայրի հյուսիս-արևելյան տեղամասում, կարրոնատային հանքանյութերի հաշվին առաջացած օքսիդացած հանքանյութեր, «մծվարի» տիպի կալցիտով ցեմենտացված օլիտային հանքանյութեր, որոնք կազված են հանքային աղբյուրների գործունեության հետ, բրաունիտ-հաուսմանիտային հանքանյութեր, որոնք իրենցից ներկայացնում են դիսբազային դայկաների կոնտակտներում կատարված պիրոլյուզիտ-պսիլոմելանի հանքանյութերի մետամորֆացման արդյունք:

Հարստացման ֆարրիկան ուղարկվող օքսիդային հում հանքանյութերում Մո պարունակությունը տատանվում է 25-ից մինչև 38⁰/₀ սահմաններում: Այդպիսի հանքանյութերի պաշարները շատ մեծ են:

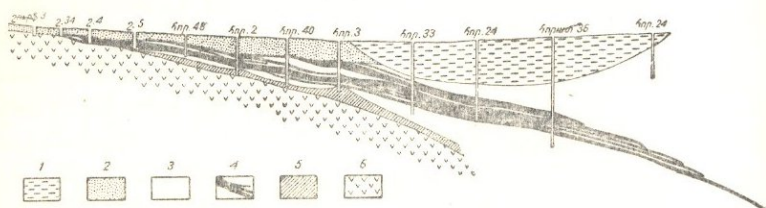
Հանքավայրն ունի նստվածքային ծագում, հանքաբեր հորիզոնում հանդիպել են շնաձկների ատամներ, զանազան ձկների ոսկորներ և ծովային ֆաունայի այլ մնացորդներ: Մանգանի աղբյուր են հանդիսացել Զիրուլայի գրանիտների զանգվածը և մեզո-կայնոզոյան հասակի հրաբխածին ապարների հզոր նրստվածքները:

Ճիաթուրայի հանքավայրը մեծ նշանակություն ունի հայրենական մետալուրգիայի համար և, բացի գրանից, կոնցենտրատներ է մատակարարում արտահանման համար:

Պոլունոչնոյե հանքավայրը գտնվում է Հյուսիսային Ուրալում, Իվդել քաղաքից դեպի հյուսիս. հայտնաբերված է 1920 թ., սկսել է շահագործվել 1942 թ., երբ այստեղ հայտնաբերվեցին բարձրորակ առաջնային՝ օքսիդային հանքանյութեր (Ասանով, 1947):

Հանքաբեր հորիզոնը հարուժ է պալեոզոյի նստվածքների վրա տեղադրված երրորդական (օլիգոցենի կամ էոցենի) հասակի սվազա-կավային նստվածքների շերտախմբի հիմքին (նկ. 25):

Հանքային շերտի ելքը ըստ տարածման հետամտված է երրորդական նստվածքների արևմտյան սահմանի երկայնքով 1,5 կմ, իսկ ըստ անկման (դեպի արևելք 6—12° անկյան տակ)՝ 600 մ, 0,7 մինչև 13,5 մ սահմաններում տատանվող կարողությամբ: Արևմուտքից դեպի արևելք, առափնյա գծից 600 մ հեռավորության վրա օքսիդային հանքանյութերը փոխարինվում



Նկ. 25. Պոլուեոչնոյե հանքավայրի սխեմատիկ կտրվածք (ըստ Յու. Ա. Ասանովի)

- 1—ալյուվիալ նստվածքներ, 2—բերվածքներ, 3—օպոկային կավեր, 4—մանգանյին հանքանյութեր, 5—կվարց-գլաուկոնիտային ավազաբեր, 6—պիրոքսենային պորֆիրիտների տուֆեր:

են կարբոնատային հանքանյութերով, որոնք առաջացել են ավազանի ավելի խոր մասերում:

Հանքավայրի արևմտյան մասում գարգացած առաջնային՝ օքսիդային հանքանյութերի հանքային շերտի կտրվածքը հետևյալն է (վարից վեր)՝

ա) Նուրբ ենթաշերտային հանքանյութերի ենթաշերտախումբ, մի քանի մետր. ընդհանուր կարողությունամբ: 1—2 մ կարողություն ունեցող պսիլոմելան-պիրոլյուզիտի հոծ հանքանյութերի ենթաշերտիկները հերթագայում են 10—20 մ կարողություն ունեցող և մանգանի հիդրօքսիդների փաթիլանման անջատումներ պարունակող օպալային փուխր ապարի ենթաշերտերի հետ: Ամբողջ ենթաշերտախմբի համար ՄՈ պարունակությունը կազմում է 20⁰/₁₀, հարուստ հանքանյութերի ենթաշերտերը հեշտությունը գատվում և տալիս են լավորակ կոնցենտրատներ:

բ) Կոնկրեցիոն հանքանյութերի շերտ 1—2 մ կարողությունամբ: Պիրոլյուզիտի և պսիլոմելանի կոնկրեցիաները ցրված են մրանման նյութով ներծծված օպալային փուխր զանգվածի

մեջ: Հում հանքանյութերում Mn պարունակությունը 25—32⁰/₁₀ է, P—0,16⁰/₁₀, S—0,07⁰/₁₀, սրանք հեշտությունում հարստացվում են, տալով I տեսակի կոնցենտրատներ, որոնք իրենց որակով չեն գիջում նիկոպոլյան կոնցենտրատներին:

գ) Կտորավոր-ծակոտիկեն հանքանյութեր մի քանի մեար կարողությունում: Սրանք օքսիդացած (պսիլումելանի) հանքանյութեր են օպալով և գլաուկոնիտով, որոնք խորքում անցնում են կարբոնատային հանքանյութերի: Սրանց հարստացումը լավ արդյունքներ չի տալիս, իսկ հում հանքանյութերը ցածրորակ են (Mn 27⁰/₁₀, SiO₂ 30⁰/₁₀):

Հանքավայրի արևելյան մասում, որտեղ զարգացած են բացառապես կարբոնատային հանքանյութերը, հանքային շերտի կտրվածքն այլ է: Ստորին մասում տարածված են ավազախառն կարբոնատային հանքանյութեր, երբեմն մանգանի կարբոնատների կոնկրեցիաների ձևով, այդ հանքանյութերը բաժանված են կայծքարային կավի շերտով: Ընդհանուր կարողությունը մի քանի մեար է: Վերին մասում տեղադրված է կավերի բավական հզոր (մինչև 10—15 մ) շերտ՝ օպալ-կարբոնատային հանքանյութերի խոշոր բոքոնաձև մարմիններով և պիրիտով, նրանք ներկայացված են կալցիումային սոդոխրոզիտով, հեշտությունում անջատվում են կավերից և կոնցենտրատներում պարունակում են մինչև 30⁰/₁₀ Mn, տոկոսի տասնյակ մասեր P և S, 20—30⁰/₁₀ SiO₂: Այդպիսի կոնցենտրատներն օգտագործվում են չուգունի ձուլման ժամանակ բովախառնելու համար:

Պոլունոչնոյե հանքավայրի հանքաբեր տարածությունը կազմում է ընդամենը 1 կմ³, հանքանյութի պաշարները մեծ չեն: Անհրաժեշտ է նշել, որ Պոլունոչնոյե հանքավայրից հարավ և հյուսիս, համանման գեոլոգիական պայմաններում հայտնի են մանգանի հանքանյութերի մի շարք հայտածուներ և հանքավայրեր, որը թույլ է տալիս բարձր գնահատելու Հյուսիս-Ուրալյան մանգանաբեր գոտու հեռանկարները:

Պոլունոչնոյե և Հյուսիսային Ուրալի այլ հանքավայրերի ծագումը նստվածքային է, ստրատիգրաֆիապես, ինչպես նիկոպոլի և Ճիաթուրայի հանքավայրերը, սրանք նույնպես հարում են երրորդական հասակի ծանծաղջրյա նստվածքների հիմքին:

Վերջին ժամանակները հանքաբեր հորիզոնի ստորին մասի, ինչպես նաև առափնյա գծից հեռացած տեղամասերի հանքանյութերում Պ. Ֆ. Անդրուշչենկոն հայտնաբերել է գազոտա-

բյուրեղ մանգանիտի (նախկինում ընդունված էր որպես պսիլոմեթան) զգալի քանակություն, որն առաջացնում է մագնետիտային հանքանյութերի հատուկ ֆազիա: Այդ ֆազիան միջանկյալ է ափին ավելի մոտ գտնվող պիրոլյուզիտային և ավելի խորջրյա մասերում զարգացած կարբոնատային հանքանյութերի միջև:

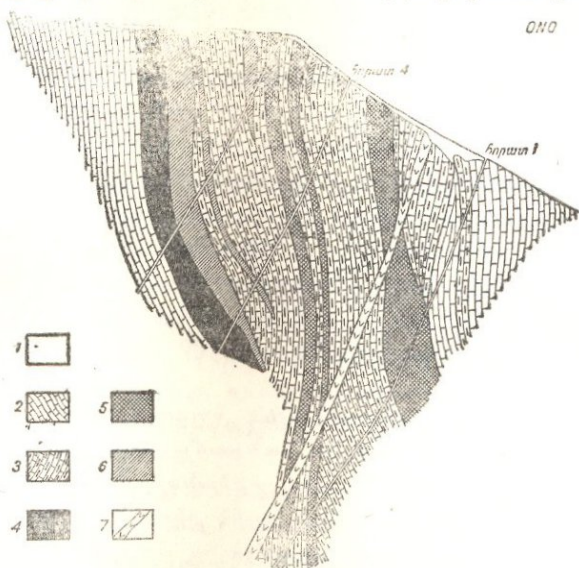
Ուսինսկի (Իվանովսկի) հանքավայրը գտնվում է Կուզնեցկի Ալատաույում, Ստալինսկից գեպի հյուսիս-արևելք. հայտնաբերված է 1939 թ. և նկարագրված է Կ. Վ. Ռադուզինի կողմից:

Շրջանը կազմված է ստորին պալեոզոյի և մինչքեմբրի նստվածքային և մետամորֆային ապարներից (Գոբին, 1947, Ռադուզին, 1941): Հանքավայրի տեղամասում տարածված են քեմբրի հասակի կայծքարային թերթաքարեր, ավաղաքարեր և մարմարացած կրաքարեր (կրաքարերում գտնված են ստորին քեմբրի արխեոցիատներ): Ավելի վեր տեղադրված հանքաքար շերտախումբը ներկայացված է սիլիցիլիտների և մանգանի կարբոնատային հանքանյութերի ու կրաքարերի հերթագայությամբ (նկ. 26). վերջիններում գտնված են ջրմուռների մնացորդներ, որոնց հիման վրա որոշված է միջին քեմբրի հասակ:

Հանքավայրը ներկայացված է երկու հանքակուտակով՝ Հյուսիսային և Հարավային: Հյուսիսային լավ հետախուզված կուտակին ըստ տարածման հետամտված է 1200 մ 125—150 մ միջին կարողությամբ և հորատանցքերով հատված է 125 մ խորության վրա: Հանքակուտակը կազմված է հերթագայվող մանգանային կրաքարերից, քլորիտ-կարբոնատային հանքանյութերից և սպունգների սպիկուլներ պարունակող կայծքարային ապարներից: Մանգանային կրաքարերի որոշ ենթաշերտեր պարունակում են մինչև 20—30% Mn, իսկ ամենահարուստ քլորիտ-կարբոնատային հանքանյութերը՝ 27—38% Mn: Քլորիտ-կարբոնատային հանքանյութերի շերտերի կարողությունը կազմում է 10—20 մ, նրանք ըստ տարածման և անկման վատ են պահպանված և արտաքուստ հիշեցնում են մերգելներ կամ գոլոմիտներ:

Քլորիտ-կարբոնատային հանքանյութերի գլխավոր միներալներն են ոսգոխրոզիտը և Mn, Ca, Mg պարունակող քլորիտները: Հանդիպում են բարիտ և պիրրոտին: Մանգանային կրաքարերի գլխավոր միներալն է մանգանո-կալցիտը. արտաքին

տեսքով սրանք սովորական մոխրագույն կրաքարերից չեն տարբերվում: Քլորիտ-կարբոնատային հանքանյութերը կարող են օգտագործվել հիմնականում ոչ-ստանդարտ մարկանների (ըստ Ֆոսֆորի) ֆերրո-մանգան ստանալու համար, իսկ մանգանային կրաքարերը՝ չուգունի ձուլման ժամանակ բուխառոնելու համար:



Նկ. 26. Ուսինսկի հանքավայրի սխեմատիկ կտրվածք
 1—բերվածքներ, 2—կրաքարեր, 3—աղքատ մանգանային
 կրաքարեր, 4—մանգան-կալցիտային հանքանյութեր, 5—
 քլորիտ-կարբոնատային հարուստ հանքանյութեր, 6—
 կալձքարային աղքատ հանքանյութեր, 7—գիպսային:

Հանքավայրը դասվում է խոշոր նստվածքային հանքավայրերի շարքը: Նստվածքային ծագման մասին խոսում են ֆաունայի մնացորդները և հանքանյութերի օոլիտային (տեղ-տեղ) կազմովները:

Մ ա ղ ու լ ս կ ի հ ա ն ք ա վ ա յ ը ը զ ա ն յ ու մ է կրասնոյարսիկ երկրամասում, Աշինսկ քաղաքից դեպի հարավ-արևելք:

Շրջանում տարածված են պրոտոերոզոյի հասակի հրաբխածին-նստվածքային ապարներ, որոնք հայտնի են կուտեն-բուլուկյան ենթաշերտախումբ անվան տակ: Ամենից ավելի լայնորեն տարածված են կալձքարային և կավա-կալձքարային

ապարները ոսդիոլյարիաների և սպունգների սպիկուլների մնացորդներով:

Հանքամարմինները ներկայացված են մանգանի կարրոնատային հանքանյութերի ոսպնյակներով և հարում են կրաքարերի վրա տեղադրված կայծքարային ենթաշերտախմբի ստորին մասերին: Հանքամարմինների կարողությունը հասնում է 40 և ավելի մ. նրանք կազմված են ոսդիոլյարիայից, մանգանոսիդերիտից և սիդերիտից: Մակերեսում մերկացող հանքամարմիններն օքսիդացած են մինչև 50—60 մ խորությունը, որի կապակցությունը առանձնացվում են՝ ա) առաջնային կարրոնատային հանքանյութեր և բ) մանգանի գլխարկներ կազմող օքսիդացած հանքանյութեր: Առաջնային հանքանյութերում Mn պարունակությունը կազմում է 18—20⁰/₀, Fe—3—20⁰/₀ և P—0,3—0,4⁰/₀, օքսիդացած (պսիլոմելան-պիրոլյուզիտ-լիմոնիտային) հանքանյութերում՝ Mn մինչև 48⁰/₀, P մինչև 0,5—1⁰/₀ և ավելի, իսկ միջին հաշվով Mn—19—20⁰/₀, Fe—11—20⁰/₀, P—0,4—0,5⁰/₀:

Հանքավայրը նստվածքային ծագում ունի, որի մասին, մասնավորապես, վկայում են հանքամարմինների փակ ուրվագծերը, նրանց հարումը ոսդիոլյարիաների ու սպունգների մնացորդներ պարունակող կայծքարային քիմիական նստվածքներին և ֆոսֆորի բարձր պարունակությունը հանքանյութերում: Ինչ վերաբերում է ոսդիոլյարիտի երակլիկների առկայությանը, ապա դա հեշտությունը բացատրվում է մետամորֆիզմի պրոցեսների ժամանակ տեղի ունեցող նյութի վերանստեցմամբ:

Հանքավայրի պաշարները խիստ զգալի են, սակայն հանքանյութերը ցածրորակ են և նրանք պիտանի են միայն չուգունի ձուլման ժամանակ բովախառնելու համար:

Հնդկաստանի հանքավայրերը մանգանի հանքանյութերի հանույթի մասշտաբով ՄՍՌՄ-ից հետո աշխարհում գրավում են երկրորդ տեղը: Սոչոր հանքավայրերը գտնվում են կենտրոնական մարզերում (Բալահատ, Նահպուր և Բանդարա հանքավայրեր), ինչպես նաև Մագրաս, Բոմբեյ և Բինար մարզերում:

Ամենամեծ հանքավայրերը հարում են գոնդիտային սերիայի արխեյան բյուրեղային թերթաքարերի շերտախմբին: Գոնդիտներն առաջացել են մանգանով հարուստ կավա-կայծքարային նստվածքների մետամորֆիզմի հաշվին և պարունակում են սպեսարտինի, պիտոնիտի, ոսդոնիտի և մանգանի այլ սիլիկատների նկատելի քանակություն:

լատերիտային հողմնահարման պայմաններում դուրս են բերվել և կտրվածքի վերին մասում կուտակվել մանգանի օքսիդները՝ պիրոլյուզիտը, պսիլոմելանը, բրաունիտը, մասամբ նաև Al_2O_3 :

Հանքաբեր տեղամասերը մինչև 30 մ կարողության մանգանի գլխարկներով հանդերձ տարածման ուղղությամբ հետամըտվում են 2,5—10 կմ: Հանքանյութերը բարձրարակ են, կոնցենտրատները պարունակում են 46—56 % Mn և 0,1—0,15 % P:

Հնդկաստանի հանքավայրերի մյուս մասը կապված է 10 % Mn պարունակող օրթոքնեյաների՝ կոգուրիաների օքսիդացման հետ: Mn՝ հավանաբար սսիմիլյացիայի է ենթարկվել կողային տպարներից գրանիտի կողմից: Կոգուրիաներում լայնորեն տարածված են մանգանի սիլիկատները (գրանատներ և սոգոնիտ), որոնց օքսիդացման հաշվին առաջացել են մանգանի գլխարկները, սակայն սրանք սովորաբար ավելի պակաս հզոր և պակաս հարուստ են, քան նրանք, որոնք կապված են գոնդիաների հետ:

Հնդկաստանի հանքավայրերի հանքանյութերի պաշարները կազմում են 100 մլն. տ.:

Բրազիլիայի հանքավայրերը, որոնք գտնվում են Մինաս-Գերանս նահանգում, հարում են արվեստան երկաթային թերթաքարերի՝ իտաբիրիտների շերտախմբին, որի մեջ տեղադրված են մանգանի կարբոնատների և սիլիկատների սսայնյակներ: Վերջիններս տասնյակ մետր կարողությամբ, ըստ տարածման հետամտված են 4—5 կմ: Արդյունաբերական հարուստ հանքանյութերն առաջացել են այդ կարբոնատ-սիլիկատային հանքանյութերի օքսիդացման հետևանքով և ներկայացված են մեծ տարածություններ գրավող, 3—30 մ կարողության մանգանի գլխարկներով: Հարտացումից հետո կոնցենտրատներում մանգանի պարունակությունը հասնում է 45—55 % P—0,1—0,2 %: Մոնորագույն հանքավայրերից մեկը՝ դա Մորոս-Գա-Մինաս հանքն է:

Բրազիլիայի հանքավայրերի հանքանյութերի պաշարները կազմում են 100 մլն. տ.:

Գանայի (Ոսկյա Ափ) հանքավայրերը Արևմտյան Աֆրիկայում հարում են պրոտերոզոյան ֆիլիանների և բյուրեղային թերթաքարերի շերտախմբին: Այդ ապարներում, որոնց մեջ Mn կազմում է 7—30 %, հանդիպում են մանգան պարունակող

գրանատներ: Արդյունաբերական կուտակումներ առաջանում են լատերիտային հողմնահարման պրոցեսների հետևանքով և ներկայացված են 6—10 մ և ավելի մեծ կարողության մանգանի գլխարկներով: Հանքանյութերը ծակոտկեն են, խոտոչավոր, տեսակավորումից հետո պարունակում են 50—55% Mn և 0,1% P:

Կարևորագույն հանքավայր է հանդիսանում շատ խոշոր պաշարներ ունեցող Նոուտա հանքավայրը, որը ներկայացված է 10 մ կարողության մանգանի գլխարկով, իսկ նրա տակ՝ մանգանիտախառն պիրոլյուզիտ-պսիլոմելանի կազմության մասով կամ գոլավոր «սև» հանքանյութի (50—53% Mn) սսպնյակաձև մարմիններով: Հանքավայրի ծագումը պարզ չէ: Հստակ երևույթին, դա որոշ չափով մետամորֆացված և հողմնահարման ենթարկված նստվածքային հանքավայր է:

Հարավային Աֆրիկայի հանքավայրերը գրանջրվում են Պոստմասսոբրք քաղաքի շրջանում. հայտնաբերված են 1922 թ.: Հանքարեր գտնին մինչև 14 կմ լայնությամբ քստարածման միջօրեականի ուղղությամբ հետամտվում է 75 կմ:

Հանքարեր շերտը տեղագրված է Տրանսվալ սիստեմի գոլոմիտների լվացված մակերեսի վրա և ծածկված է գոլոմիտների վրա աններդաշնակ վերադրված թերթաքարերով և կլարցիտներով: Հանքային շերտի կարողությունը 1,5—7 մ է. հանքանյութերը կազմված են սիտապարիտից—(MnFe)MnO₃, բրաունիտից, պիրոլյուզիտից, պսիլոմելանից, գլխասպորից, բարիտից, հաուսամանիտից, որոնք առաջացնում են մանրահատիկ սերտ հարածոց հատիկների ագրեգատներ, հավանաբար նստեցված կոլոիդալ լուծույթներից: Mn պարունակությունը 44—54% է (տեսակավորումից հետո), Fe—7—18%, Al₂O₃—7% և ավելի, BaO—1,5—2,5%, P—0,06—0,09%: Հանքանյութերի հավանական պաշարները կազմում են 1 մլրդ. տ.:

Մի շարք հետազոտողներ գտնում են, որ հանքավայրն առաջացել է մանգանով հարուստ նստվածքային մետամորֆացված ապարների լատերիտային հողմնահարման պայմաններում, ուրիշները (Դե Վիլլյե, 1944) մանգանի կուտակումը կապում են հլորոթերմալ լուծույթների շրջանառության և գոլոմիտների մետասոմատոզի հետ: Այս վերջին տեսակետը մեր կարծիքով թույլ է հիմնավորված:

ԸՆԴՀԱՆՐԱՅՈՒՄ ՄԱՆԳԱՆԻ ՎԵՐԱԲԵՐՅԱԼ ԵՎ ՈՐՈՆՄԱՆ
ՆՇԱՆՆԵՐԸ

Մանգանի էնդոգեն (սկառնային և հիդրոթերմալ) հանքավայրերն ունեն շատ փոքր արդյունաբերական նշանակություն: Խոշորագույն նշանակություն ունեն մանգանի նստվածքային հանքավայրերը, ինչպես նաև մանգանային գլխարկները, որոնք առաջանում են վերջինների օքսիդացման կամ մանգանով հարուստ նստվածքային և մետամորֆային ապարների լատերիտային հոգմահարման զոնայում:

Անհրաժեշտ է ընդգծել մանգանի նստվածքային հանքանյութերի կապը կալժքարային ծանծաղջրյա նստվածքների (օպոկների, սպոնգոլիտների, սիլիցիլիտների, յաշմաների) հետ, որը որոնումների ժամանակ լավ ուղենիշ է հանդիսանում:

Նստվածքային ծագման մանգանի հանքանյութերի արդյունաբերական ամենախոշոր կուտակումները հարում են օլիգոցենի հասակի նստվածքներին, սակայն այլ հասակի (մինչքեմբրյան, քեմբրի, գետնի ու ստորին կարբոնի, կավճի, էոցենի) շերտախմբերում ևս հանդիպում են մանգանի բավական խոշոր կուտակումներ:

Մանգանի նստվածքային հանքավայրերի համար առափնյա գծից հեռանալու հետ զուգընթաց տեղի է ունենում հանքանյութերի ֆացիաների օրինաչափ հերթավորում՝ օքսիդային (պիրոլյուզիտ-պսիլոմեկանային) հանքանյութերը ավազանի ավելի խորջրյա մասերում փոխարինվում են նախ մանգանիտային, այնուհետև մանգանի կարբոնատային հանքանյութերով: Ըստ որակի օքսիդային հանքանյութերը հանդիսանում են լավագույնը, այդ իսկ պատճառով որոնման—հետախուզական աշխատանքներին ճիշտ ընթացք տալու համար կարևոր է իմանալ շրջանի պալեոաշխարհագրությունը և առափնյա գծի գիրքը:

Անհրաժեշտ է ի նկատի ունենալ նաև հանքանյութերի ֆացիաների հնարավոր հերթավորումը հանքաբեր շերտի ուղղաձիգ կտրվածքում, որը կապված է նրա նստեցման ժամանակաշրջանում ավազանի խորացման կամ ծանծաղեցման հետ:

Այսպիսով, մանգանի հանքանյութերի որոնումներին ուղղություն պետք է տան գլխավորապես ստրատիգրաֆիական և պալեոաշխարհագրական ավյալները: Որոնման ուղղակի նշան է հանդիսանում սև մանգանային գլխարկների և մանգանի օքսիդ-

ների ու հիդրօքսիդների կեղևանման առաջացումների ելքերի առկայությունը, ինչպես նաև մանգանի կարրոնատների վարդագույն երանգավորումը:

ՀԻՄՆԱԿԱՆ ԳՐԱԿԱՆՈՒԹՅՈՒՆ ՄԱՆԳԱՆԻ ՎԵՐԱԵՆՐՅԱԿ

Асанов Ю. А. Осадочные месторождения марганцевых руд восточного склона Северного Урала. Геология и полезные ископаемые Урала, вып. 1, 1947.

Андрущенко П. Ф. О фации манганитовых руд в Полуночном месторождении на Северном Урале. Изв. АН СССР, серия геол., № 2, 1950.

Бетехтин А. Г. Чиатурское месторождение и его промышленная характеристика. Труды ЦНИГРИ, вып. 60, 1936.

Бетехтин А. Г. О генетических типах марганцевых месторождений. Изв. АН СССР, серия геол., № 4, 1944.

Бетехтин А. Г. Промышленные марганцевые руды СССР. АН СССР, 1946.

Василенко П. И. Никопольский марганцевый район. Труды III Всесоюзного совещания по черным металлам, ч. III, 1933.

Вернадский В. И. Геохимия марганца в связи с учением о полезных ископаемых. Труды конференции по генезису руд железа, марганца и алюминия. Изв. АН СССР, 1937.

Грязнов В. И. О манганитовых рудах Никопольского марганцевого месторождения. Изв. АН СССР, серия геол., № 2, 1950.

Додин А. Л. Усинское месторождение марганцевых руд. Сов. геология, сборник № 27, 1947.

Лепикаш И. А. Никопольский марганцевый район. Труды Межд. геол. конгресса, XVII сессия, Ю. Экскурсия Укр. ССР, 1937.

Радугин К. В. Ивановское месторождение марганцевых руд (Зап. Сибирь). Сов. геология, № 3, 1941.

Congres géologique International, Monographies regionales 3-me Série: Maroc № 2, 1952, L'industrie minière du Maroc (Zone française).

Dekowski Nico. Indische Manganerzlagertstätten. Z. Erzberbau und Metallhüttenwesen, № 11, 1954.

De Villiers J. E. The Origin of the Iron and Manganese Deposits in the Postmassburg and Thabazimbi Areas. Trans. of the Geol. Soc. of South Afr. V. 47. 1944.

Du Toit A. The manganese Deposits of Postmassburg. Econ. Geol. V. 28. 1933.

James A. Noble. Manganese on punta conception, baja California, Mexico. Econ. Geol. v. 45. № 8, 1950.

Kostov I. Manganese in Bulgaria. Min. Mag. № 2, 1944.

Park C. F. Yr. Manganese deposits of Cuba. US Geol. Surv. Bull. 935—B. 1942.

Ք Ր Ո Մ (Cr)

ԸՆԴՀԱՆՈՒՐ ՏԵՂԵԿՈՒԹՅՈՒՆՆԵՐ

Քրոմիտն առաջին անգամ սկսել է կիրառվել 1820 թ. Նորվեգիայում որպես հրակայուն նյութ: Մետալուրգիայում, արդյունաբերության հրակայուն և քիմիական ճյուղերում քրոմիտը լայն կիրառում է ստացել 19-րդ դարի վերջերին: Այդ ժամանակից մուսաստանում, Թուրքիայում, Հարավային Աֆրիկայում կազմակերպվել է քրոմիտի խոշոր հանքավայրերի մշակում:

Քրոմիտը գլխավորապես կիրառվում է մետալուրգիայում, որը սպասում է քրոմիտի համաշխարհային արդյունահանման, այն էլ ամենարարժրորակ հանքանյութերի 50⁰/₀-ը: Մնացած քանակությունը բաշխվում է գլխավորապես հրակայուն (40⁰/₀) և քիմիական (10⁰/₀) արդյունաբերության միջև: Մետալուրգիայում ֆերրոքրոմի ձևով (65—70⁰/₀ Cr) քրոմի հավելույթը պողպատներին հազորդում է մածուցիկութուն, բարձրացնում է կարծրությունը և հակակորրոզիոն հատկությունները (չժանգոտվող, թթվակայուն, հրակայուն, արագ կտրող գործիքային, զըսպակային պողպատներ):

Քրոմը նիկելի, կոբալտի, ալյումինիումի հետ տալիս է արժեքավոր համաձուլվածքներ, որպես բազապրամաս մտնում է հատուկ համաձուլվածքների՝ ստելիտների (Cr-ը Co և W կամ Mo հետ) մեջ, կիրառվում է որպես երեսապատման նյութ (քրոմապատում): Որպես հրակայուն նյութ քրոմիտը բնական ձևով կամ արհեստական նյութերի ձևով օգտագործվում է մարտենյան վառարանների և գունավոր մետաղներ ձուլող վառարանների բոլորապատման համար: Քիմիական արդյունաբերության մեջ քրոմիտը հումք է ծառայում ներկեր և կաշիների դարադման նյութ պատրաստելու համար:

Քրոմիտի համաշխարհային արդյունահանումը տարեկան կազմում է ավելի քան 2 մլն. տ. առաջին տեղը զբաղում է ՍՍՌՄ-ը, ապա հետևում են Հարավային Ռոդեզիան, Հարավ-Աֆրիկյան Միությունը, Թուրքիան, Կուբան, Ֆիլիպպինները, Յապոնիան, Հարավսլավիան, Հունաստանը, Հնդկաստանը և ուրիշներ: Պաշարները ճշգրիտ հաշվված չեն: Բարձրորակ հանքանյութերի հսկայական պաշարներ ունեն ՍՍՌՄ-ը և Հարավային Ռոդեզիան:

Այնպիսի խոշոր արդյունաբերական երկրներ, ինչպիսիք են ԱՄՆ, Մեծ Բրիտանիան, Ֆրանսիան, Գերմանիան բոլորովին կամ համարյա բոլորովին զուրկ են սեփական պետականներից և ամբողջովին կախված են ներմուծումից: Սովետական Միությունը ոչ միայն բավարարում է իր պահանջները, այլև արտահանում է (Լեհաստան, Չեխոսլովակիա, Հունգարիա, Ռումինիա, Ֆրանսիա) զգալի քանակի քրոմիտ:

* * *

Քրոմի կլարիդ երկրի կեղևում $0,035\%$ է. էլեմենտը սերտորեն կապված է ուլտրահիմքային ապարների և հատկապես գունիտների ու պերիդոտիտների հետ: Այդ ապարներում Cr_2O_3 պարունակությունը հասնում է $3-4\%$, պիրոքսենիտներում նվազում է մինչև $0,4\%$, իսկ զբանիտներում կազմում է ընդամենը տոկոսի մի քանի հազարերորդական մասեր, այսինքն՝ կլարիդից զգալիորեն ցածր:

Միակ արդյունաբերական միներալն է հանդիսանում քրոմիտը կամ քրոմային երկաթաքարը, որը FeCr_2O_4 տեսական ֆորմուլայի համաձայն, պարունակում է 68% Cr_2O_3 (մտտավորապես 41% Cr) և 32% FeO : Սովորաբար քրոմի մի մասը իզոմորֆ ձևով տեղակալվում է ալյումինիումով և ավելի հազվագեղ օքսիդային երկաթով. թերօքսիդային երկաթի մի մասը տեղակալվում է MgO : Նայած այդ խառնուրդների գերին, ըստ Ա. Կ. Բոլդիրևի և Ա. Գ. Բեռեխտինի, տարբերում են քրոմիտի հետևյալ չորս տարբերակները՝

- Մագնոքրոմիտ $(\text{Mg, Fe}) \text{Cr}_2\text{O}_4$ 50—65% Cr_2O_3 ,
- Քրոմ-պիկուտիտ $(\text{Mg, Fe}) (\text{Cr, Al})_2\text{O}_4$, 35—55% Cr_2O_3 ,
- Ալյումոքրոմիտ $(\text{Fe, Mg}) (\text{Cr, Al})_2\text{O}_4$, 35—50% Cr_2O_3 ,
- Քրոմիտ FeCr_2O_4 , 47—60% Cr_2O_3 :

Առաջին երեք տարբերակները շատ սովորական են, վերջինը հազվագեղ է հանդիպում: Մագնոքրոմիտը հանդիսանում է արդյունաբերության համար ամենակարևոր ու արժեքավոր հանքանյութը:

Քրոմը մտնում է մի շարք այլ միներալների՝ քրոմային փայլարի (ֆուկսիտ), քրոմային քլորիտի, քրոմ-վեզուվիանի, քրոմ-գիսպսիդի, քրոմ-տուրմալինի, քրոմային գրանատի (ու-վարովիտ) կազմության մեջ, որոնք հաճախ ուղեկցում են քրոմիտի հանքանյութերը, սակայն իրենք գործնական արժեք չեն ներկայացնում:

Արդյունաբերության տարբեր ճյուղերի պահանջները հանքանյութերի որակի նկատմամբ տարբեր են: Ամենախիստ պահանջներ է ներկայացնում մետալուրգիական արդյունաբերությունը, որի համար պիտանի են միայն այնպիսի հանքանյութեր, որոնցում Cr_2O_3 պարունակությունը $37-40\%$ -ից պակաս չէ (ստորին սահմանը 32%) և $\frac{\text{Cr}_2\text{O}_3}{\text{FeO}}$ 2,5 պակաս չէ: Մետալուրգիական հանքանյութ է հանդիսանում մագնոքրոմիտը (որի մեջ $\frac{\text{Cr}_2\text{O}_3}{\text{FeO}}$ սովորաբար $3-4$ և ավելի է), այն ժամանակ, երբ նույնիսկ Cr_2O_3 -ով հարուստ ու մասսիվ քրոմ-պիկոտային և հատկապես ալյումոքրոմիտային հանքանյութերը չեն բավարարում երկրորդ պահանջին ($\frac{\text{Cr}_2\text{O}_3}{\text{FeO}}$ սովորաբար կազմում է $1,8-2$): Ընդհակառակը, նույնիսկ ազքատ ցանավոր հանքանյութերը Cr_2O_3 12% և ավելի պարունակությամբ, եթե միայն ցաները ներկայացված են մագնոքրոմիտային տարբերակով, արժեքավոր են, քանի որ նրանցից կարող են ստացվել մետալուրգիայի համար պիտանի կոնցենտրատներ:

Հրակայուն և քիմիական արդյունաբերությունը բավարարվում է ավելի ցածրորակ հանքանյութերով (Cr_2O_3 $32-35\%$), որոնց մեջ $\frac{\text{Cr}_2\text{O}_3}{\text{FeO}}$ կարող է լինել 2,5 և նույնիսկ 2-ից էլ ցածր:

ՀԱՆՔԱՎԱՅՐԵՐԻ ԳԵՆԵՏԻԿ ՏԻՊԵՐԸ, ՔՐՈՄԻՏԱՅԻՆ ՄԱՐՁԵՐԸ ԵՎ ԴԱՐԱՇՐՁԱՆՆԵՐԸ

Քրոմիտի բոլոր արդյունաբերական հանքավայրերը հանդիսանում են բուն մագմատիկ՝ հիտերոմագմատիկ և հազվա-

դեպ սեզրեզացիոն: Փոքր արդյունաբերական նշանակություն ունեն էլյուվիալ-դելյուվիալ ցրտնեերը, որոնք գոյանում են մագմատիկ հանքավայրերի քայքայման դեպքում և քրոմիտի մնացորդային կուտակումները լատերիտներում, որոնք առաջանում են քրոմիտի ցան պարունակող ուլտրահիմքային ապարների հաշվին: Իրենց չափերով միանգամայն աննշան են և արդյունաբերական նշանակություն չունեն քրոմիտի հիդրոթերմալ բները և երակիկները, որոնք առաջացել են հիդրոթերմալ լուծույթների կողմից քրոմշպինելիդների լուծման և վերանստեման ճանապարհով: Քրոմիտի հանքավայրերի գենեզիսի հարցերը լուսարանվել են նախ ախադ. Ա. Ն. Ջավարիցիու աշխատություններում, այնուհետև մանրամասնորեն մշակվել են Ա. Գ. Բետեխտինի (1937), Պ. Մ. Տատարինովի (1939, 1941) և Գ. Ա. Սոկոլովի (1948) բազմամյա հետազոտություններով:

1. Քրոմիտի սեզրեզացիոն կամ վաղ մագմատիկ հանքավայրերն առաջանում են մագմայից՝ քրոմիտի բյուրեղների վաղ անջատման հետևանքով, որոնք ուլտրահիմքային ապարների մեջ առաջացնում են ցան և շիբներ: Հանքայնացված տեղամասերը պարունակող ապարներից կտրուկ չեն սահմանազատված և փոխանցվում են նրանց մեջ աստիճանաբար: Սեզրեզացիոն առաջացումներին են պատկանում Ուրալի քրոմիտի ցանավոր հանքայնացման տեղամասերից շատերը, որոնցից մի քանիսը (Կլյուչևսկոյե հանքավայր) ներկայացնում են արդյունաբերական հետաքրքրություն:

Քրոմիտի վաղ բյուրեղների գրավիտացիոն գիֆերենցիացիայի և ինտրուզիվ զանգվածների հատակամերձ մասերում նրանց նստեցման հետևանքով երբեմն առաջանում են քրոմիտների շերտաձև խոշոր մարմիններ (Մեծ Դայկան հարավային Խոգեզիայում, Բուշվելդի կոնպլեքսը Հարավ-Աֆրիկյան Միությունում), որոնք ունեն գործնական մեծ նշանակություն: Այնուամենայնիվ սեզրեզացիոն հանքավայրերն իրենց արդյունաբերական նշանակությամբ խիստ զիջում են հիստերոմագմատիկականին:

2. Հիստերոմագմատիկ կամ ուշ մագմատիկ հանքավայրերն առաջանում են քրոմով հարուստ մնացորդային հանքային մագմայի անջատման և նրա ստեցման հետևանքով, որը ընթանում է մագմայի գլխավոր բաժնի ստեցման համեմատությամբ ավելի ուշ ստադիայում: Ոսպնյակաձև ու երակաձև հանքամար-

մինները տեղագրված են դուռնիտների ու պերիդոտիտների մեջ, ենթակա են զանգվածների սկզբնական տեկտոնիկայի ստրուկտուրային էլեմենտներին և սովորաբար բավական կտրուկ (հատկապես երակաձև մարմինները) սահմանադատված են պարունակող ապարներից:

Շատ դեպքերում դիտվում է հանքամարմինների հատումը դուռնիտի և խոշորահատիկ պիրոքսենիտի երակներով, մի փաստ, որը հաստատում է այն, որ հանքամարմինների ձևավորման պահին ուլտրահիմքային մագմայի ստեղծումը դեռ ավարտված չի եղել: Մյուս կողմից, քրոմիտի երականման մարմիններում հաճախ դիտվում են հանքանյութով ցեմենտացված դուռնիտի բրեկչիանման տեղամասեր, որոնք վիայում են դուռնիտի գլխավոր մասի կարծրանալուց և բեկորատվելուց հետո նման երակաձև մարմինների անջատման մասին: Այդ բոլոր դիտումները ցույց են տալիս, որ հանքամարմինները ձևավորվել են մագմատիկ ֆազի սահմաններում, նրա վերջին ստադիայում (զանգվածի գլխավոր մասի կարծրանալուց հետո, սակայն մինչ դուռնիտի երակների և պեդամատիտանման խոշորահատիկ պիրոքսենիտների ներգրումը):

Հանքային մագմայի անջատման և քրոմիտի հիստերոմագմատիկ հանքավայրերի առաջացման պրոցեսները հասկանալու համար կարևոր նշանակություն ունի հանքային մագմայի անջատմանը նպաստող ցնդող էլեմենտների կամ միներալոգատորների առկայությունը:

Մի ժամանակ համարում էին, որ ուլտրահիմքային մագմայում ցնդող էլեմենտներ համարյա չկան, սակայն Ա. Գ. Բետելստինի մանրամասն դիտումները հարկադրում են վերանայել այդ տեսակետը: Պարզվում է, որ ուլտրահիմքային ապարները պարունակում են ցնդող էլեմենտների որոշ և հաճախ բավական մեծ քանակություն, որը գտնվում է սովորաբար քրոմիտային մարմիններն ուղեկցող քլորիտում, փայլարներում, գրանատում, քրոմ-վեղուլիանում, քրոմ-տուրմալինում և այլ միներալներում: Դա հաստատվում է նաև այն հանդամանքով, որ թարմ դուռնիտների մեջ հաճախ դիտվում են գազերով, սովորաբար ջրածնով և մեթանով լցված միարույային դատարկություններ: Այսպես, օրինակ, Գոսշախտա (Ուրալ, Ստորին-Տագիլի շրջան) պլատինի հանքավայրի խոր հորիզոններից մեկում դիտվել է գազի առատ անջատում. գազն այրվում էր

կապտավուն բոցով: Հենց նույն տեղը ջրածին և մեթան են հայտնաբերվել հորատման անցքում 600 մ խորության վրա:

Ուլտրահիմքային ապարներում երբեմն որպես ուղեկից միներալ առկա է գրաֆիտը, իսկ ամխածփնը բարձր ջերմաստիճանի պայմաններում ցնդող է. հաճախ ցրված վիճակում հանդիպում են սուլֆիդներ (պիրրոտին, պենտլանդիտ, պղնձի սուլֆիդներ), իսկ ծծումբը բարձր ջերմության պայմաններում նույնպես ցնդող է:

Այս բոլոր տվյալները վկայում են ուլտրահիմքային մագմայում ցնդողների և, մասնավորապես, H, C, S հաստատված ներկայություն մասին:

Ուլտրահիմքային մագմայի բյուրեղացման ժամանակ Cг գլխավոր մասը քրոմիտի ձևով անջատվում է վաղ մագմատիկ ստադրայում ապարի մեջ ուղեկից ցանի ձևով, իսկ Cг ավելի փոքր մասը կապվում է ցնդողների հետ, առաջացնում ինչ-որ շատ դժվար ցնդող միացություններ, որոնք մագմայից դուրս չեն բերվում, այլ անջատվում են փնացորդային հանքային մագմայի ձևով: Ուղեկից քրոմիտը սովորաբար ներկայացված է 0,5—1 մմ մանր հատիկներով, մինչդեռ հիստերոմագմատիկ մարմիններում քրոմիտի հատիկներն ավելի խոշոր են (3—5 մմ մինչև 2—3 սմ), որպիսի երևույթը, հավանաբար, կապված է բյուրեղների աճին նպաստած ցնդողների առկայության հետ:

Քրոմիտային հանքանյութերի մեջ կան յուրահատուկ, այսպես կոչվող, նոդուլյար և ընձառյուծային (леопардовые) հանքանյութեր, որոնց ծագումը լրիվ պարզ չէ: Նոդուլյար հանքանյութերն իրենցից ներկայացնում են քրոմիտի մանր երկկամներ՝ կլորավուն կամ ձվաձև մանր նոդուլներ, որոնք պարփակված են սերպենտինացված գունիտի զանգվածի մեջ: Ընձառյուծային հանքանյութերը շատ նման են նոդուլյարայինին, տարբերվելով նրանից նոդուլների կազմությամբ, որոնց ներքին մասը բաղկացած է սերպենտինացված գունիտից, իսկ երիզող օղակը՝ քրոմիտից:

Նոդուլյար և ընձառյուծային հանքանյութերը հանդիպում են ալնալիսի տեղամասերում, որտեղ լայն կերպով զարգացած են փայլարները, քլորիտները, ուվարովիտը, տուրմալինը և որոնց առաջացումը ենթադրաբար կապվում է ցնդողներով հարստացած մագմայի լիկվացիայի երևույթների հետ: Քրոմիտ

տային կաթիլները անջատումը հանգել է նոսրույթարային հան-
քանյութերի առաջացմանը, իսկ խառը քրոմիտ-սիլիկատային
կազմության կաթիլները անջատումը՝ ընծառյուծային հանքա-
նյութերի առաջացմանը (ըստ Ա. Գ. Բեռեխտինի):

Քրոմիտի, առանձնապես հիստերոմագմատիկ, հանքավայ-
րերի ձևավորման բնորոշ օրինաչափություն է հանդիսանում
այն, որ դուրսիտների (Cr և Mg առավելապես հարուստ ապար-
ների) մեջ տեղագրվում են բարձրորակ մագնոքրոմիտային,
մետալուրգիական հանքանյութեր, որոնք ուղեկցվում են քրոմ-
գիորսիտով. պերիդոտիտների մեջ, որպես կանոն, տեղագրվում
են ցածրորակ հրակայուն հանքանյութեր, որոնք ուղեկցվում
են փայլարներով, քլորիտով, ուլտրոփտով: Հետախույզներն
այս օրինաչափությունն օգտագործում են հանքանյութերի որա-
կի նախնական գնահատման համար, ելնելով պարունակող ա-
պարի կազմից և ուղեկցող միներալների բնույթից:

Հանք կազմող միներալի՝ քրոմշպինելիդի հատուկ ուսումնա-
սիրությունը ցույց է տվել, որ նրա քիմիական կազմը սերտո-
րեն կապված է որոշակի քրոմիտաբեր զանգվածի պետրոգրաֆիա-
կան (և գեոքիմիական) կազմության հետ: Ըստ Գ. Ա. Սոկոլովի,
զանգվածի մագման որքան ավելի շատ է պարունակել Ca (Ca
մանում է մոնոկլինային պիրոքսենի կազմության մեջ), այն-
քան ավելի քիչ է քրոմշպինելիդների կազմության մեջ Al_2O_3 ,
այնքան ավելի բարձր է նրա մեջ Cr պարունակությունը: Ընդ-
հակառակը, զանգվածի ապարներում կալցիումի ցածր պարու-
նակությունը տանում է դեպի քրոմի պարունակության նվա-
զեցումը քրոմշպինելիդների մեջ:

Ըստ հանքամարմինների ձևի և առաջացման եղանակի
(մնացորդային հանքային մագմաներից) քրոմիտի հիստերո-
մագմատիկ հանքավայրերը շատ նման են տիտանոմագնետի-
տային հանքանյութերին, սակայն այդ նմանությունն արտա-
քուստ է և անհամեմատ ավելի էական են նրանց տարրերու-
թյունները՝

ա) Քրոմիտները կապված են դուրսիտների և պերիդոտիտների
հետ, իսկ տիտանոմագնետիտային հանքանյութերը՝ գաբբրոնե-
րի և պիրոքսենիտների հետ: Ակնհայտ է, որ վազեմի հեղուկ
մագմատիկ ստադիայում մագմատիկ օջախի դիֆերենցման
ժամանակ քրոմը և տիտանն առանձնացել և հարստացրել են
տարրեր տիպերի ինտրուզիվ ապարներ:

բ) Քրոմիաը մնացորդային մագմայից անջատվում է առաջինը, կամ օլիվինի հետ միաժամանակ, մինչդեռ տիտանոմագնետիան անջատվում է վերջում և լցնում է ոչ-հանքային միներալները միջև եղած տարածությունները, ստեղծելով տիպիկ սիդերոնիտային ստրուկտուրա:

Հիստերոմագմատիկ տիպը քրոմիտի համար հանդիսանում է գլխավորը և բոլոր խոշոր հանքավայրերը (բացառությամբ Հարավ-Աֆրիկյան որոշ հանքավայրերի) պատկանում են այս տիպին:

3. Քրոմիտի էլյուվիալ-դելյուվիալ հանքավայրերն առաջանում են մագմատիկ ծագման հանքանյութերի արմատային էլքերի քայքայման հետևանքով:

Հանքանյութերը գլաքարային են, չտեսակավորված: Արգյունաբերական նշանակություն ունեն Սարանոս լեռան լանջերի էլյուվիալ-դելյուվիալ ցրոնները (Հյուսիսային Ուրալ):

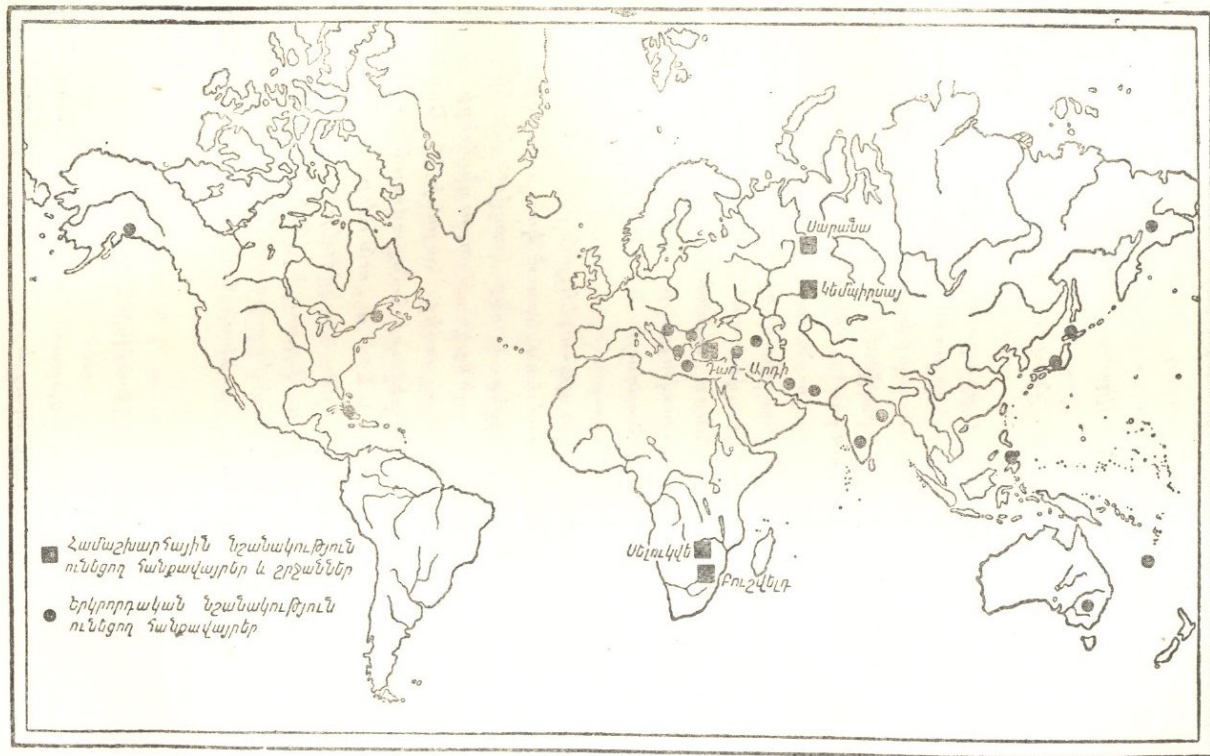
4. Լատերիալյին հողմնահարման տիպի հանքավայրերը ներկայացված են քրոմիտի ցրված բյուրեղներով և բեկորներով ուլարանիքային ապարների հաշվին առաջացած փոխք լիմոնիտային զանգվածի մեջ:

Քրոմիտային կոնցենտրատներ հեշտությամբ ստացվում են լվացման ընթացքում, սակայն ավելի հաճախ քրոմիտը լիմոնիտային հանքանյութի հետ միասին ենթարկվում է ձուլման: Այս տիպի հանքավայրեր հայտնի են Կուբա կղզում (Կամահուէյ հանքավայր), Ֆիլիպպիններում, Նոր Կալեդոնիայում, ինչպես նաև Հարավային Ուրալում:

Քրոմիտի մարգերը և գարաշրջանները (նկ. 27): Քրոմիտային հանքանյութերի համաշխարհային մարդերը գտնվում են Հարավային Աֆրիկայում (մինչքեմբրյան), Ուրալում (հերցինյան), Միջերկրածովային զոնայում (Բալիաններ, Թուրքիա, Փոքր Կովկաս, Բելուջիստան) և Խաղաղօվկիանոսյան օղակի սահմաններում (Յապոնիա, Ֆիլիպպիններ, Ինդոնեզիա, Նոր Կալեդոնիա, Կուբա կղզի): Վերջին երկու մարդերը մեղուկայնոզոյան են:

Քրոմի համաշխարհային մարդերի տարածական դասավորման մեջ նկատվում է որոշակի օրինակաբանություն:

Քրոմիտաբեր հիպերբազիտային զանգվածներն առաջանում են մեծ երկարություն ունեցող գոտիներ (հազարավոր կամ տասնյակ հազարավոր կմ), պայմանավորված սեզիոնալ



Նկ. 27. Աշխարհի քրոմիտի խոչորագույն հանքավայրեր:

խորքային խախտումներով, տեղադրված գեոսինկլինալային ծալքավոր գոնաների ներքին մասերում (Խաղաղօվկիանոսյան, Միջերկրածովային, Ուրալյան և ուրիշներ) կամ վահանների սահմաններում գտնվող իջվածքներով (հարավային Ռոզեզիայի և Հարավ-Աֆրիկյան Միության միջօրեականի ուղղության վարնետվածքների գոնան, Բրազիլիայի վարնետվածքային գոնան և այլն):

Հարկ է նշել, որ ուեգիոնի ինտրուզիվ կոմպլեքսների մեջ հիպերբազիտները համարվում են ամենավաղ առաջացումները (մինչ ծալքավորումն առաջացած ինտրուզիվներ կամ ծալքավորման ամենավաղ էտապների ներգրումներ) և, որպես կանոն, լավ գիֆերենցված ու հաճախ ստրատիֆիկացված են:

Քրոմիտային հանքանյութերի գլխավոր շրջանները ՍՍՌՄ-ում: Ուրալը, համարյա իր ամբողջ երկայնքով՝ սկսած Հյուսիսային Ուրալից մինչև ծայրագույն հարավը (Մուգոջարներ), իրենից ներկայացնում է պերիֆոտիտների և դունիտների հերցինյան ինտրուզիտների հետ կապված ամենահարուստ քրոմիտային մարզը: Ամենախոշորներն այստեղ հանդիսանում են Սարանայի և Ալապահսկի հանքավայրերը Հյուսիսային Ուրալում, Վերըլյուժոգորսկի, Ակ-Կարգայի և Կեմպիրսայի խմբի հանքավայրերը Հարավային Ուրալում:

Կովկաս (Սևանա լճի հյուսիս-արևելյան ափ): Հայկական և Ադրբեջանական ՍՍՌ-ների սահմաններում կան մի շարք համեմատաբար փոքր հանքավայրեր, որոնք կապված են հիպերբազիտների վերին կավճի և էոցենյան ինտրուզիտների հետ: Ներկայումս մշակվում և ամենից ավելի հայտնի են Շորժայի (Հայաստան) և Հեյբարայի (Ադրբեջան) հանքավայրերը:

Կոլզնեցկի, Ալատաու և Սայաններ կարևորոնյան հասակի փոքր հանքավայրերով (չեն մշակվում):

Չուկոտկա, Անագիր և Օպապեյ (Պենժինա) գետերի ավազանը, որտեղ հիպերբազիտների երրորդական (?) ինտրուզիտների հետ կապված հայտնի են քրոմիտի հանքավայրեր և պլատինի դրսևորումներ:

ՔՐՈՄԻՏԻ ՀԱՆՔԱՎԱՅՐԵՐԻ ՆԿԱՐԱԳՐՈՒԹՅՈՒՆԸ

Որպես տիպիկ օրինակներ նկարագրվում են ՍՍՌՄ-ում Սարանայի ու Կեմպիրսայի հանքավայրերը և բերվում են համառոտ

տվյալները Թուրքիայի ու Հարավային Աֆրիկայի հանքավայրերի մասին:

Սարանայի հանքավայրը գտնվում է Հյուսիսային Ուրալում:

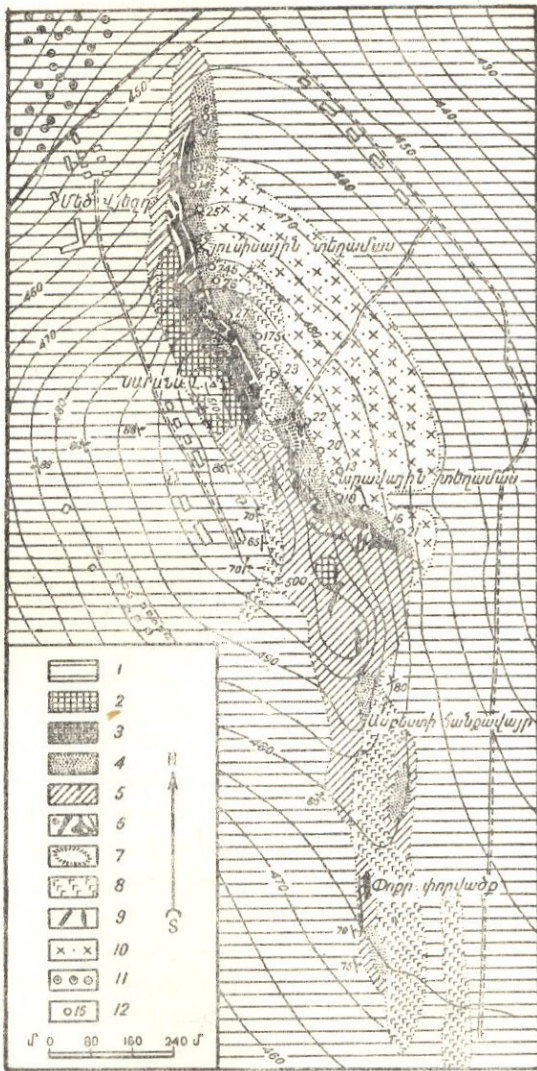
Հանքամարմինները, ըստ Ն. Ա. Ջիմինի (1938), տեղադրված են սերպենտինացված պերիդոտիտների զանգվածում, որը մերկանում է ստորին պալեոզոյի ֆիլիտների մեջ և մինչև 250 մ կարողութամբ ձգվում է միջօրեականի ուղղությամբ մի քանի կիլոմետր (նկ. 28):

Հանքավայրը ներկայացված է հյուսիս-արևմտյան տարածման երականման մարմիններով, որոնց զառիթափ անկումը փոփոխվում է արևելքից դեպի արևմուտք: Հայտնի են երեք գլխավոր հանքային երակ՝ Կենտրոնական, Արևմտյան և Արևելյան, որոնք ըստ տարածման հետամտված են 750—800 մ և ունեն համապատասխանաբար 9,1—9,4, 3,9—4,2 և 2,3—2,4 մ կարողություն: Երակների զալբանդները սովորաբար կտրուկ են, հանքանյութերը մասսիվ են, ներկայացված են քրոմ-պիկտիտով, պարունակում են՝ Cr_2O_3 35—42%, FeO 18—20%, որպիսի հանգամանքը բացառում է նրանց օգտագործումը մետալուրգիայում և դարձնում է հումք՝ հրակայուն նյութերի և քիմիական արդյունաբերության համար: Հանքանյութերում, ձեռքերի մեջ հանդիպում են ֆուկսիտ, ուլարովիտ, քլորիտներ, որոնք առաջացել են ավելի ուշ՝ պնեմատոլիտային ստադիայում:

Հանքավայրն ունի հիստերոմագմատիկ ծագում (երականման ձև, կտրուկ կոնտակտներ) և զգալի պաշարներ:

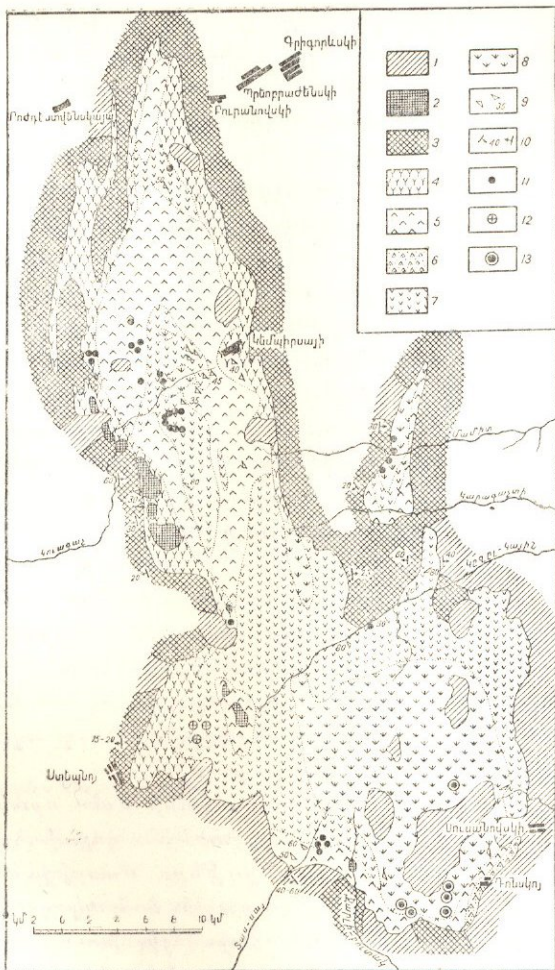
Հանքավայրերի Կեմպի ըստյի խումբը, որը հայտնաբերված է 1937 թ. Կոնեի և Կուրազովայի կողմից, գտնվում է Ակտյուբինսկի մարզում՝ Ուրալի հարավային ծայրամասի սահմաններում: Հանքավայրերը, ըստ Գ. Ա. Սոկոլովի, հարում են հյուսիս—հյուսիս-արևմտյան ուղղությամբ, 70 կմ երկարությու և 10—20 կմ լայնությու ունեցող հսկայական լակոլիտաձև սերպենտինացված ուլտրահիմքային ապարների զանգվածին (նկ. 29):

Չանգվածը հարում է անտիկլինալի կամարային մասին, առաջացնում է ախտիվ կոնտակտներ սիլուրի, դեոնի ու ստորին կարբոնի նստվածքների հետ և ծածկված է վերին կալձի ու պալեոզենի օպոկներով և ավազներով: Ինտրուզիվի հասակը վաղ հերցինյան է. յուրայում նա ենթարկվել է հողմնահարման և



Նկ. 28. Սարահայկի հանրավայրի գեոլոգիական քարտեզ
(քառ Ն. Ա. Զիմինի)

1—մետամորֆային թերթաբարերի շերտախումբ, 2—մանրահատիկ ապոպերիդոտիտ, 3—խոշորահատիկ ապոպերիդոտիտ, 4—խառն ապոպերիդոտիտ, 5—անոթոջ զենեզիսի սերպենտինիտներ, 6—մերկացած հանքամարմիններ, 7—չմերկացած հանքամարմիններ, 8—զարբրո-զիարազներ, 9—երակային սերիա (դիարազներ և պորֆիրիտներ), 10—մետամորֆացած զիրիտ, 11—բրոմիտի ցրոններ, 12—հետախուզական հորատանցքեր:



Նկ. 29. Կեմայիրայի ուլտրահիմքային մասսիվի սխեմատիկ պետրոգրաֆիական քարտեզ: Մասսիվի եզրագծերը բերված են ըստ Ա. Ն. Ալեշկովի և Ա. Գ. Զինովկինի, ուլտրաբազալիտների ստորաբաժանումը մի շարք նշումներով կատարել են Վ. Պ. Լոգինովը և Ն. Վ. Պավլովը 1939 թ.

1—մեզո-կալնոյոյան նստվածքներ (օպոկներ, մերգելներ, ալաղաքարեր),
 2—ծածկի ապարների մնացորդներ (գաբրոսիդներ և կալժարային ապարներ),
 3—պարունահող ապարներ (գաբրոսիդներ, պալեոդոյան և մասամբ մինչ-պալեոդոյան մետամորֆային դոյաջումներ, էֆուզիվներ),
 4—սերպենտինիտներ,
 5—սերպենտինացած մասսիվ պերիդոտիտներ, գլխավորապես լեքցոլիտային,
 6—սերպենտինացած մասսիվ պերիդոտիտներ, գլխավորապես հարցրուբիտային,
 7—սերպենտինացած գոլավոր դունիտ-հարցրուբիտային կոմպլեքս,
 8—սերպենտինացած դունիտներ, 9—ուլտրահիմքային ապարների և հանքանյութերի զուլերի անկում, 10—պարունահող ապարների անկում, 11—ցածրորակ քրոմիտի հանքավայրեր (Cr_2O_3 32—33%), 12—բրոմիտի հանքավայրեր (Cr_2O_3 42—45%), 13—բարձրորակ քրոմիտի հանքավայրեր ($\text{Cr}_2\text{O}_3 > 55\%$):

զգալի տարածութիւններում պահպանվել են երկաթի ու նիկելի սիլիկատային հանքանյութերի մնացորդային հանքավայրեր: Զանգվածը կազմված է հիմնականում հարցբուրգիտի տիպի պերիդոտիտներից, բայց նրա հարավ-արևելյան ծայրամասում գերակշռում են դունիտները:

Զանգվածի ներքին կառուցվածքի համար նախ և առաջ բնորոշ է նրա ուղղաձիգ պետրոգրաֆիական գոնալութիւնը: Ուղղաձիգ կտրվածքում դոնաների սովորական հաջորդականութիւնը վերից վար հետևյալն է՝ ամֆիբոլային պերիդոտիտներ, պոքֆիրանման հարցբուրգիտներ, զոլավոր դունիտա-պերիդոտիտային կոմպլեքս: Զանգվածի հարավ-արևելյան մասի համար այդ գոնալութիւնը փոքր-ինչ այլ է (վերից վար)՝ հարցբուրգիտներ տեղ-տեղ դունիտի շիբրներով, էստատիտային դունիտներ, դունիտներ, սրսնք պարփակում են քրոմիտի ամենախոշոր հանքավայրերը: Ավելի խոր հորիզոնների համար բնորոշ է դունիտների ու հարցբուրգիտների զուգահեռ՝ զոլավոր և շիբային հերթագայութիւնը: Զոլավորութիւնն ունի միջօրեականի ուղղութիւն և զառիթափ անկում դեպի արևմուտք, հազվադեպ դեպի արևելք, որպես կանոն, քրոմիտային հանքամարմինների տարածումն ու անկումը ներդաշնակ են դունիտա-հարցբուրգիտային կոմպլեքսի շերտավորութեան կողմնորոշման հետ:

Քրոմիտի հանքավայրերը տեղադրված են զանգվածի ներսում և միավորվում են երկու խմբում՝

1. Հյուսիսային, կեմպիրայ լավանի մոտ, որտեղ երականման հանքամարմինները տեղադրված են զոլավոր դունիտա-հարցբուրգիտների մեջ, հանքանյութերը մասսիվ են, սակայն ցածրորակ, ալյումա-քրոմպիլոտիտային և հրակայուն:

2. Հարավ-արևելյան կամ Գոնսկոյի խումբ (Գոնսկոյ և Սուսանովկա ավանների մոտ), որտեղ սերպենտինացված դունիտների մեջ տեղադրված են բարձրորակ մագնոքրոմիտային մետալուրգիական հանքանյութերի շատ խոշոր ոսպնյականման և երբեմն երականման մարմիններ: Այստեղ հանքարեր է դունիտների մի հատուկ հորիզոն, որի կառուցվածքի, ինչպես նաև ինտրուզիվի ավելի վերին մասերի համար բնորոշ է համարյա միջօրեականի ուղղութեան մի քանի փոքրաթեք կամարների առկայութիւնը, հանքամարմիններն առավելապես տեղայնացված են կամարների առանցքային մասերում զառիթափ ընկնող

երականման շիբրները ու սսպնյակները և հազվադեպ փոքրաթեք շերտանման կուտակները ձևով:

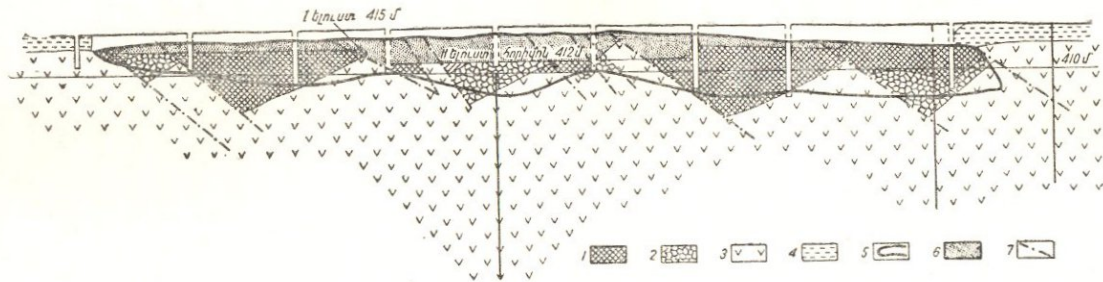
Ամենախոշորը հանդիսանում են Գիգանտ, Սպուտնիկ, Սպորնոյե, I և II Գեոֆիզիկական հանքավայրերի սսպնյակաձև հանքամարմինները և ժեմչուժինա ու Ալմաստ հանքավայրերի երականման մարմինները: Ալմաստ հանքավայրի երականման մարմինները, մինչև 40—80 մ կարողութամբ, ըստ տարածման ձգվում են հարյուրավոր մետրեր:

Ալմաստ երականման կուտակի տարածումը միջօրեական է, անկումը դեպի արևմուտք 50—60° անկյան տակ: Գիգանտ սսպնյակաձև կուտակի համար բնորոշ են հյուսիս-արևելյան տարածում և 60° անկման անկյուն դեպի հյուսիս-արևմուտք: Գիգանտ կուտակի մորֆոլոգիան որոշվում է հյուսիս-արևմտյան տարածման հեռահանքային փոքրաթեք վարնետվածքների սերիայով, որը, ըստ Պ. Մ. Տատարինովի, զսոթիթափ ընկնող սսպնյակը վեր է ածել փոքրաթեք տեղադրում ունեցող շերտաձև մարմնի (նկ. 30):

Մակերեսում հանքանյութերը ենթարկվել են հողմահարման և մինչև 10—15 մ խորությունը ներկայացված են ավազանման ու փուխր տարրերակներով, որոնք սիլիկատային բաղադրամասերի տարալվացման հետևանքով բացառապես հարստացած են Cr_2O_3 -ով: 15 մետրից խոր հանքանյութերն ավելի կարծր են և նույնպես հարուստ են Cr_2O_3 -ով: $\frac{\text{Cr}_2\text{O}_3}{\text{FeO}}$ շատ նպաստավոր է:

Կեմպիրսայի հանքավայրերի խումբը դասվում է խոշորագույնների շարքը:

Կեմպիրսայի հանքավայրերի խմբի ուսումնասիրությունը հաստատեց, որ արդյունաբերական հանքամարմինները ձևավորվել են ուլտրահիմքային ապարների բյուրեղացման ու շտապներում և իրենցից ներկայացնում են գուռիտների ու գուռիտա-հարցրուրգիտների ածանցյալներ, որոնց մեջ և սովորաբար տեղադրված են: Պերիդոտիտների մեջ տեղադրված արդյունաբերական մարմինները հանդիսանում են զանգվածների գուռիտային և գուռիտա-հարցրուրգիտային մասերից անջատված մնացորդային հալոցքի ինյեկցիայի արդյունք: Հանքավայրերի տեղայնացման համար մեծ նշանակություն ունեն պրոտոտեկտոնական ստրուկտուրաները (ձգման դժային զոնաները, ճեղքերը, կամարային կառուցվածքը), որոնց երկայնքով դուրս



Նկ. 30. Հարավ-Կեմայիրսայի շրջան. Փիզանտ կուտակ

1—փխրուն քրոմիտ, 2—քրոմիտ, 3—ղունիտային սերպենտինիտ, 4—բերվածքներ, 5—հանքամարմնի եզրադիծը, 6—հանքամարմնի շահագործված մասը, 7—տեղաշարժման հարթություններ:

է ճզմվում հանքային հալոցքը: Ըստ Գ. Ա. Սոկոլովի (1948), գուրս ճզմվող հանքային հալոցքը, նայած կոնկրետ տեկտոնական կառուցվածքին, իր անջատման տեղից մինչև վերջնական տեղայնացման վայրը, անցել է տարբեր ճանապարհ: Շնորհիվ գրան դիտվում են բոլոր անցումները՝ շիրներից, որոնք ստեղծ են գունիտային մագմայից համարյա իրենց անջատման տեղում, գեպի ախլիկ հանքային երակները, որոնք տեղայնացվել են հանքային հալոցքի անջատման պահից ավելի վաղ սառած պերիդոտիտային ապարների ձեղքերում:

Թուրքիայի հանքավայրերը հարում են կավճի և մասամբ երրորդական հասակի ուլտրահիմքային ապարների գոտուն, որը ճզմվում է ամբողջ երկրով և շարունակվում է, մի կողմից, Բալկաններում, մյուս կողմից՝ Բելուջիստանում և Հընդկաստանում:

Հանքամարմինները տեղադրված են գլխավորապես սերպենտինացված գունիտներում և ներկայացված են երականման մարմիններով, որոնք ըստ տարածման ճզմվում են մինչև 150—170 մ՝ 3—5 մինչև 12 մ կարողությամբ, իսկ երբեմն էլ բավական խոշոր չափերի (ըստ տարածման 200—300 մ մինչև 20—25 մ կարողությամբ) սոսնյակներով ու սոսնյակաձև կուտակներով: Ամենանշանակալի հանքավայրերը հանդիսանում են Գադ-Արգին¹ հյուսիս-արևմտյան Թուրքիայում և Գյուլեմանը Արևելյան Անատոլիայում (Գուրգիստանում):

Ամենախոշոր հանքավայրը՝ Գյուլեմանը ներկայացված է սերպենտինիտներում և հարցբուրգիտներում տեղադրված հյուսիս-արևելյան տարածում ունեցող սոսնյակաձև մարմիններով: Հանքամարմինները հարում են խախտման գոնային և բաղկացած են մագնեթրոմիտից ու քրոմպիլոտիտից, ավելի ուշ առաջացած քրոմ-գիոպսիդի, ուլթարովիտի և քրոմ-քլորիտի երակիկներով: Քրոմիտի անալիզները ցույց են տալիս հետևյալ կազմութունը՝ 51,5% Cr₂O₃, 17% MgO, մինչև 14% Fe₂O₃, 17,5% Al₂O₃. հանքանյութերը բավական բարձրորակ են, մետալուրգիական (Kovenko, 1942):

Հարավային Ռոդեզիայի և Հարավ-Աֆրիկյան Միության հանքավայրերը կապված են ուլտրահիմքային ու հիմքային ապարների Բուշվելդի կոմպլեքսի և ըստ կազ-

¹ Գեոլոգներից ոմանք Գադ-Արգի հանքավայրը համարում են հերցինյան, այն ժամանակ, երբ մնացած բոլոր հանքավայրերը դասվում են վենդին կավճի և մասամբ երրորդական հասակին:

մի նրա նման Մեծ դայկայի հետ, որն ունի միջօրեականի ուղղություն և ըստ տարածման հետամտված է 500 կմ 5—6 կմ կարողությամբ:

Առանձնապես հեռաքրքրական է Սելուկվե հիտերոմագմատիկ հանքավայրը Հարավային Ռոդեզիայում և շերտային կուտակների տիպի սեգրեգացիոն հանքավայրերը Մեծ դայկայի ու Բուշվելզի լոպոլիտի հատակամերձ մասերում:

Սելուկվե հանքավայրը, որը տեղադրված է ուլտրահիմքային ապարների գինամոմետամորֆիզմի հեռահանքով առաջացած տակային, քլորիտային և սերպենտինիտային թերթաքարերի մեջ, ներկայացված է բների և 150×30 մ չափեր ունեցող ավելի խոշոր սսպնյակաձև մարմինների հանքայնացված դոտով: Վերջինս ձգվում է միջօրեականի ուղղությամբ 10 կմ: Հանքանյութերը բարձրորակ են, մեալուրգիական և պարունակում են $50-54\%$ Cr_2O_3 :

Մեծ դայկայի հատակամերձ մասում առաջացել է քրոմիտի ընդհատվող շերտային կուտակ 20 մ միջին կարողությամբ, որն առանձին տեղամասերում հետամտված է 1—1,5 կմ:

Բուշվելզի կոմպլեքսի անօրթողիտների և պիրոքսենիտների մեջ տեղադրված են քրոմիտի շերտաձև մարմիններ 2 մ մինչև 2 մ կարողությամբ, որոնք ընդհատումներով հետամտված են տասնյակ կիլոմետրեր:

Cr_2O_3 պարունակությունը հանքանյութերում հասնում է մինչև 50% (սովորաբար 40% և պակաս):

Մեծ դայկայի և Բուշվելզի լոպոլիտի շերտային կուտակների ընդհանուր պաշարները հսկայական են (ավելի քան 200 մլն. տ. հանքանյութ), սակայն հանքանյութերի սրակը սովորաբար ցածր է (հրակայուն հանքանյութեր):

Ի տարբերություն վերը քննարկված բոլոր հանքավայրերի, այդ շերտային կուտակներն իրենցից ներկայացնում են սեգրեգացիոն գոյացումներ, որոնք առաջացել են քրոմիտի վաղ անջատումների գրավիտացիոն դիֆերենցիացիայի հետևանքով:

ԸՆԴՀԱՆՐԱՅՈՒՄ ՔՐՈՄԻՏԻ ՎԵՐԱԲԵՐՅԱԼ ԵՎ ՈՐՈՆՄԱՆ ՆՇԱՆՆԵՐԸ

Հիպերբազիտների (ուլտրահիմքային ապարների) քրոմիտարերը զանգվածները կազմում են հազարավոր կիլոմետրեր

ձգվող գոտիներ, որոնք հարում են գետտինկլինալային ծալքավոր մարզերի ներքին զոնաների խորքային խախտումներին (Պաղատիկիանոսյան, Միջերկրածովյան, Ուրալյան) կամ վահանների իջվածքներին (Հարավային Աֆրիկա, Բրազիլիա?):

Քրոմիտի հանքավայրերը սերտորեն կապված են ուլտրահիմքային ապարների հետ և տեղադրված են զուևիտների ու պերիդոտիտների մեջ, ներկայացնելով հիատերոմագմատիկ սպունյակներ և երականման մարմիններ, հազվադեպ սեգրեգացիոն ցաներ, շիբներ և շերտային մարմիններ (վերջիններս ինտրուզիվ զանգվածների հատակամերձ մասերում):

Հարկավոր է նկատի ունենալ, որ զուևիտների մեջ սովորաբար տեղադրված են ամենաքարձրորակ մագնոքրոմիտային հանքանյութերը, որոնք ուղեկցվում են քրոմիտ-գիոպսիդով, պերիդոտիտների մեջ տեղադրված են ցածրորակ հանքանյութերը, որոնք ուղեկցվում են քրոմային փայլարներով, քլորիտով, ուլտրավիտով:

Քրոմիտի կայունություն կապակցությամբ մակերեսային պայմաններում ուլտրահիմքային զանգվածների լատերիտային հողմահարման և արմատական հանքավայրերի քայքայման հետևանքով առաջանում են նրա արդյունաբերական կուտակումները (քրոմիտի ալյուվիալ-դեկոլիալ ցրոններ):

Քրոմիտային հանքամարմինների տեղայնացման համար մեծ նշանակություն ունեն պրոտոտեկտոնիկ ստրուկտուրաները (ձգման դժային զոնաները, ճեղքերը, զտավորությունը, կամարային ստրուկտուրաները), որոնց երկայնքով գուրս է ձգվում հանքային հալոցքը:

Քրոմիտի հանքավայրերի որոնման ժամանակ լայնորեն կիրառվում են հետախուզման գեոֆիզիկական մեթոդները:

ՀԻՄՆԱԿԱՆ ԳՐԱԿԱՆՈՒԹՅՈՒՆ ՔՐՈՄԻ ՎԵՐԱԲԵՐՅԱԼ

Бетехтин А. Г. Шоржинский хромитоносный перидотитовый массив (Закавказье) и генезис месторождений хромистого железняка вообще. Хромиты СССР, т. I, АН СССР, 1937.

Бетехтин А. Г., Красновский Г. М., Рудин А. А. и Татаринов П. М. Методика поисков, разведки, опробования и подсчета запасов месторождений хромистого железняка. Госгеолыздат, 1941.

Зимин Н. А. Сарановское хромитоворудное месторождение. Труды Уральского научно-исслед. ин-та геол. разв. и исслед. минерального сырья, вып. 2, 1938.

Логинов В. П., Павлов Н. В. и Соколов Г. А. Хроми́тоносность Кемпирсайского ультраосновного массива на Южном Урале. Хроми́ты СССР, т. II, АН СССР, 1940.

Материалы по металлогении Южного Урала (железо, никель, хром). АН СССР, СОПС, 1941.

Соколов Г. А. Хроми́ты Урала, их состав, условия кристаллизации и закономерности распространения. Труды ИГН АН СССР, вып. 97, серия рудных месторождений (№ 12), 1948.

Татаринов П. М. Южнокемпирсайские месторождения хромистого железняка. Разведка недр, № 7, 1939.

Татаринов П. М. Генетические типы месторождений хромита и методика поисково-разведочных работ. Сов. геология, № 4, 1941.

Allen R. and Howling G. Chrome ore and chromium, 1940. Chromite Deposits of the Bushveld Igneous Complex S. Afr. Geol. Surv. Geol. Ser. Bull., 10, 1937.

Harrow L. Géologie et ressources mondiales de chrome, Rev. univers. de la métallurgie. № 6, т. XV, 1939.

Helke A. Beobachtungen an türkischen Mineraliagerstätten. Neues Jb. Mineral. Bd 88 H I, 2, 1955.

Kovenko V. Les gites de chromite de Guleman (Turquie) MTA, 1942, № 3/28.

Musgrave. Chrome mining at Selukve. Bull. of the inst. of Min. and Met., 1938.

II ՀԱԶՎԱԳՅՈՒՏ ՄԵՏԱՂՆԵՐ

Ա. Հազվագյուտ մետաղներ, որոնք կիրառվում են հասուկ պողպատների ու համաձուլվածքների մետալուրգիայում՝ սիսան, վանադիում, նիկել, կոբալտ, մոլիբդեն, վոլֆրամ:

Տ Ի Տ Ա Ն (Ti)

ԸՆԴՀԱՆՈՒՐ ՏԵՂԵԿՈՒԹՅՈՒՆՆԵՐ

Տիտանի օքսիդն առաջին անգամ որոշվել է 1794 թ. Կլապրոտի կողմից, իսկ մետաղն առանձնացվել է 1825 թ. Բերցելիուսի կողմից:

Տիտանը մի մետաղ է, որն ունի 4,31 տեսակարար կշիռ և 1725°C հալման ջերմաստիճան. շատ ամուր է, կռելի և բավական դիմացկուն:

Կարևոր է նշել, որ ցածր ջերմաստիճաններում (0° -ից ցածր) պահպանվում են տիտանի պլաստիկ հատկությունները, իսկ բարձր ջերմաստիճաններում (մոտ 1200°C) տիտանն ավելի դիմացկուն է, քան չժանգոտվող պողպատը:

Տիտանի օքսիդը կիրառվում է լաքի ու ներկերի արդյունաբերության մեջ և ծխածածկույթներ (TiCl_4) ստանալու համար:

Մետաղական տիտանն ամենավերջին ժամանակներս լայն կիրառում է ստացել բարձր դիմացկունություն ունեցող կառուցվածքային համաձուլվածքներում:

Տիտանի համաձուլվածքները Al, Mn, V, Fe, Cu, Ni, Cr և մի քանի ուրիշ մետաղների հետ լայնորեն կիրառվում են ավիացիայի (ուռակալիվ ինքնաթիռներ, ուլտրաձայնային ավիա-

ցիա, հրթիռային արկեր, սաղիողեկավարվող ինքնաթիռներ-
արկեր և այլն), նավաշինության, մեքենաշինության մեջ:

Տիտանի համաձուլվածքները լայն կերպով կիրառվում են
դեռանտային և լեռնային սպառողինության, ականանետների,
թնդանոթների արտադրության մեջ, ինչպես նաև ստորջրյա
նավատորմում և միջուկային ռեակտորների, վիրարուժական
գործիքների, պրոտեզների և վալֆրամի կարբիդի փոխանյութե-
րի պատրաստման գործում:

Լավագույնն են համարվում հատուկ Fe—Ti—V և Ti—
Al—Mn (վերջինի մեջ 92% Ti, 4% Al, 4% Mn) համաձուլ-
վածքները, որոնք օժտված են պողպատի հատկություններով և
ավելի քան երկու անգամ թեթև են նրանից (պողպատի կշռի
44%): Շատ բարձր զնահասականի է արժանի Al_4Ti (30,7% Ti)
համաձուլվածքը, որն ունի 1325°C հալման ջերմաստիճան:

Ինքնաթիռի պողպատյա մասերի փոխարինումը տիտանա-
յին մասերով անտեսում է ինքնաթիռի կշռի մոտ 40%:

Տիտանային համաձուլվածքների բնդհանուր առավելու-
թյուններն են՝ դիմացկունությունը, ջերմագիմացկունությունը
(մինչև 650°C), բարձր կորրոզիոն կայունությունը և համեմա-
տաբար փոքր տեսակարար կշիռը: Տիտանի և նրա համաձուլ-
վածքների դիմացկունությունը (100—160 կգ/մ²) երկու անգամ
մեծ է երկաթի և վեց անգամ մեծ՝ ալյումինիումի դիմացկու-
նությունից:

Մետաղական տիտանի արտադրությունն սկսվել է 1948 թ.
ԱՄՆ-ում (ստացվել է 2,5 տ.), 1954 թ. ԱՄՆ-ում արդեն ստաց-
վել է 5000 տ., իսկ 1956 թ. համար նախատեսված էր 30 հազար
տոննա մետաղական տիտանի արտադրություն:

Տիտանի տարեկան պահանջը միայն ԱՄՆ-ի ավիացիայի
համար կազմում է 100 հազար տոննա: Մյուս երկրներից տի-
տան են արտադրում Անգլիան, Կանադան, Յապոնիան, ինչպես
նաև ՍՍՌՄ-ը:

Մետաղական տիտան ստանալու համար որպես հիմնական
հումք են ծառայում իլմենիտային և ուռտիլային կոնցենտրատ-
ները, որոնք ստացվում են ցրոնների և արմատական հանքա-
վայրերի մշակման ժամանակ:

1952 թ. տիտանային կոնցենտրատների համաշխարհային
հանույթը կազմել է 900 հազար տոննա (ղրանցից 47 հազար տ.
ուռտիլային, որոնցից ավելի հեշտ է ստանալ մետաղական Ti,

իսկ մնացածը՝ իլմենիտային): Ռուտիլային կոնցենտրատների գլխավոր մատակարարողն Ալստրալիան է (մերձափնյա ցրոններ Կվինսլենդի և Նոր Հարավային Ուելսի սահմանի մոտ), իսկ իլմենիտային կոնցենտրատներինը՝ ԱՄՆ-ը, Հնդկաստանը (Տըրավանկոր), Կանադան (Կվեբեկ), Նորվեգիան: Վերջին տարիներս Մեքսիկայի Օախակա նահանգում, Պլյուեմո-Բոգալնոյի մոտերքում հայտնաբերված է պեգմատիտային տիպի իլմենիտ-ռուտիլային հանքանյութերի շատ խոշոր արմատական հանքավայր, որի հանքանյութում 20—25% ռուտիլ է պարունակվում, իսկ հանքավայրի ռուտիլի պաշարները կազմում են 25 միլիոն տոննա:

* * *

Տիտանի կլարիլը կազմում է 0,61%⁰ համեմատաբար բարձր պարունակություններ հանդիպում են ալկալային ապարներում, հատկապես նրանց հիմքային տարրերակներում, գարբրոֆային ապարների պեգմատիտներում (ռուտիլի ձևով) և հրաբխային ապարներում (տիտան-ավգիտի ձևով): Սիենիտներում ու նեֆելինային սիենիտներում և նրանց հետ կապված պեգմատիտներում սովորական են բարդ՝ Na—Ca—Ti սիլիկատները, որոնք հաճախ պարունակում են հազվագյուտ հողեր:

Մագմայի բյուրեղացման վաղ ստադիայում տիտանը երկաթի նման անջատվում է իլմենիտի և տիտանո-մագնետիտի, ինչպես նաև ռուտիլի ձևով. տիտանը մտնում է շատ սիլիկատների կազմության մեջ, որոնցում Ti^{4+} տեղակալում է Si^{4+} , իսկ Ti^{3+} նաև Al, Fe և, հավանաբար, Mg:

Հայտնի են գրանատների, բիոտիտի, քլորիտի, ամֆիբոլի, ավգիտի տիտանով հարուստ տարրերակներ: Այսպես, ավգիտը պարունակում է մինչև 9% TiO_2 , բիոտիտը (վոգանիտը)՝ մինչև 12% TiO_2 , ալկալային ապարների լեպիդոմելանը՝ մինչև 4,5% TiO_2 :

Գործնական նշանակություն ունեցող միներալներն են՝ ռուտիլը— TiO_2 (60% Ti) և իլմենիտը— $FeTiO_3$ (31,6% Ti). մետաղների ստացման տեխնոլոգիան մշակելուց հետո կարող են արժեք ներկայացնել նաև իլմենո-ռուտիլը (Ti, Nb, Fe) O_2 (ավելի քան 32% Ti), պերովսկիտը— $CaTiO_3$ (35,5% Ti), լուպորիտը (Na, Ca, Ce) (Nb, Ti) O_3 (23,5% Ti), սֆենը կամ տիտանիտը— $CaTi(SiO_4)O$ (24,5% Ti) և տիտանո-մագնետիտը— $Fe_3O_4+FeTiO_3$ (մինչև 18% Ti):

Տիտանի միներալների մեծ մասը կալուն է և կուտակվում է ցրտններում, կուտակումներ է տալիս նաև բոքսիտի և կավի որոշ հանքավայրերում (մինչև 4⁰/₀ Ti):

ՀԱՆՔԱՎԱՅՐԵՐԻ ԳԵՆԵՏԻԿ ՏԻՊԵՐԸ ԵՎ ՀԱՆՔԱՅԻՆ
ՖՈՐՄԱՅԻԱՆԵՐԸ, ՄԵՏԱԼՈԳԵՆԻԿ ՄԱՐՋԵՐՆ
ՈՒ ԳԱՐԱՇՐՋԱՆՆԵՐԸ

Տիտանային հանքավայրերի դասակարգումը արվում է հիմնականում ըստ Ի. Ի. Մալիշևի: Առանձնացվում են հանքավայրերի հետևյալ տիպերը՝

1. Մագմատիկ հանքավայրեր (ուշ մագմատիկ կամ հիստերոմագմատիկ), որոնք կապված են հիմքային և ալկալային ապարների հետ: Սրանց մեջ, ըստ ինտրուզիվ ապարների այս կամ այն տիպերի հետ ունեցած կապի, կարելի է առանձնացնել հետևյալ ենթատիպերը՝

ա) Հանքավայրեր, որոնք տեղադրված են անորթոգիտների, գարբրո-անորթոգիտների մեջ և ներկայացված են իլմենիտային ու իլմենիտ-մագնետիտային մասսիվ հանքանյութերի խոշոր կուտակումներով, երբեմն իլմենիտի ներսում հեմատիտի արոհումով, ուռտիլի, սպատիտի հետ և պիրիտի, խալկոպիրիտի, պիրրոտինի փոքր խառնուրդով:

Այս տիպին են պատկանում Ադիրոնդայկ (ԱՄՆ, Նյու-Յորքի նահանգ), Լակ Տիո (Կվեբեկ, Կանադա) և Սուրբ Լավրենտիայի ծոցի (Կանադա) ափին գտնվող Ալլարդ Լեյկ խոշոր հանքավայրերը:

Ադիրոնդայկ հանքավայրի հանքամարմինն ունի 1500 × 200 մ չափեր, իսկ Լակ Տիո հանքավայրում իլմենիտի պաշարները հասնում են 125 միլիոն տոննայի:

բ) Հանքավայրեր, որոնք տեղադրված են գարբրոների, նորիտների, գարբրո-նորիտների մեջ և ներկայացված են իլմենիտ-մագնետիտային հանքանյութերով (8—20⁰/₀ TiO₂): Վերջիններից ստանում են իլմենիտային և մագնետիտային (V պարունակող) կոնցենտրատներ:

Այս տիպին են պատկանում ՍՍՌՄ-ի մի շարք հանքավայրեր (Կուսսայի, Պուլոժգորսկի), ինչպես նաև Տանգանիկայի և Հարավ-Աֆրիկյան Միության խոշոր հանքավայրերը:

դ) Հանքավայրերը դարբրո-դիարազներում: Հանքանյութերը տիտանո-մագնետիտային են, մագնետիտի մեջ իլմենիտի տրոհումով: Այս հանքանյութերից իլմենիտ չի ստացվում և նրանք առայժմ արդյունաբերական հետաքրքրություն չեն ներկայացնում:

դ) Հանքավայրերը պիրոքսենիտներում, որոնք ներկայացված են տիտանո-մագնետիտային հանքանյութերի ցանով և շլիրներով, երբեմն պալլադիումային պլատինով: TiO_2 պարունակությունը 2-ից մինչև 6% է, մշակվում են որպես երկաթի V պարունակող հանքանյութեր (կաշկանար լեռը Հյուսիսային Ուրալում):

ե) Հանքավայրերը նեֆելինային սիենիտներում, ալկալային սիենիտներում և ուլտրաճիմքային ալկալային ապարներում:

Ուլտրաճիմքային ալկալային ապարների հետ կապված են պերովսկիտ (կնոպիտ)—տիտանո-մագնետիտային հանքանյութերի խոշոր կուտակումներ, ապատիտի, իլմենիտի, սֆենի, պիրոքլորի խառնուրդով, իսկ լույսավրիտ-ֆոսֆատ-ուրախտային կոմպլեքսի և մալինյիտների հետ կապված են լուպարիտային հանքանյութերի (վերջիններս գիավում են որպես սեգրեգացիոն, վաղ մագմատիկ) հսկայական հանքավայրեր. նեֆելինային և ալկալային սիենիտների հետ սովորաբար կապված են իլմենո-ուտիլի, սֆենի և իլմենիտի փոքր կուտակումներ, ապատիտի ու ցիբիտի խառնուրդով:

Այս տիպին են պատկանում կոլա թերակղզու հանքավայրերը:

2. Պեգմատիտային հանքավայրեր, որոնք ներկայացված են ալկալային պեգմատիտներով, իլմենո-ուտիլի և իլմենիտի հետ (Իլմենյան լեռներ) և Պլյումո-Իդալսոյի մոտ (Հարավային Մեքսիկա) պեգմատոիդային դարբրոյի զանգվածում տեղադրված ուտիլի խոշոր հանքավայրով:

3. Տիտանի մնացորդային հանքավայրեր, որոնք հարուստ են իլմենիտով ու տիտանի այլ միներալներով և տեղադրված են հիմքային ու ալկալային ապարների հողմնահարման հին կեղևում: Իլմենիտը լեյկոքսենացված է (Fe գուրս է բերվում, TiO_2 պարունակությունը բարձրանում է մինչև $55-60\%$):

Այս տիպի հանքավայրերն ինքնուրույն նշանակություն չունեն, բայց հանդիսանում են արդյունաբերական ցրոնների կարևոր աղբյուր:

4. Նստվածքային հանքավայրեր, ամենատարբեր հասակի՝ Pz և Mz մինչև Q ներառյալ. բրածո ցրոնների տիպ:

Իլմենիտով, լեյկոքսենով հարստացած, փոքր քանակի ուտիլ պարունակող (իլմենիտ մինչև 50—60⁰/₀, ուտիլ մինչև 5—50 կգ/մ³) ավազները և ավազաքարերը (երբեմն մագնետիտային) ունեն կարևոր արդյունաբերական նշանակություն, հատկապես ՍՍՌՄ-ի համար: Այս տիպի խոշոր հանքավայրեր հայտնի են Ուկրաինայում և Ղազախստանի ՍՍՌ-ում, փոքր հանքավայրեր՝ Հայաստանում և Միջին Ասիայի սեպուլքիկաներում:

Ուկրաինայի ցրոնները գտնվում են բյուրեղային վահանի հյուսիս-արևմտյան մասում (որի վաղմյան հեռ էլ կապված են), Իրշա գետի ավազանում: Ավազները պարունակում են մինչև 200 կգ/մ³ իլմենիտ և փոքր քանակությամբ ուտիլ ու ցիրկոն¹:

Իլմենիտի կազմությունն է՝ 49—58⁰/₀ TiO₂, 0,15—0,52⁰/₀ V₂O₅, 0,004—0,051⁰/₀ Nb₂O₅, 0,004—0,1⁰/₀ Ta₂O₅:

5. Ժամանակակից մերձափնյա-ծովային և դելյուվիալ-ալյուվիալ ցրոններ: Հատկապես մեծ արդյունաբերական նշանակություն ունեն Հնդկաստանի, Ավստրալիայի, ԱՄՆ-ի, Նոր Զելանդիայի, Կամերունի, Բրազիլիայի մերձափնյա ծովային ցրոնները: Ավազները պարունակում են իլմենիտ, ուտիլ, ցիրկոն, մոնացիտ, երբեմն նաև կասսիտերիտ և ուրիշ միներալներ: Տիտանային միներալների պարունակությունը հասնում է մինչև 60—80⁰/₀:

Ավստրալիայում, Կվինսլենդի և Նոր Հարավային Ուելսի ավի երկայնքով, 150 կմ երկարությու և 40 մ լայնությու ունեցող գոտում մշակվում է մերձափնյա ծովային ցրոն, որն, ունենալով 4 մ կարողություն, միջին հաշվով պարունակում է 20⁰/₀ ծանր միներալներ: Կոնցենտրատը պարունակում է 30—40⁰/₀ ուտիլ, 27—51⁰/₀ ցիրկոն, 14—31⁰/₀ իլմենիտ, 0,2—2⁰/₀ մոնացիտ, ինչպես նաև մի քիչ կասսիտերիտ, սսիլի, պլատին, քրոմիտ, մագնետիտ, զրանատ:

Այստեղ տարեկան արդյունահանվում է մինչև 40—50 հազար տոննա ուտիլային կոնցենտրատներ (ուտիլի համաշխարհային հանույթի 3/4 մասը) և մոտավորապես նույնչափ էլ ցիրկոնային կոնցենտրատներ (համաշխարհային հանույթի մոտ 70⁰/₀):

6. Իլմենիտի և տիտանո-մագնետիտի մետամորֆացած

¹ Վերջին ժամանակներս Ուկրաինայի բյուրեղային վահանի սահմաններում հայտնաբերվել են ուտիլային հարուստ ցրոններ:

հանքավայրերի թերթաքարերում, որոնք առաջացել են գարբրոփ-դալին ապարների հաշվին (Հյուսիսային Կարոլինա, ԱՄՆ):

7. Իլմենիտի և ուուտիլի մետամորֆային հանքավայրերը բյուրեղային թերթաքարերում, որոնք առաջացել են տիտանով հարուստ կավերի մետամորֆիզմի և բյուրեղացման հետևանքով:

Բոլոր նշված ախտերից ամենից կարևոր արդյունաբերական նշանակություն ունեն մագմատիկ հանքավայրերը (անորթոգիտների և գարբրոնների հետ կապված «ա» և «բ» ենթատիպերը) և բրածո ու ժամանակակից մերձափնյա-ծովային ցրոնները:

ԸՆԴՀԱՆՐԱՑՈՒՄ ՏԻՏԱՆԻ ՎԵՐԱԲԵՐՅԱԼ ԵՎ ՈՐՈՆՄԱՆ ՆՇԱՆՆԵՐԸ

Տիտանային (իլմենիտային և ոուտիլային) հանքանյութերի արդյունաբերական կուտակումները զենեափոխորեն սերտ կերպով կապված են հիմքային և ալկալային ապարների, հատկապես անորթոգիտների, գարբրո-նորիտների և ալկալային ապարների հիմքային տարրերակների հետ, մեկուսանալով նրանց մեջ ուշ մագմատիկ ստադիայում (հիստերոմագմատիկ հանքավայրեր), ինչպես նաև հիմքային և ալկալային ապարների պեգմատիտներում:

Իլմենիտի և ոուտիլի խոշոր կուտակումներ հանդիպում են բրածո և ժամանակակից մերձափնյա-ծովային ցրոններում:

Տիտանային հանքանյութերի որոնումների ժամանակ հուսալի միջոցներ են հանդիսանում սկզբածքային հանութը, ինչպես նաև մագնիսահետախուզությունը (տիտանի միներալները հաճախ զուգակցվում են մագնետիտի հետ):

Տիտանի միներալները հեշտությամբ որոշվում են հանքանյութերի միկրոսկոպիկ ուսումնասիրությունների ժամանակ. թափանցիկ շլիֆներում ոուտիլը որոշվում է ըստ շատ բարձր բեկման և երկրեկման ցուցիչների ($Ng-Np=0,290$), որի շնորհիվ և՛ խաչաձևված նիկոլներում, և՛ անցնող լույսի մեջ միներալն ունի միատեսակ դույն (գորշավուն-դեղին, կարմրավուն-գորշ, հազվադեպ կանաչավուն). բնորոշ են ծնկաձև և սրտաձև կրկնաբյուրեղները: Անշլիֆներում ոուտիլը որոշվում է հեռեյալ նշաններով՝ R 20—23 է, երկանդրադարձում է, ներքին ռեֆլեքսները դեղին կամ կարմրավուն-գորշ են. իլմենիտի R 17-ից մինչև 21 է, ուժեղ կերպով անիզոտրոպ է, հաճախ մագնետիտի հատիկներում ունի պինդ լուծույթի տրոհման թերթիկների ձև:

Малышев И. И. Основные генетические типы месторождений титановых руд и промышленная их ценность. Разведка и охрана недр, № 1, 1955.

Everhart John L. Titanium and titanium alloys, 1954.

Վ Ա Ն Ա Դ Ի Ռ Ի Մ (V)

ԸՆԴՀԱՆՈՒՐ ՏԵՂԵԿՈՒԹՅՈՒՆՆԵՐ

Վանադիումն առաջին անգամ հայտնաբերվել է 1801 թ. Մ. Գեյ-Բիոյի կողմից, Մեքսիկայի կապարի հանքանյութերում, իսկ ավելի ուշ, 1831 թ. Ն. Սյովստերմի կողմից անջատվել է Տարերգ (Շվեդիա) հանքավայրի տիտանոմագնեախաային հանքանյութերից:

Վանադիումն արդյունաբերական կիրառում է ստացել սկսած 1905 թ. գլխավորապես սև մետալուրգիայում (ֆերովանադիումի, կալցիումի վանադատի կամ V_2O_5 ձևով) չուգունը և պողպատը լեգիրելու համար:

Վանադիումխառը ($0,1—0,35\%$ V) չուգունը լայնորեն կիրառվում է մեքենաշինություն, շոգեգլանների արտադրություն, մեջ, մխոցների օղակների և շոգեկառքերի սողնակների համար:

Վանադիումխառը (մինչև 1% և ավելի V) պողպատները լայնորեն կիրառվում են ինքնաթիռաշինություն, ավտոշինություն, մեքենաշինություն, ոսպմական արդյունաբերություն, ինչպես նաև արագ կարող գործիքների արտադրություն մեջ (W, Cr, Mo հետ միասին): Վերջին ժամանակները մեծ նշանակություն են ձեռք բերել նոր՝ Fe—Ti—V-ային համաձուլվածքները և հատուկ պողպատները, 1% V հավելույթով, որը երկու անգամ բարձրացնում է կտրելու և շաղափելու էֆեկտը:

Վանադիումի հավելույթը խիստ բարձրացնում է պողպատի կարծրությունը, առաձգականությունը և խզման դիմադրությունը: Ընդամենը $0,25\%$ V հավելույթը երկու անգամ մեծացնում է պողպատի առաձգականությունը, այսինքն թույլ է տալիս երկու անգամ փոքրացնել սոնինների, հոլանների, զսպանակների հաստությունն ավտոարդյունաբերություն և ինքնա-

թիւաշինութեան դործում. $0,4\%$ V հալելույթը միտոցների պողպատին 3—4 անգամ նվազեցնում է պատերի մաշումը, $0,5\%$ V հալելույթը թույլ է տալիս երկու անգամ փոքրացնել զրահային սալերի հաստութեանը:

Բավականաչափ լայն կիրառում ունեն նաև պղինձ-վանադիումային համաձուլվածքները և վանադիումային բրոնզները: Վանադիումի փոքր քանակութեաններ կիրառում են ներկերի արտադրութեան, ինչպես նաև որպես կատալիզատոր (պլատինի փոխարեն) ծծմբաթթվային արդյունաբերութեան մեջ:

Վանադիում մետաղի համաշխարհային արդյունահանումը 1943 թ. կազմել է 4300 տոննա. այդ քանակութեան 1/2 ավել են ԱՄՆ-ը, 1/4 Պերուն և մնացած 1/4 գլխավորապես Հյուսիսային Թոքեդիան և Հարավ-Արևմտյան Աֆրիկան: ՍՍՌՄ-ում հանդիպում է վանադիումի զգալի քանակութեան:

Վանադիումի համաշխարհային պաշարների հաշվառք գույութեան չունի: Վանադիում պարունակող հանքանյութերով ամենահարուստ երկրներն են՝ ՍՍՌՄ, ԱՄՆ, Պերուն. զգալի պաշարներ հայտնաբերված են նաև Հնդկաստանում, Տանգանիկայում և Շվեդիայում:

* * *

Վանադիումի միջին պարունակութեանը երկրի կեղևում $0,02\%$ է, որը բարձր է հազվագյուտ մետաղի համար. էլեմենտը սովորաբար ցրված է և խոշոր հարուստ կուտակումներ է առաջացնում համեմատաբար հազվագեղ:

Վանադիումը լիտոֆիլ էլեմենտ է, երբեմն սիդերոֆիլ և բիոֆիլ հատկութեաններ ունի:

Էնդոգեն պայմաններում վանադիումի մեծ կուտակումները կապված են հիմքային և ուլտրահիմքային, հազվագեղ ալիալային ապարների հետ: Վանադիումն ալյուրոլ տեղակալում է Ti^{4+} , Fe^{3+} , հավանաբար Al^{3+} և ներկայացված է քառարժեք ձևով՝ V^{4+} , որի իոնային շառավիղը մոտ է տեղակալված էլեմենտների իոնային շառավիղներին: Ըստ Rankama-ի և Sahama-ի տվյալների (1949), V պարունակվում է ախտանոմագնեախտում (մինչև $0,41\%$), սֆենում, ուուալիում (մինչև $0,5\%$), ամֆիբոլներում և ավգիտում (մինչև $0,07\%$), փայլարներում (մինչև $0,1\%$), ուբանիտում (մինչև $0,05\%$), ինչպես նաև մասամբ կարող է տեղակալել P^{5+} ապատիտի մեջ:

Էկզոգեն պայմաններում վանադիումը դուգակցվում է Ca, Mg, Fe, Mn, C, As, P, Cu, U հետ, հեշտությամբ տեղափոխվում է դետնաջրերով և նստում կարբոնատային ու բիտումային կալային ապարներում կամ կուտակվում է նստվածքային ծագման երկաթի օօլիտային հանքանյութերում (մինչև 0,85—0,1⁰/₀ V), մանգանի նստվածքային հանքանյութերում և բոքսիտներում:

Վանադիում պարունակող յուծույթները հեշտությամբ հակազդում են կապարի, ցինկի և պղնձի օքսիդացման զոնայի միներալներին, որոնք ծառայում են որպես յուրահատուկ քամիչ, դետնաջրերի կողմից լեռնային ապարներից տարրալուծված վանադիումը պահելու համար (Օտավի շրջանը Հարավ-Արևմտյան Աֆրիկայում, Ղազախստանի ՄՍՌ-ի որոշ հանքավայրեր):

Վանադիումը կուտակվում է նաև բույսերում և որոշ կենդանիների օրգանիզմներում (օրինակ՝ Stichopus Moebii խմրի հոլոթուրիանների և որոշ ասցիդիանների արյան մեջ պարունակվում է մինչև 10⁰/₀ V):

Վանադիումի բազմաթիվ միներալներից միայն քչերն են ներկայացնում արդյունաբերական հետաքրքրություն՝

Ռոսկոնիտ $KV_2[AlSi_3O_{10}][OH]_2$. 19—29⁰/₀ V_2O_5 (կանաչավուն-գորշից մինչև կարմրա-գորշ գույնի վանադիում պարունակող մուսկովիտ):

Կարնոտիտ $K_2U_2[VO_4]_2O_4 \cdot 3H_2O$. 20⁰/₀ V_2O_5 (վառ կանաչ-դեղինից մինչև կանաչավուն-դեղին գույնի):

Պատրոնիտ VS_2 կամ V_2S_5 , մինչև 25⁰/₀ V_2O_5 (սև գույնի):

Վանադիմիտ $Pb_5[VO_4]_3Cl$. 19⁰/₀ V_2O_5 : Կարելի է նշել նաև լեկլուազիտը (վանադինիտին մոտ $Pb—Zn$ վանադատ) և կուլտոնիտը $Fe(Fe, V)_2O_4$, վանադիումային մագնետիտ մինչև 5⁰/₀ V պարունակությամբ:

Վանադիումի գործնականորեն հետաքրքիր պարունակություն (մինչև 1—2⁰/₀ V_2O_5) գիտվում է երրեմն էզիրինում, սֆենում, գրանատներում, ամֆիբոլներում, բիոտիտում, ինչպես նաև ածուխներում, նավթում, սաֆալտում, թերթաքարերում, երկաթի, մանգանի նստվածքային հանքանյութերում և բոքսիտներում:

Հանքանյութերի արդյունաբերական տիպերի թվում, որոնցից ստանում են (կամ հնարավոր է ստանալ) վանադիում, կարելի է առանձնացնել հետևյալները՝

1. Տիտանումագնեթիտային մագմատիկ հանքանյութեր, որոնք ներկայացնում են կոմպլեքսային արժեք Fe, Ti և V համար: V_2O_5 պարունակությունը 0,2—0,5 մինչև 1⁰/₀:

2. Կարնոտիտ-սոսկոէլիտային ավազաքարեր V_2O_5 1—2⁰/₀ ու ավելի և հաճախ ուրանի (0,1—0,5⁰/₀ UO_3) զուգընթաց պարունակություններ:

3. Պատրոնիտային հանքանյութեր V_2O_5 -ի շատ բարձր պարունակություններ (մի քանի տոկոս), Ni ու Mo խառնուրդով:

4. Որոշ րազմամետաղ հանքավայրերի օքսիդացման դոնաների վանադիլիտային և դեկլուադիտային հանքանյութեր (V_2O_5 0,5—1⁰/₀ և ավելի):

5. Վանադիլումարեր թերթաքարեր (V_2O_5 0,2—1⁰/₀, քիչ Mo, U և այլ մետաղներ):

Բացի այս հինգ զլխավոր տիպերից, վանադիում ստանում են նաև մի շարք երկաթաքարային հանքավայրերի օօլիտային հանքանյութերից, բոքսիտներից, նավթից և սֆալտից:

Բուն վանադիումային հանքանյութերի համար նվազագույն ընդունելի պարունակությունը հանդիսանում է 0,5⁰/₀ V_2O_5 , կոմպլեքս հանքանյութերի համար տոկոսի տասնորդական և նույնիսկ հարյուրերորդական մասերը:

ՀԱՆՔԱՎԱՅՐԵՐԻ ԳԵՆԵՏԻԿ ՏԻՊԵՐԸ, ՄԵՏԱԼՈԳԵՆԻԿ ԴԱՐԱՇՐՋԱՆՆԵՐԸ ԵՎ ՄԱՐՁՆԵՐԸ

1. Տիտանումագնեթիտային հանքանյութերի մագմատիկ հանքավայրեր, որոնք կազմած են գաբրոսների և պիրոքսենիտների հետ: Վանադիումը պարունակվում է մագնեթիտային կոնցենտրատում կուլտոնիտի և իզոմորֆ խառնուրդի ձևով սովորաբար V_2O_5 մինչև 0,5—1⁰/₀, երբեմն մինչև 2⁰/₀ քանակությամբ: Այս տիպի հանքավայրերը կոմպլեքսային են Fe—Ti—V համար (երբեմն նաև Cu և Pt խառնուրդով): Սրանց թվին են պատկանում ՍՍՌՄ-ի Կուսայի, Պերվուրալիի, Կաչկանարի և այլ հանքավայրեր Ուրալում, Պուդոգորսկի և Վէլիմէկի հանքավայրերը Կարելական ԱՍՍՌ-ում, իսկ արտասահմանում՝ Տարբեր լեռը Շվեդիայում, Ադիրոնդակյան ԱՄՆ-ում և Տանզանիկայի Նժոմբե շրջանի ու Բինարի Մայուրբիէնի (Հնդկաստան) շատ խոշոր հանքավայրերը:

Այս տիպի արդյունաբերական նշանակությունը մեծ չէ:

2. Ինֆիլտրացիոն հանքավայրեր, որոնք ներկայումս հանդիսանում են գլխավոր արդյունաբերական տիպը և տալիս են վանադիումի հանույթի գերակշռող մասը:

Այստեղ կարելի է առանձնացնել երեք ենթատիպ՝

ա) Կարնոտիտային և կարնոտիտ-ռոսկոէլիտային ավազաքարեր, որոնք մշակվում են Ս (մինչև 0,5⁰/₀ և ավելի UO_3) և Վ (1—2⁰/₀ V_2O_5) ստանալու համար:

Այս տիպին են պատկանում Յուտա և Կոլորադո նահանգների խոշոր հանքավայրերը, Հարավային Ավստրալիայի Օլարի շրջանի և մի շարք այլ հանքավայրեր: Սրանց ընդհուպ մոտենում են Միջին Ասիայի կրաքարերում տեղադրված տոլույամունիտային հանքավայրերը (անկանոն խողովականման մարմիններ): Այս ֆորմացիայի հանքանյութերին բաժին է ընկնում վանադիումի համաշխարհային ձուլման կեսը:

բ) Պատրոնիտային հանքանյութեր, որոնք սերտորեն կապված են ասֆալտի երակների և շերտերի հետ: Հանքանյութերը շատ հարուստ են վանադիումով (մինչև 10—15⁰/₀ V_2O_5), պարունակում են Ni-ի և Mo-ի խառնուրդ: Տիպիկ օրինակ է Մինասոսթագրա հանքավայրը Պերուում, որը տալիս է վանադիումի համաշխարհային ձուլման մոտավորապես 1/4. նման հանքավայրեր հայտնաբերված են ԱՄՆ-ում և ՍՍՌՄ-ում:

գ) Վանադինիտ-դեկլուադիտային հանքանյութեր կապարցինկի որոշ հանքավայրերի օքսիդացման զոնայում. վանադիումն այստեղ հանդիսանում է կողային ապարներից (վանագիումաբեր թերթաքարերից) գետնաջրերով ներմուծված էլեմենտ: Այս տիպին են պատկանում Ղազախսկան ՍՍՌ-ի, Հյուսիսային Ռոդեզիայի (Բրոկեն-Հիլլ), Հարավ-Արևմտյան Աֆրիկայի (Տսումեթ և Արենար) հանքավայրերը: Այս տիպը հանդիսանում է վանադիումի կարևոր աղբյուր, որը տալիս է մետաղի արտասահմանյան ձուլման համարյա 1/4:

3. Վանադիումի նստվածքային հանքավայրեր, որոնց թվում կարելի է առանձնացնել հետևյալ ենթատիպերը՝

ա) Վանադիումաբեր թերթաքարեր, որոնք լայնորեն տարածված են մինչև տասնյակ մետրեր կարողութուն ունեցող շերտախմբերի ձևով: Սրանց են պատկանում մերձբալթյան երկրների (Շվեդիա և ուրիշներ) քեմբրիի և սիլուրի թերթաքարերը, Ղազախսկան ՍՍՌ-ի միջին քեմբրիի սև բխումային և կայծքարային թերթաքարերը, ԱՄՆ-ի Այդահո և Ուայոմինգ նահանգ-

Ներքի ֆոսֆորիտարեր ֆորմացիայի պերմի հասակի վանագիտումաբեր թերթաքարերը և ուրիշներ:

V_2O_5 պարունակութունը $0,5-1^0/0$ է, հաճախ պարունակվում են նաև Mo , Cu , U և այլ մետաղներ: Վանագիտումի պաշարները հսկայական են, ստացման տեխնոլոգիան մշակված է և հետազայում այս տիպը վանագիտումի համար կունենա կարևոր նշանակություն: Խալով դուզընթացաբար նաև զգալի քանակությամբ մոլիբդեն և ուրան:

բ) Երկաթի օօլիտային նստվածքային հանքանյութեր V_2O_5 -ի $0,05-0,1^0/0$ պարունակությամբ (Լոթարինգիայի, Վարանա, Կերչի հանքավայրերը): V ստացվում է զուգընթացաբար երկաթի ձուլման խարամներից:

գ) Մանգանի նստվածքային հանքանյութեր (Հյուսիսային Աֆրիկայի հանքավայրերում $0,06^0/0$ V) և բոքսիտներ (Իտալիայում):

դ) Տիտանումագնետիտային ավազների ու ավազաքարերի ժամանակակից և բրածո ցրոններ (V_2O_5 $0,1-0,3^0/0$):

ե) Ասֆալտիտի (Պերուում և ԱՄՆ-ում մինչև $0,3-0,8^0/0$ V), նավթի (Իրանական նավթի մոխրի մեջ $5,03^0/0$ V_2O_5 և $2,7^0/0$ NiO), ածուխի (Արգենտինայի ածուխների մոխրի մեջ մինչև $21,4^0/0$ V) որոշ հանքավայրեր:

Վանագիտումի մետալոգենիկ դարաշրջանները և մարդերը. վանագիտումի ամենախոշոր կուտակումները կապված են քեմբրիի և սիլուրի, մասամբ պերմի ու դեոնի հասակի սև բիտումային ու կայծքարային թերթաքարերի հետ: Վանագիտումի զգալի կուտակումները հարում են տրիասի, յուրայի և կավճի ավազաքարերին, ինչպես նաև Ուրալի, Հնդկաստանի և Տանգանիկայի տիտանումագնետիտային հանքանյութերին: Վանագիտումով ամենահարուստ շրջաններն են՝ Մերձբալթիկան, Կարատաու լեռնաշղթան, ԱՄՆ-ի Արևմտյան Նահանգները, Պերուն, Տանգանիկան, Հարավ-Արևմտյան Աֆրիկան:

ՎԱՆԱԳԻՏԻՄԻ ՀԱՆՔԱՎԱՅՐԵՐԻ ՆԿԱՐԱԳՐՈՒԹՅՈՒՆԸ

Մինաս-Ռագրա հանքավայրը գտնվում է Պերուում 4700 մ բարձրության վրա:

Հանքավայրի շրջանը կազմված է կավճի հասակի կավային թերթաքարերից, ավազաքարերից և կրաքարերից, որոնք հատված են պորֆիրների դայկաներով:

Հանքավայրը ներկայացված է երակային մարմինների և սսպնյակների սերիաներով, որոնք հարուստ են կավային թերթաքարերի մեջ գտնվող ճեղքերին: Գլխավոր հանքամարմինն ըստ տարածման ձգվում է 100 մ, մի քանի սանտիմետրից մինչև 9—12 մ կարողութամբ: Հանքանյութը վերին մասերում կազմված է օքսիդացած կարմիր և դարչնագույն վանագատներից, իսկ ստորին մասերում՝ կալցիումի մուգ կանաչ, համարյա սև վանագատներից, պատրոնիտի և կիսկիտի (սև, փայլուն սափալտանման նյութ ծծմբի բարձր պարունակությամբ) խառնուրդով: Հանքանյութում խառնուրդի ձևով հանդիպում են նաև նիկելի (բրավոնիտ) և մոլիբդենի (մոլիբդենիտ) ծծմբային միացությունները:

Հանքանյութերը շատ հարուստ են. պարունակում են մինչև 15% V_2O_5 , 1,5% Ni և 0,5—1,5% Mo :

Հանքավայրի առաջացման պայմանները լրիվ պարզաբանված չեն, հավանաբար, սափալտի առաջացման պրոցեսում (առանց թթվածնի մուտքի, կենդանական և բուսական սպիտակուցների քայքայման ժամանակ) անջատվել են H_2S -ի զգալի քանակություներ, որոնք վերին զոնայում մասամբ օքսիդացել և վեր են ածվել բնածին ծծմբի, մասամբ էլ նստեցրել են կողային ապարներից տարրալուծված V , Ni և Mo հիպերգեն սուլֆիդների ձևով: Հանքանյութերի սերտ ասոցիացիան սափալտի ու բնածին ծծմբի հետ և հիպոգեն առաջացումների համար $V-Ni-Mo$ արտասովոր ասոցիացիան խոսում են հանքավայրի ինֆիլտրացիոն ծագման օգտին:

Կարա-Տաու լեռնաշղթայի հանքավայրերը Վանադիումարեր թերթաքարերի հանքավայրերը ներկայացված են մուգ գույնի ածխա-կավային և բաց գույնի կայծքարային թերթաքարերի շերտերի հերթագայությամբ, որոնց ընդհանուր կարողությունը կազմում է տասնյակ մետրեր, իսկ առանձին շերտերի կարողությունը սովորաբար տատանվում է 0,5—2 մ սահմաններում: Այս տիպի հանքավայրերի նշանավոր առանձնահատկություններն են հանդիսանում վանադիումարեր ապարների շերտախմբերի լայն ռեգիոնալ զարգացումը (ըստ տարածման տասնյակ հարյուրավոր կմ) և նրանց միաժամանակյա առաջացումը ծովային ավազանների շելֆի զոնայի ֆոսֆորիտաբեր ֆացիայի հետ:

Վանադիումը կառավակվում է գլխավորապես մուգ գույնի,

օրգանական նյութով հարուստ շերտերում, որտեղ նրա պարունակությունը հասնում է 1—2⁰/₀, մինչդեռ բաց դույնի կայծքաբային շերտերում այն ընկնում է մինչև 0,2—0,3⁰/₀:

Հանքանյութերի կազմությունը շատ բարդ է. նրանց մեջ հայտնաբերված են մի շարք նոր միներալներ, որոնց մանրամասն ուսումնասիրությունը շարունակվում է: Հանքանյութերի կազմության մեջ գլխավոր դեր են կատարում ածխային և կավային նյութը, կարբոնատների (կալցիտ, դոլոմիտ, սիդերիտ), վանադատների (վանադինիտ, ուզբեկիտ, ֆոլորտիտ և ուրիշներ), ֆոսֆատների, բարիտի, սոսկոէլիտի և ոչ մեծ քանակությամբ սուլֆիդների մասնակցությամբ: Վերջինները ներկայացված են մանր կոլլոիդալ անջատումներով կամ թերթաքարերի մետամորֆիզմի պրոցեսում վերանստեցված կվարց-սուլֆիդային երակիկներով: Սուլֆիդների թվում որոշված են՝ պիրիտ, սֆալերիտ, խունացած հանքանյութեր, մոլիբդենիտ, խալկոպիրիտ, խալկոզին, կովելլին, գալենիտ, պատրոնիտ, սուլվանիտ (Cu₃VS₄) և այլն:

Արդյունաբերական հզոր հորիզոնները միջին հաշվով պարունակում են մոտավորապես 1⁰/₀ V₂O₅ և 0,02⁰/₀ Mo, իսկ առանձին հանքավայրերում նաև 0,01—0,05⁰/₀ U, մինչև 0,5⁰/₀ Zn, 0,05—0,1⁰/₀ Pb, 0,1—0,2⁰/₀ Cu, քիչ Mn, As, Ni, Ag:

C պարունակությունը տատանվում է 2 մինչև 5⁰/₀ սահմաններում:

Վանադիումաբեր թերթաքարերի հանքավայրերն իրենցից ներկայացնում են ծովային ավազանների համեմատաբար խորջրյա նստվածքային գոյացումներ, որտեղ մայր ցամաքից բերվել են կավային նյութը, վանադիումի, մոլիբդենի և այլ մետաղների լուծելի միացությունները: Հավանաբար, վանադիումի և պղնձի մի մասի աղբյուր են հանդիսացել գլխավորապես հիմքային և ուլտրահիմքային ինտրուզիվ և էֆուզիվ ապարները, իսկ մոլիբդենի, ուրանի և գունավոր մետաղների աղբյուր՝ գլխավորապես թթու ապարները:

Ածխածինը կուտակվել է պլանկտոնային ջրմուռների կենսագործունեության հետևանքով: Մետաղները կարող էին կլանվել ավազանի թույլ լուծույթներից պլանկտոնային օրգանիզմների կողմից և ապա վերջինների մահանալուց հետո կուտակվել տեղում: Սրանով է բացատրվում վանադիումի և այլ մետաղների բարձր կոնցենտրացիան ածխային նյութով հարստա-

ցած շերտերում: Ակնհայտ է նաև, որ պլանկտոնային օրգանիզմների կենսագործունեության ծաղկման ժամանակաշրջանները փոխարինվել են նրանց կենսագործունեության անկմամբ, որի հետևանքով ածխային օրգանական նյութով և՛ մետաղներով հարքստացած թերթաքարերի շերտերը հերթագայում են կայծքարային և մետաղներով ավելի ազքատ շերտերի հետ:

Հանքավայրերի այս տիպում, անկասկած, բոլոր մետաղները սինգենետիկ են թերթաքարերի հետ, իսկ թերթաքարերի սամաններից դուրս չեկող սուլֆիդային երակիկները նուրբ ցանցի առկայությունն արդյունք է սուլֆիդների վերանստեցման՝ կապված մետամորֆիզմի այն պրոցեսների հետ, որոնք ուղեկցվել են լուծույթների շրջանառությամբ:

ԸՆԳՀԱՆՐԱՑՈՒՄ ՎԱՆԱԴԻՈՒՄԻ ՎԵՐԱԲԵՐՅԱԼ, ԵՎ ՈՐՈՆՄԱՆ ՆՇԱՆՆԵՐԸ

Էնդոգեն պայմաններում վանագիումը կապված է հիմքային և ուլտրահիմքային, մասամբ ալիալային ապարների հետ և կուտակվում է գլխավորապես տիտանոմագնետիտային հանքանյութերում:

Էկզոգեն պայմաններում վանագիումը կուտակվում է մուգ գույնի բիտումային թերթաքարերում, ինչպես նաև երկաթի, մանգանի նստվածքային հանքանյութերում, ածխի և նավթի որոշ տիպերում: Զգալի կուտակումներ են առաջանում ինֆիլտրացիոն ճանապարհով (կարնոտիտային, պատրոնիտային, վանագինիտային հանքանյութեր):

Վանագիումի էնդոգեն հանքավայրերի որոնումներն ամենից մեծ էֆեկտ են տալիս գաբրո-պիրոքսենիտների զանգվածների մեջ, որտեղ V գույզակցվում է Fe, Ti, Cu և երբեմն Pt կուտակումները հետ:

Կարնոտիտ-ռոսկոնէլիտային և տյուլյամունիտային հանքանյութերի որոնման մեթոդները սերտորեն կապված են ռադիոմետրիկ հանույթի հետ և կատարվում են նույն մեթոդներով, ինչ որ ուրանի համար, որի հետ սերտորեն կապված է վանագիումը:

Պատրոնիտային հանքանյութերը սերտորեն կապված են ասֆալտի, իսկ վանագինիտ-գեկլուազիտայինը՝ կապար-ցինկի օքսիդացած հանքանյութերի հետ:

Վանադիումի հետ միաժամանակ մոլիբդեն և ուրան պարունակող, բիսումային, վանադիումաբեր թերթաքարերը հաճախ ֆացիայ կերպով փոխարինում են շելֆի մերձափնյա ֆոսֆորիտաբեր հորիզոններին. հայտնաբերվում են բարձր սադիտակաթիվովյան ու վառ գունավորված երկրորդական վանադիում և ուրան պարունակող միներալների տեղական կուտակումների շնորհիվ:

ՀԻՄՆԱԿԱՆ ԳՐԱԿԱՆՈՒԹՅՈՒՆ ՎԱՆԱԴԻՈՒՄԻ ՎԵՐԱԲԵՐՑԱԼ

- Карнотитовые месторождения западных штатов США. Сборник переводных статей. Госгеолиздат, 1946.
- Пятницкий П. П. Ванадий и законы его распределения в минералах и горных породах. Укр. отд. ВНИИМС, вып. XXIV, Киев, 1936.
- Разумов А. И., Зеленский. Ванадий. Цветметиздат, 1932.
- Argall. The occurrence and production of Vanadium. Quarterly of the Colorado School of Mines V. 38, N 4, X, 1943.
- Bachman H. Vanadium. Natürliche Vorkommen eines technisch „jungen“ Metalls. Umschau, 1954, 54, N 14.
- Bertrand O. The biogeochemistry of vanadium N. Y. Bull. of the Am. mus. of Nat. hist. V. 94, Art. 7, 1950.
- Fischer R. P. Vanadium Deposits of Colorado and Utah. U. S. Dep. of the Interior. Geol. Surv. Bull. 936-p, 1942.
- Hewet D. F. Vanadium Deposits in Peru. Trans. Amer. Min. Inst. Febr. 2, 91, 1909.
- Ruby W. Vanadiferous Shale in the phosphoric Formation Wyoming and Idaho. Econ. Geol. v. 38, N 1, 1943.
- Schwellnus C. M. Vanadium Deposits in the Otavi Mountains, South West Africa. Trans. of the Geol. Soc. of South. Afr. v. 48, 1945.
- Wright C. W. Vanadium in Peru. Foreign Minerals Quart. Jan. 1940.

Ն Ի Կ Ե Լ (Ni)

ԸՆԴՀԱՆՈՒՐ ՏԵՂԵԿՈՒԹՅՈՒՆՆԵՐ

Նիկելի արդյունաբերական արտադրությունն սկսվել է 1825—1826 թթ. Շվեդիայում, սակայն, մինչև 1865 թ. Նոր Կալեդոնիայի սիլիկատային հարուստ հանքանյութերի և առանձնապես 90-ական թվականներին Կանադայի սուլֆիդային պղինձ-նիկելային հանքանյութերի հայտնաբերումը, նիկելի ձուլումը տարեկան 1000 տ. չի գերազանցել: Ռուսաստանում նիկելի սիլիկատային հանքանյութերի առաջին հանքավայրերը հայտնաբերվել են անցյալ դարի կեսերին Սևրալում, սակայն մինչև սեուլուցիան երկիրը նիկել չի արտադրել: Խոշոր հանքավայրերը հայտնաբերվել և ուսումնասիրվել են սովետական զենագների կողմից ու յուրացվել առաջին հնգամյակի տարիներին:

Նիկելն օդում չի օքսիդանում և լավ հղկվում է: Նրա այդ հատկություններն օգտագործվում են մետաղական իրերի նիկելապատման համար: Նիկելի հավելույթը պողպատներին (0,5—7 մինչև 35% քանակությամբ) զգալիորեն բարձրացնում է նրանց մածուցիկությունը և առաձգականությունը, որը հատկապես արժեքավոր է զրահային պողպատների համար: Նիկելով լեգիրված չժանգոտող չուգունները և պողպատները լայնորեն կիրառվում են ավտոշինություն և ինքնաթիռաշինության մեջ: Կիրառվում են նաև Ni համաձուլվածքները Cu, Zn, Al հետ (արույր, նեյզիլբեր, մեկֆիոր, բրոնզ), Ni համաձուլվածքը Cr հետ (նիքրոմ) և դրամի համաձուլվածքը (75% Cu + 25% Ni): Մաքուր նիկելը լայնորեն օգտագործվում է քիմիական և սննդի արդյունաբերությունների մեջ ինչպես նաև կապի և սագիտուլացիայի սարքավորումներ պատրաստելու գործում:

Նիկելի համաշխարհային ձուլումը (տառնց ՍՍՌՄ-ի) մաք-
սիվումին (150 հազ. տ) հասավ պատերազմի ետուն շրջանում՝
1943 թ., իսկ հետագայում նվազեց և 1946 թ. կազմեց միայն
105 հազ. տ¹:

Չուլման համարյա 80—85⁰/₀ բաժին է ընկնում Կանադա-
յին, մոտ 7⁰/₀ Կուբային, մնացած քանակը՝ Նոր Կալեդոնիային,
Բիրմային, Նորվեգիային, Հունաստանին, Հարավային Ռոդե-
զիային և Բրազիլիային: Ջզալի քանակության նիկել է ձուլվում
ՍՍՌՄ-ի սուլֆիդային և սիլիկատային հանքանյութերից:

Նիկելի համաշխարհային հաշվված պաշարները (տառնց
ՍՍՌՄ-ի) կազմում են 7 մլն. տ, որից 5 մլն. տ բաժին է
ընկնում Կանադայի Սյոբբերի հանքավայրի սուլֆիդային հան-
քանյութերին, մոտ 1 մլն. տ Նոր Կալեդոնիայի (Կուա և ալյն)
և Բրազիլիայի (Լիվրամենտո, Բուրլոտի և ալյն) սիլիկատային
հանքանյութերին: Իրականում նիկելի պաշարները շատ ավելի
մեծ են՝ շատ խոշոր հանքավայրեր կան Հարավային Ռոդեզիա-
յում, Կուբայում², Բիրմայում, Ինդոնեզիայում, Հունաստանում:

Համեմատաբար ոչ մեծ հանքավայրեր հայտնի են նաև
Ֆինլանդիայում, Նորվեգիայում, Յապոնիայում, ԱՄՆ-ում, Պերու-
ում, Հնդկաստանում, Իրանում:

Նիկելի հանքանյութերի ամենախոշոր հանքավայրերը գըտ-
նըվում են վահանների սահմաններում և ունեն գլխավորապես
մինչքեմերլյան-ստորին պլեոցենյան հասակ:

* * *

Երկրի կեղևում նիկելի միջին պարունակությունը կազմում
է 0,02⁰/₀: Էլեմենտը կուտակվում է գլխավորապես հիմքային և
ուլտրահիմքային ապարներում, որոնց սիլիկատներում (օլիվի-
նում և ալյն) նա գտնվում է իդոմորֆ խառնուրդի և սուլֆիդ-
ների ցրված մանր անջատումների ձևով:

Մագմայի ծծմբով հարուստ լինելու դեպքում նիկելը մե-
կուսանում է սուլֆիդների ձևով, որը տեղի է ունենում մագ-
մայի սուլֆիդային ու սիլիկատային հալոցքների լիվիացիայի
հետևանքով: Նիկելի հետ միասին սուլֆիդային հալոցքն են անց-

¹ 1956 թ. նիկելի համաշխարհային ձուլումը պետք է գերազանցեր 200
հազ. տ:

² Կուբայում, Մոս Բեյի մոտ հայտնաբերված է նիկելի սիլիկատային
հանքանյութերի շատ խոշոր հանքավայր (հանքանյութի պաշարները 40 մլն. տ
Ni-ի 1,35⁰/₀ և Co 0,14⁰/₀): Այստեղ նախատեսվում է տարեկան 30 հազ. տ
Ni-ի և մինչև 3 հազար տ Co-ի ձուլում:

նում պղինձը, կորալտը, պլատինոիդները, երկաթի մի մասը և այսպիսով առաջանում է սուլֆիդային, պղինձ-նիկելային հանքանյութերի բնորոշ ընտանիք (ֆորմացիա) միներալների տիպիկ ասոցիացիայով՝ պիրրոտին, պենտանդիտ, խակոպիրիտ: Միներալների այս ասոցիացիան ըստ երևույթին առաջանում է նաև հիմքային մագմայի հետ կապված հիդրոթերմալ պրոցեսների ժամանակ:

Ավելի թթու գրանիտոիդային մագմաներում նիկելը կորալտի, մկնդեդի, ծծմբի (երբեմն նաև բիսմութի, ուրանի) հետ միասին անցնում է հիդրոթերմալ լուծույթները և առաջացնում Ni և Co արսենիդները ու սուլֆիդները երակային հանքավայրեր:

Հիպերգեն պայմաններում նիկելը տեղափոխվում է գեանաջրերով և PH 6,6 և մինչև 7—8 արժեքի զեպքում անջատվում է հողմնահարման կեղևում, այդ նույն պայմաններում կսազուլյացիայի է ենթարկվում սիլիկահողը, իսկ Ni(OH)₂ և SiO₂ համատեղ անջատումը նպաստում է նիկելի ջրային սիլիկատների առաջացմանը:

Նիկելի ամենակարևոր միներալներն են՝

Պենտալանդիտ (Fe,Ni)₉ S₈ կամ (Fe, Ni) S, (Ni պարունակութունը 22—42⁰%, հաճախ պարունակում է Co 1—3⁰% և Pd խառնուրդ, հանդիսանում է սուլֆիդային Cu—Ni հանքանյութերի բնորոշ միներալը):

Միլներիտ NiS, (Ni պարունակութունը 64,7⁰%, բնորոշ է երակային պղինձ-նիկելային սուլֆիդային և Ni—Co—Ag կոմպլեքսային հիդրոթերմալ հանքավայրերի համար):

Նիկելից NiAs (Ni պարունակութունը մինչև 44⁰%, հանդիպում է Ni—Co—Ag հիդրոթերմալ հանքանյութերում հաճախ Bi և U հետ միասին):

Գարնիերիտ Ni₄ [Si₄ O₁₀] [OH]₄·4H₂O կամ Ni₆ [Si₄ O₁₀] [OH]₈ · 4H₂O?, սերպենտինիտների հողմնահարման կեղևի համար բնորոշ բաց կանաչ գույնի հիդրոսիլիկատ, NiO պարունակութունը մինչև 46⁰%:

Նեպոլիտ և նրա ամորֆ տարբերակ ռեվդիմսիլիտ (Ni, Mg)₆ [Si₄ O₁₀] [OH]₈ կամ 3 (NiMg)O·2SiO₂·2H₂O, նիկելի կանաչավուն-երկնագույն հիդրոսիլիկատ. հանդիպում է գարնիերիտի հետ միասին, NiO պարունակութունը մինչև 51⁰%:

Աճճաբերզիտ Ni₃ [AsO₄]₂·8H₂O, օքսիդացման զոնայի վաղ կանաչ գույնի միներալ է, նիկելի արսենիդների համար որոն-

ման լավ նշան է հանդիսանում. NiO պարունակությունը 37⁰/₀:

Այդ միներալներից արդյունաբերական կարևորագույն նշանակություն ունեն պենտլանդիտը և նիկելի ջրային սիլիկատները:

Սովորաբար մշակվում են սուլֆիդային հանքանյութերը Ni 1—2⁰/₀ և սիլիկատային հանքանյութերը Ni 1—1,5⁰/₀ պարունակությամբ. Ni պարունակության ստորին սահմանը կոմպլեքսային պղինձ-նիկելային սուլֆիդային հանքանյութերի համար համարվում է 0,3⁰/₀, իսկ սիլիկատային հանքանյութերի համար՝ 0,6⁰/₀:

ՆԻԿԵԼԻ ՀԱՆՔԱՎԱՅՐԵՐԻ ԳԵՆԵՏԻԿ ՏԻՊԵՐԸ, ՀԱՆՔԱՆՅՈՒԹԵՐԻ ՖՈՐՄԱՅԻՆՆԵՐԸ, ՄԵՏԱԼՈԳԵՆԻԿ ԴԱՐԱՇՐՋԱՆՆԵՐԸ ԵՎ ՄԱՐՁՆԵՐԸ

1. Լիկվացիոն (և մասամբ հիդրոքսերմալ) ծագման պղինձ-նիկելային սուլֆիդային հանքանյութերի ֆորմացիա: Հանքավայրերը կապված են հիմքային մագմայի ապարների՝ նորիտների (Սյոդբերի, Բուշվելդ, Ինսիդվա, նորվեգական հանքավայրերի մեծ մասը), պիրոքսենիտների (Բրիտանական Կոլումբիա), պերիդոտիտների (Մոնչեգորսկի, Պեչենգա), գաբրոնների (նորվեգական և կանադական հանքավայրերի մեծ մասը), գաբրո-դիաբազների (նորիլսկ) կոմպլեքսի հետ: Ինտրուզիաները սովորաբար շերտավորված (պսևդոստրատիֆիկացված) են, որոշ շերտեր հարստացած են սուլֆիդներով՝ պիրոտինով, պենտլանդիտով, խալկոպիրիտով:

Հանքավայրերի մեծ մասի հասակը մինչպալեոզոյան կամ ստորին պալեոզոյան և երբեմն էլ ստորին մեզոզոյան է. գրանքբուլսրը հարում են վահաններին:

Ըստ հանքայնացման բնույթի առանձնացվում են երկու տիպի՝ սուլֆիդային հոծ հանքանյութերի (կուտակային, երակային, բրեկչիանման) և ցանավոր հանքանյութերի հանքավայրերը: Առաջին տիպին են պատկանում Սյոդբերիի կուտակների մասսիվ հանքանյութերը, Ֆրուգ հանքավայրի (Սյոդբերիի շրջան) «օֆֆսետային» (արտամզված) բրեկչիանման հանքանյութերը, Մոնչեգորսկի, Պեչենգայի, Նորիլսկի մասսիվ սուլֆիդների երակները և ոսպնյակները: Այս տիպի շատ հանքավայրեր ունեն, մեծ մասշտաբ իսկ հանքանյութերը հարուստ են՝ Ni պարունակությունը 2—4⁰/₀ և ալիելի է, Cu՝ 1—2,5⁰/₀-ից մինչև 12⁰/₀:

Ցանավոր հանքանյութերի տիպին են պատկանում Մոն-չեգորսկի և Նորիլսկի հատակամերձ և «կախված» կուտակները: Ցանավոր հանքանյութերի կուտակների մակերեսը հասնում է մի քանի քառակուսի կիլոմետրի, 5—10 միլն ձև 60 Ճ կարողությունով: Հանքանյութերը համեմատաբար աղքատ են և հարըստացման կարիք են զգում:

Պղինձ-նիկելային սուլֆիդային հանքանյութերը հանդիսանում են Ni կարևորագույն աղբյուր (համաշխարհային ձուլման 85—90⁰/₁₀), որի հետ զուգընթաց ստացվում են զգալի քանակությամբ Cu և պլատինոիդներ: ՄՍՌՄ-ի այդ տիպի հանքավայրերը մանրամասնորեն ուսումնասիրվել են գեոլոգների մեծ կոլեկտիվի կողմից, որին գլխավորել են Ա. Ե. Ֆերսմանը, Վ. Կ. Կոտուլսկին, Ն. Ա. Ելիսեևը և ուրիշները:

Հանքավայրերի առաջացման պայմանները և միներալների պարագենետիկ ասոցիացիաների զուգակցման օրինաչափությունները վերջերս քննարկվել են Ա. Գ. Բետեխտինի և Ա. Գ. Գենկինի աշխատությունում (1951): Տվյալ աշխատությունը հեղինակները նշում են սուլֆիդային պղինձ-նիկելային հանքանյութերի սերտ կապը ծծմբով, մագնեզիումով հարուստ և կալցիումի օքսիդով համեմատաբար աղքատ հիմքային մագմատիկ ապարների (նորիաների, օլիվինային դիարագների, հազվագեպ հիպերսթենիտների, պերիդոտիտների) հետ:

Հանքանյութերի կազմը խորքային պայմաններում հաստատուն և պարզ է հետևյալ գլխավոր միներալների՝ պիրրոտինի, պենտլանդիտի, խալկոպիրիտի, մագնեատիտի բնորոշ պարագենետիկ ասոցիացիայով: Մակերեսամերձ պայմաններում և փոքր խորություններում տրապների հետ սերտորեն կապված հանքավայրերում այդ ասոցիացիայի վրա վերադրվում է ավելի ցածր ջերմաստիճանային ասոցիացիա՝ կազմված միլերիտից, վիոլաբիտից (FeNi_2S_4), նիկելախառն պիրիտից և այլ սուլֆիդներից, որոնք համեմատաբար ավելի հարստացած են ծծմբով և առաջացել են լուծույթների մեջ ծծմբի կոնցենտրացիայի փոփոխման պայմաններում:

Սուլֆիդային երակների առկայությունը, որոնց մի մասը տեղագրված է հատակամերձ կուտակներից վեր, ինտրուզիվ ապարներում, իսկ մյուս մասը հատակամերձ կուտակներից ցած, ստորագիր ապարներում, ըստ Ա. Գ. Բետեխտինի վկայում է

այն մասին, որ չնայած սուլֆիդային դանդաղածները մայր հալոցքից առանձնացել են դեռևս վաղ մագմատիկ ժամանակաշրջանում, այնուամենայնիվ շատ երկար ժամանակ նրանք պահպանվել են հեղուկ վիճակում:

Սուլֆիդների (հատկապես խալկոսիլիտի և մասամբ պենտլանդիտի) շարժունակութունը հանգում է այն բանին, որ հատակամերձ կուտակների համեմատ՝ այդ նույն կուտակներից ճյուղավորված երակային հանքամարմիններում աճում է Cu և Ni, ինչպես նաև նրանց հետ սերտ կապված Pt, Pd, Rh, Ru գերը:

Սուլֆիդների բյուրեղացման սկզբնական ջերմութունը հազիվ թե գերազանցել է 300° , այսինքն համապատասխանել է միջին ջերմաստիճանային հիդրոթերմալ հանքավայրերի առաջացման պայմաններին: Սակայն սուլֆիդային դանդաղածները պարունակել են ջրի աննշան քանակութուն (սուլֆիդների մեջ պահպանվում է ոչ միայն սլավդիոկլազը, այլև օլիվինը, որը ջրի կամ ջրային գազերի ազդեցության տակ հեշտությամբ վեր է ածվում սերպենտինի), որով նրանք էսպես տարբերվում են գրանիտոիդների հետ կապված տիպիկ հիդրոթերմալ առաջացումներից:

2. Հիդրոթերմալ միջին-ցածր ջերմաստիճանային հանքավայրեր. կապված են գրանիտոիդների հետ: Նիկելի հանքավայրերի այս տիպը երկրորդական գեր է կատարում. սրան են պատկանում՝

ա) Կանադայի և Հանքային լեռների հինգ էլեմենտային ֆորմացիայի (Co—Ni—Bi—Ag—U) հանքավայրերը, որտեղ նիկելը հանքանյութերում գտնվում է արսենիդների ձևով և ստացվում է զուգընթացաբար:

բ) Բիրմայի Բուուզվին բազմամետաղ ֆորմացիայի հանքավայրերը (Pb—Zn հանքանյութերում Ni գտնվում է հերսդորֆիտի՝ Ni As S ձևով):

Բացի գրանից, նիկելը խառնուրդի ձևով առկա է Ֆինլանդիայի Օուտոկուսմյու հանքավայրի կոլչեդանային (սղինձ պարունակող պիրիտ-պիրրոտինային) հանքանյութերում և Բելգիական Կոնգոյի ու Հյուսիսային Ռոդեզիայի ցածր ջերմաստիճանային հիդրոթերմալ հանքավայրերի սղինձ-կորալտային հանքանյութերում:

3. Նիկելի սիլիկատային հանքանյութերի ֆորմացիայի

հաճախվայրեր, որոնք կապված են ուլտրահիմքային ապարների հողմնահարման կեղևի հետ:

Աստ հանքակուտակների մորֆոլոգիայի տարրերվում են՝

ա) Թիկնոցանման կամ տարածական տիպի հանքավայրեր (Կուբա, Բրազիլիա, ՍՍՌՄ) համեմատաբար աղքատ հանքանյութերի հսկայական պաշարներով:

բ) Գծային կամ ճեղքային հանքավայրեր (Նոր Կալեդոնիա) բավական հարուստ հանքանյութերով:

գ) Կոնտակտ-կարտային հանքավայրեր հարուստ հանքանյութերի ռադիոակտիվ կրաքարերի և սերպենտինիտների կոնտակտում (ՍՍՌՄ, Վերին Ուֆալեյ):

Նիկելի սիլիկատային հանքանյութերի ֆորմացիային բաժին է ընկնում մետաղի համաշխարհային ձուլման 10—15%:

Սիլիկատային հանքանյութերի առաջացման պայմաններն առաջին անգամ ուսումնասիրվել են Ա. Պ. Կարպինսկու, իսկ ավելի ուշ Ի. Ի. Գինզբուրգի (1939, 1946—1947) և Բ. Պ. Կրասովի (1945) կողմից:

Առանձնապես արժեքավոր են Ի. Ի. Գինզբուրգի և Նրա աշխատակիցների աշխատությունները, որոնց կողմից ստեղծվել է հողմնահարման կեղևի նիկելային հանքավայրերի առաջացման լավ մշակված թեորիա:

Նիկելի մետալոգենիկ դարաշրջանները և մարդերը (նկ. 31): Նիկելի խոշորագույն հանքավայրերը դասավորված են վահանների սահմաններում և առաջացել են մինչքեմբրյան — ստորին պալեոզոյան ժամանակաշրջանում: Դրանց թվին են պատկանում Կանադական (Սյոգբերգի և Լինն լճի շրջան), Սկանդինավյան (Նորվեգիայի, Ֆինլանդիայի, ՍՍՌՄ-ի հանքավայրեր), Աֆրիկական (Բուշվելդի շրջան) վահանների սուլֆիդային պղինձ-նիկելային հանքանյութերը: Սուլֆիդային հանքանյութերի հանքավայրերի մի մասն առաջացել է վերին պալեոզոյում — ստորին մեզոզոյում, Սիրիական վահանի սահմաններում (Նորիսկ) և Աֆրիկայում (Ինսիդվա):

Նիկելի սիլիկատային հանքանյութերի կուտակումները կապված են ուլտրահիմքային ապարների քայքայման հետ. նրանք հարում են ամենատարբեր հասակի՝ ստորին պալեոզոյի (Բրազիլիա), միջին և վերին պալեոզոյի (Ուրալ), մեզո-կայնոզոյի (Հունաստան, Նոր Կալեդոնիա, Կուբա, Ինդոնեզիա) ծավալներում ստրուկտուրաներին:

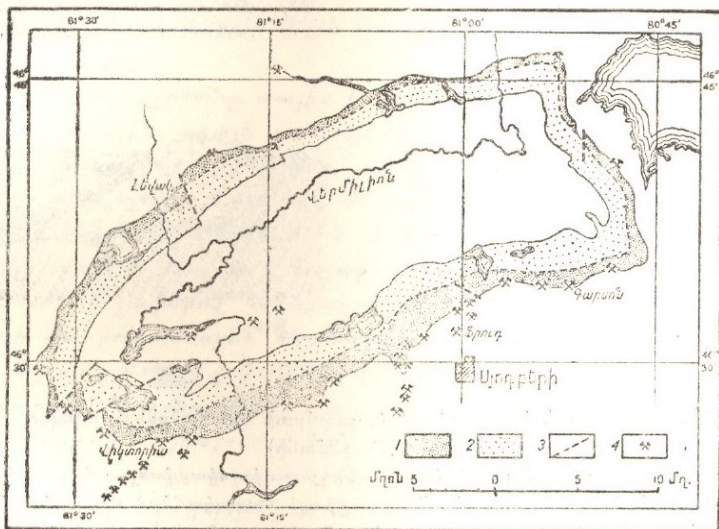


Նկ. 31. Աշխարհի Գիկեյի և կոբալտի խոշորագույն հանքավայրեր:

ՆԻԿՆԼԻ ՀԱՆՔԱՎԱՅՐԵՐԻ ՆԿԱՐԱԳՐՈՒԹՅՈՒՆԸ

Սյոգբերի. կանադայի հակայական նիկելարեր մի շրջան է, որտեղ հայտնի են 50-ից ավելի առանձին հանքավայրեր: Մշակումն սկսված է 1885 թ.:

Շրջանը կազմված է Սյոգբերի լուպուլիտից, որը ներդրվել է գանգվածի տակ տեղադրված միջին հուրոնի շերտախմբի (ավազաքարեր, կվարցիտներ, ամֆիբոլիտներ և այլն) և ինտրուզիվի ծածկում գտնվող վերին հուրոնի անայմիկյան սերիայի (կոնգլոմերատներ, տուֆեր, թերթաքարեր, ավազաքարեր) միջև (նկ. 32): Այդ բոլոր ապարներն առաջացնում են հյուսիսարևելյան տարածում ունեցող փոքրաթեք սինկլինալ և գրավում են մոտ 1500 կմ² (56 × 26 կմ) տարածություն:



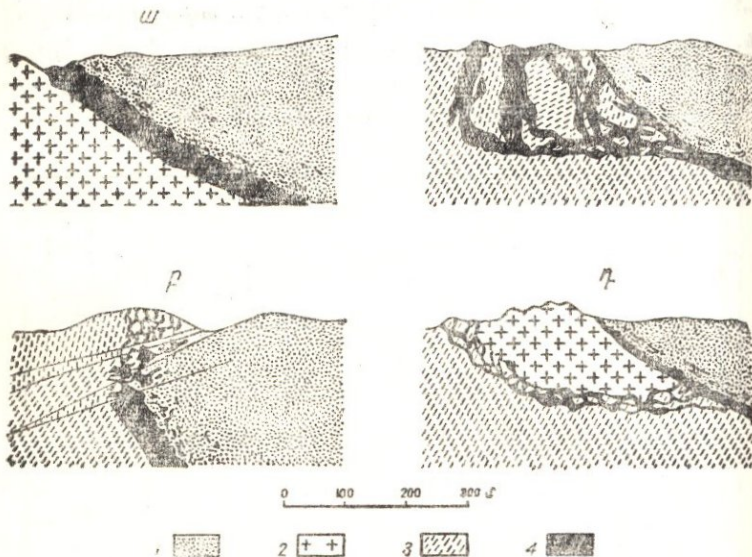
Նկ. 32. Սյոգբերի շրջանի գեոլոգիական քարտեզ
(բառ Ալկոկի)

1—սորիտ, 2—միկրոպեգմատիտ, 3—վարնետվածքներ, 4—հանքեր:

Սյոգբերի լուպուլիտի կարողությունը հասնում է մինչև 3 կմ. Նա վարից վեր կազմված է նորիտից, պեգմատոիդային նորիտից և միկրոպեգմատիտից, որոնք հարթագծում հանդես են գալիս կոնցենտրիկ օղակների ձևով և իրենցից ներկայացնում

են միևնույն ինտրուզիվի ածանցյալները: Այլևի ուշ ներդրվել են գրանիտի և կվարցային դիորիտի ինտրուզիաներ, ապա կատարվել է ապարների բրեկչիացում և հետագա հանքայնացում:

Հանքավայրերի մեջ առանձնացնում են երկու տիպ՝ հատակամերձ կամ ծայրամասային և արտամզված կուտակներ: Հատակամերձ հանքամարմինները հարում են գլխավորապես լոպոլիտի հարավային կոնտակտին և ունեն շերտանման ու սոսպնյականման կուտակների ձև (նկ. 33). գրանք մինչև 50—60 մ կարողությամբ, ըստ տարածման հետամտված են մինչև



Նկ. 33. Սյոդբերի ինտրուզիայի ծայրամասի կտրվածքների տիպերը (ըստ Ա. Կոլեմանի)

ա—եզրային հանքակուտակներ, բ—նույնը դիսլոկացված, գ և դ—երակաձև հանքակուտակներ ինտրուզիայի հատակամերձ մասում.

1—նորիտ, 2—հնազույն գրանիտ, 3—հնազույն կանաչքարային ապարներ, 4—հանքանյութեր:

1 կմ, ըստ խորության 500—700 մինչև 900 մ: Ամենախոշոր հանքավայրերը (Կրեյտոն, Գարսոն, Լեակ և այլն) հարում են ճմլման և այլ խախտումների զոնաներին: Հանքանյութերը գլխավորապես մասսիվ են, հաճախ ուղեկցվում են հանքային բրեկչիաներով և սուլֆիդների ցանով:

Արտամզված կուտակներն իրենցից ներկայացնում են նորիտային ինտրուզիայից անջատված կվարցային դիորիտի կամ

նորիտի դայիածե մարմիններ սուլֆիդների ներփակումներով: Այդ դայիաները գտնվում են ինտրուզիայից 3 կմ հեռավորության վրա, սակայն խորքում, ըստ երևույթին, միանում են նրա հետ: Հանքամարմինները խոզովակածե (Վիկտորիա) և ժապավենածե են (Ֆրուդ). նրանց երկարությունը հասնում է 2 կմ, կարողությունը մինչև 100 մ, իսկ դեպի խորքը հետամտվում են մինչև 1 կմ:

Իոլոր հանքավայրերի հանքանյութերի միներալոգիական կազմը միատեսակ է: Գլխավոր հանքային միներալներն են՝ պիրրոտինը, պենտլանդիտը և խալկոպիրիտը, որոնց խառնվում են մագնետիտ, միլլերիտ, նիկելի և կորալտի արսենիդներ, Pt և Pd միներալներ (սպերիլիտ $PtAs_2$, ստիրիոպալլադինիտ Pd_3Sb և այլն), հազվագեղ սֆալերիտ և մոլիբդենիտ: Հանքանյութերը պարունակում են 2—4% Ni, 1—2,5% Cu, 0,08% Co, սովորաբար Pt և Pd դ/տ տասնորդական մասեր և քիչ Ag ու Au:

Սյոդբերի շրջանը տալիս է Ni համաշխարհային հանույթի 80% -ից ավելին, զգալի քանակի Cu, Pt և Pd: Այսպես, 1940թ. հանույթը կազմել է 125 հազ. տ Ni, 150 հազ. տ Cu, 7,5 տ Pt+Pd, 2,5 տ Au, 75 տ Ag, 40 տ Se, 2 տ Te: Հանքանյութերի պաշարները կազմում են 200 մլն. տ, իսկ մետաղական նիկելի՝ մոտ 5 մլն. տ: Պաշարների երկու երրորդը բաժին է ընկնում իր չափերով հսկայական Ֆրուդ հանքավայրին, որն ավելի մանրամասնորեն նկարագրվում է ստորև:

Ֆրուդ հանքավայրի հիմնական հանքամարմինը ձգված է ինտրուզիվի կոնտակտին զուգահեռ և տեղադրված է կվարցային դիորիտի դայիայում: Հանքամարմինը 60° անկյան տակ ընկնում է դեպի ինտրուզիվը, խորքում նրա անկումը դառնում է ավելի փոքրաթեք և նա միանում է ինտրուզիվի հետ. հանքամարմնի երկարությունը 2 կմ է, կարողությունը մինչև 100 մ: Սուլֆիդները լցնում են բրեկչիացած զոնայի և մասամբ էլ պարունակող ապարների ձեղքվածքները և շրջակալում են դիորիտի բեկորները, առաջացնելով բրեկչիանման ու մասսիվ հանքանյութեր: Նիկելի պարունակությունը հանքանյութում կազմում է 2,65%, Cu՝ 1,4%: Հետաքրքրական է նշել, որ հանքավայրի խոր հորիզոններում խիստ աճում է Cu (մինչև 12%), Pt+Pd (մինչև 50 գ/տ) պարունակությունը:

Սյոդբերի շրջանի հանքավայրերի ծագումը լրիվ պարզա-

բանված չէ: Հետազոտողներից ոմանք այն համարում են լիկվացիոն, նշելով, որ սուլֆիդային հանքանյութերը նորիաներից ավելի երիտասարդ են և ներգրվել են կվարցային դիորիտների հետ միաժամանակ, որոնց հետ նրանք սերտորեն կապված են: Բրեկչիացած զոնաները, որոնց երկայնքով անդադրված են հանքանյութերը, առաջացել են սիլիկատների բյուրեղացումից հետո, սակայն մինչ բրեկչիաների բեկորները ցեմենտացնող սուլֆիդների բյուրեղացումը:

Այլ հետազոտողներ հակված են որոշ հանքավայրեր (Ֆրուգ, Գարսոն) համարել Նիդրոթերմալ, որպես իրենց տեսակետի ապացույց նրանք բերում են հանքանյութերում և պարունակող ապարներում կվարցի, քլորիտի լայն զարգացումը և նորիտի ինտրուզիայի ներգրման ու հանքայնացման միջև եղած ժամանակի զգալի խզման վաստը (նորիտի ինտրուզիայի ձևավորման և սուլֆիդների առաջացման միջև բնկած ժամանակամիջոցում տեղի է ունեցել կվարցային դիորիտի և գրանիտի ներգրում):

Պեչենգայի (Պետսամո) շրջանի հանքավայրերը: Այս շրջանում ամենախոշոր հանքավայրն է Կաուլատունտուրին, կամ Կաուլան: Հանքավայրը գտնվում է Լինոխոմարի նավահանգրստից 90 կմ դեպի հարավ (Կուլա թերակղզու Կյուսիս-արևմտյան մաս): Սուլֆիդային հանքայնացման նշանները բեկորներում առաջին անգամ հայտնաբերվել են 1921 թ. Ֆինն ուսանող Տորնկվիստի կողմից: 1929 թ. հայտնաբերվել են արմատական հանքանյութերը և սկսվել են հետախուզական աշխատանքները, իսկ 1934 թ.՝ շահագործումը: Սակայն հանքավայրը հետախուզվել և հաստատվել է որպես խոշոր օբյեկտ սովետական զենուղների կողմից 1940 թ. հետո, երբ շրջանը վերամիացվեց Սովետական Միությանը:

Շրջանը կազմված է պրոտերոզոյի հասակի (?) ֆիլիտների և դիարազների հզոր հաստվածքից, որն ավելի քան 45 կմ ձրգվում է լայնակի ուղղությամբ և բավական զառիթամի՝ 45-ից մինչև 60-70° անկյան տակ ընկնում է դեպի հարավ:

Վերջին տարիներս այդ հաստվածքի նստվածքային տպարների ենթաշերտերում գտնվել է ֆաունա: Այդ ֆաունան նախապես որոշված է որպես դեոնյան, այդ իսկ պատճառով ամբողջ հաստվածքի պրոտերոզոյան հասակը այժմ հանդիսանում է կասկածելի: Այդ հաստվածքի մեջ ներգրվել են ուլտրահիմ-

քային և հիմքային ապարների՝ պերիդոտիտների, պիրոքսենիտների, գաբբրոների և նորիտների շերտաձև մարմիններ (սիլլեր)։ Սիլլերի կարողութունը 100—200 մետր է, նրանք տեղադրված են պարունակող ապարների հետ ներդաշնակ և նույնպես գառիթափ ընկնում են գեպի հարավ։ Այդ ինտրուզիվների ապարները մանրահատիկ են, ստրատիֆիկացված չեն, հերթադաշտում են էֆուզիվ տեսքի դիարազների հետ։ Այս բոլոր հատկանիշները խոսում են նշված ինտրուզիաների ստեղծման համեմատաբար փոքր խորութունների մասին։

Կաուլան և մի շարք այլ նույնատիպ հանքավայրեր տարածականորեն հարում են ուլտրահիմքային և հիմքային ապարների ինտրուզիաներին։ Այստեղ հայտնի են հանքայնացման հետևյալ տիպերը՝ ա) սուլֆիդների փոքր բներ և ցան պերիդոտիտներում և պիրոքսենիտներում, բ) «մոխրագույն հանքանյութեր» ուլտրահիմքային ապարների հաշվին առաջացած սերպենտինիտներում, որոնք տեղադրված են ճմլման և բրեկչիացման զոնաների երկայնքով, բավական մեծ տարածում ունեն և ներկայացնում են սուլֆիդների շատ մանր ցաներով ներծծված սերպենտինիտ, գ) ամենահարուստ հոծ հանքանյութեր, որոնք հարում են մի տեկտոնական զոնայի, որը ընդհանուր առմամբ նույնպես ունի լայնակի տարածում, 30—40° անկյան տակ ընկնում է գեպի հարավ և այդ սուր անկյան տակ կտրում է ֆելիտները, դիարազները և սիլլերը։ Ըստ տարածման մոխրագույն խիտ ցանավոր և հոծ հանքանյութերը հետամտված են համարյա 2 կմ։ Այն տեղամասերում, որտեղ խախտման զոնան անցնում է մոխրագույն հանքանյութերի երկայնքով, վերջինները բեկորատված և ցեմենտացված են հոծ հանքանյութերով։

Հանքամարմնի կարողութունը տատանվում է 1-ից մինչև 50 մ սահմաններում, ըստ խորության նա հետամտված է ավելի քան 300 մ։ Հանքայնացում պարունակող ֆելիտները ներթափանցված են սուլֆիդների բարակ երակիկներով (հանքանյութերի ցանցավոր տիպ)։

Կաուլա հանքավայրի հանքանյութերի կազմը բնորոշ է սուլֆիդային սլիմ-նիկելային հանքավայրերի համար (պիրրոտին, պենտլանդիտ, խալկոպիրիտ, մագնետիտ, պիրիտ, Co և Ni արսենիդների, Pt արսենիդների և սուլֆիդների խառնուրդով)։ Հանքանյութերը պարունակում են 1-ից մինչև 4—5% Ni, մոտավորապես նույնքան էլ Cu ինչպես նաև Co, Pt, Pd, Au, Ag, Se, Te որոշ խառնուրդ։

Հանքավայրն ուսումնասիրող գեոլոգները և մասնավորապես Վ. Ի. Բիրյուկովը առանձնացնում են Կաուլա հանքավայրի հանքայնացման երեք էտապ: 1-ին էտապում առաջացել են սուլֆիդները՝ սերպենտինիտների պիրրոտինը և պենտլանդիտը, այսինքն մոխրագույն հանքանյութերը, 2-րդ էտապում հոծ հանքանյութերը, այսինքն խախտման զոնայի սուլֆիդները և 3-րդ էտապում, որը թույլ է գրասերված, առաջին երկու էտապների հանքանյութերը հատող, սուլֆիդներ պարունակող, կվարցկարբոնատային երակիկները: Հանքավայրն ուսումնասիրող ֆին գեոլոգները, մասնավորապես Վեյրինենը, այն համարում են լիկվացիոն, մագմատիկ, իսկ հոծ հանքանյութերը դիտում են որպես խախտման զոնայի երկայնքով հանքային մագմայի ներդրման արդյունք, մագմա, որը անջատվել է խորքում: Ծագման մագմատիկ տեսակետը պաշտպանում է նաև սովետական հայտնի գեոլոգ Վ. Կ. Կոտուլսկին: Մյուս կողմից պրոֆեսոր Ն. Ա. Ելիսենն առաջադրում է ծագման հիդրոթերմալ թերիան, հիմնվելով գլխավորապես հանքանյութերի մոտերքում քլորիտի և էպիդոտի զարգացման, սուլֆիդների անջատումների շուրջը կվարցի առկայության և ցանցավոր տիպի հանքանյութերի նկատմամբ կատարած դիտումների վրա: Ելիսենի կարծիքով ֆիլլիտներում զարգացած հանքային բարակ երակիկները հանքային մագմայի ներդրման արդյունք չեն կարող լինել: Բարակ ճեղքվածքներով կարող էին շրջանառություն կատարել միայն նոսրացած հիդրոթերմալ լուծույթները:

Հանքավայրերի Մոնչեգորսկի խումբը (Կուլա թերակղզի): Նիկելի սուլֆիդային հանքանյութերի նշաններն առաջին անգամ հայտնաբերվել են 1929 թ. ապրիլի 1-ին Ս. Ե. Ֆերսմանի արշավախմբի կողմից: Աշխատանքները շարունակվել են նաև 1934—35 թթ., երբ հայտնաբերվել են հարուստ մասսիվ հանքանյութերը: Ներկայումս Մոնչեգորսկում կատարվում է հանքավայրերի մշակում և նիկելի ձուլում:

Շրջանի հնագույն ապարներն են գաբրոյով հատված արխեյան գնեյաները: Հանքայնացումը հարում է ավելի երիտասարդ պրոտերոզոյան (?) հաստվածքին, որը ներկայացված է ֆիլլիտներով, գիարազներով և Պեչենգայի շրջանից ձգվում է մինչև Մոնչեգորսկ: Այդ հաստվածքը հատված է ուլտրահիմքային կազմի ինտրուզիաներով: Վերջինները Պեչենգայի ինտրուզիաներից տարբերվում են խոշորահատիկությամբ և լավ ստրա-

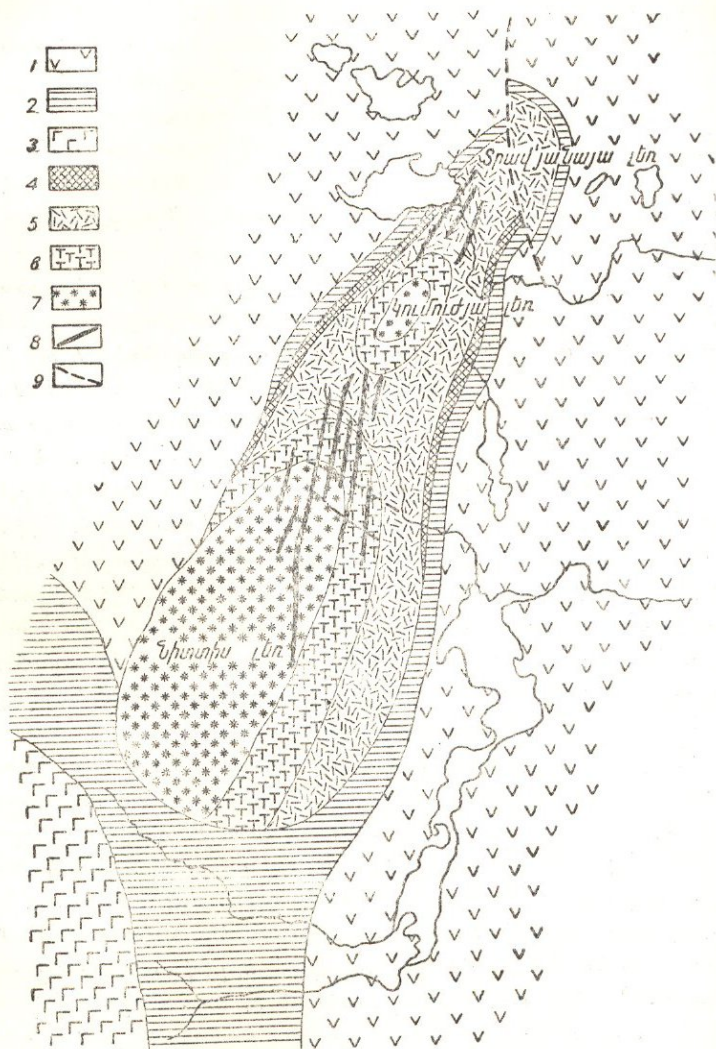
տիֆլիկացված են, որը վկայում է սառեցման ավելի խոր պայմանների մասին:

Կարելի է առանձնացնել երկու խոշոր լակկոիտանման հանքաքեր ինտրուզիա: Առաջինը կազմված է ուլտրահիմքային սպարներից, գլխավորապես, պերիդոտիտներից և պիրոքսենիտներից: Նա կազմում է Սոպչա, Նիտտիս, Կումուժյա և Տրավյանայա տեղամասերը: Երկրորդ ինտրուզիան ներկայացված է նորիտներով ու դիորիտներով և կազմում է Նյուդ և Պոազ տեղամասերը:

Հայտնի են առաջին ինտրուզիայի, այսինքն պերիդոտիտների և պիրոքսենիտների հետ կապված հանքայնացման երեք տիպ: Առաջին տիպը ներկայացնում է սուլֆիդներից և օլիվինից կազմված խիտ ցանավոր հանքանյութերի հատակամերձ կուտակներ և այսպես կոչվող «շերտեր»: Հանքայնացման այս տիպը տեղավորված է ինտրուզիայի ամենաստորին մասում: Հանքանյութերն առաջացել են լիկվացիայի և սուլֆիդների կաթիլների դեպի հատակամերձ մասը խորասուզվելու հետևանքով: Այդ պրոցեսը բարդացել է գրավիտացիոն դիֆերենցիացիայով՝ օլիվինի վաղ բյուրեղիկների խորասուզմամբ դեպի ստորին հորիզոնները և սուլֆիդների հետ նրանց կուտակումով:

Հատակամերձ կուտակներից ավելի վեր, խոշորահատիկ գաբբրոնների մեջ հայտնի է խալկոպիրիտի ցանով ներկայացված հանքայնացման երկրորդ տիպը:

Վերջապես, ամենավերևում, Նիտտիս և Կումուժյա տեղամասերում, ձեղքերում հայտնի է հանքայնացման երրորդ տիպը, որը ներկայացված է մասսիվ սուլֆիդների հանքային երակներով (նկ. 34): Այս վերջին տիպը արդյունաբերական խոշոր հետաքրքրություն է ներկայացնում. 1,5 մ կարողություն ունեցող այս երակներն ըստ տարածման հետամտվում են հարյուրավոր մետրերից մինչև 1—2 կմ և լավ պահպանվում են խորքում: Նրանց անկումը զառիթափ է, զալրանդները կտրուկ, կողային ապարներում հիդրոթերմալ փոփոխություններ ամենևին չեն նկատվում: Երակները դիտվում են որպես ինյեկցիաներ, այսինքն խորքային օջախներից հանքային սուլֆիդային մագմայի ներդրման արդյունք: Ըստ հանքանյութի կազմի նրանց մի մասը հիմնականում պիրրոտինային է, մյուսը կազմված է գլխավորապես խալկոպիրիտից, որոշ երակներ ներկայացված են մագնետիտով, իսկ ամենից ավելի բնորոշ են խառը



Նկ. 34. Նիտախ--Կումուժյա լեռների գեոլոգիական քարտեզ
 1—բրտախալին, բրտախ-գրանատալին պարազնեյաներ, 2—գիորիտ-
 ներ, շիւրիտ-գնեյաներ, 3—գաբրոններ, 4—կվարց-բրտախալին նո-
 բրաներ, 5—պերիդոտիաներ, 6—օլիվինալին պիրոքսենիտներ, 7—պիր-
 ոքսենիտներ, 8—սուլֆիդալին հանքանյութեր, 9—վարնետվածքներ,
 ճմլման զոնաներ:

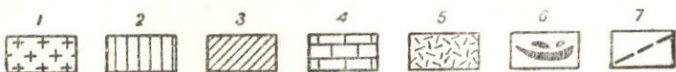
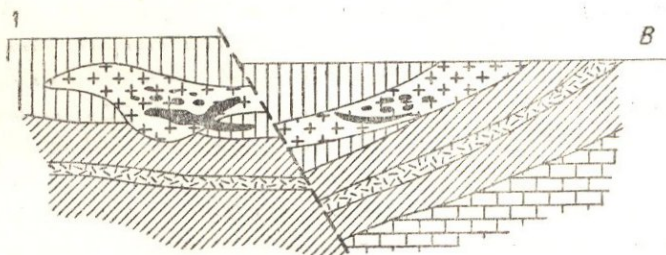
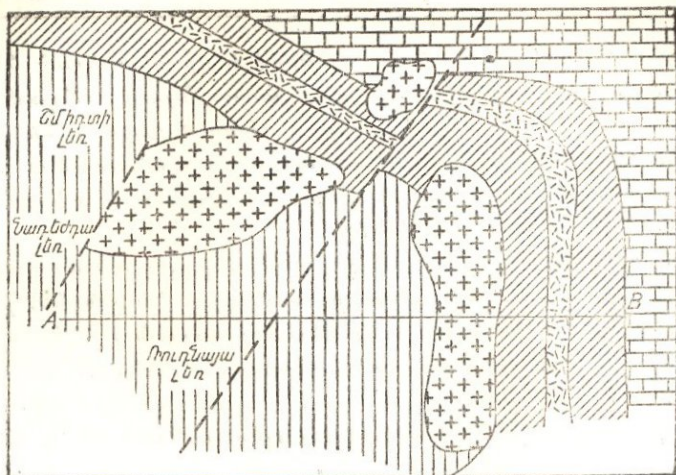
կազմի, պիլըրոտին—խալիպուրիտ — պենտլանդիտ — մագնետիտ պարունակող հանքանյութերի երակները:

Ինչ վերաբերվում է նորիաներով և գիորիտներով ներկայացված երկրորդ ինտրուզիային, ապա Նյուդ տեղամասում գիորիտային ինտրուզիայի ստորին մասում հայտնի են հատկամերձ կուտակներ: Այստեղ ցանավոր հանքանյութերը բացակայում են, սակայն ավելի վեր, նորիտներում, գիտվում են սուլֆիդների բարակ երակիկներ:

Մոնչեգորսկի հանքավայրերի միներալոգիական կազմը և մետաղների պարունակությունը համարյա նույնն են, ինչ որ Սյոդբերիում և Պեչենգայում: Հետաքրքրական է նշել, որ այդ հանքավայրում առանձնապես պարզորոշ սահմանվում են պենտլանդիտի երկու գեներացիան՝ ավելի վաղ պենտլանդիտ 34⁰/_{Ni} պարունակությամբ և ավելի ուշ պենտլանդիտ 22⁰/_{Ni} պարունակությամբ: Նիկելով հարուստ պենտլանդիտի վաղ գենեցիան ներկայացված է լավ տեսանելի խոշոր պորֆիրային ցաներով:

Նորիլսկի հանքավայրերը գտնվում են Միրիբական վահանի սահմաններում, Ենիսեյ գետի ստորին հոսանքներում, նրա աջ վտակ Պյասինա գետի ավազանում: Շրջանը կազմված է սիլուրի ու գլանի կրաքարերից և թերթաքարերից, որոնք տրանսգրեսիվ կերպով ծածկված են պերմ-կարբոնի տունգուսկայի էֆուզիվ նստվածքային ածխաբեր շերտախմբով (ավազաքարեր, թերթաքարեր, էֆուզիվ գիարազներ): Տունգուսկայի շերտախմբի մեջ ներգրվել են դարբրո-գիարազների սիլլային կուտակներ և գալիաներ, որոնց հետ տարածականորեն և գենետիկորեն սերտորեն կապված են սուլֆիդային, պղինձ-նիկելային հանքավայրերը (նկ. 35):

Հիմքային ապարների՝ արապների ժայթքումը և ներգրումը տեղի են ունեցել հինգ ֆազում, որոնց մեջ գլխավորը ներգրման երրորդ (վերին հերցինյան) ֆազն է, որը ներկայացված է դարբրո-գիարազների լավ գիֆերենցված (ստրատիֆիկացված) ինտրուզիաներով: Վերից վար ինտրուզիվների կտրվածքը հետևյալն է՝ դարբրո և դաբրո-գիորիտներ, օլիվինազուրկ դաբրո-գիարազներ, օլիվինային և օլիվին-բիտտիտային դաբրո-գիարազներ, պիկրիտային դարբրո-գիարազներ և պիկրիտներ, տակսիտային և կոնտակտային դարբրո-գիարազներ: Սուլֆիդային ցաներն սկսվում են օլիվինային դարբրո-գիար-



Նկ. 35. Նորիսկի հանրավայրի գեոլոգիական քարտեզ և կտրվածք
 1— գաբրրո-դիարազների ինտրուզիա, 2— ծածկող լավաներ, 3— ավազաբարձերթաբարային ածխաբեր շերտախումբ (պերմ-կարբոն),
 4— սելուրի նստվածքներ, 5— դիարազ տիտանային պիրոքսենով,
 6 — սուլֆիդային հանքանյութեր, 7— վարնետվածքներ:

բազների հորիզոնում և ուժեղանում են օլիվին-բիոտիտային գաբրրո-դիարազներում. արդյունաբերական հանքայնացումը կենտրոնացված է կտրվածքի ստորին մասերում պիկրիտային գաբրրո-դիարազների, պիկրիտների մեջ և ավելի ցած:

Նորիւսկ 1 հանքավայրը (Հանքային լեռ) հայտնաբերված է 1920 թ. և ներկայումս ՍՍՌՄ-ում համարվում է խոշորագույնը, փոքր-ինչ զիջելով աշխարհում այդ տիպի ամենախոշոր Ֆրուգ հանքավայրին Սյոդբերգի շրջանում:

Այստեղ տունգուսկայի ածխաբեր նստվածքների և էֆուզիվների կոնտակտի երկայնքով ներդրվել է գարբրո-դիարազների խոշոր շերտանման մի ինտրուզիա, մոտ 8 կմ երկարությամբ, մինչև 2—2,5 կմ լայնությամբ (ընդհանուր մակերեսը 10 քառ.կմ) և 40-ից մինչև 240 մ կարողությամբ:

Հանքավայրը ներկայացնում է ստրատիֆիկացված բարդ ինտրուզիվ կուտակ, որի ստորին հորիզոնի տաքսիտային գարբրո-դիարազներում տեղադրված է արդյունաբերական ցանավոր հանքայնացումը:

Առանձնացվում են հանքանյութերի հետևյալ հիմնական տիպերը.

1. Լիկվացիոն ցանավոր հանքանյութեր ինտրուզիվի հիմքում (ամբողջ պաշարների 99⁰/₀),

2. Ինյեկցիոն հանքանյութեր ստորադիր շերտախմբերի մեջ,

3. Հոծ սուլֆիդային երակներ (փոքրաթեք ու զառիթափ) և շիրներ կոնտակտային գարբրո-դիարազների (ինտրուզիայի թրման գոնայում) և ստորադիր ապարների մեջ:

Հանքանյութերի առաջին՝ լիկվացիոն տիպում հանքամարմին վերին մասերում հանդես է գալիս պիրիտի և խալկոպիրիտի նոսր ցան, փոքր-ինչ ցած՝ պիրրոտին, իսկ նրա ամենաստորին մասում սուլֆիդների (պիրրոտինի, պենտլանդիտի, խալկոպիրիտի) արդյունաբերական նշանակութուն ունեցող ինտենսիվ ցան. արդյունաբերական ցանավոր հանքանյութերի գոնայի կարողությունը տատանվում է 0-ից մինչև 130 մ, միջին հաշվով կազմելով 22 մ:

Հանքանյութերի երկրորդ (ինյեկցիոն) տիպը ներկայացված է անհավասարաչափ ցանավոր հանքայնացմամբ գարբրո-դիարազների տակ տեղադրված տունգուսկայի շերտախմբի ապարներում և առաջացնում է 2—4 մ ոչ ավելի կարողությամբ կոնտակտային օրեոլ: Հանքանյութերը պարունակում են՝ խալկոպիրիտ, միլլերիտ, պիրրոտին և պենտլանդիտ: Սուլֆիդների կաթիլանման անջատումներում խալկոպիրիտը մշտապես դասավորվում է վերևում, իսկ պիրրոտինը՝ կաթիլի ստորին մասում,

որը հաստատում է հեղուկ ստադիայում սուլֆիդների ըստ տե-
ռակարար կշռի բաժանումը:

Հանքանյութերի երրորդ (երակային) տիպը ներկայացված է մասսիվ հարուստ հանքանյութերով, ընդ որում զտոթթափ երակներում գիտվում է զոնալություն՝ վերևում պիրիտ, խալ-
կոպիրիտ և միլլերիտ, միջին դոնայում խալկոպիրիտ, պիրրո-
տին և պենտլանդիտ, ներքևում խալկոպիրիտ և պենտլանդիտ:
Հիմնականում պիրրոտինից կազմված փոքրաթեք երակների
թևերում աճում է խալկոպիրիտի, բոտնիտի և կուրանիտի դերը:

Երակային տիպի հանքանյութերը լայնորեն տարածված են Մեդվեժի առվակ տեղամասում, որտեղ նրանք կազմում են 1 կմ երկարությամբ և մինչև 500 մ լայնությամբ հանքադաշտ:

Նորիլսկի հանքանյութերի միներալոգիական կազմի մեջ, այդ տիպի համար բնորոշ սուլֆիդների՝ պիրրոտինի, պենտլան-
դիտի և խալկոպիրիտի հետ միասին նկատելի դեր են կատարում մագնետիտը, պիրիտը, միլլերիտը, տեղ-տեղ բոտնիտը և կուրա-
նիտը: Հանքանյութերում հանդիպում են նաև սպերիլիտ, կու-
պերիտ, բրադգիտ ((Pt, Pd, Ni) S), պալլադիումային պլատին,
տելուրային ոսկի, գալենիտ, սֆալերիտ և այլ միներալներ:

Սահմանված են գլխավոր սուլֆիդների երկու զննեցիկային՝
1) պիրրոտին₁, պենտլանդիտի տրոսմամբ, պիրրոտին₂ (քիչ քա-
նակությամբ) խալկոպիրիտի և պենտլանդիտի հետ միասին: Սալ-
կոպիրիտ₁ լայն տարածում ունի և զուգակցվում է պիրրոտին₁
հետ. խալկոպիրիտ₂ ըստ երևույթին հիդրոթերմալ է, զուգակց-
վում է գալենիտի և սֆալերիտի հետ երակիկներում:

2) Պենտլանդիտ₁ կլորավուն կամ իզոմետրիկ հատիկների,
կամ պիրրոտինի և խալկոպիրիտի սահմանում երիզների ձևով
հանդիսանում է գլխավոր նիկելաբեր միներալը. պենտլանդիտ₂
հանդիսանում է Ni պարունակող պիրրոտինի պինդ լուծույթի
տրոսման արգյունք:

Պլատինոթիդները կապված են գլխավորապես խալկոպիրիտի
և պենտլանդիտի վաղ զննեցիակաների հետ:

Երակային տիպի հարուստ հանքանյութերում մետաղների
պարունակությունը հետևյալն է՝ Ni 4—8%, Cu 4,5—26%, Co
0,08%, Pt+Pd 45—340 գ/տ: Ցանավոր հանքանյութերը միջին
հաշվով պարունակում են 0,35% Ni, 0,5% Cu, 0,01% Co և
6—7 գ/տ Pt+Pd:

Օքսիդացման զոնայում պղինձը և նիկելը տարավացված

են և պլատինոիդների պարունակութիւնը հասնում է 1—1,75 կգ/տ:

Նորիլսկ II հանքավայրը: Հանքայնացումը հարում է գարբրո-դիարազի գալիանման մարմնի պակաս կողին, այդ մարմինը ձգված է հյուսիս-արևելյան ուղղութիւնով և 17-ից մինչև 65° անկյան տակ ընկնում է դեպի հարավ-արևելք: Դայկայի երկարութիւնը 6 կմ է, կարողութիւնը՝ 40—120 մ:

Հանքայնացումը ցանափոր է, փոքր-ինչ ավելի ազատ, քան Նորիլսկ I, ունի նույն բնույթն ու կազմը և նույնպես տեղագրված է պիկրիտների ու տաքսիտային գարբրո-դիարազների մեջ:

Նորիլսկի հանքավայրերի ծագման վերաբերյալ գոյութիւն ունի երկու տեսակետ՝ մագմատիկ և հիդրոթերմալ, հետազոտողների մեծ մասը Նորիլսկի հանքավայրերը դասում է մագմատիկ (լիկվացիոն) շարքը:

Հետազոտողներից ոմանք սուլֆիդային պղինձ-նիկելային հանքավայրերի մեջ առանձնացնում են հանքառաջացման մի քանի (սովորաբար երեք) էտապ՝ 1) ցանափոր հանքանյութերի առաջացում (ուլտրահիմքային ապարները սուլֆիդներով մետասոմատիկորեն տեղակալվելու հետևանքով ընդ որում սուլֆիդները ներմուծվում են էմանացիաների կողմից, որոնք անջատվել են սուլֆիդային մագմայից մինչ նրա ներգրվելը), 2) սուլֆիդային մագմայի ներգրում տեկտոնական զոնաներով, 3) սուլֆիդների դուրս բերում հիդրոթերմալ լուծույթներով խորքային օջախներից: Գեոլոգներից շատերը հակում ունեն վերջին պրոցեսին վերագրելու գլխավոր նշանակութիւնը, հանքանյութերի հիդրոթերմալ ծագման մասին վիպյող փաստեր բերելով՝ հանքանյութերի մեջ կարրոնատների և կվարցի առկայութիւնը, ապարների բեկորների թերմալ փոփոխութիւնների բացակայութիւնը և հանքանյութերի հարումը խախտման զոնաներին:

Սակայն, ինչպես այդ հետևում է նշված նկարագրութիւնից և նկատառուներին, որոնք շարագրված են գենետիկ տիպի ընդհանուր նկարագրման ժամանակ, հանքայնացման էտապների առանձնացումը անհրաժեշտութիւն չի ներկայացնում, քանի որ ցանափոր և երականման մարմինները փոխադարձաբար շատ պերա կապված և համարյա միաժամանակյա գոյացումներ են, նրանք առաջացել են միայն տարբեր ստրուկտուրային պայ-

մաններում: Հատակամերձ կուտակները և երականման մարմինների ցանավոր հանքանյութերի միներալոգիական կազմի մեջ եղած տարբերությունները կապված են սուլֆիդների տարբեր շարժունակության հետ (հատակամերձ կուտակներից երակների մեջ են անցնում առաջին հերթին ամենաշարժունակները՝ խալկոպիրիտը և պենտլանդիտը):

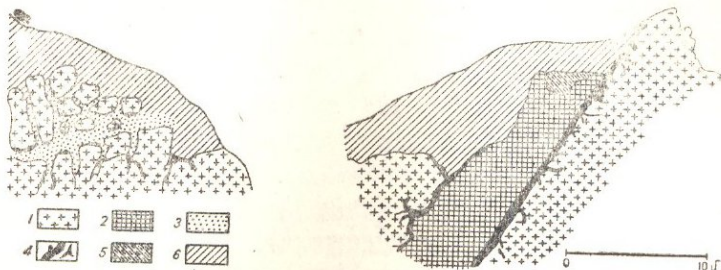
Սուլֆիդային պղինձ-նիկելային հանքանյութերի առաջացման ջերմությունը բարձր չէ (նույն կարգի է, ինչպես և միջին ջերմաստիճանային հիդրոթերմալ հանքավայրերի համար)¹, սակայն լիկվացիայի ենթարկված սուլֆիդային զանգվածներն այդ ջերմաստիճանի պայմաններում հեղուկ ու շարժունակ են եղել և հիդրոթերմալ լուծույթներից տարրերվել միայն ջրի աննշան դերով: Վերջին հանգամանքով են բացատրվում հիդրոթերմալ հանքամերձ փոփոխությունների շատ թույլ արտահայտումը, ինչպես նաև մասսիվ հանքանյութերի կոնտակտներում նույնիսկ ջրային լուծույթներով այնպիսի հեշտ քայքայվող միներալի բավ պահպանումը և թարմությունը, ինչպիսին է օլիվինը:

Նոր կալեդոնի ակվու սիլիկատային նիկելի հանքանյութի հանքավայրերը հայտնաբերվել են 1864 թ. գեոլոգ Գարնիեյի կողմից: Կղզու զգալի մասը (մոտ 1/3, 6—7 հազ. կմ²) ներկայացված է ուլտրահիմքային սերպենտինացված ապարների խոշոր զանգվածներով, որոնք երբորդական ժամանակաշրջանում ենթարկվել են լատերիտային հողմնահարման պրոցեսների (Chetelat, 1947):

Հողմնահարման կեղևի վերին հորիզոնները ներկայացված են երկաթային լատերիտներով ($25-51\% \text{ Fe}$, $0,16-0,30$ -ից մինչև $1,5-3\% \text{ NiO} + \text{CoO}$, մինչև $5\% \text{ Cr}_2\text{O}_3$), որոնք խորքում փոխարինվում են գարնիեիտ-սերպենտինիտային զոնայով. գարնիեիտն այստեղ հանդիսանում է բրեկչիայի ցեմենտը կամ առաջացնում է երակիկներ և մինչև 1 մ կարողություն երակներ, որոնք ըստ խորություն հետամտված են $50-100$, երբեմն մինչև 150 մ (նկ. 36):

¹ Սուլֆիդներն անջատվում են ամենավերջում և ցանավոր հանքանյութերում պարզորոշ կերպով տեղակալում են ոչ միայն սիլիկատային միներալները, այլև մագնետիտը իմենիտի տրոհման ցանցով: Հանքանյութերում տրոհիտի բացակայությունը, ըստ Ա. Գ. Բետեխտինի, վկայում է այն մասին, որ սուլֆիդային զանգվածների բյուրեղացման ժամանակ ջերմությունը 300° -ից չի գերազանցել:

Լատերիտային շերտի ստորին մասերում երբեմն առաջանում են ասբոլանային հանքանյութերի կուտակումներ կորալտի հարուստ պարունակությամբ:



Նկ. 36. Գարեիերիտային նստվածքների երկու կորվածք՝ Նոր Կալեդոնիայում (ըստ Ս. Գալասերի)

1—սերպենտինիտ և պերիդոտիտ, 2—բրեկչիանման հանքանյութեր, 3—բրեկչիանման և փոշենման հանքանյութեր, 4—կանաչ զարնիերիտի կոնկրեցիաներ և քավածքներ, 5—նիկելաբեր կարմիր հող, 6—նիկելագուրի կարմիր հող:

Երակային զարնիերիտային հանքանյութերում Ni պարունակությունը $3-4\%$ -ից հասնում է մինչև 9% , ասբոլանային հանքանյութերում կորալտի պարունակությունը՝ $3-4\%$:

Այստեղ հայտնի են զարնիերիտային հանքանյութերի մինչև 1500 առանձին տեղամասեր (տեղ-տեղ ասբոլանի հետ), որոնց մշակումը Նոր Կալեդոնիային թույլ է տալիս Կանադայից հետո Ni հանույթով աշխարհում գրավելու առաջին տեղերից մեկը: Հանքավայրերը պատկանում են թիկնոցանման (նիկել պարունակող երկաթային լատերիտների վերին զոնա) և գծային կամ ձեղքային (հարուստ զարնիերիտային երակներ) տիպին:

Հարավային և միջին Ուրալի նիկելի սիլիկատային հանքավայրերը: Այս հանքավայրերի ընդհանուր հատկանիշն է տարածական սերտ կապը սերպենտինացված դունիաների ու պերիդոտիտների զանգվածների հետ և հանքանյութերի առաջացումը հողմահարման մակերեսային պրոցեսների հետևանքով:

Սերպենտինիտային զանգվածների գեոմորֆոլոգիան, ապարների տեկտոնական բեկորատման ինտենսիվությունը, այդ զանգվածները հատող դալիաները և, վերջապես, գետնաջրերի հոսքի ուղղությունը, ըստ Ի. Ի. Գինզբուրգի, պայմանավորել են

հանքավայրերի զարգացման բնույթը, նրանց չափերը և հզորութիւնը:

Հողմնահարման կեղևը զարգացել է մինչ յուրայի ժամանակաշրջանի պենեպլենացված ջրբաժանների վրա: Ապարների քայքայումը և նիկելի կուտակումը հասել են առավելագույն չափերի բեկորատման զոնաների երկայնքով կամ դայկաների կոնտակտներում, որոնցով գետնաջրերը շրջանառութիւն են կատարել սերպենտինով, քլորիտով, մագնեզիումային սիլիկատներով հարուստ ապարների միջով:

Հանքանյութերում մոնամորֆլլոնիտային շարքի միներալների լայն զարգացումը և լատերիտային հողմնահարման համար բնորոշ կավահողի ազատ օքսիդների լացակայութիւնը թույլ են տալիս ենթադրելու, որ նիկելի սիլիկատային հանքանյութերով հարուստ հին կեղևի առաջացման կլիմայական պայմանները տարբերվել են լատերիտային հողմնահարմանը նպաստող կլիմայական պայմաններից և, ըստ երևույթին, ընթացել են կիսաչոր կլիմայի ժամանակ:

Առանձնացված են երեք տիպի հանքավայր՝ ծածկոցածև, ճեղքային և կոնտակտ-կարստային, որոնց տարբերիչ հատկանիշները բերվում են ստորև:

Հանքավայրերի ծածկոցածև տիպը (զարգացած է Հարավային Ուրալում) բնորոշվում է հանքաբեր հաստվածքների լայն տարածմամբ, համեմատաբար ոչ մեծ կարողութեամբ և ուղղաձիգ ուղղութեամբ նրանց զոնալ կազմութեամբ: Կարևոր է նշել, որ հին սելեֆի բարձրացման վայրերում զարգացած է այսպես կոչվող սիլիցիկացված թույլ հանքաբեր կտրվածքը, գործնականորեն համարյա անհետաքրքիր, ուժեղ կայծքարացման հորիզոնով:

Հին սելեֆի հարթ տեղամասերում կամ տեղական իջվածքներում զարգացած է հողմնահարման կտրվածքի «նորմալ» տիպը հեռեյալ զոնաներով (վերից վար)՝

ա) երկաթի օքսիդի հիդրատների փուխը հողախտոն զանգվածներ՝ օջրաներ, մանգանի օքսիդների խառնուրդով և քրոմիտի ու մագնետիտի հատիկներով, օքրաների կարողութիւնը 4—6 մ է, նիկելի պարունակութիւնը ցածր,

բ) նոնարոնիտացված սերպենտինիտներ (կանաչ փոշենման, գլխավորապես նիկելային նոնարոնիտներ), արդյունաբերական գլխավոր հորիզոնի կարողութիւնը 8 մ է, նրա ստորին մասե-

ըում հանդես են դալիս գարնիերիտի ու ուղիւնսկիտի կուտակումներ, վերին մասերում՝ տեղ-տեղ կոբալտ պարունակող մանգանի օքսիդներ,

դ) տարրալվացված և կալծքարացած սերպենտինիտներ. այս գոնայի վերին մասերում դիտվում են աստիճանական անցումներ դեպի գարնիերիտ և ուղիւնսկիտ պարունակող նստորոնիտացված սերպենտինիտները: Չոնայի այս մասը ներկայացնում է արդյունարերական հետաքրքրութուն. ամբողջ գոնայի կարողութունը հասնում է մի քանի մետրի,

դ) մագնեզիտի երակիկները զարգացման գոնա,

ե) ամուր, թույլ փոփոխված սերպենտինիտներ:

Հանքավայրերի ճեղքային տիպը բնորոշվում է հանքանյութերում նիկելի ջրային սիլիկատները և նիկելի բարձր պարունակութուն ունեցող մագնեզիտի սիլիկատների մեծ դերով: Այս տիպի հանքավայրերի առաջացմանը նպաստել է գառիթաթի ճեղքերի առատութունը, որոնց երկայնքով հողմահարումը տարածվել է դեպի խորքը:

Հանքավայրերի կոնտակտ-կարստային տիպը

(զարգացած է Միջին Ուրալի Վերին-

Ուֆալեյի շրջանում) ներկայացված է

սերպենտինիտների և մարմարացած

կրաքարերի տեկտոնական կոն-

տակտների երկայնքով տեղադրված

շերտաձև և բնաձև հանքամարմին-

ներով (նկ. 37): Հանքակուտակները

հարում են կրաքարերում գտնվող

կարստային խոռոչներին և կազմված են

շոկոլադի գույնի նիկելաքեր կա-

վերից, երկաթի և մանգանի հիդ-

րօքսիդներից և նիկելի կոլլոիդալ

հիդրոսիլիկատներից (գարնիերիտ

ուղիւնսկիտ, նեպուլիտ):

Նիկելով ամենահարուստ հան-

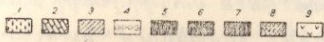
քանյութերը կուտակվել են կրաքա-

րերի մոտ, որոնք հեշտացրել են Ni

և ալյ մետաղների կոլլոիդալ միա-

ցությունները կլանող կավային մասնիկների կուտակված

գետնաջրերից:



Ն. 37. Տյուլեհենսկի Գիկելի հանքավայրի կտրվածք

- 1 - օձաքարերի հողմահարման էլյուվիալ նյութեր,
- 2 - մարմար,
- 3 - թերթաքարեր,
- 4 - ծածկոցային կավեր,
- 5 - մանգանալիային նիկել պարունակող աղքատ հանքանյութեր,
- 6 - մանգան-տալիային նիկել պարունակող հարուստ հանքանյութեր,
- 7 - քայքայված թերթաքարեր,
- 8 - գեղին և դարչնագույն կավեր կվարցիտի հետ,
- 9 - օձաքար:

ցությունները կլանող կավային մասնիկների կուտակված գետնաջրերից:

Կրաքարերում մեռասոմատիկ ճանապարհով առաջացել են կարբոնատային հանքանյութեր՝ նիկել պարունակող սիդերիտ: Մեզոզոյի ավազա-կավային նստվածքներում տեղ-տեղ տեղադրված են նիկել պարունակող լիգնիտի ոսպնյակներ (կերպինիտային հանքանյութեր):

Կարստերից մեկում (Նոյս-Այգիլըլյան) երրորդական լճային կավերում հայտնաբերված է նիկելի երկրորդային սուլֆիդներ՝ բրավոիտի, միլլերիտի, վիսլարիտի (զուգակցված մարկագիտի, մելնիկովիտի և հազվադեպ պիրիտի հետ) յուրահատուկ նստվածքային հանքավայր:

ԸՆԴՀԱՆՐԱՅՈՒՄ ՆԻԿԵԼԻ ՎԵՐԱԲԵՐՅԱԼ ԵՎ ՈՐՈՆՄԱՆ ՆՇԱՆՆԵՐԸ

Նիկելն առավելապես կապված է հիմքային մտքմայի հետ և կուտակվում է վահանների ու պլատֆորմների սահմաններում առաջացած պղինձ-նիկելային սուլֆիդային հանքավայրերի լիվվացիոն տիպում:

Շատ բնորոշ է ցանավոր կամ հոծ հանքանյութերի պիրոտին-պենտլանդիտ-խալկոպիրիտ ասոցիացիան գաբրրոյի, նոբիտի, գաբրրո-դիարալի և հազվադեպ պիրոքսենիտի կամ պերիդոտիտի պանզվածների մեջ:

Ինտրուզիվները ստրատիֆիկացված են և սուլֆիդները մեկուսանում են որոշ (սուլբարար ստորին) շերտերում կամ առաջացնում են բրեկչխանման և մասսիվ հանքանյութերի մարմիններ ավելի ուշ խախտումների երկայնքով, որոնցով արտամզվել է սուլֆիդային հալոցքը: Հանքանյութերի այս տիպում գլխավոր արժեք են ներկայացնում նիկելը և պղինձը, զուգընթացաբար ստացվում են կոբալտ, պլատին, պալլադիում, արծաթ, ոսկի, սելեն, տելուր:

Նիկելի արսենիդները համեմատաբար ոչ մեծ կուտակումներ են առաջանում հիդրոթերմալ միջին ջերմաստիճանային պայմաններում, գենետիկորեն կապված չափավոր թթու գրանիտոիդների (Ni զուգակցված Co, Bi, Ag, U հետ) կամ հիմքային ինտրուզիաների (Ni, Co, Ag) հետ:

Էկզոգեն պայմաններում նիկելի սիլիկատների և նիկելաբեր կավերի արդյունաբերական կուտակումները կապված են ուլտրահիմքային ապարների կավային կամ լատերիտային հոգմ-

նահարման հետ: Այստեղ բնորոշ է Ni ասոցիացիան երկաթի հիդրօքսիդների, Mn օքսիդների ու հիդրօքսիդների և Co (ասբոլանի) հետ:

Հանքավայրերի առանձին տիպերի համար որոնման նշանները տարբեր են:

Սուլֆիդային պղինձ-նիկելային հանքավայրերը միշտ գտնվում են վահանների կամ պլատֆորմների սահմաններում և սերտորեն կապված են հիմքային ապարների ստրատիֆիկացված ինտրուզիվների հետ, որպիսի հանգամանքը համապատասխան ուղղություն է տալիս որոնումներին: Շատ հանքավայրեր հայտնաբերված են որոնման ժամանակ զետերի ալյուվիայում գտնված պիրրոտինային հանքանյութի գլաքարերի միջոցով:

Որոնումների և հետախուզման ժամանակ լայնորեն կիրառվում են գեոֆիզիկական մեթոդները (գրավիմետրիա, մագնիսոմետրիա): Օժանդակ նշանակություն ունեն սկիզբային հանութը (պղինձ-նիկելային հանքանյութերի հետ սերտորեն կապված սպերիլլիտի և պալլադիումային պլատինի հայտնաբերումը) և մետալոմետրիկ մեթոդը:

Նիկելի արսենիդների հիդրոթերմալ հանքավայրերի որոնումների ժամանակ, որոնց կապը որոշակի ինտրուզիաների հետ հաճախ պարզ չէ, մեծ օգնություն է ցույց տալիս օքսիդացման զոնայում աննարբերգիտի (վառ կանաչ), էրիտրինի (վարդագույն), սկորոդիտի (խնձորի կանաչ), հազվագեղ նիկելի ջրային սիլիկատների և ասբոլանի, ուրանի երկրորդային և ուրիշ միներալների հայտնաբերումը:

Վերջապես, նիկելի սիլիկատային հանքավայրերը պետք է որոնել ուլտրահիմքային զանգվածների հոգմնահարման կեղևվում, ի նկատի ունենալով, որ սիլիկատային հարուստ հանքանյութերը տեղադրվում են հին սելեֆի իջեցման վայրերում և հատկապես զանգվածի ճեղքերում կամ կարստացած կրաքարերի կոնտակտի երկայնքով:

ՀԻՄՆԱԿԱՆ ԳՐԱԿԱՆՈՒԹՅՈՒՆ ՆԻԿԵԼԻ ՎԵՐԱԲԵՐՅԱԼ

Бетехтин А. Г. и Генкин А. Д. Парагенетические ассоциации минералов в системах Fe—Ni—S и Fe—Ni—S—O. Изв. АН СССР, серия геол. № 2, 1951.

Волкова Е. В. и др. Геологическое строение Орско-Халиловского района. Госгеолиздат, 1941.

Гинзбург И. И., Савельев И. М. Образование никелевых месторождений силикатных руд на Южном Урале. Изв. АН СССР, серия геол. № 6, 1939.

Гинзбург И. И. Древняя кора выветривания на ультраосновных породах Урала, ч. I, 1946, ч. II, 1947. Труды ИГН АН СССР, вып. 30 и 31.

Гинзбург И. И. Ново-Айдырлинское месторождение никелевых сульфидов осадочного происхождения. Изв. АН СССР, серия геол. № 6, 1943.

Зонтов Н. С. О характеристике медно-никелевых месторождений Монче-Тундры на Кольском п-ове. Разв. недр, № 19, 1937.

Кац А. Л. Кора выветривания в районе Крестовско-Тюленевского никелевого месторождения. Изв. АН СССР, серия геол., № 6, 1943.

Кожевников К. Е. и Пантелеев И. А. Месторождения никель-кобальт-хромсодержащих бурых железняков Среднего Урала. Геология и полезные ископаемые Урала, вып. 1, Госгеолиздат, 1947.

Кротов Б. П. Закономерность распределения на Урале комплексных месторождений железных, никелевых и кобальтовых руд категории выветривания. Изв. АН СССР, № 2, 1945.

Материалы по металлогении Южного Урала (железо, никель, хром). АН СССР, СОПС, 1941.

Ольшанский Я. И. Итоги экспериментальных исследований сульфидно-силикатных систем. Тр. ИГН, серия петр., вып. 121, № 36, 1950.

Первушин С. А. Сырьевые ресурсы никеля в капиталистических странах. Сов. геология, № 10—11, 1939.

Рожков Б. Н. Материалы по металлоносности сибирских трапов. Труды Вост.—Сиб. ГРТ, вып. 3, 1933.

Ферсман А. Е. Полезные ископаемые Кольского п-ова. Изд. СОПС, АН СССР, 1941.

Burrows A. G. and Rickaby H. S. Sudbury Nickel Field Restudied. Ontario Dept. Mines 63, pt. 2, 1934.

Chételat E. La genèse et l'évolution des gisements de nickel de la Nouvelle-Calédonie, Bull. S. G. Fr. 5, Sér t. XVII, 1947.

Freeman B. C. Origin of the Froid ore deposits. Econ. Geol. v. 28, № 3, 1933.

New Caledonia Nickel. Les Ressources Minérales de la France d'outre Mer. Bur. Etudes Géol. et Min. Colon. v. 2, 1934.

Կ Ո Ւ Ա Լ Տ (Co)

ԸՆԴՀԱՆՈՒՐ ՏԵՂԵԿՈՒԹՅՈՒՆՆԵՐ

Կորալտի կապույտ ներկերը հայտնի էին վաղ անցյալում, ն. թ. 5 հազար տարի առաջ Եգիպտոսում, իսկ ավելի ուշ Իրանում, Ասորեստանում, Հնդկաստանում և Չինաստանում ու լայն կիրառվում էին խեցեգործության և ապակեծուլման գործում:

Մետաղական կորալտն առաջին անգամ ստացվել է 1735 թ., սակայն միայն 1907 թ. հետո (պինդ համաձուլվածքների՝ ստելլիտների հայտնագործումը) կորալտի դերը որակյալ պողպատների և համաձուլվածքների մետալուրգիայում խիստ բարձրացավ: Կորալտով լեգիրված պողպատներն ունեն բարձր կարծրություն, թթվակայունություն, հրակայունություն և լայնորեն կիրառվում են ավիացիայում, ռազմական քիմիայում և մեքենաշինության մեջ: Արագ կտրող գործիքների ստելլիտային (ստելլիտը Co համաձուլվածքն է Cr, W, Mo հեա) կտրիչները պարունակում են մինչև 50⁰/₀ Co:

Ալնիկո համաձուլվածքից (Al, Ni և Co հավասար քանակություններ) պատրաստում են հաստատուն մագնիսներ: Co համաձուլվածքները Ni, Fe և Ti հեա կատոդային էլեկտրալամպերում փոխարինում են Pt: Կորալտապատումն ավելի լավ է, քան նիկելապատումը: Բժշկության մեջ և տեխնիկայում լայն կիրառում են ստանում կորալտի ռադիոակտիվ իզոտոպները:

Կորալտի կարբիդները (W-ի խառնուրդով) կիրառվում են նորատման գործում և մետաղամշակման արդյունաբերության մեջ: Կորալտի միացություններն օգտագործվում են որպես կատալիզատորներ ածխից ստացվող բենզինի սինթեզի և աղստահան թթվի արտադրության ժամանակ: Կորալտի որոշ քանակու-

թյուն այժմ էլ օգտագործվում է ներկերի արտադրության մեջ (մուգ կապույտ-սմալտա և ուրիշ ներկեր):

1955 թ. կորալտի ձուլումը (առանց ՍՍՌ-ի) կազմել է 14000 տ: Այդ քանակության 80%⁰ բաժին է ընկել Բելգիական Կոնգոյին և Հյուսիսային Ռոդեզիային, մնացածը՝ Մարոկկոյին, Չինաստանին, Բիրմային, Ֆինլանդիային և ուրիշ երկրներին: Սովետական Միությունում վերջին ժամանակները հայտնաբերվել և ուսումնասիրվել են խոշոր հանքավայրեր և կորալտի հանույթը կատարվում է զգալի մասշտաբով, որը բավարարում է երկրի պահանջները:

Կորալտի համաշխարհային պաշարները կազմում են մոտավորապես 800 հազ. տ, որոնցից համարյա 2/3 բաժին է ընկնում Բելգիական Կոնգոյին և Հյուսիսային Ռոդեզիային:

* * *

Կորալտի միջին պարունակությունը երկրի կեղևում կազմում է 0,004%⁰: Էլեմենտը կապված է ինչպես հիմքային և ուլտրահիմքային ապարների, այնպես էլ չափավոր թթու գրանիտոիդների հետ: Առաջինների հետ կապված են պղինձ-նիկելային կորալտ պարունակող լիկվացիոն և հիդրոթերմալ հանքավայրերը՝ երկրորդների հետ՝ Ni-ի և Co-ի արսենիդների հիդրոթերմալ հանքավայրերը, հաճախ Co-ի խիստ գերակշռումով Ni-ի համեմատությամբ:

Հիպերգեն պայմաններում Co կուտակվում է ուլտրահիմքային ապարներին հոգմահարման կեղևում, Ni-ի հիդրոսիլիկատների հետ միասին, Co պարունակող պսիլոմելյանի (ասբոլանի) ձևով:

Կորալտի միներալներից արդյունաբերական նշանակություն ունեն հետևյալները՝

Լիննեիտ— Co_2S_4 , (Co պարունակությունը 40—53%⁰, կատանգայում և Հյուսիսային Ռոդեզիայում հանքանյութերի գլխավոր միներալն է, Co-ի շատ կարևոր աղբյուր է):

Կորալտից— Co As S (Co պարունակությունը մինչև 35%⁰, սովորական է հիդրոթերմալ հանքավայրերում):

Սֆերոկորալտիտ— Co CO_3 , մինչև 50—55%⁰ Co:

Սմալտին— CoAs_{2-3} , մինչև 24%⁰ Co:

Ասբոլան— $m(\text{Co, Ni}) \cdot \text{O} \cdot \text{MnO}_2 \cdot n\text{H}_2\text{O}$, մինչև 32%⁰ CoO և 11%⁰ NiO :

Երիտրին— $\text{Co}_3[\text{AsO}_4]_2 \cdot 8\text{H}_2\text{O}$, մինչև 37,5%⁰ CoO :

Արդյունաբերական հետաքրքրություն ներկայացնող այլ միներալներից կարելի է նշել՝ գլաուկոդոտ—(Co, Fe) AsS, 9—18⁰/₀ Co պարունակությամբ, կորալտ պարունակող արսենոպիրիտ (գանախտ), լյոլլինգիտ և պիրիտ (մինչև 3—9⁰/₀ Co), կորալտ պարունակող սֆալերիտ (մինչև 0,5—1⁰/₀ Co), կորալտ պարունակող տետրաէդրիտ (մինչև 0,5⁰/₀ Co):

Սովորաբար մշակվում են Co-ի բարձր՝ 0,5—1-ից մինչև մի քանի տոկոս պարունակություն ունեցող հանքանյութերը. պարունակություն սասրին սահմանը հանդիսանում է 0,1⁰/₀, իսկ հեշտ հարստացվող կոմպլեքսային հանքանյութերի մեծ զանգվածները համար՝ նույնիսկ 0,05⁰/₀:

ԿՈՔԱԼՏԻ ՀԱՆՔԱՎԱՅՐԵՐԻ ԳԵՆԵՏԻԿ ՏԻՊԵՐԸ, ՀԱՆՔԱՅԻՆ ՖՈՐՄԱՅԻԱՆԵՐԸ, ՄԵՏԱԼՈԳԵՆԻԿ ԴԱՐԱՇՐՋԱՆՆԵՐԸ ԵՎ ՄԱՐՁԵՐԸ

1. Սուլֆիդային պրիմա-նիկելային լիկվացիոն (և հիդրոթերմալ) հանքավայրեր, կորալտի խառնուրդի պարունակությամբ, որը և ստացվում է մի շարք երկրներում Ni և Cu հետ զուգընթաց: Co գտնվում է իզոմորֆ խառնուրդի ձևով պենտադիտի, ուշ առաջացած պիրիտի մեջ, ինչպես նաև սմալտինի և կորալտինի ձևով: Co պարունակությունը հանքանյութում կազմում է 0,01—0,2⁰/₀, սովորաբար 0,07—0,08⁰/₀: Որպես կորալտի աղբյուր հանքավայրերի այս տիպը կարևոր դեր չի խաղում:

2. Արսենոպիրիտ-գլաուկոդոտ-կորալտի բարձր ջերմաստիճանային հիդրոթերմալ հանքավայրեր, կապված գրանիտոիդների հետ: Այստեղ Co գտնվում է գլխավորապես կորալտինի ձևով, զուգորդված Fe, Ni արսենիդների, երբեմն Au, սկատնային միներալների և մագնետիտի հետ: Այս տիպին են պատկանում Դաշքեսանն ու Սեյմձանը ՍՍՌՄ-ում և Բու-Ազերը Մարոկկոյում: Ըստ հանքանյութի կազմության մոտ են կանգնած Սկուտտերուզ և Մնարում կորալտային ֆալրանդները նորվեգիայում: Այս տիպի դերը երկրորդական է:

3. Կորալտի միջին և ցածր ջերմաստիճանային հանքավայրեր Cu, երբեմն Ni, Ag, Bi, U խառնուրդով. կապված են գրանիտոիդների և գաբբրոների հետ, հաճախ ինտրուզիաների հետ

ունեցած նրանց կապը պարզ չէ: Այս տիպի մեջ կարելի է առանձնացնել հետևյալ ֆորմացիաները՝

ա) Հյուսիսային Ռոդեզիայի և Բելգիական Կոնգոյի լինենեի տ-խալկոպի բրտային ֆորմացիա ալագաքարերում և գոլումիտներում,

բ) Կանադայի և Տուվայի ԱՍՍՌ-ի հանքավայրերի սմալտին-խոտանտիտային (հաճախ արծաթաբեր) ֆորմացիա:

գ) Մեծ Արջի լճի և Հանքային լեռների հանքավայրերի հինգ էլեմենտային (Co-Ni-Bi-Ag-U) ֆորմացիա,

դ) բազմամետաղ ֆորմացիա (Co հետ), Միսսուրի և Բոուդոյին:

Կարևոր արդյունաբերական նշանակություն ունեն, առաջին երկու ֆորմացիաները:

4. Ուլտրահիմքային ապարների հողմահարման կեղեին հարող ասբոլանային հանքանյութերի ֆորմացիա նիկելի սիլիկատային հանքանյութերի հետ սերտորեն կապված: Այս տիպին են պատկանում ՄՍՌՄ-ի, Նոր Կալեդոնիայի, Հարավային Չինաստանի հանքավայրերը:

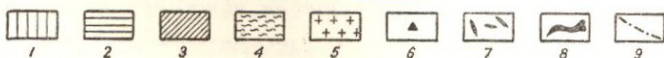
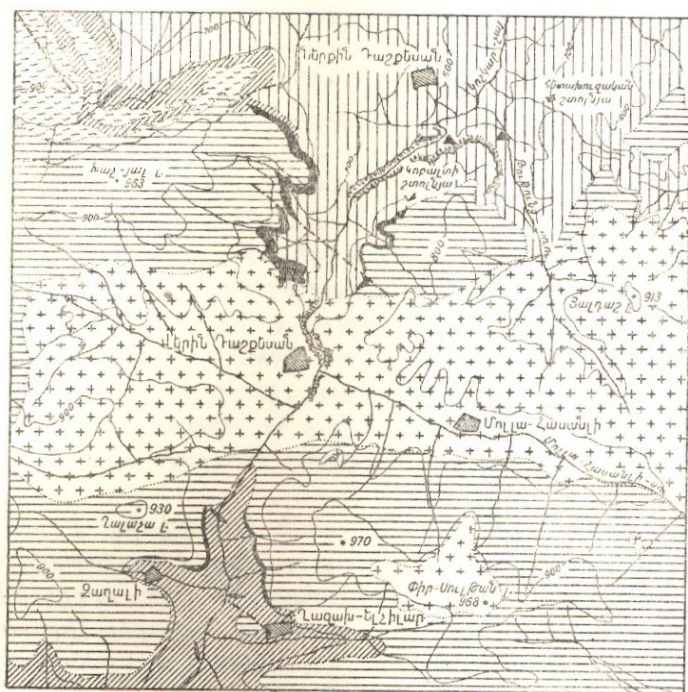
Արդյունաբերական վտար դեր են կատարում կորալտաբեր սկանների հանքավայրերը (Co կապված է մագնետիտի և պիրիտի հետ) և գենետիկորեն հիմքային ապարների հետ կապված սուլֆիդային պղինձ-կորալտային հանքավայրերը:

Կորալտի մետալոգենիկ դարաշրջանները և մարդերը: Կորալտի ամենախոշոր կուտակումները կապված են մինչքեմբրյան գրանիտոիդների (Բելգիական Կոնգո, Հյուսիսային Ռոդեզիա) և հիմքային ինտրուզիաների (Սյոդերբի) հետ: Կորալտի համեմատաբար ոչ-մեծ կուտակումներ առաջացել են վերին պալեոգոյում (Մարոկկո, Հանքային լեռներ) և մեզոկայնոգոյում (ՄՍՌՄ):

ԿՈՐԱԼՏԻ ՀԱՆՔԱՎԱՅՐՆԵՐԻ ՆԿԱՐԱԳՐՈՒԹՅՈՒՆԸ

Գաջքեստանի հանքավայրը (Աբբրեջանական ՄՍՌ) նկարագրված է Կ. Ն. Պաֆֆենհոլցի, Գ. Ա. Կրուտովի, Գ. Ի. Շչերբակովի, Ե. Գ. Բադրատունու, Շ. Ա. Ազիզբեկովի և ուրիշների աշխատություններում: Գրանոգիորիտների և վերին յուրայի հասակի կրաքարերի կոնտակտում առաջացել են գրանատային սկանների կուտակներ մագնետիտի արդյունաբերական հանքայ-

նացմամբ (նկ. 38): Շրջանի բոլոր ապարները ձեղքված են հյուսիս-արևելյան և հյուսիս-արևմտյան տարածում ունեցող խախտումներով, որոնց երկայնքով ներդրվել են դիարազալին պորֆիրիտների դաշկաներ և շրջանառու թյուն են կատարել կորալտարերը հիդրոթերմալ լուծույթները: Կորալտալին հանքանյութերի մշակումը կատարվում է Հյուսիսային և Հարավային տեղամասերում:



Նկ. 38. Դաշրեսանի հանրապարտի բարոնեզ (ըստ Կ. Ն. Պաֆֆեննոլցի)

1—Միջին յուրայի պորֆիրիտներ և տուֆեր, 2—վերին յուրայի պորֆիրիտներ և տուֆեր, 3—վերին յուրայի կրաքարեր, 4—ալունիտացված շերտախումբ, 5—զրանոզիտրիտներ, 6—մագնիսիտային ավազաքարերի ելքեր, 7—պորֆիրիտի դաշկաներ, 8—հանքարեր հաստվածքի ելք, 9—վարնեպածրներ:

Հյուսիսային տեղամաս: Այստեղ հանքայնացումը հարում է «Գլխավոր խախտման» զոնային, որը հյուսիս-արև-

մըտյան ուղղութեամբ հետամտվում է 2 կմ և 75—85° անկյան տակ ընկնում է գեպի հյուսիս-արևելք: Խախտման երկայնքով հետամտվում է 0,5—5 մ կարողութուն ունեցող դիազադային պորֆիրիտի մի դասկա, որի զալքանդներին են հարում Կորալտի հանքանյութերի սսպնյակաձև կուտակումներ, երակիկներ և ցան: Նշված հանքամարմինները տեղադրված են քլորիտացված, հիդրոթերմալ փոփոխված պորֆիրիտների մեջ: Հանքանյութերի կազմի մեջ մտնում են քլորիտ, ալտինոլիտ, էպիդոտ, քլոր պարունակող ալկալային ամֆիրոլ (դաշքեսանիտ), հանքային միներալներ՝ կորալտին, գլաուկոդոտ, արսենոպիրիտ, պիրիտ, բոռնիտ, սֆալերիտ, պիրրոտին, մոլիբդենիտ, խալկոպիրիտ: Օքսիդացման զոնայում հանդիպում են էրիտրին և երբեմն ասբոլան:

Հարավային տեղամաս: Այստեղ հանքայնացումը ներկայացված է կորալտի հանքանյութերի բներով և երակիկներով, որոնք տեղադրված են մագնետիտ պարունակող սկառնային կուտակների կախված կողի եղջրաքարերում:

Հանքայնացումն ընթացել է մի քանի ստադիայով՝ 1) դիոպսիդ, գրունատ, 2) մագնետիտ, էպիդոտ, ալկալային ամֆիրոլ (ընդամիջում, հյուսիս-արևմտյան և հյուսիս-արևելյան տարածման խախտումներ, դասկաներ), 3) կորալտին, գլաուկոդոտ, արսենոպիրիտ, հեմատիտ, 4) պիրիտ, խալկոպիրիտ, բոռնիտ, սֆալերիտ:

Հանքավայրի մասշտաբը զգալի է, հանքանյութերը մեծ մասամբ հարուստ չեն, սակայն հեշտութեամբ հարստացվում են և ներկայացնում են արգյունաբերական հետաքրքրություն: Հանքավայրը գեներալիտներն պատկանում է բարձր ջերմաստիճանային հիդրոթերմալ տիպին և կապված է մինչսենոմանյան հասակի գրանիտոիդների հետ: Կորալտի հանքայնացումը վերադրված է մագնետիտ պարունակող սկառների վրա և վերահսկվում է հյուսիս-արևմտյան և հյուսիս-արևելյան տարածում ունեցող խախտումներով և դիարազային պորֆիրիտների դասկաներով:

Խոլախսի հանքավայրը. Տուվայի ԱՍՍՌ-ում հայտնաբերված է վերջին տարիները գեոլոգներ Վ. Ա. Ունկսովի, Տ. Ն. Իվանովայի և ուրիշների գլխավորած արշավախմբի կողմից՝ հին փորվածքների թափուկներում վարդագույն էրիտրինի ելքերի շնորհիվ:

Հանքավայրը տեղադրված է S_2 ավազա-թերթաքարա-կար-րոնատային և D_1 էֆուզիվ նստվածքային շերտախմբերում, որոնք կազմում են գրանիտոիդներով հատված մի անտիկլինալային ծալք:

Կոնտակտային զոնայում ապարները սկսունացած և վեր են ածված էպիդոտ, ամֆիբոլ, սերպենտին պարունակող պիրոքսեն-սկապուլիտային և գրանատային սկսոներրի: Միևտների մեջ տեղ-տեղ տեղադրված են մագնետիտային հանքանյութերի ոսպնյակներ պիրիտի, խալկոպիրիտի, հեմատիտի, պիրրոտինի խառնուրդով:

Co և Ni հանքանյութերը տեղադրված են սկսունացած ապարների մեջ, 5 կմ երկարությույն և մինչև 0,5—1 կմ լայնությույն ունեցող զոնայում: Co—Ni հանքայնացումը պարզորոշ կերպով ավելի ուշ է առաջացել, քան սկսոները և հարում է սկսունային կուտակները հատող զառիթափ միջօրեական տարածման ճեղքերին:

Կորալտ-նիկելային հանքանյութերը ներկայացված են համրիչաձև կուլիասնման երակներով, որոնք տեղ-տեղ անցնում են ոսպնյակների և բների:

Երակների միջին երկարությույնը 20—25 մ է (խոշոր երակներինը մինչև 200 մ), կարողությույնը միջին հաշվով 10—15 սմ (2—3 սմ մինչև 1,3 մ փքվածքներում): Հանքանյութերում գերակշռում են սմալտին—խլոսանտիտը, առկա են նաև նիկելին, սաֆֆլորիտ-ռամմելյրերգիտ, երբեմն սկուտտերուդիտ, արսենոպիրիտ, պիրիտ, տեննանտիտ, խալկոպիրիտ: Օքսիդացման զոնայում լայնորեն տարածված են էրիտրինը, աննարերգիտը և սիորոգիտը:

Հանքանյութերի մեջ առանձնացնում են հոծ, ցանալոր (կալցիտի մեջ) և երակիկա-բրեկչիանման տարրերակներ: Հոծ հանքանյութերում Co պարունակությույնը կազմում է 2—11⁰/₁₀, Ni մի քանի տասնորդականից մինչև 14,5⁰/₁₀: Ցանալոր հանքանյութերում Co պարունակությույնը սոկոսի հարյուրերորդական մասերից հասնում է մինչև 0,1—0,3⁰/₁₀:

Հանքավայրն ունի մեծ հեռանկարներ, իր տիպով մոտ է Կորալտ հանքավայրին (Օնտարիո), սակայն նրանից տարբերվում է հանքանյութերում արծաթի շատ փոքր դերով:

Հանքավայրը հիգրոթերմալ է, միջին ջերմաստիճանային և առաջացել է ոչ մեծ խորությույններում:

Կ որ ա լ տ հ ա ն ք ա վ ա յ ը ը (Օ ն տ ա ր ի տ) գ ա ն լ ու մ է Կ ա ն ա գ ա յ ու մ Տ ե մ ի ս կ ե մ ի ն գ չ ճ ի մ ո տ և մ շ ա կ մ ա ն ժ ա մ ա ն ա կ ա շ ը ջ ա ն ու մ՝ ս կ ս ա ծ 1903 թ. տ վ ե լ է 15 հ ա գ. տ C O և ն ու յ ն ք ա ն է լ ա ր ծ ա թ:

Կ յ ու լ ո տ ի ն հ ի ն մ ի ն չ ք ե մ ը ը յ ա ն շ ե ր տ ա լ ա մ ը ի (հ ի մ ք ա յ ի ն կ ա գ մ ի է ֆ ու զ ի վ ա պ ա ր ն ե ր, ե գ ջ ը ա ք ա ր ե ր, մ ա ս ա մ ր ե ր կ ա թ ա յ ի ն ե գ ջ ը ա ք ա ր ե ր) ը վ ա ց վ ա ծ մ ա կ ե ր ե ս ի վ ը ա տ ե դ ա դ ը վ ա ծ ե ն վ ե ը ի ն հ ու ը ո ն ի կ ո ն գ լ ո մ ճ ե ր ա տ ն ե ր ն ու ա ր կ ո զ ա յ ի ն ա վ ա զ ա ք ա ր ե ր ը (ա ն ա յ մ ի կ յ ա ն ե ն թ ա շ ե ր տ ա խ ու մ ք): Ա յ գ շ ե ր տ ա լ ա մ ը ր ի մ ի ջ կ ն ե ր գ ը ը վ ե լ ե ն գ ի ա ր ա գ ի մ ի ն չ և 300 մ կ ա ր ո զ ու թ յ ու ն ու ն ե ց ո զ ս ի լ լ ե ր ը:

Հ ա ն ք ա յ ն ա ց ու մ ը ն ե ր կ ա յ ա ց վ ա ծ է ե ր ա կ ն ե ր ու վ, որ ո ն ք ա ն ա գ ը ը վ ա ծ ե ն գ ի ա ր ա գ ի ս ի լ լ ի ե ր կ ու կ ո զ մ ե ր ու մ, գ լ խ ա վ ո ր ա պ ե ս վ ե ը ի ն հ ու ը ո ն ի ս ա հ մ ա ն ն ե ր ու մ, մ ա ս ա մ ր ս ի լ լ ի մ ե ջ և ս տ որ ա գ ի ը ա պ ա ր ն ե ր ու մ: Հ ա ն ք ա յ ի ն ե ր ա կ ն ե ր ն ը ս տ տ ա ր ա ծ մ ա ն հ ե տ ա մ տ ը վ ու մ ե ն տ ա ս ն յ ա կ մ ե տ ր ե ր, հ ա զ վ ա գ ե պ 100—150 մ և մ ի ն չ և 100, ե ր ք ե մ ն 300—500 մ խ ո ր ու թ յ ու ն ը ս ե պ ա ձ և կ ա ը ը վ ու մ ե ն: Ե ր ա կ ն ե ր ի կ ա ր ո զ ու թ յ ու ն ը մ ի ք ա ն ի ս ա ն ա ի մ ե տ ը ի ց հ ա ս ն ու մ է մ ի ն չ և 0,5 մ, մ ի ջ ի ն հ ա շ ը ը վ կ ա զ մ ե լ ը վ 10—15 ս մ: Ե ր ա կ ն ե ր ի թ ի վ ը 100-ի ց ա վ ե լ ի է. ա մ ե ն ա հ ա ր ու ս տ ե ր ա կ ն ե ր ն ա յ ժ մ մ շ ա կ վ ա ծ ե ն: Հ ա ն ք ա ն յ ու թ ե ր ը ձ և կ ե ր պ վ կ լ ե ն ե ր կ ու ս տ ա գ ի ա յ ու մ՝ 1) ս ա ֆ ֆ լ ը ը ի ա, կ ո ր ա լ ա ի ն, լ յ ո լ լ ի ն գ ի ա, գ լ խ ու կ ո զ ո տ, ա ր ս հ ն ո պ ի ը ի ա, ս մ ա լ տ ի ն-խ լ ո ա ն ա ի տ, ն ի կ լ կ ի ն, 2) ա ր գ ե ն ա ի տ, ք ն ա ծ ի ն ա ր ծ ա թ, ք ն ա ծ ի ն ը ի մ ու տ, կ ա լ ց ի ա:

Ա յ գ ե ր կ ու ս տ ա գ ի ա ն ե ր ի մ ի ն ե ր ա լ ա յ ի ն ա ս ո ց ի ա ց ի ա ն ե ր ը ք ա ժ ա ն ը վ ա ծ ե ն տ ե կ ա տ ն ա կ ա ն տ ե դ ա շ ա ր ժ ե ր ու վ և հ ա ն զ ի պ ու մ ե ն մ ի ա ս ի ն կ ա մ մ ե կ ու ս ա ն ու մ ե ն տ ա ա ն ձ ի ն ե ր ա կ ի կ ն ե ր ու մ:

Մ ե տ ա զ ն ե ր ի ք ա շ լ ա մ ա ն ք ն ու յ թ ը փ ն ջ ա յ ի ն է, հ ա ն ք ա ն յ ու թ ե ր ը շ ա տ հ ա ր ու ս տ ե ն և պ ա ր ու ն ա կ ու մ ե ն մ ի ն չ և 8⁰/₀ C O, 5⁰/₀ A g, 14⁰/₀ N i, 42⁰/₀ A s:

Հ ա ն ք ա վ ա յ ը ը պ ա տ կ ա ն ու մ է մ ի ջ ի ն—ց ա մ ը ջ ե ր մ ա ս տ ի ճ ա ն ա յ ի ն փ ո ք ը խ ո ր ու թ յ ու ն ն ե ր ի ա տ ա ջ ա ց ու մ ն ե ր ի տ ի պ ի ն (ս մ ա լ ա ի ն-խ լ ո ա ն ա ի տ ա յ ի ն ա ր ծ ա թ ա ր ե ր ֆ ո ը մ ա ց ի ա) և հ ա վ ա ն ա ր ա ր կ ա պ վ ա ծ է շ մ ե ր կ ա ց ա ծ ի ն ա ր ու զ ի վ օ ջ ա խ ի հ ե տ: Գ ի ա ր ա գ ի ս ի լ լ ը կ ա տ ա ր ե լ է մ ի մ ի ա յ ն ս տ ր ու կ ա ու ր ա յ ի ն գ ե ր և ն ր ա կ ո ն ա ա կ ա ն ե ր ը հ ա ն գ ի ս ա ց ե լ ե ն որ պ ե ս հ ա ն ք ա ր ե ր լ ու ծ ու յ թ ն ե ր ի ք ա ր ձ ք ա ց մ ա ն ու զ ի ն ե ր: Հ ա ն ք ա յ ն ա ց մ ա ն գ ե ն ե տ ի կ կ ա պ ը գ ի ա ր ա գ ն ե ր ի հ ե տ ք ի չ հ ա վ ա ն ա կ ա ն է, ք ա ն ի որ հ ա ր ե ա ն շ ը ջ ա ն ն ե ր ու մ ն մ ա ն գ ի ա ր ա գ-

ներքը լայն դարգացում ունեն, սակայն հանքայնացմամբ չեն ուղեկցվում:

Բելգրիական Կոնգոյի հանքավայրերը Հյուսիսային Ռոզեզիայի նույնատիպ հարևան հանքավայրերի հետ միասին ներկայացնում են կորալտի կարևորագույն աղբյուր, սրին բաժին է ընկնում կորալտի համաշխարհային պաշարներին 2/3 և ներկայիս հանույթի 80⁰/₀:

Հարյուր հազարավոր քառակուսի կիլոմետր մակերեսի վրա տարածված են կատանդա սիստեմի նստվածքները (Сm կամ S?)¹:

Հանքայնացումը հարում է կատանդա սիստեմի ստորին բաժնին, որի կտրվածքը վարից վեր ներկայացված է հետևյալ հորիզոններով՝

ա) կոնգլոմերատներ, արկոզային ավազաքարեր և կվարցիտներ (տեղագրված են մինչքեմբրյան բյուրեղային թերթաքարերի և գնեյսների վրա),

բ) կավային և արկոզային ավազաքարեր, կվարցիտներ, գոլոմիտային թերթաքարեր, գոլոմիտներ,

գ) գոլոմիտներ և կավային ու գոլոմիտային թերթաքարեր,

դ) կավային թերթաքարեր ավազաքարերի և կվարցիտների ենթաշերտերով:

Բելգրիական Կոնգոյի հանքավայրերը տեղագրված են գլխավորապես «գ» հորիզոնի, իսկ Հյուսիսային Ռոզեզիայի հանքավայրերը՝ «բ» հորիզոնի ապարների մեջ: Հյուսիսային Ռոզեզիայում հանքարեր ենթաշերտախումբը հատված է գրանիտի ինտրուզիաներով, իսկ Կատանդայում ինտրուզիվ ապարներ չեն մերկանում:

Բելգրիական Կոնգոյում (Կատանդա) հանքավայրերը հարում են անտիկլինալային ծալքերի առանցքներին և հյուսիս-արևմուտքյան տարածում ունեցող երկայնակի վերնետվածքներին, որոնք ուղեկցվում են ավելի մանր խախտումներով:

Հանքամարմինները շերտաձև ու երակաձև են և մինչև 20 մ կարողութամբ հետամտվում են 1—2 կմ:

Հանքանյութերի կազմի մեջ գլխավոր դեր են կատարում խալկոպիրիտը, լիննիտը և կարբոլիտը, առկա են Zn, Pb, Au, Ag, Pt, Se, տեղ-տեղ Ni-ի և U-ի միներալներ. հաստատված

¹ Կատանդա սիստեմի նստվածքներին հաճախ վերագրում են մինչքեմբրյան հասակ:

են նաև Co և Ni սուլֆիդներ՝ կատարելիս CoS_2 և վախճառ NiS_2 :

Սուլֆիդները նստել են երկու ստադիաներում՝

1) պիրիտ, կատարելիս, լիննելիտ (այս ստադիայի հանքանյութերում $\text{Co} > \text{Ni}$), 2) կարրոլիտ, պղնձի սուլֆիդներ (խալկոպիրիտ, բոռնիտ). կարրոլիտի մեջ $\text{Co}:\text{Ni}$ հավասար է 1:1,5, պարունակվում է 4—11% Co, 2,49% Mo, 5,65% Se:

Շիլնկոլորվե—Կադալո հանքավայրում կան ուրանինիտի և ուրանային խեժի զգալի կուտակումներ, որոնք նստել են հանքայնացման մինչսուլֆիդային ստադիայում:

Հյուսիսային Ռոդեզիայի հանքավայրերում (Նկանա և ուրիչներ) շերտաձև հանքամարմինները տեղադրված են կավերի, ավազաքարերի և դոլոմիտացված թերթաքարերի մեջ. հանքայնացումը ցանավոր ու երակիկային է և մինչև 8—9 մ կարողությամբ հետամտվում է 800 մ խորությունը:

Առաջնային հանքանյութերը ներկայացված են խալկոպիրիտով, լիննելիտով, բոռնիտով և կորալտ պարունակող պիրիտով: Հանքանյութերը միջին հաշվով պարունակում են 0,15% Co: Հյուսիսային Ռոդեզիայում յուրաքանչյուր հանքավայրի տեղամասում դիտվում են գրանիտոիդային ինտրուզիաների ելքեր, որոնց մոտ հանքայնացման ինտենսիվությունն աճում է:

Բելգիական Կոնգոյի և Հյուսիսային Ռոդեզիայի հանքավայրերում օքսիդացման դոնան լավ է զարգացած մինչև 150—200 մ խորությունը:

Օքսիդացած հանքանյութերը զգալիորեն ավելի հարուստ են մետաղներով (պղինձ, կորալտ) և ինտենսիվորեն մշակվում են: Պղնձի պարունակությունը նրանց մեջ հասնում է 10—12% (առաջնային հանքանյութերում սովորաբար 3%), իսկ կորալտի պարունակությունը սֆերոկորալտի և սարոլանի ձևով հասնում է մինչև 2—3% (առաջնային հանքանյութերում 0,05—0,2%):

Հանքայնացումը հավանաբար կապվում է ստորին պալեոզոյան հասակի գրանիտոիդների չմերկացած ինտրուզիաների հետ: Հանքավայրերը դիտվում են որպես թելեթերմալ (ցածր ջերմաստիճանային, հանքաքեր լուծույթների աղբյուրից հեռացած) առաջացումներ և պատկանում են լիննելիտ-խալկոպիրիտային ֆորմացիային:

ԸՆԳՀԱՆՐԱՅՈՒՄ ԿՈՒԱԼՏԻ ՎԵՐԱԲԵՐՅԱԼ ԵՎ ՈՐՈՆՄԱՆ
ՆՇԱՆՆԵՐԸ

Կորալաը գեոքիմիապես կապված է մասամբ հիմքային և ուլտրահիմքային ապարների, մասամբ էլ չափավոր թթու գրանիտիզների հետ:

Կորալաի արդյունաբերական կուտակումներն առաջանում են լիկվացիոն պղինձ-նիկելային հանքանյութերում և Co, Ni, Fe արսենիդների (երբեմն Ag, Bi, U միներալների խառնուրդ) և պղնձի ու քաղամամետաղների հիդրոթերմալ հանքավայրերում:

Հիպերգեն պայմաններում կորալաի կուտակումները կապված են ուլտրահիմքային ապարների զանգվածների հոգմահարման հետ և ներկայացված են նիկելի ջրային սիլիկատների հետ զուգակցված սարոլանային սև հանքանյութերով:

Գեոքիմիապես առանձնապես բնորոշ է Co ասոցիացիան Cu, Ni, Fe, իսկ հազվագեպ As, Ag, Bi, U, Pb, Zn հետ:

Կորալաի որոնումների ժամանակ հուսալի նշան են հանդիսանում օքսիդացման զոնայում տարածված նրա երկրորդային միներալները՝ վարդագույն էրիտրինը և սև սարոլանը: Հաջողությամբ կիրառվում են մետալոմեաբիկ, հիդրոքիմիական և բուսաբանական, իսկ այնտեղ, որտեղ Co հանդիպում է U հետ՝ ռադիոմետրիկ մեթոդները:

ՀԻՄՆԱԿԱՆ ԳՐԱԿԱՆՈՒԹՅՈՒՆ ԿՈՒԱԼՏԻ ՎԵՐԱԲԵՐՅԱԼ

Азизбеков Ш. А. О Дашкесанском кобальтовом месторождении. Изв. Аз. ФАН СССР, 1939, № 5.

Карасик М. А. О кобальтовых месторождениях Советского Союза в связи с некоторыми особенностями генезиса кобальтовых руд. Изв. АН СССР, серия геол., № 5, 1939.

Кротов Б. П. Закономерность распределения на Урале комплексных месторождений железных, никелевых и кобальтовых руд категории выветривания. Изв. АН СССР, № 2, 1945.

Крутов Г. А. Минералогия и генезис кобальтового оруденения в Дашкесанском контактово-метасоматическом месторождении. Труды МГРИ, т. X, 1937.

Крутов Г. А. и др. Кобальтоносные месторождения Южного Урала. Труды ВИМС, вып. 147, 1939.

Крутов Г. А., Гудима Н. В. Кобальт. Справочник для геологов. Госгеолиздат, 1948.

Маянц А. Д. Кобальт. Metallurgizdat, 1934.

Перельман Ф. М. и др. Кобальт. АН СССР, 1949.

Ульянов Д. Г. и др. Кобальтоносные руды Урала. Сб. трудов ВИМС, вып. 167, 1940.

Унксов В. А. Некоторые черты металлогении и геохимии кобальта. Зап. ВМО, ч. 83, № 4, 1954.

Ферсман А. Е. Геохимия кобальта. Изв. АН СССР, серия геол., № 3, 1939.

Щербаков Д. И. Дашкесан как сырьевая база кобальта. Цв. металлы, № 2, 1939.

Bastin E. D. Significant replacement textures at Cobalt and South Lorraine, Ontario, Canada. Econ. Geol., v. 45, 1950, № 8.

Lacroix A. Les peridotites de la Nouvelle—Caledonie, leurs serpentinites et leur gites, de nickel et de cobalt. Les gabbros qui les accompagnent. Mém. Ac. Sc. t. 66, 1942.

Perrault R. Le Cobalt, Paris, 1946.

Roland S. Yosny. Cobalt (AGS Monograph, 108), 1948.

Thomson Ellis. A qualitative and quantitative determination of the ores of Cobalt. Ontario. Econ. Geol., v. 25, 1930.

Մ Պ Լ Ի Բ Պ Ե Ն (Mo)

ԸՆԴՀԱՆՈՒՐ ՏԵՂԵԿՈՒԹՅՈՒՆՆԵՐ

Մետաղական մոլիբդենն առաջին անգամ առանձնացվել է մոլիբդենիտից 1781 թվականին, շվեդական քիմիկոս Շեելեի կողմից, սակայն գրանից հետո երկար ժամանակ մոլիբդենի միացությունները աննշան կիրառում են ունեցել միայն ներկերի արտադրության մեջ:

Մետաղը լայն կիրառում է ստացել միայն XX դարի երկրորդ քառորդին, որակյալ պողպատների և հատուկ համաձուլվածքների մետալուրգիայի մեջ:

Mo հավելույթը խիստ բարձրացնում է պողպատի ձկունությունը և դիմացկունությունը, որի կապակցությամբ մոլիբդենով լեգիրված պողպատները լայնորեն կիրառվում են մոտորաշինություն ու մեքենաշինության, ռազմական արդյունաբերության մեջ (հրանոթային և զրահային պողպատներ) և ավիացիայում: Mo համաձուլվածքները Ni, Co, Cr, V, W հետ՝ ստեղծում են, ինչպես նաև Mo կարբիդ (Mo_2C) պարունակող կարծր համաձուլվածքները լայնորեն կիրառվում են որպես գործիքային և թթվակայուն համաձուլվածքներ: Mo հավելույթը պողպատին կատարվում է ֆերրոմոլիբդենի (պարունակում է 60—65% Mo), կամ կալցիումի մոլիբդատի $CaMoO_4$ (40—45% Mo) ձևով:

Մաքուր մետաղական մոլիբդենը կիրառվում է էլեկտրալամպերի շիկացման թելիկների արտադրության մեջ (W փոխարեն), ռադիոտեխնիկայում, էլեկտրավառարանների փաթեթների համար (Pt փոխարեն): MoO_3 միացությունն օգտագործվում է նավթի կրեկինգ պրոցեսում որպես կատալի-

դատոր և ներկերի ու քիմիական սեփականությունների արտագրություն մեջ:

Մոլիբդենի համաշխարհային (առանց ՍՍՌՄ-ի) ձուլումը 1954 թ. կազմել է 32500 տոննա, որից համարյա 90⁰/₁₀-ը բաժին է ընկել ԱՄՆ-ին (այդ քանակություն 3/4 տալիս է ՄՕ-ով հարուստ Կլայմակա հանքավայրը, մնացածը ստացվել է ՄՕ 0,018⁰/₁₀ միջին պարունակություն ունեցող պղինձ-մոլիբդենային հանքանյութերից):

Մոլիբդեն արդյունահանող այլ երկրներից հարկավոր է նշել Մեքսիկան և Չիլին (1000—1500-ական տոննա), Ֆինլանդիան և Նորվեգիան (500—700-ական տոննա), ինչպես նաև Պերուն (200—300 տոննա) ՄՕ տարեկան:

Մոլիբդենի հեռանկարային և բավականաչափ խոշոր հանքավայրեր ունեն Չինաստանը և Հարավսլավիան, հավանաբար Իրանը, իսկ համեմատաբար ոչ մեծ հանքավայրեր հայտնի են Ավստրալիայում, Մարոկկոյում, Տրանսպարում, Ռումինիայում, Հունաստանում, Թուրքիայում, Կանադայում, Ալյասկայում, Շվեդիայում և Գրենլանդիայում:

ՄՕ համաշխարհային հաշված պաշարներն արտասահմանյան երկրներում կազմում են 1.200 հազ. տոննա և կենտրոնացած են գլխավորապես ԱՄՆ-ի արևմտյան նահանգներում (Կոլորադո, Յուտա, Նյու-Մեքսիկո, Արիզոնա), Մեքսիկայում, Չիլիում և Հարավսլավիայում: ՄՕ արտասահմանյան խոշորագույն հանքավայրեր են հանդիսանում Կլայմակա (մոտավորապես 500 հազար տոննա ՄՕ պաշարներով) և Բինհեմը (մոտավորապես 200 հազար տոննա ՄՕ պաշարներով):

Մոլիբդենի խոշոր, արտասահմանյան բնդհանուր պաշարներին քիչ զիջող, պաշարներ կան ՍՍՌՄ-ի, գլխավորապես Հայկական ՍՍՌ-ի, Հյուսիսային Կովկասի սահմաններում, ինչպես նաև Ղազախստանի ու Ուզբեկստանի ՍՍՌ-ների տերիտորիաներում, Անդրբայկալում, երկրի Հյուսիս-արևելյան և Հեռավոր-արևելյան շրջաններում, նաև Կամչատկայում:

* * *

ՄՕ միջին պարունակությունը երկրի կեղևում կազմում է 0,001⁰/₁₀:

Մոլիբդենը ծծմբի հետ շատ ուժեղ խնամակցող մի էլե-

մենտ է, որը հեշտությամբ տալիս է շարժունակ միացություններ՝ հալոթիզներ կամ $\text{SiO}_2 \cdot 12\text{MoO}_3 \cdot n\text{Na}_2\text{O} \cdot \text{H}_2\text{O}$ տիպի հետեւորոպոլիսիլիցիումային թթուներ, որոնք մագմատիկ օջախից Sn, W, Bi, As, Cu և այլ մետաղների հետ միասին դուրս են բերվում գազա-ջրային լուծույթներով:

Mo արդյունաբերական կուտակումները գենետիկորեն սերտ կապված են թթու և չափավոր թթու գրանիտոիդների՝ գրանիտների, գրանոգիորիտների, կվարցային մոնցոնիտների ու դիորիտների հետ և տեղադրված են հիդրոթերմալ փոփոխված ինտրուզիվ զանգվածների սահմաններում, մասամբ էլ վերջինների էկզոկոնտակտային զոնաներում:

Առանձնացվում է երկու գլխավոր գեոքիմիական ասոցիացիա՝

ա) Mo-ը W, Sn, Bi, As, Be ասոցիացիայում, որը կապված է մետալոգենիկ գոտիների արտաքին (անագ-վոլֆրամային) զոնաների թթու գրանիտների հետ,

բ) Mo-ը Cu-ի հետ, որը կապված է մետալոգենիկ գոտիների ներքին (պղնձահանքային) զոնաների չափավոր թթու գրանիտոիդների հետ:

Էկզոգեն պայմաններում Mo կուտակվում է երբեմն անխային և բխումային թերթաքարերում, որտեղ նրա պարունակությունը հասնում է 0,02—0,05-ից մինչև 0,1⁰/₀:

Հանքանյութերի գլխավոր արդյունաբերական միներալն է մոլիբդենիաը MoS_2 (60⁰/₀ Mo) Re խառնուրդով: Մոլիբդենիտը թեփուկավոր է, փափուկ, նման է գրաֆիտին (մոլիբդենիտի խազը կանաչավուն է, միկրոսկոպի տակ R 15—35, մինչդեռ գրաֆիտի խազը սև է, R 5—22). մյուս միներալներից կարելի է նշել ֆերրիմոլիբդիաը $\text{Fe}_2[\text{MoO}_4]_3 \cdot 7\text{H}_2\text{O}$ (60⁰/₀ Mo, դեղձանիկի դեղնից մինչև ծծմբի դեղին գույնի), պովելիաը CaMoO_4 (45⁰/₀ Mo, մոխրագեղին), վոլֆենիաը PbMoO_4 (25⁰/₀ Mo, մեղրի դեղնից մինչև դեղնա-կարմրագույն), իլվեմանիաը $\text{MoO}_3 \cdot \text{SO}_3 \cdot 5\text{H}_2\text{O}$ (69⁰/₀ Mo, սև-կապտագույն, լուծվում է ջրի մեջ, այն ներկելով երկնագույն): Որպես մոլիբդենի արդյունաբերական աղբյուր նշված միներալները շատ փոքր դեր են խաղում, սակայն հանդիպելով օքսիդացման զոնայում ավյալ մետաղի համար հանդիսանում են որոնման լավ նշաններ:

Հանքանյութերի արդյունաբերական տիպերի մեջ, որոնցից ստանում են մոլիբդեն, անհրաժեշտ է նշել հետևյալները՝

1) Մոլիբդենաբեր սկարներ, սովորաբար կոմպլեքսային շեկլիտ-մոլիբդենիտային, հազվադեպ բիսմուտին-մոլիբդենիտային: ՄՕ պարունակութունը $0,1-0,2^0/0$,

2) մոլիբդենաբեր գրեյզեններ և կվարցային երակներ, հաճախ վոլֆրամիտի, հազվադեպ կասսիտերիտի կամ բնածին ոսկու հետ: ՄՕ պարունակութունը $0,5-1^0/0$ և ավելի,

3) երկրորդական կվարցիաներ շտոկվերկային մոլիբդենիտային (կլայմակսի տիպի) հարուստ հանքանյութերով մինչև $0,5^0/0$ ՄՕ պարունակությամբ կամ մոլիբդենով ավելի ազքատ ցանավոր և երակիկա-ցանավոր պղինձ-մոլիբդենային հանքանյութերով, հաճախ Au և Bi խառնուրդով, սովորաբար ՄՕ $0,01-0,1^0/0$, հազվադեպ և ավելի պարունակությամբ:

Կարևորագույն նշանակութուն ունի վերջին տիպը, որին բաժին է ընկնում մոլիբդենային կոնցենտրատների համաշխարհային արդյունահանման $90^0/0$ -ից ավելին:

Մոլիբդենի պարունակության ստորին սահմանը մոնոմետաղական հանքանյութերի համար երակներում ընդունված է $0,1^0/0$, ցանավոր հանքանյութերում՝ $0,04-0,06^0/0$:

Կոմպլեքսային կազմի հանքանյութերում, նույնիսկ տոկոսի հազարերորդական մասերից մինչև $0,01^0/0$ ՄՕ պարունակության դեպքում, մետաղը հանքանյութերից ստացվում է շնորհիվ մոլիբդենիտի հեշտ ֆլոտացիայի, հաշվի առնելով միաժամանակ հիմնական կոմպոնենտների արդյունաբերական պարունակութունը:

Մոլիբդենային կոնցենտրատների արժեքը բարձրանում է այն կապակցությամբ, որ նրանց մեջ կա սովորաբար մինչև $0,01-0,05^0/0$ քանակությամբ պեքսիում հազվագյուտ մետաղը, որը սովորաբար իզոմորֆ խառնուրդի ձևով մտնում է մոլիբդենիտի բաղադրության մեջ:

ՄՈՒԻԲԳԵՆԻ ՀԱՆՔԱՎԱՅՐԵՐԻ ԳԵՆԵՏԻԿ ՏԻՊԵՐԸ, ՄԵՏԱԼՈԳԵՆԻԿ ԴԱՐԱՇՐՋԱՆՆԵՐԸ ԵՎ ՄԱՐՋՆԵՐԸ

Մոլիբդենիտի ցրված թեփուկները հանդիպում են որոշ գրանիտներում, պեգմատիտներում և ապլիտներում, ըստ երկվոյթի, ուղեկից միներալի ձևով, որն անջատվել է լեռնային ապարների ձևավորման ուշ ստադիաներում:

Մոլիբդենի արդյունաբերական հանքավայրերը պատկանում են հետևյալ գեներտիկ տիպերին՝

1. Պեզմատախտային տիպ գրանիտային պեզմատիտները ուշ պնեմատոլիտային ստադիայում խոշոր թեփուկավոր մոլիբդենիտի նստեցումով վոլֆրամիտի, կասսիտերիտի, բիսմութիտի, երբեմն լասկոպիրիտի հետ: Մոլիբդենիտի բյուրեղները հաճախ հիանալի ձևավորված են և հասնում են 1 կգ կշռի: Այս տիպի բոլոր հանքավայրերը ունեն փոքր արդյունաբերական նշանակութուն և հայտնի են Կանադայում, Տրանսվալում, Ավստրալիայում, Սկանդինավյան երկրներում, ինչպես նաև Կարելական ԱՍՍՌ-ում և Հայկական ՍՍՌ-ում:

2. Սկարնային տիպ: Հանքավայրերը գեներալիտերն և տարածականորեն սերտ կերպով կապված են չափավոր թթու գրանիտոիդների հետ և հարում են սովորաբար վերջինների և կարբոնատային ապարների կոնտակտային զոնաներին, որտեղ կարբոնատային ապարները վերամշակված են գրանատ-պիրոքսենային սկարները:

Սկարնային ապարի մեջ սովորաբար ցրված է շեելիտը. սկարները ներթափանցված են կվարցի, մոլիբդենիտի և այլ սուլֆիդների բարակ երակիկներով ցանցով, որոնք առաջացել են ավելի ուշ, հիդրոթերմալ ստադիայում: Մոլիբդենային հանքանացումը տարածականորեն վերադրվում է շեելիտաբեր սկարների առանձին տեղամասերի վրա, իսկ մասամբ էլ դուրս է գալիս սկարնային զոնաների սահմաններից, անցնելով ինտրուզիվ ապարների և էկզոկոնտակտի եղջրաքարերի մերձկոնտակտային տեղամասերը:

Այս տիպին են պատկանում ՍՍՌՄ-ի մի շարք հանքավայրեր (Տիրնիաուզը Հյուսիսային Կովկասում և Լյանգարը Միջին Ասիայում), Պայն-Կրիկը ԱՄՆ-ում (Կալիֆորնիա), Ազեգուրը Մարոկկոյում (հանքանյութերն այստեղ պարունակում են ուրանի խառնուրդ), ինչպես նաև Ավստրալիայի (Իեռնոլմ) և Ռումինիայի (Bi—Mo Բայտցա հանքավայրը Բիհորյան լեռներում) ոչ մեծ հանքավայրերը. ՍՍՌՄ-ում նրանք ուսումնասիրված են Ն. Ա. Խրուշչովի, Ա. Վ. Պեկի և Լ. Ա. Վարդանյանցի կողմից:

Հանքանյութերը կոմպլեքսային են՝ $W—Mo$, հազվագեղ $Mo—Bi$, Mo 0,1—0,2%, WO_3 0,5—1% և Bi 0,2% պարունակությամբ:

Որպես մոլիբդենի աղբյուր այս տիպի հանքավայրերն ունեն երկրորդական արդյունաբերական նշանակություն:

3. Կվարց-մոլիբդենիտային երակների և գրեյզենների (հա-

ճախ վոլֆրամիտի կամ դյուբեներիտի, հազվադեպ կասսիտերիտի, բիսմութինի, բերիլիի հետ) ֆորմացիայի բարձր ջերմաստիճանային հիդրոթերմալ հանքավայրեր, գենետիկորեն սերտ կապված թթու գրանիտները հետ:

Այս տիպի հանքավայրերի զարգացման շրջանները հաճախ համընկնում են կվարց-վոլֆրամիտային և կվարց-կասսիտերիտային հանքավայրերի մարդերի հետ, կազմելով միասնական ֆորմացիա, որը մանրամասնորեն նկարագրված է Ֆ. Վ. Չուխրովի աշխատություններում:

Տվյալ տիպի հանքավայրերը լայնորեն տարածված են ՍՍՌՄ-ի բազմաթիվ շրջաններում (Ղազախական ՍՍՌ-ում, Անդրբայկալում, Միուրթյան արևելյան շրջաններում), Հարավային Չինաստանում, Ավստրալիայում, Տրանսվաալում: Այս տիպի առանձին հանքավայրեր հայտնի են նաև ԱՄՆ-ում (Կվեստա):

Հանքանյութերում Mo պարունակությունը սովորաբար բարձր է ($1^0/0$ և ավելի), սակայն պաշարները սահմանափակ են և արդյունաբերական նշանակությունը մոլիբդենի համար այնքան էլ մեծ չէ¹:

4. Պլինն-մոլիբդենային և մոլբդենային ցրված (երակիկացանավոր) հանքանյութերի ֆորմացիայի միջին ջերմաստիճանային հիդրոթերմալ հանքավայրեր, որոնք գենետիկորեն կապված են չափավոր թթու գրանիտոիդների հետ: Հանքայնացումն ընդգրկում է ինտրուզիվ ապարների զանգվածներն ու էկզոկոնտակտի զոնաները և արտահայտված է այդ ապարների երկրորդային կվարցացումով. ապարները ներթափանցված են կվարցի և սուլֆիդների՝ պիրիտի, մոլիբդենիտի, խալկոսիլիտի, բոնիտի բարակ երակիկներով և նույն սուլֆիդների ցանով:

Այս տիպի հանքավայրերը լայնորեն տարածված են պղնձի հանքայնացման շրջաններում՝ Հայկական ՍՍՌ-ում (Քաջարան, Ագարակ և ուրիշներ), Ուզբեկական ՍՍՌ-ում (Ալմալիկ), ԱՄՆ-ի արևմտյան նահանգներում (Կլայմակս, Քինհեմ, Ջայնո և ուրիշներ), Մեքսիկայում (Կանանեյա), Չիլիում (Չուկիկամատա), հայտնի են նաև Հարավսլավիայում (Մաչատիկա), Հունաստանում (Ակսիոպոլիս), Իրանում և Թուրքիայում:

Այս նույն տիպին են մոտենում նաև Կնարեն (Նորվեգիա) և Մատասվարա (Ֆինլանդիա) հանքավայրերը, որոնք ներկա-

¹ Վերջին տարիները Ղազախական ՍՍՌ-ում հայտնաբերված են այդ տիպի շատ խոշոր հանքավայրեր:

յացված են կվարցային երակներով և պիրիտ-խալկոպիրիտ-մոլիբդենիտային հանքայնացման շտովկերկներով:

Մօ պարունակութունը կլայմակսի հանքանյութերում կազմում է $0,3-0,5\%$, նորվեգիայի և Ֆինլանդիայի հանքավայրերի հանքանյութերում՝ $0,3-0,4\%$, իսկ ՍՍՌՄ-ի, ԱՄՆ-ի, Հարավսլավիայի և այլ երկրների պղինձ-մոլիբդենային հանքավայրերում սովորաբար տատանվում է $0,01-0,1\%$ սահմաններում, միաժամանակ Cu $0,5-1\%$ համարյա մշտական պարունակությամբ:

Տվյալ տիպի հանքավայրերի մասշտաբը հաճախ շատ խոշոր է և նրանք տալիս են մոլիբդենային կոնցենտրատների համաշխարհային արդյունահանման 90% -ից ավելին: Այդ քանակության համարյա $3/4$ տալիս է մոլիբդենի հակայական հանքավայր՝ կլայմակսը, իսկ մնացած $1/4$ պղինձ-մոլիբդենային հանքավայրերը, որոնք շատ կարևոր դեր են խաղում ոչ միայն Mo , այլև Cu համար (պղնձի համաշխարհային ձուլման 60%):

Փոքր արդյունաբերական նշանակութուն ունեցող Mo այլ կուտակումներից կարելի է նշել բարձր ջերմաստիճանային մերձմակերեսային պղինձ-տուրմալինային հանքանյութերի առանձին հանքավայրեր մոլիբդենիտի խառնուրդով (Բրադենը Չիլիում), ոսկի-տուրմալինային հանքավայրեր մոլիբդենի հետ, բազմամետաղ հանքավայրեր մոլիբդենի խառնուրդով, ինչպես նաև վուլֆենիտի և պովելլիտի կուտակումներ կապար-ցինկի որոշ հանքավայրերի օքսիդացման զոնայում, նստվածքային տիպի կուտակումներ Մանսֆելդի պղնձի հանքանյութերում (Mo $0,018\%$) և մի շարք շրջանների վանադիումարեր սեթերթաքարերում (Mo $0,01-0,1\%$): Պալեոգոլի հասակի թերթաքարերի հզոր շերտախմբերում կենտրոնացված են Mo հակայական պաշարներ (V , U և այլ մետաղները հետ), որի ստացման տեխնոլոգիան մշակված է: Այս տիպը որպես $\text{V}-\text{Mo}-\text{U}$ կոմպլեքսային հանքանյութ մեծ ապագա ունի:

Մե տ ա լ ո գ է ն ի կ դ ա ր ա շ ը ջ ա ն ն ե ր ք և մ ա ր գ ե ր ք : Ը ս տ հ ա ս ա կ լ ի մ ի ն չ ք ե մ բ ր յ ա ն և ն հ ա ն դ ի տ ա ն ու մ Ս կ ա ն դ ի ն ա վ յ ա ն երկրների (նորվեգիայի, Ֆինլանդիայի, Շվեդիայի), կանադայի, Հարավային Աֆրիկայի և ՍՍՌՄ որոշ հանքավայրեր: Մրանք ներկայացված են մոլիբդենաքեր գրանիտային պեգմատիտներով, $\text{Cu}-\text{Mo}$ հանքանյութերի երակներով և շտովկերկային զոնաներով: Մոլիբդենի համաշխարհային հանույթի մեջ այս հանքավայրերի դերը մեծ է:

Ըստ հասակի կալեդոնյան են հանդիսանում Ավստրալիայի հանքավայրերը (Կվինսլենդում) և ՍՍՌՄ որոշ հանքավայրերը, սրանք ներկայացված են գրեյզեններով և կվարցային երակներով մոլիբդենիտի և Sn, W, Bi միներալների պարունակությամբ:

Հեքցինյան հասակ ունեն Ղազախսկան և Ուզբեկսկան ՍՍՌ-ների պղինձ-մոլիբդենային և կվարց-մոլիբդենիտային (վոլֆրամիտով) հանքավայրերը, ինչպես նաև Ազեգուր սկանոնային հանքավայրը Մարոկկոյում: Այս հանքավայրերի դերը նույնպես համեմատաբար մեծ է:

Կիմաերյան հասակ ունեն Անդրբայկալի, ՍՍՌՄ-ի Հյուսիս-Արևելքի, ինչպես նաև Հարավային Չինաստանի կվարց-մոլիբդենիտային հանքավայրերը:

Ամենաբազմաթիվը և արդյունաբերական տեսակետից ամենակարևորները (համաշխարհային հանույթի 90⁰/₀-ից ավելի) ալպիական՝ գլխավորապես երրորդական (միոցենի?) հասակի հանքավայրերն են, որոնք տեղագրված են երիտասարդ լեռնային շղթաների սահմաններում և հաճախ մեծ բացարձակ բարձրությունների վրա: Սրանց են պատկանում ՍՍՌՄ-ի պղինձ-մոլիբդենային և սկանոնային (մոլիբդենիտ-շեելիտային) խոշորագույն հանքավայրերը՝ Քաջարանը, Աղաջակը, Տիրնիաուզը և այլն, ԱՄՆ-ի, Մեքսիկայի, Պերուի, Չիլիի, ինչպես նաև Հարավսլավիայի, Հունաստանի, Թուրքիայի և Իրանի մոլիբդենային և պղինձ-մոլիբդենային հանքավայրերը:

Պարզորոշ առանձնացվում են աշխարհի հետևյալ գլխավոր մոլիբդենային մարզերը՝

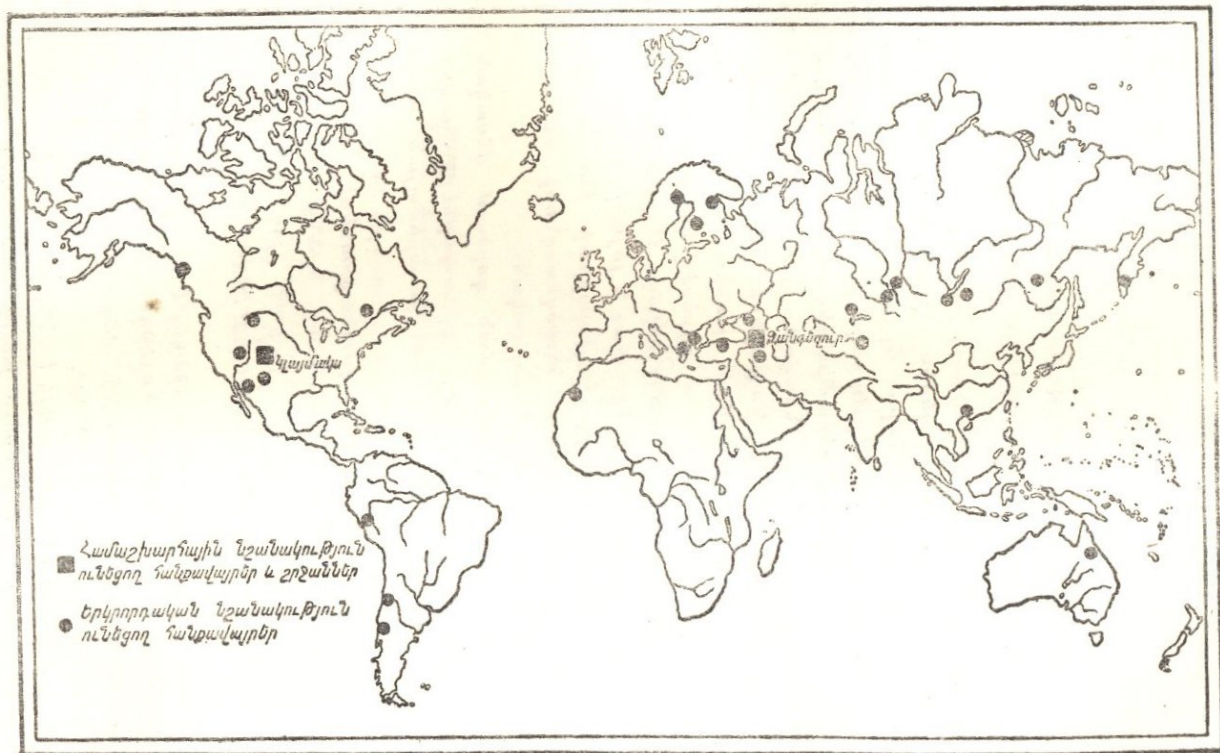
1) Խաղաղ օվկիանոսյան մեզո-կայնոզոյան մարզ, որն ընդգրկում է ՍՍՌՄ-ի արևելյան շրջանները, Հարավային Չինաստանը, ԱՄՆ-ի արևմտյան նահանգները, Մեքսիկան, Չիլին:

2) Միջերկրածովային մեզո-կայնոզոյան մարզ, որն ընդգրկում է Կովկասը և Անդրկովկասը, Բալկանները, Թուրքիան և Իրանը:

3) ՍՍՌՄ-ի Հեքցինյան մարզ (Ղազախսկան ՍՍՌ և Միջին Ասիա):

4) Կանադա-Սկանդինավյան մինչքեմբրյան մարզ Կանադայի, Նորվեգիայի, Ֆինլանդիայի և Շվեդիայի հանքավայրերով:

Մոլիբդենով ամենահարուստը և արդյունավետը առաջին



Նկ. 39. Աշխարհի մոլիբդենի խոշորագույն հանքավայրեր:

երկու մարդերն են, որտեղ մոլիրդենի հազեցվածութեամբ հատկապէս աչքի են ընկնում ԱՄՆ-ի արեւմտյան նահանգները և Անդրկովկասը (Հայկական ՍՍԻ):

Աշխարհի ամենազլխավոր մոլիրդենային հանքավայրերի տեղաբաշխումը ցույց է տրված քարտեզի վրա (նկ. 39):

ՄՈԼԻԲԴԵՆԻ ՀԱՆՔԱՎԱՅՐԵՐԻ ՆԿԱՐԱԳՐՈՒԹՅՈՒՆԸ

ՄՈԼԻԲԴԵՆԻ ՀԱՆՔԱՎԱՅՐ ՍԿԱՌԵՆԵՐՈՒՄ

Տիրնիխուզ հանքավայրը գտնվում է Հյուսիսային Կովկասում Բաքսան գետի վերին հոսանքում, 2500—3000 քրաքարձակ բարձրութեան վրա: Շրջանը կազմված է պալեոզոյան (վերին դեոն-պերմ) թերթաքարերի, ավազաքարերի, տուֆիտների և մարմարների շերտախմբից, որն առաջացնում է մի իջվածք և երկու լայնակի վարնեովածքով սահմանակցում է հյուսիսում մետամորֆային թերթաքարերի, իսկ հարավում՝ մինչքեմբրյան հասակի գնեյսանման գրանիտների հետ: Պալեոզոյի և մինչքեմբրի ապարները արանագրեսիվ կերպով ծածկված են ստորին յուրայի (լեյաս) հասակի ավազա-թերթաքարային շերտախմբով և հատված են (ներառյալ և լեյասի շերտախումբը) գրանիտի, գրանիտ-պորֆիրի և լիպարիտի ինտրուզիաներով. ինտրուզիվ ապարների հասակը հետազոտողների մեծամասնութեան կողմից համարվում է երրորդական:

Հանքայնացման տեղայնացման գործում վճռական նշանակութեւն են ունեցել շրջանի բոլոր ապարները հատող հզոր, մինչև 5 կմ երկարութեւն և հյուսիս-արեւմտյան տարածում ունեցող խախտման գոնաները:

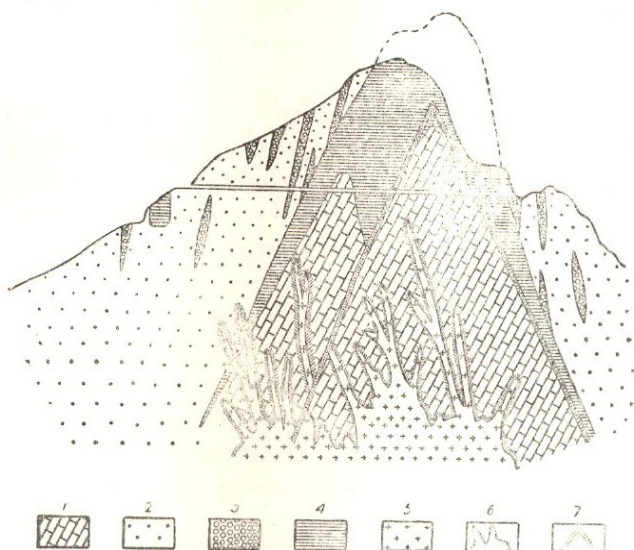
Գրանիտոսիզային օջախի էմանացիաների ազդեցութեան տակ գոյացել են հանքաքեր սկառներ. նրանք տեղադրված են կրաքարերի հորատանման բարձրացած բլուկի և եղջրաքարերի սահմաններում առաջացած երկու կցորդված խախտման գոնաների երկայնքով (նկ. 40):

Առաջին ստազիայում առաջացել է մանրահատիկ սկառներ, որը կազմված է պիրոքսեն-հեդենբերգիտից, հիմքային պլազիոկլազից, կարմրագորշ գրանատից, վեզուվիանի և վոլաստոնիտի խառնուրդով:

Երկրորդ ստազիայում տեղի է ունեցել մանրահատիկ սկառների բեկորատում և ձեղքերում խոշոր հատիկավոր պիրոքսենի

ու գրոսուլյարի (ըստ պլազիոկլազի) և շեելիտի երակիկների առաջացում: Շեելիտը հաճախ ներթափանցված է մոլիբդենիտի մանրագույն թեփուկներով:

Երրորդ ստադիայում, որը տեղի է ունեցել նոր բեկորատումից անմիջապես հետո, առաջացել են ադյուսակարմիր գրանատը, կվարցը և մոլիբդենիտը: Այդ ժամանակ կատարվել է սկառների ինտենսիվ գրանատացում և կվարց-մոլիբդենիտային երակիկների առաջացում սկառներում ու բիոտիտային եղջրաքարերում:



Նկ. 40. Տիրեհաուզի լեռնագագաթի շրջանի ստրուկտուրայի սխեման (ըստ Ա. Վ. Պեկի)

1—կրաքարեր, 2—եղջրաքարեր, 3—եղջրաքարացած ավազաքարեր և կոնգլոմերատներ, 4—սկառներ, 5—լեյկոհրատ գրանիտոիդներ, 6—«կոնտակտային» սկառներ, 7—բեկորատման զոնա և գրանատ-սուլֆիդային սկառներ:

Չորրորդ ստադիան տեղի է ունեցել վերին հորիզոններում լոկալ արտահայտված ինտենսիվ տեղաշարժերից ու բեկորատումից հետո և ուղեկցվել է կեղտոտ դեղին և մուգ գորշ գույների գրանատի, ֆլյուորիտի ու սուլֆիդների (պիրիտի, պիրրոտինի, արսենոպիրիտի, սֆալերիտի, խալկոպիրիտի) նստեցումով:

Սկառային մարմինն ամբողջությամբ վերցրած ունի անկանոն ձև առանձին փքվածքներով վերին և կենտրոնական մաս-

սերում: Հարթագծում հանքաբեր սկառների մարմինն ունի մանգաղի տեսք կենտրոնում մինչև 100 մ, իսկ թևերում մինչև 2 մ լայնությամբ: Հանքամարմնի երկարությունն ըստ տարածման ավելի քան 1000 մ է, իսկ ուղղաձիգ ուղղությամբ ավելի քան 700 մ: Մոլիբդենիտային հանքայնացումը սերտորեն կապված է կվարցի ու աղյուսակարմիր գրանատի հետ և վերահսկվում է սկառնառջացման երրորդ ստադիայում տեղի ունեցած բեկորատման զոնաներով: Մոլիբդենիտը վերադրված է սկառներում ցրված շեելիտի հանքայնացման վրա և այդպիսի տեղամասերում հանքանյութը կոմպլեքսային է, WO_3 -ի (0,3—0,5 մինչև 1%) և Mo -ի (մինչև 0,1—0,2%) արդյունաբերական պարունակությամբ:

Մոնոմետաղական մոլիբդենային հանքանյութերը տարածված են սկառների սահմաններից դուրս, եղջրաքարերում ու գրանիտ-պորֆիրներում և ներկայացված են կվարց-մոլիբդենիտային շտոկվերկային, սովորաբար աղքատ հանքայնացումով:

Լ. Ա. Վարդանյանցն առանձնացնում է մետալոգենիկ տարբեր դեր ունեցող ինտրուզիաների չորս հաջորդական ֆազեր՝

1) էլջուրտինյան գրանիտներ, որոնք ուղեկցվում են գրանիտ-պորֆիրներով, պորֆիրներով, ապլիտներով, սրանց հետ կապված է շեելիտի հանքայնացումը,

2) գրանիտ-պորֆիրներ, հանքազուրկ,

3) անօրթոկլադային գրանիտ-ապլիտներ, հանքազուրկ,

4) կվարց-անդեզինային և կվարց-լաբրադորային ապլիտներ՝ դսյկաների շտոկվերկի ձևով. այդ շտոկվերկի մերձավոր մասերում և հենց նրա սահմաններում տարածված է ավելի երիտասարդ շտոկվերկի, որը ներկայացված է մոլիբդենիտ պարունակող կվարցային երակներով և երակիկներով, վերադրված մասամբ սկառների, մասամբ էլ եղջրաքարերի վրա: Սկառնային դաշտի սահմաններում կվարց-անդեզինային ապլիտների առկայությունը դիտվում է որպես հուսալի նշան Mo համար և հետևություն է արվում շեելիտի և մոլիբդենիտի անջատ հետախուզություն կատարելու նպատակահարմարության մասին:

Անհրաժեշտ է նշել, որ շեելիտի հիմնական քանակությունը նստում է գրանատացման (սլաբիոկլազի հաշվին գրոսուլյարի առաջացման) հետ զուգահեռ, որը կապված է հիմքային բաղադրություն ունեցող սլաբիոկլազի քայքայման ժամանակ ազատվող CaO -ի բարձր ակտիվության հետ. այս պատճառով շեելիտի

քանակությունը մեծ է պլազիոկլադ-պիրոքսենային գրանատայ-ված սկառների մեջ և քանի որ վերջինները զարգացած են գլխավորապես խոր հորիզոններում, ապա շեելիտի պարունակությունը ըստ խորության աճում է:

Հանքավայրը պատկանում է սկառնային տիպին, որում մոլիբդենի հանքայնացումը վոլֆրամի (շեելիտի) հանքայնացման հետ համեմատած առաջացել է ավելի ուշ՝ հիդրոթերմալ պայմաններում: Սկառնային զոնաներում վոլֆրամի և մոլիբդենի մեկուսացումը ժամանակի և մասամբ տարածության մեջ Ա. Գ. Բեռնիտինը (1953) բացատրում է նրանով, որ ՄՕ ունենալով արտակարգ արտահայտված խնամակցություն ծծմբի հետ, չի կարող նստել լուծույթներից, մինչև որ նրանց մեջ չստեղծվի S²⁻-իոնների բավականաչափ կոնցենտրացիա (տեղի է ունենում լուծույթների սառեցման ժամանակ):

Այդ իսկ պատճառով սկառնային զոնաներում մոլիբդենի հանքայնացումը սովորաբար ավելի ուշ է առաջանում, քան ավելի բարձր ջերմաստիճանային վոլֆրամային հանքայնացումը, թեև այստեղ սուլֆիդների մեջ մոլիբդենիտն իդիոմորֆ թիթեղիկները կամ վարդիկները ձևով անջատվում է միշտ առաջինը:

ԿՎԱՐՅ-ՄՈՂԻԲԴԵՆԻՏԱՅԻՆ ՖՈՐՄԱՅԻՆ ՀԻԴՐՈԹԵՐՄԱԼ ԲԱՐՁՐ ՁԵՐՄԱՍԻՃԱՆԱՅԻՆ ՀԱՆՔԱՎԱՅՐ

Արևելյան Կոռունրադ: Հանքավայրը գտնվում է Բալխաշ լճից դեպի հյուսիս, հերցինյան հասակի գրանիտի ու գրանոզիորիտի զանգվածի մեջ և ներկայացված է մոլիբդենիտ ու վոլֆրամիտ պարունակող զառիթափ ընկնող կվարցային երակների սերիայով և այդ երակների զայրանդներում զարգացած գրեյզենների երականման մարմիններով:

Հանքային զոնան ամբողջությամբ ըստ տարածման հետամտվում է համարյա 5 կմ, 200 մ լայնությամբ. նրա սահմաններում տեղադրված է կուլիտաձև երակների մի սիստեմ: Առանձին երակներ ըստ տարածման հետամտվում են հյուսիս-արևմտյան ուղղությամբ հարյուրավոր մետրեր 0,25—1,5 մ կարողությամբ. հաճախ նրանք ճյուղավորվում և ուղեկցվում են բարակ երակիկների սերիաներով:

Երակների և գրեյզենների կազմությունն է՝ կվարց, մուսկովիտ, մոլիբդենիտ, պիրիտ, ֆլյուորիտ, տոպազ, բերիլ, վոլ-

Ֆրամիտ: Երակները կենտրոնական մասը կազմված է բաց մոխրագույն հոծ կվարցից, իսկ եզրամասերը ներկայացված են կվարց-մուսկովիտային զրեյզենով, ընդ որում կվարցային երակի և զրեյզենի միջև կոնտակտը կտրուկ է, իսկ զրեյզենի և գրանիտի միջև՝ աստիճանական:

Հանքային զոնայի սահմաններում հանքայնացման բաշխման մեջ նշվում է հորիզոնական և ուղղաձիգ զոնալություն:

Հանքային զոնայի արևելյան մասում կվարցի երակներում հանդիպում են պիրիտ, ֆլյուորիտ, իմենսոուտիլ և մոլիբդենիտի, նոսր, մանր ցան. այս տեղամասն արդյունաբերական նշանակություն չունի: Հանքային զոնայի կենտրոնական մասում երակները կազմված են մոխրագույն կվարցից, խոշորաթեփուկ մոլիբդենիտի սֆերոլիտանման ագրեգատներով. մինչև 15 սմ ընդլայնական կտրվածք ունեցող մոլիբդենիտի կուտակումները կվարցի մեջ բաշխվում են անհավասարաչափ կամ կվարցի և զրեյզենի սահմաններում առաջացնում են մինչև 5 սմ կարողություն ունեցող ընդհատվող երիզներ: Երկու զալրանդներումն էլ դիտվում են մոլիբդենիտի 1—2 սմ չափի մանր թեփուկներ ցան: Երակներում և զրեյզենում ՄՕ պարունակությունն արդյունաբերական է, սակայն այն նվազում է 200—250 մ խորություն վրա, որտեղ երակները ձեռք են բերում արևելյան տեղամասի հանքազուրկ երակները համանման բնույթ: Հանքային զոնայի արևմտյան թևում էրոզիայի շնորհիվ մերկացված վերին հորիզոններում երակները պարունակում են վոլֆրամիտային հանքայնացում մոլիբդենիտի չնչին խտոնուրդով. ըստ խորություն մոլիբդենիտի պարունակությունն աճում է և երակները ձեռք են բերում նույն բնույթը, ինչ-որ կենտրոնական տեղամասում: Հանքայնացման բաշխման այս առանձնահատկությունները բացատրվում են առաջնային ուղղաձիգ զոնալության առկայություն (երակային սերիայի վերին հորիզոններն ավելի հարուստ են եղել W, միջինը՝ ՄՕ, ստորինը՝ ազքատ են) և տարբեր էրոզիոն կտրվածքով, որն աճում է արևմուտքից դեպի արևելք:

Ըստ Ֆ. Վ. Չուխրովի կվարց-հանքային երակներն առաջացել են ձեղքերը մածուցիկ զանգվածով միաժամանակ լցվելու հետևանքով. այդ մասին վկայում են հետևյալ փաստերը՝ երակային կվարցի համաչափ հատիկավոր կազմը երակի ամբողջ հատվածքով, ձեղքերի պատերից դեպի կենտրոն նյութի աստիճանական նստեցման նշանների բացակայությունը, մոլիբդենիտի

անկանոն բաշխումը կվարցի մեջ, մոլիբդենիտի մեկուսացած անջատումների առկայությունը, նրանց սֆերոլիտանման բնույթը և երակի հատվածքի տարբեր մասերում գրուզային խորշերի առկայությունը: Մածուցիկ կոլլոիդալ զանգվածից միներալների նստեցման կարգը հետևյալն է՝ մոլիբդենիտ, պիրիտ, կվարց:

Մակերեսամերձ զոնայում (մինչև 10—15 մ խորությունը) լավ է արտահայտված մոլիբդենիտ տարրավազումը. այդ զոնայից ցած պսևդոմորֆոզների ձևով, ըստ մոլիբդենիտի, զարգանում է պովելիտը, որը վերանստեցված է լուծույթներից:

Մո միգրացիան հեշտանում է ջրերի թթու ռեակցիայի շնորհիվ (կապված հանքանյութերում պիրիտի առատությամբ հետ) և ընթանում է ավելի ինտենսիվ հարթված սելեֆի (ջրի տեղական շրջանառություն), ուժեղ չեղոքացնող նյութերի բացակայության (զրանիտների մեջ) պայմաններում: Ճեղքերի երկայնքով Մո տարրավազումն ավելի թույլ է, որովհետև շրջանառություն կատարող ջրերի առատությունը հանգում է կալցիումի բիկարբոնատի ներմուծմանը և մոլիբդենային թթվի՝ H_2MoO_4 չեղոքացմանը, որն ուղեկցվում է պովելիտի նստեցումով:

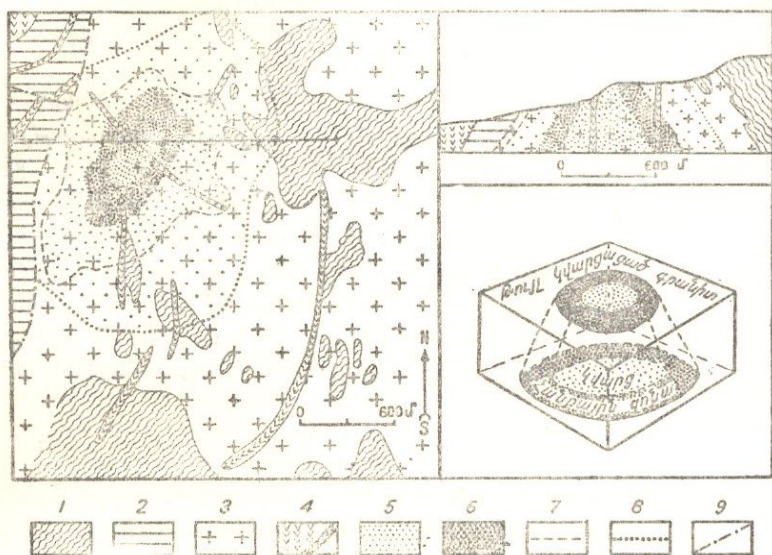
ՄՈԼԻԲԴԵՆԱՅԻՆ ԵՎ ՊՂԻՆՁ-ՄՈԼԻԲԴԵՆԱՅԻՆ ՖՈՐՄԱՅԻԱՆԵՐԻ ՀԻԴՐՈԹԵՐՄԱԿ ՄԻՋԻՆ ՋԵՐՄԱՍՏԻՃԱՆԱՅԻՆ ՀԱՆՔԱՎԱՅՐԵՐ

ԱՄՆ-ի հանքավայրերը: Այս տիպի բազմաթիվ հանքավայրերի շարքում կգիտենք ամենախոշորները և լավ ուսումնասիրվածները՝ զուտ Մո կայմակա հանքավայրը Կոլորադո նահանգում և պղինձ-մոլիբդենային Բինհեմ հանքավայրը Յուտա նահանգում:

Կլայմակա հանքավայրը տեղադրված է Ժայռոտ լեռների ջրբաժանի մոտ, մինչև 3700 մ բարձրության վրա. նա մշակվում է սկսած 1917 թ. և ներկայումս տալիս է մոլիբդենիտային կոնցենտրատների համաշխարհային հանույթի 2/3-ից մինչև 3/4-ը (հարստացնող գործարանի հզորությունը կազմում է 28 հազ. տ. հանքանյութ օրեկան):

Շրջանը կազմված է մինչքեմբրյան զրանիտներից և գնեյսներից, որոնք սեգրոնալ միջօրեական Մոսկիտո վարնետվածքով

կոնտակտ են կազմում վարնետավածքի երկայնքով 1 կմ իջեցված պալեոզոյի նստվածքային շերտամբի հետ: Խոր փորվածքներում հանդիպել է մոնցոնիտ-պարֆիրի մի շտուկ, որը, ինչպես և ինքը հանքայնացումը, կապվում է երրորդական գրանիտոիդային մագմայի օջախի հետ:



Նկ. 41. Կլայմակսի մոլիբդենի հանքավայրի բարձեզ և դիագրամա (ըստ Բեռլերի և Վանդերվիլտի)

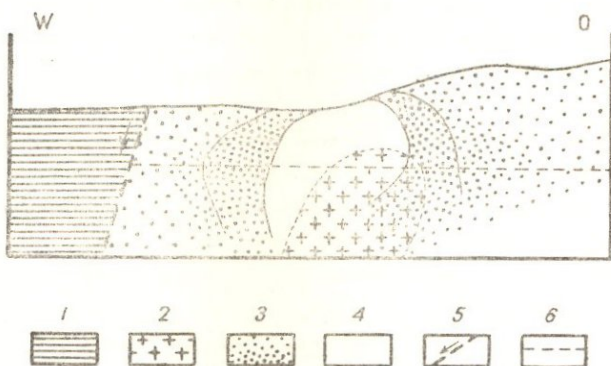
1—մինչքեմոքի թերթաքարեր, 2—կարբոնի և ավելի երիտասարդ նստվածքային ապարներ, 3—գրանիտ, 4—կվարցային մոնցոնիտներ, 5—կվարց, 6—հանքային զոնա, 7—թույլ կվարցացած զոնայի սահման, 8—լիմոնիտացած տարածությունների սահման, 9—Մոսկիտո վարնետավածք:

Հանքայնացումը ձգվում է վարնետավածքի երկայնքով և մակերեսում ունի ձվաձևի տեսք երեք կոնցենտրիկ զոնաներով (նկ. նկ. 41, 42). կտրվածքում հանքամարմնի ձևը խողովակաձևն է, կոնցենտրիկ կառուցվածքը պահպանվում է ըստ խորությունից:

Առաջին՝ արտաքին զոնան ներկայացված է կվարցացած և սերիցիտացված գրանիտ-գնեյսներով մագնետիտի և հազվադեպ մոլիբդենիտի ցանով. զոնայի կարողությունը 300—600 մ է. Մոսկիտոնակությունը նրա մեջ կազմում է տոկոսի հարյուրերոր-

դական մասեր և արդյունաբերական չէ: Օայրամասերում նա
աստիճանաբար անցնում է չփոփոխված գրանիտո-գնեյսների:

Նրկրորդ՝ միջին հանքային զոնան ներկայացված է խիստ
կվարցացած գրանիտ-գնեյսով, որը հատված է տարբեր ուղ-
ղությամբ կողմնորոշված կվարցի բազմաթիվ երակիկներով օր-
թոկլազի, պիրիտի, մոլիբդենիտի, երբեմն ֆլյուորիտի, կասսի-
տերիտի, մոնացիտի, առպազի խառնուրդով: Նրակիկները կարո-
ղությունը մի քանի միլիմետրից մինչև 5 սմ է. մոլիբդենիտը
կուտակվում է մասամբ երակիկների զալբանդների մոտ, սա-
կայն ավելի հաճախ ցրված է կվարցի հոծ զանգվածում և աչ-



Նկ. 42. Կլայմակսի մոլիբդենի հանքավայրի հանքայնացված
խողովակի իդեալականացված կտրվածք
(ըստ Գ. Վանդերվիլտի)

1—կարբոնի նստվածքներ, 2—կվարցային մոնցոնիտ-պոր-
ֆիր, 3—հանքային զոնա, միներալիզացիայի նվազեցումը
զեպի վերև, 4—տեղակալում կվարցով, 5—Մոսկիտո վար-
նեավածք, 6—զլխավոր շահագործման հորիզոն:

քով աննկատելի է. միայն հանքային կվարցի մոխրակապտա-
վուն երանգավորումն է հաստատում նրա մեջ նուրբ փոշիացած
մոլիբդենիտի առկայությունը:

Հանքային զոնայի կարողությունը 95—150 մ է, նա ուղ-
ղաձիգ ուղղությամբ պարզորոշ հետամտվում է մինչև 600 մ
խորությունը, ընդ որում խոր հորիզոններում հանքայնացումը
գրանիտ-գնեյսներից անցնում է երրորդական հասակի կվարցա-
յին մոնցոնիտ-պորֆիրի շտակի մեջ: Այդ զոնայում մոլիբդենի-
տի պարունակությունը կազմում է 0,5—0,84⁰/₀ (Մո 0,3—

0,5⁰/₀). նա ներկայացնում է արդյունաբերական հետաքրքրու-
թյուն և ինտենսիվ կերպով մշակվում է:

Երրորդ զոնան՝ կենտրոնական միջուկը, կազմված է հոծ
կվարցից մոլիբդենիտի և պիրիտի նոսր ցանով: Այս զոնայի
կարողութունը 300—500 մ է, ՄՕ պարունակութունը ցածր,
իսկ տեղ-տեղ էլ հասնում է 0,1⁰/₀: Անհրաժեշտ է նշել բոլոր երեք
զոնաների սահմաններում նոսր բարակ երակիկներ ձևով կվարց-
հյուրներիտ-խալիսպիրիտային կազմի հանքայնացման ավելի
ուշ ստադիայի հանդես գալը:

Ըստ Գ. Վանդերվիլտի, հանքայնացման տեղայնացումը
վերահսկվում է կվարցային մոնցոնիտ-պորֆիրի շտոկի գմբեթի
ուրվագծով, որի էկզո և մասամբ էնդոկենտակտում տարածված է
հանքայնացումը և հանքաբեր կանալի գեր կատարող Մոսկիտո
վարնետովածքով. վերջինս սովորաբար գիտում են որպես հե-
հանքային խախտում, որը տեղաշարժում է հանքային զոնաները,
միաժամանակ ընդգծում են, որ մինչհանքային հանքաբեր կա-
նալներն ունեցել են նույն ուղղությունը և վարնետովածքային
խախտումը վերադրվել է նրանց վրա ավելի ուշ:

Հանքավայրի յուրահատուկ ստրուկտուրան (ընդհանուր
խողովականման ձևն օղակային կտրվածքով) բավարար չափով
կարելի է բացատրել «միներալիզացիոն փլման» թեորիայի տե-
սակետից, որը մշակված է Ա. Վ. Կորոլյովի կողմից, ՄՍՌՄ-ի նույ-
նանման հանքավայրերի ուսումնասիրության ընթացքում: Այդ
թեորիայի համաձայն հանքայնացման վաղ ստադիայում փոխա-
դարձ հատող ճեղքերի երկայնքով տեղի է ունենում լեռնային
ապարների խոր հորիզոնների նյութի մի մասի լուծում, որը
հող է պատրաստում վերադիր ապարների փլման համար:

Ստրուկտուրայի և հանքայնացման զարգացման հաջորդ
ստադիայում փլված և բեկորատված ապարները ենթարկվում են
կայծքարացման, առաջացնելով կվարցային խողովակաձև մի-
ջուկ: Հանքայնացման վերջին սուլֆիդային ստադիայից առաջ
տեղի է ունենում հանքավայրի միջին մասի (կվարցային մի-
ջուկի) նոր լիցեցում կվարցացած ծայրամասերի հետ միասին,
որն ուղեկցվում է մասսայական բեկորատումով և ինտենսիվ սուլ-
ֆիդային հանքայնացումով: Վերջինն առաջացնում է երակիկա-
յին արդյունաբերական հանքանյութերի օղակային զոնա:

Ըստ հանքանյութի կազմի և մերձհանքային փոփոխու-
թյունների բնույթի հանքավայրը պատկանում է միջին ջեր-

մաստիճանային հիդրոթերմալ գոյացումներին և գենետիկորեն կապվում է երրորդական (միոցենյան?) հասակի գրանիտոիդային օջախի հետ, որի ածանցյալներն են ինչպես կվարցային մոնցոնիտ-պորֆիրի շտոկը, այնպես էլ հանքանյութերը:

Կլայմակս հանքավայրի ՄՕ պաշարները մինչև 600 մ խորությունը կազմում է 480 հազար տոննա:

Բինհեմ հանքավայրի շրջանում երրորդական հասակի կվարցային մոնցոնիտի շտոկը հատում է կարբոնի կրաքարաթերթաքարային շերտախումբը, որի կոնտակտում առաջացել են պղնձի սկանալին, իսկ փոքր ինչ հեռու՝ բաղմամետաղ հանքավայրեր: Կվարցային մոնցոնիտի շտոկի մեջ կենտրոնացած է պղինձ-մոլիբդենիտային հանքայնացումը, որը գրավում է $1 \times 1,5$ կմ մակերես և խորությամբ հետամտված է 800 մ: Հանքայնացումը ներկայացված է պիրիտի, խալկոպիրիտի և, հազվադեպ, մոլիբդենիտի երակիկներով ու ցանով. տեղ-տեղ տարածված են կվարցի ալեյի հզոր երակներ՝ պղինձ-մոլիբդենային հանքայնացումով:

Լավ է զարգացած երկրորդային սուլֆիդային հարստացման (խալկոզինային) գոնան, որը ներկայացնում է արդյունաբերական գլխավոր արժեքը (Cu 0,8—1⁰/₀, Mo 0,02—0,04⁰/₀): Այդպիսի ոչ հարուստ հանքանյութերից տարեկան ձուլում են 150 հազ. տ. պղինձ և զուգընթացաբար ստանում են 5000 տ. մոլիբդենիտային կոնցենտրատ:

Հանքավայրի պաշարները շատ խոշոր են՝ 7 մլն. տ. պղինձ և մոտավորապես 200 հազ. տ. մոլիբդեն. ՄՕ-ի պաշարներով և հանույթով արտասահմանյան հանքավայրերի շարքում նա գրավում է երկրորդ տեղը:

Ըստ գենետիկ տիպի այս հանքավայրը պատկանում է միջին ջերմաստիճանային հիդրոթերմալ գոյացումներին, երակիկացանավոր պղինձ-մոլիբդենային հանքանյութերի ֆորմացիային և նման է ՄՍՌՄ-ի մի շարք պղինձ-մոլիբդենիտային հանքավայրերին, հատկապես Քաջարանին:

Հայկական ՄՍՌ պղինձ-մոլիբդենային հանքավայրերը: Վերջին տասը տարիների ընթացքում Հայկական ՄՍՌ տերիտորիայում, գլխավորապես ուսպուրիկայի լեռնային հարավ-արևելյան, Իրանի հետ սահմանամերձ շրջաններում, ուսումնասիրված են երակիկացանավոր պղինձ-մոլիբդենային մի շարք հանքավայրեր՝ Քաջարան, Ազարակ,

Դաստակերտ և ուրիշներ, որոնք տեղադրված են 2000—2500 մ բացարձակ բարձրութեան վրա: Պղինձ-մոլիբդենային հանքայնացման այդ գոնան հետամտվում է հյուսիս-արևմտյան ուղղութեամբ դեպի ռեսպուբլիկայի կենտրոնական շրջանները, որտեղ նույնպես հայտնաբերված է բավական նշանակալից հանքավայր՝ Հանքավանը (Միոխանա): Պղինձ-մոլիբդենային հայտնի հանքավայրերի և հայտածուների ընդհանուր քանակը շատ մեծ է. նրանք կազմում են մի հանքային գոտի, որը ձգվում է հարավ-արևելքից դեպի հյուսիս-արևմուտք հարյուրավոր կիլոմետրեր և հայտնի է Փամբակ—Չանգեղուրի պղինձ-մոլիբդենային գոտի անվան տակ:

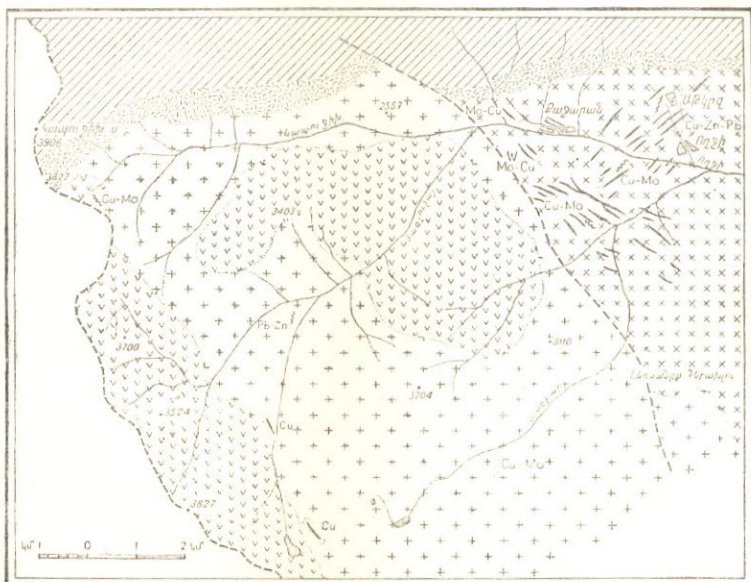
Ստրուկտուրայի տեսակետից նշված հանքային գոտին ներկայացնում է համակովկասյան տարածման խոշոր անտիկլինորիում, որը կազմված է պալեոզոյան հասակի հրաբխածին-նստվածքային հաստվածքներից, խիստ տրանսգրեսիվ կերպով ծածկված ավելի թույլ դիսլոկացված վերին կավճի և պալեոգենի (մինչև օլիգոցենը ներառյալ) հրաբխածին-նստվածքային հաստվածքներով: Այս բոլոր նստվածքները հատված են վերին երրորդական (միոցենյան?) հասակի գրանիտոիդներով, որոնք ծայր հարավ-արևելքում կազմում են Մեղրու խոշոր զանգվածը մինչև 1000 քառ. կմ մակերեսով: Մեղրու զանգվածից դեպի հյուսիս-հյուսիս-արևմուտք ամբողջ անտիկլինորիումի երկայնուսթյամբ հայտնի են մի շարք ավելի մանր զանգվածներ՝ մի քանի կմ մինչև տասնյակ քառ. կմ մակերեսով:

Ստույգ սահմանված են գրանիտոիդների ներգրման երեք ֆազեր հետևյալ հաջորդականութեամբ՝ 1) գարբրո, 2) մոնցոնիտներ, 3) գրանիտներ և գրանոդիորիտներ: Հանքայնացումը տարածականորեն հարում է ներգրման երրորդ ֆազի ամենաթթու ապարների, տեղադրվելով գրանիտի և գրանոդիորիտի զանգվածների էկզոկոնտակտում, մասամբ էլ էնդոկոնտակտում:

Շրջանի հիմնական տեկտոնական էլեմենտը, որն զգալի չափով վերահսկում է հանքայնացման ըաշխումը, հանդիսանում է հյուսիս-արևմուտքից դեպի հարավ-արևելք տարածվող Դեբաքուրի խախտումը, որն ըստ տարածման հետամտվում է 100 կմ, գլխավորապես, մոնցոնիտների և գրանիտ-գրանոդիորիտների կոնտակտի երկայնքով:

Խախտումը 45—55° անկյան տակ ընկնում է դեպի հյուսիս-արևելք և նրա երկայնքով մոնցոնիտները վրաշարժված են

ավելի երիտասարդ գրանիտ-գրանոդիորիտային ապարների վրա:
 Քաջարանի (Փիղզոուզանի) հանքավայրը, որը մանրամասնորեն ուսումնասիրված է Ս. Հ. Մովսիսյանի, Ս. Ս. Մկրտչյանի և ուրիշ գեոլոգների մեծ կողեկտիվի կողմից, հանդիսանում է ամենախոշորը: Հանքադաշտը կազմված է մոնցո-



Նկ. 43. Քաջարանի պղինձ-մոլիբդենային հանքավայրի շրջանի գեոլոգիական քարտեզ

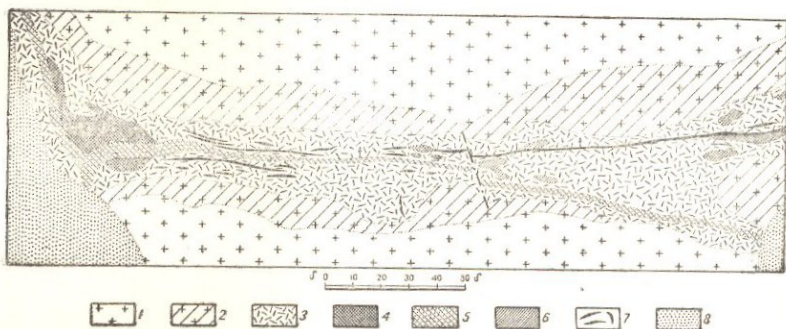
1—պորֆիրանման գրանիտներ, գրանոդիորիտներ և գրանոսինիտներ, 2—բանատիտներ (գրանոդիորիտներ), 3—մոնցոնիտներ, սիենիտներ, գիորիտներ, 4—գրանիտ-պորֆիրի, գրանոդիորիտ-պորֆիրի, սիենիտ-պորֆիրի գալիաներ, 5—էոցենի հրաբխ-նստվածքային հաստվածք, 6—կոնտակտային եղջրաքարեր, 7—ինտենսիվ հանքայնացման զոնաներ, 8—կվարցային երակներ, 9—տեկտոնական գծեր, 10—տեղամասեր առանձնապես հարուստ մետաղներով:

նիտային ֆազի ապարներից, որոնք Դերաքլուի խախտման ուղղությամբ վրաշարժված են գրանիտների և գրանոդիորիտների վրա (նկ. 43):

Մոնցոնիտները հատված են գրանիտ-պորֆիրների, գրանոդիորիտ-պորֆիրների և սիենիտ-պորֆիրների բազմաթիվ գայ-

կաներով, որոնք հարում են հյուսիս-արևմտյան և հյուսիս-արև-
 վելյան տարածման ճեղքերի երկու սիստեմներին:

Հանքայնացումը կենտրոնացված է համարյա բացառապես
 մոնցոնիտների մեջ, ընդ որում ավելի ինտենսիվ արդյունարե-
 րական հանքայնացումը բեկորատված և հիդրոթերմալ խիստ
 փոփոխված (սերիցիտացված, քլորիտացված, կաոլինացված,
 կվարցացած) մոնցոնիտների մեջ վերը նշված դաշկաների եր-
 կայնքով (նկ. 44) առաջացնում է զոնաներ: Դաշկաների ապար-



Նկ. 44. Փոփոխված մոնցոնիտների զոնալ տեղաբաշխումը պորֆի-
 րիտային դաշկաների երկայնքով

- 1—մոնցոնիտներ, 2—մոնցոնիտներ, հիդրոթերմերով թույլ փոփոխ-
 ված, 3—մոնցոնիտներ, կվարց-գաշտաշպատ-կարրոնատային ապար-
 ներ, հիդրոթերմերով խիստ փոփոխված, 4—սերիցիտ-կվարցային
 ապարներ (երկրորդային կվարցիտներ), 5—երակային պորֆիրներ,
 հիդրոթերմերով փոփոխված, 6—ապլիտ, 7—հանքաբեր կվարցային
 երակներ, 8—գելյուլիտ

ներն ամուր և թարմ են, սովորաբար թույլ հանքայնաց-
 ված: Հանքայնացված զոնաները դաշկաների երկայնքով հետա-
 մըտվում են 1—2 կմ տասնյակ մետրերի հասնող կարողու-
 թյամբ, այնտեղ, որտեղ դաշկաները մերձեցված են, առաջա-
 նում են հսկայական կարողության և տարածման հանքային զո-
 նաներ, որոնք կազմում են ջրբաժան «Հանքային լեռնաշղթան»:

Մոնցոնիտներում հանքայնացման ամենասովորական տի-
 պը ներկայացված է տարբեր ուղղությամբ կողմնորոշված, հա-
 ճախ փոխադարձ հատող և մեկը մյուսին տեղաշարժող կվարց-
 սուլֆիդային երակիկների ցանցով՝ միլիմետրի մասերից մինչև

5—10 մմ և հազվագեպ ավելի կարողությամբ, ինչպես նաև երակիկները միջև սուլֆիդների ցանով, այսպիսով, հանքայնացման բնույթը երակիկա-ցանավոր է:

Ավելի փոքր նշանակություն ունեն համեմատաբար հզոր (մինչև 0,5—5 մ) կվարց-հանքային երակները, որոնք ըստ տարածման և անկման հեռամտվում են հարյուրավոր մետրեր: Այդ երակները նույնպես բնորոշվում են պղինձ-մոլիբդենային հանքայնացումով, սակայն նրանք զգալիորեն ավելի հարուստ են մոլիբդենով (խոշոր թեփուկավոր, վաղ գեներացիայի) և, երակիկա-ցանավոր հանքանյութերի հետ համեմատած, ներկայացնում են փոքր-ինչ ավելի վաղ գոյացումներ: Առանձին տեղամասերում երակները ձևով են բերում ինքնուրույն արդյունաբերական նշանակություն, իսկ խոր հորիզոններում նրանց գերնամենուրեք մեծանում է:

Հանքամարմինների երկու մորֆոլոգիական տիպերի դըլխավոր հանքային միներալներն են՝ պիրիտը, խալկոպիրիտը և մոլիբդենիտը, որոնց հետ սովորաբար հանդիպում են բսոնիտ (հիպոգեն), սֆալերիտ, գալենիտ, էնարգիտ, լյուցոնիտ, բիսմութիտ, պղինձ-բիսմութային միներալներ, ավելի հազվագեպ մագնետիտ, հեմատիտ, շեելիտ, արսենոպիրիտ, արգենիտիտ, տեննանտիտ:

Հարկավոր է նշել, որ մագնետիտը և հեմատիտը մեկուսացված են ժամանակի և տարածության մեջ հանքայնացման առանձին ավելի վաղ ու բարձր ջերմաստիճանային (մինչև սուլֆիդային) ստադիայում, իսկ գալենիտն ու սֆալերիտը կազմում են պղինձ-մոլիբդենային հանքանյութերը հատուկ ավելի ուշ երակներ և երակիկներ:

Հանքանյութերում երակային միներալներինց առկա են կվարցը և կարբոնատները, իսկ պարունակող ապարներում լայն տարածված են նաև սերիցիտը, քլորիտը և կաոլինիտը, որոնք ուղեկցում են սուլֆիդային հանքայնացումը:

Հանքայնացումն ընթացել է տևական ժամանակաշրջանի ընթացքում ջերմաստիճանի աստիճանական անկման պայմաններում և մի քանի ստադիաներում. դա ապացուցվում է հանքային երակիկների կազմության տարրերությունամբ և նրանց փոխադարձ հատումներով: Պղինձ-մոլիբդենային հանքայնացման գլխավոր ստադիաները հետևյալներն են՝ 1) կվարց, պիրիտ, խոշորաթեփուկ մոլիբդենիտ, երբեմն մի քիչ հեմատիտ և մագ-

նետիտ, 2) կվարց, պիրիտ, մոլիբդենիտ, բոսնիտ, խալկոպիրիտ, 3) կվարց, կարբոնատներ, մոլիբդենիտ, խալկոպիրիտ, մի քիչ սֆալերիտ, գալենիտ, էնարգիտ, պղինձ-բիսմութային միներալներ, 4) կարբոնատներ, խալցեդոն, մի քիչ էլ նախորդ ստագիայի սուլֆիդներ:

Երակիրկա-ցանավոր հանքանյութերի հիմնական արժեքը ստեղծում են հանքանյւացման երկրորդ և երրորդ ստադիաները, իսկ երակային հանքանյութերի արժեքը՝ առաջին ստադիան:

Հետաքրքրական է նշել հանքանյւացման ուղղաձիգ և հորիզոնական զոնավության արտահայտումը: Հանքանյւացումն ուղղաձիգ ուղղությամբ լավ պահպանվում է մինչև 500 մ և ավելի խորությունը, ընդ որում նկատվում է խոր հորիզոնների հարստացում մոլիբդենիտով ու պիրիտով, ինչպես և պղինձի հանքանյւացման ինտենսիվության որոշ նվազում: Հորիզոնական ուղղությամբ, հանքաքեր ուղի հանդիսացող Գերաքլուի խախտումից հեռանալով, հանքանյութերում նվազում է մոլիբդենի ու պղինձի դերը և մեծանում է կապարի ու ցինկի համեմատական նշանակությունը:

Բազմամետաղ (կապար-ցինկի, պղինձի և մոլիբդենի խառնուրդով) հանքանյութերը զարգացած են պղինձ-մոլիբդենային հանքազաշտերի ծայրամասերում, երբեմն էլ մեկուսանում են ավելի ուշ ստադիայում, որը վերագրվում է պղինձ-մոլիբդենային ստադիայի վրա ոչ միայն հանքավայրի վերին հորիզոններում, այլև խորքում ավելի ուշ առաջացած ճեղքերում:

Ազարակի հանքավայրը. հանքազաշտը կազմված է մոնցոնիտներից և սիենիտ-գրանիտներից, որոնք հատված են միջօրեականի ուղղության վրաշարժի երկայնքով 600 մ հեռավազող գրանոդիորիտ-պորֆիրի հզոր դաշկայով (կամ շտոկով?):

Հանքանյւացումն ընդգրկում է գրանոդիորիտ-պորֆիրի դաշկան նրա ամբողջ 200 մ կարողությամբ և սիենիտ-գրանիտների ու մոնցոնիտների բեկորատված կոնտակտամերձ տեղամասերը:

Հանքանյւացման բնույթը երակիրկա-ցանավոր է, միայն Քաջարանի հանքանյութերից տարբերվում է նրանով, որ Ազարակում խիստ դերակղոտ է ցանավոր հանքանյւացումը, իսկ երակիրկներն ունեն երկրորդական նշանակություն:

Գաստակերտի հանքավայրը. հանքավայրի շրջանը կազմված է էոցենի հրաբխածին հաստվածքից (պորֆիրիտներ,

նրանց տուֆերը և տուֆորրեկչիաները), որը հասված է գրանո-
գիորիտի փոքր շտովներով:

Հանքայնացումը զարգացած է հրաբխածին ծածկի մնա-
ցորդում և մասամբ գրանոգիորիտային զանգվածների էնդոկոն-
տակտում, հյուսիս-արևմտյան տարածում ունեցող բեկորատման
զոնայի երկայնքով:

Հանքայնացման առաջին ստադիայում տեղի են ունեցել
պորֆիրիտների եղջրաքարացում և էպիդոտացում, նրանց մեջ
մանրաբյուրեղ պիրիտի ջրված ցանի լայն զարգացում՝ ձմարի
ներմուծման հետ կապված. պիրիտը զարգանում է պորֆիրիտ-
ների մուգ միներալների հաշվին, ընդ որում նրա առաջացման
համար անհրաժեշտ երկաթը, հալմանարար, ոչ թե ներմուծվել,
այլ փոխ է առնվել պարունակող ապարներից:

Ավելի ուշ, հանքայնացման երկրորդ ստադիայում, գրա-
նոգիորիտների և ծածկի պորֆիրիտների մեջ, նրանց կոն-
տակտի զոնայում մինչև 40—50 մ լայնութունն ունեցող գո-
տում նստել են պիրիտ-խալկոպիրիտային հանքանյութերը մո-
լիբդենիտի աննշան խառնուրդով: Հանքանյութերը երակիկա-
ցանավոր են, սուլֆիդների մանր ցանով և բարակ անկայուն
երակիկներով պորֆիրիտների մեջ, ինչպես և «խոշոր ցանավոր»
կվարցացած ու սերիցիտացած (տեղ-տեղ գրեյդենացված) գրա-
նոգիորիտների մեջ, որոնք տարրավացված են և պարփակում են
յեռզներ՝ պիրիտի խոշոր բյուրեղներով (պսեդոմորֆորեն տե-
ղակալված խալկոպիրիտով ու բոռնիտով) և խոշորաթեփուկ
փայլուն մոլիբդենիտի վարդիկներով լցված:

Հանքանյութերը պարզ կազմութուն ունեն և, ելնելով կո-
դային ապարների ինտենսիվ փոփոխման բնույթից, համեմա-
տաբար բարձր ջերմաստիճանային են:

Այս ստադիայի հանքանյութերի նստեցումից հետո տեղի
է ունեցել ծածկի առանձին տեղամասերի բեկորատում՝ բրեկ-
չիացած զոնաների առաջացումով և զայկաների ներգրում,
որոնց երկայնքով շրջանառութուն է կատարել մոլիբդե-
նով և պղնձով արտակարգ հարուստ լուծույթների մի նոր բա-
ժին. այս ստադիայում առաջացել են ամբողջ ֆորմացիայի
համար ամենահարուստ բրեկչիանման հանքանյութերը: Վերջին-
ներում առաջին երկու ստադիաների ցանավոր հանքայնացում
պարունակող կվարցացած պորֆիրիտների բեկորները պատվում
են մոլիբդենիտով, որին հաջորդում է լուծույթներից խալկո-

պիրիտի, բոսնիտի, մասամբ պղինձ-բիսմութային միներալների, էնարգիտի, տեննանտիտի և այլ սուլֆիդների նստեցումը:

Վերջապես, հանքայնացման չորրորդ ստադիան ներկայացված է սֆալերիտ-գալենիտային հանքանյութերով, որոնք երակիկների ձևով հատում են նախորդ ստադիաների հանքանյութերը կամ բեկորատման տեղամասերում ցեմենտացնում են նրանց բեկորները:

Ավելի ուշ և լուրջ հանդես են եկել ոտոսիտի և ալարանդիտի մինչև 5 սմ կարողություն ունեցող երակիկները:

Այսպիսով, պարզորոշ կերպով սահմանվում է, որ մագմատիկ օջախից էլեմենտների դուրս բերումը տեղի է ունեցել որոշակի հաջորդականությամբ՝ ծծումբ, ալյումինատ և պղինձ (և նրա հետ միասին մի քիչ մոլիբդեն), մոլիբդեն և պղինձ, կապար ու ցինկ, մանգան:

Վերը նկարագրված պղինձ-մոլիբդենային բոլոր հանքավայրերի հանքանյութերը բյուրեղային են և, ելնելով նրանց կազմից ու կողային ապարների փոփոխման ընթացից, ներկայացնում են միջին ջերմաստիճանային գոյացումներ: Հանքայնացումը տեղի է ունեցել չափավոր խտություններում, գենետիկորեն սերտ կապված այն գրանիտոիդային ապարների մագմատիկ օջախի հետ, որոնց մեջ և որոնց մոտ տեղադրված են հանքանյութերը:

Դայկային կոմպլեքսի հետ հանքայնացման սերտ տարածական կապը բացատրվում է նրանով, որ հանքային լուծույթներն օջախից անջատվել են դայկաների ներգրումից անմիջապես հետո և բարձրացման համար մասամբ օգտվել են հենց նույն ուղիներին, որոնք նախապատրաստվել էին դայկային կոմպլեքսի նախորդ ներգրումով:

Նկարագրված հանքավայրերը բնորոշվում են $\text{Cu } 0,5-1\%$, Mo սովորաբար $0,05-0,1\%$ ($\text{Cu}:\text{Mo}=10:1$) միջին պարունակություններով և միայն բրեկչիանման հանքանյութերում մետաղների պարունակություններն զգալիորեն ավելի են: Պղինձի կոնցենտրատներում առկա են Bi , Ag , Au , Se և Te , իսկ մոլիբդենիտային կոնցենտրատներում՝ Re ու Se :

ԸՆԴՀԱՆՐԱՅՈՒՄ ՄՈԼԻԲԴԵՆԻ ՎԵՐԱԲԵՐՅԱԼ
ԵՎ ՈՐՈՆՄԱՆ ՆՇԱՆՆԵՐԸ

Մոլիբդենը կապված է թթու և չափավոր թթու գրանիտոսիդների հետ և կուտակվում է գլխավորապես հիդրոթերմալ, մասամբ սկառնային և պեգմատիտային հանքավայրերում:

Բնորոշ է Mo ասոցիացիան Cu հետ չափավոր թթու գրանիտոսիդներում և W, Sn, Bi, As, Be հետ թթու գրանիտներում:

Մոլիբդենի խոշորագույն հանքավայրերը երրորդական հասակ ունեն և տեղագրված են երիտասարդ լեռնաշղթաների սահմաններում բացարձակ մեծ բարձրությունների վրա (ծովի մակերևույթից 2000—4000 մ բարձր):

Անհրաժեշտ է նշել, որ գրանիտոսիդների կոմպլեքսային բազմաֆազ ինտրուզիվներում, մոլիբդենը գենետիկորեն կապված է միայն մեկ, սովորաբար ներդրման վերջին, ամենաթթու ֆազի (գրանիտների, գրանոգիորիտների, գրանիտ-պորֆիրների, ապլիտների) հետ: Հանքայնացումը տարածականորեն հարում է հանքաբեր ֆազին և զարգացած է գրանիտոիդի զանգվածի մեջ ու նրա էկզոկոնտակտի զոնայում, այդ իսկ պատճառով ինտրուզիվի մոլիբդենաբեր ֆազի առանձնացումն ունի կիրառական խոշոր նշանակություն:

Մոլիբդենաբեր ֆազի գրանիտոսիդներում սովորաբար կարելի է հանդիպել մոլիբդենիտ պարունակող պեգմատիտի և ապլիտի բարակ երակներին, իսկ գրանիտոիդի հետ կապված սկառնային զոնաներում՝ կվարց-մոլիբդենիտային երակիկների և քսվածքների: Ինտրուզիվի թարմ ապարի մանրանյութը ցույց է տալիս ուղեկից մոլիբդենիտի առկայություն, իսկ քիմիական անալիզները հայտնաբերում են Mo, կլարիկի համեմատությունում ավելի բարձր, պարունակություն (0,003⁰/₀ և ավելի):

Մոլիբդենային հանքայնացումը, տարածականորեն հարելով գրանիտոսիդների հանքաբեր ֆազերի զանգվածներին, վերահսկվում է խախտումների ռեզիոնալ զոնաներով և սրանց հետ զուգակցված խզման ու կտրման ճեղքերով, բեկորատման ու բրեկչիտացման զոնաներով:

Արդյունաբերական հանքայնացման տեղայնացման համար բարենպաստ են հանդիսանում նաև ինտրուզիվ ապարների ներդրման տարբեր ֆազերի միջև եղած թուլացված զոնաները, ին-

արուզիֆները կոնտակտները ծածկի ապարների հետ և դայկային կոմպլեքսի զարգացման տեղամասերը:

Կվարց-մոլիբդենիտային ֆորմացիայի հանքավայրեր հարկավոր է որոնել գրեյզենների մեջ (սոլորաբար ֆլյուորիտ-մուսկովիտային) W, Sn, Bi, As, Be հանքանյութերի ասոցիացիայում:

Պետք է նշել, որ էրոզիայի շնորհիվ մերկացված վերին հորիզոններում հանքանյութերը կարող են լինել գլխավորապես վոլֆրամիտային, սակայն խոր հորիզոններում, որպես կանոն աճում է մոլիբդենիտի դերը, որը ձեռք է բերում արդյունաբերական նշանակություն:

Հատկապես այս տիպի համար հաճախ գիտվում է նաև հակադարձ ուզղաձիգ գոնալուծյուն, ինչպիսին նկարագրված է Ն. Ա. Խրուշչովի կողմից (1953), երբ վերին հորիզոններում գիտվում է խոշորահատիկ կվարց խոշորաթեփուկ մոլիբդենիտի հետ, իսկ ավելի խոր այդ ագրեգատի վրա վերադրվում է ավելի ուշ մանրահատիկ կվարցը, նրա մեջ ցրված մոլիբդենիտով. վերջինն աստիճանաբար գեպի խորքն ամբողջովին դուրս է մղում վերը զարգացած հանքանյութերի տիպը: Մոլիբդենիտ պարունակող կվարցի երկու գեներացիաների այսպիսի վերադրումը պայմանավորում է հանքավայրերի միջին հորիզոնների խիստ հարստացումը և վերին ու խոր հորիզոնների որակի զարգացած է միայն մեկ գեներացիա, աղքատացումը:

Այս տիպի հանքավայրերի որոնումների ժամանակ անուղղակի օգնություն է ցույց տալիս սկվածքային հանուծք. մոլիբդենիտը սկվածքների մեջ հազվագյուտ է պահպանվում, սակայն նրանց մեջ վոլֆրամիտի, կասսիտերիտի, բազոբիտումատիտի ներկայությունը գրական նշան է հանդիսանում հանքանյութերում նաև մոլիբդենիտի առկայության համար:

Չափավոր թթու գրանիտոիդների էնդո և էկզոկոնտակտային գոնաներում, պղինձ-մոլիբդենիտային հանքանյութերի համար բնորոշ է (պղնձահանքային շրջաններում) կվարցացած, սերիցիտացած, քլորիտացած, կատիլիտացած, պիրիտացած (եւքերում օխրացած և գունաթափված) ապարների ներկայությունը, որոնց սահմաններում էլ հարկավոր է որոնել այս տիպի հանքանյութերը:

Հանքայնացումը երակրիկա-ցանավոր է, ավելի հազվագեղ երակային. հանքանյութերի արդյունաբերական կուտակումները

հարուստ են բեկորատման և ապարների ինտենսիվ հիդրոթերմալ վերամշակման զոնաներին, տարբեր ֆազերի ինտրուզիվ ապարների և վերջինների ու ծածկի ապարների կոնտակտներին, դայկաներին, որոնց զալրանդների երկայնքով հետամտվում են ամենահարուստ զոնաները:

Այս ֆորմացիայի հանքավայրերի որոնումների ժամանակ մեծ օգնութուն է ցույց տալիս օքսիդացած պղնձի հանքանյութերի (մալախիտ, ազուրիտ, խրիզոկոլա) հայտնարերումը, սրկվածքների մեջ պղնձի միներալների, հաճախ վուլֆենիտի, երբեմն (արմատային ելքերի մոտ) նաև մոլիբդենիտի առկայությունը:

Այս տիպի հանքավայրերի հետախուզման և գնահատման ժամանակ անհրաժեշտ է հաշվի առնել հանքային պրոցեսի բազմաստադիական բնույթը, լուծույթների առանձին հաջորդական բաժիններով մետաղների դուրս բերումն օջախից և մոլիբդենով հարուստ հանքանյութերի տեղայնացումը պիրիտացման ու գլխավորապես պղնձի հանքայնացման լայն դաշտերի առանձին տեղամասերում:

Սկստնային զոնաներում մոլիբդենի որոնումների ժամանակ անհրաժեշտ է հաշվի առնել այն, որ այդ տիպի հանքավայրերը սովորաբար հարում են մոլիբդենի հիդրոթերմալ հանքավայրերի զարգացման մարզերին և որ շեկիտը համարյա մշտապես պարունակվում է սկստնային զոնաներում: Անհրաժեշտ է հաշվի առնել, որ մոլիբդենային հանքայնացումը սկստնային զոնաների սահմաններում հանդես է գալիս լոկալ ձևով և վերադրված է սկստների վրա ավելի ուշ, հատուկ խախտումների սիստեմով:

Սկվածքային հանույթը, որը հաստատում է շեկիտի ներկայությունը, որոնումների ժամանակ ուղղութուն է տալիս նաև մոլիբդենի համար:

Մոլիբդենի համար որոնման ընդհանուր նշան է հանդիսանում մակերեսային ելքերում ֆերրի-մոլիբդիտի, պովելլիտի, վուլֆենիտի, իլվեմանիտի (վերջինը լուծվում է ջրի մեջ, այն ներկելով բաց կապույտ գույնով) առկայությունը:

Հարկավոր է նկատի ունենալ, որ վերին հորիզոններում մոլիբդենը կարող է ինտենսիվորեն տարրավազցված լինել և այդ դեպքերում միայն հազվագեպ ճեղքերում է դիտվում պովելլիտի նստեցում և ֆերրի-մոլիբդիտի փառեր: Այդպիսի դեպքերում վերին հորիզոնների նմուշարկման բացասական ար-

դյունքները չպետք է հանդեն որոնումների ընդհանմանը: անհրաժեշտ է հետախուզել կիսաօքսիդացած և առաջնային հանքանյութերի խոր հորիզոնները:

Վերջին ժամանակները մոլիբդենի որոնումների համար ավելի ու ավելի մեծ նշանակություն են ձեռք բերում մետալուրգիկ, հիդրոքլորիտային (ջրի և էլյուվիայից ու հողից ստացված մզվածքների անալիզը ՄՕ համար) և բիոքլորիտային մետաղները (հիմնված բույսերի կողմից ՄՕ կլանման վրա):

ՀԻՄՆԱԿԱՆ ԳՐԱԿԱՆՈՒԹՅՈՒՆ ՄՈՂԻԲԴԵՆԻ ՎԵՐԱԲԵՐՅԱԼ

Варданянц Л. А. К вопросу о генезисе молибденита в вольфрамово-молибденовых месторождениях „скарнового“ типа. Зап. ВМО, № 3, 1946.

Зеликман А. Н. Металлургия вольфрама и молибдена. Металлургиздат, 1949.

Магакьян И. Г. и Ароян-Иашвили В. Х. Новые данные по геологии и рудоносности Баргушатского хребта. Изв. АН Арм. ССР, № 10, 1946.

Мкртчян С. С. Каджаранское медно-молибденовое месторождение. Изв. АН Арм. ССР, 1943.

Мовсесян С. А. Пирдоуданское медно-молибденовое месторождение. Издат. Арм. фил. АН СССР, 1941.

Пэк А. В. Основные особенности структуры и процессы минерализации месторождения Тырны-ауз. Природные ресурсы Кабард. АССР, АН СССР, 1946.

Хитаров Н. И. и Иванов Л. А. О взаимосвязи молибдена с кремнекислотой. Докл. АН СССР. Нов. серия, т. 27, 1940.

Хрущов Н. А. О вертикальной зональности некоторых рудных месторождений. Зап. ВМО. ч. 82, № 1, 1953.

Чухров Ф. В. Восточно-Коунрадское месторождение, как представитель кварцево-молибденовой формации Центрального Казахстана. Сов. Геология, № 31, 1948.

Blanchard R. Some pipe deposits of eastern Australia. Econ. Geol. v. 42, 1947.

Boutwell J. Copper deposits at Bingham, Utah. Copper Resource of the world, 1935.

Heim A. The molybdenum mine at Azegour, Morocco. Econ. Geol. v. 29, № 1, 1934.

Kuhn T. H. Pipe deposits of the Copper Creak Area Arizona. Econ. Geol. v. 36, 1941.

Lopez V. M. The primary mineralization at Chuquicamata Chile. Econ. Geol. v. 34, 1939.

Schumacher F. The Ore deposits of Jugoslavia and the development of its mining industry. Econ. Geol. v. 49, № 5, 1954.

Vanderwilt J. W. The occurrence and production of molybdenum. Colorado school of mines quarterly v. 37, № 4, 1942.

Vanderwilt J. W. and King R. U. Geology of the Climax Ore Body. Min. and Met. v. 27, № 474, 1946.

Vanderwilt J. W. and King R. H. Hydrothermal alteration at the Climax molybdenite deposit. Min. Eng. v. 7, № 1, 1955.

Վ Ո Լ Ֆ Ր Ա Մ (W)

ԸՆԴՀԱՆՈՒՐ ՏԵՂԵԿՈՒԹՅՈՒՆՆԵՐ

Վոլֆրամը WO_3 միացության ձևով հայտնաբերվել է 1783 թվականին տունգստենիտ (շեելիտ) միներալի մեջ շվեդական քիմիկոս Շեելեյի կողմից, իսկ հինգ տարի հետո, 1788 թվականին հայտնաբերվել է առաջ գիտնականներ Պատրենի և Հոֆմանի կողմից վոլֆրամիտում:

1896 թ. Պուտիլովյան գործարանում ստացվել է բարձրորակ վոլֆրամային պողպատ, որը ձուլվել է պրոֆեսոր Վ. Ն. Լիպինի մասնակցությամբ և այդ ժամանակից սկսած մետաղն արդյունաբերական կիրառում է ստացել պողպատների հատուկ տեսակների և կարծր համաձուլվածքների արտադրության մեջ: Վոլֆրամի հավելույթը խիստ բարձրացնում է պողպատի կարծրությունը, դիմացկունությունը և առաձգականությունը. վոլֆրամով լեգիրված պողպատները (W մինչև $20^0/0$) լայնորեն կիրառվում են արագ կտրող գործիքների, դապանակների արտադրության, ինչպես նաև ռազմական արդյունաբերության մեջ: Վոլֆրամի կարբիդը կիրառվում է որպես կարծր համաձուլվածքների հիմնական նյութ ($85-95^0/0$ W կարբիդ $+5-15^0/0$ Co կամ Ni): Հատուկ մազնիսային պողպատները պարունակում են W և Co, իսկ W համաձուլվածքները Co, Ni, Cr հետ, այսպես կոչվող ստեղծիտները (մինչև $50^0/0$ W) լայնորեն կիրառում են դառն մոտորաշինության մեջ: Վոլֆրամը մաքուր վիճակում կամ օսմիումի հետ համաձուլվածքների ձևով կիրառվում է էլեկտրալամպերի շիկացման թելերի արտադրության մեջ:

Վոլֆրամի կոնցենտրատների (WO_3 $60^0/0$ պարունակությամբ) համաշխարհային (առանց ՍՍՌՄ) տարեկան հանույթը աստանվում է 40—50 հազ. տ. սահմաններում (1953 թ. կազ-

մել է 42 հազ. տ.): Հանույթի համարյա 2/3 բաժին է ընկնում Հարավ-Արևելյան Ասիայի երկրներին՝ գլխավորապես Չինաստանի հարավային մարզերին (համաշխարհային հանույթի մինչև 50%), Բիրմային, Մալայային և Տաիլանդին. մյուս երկրներին զուգորդում է կոնցենտրատների զգալի քանակություն են տալիս Բուրիան, Կորեան, ԱՄՆ, Փորթուգալիան:

Մեծ հեռանկարներ ունեցող բավական խոշոր մասշտաբի հանքավայրեր կան նաև Արգենտինայում, Բրազիլիայում, Տասմանիայում, Իսպանիայում և Թուրքիայում: W համաշխարհային պաշարները, 60% WO_3 պարունակող կոնցենտրատի վերածած, կազմում են մոտ 2,5 մլն. տ. այդ քանակից 2 մլն. տ. ավելին բաժին է ընկնում Չինաստանի հարավային մարզերի (գլխավորապես Ցզյանսի մարզի) կվարց-վոլֆրամիտային հարստագույն հանքավայրերին:

Վոլֆրամի խոշոր պաշարներ ունի ՍՍՌՄ-ը, գլխավորապես Անդրբայկալում և Միջին Ասիայում, ինչպես նաև Միուսյան արևելյան և հյուսիս-արևելյան մարզերում, Ղազախստանի ՍՍՌ-ում և Հյուսիսային Կովկասում:

* * *

Ըստ ակադ. Ա. Պ. Վինոգրադովի տվյալների, W միջին պարունակությունը երկրի կեղևում կազմում է 0,0001%, ընդ որում բարձր կոնցենտրացիաները կապված են թթու և չափավոր թթու գրանիտոիդների հետ:

W արդյունաբերական հանքավայրերը տարածականորեն հարում են գրանիտոիդային ապարների զանգվածներին, տեղագրվելով սովորաբար վերջինների էնզո և էկզոկոնտակտներում: Վոլֆրամը F, Cl, B հետ հեշտությունում առաջացնում է ցնդող միացություններ և կուտակվում գրանիտային մագմայի մնացորդային բյուրեղացման նյութերում. դրան նպաստում է վոլֆրամի հալոիդային միացությունների եռման ցածր ջերմաստիճանը: Ցնդող միացությունների ձևով մետաղը դուրս է բերվում գազա-ջրային լուծույթներով, առաջացնելով պնեմատոլիտային կամ հիդրոթերմալ հանքավայրեր և զուգակցվում է այնպիսի դյուրաշարժ էլեմենտների հետ, ինչպիսիք են Sn, Mo, As, Bi, Li, Be, F: Սկզբնական ստադիաներում W տեղափոխումը հավանական է հալոիդային միացությունների ձևով, իսկ ավելի ուշ ստադիաներում սիլիկավոլֆրամատների՝ $SiO_2 \cdot 12WO_3 \cdot 8KOH \cdot 10H_2O$ տիպի միացությունների (առաջանում են ալ-

կալային մետաղների վոլֆրամատների տաք լուծույթներում, որոնց մեջ լուծվում է SiO_2), կամ հեշտ լուծվող սիլիկատվոլֆրամային թթվի՝ $\text{H}_8\text{Si}(\text{W}_2\text{O}_7)_6$ ձևով:

W ամենադիրտվոր բնական միացությունները ներկայացված են W թթվի վոլֆրամատներով՝ աղերով, որոնց անհիդրիդն ունի WO_3 ֆորմուլա:

Արդյունաբերական նշանակություն ունեն հետևյալ միներալները՝ վոլֆրամիա (Mn, Fe) WO_4 , WO_3 76,5%, W 60,6% (մանգանով հարուստ տարբերակը կոչվում է հյուրքերիա, երկաթով հարուստը՝ ֆերքերիա), շեելիա CaWO_4 , WO_3 80,6%, W 63,9%:

Վոլֆրամիտին և հյուրքերիտին բաժին է ընկնում վոլֆրամի կոնցենտրատների համաշխարհային հանույթի մոտ 75%, շեելիտին՝ մոտ 25%, իսկ ֆերքերիտի արդյունաբերական գերը մեծ չէ:

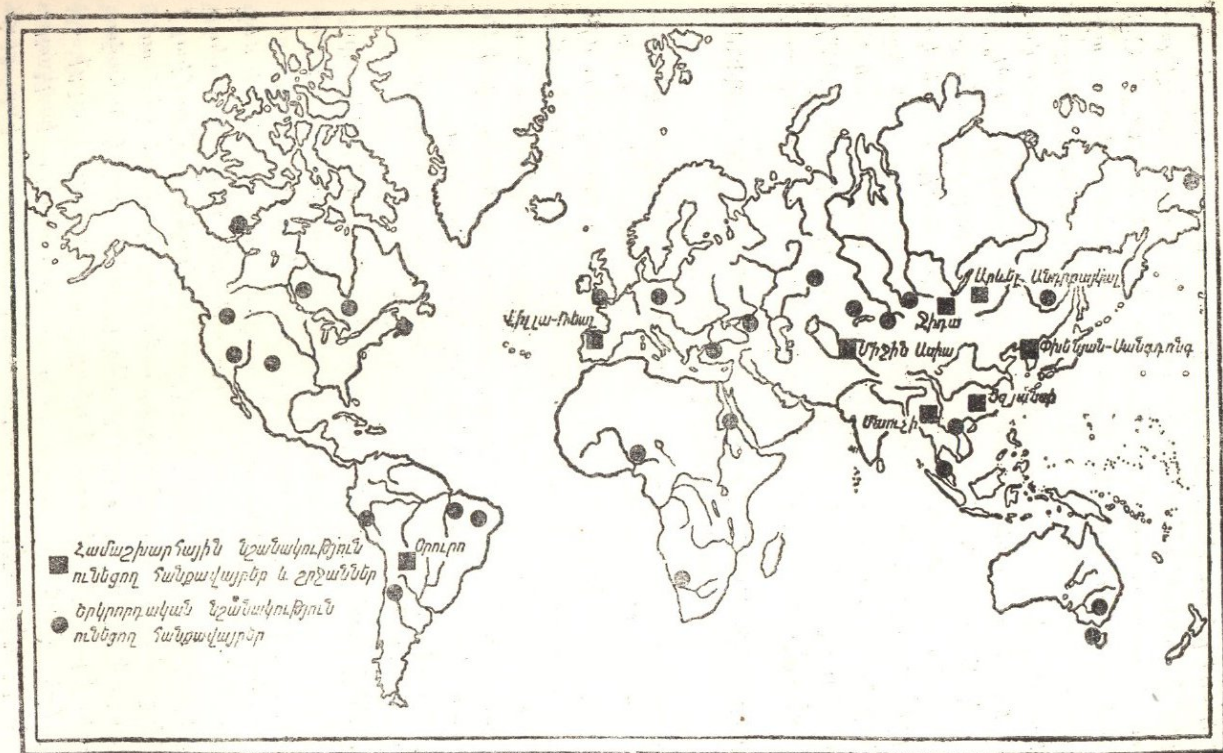
Այլ միներալներից կարելի է նշել՝ աուրգասիա H_2WO_4 —դեղինից մինչև նարնջագույն, երկրորդային միներալ է, զարգանում է օքսիդացման զոնայում ըստ վոլֆրամիտի և շեելիտի, աուրգումբիան—W պարունակող պոլիտեկան (մինչև 5—8% WO_3) և W պարունակող լիմոնիտ: Վերջին երկու միներալներն առաջացնում են վաքր արդյունաբերական կուտակումներ Գոլկոնդայի (ԱՄՆ, Նևադա) և Բոլիվիայի (Ունցիա) տաք հանքային աղբյուրների նստվածքներում:

WO_3 զգալի պարունակություն ունեն որոշ միներալներ՝ կոլումբիտը (մինչև 13%), խոշորաթեփուկ հեմատիտը (0,01—0,4%), ինչպես նաև կենտրոնական Շվեդիայի մագնետիտային հանքանյութերը (մինչև 0,1%): Վոլֆրամիտն իր հերթին երբեմն պարունակում է Ta_2O_5 և Nb_2O_5 (մինչև 0,5%), ինչպես նաև Sn (մինչև 1%) խառնուրդներ, իսկ շեելիտը պարունակում է Mo (մինչև 1%) խառնուրդ:

Հանքանյութերի արդյունաբերական տիպերից անհրաժեշտ է նշել հետևյալները՝

1) Սկասոնային շեելիտային հանքանյութեր, երբեմն Mo, Sn, Bi, As, Be հետ: WO_3 պարունակությունը սովորաբար 0,3—0,5-ից մինչև 1—2% է:

2) Վոլֆրամաբեր գրեյդեններ և կվարց-վոլֆրամիտային ու կվարց-սուրներիտային հանքանյութեր, հաճախ Sn, Mo, Bi, As, Be հետ: WO_3 պարունակությունը սովորաբար 0,5—1% և ավելի է (մինչև 4—5%):



Նկ. 45. Աշխարհի վիճրամի խոշորագույն հանքավայրեր:

3) Հիդրոթերմալ մերձմակերեսային կվարցային երակներ ստիբնիտ-շեելիտային և ստիբնիտ-ֆերրերիտային հանքայնացումով, Au և Ag տեղափոխների, երբեմն HgS խառնուրդով: WO_3 պարունակությունը շատ անհավասարաչափ է, փնջային (մինչև 5—20% WO_3):

Կարևորագույն նշանակություն ունեն առաջին երկու տիպերը, որոնց արժատական հանքավայրերին և նրանց քայքայման հետևանքով առաջացած ցրոններին բաժին է ընկնում վոլֆրամի կոնցենտրատների համաշխարհային հանույթի 95%-ից ավելին: Վոլֆրամային հանքանյութերի համար պարունակություն ստորին սահմանն ընդունված է 0,3—0,5% WO_3 և կարող է իջեցվել մինչև 0,1—0,2% շեելիտաբեր սկառների հզոր գոնանների համար, որոնք զուգընթացաբար տալիս են նաև Sn, Mo կամ Bi: Ցրոններում WO_3 200—300 գ/տ (0,02—0,03%) պարունակությունն արդեն հեռաքրքրություն է ներկայացնում:

ՎՈԼՖՐԱՄԻ ՀԱՆՔԱՎԱՅՐԵՐԻ ԳԵՆԵՏԻԿ ՏԻՊԵՐԸ, ՄԵՏԱԼՈԳԵՆԻԿ ԴԱՐԱՇՐՋԱՆՆԵՐԸ ԵՎ ՄԱՐԶԵՐԸ

Վոլֆրամիտ և շեելիտ ոչ-մեծ քանակություններով հանդիպում են գրանիտների հետ կապված պեդմատիտային երակներում, ինչպես նաև գրանիտների մեջ կասսիտերիտի և տուրմալինի հետ միարդյային դատարկություններում (Մաուչի բիրմայում): Այդ բնույթի արժատական հանքավայրերն արդյունաբերական նշանակություն չունեն, սակայն նրանց քայքայման հետ կապված են գործնական հեռաքրքրություն ներկայացնող ցրոններ:

Վոլֆրամի արդյունաբերական հանքավայրերը կարող են խմբավորվել հետևյալ գենետիկ տիպերում՝

1. Շեելիտաբեր սկառների կոնտակտ-մետասոմատիկ տիպ:

Հանքավայրերը սովորաբար առաջանում են չափավոր թթու գրանիտոիդների և կարբոնատային ապարների կոնտակտային գոնաններում, հազվադեպ ինտրուզիվ ապարների զանգվածների մեջ կամ կրաքարերում. այդ դեպքում հարում են ճեղքերին, ձեռք բերելով երականման ձև: Շեելիտը (շատ հազվադեպ վոլֆրամիտը) հարում է գրանատ-պիրոքսենային, հաճախ կվարցացած կամ ամֆիբոլիտացած սկառներին, որոնց մեջ ցրված է բավական հավասարաչափ: Որոշ դեպքերում շեելիտը հիդրոթերմալ կվարցի ու սուլֆիդների (հաճախ պիրրոտինի, մարմատիտի, խալկոպիրիտի, հազվադեպ պիրիտի, արսենոպիրիտի, ստաննինի, բիս-

մուտինի) հետ միասին առանձնանում է սկառները հատող ափելի ու ճեղքերում բների ու երականման մարմինների ձևով:

Այս տիպի սկառնային հանքավայրերը հաճախ շատ խոշոր չափեր և լայն տարածում ունեն. շահագործվող խոշոր օբյեկտներ հայտնի են ՍՍՌՄ-ում (գլխավորապես Միջին Ասիայում), ԱՄՆ-ի Արևմտյան նահանգներում, Բրազիլիայում, Կորեայում, Ավստրալիայում (Կինգ կղզում), ինչպես նաև Մեքսիկայում, Մարոկկոյում, Պերակում (շեելիտ-Փլյուտոնիտային Կրամատ-Պուլայ խոշոր հանքավայրը սկառների մեջ) և այլ երկրներում:

Սկառնային հանքանյութերում շեելիտը հաճախ մանր է և երկար ժամանակ աչքաթող էր արվում: Շեելիտի գիազնոսափակայի և հանքախորշերում նրա պարունակության գնահատման համար լայնորեն կիրառում են հարմար կատոդային սարքավորումներ (մթության մեջ շեելիտի երկնագույն լուսարձակում): Միներալը հեշտությամբ որոշվում է նաև թափանցիկ շլիֆներում (շագրենային մակերևույթ, $Ng-Np = 0,016$, միառանցք, զրական, հաճախ ումրային կտրվածքներ) և անշլիֆներում ($R \sim 10$, առաջնային հանքային միներալներից շատ ավելի մուգ է, W միկրոքլիմիական սեակցիա՝ շեելիտի փոշու լուծումը տաք HCl մեջ Zn կամ Sn կտորի հավելույթով տալիս է կապույտ գունավորում): Հանքանյութերը շեելիտի հետ միասին պարունակում են մի դեպքում մոլիբդենիտ (S իւրնիաուզ, Ազեգուր), մյուս դեպքերում կասսիտերիտ և ստաննին (S ակֆոն), պղնձի և ցինկի սուլֆիդներ ($ԱՄՆ$ -ի Արևմտյան նահանգներ և Ցապունիայի հանքավայրեր), ոսկի ($Մեքսիկայի$ հանքավայրեր), բիսմութ ($Սանգոնգ Կորեայում$), ուրան ($Ազեգուր$) և այդ գեպքերում ներկայացնում են կամպլեքս հետաքրքրություն:

Այս տիպի հանքավայրերին բաժին է ընկնում վոլֆրամի կոնցենտրատների համաշխարհային հանույթի 20—25%:

ՍՍՌՄ-ի այս տիպի բազմաթիվ հանքավայրերը մանրամասնորեն ուսումնասիրված են սովետական գեոլոգների մեծ կոլեկտիվի կողմից:

2. Կվարց-վոլֆրամիտային (և հյուբներիտային) հանքանյութերի բարձր—միջին ջերմաստիճանային հիդրոթերմալ հանքավայրեր, որոնք ներկայացված են հանքաբեր գրեյզեններով և կվարց-հանքային երակներով, իսկ հազվադեպ էլ խոզովակաձև մարմիններով, շտոկներով և շտոկվերկներով: Հանքավայրերը ձևավորվել են չափավոր խորություններում, գենետիկորեն ու

տարածականորեն սերտորեն կապված են թթու գրանիտների հետ և տեղագրվում են վերջինների էնդո և էկզոկլինոտակտներում:

Հանքանյութերի կազմի մեջ կարևոր դեր են կատարում կվարցը և վոլֆրամիտը (կամ հյուքներիտը), որոնց խառնվում են երակային միներալներից՝ ֆլյուորիտ, տոպազ, բերիլլ, փայլարներ, գաշտային շպատ, իսկ հանքայիններից՝ կասսիտերիտ, մոլիբդենիտ, շեելիտ, բիսմուտին, արսենոպիրիտ, պիրրոտին, սֆալերիտ և այլ սուլֆիդներ: Այստեղ հաճախ դիտվում են հանքանյութերի սիմետրիկ զույվոր տեքստուրաներ, նկատվում է վոլֆրամիտի հարումը հանքային երակների զալրանդներին, կողի երկարությամբ մինչև 25—40 սմ չափերի հասնող վոլֆրամիտի թերթավոր խոշոր բյուրեղների առկայությունը:

Այս տիպի հանքավայրերում հաճախ դիտվում են հանքանյութման ուղղաձիգ զոնալականություն, ընդ որում վերին հորիզոնները հարստացված են կասսիտերիտով և բիսմուտինով, միջինը՝ վոլֆրամիտով, իսկ խորքայինը՝ մոլիբդենիտով (Հարավային Չինաստանի հանքավայրերը):

Կվարց-վոլֆրամիտային ու կվարց-հյուքներիտային երակների և գրեյդենների հանքավայրերը վոլֆրամի համար ունեն կարևորագույն նշանակություն, լայն տարածված և ներկայացված են շատ խոշոր օբյեկտներով ՍՍՌՄ-ում (Անգրբայկալ, Ղազախական ՍՍՌ, Հյուսիս-Արևելք), Հարավ-Արևելյան Չինաստանում (Յոլանսի մարզում և այլն), Բիրմայում, Բոլիվիայում, Փորթուգալիայում, Կորեայում, Արգենտինայում: Այս տիպի զգալի հանքավայրեր հայտնի են նաև Մոնղոլական Ժողովրդական Ռեսպուբլիկայում, Իսպանիայում, Թուրքիայում (Բրուսսայի շրջանում), Տասմանիայում և որոշ այլ երկրներում:

Հանքանյութերում WO_3 պարունակությունը տատանվում է 0,5—1 մինչև 4 % սահմաններում: Այս տիպի արմատական հանքավայրերին և նրանց հետ կապված ցրոններին բաժին է ընկնում վոլֆրամային կոնցենտրատների համաշխարհային հանույթի համարյա 3/4:

3. Կվարց-շեելիտային և կվարց-բարիտային (հաճախ ոսկեբեր) երակների հիդրոթերմալ միջին ջերմաստիճանային հանքավայրեր: Այս տիպը մեծ տարածում չունի և ներկայացված է համեմատաբար ոչ-մեծ հանքավայրերով: Արդյունաբերական հետաքրքրություն են ներկայացնում շեելիտ-բարիտային Ակցեսսիոն հանքավայրը Բոլիվիայում, ՍՍՌՄ-ի մի շարք շրջան-

ների ոսկի-շեկիտային երակային հանքավայրերը, Ձինաստանի Յզյանսի մարզի որսը երկրորդական նշանակութիւն ունեցող հանքավայրեր:

4. Շեկիտ-Ֆերբերիտ-ստիբնիտային ֆորմացիայի հիդրոքերմալ միջին—ցածր ջերմաստիճանային հանքավայրեր. փոքր խորութիւններում ձևավորված և անդեզիտ-դացիտների, սիւլիտների, գրանիտ-պորֆիրների մերձմակերեսային շտովների ու էկստրուզիաների հետ տարածականորեն սերտ կապված. Այս տիպը փոքր տարածում ունի, սակայն երբեմն տալիս է մետաղների (վոլֆրամի և ծարիրի), իսկ նրանց հետ միասին նաև ոսկու և արծաթի տեկուրիդների, երբեմն կիրովարի արդյունաբերական խոշոր կուտակումներ: Հանքավայրերի համար բնորոշ են ցածր ջերմաստիճանային կվարցի կամ խալցեդոնի մեջ նուրբ կերպով ցրված հանքային միներալների անհավասարաչափ փնջային բաշխումը, հանքանյութերի բարդ կազմը և դեպի խորքը հանքայնացման սեպաձև արագ մարումը:

Այս տիպին են պատկանում հետևյալ հանքավայրերը՝ Ատուլիան Կալիֆորնիայում և Իելլոու-Պայնը Այդահոյում (շեկիտ-անտիմոնիտային), Բաուլդերը Կոլորադոյում և Լա Լիբերտադը Պերուում (ֆերբերիտային), ինչպես նաև մի շարք փոքր հանքավայրեր Վրացական ՍՍՌ-ում:

5. Յրոններ, որոնք առաջացել են գլխավորապես կվարց-վոլֆրամիտային ու հյուրներիտային երակների և գրեյզենների, մասամբ էլ շեկիտաբեր սկանների արմատական հանքավայրերի քայքայման հաշվին: Հարուստ ցրոններ մշակվում են Հարավային Չինաստանում, Բիրմայում և ՍՍՌՄ-ում:

Մետալոգենիկ դարաշրջանները և մարզերը: Պեգմատիտային տիպի մինչքեմբրյան ոչ մեծ հանքավայրեր հայտնի են Հարավ-Արևմտյան Աֆրիկայում, Ավստրալիայում, Կանադայում, Բրազիլիայում:

Կալեդոնյան հասակ ունեն Նիգերիայի, Բելգիական Կոնգոյի և Տրանսվաալի կվարց-կասսիտերիտ-վոլֆրամիտային երակները, ինչպես նաև Հյուսիս-Արևելյան Բրազիլիայի շեկիտաբեր սկանների խոշոր հանքավայրերը:

Հերցինյան հասակի հաճախ խոշոր մասշտաբի կվարց-վոլֆրամիտային և սկաննային հանքավայրեր հայտնի են ՍՍՌՄ-ի մի շարք շրջաններում, Փորթուգալիայում, Ավստրալիայում.

նման հանքավայրեր հայտնի են նաև Իսոպանիայում, Կորնուոլ-լում, Հանքային լեռներում, Թուրքիայում:

Վոլֆրամով ամենահարուստը Կիմմերյան մետալուրգիկ դարաշրջանն է (J₃—C₁1). նրա հետ կապված են ՍՍՌՄ-ի, Զինաստանի, Բիրմայի, Մալայայի, Կորեայի(կվարց-վոլֆրամիտային և հյուրներիտային) խոշորագույն հանքավայրերը, ինչպես նաև հյուսիս-ամերիկյան Կորդիլյերների (ԱՄՆ, Մեքսիկա), Կորեայի շեելիտաբեր սկառների խոշոր հանքավայրերը:

Ալպիական (ըստ հասակի երրորդական) հանքավայրեր հայտնի են Բոլիվիայում (կվարց-վոլֆրամիտային) և ԱՄՆ-ում (շեելիտ-ֆերրերիտ-ստիբնիտային):

Անհրաժեշտ է նշել, որ խոշոր համաշխարհային վոլֆրամահանքային շրջանների մեծ մասը համընկնում է անագահանքային շրջանների հետ, իսկ կվարց-վոլֆրամիտային ու կվարց-կասսիտերիտային երակներին և գրեյզենների միջև հաճախ սերտ կապ է հաստատվում:

Առանձնակի տեղ են գրավում վոլֆրամային շրջանները, որտեղ որպես գլխավոր տիպ հանդես են գալիս շեելիտաբեր սկառները (ՍՍՌՄ-ի մի շարք շրջաններ, ԱՄՆ, Հյուսիս-Արևելյան Բրազիլիա). այնտեղ վոլֆրամային հանքայնացումը զենեափկորեն կապված է չափավոր թթու գրանիտոլիզների հետ, իսկ անագը համարյա բոլորովին բացակայում է:

Աշխարհի վոլֆրամային խոշորագույն հանքավայրերի տեղաբաշխումը ցույց է արված կցվող քարտեզի վրա (նկ. 45):

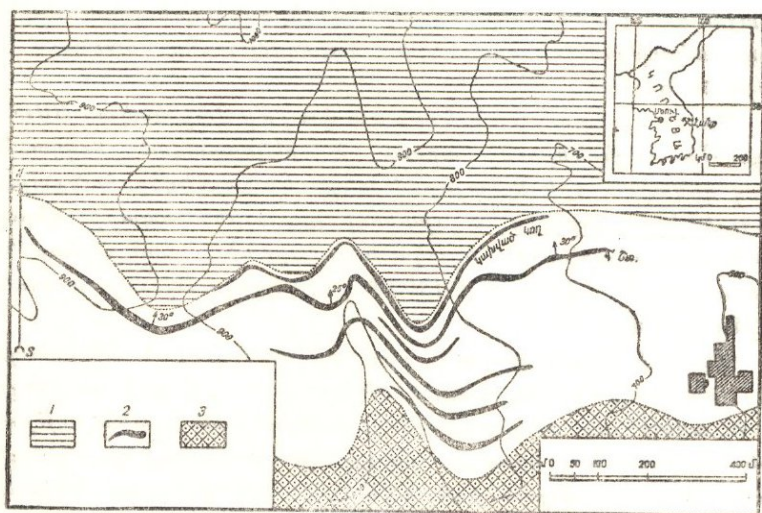
ՎՈԼՖՐԱՄԻ ՀԱՆՔԱՎԱՅՐԵՐԻ ՆԿԱՐԱԳՐՈՒԹՅՈՒՆԸ

ՇԵԵԼԻՏԱՅԻՆ ՀԱՆՔԱՎԱՅՐԵՐ ՍԿԱՌՆԵՐՈՒՄ

Սանգոոնգ հանքավայրը Հարավ-Արևելյան Կորեայում, 37-րդ գուգահեռականի վրա, հանդիսանում է աշխարհի խոշորագույն սկառնային շեելիտային հանքավայրերից մեկը: Բավական է նշել, որ հինգ տարվա ընթացքում (1940—1944) այստեղ արդյունահանվել են 14 հազ. տ. ավելի շեելիտի կոնցենտրատներ:

Շրջանը կազմված է պալեոզոյի և տրիասի նստվածքային ապարներից, հատված վերին կամ ճի հասակի գրանիտ-պորֆիր-

ներով, որոնց ամենամոտ ելքը գտնվում է հանքավայրից 7 կմ հեռավորության վրա: Շեկլիտարեր սկսաները հարում են եղջրաքարերով, թերթաքարերով, մարմարներով ներկայացված քեմբրիի շերտախմբին և կազմում են $15-30^{\circ}$ անկյան տակ գեպի հյուսիսը նկնող վեց շերտաձև կուտակներ (նկ. 46): Գլխավոր կուտակի երկարությունը 1500 մ է, կարողությունը 4,5 մ. մնացած հինգ կուտակներից յուրաքանչյուրը 0,4-7 մ կարողությամբ հեամատված են 150-700 մ:



Նկ. 46. Սանգղոնգ (Կորեա) հանքավայրի սխեմա
1—կրաքարեր, 2—եղջրաքարեր տակտիտի (սկանի) շերտերով,
3—կվարցիաններ:

Հարուստ հանքանյութերը հիմնականում հարում են Գրլխավոր կուտակին, կազմելով 525 մ երկարություն և 4-5 մ կարողություն ունեցող մի հանքամարմին, որը հեամատված է 200 մ ավելի խորությամբ:

Շեկլիտը սերտորեն կապված է կվարցի, բիտաիտի, ֆլյուորիտի, սուլֆիդների հետ և նրանց հետ միասին շեկլիտ չպարունակող դիոպսիդ-գրանատային ապարների և դիոպսիդային եղջրաքարերի մեջ ստաջացնում է ոսպնյակներ և ենթաշերտեր: Հանքաքար սկաններում շեկլիտի պարունակությունը կազմում է $1-5\%$:

հատիկների չափը՝ 0,5—1,5, հազվագեղ մինչև 4 մմ. շեփախի հետ հանդիպում են մեծ քանակությամբ պիրրոտին, քիչ՝ մոլիբդենիտ, բիսմուտին, խալկոպիրիտ և պիրիտ: Հանքանյութում WO_3 պարունակությունը բարձր է (1,6—20%), զուգընթաց ստացվում է բիսմուտին (տարեկան 500—600 տ. կոնցենտրատ 40—50% Bi պարունակությամբ): Հետաքրքրական է նշել, որ շեփախարեր սկառնի առաջանալուց հետո տեղի է ունեցել նրա բեկորատումը, որն ուղեկցվել է ճեղքերում ավելի ուշ կվարց-վոլֆրամիտային երակների ձևավորումով շեփախի (առաջանում է ըստ վոլֆրամիտի), մոլիբդենիտի և բիսմուտինի պարունակությամբ. երակների կարողությունը հասնում է մինչև 50 մմ:

Չորուխ դայրոն հանքավայրը Տաջիկական ՄՄՌ-ի Մոգոլ-Տաու լեռներում հարում է բեկորատված ուղղազիծ ձգվող զոնային, որի երկայնքով տեղի են ունեցել հանքաբեր լուծույթների վերելքը և գրանդիորիտային ապարի վերամշակումը սկառնային երակաձև մարմնի: Հանքամարմնի երկարությունը կազմում է 1300 մ, իսկ կարողությունը հասնում է մինչև 30 մ:

Սկառնի կազմը բարդ է՝ լայնորեն զարգացած են սկապուլիտը (մարիալիտը), ալբիտը, գրանատը (գրոսսուլյար-անդրադիտը և ավելի ուշ անդրադիտը). երկրորդական նշանակություն ունեն պիրոքսենը, կվարցը, կալցիտը, տուրմալինը, հանդիպում են նաև ֆլյուորիտ, ամֆիբոլ, ակտինոլիտ, էպիդոտ, օրտիտ, սերիցիտ, բիտիտ, սֆեն, ապատիտ, բարիտ, ցեոլիտներ: Հանքային միներալներից կարևոր նշանակություն ունեն շեփախը և մոլիբդենիտը, երկրորդական՝ խալկոպիրիտը, բոռնիտը, պիրիտը, հեմատիտը, մագնետիտը, պիրրոտինը, գալենիտը: Ինտրուզիվ ապարների սկառնացման պրոցեսը սկսվում է սկապուլիտի առաջացումով, որը ապարում զարգանում է մետասոմատիկ եղանակով հանքայնացումը վերահսկող հիմնական ճեղքերի երկայնքով, փոքր-ինչ ավելի ուշ նույնպես մետասոմատիկ ճանապարհով և մասամբ սկապուլիտի հաշվին զարգանում է գրոսսուլյար-անդրադիտը, իսկ այնուհետև դատարկություններում և հատող ճեղքերում՝ անդրադիտը, որի հետ սովորաբար սերտորեն զուգակցվում է շեփախը: Ավելի ուշ նստում են կվարցը, սուլֆիդները, կալցիտը.

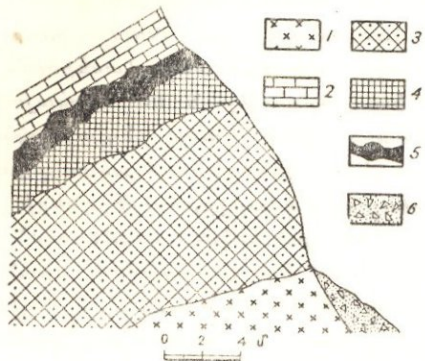
սուլֆիդների նստեցման հետ միաժամանակ տեղի է ունեցել արիտացում:

Գրանատ-անդրադիտը սկապոլիտային զոնայում առաջացնում է երակներ, ընդ որում ճեղքերի բացումը և անդրադիտ-շեելիտային հանքանյութերի առաջացումը կատարվում է սկառնային զոնայի առանձին տեղամասերում, որոնք էլ արդյունաբերական հետաքրքրություն են ներկայացնում: Սկառնային զոնայի կենտրոնական մասի ընդլայնական կտրվածքն ունի հետևյալ պատկերը՝ կենտրոնում տեղադրված են գրանատային սկառներ շեելիտի, կվարցի, սուլֆիդների և սկապոլիտի մնացորդների հետ, իսկ նրա երկու կողմերում՝ արիտացման զոնաներ, որոնք անցնում են չփոփոխված գրանոգիորիտների:

200—300 մ խորություն վրա աճում է մոլիբդենիտի դերը և նվազում է շեելիտի պարունակությունը: Որպես հանքավայրի յուրահատուկ առանձնահատկություն պետք է նշել սկառների զարգացումը ինտրուզիվ զանգվածի մեջ և ակալային մետասոմատոզի լայն գրսեորումը: Ինտրուզիաների և հանքանյութերի մայր օջախը, ըստ երևույթի, ընդհանուր է:

Մայր սուրահանքավայրը գտնվում է Տաջիկական ՍՍՌ Գիսսարյան լեռնաշղթայի հարավային լանջին: Այստեղ միջին պալեոզոյի կրաքարա-թերթաքարային շերտախումբը հատված է հերցինյան հասակի գրանոգիորիտային ինտրուզիայով: Սկառնային զոնան հարում է այդ ինտրուզիայի փոքրաթեք կախված կոնտակտին և ներկայացված է 20—30 մ կարողություն ունեցող շերտաձև կուտակով, սրը տարածման ուղղությամբ հետամտված է համարյա 1000 մ: Շեելիտարերություն տեսակետից ամենահուսալին մուգ անդրադիտ-հեղենրերգիտային (կամ սալիտային) սկառներն են, որոնց մեջ բավական հավասարաչափ ցրված է մոխրա-սպիտակ գույնի շեելիտը, առաջացած կոնտակտ-մետասոմատիկ էտապում, վաղ խոշորահատիկ պիրոքսենի և գրանատի հետ համարյա միաժամանակ: Սակայն շեելիտի մեծ մասը պարունակվում է ավելի ուշ երակաձև մարմիններում և ոսպնյակներում, անդրադիտ-հեղենրերգիտային սկառների կախված կողում (նկ. 47) կամ թե սկառնային և թե ինտրուզիվ ապարները հատող ճեղքերի երկայնքով: Շեելիտն այստեղ մեղրագույն է, հիդրոթերմալ, սերտորեն զուգակցվում է կվարցի, սուլֆիդների (պիրրոտինի, մարմատիտի, խալկոպիրիտի, հագ-

վաղեպ բիսմուտինի, ստաննինի) քլորիտի, երբեմն վոլֆրամիտի, կասսիտերիտի և ցիննվալդիտի հետ: Սիլիկատային սկառներում WO_3 պարունակութունը սովորաբար բարձր է՝ $0,3-0,5\%$,



Նկ. 47. Մայխուրա հանքավայրի սկառնային կուտակի կտրվածքը № 2 շտուկայի մոտ

- 1—գրանոզիորիտ, 2—մարմարացած կրաքար, 3—գրանատային սկառն ներծծված հանքային միներալներով,
- 4—պիրոքսենային սկառն, 5—սուլֆիդներ շեելիտի հետ,
- 6—թափվածք:

քներում և երակաձև մարմիններում հասնում է մի քանի տոկոսի, բնդ որում ուշ շեելիտը հաճախ առաջացնում է մինչև $0,5-1$ կգ կշիռ ունեցող գիպիրամիդային հարիտուսի լավ նիստավորված բյուրեղներ:

ԿՎԱՐՑ-ՎՈՂՅՐԱՄԻՏԱՅԻՆ ԵՎ ԿՎԱՐՑ-ՀՅՈՒԲՆԵՐԻՏԱՅԻՆ ԵՐԱԿՆԵՐԻ ԵՎ ԳՐԵՅՁԵՆՆԵՐԻ ՀԱՆՔԱՎԱՅՐԵՐ

Ցզյանսի մարզի հանքավայրերը Չինաստանում: Այստեղ տեղադրված են շատ խոշոր հանքավայրեր, որոնք տալիս են Չինաստանի վոլֆրամային հանքանյութերի հանույթի 70% : Ցզյանսի մարզի միայն հարավային մասում 30 հազար կմ² տարածության վրա հայտնի է 80 վոլֆրամաբեր

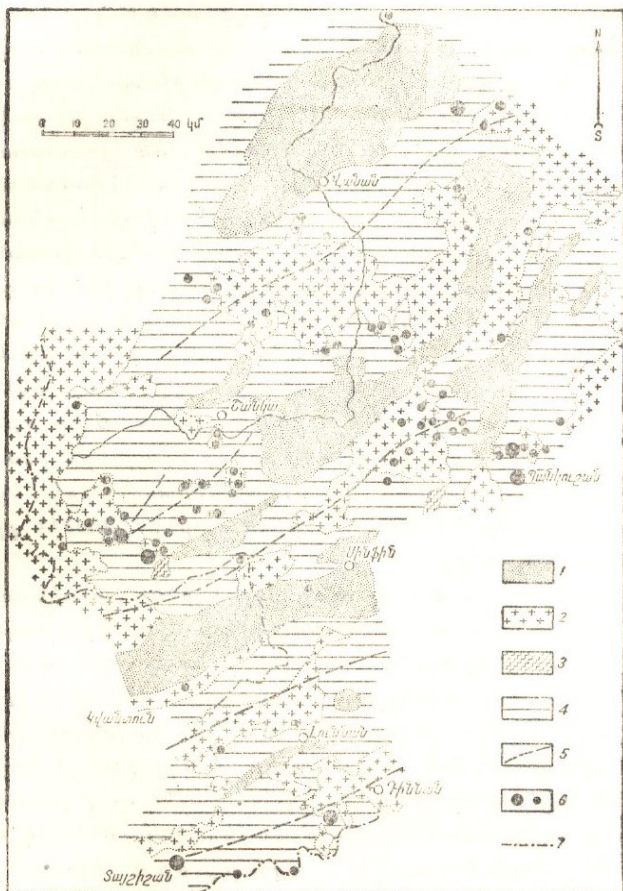
ըրջան: Հանքայնացված տարածութիւնը կազմված է պալեոզոյի և ստորին մեզոզոյի ինտենսիվ կերպով ճմրված ապարներից, որոնք հատված են վերին յուրայի հասակի գրանիտային ինտրուզիաներով: Գրանիտների հետ կապված են վոլֆրամի խոշոր կուտակումներ (գլխավորապես Յզյանսի, մասամբ Յուննան մարզերում):

Նույն հասակի գրանիտային ինտրուզիաների հետ կապված են նաև սնագի (Յուննան մարզում) և մոլիբդենի խոշոր կուտակումներ: Գրանիտային զանգվածները ձգված են հյուսիս-արևելյան ուղղութեամբ, կիմմերյան անտիկլինալային ստրուկտուրաների առանցքների երկայնքով. 12 հազար կմ² ավելի մակերես ունեցող խոշոր բաթոլիտներից մեկը ձգված է միջօրեականի ուղղութեամբ: Վոլֆրամի հանքավայրերը տեղադրված են գրանիտների մեջ կամ էկզոկոնտակտի անմիջական զոնայում տեկտոնական ճեղքերի երկայնքով (նկ. 48): Հանքային երակներն ըստ տարածման հետամտվում են հարյուրավոր մետրերից մինչև 1 կմ, ըստ խորութեան՝ մինչև 300 մ, 0,1—0,6-ից մինչև 3 մ կարողութեամբ: Կվարց-վոլֆրամիտային երակներն ըստ խորութեան հաճախ հարստանում են մոլիբդենիտով, իսկ երակների վերին հորիզոններում աճում է բիսմութինի, քնածին բիսմութի և կասսիտերիտի դերը:

Երակների մեծ մասն ունի լայնակի և հյուսիս-արևելյան տարածում, կան նաև հյուսիս-արևմտյան և միջօրեական տարածում ունեցող երակներ. երակների անկումը զստիթամի է՝ 60—70°: Բացի երակներից, հանդիպում են կասսիտերիտով հարստացած (պարունակում են W և Sn հավասար քանակություներ) գրեյզենացված տեղամասեր, շտոկվերկային զոնաներ և մինչև 50 մ կարողութեամբ կվարց-հանքային ոսպնյակներ: Հանքավայրերի մեջ առանձնացվում են հետևյալ դեներտիկ տիպերը՝

1) Պեդամատային կվարց-օրթոկլապ-մուսկովիտային երակներ տուրմալինով, տոպազով և վոլֆրամիտի, կասսիտերիտի, մոլիբդենիտի խառնուրդով: Արդյունաբերական նշանակություներ չունեն, սակայն հաճախ ուղեկցվում են կվարց-վոլֆրամիտային երակներով:

2) Անագարեր գրեյզեններ, որոնք կազմված են կվարցից, փայլարից, կասսիտերիտից, ֆլյուորիտից, մոլիբդենիտից, բիսմութինից, շեկիտից, վոլֆրամիտից. սրանք ուղեկցվում են կվարց-վոլֆրամիտ-կասսիտերիտային երակներով:



Նկ. 48. Յգյանսիի վոլֆրամի հանքադաշտի քարտեզ
(քառ Կե Շին-Սուխ)

1—կարմրագույն ցամաքային հաստվածք, 2—հետբետյան, լեյասի և մինչկավճյան գրանիտներ, 3—գրանիտ-գնեյսներ, 4—մինչքեմբրի-տրիասի նստվածքային և մետամորֆային ապարներ, 5—անտիկլինալների առանցքներ, 6—վոլֆրամի հանքավայրեր, 7—մարզերի սահմաններ:

3) Բարձր ջերմաստիճանային կվարց-վոլֆրամիտային երակներ հետևյալ կազմով՝ կվարց, մուսկովիտ, լիթիումային փայլար, օրթոկլազ, ֆլյուորիտ, տուրմալին, տուպազ, բերիլ, ալրիտ, սերիցիտ, քլորիտ, վոլֆրամիտ, կասսիտե-րիտ, շեելիտ, բիսմուտին, մոլիբդենիտ, պիրիտ, խալկոպիրիտ, արսենոպիրիտ, պիրրոտին, սֆալերիտ, գալենիտ, բնածին բիսմուտ, մագնետիտ, հեմատիտ, տեննանտիտ, ստաննին: Երակները տեքստուրան զուգվոր է, զալրանդներում գտնվում են փայլարը, վոլֆրամիտը, կասսիտերիտը, կենտրոնում՝ մասսիվ կվարցը: Փեղոցներում առաջանում են բիսմուտինի, կասսիտերիտի, ֆլյուորիտի, տուպազի, շեելիտի բյուրեղիկներ: Վոլֆրամիտի բյուրեղները կողի երկարությամբ հասնում են 30 սմ:

WO₃ պարունակությունը տատանվում է 0,5-ից մինչև 40%-ի սահմաններում: Սա W միակ արդյունաբերական տիպն է Յզյանսիում:

4) Համեմատաբար ավելի ցածր ջերմաստիճանային սուլֆիդներով հարուստ երակներ. սուլֆիդները նստել են կվարցից և վոլֆրամիտից ավելի ուշ: Հանքավայրերի մասշտաբը մեծ է:

Յզյանսի մարզի առանձին խոշորագույն հանքավայրերից կարելի է նշել Տայ-Շի-Շանը, Սի-Սուա-Շանը և Կվա-Մի-Շանը:

Տայ-Շի-Շան հանքավայրը աշխարհում խոշորագույններից մեկն է. ներկայացված է սիլուրի ֆիլիտների և կվարցիտների մեջ տեղադրված լայնակի, դեպի հյուսիս գառնիթափ ընկնող երակների սերիայով: Մշակվում է երակների երկու գոտի՝ 1) 24 փոխադարձ զուգահեռ երակներ, 9,6 մ ընդհանուր կարողությամբ, 90 մ լայնություն ունեցող զոնայում և 2) 20 փոխադարձ զուգահեռ երակներ, 5,6 մ ընդհանուր կարողությամբ, 270 մ լայնություն ունեցող զոնայում: Առանձին երակների կարողությունը տատանվում է 0,1—1,5 մ սահմաններում, երկարությունը հասնում է մինչև 650 մ, հետամտված խորությունը՝ 300 մ, WO₃ միջին պարունակությունը՝ 2,50%:

Յզյանսի մարզի հանքավայրերի մասշտաբը շատ մեծ է. այստեղ կենտրոնացված է վոլֆրամի համաշխարհային պաշարների մոտ 60%: Յզյանսի հանքավայրերը գեներտիկ տիպով շատ նման են ՍՍՌՄ-ի բազմաթիվ հանքավայրերին:

Բուկուկա կվարց-վոլֆրամիտային հանքավայրը Արևելյան Անդրրայիկում ներկայացված է երակներ-

րով (հաճախ համբրիչաձև), խողովակաձև մաքմիններով և շտակ-վերկային զոնաներով. տեղադրված է կրամերյան հասակի գրեյզե-նացված գրանիտոդրային ապարների մեջ, յուրայի հասակի ավազաթերթաքարային շերտախումբը հատող ոչ-մեծ գմբեթաձև դանդաձների ապիկալ մասերում, հազվապեպ գրանիտոդրների էկզոկոնտակտում:

Հանքային երակները հարում են հյուսիս-արևելյան և հյուսիս-արևմտյան, համարյա լայնակի տարածում ունեցող ձեղքերին: Հանքային երակների անկումը փոքրաթեքից (15—20°) հասնում է մինչև շատ զառիթափի (75—80°), բնդ որում գառիթափ երակներն ավելի հուսալի են, թեպետ հաճախ, փոքրաթեք երակների համեմատությամբ, ավելի աղքատ են վոլֆրամով: Հավ արտահայտված երակները հետամտվում են ըստ տարածման սովորաբար հարյուրավոր մետրերից մինչև 1—2 կմ, ըստ անկման՝ 200—300 մ (հազվադեպ ավելի). նրանց կարողությունը 0,1—0,5-ից մինչև 1 մ է, իսկ փրվածքներում երբեմն հասնում է մինչև 3 մ:

Հանքային պրոցեսը բաժանվում է մի շարք հաջորդական ստադիաների՝

1) Պեզմատիտներ բերլիլով, տոպազով, վոլֆրամիտի, կասսիտերիտի, տանտալ-կոլումբիտի և բնածին բիսմութի շնչին քանակությամբ:

2) Կվարց, տուրմալին, բերիլ, տոպազ, ֆլյուորիտ, սիդերոֆիլիտ, կասսիտերիտ, վոլֆրամիտ, մոլիբդենիտ, բիսմութին, արսենոպիրիտ:

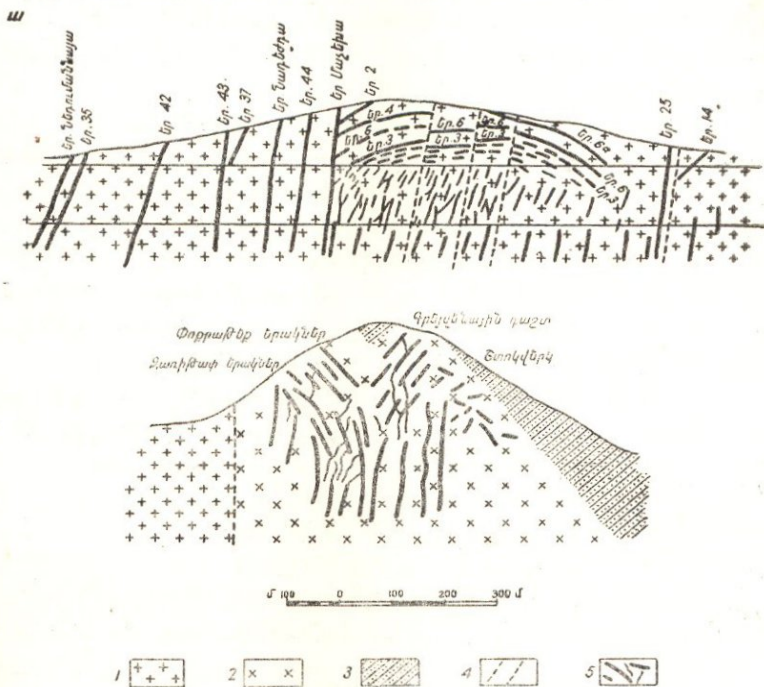
3) Կվարց, տուրմալին, պիրիտ, վոլֆրամիտ, կասսիտերիտ, պիրրոտին, շեելիտ, բիսմութին, արսենոպիրիտ:

4) Կվարց, կարբոնատներ, վոլֆրամիտ, սուլֆիդներ:

5) Կվարց, խալցեդոն, ֆլյուորիտ, մարկագիտ, մանր ասեղնաձև վոլֆրամիտ: Գլխավոր արդյունաբերական արժեք են ներկայացնում երկրորդ և երրորդ ստադիաների հանքանյութերը. որպես կանոն, վոլֆրամիտը կենտրոնացել է երակների զալրանգներում, իսկ սուլֆիդները նստել են ավելի ուշ:

Մի շարք հետազոտողներ սուլֆիդներով առատ վոլֆրամիտային երակներում նշում են «շրջված» զոնալականություն՝ ըստ խորություն սուլֆիդների քանակը խիստ աճում է, մինչդեռ վոլֆրամիտի պարունակությունը նվազում է, քանի որ նա տեղակալվում ու դուրս է մղվում շեելիտի կողմից:

Հետաքրքրական է, որ շեկլիտը սուլֆիդային հանքայնացման պայմաններում կայուն է և դրանով էլ բացատրվում է նրա հաճախակի զուգակցումը պիրրոտինի և այլ սուլֆիդների հետ, շեկլիտի պսևդոմորֆոզի լայն զարգացումն ըստ վոլֆրամիտի, որը նստում է հանքայնացման ավելի վաղ մինչև սուլֆիդային կվարց-վոլֆրամիտային ստադիայում:



Նկ. 49. Բուկուկա հանքավայրի հանքադաշտի սխեմատիկ կտրվածքներ

1—գրանիտ, 2—գրանոդիորիտ, 3—ավազաբար-թերթաբարային շերտախումբ, 4—վարնետվածքներ, 5—երակներ:

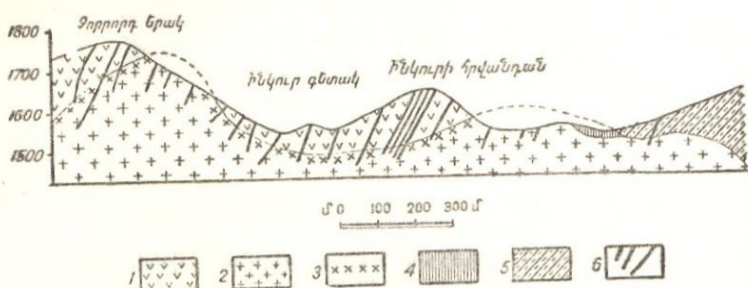
Փոքրաթեք և զառիթափ հանքային երակների հարաբերակցության ուսումնասիրությունը ցույց է տալիս, որ առաջինները սովորաբար զարգացած են ինտրուզիվ զանգվածների ապիկալ մասերում, ծածկի ավազաթերթաբարային նստվածքների տակ և խորքում փոխվում են զառիթափ երակներին (նկ. 49): Զուգակցման տեղերում երկու սխտեմի երակներն էլ լցված են միևնույն խոշորաբյուրեղ կվարցով վոլֆրամիտի (տեղ-տեղ կասսիտերիտի, բխամուտինի կամ մոլիբդենիտի) խառնուրդով:

Հետագայում դառիթափ երակները զգալի մասը ենթարկվել է բազմապատիկ ընկորատման և նրանց վրա վերագրվել են հազվագյուտ մետաղներով աղքատ, ավելի ցածր ջերմաստիճանային ստադիաներ. այդ կապակցությամբ ավելի մեծ կարողություն (մինչև 2—3 %) և խորքում պահպանվող ու զուլավոր տեքստուրա ունեցող այդպիսի երակները պարունակում են շատ սուլֆիդներ ու խալցեդոն և փոքրաթեք երակների համեմատությամբ ավելի աղքատ են ինչպես վոլֆրամից, այնպես էլ անագից, բիսմուտից, մոլիբդենից:

Հանքավայրերի առանձին տեղամասերում, բացի գերլիշխող երակային տիպից, արդյունարերական հետաքրքրություն են ներկայացնում մինչև 0,2 կմ² տարածություն գրավող շտոկվերկային հանքանյութերի տեղամասերը, W, Bi և Mo հարուստ ու բարդ կազմության հանքանյութերով:

Ամենաուշ վարնետված քային ճեղքերին հարում են խալցեդոնի երակները՝ ֆլյուորիտով և ցածր ջերմաստիճանային վոլֆրամիտի ցրված մանր ասեղնաձև բյուրեղներով:

Ջիդայի կվարց-հյուսերի տային հանքավայրը, որը գտնվում է արևմտյան Անդրբայկալում, գենետիկորեն և



Նկ. 50. Ջիդայի հանքավայրի № 4 երակի շրջանի ուղղահայաց կտրվածք
 1—գրանոդիորիտ, 2—գրանիտ, 3—գրանիտ-պորֆիր, 4—ֆելիտ,
 5—կվարցային պորֆիր, 6—հանքային երակներ:

տարածականորեն սերտ կերպով կապված է կիմմերյան գրանիտի և գրանիտ-պորֆիրի շտոկների հետ: Հանքավայրը ներկայացված է երակներով և շտոկվերկային տեղամասերով, որոնք տեղագրված են ինտրուզիվ ապարների ինչպես նաև պլեոզոյի մետամորֆային ապարների և կալեդոնյան գրանոդիորիտների մեջ (Նկ. 50): Փոխադարձ զուգահեռ լայնակի և հյու-

ախա-արևմտյան դառիթափ երակները սերիաներն ըստ տարածման հետամտվում են հարյուրավոր մետրեր 0,2—1 մետր կարողութամբ:

Ըստ հանքայնացման բնույթի առանձնացված են հինգ տիպի երակներ՝

1) Կվարց-գաշտաշպատային (մոխրագույն կվարց, օրթոկլազ, ապատիտ, բերիլլ, հյուբներիտ, պիրիտ, ներբեմն նաև մոլիբդենիտ):

2) Կվարց-հյուբներիտային (մոխրագույն և մոխրա-սպիտակ կվարց, հյուբներիտ, ալրիտ, Ֆլյուորիտ):

3) Կվարց-կարբոնատային (մոխրա-սպիտակ կվարց, ոսգոխրոզիտ, հյուբներիտ, Ֆլյուորիտ, պիրիտ, շեելիտ, տետրաեդրիտ):

4) Սուլֆիդային (սպիտակ կվարց, Ֆլյուորիտ, հյուբներիտ, պիրիտ, ոսգոխրոզիտ, խուչնացած հանքանյութեր, սֆալերիտ, գալենիտ):

5) Մալցեդոնային (եղջրաքարային կվարց, պիրիտ, Ֆլյուորիտ, առեղնաձև հյուբներիտ):

Երակների այս տիպերը զարգանում են հաջորդաբար և համապատասխանում են հանքայնացման առանձին ստադիաներին, որոնք ընդգրկում են ջերմությունների լայն գիսպազոն՝ բարձրից մինչև ցածր: Խնտրուզիվ ապարների զանգվածների նկատմամբ երակների դասավորութայն մեջ դիտվում է հորիզոնական զոնավություն՝ ավելի բարձր ջերմաստիճանային տիպերը (առաջին երկուսը) տեղադրվում են գրանիտ-պորֆիրների մեջ, մնացածները՝ էկզոկոնտակտում, ընդ որում սուլֆիդային և խալցեդոնային երակները հանքաբեր զանգվածներից գտնվում են զգալի հեռավորութայն վրա:

Ամենամեծ արդյունաբերական հետաքրքրություն է ներկայացնում երկրորդ, մասամբ երրորդ տիպը, մինչդեռ մնացածներն աղքատ են վոլֆրամից և սահմանափակ տարածում ունեն:

Առաջին երկու տիպի երակներում հյուբներիտը խոշորաբյուրեղ է (բյուրեղների մեծությունը կոչի երկարութայամբ հասնում է մինչև 20—25 սմ), երրորդ տիպի երակներում՝ միջին հատիկավոր, իսկ վերջին երկուսում ներկայացված է միկրոսիտափկ ասեղնաձև անջատումներով:

Հանքանյութերի համար բացի W և Mn բարձր պարունակությունից, բնորոշ է Au, Ag, Cu, Pb, Zn, Be առկայությունը: Հանքարեր մագման առանձնապես հարուստ է եղել W և Mn. վերջինով հարուստ լինելը արտահայտվում է ոչ միայն ոռոգոխրոզիտի մեծ դերով, այլև վոլֆրամիտի բնույթով (հյուերներխտային տարբերակ):

Սուլֆիդների գլխավոր մասի նստեցումը տեղի է ունեցել հյուերներխտի նստեցումից զգալիորեն ավելի ուշ, սակայն մուլիդոկենիտի (պիրիտի հետ) արդյունարեբական կուտակումները շտովվերկի ձևով գրեյդենացված գրանիտ-պորֆիրների մեջ առաջացել են մինչ հյուերներխտային հանքայնացումը (հյուերներխտային երակները լամպրոֆիրային դայկաներից ավելի երիտասարդ են, իսկ շտովվերկի մուլիդոկենիտային երակիկները լամպրոֆիրներից ավելի հին են և հատվում են նրանցով):

Ելնելով հանքանյութերի կազմից և ապարների հանքաձևերձ փոփոխման բնույթից (գրեյդենացում), կարելի է եզրակացնել, որ սկզբնական ստադիաներում հանքանյութերն առաջացել են բարձր ջերմաստիճանային պայմաններում (վոլֆրամի գլխավոր մասի նստեցում), իսկ հանքառաջացման միջին և վերջին ստադիաները տեղի են ունեցել միջին (սուլֆիդների և ոռոգոխրոզիտի լայն զարգացում) և ցածր (խալցեդոն, սսեղնաձև հյուերներխտ) ջերմաստիճանային պայմաններում:

ՇԵՆԼԻՏ-ՖԵՐԲԵՐԻՏ-ՍՏԻԲԵԻՏԱՅԻՆ ՖՈՐՄԱՅԻԱՅԻ ՀԱՆՔԱՎԱՅՐԵՐ

Բ ա ու լ զ ե ռ հ ա ն ք ա վ ա յ ը (կոլորադո, ԱՄՆ): Շրջանը կազմված է մինչքեմբրյան գնեյսանման կվարցային մոնցոնիտներից՝ հատված երրորդական գրանիտ-պորֆիրների, անգեկիտների և լատիտների շտովներով, որոնց հարում են վոլֆրամի հանքավայրերը: 15 կմ երկարություն ունեցող հանքարեր գոտին ձգված է հյուսիս-արևելյան ուղղությամբ, խախտման գոնայի երկայնքով, որին հարում են մինչև 50 առանձին հանքավայրեր՝ ներկայացված հանքայնացման փնջային բաշխում ունեցող եղջրաքարային կվարցի երակներով:

Երակներն անկանոն են, սեպաձև մարում են սովորաբար մինչև 90—100 մ խորությունը, հազվադեպ հետամտվելով

մինչև 200—250 մ. երակները կարողութունը տատանվում է լայն սահմաններում՝ 0,15-ից մինչև 5 մ փքվածքներում: Երակների տեքստուրան դրուգային և սանրածե է, հանքանյութերը մանրահատիկ: Հանքանյութերի կազմը՝ եղջրաքարային կվարց, խալցեդոն, ֆերրերիտ (0,01—0,001 մմ և ավելի մանր հատիկներով), ֆլյուորիտ, կարբոնատներ, բարիտ, խունացած հանքանյութեր, ադուլար, շեելիտ, ոսկու և արծաթի տելուրիդներ: WO_3 պարունակությունն անհավասարաչափ է, փնջային, 2-ից մինչև 20%:

Այդ միևնույն հանքային գոտում ֆերրերիտի հանքավայրերի հետ սերտորեն կապված տեղագրված են ցածր ջերմաստիճանային Au—Ag հանքավայրերը, որոնք, յնչպես նաև ֆերրերիտի հանքավայրերը, ներկայացնում են մերձօակերեսային առաջացումներ:

Ատուլիա հանքավայր (Կալիֆորնիա, ԱՄՆ). շրջանը կազմված է մինչքեմբրյան թերթաքարերից և զնեյսներից, որոնք հատված են վերին յուրայի կվարցային մոնոցոնիտներով և վերին երրորդականի սիոլիտներով ու անդեզիտներով: Վերջինների հետ սերտորեն կապված է հանքայնացումը, որը ներկայացված է շտոկվերկային զոնաներով և 0,1—5 մ կարողություն ու մինչև 100 մ երկարություն ունեցող երակներով: Հանքային զոնան հարում է վարնետվածքների սխտեմին և հետամտվում է 4 կմ, մինչև 400 մ լայնությամբ և 200—250 մ ուղղածից տարածմամբ:

Հանքանյութերի կազմը՝ խալցեդոնանման կվարց, կարբոնատներ, շեելիտ, ստիբնիտ, կինովար, ոսկու և արծաթի տելուրիդներ: Հանքայնացման բաշխումը փնջային է, որոշ տեղամասեր կիսով չափ կազմված են շեելիտից, իսկ WO_3 -ի միջին պարունակությունը կազմում է 2—3%:

ԸՆԴՀԱՆՐԱՅՈՒՄ ՎՈՒՖՐԱՄԻ ՎԵՐԱԲԵՐՅԱԼ ԵՎ ՈՐՈՆՄԱՆ ՆՇԱՆՆԵՐԸ

Վուֆրամը կապված է թթու և մասամբ չափավոր թթու գրանիտոիդների հետ և արդյունաբերական կուտակումներ է տալիս հիդրոթերմալ ու սկառնային տիպի հանքավայրերում:

Սկառնային զոնաներում վուֆրամը ներկայացված է շեելիտով (Mo, Bi սուլֆիդների ասոցիացիայում), գրեյդեններում

և կվարցային երակներում՝ վոլֆրամիտով կամ հյուբներիտով (կասսիտերիտի, մոլիբդենիտի, բիսմութինի, բերլիլի ասոցիացիայում): Առանձնակի տեղ են գրավում Ֆերբերիտ-անտիմոնիտային և շեելիտ-անտիմոնիտային հանքանյութերը ոսկու և արծաթի տելուրիդների խառնուրդով, որոնք ներկայացնում են փոքր խորությունների և համեմատաբար ցածր ջերմաստիճանային առաջացումներ:

Վոլֆրամի խոշորագույն հանքավայրերը կիմմերյան հասակ ունեն, սակայն հայտնի են նաև հերցլինյան և ալպիական հասակի բավական խոշոր հանքավայրեր:

Հաստատվում է վոլֆրամաբեր գրեյզենների և կվարց-վոլֆրամիտային ու հյուբներիտային երակների սերտ տարածական և գենետիկ (խորքային օջախի ընդհանրության իմաստով) կապը թթու գրանիտների, շեելիտաբեր սկառների կապը չափավոր թթու գրանիտիդների, իսկ շեելիտ-ֆերբերիտ-ստիբնիտային հանքանյութերին՝ մերձմակերեսային ուղիտների և գրանիտ-պորֆիրների հետ:

Բազմաֆազ գրանիտային զանգվածներում վոլֆրամիտային հանքայնացումը սովորաբար տարածականորեն և ըստ ժամանակի սերտորեն կապված է օջախի ամենաուշ և ամենաթթու ածանցյալների ներգրման հետ, որոնց էկզո և էնդոկոնտակտային գոնայում տեղագրված են հանքանյութերը: Անհրաժեշտ է նշել արդյունաբերական վոլֆրամիտային հանքայնացման հաճախակի հարումը փոքր ինտրուզիաների գրեյզենացված գրմբեթներին և զայկաներին, ընդ որում ըստ Ն. Ի. Նակովնիկի, վոլֆրամի համար ամենահուսալին հանդիսանում են ֆլյուորիտային տիպի գրեյզենները: Շեելիտաբեր սկառները զարգանում են գրանիտսիդային ապարների և կարբոնատային շերտախմբերի փոքրաթեք կախված կոնտակտներում:

Վոլֆրամի որոնման աշխատանքները կազմակերպելու ժամանակ անհրաժեշտ է հաշվի առնել, որ արդյունաբերական հանքավայրերի առանձին տիպերն առաջանում են տարբեր գեոլոգիական պայմաններում, ունեն տարբեր կազմ, որի կապակցությամբ և նրանց որոնման մեթոդները նույնանման լինել չեն կարող:

Կվարց-վոլֆրամիտային ու հյուբներիտային երակների և գրեյզենների համար բնորոշ է ասոցիացիան Sn, Mo, հազվադեպ Bi, As, Be հետ և նրանց գրոսկորումը անագահան-

քային շրջաններում, թթու գրանիտների էնգո և էկզոկոնտակտներում, գրեյզենների (սովորաբար ֆլյուորիտային) մեջ, որանդ և պետք է որոնել այդ տիպի հանքանյութերը:

Վերին հորիզոններում երակները հաճախ հարստացված են Sn և Bi, իսկ խորքում Mo, մյուս գեպքերում, ըստ խորության, աճում է սուլֆիդների դերը, իսկ վոլֆրամիտը դուրս է մղվում շեելիտի կոզմից: Այս ֆորմացիայի հանքավայրերի որոնման ժամանակ որոշակի օգնություն է ցույց տալիս սկզբածքային հանութը (կասսիտերիտը, բազորիտաուտիտը սկզբածքներում լավ են պահպանվում, իսկ վոլֆրամիտը և հյուրներիտը ավելի արագ են փոշիանում և հանդիպում են միմիայն արմատական ելքերի մոտ):

Շեելիտաբեր սկառների հանքավայրերի համար բնորոշ է նրանց հարումը չափավոր թթու գրանիտոիդներին և գրանուրումը գլխավորապես սլիշնահանքային շրջանների սահմաններում (առանձին հանքավայրեր հայտնի են նաև անագահանքային շրջաններում), ինտրուզիվ և կարրոնատային ապարների կոնտակտային զոնաներում, երբեմն սկառների վերամշակված ինտրուզիվ ապարների մեջ: Անհրաժեշտ է հաշվի առնել, որ գլխավոր հանքային միներալ՝ շեելիտը մասամբ ցրված է մուգ գույնի գրանատ-հեդենբերգիտային սկառների մեջ, մասամբ էլ (երբեմն գերակշռող մասը) կվարցի և սուլֆիդների հետ կուտակվում է սկառային զոնայի կախված կողում և ավելի ուշ ճեղքերում, առաջացնելով բնածե և երակածե մարմիններ:

Այս տիպի հանքավայրերի հետախուզման և գնահատման ժամանակ անհրաժեշտ է հաշվի առնել մանրահատիկ ցրված շեելիտի դժվար ճանաչելիությունը (այդ դեպքերում օդտազործում են կատոդային սարքավորումներ) և հանքանյութերի հաճախակի կոմպլեքսայնությունը (W հետ միասին հանդիպում են Mo, Bi, Sn, երբեմն էլ As, Be):

Սկզբածքային հանութն օգնում է շեելիտի որոնումների ժամանակ:

Վերջապես, ստիբնիտ-շեելիտային և ստիբնիտ-ֆերրիտային հանքանյութերի որոնումների ժամանակ անհրաժեշտ է հաշվի առնել նրանց սերտ կապը սովորաբար վերին երրորդական հասակի դացիտների, սիլիտների, գրանիտ-պրոֆիրների շտոկների և էկստրուզիաների հետ: Բնորոշ է W ու Sb ասոցիացիան

խալցեդոնի, Au և Ag տելուրիդների, երբեմն կինովարի հետ: Սկվածքային հանութը (սկվածքներում՝ շեելիտ, ֆերրերիտ, սսիլի, կինովար) այստեղ ևս ուղղություն է ապրիս որոնումներին:

Վոլֆրամի որոնման ընդհանուր նշաններ հանդիսանում են՝

1) Վոլֆրամի միներալների կամ նրա ուղեկիցների (կասսիտերիտի, մոլիբդենիտի, բիսմութի, արսենոպիրիտի, բերիլի, ֆլյուորիտի, լիթիումային փայլարների, տոպազի և այլն) առկայությունն ինտրուզիվ ապարներում, պեգմատիտներում, սկաներում, գրեյդեններում և հիդրոթերմալ փոփոխված գրանիտոիդների էնգո և էկզոկոհտակտի ապարներում:

2) Մակերեսային ելքերում ֆերրի-մոլիբդիտի, տունգստիտի, բիսմութային օխրանների (դեղնա-կանաչավուն գույնի), սկորոդիտի (խնձորի կանաչ գույնի) փառերի և թաղանթների առկայությունը:

3) Սկվածքներում վոլֆրամի միներալների կամ նրա ուղեկիցների՝ անագի, բիսմութի, բերիլիումի միներալների առկայությունը:

4) Կլարկի համեմատությամբ W բարձր պարունակությունը ինտրուզիվ ապարներում և W, Sn, Be, Bi պարունակող միներալների առկայությունը գրանիտոիդներից ստացված մանրանյութում: Բացի գրանից նաև թարմ և փոփոխված ապարներից ստացված մանրանյութի մեջ վոլֆրամի ուղեկից էլեմենտների՝ F, B, Cl, Li բարձր պարունակությունը:

ՀԻՄՆԱԿԱՆ ՔՐԱԿԱՆՈՒԹՅՈՒՆ ՎՈՂՅՐԱՄԻ ՎԵՐԱԲԵՐՅԱԼ

Карпова Е. Д. О рудоносных скарнах Кармазара и Могол-тау. Зап. ВМО, ч. 75, вып. 3, 1946.

Карпова Е. Д. и Ивашенцов А. Г. Скарны. Сборник статей „Измененные околорудные породы и их поисковое значение“. Под ред. Н. Н. Курека. Труды ВСЕГЕИ, 1954.

Левицкий О. Д. Вольфрамовые месторождения Восточного Забайкалья. Месторождения редких и малых металлов СССР, т. II, 1939.

Магакьян И. Г. Металлоносность скарновых зон Зеравшано-Гиссарской горной области. Изв. АН СССР, сер. геол. № 2, 1941.

Месторождения редких и малых металлов СССР, т. 1, 1939.

Нечелюстов Н. В. Месторождения шеелита в Средней Азии. Сов. геология, вып. 14—15, 1947.

Чичинадзе К. Н. Металлогения Горной Рачи и Сванетии. Кавк. эксп. СОПС, изд. АН СССР, 1945.

Johnston W. D. Jr. and de Vasconcellos F. M. Sheelite in northeastern Brazil. Econ. Geol. vol. 40, 1945.

Ke-Chin-Hsu. Tungsten Deposits of southern Kiangsi, China. Econ. Geol. v. 38, № 6, 1943.

Kerr P. F. Tungsten mineralization in the United States. Geol. Soc. of America Memoir 15, March 9, 1946.

Klepper M. R. Sangdong Tungsten Deposit Korea. Econ. Geol. v. 42, № 5, 1947.

Li K. C. and Wang Chung Ju. Tungsten Am. Chem. Soc. Monograph. series New-York, 1947.

Loomis F. B. Boulder Country Tungsten Ores. Econ. Geol. v. 32, 1937.

**Բ. Հազվագյուտ մեհաղներ, որոնք կիրառվում են
արդյունաբերության սարքեր բնագավառներում՝
անագ, բիսմութ, մկնդեղ, ծարիր, սնդիկ**

Ա. Ն Ա. Գ (Sn)

ԸՆԴՀԱՆՈՒՐ ՏԵՂԵԿՈՒԹՅՈՒՆՆԵՐ

Անագը պատկանում է մարդուն հայտնի առաջին մետաղների թվին, իսկ նրա լայն կիրառումը պղնձի համաձուլվածքներում որոշել է մարդկության կուլտուրայի զարգացման պատմության երկարատե ու կարևոր մի դարաշրջան՝ Բրոնզե դարը: Բրոնզե լրերից ամենահնագույնները, որոնք թվագրված են 3500—3200 տարի մինչև նոր թվարկությանը, գտնվել են Եփրատի ափերին (Միջագետք): Չինաստանում բրոնզը լայնորեն կիրառվել է 1500—1800 տարի ն. թ. առաջ: Անագի հնագրայան խոշոր մասշտաբի մշակումներ կատարվել են փյունիկացիների կողմից Կորնուոլում (Անգլիա), ինչպես նաև հարավային Չինաստանում, Բուլղարիայում և ՍՍՌՄ-ում:

Անագը քիմիապես կայուն է, նրա աղերը անփնաս են, որպիսի հատկությունները ապահովում են այդ մետաղի լայն կիրառումը սննդի արդյունաբերության մեջ սպիտակ թիթեղի և ֆոլգաի ձևով:

Ա. Ե. Ֆերոմանի դիպուկ արտահայտությամբ Քանագը պահածոի տուփի մետաղ է: Անագի դյուրահալությունը և հակաֆրիկցիոն ձուլվածքներ՝ բարբիտներ, զոդանյութեր, բրոնզներ, տպագրական ձուլվածքներ տալու ընդունակությունն այն դարձնում է կարևոր տեխնիկական մետաղ:

Անագի հանույթը 1940 թ. հասել է 240 հազ. տ. (առանց

ՍՍՌՄ-ի), հետագա տարիներին ընթացքում այն զգալիորեն կրճատվել է պատերազմական գործողութիւնների կապակցութեամբ, որոնք ընդգրկել էին Ասիայի հարավ-արևելքը, որտեղ գտնվում են անագ արդյունահանող գլխավոր երկրները: 1953 թ. անագի ձուլումը կազմել է 177 հազ. տ. (առանց ՍՍՌՄ-ի և Չինաստանի):

Սաղաղ տարիներին անագի համաշխարհային հանույթի համարյա 2/3 բաժին է ընկնում Հարավ-Արևելյան Ասիային (Մալայա, Ինդոնեզիա, հարավային Չինաստան, Բիրմա, Տաիլանդ), մնացած քանակութիւնը տալիս են գլխավորապէս Բոլիվիան, Նիգերիան, Բելգիական Կոնգոն, Ռուանդա-Ուրունդին և Տանզանիան:

Անագը փոքր քանակութեամբ արդյունահանվում է նաև Եվրոպայի երկրներում (Փորթուգալիայում, Իսպանիայում, Անգլիայում, Գերմանիայում) և միանգամայն աննշան քանակութեամբ՝ Հյուսիսային Ամերիկայում (Կանադայում, Մեքսիկայում, ԱՄՆ-ում) և Յապոնիայում:

Շատ խոշոր անագահանքային շրջաններ հայտնի են ՍՍՌՄ-ում (Անդրբայկալ, Փոքր Խինգան, Սիխոտե-Ալին և առանձնապէս հյուսիս-արևելքի հսկայական տերիտորիան Յանա, Ինդիգիրկա, Կոլիմա և Անագիր գետերի ավազաններում):

Անագի համաշխարհային պաշարները արտասահմանյան երկրներում կազմում են 6 միլ. տ., որից 2 միլ. տ. բաժին է ընկնում Մալայային և Ինդոնեզիային, այդքան էլ Հարավային Չինաստանին (գլխավորապէս Յուննան մարզին), 1 միլ. տ. Բոլիվիային և 1 միլ. տ. մնացած բոլոր երկրներին:

* * *

Անագի միջին պարունակութիւնը երկրի կեղևում կազմում է 0,0006%, արդյունաբերական կուտակումները կապված են թթու և չափավոր թթու հրային ապարների՝ գրանիտների, գրանոդիորիտների և նրանց էֆուզիվ անալոգների (ոլիոլիտների, պորֆիրների) հետ: Տարբեր ապարներում անագի պարունակութեան մասին հետաքրքիր տվյալներ են բերում Rankama և Sahama (1949), ըստ որոնց գաբրրոն միջին հաշիվով պարունակում է 8 գ/տ. Sn, գրանիտները 80 գ/տ., գրեյզենները 800—8000 գ/տ. (0,08—0,80/0). անագով առանձնապէս հարուստ են F և B բարձր պարունակութիւն ունեցող գրա-

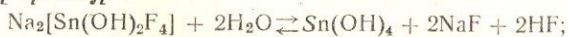
նիտները: Անագը երկալի գեոքիմիական բնույթի էլեմենտ է լիտոֆիլ և խալկոֆիլ (նայած O և S օւժիմին), այստեղից էլ բխում է նրա մեծ խնամակցութունը կամ O ու Si կամ S հետ:

Անագը հեշտությամբ տալիս է ցնդող կամ շարժունակ միացություններ (հալլտիդներ և մի գուցե $\text{Na}_2\text{SnS}_3^1$ տիպի տիտաղեր) և մագմատիկ օջախից դուրս է բերվում դազաջրային լուծույթներով, առաջացնելով մասամբ պեգմատիտային ու պնեմատոլիտային և գլխավորապես հիդրոթերմալ արդյունաբերական կուտակումներ: Անագի միներալոգիան հարուստ է, հայտնի է անագի մոտ 20 միներալ (օքսիդներ, սուլֆիդներ, սուլֆօսաղեր, սիլիկատներ, ինչպես նաև բնածին անագ), որոնցից միայն շատ քչերը կարող են գիտվել որպես անագի կարևոր արդյունաբերական հանքանյութեր:

Անագաքարը (կասսիտերիտ) SnO_2 անագի գլխավոր և համարյա միակ հանքանյութն է. պարունակում է 78,6% Sn: Առաջացման պայմաններն ընդգրկում են բայն ինտերվալ՝ սկզբած պեգմատիտայինից և պնեմատոլիտայինից (սովորաբար խոշորարյուրեղ տարբերակներ կարճասյուն կամ գիպիրամիդալ հարիտուսով, մինչև 4,1% $\text{Ta}_2\text{O}_5 + \text{Nb}_2\text{O}_5$ խառնուրդով) մինչև հիդրոթերմալ բարձր—միջին և ցածր ջերմաստիճանային հանքավայրերը (ավելի մանր, պրիդմատիկ և ասեղնաձև հարիտուսի բյուրեղներով), ինչպես նաև «կոլոմորֆ» անագի տիպի և գազանարյուրեղ առաջացումներ. վերջին երկուսն առաջացել են մակերեսամերձ հանքավայրերում ջերմաստիճանի և ճնշման արագ անկման պայմաններում:

Անագային կուչեղան (ստաննից) $\text{Cu}_2\text{FeSnS}_4$ պարունակում է 27,7% Sn: Միներալը հայտնաբերվում է սովորաբար անչլիֆներում (մոխրագույն-սպիտակ ձիթապղպի բնորոշ կանաչ

¹ Հաս վ. Բարսուկովի (Докл. АН СССР, т. 93, № 6, 1953), կվարց-կասսիտերիտային ֆորմացիայի անագը տեղափոխվում է $\text{Na}_2[\text{Sn}(\text{OH})_2\text{F}_4]$ տիպի կոմպլեքսային աղի ձևով, ալկալային միջավայրում: Կուծույթի չեղբացման պայմաններում տեղի ունի հիդրոլիզ և կասսիտերիտի անջատում ըստ հետևյալ սխեմայի՝



Անջատվող HF քայքայում է դաշտային շգատները, առաջացնելով տոպազ, մուսկովիտ, ֆլյուորիտ (գրեյդենացում):

երանգով, R 24, ցածր է քան խունացած հանքանյութերում, անիզոտրոպ է, ազդվում է HNO_3 -ից), ուղեկցում է կասսիտերիտին սուլֆիդ-կասսիտերիտային հանքավայրերում: Ստաննինը սովորաբար հանդիսանում է անցանկալի խառնուրդ, քանի որ նրա հետ կապված անազը հարստացման դեպքում չի անջատվում: Ստաննինով հարուստ են ՍՍՌՄ մի շարք շրջանների, Բոլիվիայի, Կոլոնուպլի, Տասմանիայի հանքավայրերը: Միայն Բոլիվիայում, որն ունի ստաննինային հանքանյութերի զգալի պաշարներ, հարստացման հատուկ մեթոդի կիրառումով հաջողվում է անջատել նրանց հետ կապված անազը:

Տիլիա SnSPbS , Sn պարունակությունը 30,4% (թիթեղաձև բյուրեղներ, թերթավոր կուտակումներ, կարծրությունը 2, անշիֆներում սպիտակ է, կինեմոնագույն-վարդագույն երանգով, անիզոտրոպ է): Բավական հաճախ հանդիպում է Բոլիվիայի սուլֆիդ-կասսիտերիտային հանքավայրերում, երբեմն ՍՍՌՄ որոշ հանքավայրերի հանքանյութերում: Արդյունաբերական մեծ նշանակություն չունի, հաճախ թթվածնային սեծիմի փոփոխման կապակցությամբ քայքայվում է, առաջացնելով կասսիտերիտի և գալենիտի սերտ խառնուրդ: Անագի մյուս միներալներից կարելի է հիշատակել ֆրանկելիտը և կիլիգրիտը (ցիլիգրիտը)՝ անագի, կապարի և ծարիրի բարդ սուլֆոտղեր, որոնք հայտնի են գլխավորապես Բոլիվիայի հանքանյութերում: Ալյասկայի (Ear Mountain) որոշ տուրմալինային եղջրաքարերում հանդիպում է ամխա-սև տուրմալինանման բորատ 10% Sn պարունակությամբ: Սֆենի որոշ տարբերակներ պարունակում են մինչև 10% Sn , վոլֆրամիտները՝ մինչև 1%:

Հանքանյութերի արդյունաբերական տիպերի մեջ հարկավոր է նշել հետևյալները՝

1) Անագաբեր պեդամտիտներ կասսիտերիտի շատ անհավասարաչափ պարունակությամբ և սանտալո-կոլումբիտի ու սպոդուսենի խառնուրդով:

2) Անագաբեր գրեյդեններ, կվարց-կասսիտերիտային երակներ և շտոկվերկներ՝ վոլֆրամիտի, մոլիբդենիտի, տանտալո-կոլումբիտի խառնուրդով: Sn պարունակությունը սովորաբար 0,1—0,5% է, հազվագյուտ դեպքերում ավելի բարձր:

3) Սուլֆիդ-կասսիտերիտային հանքանյութեր, որոնց մեջ սովորաբար մանրաբյուրեղ կասսիտերիտի հետ հանդի-

պում են պիրրոտին, արսենոպիրիտ, սֆալերիտ, գալենիտ, խալկոպիրիտ, ստաննին և ուրիշ սուլֆիդներ: ՏՈ պարունակութունը 0,5—1⁰/₀-ից մինչև 5—7⁰/₀ և ավելի բարձր է:

Կարևորագույն նշանակութուն ունեն յերջին երկու տիպերի արմատական հանքավայրերը և հարուստ ցրոնները, որոնք առաջացել են հանքանյութերի երկրորդ և մասամբ առաջին տիպերի քայքայման հաշվին:

Անագի արմատական հանքավայրերի համար ՏՈ արդյունաբերական պարունակության ստորին սահմանը հանքանյութում համարվում է 0,2 և նույնիսկ 0,1⁰/₀ (հեշտ հարստացված կվարց-կասսիտերիտային հանքանյութերի համար), իսկ ցրոնների համար 0,01⁰/₀ (100 գ/տ ավազում): Սովորաբար շահագործվում են ավելի հարուստ հանքանյութերը 1—2⁰/₀ և ավելի ՏՈ պարունակությամբ արմատական սուլֆիդ-կասսիտերիտային հանքավայրերում և 0,02—0,07⁰/₀ ցրոններում:

Անագային (կասսիտերիտային) կոնցենտրատները 40—45⁰/₀ ՏՈ պարունակությամբ ենթարկվում են ձուլման:

Անագի համաշխարհային ձուլման համարյա 70⁰/₀ մինչև հիմա բաժին է ընկնում Հարավ-Արևելյան Ասիայի և Աֆրիկայի ցրոններին:

ՀԱՆՔԱՎԱՅՐԵՐԻ ԳԵՆԵՏԻԿ ՏԻՊԵՐԸ ԵՎ ՀԱՆՔԱՅԻՆ
ՖՈՐՄԱՑԻԱՆԵՐԸ, ՄԵՏԱԼՈԳԵՆԻԿ ԴԱՐԱՇՐՋԱՆՆԵՐԸ
ԵՎ ՄԱՐՁՆԵՐԸ

Ս. Ս. Սմիլնովի բազմամյա փայլուն հետազոտություններով անագի հանքավայրերի մեջ առանձնացվել են երկու մեծ խումբ:

Մի կողմից չափավոր և զգալի խորությունների ֆացիայի թթու գրանիտոիդների հետ գենետիկորեն սերտ կերպով կապված անագաբեր պեգմատիտներ և կվարց-կասսիտերիտային հանքավայրեր, հաճախ վոլֆրամիտի զգալի դերով, որոնք տարածված են ՍՍՌՄ մի շարք շրջաններում, ինչպես նաև Հարավ-Արևելյան Ասիայում, Աֆրիկայում, Փորթուգալիայում, Կորեոսիայում և Հանքային լեռներում: Դրանագային հանքայնացման լայն տարածված տիպն է, որը ներկայացված է բավական խոշոր արմատական հանքավայրերով և նրանց հետ կապված հարուստ ցրոններով:

Մյուս կողմից չափավոր և փոքր խորությունների ֆացիայի չափավոր թթու գրանիտոիդների հետ սերտորեն կապված առաջանում է կասսիտերիտային ճանքավայրի խումբ, հարուստ սուլֆիդներով կամ երկաթային սիլիկատներով (քլորիտոյ, տուրմալինով), կամ էլ թե՛ մեկով և թե՛ մյուսով: Այս խմբի հանքավայրերը ՄՍՌՄ-ում, ինչպես նաև Բոլիվիայում, հարավային Չինաստանում և Տասմանիայում ներկայացված են խոշոր օբյեկտներով: Երկրորդ խմբի հանքավայրերի հետ կապված հարուստ ցրոններ չեն առաջանում, որպիսի երևույթը բացատրվում է այդ հանքավայրերի կասսիտերիտի սովորական մանրահատիկությամբ, որն արագ փոշիանում ու ցրվում է: Սովետական գեոլոգների (Գ. Լ. Վաղբուցկի, Մ. Ի. Իցիկոն, Օ. Գ. Լեվիցկի, Գ. Ա. Պադալկա, Ե. Ա. Ռադկելչև և ուրիշներ) մեծ կոլեկտիվի աշխատանքների հետևանքով հայտնաբերվել և ուսումնասիրվել են խոշոր անագահանքային շրջաններ հանքավայրերի ամենատարբեր զենեաիկ տիպերով:

Անագային հանքավայրերի ստորև բերված դասակարգումը գլխավորապես հիմնված է Ս. Ս. Մմիրնովի աշխատությունների վրա, որն առանձնացրել է երեք գլխավոր անագահանքային ֆորմացիա՝ անագաբեր պեգմատիտների, կվարց-կասսիտերիտային և սուլֆիդ-կասսիտերիտային:

1. Անագաբեր պեգմատիտային ֆորմացիա: Անագաբեր պեգմատիտները լայնորեն տարածված են բազմաթիվ անագահանքային շրջաններում, հատկապես այնտեղ, որտեղ անագաբերութունը կապվում է թթու գրանիտների խորքային ինտրուզիաների հետ և որտեղ պեգմատիտների հետ միասին առավել լայն տարածում ունեն կվարց-կասսիտերիտային հանքանյութերը:

Պեգմատիտները պատկանում են ալքիտ, մուսկովիտ, հաճախ տոպագ, սպոդումեն, տուրմալին պարունակող կվարցմիկրոկլինային տիպին: Կասսիտերիտն անհավասարաչափ ցրված է պեգմատիտային մարմնի մեջ և ներկայացված է դիսիբումիդային հարիտուսի խոշոր սև կամ մուգ շագանակագույն բյուրեղներով. պարունակում է Ta և Nb զգալի խառնուրդ: Կասսիտերիտի նստեցման ժամանակը համընկնում է միկրոկլինի ալքիտացման և ավելի ուշ պնևմատոլիտային միներալների առաջացման հետ, միներալներ, որոնք կազմում են պեգմատիտի գրեյզենացված տեղամասերը:

Անագաբեր պեղմատիտները և նրանց քայքայման հաշվին առաջացած ցրտնները շահագործվում են մի շարք շրջաններում (ՄՍՌՄ-ում՝ Կալբու-Նարիմի շրջան, Արևելյան Սալաններ, Թուրքեստանյան լեռնաշղթա, ինչպես նաև արտասահմանում՝ Բելգիական Կոնգո, Նիգերիա, Ռուանդա-Ուրունդի և ուրիշներ), սակայն հանքավայրերի մասշտաբը սովորաբար մեծ չէ։ Բացառություն են կազմում պեղմատիտային տիպի երկու խոշոր հանքավայր՝ Բուսանգան Ռուանդա-Ուրունդիում և Մանոնո-Կիտոտոլոն Նիգերիայում, որտեղ շահագործվում են էլյուվիալ և ալլուվիալ ցրտններ, մասամբ արմատական պեղմատիտային երակներ՝ տալով կասսիտերիտային կոնցենտրատների համաշխարհային հանույթի մինչև 10⁰/0 (զուգընթաց զգալի քանակի տանտալո-կոլումբիտ)։

2. Կվարց-կասսիտերիտային երակների, շտոկվերկների և գրեյզենների ֆորմացիա, որը մասամբ գենետիկորեն սերտ կերպով կապված է այն նույն թթու գրանիտոիդային ինտրուզիաների հետ, որոնց հետ կապված են նաև անագաբեր պեղմատիտները։ Այս ֆորմացիան զարգացած է այն շրջաններում, որտեղ և անագաբեր պեղմատիտները, ընդ որում հաճախ մի կողմից վերջինների և մյուս կողմից կվարց-կասսիտերիտային երակների ու գրեյզենների միջև սահմանվում են աստիճանական անցումներ։

Սակայն կվարց-կասսիտերիտային հանքավայրերը մեծ մասամբ կապված են ավելի փոքր խորության գրանիտների հետ, ձգտում են գրանիտների հիպարիսալ շտոկներին և զարգանում են նրանց էնդո և էկզոկոնտակտային գոնաներում, ներկայացնելով անագաբեր պեղմատիտների (ավելի խորքային) հետ համեմատած փոքր խորության ֆացիայի առաջացումներ։

Հանքավայրերի այս տիպի համար բնորոշ է հանք պարունակող ապարների ինտենսիվ վերամշակումը (գրեյզենացում), տոպագի, հաճախ ֆլյուորիտի առատ զարգացումը, կասսիտերիտի ասոցիացիան վոլֆրամիտի, հազվադեպ բիսմութինի, մոլիբդենիտի, արսենոպիրիտի, տանտալո-կոլումբիտի, ուրանի և պղնձի միներալների հետ։ Հանքավայրերը ներկայացված են կանոնավոր կվարցային երակներով, շտոկվերկներով, գրեյզենացված ապարների տեղամասերով, կասսիտերիտի, վոլֆրամիտի և այլ միներալների խոշոր բյուրեղներով։

Ըստ միներալների ասոցիացիայի, կասսիտերիտի և տո-

պնդի սերտ կապի (անագը հավանաբար գուրս է բերվել SnF_4 միացության ձևով) և պարունակող սաքարների ինտենսիվ գրեյ-գենացման, հանքավայրերը պատկանում են բարձր ջերմաստի-ճանային հիդրոթերմալ և պնեմատոլիտային առաջացումներին:

Սա անագային հանքավայրերի ամենալայն տարածված տիպն է: Դրան են պատկանում ՍՍՌՄ մի շարք հանքավայրերը (Անդրբայկալում և Հյուսիս-Արևելքում); Հարավ-Արևելյան Ասիայի հանքավայրերի գերակշռող մասը (Մալայայի, Ինդո-նեզիայի, Չինաստանի, Բիրմայի, Տաիլանդի), Հանքային լեռների հանքավայրերը (Յիննվալդ, Ալտենբերգ և ուրիշներ), Փորթուգալիայի, Կորնուոլլի, ինչպես նաև Հյուսիսային Բոլիվիայի, Նիգերիայի, Բելգիական Կոնգոյի մի շարք հանքավայրեր: Շատ խոշոր արմատական հանքավայրեր հազվագեղ էին հանդիպում (Կորնուոլլը Անգլիայում), սակայն այս տիպի հանքավայրերի քայքայման հետ կապված առաջանում են շատ հարուստ ցրոններ:

Այս ֆորմացիային (գլխավորապես ցրոններին) բաժին է բնկնում կասսիտերիտային կոնցենտրատների համաշխարհային հանույթի 60--70%:

3. Սուլֆիդ-կասսիտերիտային ֆորմացիա: Ս. Ս. Սմիրնոֆի առանձնացնելով այս ֆորմացիան ավյալ անվան տակ, հետագայում առաջարկեց բնագարձակել այն և համապատասխանաբար փոխեց նրա անունը, անվանելով Կլասսիտերիտային հանքավայրերի խումբ, հարուստ սուլֆիդներով կամ երկաթային սիլիկատներով և կամ էլ թե՛ մեկով և թե՛ մյուսով: Այս խմբի հանքավայրերը սովորաբար հանդես են գալիս առաջին երկու ֆորմացիաների հանքավայրերից անշատ և գենետիկորեն կապված են չափավոր թթու գրանիտոիդների հետ, որոնք սառել են համեմատաբար փոքր խորություններում:

Այս ֆորմացիայում, ըստ առաջացման պայմանների և միներալների ասոցիացիաների, կարելի է առանձնացնել հանքավայրերի հետևյալ տիպերը՝

ա) Կասսիտերիտի՝ բարձրից մինչև միջին ջերմաստիճանային հիդրոթերմալ հանքավայրեր տուրմալինի, քլորիտի, պիրրոտինի, արսենոպիրիտի հետ. հանքավայրերը կապված են հիպարիտալ և մերձմակերեսային գրանիտոիդային ինտրուզիաների հետ: Դա խոշորագույն արմատական հարուստ հանքավայրերով ներկայացված շատ կարևոր արդյունաբերական տիպ է:

Ս. Ս. Սմիլոնովն առաջարկել է այս խմբի հանքավայրերը բաժանել երկու ենթատիպի՝ սուլֆիդային և ոչ սուլֆիդային (տուրմալինի, քլորիտի հետ):

Այս տիպին են պատկանում հարուստ հանքանյութերի խոշոր հանքավայրեր ՍՍՌՄ-ում (Անդրբայկալում, Փոքր Խինգանում, Սիխոտե-Ալինում, Յակուտական ԱՍՍՌ-ում), Բուրիլիայում (Լյա-Լյագուա և ուրիշներ), Տասմանիայում (Ջեկսոն), ինչպես նաև Յապոնիայի հանքավայրերը (Ակենորե, Միտատա):

բ) Սկառնային հանքավայրեր, որտեղ կասսիտերիտը գուգակցվում է արսենոպիրիտի, շեելիտի, պիրրոտինի, մարմատիտի, քլորիտի հետ (հանքավայրեր Միջին Ասիայում, Կարելական ԱՍՍՌ-ում, ինչպես նաև Հարավ-արևմտյան Աֆրիկայում և Ալյասկայում):

գ) Կոլլոմորֆ կասսիտերիտի բարձր ջերմաստիճանային հիդրոթերմալ հանքավայրեր, որոնք գուգակցված են երկաթի փայլի հետ թթու էֆուզիվներում (Վեյսսիկական տիպ): Այս տիպի փոքր հանքավայրեր հայտնի են ՍՍՌՄ-ում, Մեքսիկայում, ԱՄՆ-ում (Նևադա և Նյու-Մեքսիկո):

դ) Միջին ջերմաստիճանային հիդրոթերմալ անագ-բազմամետաղ հանքավայրեր, որոնց հանքանյութերում մանրարյուրեղ կասսիտերիտը սերտորեն հարաձուլվում է գալենիտի և սֆալերիտի հետ: Հանքավայրերը գենետիկորեն կապված են փոքր խորուժյան գրանիտոիդային ինտրուզիաների հետ և տեղադրված են էֆուզիվ հաստվածքների մեջ: Այս տիպին են պատկանում ՍՍՌՄ (Սիխոտե-Ալինում), Բուրիլիայի (Մոնսերբատ) և Մեքսիկայի (Չիուաուայի շրջանում) մի շարք հանքավայրեր:

ե) Միջին-ցածր ջերմաստիճանային հիդրոթերմալ անագ-արծաթային հանքավայրեր, որոնք կապված են ուլտրամալիտների մերձակերեսային շտոկներին հետ և կազմությամբ մոտ են նախորդ խմբին (բայց Ag բարձր գերով): Այս տիպին են պատկանում Բուրիլիայում Պատոզի և Արգենտինայում Պիրկիտաս խոշոր հանքավայրերը:

Սուլֆիդ-կասսիտերիտային հանքավայրերին բաժին է ընկնում անագի արտասահմանյան հանույթի 20—30%₀, հիմնականում ի հաշիվ Բուրիլիայի խոշոր արմատական հանքավայրերի:

4. Ալլոսովիալ և էլյուսովիալ-գելյուսովիալ ցրոնները արդյունաբերական շատ մեծ գեր են խաղում անագի հա-

մար, մինչև այժմ տալով կասսիտերիտի կոնցենտրատների համաշխարհային հանույթի 70⁰/₀ (Մալայա, Ինդոնեզիա, Չինաստան, Բիրմա, Տաիլանդ, Նիգերիա, Բելգիական Կոնգո, Ռուանդա-Ուրունդի): Անագաբեր ցրոնները այս բոլոր շրջաններում կապված են կվարց-կասսիտերիտային և մասամբ պեգմատիտային ֆորմացիայի արմատական հանքավայրերի քայքայման հետ:

Անագահան քային մետալուգենիկ դարաշրջանները և մարդերը: Անագի հնագույն մինչքեմբրյան և ստորին պալեոզոյան հանքավայրերը հայտնի են Արևելյան Սայաններում և Կարելական ԱՍՍՌ-ում, Բելգիական Կոնգոյում, Նիգերիայում, Ռուանդա-Ուրունդիում, Տրանսվալում և Հարավային Ավստրալիայում: Այստեղ, ըստ տիպի գերակշռում են անագաբեր պեգմատիտները և գրեյդենները, հանդիպում են սկառնային հանքավայրերը: Այս շրջաններում գլխավորապես մշակվում են ցրոնները, որոնք տալիս են կասսիտերիտային կոնցենտրատների համաշխարհային հանույթի մոտավորապես 10⁰/₀:

Ըստ հասակի հերցինյան են հանդիսանում Ղազախական ՍՍՌ և Միջին Ասիայի, ինչպես նաև Հանքային լեռների, Փորթուգալիայի, Կորնուոլլի և Տասմանիայի հանքավայրերը. այժմ նրանց դերը հանույթի մեջ մեծ չէ (համաշխարհային հանույթի 3—5⁰/₀), սակայն անցյալում հերցինյան հանքավայրերը տվել են անագի հսկայական քանակ:

Կրիմեերյան հանքավայրերն ամենարագամթիվ են: Նրանց են պատկանում Հարավ-Արևելյան և Հյուսիս-Արևելյան Ասիայի կվարց-կասսիտերիտային և սուլֆիդ-կասսիտերիտային հանքավայրերը, որոնք ցրոններն են միասին տալիս են անագի համաշխարհային հանույթի մինչև 70⁰/₀:

Ալպիական (երբօրգական) գլխավորապես սուլֆիդ-կասսիտերիտային տիպի հանքավայրերը լայնորեն ներկայացված են Բուլղիայում, հայտնի են նաև ՍՍՌՄ-ում, Արգենտինայում, Յապոնիայում: Նրանք տալիս են անագի համաշխարհային հանույթի մինչև 20⁰/₀, համարյա ամբողջությամբ արմատական հանքավայրերից:

Այսպիսով, անագի ժամանակակից հանույթի 90⁰/₀ բաժին է ընկնում կրիմեերյան և ալպիական հանքավայրերին, որոնք տեղագրված են աշխարհի երկու շրջաններում՝ Հարավ-Արևելյան Ասիայում (հանույթի 70⁰/₀) և Բուլղիայում (հանույթի 20⁰/₀):

Խոշորագույն անադահանքային շրջանները տեղաբաշխման մեջ հաստատված է որոշակի օրինաչափություն, որն առաջին անգամ նկատել է Ս. Ս. Մմիրնովը. անադահանքային շրջանները դասավորված են Մադագոսկարյան և Միջերկրածովային մետաղահանքի գոտիների արտաքին զոնաներում, թթու գրանիտոիդային ինտրուզիաների զարգացման շրջաններում: Այդ նույն գոտիների ներքին զոնաներում, հրային ապարների ավելի հիմքային տիպերի զարգացման կապակցությամբ մետալոգենիայի բնույթը այլ է՝ խիստ գերակշռում է պղինձը, իսկ անագը համարյա բոլորովին բացակայում է: Այստեղից է սովորաբար ծագում անագի և պղինձի անտագոնիզմը: Մետաղներից մեկի լայն տարածումը բացառում է մյուսի խոշոր կուտակումների առկայությունը:

Անագի խոշորագույն համաշխարհային հանքավայրերի տեղաբաշխումը ցույց է տրված քարտեզի վրա (նկ. 51):

ԱՆԱԳԻ ՀԱՆՔԱՎԱՅՐԵՐԻ ՆԿԱՐԱԳՐՈՒԹՅՈՒՆԸ

Կվարց-կասսիտերիտային ֆորմացիա

Կորնուոլլ. Հարավային Անգլիայի Կորնուոլլի շրջանի հանքավայրերը շահագործվել են դեռ վաղ անցյալում, ն. թ. 1000 տարի առաջ:

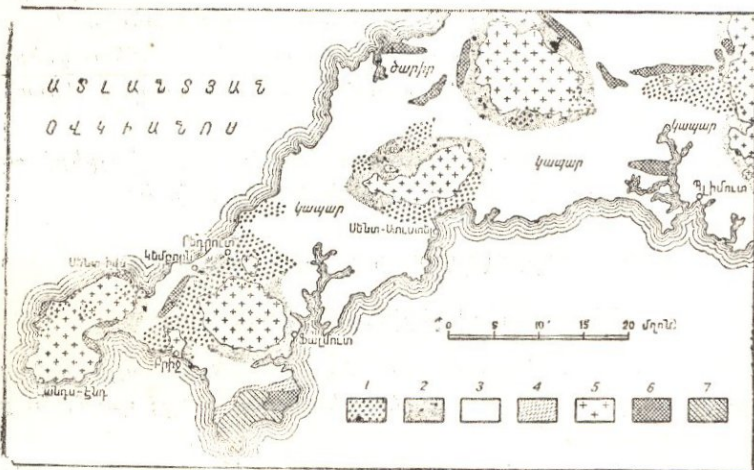
Այստեղ հայտնի են մեծ մասամբ արդեն արդյունահանված մինչև 180 հանք, որոնք միասին տվել են համարյա 3 միլ. տ. (ըստ այլ տվյալների 1 միլ. տ.) անագ:

Անադահանքային մարզը գրավում է Կորնուոլլ թերակղզին և 30—40 կմ լայնությամբ՝ հյուսիս-արևելյան ուղղությամբ ձգված է 150 կմ:

Քեմբրիի և սիլուրի ավազա-կավային ապարները ծածկված են դեռնի հասակի հիմքային էֆուզիվ ապարներով և հատված են հերցինյան (վերին կարբոնի) պորֆիրանման գրանիտների ինտրուզիաներով, որոնք մերկացած են մինչև 20 կմ ընդլայնահան կտրվածք ունեցող զանգվածների ձևով (նկ. 52 ա): Այդ զանգվածների էնդոկոնտակտային զոնաներում լայն տարածված են կվարց-տուրմալինային գրեյզեններ, իսկ թերթաքարերը եղջրաքարացած են և պարունակում են անդալուզիտ ու կորդիերիտ: Պորֆիրանման գրանիտների զանգվածներում մերկանում են մանրահատիկ գրանիտների և կվարցային պորֆիրների

ժողովրդի շտովները և դաշկաններ՝ անազ-վոլֆրամ-պղնձային և բազմամետաղ երակներով շրջապատված:

Հանքամարմինները ներկայացված են հյուսիս-արևելյան (մինչև լայնակի) տարածում ունեցող երակներով և հանքայնացված բեկորատման զոնաներով. անազարեր երակներն ունեն 12-ից մինչև 70° անկման անկյուն (նկ 52 բ). դրանց ուղղահայաց, ավելի ուշ վարնետվածքներում առաջացել են բազմամետաղ երակներ:



Նկ. 52ա. Կորնուոլի (Անգլիա) շրջանի գեոլոգիական քարտեզ (ըստ Մակ-Ալիստերի)

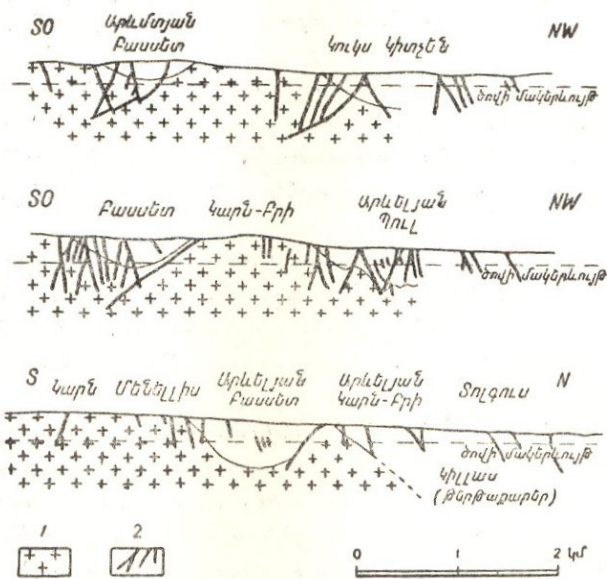
1—տարածութուններ պղնձի և անազի հանքավայրերով, 2—կոնտակտ-մետամորֆային ապարներ, 3—պալեոզոյի նստվածքային ապարներ, 4—մետամորֆային ապարների զոդման սերիա, 5—զրանիտ, 6—կանաչքարային ապարներ, 7—սերպենտինիտ:

Անագով ամենից հարուստ է Կեմբրոն շրջանը, որտեղ հայտնի են 12 խոշոր հանքային երակներ, որոնք 0,3—12 մ կարողութամբ, ըստ տարածման հետամտված են 5—11 կմ: Ըստ խորության հանքայնացումը հետամտվում է մինչև 1000 մ (Գալկոտ-մայն հանք):

Հանքայնացման մեջ նշվում է հորիզոնական զոնալություն: Ինտրուզիայի առանցքով զարգացած է անագ-վոլֆրամ-պղնձային հանքայնացում, իսկ առանցքային զոնայից դեպի հյուսիս և հարավ՝ բազմամետաղ, սիլիկատային և ուղեխոլոգի-

տային հանքավայրեր: Գրանիտային զանգվածների մեջ տեղադրված են կասսիտերիտ-տուրմալինային երակներ, էկզոկոնտակտում տուրմալինը գուրս է մզվում քլորիտի կողմից ու հանդես է գալիս վոլֆրամիտի, խալկոպիրիտի, ստաննինի և արսենոպիրիտի խառնուրդ: Կոնտակտից հետո, ավելի ուշ առաջացած ճեղքվածքներում հանդես են գալիս կապար-ցինկային (արծաթ պարունակող) և ստիբնիտային երակներ:

Մոտավորապես նույն ընույթն ունի նաև ուղղաձիգ զոնայությունը. մակերեսից մինչև 125 մ խորությունը հանքանյու-



Նկ. 52բ. Կորնուոլլի անագաբեր երակների սխեմա
1—գրանիտ, 2—երակներ:

թերը ներկայացված են ստիբնիտով, երկաթի և մանգանի կարրոնատներով, 125—550 մ ինտերվալում՝ արծաթ պարունակող կապար-ցինկային հանքանյութերով, 550—750 մ ինտերվալի ստորին մասերում՝ պղնձի վոլֆրամիտախառն հանքանյութերով, իսկ 750 մ ցած՝ վոլֆրամիտախառն կասսիտերիտով: Պղնձի և կապար-ցինկային զոնաների սահմանում տեղ-տեղ նշվում է Co, Ni արսենիդների և ուրանային խեժի բարձր պարունակություն: Վերջինս ամենից հաճախ զուգակցվում է խալկոպիրիտի

հեա, մեկուսանում է առանձին երակներում, որոնք հատում են վոլֆրամիա պարունակող կվարց-կասսիտերիտային երակները:

Անագաքարային երակների գլխավոր միներալներն են՝ կվարցը, կասսիտերիտը, տուրմալինը, երկրորդական նշանակություն ունեն՝ քլորիտը, փայլարները, խալկոպիրիտը, պիրիտը, արսենոպիրիտը, վոլֆրամիտը, ստանինը, բիսմութի միներալները, իսկ տեղ-տեղ էլ նաև սֆալերիտը, գալենիտը, մոլիբդենիտը, հեմատիտը, մագնետիտը, շեելիտը, Co և Ni արսենիդները, ուրանային խեժը, ստիբնիտը, կարբոնատները և բարիտը:

Անագաքարային երակներում Sn պարունակությունը 0,7—1,2⁰/₀ է, իսկ ուրանարեր երակներում պարունակում է 0,5—1⁰/₀ UO₃:

Գեոլոգ Պետրաշեկը Կորնուոլլի համար առանձնացնում է հանքայնացման մի քանի հաջորդական ստադիաներ՝ անագ-վոլֆրամային, պղնձային, ուրանային, կապար-ցինկային, ծարիրային, որոնք տարածականորեն միմյանցից մեկուսացված են:

Ներկայումս անագի տարեկան հանույթը Կորնուոլլում ընդամենը կազմում է 2000 տ. (համաշխարհային հանույթի 1⁰/₀):

Հին հանքերից շատերը վերականգնված են, ակներևորեն, ոչ այնքան անագի համար, որքան ուրանային խեժի հանույթի նպատակով:

Կորնուոլլի հանքավայրերի գեներալի տիպը բարդ է, այստեղ համատեղ հանդիպում են կվարց-կասսիտերիտային և սուլֆիդ-կասսիտերիտային հանքանյութեր, Sn և Cu մեծ քանակություներ (սովորաբար այս մետաղներն անտադոնիտ են):

Ըստ գեներալի տիպի, սրանք բարձր ջերմաստիճանային շատ յուրահատուկ գոյացումներ են և կրում են թե՛ կվարց-կասսիտերիտային և թե՛ սուլֆիդ-կասսիտերիտային հանքավայրերի բնորոշ գծերը:

Հանքային լեռները հանքավայրերը: 12-րդ դարի վերջում այստեղ մշակվում էին կասսիտերիտային ցրոնները, իսկ 14-րդ դարի սկզբից արմատական հանքավայրերը, որոնք ներկայումս համարյա թե սպառված են:

Շրջանը գտնվում է Բոհեմյան զանգվածի սահմաններում և կազմված է մինչքեմբրյան թերթաքարերից ու գնեյաներից, որոնք ծածկված են կարբոնի նստվածքային-մետամորֆային ապարներով և մեզոզոյի նստվածքային շերտախմբով: Ծալքա-

վոր ստրուկտուրաները հերցինյան հասակ ունեն, նույն հասակի են ինտրուզիաները, էֆուզիվները և մետաղային հանքավայրերը:

Վերին կարրոնում տեղի է ունեցել գրանիտների և սինիտների ներգրում. ավելի ուշ, մագման խոշոր խախտումներով հասել է մակերեսին և առաջացրել այսպես կոչվող «տեպլիցային» պորֆիրների հզոր ծածկոցներ և մերձմակերեսային շտովներ, որոնք լայնորեն տարածված են Սաքսոնիայի արևելյան մասում:

«Տեպլիցային» պորֆիրներն ստորին պերմի ժամանակ հատվել են գրանիտ-պորֆիրների երակներով և ավելի երիտասարդ, միներալոգատորներով հարուստ հավասարահատիկ անագաբեր գրանիտներով:

Անագի հանքավայրերի գերակշռող մասը կապված է պերմի հասակի հիպարիսալ թթու գրանիտների հետ. ըստ երևույթին նրանց հետ կապված են նաև հինգէլեմենտային ֆորմացիայի հանքավայրերը (Co—Ni—Ag—Bi—U հանքանյութեր) Աննաբերգում և Շնեեբերգում, ինչպես նաև Ֆրեյբերգի ընդամենուց հանքավայրերը և արծաթ պարունակող Ֆլյուորիտ-բարիտային երակները: Անագի հանքավայրերը հարում են գրանիտային շտովների կոնտակտային օրենուներին, մասամբ էլ տեղագրված են «տեպլիցային» պորֆիրների մեջ:

Շատ բնորոշ են պնևմատոլիտային պրոցեսները, ֆտորի և բորի առատութունը, կլարց-կասսիտերիտային հանքայնացում կրող գրեյզենացումը:

Հանքավայրերի տիպիկ օրինակներ են հանդիսանում Ալտենբերգը և Ֆիննվալդը:

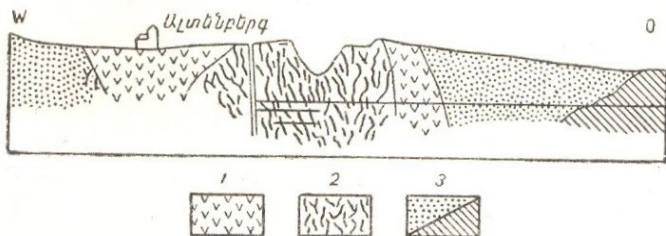
Ալտենբերգ. հանքայնացումը հարում է գրանիտային դանդախի գրեյզենացված ապիկալ մասին, ընդգրկում է գրանիտի գմբեթը, տարածվելով 200 մ փոքր-ինչ ավելի խոր, փոխանցվելով չփոփոխված գրանիտի:

Հանքայնացումը հանդիսանում է գրանիտային շտովի վերին մասի շատ բարակ ճեղքերի ցանցով (նկ. 53) կատարված «չողհեհարման» արդյունք, ընդ որում այդ ճեղքերով խորքային օջախից բարձրացել են գազա-ջրային լուծույթները:

Հանքադաշտի ընդհանուր մակերեսը կազմում է $0,4 \times 0,5$ կմ. անագաբեր գրեյզենը (ցվիտները) ունի հետևյալ կազմութունը՝ կլարց — 50% , Li և F պարունակող ցիննվալդիտ — 37% , տոպազ —

12⁰/₀, կասսիտերիտ—միջին հաշվով 0,4—0,5⁰/₀, ոչ մեծ քանակությամբ բլամուտին, բնածին բլամուտ, արսենոպիրիտ, պիրիտ, խալկոպիրիտ, մոլիբդենիտ, վոլֆրամիտ, հեմատիտ, մագնետիտ, սֆալերիտ, խունացած հանքանյութեր, ֆլյուորիտ, սիդերիտ: Կասսիտերիտը մանր է. ՏՈ միջին պարունակությունը հանքանյութում 0,3⁰/₀ է:

Ցիննվալդ. նույնպես հարում է ոչ մեծ, 400×1200 մ մակերես ունեցող գրանիտային զանգվածի ապիկալ մասին:



Նկ. 53. Ալտենբերգի անագայից շտովերկ
1—գրանիտ-պորֆիր, 2—ցվիտներ, 3—ինտրուզիվներով հատված ապարներ:

Գրանիտային գմբեթի ծայրամասերում զարգացած են գրեյզեններ և փոքրաթեք կվարց-կասսիտերիտային երակներ (ֆլյոցեններ), որոնք ընկնում են 10—50° անկյան տակ, զանգվածի կոնտակտային մակերևույթին զուգահեռ:

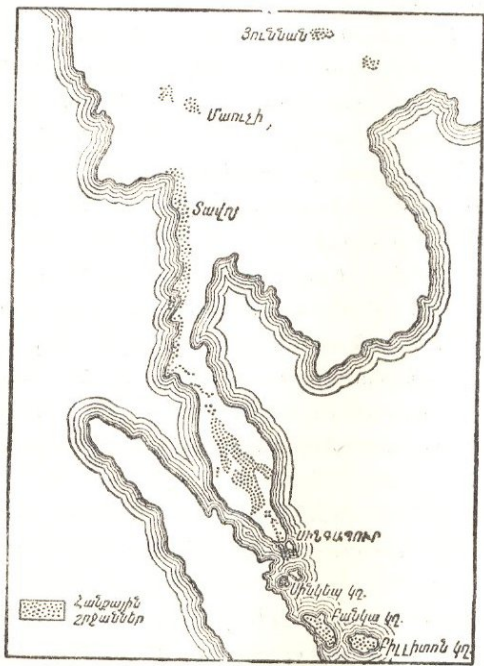
Երակների կարողությունը 0,15—0,7 մ է, հաղվադեպ մինչև 1,5 մ: Գրանիտներում հանքայնացումը արդյունաբերական է (ՏՈ 0,2-ից մինչև 0,5⁰/₀), այն աղքատանում է, երբ երակներն անցնում են «տեպլիցային» կվարց-պորֆիրների մեջ:

Հանքանյութերի կազմությունը՝ կվարց, տոպագ, ցիննվալդիտ, ֆլյուորիտ, դաշտային շպատ, կասսիտերիտ, վոլֆրամիտ, քիչ երկաթի փայլ, տուրմալին, ապատիտ, խալկոպիրիտ, գալենիտ, խունացած հանքանյութեր, սֆալերիտ, ստաննին: Երակների կառուցվածքը համաչափ զոլավոր է. զալրանդներում հանդիպում է կվարց կասսիտերիտի և վոլֆրամիտի հետ, իսկ կենտրոնում՝ շենիտ և սուլֆիդներ:

Հարավ-արևելյան Ասիայի հանքավայրերն ընդգրկում են հսկայական տերիտորիա՝ ամբողջ Մալակկա թերակղզին, Բիրման, Տաիլանդը, Ինդոնեզիայի և Վիետնամի մի մասը, Չինաստանի հարավային մարզերը (նկ. 54): Այստեղ են

կենտրոնացված անագի համաշխարհային պաշարների 2/3 (առանց ՍՍՌՄ) և համաշխարհային հանույթի համարյա 70%:

Պալեոգոյի նստվածքային—մետամորֆային շերտախմբերն ինտենսիվ կերպով դիսլոկացված և հատված են կիմսերյան (վերին յուրայի—ստորին կավճի) հասակի գրանիտներով: Այս անագաբեր մարդի, ինչպես նաև ամբողջ Հյուսիս-Արևելյան Ասիայի համար բնորոշ է բորբ (տուրմալինի առատություն):



Նկ. 54. Հարավ-Արևելյան Ասիայի վոլֆրամ-անագահանքային շրջաններ (ըստ Զոնսի):

տալով անագի համաշխարհային արտադրանքի համարյա 1/2: Այստեղ հայտնի են հազարավոր արմատական հանքավայրեր և շատ հարուստ ցրոններ (Պերակ, Սեւանգոր և այլ շրջաններ), որոնք առաջացել են առաջինների քայքայման հետևանքով:

Արևադարձային կլիմայի պայմաններում արմատական հանքավայրերը քայքայված են մինչև 200 մ խորությունը և

Մշակվում են գլխավորապես հարըստագույն ցրոնները և նվազ չափով արմատական հանքավայրերը, որոնք պատկանում են տարբեր գենետիկ տիպերի: Գերակշռում են կըվարց-կասսիտերիտային (հաճախ վոլֆրամիտով) երակներն ու շտոկվերկները և անագաբեր գրեյդենները, հազվադեպ հանդիպում են սուլֆիդ-կասսիտերիտային, սկաոնային և պեգմատիտային հանքավայրեր:

Մալայան նահանգներն իրենց հանույթով գրավում են առաջին տեղը,

վեր են ածված շահագործման համար բավական մատչելի փուխը զանգվածի:

Այս էլյուվիալ ցրտնները 60 մ կարողութեամբ և չտեսակավորված նյութով (ավազներ, կավեր, գետաքարեր, գլաքարեր) կրում են «գոպենգի շերտեր» անունը և պարունակում են կասսիտերիտի, տուրմալինի, տոպազի, ցիրկոնի, մագնետիտի անկունավոր հատիկներ: Կասսիտերիտի պարունակութեանը ավազի մաքուր կարողութեամբ տատանվում է հեռքերից մինչև 6 կգ/մ³ և ամենաշատը գտնվում է ստորին հորիզոններում:

Գոպենգի շերտերում հանդիպում են կասլինի երականման մարմիններ (առաջացած պեգմատիտային զայկաների և թթու գրանիտների հաշվին), որոնց մոտ նկատվում է կասսիտերիտի հարստացում: Այս երակները համարյա խախտված չեն, որպիսի հանգամանքը հիմք է տալիս գոպենգի շերտերը համարել էլյուվիալ առաջացումներ, որոնք ծագել են անմիջականորեն տեղում անագաբեր պեգմատիտների և անագի ուրիշ արմատական հանքավայրերի քայքայման հետևանքով: Բացի էլյուվիալ ցրտներից, այստեղ մշակվում են նաև ալլյուվիալ և ծովային ցրտներ, ալլյուվիալ ցրտները տեղ-տեղ շատ հարուստ են, հատկապես ալլյուվիայի հատակամերձ մասում, կրաքարերի կարստային խոռոչներում առաջանում են կասսիտերիտով հարուստ հանքաքներ և «գրպաններ»:

Մալայայի արմատական հանքավայրերն առայժմ մշակվում են փոքր մասշտաբով: Հետաքրքրութուն են ներկայացնում մի շարք կվարց—կասսիտերիտային հանքավայրեր և անագաբեր գրեյզեններ (Տանդժոնգ-Տոալանդ), ինչպես նաև Կինտա շրջանի Բեատրիս-Մայն սուլֆիդ-կասսիտերիտային խոշոր հանքավայրը (կրաքարերի մեջ տրեմոլիտի, արսենոպիրիտի, կասսիտերիտի հանքանյութերի խողովակաձև կուտակ, սուլֆիդների և մագնեզիտների բորատի պարունակութեամբ):

Ինդոնեզիա (Բանկա, Բիլիտան և Մինկեպ կղզիների հանքավայրերը):

Հարավ-Արևելյան Ասիայի երկրների մեջ այս շրջանը մետաղի հանույթով գրավում է երկրորդ տեղը: Այստեղ, ինչպես և Մալայայում, մշակվում են գլխավորապես ցրտներ, որոնք կապված են անագաբեր գրեյզենների, կվարց-կասսիտերիտային երակների և շտոկիերկների տիպի սովորաբար փոքր մասշտաբի բազմաթիվ արմատական հանքավայրերի քայքայման հետ:

Երկրորդական նշանակութիւնն ունեն սուլֆիդ-կասսիտէ-
քիտային և սկառնային հանքավայրերը, որոնք տեղադրված են
անագաբեր թթուդ բանիտներով հատված նստվածքային ավազա-
թերթաքար-կրաքարային շերտավածրի մեջ:

Ինդոնեզիայի հանքավայրերը մշակման ամբողջ ընթաց-
քում սովել են 1,5 միլ. տ. անագ:

Օնոն հանքավայր (Արևելյան Անդրբայկալ, Օլովյան-
նայա կայարանի շրջան): Հանքավայրի շրջանը կազմված է
պալեոզոյի մետամորֆային թերթաքարերից, որոնք հարավից
յայնակի խախտումով վրաշարժված են ստորին յուրայի հասակի
ֆիլիտների վրա:

Հանքադաշտից դեպի արևելք Օնոն գետի հովտում Բոգով-
ժայտի տեղամասում մերկանում է մուսկովիտային գրանիտի
փոքր գանգված:

Թերթաքարերի և ֆիլիտների մեջ, վրաշարժին հարող տե-
ղամասում, տեղադրված են 200-ից ավելի զանաթափ երակներ,
որոնք խմբավորվում են հանքային հարուստ 5—6 զոնաներում:
Հանքային զոնաների և երակների տարածումը փոխվում է
հյուսիս-արևմտյանից հանքավայրի հյուսիսային թևում, մինչև
միջօրեականը հանքադաշտի կենտրոնում և հյուսիս-արևելյանը
հարավային թևում. այսպիսով, հանքային զոնաները կիսաշրջա-
նաձև շրջապատում են հանքադաշտից դեպի արևմուտք տեղա-
դրված հանքազուրկ տեղամասը:

Երակները համրիչաձև են, նրանց կարողութիւնը տատան-
վում է մի քանի միլիմետրից մինչև 2,2 մ (միջինը 0,20—0,25 մ).
տարածման ուղղութիւնը հետամտվում են սովորաբար 10—20 մ,
հաղվադեպ մինչև 100—150 մ: Առանձին երակներ ըստ խորու-
թյան բաշխված արագ սեպածն կտրվում են, սակայն փոխա-
րինվում են արիշ երակներով, այնպես որ երակների ամբողջ
սերիան ուղղաձիգ ուղղութիւնը հետամտվում է մինչև 200—
250 մ:

Երակները կվարցային են, պարունակում են ոչ մեծ քա-
նակության դաշտային շպատ, ֆլյուորիտ, բերիլլ, փայլար, կաս-
սիտերիտ և պիրիտի, արսենոպիրիտի, վոլֆրամիտի, բիսմութի-
նի, տանտալո-կոլումբիտի, երբեմն խալկոսիբիտի, սֆալերիտի
և ստաննինի աննշան խառնուրդ:

Հանքային միներալները հարում են զալրանդներին, տեղ-
տեղ ցրված են ամբողջ երակում: Կասսիտերիտի բյուրեղների
կշիռը երբեմն հասնում է 3 կգ, նա սովորաբար հանդիպում

լիթիումային փայլարի, կանաչավուն բերիլի և ծխամած կվարցի հետ կապված:

Հանքառաջացումն ընթացել է մի քանի ստադիաներով՝

1) Գաշտային շպատ, գրանատ, տանտալն-կոլումբիտ, որոնցից անմիջապես հետո առաջանում են փայլար, դեզին բերիլ և բաց-մոխրագույն կվարց:

2) Մուգ կասսիտերիտ և կանաչավուն բերիլ:

3) Շագանակագույն կասսիտերիտ, ծխամած կվարց և ֆլյուորիտ:

4) Կաթնա-սպիտակ կվարց և սուլֆիդներ:

Մետամորֆային թերթաքարերում և ֆիլլիտներում երակամերձ փոփոխություններն արտահայտվում են պիրիտի, մագնետիտի, ֆլյուորիտի և տուրմալինի ցանի առկայությամբ:

Հանքայնացման աղբյուր է համարվում խորքում քողարկված կիմմերյան հասակի գրանիտոիդային ինտրուզիան, որի ածանցյալներն են հանդիսանում թե Բագովի մայրի գրանիտային շտեկը և թե հանքաքեր լուծույթները, որոնցից առաջացել են անագարեր երակները:

Երակներում անագի միջին պարունակությունը բարձր չէ, սակայն արդյունարեքական է: Արմատական երակների քայքայման հետ կապված են էլյուզիալ ցրոնները (հայտնաբերված են 1811 թ.): Հանքավայրի շահագործումն սկսվել է դեռ առաջին համաշխարհային պատերազմի տարիներին:

Սուլֆիդ-կասսիտերիտային ֆորմացիա:

Ինչպես արդեն նշվել է, այս ֆորմացիայի հանքավայրերը սերտ կերպով կապված են Հափավոր թթու գրանիտոիդների հետ և ձևավորվել են էկզոկոնտակտային զոնաներում, երբեմն մայր ապարներից զգալի տարածությունների վրա: Սուլֆիդ-կասսիտերիտային ֆորմացիայի հանքավայրերի համար հանք պարունակող են հանդիսանում ավազա-թերթաքարային շերտախմբերը, հողվադեպ կրաքարերը և էֆուզիվները:

Ըստ առաջացման պայմանների հանքավայրերի մեջ կարելի է առանձնացնել՝ Հափավոր խորություններում ձևավորված հիպարիսալ գրանիտոիդների հետ կապված հանքավայրեր (Հարավային Չինաստան, Տայվանդ և ուրիշներ) և փոքր խորությունների հանքավայրեր, տարածականորեն ու գեներալիզորեն սերտ կերպով կապված մերձակերեսային ինտրուզիվների հետ (Բուլիլիա):

Հարավային Չինաստանի հանքավայրերը

անագուղ ամենից հարուստ է Յուննան մարզի Կոչիու շրջանը, որի 40×25 կմ տարածության վրա 1938 թ. արդյունահանված է ավելի քան 14 հազար տ անագ: Մշակվում են կիմմերյան գրանիտոիդների հետ կապված խոշոր արմատական հանքավայրերը (սուլֆիդ-կասսիտերիտային հանքանյութերի սկառնային խողովակաձև մարմիններ կրաքարերում, որոնք վերին մասերում հարուստ են արծաթով, իսկ մինչև 500—850 մ խորությունը՝ անագով) և ցրոններ: Հայտնի են առավելագույն ստաննինային հանքանյութերի հանքավայրեր, որոնցից գեո շատ վաղ անցյալում ամանեղեն պատրաստելու համար ձուլվում էր «պերտանգա» (բրոնզ) Cu—Sn համաձուլվածքը: Յուննան մարզից հարավ, Վիետնամում և Լաոսում հայտնի են կասսիտերիտի ցրոններ և լիմոնիտի ելքեր (առաջացած ի հաշիվ սուլֆիդային հանքանյութերի) 1—2⁰/₀ կասսիտերիտի պարունակությամբ:

Տալլան դում (Պինիոկ տեղամասում) գրանիտների և սկառնացած կրաքարերի կոնտակտին մոտ, կրաքարերի մեջ հայտնաբերված է սուլֆիդ-կասսիտերիտային հանքանյութերի խոշոր արմատական հանքավայր մագնետիտի պարունակությամբ:

Բոլիվիայի հանքավայրերը. Կենտրոնական Կորդիլերներում 800 կմ ձգված նեղ զոնայում, որը համարյա ամբողջությամբ անցնում է Բոլիվիայի տերիտորիայով, շարունակվելով գեպի Արգենտինա և Պերու, կենտրոնացված է արմատական հանքավայրերի աշխարհում խոշորագույն անագաքարային շրջանը, որն ըստ արտադրանքի զիջում է միայն Մալայային: Անագաքար գոտին կազմված է պալեոզոյի ավազաքարերից, կավային թերթաքարերից և կվարցիտներից, որոնք տեղ-տեղ ծածկված են մեզոզոյի ցամաքային նստվածքներով և երրորդական հասակի ավազաքարերով ու տուֆիտներով: Ամենաինտենսիվ ծալքավորում տեղի է ունեցել պալեոգենում և ուղեկցվել է գոտու հյուսիսային մասում հիպաբիսալ գրանոլիտրիտների և կվարցային մոնցոնիտների, իսկ հարավում՝ գրանիտոիդների ներդրումով, որոնք ներկայացված են փոքր էտմոլիտներով, գալկաներով, նեկիերով և, հավանաբար, հազորգակցվել են մակերեսի հետ:

Այդ ինտրուզիվ և էքստրուզիվ ապարների հետ գենետիկորեն կապված են անագի և ալ մետաղների հանքավայրեր, որոնք մագմատիկ ապարների շուրջը դասավորվում են հետևյալ ձևով՝ 1) պեգմատիտների զոնա Sn, W, Mo, 2) վոլֆրամային հան-

քաղցրերի զոնա, կվարց-վոլֆրամիտային և սուլֆիդային շեկլիտ ու վոլֆրամիտ պարունակող հանքավայրերով, 3) Bi — սուլֆիդային հանքավայրերի զոնա, 4) Sn բարձր—միջին ջերմաստիճանային հիդրոթերմալ հանքավայրերի զոնա, 5) Pb—Zn—Ag հանքանյութերի միջին-ցածր ջերմաստիճանային հանքավայրերի զոնա, 6) ծարիրի (ֆերրերիտով, շեկլիտով) և ոսկու (Au տելուրիդներ) ցածր ջերմաստիճանային հանքավայրերի զոնա, 7) Hg զոնա (թույլ զարգացած):

Նման զոնալուծյուն, որը շատ բանով տարբերվում է էմմոնսի հայանի սխեմայից, որոշակի արտահայտված է հյուսիսային Բոլիվիայի ինտրուզիվ զանգվածների շուրջը և զգալիորեն ավելի թույլ՝ կենտրոնական Բոլիվիայում, որտեղ հանքավայրերը մերձակերեհային են և տեխնոլոգացման հետեանքով հանքայնացման տարբեր զոնաներ համատեղված են:

Բոլիվիայի հանքավայրերի մեջ կարելի է առանձնացնել երկու տիպ՝ 1) այսպես կոչվող նորմալ շարքի հանքավայրեր, որոնք զարգացած են հյուսիսային և մասամբ հարավային Բոլիվիայում և կապված են ինտրուզիվ զանգվածների հետ և 2) մերձակերեհային հանքավայրեր, որոնք զարգացած են կենտրոնական Բոլիվիայում և կապված են դալիանների ու ոլիվիանների էքստրուզիանների հետ: Առաջին տիպին են պատկանում վոլֆրամիտ պարունակող կվարց-կասսիտերիտային երակները, սերտորեն կապված պեգմատիտների հետ (Ֆարուլոզա, Սոխիկի) և տուրմալինով ու պիրրոտինով (Կոկվիլի, Կարակոլես), երբեմն էլ բիսմութինով (Տասնա) հարուստ սուլֆիդ-կասսիտերիտային հանքավայրերը:

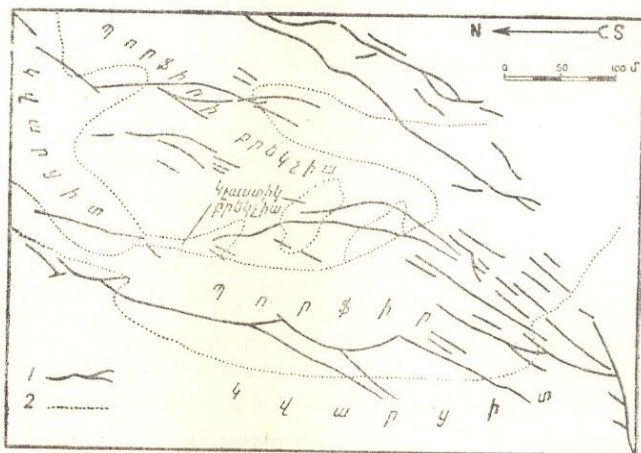
Երկրորդ տիպին են պատկանում Բոլիվիայի գործնականորեն ամենահետաքրքիր արմատական հանքավայրերը, որոնք միաժամանակ ներկայացնում են նաև խոշոր տեսական նշանակություն (Ունցիա—Լյալյագուա, Սորուկ, Պոտոզի, Կոկվեչակա և ուրիշներ):

Ունցիյա-Լյալյագուա հանքավայրը հանդիսանում է անադի արմատական խոշորագույն օրյեկտն ամբողջ աշխարհում. Բոլիվիայի հանույթի 60⁰/₀-ը բաժին է բնկնում այս հանքավայրին:

Հանքավայրը տեղադրված է կվարցային պորֆիրների շտոկի մեջ, որը կտրում է պալեոզոյի նստվածքային շերտախումբը: Շտոկը հարում է անտիկլինալի առանցքային մասին և ունի

դեպի խորքը ձագարածև նեղացող շրջված կոնի ձև: Շտովի կլարցային պորֆիրներն անցնում են պիրոկլաստիկ և տուֆանա՞ն տարրերակներին. սա խոսում է նրա սառեցման մերձակերեռային պայմանների մասին, ըստ որում այստեղ առաջացել է խառնարան (հրարխային նեկկ), որը հավանաբար հաղորդակցվել է մակերեսի հետ:

Հյուսիս-արևմտյան տարածում ունեցող հանքային երակները գլխավորապես տեղադրված են շտովի ներսում, մասամբ էլ թափանցում են պալեոգոյի նստվածքային շերտախմբի մեջ (նկ. 55): Առանձնացվում են երակների երկու խումբ՝ 1) կտրուկ զալբանդներ ունեցող զառիթափ և լավ պահպանված երակներ.



Նկ. 55. ձեղքերի սխեմներ Լյալյագուա անագի հանքում (ըստ Տերենրի)

1—Սան-Քոզեի և Սերանոյի տիպի երակներ, 2—կոնտակտներ:

ըստ տարածման հետամտված են 1000—1400 մ, կարողությունը՝ 0,7—2 մ, հարում են վարնետվածքային ձեղքերին (Սան-Քոզե-Ֆերմին, Ֆորեստերա, Ինկա և ուրիշ երակներ), 2) Սերանոյի տիպի բարակ և արագ ընդհատվող երակներ, որոնք ձգված են զառիթափ մանր ձեղքերի երկայնքով և առաջացնում են շտովվերկային, երբեմն մեծ կարողության զոնաներ: Բացի հանքային երակների նշված տիպերից, տեղ-տեղ զարգացած են հանքայնացված բրեկչիաներ (կլարցային պորֆիրների բեկորները ցեմենտացված են հանքանյութով):

Հանքային երակներում լայնորեն տարածված են դրուզային և կոկարդային, ինչպես նաև զոլավոր տեքստուրաներ, որոնք զալրանդներում կազմված են կվարցից և կասսիտերիտից, իսկ կենտրոնում՝ սուլֆիդներից:

Հանքանյութերի կազմը բարդ է. երբեմն նրանք համարյա ամբողջապես կազմված են կասսիտերիտից, ավելի հաճախ կասսիտերիտի հետ հանդիպում են բավականաչափ կվարց, պիրիտ, մարկազիտ, արսենոպիրիտ, բիսմութին, պիրրոտին, վոլֆրամիտ, հազվադեպ ստաննին, ֆրանկելիտ, սիդերիտ: Ենթադրում են, որ պիրրոտինը և ֆրանկելիտը տեղակալված են ավելի ուշ առաջացած պիրիտով և մարկազիտով:

Տերնէրը առանձնացնում է հանքայնացման հետևյալ ստադիաները՝

1) կվարց, բիսմութին, կասսիտերիտ, ֆրանկելիտ, արսենոպիրիտ,

2) ֆրանկելիտի տեղակալում պիրրոտինով,

3) պիրրոտինի տեղակալում վոլֆրամիտով, ստաննինով, սֆալերիտով, մարկազիտով, պիրիտով, սիդերիտով,

4) կրուստիֆիկացիա, բաց գույնի սֆալերիտի, ուշ առաջացած պիրիտի և խալկոպիրիտի նստեցումով:

Հանքավայրում կասսիտերիտն անկասկած ձևավորվել է ջերմաստիճանի լայն ինտերվալում և դրսևվորվել է տարբեր ձևերով՝ կասսիտերիտի մուգ գույնի կարծր, մանր և միջին հատիկավոր ագրեգատներով, մինչև 1 սմ դեղնագորշ բյուրեղներով, զսլավոր և շառավղա-ճառագայթաձև ագրեգատներով, որոնք մասամբ գուցե և ցածր ջերմաստիճանային են:

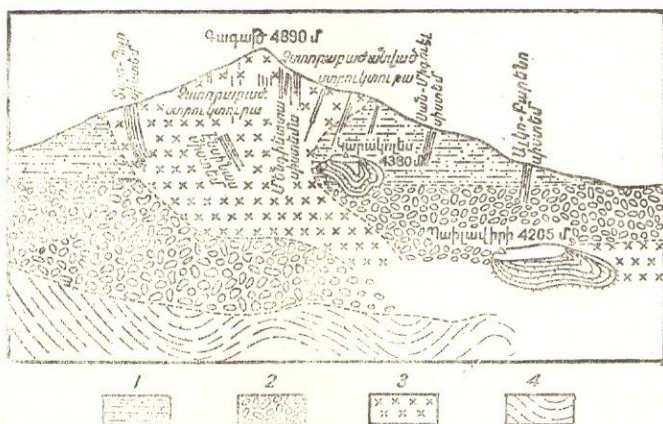
Ըստ գեներալի տիպի հանքավայրը պատկանում է փոքր խորությունների բարձր ջերմաստիճանային առաջացումներին:

Հանքավայրը շահագործման ընթացքում տվել է 500 հազ. տ ավելի անագ և դեռ ունի հանքանյութի զգալի պաշարներ 2,5 — 3% Sn պարունակությամբ:

Պոտոզի հանքավայրը ներկայացնում է անագա-արծաթային շատ խոշոր հանքավայր, որը մշակման ընթացքում, 1545 թվականից հետո տվել է 30 հազ. տ ավելի արծաթ և հարյուր հազարավոր տ անագ (անագն սկսել են մշակել միայն 1890 թ.):

Հանքավայրը գտնվում է Սերբո-Դե-Պոտոզի գագաթին, մոտ 5000 մ բարձրության վրա և սերտորեն կապված է սիլիտի (ըստ այլ տվյալների կվարցային մոնցոնիտ-պիրիտի) էտմո-

լիտի հետ, որը կտրոււմ է պալեոզոյի և երրորդական նստվածքային ապարների շերտախմբերը և խորքում անցնում է դայկանման մարմնի (նկ. 56): Մակերեսում հանքավայրը ներկայացված է միջօրեականի տարածման բազմաթիվ (30-ից ավելի) երակներով և երակիկներով, որոնք տեղադրված են շտովի պրոպիլիտացված, սերիցիտացված, կվարցացած ապարների մեջ և առաջացնում են շտովիերկային հանքանյութերի զոնաներ: Խոր-



Նկ. 56. Սերրո Ռիկո դե Պատոզի կտրվածքը բառ էվանսի. ցույց է տրված ապարների տիպերը և երակների գլխավոր սխեմաները
 1—ավազաքարեր և տուֆեր, 2—կոնգլոմերատային սերիա,
 3—սիսլիտ-պորֆիր, 4—սիլուրի ծալքավոր լեռնաքարեր և կվարցիտներ:

քում փոքր կարողության երակները միանալով կազմում են ավելի հզոր (մինչև 4 մ) և լավ արտահայտված երակներ, որոնք ուղղահանգ ուղղությամբ հետամտված են 800 մ ավելի:

Հանքավայրի վերին հորիզոններում (մակերեսից մինչև 400 մ) հանքանյութերը պարունակում են արծաթի շատ սուլֆուդներ, արծաթ պարունակող տետրաէդրիտ, բարիտ, համեմատաբար քիչ կասսիտերիտ: Այս հորիզոնները հարուստ են հատկապես արծաթով:

Ավելի խոր, 400—700 մ ինտերվալում արծաթի միներալների դերը խիստ նվազում է, ավելանում է ստաննինի և կասսիտերիտի քանակը. էլ ավելի ցած (700—800 մ) հանքանյութերը հարուստ են կասսիտերիտով, վոլֆրամիտով, բիսմուտի-

նով, ստաննինով, խալկոպիրիտով, իսկ արծաթը համարյա բոլորովին բացակայում է: Հանքանյութերի լրիվ կազմությունը հետևյալն է՝ մանրահատիկ կվարց, ալունիտ, պիրիտ, կասսիտերիտ, արսենոպիրիտ, վոլֆրամիտ, բիսմութին, սֆալերիտ, տետրաէդրիտ, ստաննին, խալկոպիրիտ, պիրարդիիրիտ, պրուստիտ, ջեմսոնիտ, ստիրնիտ, բուրնոնիտ, բարիտ: Հանքանյութերում կասսիտերիտը հոծ է կամ մանրահատիկ, ասեղնաձև, կոլլոսոբի (համաչափ-զորավոր), նստել է, հավանորեն, համեմատաբար ցածր ջերմաստիճանի պայմաններում կոլլոիդալ լուծույթներից:

Միջին հորիզոնների հանքանյութերը պարունակում են՝ $3-4\%$ Sn, 280 գ/տ Ag, 47 գ/տ Au, $5,15\%$ Cu, $1,45\%$ Sb, $1,3\%$ As. վերին հորիզոններում Ag պարունակությունը հասնում է 3 կգ/տ (մասամբ երկրորդային հարստացման հաշվին). ստորին հորիզոններում Ag չկա, բայց հանքանյութերը Sn հեամիասին պարունակում են նաև W և Bi:

Հանքավայրն ունի մեծ պաշարներ Sn 1% ավելի պարունակությամբ ու մի շարք արժեքավոր (Au, Ag, Bi, W) մետաղների խառնուրդով և ըստ առաջացման պայմանների հանդիսանում է փոքր խորությունների միջին—ցածր ջերմաստիճանային հանքավայր:

Հարկավոր է նշել, որ անադի նկարագրված մերձմակերեսային հանքավայրերը զարգացած են Կորդիլյերների ծալքավորված զոնայի աղեղնաձև կքման սահմաններում, որը բնորոշվում է խոշոր խախտումների լայն զարգացմամբ: Նրանց երկայնքով հանքարեր մազման բարձրացել է երկրի կեղևի վերին հորիզոնները և սառել մերձմակերեսային պայմաններում: Ըստ սրուտ տեղի չի ունեցել հետմազմատիկ լուծույթների լրիվ դիֆերենցիացիա, ինչպես և նրանց առանձնացում ժամանակի և տարածության մեջ: Այս պատճառով այստեղ համատեղ հանդիպում ենք տարբեր մետաղներ, բարդ սուլֆոաղեր և դիավում են տելուրիդային երկույթներ, հանքանյութերի կոլլոիդալ ստրուկտուրաներով:

Անհրաժեշտ է ընդգծել, որ Բոլիվիայի «նորմալ» և «մերձմակերեսային» հանքավայրերի հանքայնացման բնույթը նույնն է, ուստի և, տեղավորվելով միասնական մետալոգենիկ զոնայում նրանք իրար հետ կապվում են աստիճանական անցումներով:

Խաչեռան գայի հանքավայրը (Արևելյան Անդերբայկալ) տեղադրված է պերմի հասակի ավազաքար-թերթաքար-

րային նստվածքների մեջ, կիմմերյան հասակի պորֆիրանման բիտլիտային գրանիտների էկզոկոնտակտային զոնայում: Հանքավայրի շրջանում հայտնի են նաև հետյուրայի հասակի մերձմակերեսային գրանիտ-պորֆիրների, լիպարիտների և դացիտների փոքր ինտրուզիաներ (լիպարիտների մանրանյութում հաստատված է կոլլոմորֆ կասսիտերիտ):

Հանքայնացումը վերահսկվում է հյուսիս-արևմտյան տարածում և դեպի հյուսիս-արևելք զառիթափ անկում ունեցող խախտման զոնաներով, որոնց ենթակա են 20-ից ավելի անագաբեր սուլֆիդային երակներ և՛ բեկորատման քլորիտացված զոնաներ (հանքադաշտի հարավային մասում):

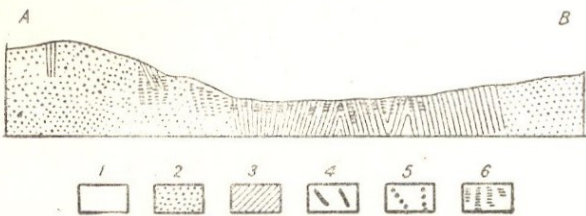
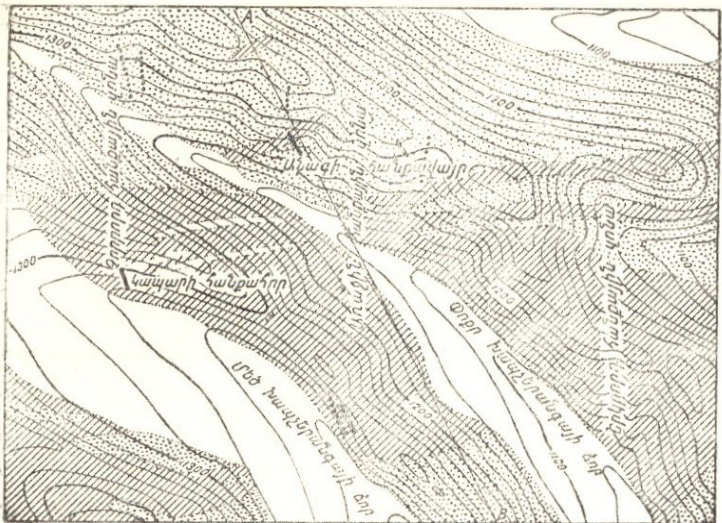
Սախտման գլխավոր զոնան անցնում է հանքադաշտի կենտրոնական մասով և ըստ տարածման հետամտված է ավելի քան 2 կմ. նրան են հարում մասսիվ պիրրոտինից կազմված հանքային երակներ կասսիտերիտի և սուլֆիդների խառնուրդով: Զոնայի հարավային մասում տարածված են քլորիտացված ապարներ անագով հարուստ կվարց-կալցիտ-քլորիտ-կասսիտերիտային երակներով, իսկ զոնայի հյուսիսային մասում հայտնաբերված է շտովիերկային հանքայնացում, արդյունաբերական հանքանյութերի զգալի պաշարներով: Գլխավոր զոնայից դեպի արևելք հետամտվում է երկրորդ հանքային զոնան, որը Գլխավոր զոնային համարյա զուգահեռ ձգվում է 400 մ և զարունակում է անագով հարուստ արսենոպիրիտ-կասսիտերիտային հանքանյութեր: Գեպի արևելք գրանիտի ինտրուզիայի կոնտակտին մոտ 1 կմ տարածութամբ հետամտվում է անագի աղքատ հանքայնացում (երրորդ զոնա):

Գլխավոր զոնայից դեպի արևմուտք ձգված է ևս մեկ (չորրորդ) զոնա, որին հարում են անագով աղքատ արծաթ պարունակող կապար-ցինկային երակներ (նկ. 57):

Նշված զոնաների սահմաններում առանձին երակներ ըստ տարածման հետամտված են 100—300 մ. գրանց կարողութունը տատանվում է մի քանի ամ-ից մինչև 1—2 մ:

Հանքանյութերի կազմը բարդ է. գլխավոր միներալներն են՝ պիրրոտին, արսենոպիրիտ, կասսիտերիտ, կվարց, քլորիտ, կարբոնատներ. երկրորդական միներալներն են՝ պիրիտ, սֆալերիտ, մարկազիտ, գալենիտ, խալկոպիրիտ, ստաննին, հազվագեպ խունացած հանքանյութեր, կուբանիտ, վալլերիտ:

Առանձին զոնաներում և նրանց ենթակա հանքային երակ-



Նկ. 57. Խասնեղեղեղի հանրավայրի շրջանի գեոլոգիական քարտեզ և սխեմատիկ կտրվածք A—B գծով (ըստ Գ. Լ. Վազրուցի)

1—ալյուվի, 2—ավազաքարեր, 3—կավային թերթաքարեր, 4—անազարեր երակներ, 5—այլ երակներ, 6—երակների պրոեկցիան կտրվածքի ուղղածից հարթության վրա:

Ներում անջատվում են որոշակի միներալային ասոցիացիաներ՝ հանքանյութերի տիպեր, որոնք համապատասխանում են հանքային պրոցեսի առանձին ստադիաներին: Ամենավաղ ասոցիացիան հանգիսանում է անազով հարուստ արսենոպիրիտ-կասսիտերիտայինը, որը հարում է Գլխավոր զոնայից դեպի արևելք տեղադրված զոնային. այստեղ ակներևորեն ճեղքերը բացվել են մյուսներից առաջ և արագ փակվել:

Փոքր ինչ ուշ առաջացել են Գլխավոր զոնայի երակների

անագա-պիրրոտինային հանքանյութերը և համարյա նրանց հետ միաժամանակ կասսիտերիտ պարունակող կվարց-կարբոնատ-քլորիտային հանքանյութերը, ամենաուշն են հանդիսանում արևմտյան գոնայի թույլ անագաբեր բազմամետաղ երակները:

Այսպիսով, հաստատվում է ճեղքերի հաջորդական բացումը արևելքից դեպի արևմուտք և հանքանյութերի տիպերի զոնալ դասավորութունը արևելքում գտնվող գրանիտային զանգվածի նկատմամբ. զանգվածից հեռանալով ավելի բարձր ջերմաստիճանային և անագով հարուստ հանքանյութերը փոխարինվում են համեմատաբար ցածր ջերմաստիճանային, անագի ավելի պակաս պարունակութուն ունեցող հանքանյութերով (անագով ամենից հարուստ են արսենոպիրիտ-կասսիտերիտային և կվարց-կարբոնատ-քլորիտային, փոքր-ինչ ավելի աղքատ են պիրրոտին-կասսիտերիտային և անագով շատ ավելի աղքատ են բազմամետաղ հանքանյութերը): Հանքանյութերի գլխավոր, ամենալայն տարածված տիպը հանդիսանում է պիրրոտին-կասսիտերիտայինը: Հանքավայրի կասսիտերիտը սովորաբար մանր է (0,1—1 մմ), ցրված է սուլֆիդների ու քլորիտի մեջ և հաճախ հաստատվում է միայն միկրոսկոպի տակ:

Հանքամերձ փոփոխութունները բավական ինտենսիվ են և արտահայտվում են կվարցացումով, պիրիտացումով, սերիցիտացումով և քլորիտացումով:

Առաջնային հանքանյութերն մակերեսից մինչև 50 մ խորությունը օքսիդացած են և լայն զարգացում են ստացել լիմոնիտը ու սկարոգիտը, որոնց մեջ լավ պահպանվում և մակրոսկոպիկորեն առանձնացվում են (սև գույնով և նիստերի ուժեղ փայլով) կասսիտերիտի բյուրեղները: Ավելորդ չէ նշել, որ հանքավայրի անագաբերությունը հաստատված է եղել հատկապես լիմոնիտի մեջ լավ պահպանված կասսիտերիտի այդ կուտակումներով:

Հանքանյութերում անագի պարունակությունը տատանվում է լայն սահմաններում՝ տոկոսի տասերորդական մասերից մինչև 3—4⁰/₀ և ավելի: Հանքավայրն առաջացել է բարձր, գլխավորապես միջին ջերմաստիճանի պայմաններում և չափավոր խորության վրա:

Էգե — Խայա հանքավայրը (Յակուտական ԱՍՍՌ) տեղագրված է տրիասի հասակի ինտենսիվ ծալքավորված ավա-

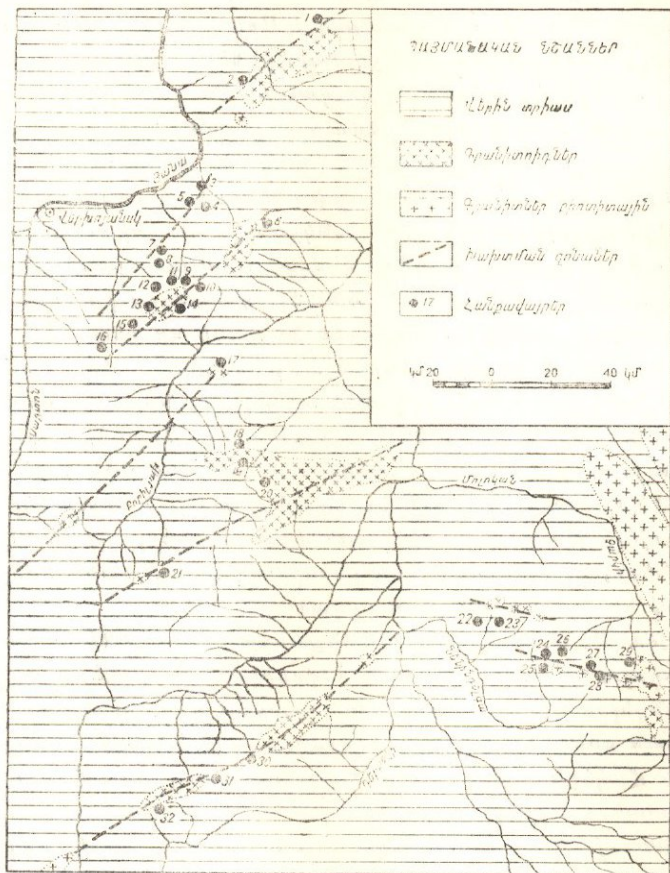
զաքարերի և թերթաքարերի մեջ, որոնք հատված են կիմմերյան (ստորին կավճի) հասակի գրանիտոիդային ինտրուզիաներով: Մնտրուզիաները գլխավորապես ներկայացված են տարբեր մեծութան գրանոգիորիտային զանգվածներով (ելքերի մակերեսը մի քանի քառ. կմ մինչև 1000 քառ. կմ), որոնք հարում են Նյուսիս-արևելյան և, հաղվաղեպ, Նյուսիս-արևմտյան տարածման խախտումներին ու հատում են համարյա միջօրեական ուղղութիւնն ունեցող ծալքավորումը: Մախտումների երկայնքով ինտրուզիաների ելքերի մոտ հետամտվում են բեկորատման զոնաներ, որոնց հարում է հանքավայրերի ճնշող մեծամասնութիւնը:

Բեկորատման զոնաներն ըստ երկարութան հետամտված են հարյուրավոր մետրերից մինչև մի քանի կիլոմետր, մի քանի տասնյակ սանտիմետրերից մինչև մի քանի մետր կարողութիւնով:

Ամենից բնորոշ են հանքայնացված (անագարեր) ավազաթերթաքարային բրեկչիաները, որոնց մեջ ցեմենտի զեր են կատարում կվարցը, տուրմալինը, երկաթային քլորիտները, պիրրոտինը և նոյազ չափով կասսիտերիտը, արսենոպիրիտը, սֆալերիտը, խալկոպիրիտը, ստաննինը, սիդերիտը, երբեմն վոլֆրամիտը, շեկիտը, սաֆֆլորիտը, բուլանժերիտը: Միներալների այս կոմպլեքսը միասին հաղվաղեպ է հանդիպում. հանքային զոնաները սովորաբար ներկայացված են միներալային ստոյխացիաներով, որոնք համապատասխանում են հանքայնացման որևէ մի ստադիայի: Հանքայնացումը զարգանում է հետևյալ կերպ՝ առաջին ստադիա—կվարց և երկաթով հարուստ տուրմալին. երկրորդ ստադիա—կվարց, երկաթով ավելի աղքատ տուրմալին, կասսիտերիտ, արսենոպիրիտ, երկաթային քլորիտ, փոքր-ինչ ավելի ուշ—պիրրոտին սֆալերիտի, ստաննինի, խալկոպիրիտի հետ. երրորդ ստադիա—կվարց, սիդերիտ, կալցիտ, պիրիտ, սֆալերիտ, վալենիտ, բուլանժերիտ և կապարի տարբեր սուլֆոհանտիմոնիտներ: Միանգամայն ակներև է, որ անագի տեսակետից արդյունաբերական հետաքրքրութիւն են ներկայացնում բեկորատման միայն այն զոնաները, որտեղ դրսևվորվել է հանքայնացման երկրորդ ստադիան՝ ինքնուրույն կամ առաջին ստադիայի հանքայնացման վրա վերադրված:

Հանքայնացումն արտահայտված է բրեկչիաների բեկորների տեղակալմամբ և նրանց միջև եղած տարածութիւն լցմամբ

Պարունակող ապարները եղջրաքարացած են, տուրմալինով, սուլֆիդներով ներծծված և ինտենսիվ կերպով քլորիտացված: Արախս հանքայնացումը վերանսկող ստրուկուրաներ հանդես են գալիս այն խախտումները, որոնք ուղեկցվում են ինտրուզիաների շղթաներով (նկ. 58):



Նկ. 58. Յանա-Աղիջանի շրջանի գեոլոգիական կառուցվածքի սխեման (կազմել է ՎոյուզնիկիևՎարազվեղկա-ի Յակուտիայի բաժանմունքը Գ. Լ. Պաղպակյանի խմբագրությամբ):

Հանքահանգույցները դասավորված են ինտրուզիայի շուրջը դաշկանների դարձացման տեղամասերում, եղջրաքարային դաշտերում: Դիտվում է հանքայնացման հորիզոնական գոնալուծյուն՝

եղջրաքարային դաշտերում տարածված է ամենաբարձր ջերմաստիճանային ասոցիացիա (երկաթով հարուստ տուրմալին), իսկ եղջրաքարային դաշտերի արտաքին սահմանի մոտ տարածված են սուլֆիդներ, կասսիտերիտ, քլորիտ, երկաթով աղքատ տուրմալին:

Առնային աշխատանքներով հետախուզված են երեք հանքամարմին՝ Գլխավոր, Արևմտյան և Արևելյան զոնաները, որոնք ուղեկցվում են մանր հանքամարմինների սերիայով. մանր հանքամարմինները մասամբ զուգահեռ են գլխավորներին կամ լծորդվում են նրանց հետ: Արևմտյան զոնան թերթաքարերի հետ տեղադրված է ներդաշնակ. նրա անկման անկյունը $50-55^\circ$ է, մյուս երկու զոնաները հատող են և ընկնում են ավելի դառիթափ, քան թերթաքարերը՝ $65-70^\circ$ անկյան տակ: Գլխավոր զոնայի հետամտված երկարությունն է 1100 մ, Արևմտյան զոնայինը՝ 520 մ, Արևելյան զոնայինը՝ 550 մ. զոնաների իրական երկարությունն զգալիորեն ավելի մեծ է, քանի որ սեպածե մարում չի նկատվում: Անկման ուղղությամբ զոնաները հետամտված են 150—170 մ և ըստ գեոֆիզիկական տվյալների նրանք տարածվում են ավելի քան 1000—1500 մ խորությունը: Առանձին զոնաների կարողությունը մի քանի մետրից հասնում է մինչև 10 մ, նրանց սահմանները կտրուկ չեն և ուժեղ բեկորատված ապարների մեջ կան ավելի թույլ ճեղքավորված ժաղպիկներ: Որպես կանոն, ապարները, որքան ուժեղ են բեկորատված այնքան ավելի ինտենսիվ են նրանք հանքայնացված:

Ըստ Ս. Ս. Սմիլոնովի հանքաբեր լուծույթները տարբեր կողմնորոշում ունեցող անթիվ ճեղքերի և ճեղքիկների սերիայով թափանցելով մանր բեկորատված նյութի մեջ, ունեցել են հսկայական «ոեակցիոն մակերևույթ», այն է՝ կողային ապարի հետ շփման մակերևույթ և հաճախ այսպիսի գեպերում մանր բեկորատված բրեկչիան ամբողջապես տեղակալվում է հանքային ագրեգատով: Մոռոր բեկորային կոարտման դեպքում, ընդհակառակը, լուծույթները թափանցելով ճեղքերի նոսր ցանցը հանքայնացրել են միայն այդ ճեղքերը, թողնելով նրանց միջև հանքայնացմամբ թույլ շոշափված կողային ապարների բյուկներ:

Մակերեսում հանքանյութերը ներկայացված են բրեկչիայով, որը ներծծված է տուրմալին, կասսիտերիտ, քլորիտ պարունակող լիմոնիտով և յարողիտով: Տիպիկ առաջնային հանքանյութը ներկայացնում է ուժեղ փոփոխված ավազաքարերի

և թերթաքարերի անկյունավոր բեկորների հանքայնացված բրեկ-
չիա (սովորաբար բեկորների մեծութունը մինչև 10 սմ). բե-
կորները պարփակված են կասսիտերիտ պարունակող կվարց-
քլորիտ-տուրմալին-պիրրոտինային ցեմենտի մեջ: Յեմենտի և
բեկորների հարաբերութունը ամենից հաճախ կազմում է 1:1,
սակայն սատանվում է լայն սահմաններում:

Հանքանյութի մեջ առանձնացվում են հետևյալ տիպերը՝
սակավասուլֆիդ, սուլֆիդային և խառը: Առաջինում խիստ գե-
րակշռում են կվարցը, կասսիտերիտը, տուրմալինը, քլորիտը,
երկրորդում՝ պիրրոտինը: Այս տիպերը համապատասխանում են
հանքայնացման ստադիաներին (առաջինը՝ կվարց-տուրմալին-
կասսիտերիտ-քլորիտային, երկրորդը՝ պիրրոտինային): Հանքա-
նյութերի խառը տիպն առաջանում է երկու ստադիաների տա-
րածական վերադրման դեպքում: Հետաքրքիր է նշել մի առանձ-
նահատկութուն, որը նկատվել է մեր կողմից, խառը տիպի հան-
քանյութերի անշլիֆներում. պիրրոտինի դաշտերում դասավոր-
ված են պիրրոտինով տեղակալված կասսիտերիտի բյուրեղների
շղթաներ, որոնք ներկայացնում են կասսիտերիտով հարուստ
առաջին ստադիայի հանքանյութերի ավելի վաղ երակիկների
մնացորդներ:

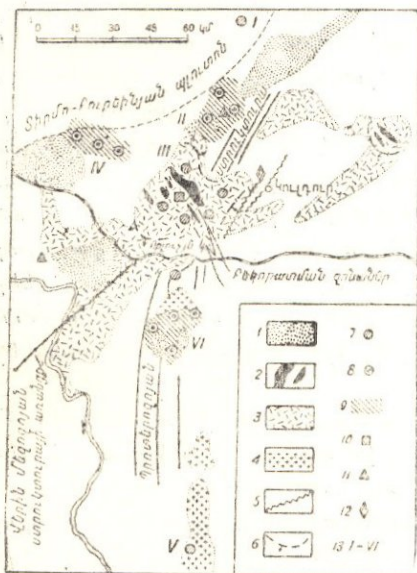
Հանքանյութերը մանրահատիկ են, սովորաբար շատ հա-
րուստ կասսիտերիտով, որը ներկայացված է միլիմետրի մա-
սերից մինչև մի քանի միլիմետրի հասնող սյունաձև, հավասա-
րաչափ և հազվադեպ ասեղնաձև հատիկներով: Որպես երկրոր-
դական խառնուրդներ, բացի արդեն նշված գլխավորներից,
առկա են հետևյալ միներալները՝ սֆալերիտ, խալկոպիրիտ,
ստաննին, պիրիտ, արսենոպիրիտ, գալենիտ, սիդերիտ, կալցիտ,
սերիցիտ: Հետաքրքիր է ստաննինի երկու գեներացիայի առկա-
յությունը՝

1) վաղ ստաննին. անջատվում է մինչև խալկոպիրիտը և
սֆալերիտը, առաջացնում է Յ ԱՄ մեծության հատիկներ, խալ-
կոպիրիտով երիզված (այդ երիզների մեջ դիտվում են կասսիտե-
րիտի շատ մանր ասեղնաձև հատիկներ, որոնք, հավանաբար,
ծագել են ստաննինը խալկոպիրիտով տեղակալվելու հետևան-
քով), 2) ուշ ստաննին, որն առաջացնում է երիզներ խալկոպիրի-
տի, սֆալերիտի, կասսիտերիտի շուրջը. հավանական է, որ ստան-
նինը ծագել է որպես «ոռեակցիոն» միներալ, կասսիտերիտի հա-
տիկների մասնակի լուծման հետևանքով: Հստ գենետիկ տիպի

սա սուլֆիդ-կասսիտերիտային, բարձր—միջին ջերմաստիճանային հանքավայր է, չափավոր խորուլթյան վրա ձևավորված:

Միկոյանի անվան հանքավայր (Փոքր Խինգան): Կապված է ոչ մեծ խորուլթյան վրա սառած գրանոզիորիտ-պորֆիրների հետ, որոնք կարում են կավճի հասակի թթու էֆուզիվների հատվածքը (նկ. 59):

Անագաբեր ինտրուզիվները ներգրվել են վերին կավճում կամ վերջինիս և պալեոգենի սահմանում: Հանքահանդուլցները



Նկ. 59. Միկոյանի անվան հանքավայրի անագաբեր շրջանի քարտեզ

- 1—ցաղալանի և ալեխի երիտասարդ հասակի փխրուն ալագաքար-գետաքարային նրստվածքներ, 2—գրանիտ-պորֆիրներ և գրանոզիորիտ-պորֆիրներ, 3—վերին մեզոզոյան էֆուզիվներ, 4—տուրմալինային գրանիտներ, 5—տեկտոնական կոնտակտներ, 6—երկրորդ կարգի անտիկլինալ, 7—կասսիտերիտ ալլուվիում և դելուվիում, 8—կոլլոմորֆ անագ, 9—կոլլոմորֆ անագի ցրման օրենուներ, 10—անագի հանքավայր, 11—ծառիբի արմատական հանքավայրեր, 12—մկնդեղի արմատական հանքավայրեր, 13—1—VI անագաբեր շրջաններ:

հարում են անտիկլինալային ստրուկտուրաներին և դասավորված են այն տեղամասերում, որտեղ նրանք հատվում են հյուսիս-արևմտյան տարածում ունեցող տեկտոնական գոնաներով:

Այստեղ հայտնի են անագի հանքավայրերի տարբեր տիպեր՝ անագաբեր պեգմատիտներ, կվարց-կասսիտերիտային և սուլֆիդ-կասսիտերիտային (սակավասուլֆիդ և քլորիտով հարուստ) հանքավայրեր, ինչպես նաև ցրոններ և կոլլոմորֆ կասսիտերիտի ոչ մեծ արմատական հանքավայրեր էֆուզիվ կվարցային պորֆիրներէ մեջ:

Ամենախոշոր աբդուլունարերական կուտակումները պատկանում են սուլֆիդ-կասսիտերիտային տիպին և կենտրոնացված են ինտրուզիվ գրանոզիորիտ-պորֆիրների շտովի մեջ, մասամբ թափանցում են

4. Ֆուլիվ կլարցային պորֆիրները ծածկի մնացորդի մեջ: Հանքայնացումը ներկայացնում է հյուսիս-արևմտյան ուղղությամբ ձգված տիպիկ շտոկիերի: Ամենից Ֆեաաքքեր է շտոկիերի 100—120 մ լայնությամբ ունեցող կենտրոնական զոնան, որը ներկայացված է մինչև 3—5, հազվադեպ 10 մ կարողությամբ ունեցող հանքաքեր կլարցային երակիկների խիտ ցանցով: Երակիկները կազմված են կասսիտերիտ, խալկոպիրիտ և մուսկովիտ պարունակող կլարցի գրուզներից. հանքանյութերը պարունակում են նաև ոչ մեծ քանակությամբ արսենոպիրիտ, լյոլիինգիտ, վալֆրամիտ, պիրիտ, ֆլյուորիտ: Տարբերում են կասսիտերիտի 2 դեներացիա՝ ավելի վաղ, 0,5—1,5 մ մեծությամբ հարածումները և կրկնարյուրեղների ձևով (սովորաբար մուգ, մեղրա-դեղին գույնի) և ավելի ուշ, ներկայացված մուգ գորշագույն ասեղնաձև հատիկների խրցածև ագրեգատներով:

Շտոկիերի ծայրամասային զոնան ներկայացված է խիտ վաֆոսված գրանոլիտրիտ-պորֆիրով, որը 10—15 մ լայնությամբ ունեցող գոտում վերամշակվել է ցրված կասսիտերիտ պարունակող կլարց-քլորիտային ապարի:

Ըստ ղենետիկ տիպի հանքավայրը պատկանում է վոքր խորությամբ լարձը—միջին ջերմաստիճանային տիպին, «սուլֆիդներով կամ երկաթային սիլիկատներով հարուստ կասսիտերիտային հանքավայրերի» խմբին. այստեղ ամենալայն տարածված երակային միներալն է երկաթային քլորիտը, իսկ սուլֆիդները հանքանյութերում սակավ են:

Միխոտե-Ալին էլեոնաշղթայի հանքավայրերը գտնվում են այսպիսի կառուցվածքի անտիկլինորիումի հարավ-արևելյան թևի սահմաններում: Ամենահին ապարներն են կարբոնի, պերմի և տրիասի հասակի կավային թերթաքարերը, ավազաքարերը և կրաքարերը, որոնք ճմրված և ծածկված են ստորին կավճի—վերին կավճի ստորին մասերի պորֆիրիտներով. վերջիններիս վրա տեղադրված են վերին կավճի կլարցային պորֆիրների ծածկոցները և աուֆոգենները:

Այս բոլոր ապարները կազմում են հյուսիս-արևելյան տարածման ծալքեր և հատված են գրանոլիտրիտների ու կլարցային գիրոլիտների հիպարխուսալ ինտրուզիաներով, որոնք ներգրքվել են վերին կավճի և պալեոգենի սահմանում (լարամյան ֆազ): Այդ գրանիտոլիդները հանդիսանում են բազմամետաղ և անադային հանքայնացման աղբյուր: Պալեոգենի ավազաքարերի

և կազմերի շերտախումբն է ֆուզիվների ենթաշերտերով ու ամխա-
բեր հորիզոններով հանդերձ հանգիստանում է ամենաերկտա-
սարդը:

Անտիկլինորիումի ընդհանուր տարածումը հյուսիս-արևել-
յան է. այս ստրուկտուրան բարդեցված է երկրորդ կարգի
բրախիանտիկլինալներով, որոնց հարում են հանքավայրերը:

Այստեղ հայտնի են սկառնային ու կվարց-կասսիտերիտա-
յին և արդյունարերական ավելի խոշոր հետաքրքրելի չուն հեր-
կայացնող քլորիտ-սուլֆիդ-կասսիտերիտային ու անագ-բաղմա-
մետաղ հանքավայրեր: Որպես հանքայնացման ստրուկտուրա-
յին վերահսկիչ ծառայում են հյուսիս-արևելյան և հյուսիս-ա-
րևմտյան տարածում ունեցող խախուռմները, որոնք հարում
են բրախիանտիկլինալի առանցքային մասերին և թևերին. հա-
ճախ հանքային երակները հարում են հյուսիս-արևելյան և
հյուսիս-արևմտյան խախուռմների հատման տեղամասերին, պոր-
ֆիրիտային դայկանների սերիաներին, բեկորատման և պիրի-
տացման զոնաներին:

Ստալինի անվան հանքավայրում վերին կավճի
կվարցային պորֆիրների ծածկոցը և տրիասի ավազա-թերթա-
քարային շերտախումբը կազմում են հյուսիս-արևելյան տարա-
ծում ունեցող անտիկլինալ. առանցքի երկայնքով ծալքը խախտ-
ված է վրաշարժով, որին հարում է հյուսիս-արևելյան տա-
րածման փոխադարձ զուգահեռ երակների մի սերիա:

Հանքադաշտի սահմաններում ինտրուզիաների մերկացում-
ներ հայտնի չեն, սակայն նրանց մոտիկութունը հաստատվում
է եղջրաքարերի և պորֆիրիտային դայկանների զարգացումով.
հանքավայրից 3—4 կմ դեպի հարավ մերկանում են դրանո-
դիորիտների, գրանիտ-պորֆիրների, գիորիտ-պորֆիրների հի-
պարիտալ շտակներ:

Հետախուզված են ճմլման երեք գլխավոր փոխադարձ զու-
գահեռ զոնաներ, որոնք տարածվում են դեպի հյուսիս-արևելք և
զառիթափ ընկնում դեպի հյուսիս-արևմուտք և հարավ-արևելք:

Ճմլման զոնաների երկարությունը հասնում է մինչև 2—
3 կմ, նրանց ենթակա երակների երկարությունը՝ հարյուրավոր
մետրերի, կարողությունը մինչև 2—3 մ, միջին հաշվով 0,2—
0,4 մ: Բացի երակներից, հայտնի են նաև շտոկվերկային տեղա-
մասեր: Ըստ խորության հանքայնացումը հետամտված է
200—300 մ:

Հանքանյութերի կազմի մեջ խիստ գերակշռում են սուլֆիդները՝ պիրրոտին, սֆալերիտ, գալենիտ, երկրորդական նշանակություն ունեն արսենոպիրիտը, կասսիտերիտը, խալկոպիրիտը, ստաննինը, կարբոնատները, քլորիտը, կվարցը, խունացած հանքանյութը: Կասսիտերիտը սովորաբար մանրաբյուրեղ է (0,1—0,6 մմ) և ցրված է սուլֆիդների մեջ. նրա ավելի խոշոր բյուրեղներ հայտնի են ցանցաձև շտոկվերկային զոնաններում, որտեղ միներալը հանգես է գալիս կվարցի և կարբոնատների ասոցիացիայում:

Կասսիտերիտի գլխավոր մասը կվարցի, արսենոպիրիտի, մուգ սֆալերիտի և մասամբ խալկոպիրիտի հետ առաջացել է հանքայնացման առաջին ստադիայում: Երկրորդ ստադիայում նստել են պիրրոտինը, խալկոպիրիտը, գալենիտը, ստաննինը, կասսիտերիտի փոքր մասը: Հանքանյութերը կոմպլեքսային են, Sn—Pb—Zn—Ag. հանքավայրը պատկանում է սուլֆիդ-կասսիտերիտային տիպին, առաջացել է բարձր—միջին ջերմաստիճանի և չափավոր—փոքր խորությունների պայմաններում:

Լիֆոս ձին հանքավայրը գտնվում է հյուսիս-արևելյան տարածում ունեցող անտիկլինալի առանցքային մասում, հզոր ճմլման զոնայի սահմաններում: Անտիկլինալի միջուկում մերկանում են տրիասի ավազաքարերը և թերթաքարերը որոնք հատված են գրանոզիորիտ-պորֆիրների հիպարիսալ լինարուզիաներով, իսկ ծալքի թևերում գերիշխում են վերին կավճի ավազաքարերը:

Հանքայնացումը վերահսկվում է ձեղքերով և ճմլման ու բեկորատման զոնաներով և տեղայնացված է թերթաքարերում, ավազաքարերում, երբեմն էլ գրանոզիորիտ-պորֆիրներում, Երակները և շտոկվերկային (ցանցաձև) զոնաներն ունեն հյուսիս-արևելյան տարածում, դառնալիք ընկնում են դեպի հյուսիս-արևմուտք և հարավ-արևելք: Հանքային զոնաների երկարությունը հասնում է հարյուրավոր մետրերի, կարողությունը՝ 0,2—1 մ մինչև 2 մ: Թերթաքարերի մեջ տեղադրված են երակները իսկ ավազաքարերի և գրանոզիորիտ-պորֆիրների մեջ՝ բեկորատման հանքայնացված զոնաները:

Հանքայնացումն ընթացել է տարածութային մեջ մեկուսացած 2 ստադիայով՝ առաջին ստադիա—կվարց, քլորիտ, կասսիտերիտ (հանքադաշտի հյուսիս-արևելյան մաս), երկրորդ ստադիա— (արսենոպիրիտ, պիրրոտին, պիրիտ, սֆալերիտ, խալ-

կոպիրիտ, քիչ կասսիտերիտ և ստաննին (հանքադաշտի հարավ-արևմտյան մաս):

Կասսիտերիտը ներկայացված է 1—5 մմ մեծության բյուրեղներով, մինչև մի քանի դեցիմետր ընդլայնական կտրվածք ունեցող կուտակումներով, ինչպես նաև միկրոսկոպիկ հատիկներով և կոլլոիդոֆ տարրերակով (деревянистый касситерит):

Հանքանյութում անագի պարունակությունը բարձր է, սակայն այն բաշխված է անհավասարաչափ: Արմատական ելքերից բացի, մշակվել են նաև կասսիտերիտով հարուստ հունային ջրոններ:

Հանքավայրը նման է նախորդին, սակայն նրանից տարբերվում է պիրրոտինի բարձր պարունակությամբ և զալենիտի ու սֆալերիտի փոքր գերով:

Սրբուստալնոյե հանքավայրը գտնվում է նախորդ հանքավայրի մոտ. տեղամասը կազմված է մեզոզոյի (տրիաս—վերին կավիճ) գեպի հարավ-արևելք զառիթափ ընկնող ավազաքարերից և թերթաքարերից, որոնք կազմում են միջօրեական տարածման մի ծալք: Շրջանի բոլոր ապարները հատված են պորֆիրիտների ու ֆելզիտների գալյաններով: Հանքայնացումը հարում է 10 մ կարողություն ու հյուսիս-արևելյան տարածում ունեցող ճմլման զոնային և ներկայացնում է մինչև 1 մ կարողություն մի բարդ երակ, որը հետամտված է 1 կմ:

Հանքանյութերը կվարց-սուլֆիդային են (արսենոպիրիտ, պիրրոտին) կասսիտերիտի, սֆալերիտի, զալենիտի, խալկոպիրիտի, ֆլյուորիտի պարունակությամբ, տեղ-տեղ էլ (չտոկվերկային տեղամասերում) հանդիպում է մեծ քանակությամբ քլորիտ, որի հետ սերտորեն զուգակցվում է կասսիտերիտը: Կասսիտերիտն ըստ անջատման ժամանակի մոտ է կվարցին, արսենոպիրիտին և քլորիտին. սուլֆիդներն անջատվել են ավելի ուշ:

Շատ բնորոշ են կասսիտերիտի սաղխալ-ճառագայթաձև և կոլլոիդոֆ ազդեգատները, որոնք վիայում են հանքավայրի ձևավորման ոչ մեծ խորություն մասին:

Հանքանյութերը բացառապես հարուստ են անագով. արմատական հանքավայրի հաշվին առաջացել է հունային ջրոն: Ըստ գենետիկ տիպի հանքավայրը նման է նախորդ երկու հանքավայրերին:

Մեծ Սինանչա հանքավայրը: Հանքավայրի տեղամասը կազմված է վերին կավճի էֆուլիվ կվարցային պորֆիր-

ներից, որոնք առաջացրել են հյուսիս-արևելյան տարածում ունեցող անտիկլինալ: Հանքայնացումը վերահսկվում է հյուսիս-արևմտյան տարածում ունեցող, խախտման զոնայով: Սախտման զոնայի երկայնքով դիտվում են պիրիտացում, հանքային երակներ և պորֆիրիտների դայկաներ: Արդյունաբերական հանքայնացումը հետամտված է ըստ տարածման 800 մ: ըստ խորության 400 մ:

Հոծ սուլֆիդների երակներն ոսպնյակաձև են, ունեն 0,7 մ (մի քանի սանտիմետրից մինչև 2 մ) միջին կարողություն և տարածման ուղղությամբ հետամտվում են մինչև 30-40 մ:

Կարելի է առանձնացնել հանքանյութերի 2 զլխավոր տիպ՝ 1) ալեյի վաղ, սուլֆիդային, հիմնականում գալենիտ-սֆալերիտային հանքանյութեր կասսիտերիտի խառնուրդով, հանքանյութերի զլխավոր արդյունաբերական տիպ, 2) ալեյի ուշ, մագնետիտային հանքանյութեր, որոնք ցեմենտացում են բեկորատված սուլֆիդային հանքանյութերը և ուղեկցվում են կարբոնատներով: Բարձր ջերմատիճանային հանքանյութերի այսպիսի շջրջվածք վերագրումը համեմատաբար ալեյի ցածր ջերմատիճանային սուլֆիդային երակների վրա բացատրվում է ջերմատիճանի բարձրացումով, պայմանավորված պորֆիրիտային դայկաների ներգրումով:

Առաջին ստադիայի հանքանյութերի կազմը բարդ է՝ գալենիտ (վաղ, խոշորաբյուրեղ և թիթեղաձև կասսիտերիտի հետ հարաձուլմանը), սֆալերիտ (մի քանի գեներացիաներ), պիրիտ, պիրրոտին, ստաննին, Fe և Mn կարբոնատներ, կվարց, երբեմն արսենոպիրիտ, մարկազիտ, վյուրտցիտ, պիրարգիրիտ: Հաճախ դիտվում է հանքանյութերի ութմիկ զուլավորություն՝ խոշորաբյուրեղ գալենիտի զուլերը հերթագայում են թիթեղաձև գալենիտի և սֆալերիտի զուլերի հետ:

Ըստ Ն. Ա. Ռադկևիչի, միներալոգիայի հանրագիտակցությանը որոշվում է դժվարությամբ՝ 1) պիրիտ, արսենոպիրիտ, կասսիտերիտ, պիրրոտին, 2) սև սֆալերիտ, կվարց, 3) խոշորաբյուրեղ գալենիտ, 4) զորշ մանրահատիկ սֆալերիտ և կվարց, 5) գալենիտի և կասսիտերիտի հարաձուլում (ըստ տիլիտի), 6) մանրահատիկ գալենիտ:

Կասսիտերիտի աչքով տեսանելի բյուրեղներ հազվագեղ են հանդիպում, նրա հիմնական մասը ներկայացված է 0,001—0,1 մմ մեծության մանրագույն անջատումներով, սերտ հարաձուլման

լում (գալենիտի հետ). այդ իսկ պատճառով անջատ կոնցենտրատներ ստանալ չի հաջողվում՝ հանքանյութերի կոնցենտրատը անագա-կապարային է:

Հանքավայրը հետաքրքրություներ է ներկայացնում Pb, Sn, Zn և Ag համար. ըստ գենետիկ տիպի պատկանում է միջին, ջերմաստիճանային փոքր խորություներում ձևավորված սուլֆիդ-կասսիտերիտային հանքավայրերին:

ԸՆԴՀԱՆՐԱՅՈՒՄ ԱՆԱԳԻ ՎԵՐԱԲԵՐՅԱԼ ԵՎ ՈՐՈՆՄԱՆ ՆՇԱՆՆԵՐԸ

Անագը կապված է թթու և չափավոր թթու գրանոգիորիտների հետ. մետաղի արգյունարեքական կուտակումները պատկանում են գլխավորապես Նիդրոթերմալ (բարձր և միջին ջերմաստիճանային) տիպին:

Սահմանվում են երկու գլխավոր գեոքիմիական ասոցիացիա՝

ա) Sn, W, Mo, Bi, Be, B, F, Ta, Nb պեգմատիտներում և կվարց-կասսիտերիտային հանքանյութերում՝ թթու գրանիտների հետ կապված:

բ) Sn, As, Cu, Pb, Zn, Fe, B (երկաթային տուրմալին և քլորիտ) սուլֆիդ-կասսիտերիտային հանքանյութերում, չափավոր թթու գրանիտոիդների հետ կապված:

Անագով հարուստ են Խաղաղօվկիանոսյան և Միջերկրածովային մետալոգենիկ գոտիների արտաքին (անագ-վոլֆրամահանքային) դոսանորը. բոլոր խոշորագույն շահագործվող հանքավայրերն ունեն կիմմերյան (Հարավ-արևելյան Ասիա և ՍՍՌՄ-ի Հյուսիս-արևելյան շրջաններ) և երրորդական (Բուլղիա) հասակ, սակայն անցյալում մեծ նշանակություն են ունեցել նաև հերցլինյան հանքավայրերը (Կորնուոլլ) Հանքային լեռներ):

Գենետիկորեն անագի հանքայնացումը սերտորեն կապված է K_2O -ով հարուստ թթու լեյկոկրատ գրանիտների, հազվագեպ չափավոր թթու գրանիտոիդների հետ. Հանքայնացումը հարում է հանքարեր ինտրուզիաներին, տեղադրվելով զանգվածների գմբեթներում, էնդո և էկզոկոնտակտային գոնաներում:

Թարմ ապարում Sn, F, B, Li կլարկի համեմատությամբ բարձր պարունակությունը, մանրանյութում ցրված ուղեկից

Պատասխանները հայտնաբերումը, անագի առկայությունը ինտրուզիայի տուրմալինում, փայլարներում և ուրիշ պնևմատոլիտային միներալներում, կասսիտերիտի առկայությունը գրանիտոիդներին հետ կապված պեգմատիտներում՝ այս բոլոր տվյալներն օգնում են հաստատելու որոշակի ինտրուզիվ ֆազի անագաբերությունը:

Հանքայնացումը սովորաբար հարում է ռեգիոնալ խախտումներին և նրանց հետ հարակցվող ավելի մանր խզումներին, բեկորատման և բրեկչիացման դոմաններին: Հանքայնացումը տեղայնացվում է ոչ մեծ ինտրուզիվ զանգվածների ապրիկալ մասերում, հաճախ բրախիանտիկլինալային ծալքերի կամարներում, տարբեր ուղղություն ունեցող խզումների հատման տեղերում, ինչպես նաև խոշոր գրանիտային զանգվածների էնդոկամ էկզոկոնտակտներում՝ եղջրաքարային դաշտի սահմաններում:

Առանձին դեպքերում հանքայնացումը վերահսկվում է գալիային ապարների սերիաներով, հրաբուխների երախներով, էֆուզիվ ծածկի մնացորդներով և այլն:

Լիթոլոգո-ստրատիգրաֆիական գործոնի նշանակությունը լրիվ պարզված չէ, սակայն հարկավոր է նշել խոշոր անագահանքային շրջանների հարումը ավազա-թերթաքարային շերտախմբերի զարգացման մարզերին (այդ շերտախմբերը երբեմն դիտվում են որպես ՏՈ աղբյուր): Սկառնային հանքավայրերի զարգացումն կարճնատային ապարների տարածման շրջաններում, ինչպես նաև հարուստ բրեկչիանման ու շտոկվերկային հանքանյութերի հարումը դյուրարեկ ապարների (օրինակ, ավազաքարերի) հորիզոններին նույնպես հաստատում են այդ գործոնի նշանակությունը հանքայնացման համար:

Անագի որոնումները կազմակերպելիս, անհրաժեշտ է հաշվի առնել անագաքարային երեք ֆորմացիայի՝ անագաբեր պեգմատիտների, կվարց-կասսիտերիտային երակների ու գրեյզենների և սուլֆիդ-կասսիտերիտային հանքանյութերի առկայությունը, որոնք առաջանում են տարբեր գեոլոգիական պայմաններում և որոնց համար որոնման—հետախուզական աշխատանքների ուղղությունը, որոնման նշաններն ու զնահատման չափանիշները տարբեր են:

Անագաբեր պեգմատիտների ֆորմացիայի համար հարկավոր է հաշվի առնել խորքային թթու գրանիտների հետ նրանց

ունեցած կապը, կասսիտերիտի նստեցումը ալբիտացման ստադիայում, նրա ասոցիացիան մուսկովիտի, սպոդուսիտի, տուրմալինի, տանտալո-կոլումբիտի հետ, կասսիտերիտի անհամաչափ բաշխումը պեգմատիտային մարմնի մեջ (միայն պեգմատիտի ավելի ուշ ստադիայի գրսկորման և վերամշակման տեղամասերում): Սովորաբար արգյունարերական նշանակութուն ունեն արմատական հանքավայրերի քայքայման հետևանքով առաջացած էլյուվիալ և ալլյուվիալ ցրոնները: Այս տիպի հանքավայրերի որոնումների ժամանակ էական օգնութուն է ցույց տալիս սկվածքային հանույթը:

Կվարց-կասսիտերիտային երակների և գրեյդենների ֆորմացիան երբեմն գենետիկորեն և տարածականորեն սերտորեն կապված է նախորդ ֆորմացիայի հետ և տալիս է աստիճանական փոխանցումներ, սակայն հաճախ գրեյդենների մեջ եղած կվարց-կասսիտերիտային երակները ու շտոկվերկները կապված են թթու գրանիտների հիպարիսալ ինտրուզիաների հետ այն շրջաններում, որտեղ պեգմատիտները թույլ են զարգացած:

Բնորոշ է կասսիտերիտի ասոցիացիան տապաղի, ֆլյուորիտի, լիթիումային փայլարների (լեպիդոլիտ, ցիննվալդիտ), հաճախ վոլֆրամիտի, բիսմութինի, արսենոպիրիտի, տանտալո-կոլումբիտի հետ:

Հանքավայրերն ուղղաձիգ ուղղությամբ ձգվում են սովորաբար մի քանի հարյուր մետր, երբեմն մինչև 1000 մ. ուղղաձիգ զոնալությունը արտահայտված է պարզորոշ կերպով, ընդ որում գեպի խորքը սուլֆիդային հանքանյութերը սկզբում փոխարինվում են կվարց-վոլֆրամիտայինով, այնուհետև կվարց-կասսիտերիտայինով: Նույն բնույթն ունի հորիզոնական զոնալությունը՝ հանքարեր ինտրուզիայի կոնտակտից հեռանալով տուրմալին և տապաղ պարունակող կվարց-կասսիտերիտային հանքանյութերը փոխարինվում են քլորիտ պարունակող սուլֆիդային հանքանյութերով:

Այս ֆորմացիայի հանքանյութերի որոնումների ժամանակ նույնպես էական օգնութուն է ցույց տալիս սկվածքային հանույթը:

Սուլֆիդ-կասսիտերիտային հանքավայրերի ֆորմացիան սովորաբար գենետիկորեն և տարածականորեն մեկուսացած է առաջին երկուսից և կապված է չափավոր թթու գրանիտոիդների հետ, որոնք սառել են միջին կամ փոքր խորություններում:

Բնորոշ է կասսիտերիտի ասոցիացիան աուրմալինի (երկաթով ազքատ), քլորիտի, արսենապիրիտի, պիրրոտինի, ստաննինի, հազվադեպ գալենիտի և սֆալերիտի հետ:

Այս տիպի հանքավայրերի որոնման համար սկզբածքային հանութի նշանակությունը փոքր է (կասսիտերիտը մանր է, փոշիանում և ցրվում է). մեծ նշանակություն ունի հանքանյութի օքսիդացած ելքերի ուսումնասիրությունը, որտեղ լիմոնիտի կամ սկորոպիտի մեջ պահպանվում և կուտակվում է կասսիտերիտը. օգնում է նաև հանքանյութերի միկրոսկոպիկ ուսումնասիրությունը, որի շնորհիվ հայտնաբերվում են կասսիտերիտը և ստաննինը:

Անագի հանքավայրերի բոլոր գեներտիկ տիպերի որոնումների ժամանակ մեծ հաջողություններ օգտագործվում է նաև մետալոմետրիկ (ստաննոմետրիկ) մեթոդը:

ՀԻՄՆԱԿԱՆ ԳՐԱԿԱՆՈՒԹՅՈՒՆ ԱՆԱԳԻ ՎԵՐԱԲԵՐՅԱԼ

Болдырева А. М. Зависимость морфологии, физических и химических свойств касситерита и его генезиса. Труды ИГН АН СССР, вып. 54, серия минер. № 12, 1941.

Вазбуцкий Г. Л. Генезис оловянных месторождений Чаунского района и сравнение их с месторождениями других районов. Труды Аркт. и-та, т. 170, 1941.

Воларович Г. П. Типы оловородных месторождений южной части Советского Дальнего Востока и их геологическая позиция. Изв. АН СССР, серия геол., № 6, 1940.

Готман Я. Д. Типоморфные особенности касситерита оловородных месторождений СССР. Труды ИГН АН СССР, серия минер., вып. 46, № 9, 1941.

Никольский А. П. Иультинское и Северное олово-вольфрамовые месторождения и геология их окрестностей. Труды Аркт. И-та, т. 162, 1941.

Падалка Г. Л. Металлоносность СВ Якутии. Изв. АН СССР, серия геол., № 6, 1939.

Радкевич Е. А. Метаморфизм руд Синанчи. Изв. АН СССР, серия геол., № 3, 1948.

Смирнов С. С. Некоторые замечания о сульфидно-касситеритовых месторождениях. Изв. АН СССР, отд. матем.-естеств. наук, № 5, 1937.

Смирнов С. С. и Цареградский В. А. Северо-Восток Азии, его металлогения и оловоносность. Изв. АН СССР, № 5, 1937.

Смирнов С. С. Некоторые новые данные относительно оловянности СВ Азии. Изв. АН СССР, серия геол., № 5—6, 1938.

Смирнов С. С. и др. Минералогический очерк Яно-Адычанского района. Труды ИГН АН СССР, вып. 46, серия минер., 1941.

Смирнов С. С. К оценке оловорудных районов. Сов. геология, № 3, 1941.

Смирнов С. С. Об оловянно-вольфрамовом оруденении востока СССР, Изв. АН СССР, серия геол., № 6, 1945.

Смирнов С. С. О Тихоокеанском рудном поясе. Изв. АН СССР, серия геол., № 2, 1946.

Ahlfeld Fr. The Bolivian tin belt. Econ. Geol. v. 31, № 1, 1936.

Fermor L. L. The Mineral Resources of Malaya. Bull. of the Imperial Inst., London, v. 38, № 1, 1940.

Herzenberg R. Colloidal Tin Ore deposits. Econ. Geol. v. № 7, 1936.

Schröche H. Zur Paragenese erzgebirgischer Zinnerzlagerstätten. Neues Jahrbuch für Mineralogie. Band 87, Heft I, 1954.

Tin, its mining, production, technology, and applications. Amer. Chem. Society Monograph. Series. Second Ed., 1949.

Turneaure F. S. Tin Deposits of Llallagua, Bolivia, Econ. Geol., v. 30, № № 1, 2, 1935.

Wang C. C. and Hsing I. V. The Cassiterite-arsenopyrite types in Souther Hunnan Chine. Geol. Surv. Chine, Bull., № 6, 1936.

Wing-Easten N. The tin ores of Banca, Billiton and Singkep. Econ. Geol. v. 32, № № 1, 2, 1937.

Բ Ի Ս Մ Ո Ւ Տ (Bi)

ԸՆԴՀԱՆՈՒՐ ՏԵՂԵԿՈՒԹՅՈՒՆՆԵՐ

Բիսմութը հայտնի է եղել դեռ 16-րդ դարում, բայց համարվել է կապարի և անագի տարրերակը ու միայն 18-րդ դարի կեսերին է ճանաչվել որպես ինքնուրույն մետաղ:

Բիսմութի հալման ջերմաստիճանն է 271°C , իսկ նրա համաձուլվածքները Pb, Sn, Cd, Hg-ի հետ հալվում են ավելի ցածր ջերմաստիճանում և լայն կիրառում ունեն տպագրական գործում, շոգեկաթսաների, ավտոմատ կրակմարիչների համար, ապահովիչ խցանների պատրաստման գործում և այլն: Բիսմութի համաձուլվածքներից ամենադյուրահալը հանդիսանում է $40,95^{\circ}/_{0}\text{Bi}$, $22,10^{\circ}/_{0}\text{Pb}$, $10,65^{\circ}/_{0}\text{Sn}$, $8,20^{\circ}/_{0}\text{Cd}$, $18,10^{\circ}/_{0}\text{Jn}$ բաղադրություն ունեցող հնգմետաղյա էվտեկտիկան (հալման ջերմաստիճանն է 47°C):

Բիսմութի փոքր քանակություներն օգտագործվում են բժշկության մեջ և ռեակտիվների ու ներկերի արտադրության գործում: Վերջին ժամանակներս բիսմութը կիրառում է գտելատոմային էներգիայի արտադրության մեջ և այդ կապակցությամբ հետաքրքրությունը նրա նկատմամբ խիստ կերպով բարձրացել է, իսկ արդյունահանումը անընդհատ աճում է:

Բիսմութի համաշխարհային հանույթը 1950 թ. կազմել է 1500 տոննա: Առաջին տեղը գրավում է Պերուն, որտեղ Սերբո-Դե-Պասկո հանքում պղնձի և կապարի հետ զուգընթաց էլեկտրոլիտիկ եղանակով ստացվում է քիմիապես մաքուր բիսմութ ($99,999^{\circ}/_{0}\text{Bi}$): Բիսմութի զգալի քանակություներ են արդյունահանվում նաև Բուլիվիայում, Ավստրալիայում, Մեքսիկայում, ԱՄՆ-ում, Կորեայում, Կանադայում. բիսմութի խոշոր կուտակումներ հայտնի են ՍՍՌՄ մի շարք շրջաններում (Միջին Ասիա և Անդրբայկալ), ինչպես նաև Հարավային Չինաստանում:

Բիսմուտը պատկանում է չափազանց ցրված էլեմենտների թվին. Ա. Պ. Վինագրադովի տվյալներով (1946) նրա միջին պարունակությունը երկրի կեղևում կազմում է $2 \cdot 10^{-50}/_0$: Արդյունաբերական կուտակումները կապված են թթու և չափավոր թթու գրանիտոիդների հետ: Բիսմուտը աալիս է շարժունակ միացություններ և գազա-ջրային լուծույթների միջոցով դուրս է բերվում մագմատիկ օջախներից. գործնականորեն հետաքրքիր բոլոր կուտակումները պատկանում են հեոմագմատիկ առաջացումներին:

Շատ բնորոշ են բիսմուտի հետեյալ ասոցիացիաները՝ Bi—W—Sn—As—Mo, գրանիտների հետ կապված բարձր ջերմաստիճանային հիդրոթերմալ հանքավայրերում. Bi և Cu, Bi—Co—Ni—Ag—U և Bi—Au, չափավոր թթու գրանիտոիդների հետ կապված միջին ջերմաստիճանային հանքավայրերում:

Հայտնի են բիսմուտ պարունակող մինչև 50 միներալներ, որոնց թվում Bi, Pb և Cu-ի բարդ սուլֆուրներ, տելուրիդներ, բիսմուտի կարբոնատներ և հալոգենիդներ: Արդյունաբերական նշանակություն ունեն հետեյալ միներալները՝ բնածին Bi ($95-99^0/_0$ Bi), բիսմուտին Bi_2S_3 ($81,22^0/_0$ Bi), բիսմիտ Bi_2O_3 ($89,6^0/_0$ Bi), բիսմուտիա $Bi_2[CO_3][OH]_4$ ($87^0/_0$ Bi): Բիսմուտն իզոմորֆ խառնուրդի կամ բիսմուտային միներալների մանրագույն ներփակումների ձևով պարունակվում է շատ սուլֆիդներում (դալենիտ, խալկոսիլիտ և այլն), ինչպես նաև ապատիտում, որտեղ նա իզոմորֆ կերպով տեղակալում է կալցիումի մի մասը: Բիսմուտի առկայությունը հաստատված է որոշ ծովային օրգանիզմներում:

Արդյունաբերական հանքանյութերից անհրաժեշտ է նշել հետեյալ տիպերը՝

- 1) անագ-վոլֆրամ-բիսմուտային բիսմուտով շատ հարուստ ($2-8^0/_0$ Bi),
- 2) պղինձ-բիսմուտային ($0,5-1^0/_0$ Bi),
- 3) կոբալտ-նիկել-արծաթ-ուրան-բիսմուտային (մինչև $0,5-1^0/_0$ Bi):

Բիսմուտի պարունակության ստորին սահմանը բուն բիսմուտի հանքանյութերի մշակման դեպքում համարվում է $0,5^0/_0$. սակայն հարկավոր է նշել, որ բիսմուտի համաշխարհային ար-

տաղրանքի մեծ մասը ստացվում է կոլչեդանային, բազմամե-
տաղ, մկնդեղային, անագ-վոլֆրամային և ոսկու հանքանյու-
թեքի վերամշակման ընթացքում, որոնց մեջ բխամուտի պարու-
նակութունը սովորաբար կազմում է սոկոսի հարյուրերորդա-
կան մասեր:

ԲԻՍՄՈՒՏԻ ՀԱՆՔԱՎԱՅՐԵՐԻ ԳԵՆԵՏԻԿ ՏԻՊԵՐԸ, ՄԵՏԱԼՈԳԵՆԻԿ ԴԱՐԱՆՐՁԱՆՆԵՐՆ ՈՒ ՄԱՐՁԵՐԸ

1. Բիսմութի կոնտակտ-մետասոմատիկ (սկսո-
նային) հանքավայրեր՝ վերադրված հիդրոթերմալ հանքանյու-
ցումով և ներկայացված Bi, Sn, Mo, As, W միներալներով: Այս
տիպին են պատկանում Միջին Ասիայի մի քանի հանքավայրեր
(As և Sn հետ), Սանգրոնգը Կորեայում (W հետ), Բայտցան
Ռուսիայում (Mo հետ): Հանքավայրերը սովորաբար մեծ չեն
և նրանց գերը երկրորդական է:

2. Բարձր ջերմաստիճանային հիդրոթերմալ
հանքավայրեր՝

ա) կվարց-վոլֆրամիտային երակներ և գրեյզներն արսե-
նոպիրիտի, կասսիտերիտի, բիսմութինի հետ, բխամուտն ստաց-
վում է զուգընթաց կերպով: Այս տիպի հանքավայրերը բիս-
մութի համար մեծ գեր չեն կատարում, սրանց թվին են պատ-
կանում Անգրբայկալի և Հարավային Չինաստանի հանքա-
վայրերը:

բ) Սուլֆիդ-կասսիտերիտային հանքավայրեր վոլֆրամիտի
և բիսմութինի հետ, առաջացած փոքր խորություններում: Այս
տիպը շատ արդյունավետ է բխամուտ ստանալու համար, սրան
են պատկանում Բուլիվիայի (Տասնա և այլն) հանքավայրերը:

3. Միջին ջերմաստիճանային հիդրոթերմալ
հանքավայրեր՝

ա) պղինձ-բիսմութային, մշակվում են բիսմութ և պղինձ
ստանալու համար, հանդիսանում են բիսմութի կարևոր աղբյուր
(Ագրասմանը Տաջիկական ՍՍՌ, Բոչեգիանոն Իտալիայի Տոս-
կանայի մարզ):

բ) Ոսկի-բիսմութային (Ալդան և Ավստրալիա):

գ) Կորալտ-նիկել-արծաթ-ուրան-բիսմութային, հանքանյու-
թեքից բխամուտն ստացվում է զուգընթացաբար (Հանքային
լիւներ, Մեծ արջի լիճ):

4. Բիսմիտի և բիսմուտիտի ցրոններ, որոնք կապված են երկրորդ տիպի արմատական հանքավայրերի քայքայման հետ (Անդրբայկալ, Բոլիվիա, Հարավային Չինաստան):

Բիսմուտի զգալի կուտակումներ հայտնի են Կանադայի մինչքեմբրյան հանքավայրերում, ՍՍՌՄ-ի, Ավստրալիայի, Հանքային լեռների հերցինյան հասակի հանքավայրերում, ի՛նչպես նաև ՍՍՌՄ-ի, Կորեայի և Հարավային Չինաստանի կիմմերյան հանքավայրերում:

Բիսմուտի ամենախոշոր արդյունարերական կուտակումները պատկանում են երրորդական մետալոգենիկ դարաշրջանին (Բոլիվիայի, Պերուի, Մեքսիկայի, ԱՄՆ-ի, Յապոնիայի, Իտալիայի հանքավայրերը) և հաճախ կապված են մերձմակերեսային մագմատիկ օջախների հետ:

Բիսմուտով ամենահարուստն են արտասահմանյան հետևյալ հանքային մարզերը՝ Հյուսիս-արևմտյան Կանադա, Բոլիվիա, Հանքային լեռներ, Պերու (նկ. 60):

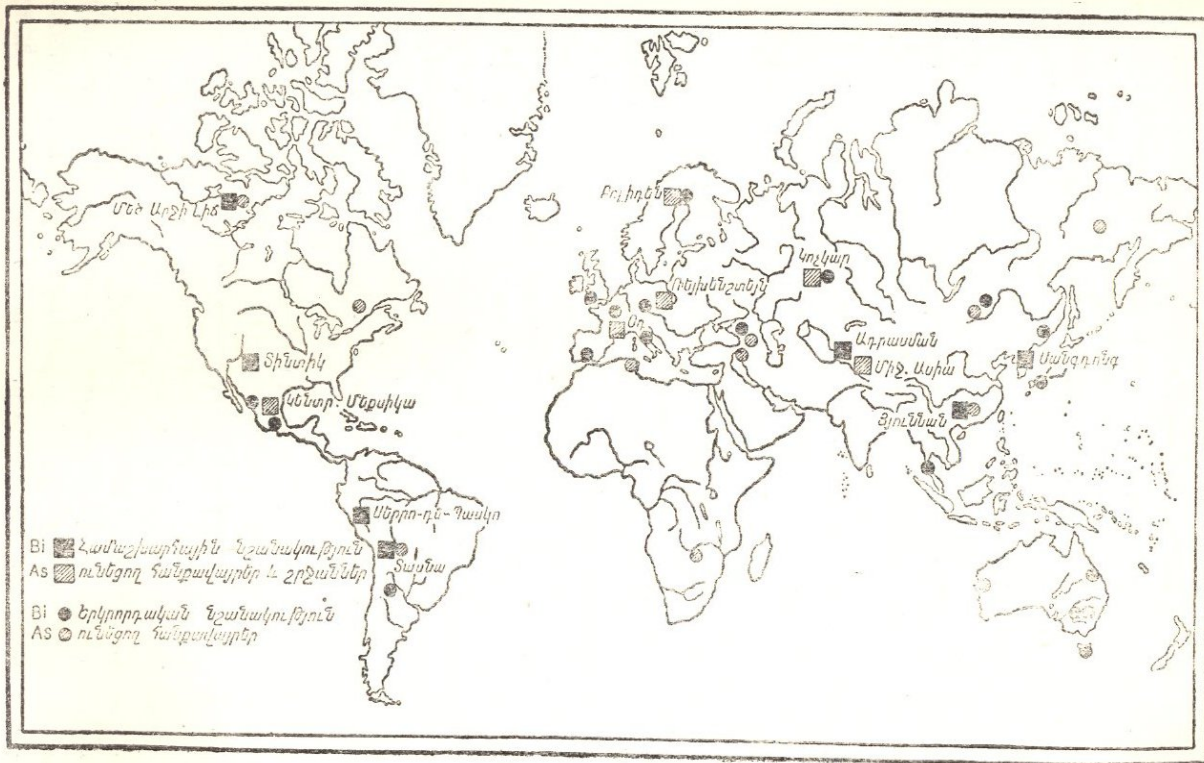
ԲԻՍՄՈՒՏԻ ՀԱՆՔԱՎԱՅՐԵՐԻ ՆԿԱՐԱԳՐՈՒԹՅՈՒՆԸ

Տասնա հանքավայրը Հարավային Բոլիվայում մի ժամանակ բիսմուտի գլխավոր համաշխարհային մատակարարողն էր, այժմ կորցրել է իր առաջատար գերը:

Շրջանը կազմված է սելուրի կավային թերթաքարերից և կվարցիտներից, որոնք հատված են կվարցային գիորիտների դաշկաներով. չմերկացված գրանիտոիդների զանգվածի ներգործության տակ ապարները վերափոխված են կվարց-տուրմալիտային եղջրաքարերի:

Կվարցային գիորիտների դաշկանների մոտ, որոնք գիտվում են որպես խորքային օջախի ածանցյալներ, տեղադրված են կասսիտերիտով և վոլֆրամիտով հարուստ հանքային երակներ. նրանցից դեպի արևելք, 4200-4500 մ բարձրության վրա մերկանում են բիսմուտով հարուստ հանքանյութերի հինգ զուգահեռ երակ:

Երակները տեղադրված են տուրմալիտացած կվարցիտների մեջ, ըստ տարածման՝ հետամտված են 500-600 մ և ունեն 0,6—2 մ կարողութուն: Երակները կազմված են կվարցից (10%) և հանքային միներալներից (90%), գլխավորապես սուլֆիդներից: Հանքային միներալների մեջ գերակշռում են բիսմուտինը, խալ-



Նկ. 60. Աշխարհի բիսմութի և մկնդեղի խոշորագույն հանքավայրեր:

կուպիրիար, պիրրոտինն ու պիրիտը. հանդիպում են վոլֆրամիտի, արսենոպիրիտի խոշոր բյուրեղներ և սֆալերիտի, ստաննինի, ջեմսոնիտի, բնածին բիսմութի չնչին խառնուրդ: Բիսմութինը նստել է կվարցից, վոլֆրամիտից և արսենոպիրիտից հետո և սերտ կերպով միացվել խալկոպիրիտի հետ, որի դաշտերում առատ է սֆալերիտի էմուլսիան:

Մինչև 60 մ խորությունը հանքանյութերն օքսիդացած են, բիսմութիտի գերը բարձր է: Առաջնային հանքանյութերը պարունակում են 2-8% Bi. ձեռքի տեսակավորումից հետո հանքանյութերում Bi պարունակությունը հասցվում է մինչև 20-25%:

Հանքավայրը պատկանում է բարձր ջերմաստիճանային հիդրոթերմալ տիպին՝ համեմատաբար փոքր խորության վրա տեսչացած:

Ադրասաման հանքավայրը: Հանքավայրի շրջանում տարածված են գետնի և ստորին կարբոնի կրաքարեր և արկոզային ավազաքարեր, որոնք հատված են վաղ հերցլինյան ցիկլի գրանոլիորիտներով:

Բոլոր այդ ապարները տրանսգրեսիվ կերպով ծածկված են վերին պալեոզոյի տուֆո-պորֆիրիտային հաստվածքով և ձեզքված են ֆելզիտ-պորֆիրների հիպարիտալ ինտրուզիաներով, որոնք ներգրվել են պալեոզոյի և մեզոզոյի սահմանում:

Հանքայնացումը հարում է հյուսիս-արևելյան տարածում և հյուսիս-արևմտյան դառիթալի անկում ունեցող խախտման գոնային, որը հատում է էֆուզիվ կվարցային պորֆիրները: Խախտման գոնայի հետամտված երկարությունը 600 մ է, որից 230 մ հանքայնացված է: Խախտման երկարությունը զարգացած են կվարցային երակներ, որոնցից մեկն ունի բարդ ճյուղավորված ձև և 1-2 մ կարողություն. կվարցային երակների զարանդներում էֆուզիվ պորֆիրները բեկորատված են, ցեմենտացված երակային կվարցով և ինտենսիվ քլորիտացված: Հանքայնացման պրոցեսը բաժանվում է երկու գլխավոր ստադիայի՝

ա) կվարց-հեմատիտային երակների և երակիկների առաջացում:

բ) միկրոբեկչիացում, ուղեկցված կվարցացումով, քլորիտացումով, ինչպես նաև արսենոպիրիտի, խալկոպիրիտի, բիսմութինի, պղինձ-բիսմութային միներալների, հեմատիտի (երկրորդ գեներացիայի), սֆալերիտի, գալենիտի, խունացած հանքանյութի, արգենախտի, բնածին արծաթի և ոսկու

նստեցումով: Հանքանյութերը հարուստ են բիսմութով և պարունակում են Cu, Ag, Au գործնականորեն հեռաքրքիր քանակություներ: Փենեաիկորեն հանքավայրը պատկանում է փոքր խորություների միջին ջերմաստիճանային հիդրոթերմալ դոյացումներին և կապված է, հավանաբար, այն նույն օջախի հետ, որի ածանցյալներն են հանդիսանում ֆելզիտ-պորֆիրների մանր շտովները:

ԸՆԷՀԱՆՐԱՅՈՒՄ ԲԻՍՄՈՒՏԻ ՎԵՐԱԲԵՐՅԱԼ ԵՎ ՈՐՈՆՄԱՆ ՆՇԱՆՆԵՐԸ

Բիսմութը կապված է թթու և չափավոր թթու գրանիտոֆոնների հետ, կուտակվելով հիդրոթերմալ և մասամբ սկաննային հանքավայրերում:

Բիսմութով ամենահարուստն են հերցինյան մետալոգենիկ մարզերը (Միջին Ասիա, Հանքային լեռներ) և հատկապես մեզոկայնոզոյան մարզերը (Անդրբայկալ, Բոյիվիա, Պերու):

Բնորոշ է բիսմութի հարուստ կուտակումների առավելագույն կապը չափավոր—փոքր խորություան ինտրուզիաների ու հանքավայրերի հետ և բիսմութի գլխավոր մասի առաջացումը (բնածին բիսմութի, բիսմութինի, պղինձ-բիսմութային միներալների ձևով) հանքավայրերի ձևավորման միջին և վերջին ստադիաներում՝ կոմպլեքս բաղադրություն ունեցող հանքանյութերի հետ:

Բիսմութի որոնումներին ճիշտ ուղղություն տալով, հարկավոր է հաշվի առնել նրա ասոցիացիաները որոշ դեպքերում Sn, W, Mo, As հետ (հանքանյութերի բարձր ջերմաստիճանային և սկաննային տիպերում), մյուս դեպքերում էլ՝ Cu, Au, Co, Ni, Ag, U հետ (միջին ջերմաստիճանային հիդրոթերմալ հանքավայրերում):

Բիսմութի բարձր ջերմաստիճանային հանքավայրերի որոնումների դեպքում մեծ օգնություն է ցույց տալիս սկզբածքային հանութը (սկզվածքներում բիսմիտ, բիսմութիտ, կասսիտերիտ, վոլֆրամիտ, շեելիտ), իսկ միջին ջերմաստիճանային հանքավայրերի որոնումների դեպքում՝ բիսմութի սերտ կապը առանձնապես Co և Ni արսենիդների, ուրանային խեժի, բնածին սսիլ, խալկոպիրիտի և դալենիտի հետ:

Օքսիդացման դոնայում բիսմութի միներալների վրա
առաջանում են բիսմութի երկրորդային կարբոնատների դեղնա-
կանաչավուն փառեր:

ՀԻՄՆԱԿԱՆ ԳՐԱԿԱՆՈՒԹՅՈՒՆ ԲԻՍՄՈՒՏԻ ՎԵՐԱԲԵՐՅԱԼ

Месторождения редких и малых металлов СССР, т. 1, 2, АН
СССР, 1939.

Морозов Н. Д. Адрасманский район висмутовых месторожде-
ний. Редкие металлы, № 3, 1934.

Янишевский Е. М. и Харитонов М. И. Адрасманское
медно-висмутовое месторождение. Сов. Геология, № 4—5, 1939.

Blumfeldt H. Wismut-Aufgaben, Vorkommen und Gewinnung
MetaII 8, № 9/10, 1954.

Wright C. W. Bismuth in Bolivia and Peru. Foreign Minerals
Quart. 2, № 4, 1939 and № 1, 1940.

Մ Կ Ն Դ Ե Վ, (As)

ԸՆԴՀԱՆՈՒՐ ՏԵՂԵԿՈՒԹՅՈՒՆՆԵՐ

Մկնդեղի միներալները՝ մուգ կարմիր սեւագարը (AsS) և սկեղեղին սուրիպիդենտը (As_2S_3) հայտնի են եղել շատ հեռավոր անցյալում և կիրառվել են ներկերի և դեղորայքի պատրաստման գործում: Ն. թ. առաջի գարում, հույն բժիշկ Դիոսկորիդը նկարագրել է մկնդեղի եռօքսիդի (As_2O_3) ստացումը սուրիպիդենտի թրծման եղանակով:

Չինաստանում և հնարարյան Ռուսիայում մկնդեղի թունավոր միացութուններն օգտագործվել են դյուղատնտեսութան վնասատուներին՝ միջատների և կրծողների ոչնչացման համար: Ազատ ռեատադային մկնդեղն ստացվել է 13-րդ դարի կեսերին, իսկ 1789 թ. ֆրանսիական քիմիկոս Լավուազիեի կողմից ճանաչվել է որպես նոր քիմիական էլեմենտ:

Ներկայումս մետաղային մկնդեղը ոչ մեծ քանակությամբ կիրառվում է ծարիրի և կապարի հետ համաձուլվածքների արտադրության մեջ: Մկնդեղի թունավոր միացութունները՝ կալցիումի արսենատը և ուրիշներ, լայնորեն կիրառվում են կրծողների և մորեխի ոչնչացման, ինչպես նաև սերմերի ախտահանման համար:

Մկնդեղի միացութունները կիրառվում են նաև ապակուարդյունարերության մեջ (կաթնագույն ապակիներ, էմալներ), բժշկական պրեպարատների արդյունաբերության մեջ (սակավարյունության և մալարիայի բուժման ժամանակ), կաշիների և մորթիների պահպանման համար: Վերջապես մի շարք սպեցիական թունավոր նյութեր և դրանց թվում լյուիզիտը պատրաստվում են մկնդեղային հիմքի վրա:

Մկնդեղի արդյունահանումը, սպիտակ մկնդեղի (As_2O_3) ձևով, առանց ՍՍՌՄ-ի կաշտում է 60—70 հազար տոննա և գլխավորապես բաժին է ընկնում Շվեդիային, ԱՄՆ-ին, Մեքսիկային և Ֆրանսիային:

Մկնդեղային հանքանյութերի պաշարների ճիշտ հաշվառումը բացակայում է. նշված չորս երկրները, ինչպես նաև ՍՍՌՄ ու Չինաստանը ունեն մկնդեղային հանքանյութերի խոշոր պաշարներ:

* * *

Մկնդեղի միջին պարունակությունը երկրի կեղևում կադմում է $0,0005\%$. էլեմենտը կապված է գլխավորապես թթու և չափավոր թթու գրանիտոիդների, հազվագեպ հիմքային և ալկալային ապարների հետ: Մկնդեղն առաջացնում է ցնդող, շարժունակ միացություններ և դուրս է բերվում մագմատիկ օջախից, առաջացնելով պնևմատոլիտային և հիդրոթերմալ հանքավայրեր: Միայն սուլֆիդներով հարուստ հիմքային մագմաներում մկնդեղը Co , Ni և Pt արսենիդների ձևով մասամբ մտնում է մագմատիկ (լիկվացիոն) հանքավայրերում:

Էկզոգեն պայմաններում As երբեմն կուտակվում է ածուխներում, հանդես է գալիս նստվածքային պիրիտի (մինչև $0,3\%$) և ֆոսֆորիտի մեջ:

As ներկայությունը հաստատված է բազմաթիվ բույսերի և օրգանիզմների մեջ (գորշ և կարմիր չբժուկներում, փայփամորթների, խեցգետնանմանների մեջ As պարունակությունը հասնում է առկոսի հազարերորդական մասերի):

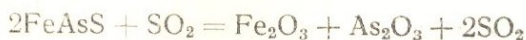
Մկնդեղի միներալոգիան շատ հարուստ է, հայտնի են 120-ից ավելի միներալներ, որոնցից արդյունաբերական նշանակություն ունեն հետևյալները

		As %
արսենոպիրիտ	$FeAsS$	46
լյոլիեզիտ	$FeAs_2$	72,8
ոնալգար	AsS	70,1
աուրիպիգմենա	As_2S_3	61
ենարգիտ	Cu_3AsS_4	19,1
տեմեանաիտ	$3Cu_2S \cdot As_2S_3$	մինչև 20—22
սկսրոգիտ	$FeAsO_4 \cdot 2H_2O$	27—36

Արսենոսպիրիտը և լյոլլինգիտը բնորոշ են գլխավորապես բարձր ջերմաստիճանային (մասամբ միջին ջերմաստիճանային) հանքավայրերի համար, էնարգիտը և տեննանտիտը՝ միջին ջերմաստիճանային, ռեալգարը և աուրիպիգմենտը՝ ցածր ջերմաստիճանային հանքավայրերի համար: Միորոգիտն առաջանում է օքսիդացման զոնայում և նրա խնձորի կանաչ գույնը հանգիստանում է որոնման լավ նշան:

As միսիմալ բնգունելի պարունակությունը հանքանյութի մեջ կազմում է 2⁰/₀. սովորաբար մկնդեղ ստանալու համար մշակում են անհամեմատ ավելի հարուստ հանքանյութեր As 5—10⁰/₀ և ավելի պարունակությամբ:

Մկնդեղի կոնցենտրատները կամ As 12—15⁰/₀ ոչ պակաս պարունակությամբ հարուստ հանքանյութերը հատուկ վառարաններում օքսիդացման պայմաններում ենթարկվում են թրծման հետևյալ սխեմայով՝



Մպիտակ մկնդեղը՝ As₂O₃ փաթիլանման առաջացումների ձևով նստում է գազերից օձաձև խողովակի մեջ, SO₂ հեռացվում է իսկ Fe₂O₃ մնում է այրված մնացորդում: Այրված մնացորդում մնում է նաև արսենոսպիրիտի մեջ եղած ոսկին:

Մկնդեղի հանքանյութերի արդյունաբերական տիպերի մեջ հարկավոր է նշել՝

1) արսենոսպիրիտայինը (հաճախ ոսկու խառնուրդով),

2) ռեալգար-աուրիպիգմենտայինը (երբեմն սնդիկի և ծարիրի խառնուրդով):

Հանքանյութերի այս երկու տիպերը հարուստ են մկնդեղով (սովորաբար 5—10⁰/₀ և ավելի): Սակայն ներկայումս մկնդեղի համաշխարհային արդյունահանման մեծ մասը բաժին է բնկնում այսպես կոչված «գազային» մկնդեղին որն ստացվում է մկնդեղի խառնուրդ պարունակող պղնձի, բազմամետաղ և անագի հանքանյութերի վերամշակման հետ զուգընթաց:

ՀԱՆՔԱՎԱՅՐԵՐԻ ԳԵՆԵՏԻԿ ՏԻՊԵՐԸ, ՄԵՏԱԼՈԳԵՆԻԿ
ԳԱՐԱՇՐՋԱՆՆԵՐԸ ԵՎ ՄԱՐԶԵՐԸ

Լիկվացիոն հանքավայրերում և սրտշ պեղմատիտներում մկնդեղի փոքր կուտակումներն արդյունաբերական նշանակու-
թյուն չունեն:

Արսենոպիրիտային և լյոլլինգիտային հանքանյութերի կոն-
տակտ-մետասոմատիկ (սկառնային) հանքավայրերը հայտնի են:
ՄՍՍՄ-ում (Միջին Ասիա), Լեհաստանում (Ռեյխենշտեյնը
Սիլեզիայում) և Յապոնիայում. սովորաբար նրանց մասշտաբը
փոքր է, արդյունաբերական նշանակությունը սահմանափակ:

Մկնդեղի համարյա բոլոր խոշոր կուտակումները պատկա-
նում են հիդրոթերմալ տիպին, ընդ որում արդյունաբերական
հանքավայրեր առաջանում են բարձր, միջին և ցածր ջեր-
մաստիճանային պայմաններում:

1. Արսենոպիրիտային ֆորմացիայի բարձր ջերմաստիճա-
նային հանքավայրերը բնորոշվում են արսենոպիրիտի (երբեմն
լյոլլինգիտի) զգալի գերով, պիրրոտինի, կասսիտերիտի, վոլֆրա-
միտի, շեելիտի, բիսմուտինի, քնածին բիսմուտի, կոբալտինի,
քնածին ոսկու առկայությամբ: Երակային միներալներն են
կվարցը, աուրմալինը, ակաինոլիտը:

Ըստ հանքամարմինների մորֆոլոգիայի կարելի է առանձ-
նացնել երակային հանքավայրեր (Անդրբայկալ, Կովկաս և Հա-
րավային Ուրալ), մետասոմատիկ կուտակներ կարբոնատային
ապարներում (Միջին Ասիա, Յապոնիա) և ոսպնյակներ թեր-
թաքարերում (Բոլիզենը Հյուսիսային Շվեդիայում): Ըստ հան-
քանյութի կազմութան, առանձնացնում են՝ մկնդեղային,
ոսկի-մկնդեղային, պղինձ-ոսկի-մկնդեղային, անագ-կոբալտ-
մկնդեղային, անագ-մկնդեղային, վոլֆրամ-մկնդեղային, բիս-
մուտ-մկնդեղային հանքավայրեր և համապատասխան հանքա-
նյութեր: Մկնդեղի բարձր ջերմաստիճանային հանքավայրերը
լայն տարածում ունեն, տալիս են համաշխարհային հանույթի
զգալի մասը և մկնդեղի համար հանդիսանում են գլխավոր
գնեատիկ աղբյուր:

2) Մկնդեղ-բազմամետաղ ֆորմացիայի միջին ջերմաստի-
ճանային հանքավայրերը բնորոշվում են նրանով, որ հանքա-
նյութերում արսենոպիրիտի հետ մեկտեղ մեծ, հաճախ գերիշ-

խող գեր են խաղում էնարգիտը, տեննանտիտը, պղնձի սուլֆիդները, սֆալերիտը, գալենիտը. երակային միներալներն են կվարցը և կարբոնատները:

Ըստ մորֆոլոգիայի կարելի է առանձնացնել երակային հանքավայրեր (Անդրբայկալ, Բյուտաը ԱՄՆ-ում) և մետասոմատիկ կուտակներ (Միջին Ասիա), իսկ ըստ հանքանյութերի կազմութեան՝ մկնդեղ-բազմամետաղ, մկնդեղ-ոսկի-բազմամետաղ, մկնդեղ-պղնձային: Մկնդեղի միջին ջերմաստիճանային հանքավայրերն ավելի քիչ են տարածված, քան բարձր ջերմաստիճանայինները, սակայն տալիս են նույնպես բավական քանակութեամբ մկնդեղ, որն ստացվում է պղնձի, կապարի, ցինկի և ոսկու հետ դուգընթաց:

3. Ռեալգար-աուրիպիգմենտային ֆորմացիայի ցածր ջերմաստիճանային հանքավայրերը բնորոշվում են ունակաբեր և աուրիպիգմենտի գերիշխումով, որոնց խառնվում են արսենոպիրիտ (ասեղնաձև, ցածր ջերմաստիճանային), մելնիկովիտ, մարկագիտ, երբեմն ստիրնիտ և կինովար. երակային միներալներըց սովորական են կվարցը, խալցեդոնը, կարբոնատները, նակրիտը, կաոլինիտը:

Ըստ հանքամարմինների մորֆոլոգիայի կարելի է առանձնացնել՝ երակներ (Լուխումի, Վրացական ՍՍՌ), բրեկչիացած դոնաներ (Չառվայ, Կիրգիզական ՍՍՌ) և շտոկներ (Գարբիգադ, Նախիջևանի ԱՍՍՌ, Կաղզման Թուրքիայում):

Երակային և բրեկչիացած դոնաների հանքանյութերը սովորաբար բյուրեղային են, գրուզներով ու ժեռզներով. շտոկների հանքանյութերը կոլոիդալ են: Ըստ հանքանյութերի կազմութեան առանձնացվում են՝ մկնդեղային և սնդիկ-մկնդեղային հանքավայրեր:

Մկնդեղի ցածր ջերմաստիճանային հանքավայրերը հաճախ սերտորեն կապված են տաք հանքային աղբյուրների հետ. հրաբխային գործունեութեան մի շարք շրջանների տաք ջրերը պարունակում են մինչև 400 մգ/լ As և ունեն բուժիչ հատկություններ:

Ռեալգար-աուրիպիգմենտային հանքանյութերը շահագործվում են ՍՍՌՄ-ում, Թուրքիայում, Ռումինիայում, Չինաստանում:

Մետալոգենիկ դարաշրջաններ և մարդեր: Մինչքեմբրյան հասակի է պատկանում Հյուսիսային Շվե-

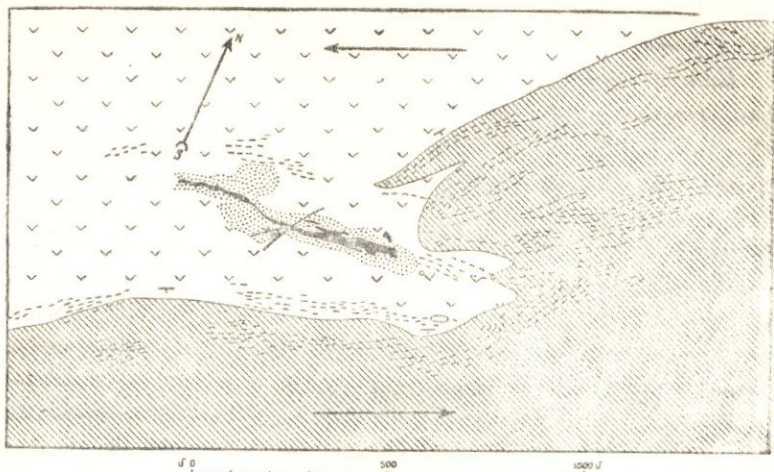
դիայում Բոլիզեն խոշորագույն հանքավայրը, հեյցինյան հասակ ունեն ՍՍՌՄ-ի շատ հանքավայրեր (Միջին Ասիա, Հարավային Ուրալ), Լեհաստանի (Սիլեզիա) և Ֆրանսիայի հանքավայրերը, Կիմմերյան հասակ ունեն ՍՍՌՄ-ի (Անդրբայկալ) և Զինաստանի հանքավայրերը, իսկ ալպիական հասակ՝ ՍՍՌՄ-ի (Կովկաս և Անդրկովկաս), Թուրքիայի, Յապոնիայի, Մեքսիկայի և ԱՄՆ-ի Արևմտյան նահանգների հանքավայրերը:

Մկնդեղով առանձնահատուկ հարուստ դարաշրջան էի կարելի առանձնացնել, բայց ուշադրով է այն, որ մինչքեմբրյան և հեյցինյան հանքավայրերը համարյա բոլորը պաականում են բարձր ջերմաստիճանային տիպին, մինչդեռ կիմմերյան և հատկապես ալպիական հանքավայրերի մեծ մասը ցածր ջերմաստիճանային է սերտորեն կապված է հրաբխային դործունեության և տաք հանքային աղբյուրների հետ:

ՄԿՆԳԵՂԻ ՀԱՆՔԱՎԱՅՐԵՐԻ ՆՎԱՐԱԳՐՈՒԹՅՈՒՆԸ

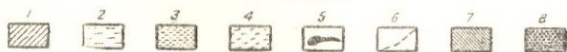
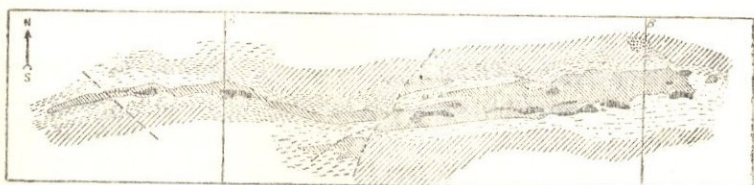
Բոլիզեն. հանքավայրը գտնվում է Հյուսիսային Շվեդիայում, ներկայացված է սուլֆիդային հանքանյութերի ոսպնյակներով և տեղադրված է անդալուզիտ-սերիցիտային կվարցիտների մեջ, որոնք առաջացել են մինչքեմբրյան հասակի թթու էֆուզիվները մեամորֆիզմի հաշվին: Ոսպնյակներն ունեն լայնակի տարածում, զառիթափ անկում դեպի հարավ և տեղադրված են սև ֆիլլիտանման թերթաքարերի սահմանի մոտ (նկ. 61 ա):

Գլխավոր, լավ հետախուզված ոսպնյակն ըստ տարածման հետամտված է 600 մ, 19 մ միջին կարողություն (փքվածքներում մինչև 40 մ) ուղղաձիգ ուղղություն տարածվում է 170 մ: Հանքային պրոցեսում առանձնացնում են երեք ստադիա՝ 1) արսենոպիրիտ, պիրիտ, խալկոպիրիտ, սֆալերիտ, կորալտին, կապարի, ծարիրի, բիսմուտի սուլֆիդներ, իսկ երակայինները կվարց և ապատիտ: Այս ստադիայի հանքանյութերը կազմում են ոսպնյականման տեղամասեր (նկ. 61 բ): 2) խալկոպիրիտ, ոսկու և բիսմուտի տելուրիդներ երակիկների ձևով, կապված լամպրոֆիրների գալկանների հետ որոնք հատում են առաջին ստա-



Նկ. 61 ա. Բոլիդեն հանքավայրի ակնարկային գեոլոգիական քարտեզ (բստ Ո. Էղմանի)

- 1—հրաբխածին ապարներ, 2—լիոփոխված գոնա, 3—ֆիլիտներ, 4—հանքանյութ, 5—էլեկարոանոմալիաներ, 6—վարենավածքներ:



Նկ. 61 բ. Բոլիդեն հանքի մակերեսի հարթագիծը

- 1—լիոփոխված հրաբխածին ապարներ, 2—սերիցիտային թերթաքարեր, 3—արոհտազգած սերիցիտային թերթաքարեր, 4—բլորիտ-սերիցիտային թերթաքարեր, 5—արսենուպիրիտի հանքանյութ, 6—լամպրոֆիրային գալաներ վարենավածքների հրկայնքով, 7—պիրիտի հանքանյութ, 8—պիրրոտինի հանքանյութ:

գիտյի հանքանյութերը: 3) պիրիտ, մի քիչ խալկոպիրիտ. կազմում է խոշոր հանքամարմիններ:

Առանձնացվում են պղինձ-մկնդեղային հանքանյութեր ոսկու խառնուրդով (հանքանյութերի գլխավոր տիպն է, պարունակում է 10% As, 2,25% Cu, 30% S, 17 գ/տ Au. 70 գ/տ Ag, քիչ Co, Bi, Se), պղնձային հանքանյութեր, հարուստ Au ու Te և պիրիտային հանքանյութեր պղնձի ցածր պարունակությամբ:

Միայն գլխավոր ոսպնյակի պաշարները կազմում են 700 հազ. տոննա As. գեոֆիզիկական անոմալիաները (բոլոր ոսպնյակները ծածկված են մորենների 10—15 մ կարողությամբ շերտով) օգնեցին հայտնաբերելու մինչև 3 տասնյակ ոսպնյակներ, որոնցից մի քանիսը բավական խոշոր են: Հանքայնացման մայր աղբյուրն անհայտ է: Հանքավայրն առաջացել է փոքր խորությամբ վրա, բարձր ջերմաստիճանային պայմաններում: Ուրալի Կոլչեղանային հանքավայրերի նման, զենետիկորեն կապված է էֆուզիվների արմատային մասերի հետ, որոնց մեջ և տեղադրված է:

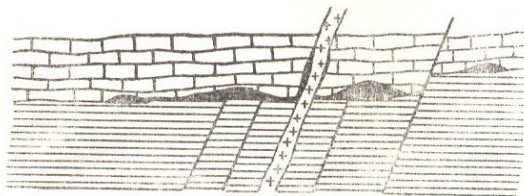
Մոսրիֆ հանքավայրը (Տաջիկական ՍՍՌ), Միջին պալեոզոյի կրաքարերը և թերթաքարերը կազմում են լայնակի անտիկլինալային ծալք և հանքավայրի մոտերքում հատված են հերցլինյան գրանոդիորիտներով, որոնց հետ կապված է հանքայնացումը:

Ըստ մեր գիտումների գլխավոր հանքամարմինները հարում են թերթաքարերի և նրանց վրա տեղադրված կրաքարերի կոնտակտին. կոնտակտի երկայնքով տեղի են ունեցել միջշերտային տեղաշարժեր, որոնք ուղեկցվել են թուլացած զոնաների առաջացումով. վերջիններս բարենպաստ պայմաններ են ստեղծել հանքաբեր լուծույթների շրջանառության համար (նկ. 62):

Ֆ. Ի. Վոլֆսոնի և Ի. Պ. Կուշնարյովի մանրամասն աշխատանքներն ասպացուցել են, որ կրաքարերի և նրանց տակ տեղադրված թերթաքարերի կոնտակտը տեկտոնական է: Կրաքարերը թերթաքարերի կոնտակտում ունեն գոլավոր կառուցվածք, մուգ և սպիտակ ենթաշերտերի ներթափառվածությամբ. կոնտակտից դեպի վեր նրանք աստիճանաբար վիթխվում են սպիտակ մասսիվ կրաքարերի:

Սպիտակ ենթաշերտերում (զուլերում) կալցիտի հատիկները

բեկորատված են և կողմնորոշված, իսկ մուգ գույներում զարգացած են քլորիտ և մազնետիտ: Կանտակտամերձ թերթաքարերում նկատվում են մանր ծալքեր, որպիսի երևույթը գլխից քեռված փաստերի հետ միասին սրոշակիորեն հաստատում է կոնտակտի տեկտոնական բնույթը, իսկ կրաքարերի զուգվորությունը պետք է դիտել որպես թերթախույթի: Հանքամարմինները ներկայացված են մետատամարիկ փոքրաթև շերտաձև կուտակներով որոնք զարգացել են կրաքարերի հաշվին և



Նկ. 62. Մասիֆ (Գագոնի-Դարվագա) հանքավայրի կառուցվածքի սխեմա

1—թերթաքարեր, 2—կրաքարեր, 3—գրանոդիրիտներ, 4—արսենոպիրիտի կուտակներ և երակներ, 5—վարենտվածքներ:

հետամտված են թերթաքարերի կոնտակտի երկայնքով 1 կմ, անկման ուղղությամբ 50—100 մ: Հանքամարմինների կարողությունը տատանվում է 1—6 մ սահմաններում:

Երկրորդական նշանակություն ունեն դառիթափ հանքամարմինները, որոնք զարգացած են կրաքարերի և գրանոդիրիտ-պորֆիրային գալիաների կոնտակտում: Ստորագիր թերթաքարերում նշվում են 1—10 սմ կարողություն ունեցող բարակ հանքային երակիկներ, որոնք ընդհուպ մոտենում են թերթաքարերի և կրաքարերի կոնտակտային զոնային անցնելով հզոր սպինյակաձև մարմինների: Այս երակիկները գիտվում են որպես հանքաքերձ կանայներ, որոնց երկայնքով (ինչպես նաև դալիաների երկայնքով) լուծույթները բարձրացել են մինչև կրաքարերի կոնտակտը և տարածվել միջշերտային տեղաշարժերի զոնայում: Լուծույթները արգելակվելով էկրանավորող թերթաքարերի փոքրից, ինտենսիվ կերպով հակազդել են կրաքարերի վրա, նստեցնելով նրանց մեջ իրենց մետաղային բևուր:

Հանքանյութի կազմը բարդ է՝ արսենոպիրիտ (տեղ-տեղ Այսլինգիտ), պիրրոտինի, խալկոպիրիտի, սֆալերիտի, բիսմութ-

տինի փոքրաքանակ կվարցի, պիրոքսենի և ախտինուրի խառնուրդով:

Հանքանյութում As պարունակությունը շատ բարձր է ($20-30\%$, լյուլինդիտային հանքանյութից կազմված որոշ տեղամասերում մինչև 50%)։ Հանքանյութերը ներկայացնում են պատրաստի կոնցենտրատներ և օգտագործվում են ձեռքի տեսակավորումից հետո:

Հանքանյութում պարունակվում է ոսկի ($10-20$ գ/տ), իսկ առանձին տեղամասերում բնորոշ է կոբալտի խառնուրդը:

Ըստ գեներալի տիպի հանքավայրը հիդրոթերմալ բարձր ջերմաստիճանային է և ներկայացնում է մետասոմատիկ առաջացում կրաքարերի մեջ:

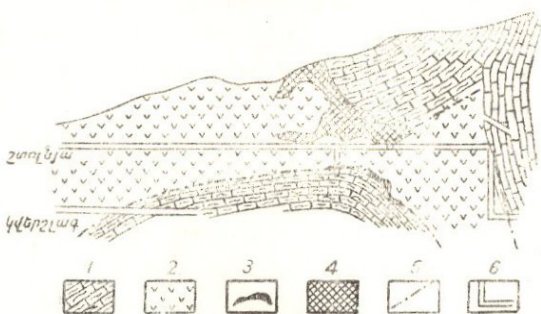
Տակելի հանքավայրը (Տաջիկական ՄՍՌ), հանքավայրի շրջանը կազմված է դևոնի և ստորին կարբոնի նըստվածքների շերտախմբից որը հատված է վաղ հերցյինյան հանքադուրի գրանոգիորիտներով: Կրաքարերի շերտախումբը և գրանոգիորիտների զանգվածները արանսգրեսիվ կերպով ծածկված են վերին պալեոզոյի հրարյան ծին—նստվածքային (պորֆիրիտներ և նրանց տուֆեր, ավազաքարեր) շերտախմբով: Այդ շերտախումբը հատված է հանքաքար գրանիտ-պորֆիրների և գիորիտային պորֆիրիտների ինտրուզիաներով, որոնք ներդրվել են պերմի և մեզոզոյի սահմանում (?):

Հանքամարմինները տեղագրված են գլխավորապես գրանոգիորիտային զանգվածներում և կրաքարերում, մասամբ վերին պալեոզոյի էֆուզիվների և ավազաքարերի հաստվածքում: Ըստ հանքամարմինների մորֆոլոգիայի առանձնացվում են՝

1) երակիկա-ցանավոր հանքանյութերի սյունաձև մարմիններ գրանոգիորիտների մեջ, որոնք դանդաղում են լայնակի և հյուսիս-արևելյան ճեղքերի հատման տեղում, ինտենսիվ բեկորատված ապարների հանգույցներում, 2) մասսիվ հանքանյութերի խողովակաձև և անկանոն մետասոմատիկ մարմիններ կրաքարերում (նկ. 63), 3) երակներ—պորֆիրիտների, տուֆերի և ավազաքարերի մեջ:

Արդյունաբերական հետաքրքրություն են ներկայացնում առաջին երկու տիպերը: Հանքասյուները և խողովակները խորությունում հետամտված են $150-200$ մ, հանքասյուների տրամագիծն է $20-25$ մ, իսկ խողովակներինը՝ $1-5$ մ: Հանքանյութերի կազմությունը բոլոր մորֆոլոգիական տիպերում

նույնն է՝ արտենոպիրիտ, խունացած հանքանյութեր (գլխավորապես տեննանտիտ), սլիբրիտ, սֆալերիտ, գալենիտ, էնարգիտ, բուլանմերիտ, քիչ հեմատիտ, երբեմն կասսիտերիտ և պրուստիտ:



Նկ. 63. Տակելի հանք. կապտարխսեա հանքավայր (մետասոմատիկ հանքակուտակների սխեմատիկ պրոեկցիան ուղղաձիգ հարթւայան վրա) (ըստ Փ. Ի. Վոլֆսոնի)

1—կրաքար-կալծքարային բրեկչիտ, 2—սուֆուրֆիրներ, 3—հանքամարմին, 4—շահագործման խորշ, 5—տեկտոնական կոնտակտներ, 6—լեռնային փոքր վածքներ:

Կոպային ապարների փոփոխությունն արտահայտված է կվարցացմամբ, սերիցիտացմամբ և քլորիտացմամբ:

Ակնհայտ է, որ հանքայնացման մորֆոլոգիական տարրերն ույթը և ինտենսիվությունը երակլիկա-ցանավոր հանքանյութերի ($As \approx 20\%$) առաջացմամբ դրանոգիոբիտներում և մասիվ հանքանյութերի ($As 10-15\%$) առաջացմամբ կրաքարերում կապված են ապարների լիթոլոգիական առանձնահատկությունների հետ: Գրանոգիոբիտներում հանքային միներալները նստել են շատ բարակ ճեղքերի երկայնքով և ծակոտիներում, իսկ մետասոմատոզն ունեցել է շատ փոքր նշանակութուն. կրաքարերում ապարն ամբողջութամբ տեղակալվել է հանքանյութով, հետևաբար մետասոմատոզի պրոցեսներն ունեցել են վճռական նշանակութուն:

Օքսիդացման զոնայում լավ են արտահայտված սկորոդիտային և անգլեզիտ-ցերուսախտային գլխարկները. հետաքրքիր է նշել, որ օքսիդացած հանքանյութերում Zn մեկուսանում է Pb-ից ու As-ից և կրաքարերի մեջ, առաջնային սուլֆիդային հանքանյութերի ելքերից բավականին հեռու, առաջացնում է հարուստ սմիտոնիտային հանքանյութերի մետամոմտիկ բները:

Ելնելով հանքանյութերի կազմութունից և կոդային ապարների փոփոխման բնույթից, հանքավայրը հիդրոթերմալ է, միջին ջերմաստիճանային:

Հանքանյութերում արդյունաբերական արժեք են ներկայացնում մկնդեզը, ինչպես նաև կապարը, ցինկը և արծաթը, որոնք ստացվում են զուգընթաց:

Ջոուլֆայի կամ Դարըի-Դադի հանքավայրը (Նախիջևիանի Ս.ՍՍՌ): Հանքավայրի շրջանում պարածված են էոցենի հասակի մերդեղներ և ավաղաքարեր, որոնք կազմում են բրախիանտիկլինալային ծալք: Հանքավայրի մոտ ինտրուզիվ ապարների ելքերը չկան, բայց որոշ հեռավորութան վրա հայտնի են պլիոցենի հասակի անդեզիտ-դացերտի լակոլիտանման մարմիններ:

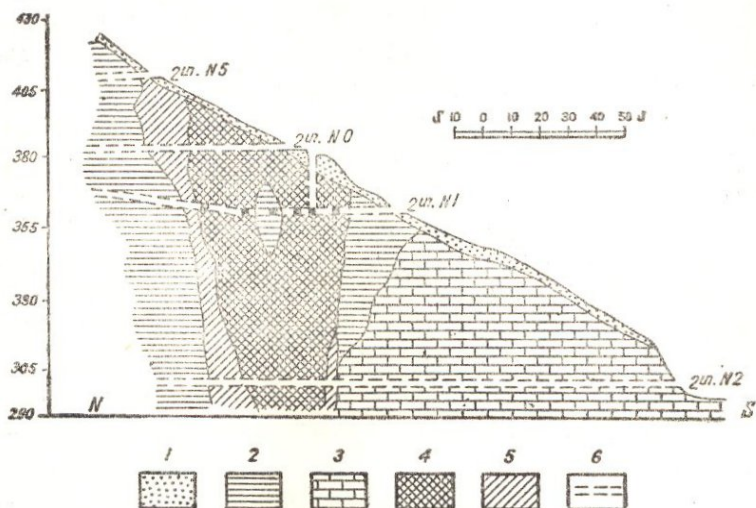
Բրախիանտիկլինալի կամարային մասը ջարդված է հյուսիս-արևմտյան տարածում ունեցող խախտման զոնայով, որի երկայնքով դասավորված են հանքամարմինները և տաք հանքային աղբյուրների ելքերը:

Ըստ տարածման խախտումը հետամտված է 2,5 կմ. բեկորատված ապարների կարողությունը կազմում է 30—40 մ: Գլխավոր հանքամարմինը ներկայացնում է մի շտակ, որը 30—45 մ կարողությունը հյուսիս-արևմտյան ուղղությամբ (խախտման երկայնքով) ձգվում է 100 մ և ըստ խորության հետամտված է ավելի քան 300 մ (նկ. 64):

Հանքանյութերի կազմը՝ կոլլոմորֆ սեալգար, աուրիպիգմենա, մկնդեզային մելնիկովիտ, մկնդեզային մարկագիտ (կիրազիտ), երբեմն աւեզնաձև արսենոպիրիտ և ստիրնիտ: Երակային միներալներից հանդիպում են խալցեդոնանման կվարց, կավային միներալներ, գիպս:

Հանքանյութում առկա են նաև մոլիբդենի ինչ-որ անհայտ միացություններ: Խախտման երկայնքով ներկայումս շրջանառություն են կատարում մկնդեզով հարուստ տաք ջրեր և անջատվում են AS գազային միացություններ:

Գենետիկորեն հանքավայրը հավանաբար կապվում է իրենից ոչ հեռու գտնվող պլիոցենի անդեզիտ-գապիտային էքստրուզիաների հետ: Հանքավայրը պատկանում է փոքր խորությունների ցածր ջերմաստիճանային հիդրոթերմալ գոյացուսների:



Նկ. 64. Զուլֆայի հանքավայրի երկայնակի կտրվածք (քառ նեշայեվի)

1—էլյուվի և գելյուվի, 2—փխրուն մերգել, 3—մերգել, 4—հանքամարմին, 5—հանքամարմնի պրոյեկցիան, 6—փորվածքներ:

Ասերիոգրաֆենտի և ուելգարի նույն տիպի խոշոր հանքավայրերը հայտնի են Թուրքիայում (Կաղզման, Ղարսի մարզում), Ռումինիայում (Բանատ), Կորսիկայում, Յապոնիայում և Չինաստանում:

ԸՆԳՀԱՆՐԱՅՈՒՄ ՄԿՆԳԵՂԻ ՎԵՐԱԲԵՐՅԱԼ ԵՎ ՈՐՈՆՄԱՆ ՆՇԱՆՆԵՐԸ

Մկնդեղը կապված է առալեյապես թթու և չափավոր թթու գրանիտոիդների, և բավականաչափ հազվագեղ հիմքային ու ալկալային ապարների հետ:

Արդյունաբերական կուտակումները հիդրոթերմալ տիպի են՝ բարձր ջերմաստիճանային (Sn, W, Bi, Co, Au հետ), միջին ջերմաստիճանային (Cu, Pb, Zn, Au հետ), ցածր ջերմաստիճանային (Hg, Sb հետ):

Մկնդեղի համաշխարհային արդյունահանման մեծ մասը բաժին է ընկնում այսպես կոչվող «գազային» մկնդեղին, որն ստացվում է պղնձի և բազմամետաղ հանքանյութերի վերամշակման հետ զուգընթաց:

Մկնդեղի բարձր ջերմաստիճանային հանքավայրերի համար բնորոշ են արսենոպիրիտի ու լյոլլինդիտի գերիշխումը և նրանց տեղագրումը գրանոգիրիտային ինտրուզիաների էնդո և էկզոկոնտակտային զոնաներում (բացառությամբ է կազմում Բուլդեհը): Միջին ջերմաստիճանային հանքավայրերը տարբերվում են նրանով, որ արսենոպիրիտի հետ մեկտեղ զգալի գեր են խաղում նաև էնարգիտը և տեննանտիտը՝ Cu, Pb և Zn սուլֆիդները, երբեմն էլ բնածին ոսկու հետ զուգակիցված: Յածր ջերմաստիճանային հանքավայրերը ռեալգար-աուրիպիզմենտային կազմություն ունեն և հաճախ սերտորեն կապված են տարազրյուրների ելքերի հետ, որոնց ջրերը հարուստ են մկնդեղով:

Մկնդեղի որոնումներին ուղղություն տալիս հարկավոր է հաշվի առնել նրա կուտակումը հիդրոթերմալ հանքավայրերի ջերմաստիճանների լայն ինտերվալում՝ բարձր ջերմության պայմաններում կասսիտերիտի, վոլֆրամիտի, շեկիտի, բիսմութինի, բնածին ոսկու, կոբալտինի հետ, միջին ջերմության պայմաններում՝ գալենիտի, սֆալերիտի, խալկոպիրիտի բնածին ոսկու, ինչպես նաև Co ու Ni արսենիդների և ուրանային խեժի հետ, իսկ ցածր ջերմության պայմաններում՝ կինովարի, ստիրնիտի, մարկազիտի հետ:

Մկնդեղի բարձր ջերմաստիճանային արսենոպիրիտային և լյոլլինդիտային հանքանյութերի որոնումների ժամանակ լայնորեն կիրառվում են էլեկտրահետախուզության մեթոդները:

Որոնումների ժամանակ, լավագույն ուղենիշներ են հանդիսանում խնձորի կանաչ սկորոգիտի (սկորոգիտային դիսարիներ), ինչպես նաև վարգազույն էրիտրինի և վառ կանաչ աննարեբգիտի ելքերը: Հաջողությամբ կարող են կիրառվել որոնման հիդրոքրիմիական մեթոդները (As որոշումը հանքային աուրյուրների ջրերում, գետնաջրերում):

Մկնդեղի միներալները դաշտային պայմաններում և անշիֆներում հեշտ են որոշվում: Արսենոպիրիտային հանքանյութերի բնորոշ հատկանիշը հանդիսանում է սխտորի հոտը, որն զգացվում է, երբ հանքանյութին հարվածում են:

Вольфсон Ф. И. и Кушнарев И. П. Некоторые особенности структур мышьяковых месторождений Мосрифской группы Зеравшано-Гиссарской горной системы. Сб. научных трудов Института цветных мет. и золота. № 19, 1947.

Демчук А. И. Геологический очерк Лухумского реальгар-аурипигментового месторождения. Зап. ВМО, вып. I, 1935.

Магакьян И. Г. Металлоносность скарновых зон Зеравшано-Гиссарской горной области. Изв. АН СССР, серия геол., № 2, 1941.

Чупилин И. И. Генетические типы мышьяковых месторождений Средней Азии. Научные итоги ТПЭ, 1936.

Gmelins Handbuch der anorganischen Chemie. 8 Aufl. System-Nummer 17—Arsen, Weinheim, 1952.

Report of Bolidens Gruv A. B. for 1943. Min. Journal № 5676, 1944.

Ծ Ա Ր Ի Ր (Sb)

ԸՆԴՀԱՆՈՒՐ ՏԵՂԵԿՈՒԹՅՈՒՆՆԵՐ

Ծարիրի միացությունները հայտնի են եղել հեռավոր անցյալում և կիրառվել են իրրև ներկեր: Ծարիրը մտնում է մի շարք համաձուլվածքների կազմության մեջ, հաղորդելով նրանց ամրություն և դյուրարեկություն: Ամենից ավելի կարևոր են կապար-ծարիրային և անաղ-ծարիրային համաձուլվածքները, որոնք օգտագործվում են սիկումուլյատորներում, առանցքակալներում, կարելների արտադրութայունում և տպագրական տառեր պատրաստելու գործում:

Ծարիրի միացությունները կիրառվում են հրակայուն գործվածքների, ներկերի, ռետինի, լուցկու, ռազմանյութերի արտադրության մեջ:

Ծարիրի համաշխարհային հետախուզված պաշարները կազմում են 4 միլիոն տոննա, որից համարյա կեսը բաժին է ընկնում Հարավ-Արևելյան Չինաստանին, գլխավորապես Պունան, Գուանսի և Յուննան մարզերի հանքավայրերին: Ծարիրով հարուստ են նաև Մեքսիկան (Սոնորա և Գերերո), Բուլիվիան և Հարավսլավիան (Կոստայնիկ-Կրուպանի):

Ծարիրի տարեկան համաշխարհային արդյունահանումը (առանց ՍՍՌՄ-ի) կազմում է 40—50 հազար տոննա, որից մոտավորապես 50⁰/₀-ը տալիս է Չինաստանը, 30⁰/₀-ը Բուլիվիան, մնացածը՝ Մեքսիկան, Ալժիրը, Հարավսլավիան, Յապոնիան և մյուս երկրները:

Ծարիրի բավականաչափ խոշոր հանքավայրեր հայտնի են և մշակվում են ՍՍՌՄ-ում (Կիրգիզական և Տաջիկական ՍՍՌ կրասնոյարսկի երկրամաս, Ամուրի մարզ):

Ծարիրի միջին պարունակությունը երկրի կեղևում կազմում է 0,00005⁰/₁₀․ բարձր կոնցենտրացիաները կապված են թթու և չափավոր թթու գրանիտոիդների հետ: Ծարիրը դուրս է բերվում մագմատիկ օջախից և նստում հիդրոթերմալ լուծույթներից ամենավերջիններից մեկը՝ հաճախ սնդիկի հետ զուգակցված․ դա բացատրվում է նրանով, որ Sb և Hg միացությունները դժվար են նստում լուծույթներից:

Ծարիրի գլխավոր և համարյա միակ հանքանյութն է ծարիրային փայլը (անտիմոնիտ) Sb_2S_3 , որը պարունակում է 71,7⁰/₁₀ Sb․ նրա օքսիդացման հաշվին առաջանում են ծարիրի օքրաններ:

Փոքր նշանակություն ունի տետրաեդրիտը $3Cu_2S \cdot Sb_2S_3$ 15—20⁰/₁₀ Sb պարունակությամբ, ծարիրի իզոմորֆ խառնուրդ պարունակող գալենիտը և Sb ու Pb սուլֆոսպերը (բուլանժերիտ և ուրիշներ):

Sb միևիմալ ընդունելի պարունակությունը հանքանյութում 1—2⁰/₁₀ է, սակայն, սովորաբար մշակվում են ավելի հարուստ հանքավայրեր Sb 5—6⁰/₁₀ միջին պարունակությամբ: Ծարիրի որոշ քանակություն ստացվում է պղնձի և բազմամետաղ հանքավայրերի մշակման զուգընթաց:

ՍԱՐԻՐԻ ՀԱՆՔԱՎԱՅՐԵՐԻ ԳԵՆԵՏԻԿ ՏԻՊԵՐԸ, ՀԱՆՔԱՅԻՆ ՖՈՐՄԱՅԻԱՆԵՐԸ, ՄԵՏԱԼՈԳԵՆԻԿ ԴԱՐԱՇՐՋԱՆՆԵՐՆ ՈՒ ՄԱՐՁԵՐԸ

Ծարիրը կուտակվում է միայն հիդրոթերմալ հանքավայրերում, ընդ որում արդյունաբերական նշանակություն ունեցող հանքավայրերը, համարյա առանց բացառության, պատկանում են ցածր ջերմաստիճանային տիպին: Ըստ հանքամարմինների մորֆոլոգիայի տարբերում են երակներ և շերտային բրեկչիացած զոնաներ ու ոսպնյակներ կայծքարացած կրաքարերում: Ըստ առաջացման պայմանների և բնորոշ հատկանիշների կարելի է առանձնացնել երկու հանքային ֆորմացիա:

1. Չափավոր խորությունների կվարց-ֆլյուորիտ-անտիմոնիտային հանքավայրերի ֆորմացիա պարզ միներալոգիական

կազմութեամբ (կվարց, ֆլյուորիտ, անտիմոնիտ, երբեմն կիրովար), Հանքանյութերն ըստ խորութեան լավ պահպանված և տեղագրված են սովորաբար նստվածքային և մետամորֆային, հազվադեպ խտրուկիվ ապարների մեջ: Այս տիպին են պատկանում հանքավայրերի հսկայական մեծամասնութունը, դրանց թվում ՍՍՌՄ-ի, Հարավային Չինաստանի, Հյուսիսային Բոլիվիայի, Մեքսիկայի, Բալիանների խոշոր հանքավայրերը:

2. Փոքր խորութունների ֆերրիտ-ջեւիտ-անտիմոնիտային հանքավայրերի ֆորմացիա՝ հաճախ երիտասարդ հրաբխային գործունեութեան շրջանների տաք հանքային աղբյուրների հետ սերտ կերպով կապված: Այս տիպի հանքանյութերն ունեն բարդ կազմութուն և, բացի առաջին տիպի համար նշված միներալներից, պարունակում են նաև վոլֆրամիտ, շելիտ, սսկու տելուրային միացութուններ և ուրիշ միներալներ: Այս տիպին են պատկանում ՍՍՌՄ-ի փոքր մասշտաբի, Յապոնիայի, Տոսկանայի (Իտալիա) հանքավայրերը, Մեքսիկայի և Բոլիվիայի հանքավայրերի մի մասը, Ատոլիա հանքավայրը Կալիֆորնիայում (ԱՄՆ):

Մետալոգենիկ դարաշրջանները և մարդերը (նկ. 65). մինչքեմբրի, ինչպես նաև ստորին և միջին պալեոզոյի հասակի ծարիրի խոշոր հանքավայրեր հայտնի չեն:

Հերցլեյան հասակին երբեմն վերագրում են ՍՍՌՄ-ի հանքավայրերի մի մասը: Ըստ հասակի կիմմերյան են հանդիսանում ՍՍՌՄ-ի հանքավայրերը, ինչպես նաև Հարավ-Արևելյան Չինաստանի հսկայական հանքավայրերը (նրանց մի մասը, երրորդական հասակ ունի):

Բազմաթիվ հանքավայրեր և նրանց թվում մի շարք խոշոր հանքավայրեր պատկանում են երրորդական մետալոգենիկ ցիկլին. դրանցից են Իտալիայի, Հարավսլավիայի, Թուրքիայի, Կովկասի, Ալժիրի, Յապոնիայի, Հարավային Չինաստանի, Մեքսիկայի, Բոլիվիայի, ԱՄՆ-ի Արևմտյան նահանգների, Պերուի, Չիլիի հանքավայրերը:

ՄԱՐԻՐԻ ՀԱՆՔԱՎԱՅՐԵՐԻ ՆԿԱՐԱԳՐՈՒԹՅՈՒՆԸ

Կազմավայրի հանքավայրը գտնվում է Կիրգիզական ՍՍՌ-ում, Ալայի լեռնաշղթայի հյուսիսային լանջին: Նա հարում է ակզիոնալ խախտմանը, որի երկայնքով տեղագրված են ծարիր-



Նկ. 65. Աշխարհի սնդիկի և ծարիրի խոշորագույն հանքավայրեր:

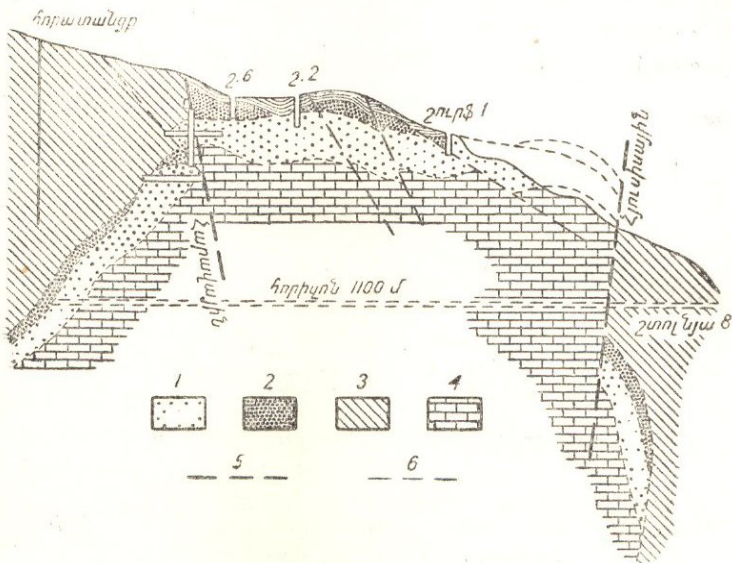
րի, սնդիկի, մկնդեղի և ֆլյուորիտի բազմաթիվ հանքավայրեր: Այդ հանքավայրերից զգալի հեռավորութեան վրա մերկանում են գրանիտի, սիենիտի և նեֆելինային սիենիտի դանդաղածներ: Այդ ապարներում սովորական ուղեկից մեներալը հանդիսանում է ֆլյուորիտը, հազվագեղ չեն նաև ստիրնիտ-ֆլյուորիտային կազմութեան բարակ երակիկները — փասսեր, որոնք խոսում են այդ ինտրուզիաների հետ ծարիր-ֆլյուորիտային հանքայնացման սերտ գենետիկ կապի մասին:

Կադամջայի հանքավայրի շրջանը կազմված է կարբոնի կրաքարերից և թերթաքարերից, որոնք առաջացրել են լայնակի անտիկլինալային ծալք՝ երկրորդ կարգի ծալքերով բարդացած և լայնակի վարնետված քններով բեկորատված: Կտրվածքի հիմքում, անտիկլինալային ծալքի միջուկում տեղադրված են վիզեյի (C_2^1 — սորիատուսային հորիզոն) կոպիտ շերտավոր կրաքարերը մինչև 400 մ կարողութեամբ: Նրանց վրա աններդաշնակ տեղադրված է միջին և վերին կարբոնի մերգելների և թերթաքարերի շերտախումբը, որի հիմքում տեղ-տեղ պահպանվել են հիմնային կոնգլոմերատներ: Այդ շերտախմբի ստորին մասերում առանձնացվում է միջին կարբոնի C_2^m (մոսկովյան հարկ) մերգելների հորիզոնը, իսկ ավելի բարձր տեղադրված են ենթազրարար վերին կարբոնի հասակին վերագրվող թերթաքարերը: Մերգելների հորիզոնը, որն ունի մինչև 80 մ կարողություն, հանդիսանում է հանքապարունակող և ծառայում է որպես հանքայնացման ստրատիգրաֆիա-լիթոլոգիական վերահսկիչ (նկ. 66): Ըստ երևույթին մերգելներն ավելի հեշտ են ենթարկվել տեղակալման, քան թերթաքարերը. այդ պատճառով առանձնապես հարուստ հանքայնացումը տեղադրված է մերգելների վերին հորիզոններում, անմիջապես էկրանավորող թերթաքարերի տակ:

Հանքամարմինը, ըստ Ա. Կ. Պոլյակովի, ներկայացնում է շերտանման կուտակ, որը միջօրեական կտրվածքում ունի լիամբի ձև և հարում է անտիկլինալային ստրուկտուրայի կամարին: Հանքանյութն իրենից ներկայացնում է «կայծքարային բրեկչիա», որի մեջ կվարցացած մերգելի բեկորները ցամենտացած են կվարցով և հանքային միներալներով: «Կայծքարային բրեկչիայի» ընդհանուր կարգությունը հասնում է մինչև 40 մ, սակայն արդյունաբերական հանքայնացումը կուտակված է վերին 10 մետրի սահմաններում, էկրանավորող թերթաքարերի

տակ, կայծքարացած մերգելների բեկորատման տեղամասերում: Հետախուզական աշխատանքներն անհրաժեշտ է կատարել կայծքարային բրեկչիայի և էկրանավորող թերթաքարերի կոնտակտում, հանքաքեր կանաչների դեր կատարող լայնակի խախտումների երկայնքով:

Տ

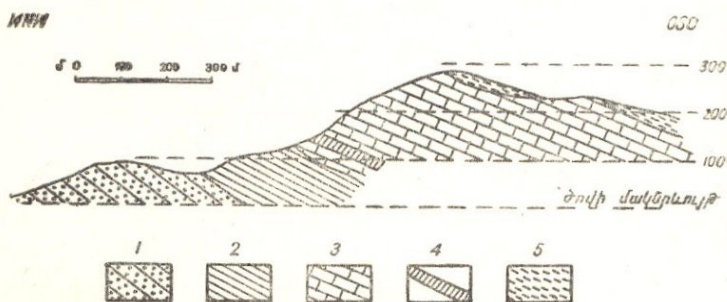


Նկ. 66. Կաղամջայի հանքավայրի բնդլայնակա կտրվածք (բստ Ա. Կ. Պոլյակովի)

- 1—հանքամարմիններ, 2—արդյունաբերական հանքանյութեր, 3—թերթաքարեր, 4—կրաքարեր, 5—հիմնական վարնետվածքներ, 6—երկրորդական վարնետվածքներ:

Հանքանյութերը ներկայացված են ստիքնիտով, պիրիտով, խունացած հանքանյութով, կվարցով, ֆլյուորիտով, բարիտով և պարունակում են սֆալերիտի և խալկոպիրիտի աննշան խառնուրդ: Հանքանյութը միջին հաշվով պարունակում է 5⁰/₁₀ Sb, քիչ Au և Ag: Հանքայնացման համար վճռական վերահսկող նշանակութուն ունեն մերգելների հորիզոնը և հանքաքեր կանաչ հանդիսացող լայնակի խախտումը: Գենետիկորեն հանքավայրը պատկանում է ցածր ջերմաստիճանային տիպին և ենթադրաբար կապված է վերին պլեոցոյի կամ կիմմերյան (?) ցիկլի գրանիտոիդների և ալկալային ապարների հետ:

Սի-Փուան-Շան. հանքավայրը գտնվում է Չինաստանում, Չանչա քաղաքից հարավ-արևմուտք, կիմմերյան ծառի-սնդիկային գոտու սահմաններում, որը ձգվում է ավելի քան 700 կմ: Պալեոզոյի (սիլուր-կարբոն) կրաքարերը, թերթաքարերը և ավազաքարերը մոտ 500 մ կարողությամբ կազմում են փոքրաթեք անտիկլինալ ուժեղ լվացված միջուկային մասով, որտեղ մերկանում են ամենաստորին շերտերը՝ սիլուրի կրաքարերից առաջացած կայծքարային բրեկչիան (նկ. 67):



Նկ. 67. Սի-Փուան լեռնաշղթայի կտրվածք (բառ Տեգենգրեկի)

1—կվարցիտ ծառիլի հանքանյութով, 2—թերթաքար և թերթավորված կրաքար, 3—հոծ կրաքար (սիլուր-կարբոն) 4—երկաթի կուտակ, 5—ածխաբեր շերտախումբ:

Հանքամարմինն ունի շերտանման կուտակի ձև ավելի քան 50 մ կարողությամբ, որի վրա տեղադրված են թերթաքարերը (էկրան): Կայծքարային բրեկչիան ներծծված և ցեմենտացած է ստիքնիտի հատիկային և ասեղնաձև բյուրեղների համատարած կուտակումներով: Առանձին տեղամասերում ծառիլային հանքայնացման վրա վերագրվում է ավելի ուշ սընդիկային հանքայնացումը կինովար և պիրիտ պարունակող կալցիտի բարակ երակիկների ձևով:

Հանքավայրը երակա-շտոկվերկային է, ստիքնիտով հարուստ 0,5—1 մ կարողություն ունեցող սպինյակներով և երակներով (Sb պարունակությունը 15—20⁰/₁₀, հանքավայրի համար Sb 6⁰/₁₀ միջին պարունակության դեպքում): Հանքայնացումը տարածված է ավելի քան 20 քառ. կմ մակերեսի վրա: Հանքանյութերի պաշարները հսկայական են՝ ավելի քան 1,5 միլիոն տոննա.

հանույթը կազմում է համաշխարհային արդյունահանման կետը: Գենետիկորեն հանքայնացումը կապում են վերին յուրայի կամ ստորին կավճի հասակի գրանիտոիդների հետ:

Վերջին տարիներս հայտնաբերված են ծարիրի խոշոր հանքավայրեր Գուլանսի (երրորդական հասակի կարմիր կավերի մեջ) և Յուննան (տրիասի նստվածքներում) մարզերում:

ԸՆԴՀԱՆՐԱՅՈՒԾ ԾԱՐԻՐԻ ՎԵՐԱԲԵՐՅԱԼ ԵՎ ՈՐՈՆՄԱՆ ՆՇԱՆՆԵՐԸ

Ծարիրն արդյունաբերական կուտակումներ է տալիս ցածր ջերմաստիճանային հիդրոթերմալ հանքավայրերում:

Ծարիրի հանքավայրերի գենետիկ կապը որոշակի կազմության հրային ապարների հետ, ծարիրի միացությունների զգալի շարժունակություն և մետաղի կուտակումների տեղեկեքմամբ (մագմատիկ օջախներից հեռացած) բնույթի պատճառով, մեծ մասամբ մնում է չապացուցված:

Հաստատվում է ծարիրի հանքավայրերի պատկանելիությունը միասնական հանքային սերիայի ավելի ուշ էտապներին և նրանց կապը խոշոր հանքային շրջանների բազամետաղ պղինձ-մոլիբդենային, ոսկու և անագ-վոլֆրամային հանքավայրերի հետ. այս հանդամանքը անուղղակի կերպով հաստատում է ծարիրի հանքայնացման գենետիկ կապը հենց այն գրանիտոիդների հետ, որոնց հետ տարածականորեն ավելի սերտ և պարզորոշ կերպով կապված են մյուս մետաղները:

Ծարիրի խոշոր հանքավայրերի համար տեղի ունի հանքայնացման վերահսկում ռեգիոնալ խախտումների կողմից, իջվածքների, (որտեղ կուտակվել են հզոր նստվածքային շերտախմբեր) եզրային մասերում: Այդ կապակցությամբ ծարիրի (և անդիլի) հանքավայրերը հաճախ կազմում են մի գծով ձգված գոտիներ, որոնց երկարությունը հասնում է հարյուրավոր կիլոմետրերի (Ալայի գոտին Կիրգիզական ՍՍՌ, Կուլեյշժոուն Հարավ-Արևելյան Չինաստան և ուրիշներ):

Ըստ առաջացման գեոլոգիական պայմանների և միներալների ասոցիացիայի առանձնացում են ծարիրի հանքավայրերի երկու տիպ՝

1. Կվարց-ֆլյուորիտ-անտիմոնիտային (երբեմն կինովարի հետ). այս տիպը պարզ կազմություն ունի, ըստ խորության լայն

պահպանված է և ղեկն տիկորեն կապված է չմերկացած ինտու-
զիվ մարմինների հետ:

2. Ֆերրերիա-շեելիա-անտիմոնիտային (սսկու և արծա-
թի տելուրիդների հետ), այս տիպը բարդ կազմութուն ունի,
բոտ խորության սովորաբար չի պահպանված և կապված է
հրաբխային գործունեության ու տաք հանքային աղբյուրների
էլքերի հետ:

Կարևոր արդյունաբերական նշանակություն ունի առանձ-
նապես առաջին տիպը, որը ներկայացված է շերտանման կու-
տակներով բրեկչիացած, կայծքարացած կրաքարերի մեջ կամ
երակներով ավազաքարերի, մետամորֆային և ավելի սակավ
հրային ապարների մեջ:

Ուղղություն տալով ծարիրի որոնումներին, հարկավոր է
նկատի ունենալ մետաղի արդյունաբերական կուտակումներ
հայտնաբերելու հնարավորությունը այնպիսի հանքային շրջան-
ներում, որտեղ արդեն հայտնաբերված են հանքավայրերի այն-
պիսի տիպեր (հատկապես բազմամետաղ, սսկու, անագ-վոլֆրա-
մային, ֆլյուորիտային, սնդիկային, մկնդեղային): որոնց հետ
ծարիրի հանքավայրերը կազմում են միասնական սերիա:

Անհրաժեշտ է հաշվի առնել ստրուկտուրային գործոնի դե-
րը, այսինքն ծարիրի հանքավայրերի հարումը բարձրացումնե-
րի և իջեցումների սահմանում գտնվող խոր խաթումների
ոեղիոնալ զոնաներին: Արդյունաբերական նշանակություն ու-
նեցող կուտակումները հաճախ հարում են բեկորատված կայծ-
քարացած կրաքարերին և տեղագրված են էկրանների (թերթա-
քարերի անթափանցելի շերտախմբերի) տակ:

Որոնման դրական ցուցանիշ է հանդիսանում ֆլյուորիտի և
կինովարի (վերջինը հաստատվում է սկզբնականում) հայտնա-
բերումը, որոնց հետ ծարիրի հանքայնացումն առանձնապես
հաճախ է զուգակցվում: Մակերեսային էլքերում որոնման ցու-
ցանիշ են ծառայում ծարիրի դեզնանարնջագույն օքրաները:

Ծարիրի որոնումների ժամանակ կիրառվում են նաև մե-
տալոմետրիկ և հիգրոքիմիական մեթոդները:

Նորագույն հրաբխականության դրսևորման մի շարք
շրջաններում ծարիրի հանքավայրերը (հաճախ սնդիկի հետ
միասին) տարածականորեն սերտ կերպով կապված են տաք
հանքային աղբյուրների նստվածքների և յուվենիլ դազերի՝
H₂S, CO₂ և այլ անջատումների հետ:

ՀԻՄՆԱԿԱՆ ԳՐԱԿԱՆՈՒԹՅՈՒՆ ԾԱՐԻՐԻ ՎԵՐԱԲԵՐՅԱԼ

Глацель. Сурьмянорудный район Си-Гуань-Шань в Китае. Горный журнал, №7, 1925.

Поляков А. К. Геологическая служба на руднике Кадамджай (Средняя Азия). Рудничная геология, 1946.

Поярков В. Э. Ртуть и сурьма. Оценка месторождений при поисках и разведках. Вып. 15, 1955.

Сажин Н. П. Сурьма. Металлургиздат, 1941.

Juan V. C. Mineral resources of China. Econ. Geol. XLI, № 4, part 2, Supplement, 1946.

Herman F. Die Antimonerzvorkommen. Zeitschr. für prakt. Geol. № 2, 1942.

Wang C. Y. Antimony, its geology, metallurgy, industrial uses and economics, 1952.

Ս Ն Դ Ի Կ (Hg)

ԸՆԴՀԱՆՈՒՐ ՏԵՂԵԿՈՒԹՅՈՒՆՆԵՐ

Գեռ 2500 տարի ն. թ. առաջ չինացիներին հայտնի են եղել սնդիկի բուժիչ հատկութիւնները և իր մեջ ոսկի ու արծաթ լուծելու ընդունակութիւնը: 210 թվականին ն. թ. առաջ պատարաստված է եղել Չինաստանի ռեյեֆային քարտեզը, որի վրա ծովերը և գետերը նկարված են եղել սնդիկով: Հայտնի է նաև, որ ն. թ. 300 տարի առաջ հույները մշակելիս են եղել Իսպանիայի սնդիկի Ալմագեն խոշոր հանքը:

ՍՍԻՄ-ի տերիտորիայում սնդիկի հնադարյան մշակումներ կատարվել են մի շարք հանքավայրերում (Յայգարկան, Նիկիտովկա և ուրիշներ):

Մնդիկի կարևորագույն տեխնիկական հատկութիւնները, որոնց վրա հիմնված է նրա կիրառումը, հանդիսանում են՝ հեղուկ վիճակը նորմալ ջերմաստիճանում, ոսկի, արծաթ, անագ, կադմիում, կապար, բիսմութ լուծելու ընդունակութիւնը, գոլորշենման վիճակում ուլտրամանրակազույն ճառագայթների արձակումը և մի քանի միացութիւնների պայթուցիկութիւնը (շառագուն սնդիկ— $\text{Hg}(\text{CNS})_2 \cdot \frac{1}{2}\text{H}_2\text{O}$):

Մնդիկը գլխավորապես կիրառվում է քիմիական արդյունաբերութիւն մեջ (սուլեմա, ներկեր, կալումել), ճայթիչների (դետոնատորներ) արտադրութիւն մեջ, էլեկտրատեխնիկայում, վերահսկիչ-չափող գործիքների մեջ և ոսկի ամալգամելու գործում: Վերջին ժամանակներս սնդիկի գոլորշիների բարձր առաձգականութիւնը սկսել են օգտագործել ջրանիվները (տուրբիններ) աշխատացնող սնդիկ-գոլորշային սարքավորումների մեջ, սնդիկի գոլորշիները խտացվում են և նորից մտցվում կաթսայի մեջ: Մնդիկային սարքավորումները տալիս են վառելանյութի մինչև

45% տնտեսում, իսկ նրանց օգտակար գործողություն գործակիցն ալկիլի բարձր է, քան դիզելային սարքավորումներինը: Մնդիկային սարքավորումներից մեկի հզորությունը կազմում է 20000 կիլովատ. նրա համար պահանջվել է 60 տոննա սնդիկ:

Մնդիկի համաշխարհային պաշարների հիմնական մասը բաժին է ընկնում Իսպանիային (համաշխարհային պաշարների 75%), հիմնականում Ալմադեն հանքին: Չգալի պաշարներ ունեն նաև Իտալիան, ԱՄՆ-ը, Չինաստանը, Կանադան, Պերուն և Մեքսիկան:

Մնդիկի համաշխարհային տարեկան հանույթը (առանց ՍՍՌՄ-ի) հասնում է մինչև 9 հազար տոննայի, բաշխվելով գլխավորապես Իսպանիայի, Իտալիայի¹, Հարավսլավիայի և ԱՄՆ-ի միջև:

* * *

Մնդիկի միջին պարունակությունը երկրի կեղևում կազմում է $5 \cdot 10^{-6}$ %: Մնդիկը ջրում չի լուծվում, բայց հեշտությամբ լուծվում է ալկալիներում, տալով $\text{HgS} \cdot n\text{Na}_2\text{S}$ ալկալի միացություններ, որի վրա և հիմնված է հիդրոթերմալ ալկալային լուծույթներով մետաղի տեղափոխման հիպոթեզը:

Փլխավոր արդյունաբերական միներալը հանդիսանում է կինովարը HgS , 86,2% Hg պարունակությամբ. խիստ երկրորդական նշանակություն ունեն մետացինգաբարիաը HgS (խորանարդ. սինգոնիա), խունացած սնդիկային հանքանյութ՝ շվաացիաը (մինչև 17% Hg), բնածին սնդիկը և լիվինգստոնիաը $\text{HgS} \cdot 2\text{Sb}_2\text{S}_3$:

Մնդիկի պարունակությունն առանձին հանքավայրերում տատանվում է լայն սահմաններում: Խոշորագույն Ալմադեն հանքավայրը տալիս է հարուստ հանքանյութեր 2—4% Hg պարունակությամբ, Իտալիայի Մոնտե-Ամիատա հանքը մշակում է մոտ 1% Hg պարունակող հանքանյութեր, ԱՄՆ-ի հանքավայրերը տալիս են աղքատ հանքանյութեր 0,1—0,2% Hg պարունակությամբ: Hg պարունակության ստորին սահմանը համարվում է 0,1%:

¹ 1952 թվականին արդյունահանված է՝ Իտալիայում 1700 տոննա, Իսպանիայում 1400 տոննա, Հարավսլավիայում 500 տոննա, ԱՄՆ-ում, 400 տոննա սնդիկ:

ՀԱՆՔԱՎԱՅՐԵՐԻ ԳԵՆԵՏԻԿ ՏԻՊԵՐԸ, ՀԱՆՔԱՅԻՆ ՖՈՐՄԱՅԻԱՆԵՐԸ,
ՄԵՏԱԼՈԳԵՆԻԿ ԴԱՐԱՇՐՋԱՆՆԵՐՆ ՈՒ ՄԱՐՁԵՐԸ

Մնդիկի արդյունաբերական կուտակումները պատկանում են հիգրոթերմալ ցածր ջերմաստիճանային տիպի հանքավայրերին, որոնք գենետիկորեն կապված են ինտրուզիվ և հրաբխային օջախների հետ:

Մնդիկի հանքավայրերի ուղղակի կապեր մադամտիկ օջախների հետ հազվագեղ կեն հաստատվում, քանի որ նրանք ստվորաբար տեղադրված են հրային ապարների ելքերից զգալի հեռավորությունների վրա: մի շարք անուղղակի նշաններով հաստատվում է սնդիկի հանքավայրերի գենետիկ կապը Հալիավոր թթու գրանոդիորիտների և նրանց ալկալային ածանցյալների հետ: Շատ գեպքերում սնդիկ-ծարիրային հանքավայրերը տարածականորեն համընկնում են հիպերբազիտների տարածման գոտիների հետ և հարում են խոր սեփոնալ խախտումների դոնաներին: Սակայն, ակնհայտ է, որ հիպերբազիտների և սնդիկի հանքավայրերի կապը հանդիսանում է միայն ստրուկտուրային: Այդ նույն սեփոնալ խախտումների երկայնքով տեղի ունի ավելի երիտասարդ գրանոդիորիտների և ալկալային ապարների ներգրում, որոնց հետ գենետիկորեն սերտ կերպով կապված է սնդիկ-ծարիրային հանքայնացումը:

Ըստ հանքամարմինների մորֆոլոգիայի առանձնացվում են՝ ա) շերտային կուտակներ (բնորոշ է ամենախոշոր հանքավայրերի համար՝ Ալմագեն, Խզրիյա, Նիկիտովկա, Սայդարկան), որոնցում կինովարը լցնում է ավազաքարերի և կրաքարերի մեջ գոյություն ունեցող դատարկությունները ու ճեղքերը և բ) երակներ ու շտովերկային զոնաներ (Մոնտե-Ամիատա, Սուլֆուր-Բէնկ և ուրիշներ):

Մնդիկի խոշոր հանքավայրերի մեծամասնությունը տեղադրված է ավազաքարերում և կվարցիտներում, որոնցում կենտրոնացած է սնդիկի համաշխարհային պաշարների 75⁰/₀-ը, պաշարների 23⁰/₀-ը բաժին է բնկնում կայծքարացած և բրեկիլացած կարբոնատային ապարներին և միայն 2⁰/₀-ը՝ թերթաքարերին ու մյուս ապարներին (В. И. Смирнов, 1947): Պարունակող ապարներն ունեն ամենատարբեր հասակ՝ սիլուրից մինչև չորրորդականը ներառյալ, բայց հանքավայրերի հասակը համարյա միշտ երիտասարդ՝ մեզո-կայնոզոյան է:

Սնդիկի հանքավայրերի գլխավոր հանքային միներալը հանդիսանում է կինովարը, որի հետ սովորաբար դուզակիցվում են ծարիրի փայլը, պիրիտը, մարկազիտը, սեպագորը, արսենուպիրիտը (ցածր ջերմաստիճանային, ասեղնաձև), ինչպես նաև խունացած հանքանյութերը, գալենիտը, սֆալերիտը խալկոպիրիտը, ոսկու տելուրիդները: Երակային միներալներից հանդիպում են կվարցը, խալցեդոնը, օպալը, կալցիտը, դոլոմիտը, բարիտը, ալունիտը, ֆլյուորիտը, ցեոլիտները, կաոլինիտը, նակրիտը:

Ըստ միներալների ասոցիացիաների, կարելի է առանձնացնել հետևյալ ֆորմացիաները՝ 1) կինովարի, սնդիկի հանքավայրերով, որոնք մշակվում են միմիայն սնդիկ ստանալու համար (Իսպանիայի, Իտալիայի, Հարավսլավիայի խոշոր հանքավայրերը, ինչպես նաև Կանադայի, ԱՄՆ-ի, Մեքսիկայի հանքավայրերը և Նիկիտովիան ՍՍՌՄ-ում), 2) անաիմոնիտ-կինովարի, այնպիսի հանքավայրերով, որտեղ բացի կինովարից զգալի կուտակումներ է տալիս ծարիրի փայլը (Չինաստանի հանքավայրերը՝ Կուեյչժոու գոտին և Սայգարկանը ՍՍՌՄ-ում), 3) սնդիկ-բազմամետաղ, (ՍՍՌՄ-ի և Կոյիֆորնիայի մանր հանքավայրերը), 4) ոսկի-սնդիկային, ոսկու տելուրիդների հետ (Չիլիի մանր հանքավայրերը), 5) սնդիկ-մկնդեղային, որտեղ կինովարի հետ դուզակիցվում են սեպագորի և աուրիպիգմենտի զգալի քանակություններ (Չուվոսյ և ուրիշներ ՍՍՌՄ-ում): Գլխավոր արդյունարերական նշանակություն ունի առաջին ֆորմացիան, բավականին նշանակալից դեր է կատարում երկրորդը, մնացած երեքը մեծ հետաքրքրություն չեն ներկայացնում:

Ըստ առաջացման գեոլոգիական պայմանների (առաջացման խորություն, մայր մագմատիկ օջախի բնույթ) բավական պարզորոշ կերպով առանձնացվում են հանքավայրերի երկու տիպ: Առաջին տիպի հանքավայրերը ձևավորվել են չափավոր խորություններում, տեղադրված են նստվածքային ապարների (ավազաքարեր, կվարցիտներ, կալքաքարացած կրաքարեր) մեջ և կապված են չմերկացած չափավոր թթու գրանիտոիդային օջախների հետ: Նման հանքավայրերի համար բնորոշ է հանքանյութերի պարզ միներալոգիական կազմությունը և հանքայնացման պահպանվելը մինչև 700 մ և սվեդի խորություններում: Այս տիպին են պատկանում Ալմադեն, Իգրիյա, Ավալա, Նիկիտովիա, Սայգարկան հանքավայրերը:

Չինաստանի, ԱՄՆ-ի և Կանադայի մի շարք հանքավայրերը երկրորդ տիպի հանքավայրերն առաջացել են փոքր խորություններում և մերձակերեասային պայմաններում, կապված են հրաբխային գործունեության և տաք հանքային աղբյուրների հետ: Այդ հանքավայրերն ունեն չորրորդական ու ժամանակակից հասակ և նրանց համար բնորոշ են՝ հանքանյութերի բարդ միներալոգիական կազմությունը, կինոյարի կոլլոիդոֆ ստրուկտուրաները և հաճախ աչքի համար աննկատ գաղտնաբյուրեղային բնույթը, հանքայնացման համեմատաբար արագ սեպտակմարումը և աղքատացումը խորքում, հանքավայրերի տեղագրումը երրորդական ու չորրորդական հասակի հրաբխածիննստվածքային ապարների և այժմ գործող, կամ մոտանցյալում ցամաքած հանքային աղբյուրներից առաջացած կրաքարային տուֆերի մեջ: Այս տիպին են պատկանում աշխարհում խոշորագույն սնդիկի հանքավայրերից մեկը՝ Մոնտե Ամիատան Իտալիայում, ինչպես նաև Սուլֆուր-Բէնկ, Մալմբոտ-Սպրինգս հանքավայրերը ԱՄՆ-ում, Նոր Զելանդիայի հանքավայրերը (Պուի-Պուի) և Կովկասի, Մեքսիկայի, Պերուի, Չիլիի, Յապոնիայի նորագույն հրաբխային գործունեության շրջաններում գտնվող մի շարք ուրիշ հանքավայրեր:

Մեծալոգենիկ դարաշրջաններն ու մարզերը: Կալեդոնյան և ավելի հին սնդիկի հանքավայրեր հայտնի չեն: Հերցինյան են հանդիսանում ՍՍՌՄ-ի մի շարք հանքավայրերը, սակայն որոշ դեպքեր այդ հանքավայրերը համարում են կիմմերյան կամ ալպիական:

Մնդիկի հանքավայրերի հսկայական մեծամասնությունն ու է կիմմերյան և ալպիական է (Իսպանիայի, Հարավ-սլավիայի, ՍՍՌՄ-ի, Չինաստանի հանքավայրերը), իսկ որոշ հանքավայրեր չորրորդական են (Մոնտե-Ամիատան Իտալիայում, Խաղաղօվկիանոսյան օղակի հանքավայրերի մեծ մասը) և նույնիսկ ժամանակակից, մեր աչքի առաջ ձևավորվող (Մալմբոտ-Սպրինգս, Սուլֆուր-Բէնկ և ուրիշներ):

Մնդիկի համար ամենաարդյունավետը հանդիսանում է Միջերկրածովային մարզը, որն ընդգրկում է Իսպանիայի, Իտալիայի, Հարավսլավիայի խոշոր հանքավայրերը, Չեխոսլովակիայի, Քուրքիայի, Ալմիրի հանքավայրերը, ինչպես նաև Նիկիտովկան և Մեծ ու Փոքր Կովկասի հանքավայրերը: Այստեղ

հենտրոնացած են սնդիկի համաշխարհային պաշարների համարյա 90⁰/₁₀-ը և նրա հանույթի 3/4-ից ավելին:

Երկրորդը, ըստ նշանակության, հանդիսանում է 10 ադադ-ով կիտանոսլան մարզը, որն ընդգրկում է ՍՍՌՄ և Յապոնիայի փոքր հանքավայրերը, Հարավ-Արևելյան Չինաստանի բավական խոշոր հանքավայրերը, Ինդոնեզիայի, Նոր Զելանդիայի, Բրիտանական Կոլումբիայի (Պինչլեյկի շրջան), ԱՄՆ-ի Արևմտյան նահանգների, Մեքսիկայի, Վենեսուելայի, Պերուի և Չիլիի հանքավայրերը:

Երրորդ սնդիկային մարզն ընդգրկում է Միջին Ասիան, Լեռնային Ալթայը և Տուվայի ԱՍՍՌ:

ՍՆԴԻԿԻ ՀԱՆՔԱՎԱՅՐՆԵՐԻ ՆԿԱՐԱԳՐՈՒԹՅՈՒՆԸ

Նիկիտովկա սնդիկի հանքավայրը նկարագրված է գլխավորապես ըստ Բ. Ս. Պանովի:

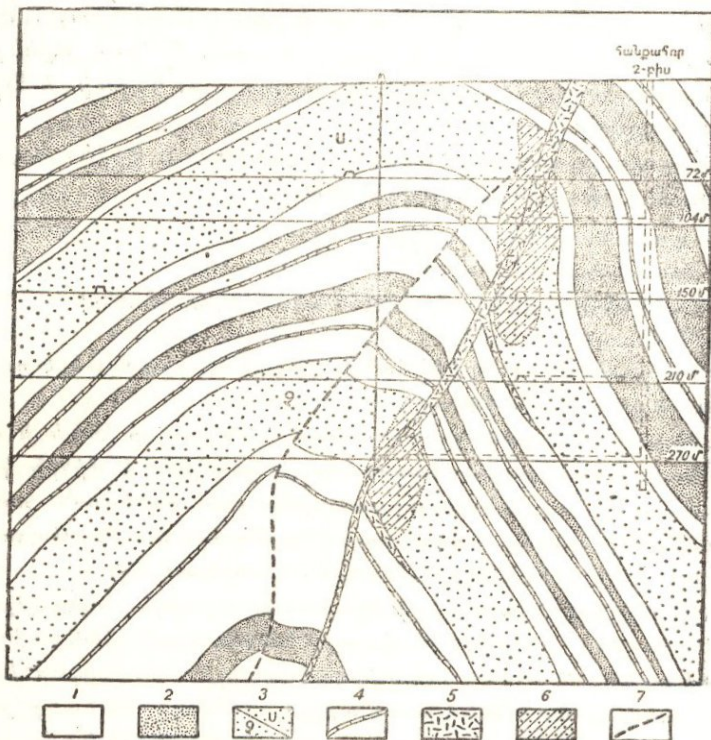
Սնդիկի հանքավայրը գտնվում է Գլխավոր Դոնեցի անտիկլինալի առանցքային մասում, որը կազմված է միջին կարբոնի (C_2^3 , C_2^4 և C_2^5 ենթաշերտախմբեր ըստ դոնեցյան համանունություն) հասակի ավազաքարերից և կավային թերթաքարերից, ածխի ու կրաքարերի աննշան ենթաշերտերով:

Անտիկլինալի առանցքը հյուսիս-արևմտյան ուղղությամբ աստիճանաբար ընկղմվում է, որի հետևանքով հանքավայրի հարավ-արևելյան մասը կազմված է ավելի հին ապարներից, քան հյուսիս-արևմտյանը: Բացի դրանից, անտիկլինալի առանցքը ենթարկվել է տեղական ընկղմումների և վեր բարձրացումների, կազմելով բրախիանտիկլինալային ծալքեր, որոնք հանքավայրում կոչվում են գմբեթներ: Շրջանում հաշվվում են 10 ավելի ալդայիսի գմբեթներ. նրանցից գլխավորները հանդիսանում են Սոֆիայինը և Չեզարնիկինը, որոնք ներկայումս մշակվում են երկու հանքահորերով և մեկ կարյերով (նկ. 68):

Անտիկլինալի առանցքային մասում, ապարների ընդհանուր հյուսիս-արևմտյան տարածմանը ներգաշնակ, անցնում է շրջանի հանքայնացումը վերահսկող, ալապես կոչվող, «հատող» հիմական տեկտոնական խախտումը: Այդ խախտումը զառիթափ ($60-80^\circ$) ընկնում է դեպի հարավ-արևմուտք և ներկայացված

է մինչև 20—30 մ կարողութուն ունեցող բեկորատված և ճմլված ապարների զոնայով:

Նրկիտովկա հանքավայրի գլխավոր հանքային միներալը հանդիսանում է կինովարը, հաճախ հանքանյութերում հանդի-



Նկ. 68. Մոֆիայի գմբեթի կտրվածք
(ըստ Ս. Գ. Ստուպակի)

1—թերթաքարեր, 2—ավազաքարեր, 3—տոֆիեյան (U) և չեղարնիկյան (Չ) ավազաքարեր, 4—կրաքարերի ենթաշերտեր, 5—ճհատող, 6—հանքայնացած տեղամասեր, 7—վարնեովածքներ:

պում է անտիմոնիտ: Սակավ տարածում ունեն պիրրիտը, արսենոպիրիտը, մարկագիտը: Անշլիֆներում հանդիպել են նաև բխամուտին, սֆալերիտ և գալենիտ: Ոչ հանքային միներալներից հաճախ հանդիպում են նալդիտ, կվարց և անկերիտ: Օքսի-

դացման զոնայում հանդիպում են մեկանտերիտ, էպսոմիտ, վալենտինիտ, սկորոդիտ, լիմոնիտ:

Ըստ Ե. Ե. Ջախարովի տվյալների, բոլոր հանքային և երակային միներալներն առաջացել են հանքայնացման հինգ ստադիայի ընթացքում: Առաջինը եղել է կվարց-արսենոպիրիտային, իսկ վերջինը՝ կիրովար-անտիմոնիտ-նալըիտային ստադիան:

Արդյունարերական հանքայնացումը հարում է ավազաքարի երկու հզոր (մինչև 50—80 մ) շերտերի, որոնք կոտրտված են ձեղքերի սերխայով: Նրանցից գլխավորներն են ընդլայնական և «առաջատար» ձեղքերը:

Ջառիթափ, հաճախ ուղղաձիգ անկում ունեցող ընդլայնական ձեղքերի հետ կապված է «երակային» հանքայնացումը: Հանքավայրում «երակներ» են անվանում բրեկչիացած ապարների զոնաները, որոնք հարում են ընդլայնական ձեղքերին և ցեմենտացած են հանքային միներալներով: Գենետիկորեն ընդլայնական ձեղքերը հանդիսանում են խզման ձեղքեր:

Շերտավորության ուղղությամբ առաջացած սահքի ձեղքերի, այսպես կոչվող, «առաջատարների», միջև տեղավորված բեկորատման զոնաներին հարում է հանքայնացման երկրորդ տիպը՝ «շերտայինը»: «Առաջատարները» ավազաքարերի հետ տեղագրված են ներդաշնակ, 0,5-ից մինչև մի քանի մետր միմյանցից հեռու և նրանք ավազաքարերի հզոր շերտախումբը կարծես թե բաժանում են մի քանի ենթաշերտախմբերի: Ավազաքարերի մեջ հանդիպում են կվարցիտներին ավելի ինտենսիվ բեկորատված ենթաշերտեր: «Առաջատարներով» սահմանափակված այդպիսի բեկորատման զոնաներին հարում է ըստ տարածման և անկման բավական պահպանված «շերտային» հանքայնացումը:

Առանձին տեղերում հանքաքար է հանդիսանում ինքը «հատողը»: «Հատող»-ի մեջ հանքանյութի առանձնապես հարուստ արդյունարերական կուտակումներ գտնված են Ձեզարնիկի գմբեթի մակերեսամերձ մասում. ներկայումս նրանք մշակվում են կարյերի միջոցով: Այստեղ կիրնովարը երակիկներին և բնանման կուտակների ձևով հանդիպում է «հատող»-ի բեկորատված նյութի մեջ:

հանքայնացումը վերահսկող գլխավոր գործոններն են ստրուկտուրայինը և լիթոլոգիականը:

Արթուրգիական գործոնի դերը կայանում է նրանում, որ հանքայնացումը հարում է միայն ջրամերժ կավային թերթաքարերով ծածկված ավազաքարերի հզոր շերտախմբերին, ինչպես նաև նրանում, որ այդ ավազաքարերում հանգիստում են ավելի ինտենսիվ բեկորատված և հանքառաջացման համար բարենպաստ կլարցիտների ենթաշերտեր:

Հիմնական հանքաքեր կանալը հանգիստանում է «հատող»-ը, հանքաբաշխիչ կանալները հանգիստանում են ընդլայնական ճեղքերը, իսկ հանք պարունակողները՝ «առաջատարներ»-ի միջև գտնվող բեկորատման զոնաները: «Հատող»-ը և ընդլայնական ճեղքերն իրենք մասամբ հանգիստանում են հանք պարունակող:

Հանքավայրում երկար ժամանակ իշխում էր այն կարծիքը, որ հանքայնացումը հարում է բացառապես գմբեթային ստրուկտուրաներին: Սակայն վերջին տարիներին կատարված հետախուզական աշխատանքները ցույց տվեցին, որ թեպետ ամենից ավելի հանքաքեր հանգիստանում են գմբեթային ստրուկտուրաները, այնուամենայնիվ արդյունաբերական հանքայնացում հանգիստում է նաև միջգմբեթային տեղամասերում՝ «հատող»-ի և դուրարեկ ավազաքարերի հզոր հորիզոնների (Սոֆիայի և Չեզարնիկի) կցորդման տեղերում:

Այնուհետև հորատումով հաստատվեց, որ հետախուզված տեղամասի սահմաններում (Յ կմ. ավելի անտիկլինալի առանցքի ուղղությամբ) հանքայնացումը հանգիստանում է, համենայն դեպս, երկհարկանի: Սոֆիայի տեղամասում 270—300 մ խորության վրա հայտնաբերված է արդյունաբերական զոնա, որը հարում է «հատող»-ի և Չեզարնիկի ավազաքարերի կցորդմանը: Ավազաքարերն այստեղ տեղադրված են Սոֆիայի հորիզոնից ավելի ցած և մակերեսում չեն մերկանում: Այս նոր տվյալները զգալիորեն ընդարձակել են հանքավայրի հեռանկարները:

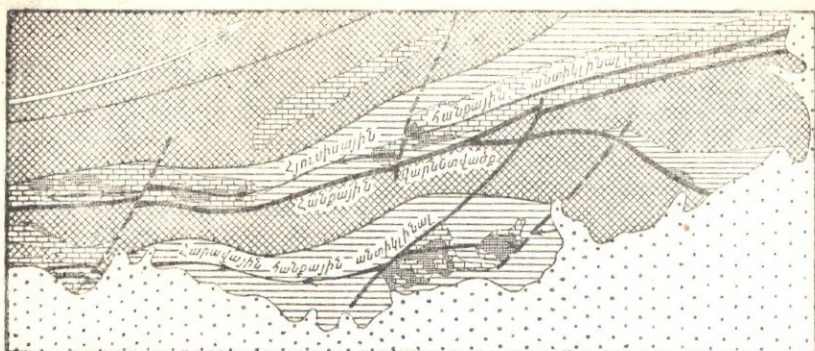
Փնեհտիկորեն հանքավայրը պատկանում է հիդրոթերմալ ցածր ջերմաստիճանային տիպին: Հանքայնացման աղբյուրը հավանաբար հանգիստացել է բարձր ակալիականությամբ օժտված հիմքային ու միջին կազմության էֆուզիվների և շերտային ինտրուզիաների մագմատիկ օջախը: Այդ ապարները, համաձայն քիմիական անալիզների, պարունակում են, կլարիկ համեմատությամբ, սնդիկի խիտ բարձր քանակություն (0,002⁰/₁₀), Նշված կազմության հրային ապարներն առանձնապես լայն տարածում

ունեն հանքավայրից 50—60 կմ հարավ. նրանց հասակը մեզո-
կայնոզոյան է:

Խ ա յ դ ա ր կ ա ն հ ա ն ք ա վ ա յ ր ք (Կիրգիզական ՍՍՌ):
Հանքավայրի շրջանի գեոլոգիական կառուցվածքում մասնակ-
ցում են երկու շերտախումբ՝ վերին սիլուրի ու ստորին գեոնի
պենտամերուսային կրաքարեր և տարբեր թերթաքարեր մինչև
1800 մ կարողութամբ և ավելի երիտասարդ՝ կարբոնի հասակի,
շերտախումբ. վերջինը ստորին մասում կազմված է վրդեի ստրիա-
տուսային կրաքարերից, իսկ ավելի բարձրում՝ մոսկովյան
հարկի C_2^m նրբաշերտ կրաքարերից և վերին կարբոնի թերթա-
քարերից մինչև 1100 մ ընդհանուր կարողութամբ: Երկու շեր-
տախումբն էլ կազմում են լայնակի անտիկլինալ, ընդորում
վերին սիլուրի—ստորին գեոնի շերտախումբը լայնակի խախ-
տումով վրաշարժվել է կարբոնի շերտախումբի վրա և նրանց կոն-
տակտում առաջացրել շփման բրեկչիտներ:

Հանքայնացումը հարում է երկու երկրորդ կարգի անտի-
կլինալային ծալքերի՝ Նյուտիսային հանքային և հարավային
հանքային, իսկ ամբողջութամբ վերցրած հանքազառք վրա-
շարժի երկայնքով ձգված է լայնակի ուղղութամբ, և ունի 15 կմ
երկարություն ու միջին հաշվով 1 կմ լայնություն (նկ. 69):
Մետաղների համարյա ամբողջ պաշարները (95%) կենտրոնա-
ցած են մոսկովյան հարկի կվարցացած և բրեկչիտացած կրաքա-
րերի մեջ, իսկ արգյունարեքական հանքայնացումը հարում է
այդ հորիզոնի վերին մասին, ունի 4—10 մ կարողություն և
էկրանավորվում է վերին կարբոնի թերթաքարերով: Կայծքա-
րային բրեկչիտայի կտորները ցեմենտացած են կվարցով, ֆլյուո-
րիտով, ստիքնիտով, տեղ-տեղ խալկոսիլիթիտի, պիրիտի, սֆալե-
րիտի, խունացած հանքանյութի խառնուրդով: Հանքայնացման
այդ էտապի վրա որոշ տեղամասերում վերադրվում է ավելի
ուշ հանքայնացում, որը ներկայացված է կինովար պարունա-
կող կալցիտի երակիկներով, երբեմն սևալգարի և աուրիպիգմեն-
տի աննշան մասնակցութամբ, ընդորում այդ ուշ էտապի
հանքանյութերը տարածականորեն երբեմն մեկուսանում են
(նկ. 70):

Հանքայնացումը շատ անհավասարաչափ է. կինովարով
(անդիկով) հարուստ տեղամասերը կազմում են մինչև 20 հազ.
մ³ ծավալ ունեցող բներ, որոնք հարում են բարենպաստ ստրուկ-
տուրաներին, թերթաքարերի կամ տեկտոնական կավերի մակե-



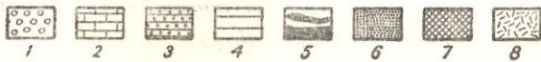
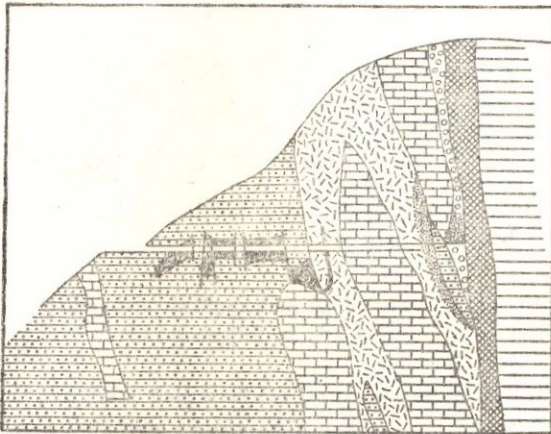
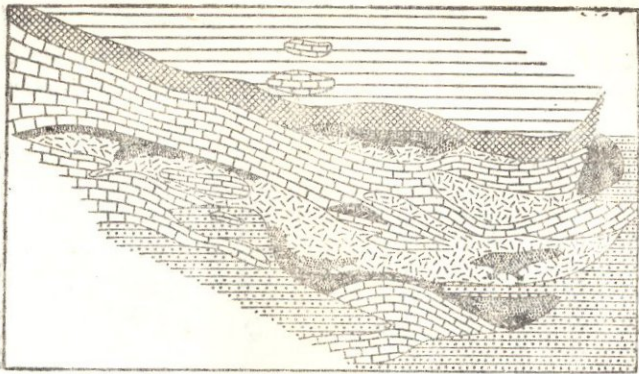
Նկ. 69. Խայդարկանի հանքադաշտի ստրուկտուրայի սխեման (ըստ Վ. Ի. Սմիրնովի)

1—ջասպերսիզներ, 2—սիլուրի-դեոնի ստորագիր ապարների կոմպլեքս, 3—ստորին և միջին կարբոնի կրաքարերի հանք պարունակող կոմպլեքս, 4—վերին պալեոգոյի թերթաքարերի հանքանյութ ծածկող (էկրանավորող) կոմպլեքս, 5—չորրորդական ապարների հեռահանքային կոմպլեքս, 6—հանքազուրկ անտիկլինալների առանցքներ, 7—հանքային անտիկլինալների առանցքներ, 8—վրաշարժեր, 9—գլխավոր հանքարեր կանալ, 10—հանքաբաշխիչ կանալներ (վերնետվածքներ, տեղաշարժեր):

րևույթի տակ գտնվող, այսպես կոչված, թակարդներին, որոնց մոտենում են հանքարեր կանալները (նկ. 71): Հանքայնացման տեղայնացման մեջ գլխավոր դերը պատկանում է C_2^m կրաքարերին, որոնք էկրանավորվում են թերթաքարերով և լայնակի, հյուսիս-արևելյան ու ավելի սակավ հյուսիս-արևմտյան տարածում ունեցող խոշոր խախտումների երկայնքով վերափոխված են հանքարեր «կայծքարային բրեկչիայի» շերտերի:

Hg միջին պարունակությունը կազմում է 0,2—0,3%, Sb-ինը՝ մոտ 2%, հանքանյութերի պաշարները հսկայական են: Գեներալիտերեն հանքավայրը ցածր ջերմաստիճանային է և ենթադրաբար կապված է գրանիտոիդների չմերկացված ինտրուզիաների հետ:

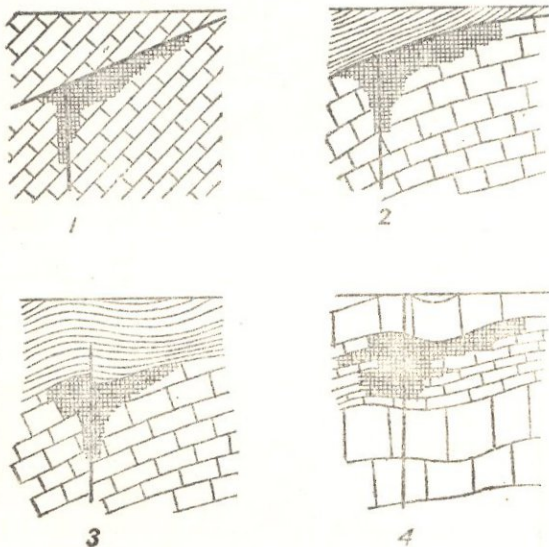
Ալմագեն: Հանքավայրը գտնվում է Իսպանիայում, Մադրիդից 150 կմ հարավ-արևմուտք. մշակվում է ավելի քան



Նկ. 70. Խայդարական հանքավայրի գեոլոգիական հարթագիծ
և կտրվածք (Մեղնայա գորա)

1—կարբոնի կոնգլոմերատներ, 2—կարբոնի կրաքարեր, 3—կարբոնի թերթաքարեր, 4—վերին սիլուրի թերթաքարեր 5—ծարիրային հանքայնացում, 6—սնդիկային հանքայնացում, 7—ճմլման զոնա գլխավոր վարնետովածքի երկայնքով, 8—մոսկովյան հարկի կրաքարերի բրեկչիա:

2000 տարի: Շրջանը կազմված է սիլուրի և գեյզանի կվարցիտներից և բիտումային թերթաքարերից, որոնք հասված են կվարց-պորֆիրների և գիտրագների դայկաներով: Հանքամարմինները շերտանման են և հարում են գլխի վրա դրված և



Նկ. 71. Հանքային թակարդների սխեմաներ (ըստ Վ. Ի. Սմիրնովի)

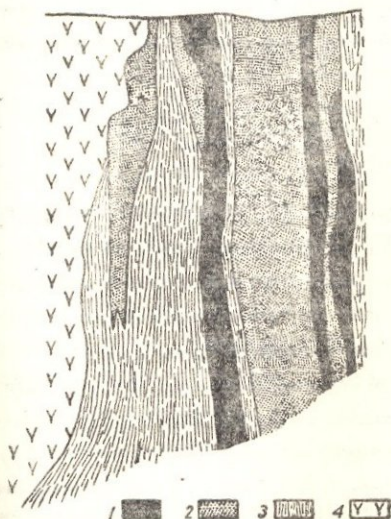
բիտումային թերթաքարերով անջատված ծակոտկեն կվարցիտների երեք շերտի (նկ. 72): Շերտերի միջին կարողությունը 10—25 մ է, երկարությունը ըստ տարածման՝ 300 մ, հանքայնացման խորությունը՝ 700 մ ավելի:

Հանքաբեր շերտերն արևելքում սահմանափակված են վրաշարժով, որը դիտվում է որպես էկրան և որի տակ կուտակվում են հանքանյութերը:

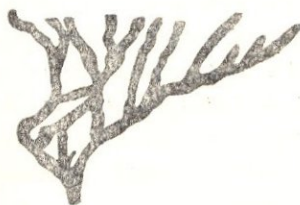
Հանքանյութերը կազմված են կինովարից, փոքր քանակությամբ պիրիտից, բարիտից, կարբոնատներից, կվարցից, բնածին սնդիկից: Հանքանյութերն մասամբ առաջացել են մետասոմատիկ կերպով սերիցիտացած կվարցիտների մեջ, մասամբ էլ լցրել են վերջինների ծակոտիները: Հանքանյութը միջին հաշվով պարունակում է 5—7% Hg, որոշ տեղերում (Սան-Պեդրո շերտ)՝ մինչև 20% Hg:

Սու աշխարհի սնդիկի խոշորագույն հանքն է, որն ապահովված է 100 տարվա պաշարներով և այժմ տարեկան տալիս է 1500—2000 տոննա սնդիկ:

Գեներալիորեն հանքավայրը ցածր ջերմատիճանային է և ենթադրարար կապված է մեզո-կալոգոյան հատակի գրանիտոսիզմների չմերկացված ինտրուզիայի հետ:



Նկ. 72. Ալմադեն սնդիկի հանքավայրի կտրվածք
1—հանքանյութ, 2—ավազաքար, 3—կվարցիտ, 4—հրային ապար:



Նկ. 73. Մոնտե-Ամխատա հանքամարմնի ձևը (ըստ Սպիրեկի)

նյութը տեղագրված է բրեկչիացած գոնաներում, որոնք հասում են բոլոր նշված ապարները, այդ թվում նաև տրախիտները և տրախիտային ագլոմերատները: Հանքայնացումը հարում է հյուսիս-հյուսիս-արևելյան տարածում ունեցող խախտմանը, տարածման ուղղությամբ ձգվում է 1,5 կմ, իսկ ըստ խորության՝ 200 մ: Այդ խախտման երկայնքով շատ անգերում գուրս են գտնուում հանքային աղբյուրներ և գիտվում է H_2S և CO_2 այնքան առատ անջատում, որ հանքանորերը պահանջում են հատուկ օգահարություն:

Ամենից արդյունավետն է Արբադիյա—Սան-Սալվադոր հանքային գոնան՝ ճյուղավոր շտովերկիով ներկայացված, որն սեպաձև կտրվում է 130 մ խորության վրա և ունի ընդհանուր արմատ (նկ. 73):

Հանքանյութերը կազմված են կինովարից, ստիրնիտից (վերջինի դերը հարավում մեծանում է), մարկագիտից, պիրիտից, որոնք հաճախ շատ մանրահատիկ և կոլլոիդոֆ են: Hg միջին պարունակությունը կազմում է 1,5—3%: Հանքավայրը տարեկան տալիս է ավելի քան 1000 տոննա սնդիկ և ունի շատ մեծ պաշարներ: Սա ցածր ջերմաստիճանային մերձմակերեսային հանքավայր է և սերտ կերպով կապված է չորրորդական հրաբխականություն հետ:

ԸՆԳՀԱՆՐԱՅՈՒՄ ՍՆԳԻԿԻ ՎԵՐԱՑԵՐՅԱԼ ԵՎ ՈՐՈՆՄԱՆ ՆՇԱՆՆԵՐԸ

Մնդիկի բոլոր արդյունաբերական կուտակումները, առանց բացառություն, հիդրոթերմալ, ցածր ջերմաստիճանային են և զենեակիորեն են թաղարար կապված են թթու ու չափավոր թթու գրանիտոիդների հետ:

Մնդիկի հանքավայրերը, հաճախ ծարիրի հետ, կազմում են սնդիկ-ծարիրային գոտիներ, որոնք հարում են հարյուրավոր կիլոմետրեր ձգվող խոր սեգիոնալ խախտումների զոնաներին (վերջինների երկայնքով հաճախ տեղադրված են հիպերբազիտներ):

Ըստ մորֆոլոգիայի տարբերում են հանքավայրերի երկու տիպ՝ ա) շերտային կուտակներ, բ) երակներ և շտոկվերկային զոնաներ:

Հանքայնացում պարունակող գլխավոր ապարներն են ավազաքարերը և կարբոնատային ապարները, որոնք բեկորատված և կվարցացած են: Շատ բնորոշ է սնդիկի գլխավոր միներալի՝ կինովարի ասոցիացիան՝ անտիմոնիտի, հազվագեղ մարկագիտի, խունացած հանքանյութերի, գալենիտի, սֆալերիտի, ոսկու տելուրիդների, սեալգարի և աուրիպիգմենտի հետ. երակային միներալներից բնորոշ են՝ կվարցը, խալցեդոնը, օպալը, կարբոնատները, բարիտը, ալունիտը, նակրիտը:

Մնդիկի հանքավայրերի մեծ մասը ներկայացնում է խոր կամ հեռու տեղադրված ինտրուզիաների հետ կապված տեկեթերմալ գոյացումներ, մյուս, առավել փոքր մասը սերտ կերպով կապված է հրաբուխների արմատային մասերի հետ և տարածականորեն ձգտում է ներկայումս գործող կամ մոտ անցյալում դադարած տաք հանքային աղբյուրների ելքերին:

Մնդիկի որոնումների ժամանակ, անհրաժեշտ է հաշվի առնել ստրուկտուրային գործոնի վճռական դերը, այսինքն նկատի

ունենալ այն հանգամանքը, որ սնդիկի հանքավայրերը (ծարիրի, ռեալգար-աուրիպիգմենտի, Ֆլյուորիտի հանքավայրերի հեամիասին) հարուստ են բարձրացումների և ճկվածքների (դեպրեսիաների) սահմանի երկայնքով տեղադրված խոր խալստուսների սեգիտնալ զոնաներին:

Սնդիկի ամենախոշոր և հարուստ կուտակումները հարուստ են բեկորատված և կալքաբարացած ավազաքարերին ու կրաքարերին, տեղադրվելով հանքարեր լուծույթներ բերող ճեղքների երկայնքով, անթափանց ապարների էկրանների տակ:

Սնդիկի որոնումների ժամանակ լավ արդյունքներ է տալիս սկզբածքային հանույթը. ընդորոստ կինովարի գետաքարերի և խոշոր հատիկների (0,5—1 մմ և ավելի մեծ) հանդիպումը ալլյուվիալի մեջ համարյա միշտ արագորեն հանգեցնում է արմատական հանքավայրերի հայտնաբերմանը: Մետալոմետրիկ աշխատանքները (սնդիկին իր հանքավայրերի շուրջը տալիս է ցրման լայն օրեոլներ) և ապարներից արհեստական սկզբածքների ուսումնասիրությունը նույնպես հանդիսանում են կինովարի որոնման հուսալի մեթոդներ:

Նորագույն հրաբխականության գրանտրոման մի շարք շերտաններում, սնդիկը ծարիրի և մկնդեղի (ռեալգար և աուրիպիգմենտ) հանքանյութերի նման, տարածականորեն սերտ կերպով կապված է տաք հանքային աղբյուրների նստվածքների և յուվենիլ գազերի (H_2S , CO_2) անջատումների հետ:

ՀԻՄՆԱԿԱՆ ԳՐԱԿԱՆՈՒԹՅՈՒՆ ՍՆԴԻԿԻ ՎԵՐԱԲԵՐՅԱԼ

Захаров Е. Е. О геологической структуре Никитовского месторождения ртутных руд в Донбассе. Изв. АН, серия геол. № 1, 1936.

Захаров Е. Е. и Королев Н. И. Структура рудного поля, минералогический состав и генезис Никитовского ртутного месторождения в Донецком бассейне. АН СССР, 1940.

Мельников С. М. Ртуть. Металлургиздат, 1951.

Поярко́в В. Э. Хайдаркан. Геология и рудоносность, АН СССР, 1937.

Поярко́в В. Э. Ртуть и сурьма. Оценка месторождений при поисках и разведках. Вып. 15, 1955.

Сауков А. А. Геохимия ртути. Труды Геол. ин-та АН СССР, вып. 78, минер. геохим. серия, 1946.

Смирнов В. И. Геологическая служба на одном из ртутных рудников. Рудничная геология, 1946.

Смирнов В. И. Геология ртутных месторождений Средней Азии. Госгеолыздат, 1947.

Шлосберг М. М. Ртутное месторождение Альмаден в Испании (реферат). Цветные металлы, № 7, 1939.

Bennet E. Almaden world's greatest mercury mine. Min. and Met., v. 19, № 493, 1948.

Dreyer R. M. The geochemistry of Quicksilver Mineralization. Econ. Geol. v. XXXV, 1940, № 1, 2.

Ebner M. Jane A. selected bibliography on quicksilver. Geol. Surv. Bull. № 1019—A, 1954.

Jonson H. The story of Quicksilver „Mines Magazine“, № 2, 1945.

Mines d'Almaden Congr. Geol. Intern. XIV Madrid, 1928.

Monte Amiata Quicksilver mines Reopened. Mine Journ. № 226, 1946 (№ 5762).

Sewell Thomas C. Spains Mining Industry to-day. Engin. and Min. Journ., may, 1942.

The Mercury Mines of Tuscany. Mine and Quarry Eng. Nov. 1947

Troege H., Ahlfeld F. Die Zinnobervorkommen in der Südlichen Toskan Z. f. prakt. Geol., 2—3, 1920.

III ԳՈՒՆԱՎՈՐ ՄԵՏԱՂՆԵՐ

Պ Ղ Ի Ն Ձ (Cu)

ԸՆԴՀԱՆՈՒՐ ՏԵՂԵԿՈՒԹՅՈՒՆՆԵՐ

Պղինձը հայտնի է եղել մարդկությանը դեռ շատ վաղ անցյալում և բայնորեն կիրառվել է մաքուր վիճակում և համաձուլվացքներում (բրոնզե դար):

Մետաղն օգտագործվում է էլեկտրատարչունարերությունների և մեքենաշինությունների, էլեկտրահաղորդման պղծերի սարքավորման ժամանակ, քիմիական արդյունաբերությունների (թորման կաթսաներ, սառնարաններ, պարույրներ, խողովակներ), նավաշինությունների մեջ, ինչպես նաև դրամահատման (համաձուլվածք Ni հետ) և տարբեր կենցաղային նպատակների համար, սնագի և ալյումինիումի (բրոնզ), ցինկի և նիկելի (մեկքիոր և նեյզիլեր), ցինկի (արույր) համաձուլվածքներում:

Պղինձի համաշխարհային տարեկան ձուլումը (առանց ՍՍՌՄ) կազմում է 2,5—2,8 միլ. տոննա: Արտասահմանյան երկրների մեջ պղինձի ամենազգալի ձուլում կատարվում է ԱՄՆ-ում, Կանադայում, Չիլիում, Բելգիական Կոնգոյում և Հյուսիսային Ռոդեզիայում, իսկ եվրոպական երկրներից՝ Հարավսլավիայում և Իսպանիայում: Չգալի քանակի պղինձ է ձուլվում ՍՍՌՄ-ում: Պղինձի համաշխարհային պաշարները գերազանցում են 100 միլ. տ., որոնցից 3/4 բաժին է ընկնում Չիլիին, Բելգիական Կոնգոյին, Հյուսիսային Ռոդեզիային և ԱՄՆ-ին: Պղինձի հանքանյութերի հետախուզված շատ խոշոր պաշարներ ունի ՍՍՌՄ:

Երկրի կեղևում Cu միջին պարունակությունը կազմում է $0,01^{\circ}/_0$: Պղինձը սերտորեն կապված է չափավոր թթու գրանիտոիդների հետ, ինչպես նաև հիմքային ապարների և շատ հազվագեղ թթու գրանիտների հետ:

Պղինձի միներալոգիան բարդ է. հայտնի են ավելի քան 150 միներալ, որոնցից կարևոր արդյունաբերական նշանակություն ունեն սուլֆիդները: Պղինձի արդյունաբերական միներալները հետևյալներն են՝

բնածին պղինձ (սուպերգեն և հիպոգեն)— Cu , (մինչև $100^{\circ}/_0 \text{Cu}$),

խալկոպիրիտ CuFeS_2 ($\text{Cu } 34,5^{\circ}/_0$),

բոռնիտ Cu_5FeS_4 ($\text{Cu } 63,3^{\circ}/_0$),

կովելլին CuS ($\text{Cu } 66,4^{\circ}/_0$),

խալկոզին Cu_2S ($\text{Cu } 79,8^{\circ}/_0$),

տեննանտիտ $3\text{Cu}_2\text{S} \cdot \text{As}_2\text{S}_3$ ($\text{Cu } 57,5^{\circ}/_0$),

տեարաէդրիտ $3\text{Cu}_2\text{S} \cdot \text{Sb}_2\text{S}_3$ ($\text{Cu } 52,3^{\circ}/_0$),

էնարգիտ $\text{Cu}_3 \text{AsS}_4$ ($\text{Cu } 48,3^{\circ}/_0$),

գոսեյկիտ Cu_3As ($\text{Cu } 71,7^{\circ}/_0$),

կուպրիտ Cu_2O ($\text{Cu } 88,8^{\circ}/_0$),

տենորիտ CuO ($\text{Cu } 79,8^{\circ}/_0$),

մալախիտ $\text{CuCO}_3 \cdot \text{Cu}(\text{OH})_2$ ($\text{Cu } 58,4^{\circ}/_0$),

ազուրիտ $2\text{CuCO}_3 \cdot \text{Cu}(\text{OH})_2$ ($\text{Cu } 55,3^{\circ}/_0$),

խրիզոկոլլա $\text{CuSiO}_3 \cdot 2\text{H}_2\text{O}$ ($\text{Cu } 36,1^{\circ}/_0$),

բրոշանտիտ $\text{CuSO}_4 \cdot 3\text{Cu}(\text{OH})_2$ ($\text{Cu } 56,2^{\circ}/_0$),

ատակամիտ $\text{CuCl}_2 \cdot 3\text{Cu}(\text{OH})_2$ ($\text{Cu } 59,5^{\circ}/_0$):

Պղինձի ձուլման համարյա $90^{\circ}/_0$ բաժին է ընկնում սուլֆիդային հանքանյութերին, մնացածը՝ բնածին պղինձին, պղինձի ջրային կարբոնատներին և ուրիշ երկրորդային միներալներին: Սուլֆիդների մեջ արդյունաբերական կարևոր նշանակություն ունի խալկոզինը, որը ցեմենտացման զոնաներում առաջացնում է երկրորդային հարստացված հանքանյութերի շատ խոշոր կուտակումներ: Որպես կանոն մշակվում են $1-2^{\circ}/_0$ և ավելի բարձր պարունակություն ունեցող Cu հանքանյութերը, սակայն շատ խոշոր ցանավոր հանքանյութերի համար մշակման ընդունելի միներալ պարունակությունն է $0,5^{\circ}/_0$:

ՀԱՆՔԱՎԱՅՐԵՐԻ ԳԵՆԵՏԻԿ ՏԻՊԵՐԸ
ԵՎ ՀԱՆՔԱՅԻՆ ՖՈՐՄԱՑԻԱՆԵՐԸ,
ՀԱՆՔԱՅԻՆ ՄԱՐԶԵՐԸ ԵՎ ԴԱՐԱՇՐՋԱՆՆԵՐԸ

Էնդոգեն պայմաններում պղինձը կուտակվում է հանքավայրերի համարյա բոլոր խմբերում (բուն մագմատիկ հանքավայրերից մինչև հիդրոթերմալ ցածր ջերմաստիճանայինը ներառյալ), ընդ որում գլխավոր արժեք են ներկայացնում միջին և մասամբ ցածր ջերմաստիճանային հանքավայրերը: Էկոգոգեն պայմաններում պղնձի արդյունաբերական կուտակումներ առջանում են հազվագեղ և պատկանում են ինֆիլտրացիոն ու նրսավածքային տիպերին¹:

1. Լիկվացիոն (և մասամբ հիդրոթերմալ) սուլֆիդ-պղինձ-նիկելային ֆորմացիայի (ընտանիքի) հանքավայրերը սերտորեն կապված են հիմքային մագմայի հետ, Հանքավայրերը մշակվում են գլխավորապես նիկելի համար, որը գտնվում է պենտլանդիտի ձևով, զուգընթացաբար արդյունահանվում են պղինձ, պլատինոիդներ և կոբալտ: Պղինձը ներկայացված է խալկոպիրիտով, Cu պարունակությունը հանքանյութում 1—2⁰/₁₀ է: Այս տիպին են պատկանում պղինձ-նիկելային սուլֆիդային հանքանյութերի խոշորագույն հանքավայրերը՝ Սյոգբերին կանադայում, Մոնչեգորսկի, Պեչենգա և Նորիլսկ հանքավայրերը ՍՍՌՄ-ում և ուրիշներ:

Պղնձի պաշարները Սյոգբերիում հասնում են 5 միլ. տ., պղինձի տարեկան ձուլումը կազմում է 150 հազ. տ.: Սա հանքավայրերի կարևորագույն տիպ է նիկելի համար, սակայն երկրորդական՝ պղնձի համար:

2. Սկառնային հանքանյութերի ֆորմացիա, պղնձահանքային տիպ: Այս տիպի հանքավայրերը կապված են չավավոր թթու գրանիտոիդների հետ և հարում են սկառնային՝ գրանատ-պիրոքսենային ապարներին, որոնք առաջացել են ինտրուզիաների և կարբոնատային շերտախմբերի կոնտակտային գոնաներում:

Գլխավոր հանքային միներալներն են՝ խալկոպիրիտը, պիրրոտինը, մագնետիտը. Cu պարունակությունը հանքանյութում

¹ Պղինձը լուծույթներից նստում է սալբոպեային աիդմի միջոցով: Որոշ բույսեր հողից կլանում են մինչև 0,65⁰/₁₀ Cu (viscaria alpina և Melandrium diocum). Cu որպես բազադրամա մտնում է ծովային բազմաթիվ անոդնաշարավոր կենդանիների արյան հեմոցիանինի մեջ:

հաճախ բարձր է ($3-10_0^0$), բայց անհաստատաբար, առանձին բներում և սսպնյակներում:

Մոշոր հանքավայրեր հայտնի են Ուրալում (Տուրյինսկի, Գումեշևսկի), ինչպես նաև ԱՄՆ-ում (Բիսբի և Մարենսի), Յապոնիայում (Յագուկա) և Մանջուրիայում (Տիենպաոշան): Այս տիպն ունի երկրորդական նշանակություն:

3. Բարձր ջերմաստիճանային պղինձ-տուրմալինային և պղինձ անագային ֆորմացիայի հիդրոթերմալ հանքավայրեր, որոնք կապված են մերձակերեսային ինտրուզիաների և հրաբուխների արմատային մասերի հետ: Բնորոշ են խալկոպիրիտը, բոտնիտը, կնարդիտը, տեննանտիտը՝ սուլբուրիտի, տեղ-տեղ էլ մոլիբդենիտի կամ կասսիտերիտի հետ զուգակցված:

Մոշոր հանքավայրեր հազվագեղ են հանդիպում: Որպես օրինակ կարող է նշվել Չիլիի 5 միլ. մ. պղնձի պաշար ունեցող Բրադեն պղինձ-մոլիբդենային հանքավայրը. ոչ մեծ հանքավայրեր հայտնի են Քապոնիայում (Ակենորե), Հայկական ՍՍՌ (Մեծ-ձոր), Նորվեգիայում (Տելեմարկեն) և Մանջուրիայում:

4. Միջին ջերմաստիճանային հիդրոթերմալ հանքավայրեր, որոնք կարևորագույն տիպ են հանդիսանում պղնձի համար: Ըստ առաջացման պայմանների և հանքայնացման բնույթի առանձնացվում են 3 ֆորմացիա՝

ա) Յանավոր և երակիկա-ցանավոր (ցրված, պորֆիրային—porphyry copper) հանքավայրերի ֆորմացիա, շավավոր թթու գրանիտոիդների հիպարիտալ շտոկների հետ կապված:

Հանքայնացումը կենտրոնացած է ինտրուզիվ շտոկների զմբեթներում և էկզոկոնտակտային ապարներում. ներկայացված է ցանոզ և սուլֆիդների՝ պիրիտի, խալկոպիրիտի, հազվագեղ բոտնիտի, խուենացած հանքանյութերի, մոլիբդենիտի բարակ երակիկներով:

Պղնձի պարունակությունը բարձր չէ, միջին հաշվով $0,8-1,0_0^0$ կամ նույնիսկ փոքր-ինչ պակաս. բնորոշ է մոլիբդենի խառնուրդ (տոկոսի հազարերորդական մասերից մինչև $0,05-0,1_0^0$): Այս տիպի որոշ հանքավայրերում առաջնային հանքանյութերն այնքան ազդատ են ($\text{Cu } 0,4-0,5_0^0$ պակաս), որ արդյունաբերական արժեք չեն ներկայացնում և գլխավորապես մշակվում են երկրորդային սուլֆիդային հարստացման զոնաները, որոնք ներկայացված են խալկոպինային հանքանյութերով $1,25-1,5_0^0$ Cu

պարունակությամբ: Այս տիպի հանքավայրերը լայն տարածում ունեն և ներկայացված են խոշոր օբյեկտներով՝ Կոռուրազը Ղազախական ՍՍՌ-ում, Ալմալիկը Ուզբեկական ՍՍՌ-ում, Քաջարանը Հայկական ՍՍՌ-ում, Սյունգյունը և Մեսքանին Իրանում, Բինհեմը ԱՄՆ-ում, Չուկիկամատան Չիլիում և ուրիշներ: Ամենախոշորը՝ դա Չուկիկամատա հանքավայրն է մոտ 25 միլ. տ պղնձի պաշարով: Ներկայումս հանքավայրերի այս տիպը հանդիսանում է պղնձի համար գլխավորը և առլիս է պղնձի համաշխարհային ձուլման 50—60⁰/₀ զուգընթացարար նաև զգալի քանակությամբ մոլիբդենային կոնցենտրատ (համաշխարհային հանույթի 1/3):

բ) Կուլչեգանային հանքավայրերի Ֆորմացիա. սերտորեն կապված է հրաբխածին-նստվածքային հաստվածքների հետ, որոնց մեջ և առաջացնում է ոսպնյակներ, կուտակներ, մասսիվ պիրիտ-խալկոպիրիտային հանքանյութի անկանոն ձևի մարմիններ (խունացած հանքանյութերի, բոռնիտի, էնարգիտի, բարիտի, սֆալերիտի, գալենիտի խառնուրդով): Մասսիվ հանքանյութերն աստիճանաբար անցնում են նույն կազմության ցանավոր հանքանյութերի:

Հանքանյութերը հարուստ են, պարունակում են 2—3⁰/₀ և ավելի Cu, հանքավայրերը հաճախ ունեն զգալի մասշտաբ, յայնորեն տարածված են և կարևորագույն դեր են կատարում:

Օբիեկտներ են հանդիսանում Ալբալի կուլչեգանային կուտակները (Գեգոյտարկա, Կարպուշիխա, Կալատա, Բլյավա, Սիբայ, Ուչալի և ուրիշներ), Հարավային Իսպանիայի Ռիո-Տինտո շրջանը, Բորը Հարավսլավիայում, Էրգանի-Մագենը Թուրքիայում, Ալավերդին և Շամլուզը Հայկական ՍՍՌ-ում, Յասլոնիայի, ԱՄՆ-ի, Կանադայի և ուրիշ կուլչեգանային հանքավայրեր: Հանքավայրերը գենետիկորեն կապված են մերձմակերեսային ինտրուզիաների և այն էֆուզիվ հաստվածքների արմատային մասերի հետ, որոնց մեջ նրանք տեղադրված են:

գ) Պղնձի հարուստ սուլֆիդային հանքանյութերի երակային հանքավայրեր, որոնց մեջ կարելի է առանձնացնել պիրիտ-խալկոպիրիտային հանքավայրերի (Ղափան Հայկական ՍՍՌ-ում) և էնարգիտային երակների (Բյուտա ԱՄՆ-ում) Ֆորմացիա: Հանքանյութերը պարունակում են 3—5⁰/₀ Cu, հանքավայրերն ունեն զգալի մասշտաբ, սակայն այս տիպը հազվագեղ է և նրա դերը պղնձի ընդհանուր ձուլման մեջ մեծ չէ:

5. Յաճը ջերմաստիճանային հիգրոթերմալ հանքավայրեր, որոնք ենթադրաբար կապված են խոր տեղադրված ինտրուզիաների հետ: Առանձնացնում են երկու ֆորմացիա՝

ա) Շերտավոր պղնձային ավազաքարերի ֆորմացիա, պղնձի սուլֆիդներով (խալկոզին, բոռնիտ, խալկոսիիրիտ), որոնք տեղակալում են ավազաքարերի ցեմենտը (Ջեզկազգասը, Բեյգիա-կան Կոնգոյի և հյուսիսային Ռոզեզիայի հանքավայրերը): սրանք շատ խոշոր հանքավայրեր են, յուրաքանչյուրն ունի մի քանի միլիոն տոննա պղնձի պաշարներ:

Հանքանյութերը հարուստ են, Cu պարունակությամբ նրանց մեջ կազմում է 2—3⁰/₁₀: Հանքավայրերի այս տիպը կարևոր է և նրան բաժին են բնկնում պղնձի համաշխարհային ձուլման 20—25⁰/₁₀ և պաշարների զգալի մասը:

Այս հանքավայրերի առաջացման պայմանների վերաբերյալ ընդհանուր կարծիք չկա: Հետազոտողների մեծ մասը գրանք համարում է հիպոգեն, ցածր ջերմաստիճանային, սակայն ուրիշները այդ հանքավայրերը գիտում են որպես ինֆիլտրացիոն կամ նստվածքային:

բ) Բնածին պղնձի ֆորմացիա ցեոլիտներով, հանքավայրերը տեղադրված են կոնգլոմերատների (ազլոմերատների) և հիմքային էֆուզիվների մեջ: Այս տիպի խոշոր հանքավայր է հանդիսանում Միչիգան նահանգի (ԱՄՆ) Վերին լճի հանքավայրը: Հանքանյութը պարունակում է մոտ 1⁰/₁₀ Cu և Ag-ի խառնուրդ (բնածին արծաթի ձևով):

6. Պղնձային ավազաքարերի ինֆիլտրացիոն հանքավայրեր, հանքանյութերը կազմված են պղնձի ջրային կարբոնատներից, խրիզոկոլլայից, բնածին պղնձից և խալկոզինից: Այս միներալները տեղակալում են ավազաքարերի կարբոնատային ցեմենտը և հատկապես բրածո ու բիտումային բուսական մնացորդները:

Հանքավայրերի մասշտաբը մեծ չէ՝ գրանք մեկուսացած ոսպնյակներ ու բներ են պղնձի անհավասարաչափ պարունակությամբ (1—5⁰/₁₀): Այս տիպի հանքավայրերի օրինակ կարող են ծառայել Մերձուրալյան հանքավայրերը, Բոլիվիայի մի քանի հանքավայրեր և Նաուկատը միջին Ասիայում: Նշված հանքավայրերն ունեն արդյունաբերական չնչին նշանակություն:

7. Նստվածքային գենեզիսի պղնձային թերթա-

քարերի ֆորմացիա: Այս տիպին պատկանում է Մանրա-
ֆելզ հանքավայրը Գերմանիայում: Թերթաքարերը ներծծված
են պղնձի սուլֆիդներով (բոունիտ, խալկոզին, խալկոպիրիտ),
որոնք զբաղված են ապարում մանրագույն անջատումների ձևով:
Հանքանյութերը հարուստ են և պարունակում են մոտ 3⁰/₁₀ Cu,
քիչ Zn, Pb, Ag, Mo:

Հանքավայրն առաջացել է ծծմբաջրածնային ֆացիայի
պայմաններում անաէրոբ բակտերիաների ախտով մասնակցու-
թյամբ: Այս տիպի հանքավայրերը արդյունաբերական մեծ
նշանակություն չունեն¹:

Վերջին ժամանակներս որոշ գետլոգներ (Վ. Ս. Դոմարե և
ուրիշներ) նստվածքային տիպին են դասում շերտավոր պղնձային
ավազաքարերի շատ խոշոր հանքավայրերը (Ջեզկազգան, Բելգիա-
կան Կոնգոյի Կատանգա շրջանի և Հյուսիսային Ռոսիայի հան-
քավայրեր):

Պղնձահանքային մարդերը և պարաշրջանները
(նկ. 74): Կարելի է առանձնացնել պղնձով արտակարգ հարուստ
տարրեր հասակի մի քանի մարդեր:

1) Մինչքեմբրյան մարդեր՝ Բելգիական Կոնգոն և
Հյուսիսային Ռոսիայի պղնձային ավազաքարերի տիպի հանքա-
վայրերով, Վերին լճի շրջանը ցեոլիտների հետ զուգակցված
բնածին պղնձի հանքավայրերով, Սյոդբերգի շրջանը սուլֆիդային
պղնձ նիկելային հանքավայրերով: Պղնձի համաշխարհային ձուլ-
ման 1/4 բաժին է ընկնում այս մարդերին:

2) Պարեոգոյան (միջին և վերին) մարդեր՝ Ուրալը
կոլչեգանային և սիտոնային հանքավայրերով, Ղազախա-
կան և Ուզբեկական ՍՍՌ պղնձի ցանավոր հանքանյութերի խո-
շոր հանքավայրերով և Ջեզկազգանի պղնձային ավազաքարերի
տիպի շատ խոշոր հանքավայրով: Այս մարդերը ՍՍՌ-ի համար
շատ կարևոր դեր են խաղում. այստեղ կենտրոնացած է պղնձի
համաշխարհային պաշարների զգալի մասը:

3) Մեզո-կայնոգոյան մարդեր (հանքավայրերն ունեն
երրորդական և մասամբ կավճի հասակ)՝ Միջերկրածովային մարդ-
որի կոլչեգանային խոշոր հանքավայրերը գտնվում են Բալկան-

¹ Պղնձի նստվածքային հանքավայրեր հայտնաբերված են Միչիգան
նահանգում, ուշ կյուոտինյան հասակի թերթաքարերի մեջ, ինչպես նաև Զի-
նաստանի Սիչուան մարզում, պերմի և տրիասի թերթաքարերում:

ներում, Թուրքիայում, Կիպրոս կղզում, Անդրկովկասում, Համ-
բադիային Իսպանիայում (?), իսկ ցանափոր պղնձային հանքա-
փայրերը Հայկական ՄՍՌ-ում:

Խաղաղօվկիանոսյան մի շարք մարզեր՝ պղինձ-մոլիբդենա-
յին ցանափոր հանքանյութերի խոշոր հանքավայրերով, պղնձի
երակային և կոլչեզանային հանքավայրերով Կանադայում, ԱՄՆ-ի
Արևմտյան նահանգներում, Մեքսիկայում, Պերուում և Չիլիում,
ինչպես նաև կոլչեզանային հանքավայրերով՝ Յապոնիայում և
Ֆիլիպիններում:

Մեղո-կայնոզոյան, գլխավորապես Խաղաղօվկիանոսյան
մարզերին բաժին է ընկնում պղնձի համաշխարհային ձուլման
համարյա 3/4:

Անհրաժեշտ է նշել, որ պղնձով հարուստ մարզերը դասա-
փորված են մետալոգենիկ գոտիների ներքին գոնաներում,
հիմքային և չափավոր թթու մագմատիկ ապառների զարգաց-
ման շրջաններում:

ՄՍՌ-ի պղնձահանքային գլխավոր շրջանները.

1) Ուրալը համարյա իր ամբողջ երկարությամբ. Ուրալի
արևելյան լանջում ավելի քան 600 կմ երկարությամբ ունեցող մի-
ջօրեական գոտում հայտնի են միջին պալեոզոյի հրաբխածին-
նստվածքային հաստվածքում տեղադրված տասնյակ խոշոր կոլ-
չեզանային և մի քանի սկառնային հանքավայրեր:

2) Ղազախսկան ՄՍՌ՝ Կոունրադ և Բոչչե-կուլ ցանափոր
հանքանյութերի և Ջեզկազգանի պղնձային ավազաքարերի հանքա-
վայրերով:

3) Ուզբեկական ՄՍՌ՝ Ալմալիկի ցանափոր հանքանյութերի
հանքավայրով:

4) Հայկական ՄՍՌ՝ ցանափոր և երակիկա-ցանափոր պղնձ-
ային հանքանյութերի (Կաջարան, Ագարակ և ուրիշներ), երա-
կային (Ղափան) և կոլչեզանային (Ալավերդի, Շամլուղ) հանքա-
վայրերով:

Բացի այս 4 գլխավոր շրջաններից, պղնձի հանքավայրեր
կան Ալթայում (ՔԵ և ՀՈ հետ զուգակցված), Մինոասինսկի հով-
տում (սկառնային հանքավայրեր), Կոլա թերակղզում, Արևմտյան
Մերձուրալում (ինֆիլտրացիոն հանքավայրեր), Կոլիմայի վահա-
նի սահմաններում, Վրացական և Ադրբեջանական ՄՍՌ (կոլչե-
զանային և երակային հանքավայրեր):

Որպես պղնձային հանքավայրերի տիպիկ օրինակներ նը-

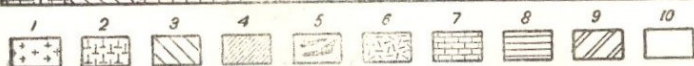
կարագրված են Հյուսիսային Ուրալի Տուրյինսկի սկառնային հանքավայրերը, Չիլիի Բրազիլի բարձր ջերմաստիճանային հիդրոթերմալ պղինձ-տուրմալինային հանքավայրը, Կոուլրադի (ցանալոր հանքանյութեր) միջին ջերմաստիճանային հանքավայրը, Հարավսլավիայի Բոր և Ուրալի կոլչեդանային հանքավայրերը, Ղափանի (Հայկական ՍՍՌ) և Բյուտտ (ՍՄՆ) երակային հանքավայրերը, Ջեդկադգանի (Ղազախստանի ՍՍՌ), Բեյգիական Կոնգոյի և Հյուսիսային Ռոդեզիայի պղնձային ավազաքարերի, ինչպես նաև Վերին լճի պղինձ-ցեոլիտային և Մանսֆելդի (Գերմանիա) նստվածքային հանքավայրերը:

ՊՂՆՁԻ ՀԱՆՔԱՎԱՅՐԵՐԻ ՆԿԱՐԱԳՐՈՒԹՅՈՒՆԸ

Տուրյինսկի հանքերը: Հանքավայրը գտնվում է Հյուսիսային Ուրալում, Սերով քաղաքից դեպի Հյուսիս արևմուտք, Տուրյա գետի ավազանում: Հանքերը շահագործվում են 1758 թվականից: Հանքավայրերը տեղագրված են միջօրեականի ուղղությամբ սինկլինալի արևելյան փոքրաթեք թևում, որը կազմված է վերին սիլուրից մինչև միջին դեոնի հասակի շերտախմբից (նկ. 7ձ): Ծերտախմբի ստորին մասերում զարգացած են վերին սիլուրի սպիլիտները և դիաբազները, ավելի վեր՝ միջին դեոնի պեգմալիտ և շերտավոր կրաքարերը, որոնք ծածկված են շերտավոր կրաքարային տուֆիտներով և եղջրախարային պորֆիրիտներով: Այս ամբողջ շերտախումբը հատված է հերցինյան հասակի գրանոզիորիտներով և նրանց հետ կապված գիորիտային պորֆիրիտների գալիաներով:

Հանքայնացած սկառների գլխավոր հորիզոնը տեղագրված է կտրվածքի վերևում, տուֆիտների տակ: Սկառները հարում են կրաքարերի և գրանոզիորիտների կոնտակտներին, վարնետվածքների ճեղքերին, ինչպես նաև կրաքարերի և տուֆերի ու տուֆիտների կոնտակտներին: Հանքամարմիններն ունեն գառնիթալի և փոքրաթեք շերտանման կուտակների ձև. սղնձի հանքանյութերի բները հարում են սկառների և ավելի ուշ առաջացած լայնակի ճեղքերի հատման տեղերին և զարգանում են պիրոքսենային սկառների տեղակալման հաշվին:

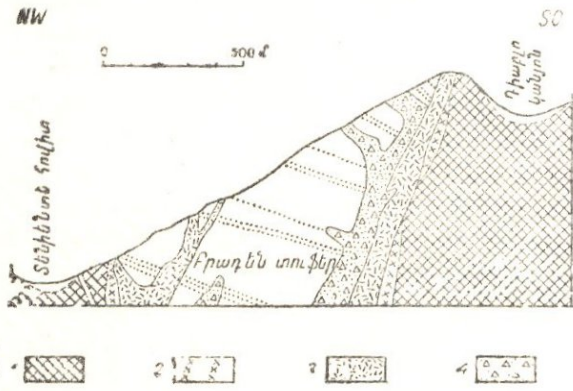
Ըստ Գ. Ս. Կորժինսկու, հանքայնացումը զարգացել է երեք հաջորդական ստադիաներում՝ 1) պիրոքսեն-գրանատային սկառների մագնետիտի, էպիդոտի, ալտինոլիտի հետ և սուլֆիդների աննշան խառնուրդով, 2) կվարց-մոլիբդենային երակիկներ, 3)



Նկ. 75. Տուրյինսկի շրջանի հանքերի գեոլոգիական քարտեզ (քառ Ֆյոդորովի, Նիկիտինի և Ստրատանովիչի)
 1—զրանիտ և կվարցային զիորիտ, 2—գաբրրո, 3—անդեզինոֆիրներ, 4—դիարագ, 5—ավզիտ—զրանատային ապարներ, 6—հրաբխային տուֆեր, 7—կրաքարեր, 8—դևոնի թերթաքարեր և ավազաքարեր, 9—երրորդական նստվածքներ, 10—ժամանակակից գետային նստվածքներ:

պղնձի հանքանյութերի բներ, հետևյալ կազմով՝ կվարց, կալցիտ, սիգերիտ, բարիտ, խալկոպիրիտ, պիրիտ, պիրրոտին, տետրաէդրիտ, սֆալերիտ, նաև գալենիտի, արսենոպիրիտի, լյուլինգիտի, մոլիբդենիտի, կորալտ-պարունակող պիրիտի, լիննեիտի, կորալտինի և բնածին բիսմութի փոքր խառնուրդով: Ամենաարժեքավոր ստադիան հանդիսանում է երրորդը, որի ընթացքում առաջացել են պղնձի հարուստ հանքանյութեր $3-12\%$ Cu պարունակութեամբ: Հանքավայրում լավ են արտահայտված օքսիդացման և երկրորդային սուլֆիդային հարստացման դոնաները, վերջինը հասնում է մինչև 200 մ խորությունը: Ըստ գեոլոգիական պայմանների հանքավայրը պատկանում է սկառնային (կոնտակտ-մետասոմատիկ) տիպին, սակայն արդյունաբերական պղնձահանքային ստադիան տեղի է ունեցել հիդրոթերմալ, գրելավորապես միջին ջերմութեան պայմաններում:

Բրազեն հանքավայրը գտնվում է Չիլիյում, Սանտ-Յագոյից դեպի արևելք: Ըստ Վ. Լինդգրենի և Բաստինի, հանքանյութը տեղադրված է հրաբխային խառնարանի ներսում և նրա շուրջը. հրաբխի երակսը կանալի գեր է կատարել հանքաբեր ֆլուիդների վերելքի համար (նկ. 76):



Նկ. 76. Չիլիի Բրազեն խառնարանի կտրվածք (բստ Լինդգրենի և Բաստինի)

- 1—անդեզիտ-պորֆիր, 2—անդեզիտ-պորֆիրի բրեկչիա,
- 3—տենիկնատ բրեկչիա, 4—գրանիտ-պորֆիրի բրեկչիա:

Երրորդական էֆուզիվները ձեղքված են անդեզիտով-ժայթքումների հետևանքով առաջացել է մի հրաբխային երակս, որը լցված է պղնձի աղքատ հանքայնացում (սովորաբար

0,5—1⁰/₀ Cu) պարունակող բեկորատված նյութով: Այնուհետև
դացիտը, յատիտ-պորֆիրը և «տենիկենտո» բրեկչիան ձեղքել են
հրաբխային խցանը և այդ ժամանակ առաջացել են տուրմալի-
նացված բրեկչիաների զոնաներ: Ֆլյուիդները հետագա հոսքը
նստեցրել է բոտոլիտ, կրկին անգամ պիրիտ և խալկոպիրիտ, ինչ-
պես նաև տեննանտիտ, էնարգիտ, գալենիտ, սֆալերիտ, մուլիբ-
դենիտ, հյուերներիտ, վերջին ստադիայում նստել են բարիտը,
կվարցը, գիպսի բյուրեղները և քիչ քանակով սուլֆիդներ:

Հանքանյութերում արգյունաբերական նշանակութուն
ունեն պղինձը և գուգրնթաց ստացվող մուլիբդենը:

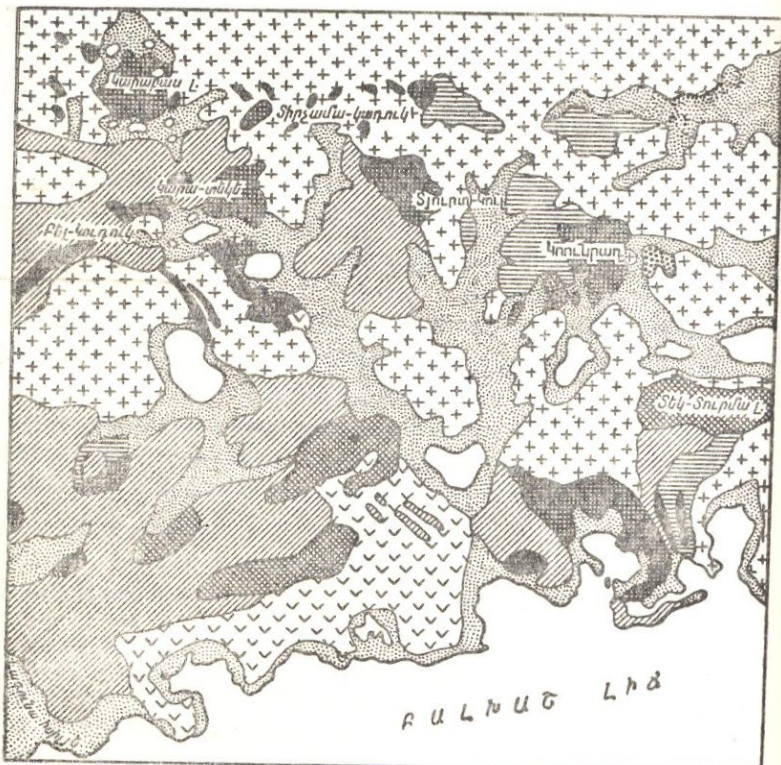
Cu միջին պարունակութունը կազմում է 2,18⁰/₀, պաշար-
ները՝ մինչև 5 միլ. տ:

Հանքավայրը պատկանում է փոքր խորության վրա ձևա-
վորված պնեմատոլիտա-հիդրոթերմալ, բարձր ջերմաստիճանա-
յին տիպին:

Կոռւնրադի հանքավայրը գտնվում է Բախաշ լճի
տոափնյա մասից դեպի հյուսիս: Ըստ Ն. Ի. Նակոջնիկի շրջանը,
կազմված է հերցիդյան ցիկլի գրանոդիորիտներով ու գրանիտ-
ներով որոնք հասում են սիլուրի և դեոնի էֆուզիվ-նստված-
քային հաստվածքները (նկ. 77): Սիլուրի և դեոնի ապարները
գրանիտոիդների կոնտակտային օրենում վեր են ածվել անդա-
լուզիա պարունակող կվարցիտներին:

Կոռւնրադ լեռան վրա, գրանոդիորիտ-պորֆիրի շտոկի վե-
րին մասը վերափոխվել է կվարցային երակիկներով ներթա-
փանցված սերիցիտային կվարցիտներին: Երակիկներին մի մասը
պարունակում է մագնետիտ, ուտիլ, տուրմալին, մյուս մասը՝
խալկոպիրիտ և պիրիտ: Էկզոկոնտակտում էֆուզիվ-նստված-
քային հաստվածքի հաշվին առաջացել են սերիցիտ-անդալուզի-
տային կվարցիտներ (մինչև 50—80⁰/₀ անդալուզիտ, քիչ կորուսող,
տոպազ, բարիտ, ալունիտ). կվարցի երակիկներն այստեղ բացա-
կայում են:

Պղնձի հանքանյացումը կենտրոնացված է սերիցիտային
կվարցիտներում, գրանոդիորիտ-պորֆիրի շտոկի վերին մասում,
ընդ որում ազատ առաջնային հանքանյութերը (Cu մինչև
0,4⁰/₀) 300—400 մ խորության վրա փոխվում են կվարց-սուլֆի-
դային երակիկներից զուրկ թարմ գրանոդիորիտ-պորֆիրներին:
Առաջնային հանքանյութերի գլխավոր հանքային միներալներն
են պիրիտը և խալկոպիրիտը, հազվագեղ հանդիպում են տեն-



Նկ. 77. Կոուկրաղ հանավայրի գեոլոգիական քարտեզ (ըստ Մ. Պ. Մուսակալի)

1—զրանիտներ, սիենիտներ, մոնցոնիտներ, 2—մոնցոնիտ-պորֆիրներ, 3—զրանիտներ, պորֆիրներ, միկրո-զրանիտներ, ապլիտներ, 4—էֆուզիվ պորֆիրներ և նրանց բրեկչիտներ, 5—էքստրուզիվ պորֆիրներ և նրանց բրեկչիտներ, 6—ավազաքարեր, թերթաքարեր, վերին գևոնի կոնգլոմերատներ, 7—երկրորդային կլարցիտներ, պղնձի պորֆիրային հանքանյութեր, 8—հին բալխաշյան լճային նըստվածքներ, 9—ժամանակակից նստվածքներ:

նանտիտ և մոլիբդենիտ: Արդյունաբերական հանքանյութերն առաջացել են օքսիդացման և երկրորդային հարստացման պրոցեսների շնորհիվ:

Հանքավայրի կտրվածքը վերից վար ներկայացված է հետևյալ գոնաներով (նկ. 78)՝

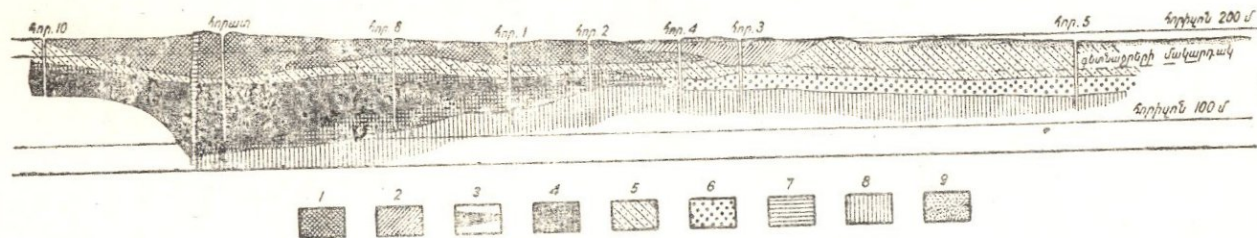
ա) Օքսիդացած հանքանյութերի գոնա՝ 2—50 մ, միջին հաշվով 20 մ կարողություն: Գլխավոր միներալներն են՝ լիմոնիտ, մալախիտ, ազուրիտ, խրիզոկոլլա, կուպրիտ, բնածին պղինձ, խալկոզին:

բ) Տարավացված հանքանյութերի գոնա (կամ ենթադրյալ)՝ 30 մ միջին կարողություն:

գ) Խալկոզինային գոնա՝ 110 մ միջին կարողություն. հանդիսանում է հանքավայրի գլխավոր արդյունաբերական գոնան: Հանքանյութերի կազմը՝ առաջնային սուլֆիդները հաշվին առաջացած և մասամբ էլ ապարների ծակոտիներում ու ճեղքիկներում նստած խալկոզին, կոլկլին ու բոնիտ:

դ) Առաջնային հանքանյութեր պղինձի ցածր պարունակությամբ (մինչև 0,4⁰/₁₀):

Հարց է ծագում, թե ինչպե՞ս առաջնային աղքատ հանքանյութերի հաշվին կարող էին առաջանալ արդյունաբերական և համեմատաբար հարուստ օքսիդային ու խալկոզինային հանքանյութերի գոնաներ: Ս. Ս. Սմիրնովն առաջարկում է այսպիսի բացատրություն: Առաջնային հանքանյութերի օքսիդացման պրոցեսում, թույլ բլրային սելենի բարենպաստ պայմաններում, առաջացել են աղքատ օքսիդային և համեմատաբար հարուստ խալկոզինային հանքանյութերի հզոր գոնաներ: Այնուհետև տեղանքը ենթարկվել է խիստ բարձրացման, որն ուղեկցվել է աղքատ օքսիդային հանքանյութերի (և խալկոզինային հանքանյութերի մի մասի) էրոզիայով և գետնաջրերի մակերևութի լիցեցումով: Այժմ պատկերացնենք, որ տեղանքի բարձրացումը դանդաղել, կամ ընդհատվել է. այդ ժամանակ օքսիդանում են օքսիդացման գոնայի պայմաններն ընկած խալկոզինային հանքանյութերը և առաջնային հանքանյութերի վերին մասը: Խալկոզինային հանքանյութերի հաշվին առաջանում է օքսիդացած հանքանյութերի հարուստ գոնա (այն գոնան, որը ներկայումս մենք տեսնում ենք Կոունբադում), իսկ առաջնային հանքանյութերի գոնայից պղինձի ալիլի խոր հորիզոններն տեղափոխվելու հետևանքով (պղինձն այստեղ շարժուն է, քանի որ պիրիտի



Նկ. 78. Կաուերազ հանձնավայրի գեոլոգիական կտրվածք

1—օքսիդացած հանքանյութեր, հարուստ, 2—օքսիդացած հանքանյութեր, աղքատ, 3—խալիզիտի հանքանյութեր, հարուստ ($> 1\%$), 4—խալիզիտի հանքանյութեր, աղքատ ($< 1\%$), 5—տարալվացման զոնա, 6—աղքատ երկրորդային հանքայնացման զոնա, 7—կվարցի երակ, 8—առաջնային հանքանյութեր սուլֆիդների աղքատ ցանով, 9—բերվածքներ:

օքսիդացման ժամանակ առաջանում է ազատ ծծմբական թթու) առաջանում է խալկոզինային հանքանյութերի նոր զոնա, իսկ նրա վրա՝ տարալվացման ենթագոնա:

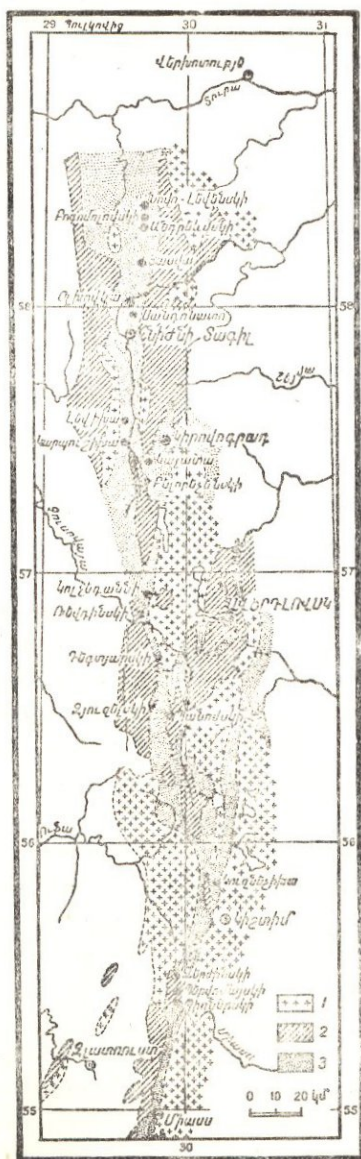
Կոռնրագի հանքավայրում գլխավորապես մշակվում են խալկոզինային հանքանյութերի զոնան և մասամբ օքսիդացած հանքանյութերը: Հանքավայրի մասշտաբը մեծ է, ըստ գենետիկ տիպի նա սլատկանում է ցրված երակիկա-ցանավոր հանքայնացումով ներկայացված հիդրոթերմալ միջին ջերմաստիճանային, չափավոր խորությունների հանքավայրերին:

Ուրալի կոչչեգանային հանքավայրերը. Ուրալի արևելյան լանջին, 60 մինչև 52° հյուսիսային լայնությունը ձգվող միջօրեական գոտում, հայտնի են 30 ավելի սլոնձի կոչչեգանային հանքավայրեր, որոնք հարում են վերին սիլուրի և ստորին գեոնի կանաչքարային գոտուն (թերթավորված դիարազներ, դիարազային պորֆիրիտներ, ալբիտոֆիրներ, տուֆեր, թերթաքարեր): Վերջինս ձեղքված է գրանիտ-պորֆիրներով, դիորիտային պորֆիրիտներով, ալբիտոֆիրներով և ապլիտներով (նկ. 79):

Կանաչքարային գոտու ապարների գինամոմետամորֆիզմն ինտենսիվ կերպով արտահայտված է Միջին Ուրալում, ավելի թույլ՝ Հյուսիսային Ուրալում և համարյա բացակայում է Հարավային Ուրալում (Բաշկիրիա), որտեղ գոտու լայնությունը մի քանի կիլոմետրից հասնում է մինչև 40 կմ և ուր լայնորեն տարածված են ապլիտները, դիարազները և կերատոֆիրները, իսկ թերթաքարերը բացակայում են:

Միջին Ուրալի հանքամարմինները սպինյականման ու երականման են և տեղադրված են կլարց-սերիցիտային թերթաքարերի մեջ. Հարավային Ուրալում, հանքամարմինները բարդ և անկանոն ձև ունեն և տեղադրված են ապլիտների, դիարազների և կերատոֆիրների մեջ:

Կալատայի (Կիրովոգրադի) հանքավայրը գտնվում է Կիրովոգրադ քաղաքից դեպի հարավ-արևմուտք: Կլարց-սերիցիտային թերթաքարերի մեջ տեղադրված են դեպի արևելք ընկնող մի շարք զառիթաֆ սպինյակներ, որոնք ընդմիջումներով տարածման ուղղությամբ հետամտված են 2 կմ: Գլխավոր սպինյակը 100 մ ավելի երկարությամբ և 25 մ կարողությամբ հետամտված է մինչև 300 մ խորությունը (նկ. 80): Առաջնային հանքանյութերը կազմված են մանրահատիկ պիրիտից և



Նկ. 79. Ուրալի կուլեղանային հանավայրերի սխեմատիկ ֆարտեզ
 1—խորքային թթու հրային ապարներ (գրանիտներ, գրանոգիորիտներ, սի-
 ենիտներ, միասկիտներ), 2—խորքային հիմքային ապարներ (գաբրրոններ,
 պիրոքսենիտներ, պերիդոտիտներ, օձաքարեր, 3—Ուրալի արևելյան լանջի
 հրաբխային և նստվածքային ապարներ:

խալկոպիրիտից, սֆալերիտի, բարիտի, խունացած հանքանյութերի և մագնետիտի (վերջինը խորքում) խառնուրդով:

Բացի պղնձից, հանքանյութը պարունակում է քիչ Ag և Au: Լավ է արտահայտված երկաթային գըլխարկը, իսկ նրա տակ՝ երկրորդային սուլֆիդների զոնան (խալկոպիրիտ և կոլելլին)։ առաջնային հանքանյութերը տարածված են 150 մ հորիզոնից ցած:

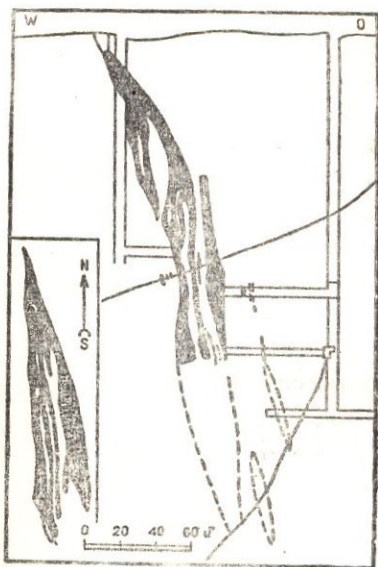
Կարպուշեխայի հանքավայրը գտնվում է 25 կմ հիբրոփոգրաֆ քաղաքից դեպ՝ արևմուտք-հարավ-արևմուտք: Թերթավորված էֆուզիվների և տուֆերի մեջ տեղադրված է դեպի արևելք դասիված ընկած ոսպնյակների մի սերիա: Մինչև 45 մ կարողություն ունեցող առանձին ոսպնյակներ հետամղված են տասնյակ, հազվադեպ հարյուրավոր մետրեր:

Հանքանյութերի կազմությունը՝ պիրիտ, խալկոպիրիտ, սֆալերիտ, գալենիտ, տեննանտիտ, կվարց, քլորիտ, բարիտ, խալկոզին, կոլելլին, բոռնիտ: Բացի պղնձից և ցինկից, հանքանյութը պարունակում է նաև Ag և Au: Հանքավայրը պղինձ-ցինկային է:

Մասսիվ հանքանյութերն աստիճանաբար փոխանցվում են ցանավոր հանքանյութերի:

Գեկոյաբկայի հանքավայրը գտնվում է Սվերդլովսկ քաղաքից դեպի հարավ-արևմուտք:

Հանքամարմինն իրենից ներկայացնում է մի շատ տափակ ոսպնյակ կամ երակ, որը հարում է կվարց-սերիցիտային թերթաքարերի և կվարց-ալբիտային պորֆիրիտոիդների (վերջին-



Նկ. 80 Կարպուշեխայի կոլչեդանային կուտակի միջին մասի ուղղածից կտրվածից և (ձախից) նրա հարթագիծը 125 մ խորությամբ վրա (ըստ Ա. Ն. Ջավարիցկու)

ները զարգացած են հանքամարմնի պատկած կողում) կոնտակտին (նկ. 81): Դեպի արևելք զառիթափ անկում (60—65°) և 2—3-ից մինչև 45 մ կարողութուն ունեցող հանքամարմինն ըստ տարածման միջօրեականի ուղղութիամբ հետամտված է 4800 մ:

Ս. Ն. Իվանովը նշում է պարունակող թերթաքարերի, ինչպես նաև հանքային երակի շատ ուժեղ ճավածութունը, ընդ որում հանքային երակը թերթաքարերի հետ միասին առաջացնում է անկանոն, երբեմն ֆլեկտուրանման ծալքեր: Հանքանյութերը մասսիվ են, թերթային և զոլավոր: Վերջիններն առաջացել են պարունակող ապարների և հանքանյութերի մետամորֆիզմի ընթացքում:

Մինչև 20 մ խորութունը զարգացած է երկաթային գլխարկը, նրանից ցած՝ սիլիտային մանրուսքը, 120—180 մ ինտերվալում զարգացած է ցեմենտացման զոնան, նրանից ցած մինչև 570 մ խորութունը հետամտվում են առաջնային հանքանյութերը:

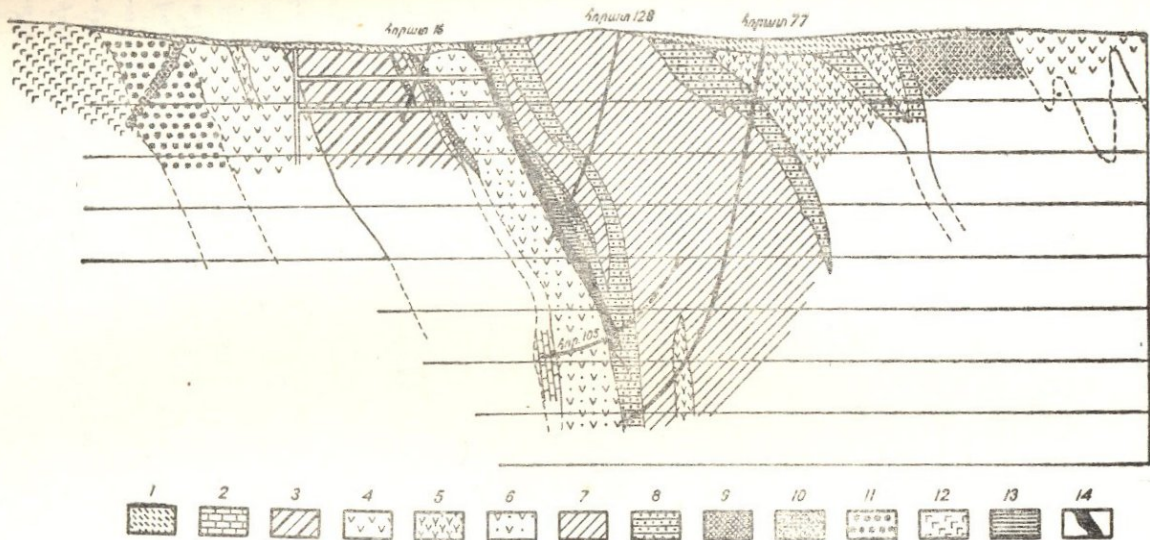
Հանքանյութը կազմված է պիրիտից, սֆալերիտից և խալկոսիդիտից, կվարցի, բարիտի, տեննանտիտի, գալենիտի, արսենոսիլիտի, կովելլենի և խալկոզինի խառնուրդով: Առաջնային հանքանյութերում Cu պարունակութունը ցածր է, ցեմենտացման զոնայում այն բարձրանում է մի քանի անգամ: Հանքամարմնում բնորոշ է միներալների անհավասարաչափ բաշխումը, ընդ որում ամենից փափուկ և սլաստիկ միներալները՝ բարիտը, խալկոսիդիտը, սֆալերիտը, տեննանտիտը հարստացնում են նրա եզրամասերը (ըստ տարածման և դեպի խորքը), որպիսի երկվույթը, հավանաբար, նույնպես կազմված է հանքանյութերի մետամորֆիզմի հետ:

Միջին Ուրալի նկարագրված հանքավայրերի համար բնորոշ են հետևյալ բնագիտությունը՝

ա) Հանքամարմինների տեղագրումը թերթաքարերի (թերթավորված, գինամոմետամորֆացված էֆոզիլիտների) մեջ:

բ) Դինամոմետամորֆիզմի հետևանքով ճգնված հանքամարմինների ոռպնյականման կամ տափակ-երականման ձևը:

գ) Հանքանյութերի բյուրեղային բնույթը, զուգվոր տեքստուրաների զարգացումը, մնացորդների ձևով հանդիպող կոլոմորֆ ստրուկտուրաների շատ փոքր գերը:



Նկ. 81. Գեկոյարսկի հանքավայրի գեոլոգիական կտրվածք

1—բերվածքներ, 2—մարմարներ, 3—մետամորֆացած տուֆիտներ և կանաչ թերթաքարեր՝ կայծքաբային և ածխային թերթաքարերի ու մարմարների բարակ ենթաշերտերով, 4—պորֆիրիտոիդներ, 5—ալբիտային պորֆիրիտոիդներ, 6—կվարց-ալբիտային պորֆիրիտոիդներ, 7—կվարց-բլորիտային և քլորիտ-էպիդոտային ու կվարց-քլորիտ-սերիցիտային թերթաքարեր, 8—կվարց-սերիցիտային թերթաքարեր, 9—օձաքարեր, 10—պլագիոգրանիտ-պորֆիրներ, 11—մեկրոդիորիտ-պորֆիրներ, 12—գաբրոներ և գաբրո-դիորիտներ, 13—կոլչեզան (խոշորահատիկ պիրիտ), 14—մանրահատիկ կոլչեզան:

Հարավային Ուրալի հանքավայրերը որոշ չափով տարբերվում են վերը նկարագրված հանքավայրերից:

Բլյավա հանքավայրը գտնվում է Օրսկ քաղաքի շրջանում: Հանքամարմինները տեղադրված են սպիլիտների և կերատոֆիրների մեջ. հանքամարմինների ձևը բարդ է և նրանք միայն պայմանականորեն են կոչվում «ոսպնյակներ»: Ամենախոշոր «Հյուսիսային ոսպնյակը» ասոֆիդներով, ճյուղավորութուններով, հաճախակի փքվածքներով ու սեղմվածքներով, 50—60 մ միջին կարողությամբ, ըստ տարածման հետամտված է 500 մ:

Հանքանյութերը կազմված են պիրիտից, խալկոպիրիտից, սֆալերիտից, մարկազիտից, մելնիկովիտից, վյուրացիտից, կվարցից, կալցիտից, բարիտից, խալկոզինից և կովելլինից: Շատ բնորոշ են հանքանյութերի կոլոմորֆ ստրուկտուրաները: Պղնձի միջին պարունակությունն արդյունաբերական է, հանքավայրի մասշտաբը մեծ: Մինչև 65 մ խորությունը զարգացած է օքսիդացման զոնան, նրանից ցած՝ առաջնային հանքանյութերը:

Միրայ և Նոր Միբայ (հին տեղամասի հարավային շարունակությունը). գտնվում են Մագնիտոգորսկ քաղաքից դեպի հարավ: Հանքայնացված են սուլֆիդներով տեղակալված և Columnaria կորալների մնացորդներ պարունակող միջին դեմոնի կրաքարերի հորիզոնը և պիրոկլաստիկ ապարները, որոնք պարունակում են բրեկչիանման կոլչեզանային հանքանյութ. կախված կողում զարգացած են սպիլիտներ, պառկած կողում՝ կվարցային կերատոֆիրներ:

Հանքամարմինը տալիս է պարունակող ապարների հետ փոքրաթեք, համարյա հորիզոնական, երբեմն էլ շատ զառիթափ կոնտակտներ: Ինչպես ենթադրում է Ս. Ն. Ջավարիցկին, Միրայի հանքավայրի ձևը պայմանավորված է զառիթափ տեկտոնական ձեղքերի և տուֆերի հրաբխածին բրեկչիաների ու լավաների շերտագրման փոքրաթեք մակերեսների դուգակցումով:

Իլխավոր հանքամարմինը ունի շատ բարդ ձև. նրա չափերն են՝ $600 \times 300 \times 200$ մ: Նա ներկայացված է կոլոմորֆ հանքանյութով, որը կազմված է մելնիկովիտ-պիրիտի, խալկոպիրիտի, սֆալերիտի, կեղևաձև կովելլինի և դիդեմիտի (Cu_2S_5) խառնուրդից: Խորքում դիտվում է խալկոպիրիտի խիստ ավելացում, հանդես են գալիս զգալի քանակությամբ պիրրոտին, սիդերիտ և

մասամբ մազնեւոր: Հանդիպում են՝ բոսնիտ, գալենիտ, էնարգիտ, արսենոպիրիտ, գրինոկիտ, կինաւար (?):

Ուշալի հանքավայրը գտնվում է Միասս քաղաքից 100 կմ դեպի հարավ: Ըստ Ն. Ս. Վախրոմեևի շրջանը կազմված է 2 շերտախմբից՝ 1) ստորին—ուշալինյան, ներկայացված արտավիժած և պիրոկլաստիկ ապարներով, գլխավորապես կվարցային ալքիտոֆիրներով և նշաքարային պիրոքսեն-պլագիո-կլասային պորֆիրիտներով (շերտախմբի կարողութունը մինչև 2 կմ է, հասակը D₁), և 2) վերին—կարագայլինյան, ներկայացված կվարցային պորֆիրիտներով (զանգվածային մագմայի ածանցյալներ), նրանց պիրոկլաստներով և հրաբխածին-նրստվածքային առաջացումներով: Շերտախմբի կարողութունը 400—500 մ է, հասակը D₂ (Ֆաունան գտնված է կվարցային պորֆիրիտների մեջ տեղադրված կրաքարերի ենթաշերտերում և սուլնյակներում):

Ապարները կազմում են հյուսիս—հյուսիս-արևմտյան տարածման զառիթափ ծալքեր, ընդ որում ուշալինյան շերտախմբից կազմված անտիկլինալ սարուկաուրան լվացված է և նրավրա աններդաշնակ տեղադրված է կարագայլինյան շերտախումբը, որը նույնպես կազմում է խոշոր, սակայն փոքրաթիվ անտիկլինալ: Հանքակուտակը հարում է նշաքարային պորֆիրիտների մեջ տեղադրված ալքիտոֆիրային սուլնյակի արևմտյան կոնտակտին, կարագայլինյան շերտախումբը արանդրեսիվ կերպով նստած է հանքակուտակի վրա և նրանից ավելի երիտասարդ է: Կարագայլինյան շերտախմբի հիմքում հանդիպում են կոլչեդանների, կվարց-սերիցիտային ապարների և գորշ երկաթաքարերի հանքային գետաքարեր:

Գլխավոր հանքամարմնի ձևը բարդ է՝ հարավում նա ներկայացված է 10—20 մ կարողութուն զառիթափ երականման մարմնով, որը միջօրեականի ուղղությամբ հետամտվում է 250 մ. դեպի հյուսիս երակը փոխվում է 100—120 մ ընդլայնական կտրվածք ունեցող իզոմետրիկ ձևի փքվածքի, էլ ավելի դեպի հյուսիս, առաջին փքվածքից 200 մ հեռավորութուն վրա, դեոֆիզիկոսների կողմից հայտնաբերված է մոտավորապես նույն չափերի երկրորդ փքվածքը: Հանքայնացման ընդհանուր երկարութունը 1 կմ է: Հանքայնացման տեղայնացումը վերահսկվում է հանքատար զառիթափ խախտումները և հրաբխային ապարների շերտադրման փոքրաթիվ հարթութունների հատումով:

Տեղի ունի հանքանյութով պիրոկլաստիկ ապարների ընտ-
քական տեղակալում և նշաքարային պորֆիրիտների կոզմից
հանքամարմինների էկրանավորում:

Հանքանյութի կազմութունը՝ պիրիտ, մարկազիտ, մելնի-
կովիտ, խալկոպիրիտ, սֆալերիտ, կվարց, բարիտ, գիպս, խու-
նացած հանքանյութեր, բնածին ոսկի և կալավերիտ: Առանձնաց-
վում է հանքանյութերի մի քանի տիպ՝ պիրիտ-սֆալերիտային,
պիրիտ-խալկոպիրիտային, պիրիտային: Շատ հաճախ հանդիպում
են կոլլոմորֆ ստրուկտուրաների մնացորդներ:

Հանքավայրն ունի պղնձի և ցինկի խոշոր պաշարներ և
հանքանյութերի կազմությամբ նման է Կարպուշիխայի հանքա-
վայրին, միայն այն տարրերությամբ, որ Ուչալիի հանքանյու-
թերը գլխավորապես կոլլոմորֆ են, իսկ Կարպուշիխայինը
բյուրեղային:

Հարավային Ուրալի հանքավայրերի համար բնորոշ են
հետևյալ ընդհանուր գծերը, որոնցով այդ հանքավայրերը տար-
բերվում են Միջին Ուրալի նույնատիպ կոլչեդանային կուտակ-
ներից՝

ա) հանքամարմինները տեղադրված են չմետամորֆացված
էֆուզիվների մեջ,

բ) հանքամարմինների ձևը բարդ է, դրանք ոսպնյակներ
չեն,

գ) հանքանյութերը կոլլոմորֆ են, նրանց կազմության
մեջ մելնիկովիտը ու վյուրտցիտը առատ են:

Ուրալի կոլչեդանային հանքավայրերի գենեզիսի վերա-
բերյալ եղած հայացքները զարգացել են հետևյալ հաջորդակա-
նությամբ:

Ներկա դարի 20-ական թվականներին Ա. Ն. Ջավարիցկին
արտահայտել է հետևյալ տեսակետը: Ուրալի կոլչեդանային հան-
քավայրերը նա դիտել է որպես ինյեկցիոն առաջացումներ,
սուլֆիդային մագմայի ներդրման արդյունք. մագման ներդր-
վել է թերթաքարերի մեջ և բյուրեղացել է որպես մասսիվ սուլ-
ֆիդների ոսպնյակներ և կուտակներ: Այս տեսակետից բավարար
կերպով բացատրվում էր հանքանյութերի մասսիվ բնույթը և
նրանց տեղադրման ոսպնյականման ձևը:

Սակայն հետագայում պարզվեց, որ այս դիրքերից անհնար
է բացատրել հանքակուտակների մոտ գտնվող կոդային ապար-
ների փոփոխման հիդրոթերմալ բնույթը, տեղակալման երևույթ-

ները, հանքանյութում պարփակված կողային ապարների մեծ քանակի չտեղակայված տեղամասերի պահպանումը, մասսիվ հանքանյութերի փոխանցումը ցանավոր հանքանյութերի, մաղմատիկ հանքավայրերի համար ոչ բնորոշ, համեմատաբար ցածր ջերմաստիճանային ալիպիտի միներալների լայն զարգացումը, ինչպիսիք են՝ բարիտը, խունացած հանքանյութերը, կարբոնատները:

Ուրալի մի խումբ գեոլոգների կողմից առաջադրվել է կոլչեդանային կուտակների գենեզիսի հիդրոթերմալ թեորիան: Հանքավայրերը գտնվել են որպես միջին ջերմաստիճանային մետասոմատիկ գոյացումներ, գենետիկորեն կապված հերցինյան գրանիտոիդների հետ: Այս տեսակետի համաձայն հանքավայրերն առաջացել են ծալքավորումից հետո և վերահսկվում են կվարց-սերիցիտային ու կվարց քլորիտային թերթաքարերի գոտու երկայնքով անցնող տեկտոնական խախտումներով:

Այս տեսակետը երկար ժամանակ դերիշխող է եղել և այժմ էլ ունի կողմնակիցներ: Սակայն հարկավոր է ընդգծել, որ թերթաքարերի գոտում խախտումների երկայնքով կատարված որոնման աշխատանքները գործնականորեն զրական արդյունքներ չտվեցին, իսկ կոլչեդանային հանքավայրերի առաջացման հիդրոթերմալ թեորիան արգելափում էր Ուրալում որոնման աշխատանքների զարգացումը, սահմանափակելով նրանք միայն թերթաքարերի նեղ գոտով, խախտումների և հերցինյան գրանիտոիդների գրսեկորման տեղամասերով: Մինչդեռ, այդ թեորիային հակառակ, սկսած 1935—1936 թթ., Հարավային Ուրալում վերին սիլուրի և ստորին դեոնի էֆուզիվների տարածման շրջաններում, թերթաքարերից, խախտումներից և հերցինյան գրանիտոիդներից բոլորովին անկախ հաջողվում է հայտնաբերել կոլչեդանային հանքավայրերի խոշոր հանքավայրեր (Բլյավա, այնուհետև Նոր Միրայ և Ուչալի): Այս հայտնագործումներն ընդգծեցին Ուրալի կոլչեդանային կուտակների առաջացման գոյություն ունեցող թեորիաների անկարողությունը, որոնք չնպաստեցին նոր հանքավայրերի որոնման գործում և միաժամանակ ի վիճակի չէին բացատրելու Հյուսիսային և Հարավային Ուրալի հանքավայրերի միջև գոյություն ունեցող տարբերությունները:

1936 թ. Ա. Ն. Զավարիցկին, Հարավային Ուրալի Բլյավա հանքավայրի հետազոտության հետ կապված, Ուրալի կոլչեդա-

նային հանքավայրերի գեներդիսի վերաբերյալ արտահայտեց նոր տեսակետ, որի համաձայն հանքավայրերը գեներտիկորեն կապվում են հնազարյան այն նրաբխածին հատվածքների արմատային մասերի հետ, որոնց մեջ նրանք տեղադրված են:

Հանքայնացումը կապված է ֆուսարոլիների և սուլֆատարների գործունեության հետ: Միներալները մետասոմատիկ ճանապարհով նստել են գազաջրային լուծույթներից միջին ջերմության պայմաններում: Հանքավայրերի հասակը հին է, նրանք առաջացել են մինչ հերցլինյան ծալքավորումը և պարունակող էֆուզիվների հետ միասին ենթարկվել են գինամոետամորֆիզմի, որը արտահայտվել է ուժեղ՝ միջին Ուրալում և շատ թույլ հարավային Ուրալում:

Միջին Ուրալում էֆուզիվները ենթարկվել են թերթավորման, իսկ սկզբում անկանոն մարմինների ձևով առաջացած կոլչեգանային հանքանյութերը սեղմվել են և ընդունել ոսպնյականման ձև. կոլլոմորֆ սուլֆիդները ենթարկվել են վերաբյուրեղացման:

Հարավային Ուրալում, որտեղ ծալքավորումը շատ թույլ է արտահայտվել, էֆուզիվները թերթավորված չեն, իսկ կոլչեգանային հանքավայրերը պահպանել են իրենց հատուկ սկզբնական զգեքը՝ հանքամարմինների անկանոն ձևերը և հանքանյութերի կոլլոմորֆ սարուկտուրաները:

Ա. Ն. Զավարիցկին Ուրալի հանքավայրերը համեմատելով Յապոնիայի «Կուրոմոնո» (նկարագրված է յապոնական գեոլոգ Կամեկի Կինոշիտայի կողմից) տիպի հանքավայրերի հետ տեղադրված վերին երրորդական էֆուզիվների մեջ և սերտ կապված նրաբխածինների հետ, նրանք համարում է «Կուրոմոնո» տիպի հանքանյութերի հնազարյան մետամորֆացած անալոգներ:

Ա. Ն. Զավարիցկու նոր տեսակետը շատ լավ բացատրում է ոչ միայն Միջին և Հարավային Ուրալի հանքավայրերի միջև եղած տարբերությունները, այլև Միջին Ուրալում հանքամարմինների թևերի օրինաչափ հարստացումը պղնձով և ցինկով: Այդ տեսակետը առաջադիմական է հանդիսանում այն առումով, որ ընդլայնում է կոլչեգանային հանքավայրերի որոնման հեռանկարները (վերին սիլուրի և ստորին գեոնի հասակի էֆուզիվների զարգացման բոլոր շրջանները), չսահմանափակելով որոնումները կվարց-սերիցիտային և քլորիտային թերթաքարերի նեղ գոտով: Ղեկավարվելով այս թեորիայով, Ուրալի

գեոլոգները հայտնաբերել են Սիրայ, Ուչալի և մի շարք ուրիշ խոշոր հանքավայրեր:

Դեռ այժմ էլ Ուրալի ոչ բոլոր գեոլոգներն են համամիտ այս տեսակետի հետ: Այսպես, Ա. Վ. Պեկը, որն ուսումնասիրել է Դեգոյարկա և Լեխլսա հանքավայրերը, գտնում է, որ Դեկոյարկա հանքավայրում պորֆիրիտի դաշկան ավելի հին է, քան հանքայնացումը և վերահսկում է նրա տեղայնացումը, քանի որ պորֆիրիտը թերթավորված չէ, եզրակացություն է արվում թերթավորված ապարների համեմատությամբ պորֆիրիտի և կոլչեդանային հանքայնացման ավելի երիտասարդ հասակի մասին: Լեխլսա հանքավայրում բազմաթիվ հանքամարմիններ, որոնք առաջներում համարվել են որպես մեկուսացված ոսպնյակներ, բայց Ա. Վ. Պեկի, ներկայացնում են շերտավորման հետ ներդաշնակ մի միասնական մարմին՝ երակային ապարների մասսիվ դաշկաներով բաժանված: Դաշկաները մինչ հանքային են և հանքանյութը տեղակալել է դաշկաներով հատված բարենպաստ ապարների շերտանման կուտակի: Քանի որ դաշկաները մասսիվ են, եզրակացություն է արվում այն մասին, որ հանքայնացումը ավելի երիտասարդ է քան պարունակող ապարների թերթայնությունը:

Բոր հանքավայրը գտնվում է Հարավսլավիայում, Բելգրադից դեպի ավելիք: Ծրջանը կազմված է երրորդական հասակի անդեզիտներից, որոնց մեջ առանձնացվում են հավանաբար ինտրուզիվ բնույթի, հանքայնացում պարունակող, խոշոր բահատիկ եզջրախարային տարրերակներ: Հանքակուտակները հարում են հյուսիս-արևելյան և հյուսիս-արևմտյան ուղղությամբ ճեղքերի հատման տեղերին և տեղադրված են պրոպիլիտացված եզջրախարային անդեզիտներում: Հայտնի են երեք խոշոր հանքամարմին՝ Տչուկա Դուլկան, Տիլվա Միկա և Տիլվա Ռոշ: Սրանցից առաջինը երկաթային գլխարկի ձևով մերկանում է մակերևույթում, իսկ մյուս երկուսը «կույր են», գտնված են գեոֆիզիկոսների կողմից էլեկտրահատաստուղման մեթոդներով: Հանքամարմինների ձևը անկանոն է, շտոկանման:

Տչուկա Դուլկան հանքամարմինն ունի $300 \times 150 \times 130$ մ չափեր, ձգված է հյուսիս-արևմտյան տարածում ունեցող խախտման երկայնքով. մյուս երկու հանքամարմինները, մանավանդ Տիլվա Ռոշը, նույնպես շատ խոշոր են:

Տչուկա Գուլկան հանքամարմինը մինչև 35—50 մ խորությունը ներկայացված է երկաթային գլխարկով, որի տակ տեղագրված է սուլֆիդային հանքանյութը՝ պիրիտի և էնարգիտի մանրահատիկ խառնուրդը, կովելլինի, խալկոզինի¹, բոռնիտի, լյուցոնիտի, բարիտի և կվարցի որոշ պարունակությամբ: Cu միջին պարունակությունը 5—6% է:

Տիլվա Միկա հանքամարմինը կազմված է պիրիտից և խալկոպիրիտից, Տչուկա Գուլկան հանքամարմնից անջատված է վարնետովածքով և, հավանաբար, ներկայացնում է նրա, օտորին մասը, որն իջեցված է վարնետովածքի երկայնքով:

Հանքավայրը հանդիսանում է Նվրոպայի ամենախոշոր հանքավայրերից մեկը և տարեկան տալիս է 50 հազ. տ. պղինձ, ինչպես նաև 4 տ. ոսկի:

Ըստ գենետիկ տիպի, հանքավայրը պատկանում է փոքր խորությունների միջին ջերմաստիճանային հիդրոթերմալ տիպին և շատ նման է ուրալյան կոլչեդանային կուտակներին ու հատկապես Հայկական ՄՍՌ-ի Ալավերդու և Շամլուղի երիտասարդ կոլչեդանային հանքավայրերին:

Ղափանի (Չանգեղուրի, Կատար-Կառնի) հանքավայրը գտնվում է Հայկական ՄՍՌ-ում: Մոտ 25 կմ² տարածության վրա տեղագրված են մի քանի հանքեր, որոնք հայտնի են եղել դեռ շատ հեռավոր անցյալում և պարբերաբար շահագործվում են 1851 թվականից սկսած: Գործող հանքերից ամենախոշորներն են № 6 և № 7 հանքերը:

Ըստ Գրուշևոյի և Վ. Ն. Կոտլյարի, շրջանը կազմված է պորֆիրիտների և կվարցային պորֆիրիտների մինչ 800 մ կարողության հաստվածքից, որը ծածկված է մինչ 900 մ կարողություն ունեցող դոզզերի տուֆո-կոնգլոմերատներով և ավազաքարերով: Երկու հաստվածքներն էլ առաջացրել են հյուսիս-արևմտյան տարածում ունեցող բրախի անտիկլինալ, որի միջուկին, ըստ Ռ. Ա. Առաքելյանի և Գ. Հ. Պիջյանի հարում են մինչ վերին յուրայի կվարցային պորֆիրների և ավրիտոֆիրների շտեկներն ու դայկաները:

Այդ փոքր մերձակերեսային ինտրուզիաների հետ գենե-

¹ Բոր հանքավայրի հանքանյութերում կովելլինը և խալկոզինը համարվում են հիպոգեն:

տիկարեն (ընդհանուր մագմատիկ օջախի խմաստով) կապված է հանքաչնացումը:

Անտիկլինալային ստրուկտուրան խախտված է հյուսիս-արևմտյան տարածում ունեցող մինչհանքային վերնետվածքներով և հյուսիս-արևելյան, միջօրեական և լայնակի տարածում ունեցող վարնետվածք-տեղաշարժերով:

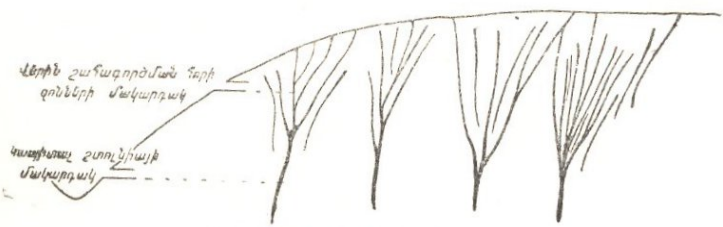
Հանքայնացումը ներկայացված է երակներով (100 ավելի) և №№ 6, 7 հանքերի Շհանքայնացման զոնաներով» (շտոկվերկներով): Հանքանյութերը լցրել են հյուսիս-արևմտյան, համարյալայնակի տարածման զառիթափ ձեղքերը. կան նաև միջօրեականի ուղղություն ունեցող մի քանի երակներ. բոլոր երակները և շտոկվերկները տեղադրված են պլազիոկլազային և կվարցային պորֆիրիտների մեջ, որոնք հիդրոթերմալ լուծույթներով վերամշակվել են երկրորդային կվարցիտների:

Ըստ տարածման երակները հետամտված են 10—500 մ, ըստ անկման՝ մինչև 200—250 մ. նրանց կարողությունը տատանվում է 0,2—1 մետր: սահմաններում, փքվածքներում հասնելով մինչև 3—4 մ: Հանքայնացման զոնայի կարողությունը հասնում է 30—40 մ նա ներկայացված է բարակ երակիկների և 1—2 սմ մինչև 10 սմ կարողություն ունեցող երակների: խիտ ցանցով: Հանքայնացման զոնան ղեպի խորքը հետամտված է ավելի քան 500 մ:

Ըստ Յու. Ա. Արապովի և Ա. Ե. Քոչարյանի, առանձին հանքային երակներ իրենց տարածման և անկման ուղղություններով միաձուլվում են ավելի հզոր, այսպես կոչվող «մայրական» երակների մեջ: Այսպես, № 6 հանքի վերին հորիզոններում հայտնի են 43 հանքային երակ, իսկ այդ հանքի կապիտալ շտոկային խոր հորիզոնում հատված են միայն 6-ից ավելի հզոր երակ. որոնք առաջացել են վերևում հայտնի երակների մի մասի միացումից. վերին հորիզոնների երակների մյուս մասը ղեպի խորքը սեպածե մարում է (նկ. 82):

Հանքայնացումն ընթացել է երեք ստադիայով՝ 1) կվարց, բյուրեղային պիրիտ և խալկոպիրիտ (այսպես կոչվող «փայլուն» հանքանյութեր), 2) կոլլոմորֆ պիրիտ, խալկոպիրիտ, բոռնիտ, տեննանտիտ, սֆալերիտ, գալենիտ, էնարգիտ (այսպես կոչվող «փայլատ» հանքանյութեր), որոնք առաջացնում են սերտ խառնուրդ, 3) կվարցի, կարբոնատների, բարիտի, պիրիտի բարակ երակիկներ, որոնք հատում են առաջին երկու ստադիաների հան-

Քանյութերը: Առաջին երկու ստադիաները կարևոր նշանակու-
թյուն են ունեցել, ընդ որում բյուրեղային հանքանյութերը
բեկորատված և առաջ ցեմենտացված են ավելի ուշ կոլլոմորֆ
հանքանյութերով: Հանքանյութերն աչքի են ընկնում պղնձի
շատ բարձր պարունակությամբ, ինչպես նաև արծաթի ու սսկու-
խառնուրդով: Հանքավայրի հիմնական հեռանկարները կազմված են
նրա թևերի և մասամբ խոր հորիզոնների (մանավանդ հանքայ-
նացման զոնաների) հետախուզման հետ: Ըստ գեներալի տիպի
հանքավայրը փոքր խորություներով միջին ջերմաստիճանային
հիդրոթերմալ հանքավայր է, իսկ ըստ առաջացման գեոլոգիա-
կան պայմանների և հանքանյութերի բնույթի նման է Հյուսի-
սային Հայաստանի Ալավերդու և Շամլուղի կոլչեդանային հան-
քավայրերին:

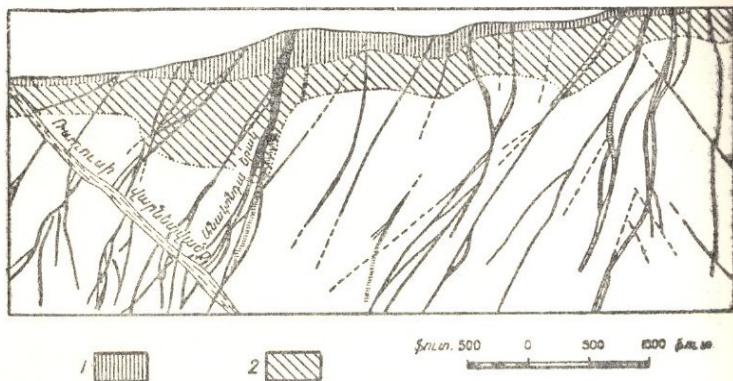


Նկ. 82. Ղափսեի հանքավայր
Հանքային երակների սեպածե մարման և միացման
սխեման (№ 6 հանքի կտրվածք):

Բյուտտ (Մոնտանա նահանգ, ԱՄՆ): Այս հանքա-
վայրը հանդիսանում է ԱՄՆ-ի պղնձի կարևորագույն հանքավայ-
րերից մեկը, տարեկան տալիս է 150 հազ. տ. պղինձ, բավական
քանակությամբ արծաթ, ոսկի, կապար, ցինկ, մկնդեզ և ման-
գան, որոնք հանքանյութերից ստացվում են զուգընթաց կերպով:

Հանքայնացումը կենտրոնացած է 20 քառ. կմ տարածու-
թյան վրա, կվարց-մոնցոնիտային կազմի երրորդական հասակի
խոշոր (2000 քառ. կմ ավելի) բաուլդեր ըսթոլիտի արևմտյան
ծայրամասում, որը հատում է պլեոզոյի և կավճի հասակի
նստվածքային ու էֆուզիվ հաստվածքները: Կվարցային մոնցո-
նիտները կտրված են ապլիտների և կվարցային պորֆիրների
գալկաներով, որոնց տարածման շրջաններին է հարում կենտրո-
նական հանքային զոնան: Վերջինս ներկայացված է պղինձ-
մկնդեզային (էնարգիտ-խալկոզինային) հանքանյութերով՝ բու-

Հանքայնացումը ներկայացված է երակներով, որոնք 1,5-ից մինչև 30 մ կարողութամբ ըստ տարածման հեռամտվում են 2—3 կմ և դեպի խորքը ավելի քան 1200 մ (նկ. 84): Առանձնացվում են հանքային կերակների մի քանի սխտեմ, որոնք հարում են տարբեր ուղղության ճեղքերին: Սոցորագույն նշանակություն ունեն Անակոնդա սխտեմի լայնակի երակները, որոնք



Նկ. 84. Միջօրեական կտրվածք Բյուտտ պղնձահանքի շրջանով Անակոնդա հանքահորի մոտ (ըստ Մալեսի)
1—օբսիդացած դոնա, 2—խալկոզինի դոնա:

ինտենսիվ կերպով հանքայնացված են և «ունեն բնորոշ «ձիու պոչի» ստրուկտուրաներ. այս երակները տեղաշարժված են այսպես կոչվող «կապույտ» (կոլեկլինոլ հարուստ) հյուսիս-արևելյան երակների սխտեմով. հարուստ երակների երկու սխտեմն էլ խախտվել են հյուսիս-արևելյան տարածում ունեցող ավելի ուշ առաջացած և թույլ հանքայնացված ստյուարա սխտեմի երակներով:

Հանքային երակները կազմված են կվարցից, ոսոխրոդիտից, խալկոզինից, էնարգիտից, բոնիտից, խալկոպիրիտից, սֆալերիտից, գալենիտից, խունացած հանքանյութերից՝ ավելի հազվագյուտ հյուսիսարևելյան և կալյուզիտի Cu_2 (As, Sn, V) S_4 խտնուրդով: Cu պարունակությունը 4—5% է, Ag 60—90 գ/տ.: Հեռաքրքր է նշել, որ ավելի քան 1 կմ խորության վրա հանդիպում է առաջնային խալկոզինի սոմբային տարրերակը, որն առաջացել է 91°-ից ցածր ջերմության պայմաններում:

Ըստ գենետիկ ախտի հանքավայրը հիդրոթերմալ է, միջին

և ցածր ջերմաստիճանային, առաջացած չափավոր խորություններում:

Ջեզկազգանի հանքավայրը, գտնվում է Կենտրոնական Ասիայի հանքանում, հանդիսանում է ամենախոշոր հանքավայրերից մեկը:

Ըստ Կ. Ի. Սատպաևի, հանքայնացումը հարում է վերին կարբոնի ավազա-թերթաքարային շերտախմբին: Հանքերը շերտախումբը հետամտվում է հարավից դեպի հյուսիս 70 կմ տարածության վրա:

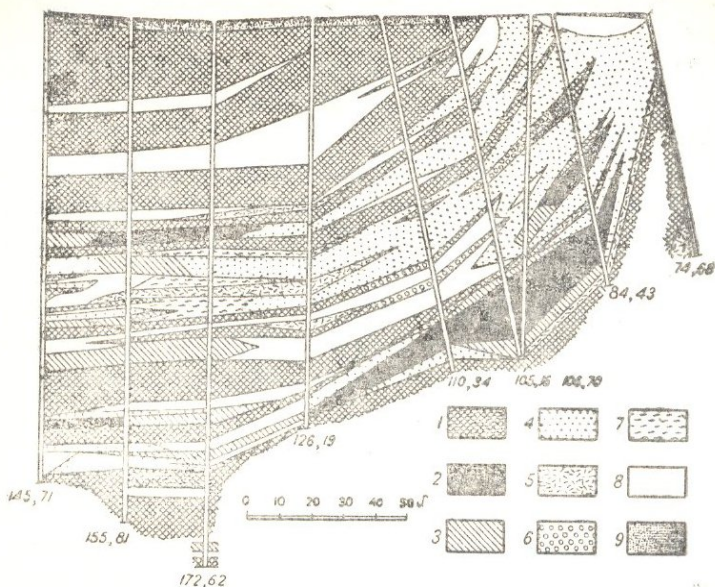
Վերին կարբոնի շերտախումբը և ստորին կարբոնի ու դեֆոնի ստորագիր ասպրնները կազմում են խոշոր սինկլինալային ծալք, բարդացված բրախիանտիկլինալներով, որոնք խախտված են վարնետված քներով: Վերին կարբոնի ավազա-թերթաքարային շերտախմբի կարողությունը 900 մ է. նա պարփակում է 7 հանքայնացված հորիզոն, որոնք հարում են սնդուկային տիպի բրախիանտիկլինալի կամարին (նկ. 85):

Հանքայնացումը կենտրոնացված է կարբոնատով ցեմենտացած մոխրագույն ավազաքարերի շերտերում և լացակայում կամ թույլ է զարգացած կարմիր ավազաքարերի ենթաշերտերում և կավա-երկաթային ցեմենտ ունեցող կոնգլոմերատներում:

Հանքամարմիններն ունեն շերտանման կուտակների և տափակ ոսպնյակների ձև: Ամենախոշոր կուտակները 1,5—4 մինչև 18 մ կարողությամբ հետամտված են՝ ըստ տարածման 1,5—2 կմ և ըստ անկման 800 մ: Բացի կուտակներից, կան առանձին հանքայնացած զոնաներ՝ «բրեկչիայով երակներ», օրինակ, ալյուս կոչվող Պետրոպոլիտսկի վարնետվածքը, որն ըստ տարածման հետամտված է 500 մ:

Հանքանյութերի կազմը՝ խալկոպիրիտ, բոռնիտ, պիրիտ, խունացած հանքանյութեր, սֆալերիտ, գալենիտ, կալցիտ, կվարց, բարիտ, խալկոզին, կովելլին, պղնձի օքսիդներ և ջրային կարբոնատներ: Հանքային միներալներն ավազաքարերի ցեմենտի մեջ ցրված են մանր ցանի և երակիկների ձևով. վերջինները կազմված են լեռնային բյուրեղապակուց, կալցիտից նաև խալկոպիրիտի, բոռնիտի, խալկոզինի, գալենիտի խոշոր բյուրեղներից:

Այս երակիկները Վ. Ս. Դոմարևի կողմից դիտվում են որպես «ալյուսիկան երակներ» տիպի գոյացումներ և կապվում են հանքանյութի վերանստեցման հետ:



Նկ. 85. Ձեզկազգանի գեոլոգիական կտրվածքը

1—կարմիր ավազա-կավային թերթաքարեր, 2—հարուստ հանքանյութեր, 3—ազրատ ցան, չմտցված պաշարների մեջ, 4 աղքատ ավազաքարեր, չմտցված պաշարների մեջ, 5—եղջրաքարեր, 6—ոայմունդովյան կոնցլոմերատներ, կվարցի, կայծաքարային կրաքարերի և հաղվազեղ պորֆիրների հղկված գետաքարերով, 7—կանաչ կավային թերթաքարեր և կավեր, 8—հանքազուրկ արկոզային ավազաքարեր, 9—ժամանակակից նստվածքներ:

Հանքանյութերը միջին հաշվով պարունակում են մինչև մի քանի տոկոս Cu , տեղ-տեղ հարստացած են Pb , Zn և Ag :

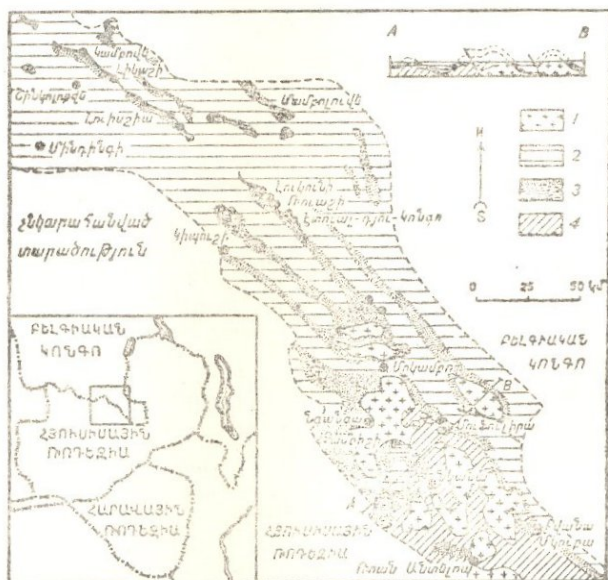
Գեոլոգների մեծամասնության կողմից հանքավայրը դիտվում է որպես հիդրոթերմալ ցածր ջերմաստիճանային (տեկեթերմալ) և կապվում է չմերկացած գրանիտոիդային բաթոլիտի հետ:

Գ. Գ. Գուգալինը, Վ. Ս. Գոմարևը և ուրիշները Ձեզկազգանը դասում են նստվածքային, հետազգյում փոքր-ինչ մետամորֆացած հանքավայրերի շարքը:

Կատանդա (Բելգիական Կոնգո) և Հյուսիսային Ռոդեզիա: Այս հսկայական պղնձա-հանքային շրջանում կենտրոնացած են պղնձի համաշխարհային պաշարների 1/4 և համաշխարհային ձուլման 20⁰/0-ից ավելին:

Այս շրջանի հանքավայրերից պղնձի հետ զուգընթաց ստացվում է կոբալտ (համաշխարհային ձուլման մինչև 80%), իսկ մի քանի հանքավայրերից ուրան (համաշխարհային հանույթի 1/4): Շրջանի բազմաթիվ հանքավայրերի մեջ հայտնի են հատկապես Հաուալ-դյու-Կոնգո և Կամբոլե (Բելգիական Կոնգո), Ռոան Անտելոպ և ՆՉանգա (Հյուսիսային Ռոդեզիա) հանքավայրերը:

Շրջանը կազմված է Կատանգա սիստեմի ավազաքարերի, թերթաքարերի և գոլոմիտների (Շա կամ վերին պրոտերոզոյ) շերտախմբից:



Նկ. 86. Կատանգայի (Բելգիական Կոնգո և Հյուսիսային Ռոդեզիա) գլխավոր պղնձարեր շրջանի քարտեզ (ըստ Գրեյի, Դեվիդսոնի և ուրիշների):

1—Գրանիտ, 2—Կոնգոլուենգի սերիա (տիլլիտ, գոլոմիտներ, թերթաքարեր), 3—Հանքերի սերիա (ավազաքարեր, գոլոմիտներ, թերթաքարեր), 4—Բյուրեղային թերթաքարեր:

Հերթագայող շերտախմբից, որը հանքայնացած է 45—100 կմ լայնությամբ և 500 կմ հյուսիս-արևմտյան տարածում ունեցող գոտու սահմաններում (նկ. 86), հանքայնացումը հարում է ավազաքարերին (կարբոնատային ցեմենտով) ու գոլոմիտներին և էկրանավորվում է թերթաքարերի ենթաշերտերով:

Հանքամարմիններն առաջացնում են շերտանման կուտակներ, ոսպնյակներ, բներ և անկանոն ձգված ժապավեններ. նրանց չափերը շատ տարբեր են. Կուտակները 10—20 մ կարողութամբ ըստ տարածման հետամտվում են մինչև 2400 մ, ըստ անկման՝ 900 մ: Որոշ հանքավայրերում առանձնացվում են մեկից մինչև երեք հանքայնացած հորիզոն:

Բեղբիական Կոնգոյում հանքայնացումը հարում է անաթ-կլինալային ծալքերին, իսկ Հյուսիսային Ռոդեզիայում սին-կլինալային ծալքերին, ձգտելով երկայնակի խախտումներին, որոնք զիտվում են որպես հանքաբեր կանալներ: Հյուսիսային Ռոդեզիայի հանքավայրերի համար հաստատվում է սերտ տարածական կապ հանքայնացման և գրանիտոսիդային ինտրուզիվների միջև, ընդ որում հանքայնացումն ինտրուզիվ զանգվածներին մոտ ավելի ինտենսիվ է:

Հանքանյութերի կազմում գերակշռում են պղնձի սուլֆիդները՝ բոռնիտը, խալկոզինը, խալկոսիիրիտը, որոնց խառնվում են պիրիտ, սֆալերիտ, գալենիտ, լիննեիտ, հալվադեսպ խունացած հանքանյութեր, իսկ երակային միներալներից մասնակցում են՝ կվարցը, կալցիտը, ադուլյաբը: Հանքային միներալները մանր ցանի (մինչև 1 մմ), ձևով ջրված են ավազաքարերի ցեմենտի մեջ և կարբոնատային ապարներում, հազվադեպ առաջացնում են բարակ երակիկներ: Գլխավոր արդյունաբերական հետաքրքրություն է ներկայացնում պղինձը, որի պարունակությունն առաջնային սուլֆիդային հանքանյութերում կազմում է 3,5—7⁰/₁₀: հետաքրքրություն են ներկայացնում նաև Co (մինչև 0,5⁰/₁₀), տեղ-տեղ Zn (մինչև 2⁰/₁₀ և ավելի) և Pb պարունակությունը:

Որոշ հանքավայրերում (Կատանդայի հյուսիս-արևմտյան մաս) հանքանյութերը պարունակում են Ag, Au, Pt. ընդ որում մանրացված ապարներից ոսկու և պլատինի մինչև 1 մմ մեծություն հատիկներն անջատվում են լվացման միջոցով:

Օքսիդացած հանքանյութերը պարունակում են 10—12⁰/₁₀ Cu, 1—3⁰/₁₀ Co (սֆերոկորալիտի և ասբոլանի ձևով), մինչև 1—2⁰/₁₀ V₂O₅, դարգացած են մինչև 200 մ խորությունը և շահագործվում են ինտենսիվ կերպով:

Բեղբիական Կոնգոյի և Հյուսիսային Ռոդեզիայի հանքավայրերի գենեզիսի վերաբերյալ վեճեր են գնում: Հետազոտողների մեծ մասը և նրանց թվում Վ. Էինդգրենը, հանքավայ-

բերը համարում է հիդրոթերմալ (տեղեթերմալ) և գենետիկորեն կապում է հիմքային ապարների ինտրուզիաների հետ, որոնք հասում են հանքայնացումը ներփակող հասավածքը: Հիդրոթերմալ գենեզիսի օգտին բերվում են հետևյալ գլխավոր փաստարկները՝ հանքայնացման ստրուկտուր վերահսկումը, թերթաքարերի էկրանավորող դերը, հանքանյութի կազմը (խորանարկային խալիդոլինը և այլ սուլֆիդներ առաջացել են 91° մինչև 200° ջերմության պայմաններում):

Գ. Շնեյդերհենը նշելով հիդրոթերմալ հանքավայրերում Cu, Co և V ատոցիացիայի արտասովոր լինելը, ենթադրում է, որ հանքայնացումը առաջացել է գետնաջրերի շրջանառության շնորհիվ, այսինքն հանքավայրերը համարում է ինֆիլտրացիոն:

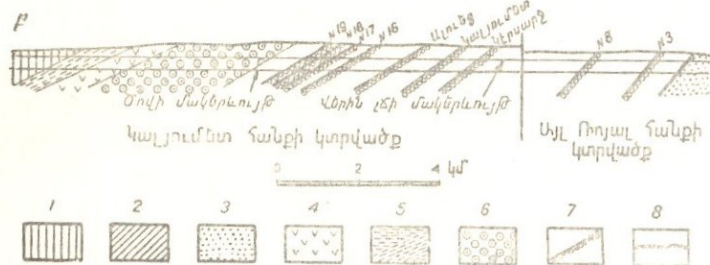
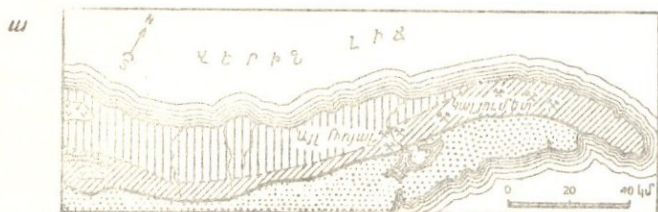
Կարելի է առարկել, որ V հանդիպում է միայն օքսիդացած հանքանյութերում և այն ներմուծված է կողային ապարներից, իսկ հիմքային և չափավոր թթու ինտրուզիաների հետ կապված հիդրոթերմալ հանքավայրերի համար Cu և Co ատոցիացիան ամենևին էլ անսովոր չէ:

Վ. Ս. Գոմարևը վերջին ժամանակները պղնձային ավազաքարերի տիպի բոլոր հանքավայրերը, այդ թվում նաև Բելգիական Կոնգոյի—Կատանգայի հանքավայրերը, դասում է նրսավածքային մետամորֆացած հանքավայրերի տիպին: Ըստ Գոմարևի, պղնձի նստեցումը տեղի է ունեցել վերականգնման միջավայրի պայմաններում, այդ պատճառով և հանքայնացած հորիզոնները ներկայացված են մոխրա-կանաչավուն գունավորում ունեցող ապարներով: Կարմրագույն շերտերը նստել են օքսիդացման միջավայրում և նրանց մեջ պղինձը բացակայում է, քանի որ նա եղել է լուծված վիճակում:

Վերին լճ (Միչիգան): Կյուրնոու թերակղզում վերին լճի բնածին պղնձի հանքավայրերը շահագործվել են դեռ հին ժամանակներում և ինտենսիվ կերպով շահագործվում են նաև ներկայումս, տարեկան տալով մինչև 100 հազ. տ. պղինձ և, գուղընթացաբար, բնածին պղնձի հետ սերտ կապված արծաթ:

Շրջանը կազմված է կյուրնոու (վերին պրոտերոզոյ) մինչև 4,5 կմ կարողության շերտախմբից, որը ներկայացված է հիմքային լավաների՝ մելաֆիրների ծածկոցների և կոնգլոմերատների ու ավազաքարերի հերթագայությամբ (նկ. 87): Մելաֆիրների կարողությունը կազմում է 3800 մ, բեկորային ապարների շերտերինը՝ 700 մ:

Հանքայնացած գոտին հյուսիսու թերակղզու կենտրոնական մասում, 3—6 կմ լայնությամբ նեղ գոլի ձևով, հյուսիս-արեւելյան ուղղությամբ ձգվում է 500 կմ: Նա հարում է հյուսիս-արևելյան տարածում ունեցող սեզիոնալ վարնետավածքին: Գոտու 100 կմ երկարությամբ ունեցող հատվածում հանքայնացումն ունի արդյունարերական նշանակություն:



Նկ. 87. Վերին լճի հանգավայրի քարտեզ (ա) և կտրվածք (բ)
 1—Ֆրեզիլ ավազաքարեր, 2—ավազաքարերի, կոնգլոմերատների և ամֆիգոլտիդների պղնձաքար սերիա, 3—ջեկոսպիլ ավազաքարեր, 4—ֆելզիտներ և հիմքային ինտրուզիվներ, 5—նոսաս թերթաքարեր, 6—Մեծ կոնգլոմերատ, 7—պղնձաքար կոնգլոմերատների շերտեր (նրանց մոտ նշված են համարներ կամ անուններ), 8—հյուստին վարնետավածք:

Ըստ հանքայնացման բնույթի կարելի է առանձնացնել երեք տիպ՝

ա) Ճեղքային երակներ, որոնք լցված են կալցիտով և բնածին արծաթի ու գոմեյկիտի Cu_3As խառնուրդ պարունակող բնածին պղնձով: Այս երակներում հանդիպել են մինչև 500 տ. կշիռ ունեցող բնածին պղնձի զանգվածներ, սակայն ընդհանուր հանույթի մեջ այս տիպի տեսակարար կշիռը փոքր է:

բ) Ամփրոգալոթիդային լավաներ (նշաքարային մեկաֆիրներ)՝ բնածին պղնձի, կարբոնատների, աղուլյարի և ցեոլիաների հետ, որոնք լցրել են այդ լավաների գատարկութունները և մանուս հն մեկաֆիրների բրեկչիանման տարբերակների ցեմենտի բաղադրության մեջ: Մեկաֆիրային ծածկոցների հանքայնացած մասի (սովորաբար ծածկոցների վերին մասերում, որտեղ լավաները բշտավոր են) կարողությունը $4-10$ ձ է, ըստ տարածման ձգվում է մինչև 9 կմ, իսկ գեպի խորքը՝ 2 կմ ավելի: Այս միջին պարունակությունը մոտ $10/0$ է: Հանքավայրի ավյալ արվին բաժին է ընկնում շրջանի պղնձի ամբողջ հանույթի համարյա կեսը:

գ) Կոնգլոմերատների հանքայնացած շերտեր, հատկապես Հեկլոս և Կալյուսեհտ շերտերը, յուրաքանչյուրը $2-10$ ձ կարողություն, հետամտված են՝ ըստ տարածման մի քանի կիլոմետրեր, ըստ խորություն մինչև 2400 մ: Բնածին պղնձը և նրա ուղեկիցները տեղակալում են կոնգլոմերատների ցեմենտը և մասամբ ֆելզիտի գետաքարերը: Այս պարունակությունը սովորաբար $2-4/0$ է: Հանքավայրերի այս արվին բաժին է ընկնում պղնձի հանույթի կեսից ավելին: Այստեղ, 2400 մ խորություն վրա ջերմությունը հասնում է 38° (օդահարության կիրառմամբ իջնում է մինչև $27-30^\circ$), գեոթերմիկ գրադիենտը կազմում է $1^\circ 62$ մ համար:

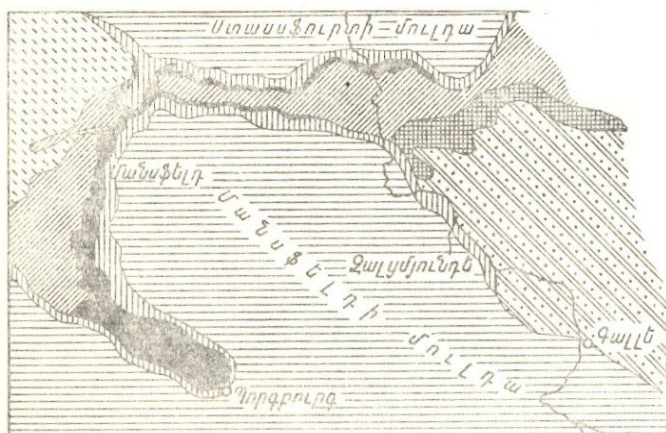
Բնածին հիպոպեն պղնձի նստեցումը բացատրվում է պղնձի ծծմբային լուծույթները և մեկաֆիրների մեջ ջրված հեմատիտի միջև օքսիդացման միջավայրի պայմաններում կատարված ռեակցիայով (լուծույթների H_2S օքսիդանում է մինչև H_2SO_4)՝ $Cu_2S + 3Fe_2O_3 + 5H_2SO_4 = 2Cu + 6FeSO_4 + 5H_2O$:

Մի ժամանակ հանքավայրը գենեաիկորեն կապում էին մեկաֆիրների հետ, բայց վերջին տարիներին այդ աեսակետից հրաժարվել են, քանի որ պարզվել է, որ մեկաֆիրները հանքայնացած են վարնեովածքի միայն նեղ գոտում, որի երկայնքով մերկանում են թթու և հիմքային ինտրուզիվ ապարները: Վերջիններն գիտվում են որպես պղնձաբեր լուծույթների աղբյուր:

Մանսֆելդ հանքավայրը գտնվում է Գերմանիայի Հարցի լեռներում: Հանքայնացումը զարգացած է ավելի քան 140 քառ. կմ տարածության վրա, որտեղ տարածված են գեոնիպերմի հասակի նստվածքային ապարները, վերջիններն առաջացնում են սինկլինալ՝ Մանսֆելդի մուղան: Հանքայնացած

հորիզոնի պատկած կողում գտնվում են ցեխշտեյնի ալագաքարերը և կոնգլոմերատները, իսկ կախված կողում՝ ցեխշտեյնի մոխրագույն կրաքարերը (ստորին պերմ):

Հանքային հորիզոնը ներկայացված է մոխրա-սև սապրոպելային նյութով ներծծված մերգելային բիտումային թերթաքարով, որը պարունակում է ձկան ֆոսֆորգներ և փշատերևների



Նկ. 88. Մանսֆելդի հանքավայր

1—հերցինյան թերթաքարեր (դեռն), 2—մանսֆելդի թերթաքարեր (վերին կարբոն), 3—վետտինի թերթաքարեր (վերին կարբոն), 4—ստորին մեռյալ լեժեն (պերմ), 5—վերին մեռյալ լեժեն—հանքային շերտեր (պերմ), 6—ներքին ցեխշտեյն (պերմ), 7—միջին և վերին ցեխշտեյն (պերմ):

ձյուղեր (նկ. 88): Հանքային հորիզոնի կարողությունը հասնում է մինչև 90 աճ (միջին կարողությունը 30—40 աճ):

Պղնձային թերթաքարի կազմը՝ կվարց և սերիցիտ 50—55⁰/₀, կալցիտ և գոլոմիտ 25—30⁰/₀, բիտումներ 10⁰/₀ և սուլֆիդներ 10⁰/₀ (բոռնիտ, սֆալերիտ, խալկոզին, պիրիտ, գալենիտ, խունացած հանքանյութեր, խալկոսիլիտ, արգենտիտ): Ապարի 1 մմ³ պարունակում է սուլֆիդների 4—20 միկրոնի մեծությամբ 10—30 հազար հատ մանրագույն անջատումներ, որոնք

Գ. Շնեյդերհեյնի գիտումները համաձայն, իրենց ձևով (պղնձիկներ, գոլեր, ձողեր) հիշեցնում են բրածո ծծմբային և անաէրոս բաղադրիչներին:

Վարնետավածքային ձեղքերի մեջ տեղ-տեղ ձևավորվել են Co և Ni արսենիդներ պարունակող հիդրոթերմալ կվարց-բարիտային երակներ, իսկ դեռանջրերով վերանստեցվել են պղնձի երկրորդային սուլֆիդները. այս բոլորը բարդացնում է հանքայնացման ընդհանուր պատկերը: Արդյունաբերական պղնձային հանքայնացումը տեղադրված է շերտի ստորին մասում (10—20 սմ), իսկ դեպի վեր հանքանյութերը կապար-ցինկային են և բավական աղքատ:

Հանքանյութերը պարունակում են՝ 2—3,6% Cu, 97—182 գ/տ. Ag, 1,28% Zn, քիչ Mo (0,018%), Pb, V, Co, Ni, Au, Pt, Pd, Re: Հանքավայրը շահագործվում է 12-րդ դարից սկսած. նրա մամանակակից հանույթը կազմում է 20—25 հազ. տ. Cu, 100—130 տ. Ag և Zn, Mo, V, Co, Ni, Re որոշ քանակությամբ:

Հանքավայրի դեռեղիսը նստվածքային է, ընդ որում սուլֆիդները նստել են ծծմբաջրածնային ֆացիայի պայմաններում. պղնձի նստեցումը շերտի ստորին մասում, նախքան մյուս մետաղները, բացատրվում է նրա առատությամբ և ծծմբի հետ ունեցած սերտ խնամակցությամբ: Պղնձի և այլ մետաղների աղբյուր են համարվում պղնձի ցրված հանքայնացում պարունակող ստորագիր ապարները:

ԸՆԳՀԱՆՐԱՑՈՒՄ ՊՂՆՁԻ ՎԵՐԱԲԵՐՅԱԼ ԵՎ ՈՐՈՆՄԱՆ ՆՇԱՆՆԵՐԸ

Պղնձի արդյունաբերական կուտակումներն սերտորեն կապված են չափավոր թթու դրանիտոիդների, հազվադեպ հիմքային և թթու ապարների հետ: Էկզոգեն պայմաններում իրբեմն առաջանում են պղնձի խոշոր կուտակներ, որոնք կապված են ծծմբաջրածնային ֆացիայի պայմաններում նստած սև բիտումային թերթաքարերի հետ: Կարևորագույն արդյունաբերական նշանակությամբ ունեն միջին և ցածր ջերմաստիճանային հիդրոթերմալ հանքավայրերը և առանձնապես հանքանյութերի հետևյալ տիպերը՝

1) Միջին ջերմաստիճանային հիդրոթերմալ հանքավայրերի ցանավոր և երակիկա-ցանավոր, պղնձային և պղինձ-մոլիբդ-

դենային հանքանյութերը հանքավայրերը գենետիկորեն և տարածականորեն սերտ կերպով կապված են չափավոր թթու գրանիտոիդների փոքր շտակների հետ:

2) Կոլչեգանդային հանքանյութեր հրաբխա-նստվածքային ապարների մեջ, որոնք ստաջացնում են սպինյակներ ու կուտակներ, երբեմն երախներ և ըստ երևույթին սերտորեն կապված են հրաբխային ապարատների արմատների հետ:

3) Պղնձային ալազաքարերը շերտանման կուտակների ձևով (հանքանյութերը բուսիա-խարկոպիրիտային են, երբեմն կոբալտի խառնուրդով), ներկայացնում են տեղեթերմալ, ցածր ջերմաստիճանային ստաջացումներ:

Զրպալիտենն ալեյի փոքր դեր են խաղում պղնձի լիկլայիան հանքավայրերը (Ni, Co, Pt և Pd ստացիացիայով, որոնք կապված են վահանների սահմաններում տարածված հիմքային ապարների հետ), պղնձի սկառնային հանքավայրերը (կապված են չափավոր թթու գրանիտոիդների հետ), բարձր ջերմաստիճանային պղինձ-տուրմալինային հանքավայրերը (կապված են հրաբխային գործունեությամբ հետ), բնած ն պղնձի հանքավայրերը ցեոլիտների հետ (հիմքային էֆուզիվներում), և, վերջապես, պղնձի նստվածքային հանքավայրերը:

Պղնձի համաշխարհային հանույթի տեսակետից ամենաարդյունավետն են Մադագոսկարյան և Միջերկրածովային մեզոկալինոզոյան մետալոգենիկ գոտիները: ՄՄՄ-ի համար ամենաարդյունավետն են Ռւրալի (կոլչեգանային տիպը) և Ղազախստանի (երակիկա-ցանավոր տիպը և պղնձային ալազաքարերը) պալեոզոյան մարզերը:

Ուսումնասիրի ուղղությունը, իսկ հաճախ նաև նրանց մեթոդիկան ու որոնման նշանները տարբերվում են հանքավայրերի առանձին տիպերի համար:

Պղնձի և պղինձ-մոլիբդենային հանքավայրերի ցանավոր և երակիկա-ցանավոր հանքանյութերը թե տարածականորեն և՛ թե գենետիկորեն սերտ կերպով կապված են մետալոգենիկ գոտիների ներքին գոնաների չափավոր թթու գրանիտոիդների հետ:

Հանքանյութերը տեղագրված են կլարցացած, սերիցիտացած, կաոլինացած և քլորիտացած ինտրուզիվ, տեղ-տեղ էլ ծածկի ապարների մեջ: Հարուստ գոնաները հարում են ներգրման տարրեր ֆազերի ինտրուզիվ զանգվածներին կոնտակտներին, ծածկի ապարներին կոնտակտներին, գալկաններին,

բրեկչխացած և բեկորատու մասերն են: Հանքավայրերի այս տիպի համար հաճախ մեծ նշանակութիւն ունեն երկրորդային սուլֆիդային հարստացման զոնաները (շահագործուած են մետաղների բարձր պարունակութիւն ունեցող խալկոզինային հանքանյութերը):

Որոնումների ժամանակ անհրաժեշտ է հաշիւ առնել հանքավայրերի առաջացման գեոլոգիական միջավայրը, պարունակող ապարների բնորոշ փոփոխութիւնները, օքսիդացման զոնայում պղնձի երկրորդային միներալների լայն զարգացումը: Մեծ հաջողութեամբ կիրառուում են որոնումների կուպրիմետրիկ և հիդրոքիմիական մեթոդները:

Պղնձի կոլչեդանային հանքանյութերը կապուած են մինչ ծալքավորութիւնը տեղի ունեցած մագմատիզմի ամենավաղ գրանոբլաստների (սուբհրաբուլներ և հրաբուխներ) հետ և տեղագրուած են Սաղաղօվիկիանոսյան, Միջերկրածովային, Ուրալյան և այլ մետալոգենիկ գոտիների ներքին զոնաներում:

Հանքավայրերը ներկայացուցուած են կուտակներով, ոստինյակներով ու մասսիվ սուլֆիդների անկանոն ձևի մետասոմատիկ հանքամարմիններով, որոնք տեղագրուած են հրաբխանքատուածքային հաստուածքների մեջ:

Հաճախ գիտուում է կոլչեդանային պղնձի և բազմամետաղ հանքանյութերի, ինչպես նաև բարիտի ու հիպոգեն գիպսի կուտակների սերտ կապ, ընդ որում պղնձի հանքանյութերը տեղագրուած են ավելի խոր հորիզոններում կամ ավելի վաղ ստրուկտուրաների երկայնքով:

Հանքայնացման տեղայնացման մեջ մեծ նշանակութիւն ունի ստրուկտուր գործոնը (բրախիանտիկլինալային ծալքեր, բնկորատման զոնաներ), ինչպես նաև ընտրական մետասոմատոզը և էկրանավորող հորիզոնների ազդեցութիւնը, որոնց տակ առաջանում են մասսիվ կոլչեդանային հանքանյութեր:

Որոնման համար բնորոշ նշաններ են լիմոնիտային զըլխարկները (պղնձի և կապարի երկրորդային միներալների, ինչպես նաև բարիտի, ոսկու խառնուրդով), մակերեսում հիպոգեն գիպսի, բարիտի, բազմամետաղ հանքանյութերի (նրանց տակ հաճախ տեղագրուած են պղնձի հանքանյութերը), պիրիտացման, սերիցիտացման, կվարցացման առկայութիւնը:

Հետախուզման ժամանակ լայնորեն կիրառուում են էլեկտրահետախուզման մեթոդները:

Պղնձային ավազաքարերի հանքավայրերը բոռնիտ-խալկոպիրիտային հանքանյութերի շերտանման կուտակների ձևով անդադրված են կվարցացած ավազաքարերի (կարբոնատային ցեմենտով), հազվագեպ գոլոմիտների մեջ զարգացած խախտման զոնաների երկայնքով:

Երբեմն հաստատվում է հանքավայրերի կապը չափավոր թթու գրանիտոիդների հետ, սակայն հանքավայրերի մեծ մասը առկա թերմալ է. նրանց առաջացման պայմանների վերաբերյալ կան տարածայնություններ՝ գեոլոգներից ոմանք այդ հանքավայրերը համարում են նստվածքային առաջացումներ:

Պղնձի որոնման ընդհանուր նշան է հանդիսանում օքսիդացման զոնայում, երկրորդային միներալները՝ մալախիտի, ազուրիտի, խրիզոկոլլայի, կուպրիտի զարգացումը, իսկ որոնման ընդհանուր մեթոդը՝ մետալլոմորֆիան:

ՀԻՄՆԱԿԱՆ ԳՐԱԿԱՆՈՒԹՅՈՒՆ ՊՂՆՁԻ ՎԵՐԱԲԵՐՅԱԼ

Аветисян Х. К. Металлургия меди, 1943.

„Большой Джекказган“. Сборник. Труды Казахской базы АН СССР, вып. 7, 1935.

Ванюшин С. С. Геологические условия образования штокверков в Кафанском рудном поле. Изв. АН АрмССР, серия геол и геогр. наук, № 4, 1957.

Грушевой В. Г. Интрузивные породы Зангезура и связь с ними оруденения. Матер. ВСЕГЕИ, сбор. 5, 1940.

Гудалин Г. Г. Вопросы геологии и генезиса Джезказгана. Горный журнал, № 9, 1947.

Домарев В. С. О генезисе месторождений типа медистых песчаников. Матер. ВСЕГЕИ. Полезные ископаемые, сб. № 4, 1948.

Заварицкий А. Н. Колчеданное месторождение Блява и колчеданные залежи Урала вообще, Труды ИГН АН СССР, т. V, 1936.

Заварицкий А. Н. О генезисе колчеданных месторождений. Изв. АН СССР, серия геол., № 3, 1943.

Заварицкий А. Н. О некоторых особенностях колчеданных месторождений Блява, Сибай, Учалы. Изв. АН СССР, серия геол., № 1, 1943.

Заварицкий В. А. Спилито-кератофировая формация окрестностей месторождения Блява на Урале. Труды ИГН АН СССР, вып. 71 петр. серия, № 24, 1946.

Захаров Е. Е. и Юшко С. А. Карпушинское медно-цинковое месторождение на Среднем Урале. АН СССР, 1936.

- Иванов С. Н. Опыт изучения геологии и минералогии колчеданных месторождений, т. I. Дегтярское месторождение. Труды Горно-геол. ин-та Ур. фил. АН СССР, вып. 8, 1945 и т. II, Сибайское месторождение, вып. 11, 1947.
- Камеки Киношита. О генезисе месторождений Куромоно. Госгеолиздат, 1932.
- Колчеданные месторождения Урала. Изд АН СССР, 1950.
- Коржинский Д. С. Закономерности оруденения в Турьинских медных рудниках. Изв. АН СССР, серия геол., № 1, 1943.
- Коржинский Д. С. Петрология Турьинских скарновых месторождений. Труды ИГН, вып. 68, 1948.
- Котляр В. Н. Зангезурское медное месторождение, его структура, оруденение и генезис. Цв. металлы, № 7, 1937.
- Магакьян И. Г. Алавердский тип оруденения и его руды. Изд. АН АрмССР, 1947.
- Мануилова Н. С. К некоторым вопросам, касающимся генезиса медистых песчаников Джекказгана. Зап. ВМО, ч. 83, № 4, 1954.
- Наковник Н. И. Месторождение Коунрад, его горные породы и минералы. СОПС АН СССР, 1937.
- Наковник Н. И. Вторичные кварциты, их минералогические фации, генезис и практическое значение. Изв. АН СССР, серия геол., № 1, 1947.
- Попов В. М. О происхождении месторождений медистых песчаников гидротермального типа. Изв. АН СССР, серия геол., № 5, 1951.
- Пэк А. В. Структура Дегтярского месторождения и рудного поля Левихи. Изв. АН СССР, серия геол., № 1, 1943.
- Сапожников Д. Г. Медистые песчаники западной части Центрального Казахстана. Тр. ИГН, вып. 93, 1948.
- Сатпаев К. И. О некоторых специфических особенностях геологии медистых песчаников Атбасар-Терсакканского района. Изв. АН КазахССР, 1954, № 134, сер. геол., № 18.
- Сатпаев К. И. Основные черты геологии и металлогении Джекказганского меднорудного пояса. Труды Каз. базы АН СССР, вып. 7, 1935.
- Сатпаева Т. А. К вопросу о метаморфизме месторождений медистых песчаников. Изв. АН СССР, сер. геол., № 2, 1934.
- Яговкин И. С. и Никитин П. М. Джекказганские медные месторождения КазССР. Труды ВГРО, вып. 229, 1934.
- Bateман A. Ore deposits of the Rio-Tinto (Huelva) district Spain. Econ. Geol., v. 22, № 6, 1927.
- Bruggen J. G. Grundzüge der geologie und Lagerstättenkunde Chiles, 1934.
- Collins John I. Summary of Kinoshitäs Kuroko deposits of Japan. Econ. Geol., v. 45, № 4, 1950.
- Eisentraut O. Die Schlesische Kupferprovinz. Metall und Erz., H 11—12, 1938.

Gilluly I. The Ajo mining district Arizona. U. S. Geol. Surv. Prof. pap 209, 1946.

Juan V. C. Mineral resources of China. Econ. Geol., v. 41, № 4, 1946.

Kostov J. Metallisation of the Balkan peninsula. Min. Mag., May, 1943.

Mc. Naughton James H. M. The origin of the Northern Rhodesia copper deposits. Bull. Inst. Min. and Met. v. 63, № 565, 1953.

Mempel G. Die Kupfererzlagertstätte von Bor in Jugoslavien. Metall und Erz, 34 (21) 5, Nov. 1937.

Pardo J. M. The Copper deposits of Seville and Huelva. Min. Journ., v. 223, № 5698, 1944.

Robert M. et du Trieu de Terdonck. Le bassin cuprifère du Katanga méridionale. Copper Res. World., v. 2, 1935.

Schouten C. The role of sulphur bacteria in the formation of the so-called sedimentary copper ores and pyritic ore bodies. Econ. Geol., v. 41, 1946.

Walter S. The copper shales of Germany and Michigan. Econ. Geol., v. 48, № 7, 1953.

White W. S. and Wright J. C. The White Pine copper deposits ontanogon county, Michigan. Econ. Geol., v., 49, № 7, 1954.

Whits C. H. Notes on the origin of the Mansfeld copper deposits. Econ. Geol., v., 37, 1942.

ԿԱՊԱՐ, ՅԻՆԿ ԵՎ ԱՐԾԱԹ (Pb, Zn, Ag)

ԸՆԳՀԱՆՈՒՐ ՏԵՂԵԿՈՒԹՅՈՒՆՆԵՐ

Կապարը հայտնի է եղել դեռ հեռավոր անցյալում. այդ մասին վկայում են Պոմպեի պեղումների ժամանակ կապարից պատրաստված ջրմուղային խողովակների հայտնաբերումը և ն. թ. դեռ 2000 տարի առաջ Չինաստանում կապարի դրամների շրջանառումը:

Յինկը մաքուր մետաղի ձևով ստացվել է 1529 թ., բայց նրա հանքանյութերն անկասկած հայտնի են եղել և մշակվել են հեռավոր անցյալում. Ասորական և ուրարտական սեպագրերում (մինչ ն. թ. 9—8-րդ դդ.) ցուցումներ կան այն մասին, որ «սպիտակ հողի» հավելույթի միջոցով ձուլվել է սովորականից ավելի բաց գույնի սղրինձ. հավանաբար նկատի է ունեցվել արույրը, իսկ «սպիտակ հողը» դա ցինկի օքսիդացած հանքանյութն է, որը սովորական է բազմամետաղ հանքանյութերի վերին հորիզոններում:

Արծաթը նույնպես հայտնի է հնուց և գաղղերի ձևով հաճախ հանդիպում է հին գամբարաններում:

Կապարն օգտագործվում է գլխավորապես ակումուլյատորային և կարելի արդյունաբերություն մեջ, սպագրական և առանցքակալային ձուլվածքներում, ինչպես նաև զգալի քանակությամբ անհատական լուսնափայլում:

Յինկը կիրառվում է համաձուլվածքներում (արույր, բրոնզ), որոնք օգտագործվում են մոտոսա և մեքենաշինություն մեջ, ինչպես նաև մետաղապատման (ցինկապատման) համար և ցինկային սպիտականերկի արտադրություն մեջ:

Արծաթը որպես թանկարժեք մետաղ կիրառվում է ակնագործական արդյունաբերություն մեջ, ինչպես նաև դրամահատման համար, համաձուլվածքներում որպես անագի փոխարինող

(2⁰/₀ Ag փոխարինում է 30⁰/₀ Sn), կինս և լուսանկարչական արդյունաբերության մեջ:

Կապարի և ցինկի տարեկան համաշխարհային ձուլումը, յուրաքանչյուր մետաղի համար, տատանվում է 1,5-ից մինչև 2 միլ. տոննայի սահմանում, իսկ արծաթի ձուլումը կազմում է 8—9 հազ. տոննա: Կապարի ձուլումը գլխավորապես կենտրոնացած է ԱՄՆ-ում, Կանադայում, Ավստրալիայում և Մեքսիկայում. ցինկինը՝ ԱՄՆ-ում, Ավստրալիայում, Կանադայում, Մեքսիկայում, Լեհաստանում. արծաթինը՝ Մեքսիկայում, ԱՄՆ-ում, Հարավային Ամերիկայում և Կանադայում:

Արտասահմանում ցինկի համաշխարհային պաշարները կազմում են 63 միլ. տ., իսկ կապարինը 35 միլ. տ., որոնք ըստ ցինկի և կապարի ձուլման ժամանակակից մակարդակի, համաշխարհային պահանջները կարող է բավարարել՝ ցինկի դեպքում 36 տարի, կապարի դեպքում 23 տարի: Վերջին տասնամյակում կապարի հանքավայրերի նոր խոշոր հայտնագործումներ չեն եղել և կապարի պաշարները գրությունը մնում է լարված: Արծաթի համար պաշարների հաշվառում չկա:

* * *

Կապարը, ցինկը և արծաթն ամենասերտ կերպով կապված են շափավոր թթու գրանիտոիդների, հազվադեպ հիմքային և թթու ապարների հետ:

Երկրի կեղևում Pb, Zn և Ag միջին պարունակությունը համապատասխանաբար կազմում է՝ 0,002⁰/₀, 0,02⁰/₀ և 0,00001⁰/₀:

Կապարի գլխավոր արդյունաբերական միներալներն են՝ գալենիտ PbS (86,6⁰/₀ Pb), սսփորաբար պարունակում է Sb, Bi, Ag խառնուրդ,

ջեմսոնիտ Pb₄FeSb₆S₁₄ (50,8⁰/₀ Pb),

բուլանմերիտ Pb₅Sb₄S₁₁ (55,4⁰/₀ Pb),

բուրնոնիտ CuPbSbS₃ (42,6⁰/₀ Pb),

ցեբուսսիտ PbCO₃ (77,6⁰/₀ Pb),

անգլեզիտ PbSO₄ (68,3⁰/₀ Pb):

Սովորաբար շահագործվում են 3—5⁰/₀ Pb պարունակող և ավելի հարուստ հանքանյութեր, սակայն մետաղի պակասություն կապակցությամբ ներկայումս արդյունաբերական հետաքրքրություն են ներկայացնում նաև կոմպլեքսային բազմամետաղ հանքանյութերի խոշոր հանքավայրերը, որոնց մեջ Pb պարունա-

կուծյունը կազմում է առնվազը $1^0/0$, իսկ ցինկինը՝ $2-3^0/0$ -ից ոչ պակաս:

Յինկի գլխավոր արդյունաբերական միներալներն են՝ սֆալերիտ ZnS ($67^0/0$ Zn), պարունակում է Cd, ինչպես նաև In, Ga, Ge, Co խառնուրդ,

վյուրացիտ ZnS , հեքսագ. ($63^0/0$ Zn),

ամիատոնիտ $ZnCO_3$ ($52^0/0$ Zn),

կալամին $Zn_4(Si_2O_7)(OH)_2 \cdot H_2O$ ($53,7^0/0$ Zn):

Սովորաբար մշակվում են բավական հարուստ՝ $8-10^0/0$ Zn պարունակությամբ հանքանյութերը, բայց շատ խոշոր հանքավայրերի համար ցինկի կամ $Pb+Zn$ ընդունելի մինիմալ պարունակությունը $3^0/0$ է:

Արծաթի գլխավոր արդյունաբերական միներալներն են՝

բնածին արծաթ Ag (մինչև $100^0/0$ Ag),

ելեկտրում (Au, Ag), ($15-50^0/0$ Ag),

արգենիտ Ag_2S ($87,1^0/0$ Ag),

պրուսիտ Ag_3AsS_3 ($65,5^0/0$ Ag),

պիրարգիրիտ Ag_3SbS_3 ($60^0/0$ Ag),

կերարգիրիտ $AgCl$ ($75,2^0/0$ Ag):

Բացի այս միներալներից, որպես արծաթի աղբյուր մեծ նշանակություն ունեն արծաթ պարունակող խունացած հանքանյութերը, գալենիտը¹, ինչպես նաև էնարգիտը, խալկոպիրիտը, պիրիտը, արսենոպիրիտը:

Արծաթի համաշխարհային հանույթի կեսից ավելին ստացվում է բազմամետաղ հանքանյութերի շահագործման ժամանակ՝ նրանցից կապարի, ցինկի, կադմիումի ստացման հետ զուգընթաց, իսկ մնացած մասը տալիս են այն հանքավայրերը, որոնք մշակվում են հիմնականում արծաթի համար, ինչպես նաև հինգէլեմենտային ֆորմացիայի (Co—Ni—Bi—Ag—U), Co—Ag, Sn—Ag կոմպլեքսային հանքավայրերը:

Չուտ արծաթային հանքավայրերի համար Ag մինիմալ պարունակությունը կազմում է 200 գ/տ., իսկ կոմպլեքսային հանքանյութերի համար, որոնցից արծաթն ստացվում է զուգընթաց որոշակի կոնգրիցիաներ չկան:

¹ Գալենիտի մեջ Ag պարունակությունը հասնում է $2^0/0$ (Ag-ով ավելի հարուստ են բարձր և միջին ջերմաստիճանային տարբերակները):

ԿԱՊԱՐԻ, ՅԻՆԿԻ ԵՎ ԱՐՄԱԹԻ ՀԱՆՔԱՎԱՅՐԵՐԻ
ԳԵՆԵՏԻԿ ՏԻՊԵՐԸ, ՀԱՆՔԱՅԻՆ ՖՈՐՄԱՅԻՆՆԵՐԸ, ՄԵՏԱԼՈԳԵՆԻԿ
ՄԱՐՁԵՐԸ ԵՎ ԳԱՐԱՇՐՋԱՆՆԵՐԸ

Բազմամետադ հանքանյութերի բոլոր արդյունաբերական հանքավայրերը պատկանում են հեամագմատիկ խմբին, ընդ որում, կապարի և ցինկի համար մեծագույն նշանակություն ունեն հիդրոթերմալ միջին ջերմաստիճանային, իսկ արծաթի համար՝ ցածր ջերմաստիճանային հանքավայրերը:

Սովետական զեռոգները մանրամասն ուսումնասիրել են տարբեր տիպերի բազմամետադ հանքավայրեր և նպաստել են խոշոր կապար-ցինկային արդյունաբերություն հումքային բաղադրի ստեղծմանը: Հատկապես պիտք է նշել՝ Ս. Ս. Մախրևովին, Ի. Ֆ. Գրիգորևին, Վ. Մ. Կրեյտերին, Վ. Պ. Նեխորոջևին, Ֆ. Ի. Վոլֆսոնին, Ի. Ի. Կոյազևին, Գ. Ս. Լաբադինին, Ն. Ն. Կուրեկին, Ս. Ի. Տալդիկինին, որոնք ավել են տարբեր գենետիկ տիպերի ու հանքազտչների մանրամասն նկարագրությունը: Նշված հետազոտողների ավյալների համաձայն բերված են առանձին հանքային ֆորմացիաների և հանքավայրերի համառոտ նկարագրություններ:

1. Սկանոնային ֆորմացիան ներկայացված է կապարի ու ցինկի սուլֆիդները ոսպնյակներով, բներով և ցանով պիրոքսեն-էպիդոտային սկաններում հիպարիսալ զբանխոտիդային ինտրուզիաների կոնտակտային զոնաներում:

ՍՍՌՄ-ում այս տիպին են պատկանում Հեռավոր Արևելքի Տեալյուխե հանքավայրը և մի շարք հանքավայրեր Կարամազարում (Կանսայ, Դարբազա, Ալթին-Տոպկան), Տաջիկական ՍՍՌ-ում ինչպես նաև արտասահմանյան հանքավայրերից Ֆրանսիկին-Ֆյորնասը ԱՄՆ-ում (Zn և Mn), Սալան Շվեդիայում:

2. Բարձր ջերմաստիճանային հիդրոթերմալ հանքավայրերի ֆորմացիան ներկայացված է կվարցով, կապարի ու ցինկի սուլֆիդներով, արսենոպիրիտի, կասսիտերիտի, տուրմալինի խառնուրդով: Այս տիպին են պատկանում Բրիտանական Կոլումբիայի (Կանադա) Սուլլիվան և Ավստրալիայի Բրոկեն-Հիլ շատ խոշոր հանքավայրերը, ինչպես նաև Անդրբայկալի որոշ հանքավայրեր (Սավինսկի № 5):

3. Բազմամետադ, միջին ջերմաստիճանային հանքավայրերի ֆորմացիան իր բաղադրիվ ներկայա-

ցուցիչներով շատ կարևոր է կապարի ու ցինկի համար: Հանքա-
յին միներալները ներկայացված են՝ գալենիտով, սֆալերիտով,
խունացած հանքանյութերով, պիրիտով, խալկոպիրիտով, արծա-
թի, ոսկու, երբեմն ուրանի և թորիումի միներալների խառնուր-
դով: Երակային միներալներից հանդիպում են՝ կվարցը, բարիտը,
կարբոնատները, քլորիտը, սերիցիտը: Ըստ հանքամարմինների
մորֆոլոգիայի և նրանց տեղադրման պայմանների տարբերվում
են երեք ենթատիպ՝

ա) երակային տիպի հանքավայրեր (Սագոն, Ֆրեյբերգ,
Պրշիրամ),

բ) սսպնյակներ հրաբխա-նստվածքային հաստվածքներում
(Ալթայ, Սալար, Բուուզվին),

գ) մետասոմատիկ մարմիններ կարբոնատային ապարնե-
րում (Ներչինսկի հանքավայրերի մեծ մասը, Լեդվիլլ, Կեր-դ' Ալեն
ԱՄՆ-ում, Սերբո-Գե-Պասկո Պերուում, Մանտա Եվլալիյա Մեք-
սիկայում, Ռեոցին Իսպանիայում, Ինզլեզիտա Սարդինիայում,
Տուխսի-Բու-Թեկեր Մարոկկոյում և ուրիշներ):

4. Յ ա ծ ր ջ եր մ ա ս տ ի ճ ա ն ա յ ի ն հ ա ն ք ա վ ա յ ր ե ր ,
որոնց մեջ առանձնացվում են երկու ֆորմացիա՝

ա) կապար-ցինկային ֆորմացիա, կարբոնատային շերտա-
խմբերում, մայր օջախներից հեռու: Հանքանյութերն ունեն
պարզ կազմութուն (գալենիտ, սֆալերիտ, պիրիտ), մասսիվ են
և ցանավոր, կվարցացած կրաքարերում և դսլումիտներում առա-
ջացնում են երականման և ավելի հաճախ շերտաձև տեղակալ-
ման մարմիններ: Այս տիպին են պատկանում Կարատաու լեռ-
նաշղթայի խոշորագույն հանքավայրերը (Տուրլան, Միրզալիմ-
սայ և ուրիշներ), Լեհաստանի (Օլկուշ), հանքավայրերը, ինչպես
նաև Տրի-Սաեյաը և Հարավ-Արևելյան Միասուրիի հանքավայրերը
(ԱՄՆ):

Այս ենթատիպի դերը հատկապես զգալի է ցինկի համար
(հանույթի համարյա 50⁰/₀):

բ) Արծաթային, ինչպես նաև ոսկի-արծաթային, կորալտ-
արծաթային և անագ-արծաթային հանքանյութերի ֆորմացիա.
սա կարևորագույնն է արծաթի համար (համաշխարհային հա-
նույթի 50⁰/₀):

Հանքավայրերը սերտորեն կապված են մերձավերեսային
ինտրուզիվներին, հրաբխային խառնարանների հետ և տեղադրու-
ված են էֆուզիվ հաստվածքների մեջ: Այս տիպին են պատ-

կանում Ag հանքավայրերը Մեքսիկայում (Պաչուկա, Վետո-Մադրե), Au—Ag հանքավայրերը Մեքսիկայում, Չիլիում, Պե-րուում, ԱՄՆ-ի Արևմտյան նահանգներում, Co—Ag հանքավայ-րերը (արծաթը նստել է երկրորդ՝ ցածր ջերմաստիճանային ստադիայում) Կանադայում, Միննոսինսկի հովտում, Տուվայում և Sn—Ag հանքավայրերը Բոլիվիայում (Պոտոպի) և Արգենտի-նայում (Պրիկիտաս):

5. Կապարի, ցինկի և արծաթի նստվածքային հանքանյութերի ֆորմացիա, որն առաջացել է ծծմբա-ջրածնային ֆազիայի պայմաններում: Ag-ի խառնուրդ հաս-տատված է Մանսֆելդի պղնձի նստվածքային հանքանյութերում. Pb և Zn կենտրոնանում են Մանսֆելդի հանքաշերտի վերին մասերում և բարխտի ու պիրիտի հետ միասին արդյունաբերա-կան կուտակումներ են տալիս Մյոզգեն (Գերմանիա) հանքավայ-րում:

Կապարի, ցինկի և արծաթի մետալոգենիկ մարզերը և դա-րաշրջանները: Մինչքեմբրյան և կալեդոնյան հասակի բազմամետաղ խոշոր հանքավայրեր հայտնի չեն:

Հերցելյան հասակ ունեն հետևյալ հանքային մարզերը՝ Ալթայ և Սալարի, Կարատաու, Կարամադար, Ավստրալիա (Բրո-կեն-Հիլլ): Այս մարզերն ունեն խոշոր պաշարներ և տալիս են կապարի, ցինկի ու արծաթի համաշխարհային հանույթի 1/4:

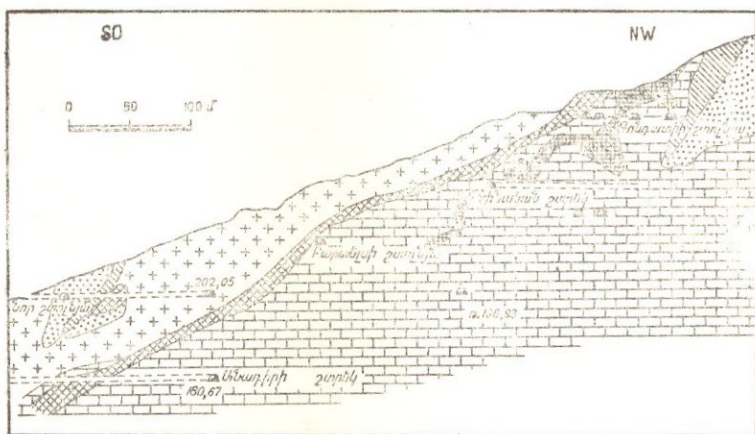
Կրեմբրյան հասակ ունեն Հյուսիսային Կոլկասի (Սա-դոն և ուրիշներ), Անգրբայկալի, Բրիտանական Կոլումբիայի, ԱՄՆ-ի, Լեհաստանի հանքավայրերը. սրանք միասին տալիս են Pb և Zn համաշխարհային հանույթի ավելի քան 1/2, արծաթի հանույթի 1/4 ավելին:

Ալպիական հասակ ունեն Հեռավոր Արևելքի, Յապո-նիայի, Ֆիլիպպինների, Նոր Զելանդիայի, Չիլիի, Պերուի, նաև ԱՄՆ-ի և Մեքսիկայի հանքավայրերի մի մասը ու Կարպատների հանքավայրերը. սրանցից շատերը հարուստ են արծաթով: Այս հանքավայրերին բաժին է ընկնում արծաթի համաշխարհային հա-նույթի 1/2 և կապարի ու ցինկի համաշխարհային հանույթի 1/4:

ԿԱՊԱՐԻ, ՑԻՆԿԻ ԵՎ ԱՐՇԱԹԻ ՀԱՆՔԱՎԱՅՐԵՐԻ ՆԿԱՐԱԳՐՈՒԹՅՈՒՆԸ

Տեսյուլիս հանքավայրը գտնվում է հեռավոր Արևելքում, Սիխոտե-Ալին լեռնաշղթայի արևելյան լանջին: Ըստ Ի. Ֆ. Գրի-գորևի, այս շրջանը կազմված է կրաքարերի հետ շերտավորված

չուրայի և տրիասի հասակի ավազաքարերից ու թերթաքարերից: Շերտախումբն աններդաշնակ կերպով ծածկված է վերին կավձի հասակի կվարցային պորֆիրների ծածկոցով: Հանքավայրի տեղամասում երկու շերտախումբերի՝ տրիասի կրաքարերի և կվարցային պորֆիրների կոնտակտը տեկտոնական է (նկ. 89): Հանքայնացումը հարուստ է խախտմանը և ներկայացված է



Նկ. 89. Տեռյուխե հանքավայրի ընդայնակաճ կտրվածք

1—կրաքար, 2—կվարց-պորֆիր, լիտարիա, 3—կավային թերթաքար, 4—ավազաքար, 5—սուլֆիդային հանքանյութեր, 6—գավմեյի հանքանյութեր:

սյունաձև կուտակներով. լավ է հետախուզված և մշակվում է այսպես կոչվող Գլխավոր կուտակը: Նա ունի տափակ սյունանման ձև և փոքրաթեք անկյան (25°) տակ ընկնում է դեպի հարավ-արևելք: Այս հանքամարմինն ըստ անկման հետամտված է 750 մ, նրա կարողությունը տատանվում է 3—15 մ սահմաններում: Ըստ տարածման վերին հորիզոններում հանքամարմինը հետամտված է 200 մ, իսկ ստորին հորիզոններում՝ 100 մ: Կուտակի մակերեսը եռանկյան ձևին մոտեցող հորիզոնական հատվածքում հասնում է 6000 քառ. մ: Հանքամարմինը զարգանում է մետասոմատիկ կերպով դեպի կրաքարերը: Հանքանյութը կազմված է մանգան-հեղենրերգիտից, գրանատներից,

դատուիտից, ակսինիտից, իլվաիտից, տրեմոլիտից, բավական շատ են նաև կվարցը, մանգանոսիդերիտը և ոտոբարոզիտը: Հանքային միներալները ներկայացված են խոշորարյուրեղ գալենիտով և սֆալերիտով (բյուրեղների մեծությունը մինչև 10 սմ), պիրիտով, պիրրոտինով, խալկոպիրիտով, արսենոպիրիտով, մարկազիտով, կուբանիտով և խունացած հանքանյութերով:

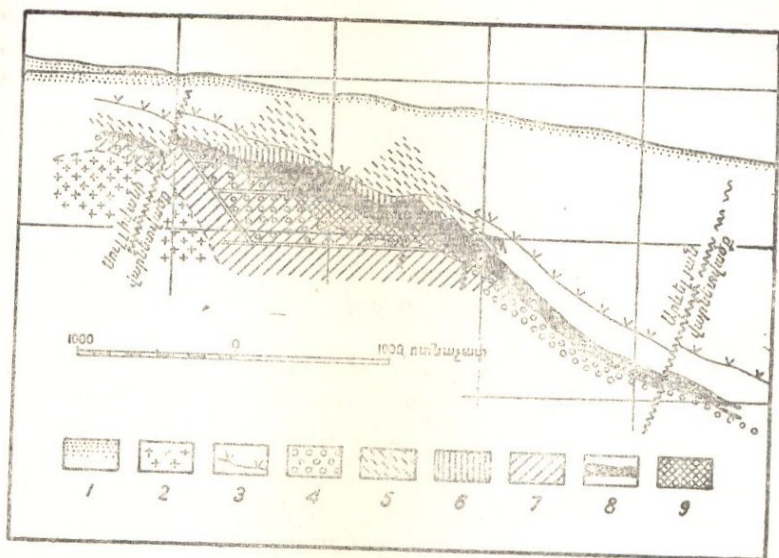
Հանքանյութերը հարուստ են ցինկով և կապարով, պարունակում են կադմիում, արծաթ, բիսմուտ և մկնդեզ: Ցինկի պարունակությունն ըստ հանքամարմինների անկման բավականին կայուն է, իսկ կապարի պարունակությունը խիստ կերպով նվազում է: Սուլֆիդային հանքանյութերի կուտակների պատկած կողում հայտնի են ցինկի օքսիդացած գալմեյան հանքանյութերի երեք սսպնյակ, որոնք ներկայացված են ցինկի կարբոնատի և ջրային սիլիկատների խառնուրդով:

Հանքավայրի գենետիկ տիպը համարվում էր կոնտակտմետասոմատիկ, իսկ հանքայնացումը կապվում էր կվարցային պորֆիրների հետ: Ներկայումս Տեսյուխեն դատում են սկառնային հանքավայրերի տիպին, (որոնց վրա վերադրվել է հիդրոթերմալ բազմամետաղ հանքայնացում) և գենետիկորեն կապում են երրորդական հասակի չմերկացած զբանխոտիղների հետ: Ինչ վերաբերում է կվարցային պորֆիրներին, ապա նրանք հանքայնացման հետ առնչություն չեն ունեցել, հանքայնացումից հին են և էկրանի գեր են կատարել հանքաբեր լուծույթների համար:

Մուլլիվան հանքավայրը Բրիտանական կուլումբիայում (Կանադա) հանգիսանում է կապարի և ցինկի աշխարհի խոշորագույն հանքավայրերից մեկը: Մասսիվ սուլֆիդների սսպնյակը, որ մինչև 81 մ կարողությամբ ըստ երկարության հետամտված է 1800 մ, տեղադրված է մինչքեմբրի կվարցիտների և արգիլիտների մեջ, ապարների շերտադրմանը զուգահեռ: Հիշյալ սսպնյակը 45—55° անկյան տակ գեպի հյուսիս ընկնող «Կիմբերլեյ» լայնակի վարնետովածքի երկայնքով տեղակալում է նըստվածքային ապարները (նկ. 90):

Հանքանյութերը կազմված են արծաթ պարունակող գալինիտից, սֆալերիտից (մարմատիտից), պիրիտից, պիրրոտինից՝ խալկոպիրիտի, արսենոպիրիտի, բուլանժերիտի, մագնետիտի, զրանատի, ակտինոլիտի, տուրմալինի և կասսիտերիտի աննշան խառնուրդով: Մետաղների միջին պարունակությունը հանքա-

նյութերում կազմում է՝ Pb 8—10⁰/₀, Zn 4,5—6⁰/₀, Ag 50 գ/տ., մինչև հարյուրավոր գ/տ., Sn 0,06⁰/₀: Յինկի կոնցենտրատների հետ կապված է ինդիումը (տարեկան ստացվում է մինչև 20 տ.):



Նկ. 90. Սուլիվան հանքի ուղղածիզ լայնակի կտրվածք

1—բերվածքներ, 2—զիրոններ և զրանոֆիրներ, 3—վերին կվարցիտների հատակը, 4—ստորագիր կոնգլոմերատներ, 5—ալբիտային ապար, 6—քլորիտային ապար, 7—տուրմալինային ապար, 8—հանքանյութ, 9—պիրրոտին:

1942 թ. ձուլումը կազմել է՝ Pb համար 246 հազ. տ. (համաշխարհային ձուլման համարյա 1/6), Zn մոտ 176. հազ. տ. (համաշխարհային ձուլման համարյա 10⁰/₀), Ag 270 տ., Sn 400 տ.: Հետաքրքիր է նշել հանքանյութերում մնացորդային զոլավորության առկայությունը (ընտրական տեղակայման հետևանք), հանքային ոսպնյակի պատկած կողում պիրրոտինի, իսկ կախված կողում գալենիտի ու սֆալերիտի գերակշռումը և գալենիտի մեծ մասի նստեցումը հանքային պրոցեսի վերջին ստադիաներում: Հանքավայրը գենետիկորեն կապված է կիմմերյան ցիկլի չափավոր թթու գրանիտոիդների հետ և ներկայացնում է բարձր ջերմաստիճանային հիդրոթերմալ տեղակայման հանքավայրերի օրինակ:

Մ ա գ ո ն ի հ ա ն ք ա վ ա յ ը (Հյուսիսային Կովկաս): Շըրջանը կազմված է մինչքեմբրյան գրանիտներից ու բանատիտներից և ստորին ու միջին պալեոզոյի մետամորֆային և նըստվածքային ապարներից, որոնց լվացված մակերեսի վրա տեղադրված է լեյասի էֆուզիվ նստվածքային շերտախումբը. նրա վրա՝ միջին յուրայի հասակի սև կավային թերթաքարերը և վերին յուրայի հասակի կրաքարերը:

Այս բոլոր ապարները ճեղքված են կերատոֆիրների ու կվարցային կերատոֆիրների դաշկաներով, կապված խոր գրանիտոիդային օջախի հետ: Հանքայնացումը հարուստ է հյուսիսարևելյան ($30-45^\circ$) տարածում ունեցող խախտման զոնային, որը ներկայացված է ճմված գրանիտների և լեյասի հրաբխածին ապարների լայն զոլով:

Ըստ տաշածման խախտումը հետամտված է $4,5$ կմ և դառիթափ անկյան տակ ($70-80^\circ$) ընկնում է դեպի հյուսիսարևմուտք: Բացի այս գլխավոր հանքային խախտումից, նրա հետ կցորդված են միջօրեական և հյուսիսարևելյան ուղղության ճեղքեր, որոնց նույնպես հարում է հանքայնացումը:

Մագոնի հանքավայրում հանքայնացումը հարում է գլխավոր խախտման զոնային և ներկայացված է երականման և ոսպնյականման հանքամարմինների սերիայով. առանձին հանքամարմիններ ըստ տարածման և անկման փոխարինելով միմյանց, առաջացնում են համարյա ուղղածիգ հանքասյուն: Հանքայնացումն ըստ տարածման հետամտված է $2,5$ կմ, իսկ դեպի խորքը՝ մինչև 900 մ, հանքամարմնի միջին կարողութունը կազմում է 1 մ, փքվածքներում հասնելով մինչև 20 մ:

Հանքանյութի միներալոգիական կազմն է՝ սֆալերիտ միջանի գեներացիայի, տարբեր գույնի ու կազմության, գալեհիտ, պիրիտ, պիրրոտին, խալկոպիրիտ, խունացած հանքանյութեր, երբեմն բնածին մկնդեզ և բնածին ոսկի. երակայիններից բնորոշ են կվարցը, կալցիտը և բարիտը:

Ս. Ի. Տալդիկինը և ուրիշ հետազոտողներ առանձնացնում են հանքայնացման մինչև 7 ստադիա, որոնք զարգացել են հետևյալ հաջորդականությամբ՝

1) կվարց-պիրիտային, 2) կվարց-կալցիտ-պիրրոտինային (խալկոպիրիտով, սֆալերիտով, գալենիտով), 3) կվարց-բազմամետաղ (գլխավոր ստադիա), սֆալերիտի և գալենիտի հիմնական քանակի նստեցումով, որին խառնվում է պիրիտը, 4) կալցիտ-

բազմամետաղ, 5) կվարց-կլեյոֆանային, 6) կալցիտային (ուշ առաջացած վարդագույն կալցիտ), 7) բարբիտային: Արդյունաբերական գլխավոր նշանակութուն ունեն երրորդ և չորրորդ ստադիաների հանքանյութերը:

Հանքանյութման առանձին ստադիաների միներալային ազդեցատները սերտորեն միահյուսվում են, տեղ-տեղ էլ տարածականոթն առանձնանում:

Հանքանյութերը հորուստ են կազարով (6—8% և ավելի), ցինկով (10—12%⁰), պարունակում են արծաթ (մինչև 200 գ/տ.) և կազմում (մինչև 0,5%⁰ սֆալերիտի կոնցենտրատներում): Կապարի և ցինկի պարունակութունն ըստ խորության նվազում է:

Սադոնից 5—6 կմ դեպի հյուսիս-արևմուտք գտնվում է Ջգիդի հանքավայրը, որը ներկայացված է երկու գլխավոր երակով, որանք հետամտված են 550 մ ընդհանուր երկարությամբ, 150—180 մ խորությամբ. երակների կարողութունը տատանվում է մի քանի սմ մինչև 1,5 մ սահմաններում: Ջգիդի հանքային երակների տեղադրման պայմանները նույնն են, ինչ որ Սադոնում. նրանք հարում են հյուսիս-արևելյան 40—50° տարածում ունեցող և 75—85° զառիթափ անկյան տակ դեպի հյուսիս-արևմուտք ընկնող ճեղքերին: Հանքային երակները լավ են պահպանված գրանիտներում, վատ՝ էֆուզիվներում և էլ ավելի վատ ավազա-թերթաքարային շերտախմբում, որի մեջ երակները մասնատվում են առանձին երակիկների և արագորեն մաքրում:

Հանքանյութի կազմը՝ սֆալերիտ, գալենիտ, խալկոսիբիտ, պիրիտ, արսենոպիրիտ, պիրրոտին, երբեմն մագնետիտ, մոլիբդենիտ, բնածին մկնդեղ: Երակային միներալներից կարելի է նշել կվարցը (վաղ մոխրագույն և ավելի ուշ կաթնագույն-սպիտակ ու ծխագույն), կալցիտը (վաղ սպիտակ և ավելի ուշ վարդագույն), մանգան-սիդերիտը և բարբիտը:

Ն. Մ. Պրոկոպենկոն Ջգիդի համար առանձնացնում է հանքանյութման հետևյալ ստադիաները՝ 1) կվարց-պիրիտային, 2) կվարց-մանգան-սիդերիտային (մագնետիտի, արսենոպիրիտի, վաղ առաջացած սֆալերիտի հետ), 3) կվարց-բազմամետաղ (գլխավոր ստադիա), 4) կալցիտային, 5) կալցիտ-բազմամետաղ (վարդագույն կալցիտի, գալենիտի և կլեյոֆանի հետ) և 6) բարիտ-բազմամետաղ:

Հարկավոր է նշել «Փալերիտի առնվազն երեք գեներացիայի պարզորոշ առանձնացում: Մուգ մոխրագույն (ամենավաղ առաջացած, պիրիտի հետ), մուգ-շագանակագույն (ամենատարածված, դալենիտի հետ սերտ զուգակցված), բաց-գեղնավուն (վարդագույն կալցիտի և ուշ առաջացած դալենիտի հետ):

Սադոնի և Ջգիդի հանքավայրերի հասակը, ինչպես և հանքայնացման կապը մայր օջախի հետ, ստույգ պարզված չեն. հանքավայրերը որոշ գեոլոգների կողմից կասկած են մինչևկելովեյան, մյուսների կողմից՝ երրորդական հասակի գրանիտոիդային օջախի հետ, որը մակերեսում չի մերկացած:

Ըստ հանքամարմնի ձևի, հանքանյութերի միներալոգիական կազմի և կոդային ապարների փոփոխման բնույթի (սերիցիտացում, քլորիտացում, կվարցացում) Սադոնը և Ջգիդը պատկանում են միջին ջերմաստիճանային բազմամետաղ ֆորմացիայի երակային հանքավայրերի տիպին:

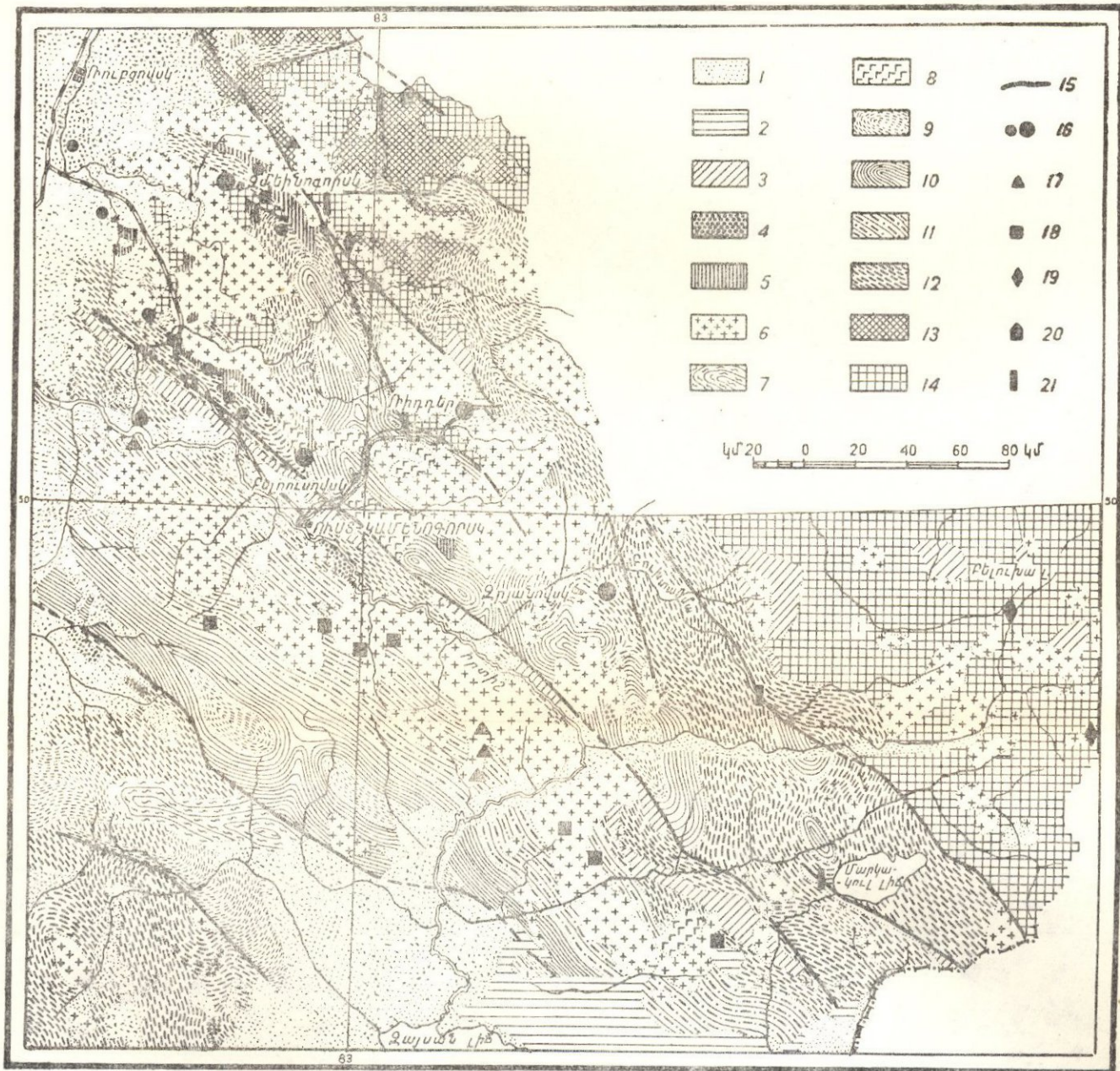
Ալթայի ըսզմամետաղ հանքավայրերը մանրամասն ուսումնասիրված են Վ. Պ. Նելսոնոշևի և Ն. Ն. Կուրեկի կողմից, հայտնի են և շահագործվում են 18-րդ դարի կեսերից:

Սկզբնական շրջանում գլխավորապես մշակվում էին այդ հանքավայրերի ոսկով և արծաթով հարուստ օքսիդացած հանքանյութերը:

Հանքային Ալթայում ամենահին ապարները հանդիսանում են քեմբրի և մինչքեմբրի գնեյսները և թերթաքարերը: Նրանց վրա աններդաշնակ տեղադրված է դեոնի և ստորին կարբոնի թերթաքարերի և էֆուզիվ ապարների շերտախումբը, որը հատված է հերցինյան գրանոդիորիտների և կվարցային պորֆիրների ինտրուզիաներով:

Ինտրուզիվ ապարների ներդրման և հանքայնացման տեղայնացման համար մեծ նշանակություն ունեն ճմլման տեկտոնական զոնաները: Նրանցից մեկն անցնում է Իրտիշի ափի երկայնքով և կոչվում է Մերձիրտիշյան, մյուսը՝ նրան զուգահեռ 70 կմ դեպի հյուսիս-արևելք: Այս զոնաները 1—10 կմ լայնությամբ ըստ տարածման հետամտվում են հարյուրավոր կիլոմետրեր. նշված զոնաների սահմաններում կենտրոնացած են կվարցային պորֆիրների շտովները և հանքայնացումը:

Մերձիրտիշյան զոնայի սահմաններում տեղադրված են Բելուուսովի, Բերյոզովսկի և Նիկոլաևսկի պղինձ-ցինկային, իսկ հյուսիս-արևելյան զոնայում՝ Ջիրյանովսկի, Լենինգորսկի (Ռիդ-

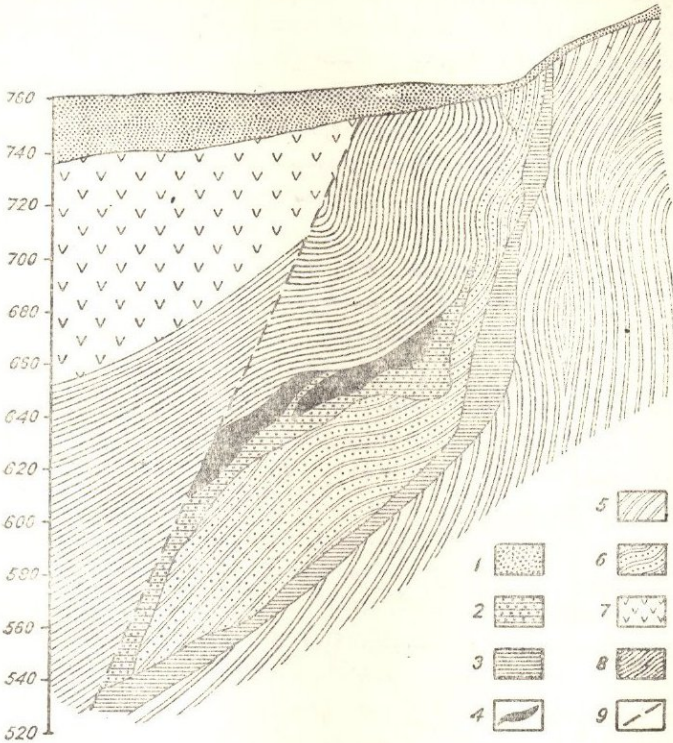


Նկ. 91. Հարավ-Արևմտյան Արալի ստրուկտուր-գեոլոգիական և օգտակար հանածոների խոշորագույն հանքավայրերի քարտեզ (ըստ Վ. Պ. Նեխտրոշևի)

1—չորրորդականի նստվածքներ, 2—երրորդականի նստվածքներ, 3—բյուրեղային թերթաքարեր, 4—հիմքային ինտրուզիվներ և երակային ապարներ, 5—ինտրուզիվ և երակային պորֆիրներ, 6—զրանիտներ և զրանոզիտրիտներ, 7—ստորին պերմ, 8—վերին պալեոգոյան էֆուզիվ-տուֆոզեն նստվածք, 9—վերին վիզելի նստվածքներ, 10—ստորին վիզելի և վերին տուրնեյի նստվածքներ, 11—զևոն, կարբոն, 12—զևոն, 13—սիլուր, 14—քեմեր-սիլուր, 15—խզուֆներ և ճմլման զոնաներ, 16—բազմա-մետաղ հանքավայրեր, 17—վոլֆրամային հանքավայրեր, 18—անագային հանքավայրեր, 19—վոլֆրամ-մոլիբդենային հանքավայրեր, 20—վոլֆրամ-անագային հանքավայրեր, 21—երկաթի հանքավայրեր:

SW

NO



Նկ. 92 ա. Ռիդդեր հանքավայրի սխեմատիկ ընդլայնական գեոլոգիական կտրվածք: Կտրվածքի վրա երևում է սուլֆիդային հանքանյութերի հատումը սերիցիտոլիտներով 1—բրվածքներ, 2—սերիցիտոլիտներ սուլֆիդների ցանով, 3—կարբոնատային և կվարցային սերիցիտոլիտներ, 4—հոծ բազմամետաղ հանքանյութեր, 5—միկրոկվարցիտներ սուլֆիդների ցանով, 6—կարմրա-կանաչավուն տուֆեր, 8—կավային թերթաքարեր, 9—գետտեկտոնական գծեր:

դերսիկի) և Չմեյլինոգորսիկի բազմամետաղ հանքավայրերը (Նկ. 91):

Լենինոգորսիկի (Ռիդդերի) հանքադաշտը Սոկոլնոյե, Կրյուկովի և Ֆիլիպովի հանքավայրերի հետ միասին ներկայացնում է Սովետական Միության բազմամետաղ հանքանյութերի խոշորագույն հանքավայրը:

Հանքավայրերը ներկայացված են շատ հարուստ մասսիվ սուլֆիդային հանքանյութերի սպինյակներով (Pb 10—15⁰/₀, Zn 15—20%, Ag հարյուրավոր գ/տ.) և ցանավոր հանքանյութային տեղամասերով (Pb 2—3⁰/₀, Zn 3—5⁰/₀):

Հանքանյութի կազմը՝ սֆալերիտ, գալենիտ, պիրիտ, խալկոսիլիտ, տեռաէդրիտ, արսենոսիլիտ, էնարգիտ, բնածին սսկի, Au, Ag, Pb-ի տելուրային միացություններ, կվարց, բարիտ, կարբոնատներ, սերիցիտ: Հանքանյութերը մինչև 70—80 մ խորությունը օքսիդացած են:

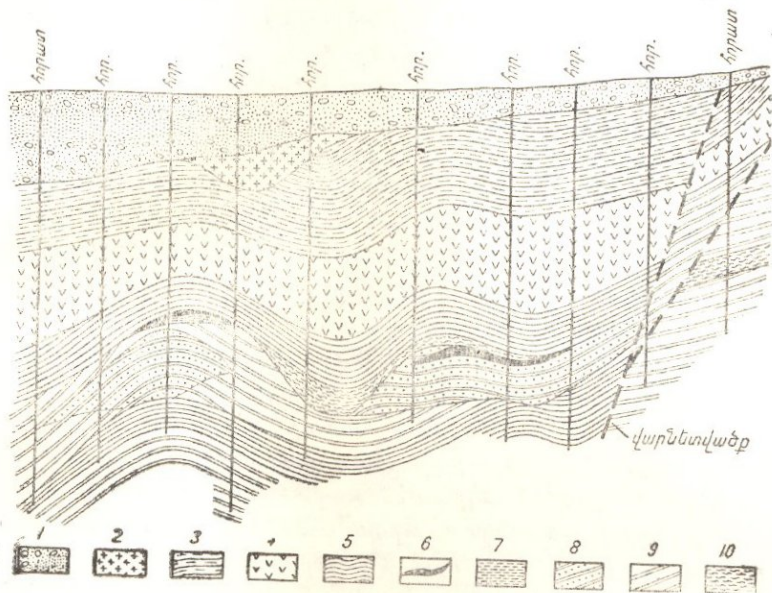
Հանքագառները հարուստ են միջին գետնի ապարներից կազմված, լայնակի տարածում ունեցող բրախիառտիկլինալային ծալքերին: Հանքանյութումը հարուստ է եղջրաքարացած տուֆերի (պռակած կող) և կավային թերթաքարերի (կախված կող) սանմանին: Մասսիվ հանքանյութերը կազմում են մինչև 10 մ կարողություն ունեցող սպինյակներ և կուտակներ, որոնք հետամտված են ըստ տարածման մինչև 350 մ և ըստ խորության հարյուրավոր մետրեր: Ցանավոր հանքանյութերի զոնաները սովորաբար տեղագրված են մասսիվ հանքանյութերի պռակած կողի կվարցացած տուֆերի (եղջրաքարերի) մեջ և հասնում են 40—70 մ կարողության (նկ. 92): Մասսիվ հանքանյութերը շատ հարուստ են, իսկ ցանավորները թեպետ ազքատ են, սակայն նույնպես ներկայացնում են արդյունաբերական արժեք:

Որոշ տեղամասերում լայն կերպով զարգացած են Ն. Ն. Կուրեկի կողմից «սերիցիտոսիլիտներ» անվան տակ առանձնացված յուրահատուկ, գլխավորապես սերիցիտից կազմված ապարները, որոնք իրենցից ներկայացնում են հիգրոթերմալ փոփոխված ապարներ կամ ճեղքերում և միջջերտային արանքներում ձևավորված հիգրոթերմալ երակային գոյացումներ: Սերիցիտոսիլիտները պռակած կողի կողմից երբեմն շրջակալում են մասսիվ սուլֆիդների մարմինները, բաժանելով նրանց ցանավոր հանքանյութում պարունակող եղջրաքարերից: Սերիցիտոսիլիտները փոքր-ինչ ավելի երիտասարդ են հոծ և ցանավոր հանքանյութերից, տեղ-տեղ հատում են հանքանյութերը և հիմնականում կազմված են սերիցիտից, դոլոմիտի, կվարցի, քլորիտի և ուշ գեներացիաների սուլֆիդների (բաց գույնի սֆալերիտ և գալենիտ) խառնուրդով:

Առաջնային հանքանյութերը հարուստ են Pb, Zn, պարունակում են նաև Cu, Cd, Au, Ag, Te, Ga և մի շարք այլ հազ-

վագյուտ էլեմենտներ: Մինչև 50 մ խորությունը հանքանյութերն օքսիդացած են և առանձնապես հարուստ են Ag և Au (ընածին սկիւր, ընածին արծաթ, կերարգիլիտ, արգենտիտ):

Սալախրի հանքավայրերը Ալթայի հանքավայրերին նման են և տեղադրված են միջին քեմոքրի կերատոֆիրների և տուֆոգեն թերթաքարերի մեջ: Գ. Ս. Լարազինի տվյալներով հանքամարմինները տեղադրված են ապարների թերթավորման



Նկ. 92 բ. Սոկոլնոյե հանքավայրի սխեմատիկ ընդլայնական գեոլոգիական կտրվածք (բստ Պ. Պ. Բուրովի)

- 1—բերվածքներ, 2—կվարցային կերատոֆիր, 3—կրաքարա-կավային թերթաքար, 4—կարմրա-կանաչավուն տուֆեր, 5—կավային թերթաքար, 6—հոծ սուլֆիդային հանքանյութ, 7—հանքայնացված սև բիցիտ-կարբոնատային ապարներ, 8—ցանավոր հանքայնացում եղջրաքարերի մեջ, 9—եղջրաքարեր, 10—սև բիցիտ-կարբոնատային ապարներ:

հետ աններդաշնակ, հանքանյութերը ճավված չեն, երիտասարդ են կալեգոնյան ծալքավորությունից և կասրված են չմերկացած հերցինյան գրանիտոիդների հետ:

Ալթայի և Սալախրի հանքավայրերը միջին ջերմաստիճանային են, պատկանում են թերթաքարերում առաջացած ոսպ-

նյակները տիպին, գենետիկորեն կապվում են գրանիտոիդային ալյուօքսիդի հետ, որի ածանցյալներն են հանգիսանում գրանիտ-պորֆիրները մանր շտոկները: Վերջիններս Ալթայում ժամանակի և տարածության մեջ սերտորեն զուգակցված են հանքանյութերի հետ (Սալաիրում գրանիտոիդները չեն մերկացված):

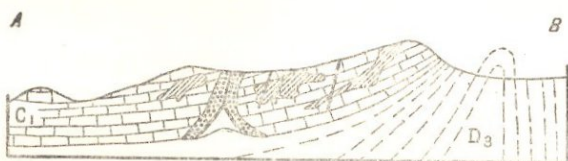
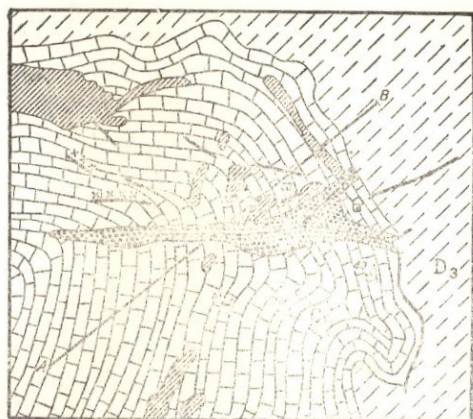
Ալթայի և Սալաիրի հանքանյութերի գենետիկ վերաբերյալ գոյություն ունի նաև մի այլ տեսակետ. ըստ Մ. Ա. Ուսովի և Ա. Ի. Սեմյոնովի հանքայնացումը կապվում է $Сm_2$ (Սալաիրում) և D_2 (Ալթայում) հրաբխային գործունեության հետ:

Այս տեսակետի հիմնավորման համար նշվում է հանքայնացման տեղագրումը հրաբխածին հասավածքի մեջ, նրա կապը հրաբխային խառնարանների հետ, հանքանյութերի մետամորֆիզմը (հանքանյութերն ուրալյան կոլչեդանների նման, իրենց պարունակող էֆուզիվների ու տուֆերի հետ միասին ենթարկվել են շերտավորման և մետամորֆիզմի):

Կարատաու և Լեոնաշովայի հանքավայրերը Ղաղաթական ՍՍԽ-ում (Տուրլան և Միրզալիմսայ) առանձնապես մանրամասն ուսումնասիրել է Ի. Ի. Կնյազևը:

Այս տիպի հանքայնացման համար բնորոշ են՝ 1) կարբոնատային ապարների (կրաքարերի, դոլոմիտների) շերտավաճակներին հարելը, 2) մակերեսային մեծ տարածումը, 3) մետասոմատիկ հանքանյութերի լայն զարգացումը, 4) հանքանյութերի պարզ կազմությունը (գալենիտ, սֆալերիտ, պիրիտ, մարկազիտ, կալցիտ, դոլոմիտ, սիդերիտ, բարիտ, քիչ կվարց և երբեմն ֆլյուորիտ), ընդ որում հանքանյութերն առաջացել են մոտ 100° ջերմության պայմաններում, 5) կապարի և ցինկի արդյունաբերական և արծաթի սովորաբար ցածր պարունակությունը (1—2 գ. 1% Pb գիմաց), բացառությամբ բարիտով հարուստ հանքանյութերի տարբերակների, որտեղ 1% Pb-ի գիմաց Ag պարունակությունը հասնում է տասնյակ և հարյուրավոր գրամներին, 6) հանքամերձ փոփոխությունները (դոլոմիտացում, բարիտացում, հազվադեպ կվարցացում) և 7) հրային ապարների բացակայությունը (նկ. 93):

Ի. Ի. Կնյազևն առանձնացնում է հանքայնացման երկու տիպ՝ ա) ճեղքային տիպի հանքամարմիններ, որոնք սովորաբար հարուստ են օքսիդացած հանքանյութերով և բ) շերտավոր տիպի աղքատ, ցրված սուլֆիդային ցանավոր հանքանյութեր:



Նկ. 93. Տուրլան հանրավայրի
գեոլոգիական քարտեզ և Կտրվածք A—B գծով
(ըստ Ի. Ի. Կեյազևի)

1—կրաքարային շերտախումբ C_1 (սև մոխրագույն կրաքարեր), 2—կարբոնատային ապարների բրեկչիաներ, 3—զոլումիտացման գոնաներ, 4—կրաքարամերգելային շերտախումբ D_3 (մերգելներ, սև թերթաքարեր, կրաքարային մերգելներ), 5—զալենիտի ցան և հանքամարմիններ, 6—տեկտոնական խզումներ:

Ճեղքային տիպի մարմինները հարում են զառիթափ կամ փոքրաթեք ձեղքերին և ներկայացված են երակա-ոսպնյակահաման, կամ խողովակահաման ձևերով, մինչև 10—15 մ կարողությամբ, որոնք ըստ տարածման և անկման հետամտվում են մի քանի մետրից մինչև հարյուրավոր մետրեր (նկ. 94): Նրանք

տեղադրված են մասսիվ կրաքարերում և դուրմիտներում կամ կրաքարերի և ավազաքարերի կոնտակտների երկայնքով:

Յրված հանքայնացումը կենտրոնացած է որոշակի բարենպաստ հորիզոններում (առավել ծախտակեն, ճեղքավոր կամ



մ 0 15 30 45 60 մ



Նկ. 94. Տուրլան հանքավայրի կապարի և ցինկի օքսիդացած հանքանյութերի փոխհարաբերության սխեման (ըստ Բ. Բ. Կնյազևի)

1—կրաքար, 2—փլման բրեկչիա, 3—կապարի օքսիդացած հանքանյութեր, 4—ցինկի օքսիդացած հանքանյութեր:

կազմույթյան էական փոփոխություն հետամտվում է երկրի մակերևույթի մինչև 800—900 մ: Մակերեսից մինչև 200—250 մ խորությունը զարգացած են օքսիդացած հանքանյութերը:

Հանքայնացումը կապված է երկրորդական կարգի տեկտոնական խախտումների հետ (տեղաշարժ-վրաշարժային կարեր, որոնք կցորդված են խախտման խոշոր գոնանների հետ, միջշերտային տեղաշարժեր և թերթավորում, ուղեկցված անջատման և կլիվածային ճեղքերի ինտենսիվ զարգացումով, բեկորատման բրեկչիաների տեղամասեր):

էկրաններով արգելակված): Հանքայնացումը ներկայացված է ուլթիդների ցաններով ու բարակ երակիկներով և հարում է տարբեր կազմության (դուրմիտների, կրաքարերի, կավային թերթաքարերի հերթադասություն) շերտավազերին: Բնորոշ է զրված հանքայնացման ըստ շերտերի տարածման բավական մեծ ձգվածությունը (մինչև 4 կմ):

Հետաքրքիր է նշել հանքայնացման տեղադրումը բացառապես կրաքարերի ու դուրմիտների մեջ և հանքայնացման բացակայությունը մերգելներում և կավային կրաքարերում (հանքայնացումը կենտրոնացած է մերգելային կրաքարերի ստորին ենթաշերտից ցած և բացակայում է վերադիր շերտավազերում):

Հանքայնացումը դեպի խորքը առանց հանքանյութերի

Ըստ գենետիկ տիպի հանքավայրերը պատկանում են ցածր ջերմաստիճանային տեղեթերմալ հանքավայրերին և կապվում են չմերկացած գրանիտոիդային ինտրուզիաների հետ:

Գոյություն ունի նաև մի այլ, թույլ հիմնավորված, տեսակետ կարրոնատային ապարներում տեղադրված կապար-ցինկային հանքավայրերի նստվածքային ծաղման մասին (Մ. Մ. Կոնստանտինով): Համաձայն այս տեսակետի, ցրված սուլֆիդային հանքայնացումը համարվում է սինգենետիկ կարրոնատային ապարների նստեցման հետ, իսկ երականման մարմինները և ջրոկվերկային զոնաները գիտվում են որպես հանքանյութի վերանստեցման արդյունք, որը տեղի է ունեցել նստվածքների դիագենեզի և մետամորֆիզմի պրոցեսում: Սակայն այս տեսակետին հակասում է հանքայնացման սերտ կապը հիդրոթերմալ պրոցեսների (գոլումիտացում, բարիտացում և կվարցացում) հետ, որոնք և ուղեցույց են հանդիսանում հանքանյութերի որոնումների ժամանակ:

Միսսուրի և Միսսիսիպի գետերի ավազանների հանքավայրերն ընդգրկում են մի հոկայական կրիպտոբաթոլիտային մարդ տարրեր հասակի կարրոնատային շերտախմբերում տեղադրված ցածր ջերմաստիճանային տեղակալման հանքավայրերով (նկ. 95): Առանձնացվում են հետևյալ շրջանները՝ Հարավ-արևելյան Միսսուրի կամ «կապարային գոտի», որը տարեկան տալիս է մինչև 150 հազ. տ. կապար և քիչ արծաթ: Հանքավայրերը ներկայացված են ցրված հանքանյութերի տեղակալման կուտակներով, որոնք պարփակված են քեմբրի հասակի Բոնտերր կվարցացած գոլումիտում. կուտակներն ըստ երկարության տարածվում են ավելի քան 300 մ, ունեն $3-4,5$ մ կարողութուն և զարգանում են գոլումիտի շերտագրման երկայնքով: Հանքանյութերը սովորաբար ցանավոր են: Գլխավոր միներալն է զալենիտը (ընդլայնական կտրվածքում բյուրեղները հասնում են մինչև $2,5$ սմ), հանդիպում է նաև բավականաչափ մարկազիտ, քիչ զիգենիտ (Co, Ni) $_3\text{S}_4$, պիրիտ, խալկոպիրիտ և կալցիտ:

Հարավ-արևմտյան Միսսուրի և Տրի-Ստեյտ շրջանը հանդիսանում է կապարի փոքր խառնուրդ պարունակող ցինկի աղքատ ($2-3\%$ Zn) հանքանյութերի հանույթի մի խոշորագույն շրջան:

Հանքանյութերը հարուստ են Բուն շերտախմբի (ստորին



Նկ. 95. Միսսիսիայի հովտի կապար-ցիկային արդյունավետ տարածությունների տեղայնացումը ցույց տվող քարտեզ
 1—Տրիստեյտ, 2—Հարավ-արևելյան Միսսուրի, 3—Հարավային Իլինոյս-Կենտուկի, 4—Արևելյան Միսսիսիայի, 5—Կենտրոնական Միսսուրի, 6—Հյուսիսային Արկանզաս

կարրոն) կայծքարացած, բրեկչիացած կրաքարերին, որոնք ծածկված են կավային թերթաքարերով: Հանքայնացումը հարուստ է վարնետավածքային խախտումներին, որոնցից դուրս շերտերը հանքաղուրի են: Հանքամարմինները ներկայացված են մինչև 3 կմ երկարությույն և 24 մ կարողությույն ունեցող անկանոն կուտակներով: Հանքանյութերի կազմը՝ սֆալերիտ, քիչ գալենիտ, վյուրտցիտ, մարկազիտ, պիրիտ, խալկոպիրիտ, հազվադեպ էնարգիտ և միլլերիտ: Երակային միներալներից հանդիպում են կվարց, կարրոնաաններ և քարիտ:

Միսսուրի և Միսսիսիպի գետերի ավազաճանների հանքավայրերի գենեզիսը երկար ժամանակ վեճի առարկա էր հանդիսանում և որոշ գեոլոգների կողմից համարվում էր ինֆիլտրացիոն, մյուսների կողմից՝ հիդրոթերմալ (տեղեթերմալ):

Հանքավայրերի շրջանում ինտրուզիվ ապարներ հայտնի չեն. կավճի հասակի գրանիտոիդները մերկանում են միայն հանքաքեր տարածությունների հարավ-արևմտյան ծայրամասում: Հանքավայրերի հիդրոթերմալ ծագման մասին վկայում են հետևյալ տվյալները՝ ապարների ինտենսիվ կայծքարացումը, առաջացման ջերմությունը (Նյուհաուզի կողմից որոշված է 115—135°C ըստ սֆալերիտում գտնված բշտիկների), այնպիսի միներալների (էնարգիտ) առկայությունը, որոնք մինչև այժմ էլ էկզոգեն հանքավայրերում չեն հանդիպել, հարավ-արևմտյան մասում մերկացած գրանիտոիդների նկատմամբ միներալային զոնալության նշանները (գեպի հարավ-արևմուտք ինտրուզիաներին ավելի մոտ տարածված է Zn, իսկ ավելի հեռու՝ դեպի հարավ-արևելք—Pb):

Հանքավայրերը գիտվում են որպես հիդրոթերմալ ցածր ջերմաստիճանային տեղեթերմալ գոյացումներ:

Մեքսիկայի արծաթի հանքավայրերը (Պաչուկա և Վետա Մադրե): Պաչուկա հանքավայրը շահագործվում է 1534 թվականից սկսած:

Հանքային երակները հարում են հյուսիս-արևմտյան տարածման վարնետվածքներին և տեղադրված են ստորին կավճի նստվածքային շերտախմբերի և երրորդական էքստրուզիվների (անդեզիտների, ուլուխների, տրախիտների) մեջ: Երակները կրուստիֆիկացված և բրեկչիացված են, նրանց կարողությունը 2—5 մ է, տարածման խորությունը մինչև 600 մ:

Ըստ Հյուլինի, հանքայնացումն ընթացել է երկու ստադիայով՝ ա) կվարց, գունավոր մետաղների սուլֆիդներ, ոսդոնիտ, բ) արծաթային միներալներ՝ արգենտիտ, պոլիբադիտ և ստեֆանիտ: Արծաթային միներալները նստել են ճեղքերի կրկնակի բացման ժամանակ և կազմել են արծաթով հարուստ հանքայուներ:

Վետա Մադրեն շահագործվում է 1548 թվականից. նա արծաթի ամենահարուստ շրջաններից մեկն է աշխարհում: Մինչև կավճային հասակի նստվածքային ապարները ճեղքված են ուրուխով, անդեզիտով, գրանիտ-պորֆիրով ու մոնցոնիտով և

ծածկված են էֆուզիվներով: Այս բոլոր ապարները խախտված են վարնետավածքներով, որոնց հարում է հանքայնացումը:

Վեռա Մազրե վարնետավածքը հետամտված է 25 կմ և նրան է հարում մինչև 20 մ կարողության Վեռա Մազրե (մայր երակ) նշանավոր երակը: Ինտենսիվ հանքայնացումը զարգացած է 5 կմ տարածության վրա, խիստ բեկորատման տեղամասերում և ներկայացված է 200—400 մ երկարության հանքասյուններով (բռնանցներով):

Հանքանյութերը կրուստիֆիկացված են. նրանց կազմի մեջ մտնում են՝ կվարց, կարբոնատներ, արծաթի սուլֆիդներ ու անտիմոնիտներ, գունավոր մետաղների սուլֆիդներ, բարիտ, ֆլյուորիտ, ցեոլիտներ և ազուրիտ: Ag և Au պարունակության հարտքերությունը կազմում է 100 : 1:

Մեքսիկայի արծաթային հանքավայրերը տալիս են արծաթի համաշխարհային հանույթի 1/3 և հանդիսանում են փոքր խորություններից ցածր ջերմաստիճանային հիդրոթերմալ հանքավայրեր:

ԸՆԴՀԱՆՐԱՅՈՒՄ ԿԱՊԱՐԻ, ՑԻՆԿԻ ՈՒ ՍՐՄԱԹԻ ՎԵՐԱՅԵՐՅԱԼ ԵՎ ՈՐՈՆՄԱՆ ՆՇԱՆՆԵՐԸ

Կապարի, ցինկի և արծաթի արդյունաբերական կուտակումները սերտ կերպով կապված են չափավոր թթու զրանիտիզների, հազվադեպ հիմքային ու թթու ապարների հետ:

Կարևորագույն արդյունաբերական նշանակութուն ունեն հիդրոթերմալ բարձր և մանավանդ միջին ու ցածր ջերմաստիճանային հանքավայրերը: Առանձնացվում են հանքանյութերի հետևյալ արդյունաբերական տիպերը՝

1) Բազմամետաղ բարձր ջերմաստիճանային մկնդեզի և անագի խառնուրդով, ներկայացված է մետասոմատիկ կուտակներով կայծքարացած, տուրմալինացած ապարներում:

2) Բազմամետաղ միջին ջերմաստիճանային, արծաթի ու սսկու խառնուրդով, սերիցիտացած ու քլորիտացած հրային և դոլոմիտացած նստվածքային ապարներում: Այս տիպում առանձնացվում են հանքավայրերի հետևյալ ենթատիպերը՝

ա) երակային, կապված հիպարխալ ապարների շտեկների հետ,

բ) ոսպնյակներ հրարխածին հաստվածքներում,

գ) մետասոմատիկ մարմիններ կարբոնատային ապարներում:

3) Կապար-ցինկային ցածր ջերմաստիճանային տելեթերմալ, կարբոնատային կվարցացած, բարիտացած, դոլոմիտացած ապարներում:

4) Արծաթային և ոսկի-արծաթային ցածր ջերմաստիճանային, տեղադրված էֆուզիվ հաստվածքների մեջ և կապված հրաբուխների ու սուբհրաբուխների հետ:

Բազմամետաղ հանքանյութերի սկառնային, ինչպես նաև հաղվադեպ հանդիպող նստվածքային հանքավայրերն ունեն անհամեմատ ավելի փոքր նշանակություն:

Կապարի, ցինկի և արծաթի համաշխարհային հանույթի տեսակետից ամենաարդյունավետն են Սաղաղօվկիանոսյան և Միջերկրածովային մեզո-կայնոզոյան մետալոգենիկ գոտիները: ՄՍՌՄ-ի համար, ալպիական և կիմմերյան մարզերից բացի, մեծ դեր են խաղում պալեոզոյան հասակի հանքավայրերը (Ալթայ, Մալաիր, Կարա-Տաու և ուրիշներ):

Բազմամետաղ հանքանյութերի որոնումների կազմակերպման ժամանակ մեծ օգնություն են ցույց տալիս պարունակող ապարների փոփոխման՝ սերիցիտացման, կվարցացման, (հրային ապարներում), դոլոմիտացման, բարիտացման (կարբոնատային ապարներում) օրենքները:

Որոնումների ժամանակ զգալի օգնություն են ցույց տալիս նաև կապարի և ցինկի օքսիդացած հանքանյութերի ելքերը (ցերուսսիտ-անդլեզիտային և սիտոսենիտ-կալամինային գլխարկները), մանգանային գլխարկները (առաջացած բազմամետաղ հանքանյութերին ուղեկցող մանգանո-կալցիտ և ոտոխտրոգիտ երակային միներալների հաշվին):

Որոնումներին որոշակի ուղղութիւն են տալիս մետալոմորֆիկ և հիդրօքսիմիական, ինչպես նաև սկվածքային հանույթները (սկվածքայինը հատկապես կապարի համար): Մասսիվ հանքանյութերի որոշ տիպերի հետախուզման ժամանակ մեծ հաջողութեամբ կիրառվում են գեոֆիզիկական մեթոդները (էլեկտրահետախուզություն, գրավիմետրիա):

Буров П. П. и Курек Н. Н. Риддерская группа полиметаллических месторождений на Алтае. Цветные металлы, № 3, 6, 1936.

Вольфсон Ф. И. Главнейшие полиметаллические и некоторые медные месторождения Центрального Казахстана. Труды ИГН АН СССР, серия рудных месторождений, № 7, 1945.

Галицкий В. В. К Геологическому строению и закономерностям распределения минерализации в рудном поле Джамантай в Центр. Кара-Тау. Докл. АН СССР, т. 47, 1945.

Григорьев И. Ф. Первичные руды Тетюхе и их генезис. Изв. АН СССР, серия геол., № 1, 1936.

Князев И. И. Гидротермально измененные карбонатные породы. Сборник „Измененные околорудные породы и их поисковое значение“. Госгеолтехиздат, 1954.

Крейтер В. М. и Смирнов В. И. Полиметаллические месторождения Средней Азии. АН СССР, 1937.

Курек Н. Н. Серицитолиты Риддерских месторождений на Алтае. Материалы ВСЕГЕИ. Полезные ископаемые, Сб. № 4, 1948.

Лабазин Г. С. Структурно-морфологические особенности полиметаллических месторождений Салаирских рудников и геологические условия их нахождения. Цветные металлы № 3, 1940.

Нехорошев В. П. Зоны сматия рудного Алтая. Изв. АН СССР, серия геол., 1941.

Руднев В. Н. Садонское месторождение свинца и цинка. Природные богатства Сев.-Кавказского края, 1935.

Смирнов В. И. Геология и методы разведок главных полиметаллических месторождений в известняках Сев. Америки. Труды МГРИ, т. XV, 1939.

Смирнов В. И. Закономерности распределения оруденения и методы поисковых работ в Таласском Ала-тау. Труды МГРИ, т. XVI 1939.

Смирнов В. И. Полиметаллическое месторождение Верхнее (Тетюхе). Сов. геология, № 2, 1935.

Смирнов С. С. Полиметаллические месторождения Восточного Забайкалья. Труды ВГРО, вып. 327, 1934.

Усов М. А. Салаир-база сульфидных цинковых руд. Разв. недр № 6, 1936.

Чижиков Д. М. Металлургия свинца, 1944.

Bastin E. Lead and zink deposits of the Mississipi valley region G. S. A. Spec. Paper, 24, 1931.

Dinn A. A. Microscopical study of the Bawdwin ores Burme. Records of the geol. Survey of India v. 62, 1937.

Grumbrecht und Eisentraut. Die Zinklagerstätten der Welt. Met. und Erz. № 8, 1940.

Clegg E. L. G. A Note on the Bawdwin Mines, Burma. Rec. Geol. Survey India, № 75, 1940.

Reimers A. Ein Beitrag zur Kenntniss der Oberschlesischen Blei-Zinklagerstätten. Metall und Erz, 36, 1939.

Rüger L. Die Bodenschätze Grossdeutschlands, sowie Polens und Slowakei, 1940.

Tarr W. A. Southeastern Missouri lead deposits. Econ. Geol., v. 31, pp. 712—754 and 832—866, 1936.

The Geology, Paragenesis and Reserves of the ores of lead and zink. Report of the XVIII session Int. Geol. Congr. 1948 Great Britain 1950 Part VII. Symposium and Proceedings of section F.

Wisser E. Pachuca silver district, Mexico. A. J. M. E. Techn. pub. 753, 1937.

Ա. Լ. Յ Ո Ի Մ Ի Ն Ի Ո Ի Մ (A1)

ԸՆԴՀԱՆՈՒՐ ՏԵՂԵԿՈՒԹՅՈՒՆՆԵՐ

Ալյումինիումին առաջին անգամ ստացվել է 1825 թվականին բոքսիտից և գնահատվել է շատ բարձր: 1890 թ. ալյումինիումի համաշխարհային ձուլումը կազմել է ընդամենը 193 տոննա, այդ ժամանակ նրա 1 կիլոգրամն արժեցել է 45 ուլրի (ոսկով): Մետաղը լայն կիրառում է ստացել 20-րդ դարում, հատկապես առաջին համաշխարհային պատերազմից հետո

Ալյումինիումը թեթև մետաղ է, 2,7 տեսակարար կշռով, տալիս է ամուր և թեթև համաձուլվածքներ՝ մագնալ, էլեկտրոն, սիլումին, կալցուգալյումին և այլն, Zn, Ni, Mg, Mn, Ti, Si, Cu հետ. այդ համաձուլվածքները լայն կիրառում ունեն ինքնաթիռաշինություն, ինչպես նաև մեքենաշինութայան, նավաշինություն և տնային գործածություն առարկաների արտադրության մեջ:

Ալյումինիումի համաշխարհային ձուլումը 1943 թվականին, երկրորդ համաշխարհային պատերազմի ետոն շրջանում, հասել է համարյա 2 միլիոն տոննայի, այնուհետև խիստ կերպով ընկել է և նորից բարձրացել ու գերազանցել պատերազմի տարիների մաքսիմալ մակարդակին, 1954 թվականին կազմելով 2,5 միլիոն տոննա (առանց ՍՍՌՄ):

Առաջին տեղն են զրավում ԱՄՆ (1,3 միլիոն տոննա), այնուհետև Կանադան (0,5 միլիոն տոննա), Գերմանական Ֆեդերալ Ռեսպուբլիկան, Ֆրանսիան, Անգլիան: Ալյումինիումի գլխավոր հանքանյութի՝ բոքսիտի համաշխարհային հանույթը 1954 թվականին գերազանցել է 14 միլիոն տոննայից և կատարվել է գլխավորապես Սուրինամում, Բրիտանական Գվիանայում, ԱՄՆ-ում, Յամայկայում, Ֆրանսիայում: Բոքսիտների նշանա-

կալից հանքավայրեր են մշակվում նաև Հունգարիայում, Հարավսլավիայում, Բրազիլիայում, Ավստրալիայում, Չինաստանում, Հնդկաստանում, Գանայում, Գաիտիում:

* * *

Ալյումինիումի միջին պարունակությունը երկրի կեղևում կազմում է $7,45\%$ ՝ ալյումինիումը կուտակվում է էնդոգեն պայմաններում, գլխավորապես ալիալային նեֆելին և լեյցիտ պարունակող ապարների, ինչպես նաև հիմքային ապարների մի քանի տիպերի (անորթոգիաներ) մեջ և թթու հրաբխածին հաստվածքների հիդրոթերմալ վերամշակման հետ կապված ալունիտացման պրոցեսների դեպքում:

Էկզոգեն պայմաններում ալյումինիումը մասամբ կուտակվում է ալիալային, թթու, երբեմն հիմքային ապարների (տրապպներ) լատերիտային հողմնահարման պրոցեսների դեպքում, առաջացնելով մնացորդային հանքավայրեր. մասամբ տեղափոխվում է մեխանիկական կախույթի կամ կոլոիդալ ու իրական լուծույթների ձևով և նստում ծովային ու լճային ավազաններում, առաջացնելով նստվածքային հանքավայրեր:

Որպես ալյումինիումի հումք, արդյունաբերական նշանակություն ունեն հետևյալ միներալները՝

բյոմիտ և դիասպոր $Al_2O_3 \cdot H_2O$ ($85\% Al_2O_3$),
նիդրարգիլիտ (գիրսիտ) $Al_2O_3 \cdot 3H_2O$ ($65,4\% Al_2O_3$),
անդալուզիտ, դիստեն, $Al_2[SiO_4]O$, ($63\% Al_2O_3$),
սիլիմանիտ $[Al(AlSiO_5)]$ ($63\% Al_2O_3$),
ալունիտ $KAl_3[SO_4]_2 [OH]_6$ ($37\% Al_2O_3$),
նեֆելին $Na[AlSiO_4]$ ($34\% Al_2O_3$),
լեյցիտ $K[AlSi_2O_6]$ ($23,5\% Al_2O_3$),
կաուլինիտ $Al_4 [Si_4O_{10}] [OH]_8$ (մինչև $40\% Al_2O_3$):

Որպես ալյումինիումի հանքանյութ ամենից կարևոր նշանակություն ունի բոքսիտը՝ մի ապար, որը կազմված է կավահողի հիդրատներից, երկաթի օքսիդի հիդրատներից, ջրային ալյումոսիլիկատներից, հեմատիտից, օպալից և այլ միներալներից, որոնք ներկայացված են մեծ մասամբ կոլոիդալ տարրերակներով:

Ըստ միներալոգիական կազմության առանձնացվում են հիդրարգիլիտային, դիասպոր-բյոմիտային և ուրիշ բոքսիտներ:

Բոքսիտների նկատմամբ, որպես ալյումինիում ստանալու հումքի, ներկայացվում են հետևյալ պահանջները՝ Al_2O_3 պարունակությունը պետք է լինի 45%-ից ոչ պակաս, կայծքարային մոդուլը, այսինքն $\frac{Al_2O_3}{SiO_2}$ 2,6-ից ոչ պակաս: Մետաղային ալյումինիումի ստացումը բոքսիտից (և հումքի մյուս տեսակներից) բաժանվում է երկու ստադիայի՝ 1) Al_2O_3 ստացումը 2) Al_2O_3 վերականգնումը մինչև մետաղային ալյումինիումը:

Մշակված են բոքսիտից և հումքի մյուս տեսակներից կալահող ստանալու մի քանի մեթոդներ՝ ա) ալկալային մեթոդ, որը հիմնված է $NaOH$ լուծույթով բոքսիտի տարրավազման վրա. $Al(OH)_3 + NaOH = NaAlO_2 + 2H_2O$. նատրիումի ալյումինատը ($NaAlO_2$) լուծվող միացություն է: բ) Շիկացման մեթոդ (метод спекания), որը հիմնված է բոքսիտը և հումքի մյուս տեսակները սոդայի և կրաքարի հետ շիկացնելու վրա. $Al_2O_3 + Na_2CO_3 = 2NaAlO_2 + CO_2$. շիկացման նյութը (նատրիումի ալյումինատը) տարրավազվում է ջրով և փոխանցվում լուծույթի:

Երկու մեթոդներով ստացված նատրիումի ալյումինատի լուծույթը մշակման է ենթարկվում CO_2 -ով, շիկացվում է 1200—1400° ջերմության տակ և փոխանցվում Al_2O_3 :

Մետաղային Al ստանալու համար կավահողը լուծվում է հալած կրիոլիտի՝ $3NaF \cdot AlF_3$ մեջ, նրա միջով անց է կացվում էլեկտրական հոսանք. կավահողը վերականգնվում է մինչև մետաղային ալյումինիումը (հալած վիճակում անջատվում է կատոդի վրա), իսկ կավահողի թթվածինն օքսիդացնում է անոդային անոդները:

Բացի բոքսիտներից, մի քանի երկրներում, որպես կավահող և ալյումինիում ստանալու հումք, սկսել են խոշոր մասշտաբներով օգտագործել նեֆելինային սիենիտները, ալունիտները, կավի մի քանի տեսակները (կաոլին), ինչպես նաև անորթոգիտները:

ՀԱՆՔԱՎԱՅՐԵՐԻ ԳԵՆԵՏԻԿ ՏԻՊԵՐԸ

Ըստ առաջացման պայմանների կարելի է առանձնացնել բոքսիտների հանքավայրերի հետևյալ տիպերը՝

1) Մեցագորդային հանքավայրեր, որոնք առաջացել են թթու և ալկալային ապարների (Բրազիլիայի, Գվինայի, Հա-

քավային Աֆրիկայի, Գվինեյայի, Գանայի, Արկանզաս նահանգի հանքավայրերը) կամ հիմքային էֆուզիվների ծածկոցների՝ տրապոյնների (Դեկանյան սարահարթի հանքավայրերը Հնդկաստանում) լատերիտային հողմահարման հետևանքով: Այս տիպի հանքավայրերի համար բնորոշ է հանքամարմինների տեղադրման թիկնոցանման ձևը, որպես ծածկոցներ ապարների վրա, ինչպես և ստաիճանական անցումը խորքում այդ սկզբնական ապարներին: Բոքսիտները եոհիդրատային՝ հիդրարգիլիտային են, իսկ հանքավայրերի հասակը չորրորդական և երրորդական է:

2) Պլատֆորմային տիպի, լնա-նանճային ծագման նրսավածքային հանքավայրեր բոքսիտի սսպնյակներով ու շերտանման կուտակներով, որոնք տեղադրված են հնագույն ապարները վրա: Պալեոգոյան հասակի հանքավայրերում բոքսիտները գիրբսիտ-բյոմիտային կազմույթում են, երիտասարդ մեզոկայնադոյան հանքավայրերում բոքսիտները սովորաբար գիրբսիտային են: Այս տիպի հանքավայրերի մասշտաբը մեծ է:

3) Գեոսինկլինալային տիպի նստվածքային հանքավայրեր, որոնք հարում են կարբոնատային շերտախմբերի վրա տրանսգրեսիվ կերպով տեղադրված ավելի հին կրաքարերի հիմնային շերտերին, այսինքն գեոսինկլինալներում կարբոնատային մերձավինյա շերտախմբերի կուտակման ընդմիջումներին: Հանքավայրերի այս տիպը կարևոր դեր է կատարում հատկապես ՄՍՌՄ և Միջերկրածովային ավազանի երկրների համար, որտեղ լայն տարածում ունի և ներկայացված է մանրարակային տեքստուրայի դիասպորային կամ բյոմիտ-հիդրարգիլիտային բոքսիտների խոշոր հանքավայրերով:

Այս տիպի հանքավայրեր մշակվում են Ուրալում լեռնաշղթայի երկու լանջերին՝ Հյուսիսային Ուրալում արևելյան լանջին, որտեղ նրանք հարում են վերին սիլուրի և միջին դեոնի էյֆելյան հարկի կրաքարերի միջև գոյույթում ունեցող ընդմիջմանը, իսկ Հարավային Ուրալում արևմտյան լանջին, որտեղ նրանք հարում են ժիվետյան հարկի կրաքարերի վրա տեղադրված վերին դեոնի վերին ֆրանկյան հարկի կրաքարերի հիմքին: Արդյունաբերական հանքավայրեր հայտնի են նաև Արևմտյան Սիբիրում (Սալաիրյան և ուրիշ հանքավայրեր, որոնք հարում են ստորին դեոնին), Արևելյան Սայաններում (հանքավայրերն ունեն քեմբրի հասակ), Միջին Ասիայում (կարբոնի հասակի) ու Ղազախստանում:

Իսպանիայի, Ֆրանսիայի, Իտալիայի, Հարավսլավիայի, Հունաստանի, Հունգարիայի, Ռումինիայի, Թուրքիայի, Հյուսիսային Հնդկաստանի, Ինդոնեզիայի, Մալայայի հանքավայրերը մեզոզոյան և պալեոգենի հասակ ունեն, հարում են ավելի հին (ստորին յուրայի—ստորին կավճի) հասակի կրաքարերի և դոլոմիտների վրա տրանսգրեսիվ կերպով տեղադրված վերին կավճի հասակի ծանծաղջրյա կարբոնատային շերտախմբերի հիմքին: Բոքսիտային կուտակների ծածկում տեղադրված են սենոմանից մինչև էոցենի հասակի ապարներ. բոքսիտները սովորաբար ունեն ավր-ապտից մինչև էոցենյան հասակ: Հաճախ բոքսիտները երկաթային են, կարմրա-գորշ գույնի և այստեղ ստացել են „terra rossa“ (կարմիր հող) անունը:

Գեոսինկլինալային տիպի պալեոզոյան բոքսիտների մեջ ամենամեծ հեռաքրքրութուն են ներկայացնում Հյուսիսային Ուրալի և Մալաիրի հանքավայրերը, իսկ մեզոզոյան և պալեոգենի բոքսիտների մեջ՝ Հարավային Ֆրանսիայի, Հունգարիայի, Գալմաթիայի (Հարավսլավիա) հանքավայրերը:

Բոքսիտների նստվածքային հանքավայրերի առաջացման պայմանների մասին միասնական կարծիք գոյություն չունի: Որոշ գեոլոգներ (Մալյակովին, Մոլգավանցև) նրանց դիտում են որպես մեխանիկական նստվածքներ, որոնք առաջացել են լատերիտային ծածկույցների լվացման և վերանստեցման հետևանքով, մյուսները (Ս. Գ. Արխանգելսկի և նրա աշակերտները)՝ որպես սովորական կոլլոիդալ լուծույթներից նստեցման արդյունք: Վերջապես մի շարք հեռազոտողներ բոքսիտների առաջացումը կապում են հատուկ միկրոօրգանիզմների գործունեության կամ էֆուզիվ գործունեության և նրա հետ կապված հիդրոթերմալ լուծույթների հետ:

Մեր կարծիքով ամենից հիմնավորվածն Արխանգելսկու տեսակետն է, որը հաստատվում է՝ բոքսիտի նստվածքային հանքավայրերի հարումով նորմալ լճային և ծովային նստվածքների ընդմիջումներին (ավազանի սեթիմի փոփոխում), դիսսպորի, շամոզիտի և երկաթի հիդրոքսիդների հաճախ միաժամանակյա նստեցումով, բոքսիտային հանքանյութերի բակլային տեքստուրայով:

Գտնում են, որ դժվարաշարժ Al_2O_3 -ի տեղափոխմանն օժանդակում են օրգանական նյութերը և H_2SO_4 , որն առաջանում է սուլֆիդների քայքայման հետևանքով:

Գեոսինկլինալային տիպի (ամենակարևոր տիպն է) բոքսիտային հանքավայրերի որոնումները ժամանակ հարկավոր է նկատի ունենալ նրանց հարումը պլատֆորմներին կից մարդերին, որտեղ ջրերը քաղցրահամ են (Al, Fe, Mn բերող գետերի ներհոսման հետևանքով), և հաշվի առնել, որ բոքսիտի նստեցումը կատարվում է գեոսինկլինալային ուժիմի խախտման ժամանակաշրջաններում, կարբոնատային շերտախմբերի նստեցման միջև տեղի ունեցած ընդմիջումների ժամանակ:

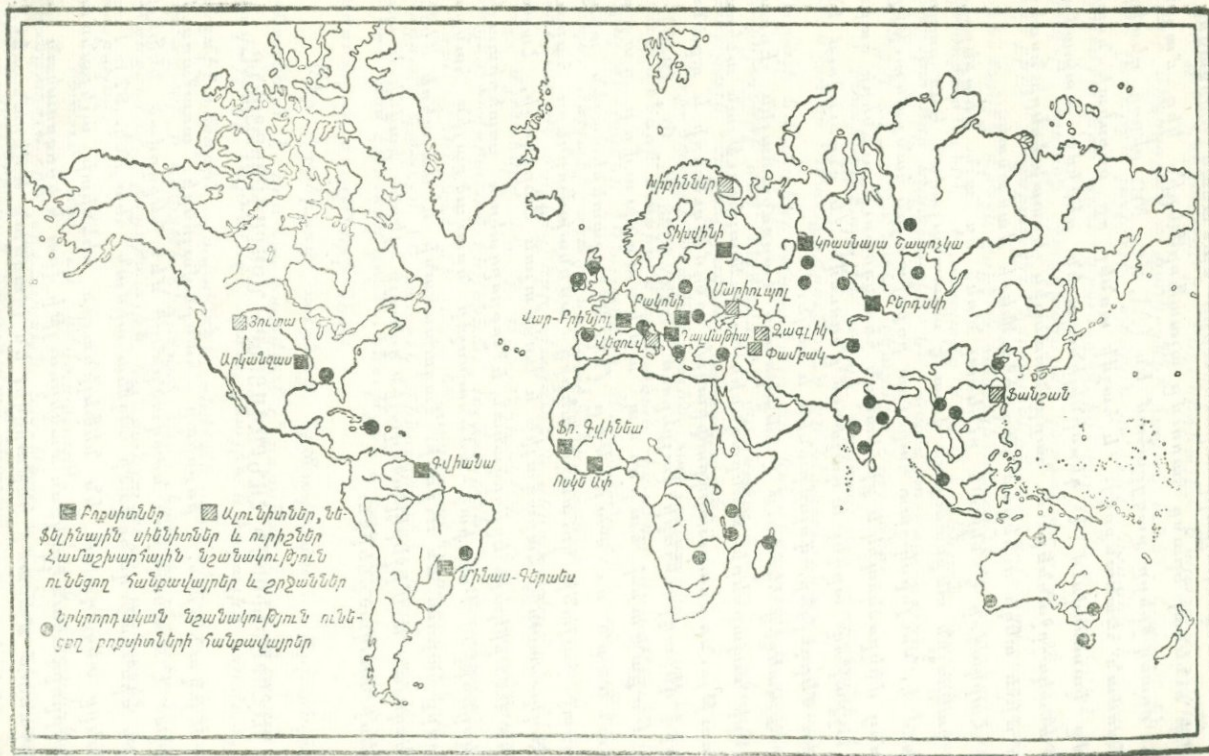
Հարկավոր է նկատի ունենալ նաև, որ այն գեպերում, երբ բակլային տեքստուրան վատ է արտահայտված կամ բացակայում է, նույնիսկ շատ հարուստ բոքսիտային հանքանյութերն առանց միկրոսկոպիկ և քիմիական հետազոտությունների կարող են աչքաթող արվել և դաշտում ընդունվել (և ընդունվում են) որպես մերգելներ, գոլոմիտներ և այլն:

Այստեղից հետևում է հատկապես կարբոնատային շերտախմբերի ապարների մանրազննին ուսումնասիրություն անհրաժեշտությունը ստրատիգրաֆիական ընդմիջումների և տրանսգրեսիվ վերադրումների վայրերում (Викүлова М. Ф., 1946):

Բոքսիտով հարուստ ամենագլխավոր դարաշրջաններն ու մարդերը (նկ. 96). լատերիտային տիպի բոքսիտի հայտնի կուտակումներից ամենախոշորները հարում են Հնդկաստանի, Հարավային և Արևմտյան Աֆրիկայի, Հարավային Ամերիկայի երրորդական և չորրորդական լատերիտային ծածկոցներին: Բոքսիտի ամենախոշոր նստվածքային հանքավայրերը հարում են Ուրալի, Ղազախստանի և Սալարի միջին պալեոզոյան և Միջերկրածովային զոնայի վերին կավճի և պալեոգենի նստվածքներին:

ԱՆՅՈՒՄԻՆԻՈՒՄԻ ՀԱՆՔԱՎԱՅՐԵՐԻ ՆԿԱՐԱԳՐՈՒԹՅՈՒՆԸ

Արևական դաս. բոքսիտի հանքավայրերի առաջացումը կապված է պալեոզոյան նստվածքների մեջ ներդրված նեֆելիտային սիենիտի զանգվածի հոգնահարման հետ (նկ. 97): Բոքսիտները տեղադրված են նեֆելիտային սիենիտի ալիքանման մինչերրորդական էրոզիոն մակերևույթի վրա և երրորդական դարաշրջանում մասամբ ենթարկվել են լվացման և վերանստեցվել են էոցենի նստվածքային շերտախմբերի մեջ: Բոքսիտի վերա-



Նկ. 96. Աշխարհի այլամիջանային հուսրի խոշորագույն հանրավայրերը:

նստեցված և մնացորդային հանքանյութերը ծածկված են եղել էոցենի նստվածքներով, որոնք հետագայում տեղ-տեղ լվացվել են, մերկացնելով բոքսիտի և սիենիտի փոքր տեղամասեր: Երրորդական դարաշրջանում էոցենի կավերի քայքայման հաշվին առաջացել են ցածրորակ բոքսիտներ, որոնք չեն մշակվում:



Նկ. 97. Բոքսիտի շերտերի կտրվածքն Արկանցասում (բառ Բրեճճերի)

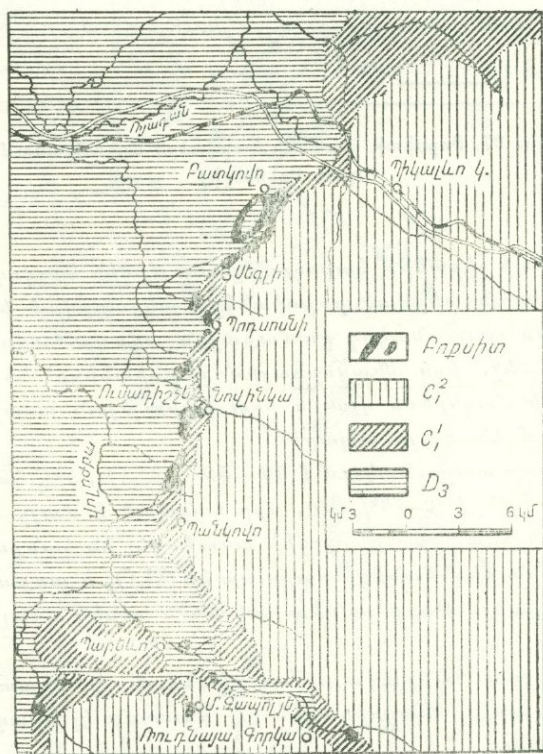
Բոքսիտի շերտերի կարողությունը միջին հաշվով 3,5—10,5 մետր է. վերանստեցված բոքսիտները տեղադրված են լիզնիտի ենթաշերտեր պարունակող ցամաքային ավազա-կավային նըստվածքների մեջ, իսկ մնացորդային բոքսիտները՝ նեֆելինային սիենիտների մակերեսի վրա և ըստ խորություն աստիճանաբար փոխանցվում են մայր ապարի:

Բոքսիտը պարունակում է 56—59% Al_2O_3 , 5% հաճախ ավելի պակաս SiO_2 և 2—6% Fe, որը կապված է մայր ապարների կազմության հետ, որոնց հաշվին առաջացել են հանքանյութերը (նեֆելինային սիենիտները հարուստ են Al_2O_3 և աղքատ են SiO_2 և Fe): Հանքանյութերը բարձրորակ են և ունեն զգալի պաշարներ:

Արկանցաս հանքավայրը պատկանում է պլատֆորմային տիպին, մասամբ մնացորդային է, մասամբ էլ նստվածքային՝ լճա-ճահճային:

Տիլսվինի հանքավայրը (Լենինգրադի մարզ), վերին դեոնի հասակի խայտարեկա շերտախումբը ծածկված է C_1^h ավազա-կավային նստվածքներով և պրոդուկտուսային հարկի (վիզե) C_1^2 կրաքարերով: Բոքսիտի հանքավայրերը հարում են C_1^h արդյունավետ ածխաբեր շերտախմբի ստորին մասին, 15—30 մ կարողություն ունեցող «հանքային հորիզոնին» և ծածկված են այդ շերտախմբի վերին հորիզոնների ավազա-

կալային նստվածքներով, C_1^2 կրաքարերով: Այն դեպքում, երբ այդ սպարները լվացված են, հանքային հորիզոնը մերկացած է մակերեսում կամ տեղադրված է մորենային նստվածքների տակ (նկ. 98): Նշված բոլոր շերտավաճակները տեղադրված են համարյա հորիզոնական կերպով, փոքր հարավ արևելյան թեքությամբ, ընդ որում «հանքային հորիզոնի» ելքերը կազմում են 500 մ մինչև 2—3 կմ լայնության գոտի:

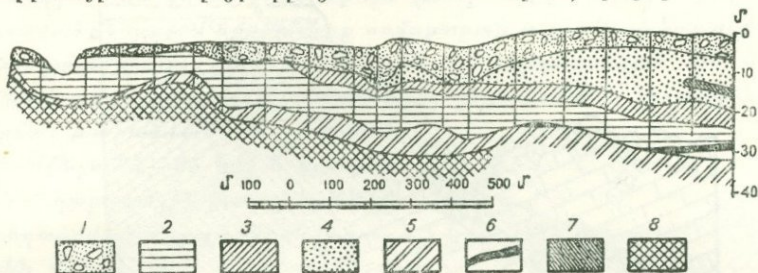


Նկ. 98. Տիլիսի բոքսիտի հանքավայրի գեոլոգիական քարտեզ:

Բոքսիտները տեղադրված են շերտանման կուտակների ու սսպնյակների ձևով, 2—12 մ կարողությամբ և տասնյակ հազար քառ. մետր մակերեսով (նկ. 99): Բոքսիտներն ամուր են, հազվադեպ ծակոտկեն, երբեմն բակլային կառուցվածքով. նրանց գույնը սպիտակ է, մինչև մանուշակագույն և կարմրագորշ:

Բոքսիտների կազմում գերակշռում է դիսպորը, առկա է նաև գիբբսիտ: Al_2O_3 պարունակությունը կազմում է 45—55⁰/₁₀₀, SiO_2 11—12⁰/₁₀₀, Fe_2O_3 սպիտակ տարրերակներում՝ 3—5⁰/₁₀₀, կարմրագորշերում՝ մինչև 30⁰/₁₀₀. $\frac{Al_2O_3}{SiO_2} = 4$, հանքանյութերը բարձրորակ են, պաշարները մեծ:

Գենետիկորեն հանքավայրերը պատկանում են պլատֆորմային տիպին և առաջացել են լճա-ճահճային ավազաններում: Տեղափոխման եղանակի և նյութի նստեցման վերաբերյալ գոյություն ունի երկու տեսակետ՝ 1) բոքսիտը ներկայացնում է մեխանիկական նստվածք, որը տեղափոխված և վերանստեցված է լատերիտային ձածկոցի վաղման ժամանակ, 2) բոքսիտն առա-



Նկ. 99. Տիխվիևի պլատֆորմային տիպի բոքսիտային հանքավայրի երկայնակի կտրվածքը

1 — անոցազառային նստվածքներ, 2 — բոքսիտ, 3 — կավեր (C_1), 4 — ավազ (C_1), 5 — խայտաբղետ կավեր, 6 — քարածուխ, 7 — ավազաքար (C_1), 8 — զեոն (D_3):

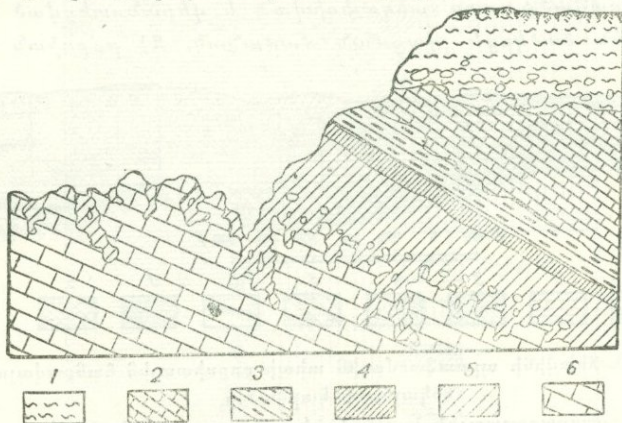
ջացել է որպես քիմիական նստվածք կալանոցի կոլլոիդալ միացություններից, որոնք բերվել են մակերեսային ջրերով: Բակլային տեքստուրայի առկայությունը հանքանյութերում և կլաստիկ նյութի բացակայությունը նրանցում ավելի շուտ հաստատում են երկրորդ տեսակետը (Ա. Գ. Արխանգելսկի):

Հյուսիսային Ուրալի հանքավայրերը (Կրասնայա շապոնկա և ուրիշներ), բոքսիտաբեր գոտին ձգվում է միջօրեակտնի ուղղությամբ 150 կմ երկարությամբ: Հանքավայրերը հարում են վերին սիլուրի և միջին դեոնի կարբոնատային շերտախմբերի նստեցման ընդամիջմանը:

Հանքավայրերն իրենցից ներկայացնում են շերտաման կուտակներ, որոնք ըստ տարածման հետամտված են մի քանի

կիլոմետր, իսկ ըստ անկման (դեպի հյուսիս-արևելք 25—45° անկյան տակ) մի քանի հարյուր մետր. կարողութունը միջին հաշվով 4 մ է (տատանվում է 0-ից մինչև 24 մ սահմաններում):

Բոքսիտները տեղադրված են վերին սիլուրի բաց մոխրագույն ու վարդագույն կրաքարերի (պսոկած կող) և միջին դեվոնի մուգ մոխրագույն կրաքարերի (կախված կող) միջև: Վերին սահմանը կտրուկ է, ստորինը՝ կարստային (նկ. 100): Հանքակուտակի ուղղաձիգ կտրվածքում առանձնացնում են երեք հորիզոն՝ 1) ստորին հորիզոն ծակոտկեն և սպունգանման բոքսիտներով, որոնք պարունակում են բաց վարդագույն կրաքարի



Նկ. 100. Կրասնայա շապոչկա բոքսիտային հանքավայրի կտրվածք

1—կավեր կրաքարի կտորներով, 2—մուգ մոխրագույն ամֆիպոռային կրաքարեր, 3—կավային թերթաքարեր, 4—կանաչ-մոխրագույն բոքսիտներ, 5—կարմիր բոքսիտներ, 6—մուգ մոխրագույն կրաքարեր:

ներփակումներ, 2) միջին կամ հանքային հորիզոն բալի կարմիր գույնի, բարձրորակ ($48-70\%$ Al_2O_3 , $4-15\%$ SiO_2 , մինչև 30% Fe), ամուր կամ բակլային բոքսիտներով, 3) վերին կամ վերհանքային հորիզոն թերթային բոքսիտներով և կառլինային կավերով, որոնք պարունակում են պիրոլյուզիտային հանքանյութերի ենթաշերտեր. բոքսիտները ցածրորակ են:

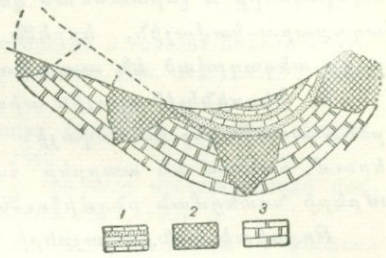
Հանքանյութերը հիմնականում կազմված են գիսսպորից, բյոմիտից, շամոլիտից, պիրիտի, մագնետիտի և հեմատիտի խառնուրդով: Հեմատիտի և մագնետիտի առկայությունը կապվում է հանքանյութերի մետամորֆիզմի հետ:

Հանքավայրերը պատկանում են գեոսինկլինալային առաջացումներին և, համաձայն Ա. Գ. Արխանգելսկու, իրենցից ներկայացնում են գիսսպոր-շամոզիտային նյութի նորմալ քիմիական նստվածք:

Միջերկրածովային զոնայի հանքավայրերը ամենախոշորը և ուսումնասիրվածը Հարավային Ֆրանսիայի և Հարավսլավիայի հանքավայրերն են. նրանք բոլորը նստվածքային են, գեոսինկլինալային տիպի:

Հարավային Ֆրանսիայի հանքավայրերը տեղագրված են տարբեր հասակի՝ ստորին յուրայից մինչև ստորին կավճի (բարբեմ, ապտ) նստվածքային կարրոնատային ասպրների վրա և ծածկված են սենոմանից մինչև դատի հարկի ավազա-կավային նստվածքներով: Բոքսիտները սովորաբար ալը-ապտի հասակի են: Հանքավայրերը շատ խոշոր են և ներկայացված են 5—6 մինչև 18 մ կարողություն ունեցող շերտանման կուտակներով (ըստ տարածման հետամտված են մինչև 20—25 կմ) և կրաքարերի կարստային խոռոչների մեջ տեղագրված «գրպաններով» (ունեն մինչև 100 մ տրամագիծ և 30 մ խորություն) (նկ. 101): Հանքանյութերը բյոմիտային կամ բյոմիտ-հիդրարգիլիտային են և հարուստ Al_2O_3 պարունակություները կազմում է 50—70% և ավելի, SiO_2 սովորաբար 7—10%, Fe_2O_3 մինչև 25—30%, H_2O 10—15%:

Հարավսլավիայի հանքավայրերը տարածված են Գինարյան ծալքավոր սիստեմի մերձափնյա մասում, գլխավորապես Իստրիայում, Սլովենիայում, Դալմաթիայում, Չերնոգորիայում և Բոսնիայում: Բոքսիտները վերին կավճի և էոցենի հասակ ունեն: Գերակշռում են կարստային խոռոչների մեջ տեղագրված խոշոր «գրպաններ» տիպի հանքավայրերը: Հանքանյութերը բարձրորակ են:



Նկ. 101. Բոքսիտի հանքավայր «Գրպանաձև» հանքամարմիններ (poches). ղեպարտամենտ վար. հարավային Ֆրանսիա
1—վերին կավճի ավազներ և կրաքարեր (ցամաքային), 2—բոքսիտ, 3—վերին յուրայի կրաքարեր:

ԸՆԴՀԱՆՐԱՅՈՒՄ ԱԼՅՈՒՄԻՆԻՈՒՄԻ ՎԵՐԱԲԵՐՅԱԼ ԵՎ ՈՐՈՆՄԱՆ
ՆՇԱՆՆԵՐԸ

Ալյումինիումի արդյունաբերական կուտակումները կապված են կավահողով հարուստալիալային, թթու և հիմքային ապարների լատերիտային հողմնահարման, կամ ծովային ու լճային ավազաններում կավահողի հիդրատների նստեցման պրոցեսների հետ:

Ըստ առաջացման պայմանների առանձնացվում են հանքավայրերի հետևյալ տիպերը՝

1) Մնացորդային հանքավայրեր, որոնք առաջացել են լատերիտային հողմնահարման հետևանքով. ըստ խորության աստիճանաբար փոխվում են մայր ապարների՝ սիենիտների և նեֆելինային սիենիտների, գրանիտների կամ տրապպների:

2) Պլատֆորմային տիպի նստվածքային հանքավայրեր, որոնք առաջացել են լճա-ձահճային ավազաններում: Բոքսիտի սպինյակները և շերտանման կուտակները հերթագայում են ավազաքարա-կավային, երբեմն ածխաբեր շերտախմբերի հետ, որոնք տեղադրված են պլատֆորմը կազմող ապարների վրա:

3) Գետտինկլինալային տիպի նստվածքային հանքավայրեր, որոնք առաջացել են ծովային ավազանների մերձավինյա մասերում. հարում են տարբեր հասակի կարբոնատային շերտախմբերի նստեցման ընդմիջումներին:

Բոքսիտի հանքավայրերի որոնումների ժամանակ հարկավոր է հաշվի առնել նշված երեք տիպերի առաջացման դեռուզիական պայմանների մեջ գոյութուն ունեցող տարբերությունները, պլեո-աշխարհագրական տվյալները (պալեոկլիման և այն ավազանների սահմանները, որոնցում տեղի է ունեցել բոքսիտների նստեցումը), իսկ գետտինկլինալային տիպի նստվածքային հանքավայրերի համար՝ բոքսիտների շերտերի նստումը կարբոնատային շերտախմբերի ընդմիջումներին և տրանսգրեսիվ կոնտակտներին:

Որպես մասնավոր նշաններ կարող են ծառայել բոքսիտների բակլային ստրուկտուրան ու սովորական կարմրավուն և մոխրա-կանաչավուն գունավորումները:

ՀԻՄՆԱԿԱՆ ԳՐԱԿԱՆՈՒԹՅՈՒՆ ԱԼՅՈՒՄԻՆԻՈՒՄԻ ՎԵՐԱԲԵՐՅԱԼ

Архангельский А. Д. К вопросу об условиях образования бокситов в СССР, Бюлл. Моск. о-ва исп. природы. Отд. геол., т. XI/4, 1933.

Архангельский А. Д. О происхождении бокситов и о поисках новых их месторождений. Сб. Бокситы, т. 1, ч. 1, тр. ВИМС, вып. 110, 1937.

Белоусов А. К. Методика поисков, разведки и оценки месторождений бокситов. 1940.

Викулова М. Ф. Теоретические основы поисков бокситов на территории СССР. Матер. ВНИГИ, сб. 3, 1946.

Волков А. Н. и Дворщан Е. И. Алюминиевые руды. Минерально-сырьевая база СССР, 1935.

Гладковский А. К., Шарова А. К. Месторождения бокситов Петропавловского бассейна на Урале и их генезис. Геология и полезные ископаемые Урала, вып. 1, 1947.

Гладковский А. К. О генезисе уральских бокситов. Изв. АН СССР, серия геол., № 2, 1948.

Горецкий Ю. К. Некоторые черты генезиса и основные закономерности размещения бокситовых месторождений. Сов. геология, вып. 14—15, 1947.

Горецкий Ю. К., Лавренич, Любимов И. А. Оценка месторождений полезных ископаемых при поисках и разведке, вып. Боксит, Госгеолиздат, 1947.

Ильина Н. С. Геология, минералогия и генезис бокситов Буксонского месторождения в Восточных Саянах. Изв. АН СССР, серия геол., № 1, 1944.

Каржавин Н. А. Месторождение бокситов „Красная шапочка“. Изв. АН СССР, серия геол., № 4, 1942.

Малявкин С. Ф. К вопросу о генезисе месторождений бокситов СССР. Матер. ЦНИГРИ, общая серия, сб. 1, 1936.

Молдаванцев Е. П. Бокситы Северного Урала и проблема их изучения, Труды ЦНИГРИ, вып. 24, 1934.

Наливкин Д. В. Месторождения бокситов СССР и зарубежных стран. АН СССР, 1949.

Blanck E. Die mediterrane Roterde (terra rossa), Handbuch der Bodenlehre. Bd. 3, 1930.

Lapparent. Les bauxites de la France Méridionale. Paris, 1930.

Singewald I. C. Bauxite deposits at Géant, Hungary. Econ. Geol. v. 33, № 7, 1938.

Մ Ա Գ Ն Ե Չ Ի Ո Ի Մ¹ (Mg)

ԸՆԴՀԱՆՈՒՐ ՏԵՂԵԿՈՒԹՅՈՒՆՆԵՐ

Ներկրի կեղևում մագնեզիումի միջին պարունակությունը կազմում է 2,35⁰/₀: Մագնեզիումը բավական տարածված էլեմենտ է. միևնույն ժամանակ դա լայնորեն օգտագործվող մետաղներից ամենաթեթևն է: Նրա տեսակարար կշիռն է 1,74:

Առաջին անգամ մետաղային մագնեզիումն ստացվել է 1808 թ., բայց նրա մասին ինչ-որ մտտացել էին և նա լայն արդյունաբերական կիրառում է ստացել միայն վերջին տասնամյակում, հատկապես վերջին պատերազմի ժամանակ:

Առաջին մետաղը, որը լայն կիրառով կիրառվեց ավիացիայի մեջ, դա ալյումինիումն էր, բայց երբ ծագեց հեռու և բարձր թվույն տեղում հանրաժեշտությունը, հիշեցին մագնեզիումի մասին, որն ավելի քան 1,5 անգամ թեթև է ալյումինիումից և, հետևապես, ավիացիային տալիս է լայն հնարավորություններ:

Ներկայումս արդյունահանվող մագնեզիումի գլխավոր մասը կիրառվում է ինքնաթիռաշինությունից մեջ, ընդ որում հիմնականում համաձուլվածքների ձևով: Լայնորեն տարածված են մագնեզիումի համաձուլվածքները ալյումինիումի, ցինկի և մի քանի ուրիշ մետաղների հետ (այսպես կոչվող մագնալներ և էլեկտրոններ):

Մագնեզիումի համաձուլվածքների բնորոշ հատկություններն են հանդիսանում ամրությունը, կռելիությունը և առածգականությունը ցածր մոդուլը, այսինքն ցնցումները լավ կա-

¹ Մագնեզիումի վերաբերյալ այստեղ բերվում են միայն ընդհանուր տեղեկություններ, առանց առանձին հանքավայրերի բնութագրման, քանի որ դրանք ըստ էության պատկանում են ոչ մետաղային օգտակար հանածոների թվին:

նեղու ընդունակությունը, որը շատ կարևոր է ավիացիայի համար:

Մինչև վերջին պատերազմը տարեկան արդյունահանվում էր ընդամենը մի քանի հազար տոննա մագնեզիում, իսկ ներկայումս նրա արդյունահանումն արդեն հասել է հարյուր հազարավոր տոննաների:

Մագնեզիումի հումքի գլխավոր տեսակներն են՝ մագնեզիա $MgCO_3$, 28,7⁰/₁₀₀ մետաղային մագնեզիումի պարունակությամբ, դոլոմիտ $CaMg [CO_3]_2$, 13,1⁰/₁₀₀ մագնեզիումի պարունակությամբ, ծովի ջուր, 0,12—0,13⁰/₁₀₀ մագնեզիումի պարունակությամբ, կարնալիտ $MgCl_2 \cdot 6H_2O$, 8,7⁰/₁₀₀ մետաղային մագնեզիումի պարունակությամբ:

Մագնեզիան առաջացնում է միջին ջերմաստիճանային հիդրոթերմալ հանքավայրեր: Այդպիսի հանքավայրեր հայտնի են Սովետական Միությունում, Մանջուրիայում, Ավստրիայում: Դրանք խոշոր, համաշխարհային նշանակություն ունեցող հանքավայրեր են: Բացի դրանից, մագնեզիտը հողմահարման պրոցեսների ժամանակ կուտակվում է սերպենտինիտներում: Այս տիպի ինֆիլտրացիոն հանքավայրերի մասշտաբը փոքր է, սրանք հայտնի են Հարավային Ուրալում և Հունաստանում:

Գոլումիտի հանքավայրերն ամենուրեք լայն տարածում ունեն: Գոլումիտներն առաջանում են նստվածքային պայմաններում, անսորմալ աղիություն ունեցող ավազաններում:

Մագնեզիում ստացվում է նաև աղաջրերից, մագնեզիումի աղերով հարստացած, այսպես կոչված ռապայից: Ռապան հանդիսանում է մագնեզիում ստանալու կարևոր հումք:

Նստվածքային ծագում ունեցող կարնալիտի հանքավայրեր հայտնի են Գերմանիայում (Ստասսֆուրտ), ՍՍՌՄ-ում, Ֆրանսիայում և Իսպանիայում:

Մագնեզիումի արտադրությունը մագնեզիտների բազայի վրա կազմակերպված է ԱՄՆ-ում, Գերմանիայում, Ֆրանսիայում, դոլոմիտների բազայի վրա՝ Ֆրանսիայում, Անգլիայում և աղաջրերի բազայի վրա՝ ԱՄՆ-ում և Սովետական Միությունում:

IV ԱԶՆԻՎ ՄԵՏԱՂՆԵՐ

Ո Ս Կ Ի (Au)

ԸՆԴՀԱՆՈՒՐ ՏԵՂԵԿՈՒԹՅՈՒՆՆԵՐ

Ոսկին հայտնի է եղել մարդուն շատ հեռավոր անցյալում, կիրառվել է զարգերի և ամանների պատրաստման, իսկ ավելի ուշ՝ դրամահատման համար: Առաջին անգամ ոսկե դրամները երևան են եկել նոր թվարկությունից 1500 տարի առաջ Յգիպտոսում, Չինաստանում, Հնդկաստանում, ինչպես նաև Միջագետքում:

Հայաստանում ոսկեբեր ցրոնների շահագործման ժամանակ Դիլիջան քաղաքի մոտ գտնված են Պարթևների Օրոգ թագավորի ժամանակների ոսկե դրամներ (1 դար ն. թ. առաջ):

Ներկայումս ոսկին կիրառվում է դրամահատման և ոսկերչական իրեղենների արտադրության բնագավառներում, փոքր քանակությամբ օգտագործվում է բժշկության և հախճապակու արդյունարերության մեջ:

Ոսկու համաշխարհային հանույթը (առանց ՄՍՌՄ) կազմում է տարեկան մոտ 1000 տ. արդյունահանման մեջ առաջին տեղը գրավում է Հարավ-Աֆրիկյան Միությունը, որտեղ միայն Վիտափետերոսանդ ոսկեբեր կոնգլոմերատների հսկայական հանքավայրը տարեկան տալիս է 400—440տ. ոսկի, երկրորդ տեղը գրավում է Կանադան (տարեկան մոտ 200 տ.): Ոսկու զգալի քանակություններ են արդյունահանվում ԱՄՆ-ում, Հարավային Ամերիկայում (Բրազիլիա, Կոլումբիա, Պերու, Չիլի), Ավստրալիայում, Նոր Զելանդիայում, Կորեայում, Արևմտյան Աֆրիկայում, Մեքսիկայում, ինչպես նաև Հնդկաստանում, Ֆիլիպպիններում, Կոնգոյում, Ռոդեզիայում, Ինդոնեզիայում: Համաշխարհային հանույթի կեսը բաժին է ընկնում Աֆրիկային:

Եվրոպան ոսկուց աղքատ է, հնուց հայտնի շատ հանքավայրերը ներհայումս համարյա սպառված են: Համեմատաբար զգալի քանակությամբ ոսկի են ապլիս Ռումինիան և Շվեդիան: Ոսկու հանույթով ՍՍՌՄ (Ուրալ և Սովետական Միության սովական մասի շրջանները) գրավում է առաջատար տեղերից մեկը:

Մոտավոր հաշվումներով Ամերիկայի հայտնաբերումից հետո, այսինքն վերջին 4,5 դարի ընթացքում, արդյունահանված է ավելի քան 50 հազար տ. ոսկի, որից մոտավորապես 30 հազ. տ. դրամի և ձուլածոների ձևով պահվում է բանկերում, իսկ մնացածը մեծ մասամբ ծախսված է ոսկերչական իրերի վրա:

Ոսկու համաշխարհային հետախուզված պաշարները, հաշված նաև աղքատ կոնգիցիոն հանքանյութերը, շատ մեծ են և կազմում են մի քանի տասնյակ հազար տոննա:

Ամենամեծ պաշարներ ունեն հարավ-Աֆրիկյան Միությունը, ՍՍՌՄ և Կանադան:

* * *

Ոսկին չափազանց ցրված էլեմենտ է. նրա կլարիք երկրի կեղևում կազմում է $5 \cdot 10^{-7} / 10$, էլեմենտը սերտորեն կապված է չափավոր թթու և թթու գրանիտոիդների, ավելի սակավ ալկալային, հիմքային և ուլտրահիմքային ապարների հետ: Նրշվում է ոսկու առավելագույն կապը նատրիումային գրանիտոիդների հետ, որոնց մեջ մետաղի պարունակությունը հասնում է 0,1—1,1 գ/տ., որն զգալիորեն բարձր է հրային ապարների միջին կլարից (0,005 գ/տ.):

Հայտնի են արդյունաբերական նշանակություն ունեցող հանքավայրեր, որոնք գենետիկորեն սերտ կերպով կապված են բաթոլիտային տիպի խոշոր գրանիտային ինտրուզիաների հետ, սակայն ոսկու հանքավայրերի ճնշող մասը և նրանց թվում ամենաարդյունավետները, թե տարածականորեն և թե գենետիկորեն, սերտ կերպով կապված են (խորքային օջախի ընդհանրության իմաստով) միջնաթուլիտային մանր ինտրուզիաների, կամ հետբաթոլիտային գիորիաների և գրանոդիորիաների շտուկների հետ:

Ոսկին չի մնում մագմատիկ օջախներում, առաջացնում է դյուրաշարժ միացություններ, որոնք գուրս են բերվում և հեռամագմատիկ, գլխավորապես հիդրոթերմալ, հանքավայրերում տալիս են մետաղի կուտակում:

Ըստ Ն. Վ. Պետրովսկայայի, սսկին անջատվում է գլխավորապես հանքայնացման վերջին ստադիաներում, թեպետ նրա որոշ մասը կապված է վաղ սուլֆիդների հետ:

Ոսկու մեծ մասն անջատվում է հետմագմատիկ լուծույթներից, բազմամետաղ սուլֆիդներից հետո. ըստ անջատման ժամանակի ամենից մոտ է բուլանժերիտին, Ֆրեյբերգիտին և տելուրիդներին: Ոսկուց ուշ անջատվում են ստիբնիտը, Չեմսոնիտը, բերայերիտը, կինովարը (?), ուշ անջատվող կարբոնատներն ու խալցեդոնը:

Օքսիդացման զոնայում սսկին անկասկած տեղափոխվում է. մակրոսկոպիկ սսկին, բարձր տեսակարար կշռի շնորհիվ, մանր ձեղքերով տեղափոխվում է դեպի ցած, միկրոսկոպիկ սսկին՝ կախված վիճակում, սուսպենզիայի ձևով, իսկ սուրմիկրոսկոպիկը՝ սուլֆատների և հալոիդների կոլլոիդ և իրական լուծույթների ձևով (Մ. Ն. Ալբով):

Ըստ Վ. Մ. Կրեյտերի, սսկին լուծվում է H_2SO_4 -ով թթվեցրած $Fe_2(SO_4)_3$, ինչպես նաև $FeCl_3$ մեջ. օքսիդացման զոնայում միգրացիայի է ենթարկվում պիրիտի և արսենոպիրիտի հետ կապված սուրմիկրոսկոպիկ սսկին:

Սուրմիկրոսկոպիկ սսկու լուծումը երկաթի օքսիդի սուլֆատում հաստատված է փորձերի միջոցով:

Օքսիդացման զոնայից սսկին միգրացիայի հետևանքով երբեմն կուտակվում է (խալիդինի և կովելլինի հետ զուգակիցված և վերանստեցված բարձրահարգ սսկու որդածե անջատումների ձևով) երկրորդային սուլֆիդային հարստացման զոնայում: Մակայն ավելի հաճախ սսկու բարձր պարունակությունները կապված են երկաթի գլխարկների և տարրալվացման զոնաների (բարիտային մանրունքի) հետ: Բարձրահարգ սսկու կուտակումներ առաջանում են նաև սսկու տելուրիդների օքսիդացման հետևանքով (Կրիպպլ Կրիկ և Հոլբֆիլդ ԱՄՆ-ում):

Ոսկին պարունակվում է հումուսային հոդերում (մինչև 0,5 գ/ա.), կուտակվում է որոշ և առանձնապես հացահատիկային բույսերի մեջ: Ոսկեբեր շրջաններում Equisetum-ի (ձիաձեռ) մոխիրը պարունակում է մինչև 610 գ/ա. սսկի, իսկ ինքը բույսը՝ 60 գ/ա.:

Ոսկու քիմիական կայունությունը և բարձր տեսակարար կշռը պայմանավորում են նշանակալից ցրոնային հանքավայրերի առաջացումը: Յրոններն առաջանում են մակրոսկոպիկ և

մասամբ միկրոսկոպիկ ոսկի պարունակող արմատական հանքավայրերի քայքայման հետևանքով. կոլչեդանային սուլֆիդային հանքավայրերը սուբմիկրոսկոպիկ ոսկով հանդերձ առհասարակ ցրոններ չեն առաջացնում:

Ոսկու միներալոգիան պարզ է: Գլխավոր արդյունաբերական նշանակություն ունի բնածին ոսկին—Au, որը սովորաբար պարունակում է Ag, Cu, հազվադեպ Bi, Pd, Rh խառնուրդներ: 15—50% Ag խառնուրդով բաց դեղին տարբերակը կոչվում է կելարում (Au, Ag):

Բնածին ոսկին ամենից հաճախ զուգակցվում է պիրիտի, արսենոպիրիտի, խունացած հանքանյութերի, բուլանժերիտի, խալկոպիրիտի, Bi, Pb, Ag տելուրիդների, հազվադեպ դալենիտի, սֆալերիտի, ստիրնիտի, պիրրոտինի, պիրարգիրիտի, մոլիբդենիտի և սւրիշ սուլֆիդների հետ՝ տալով նրանց հետ հարաճումներ, կամ հանդիպելով նրանց մեջ միկրոսկոպիկ և սուբմիկրոսկոպիկ ներփակումներին ձևով:

Յածր ջերմաստիճանային հիդրոթերմալ հանքավայրերում ավելի հազվադեպ արդյունաբերական նշանակություն են ձեռք բերում ոսկու տելուրային և սելենային միացությունները՝ կալավերիաք $AuTe_2$ (Au մինչև 39%), սիլվանիաք $AuAgTe_4$ (Au մինչև 24%, Ag 13%), նագիազիաք $Au(Pb, Sb, Fe)_8(S, Te)_{11}$, 6—13% Au պարունակությամբ:

Բնածին ոսկին հանդիպում է թերթային և թեփուկային հատիկներով, թեղանման և սպունգանման (կոլլոիդոսֆ) անջատումներով, երբեմն խորանարդային սինդոնիայի լավ ձևավորված բյուրեղներով: Բնածին ոսկու հատիկների չափերը չափազանց տարբեր են՝ մանրագույն սուբմիկրոսկոպիկ անջատումներից մինչև մի քանի տասնյակ կիլոգրամ կշիռ ունեցող խոշոր բնածին կրտսերները, որոնք հանդիպել են ինչպես ցրոններում, այնպես էլ արմատական հանքավայրերի մշակման բնթացքում:

Ներկայումս պահպանված առևտրական բնածիններից ամենախոշորը Հարավային Ուրալի Միասնի շրջանում գտնված «Մեծ եռանկյունին» է (կամ «Համաշխարհային մոնստրը», ինչպես կոչել են հնում), որը կշռում է 36կգ 22գ: Ըստ Վ. Ի. Սաբուկակու, այս բնածին կտորն առաջացել է հանքային լուծույթներից կվարցային երակի գրուզային խոշոր խոռոչում. խոռոչի պատերին աճել են լեռնային բյուրեղապակու քմահաճ դասավորված մանր ու խոշոր բյուրեղներ, բնի որում տեղ-տեղ նրանց արան-

քում և մասամբ նրանց վրա աճել են սիդերիտի և կամ գուցե անկերիտի ումբոնեզրային բյուրեղները: Կվարցի և կարբոնատների բյուրեղները գրոշմները պահպանվել են բնածին սսկու այգ հրաշալի կտորի վրա:

Ոսկու շատ խոշոր բնածին կտորներ են գտնված Ալստրալիայի արմատական հանքավայրերի մշակման ժամանակ (Բալլարատ և ուրիշները), որոնք կշռել են 69,6 կգ («Ցանկալի անծանոթ») և 68,2 կգ («Ցանկալի բնածին»):

Արտասահմանում բնածին սսկու ամենամեծ կուտակում հանդիպել է 1872թ. Ալստրալիայի Հիլլ-Էնդ հանքում. այդ բնածին կտորը՝ «Հոլտերմանի սալը» ապարի (պիրիտացած թերթաքար) հետ միասին կշռել է 260 կգ և պարունակել է 93,3 կգ ոսկի:

Ոսկու խոշորագույն կուտակում հանդիպել է Անգրապիլալի Բալեյ հանքում, որտեղ 1 տ. կվարցից ստացվել է 240 կգ ոսկի:

Կոնդրիցիոն են համարվում 3—5 գ/տ.¹ Au պարունակող արմատական հանքավայրերի հանքնայութերը և ոչ պակաս 0,1 գ/տ. ոսկի պարունակող ցրոնները (աշխատանքների մեքենայացման, այսինքն գրագայով ցրոնների մշակման ղեկավարում): Արմատական հանքավայրերի ոսկու հանքանյութը մանրացվում և ջրի հետ միասին, պուլպայի ձևով անց է կացվում սնդիկապատ պղնձե թեք թիթեղների վրայով. Բնածին ոսկին ամալգամանում է, իսկ կապածը՝ (սուլֆիդներում) մնում է մնացորդներում և ապա ցիանացմամբ կամ քլորացմամբ անջատվում: Ոսկերեր ավազները լվացվում են, ընդ որում սկզբնական քանակից մանր ոսկին ամալգամացվում է: Որոշ քանակի ոսկի, որպես կողմնակի նյութ, ստացվում է գունավոր մետաղների սուլֆիդային հանքանյութի էլեկտրոլիզի շրամից:

Անհրաժեշտ է նկատի ունենալ, որ ոսկին պարունակում է ուրիշ մետաղների խառնուրդներ, որի պատճառով ընդունված է «ոսկու հարգ» (проба) հասկացողությունը, որը նշանակում է ոսկու պարունակությունը հազարերորդական մասերով բնական ոսկու և տոկոսներով ոսկյա իրերի մեջ: Օրինակ. «920 հարգ»

¹ Որոշ ղեկավարում շատ խոշոր հանքավայրերի համար, որոնք մշակվում են բաց եղանակով, Au պարունակության ստորին սահմանն ընդունվում է 1 գ/տ.:

նշանակում է, որ 1000 մասից 920 բաժին է ընկնում ոսկուն, մնացած 80 ուրիշ խառնուրդներին (Ag, Cu և ուրիշներ), այդպիսի ոսկին բարձրահարգ է, մուգ, խկ ցածրահարգ ոսկին բաց գույնի է (արծաթային), նրա հարգը մեծ մասամբ 550—650 է:

Փափուկ և գլուբամաշ լինելու պատճառով ոսկուն ավելացնում են պղինձ, արծաթ և ուրիշ մետաղներ՝ իրեղեններ պատրաստելու համար. ոսկե իրերի հարգը սովորաբար 56 կամ 72 է:

Ինչպես ցույց են տալիս Ն. Ֆիշերի մանրագնին հետազոտությունները, հանքավայրերի առաջացման և ոսկու հարգի միջև գոյություն ունի օրինաչափ կապ. բարձր ջերմաստիճանային հանքավայրերում ոսկու հարգը բարձր է՝ 850—900 և ավելի, միջին ջերմաստիճանային հանքավայրերում սովորաբար կազմում է 800—850, ցածր ջերմաստիճանային հանքավայրերում՝ 500—750 (որոշ բացառություն է կազմում բնածին ոսկին, երբ նա առաջանում է տելուրիդների օքսիդացման հետևանքով. նրա հարգը 900—990 է):

Յրոններում, կողմնակի խառնուրդների լուծման կապակցությամբ, ոսկին որքան հեռու է արմատական հանքավայրից, այնքան բարձր է նրա հարգը:

ՈՍԿՈՒ ՀԱՆՔԱՎԱՅՐԵՐԻ ԳԵՆԵՏԻԿ ՏԻՊԵՐՆ ՈՒ ՀԱՆՔԱՅԻՆ ՅՈՐՄԱՅԻՆՆԵՐԸ, ՄԵՏԱԼՈԳԵՆԻԿ ԴԱՐԱՇՐՋԱՆՆԵՐՆ ՈՒ ՄԱՐՁԵՐԸ

Ոսկու փոքր կուտակումներ գոյություն ունեն լիվացիոն պղինձ-նիկելային, պեգմատիտային և սկառնային (արսենոպիրիտային և պիրրոտինային), ինչպես նաև պղինձի, պղինձ-մոլիբդենային, բազամետաղ, ծարիրային, մկնդեղային և այլ տիպի հանքանյութերի հիդրոթերմալ հանքավայրերում, որոնց վերամշակման հետ գույքընթաց ստացվում է նաև ոսկին: Սակայն այս տիպի բոլոր հանքավայրերը ոսկու ընդհանուր հանույթի մեջ երկրորդական դեր են կատարում: Գլխավոր արդյունաբերական նշանակություն ունեն հետևյալ գենետիկ տիպերը՝

1. Բարձր ջերմաստիճանային հիդրոթերմալ ոսկի-արսենոպիրիտային Ֆորմացիայի հանքավայրեր, որոնք տեղադրված են սովորաբար մինչքեմբրյան կամ պալեոգոյան զբանխտոդային զանգվածների և մետամորֆային ապարների մեջ:

Ամենից սովորական են սսկերեր կվարցային երակները, հազվադեպ կվարցացած և պիրիտացված թերթաքարերի և եզ-
ջրաքարերի տեղամասերը:

Հանքամարմիններն ունեն անկանոն համրիչանման երակ-
ների ձև, սսկու ցածր, սսկայն հավասարաչափ և արդյունաբե-
րական պարունակութուն և պահպանելով զգալի կարողութուն,
տարածման և անկման ուղղություններով հաճախ հետամտվում
են մի քանի կիրմետր:

Հանքանյութերի կազմութունը՝ կվարց, արսենոպիրիտ,
պիրիտ, պիրրոտին, բնածին սսկի (850—900 և ավելի բարձր
հարգ), տուրմալին, ալրիտ, ալտինոլիտ, բիոտիտ, երբեմն բիս-
մուտի միներալներ և նրանց թվում տետրագրիտ BiTe_2S ,
խալկոպիրիտ, մսլիբդենիտ, սֆալերիտ և ուրիշներ: Ոսկին հան-
դիպում է մասամբ բնածին ձևով, մասամբ էլ արսենոպիրիտի
ու պիրիտի հետ կապված և գլխավորապես անջատվում է հան-
քայնացման ուչ ստազիայում սուլֆիդների հետ միասին, ավե-
լի ուչ առաջացած մանր ճեղքերում: Այս տիպի հանքավայրերի
օրինակներ են հանդիսանում Սովետական հանքը (Ննիսեյի տայ-
գա), Կոչկարը (Հարավային Ուրալ), Կոմմունար հանքը (Կուզ-
նեցկի Ալատաու), իսկ արտասահմանյան հանքավայրերից Մոր-
րո-Ալեյոն և Պասսագեմը Բրազիլիայում, Կոլարը Հնդկաստա-
նում, Պորկյուպայնը Կանադայում և ուրիշներ: Ոսկու համաշ-
խարհային հանույթի մեջ այս տիպի հանքավայրերն զգալի դեր
են կատարում. մշակվում են ինչպես խոշոր արմատական հան-
քավայրեր, այնպես էլ նրանց և արդյունաբերական նշանակու-
թյուն չունեցող պիրիտացված սսկերեր զոնաների քայքայման
հետ կապված ջրոնները:

2. Միջին ջերմաստիճանային հիդրոթերմալ հանքավայրեր,
որոնք ներկայացված են կանոնավոր երակներով և հազվադեպ
կուտակներով. հանքավայրերը տեղագրված են մեզո-կայնո-
զոյան և պալեոզոյան գրանիտոիդների ծածկի, կամ հենց
ինտրուզիվ շտոկների և դայկային կոմպլեքսի ապարների մեջ:

Հանքանյութերի կազմութունը՝ կվարց, կարրոնատներ,
բարիտ, պիրիտ, խալկոպիրիտ, սֆալերիտ, գալենիտ, խունացած
հանքանյութեր, Pb և Sb սուլֆոսղեր: Ոսկին հանդիպում է սուլ-
ֆիդների մեջ հարածուսները և ջրված սուլֆիդրոսկոպիկ ան-
ջատուսները ձևով¹:

¹ Ինչպես ցույց է տվել Ի. Ն. Մասլյանիցկին, սսկու սուլֆիդրոսկոպիկ
հատիկները մինչև 500—800°C տաքացնելիս միաձուլվում են, կազմում ավե-
լի խոշոր հատիկներ և զառնում տեխնոլոգիապես անջատելի:

Հանքավայրերի այս տիպը լայնորեն ներկայացված է շատ երկրներում և ունի արդյունաբերական մեծ նշանակություն: Սրան են պատկանում ՍՍՌՄ խոշոր հանքավայրերը՝ Բերյոզովսկու (Միջին Ուրալ), Կենտրոնական, Բերիկուլսկի և Սարալինսկի հանքերը (Կուզնեցկի Ալատաու), Ստեպյակը (Ղազախական ՍՍՌ), Գարասունը (Անդրբայկալ), Կոլիմայի և Ալդանի հարստագույն հանքավայրերը, ինչպես նաև արտասահմանյան խոշոր հանքավայրերը՝ Մայր երակը և Գրեսս Վալլեյը ԱՄՆ-ում, Բենդիգոն և Բալլարատը Ավստրալիայում, Իլլուսոնայֆը Կանադայում և ուրիշներ:

3. Յածր ջերմաստիճանային հիդրոթերմալ հանքավայրեր, որոնք առաջացել են փոքր խորություններում և սերտորեն կապված են գլխավորապես երրորդական դարաշրջանի հրաբլիսային գործունեության հետ:

Հանքավայրերը ներկայացված են ոսկի-արծաթային անհամաչափ բոնանցային (փնջային) հանքայնացում ունեցող երակներով և շտովերկային զոնաներով:

Հանքանյութերի կազմությունը՝ ցածր ջերմաստիճանային թերթածե և սանրածե կվարց, խալցեդոն, կալցիտ, սոդախրոզիտ բարիտ, ադուլար, էլեկտրում, պիրարգիրիտ-պրուստիտ, արգենտիտ, ոսկու, արծաթի, կապարի, բիսմութի տելուրիդներ, գունավոր մետաղների սուլֆիդներ և սուլֆիդներ, անտիմոնիտ, կինովար:

Ոսկին այստեղ սովորաբար մանր է և ցածրահարգ (500—750), շատ սերտ կերպով կապված պիրարգիրիտի և արծաթի ալլ միներալները հետ, հաճախ կոլլոմորֆ է, սպունգաձև և դասավորված է խալցեդոնի երիկամածե անջատումների երկայնքով:

Հանքավայրերի այս տիպը լայնորեն զարգացած է Սազազ-օվկիանոսյան հրաբխային օղակի սահմաններում, ինչպես նաև Կարպատներում, մասամբ Կովկասում: Այս տիպին են պատկանում Բալեյը և Սպիտակ լեռը ՍՍՌՄ-ում, Գոմշտոկը, Հոլդֆիլդը, Կրիպլիբիլը ԱՄՆ-ում, Էլ-Յրոն Մեքսիկայում, Անտիոխիան Կոլումբիայում, Ռեջանգ-Լեբոնգը Սուլամաթայում, Հաուրակին Նոր-Ջեյանգիայում, ինչպես նաև մի շարք հանքավայրեր Զիլիում, Պերուում, Ֆիլիպիններում, Յապոնիայում, Ռումինիայում (Տրանսիլվանիայում):

Հանքավայրերի այս տիպը բավական արդյունավետ է:

Հիդրոթերմալ հանքավայրերի դասակարգումը երբեմն առաջարկում են կատարել այլ հիմունքներով: Այսպես, Ն. Վ. Պետրովսկայան առանձնացնում է սոկերեր հանքանյութերի երեք ընտանիք՝ կվարց-սակավասուլֆիդ, չափավոր սուլֆիդային և դուտ սուլֆիդային (կուլչեզանային), գենետիկորեն կապելով նրանց համապատասխանաբար գրանիտոիդների խոշոր դանդաղաների, փոքր ինտրուզիաների և կերատոֆիրների հետ:

Յուրաքանչյուր ընտանիքի ներսում նա սահմանում է երեք տիպ՝ պիրիտային, պիրիտ-արսենոպիրիտային և բազմամետաղ:

Սակավասուլֆիդ հանքանյութերի ընտանիքում լրացուցիչ անջատում է պիրարգիրիտ-խալցեդոն-կվարցային տիպ, իսկ դուտ սուլֆիդային հանքանյութերի ընտանիքում՝ պիրիտ-պիրրոտինային տիպ: Ամենից արգյունավետ են պիրիտ-արսենոպիրիտային և բազմամետաղ ասոցիացիաները:

Ոսկու հիդրոթերմալ հանքավայրեր հետախուզողները առանձնացնում են հետևյալ տիպերը՝ երակային, գալկային և շտոկլերկային (սանդուխտաձև երակներ և ուրիշներ), սոկերեր կուտակներ, ցրված հանքայնացում, սկաուներ և անկանոն խոզովակաձև մարմիններ:

Հեդինակներից ոմանք առաջարկում են ամենից տարածված միջին ջերմաստիճանային սոկու հանքավայրերի մեջ առանձնացնել մի շարք հանքային ֆորմացիաներ՝ սոկի-կարբոնատային, սոկի-բարիտային, սոկի-բազմամետաղ, սոկի-սուլֆոսանտիմոնիտային, սոկի-կուլչեզանային, սոկի-անտիմոնատային և ուրիշներ: Սակայն անհրաժեշտ է նշել, որ երկու վերջին ֆորմացիաներում սոկին սովորաբար առկա է որպես երկրորդական նշանակություն ունեցող խառնուրդ և այդ տիպի հանքավայրերն արդեն քննարկված են «Պղինձ» (կուլչեզանային ֆորմացիա) և «Ծարիր» բաժիններում, իսկ ինչ վերաբերում է վերը թվարկված առաջին չորս ֆորմացիաներին, ապա նրանք շատ հաճախ հանդիպում են համատեղ, համապատասխանելով հանքային պրոցեսի առանձին ստադիաներին:

4. Կուլչեզանային և բազմամետաղ հանքավայրերի օքսիդացման զոնաներ, որոնց մեջ սոկին մասնակիորեն կուտակվում է լիմոնիտային և ցերուսիտային գլխարկներում, մասամբ էլ տարրավազման ենթադոնայում (բարիտային մանրունքում) և սուլֆիդային երկրորդական հարստացման զոնայում: Այս տիպի հանքավայրերի նշանակությունը փոքր է, բնորոշ օբինակներ

են հանգիստանում Ուրալի, Բալկանների, Յապոնիայի կուչեզանային հանքավայրերի երկաթային գլխարկները, ինչպես նաև Ալթայի բազմամետաղ հանքավայրերի օքսիդացման զոնաները:

5. Ոսկեբեր ցրոններ, որոնք առաջանում են ոսկու արմատական հանքավայրերի և ցրված հանքայնացման զոնաների քայքայումից:

Ցրոնների մեջ տարբերում են՝ ա) էլյուզիալ (կոլգուրլի Արևմտյան Ալստրալիայում), բ) ալլյուզիալ, որոնց մեջ առանձնացնում են հունային ցրոններ (Ալգան, Կոլիմա, Ալյասկա, Կալիֆորնիա), դարավանդային (Աենա, Ալգան) և ուրիշներ, գ) ծովային (Ալյասկա և Օխոտյան ծովի ափեր):

Անցյալում ցրոնները շատ կարևոր դեր են կատարել. վերջին տարիներին ցրոններից կատարվող հանույթը խիստ կըրճատվել է և կազմում է համաշխարհային արդյունահանման ընդամենը 15—20%:

6. Մետամորֆոզեն հանքավայրեր (մետամորֆացած ոսկեբեր կոնգլոմերատների տիպ): Այս տիպին են պատկանում Հարավ-Աֆրիկյան Միության (Վիտվատերսբանդ) աշխարհի խոշորագույն և ամենաարդյունավետ հանքավայրերը, ինչպես նաև Արևմտյան Աֆրիկայի, Գանայի և Օնտարիոյի (Կանադա) հանքավայրերը:

Ըստ Մեյլորի, այս տիպի հանքավայրերն առաջացել են ոսկի-կվարցային երակներ պարունակող արխեյան հաստվածքի քայքայման հետևանքով: Հետագայում ռեգիոնալ մետամորֆիզմը և սուլֆատներով հարուստ լուծույթների շրջանառությունն առաջ են բերել խոր փոփոխություններ, ոսկու միգրացիա և նրա վերանստեցում պիրիտի (որն առաջացել է կոնգլոմերատներում եղած մագնետիտի և այլ երկաթային միներալների հաշվին) հետ միասին:

Դրեյտոնը Վիտվատերսբանդի հանքավայրերը համարում է հիդրոթերմալ և կոնգլոմերատների ոսկեբերությունը կապում է հիպոզեն լուծույթներով ոսկու ներմուծման հետ:

Վիտվատերսբանդի Օնտարիոյի ոսկեբեր կոնգլոմերատներում անհրաժեշտ է նշել ուրանի հանքայնացման այնպիսի կուտակներին անկախությունը, որոնք ապահովում են ոսկու հետ գուգընթաց նրա արդյունավետ շահագործումը:

ՈՍԿՈՒ ՄԵՏԱԼՈԳԵՆԻԿ ԴԱՐԱՇՐՋԱՆՆԵՐԸ ԵՎ ՄԱՐԶԵՐԸ

Մինչքեմբրյան դարաշրջանն ամենից հարուստ է ոսկով: Բնորոշ են հնադույն վահանների սահմաններում տեղադրված ոսկու բարձր և մասամբ միջին ջերմաստիճանային հիդրոթերմալ, ինչպես նաև ոսկեքեր կոնդրոմերատների խոշոր մետամորֆոզեն հանքավայրերը:

Մինչքեմբրյան ոսկեքեր մարզերն ընդգրկում են մինչքեմբրի դարգացման համարյա բոլոր շրջանները՝ Աֆրիկյան, Կանադական, Բրազիլիական, Հինդուստանի, Մանջուրա-Կորեական և Միլիբրական վահանները, որոնք միասին (առանց ՄՍՌՄ) տալիս են ոսկու համաշխարհային հանույթի համարյա 3/4 մասը:

Կալեդոնյան դարաշրջանը ՄՍՌՄ-ում ներկայացված է բավական նշանակալից հանքավայրերով՝ Ստեպնյակ (Ղազախական ՄՍՌ) և Կուզնեցկի Ալատում:

Հերցյինյան դարաշրջանը պարզորոշ գրանցվել է ՄՍՌՄ-ում (Ռուրալի և Ալթայի հանքավայրեր), ինչպես նաև Ալատրալիայում (Բենդիգո, Բալլարատ): Ոսկու պալեոգոյան հանքավայրերի դերն այնուամենայնիվ մեծ չէ:

Ոսկու Կրեմբրյան հանքավայրերը կարևորագույն դեր են կատարում ՄՍՌՄ-ի (Կոլիմա, Ալգան, Անդրբայկալ), ԱՄՆ-ի (Կալիֆոռնիա) համար. նրանք հայտնի են նաև Կանադայում (Բրիտանական Կոլումբիա) և Ալյասկայում:

Ալպիական հանքավայրեր հայտնի են Անդրբայկալում, Օխոտյան ծովի ափերին և Անդրկովկասում. նրանք լայնորեն ներկայացված են ԱՄՆ-ի արևմտյան նահանգներում (Կոմչտոկ-Հոլդֆիլդ, Կրիպպլիբիկ և ուրիշներ), Մեքսիկայում (Էլ-Օրո), Պերուում, Չիլիում, Նոր Զելանդիայում, Ինդոնեզիայում, Ֆիլիպպիններում, Յապոնիայում, Տայվանում, ինչպես նաև Ռումինիայում (Տրանսիլվանիա):

Այս, ըստ հասակի երիտասարդ (երրորդական), հանքավայրերին բաժին է ընկնում ոսկու համաշխարհային հանույթի մոտ 15%:

Այսպիսով, արտասահմանյան երկրներին համար ոսկու հանքայնացման գլխավոր դարաշրջանները հանդիսացել են մինչքեմբրյանն ու երրորդականը, որոնք միասին տալիս են ոսկու համաշխարհային հանույթի մինչև 90%: Կարևորագույն և ամենաարդյունավետ ոսկեքեր մարզերն են՝ Հարավ-Աֆրիկյանն ու Կանադականը (երկուսն էլ մինչքեմբրյան հասակի), ինչպես նաև

Սազադօվկիտանոսյան մեզո-կայնադոսյան հասակի մարդը, որը գոտևորում է Սազադ օվկիտանոսը (նկ. 102):

ՍՍՌՄ-ում գեոլոգներին մեծ կոնկրետիվի ջանքերով հայտնաբերված և ուսումնասիրված են խոշոր ոսկեքեր շրջաններ և տարբեր գենետիկ տիպերի հանքավայրեր: Մինչքեմբրյան (Միքիրական վահանի սահմաններում) և երրորդական (Բալեյն Անդրրայկայում, Սպիտակ լեռը Ամուրի մարզում և ուրիշներ) հանքավայրերին հետ միասին շատ մեծ դեր են կատարում կիմմերյան (Կոլիմա, Ալգան, Անդրրայկալ) և պալեոզոյան (Ուրալ, Ղազախստան ՍՍՌ, Կոզնեցկի Ալատաու և Ալթայ) հանքավայրերը: Ոսկու հանքավայրերի ուսումնասիրությամբ զբաղվել են Վ. Ա. Օբրուչևը, Յու. Ա. Բիլիրինը, Վ. Ն. Զվերևը, Ի. Ի. Չուպրիևը, Ն. Ի. և Մ. Բ. Բորոգանկիները, Ա. Ա. Սմիրնովը, Ա. Ա. Իվանովը, Ն. Վ. Պետրովսկայան և ուրիշներ:

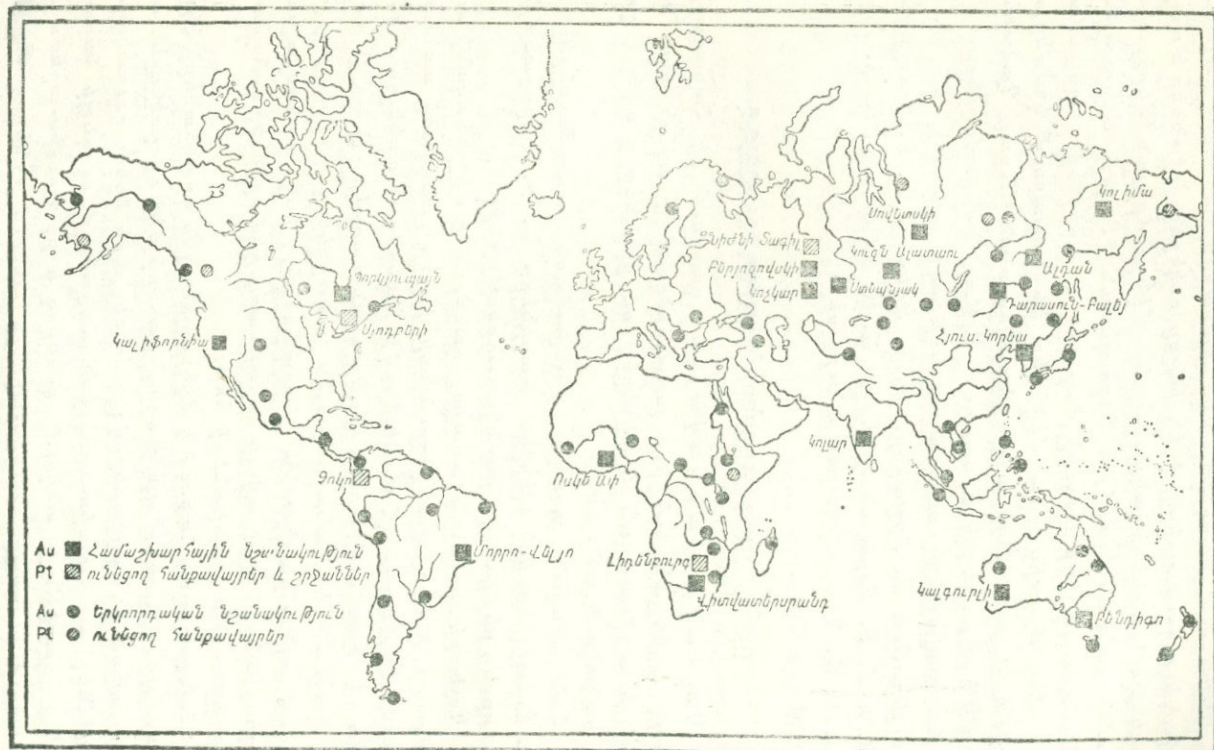
ՈՍԿՈՒ ՀԱՆՔԱՎԱՅՐԵՐԻ ՆԿԱՐԱԳՐՈՒԹՅՈՒՆԸ

Կոչկարի հանքավայրը գտնվում է Հարավային Ուրալի արևելյան լանջին, շահագործվում է ավելի քան 100 տարի և արմատական երակներից ու ցրոններից տվել է շատ մեծ քանակությամբ ոսկի:

Հանքադաշտն առավել մանրամասն ուսումնասիրել են Ի. Ի. Չուպրիևը, իսկ վերջին տարիները Ն. Ի. Բորոգանկին, ըստ որոնց բերված է նրա նկարագրությունը:

Կոչկարի ոսկեհանքադաշտը գտնվում է միջօրեականի ուղղությամբ ձգված պլադիոզրանիտի խոշոր զանգվածի սահմաններում ($50 \times 15 - 20$ կմ մակերեսով): Չանգվածն արևելքում կոնտակտ է կազմում միջին պալեոզոյան հասակի ($D_2 - C_2$) բարդ դիսլոկացված և կանաչքարային ապարներով ներկայացված նստված քալին-հրաբխածին հաստվածքի, իսկ արևմուտքում՝ պլադիոզրանիտներից ավելի երիտասարդ գեմարինսկի զանգվածի միկրոկլինային գրանիտների հետ:

Հանքադաշտը հարում է միկրոկլինային գրանիտների էկզոկոնտակտին: Այստեղ պլադիոզրանիտների մեջ որոշակիորեն արտահայտված են դայկաներով լցված ճեղքերի երկու զուգակցված սիստեմներ՝ ա) հյուսիս-արևելյան տարածում, ու դեպի հարավ-արևելք զառիթափ անկում ունեցող և բ) հյուսիս-արևմտյան տարածում ու դեպի հյուսիս-արևելք անկում ունեցող ճեղքեր:



Նկ. 102. Աշխարհի ոսկու և պլատինի խոշորագույն հանքավայրեր

Դայվաների մեջ տարրերում են երեք խումբ՝

1) Պլագիոպակեմատիտներ, պլագիոտալիտներ, պլագիոգրանիտ-պորֆիրներ՝ Կոչկարի պլագիոգրանիտների ածանցյալներ:

2) Միստ մետամորֆացած զիրիտները, զիրիտային պորֆիրները, գիարագները, դաչիտային պորֆիրները, սիենիտ-պորֆիրները, ֆելզիտների դայվաների խալտարդեո սերիա. այս կազմության դայվաներն ունեն մերձլայնակի՝ արևելյան-հյուսիս-արևելյան տարածում, կազմում են գոտիներ և դեպի արևելք գուրս են գալիս պլագիոգրանիտների սահմաններից:

3) Միկրոգրանիտներ, պեգմատիտներ և ապլիտներ՝ Դեմարինակի միկրոկլինային գրանիտների ածանցյալներ:

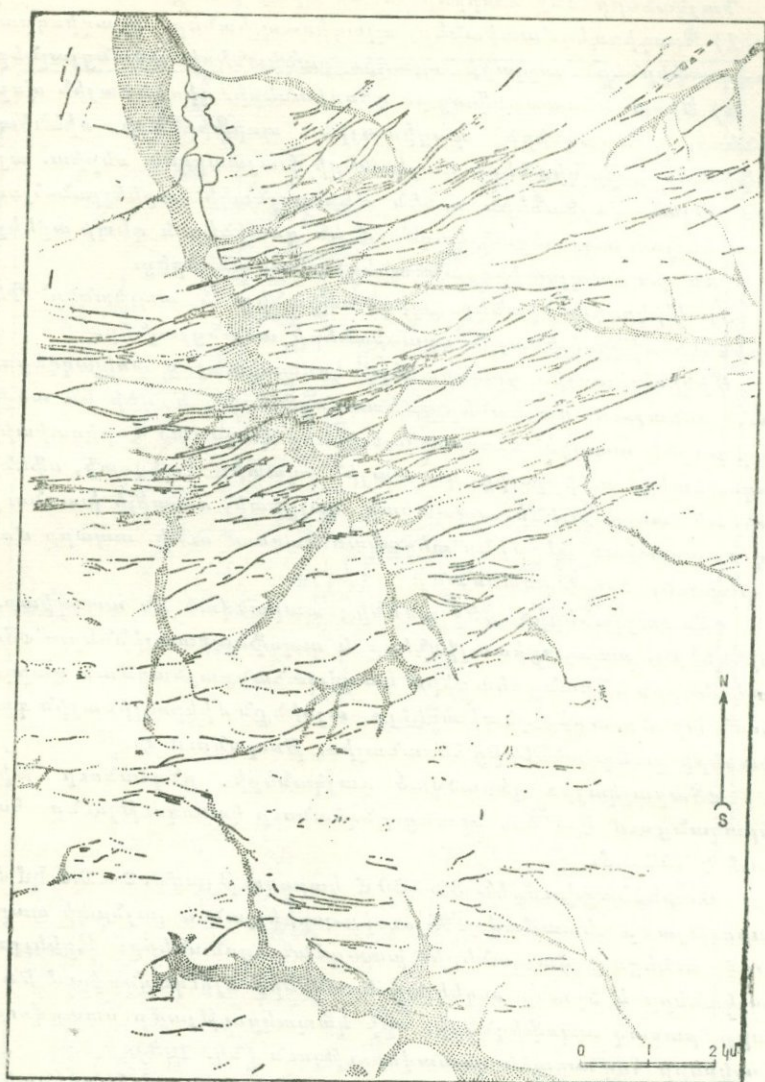
Միկրոկլինային գրանիտների կոռտակտային փոխազդեցության զոնայում դայվաները մետամորֆացվել և վեր են ածվել մուգ գույնի ապարի՝ «տարաշկա»-ի, որը կազմված է բիտտիտից, ֆլուգոպիտից, ամֆիբոլից, դաշտային շպատից՝ էպիդոտի, սֆենի, քլորիտի, տուրմալինի, ապատիտի, կալցիտի, բուտիլի խառնուրդով («տարաշկա» տերմինը տեղական ծագում ունի, ապարը մուգ է, փխրուն, ծխայտառանման):

«Տարաշկաների» մեջ ամենից տարածված են ապոգիարագայինները, ապոգայիտայինները և ապոֆելզիտայինները: «Տարաշկաների» և նրանց հետ սերտ կապված հանքայնացման զարգացումն արևմուտքից դեպի արևելք, այսինքն միկրոկլինային գրանիտները զանգվածներից հեռանալիս, թուլանում է:

«Տարաշկայի» վերածված դայվաների ընդհանուր թիվը գերազանցում է 1500, նրանց ընդհանուր կարողությունը հասնում է 2500 մ:

Առանձնացվում են 30—60 մ կարողությամբ, 2—2,5 կմ երկարությամբ հետամտված հյուսիս-արևելյան և լայնակի տարածում ունեցող դայվաների խտացման զոնաները: Արևելքում դայվաները և նրանց ուղեկցող երակները ճյուղավորվում են մի շարք բարակ ապոֆիրզների, որի կապակցությամբ ստացվում է երակների հովհարածև դասավորություն (նկ. 103):

Հանքային, երակները շատ տեղամասերում ընդօրինակում են ալիեի հին, դայվաներով լցված ճեղքերի սիստեմը, ընդ որում այդ երակների մեծ մասը գտնվում է դայվաների զարգացման երեք գլխավոր զոնաների սահմաններում՝ հյուսիսային, կենտրոնական և հարավային, կազմելով մերձակից երակների սիստեմ: Տարրեր սիստեմների երակները համարյա զուգահեռ են իրար,



Նկ. 103. Կոչկար հանրավայրի երակների դասավորման սխեման:

տարածվում են դեպի հյուսիս-արևելք $65-70^\circ$ և դառիթափ անկյունով ընկնում են դեպի հարավ-արևելք:

Երակների $2/3$ մասը գտնվում է 17 քառ. կմ. մակերես

ունեցող հանքազաշտի կենտրոնական մասում (հանքային երակներին ընդհանուր թիվը 1000-ից ավելի է, նրանցից 200 արդյունաբերական նշանակություն ունեն), գեպի հարավ երակներն արսենոպիրիտային են և թույլ ոսկերք:

Հյուսիս-արևելյան տարածում ունեցող երակները հետամտվում են սյունաձև դաշկաների երկայնքով, իսկ բայնակի երակներն ուղեկցում են գլխավոր զոնաների ապոֆիլները: Այս վերջինների թվին է պատկանում արդյունաբերական երակների մեծ մասը:

Լայնակի և հյուսիս-արևելյան տարածում ունեցող երակների հատման տեղերում առաջանում են «խաչեր»՝ առավել հարուստ հանքային սյուներ:

Արդյունաբերական երակներն իրենցից ներկայացնում են 0,4—0,6 մ մինչև 2 մ կարողությունը տափակ ռադիակներին սիստեմ և ըստ տարածման հետամտված են տասնյակ-հարյուրավոր մետրեր:

Հանքանյութերի կազմությունը՝ մի քանի գեներացիայի կլարց և կարբոնատներ, տուրմալին, պիրիտ (սրա հետ կապված է տեարադիմիտի, դալենիտի, խալիսպիրիտի և հադլագեպ պիրրոտինի հետ հարաձած ոսկին), վաղ խոշորահատիկ և ուշ առաջացած մանրահատիկ արսենոպիրիտ: Ոսկին կապված է խոշորահատիկ արսենոպիրիտի հետ և առաջացած է այն հատող բարակ և մանր ձեղքերում՝ խունացած հանքանյութի, տեարադիմիտի, խալիսպիրիտի և ուրիշ ուշ առաջացած սուլֆիդների հետ միասին: Ոսկու պարունակությունը արսենոպիրիտում տատանվում է 4-ից մինչև 50 գ/տ. հանքանյութերում ստիպ է նաև քիչ մարկագրտ, երբեմն կոբալտին, շեկլիտ, մոլիբդենիտ, բնածին բիսմութ: Ամենատարածված միներալների շարքին է պատկանում տեարադիմիտը:

Ոսկին ամենից հաճախ հանդիպում է կլարցի, պիրիտի, արսենոպիրիտի (խոշորահատիկ) մեջ, 0,001-ից մինչև մի քանի միլիմետրի հասնող հատիկներով և հազվագեպ մինչև 270 գրամ կշիռ ունեցող խոշոր բնածին կտորներով՝ տեարադիմիտի, խալիսպիրիտի և խունացած հանքանյութի հետ սերտորեն զուգորդված:

Ոսկու հարգը 800—970 է. խառնուրդների մեջ որոշված են Ag (մինչև 35%) և պլատինի խմբի մետաղներ (մինչև 3%), իսկ երակներից մեկում մինչև 10%:

Հանքավայրը գեներտիկորեն կապվում է հերցինյան հասակի միկրոկլինային գրանիտներին հետ, որոնց կոնտակտամերձ գոնայում դաշկաները վերամշակվել են «տարաշկայի» և տեղի է ունեցել հանքայնացում:

Հանքային երակներին ձևավորման պրոցեսն ընթացել է հետևյալ ստադիաներում՝

1) Վերաբյուրեղացում, մինչև հանքային կվարցային երակների ցեմենտացում և «տարաշկաների» կարրոնատացում:

2) «Տարաշկաների» կարրոնատացված տեղամասերի տեղակալում կվարցով և ուղեկից երակներին ձևավորում:

3) Կվարցի նստեցում պիրիտի և շեկլիտի հետ:

4) Սուլֆիդների և ոսկու գլխավոր մասի նստեցում՝

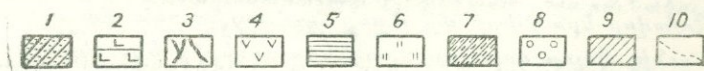
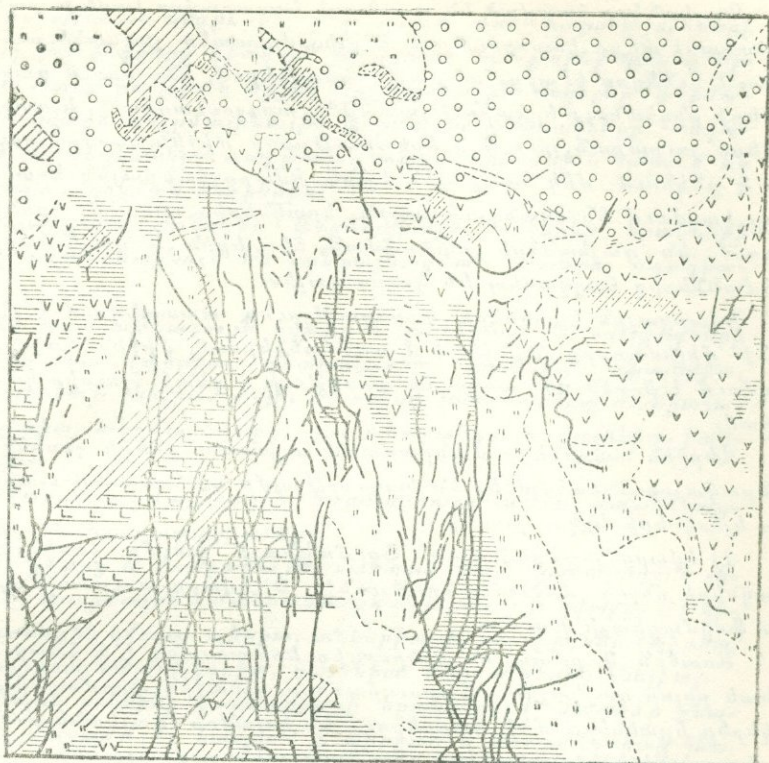
ա) արսենոպիրիտի և պիրիտի նստեցում,

բ) արսենոպիրիտի և պիրիտի մեջ ուշ սուլֆիդների (տետրագիմիտ, խալկոպիրիտ, խունացած հանքանյութ, բուռնոնիտ, ջեմսոնիտ, դալենիտ, սֆալերիտ և ուրիշներ) և ոսկու բարակ երակներին ձևավորում:

5) Հետահանքային շրջան՝ կաթնագույն կվարցի, տուրմալինի, պիրիտի և վարդագույն կարրոնատի նստեցումով:

Ըստ հանքային երակները ներփակող ապարների փոփոխման բնույթի, ինչպես նաև հանքանյութի միներալոգիական կազմի, հանքավայրը պատկանում է բարձր ջերմաստիճանային տիպին: Պետք է նշել, որ ոսկու գլխավոր մասը նստել է ուշ սուլֆիդների հետ միասին, հանքային պրոցեսի վերջին ստադիայում, միջին ջերմաստիճանային պայմաններում:

Բերյոզովսկու հանքավայրը գտնվում է Միջին Ռւրալում: Շրջանը կազմված է գեոնի թերթաքարերից, էֆուզիվ և տարբեր ինտրուզիվ ապարներից, սերպենտինիտներից, որոնք հատվում են գրանիտ-պորֆիրների, պլագիոգրանիտ-պորֆիրների, պլագիոսիենիտ-պորֆիրների և լամպրոֆիրների դաշկաներով: Դաշկաները դիտվում են որպես հանքավայրի հարավ-արևմտյան մասում մերկացող հերցինյան հասակի գրանիտային զանգվածի ածանցյալներ: Դաշկաների տարածումը միջօրեական է, սակայն կան լայնակի ու շեղ տարածում ունեցող դաշկաներ (նկ. 104). նրանց կարողութունը 2—40 մ է. առանձին դաշկաներ հետամտված են հարյուրավոր մետրերից մինչև 8 կմ: Դաշկաների ընդհանուր երկարութունը 64 քառ. կմ մակերես ունեցող հանքագաշտի սահմաններում հավասար է 150 կմ:



Նկ. 101. Բերյոզովսկի հանքավայրի շրջանի գեոլոգիական քարտեզ (ըստ Ա. Սմիրնովի)

1—ցոլիտային աֆիրոլիտներ, 2—էպիզոո-քլորիտային և կվարց-կրաքար-քլորիտային թերթաքարեր, 3—բերեզիտային գրանիտ-պորֆիրներ և կվարց-պորֆիրներ (բերեզիտային դոախներ), 4—սերպենտինիտներ, 5—տալիային ապարներ կարբոնատներով և տալիային թերթաքարերով, 6—ուրալիտացված ալրիտային զիաբազներ (էպիզիտազներ), 7—տիպիկ լիտովենիտներ և լիտովենիտացված ապարներ, 8—գարրո, 9—կայծքարա-կավային, փայլար-կավային, կվարց-սերիցիտային թերթաքարեր և ուրիշներ (ֆելիտներ), 10—ցրոնների տեղաբաշխման սահմաններ:

Պայկաները հատված են տասնյակ հազարավոր (ավելի քան 70 հազար) փոքր կարողութեան և գլխավորապես լայնակի տարածում ունեցող կվարց-հանքային երակներով, ընդ որում դայկաների ընդհանուր երկարություն 40% արդյունավետ է, և դայկաների յուրաքանչյուր 3 մ երկարությունը միջին հաշվով բաժին է ընկնում մեկ հանքային երակի կվարց-հանքային երակները կազմում են «սանդուխքային երակները» սխտեմ, որոնք հարում են դայկաների անջատման ճեղքերին և դայկաների սանձաններից հազվադեպ են դուրս գալիս:

Կվարցային երակների կարողությունը տատանվում է մի քանի միլիմետրից մինչև 1 մ սանձաններում, միջին հաշվով կազմում է 5—10 սմ, անկումը զառիթափ է գեպի հյուսիս կամ հարավ:

Վերջին տարիների մանրամասն աշխատանքները շնորհիվ հանքավայրում սանձանեղ են կազմութեամբ ու հասակով տարբեր երակների երկու խումբ՝

1) կվարց-կոլչեգանային ֆորմացիայի խումբ (ոսկերեր երակների ճնշող մեծամասնություն), 2) կվարց-տուրմալինային ֆորմացիայի խումբ:

Առաջին ֆորմացիան երկրորդից երիտասարդ է և հատում է նաև բոլոր դայկային ինտրոզիաները: Առաջին ֆորմացիայի ոսկերեր երակների մեջ տարբերում են գոլավոր (դայկաներում) և «կրասիչնիչե» (դայկաների հետ կապ չունեցող) երակներ:

Չոլավոր երակների մի մասը սանդուխքաձև դասավորություն ունի: Բոլոր գոլավոր երակները ոսկերեր են. «կրասիչնիչե» երակների մեծ մասը նույնպես ոսկերեր է, բայց նրանց մի մասը պատկանում է կվարց-տուրմալինային ֆորմացիային:

Ոսկերեր երակների ճնշող մեծամասնությունն ունի զառիթափ անկում և լայնակի տարածում («ընդլայնական» կամ «սանդուխքաձև» երակները տարածվում են գեպի հարավ-արևելք 110° և ընկնում են 75—85° անկյան տակ գեպի հարավ): Երակների մի մասը փոքրաթև և շեղ է, կամ ունի զառիթափ միջօրեական (երկայնակի) տարածում: Ամենից հուսալին լայնակի զառիթափ երակներն են, որոնք հարում են գլխավորապես գրանիտ-պորֆիրների և պլազիոգրանիտ-պորֆիրների դառիթափ դայկաների խզման ճեղքերին. ավելի ամուր և փոքրաթև լամպրոֆիրների ու պլազիոսիենիտ-պորֆիրների մեջ նման ճեղքերն ավելի թույլ են զարգացած: Երակների մյուս սխտեմները հա-

րում են պրկման ճեղքերին, ընդ որում մեծ խորությունների հասնող շեղ ճեղքերը դիտվում են որպես հանքարեր կանալներ:

Ի տարբերություն նշված կոլչեդանային սսկերեր ֆորմացիայի, կվարց-տուրմալինային ֆորմացիայի երակները տեղադրված են գայկաները պարփակող ապարների մեջ և հարում են ամենավաղ պրկման ճեղքերին:

Կվարց-կոլչեդանային ֆորմացիայի սսկերեր երակներին համար առանձնացնում են հանքայնացման հետևյալ ստադիաները՝

1) կիսակաթնագույն կվարց և անկերիտ, 2) սուլֆիդների գլխավոր մաս (պիրիտ, տետրաէդրիտ, գալենիտ, սֆալերիտ, լսակոսպիրիտ), շեելիտ, սսկի, 3) ոսկով շատ հարուստ մանրահատիկ պիրիտ, անոմալ կվարց, քիչ տետրաէդրիտ, գալենիտ, լսակոսպիրիտ:

Կվարց-տուրմալինային ֆորմացիայի համար առանձնացնում են հետևյալ ստադիաները՝

1) կվարց և մոխրագույն, սպիտակ կամ կանաչավուն շեելիտ, 2) տուրմալին և մանրահատիկ մոխրագույն կվարց, 3) կիսաթամբանցիկ կվարց, պիրիտ, անկերիտ, 4) սուլֆիդներ (պիրիտ, լսակոսպիրիտ, տետրաէդրիտ, գալենիտ, մեղրա-դեղին շեելիտ):

Ոսկին սսկերեր ֆորմացիայի երակներում մասամբ ընածին է, մասամբ էլ կապված է պիրիտի և տետրաէդրիտի հետ. սսկու բաշխումը անհավասարաչափ է, փնջածև, պարունակությունը մի քանի գ/տ. մինչև 150 գ/տ.:

Գրանիտ-պորֆիրների և պլագիոգրանիտ-պորֆիրների դալկաների ապարը հիդրոթերմալ լուծույթների ազդեցության տակ վեր է ածված բերեզիտի, որը կազմված է սերիցիտից, կվարցից և պիրիտից: Բերեզիտների մեջ Au միջին պարունակությունը 2 գ/տ. է, և նրանք պարփակում են սսկերեր ազքատ հանքանյութերի հսկայական պաշարներ:

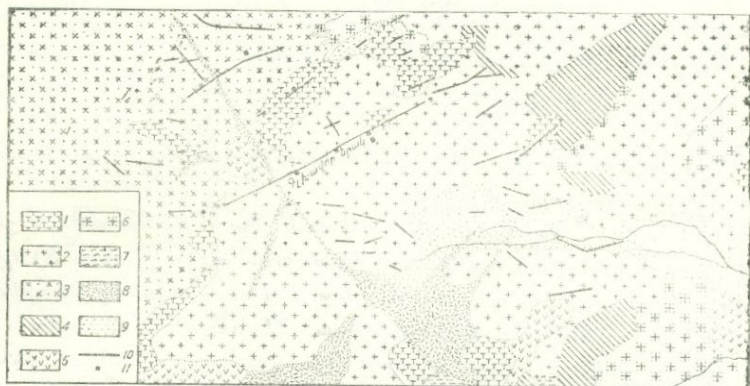
Գաբրոններն ու սերպենտինիտները հիդրոթերմալ լուծույթների ազդեցության տակ վերափոխված են լիտովենիտներին, որոնք կազմված են Mg և Fe կարբոնատներից, կվարցից, սալից և փայլալից:

Օքսիդացման զոնայում գայկաների ճեղքերում նստել են կրոկոիտ, վուլֆենիտ, մալախիտ, երկաթի հիդրօքսիդներ. երկրորդային միներալների մեջ հանդիպում է ընածին սսկի:

Ըստ գենետիկ տիպի հանքավայրը պատկանում է միջին

ջերմաստիճանային հիդրոթերմալ առաջացումներին: Հիդրոթերմալ լուծույթների շրջանառությամբ համար հիմնական ուղիները գեր են կատարել դայկաներին ուղղահայաց ձեղքերը և դայկաների գալրանդները, որոնց երկայնքով անդի են ունեցել բեզդիտացում և հանքայնացում:

Գարասունի հանքավայրը գտնվում է Արևելյան Անդրրայիայում: Հանքավայրի շրջանը կազմված է տարբեր ինտրուզիվ ապարներից, որոնք ներդրվել են յոթ ֆազում, հետևյալ հանրագահանությունով՝ գարբրո-պերիդոտիտներ, գիորիտներ,



Նկ. 105. Գարասուն հանավայրի գեոլոգիական քարտեզ (բստ Զենկովի)

- 1—ուլտրահիմքային և հիմքային ապարներ, 2—գրանոգիորիտներ, 3—մոնցոնիտներ և մանրահատիկ գիորիտներ, 4—հորնրլենդ-բիոտիտային գրանիտներ, 5—սիենիտներ, 6—լեյկոկրատ գրանիտներ, 7—պեգմատիտներ, 8—գրանիտ-պորֆիրներ, 9—ալլյուվի, 10—հանքային երակներ, 11—հանքահորեր:

պորֆիրանման գրանիտներ, սիենիտներ և կվարցային սիենիտներ, լեյկոկրատ գրանիտներ, գրանիտ-պորֆիրներ:

Առաջին վեց ֆազերը պայմանականորեն վերաբերում են մինչյուրայի, իսկ վերջինը՝ հետյուրայի առաջացումներին. հանքայնացումը կապվում է ամենաերիտասարդ կիմմերյան ֆազի հետ:

Երակներով ներկայացված հանքամարմինները հարում են գրանիտ-պորֆիրների դայկաներին (նկ. 105) և նրանց այդ տարածական սերտ կապը հիմք է տալիս թե դայկաները և թե

հանքային երակները համարել որպես կլամերյան հասակի (վերին-
յուրայի կամ ստորին կամփճի) մի ընդհանուր մազմատիկ օջախի
ածանցյալներ:

Հայտնի են արդյունաբերական նշանակութուն ունեցող ավե-
լի քան 50 երակ և փոքր կարողության հարյուրավոր երակիկներ:

Ըստ տեղադրման պայմանների և կազմության տարրերում
են երակների չորս խումբ՝

1) արևելյան—հյուսիս-արևելյան տարածման երակներ,
որոնք ունեն բարդ կազմություն և խոշոր արդյունաբերական
նշանակութուն (Գլխավոր երակը և ուրիշներ), 2) լայնակի
երակներ, որոնք հիմնականում կազմված են արսենոպիրիտից և
ունեն երկրորդական նշանակութուն, 3) հյուսիս-արևմտյան
տարածման երակներ, 4) միջօրեական երակներ: Հյուսիս-արև-
մրայան և միջօրեական երակները կազմված են կվարցից, տուր-
մալինից և պիրիտից. նրանք ամենավաղ առաջացումներ են և
արդյունաբերական նշանակութուն չունեն:

Արդյունաբերական հանքային երակներն ըստ տարածման
հետամտվում են հարյուրավոր մետրեր, իսկ Գլխավոր երակը՝
2 կմ: Երակներն ունեն փոքր կարողութուն՝ տասնյակ սանտի-
մետրերից մինչև 1 մ փքվածքներում: Բնորոշ են հանքանյու-
թերի գոլավոր և բրեկչիանման տեքստուրաները, որոնք վկա-
յում են հանքային ճեղքերի բազմակի բացման ու հանքայնաց-
ման ստադիաների վերադրման մասին:

Հանքային երակների կազմությունը բարդ է՝ պիրիտ, ար-
սենոպիրիտ տետրաէդրիտ, սֆալերիտ, գալենիտ, բուռնոնիտ,
մենեգինիտ, խալկոպիրիտ, հազվագեպ պիրրոտին, մոլիբդենիտ,
բուլանժերիտ, ջեմսոնիտ, ստիրնիտ, կուբանիտ, բնածին ոսկի և
սովորաբար փոքր քանակությամբ երակային միներալներ՝ կվարց,
սիդերիտ, սոդոսերիտ, կալցիտ, քլորիտ, տուրմալին:

Հանքայնացումը զարգացել է յոթ հաջորդական ստադիա-
ներում՝ 1) կվարց-տուրմալինային (պնևմատոլիտային, ոսկե-
գուրկ), 2) կվարց-պիրիտային (պիրիտի հետ կապված է փոքր
քանակությամբ ոսկի), 3) արսենոպիրիտային (կարևոր ոսկերեք
ստադիա), 4) գալենիտ-սֆալերիտային (ոսկով աղքատ),
5) խալկոպիրիտ-տետրաէդրիտ-բուռնոնիտային, 6) մենեգինիտ
(Pb₁₃ Sb₇ S₂₃)-անտիմոնիտային, 7) կարբոնատային: Գլխավոր
ոսկերեք ստադիաներ են համարվում հինգերորդն ու վեցերորդը:

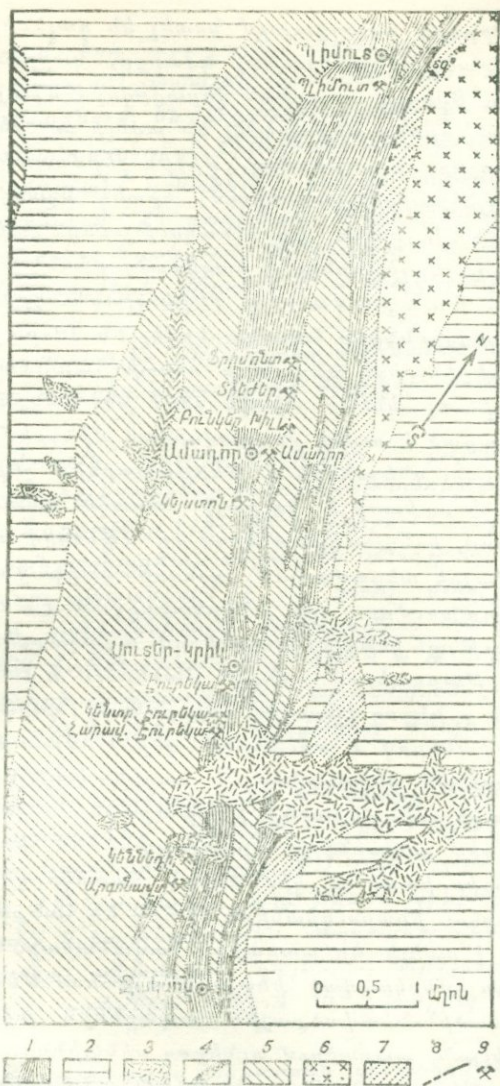
Հանքայնացման ստադիաները տարածության մեջ մեկու-

սացած են. առաջինն ու երկրորդը տեղադրվել են հյուսիս-արևմտյան և միջօրեական տարածում ունեցող վաղ ճեղքերում, երրորդը լայնակի ճեղքերում, մնացած ստադիաները գլխավորապես արևելյան—հյուսիս-արևելյան տարածման երակներում, որոնք ներկայացնում են արդյունարևրական մեծ հետաքրքրություն: Բարդ կազմութուն ունեցող այդ երակների տարրեր մասերում կարելի է դիտել առանձին ստադիաների մեկուսացում, որը վկայում է ճեղքերի աստիճանական աճի և բացման մասին:

Հանքավայրն առաջացել է ջերմաստիճանների լայն ինտերվալում՝ բարձրից մինչև ցածրը ներառյալ, սակայն գլխավոր ոսկերեր ստադիաները ձևավորվել են միջին ջերմաստիճանի պայմաններում:

Կալիֆորնիայի հանքավայրերը. Կալիֆորնիայում ցրոնները հայտնաբերվել են անցյալ դարի կեսերին: Նրանց սպառումից հետո անցել են արմատական հանքավայրերի մշակմանը և ներկայումս մշակվում են գլխավորապես մետաղից ազատ արմատական հանքավայրեր, ընդ որում լեռնային փորվածքներն ալտեղ հասել են բավական մեծ խորությունների՝ մինչև 2000 մ:

Շրջանը կազմված է պալեոզոյան և մեզոզոյան հասակի տարրեր էֆուզիվ ապարներից և թերթաքարերից, որոնք առաջացնում են հյուսիս—հյուսիս-արևմտյան տարածման ծալքեր, ճեղքված են կալձի գրանիտոիդային ինտրուզիվներով և ջարդված են նույնպես հյուսիս—հյուսիս-արևմտյան տարածում ունեցող տեկտոնական խախտումներով (նկ. 106): Կվարցային ոսկերեր երակները հարում են խախտումներին. երակներից ամենանշանավորը Մայր երակն է, որը ներկայացնում է իրաք դուգահեռ և ընդհատվող երակների մի սիստեմ. ըստ տարածման հետամտված է 209 կմ: Մա ամենաերկար երակն է աշխարհում: Երակների ընդհանուր կարողությունը 1600 մ է: Ոսկու արդյունարևրական պարունակություններ դիտվում են այդ երակների առանձին տեղամասերում և կրում են հանքավինջերի բնույթ: Այստեղ հանքայնացումն ընթացել է երեք ստադիայով՝ առաջինը ներկայացված է կլարցով, որը լցրել է ճեղքերը և առաջացրել արդյունարևրական արժեք չնեղկայացնող մեծ կարողություն երակներ. այս ստադիան հանքազուրկ է: Երկրորդ ստադիայում նստել են սուլֆիդներ՝ պիրիտ, պիրրոտին, արսենոպիրիտ, ոսկերերություն տեսակետից այս ստադիան նույնպես մեծ արժեք չի ներ-



Նկ. 10. Մայր երակի գեոլոգիական բարեկց Պլինուսից մինչև
 Ջակսոն (Կալիֆորնիա) (ըստ Ա. Կնոպֆի)

1—մարիպոզի բերքաբարեր (վ. յուրա), 2—կալա-
 վերասի նստվածքային ֆորմացիա (կարբոն),
 3—անգեղիտային աուֆեր (Tr), 4—գիարազային
 պորֆիրներ (վ. յուրա), 5—կանաչքարային ապար-
 ներ հիմնականում մարիպոզի հասակի (վ. յուրա),
 6—մետաղիորիաններ (վ. կարբոն), 7—ամֆիրոլիտա-
 յին թերթաբարեր (կարբոն և հավանաբար ալեկլի-
 երիտասարդ), 8—վարնետվածքներ, 9—հանքեր:

կայացնում, Երրորդ ստադիայում նստել են գալենիտը, սֆալերիտը, խունացած հանքանյութը, կվարցը, կարբոնատներն ու բնածին ոսկին: Երրորդ ստադիան վերադրվել է միայն առանձին տեղամասերում, որոնք ենթարկվել են ավելի ուշ բեկորատման:

Հանքավայրը հիդրոթերմալ, միջին ջերմաստիճանային է՝ ներկայումս այն խորություններում, որտեղ մշակվում է հանքավայրը (2000 մ), սակու պարունակությունը ցածր է, բնդամենը 5—7 գ/տ.: Կալիֆոսրնիայի ծագման շրջանն անցել է:

Բ ա լ ե յ ի հ ա ն ք ա վ ա յ Ր Ը (Արևելյան Անդրբայկալ): Այս շրջանում սակու ցրտնները հայտնաբերվել են 19-րդ դարի 30-ական թվականներին, իսկ տեսանելի ոսկով հարուստ արմատական կվարցային երակները՝ միայն 1927 թ.: Հանքավայրի շրջանում գտրգացած է ուժեղ ծալքավորված մինչքեմբրյան-ստորին պալեոզոյան գնեյսները և թերթաքարերի շերտախումբը, որը ծածկված է տրիասի և յուրայի հասակի ավազաքարերով, թերթաքարերով, կոնգլոմերատներով ու էֆուզիվ ապարներով:

Հանքավայրի տեղամասում լայնորեն դարգացած է վերին յուրայի շերտախումբը, որը ներկայացված է հարյուրավոր մետր կարողություն կոնգլոմերատներով, ավազաքարերով, կայծքարային թերթաքարերով ստորին մասերում և 1000 մ ավելի կարողություն ունեցող էֆուզիվ ապարներով (սորֆիրիտներով, նրանց բրեկչիաներով և տուֆերով) վերին մասերում: Նրանց վրա աններգաշնակ տեղադրված են ստորին կավճի և երրորդական (?) հասակի ավազաքարեր, թերթաքարեր և կոնգլոմերատներ: Ինտրուզիվ ապարները ներկայացված են հերցինյան հասակի գրանոգիորիտով և կիմմերյան հասակի պորֆիրանման գրանիտով. երկու ինտրուզիաներն էլ հին են հանքայնացումից, որը կապված է ավելի երիտասարդ, հավանաբար, երրորդական հասակի և դեռ չմերկացված ինտրուզիայի հետ: Մեկոզոյան՝ հասակի հրաբխածին-նստվածքային ապարներն առաջացրել են հյուսիս-արևելյան տարածում ունեցող սինկլինալ, որը բարդացած է փոքրաթևք լայնակի տարածման «ճամբան դոնաների» սխտեմով և ջարդված է ավելի ուշ առաջացած հյուսիս-արևելյան և հյուսիս-արևմտյան տարածման խախտումներով. վերջինները կատարել են հանքաբեր լուծույթների բարձրացման գլխավոր ուղիների դեր:

Հանքավայրը ներկայացված է երակներով, որոնք հյուսիսային տեղամասում տեղադրված են գրանոգիորիտներում և

զրանխաներում, իսկ հարավային տեղամասում՝ ստորին կավճի (?) ավազա-կոնգլոմերատային շերտախմբում:

Առանձնացնում են ձեղքառաջացման և հանքայնացման երեք հիմնական ստադիա՝ 1) լայնակի տարածում ունեցող վրաշարժային «ճմլման զոնաների» բացում և արսենոպիրիտի ու պիրիտի նստեցում, 2) զառիթափ ձեղքերի բացում և կվարցի, կալցիտի ու սսկու նստեցում, 3) «ճմլման զոնաների» ուղղությամբ տեղաշարժերի վերսկսում և խալցեդոնի ու ստիրնիտի նստեցում:

Ստրուկտուրային տեսակետից ամենամեծ հեռանկար ունեն «ճմլման զոնաների» և զառիթափ ձեղքերի հատման հանգույցները:

Միջօրեական, հյուսիս-արևելյան և լայնակի տարածում ունեցող սսկերեր երակները սովորաբար զառիթափ են ($65-80^\circ$), հազվադեպ փոքրաթևք ($15-22^\circ$), բնորոշ են ճյուղավորվածությամբ և հանքայնացման անկայուն բնույթով: Երակների երկարությունը տատանվում է մի քանի մետրի և սովորաբար $100-300$ մ սահմաններում: Ամենաերկար երակներն են Սըրոսայինը՝ 200 մ, Կոնտակտայինը՝ 375 մ և № 1 երակը՝ 420 մ:

Երակների կարողությունը տատանվում է մի քանի սանտիմետրից մինչև $0,5$ մ և հազվադեպ մինչև 3 մ (№ 1 երակ) սահմաններում:

Երակների կազմությունն է՝ կվարց և խալցեդոն ($70-90\%$), կարբոնատներ ($10-30\%$), քիչ ադուլյար, սերիցիտ և ֆլյուորիտ: Երակների կազմի $0,1-1,5\%$ բաժին է ընկնում հանքային միներալներին, այդ թվում պիրիտին, սսկուն, պիրարդիրիտին և խալկոպիրիտին. հազվադեպ հանդիպում են նաև արսենոպիրիտ, սֆալերիտ, գալենիտ, ֆրեյբերգիտ, մի քանի երակներում ստիրնիտ (մինչև 30% խալցեդոնի հետ զուգակցված):

Ոսկին հատկապես սերտորեն զուգակցված է պիրարդիրիտի հետ:

Տարրերում են երեք տիպի կվարց՝ թերթավոր (ըստ կալցիտի), սանրաձև և խալցեդոնանման: Ոսկին գլխավորապես կապված է թերթավոր կվարցի և գոլավոր խալցեդոնի, հազվադեպ սանրաձև կվարցի հետ:

Ոսկու հատիկների չափը սովորաբար $0,01-0,05$ մմ է, հազվադեպ հասնում է $0,2-0,5$ մմ:

Գոյութիւնն ունի ոսկու երկու տարբերակ՝ «կանաչ» (20—23⁰/₀ և ավելի Ag և մինչև 1,15⁰/₀ Sb պարունակութեամբ) և «գեղին»՝ երկրորդային, ավելի բարձրահարգ, որը գտնուում է օքսիդացման գոնայում:

Ոսկու բաշխումը երակներէ մեջ անհավասարաչափ է, փրնջային, նրա պարունակութիւնը մեկ տոննա հանքանյութի մեջ տատանուում է մի քանի գրամից մինչև հարյուրավոր գրամներէ և կիրգրամներէ սահմաններում, մի եզակի դեպքում մինչև 240 կգ/տ.: Ստորին հորիզոններում ոսկու պարունակութիւնը նվազում է, սակայն նա ավելի հավասարաչափ է բաշխված: Վերին հորիզոններում Au միջին պարունակութիւնը կազմում է 100—200 գ/տ., 5-րդ հորիզոնում՝ 48 գ/տ.:

Բացի երակներէ, հանքայնացած են պարունակող գրանիտոիդներէ 30 սմ կարողութեամբ մերձայրանդային տեղամասերը (երակներէ երկու կողմից), որոնք պարունակում են 4—6 գ/տ. Au:

Վերջին տարիներին հանքավայրերն ուսումնասիրող գետնաբաններէ տվյալներէ համաձայն սահմանուում են հանքայնացման չորս ստադիա՝

1) պարունակող ապարներէ կայծքարացման ստադիա և պիրիտի ու արսենոպիրիտի նստեցում լայնակի ճճմաման գոնաներէ՝ վրաշարժային կարերում:

2) Կրուտտիֆիկացիոն երակներէ ստադիա. երակները կազմված են սուլֆիդներ, ոսկի և պիրարգիւրիտ պարունակող թերթավոր և սանրածե կվարցից, կալցիտից, ադուլարից, խալցեդոնանման զոլավոր կվարցից:

Ոսկին շատ սերտ կերպով կապված է խալցեդոնանման կվարցի հետ և ներկայացված է խալցեդոնի շերտերէ երկայնքով դասավորված սպունգանման կուտակումներով, իսկ թիթեղածե կվարցի մեջ՝ թերթավոր անջատումներով:

3) Բրեկչիանման երակներէ ստադիա: Ճմլման գոնաներում երակները կազմված են խալցեդոնի և ստիբնիտի մինչև 60×5 մմ չափերէ հասնող խոշոր բյուրեղներէ:

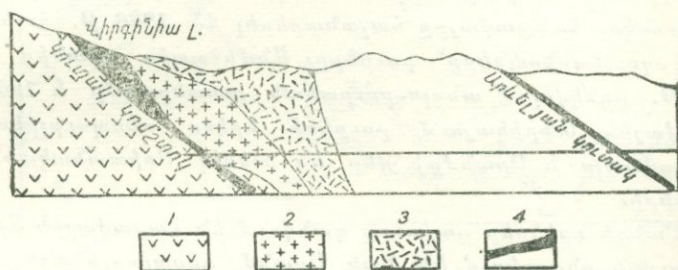
4) Կվարցի, կալցիտի, խալցեդոնի երակներէ ստադիա:

Արդյունաբերական մեծ նշանակութիւն ունի վերջերս հայտնաբերված № 1 երակը, որը տեղադրված է ավազաքարերէ մեջ, որոնք երակամերձ տեղամասի 20 մ լայնութեամբ գոտում ներթափանցված են կվարց-հանքային բարակ երակիկներով և արդյունաբերական հետաքրքրութիւն են ներկայացնում:

Աս պարունակութիւնը կազմում է 15—20 մինչև 700 գ/տ., իսկ № 1 երակում՝ մինչև 4 կգ/տ.:

Հանքավայրը պատկանում է փոքր խորութիւնները ցածր ջերմաստիճանային հիդրոթերմալ առաջացումներին, որի մասին վկայում են խալցեդոնի և խալցեդոնանման կվարցի առատութիւնը, կվարցի թիթեղաձև պակոմոմոֆոզներն ըստ կալցիտի, ադուլարի և ստիքնիտի առկայութիւնը, սպունգանման ոսկու դոնալ ստրուկտուրները, ոսկու մեջ արծաթի բարձր պարունակութիւնը և հանքայնացման վնջային բնույթը:

Կոմշտոկ հանքավայրը նեղա հանանգում: Հանքավայրը տեղագրված է երրորդական հասակի պրոպիլիտացված էֆուզիվների մեջ գտնվող ճեղքի երկայնքով և ներկայացված է մոտ 100 մ կարողութիւն ունեցող երականման մարմնով, որը հետամտվում է՝ 4 կմ ըստ տարածման և 900 մ ըստ անկման (նկ. 107):



Նկ. 107. Կոմշտոկ կուտակի կտրվածքը Յուրո բուեկով (ըստ Բեկկերի)

1—գիորիտ, 2—գիարագ, 3—վաղ հորնրլենդային անդեզիտ, 4—հանքակուտակ:

Ոսկին գտնվում է բոնանցներում. հանքային երակի մնացած մասը հետաքրքրութիւն չի ներկայացնում: Հանքայնացումն ընթացել է երկու ստադիայում՝ առաջինում նստել է կվարցը շատ փոքր քանակութիւն պիրիտի, սֆալերիտի և գալենիտի հետ. այս ստադիան ոսկու տեսակետից հետաքրքրութիւն չի ներկայացնում: Այնուհետև տեղի են ունեցել առաջին ստադիայի միներալային ազդեցատի բեկորատում և նրա ցեմենտացում երկրորդ գեներացիայի մանրահատիկ կվարցի ավելի ուշ ազդեցատով, որի հետ զուգակցվում են արծաթի միներալները, էլեկ-

արուժը, ոսկու տելլուրային միացություններն ու կարբոնատները: Հանքափնջերը շատ հարուստ են ոսկով և արծաթով: Ոսկու պարունակությունը հասնում է մինչև 500 գ/տ., արծաթինը՝ 1,6 0/0: Ոսկու և արծաթի հարաբերությունը կազմում է 1:22:

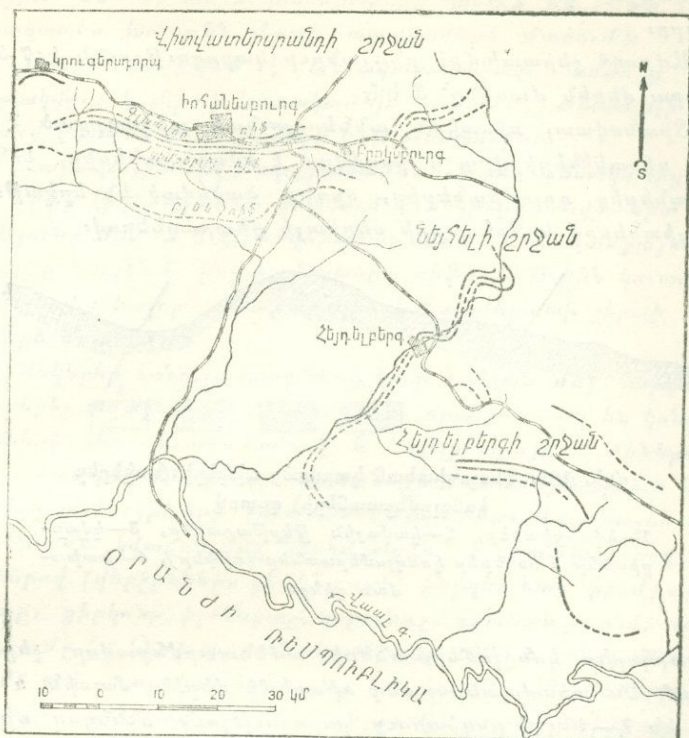
Հանքավայրը ոսկի-արծաթային է, շահագործվել է այս երկու մետաղի ստացման համար: Հարուստ հանքայնացումը հետամտվել է մինչև 700 մ խորությունը, ավելի խոր հանքանյութերն զգալիորեն աղքատ են եղել: 900 մ խորության վրա հանքը հանկարծակի հեղեղվել է տաք՝ 75° ջերմության հանքային (սուլֆատային) ջրերով: Ստիպված են եղել աշխատանքները դադարեցնել և լքել հանքը: Այս տաք ջրերը՝ հավանաբար կապված են ոչ խոր տեղադրված և գեո լրիվ չստանաձ մազմատիկ օջախի հետ, որի հետ գենետիկորեն կապված է ինքը հանքավայրը: Վերջինս պատկանում է փոքր խորություններից ցածր ջերմաստիճանային հիդրոթերմալ հանքավայրերի տիպին:

Վիտվատեր սրանդ (Րանդ). աշխարհի այս խոշորագույն ոսկու հանքավայրը հայտնաբերել են 1886 թ. հոլանդական գաղութաբնակները՝ բուրերը: Անմիջապես գրանից հետո 1889 թ. բռնկվել է անգլո-բուրական պատերազմը և 1902 թ., Հարավային Աֆրիկայում բուրերի երկու ռեսպուբլիկաները (Տրանսվաալը և Օրանժը) վեր են ածվել Բրիտանական գաղութներին:

Բանդի ոսկերեր դաշտերը գտնվում են Հարավային Տրանսվաալում և ընդգրկում են նաև Օրանժ ռեսպուբլիկայի զգալի մասը (նկ. 108): Շրջանն իրենից ներկայացնում է ծովի մակերևույթից 1500—1800 մ վրա գտնվող մի բարձրավանդակ, որը կազմված է համարյա հորիզոնական տեղադրված Կարրուի սիստեմի ածխաբեր ավազաքարա-թերթաքարային նստվածքներից, սրանք հերթագայում են գոլերիտների ծածկոցների հետ (բոս հասակի և կազմության Կարրուի շերտախումբը նման է պերմոկարբոնի տունգուսյան հաստվածքին):

Տեղանքը թույլ բլրային է և միայն այնտեղ, որտեղ էրոզիան ավելի ուժեղ է եղել, ցցված են Սվացիլանդ, Վիտվատեր սրանդ և Տրանսվաալ սիստեմի ավելի հին ոսկերեր ապարներից կազմված կատարները («ռիֆեր»): Սվացիլանդ սիստեմը ներկայացված է թերթաքարերով և մետամորֆային ապարներով

¹ 1 խոր. մ ջրի մեջ պարունակվում են 2,9 մգ Ag և 0,29 մգ Au:



Նկ. 108. Վիտվատերսրանգի գլխավոր հանճաղաշտի
ակնարկային քարտեզ:

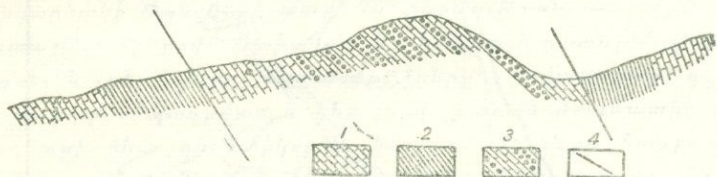
գրանիտի խոշոր ինտրուզիաներով և թթու ու հիմքային կազմութիւն ունեցող ավելի մանր շտովներով: Ապարները շատ նման են Հնդկաստանի և Արեւմտյան Ավստրալիայի ոսկերեք արխեյին: Սվաքիլանդ սիստեմի գրանիտները հետ կապված են Հարավային Աֆրիկայի ոսկերեք կվարցային երակներին շատերը:

Վիտվատերսրանգ սիստեմն աններդաշնակ նստած է Սվաքիլանդ սիստեմի գրանիտների և թերթաքարերի վրա. կտրվածքի ստորին մասերում նա ներկայացված է հերթագայող թերթաքարերով և մասամբ երկաթային կվարցիտներով, որոնք սպարունակում են ոսկերեք կոնգլոմերատների մի քանի շերտ (նկ. 109): Շերտախմբի վերին մասում գերակշռում են կվարցիտները, խոշորահատիկ ավազաքարերն ու կոնգլոմերատները,

որոնց մեջ էլ գտնվում են ոսկերեր կոնգլոմերատների գլխավոր շերտերը:

Ամբողջ շերտախմբի ընդհանուր կարողութունն է 7,5 կմ, իսկ նրա վերին մասինը՝ 3 կմ:

Տրանսվալ սիստեմն աններգաշնակ տեղադրված է նախորդ սիստեմների վրա և կազմված է կվարցիտներից, կոնգլոմերատներից, դոլոմիտներից, որոնք ծածկված են երկաթային կվարցիտներով և Պրետորիի սերիայի զլարազներով:



Նկ. 109. Փեոլոգիական կտրվածք Ռիֆերի (ոսկերեր կոնգլոմերատների) գոտով

1—կվարցիտներ, 2—կավային թերթաքարեր, 3—կվարցիտներ և ոսկերեր կոնգլոմերատներ (ռիֆեր), 4—խախտման դժեր:

Ոսկերեր կոնգլոմերատների ամենաարժեքավոր շերտերը հարում են Վիտվատերարանդ սիստեմի վերին մասին և կազմում են 7—100 մ ընդհանուր կարողութուն ունեցող Ռիֆերի գլխավոր խումբը:

Ամենից մեծ նշանակություն ունեն Գլխավոր Ռիֆը, Գըլխավոր Ռիֆի Լիդերը և Հարավային Ռիֆը, որոնք ըստ տարածման հետամտված են մինչև 80 կմ:

Գլխավոր Ռիֆը մինչև 4 մ (միջինը 1,5 մ) կարողությամբ 70% -ով կազմված է մոտ 2,5 սմ մեծության կվարցի և կվարցիտի գետաքարերից, որոնք առաջացել են Սվալցիլանդ սիստեմի ապարներից: Նյութը չի տեսակավորված, ոսկու պարունակությունը բարձր չէ, սակայն հավասարաչափ է ամբողջ շերտում:

Գլխավոր Ռիֆի Լիդերը համարյա անընդհատ հետամտվում է 60 կմ և իրենից ներկայացնում է ոսկու ամենակարևոր աղբյուրը: Գլխավոր Ռիֆից նա անջատված է 90 սմ կարողութուն ունեցող կվարցիտով. տեղ-տեղ նրա տակ տեղադրված են, երբեմն ոսկով շատ հարուստ, մոտ 20 մ կարողության պիրիտացված կվարցիտներ:

Կոնգլոմերատների շերտի կարողութունը մինչև 3 մ է,

(միջինը 60—90 սմ), գետաքարերը խոշոր են, մոտ 7—8 սմ (հատկապես խոշոր են շերտի հատակամերձ մասում):

Ոսկին բաշխված է անհավասարաչափ, ամենից հաճախ կուտակվում է շերտի հատակամերձ մասում, տեսանելի ոսկին հարում է խոշոր գետաքարերի ենթաշերտերին:

Հարավային սիֆր արդյունավետությամբ տեսակետից Գլխավոր սիֆի Լիդերից հետո գրավում է երկրորդ տեղը. նրա կարողությունը 0,3—3 մ է, սովորաբար մոտ 1 մ, հանքանյութային բնույթը նույնն է, ինչ որ նախորդ սիֆում: Ոսկին կուտակվում է նույնպես խոշոր գետաքարային կոնգլոմերատի շերտի հատակամերձ մասում:

Ոսկերեք կոնգլոմերատների կազմության մեջ հարկավոր է տարբերել առաջնային միներալներ, որոնք նստել են կոնգլոմերատների հետ միամամանակ և երկրորդային միներալներ, որոնք կապված են կոնգլոմերատների մեամորֆիզմի և հիդրոթերմալ լուծույթների շրջանառության հետ: Առաջնային միներալներն են՝ կվարցը, որը ներկայացված է գետաքարերով և հատիկներով (վերջիններս ցեմենտում), ինչպես նաև քրոմիտը, ալմաստը, ցիրկոնը, իլմենիտը, կորունդը, գրանատը, օսմիումային իրիդիումը (Ն, Օս-ի պարունակությունը 1000 տ. կոնգլոմերատում 25—30 գ է, տարեկան հանույթը կազմում է 150—180 կգ): Երկրորդային միներալներն են՝ պիրրոտինը, խալկոսիլիտը, սֆալերիտը, գալենիտը, սերիցիտը և քլորիտը. դարձյալ հանդիպում են վարնետովածքների երկայնքով և կապված են հիդրոթերմալ գործունեության հետ:

Շատ հաճախ մինչև 2 մմ մեծության հատիկներով հանդիպում է պիրիտը (0,5—50⁰/₁₀₀, սովորաբար 3⁰/₁₀₀). պիրիտն առաջացել է ի հաշիվ կոնգլոմերատների երկաթային նյութերի, որոնց վրա ազդել է հիդրոթերմալ լուծույթներով ներբերված ծծումբը: Փոքր քանակությամբ հանդիպել են տուրմալին, ռուտիլ, կալցիտ, գրաֆիտ, ուրանային խեժ¹, տուխոլիտ, Co և Ni արսենիդներ:

Ոսկու գլխավոր մասը (45—66⁰/₁₀₀) ներկայացված է 0,01—0,07 մմ մեծության հատիկներով. տեսանելի ոսկին սակավ է հանդիպում: Ոսկու մասը հատիկներն անկանոն ձև ունեն, սովորաբար գտնվում են ցեմենտում, ինչպես նաև պիրիտի հետ կազմած հարաձուլներում երակիկներով ձևով հատում են ցեմենտ-

¹ 1952 թվականից սկսած հանքանյութերից ստացվում է ուրան-Ո՞Օ հիջին պարունակությունը կազմում է 100 գ/տ. նրա տարեկան հանույթը նախատեսված է հասցնել 6000 տ.:

աք և դետաքարերը: Ոսկու մեջ կա Ag (5—43⁰/₀, միջին հաշվով 9—10⁰/₀) և Cu 3⁰/₀) խառնուրդ:

Միկրոսկոպի տակ հաստատվում է, որ ոսկին, պիրիտը և այլ սուլֆիդներ նստել են լուծույթից, ընդ որում պիրիտն առաջացել է ժամանակի լայն խեղդվալում, իսկ ոսկին՝ մասամբ պիրիտից առաջ և նրա հետ միաժամանակ, բայց գլխավորապես պիրիտից ուշ:

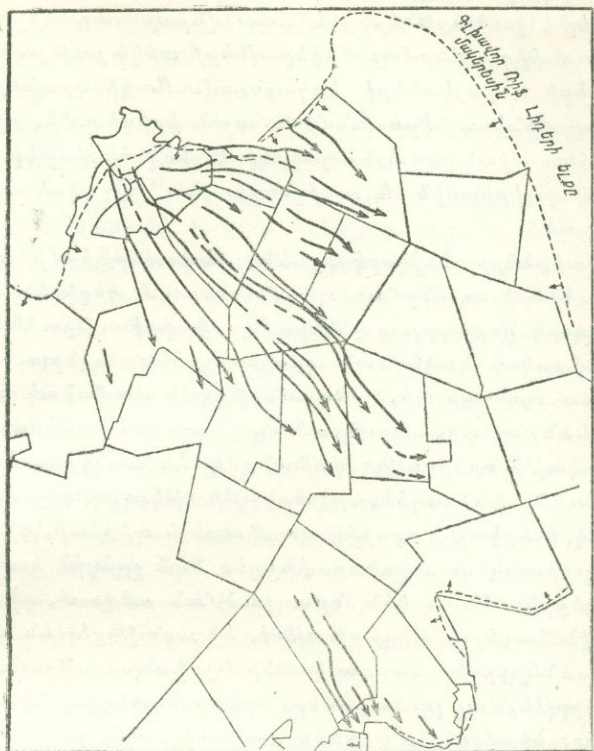
Մյուս սուլֆիդների մեծ մասը նստել է պիրիտից ուշ: Ոսկու և պիրիտի պարունակությունն միջև գոյություն ունի ուղղակի կապ, սակայն պիրիտով հարուստ տեղամասերը միշտ չէ որ ոսկի են պարունակում: Հեռաքրքիր է նշել, որ ոսկին պիրիտային և հիդրոթերմալ ուրիշ սուլֆիդների հետ կապված չէ և, բնդակառակը, ոսկով հարստացած են այն տեղամասերը, որտեղ շատ են ծանր միներալները՝ օսմիումային իրիդիումը, քրոմիտը, ցիրկոնը:

Ոսկով հարստացած տեղամասերը հարթագծում առաջացնում են «շիթեր»՝ աղքատ տեղամասերով շրջապատված (նկ. 110) «Շիթերի» երկարությունը հասնում է մինչև 1,5 կմ, լայնությունը՝ 300 մ. նրանք ձգված են հարավ-արևելյան և մասամբ արևելյան ուղղություններով. դետաքարերի երկար առանցքները ձգված են այդ նույն ուղղությամբ, իսկ ոսկով ամենահարուստ տեղամասերը տեղադրված են այդ «շիթերի» կենտրոնական մասերում, որտեղ ոսկին զուգակցվում է խոշորաբեկոր նյութի և խոշոր դետաքարերի հետ:

Բանդի հանքավայրի համար, հանքանյութերի հսկայական պաշարների և հանքայնացման մեծ մասշտաբի դեպքում, բնորոշ է ոսկու համեմատաբար ցածր պարունակությունը (6,4 գ/տ. միջին հաշվով), սակայն այդ պարունակությունը պահպանվում է մեծ խորությունների վրա (մինչև 2770 մ) և մինչև այդ խորությունը կատարվում է հանույթը¹:

Արտասահմանյան ոսկերեր շրջանների մեջ Բանդն առաջին տեղն է գրավում և տալիս է ոսկու համաշխարհային հանույթի 40—50⁰/₀: 1942 թ. այստեղ արդյունահանված է 440 տ., իսկ 1953 թ. 360 տ. ոսկի (Au հարգը 800—880 է):

¹ Մշակման ամբողջ ժամանակաշրջանում արդյունահանված է 11 հազար տոննա ոսկի (համաշխարհային հանույթի 22⁰/₀). զեոթերմիկ զբաղիենտը 1°C համար 80 մ է, որը թույլ է տալիս աշխատանքներ կատարել մեծ խորություններում:



Նկ. 110. Հարուստ շիրերի ուղղությունը և դիրքը Վիտամերսրանգի Գլխավոր օխֆի Լիզերում:

Հանքավայրի գեներալի մասին գոյություն ունի երկու տեսակետ.

1) Հետազոտողների մեծ մասը և գրանց թվում Մելլորը և Գյու-տոյար այդ հանքավայրը դասում են մետամորֆացած ոսկերեր կոնգլոմերատների տիպին: Ոսկին, ինչպես սովորաբար ցրոնային հանքավայրերում, նստել է կոնգլոմերատների առաջացման հետ միաժամանակ, որից հետո զգալի տեղաշարժերի չի ենթարկվել: Այս տեսակետը հաստատվում է նրանով, որ ոսկու հարուստ հանքայնացումը հարում է խոշոր և միջին գետաքարային կոնգլոմերատների շերտերին և սովորաբար նրանց հատակամերձ մասին, իսկ շիթերում՝ ավելի խոշոր գետաքարերից կազմված կենտրոնական մասերին:

Այս տեսակետին չի հակասում այն փաստը, որ ոսկու մեծ մասը նստել է լուծույթներից և ապա վերանստել, ինչպես նաև չի հակասում հիդրոթերմալ միներալների առկայությունը՝ վարնետովածքների և դալիանների երկայնքով: Բացի դրանից, ոսկու կապը ծանր միներալների (օսմիումային իրիդիումի, քրոմիտի, ցիրկոնի) հետ միանգամայն որոշակի է, իսկ հիդրոթերմալ միներալների (պիրրոտին և ուրիշներ) հետ այդպիսի կապ գոյություն չունի:

Նստվածքները ենթարկվել են մետամորֆիզմի և բարձր ջերմությունների ու ճնշման պայմաններում տեղի են ունեցել մետասոմատիկ նորագոյացումներ: Այս փոփոխությունները կատարվել են ոսկու նստեցման պրոցեսից հետո և նրա հետ կապ չունեն: Ըստ Դյու-տոյտի, մետամորֆիզմի ժամանակ տեղի են ունեցել հետևյալ փոփոխություններ՝ ա) կոնգլոմերատներում գանձող երկաթի օքսիդները փոխանցվել են սուլֆատների, վերջինները լուծել են ոսկին, բ) երկաթի թերօքսիդի սուլֆատը փոխանցվել է երկաթի օքսիդի սուլֆատի և պիրիտի, գ) երկաթի օքսիդի սուլֆատն ու պիրիտը, ինչպես նաև ջրային կարբոնատները նստեցրել են ոսկին նրա լուծման տեղում, դ) երկաթն ամբողջովին նստել է պիրիտի ձևով, ե) առաջացել են վարնետովածքներ, ներդրվել են դալիաներ, շրջանառություն են կատարել հիդրոթերմալ լուծույթներ, որոնք նստեցրել են քլորիտ և սուլֆիդներ: Ներմուծվել է փոքր քանակի ոսկի, բայց նա կապված է դալիանների հետ զուգակցված կվարցային երակների հետ:

2) Գրեյտոնը Բանգի հանքավայրը դասում է հիդրոթերմալ միջին ջերմաստիճանայինների տիպին և գտնում է, որ կոնգլոմերատների խոշոր գեոաքարային շերտերի ոսկով հարուստնալը կապված է կոնգլոմերատների մեծ ջրաթափանցություն հետ, որը հեշտացրել է հիդրոթերմալ լուծույթների շրջանառությունը. այդ լուծույթները նստեցրել են ոսկին, ինչպես նաև նրա հետ միասին սուլֆիդներ և ուրիշ միներալներ:

Վերջին տարիները Բանգի հանքանյութերի Պ. Բամդորի կատարած մանրամասն միկրոսկոպիկ հետազոտությունների համաձայն, կոնգլոմերատներում հանդիպած պիրիտը մասամբ կլաստիկ է, կլորացած, սակայն նրա մի մասը զարգացած է ըստ իլմենիտի, տիտանոմագնետիտի և երկաթի ուրիշ միներալների և հաճախ պարունակում է ուռտիլի մնացորդներ: Արսենոպիրիտը կոնգլոմերատներում մեծ մասամբ կլաստիկ է:

Ուրանային խեժը հաճախ ներկայացված է կլորացած հատիկներով (բացատրվում է ընդջրյա արբաղխայով), հավանաբար նա տեղափոխվել է և ընդունակ է եղել պահպանվելու նստվածքային պրոցեսները ժամանակ:

Տուխտլուր պարունակում է մասամբ քայքայված ուրանինիտ և ցրված ռադիոգեն գալենիտ:

Համաձայն Պ. Բամգոբի, անխային նյութը սելեկտիվ կերպով նստել է կլաստիկ ծագում ունեցող ուրանինիտի մասնիկների շուրջը և քիմիական փոխազդեցության հետևանքով նրա հետ առաջացրել է ուրանի օրգանական միացություններ:

Ոսկին մեծ մասամբ հարում է պիրիտի կլաստիկ հատիկներին ու այն շրջակալող ավելի ուշ պիրիտի կոնտակտներին և գուգակցվում է ծանր միներալների հետ. այս փաստերը հաստատում են հանքավայրի ցրոնային ծագումը: Հետազայում տեղի են ունեցել ոսկու միգրացիա և վերանստեցում մետամորֆային (պսեդո-հիգրոթերմալ) պայմաններում:

Ուրանինիտի հասակի որոշումը ցույց է տալիս, որ նա անհամեմատ ավելի հին է պարունակող սիֆերից, մի փաստ, որը համապատասխանում է ուրանինիտի լվացման և վերանըստեցման մասին Բամգոբի ունեցած պատկերացումներին:

Այսպիսով, նորագույն հետազոտությունները ևս հաստատում են, որ ոսկու և ուրանի կոնտակտումը ցրոնների մեջ կատարվել է ի հաշիվ այդ մետաղները պարունակող արխեյան հասակի հաստվածքների լվացման. հետագայում, կոնգլոմերատների հաստվածքի մետամորֆիզմի ընթացքում, ոսկին և ուրանը մասամբ տեղափոխվել և վերանստեցվել են:

ԸՆԴՀԱՆՐԱՅՈՒՄ ՈՍԿՈՒ ՎԵՐԱԲԵՐՅԱԼ

ԵՎ ՈՐՈՆՄԱՆ ՆՇԱՆՆԵՐԸ

Ոսկին կապված է չափավոր թթու և թթու գրանիտոիդների, հազվագեղ ալկալային և հիմքային ապարների հետ:

Հարկավոր է ընդգծել ոսկու առավելագույն կապը նատրիումային գրանիտոիդների հետ, որոնց մեջ նրա պարունակությունը հասնում է 0,1—1 գ/տ.:

Առանձին հանքավայրեր սերտորեն կապված են բաթոլիտային ինտրուզիաների հետ, սակայն ամենաարդյունավետ ոսկու հանքադաշտերի ճնշող մեծամասնությունը կապված է մինչբա-

թուխաային փոքր ինտրուզիաների կամ հետրաթուխային դիտ-
րիտների և գրանոդիորիտները շտովները հետ:

Արդյունաբերական հանքավայրերը գլխավորապես հիդրո-
թերմալ տիպի են (բարձր-միջին և ցածր ջերմաստիճանային)-
մեծ նշանակութուն ունեն ժամանակակից ալյուրիում և հնա-
դույն ոսկերեր կոնգլոմերատների մետամորֆացած տիպի ցրոն-
ները: Սուլֆիդային հանքավայրերի օքսիդացման զոնայում
սուլֆիդները հետ կապված ոսկին մասամբ կուտակվում է լի-
մոնիտային գլխարկներում և ըլացման (բարիտային մանրուք)
ենթազոնաներում, մասամբ էլ տեղափոխվում է ստորին հորի-
զոնները և կուտակվում խալկոզինային զոնայում:

Սահմանվում են ոսկու հիդրոթերմալ հանքավայրերի հե-
տևյալ գլխավոր տիպերը՝

1) Ոսկի-արսենոսիլիբիտային ֆորմացիայի հանքավայրեր,
որոնք ներկայացված են սովորաբար խորքում լավ արտահայտ-
ված բարձր ջերմաստիճանային ոսկերեր կվարցային երակ-
ներով (Կոչկար, Սովետական հանք, Կոլար և ուրիշներ):

2) Ոսկի-սուլֆիդային ֆորմացիայի հանքավայրեր, որոնք
ներկայացված են գունավոր մետաղների առատ սուլֆիդներ ու
սիլիբիտ պարունակող կվարց-կարբոնատ-բարիտային հանքանյու-
թերի միջին ջերմաստիճանային երակներով և կուտակներով
(Բերյոզովսկի, Գարատուն, Մայր երակ և այլ հանքավայրեր):

3) Ոսկի-արծաթային ֆորմացիայի հանքավայրերի ցածր
ջերմաստիճանային երակներ ու շտովներկային զոնաներ, որոնք
կազմված են սանրածե կվարցից, խալցեդոնից, կարբոնատնե-
րից, ադուլարից, արծաթի միներալներից, ոսկու տելուրիդ-
ներից, էլեկտրումից (Բալեյ, Կոմշտոկ, Նագիագ և ուրիշներ):

Հարկավոր է նշել, որ հանքավայրերի վերոհիշյալ երեք
տիպերը դրսևորվում են տարբեր գեոլոգիական պայմաններում,
ուսնեն մի շարք առանձնահատկութուններ, որի կապակցու-
թյամբ նրանց որոնումներն ու հետախուզութունը պետք է կա-
տարվեն տարբեր մեթոդներով:

Ոսկի-արսենոսիլիբիտային ֆորմացիայի համար հարկավոր
է հաշվի առնել նրա սովորական կապը մինչքեմբրյան կամ պա-
լեոպրյան հասակի թթու գրանիտների հետ (հանքադաշտերը
զտնվում են ոսկերեր զանգվածների էկզոկոնտակտում), հանքա-
նյութի տեղադրումը միևնույն հասակի մետամորֆային և ին-
տրուզիվ ապարների մեջ, պարունակող ապարների վերամշա-

կումբը բարձր ջերմաստիճանային լուծույթներով (տուրմալինա-ցում, բիոտիտացում, սկապուլիտացում): Ոսկու պարունակու-թյունները բարձր չեն, սակայն հալասարաչափ են և լավ են պահպանվում տարածման ուղղությամբ և հատկապես խորքում (մինչև մի քանի կմ): Ոսկին մեծ մասամբ բավական խոշորա-հատիկ է: Այս տիպի հետ կապված են հարուստ ցրոններ:

Ոսկի-սուլֆիդային ֆորմացիայի համար անհրաժեշտ է ընդգծել նրա սովորական սերտ կապը չափավոր թթու կազմու-թյան մինչբաթոլիտային և հետբաթոլիտային փոքր ինտրու-զիաների դալիաների և շտոկների հետ, հանքավայրերի տեղա-դրումը պալեոզոյան և ավելի հաճախ մեզոզոյան հասակի ին-տրուզիաների ծածկի ապարների մեջ, որոնք վերամշակվել են միջին ջերմաստիճանային հիդրոթերմալ լուծույթներով և վերածվել երկրորդային կվարցիտների, բերեզիտի, լիստվենիտի, կվարց-սերիցիտային և քլորիտային ապարների: Ոսկին սերտո-րեն կապված է սուլֆիդների հետ, մասամբ միկրոսկոպիկ է, մասամբ բավական խոշորահատիկ և առաջացնում է հարուստ ցրոններ:

Ոսկի-արծաթային ֆորմացիայի հանքավայրերի համար բնորոշ է նրանց սերտ կապը երրորդական հասակի հրաբխային օջախների հետ, նստվածքային և էֆուզիվ ապարները հատող երիտասարդ խախտումներին հարելը և ցածր ջերմաստիճանային հանքայնացման լայն զարգացումը (սանրաձև կվարց, խալցե-դոն, ազուլյար, մեծ քանակությամբ արծաթախառը ոսկի, ար-ծաթի, ծարիրի, սնդիկի միներալներ, տելուրիդներ):

Ոսկին հանքավայրերի այս տիպում սովորաբար սուբմիկ-րոսկոպիկ է և նրա ցրոնները մեծ նշանակություն չունեն:

Ոսկու որոնումները կազմակերպելիս հարկավոր է հաշվի առնել նշված երեք ոսկերեր ֆորմացիաների առանձնահատկու-թյունները: Ոսկու, մանավանդ առաջին երկու ֆորմացիաների հանքավայրերի որոնումները ժամանակ, էական օգնություն է ցույց տալիս սկզբածքային հանութը:

Որոնման բնորոշ նշան է հանդիսանում օլսրացած կվարցի երակների կամ բեկորների առկայությունը, ինչպես նաև սուլ-ֆիդային հանքայնացման՝ պիրիտի, արսենոպիրիտի, լաունացած հանքանյութի, Pb, Sb և Ag սուլֆոսպերի, տելուրիդների առ-կայությունը, որոնց հետ ամենից հաճախ զուգակցվում է ոսկին:

Անհրաժեշտ է նկատի ունենալ, որ ոսկու միայն համեմատա-

բար փոքր մասն է անջատվում վաղ սուլֆիդների հետ, իսկ մեծ մասն անջատվում է բազմամետաղների սուլֆիդներից անմիջապես հետո, հանքանյութային վերջին ստադիաներում, ըստ անջատման ժամանակի ամենից մոտ խունացած հանքանյութերին, տելուրիդներին, սուլֆոսպերին (բուլանժերիտ, բուսնոնիտ, պիրարգիրիտ և ուրիշ.), սակայն մինչև ստիբնիտի, ուշ կարբոնատների և խալցեդոնի նստեցումը: Մանրահատիկ սսիկ պարունակող հանքանյութերի սսիկքերությունը հաստատելու գործում մեծ օգնություն է ցույց տալիս հանքանյութերի օքսիդացած ելքերի ուսումնասիրությունը (այդ ելքերում սսիկն կուտակվում է լիմոնիտի, սկորոդիտի, անդլեզիտի և ցերուսսիտի մեջ), ինչպես նաև հանքանյութերի միկրոսկոպիկ հետազոտությունը. շլիֆներում հեշտությամբ հայտնաբերվում են սսիկ ուսույնիսկ մանր հատիկները:

Բոլոր գնահատիկ տիպերի սսիկ հանքավայրերի որոնման ղեկավարում հաջողությամբ կիրառվում են մետալլոգեոքիկ (սսիկն առկա է էլյուվիայում և հողի մեջ) և բուսաբանական (սսիկն կուտակվում է բույսերում, մնում է մոխրի մեջ բույսն այրելուց հետո) մեթոդները:

ՀԻՄՆԱԿԱՆ ԳՐԱԿԱՆՈՒԹՅՈՒՆ ՈՍԿՈՒ ՎԵՐԱԲԵՐՅԱԼ

Альбов М. Н. О формах миграции золота в зоне окисления рудных месторождений. Изв. АН СССР, серия геол., № 4, 1952.

Балейское золоторудное месторождение. Сов. золотопром, № 8, 1936.

Билибин Ю. А. Локализация золотоносности в связи с тектоникой Северо-Востока. Сов. геол., № 5—6, 1937.

Билибин Ю. А. О возрасте некоторых золоторудных месторождений Колымского района. Сов. геология, № 5—6, 1940.

Билибин Ю. А. О роли батолитов в золотом оруденении в СССР. ДАН СССР, т. 50, 1945.

Билибин Ю. А. О некоторых чертах металлогении золота. Зап. ВМО, ч. 76, вып. 1, 1947.

Бородаевский Н. И. и Бородаевская М. Б. Березовское рудное поле. Металлургиздат, 1947.

Звягинцев О. Е. и др. Химическое исследование золота Балейского рудника (Забайкалье). Изв. АН СССР, серия хим., № 2, 1938

Звягинцев О. Е. Геохимия золота. Изд. АН СССР, 1941.

Иванов А. А. Геология коренных месторождений золота на Урале. Труды Горно-геол. ин-та Ур. фил. АН СССР, Свердловск, вып. 16, 1948.

- Крейтер В. М. О миграции золота в зоне окисления. Сб. мат. по геологии золота и платины, вып. 8, 1948.
- Кутюхин и др. О Березовском месторождении. Сов. геология, вып. 14—15, 1947.
- Кушнарев И. П. Об условиях образования трещин, вмещающих лестничные жилы Березовского месторождения на Урале. Изв. АН СССР, серия геол., № 5, 1949.
- Музылев С. А., Тихомиров Н. И. Геология и тектоника Балейского месторождения. Изв. АН СССР, серия геол., № 1, 1944.
- Обручев В. А. Новые золотоносные районы Восточной Сибири. Горный журнал № 1, 2, 3, 4—5, 6—7, 1924.
- Петровская Н. В. К вопросу о принципах минералогической классификации типов первичных золотоносных руд. Труды НИГРИ золота, вып. 20, 1955.
- Чуниллин И. И. К генезису Кочкарского месторождения. Сов. геология, № 1, 1937.
- Чухров Ф. В. О миграции золота в зоне окисления. Изв. АН СССР, серия геол., № 4, 1947.
- Biccard Jeppe. Gold Mining on the Witwaterstrand, 1946.
- Graton L. C. Hydrothermal origin in the Rand Deposits. Econ. Geol. v. 25 Supp. to № 33, 1930.
- Emmons W. H. Gold Deposits of the World. New-York, 1938.
- Fisher N. H. The fineness of gold, with special reference to the Morobe goldfield new Guinea. Econ Geol. v. 40. № 8, 1945.
- Julihn C. E. and Horton F. W. Mines of Southern Mother Lode Region. Min. Ind. Surv. of the US. U. S. Bur. Mines Bull. 421, 1940.
- Krausropf K. B. The solubility of gold Econ. Geol. v. 46, № 8, 1951.
- Legraye M. Origine et formation des gisements d'or. Liege, 1942.
- The world's greatest goldfield: Theory of its formation S. Afric. Min. and Eng. J. № 3219, 1954.

ՊՒԱՏԻՆԸ ԵՎ ՆՐԱ ԽՄԲԻ ՄԵՏԱՂՆԵՐԸ

(Pt, Os, Ir, Pd, Rh, Ru)

(Օսմիում, իրիդիում, պալլադիում, ռոդիում,
ռուսենիում)

ԸՆԳՀԱՆՈՒՐ ՏԵՂԵԿՈՒԹՅՈՒՆՆԵՐ

Պլատինը հայտնաբերվել է 17-րդ դարի կեսերին Կոլումբիայի ոսկեբեր ցրտններում և համարվել է անօգուտ ու նույնիսկ վնասակար խառնուրդ: Պլատինը որպես նոր էլեմենտ նկարագրվել է 1750 թ., իսկ 19-րդ դարի սկզբներին սկսվել է նրա կիրառումը:

Պլատինը թթվակայուն մետաղ է, 1770° հալման ջերմատիճանով, Պլատինի և նրա խմբի մետաղների համաձուլվածքներն օգտագործվում են քիմիական գործարաններում և լաբորատորիաներում (կաթսաներ, սետորտներ, տիգելներ), էլեկտրատեխնիկայում (էլեկտրոդներ, պարույրներ, մագնետո), բժշկության մեջ և ակնագործական իրերի համար:

Պլատինի խմբի մետաղների համաշխարհային արդյունահանումը (գլխավորապես պլատինի) տարեկան կազմում է 12—16 տ. (առանց ՄՍՌՄ)¹: Արդյունահանման կեսը բաժին է ընկնում Կանադային, որտեղ Սյոբերբրի շրջանի պղինձ-նիկելային հանքավայրերի մշակման հետ զուգընթաց ստացվում են Pt և Pd. Գնացած քանակությունը տալիս են Հարավ-Աֆրիկյան Միությունը, Կոլումբիան, ԱՄՆ (Ալյասկա), Եթովպիան: Զգալի քա-

¹ 1953 թ. արդյունահանվել է 20 տ. պլատինի խմբի մետաղներ (որից 60% Pt, 30% Pd և 10% Os, Ir, Rh, Ru): Առաջին տեղը զբաղում է Հարավ-Աֆրիկյան Միությունը (9 տ.), ապա Կանադան (մոտավորապես 9 տ.), Կոլումբիան (1 տ.), ԱՄՆ (1 տ.):

նակի պլատին է արդյունահանվում ՍՍՌՄ-ում, գլխավորապես Ռուբալում:

Պլատինը պաշարների հաշվառում չկա. խոշոր պաշարներ ունեն ՍՍՌՄ, Կանադան և Հարավ-Աֆրիկյան Միությունը:

Պլատինը և նրա խմբի մետաղները պատկանում են չափազանց ցրված մետաղների թվին և նրանց կլարկները կազմում են տոկոսի միլիոններով մասեր: Գեոքիմիայես պլատինի ամբողջ խումբը սերտորեն կապված է ուլտրահիմքային և հիմքային ապարների հետ, ընդ որում Pt, Os և Ir ամենից սերտ կապված են գունիտների և պերիդոտիտների, իսկ Pt և Pd հիմքային ապարների հետ:

Ամենատարածական ձևը, որով բնության մեջ հանդիպում են պլատինի խմբի մետաղները, դա ընածին պլատինն է և նրա բնական համաձուլվածքները, ծծմբային և ծարիրային միացությունները¹:

Գլխավոր միներալներն են պոլիբսեն (Pt, Fe). 80—88% Pt, 5—11% Fe,

ֆերրոպլատին (Pt, Fe). 71—79% Pt, 16—19% Fe,

օսմիումային իրիդիում (Ir, Os). մինչև 65% Ir,

նեվյանսկիա (Ir, Os). 46—77% Ir, 21—49% Os,

սիսերոսկիա (Os, Ir). 68% Os, 17% Ir, 9% Ru, 4,5% Rh,

պալլադիումային պլատին (Pt, Pd). մինչև 40% Pd,

սպերիլիտ Pt As₂. 52—56% Pt, 40—42% As,

կուպերիտ PtS. 80—82% Pt, 14—17,5% S,

ստիրիո-պալլադիմիա Pd₃Sb. 70% Pd, 26% Sb:

Չուտ պլատինի արմատական հանքանյութերի համար կոնդիցիան կազմում է 2—5 գ/տ., ջրոնների համար՝ 0,1—0,5 գ/տ.: Կոմպլեքսային հանքանյութերից, ինչպես, օրինակ պղինձ-նիկելային սուլֆիդներից, պլատինի ստացման համար հետաքրքրություն են ներկայացնում 0,2—0,4 գ/տ. պարունակությունները:

ՊԼԱՏԻՆԻ ՀԱՆՔԱՎԱՅՐԵՐԻ ԳԵՆԵՏԻԿ ՏԻՊԵՐԸ, ԳԼԽԱՎՈՐ ԳԱՐԱՇՐՋԱՆՆԵՐԸ ԵՎ ՊԼԱՏԻՆՈՎ ՀԱՐՈՒՍ ՄԱՐՁՆԵՐԸ

1. Պլատինի ճիստերոմագմատիկ հանքավայրեր, կապված գունիտների, հազվադեպ պերիդոտիտների և պիրոքսենիտների

¹ Pt և Pd առկա են Co և Ni արտենիդների մեջ, ինչպես նաև մոլիբդենիտում (պլատինոիդների սուլֆիդների ստրուկտուրան նման է MoS₂ ստրուկտուրային): Ru և Rh հաճախ կուտակվում են քրոմիտի մեջ:

հետ: Դա, այսպես կոչվող, հանքավայրերի ուրալյան տիպն է, որը լայնորեն տարածված է Հյուսիսային և Միջին Աւերալում:

Պլատինը քրոմիտի հետ միասին ապարներում առաջացնում է փոքր երականման մարմիններ, բներ, շերտեր և ցան: Պլատինի միներալները հազվադեպ զուգակցվում են տիտանումազնետիտի (Կաչկանար լես) հետ, կամ քրոմիտի կուտակումները անկախ գունիտի մեջ առաջացնում են ցան (Ավրորինսկի հանք):

Աւերալյան տիպի հանքավայրերում պլատինի միներալներից բնորոշ են պոլիքսենը, ֆերրոպլատինը, իրիդիումային պլատինը և օսմիումային իրիդիումը: Տիպիկ մետաղներն են՝ Pt, Os, Ir:

Անհրաժեշտ է նշել, որ պլատինարեր ինտրուզիաները ներկայացված են գարրո-պիրոքսենիտների դիֆերենցված դանգվածներով, որոնք ներդրվել են Աւերալյան գեոսինկլինալի ինտրուզիվ ցրիլի ամենավաղ (Pz₂ սկզբներին) ստադիաներում, առաջացնելով սիլլային ինտրուզիաներ: Շատ բնորոշ է այն, որ ավելի ուշ (հերցինյան) դունիտների և պերիդոտիտների հետ կապված են քրոմիտի խոշորագույն հանքավայրեր, սակայն այդ դանգվածների պլատինարերությունն աննշան է:

Բացի Աւերալի հանքավայրերից, այդ նույն տիպին են պատկանում Կոլումբիայի, Ալյասկայի, Կանադայի, Նոր Զելանդիայի, Եթովպիայի (Ուալլաբո Սպիտակ նեղուի վերին հոսանքներում) և Հարավային Աֆրիկայի որոշ հանքավայրեր: Աւերալյան տիպի արմատական հանքավայրերը սովորաբար մեծ չեն, գրեթե ամբողջով մշակվում են նրանց քայքայման հետ կապված ցրոնները: Պլատինի համաշխարհային հանույթի համարյա կեսը (հաշված նաև ցրոնները) բաժին է ընկնում այս տիպին:

2. Լիկվացիոն և հիդրոթերմալ սուլֆիդային պլինձ-նիկել-լային հանքավայրեր, կապված գարրոնների և նորիտների հետ:

Նիկելի և պղնձի հետ զուգընթաց ստացվում են զգալի քանակի Pt և Pd, որոնք հանդիպում են պալլադիումային պլատինի, սպերրիլիտի, կուպերիտի և ուրիշ միներալների ձևով, պիրոտինի, պենտանդիտի և խալկոպիրիտի հետ զուգակցված:

Pt և Pd պարունակությունը սովորաբար ցածր է, բայց մի քանի հանքավայրերում (Ֆրուդը Կանադայում, Ռուստենբուրգը Տրանսվաալում, Նորիլսկը ՍՍՌՄ-ում) հասնում է 50—300 գ/տ.:

Այդ տիպին են պատկանում Կանադայի (Սյոգբերի շրջան), Հարավային Աֆրիկայի, Նորվեգիայի, ՍՍՌՄ-ի հանքավայրերը:

Պլատինի և պալլադիումի համաշխարհային հանույթի կեսից ավելին բաժին է ընկնում այս հանքավայրերին:

Պլատինի հանքավայրերի մյուս տիպերը մեծ նշանակութուն չունեն. գրանք Բրազիլիայի, Բելգիական Կոնգոյի և Սումատրա կղզու սկանոնային հանքավայրերն են, որոնք ներկայացված են ոտդիտով և պորպեցիտով, գրանիտոիդներ և դոլոմիտներ կոնտակտային զոնաներում ու Հարավային Աֆրիկայի (Վատերսբերգ լեռ) հազվագյուտ հիդրոթերմալ հանքավայրերը: Վերջինները ներկայացված են կվարցային երակներով՝ հեմատիտի, միլլերիտի և պալլադիումային պլատինի պարունակությամբ:

Պլատինով հարուստ գլխավոր դարաշրջանները և մարդերը: Մինչքեմբրյան հիմքային ինտրուզիաների հետ կապված են Կանադայի և Հարավային Աֆրիկայի հանքավայրերը: Նույն կազմութուն ունեցող ստորին պալեոզոյան ինտրուզիաների հետ կապված են Սկանդինավյան երկրների և Կոլա թերակղզու հանքավայրերը:

Այս բոլոր հանքավայրերը հարուստ են պլատինոիդներին և վահաններին:

Նույն տիպի մի քանի հանքավայրեր ըստ հասակի պատկանում են վերին պալեոզոյին—ստորին մեզոզոյին և հայտնի են ՄՍՌՄ-ում (Նորիսկ) և Հարավային Աֆրիկայում (Ինսիդլա):

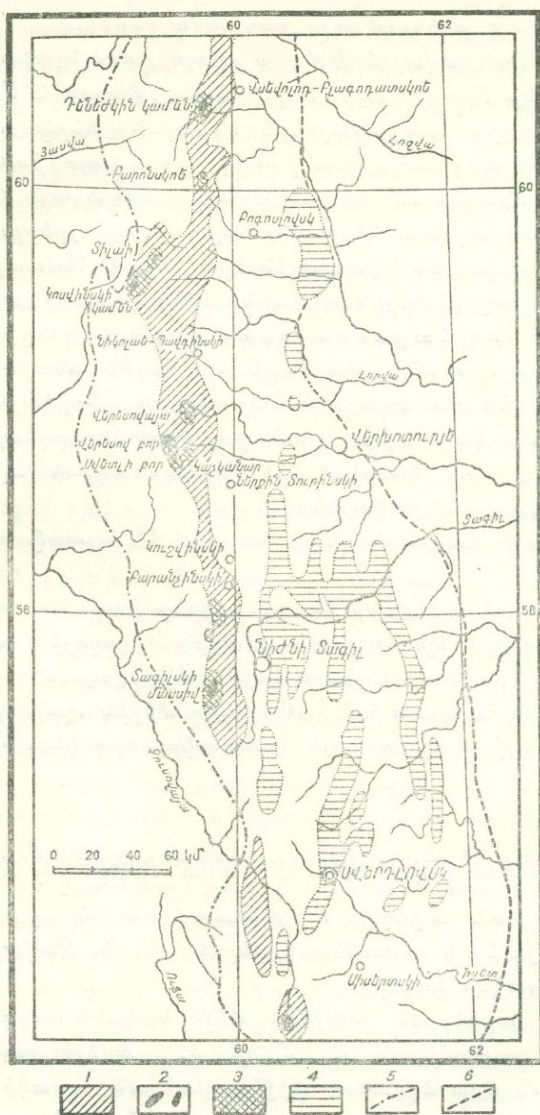
Ուրալյան հարուստ հանքավայրերը միջին պալեոզոյան են, իսկ Կոլումբիայի և Ալյասկայի հանքավայրերը կիմմերյան հասակ ունեն:

ՊԼԱՏԻՆԻ ՀԱՆՔԱՎԱՅՐԵՐԻ ՆԿԱՐԱԳՐՈՒԹՅՈՒՆԸ

Ուրալյան տիպի արմատական և ցրոնային հանքավայրերն ուսումնասիրվել են Ա. Ն. Չավարիցկու և Ա. Գ. Բեռնիտինի կողմից:

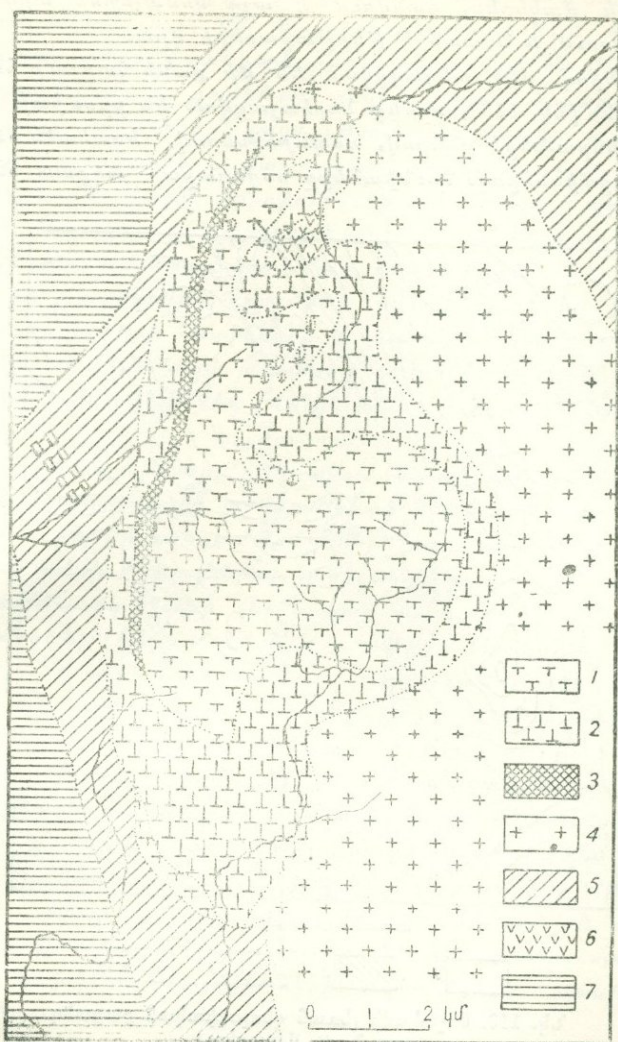
Ուրալի արևելյան լանջով, միջօրեականի ուղղությամբ, հյուսիսային լայնության 67° մինչև 57° , ավելի քան 600 կմ տարածության վրա ձգված է միջին դևոնյան հասակի գարբոպերիդոտիտային ապարների պլատինարեր կոմպլեքսը (նկ. 111):

Ստորին Տագիլի շրջանում մերկանում է զիֆերենցված ապարների մի լակոլիտ, որի հիմքում տեղադրված են դունիտներ, իսկ ավելի վեր, պերիդոտիտներ, պիրոքսենիտներ, գարբոպերիդներ և զրանիտներ (նկ. 112): Դունիտի ելքն ունի



Նկ. 111. Հյուսիսային և Միջին Ուրալի պլատիները
 գանգվածների ակնարկային քարտեզ
 (ըստ Ա. Ն. Չավարիցկու)

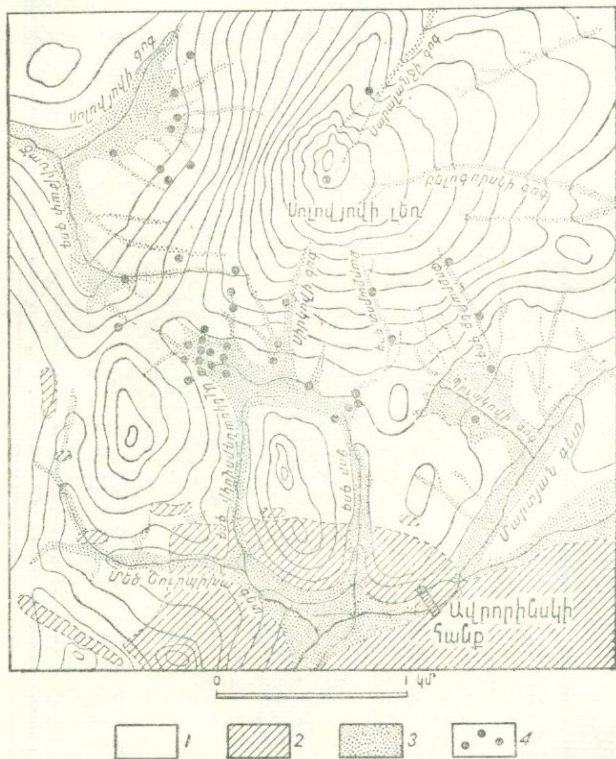
1—պլատինարեր կոմպլեքսի գարբրո (և ուրիշ դաշտաշագատային ապարներ), 2—գունիտ, 3—պիրոքսենիտ, 4—խորբային հիմբային հրային ապարներ, 5—ուրալի բյուրեղային ապարների տարածման արևմտյան սահման, 6—երրորդական նստվածքների տարածման արևմտյան սահման:



Նկ. 112. Տագիկի պլատինաբեր շրջանի գեոլոգիական բարտեզ
 1—դունիտ, 2—պիրոքսենիտ, 3—օձաքար, 4—գարբրո,
 դիորիտ, 5—դինամոմետամորֆային թերթաքարեր,
 6—տիլաիտ, 7—բյուրեղային թերթաքարեր:

գմբեթաձև մակերես, գտնվում է այդ կոմպլեքսի արևմտյան ծայրամասում և նստած է թերթաքարերի վրա:

Դունիտի մեջ տեղադրված են մի քանի հարյուր հանքամարմիններ (նկ. 113), որոնք ներկայացված են քրոմիտի և պլատինի միներալների բներով, ոսպնյակներով, երակաձև ու սյունաձև մարմիններով: Դունիտները սովորաբար աղքատ են պլա-



Նկ. 113. Սոթկոյի լեռան գեոլոգիական քարտեզ (ըստ Ն. Կ. Վիսոցկու)

- 1—դունիտ, 2—պիրոքսենիտ, 3—պլատինային ցրոններ, 4—պլատինի արմատական հանքավայրեր:

տինով և միայն մի տեղամասում պլատինի միներալները, անկախ քրոմիտից, ցրված են սերպենտինացած դունիտի մեջ: Հանքամարմինների չափերը տատանվում են փոքր բներից (մի քանի սանտիմետր ընդլայնական կտրվածքով) մինչև սյունաձև

և երախածի մարմինները, որոնք ըստ տարածման հետամտված են տասնյակ մետրեր, 150 մ խորությամբ և 6—7 մ ընդլայնական կտրվածքով: Հանքամարմինները ձգված են միջօրեակայնի ուղղությամբ և զառիթափ ընկնում են դեպի արևելք:

Հանքամարմինների կազմութունն է՝ քրոմիտ, ուվարովիտ, քրոմային քլորիտներ և փայլարներ, պոլիքսեն, իրիդիումային պլատին, օսմիումային իրիդիում, երբեմն նիկելի և պղնձի սուլֆիդներ: Պլատինի միներալներն անջատվում են քրոմիտից ուշ և ցեմենտացնում նրա հատիկները, հազվագեղ ներկայացված են իդրոմորֆ հատիկներով քրոմիտի ու սիրիկատների մեջ: Պլատինի միներալների հատիկները և կուտակումները ընդլայնական կտրվածքում միլլիմետրի մասերից հասնում են 1—2 սմ. հանդիպել են նաև ավելի մեծ (մինչև 427 գ կշիռ ունեցող) բնածին կտորներ:

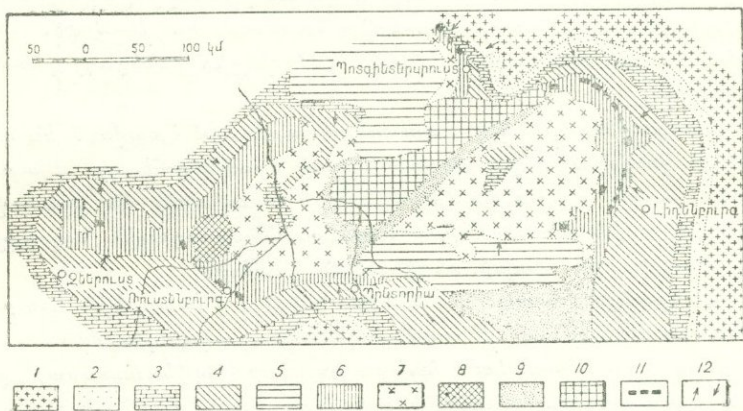
Հանքամարմինները շատ տեղամասերում հատվում են դունիտի և խոշորահատիկ պիրոքսենիտի երակներով. դա վկայում է այն մասին, որ հանքամարմիններն առաջացել են քրոմով և պլատինի խմբի մետաղներով հարուստ մնացորդային հալոցքից՝ մինչ մագմատիկ օջախի վերջնական սառելը:

Հանքանյութերում Pt և նրա խմբի մետաղների պարունակությունը հասնում է տասնյակ-հարյուրավոր գ/տ.:

Ուրալի արմատական հանքավայրերը համեմատաբար քիչ պլատին են տալիս. հանույթի գլխավոր մասը բաժին է ընկնում ցրոններին, որոնք առաջացել են արմատական հանքավայրերի և պլատինաբեր ուլտրահիմքային սպիրների քայքայման հետևանքով: Էլյուվիալ-դելյուվիալ ցրոններն առանձնապես հուսալիչ են, արդյունավետ են ալլյուվիալ ցրոնները, որոնք մինչև հարյուրավոր մետր լայնությամբ ձգվում են մի քանի և նույնիսկ տասնյակ կիլոմետր երկարությամբ: Պլատինով հարուստ տեղամասերը նախկին գետահովիտների ուղղությամբ առաջացնում են «շիթեր»:

Ցրոնների պլատինային միներալների հատիկների և հարսնումների չափերը կազմում են 0,5—1-ից մինչև 18 մմ. հանդիպել են 11,3 կգ կշիռ ունեցող խոշոր բնածին կտորներ: Հաճախ դիտվում են պլատինային միներալների հարածուփներ քրոմիտի, իսկ երբեմն տիտանումազնետիտի հետ: Ցրոններում Pt պարունակությունը բարձր է և հասնում է 5—20 գ/տ.:

Հարավային Աֆրիկայի (Տրանսվալի) հանքավայրերը հայտնաբերված են ընթացիկ դարի 20-ական թվականներին և գենետիկորեն կապված են Տրանսվալի նստվածքային ապարների ֆորմացիայի (պրոտերոզոյ) մեջ ներգրված Բուշվելդի հիմքային և ուլտրահիմքային ապարների խոշոր լոպոլիտի հետ: Հոպոլիտի հիմքում տեղադրված են մանրահատիկ նորիտներ, որոնք գեպի վեր փոխվում են անորթոզիտների, նորիտների և գուներիտների հետ հերթագայող պիրոքսենիտներով, լոպոլիտի ամենավերին հորիզոններում զարգացած են սիենիտներ և ալբիտիտներ (նկ. 114):



Նկ. 114. Տրանսվալի պլատինի հանքավայրերի բարեկ (ըստ Ն. Կ. Վազենրի)

1—հնագույն գրանիտ, 2—բյեկրիֆ, 3—գոլմիտ, 4—պրետորիայի շերտախումբ, 5—վատերբերգի շերտախումբ, 6—նորիտ, 7—բուշվելդի գրանիտ, 8—Պիլանդաբերգի շերտախումբ, 9—կարուի շերտախումբ, 10—Բուշվելդի ամիգդալոիդներ, 11—պլատինի հանքավայրեր, 12—շերտերի անկում:

Պլատինարներ հորիզոնը (Մերենսելի հորիզոն) լավ ստրատիֆիկացված է և կազմված է անորթոզիտից ու բրոնզիտիտից, որոնց հարում են պլատինի ու սուլֆիդները՝ պիրրոտինը, պենալանդիտն ու խալկոպիրիտը:

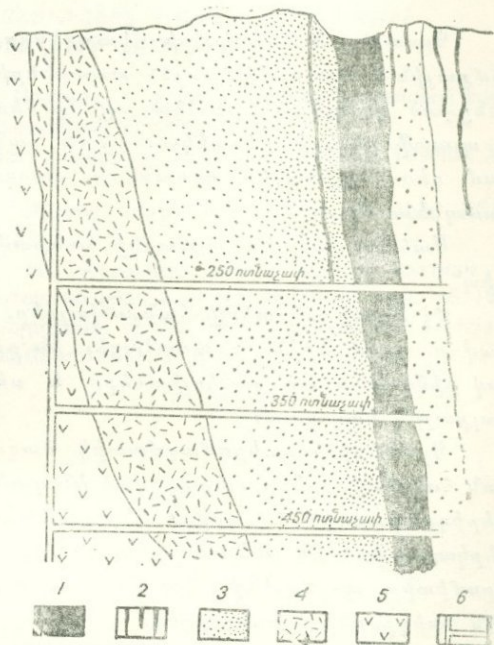
Ըստ տարածման հանքաբեր հորիզոնը հետամտված է հարյուրավոր կիլոմետրեր. գլխավոր շերտի կարողությունը 1 մ է, $\text{Cu} + \text{Ni}$ պարունակությունը 20%, $\text{Pt} + \text{Pd}$ 4—10-ից մինչև 330 գ/տ. (Pd 50—65%, Pt 35—48%):

Պլատինի միներալները ներկայացված են պալլադիումային պլատինով, սպերիլիտով, կուպերիտով, ստերիո-պալլադինիտով, ինչպես նաև պլատինի և պալլադիումի իզոմորֆ խառնուրդ պարունակող պիրիտով և պիրրոտինով:

Հարավային Աֆրիկայի գլխավոր հանքավայրերը պատկանում են լիկվացիոն տիպին, կերկրորդական նշանակություն ունեն պեղմատիտային (Տվի-ֆոնտեն), կոնտակտային (Յվարտֆոնտեն) հանքավայրերը, ինչպես նաև ուրալյան տիպի հանքավայրերը (նկ. 115) հորտոնոլիտային զուռնիտի խողովակաձև մարմինները քրոմիտի և պլատինի միներալների (11—35 գ/տ. Pt) պարունակությամբ և վատերսբերգ լեռան Նիգրոթերմալ հանքավայրերը, որոնք ներկայացված են կվարց-խալցեդոնային երակներով հեմատիտի, միլլերիտի և պալլադիումային պլատինի պարունակությամբ:

Գլխավոր երակը, 10 մ կարողությամբ, բա տարածման հետամտված է 1 կմ և պարունակում է հարյուրավոր գ/տ. մինչև 5 կգ/տ. Pt+Pd:

Հարավային Աֆրիկայի հանքավայրերը Pt և Pd հսկայական պաշարներ ունեն. սկսած 1953 թվականից այդ մետաղների հա-



Նկ. 115. Մալիսեկ գլխավորային խողովակը Հարավային Աֆրիկայում

հենարոնում պլատին պարունակող հորտոնոլիտային զուռնիտ խրոմիտի հետ, եղբայրատված օլիվինային զուռնիտով, ազա պիրոքսենիտով (այդ բոլորը նորիաների մեջ), կտրվածքը կըրկընվում է նաև մյուս կողմից:

1—քրոմիտ, 2—հորտոնոլիտային զուռնիտի դայկաներ, 3—օլիվինային զուռնիտ, 4—պիրոքսենիտ, 5—նորիտ, 6—հանքահոր:

նույթում նրանք առաջատար դեր են կատարում (տարեկան հանույթը կազմում է 9 տ.):

ԸՆԴՀԱՆՐԱՑՈՒՄ ՊԼԱՏԻՆԻ ՎԵՐԱԲԵՐՅԱԼ ԵՎ ՈՐՈՆՄԱՆ ՆՇԱՆՆԵՐԸ¹

Պլատինը և նրա խմբի մետաղները սերտորեն կապված են հիմքային և ուլտրահիմքային ապարների, հատկապես լավ դիֆերենցված զանգվածների հետ, որոնք ձևավորվել են վահանների և սլլատֆորմների գետտեկտոնական հանգիստ պայմաններում, կամ գետտինկլինային զոնաների զարգացման մինչծալքային էտապներում:

Սահմանված են պլատինի հանքավայրերի երկու գլխավոր տիպ²

1) Ուրալյան տիպի հանքավայրեր, որոնք հարում են ծալքավոր զոնաներին և առաջացել են գարբրո-պերիդոտիտային լավ դիֆերենցված լակոլիտների և սիլերի ներդրման մինչծալքային էտապում:

Պլատինի հիստերոմագմատիկ ծագում ունեցող արմատական հանքավայրերը տեղադրված են գոնիտային (ավելի սակավ պերիդոտիտային և պիրոքսենիտային) ածանցյալների մեջ և ներկայացված են ըներով ու երակիկներով, որոնք կազմված են քրոմիտից, պոլիքսենի, իրիդիումային պլատինի և օսմիումային իրիդիումի խառնուրդով:

Բնորոշ մետաղներն են՝ Cr, Pt, Ir, Os: Մյս տիպի հանքավայրերի որոնումների ժամանակ մեծ օգնություն է ցույց տալիս սկզբածքային հանույթը:

2) Նորվեսկի և Սյոգբերի տիպի սուլֆիդային պղինձ-նիկելային հանքավայրեր, որոնք կապված են վահանների ու սլլատֆորմների սահմաններում ներդրված գարբրոների և նորիտների հետ:

Հանքավայրերի գենետիկ տիպը լիկվացիոն է. նրանք հարում են ինտրուզիաների որոշակի ստբատիֆիկացված հորիզոններին և ներկայացված են սուլֆիդային (պիրոտին-խալկոպիրիտ-պենտլանդիտ) հանքանյութով՝ պլատինի սուլֆիդների ու արսենիդների, ստիբիտ-պալլադիինիտի, պալլադիումային պլատինի և ուրիշների խառնուրդով:

Բնորոշ մետաղներն են՝ Ni, Cu, Pt, Pd:

Այս տիպի հանքավայրերի որոնումները ժամանակ նույնպես մեծ օգնություն է ցույց տալիս սկզբածքային հանութիւնը (սպերիլլիտը և պալլադիումային պլատինը կայուն են ալլոսիւլիում), ինչպես նաև սուլֆիդային պղինձ-նիկելային հանքանյութերի մանրամասն միկրոսկոպիկ ուսումնասիրությունը:

**ՀԻՄՆԱԿԱՆ ԳՐԱԿԱՆՈՒԹՅՈՒՆ ՊԼԱՏԻՆԻ ԵՎ ՆՐԱ ԽՄԲԻ
ՄԵՏԱՂՆԵՐԻ ՎԵՐԱԲԵՐՅԱԼ**

Бетехтин А. Г. Платина и другие металлы платиновой группы. Изд. АН СССР, Ломоносовский институт, 1936.

Вагнер П. А. Месторождения платины и рудники Южной Африки, 1932.

Высоцкий Н. К. Платина и районы ее добычи. Изд. КЕПС АН СССР, ч. 1—5, 1923—1933.

Заварицкий А. Н. Коренные месторождения платины на Урале. Изд. Геол. ком. Матер. по общ. и прикл. геологии, вып. 108, 1928.

The structure and composition of the Merensky Reef and associated rocks on the Rustenburg platinum mine S. Afric Min, and Eng. Journ. 63, part 11, № 3130, 1953.

V. ՌԱԴԻՈԱԿՏԻՎ ՄԵՏԱՂՆԵՐ

ՌԻՐԱՆ (ԵՎ ՌԱԴԻՈՒՄ)

ԸՆԴՀԱՆՈՒՐ ՏԵՂԵԿՈՒԹՅՈՒՆՆԵՐ

Առաջին անգամ UO_2 միացութունը հայտնաբերվել է 1789 թ. քիմիկոս Կլապրոտի կողմից, որն այն ընդունել է որպես նոր էլեմենտ և դրանից առաջ (1781) աստղաբաշխ Գերշելի կողմից հայտնաբերված Ուրան մոլորակի պատվին անվանել է ուրան: Մետաղային ուրանն ստացվել է 1841 թ. Պելլագոնի կողմից:

Ուրանը և նրա միացութունները երկար ժամանակ կիրառում չէին գտնում արդյունաբերության մեջ, և Ag, Co, Ni, Bi հանքավայրերի մշակման ժամանակ այդ մետաղներին ուղեկցող ուրանի հանքանյութերը սովորաբար դուրս էին նետվում որպես թափուկ: Ուրանի շատ փոքր քանակութուններ միայն փորձել են կիրառել որպես պողպատին խառնվող հավելույթ կամ ներկեր պատրաստելու ելանյութ: Ավելի ուշ ուրանից սկսել են ստանալ ռադիում (կիրառվում է չարորակ ուռուցքների բուժման գործում):

Ուրանի նկատմամբ հետաքրքրությունը խիստ կերպով մեծացավ 1896 թ. հետո, երբ Ա. Բեկերելը հայտնագործեց նրա հետ կապված հատուկ ճառագայթումները և հատկապես 1898 թվականից հետո, երբ Կյուրի ամուսիններին և Գ. Բեմոնին հաջողվեց Յախիմով հանքի (Իոսխիմստալ) թափուկների ուրանային խեժից ստանալ երկու նոր էլեմենտ՝ ռադիում (№ 88, ատոմական կշիռը 225,97) և պոլոնիում (№ 84, ատոմական կշիռը 210), որոնց գոյությունը և հիմնական հատկությունները նախագուշակել էր հանճարեղ Դ. Ի. Մենդելեևը:

Ուրանի ճառագայթման բնույթը հետազոտելու ընթացքում սահմանվել են երեք տիպի ճառագայթներ՝ α ճառագայթներ՝ դրական լիցքով հելիումի ատոմներ, որոնք հեշտությամբ կլանվում են մի քանի սանտիմետր հաստություն ունեցող օդի շերտով, β ճառագայթներ, բացասական լիցքով էլեկտրոնների հոսանք, որն անցնում է մինչև 5 մմ հաստության բարակ մետաղյա թիթեղիկների միջով, γ ճառագայթներ՝ էլեկտրամագնիսական, որոնք թափանցում են զգալի հաստության մետաղների միջով (մինչև 10 սմ հաստություն ունեցող կապարի թերթերի միջով):

Այդ բոլոր ճառագայթներն իոնացնում են օդը և այն դարձնում էլեկտրահղորդիչ, որի վրա և հիմնված է ռադիոակտիվության չափման էլեկտրոմետրիկ մեթոդը: Հանքանյութերում ուրանի պարունակությունը որոշելու համար օգտվում են նաև շատ զգայուն կալորիմետրերից, որոնց ցուցմունքները կապված են ուրանի և նրա մեջ մշտապես պարունակվող ռադիումի քայքայման պրոցեսում ջերմություն անջատելու հատկության հետ (1 գ ուրանը տարեկան անջատում է $7900 \cdot 10^{-4}$ կալ, իսկ 1 գ Ra մեկ ժամում անջատում է 134 գ կալ. ջերմություն):

Հետախուզության ռադիոմետրիկ մեթոդները կիրառվում են „ α միայն անմիջականորեն ուրանի և թորիումի որոնումների ժամանակ, այլ նաև սովորաբար մոնացիտի և թորիանիտի խառնուրդ պարունակող սոկու, վոլֆրամի, անագի ցրոնային հանքավայրերի որոնումների և հետախուզության, ռադիոակտիվ աղբյուրների և որոշ նավթային հանքավայրերի հետախուզության ժամանակ:

α , β և γ մասնիկներ ճառագայթելու հետևանքով տեղի է ունենում ուրանի տրոհում, որը կրում է ինքնակամ, արտաքին պայմաններից անկախ պրոցեսի բնույթ. ուրանի տրոհման վերջնական արդյունքներն են հելիումը, կապարը և ռադիումը: Ուրանի և ռադիումի միջև հաստատվում է հավասարակշռություն. ուրանում ռադիումի մաքսիմալ պարունակությունը կազմում է 0,34 գ մեկ տոննա U մեջ և երբեք չի դերազանցում այդ հարաբերակցությանը, քանի որ ինքը ռադիումը նույնպես անկայուն է և իր հերթին ենթարկվում է տրոհման:

Ուրանի տրոհման արագությունը բոլոր պայմաններում հաստատուն է. դրա վրա է հիմնված միներալների և լեռնային ապարների բացարձակ հասակի որոշումը, ըստ միներալների մեջ ուրանի, կապարի և հելիումի պարունակության:

Հասակը հաշվվում է հետևյալ բանաձևով՝ $T = \frac{Pb}{U} \cdot 7600$ միլ.

տարի, կամ եթե մի՛նեբրալը բացի U պարունակում է նաև Th,

այդ $T = \frac{Pb}{U + 0,36Th} \cdot 7600$ միլ. տարի:

Այս մեթոդով որոշված է, որ Կանադայի պեղմատի-տային երակները հնագույն մի՛նեբրալների հասակը մոտ 2 միլիարդ տարի է, Մեծ Արջի լճի ուրանային հանքավայրի հասակը ավելի քան 1300 միլիոն տարի է (արխեյան), Կոնտակո լճի հանքավայրինը՝ 650 միլիոն տարի, Շինկոլորվեյինը՝ 610 միլիոն տարի (պրոտերոզոյան), Յախիմոյինը՝ 234 միլիոն տարի (վերին կարբոնի), Զիուսուայինը՝ 50 միլիոն տարի (վերին կավճի), Մերիսվեյլինը՝ 10 միլիոն տարի (սլիոցենի):

Ուրանի կիսատրոհման ժամանակաշրջանը՝ $T = 4,45 \cdot 10^9$ տարի է, այսինքն այդքան տարուց հետո ուրանի վերցրած ամեն մի քանակության կեսը տրոհվում է: Վերջին հաշվով U^{238} ատոմն ամբողջապես փոխանցվում է Pb ատոմի (206 ատոմական կըշտով) և հելիումի 8 ատոմներին:

Ռադիումը տրոհվում է շատ ավելի արագ, նրա կիսատրոհման ժամանակաշրջանը 1560 տարի է:

1939—40 թթ. Ֆրեդերիկ ժուլիո-Կյուրիի և մի շարք այլ ֆիզիկոսների փայլուն աշխատանքներով ապացուցվել է, որ բացի սովորական ազդիտակտիվ տրոհումից, U^{235} իզոտոպի միջուկները նեյտրոններով ուժեղացվելու միջոցով կարելի է բաժանել երկու մասի, որոնք համապատասխանում են Մենդելևի պարբերական սիստեմի միջին մասի էլեմենտներին՝ բարիումին և կրիպտոնին, կամ սելենին և ցերիումին: Տրոհումից հետո այդ մասերը կատաստրոֆիկ ուժով թռչում են տարբեր կողմեր, որն ուղեկցվում է հսկայական քանակության էներգիայի անջատումով:

Պարզվել է, որ ջրածնի ծանր իզոտոպի միջուկների օգնությամբ կարելի է կարգավորել ուրանի ատոմների քայքայման արագությունը և, նայած առաջադրված նպատակներին, արագացնել ուրանի միջուկների բաժանման շղթայական ռեակցիան, առաջացնելով հսկայական քանակության էներգիայի հանկարծակի անջատում (պայթման երևույթ), կամ դանդաղեցնել պրոցեսը, հասնելով էներգիայի դանդաղ և աստիճանական անջատման:

Հետազոտում U^{238} -ից ստացվեցին այսպես կոչվող տրանսու-

րանային էլեմենտներ՝ նեպտունիում, պլուտոնիում, ամերիցիում՝ կյուրիում, բերկլիում, կալիֆորնիում, ատենիում, ցենտուրիում (համապատասխանում են պարբերական սխեմայի № № 93, 94, 95, 96, 97, 98, 99, 100) և ապացուցվեց պլուտոնիումի ատոմների միջուկների տրոհման հնարավորութունը ներմիջուկային էներգիայի անջատումով:

Ներկայումս որպես ներմիջուկային էներգիայի ստացման աղբյուր, որն օգտագործվում է զենք պատրաստելու համար և խաղաղ նպատակներով, ուրանը խաղում է միանգամայն բացառիկ դեր և բնական է, որ այդ կապակցությամբ էլ արագորեն աճում է նրա հանույթը:

19-րդ դարի վերջերից մինչև 1940 թ. ներառյալ ընկած ժամանակաշրջանում արտասահմանյան երկրներում արդյունահանված է ընդամենը մոտ 7500 տ. ուրան՝ Բելգիական Կոնգոյում 4500 տ., Կանադայում 1400 տ., ԱՄՆ-ում 1200 տ., Մեծ Բրիտանիայում 300 տ. այսպիսով, տարեկան միջին հաշվով արդյունահանվել է մոտ 200 տ. ուրան:

Ներկայումս ուրանի հանույթը խիստ կերպով ավելացել է և վերջին երկու տարիներս կապիտալիստական երկրներում տարեկան արդյունահանվում է, համաճարար, 18—20 հազար տոննա ուրան (1942 թ. սկսած ճշգրիտ թվեր չեն հրապարակում):

Ըստ Գ. Կրուզայի մոտավոր հաշիվների (Chemische industrie, 1954), 1953 թ. ուրանի արդյունահանումը կազմել է 7800 տ, որն ըստ երկրների բաշխվել է հետևյալ կերպ՝ Բելգիական Կոնգո 4450 տ., Կանադա 1440 տ., ԱՄՆ 1200 տ., Մեծ Բրիտանիա 300 տ., Փորթուգալիա 250 տ., Ֆրանսիա 100 տ., այլ կապիտալիստական երկրներ 60 տ.:

Հայանի է, որ այս ավյալների հրապարակումից հետո ուրանի արդյունահանումը զգալի չափով աճել է Կանադայում, Ֆրանսիայում, Ավստրալիայում, Հարավ-Աֆրիկյան Միությունում և Հընդկաստանում: Հեռանկարային հանքավայրեր հայտնի են նաև, և մասամբ մշակվում են, Իսպանիայում, Մեքսիկայում, Բրազիլիայում, Նոր Զելանդիայում, Թուրքիայում, Իրանում, Բոլիվիայում, Արգենտինայում, Նիդերլանդում, Գրենլանդիայում, Շվեդիայում, Իտալիայում, Գերմանիայի Ֆեդերալ Ռեպուբլիկայում, Մադագասկարում և մի շարք այլ երկրներում (նկ. 116): Ուրանի խոշոր հանքավայրեր հայտնի են ՍՍՌՄ-ում և մի շարք ղեմոկրատական երկրներում (Չեխոսլովակիայում, ԳԴՌ-ում և ուրիշ.): Հար-

կալոր է նշել, որ համեմատաբար սահմանափակ պաշարներ ունեցող ուրանի հարուստ հանքավայրերն այժմ չեն կարող ապահովել ուրանի արդյունահանման ժամանակակից մակարդակը, արդ պատճառով արտասահմանյան շատ երկրներում յուրացվում են աղքատ և նույնիսկ շատ աղքատ հանքանյութերի խոշոր պաշարներ ունեցող նոր տիպի հանքավայրեր, վերջիններից ուրանը կարող է ստացվել անտեսապես շահավետ կերպով առանձին կամ ուրիշ օգտակար հանածոների (ոսկու, անագի, պղնձի, թորիումի, վանադիումի, քարածուխի, նավթի, սոֆալտի, ֆոսֆորիտի և այլն) ստացման հետ զուգընթաց:

Այսպես, սկսած 1951 թ. օրըստօրե աճող քանակությամբ ներույ ուրան ստանում են սակու հետ զուգընթաց Բանգլի կոնգլոմերատներից, թորիումի հետ զուգընթաց Հնդկաստանում և Բրազիլիայում, անագի հետ՝ Նիգերիայում և Մալայայում, պղնձի հետ՝ Ավստրալիայում, ֆոսֆորի հետ՝ ԱՄՆ-ում: Ուրան արդեն ստանում են քարածուխներից (ԱՄՆ, Գերմանիա): Այժմ հարց է դրվում ուրան ստանալ ըիտումային վանադիումաբեր թերթաքարերից, որոնք մի շարք երկրներում ունեն ղեգիտնալ տարածում և միջին հաշվով պարունակում են $0,015\%$ U_3O_8 : Կանադայում յուրացված են ցանավոր հանքանյութերի խոշոր հանքավայրեր (Գուննար և Էյս) $0,01\%$ U_3O_8 պարունակությամբ:

Աղքատ և շատ աղքատ հանքանյութերի նշված տիպերի յուրացումը, որոնցում կենարոնացած են ուրանի միլիոնավոր տոննաներ, թույլ կտա մոտ ժամանակներում ուրանի տարեկան հանույթը բարձրացնել մինչև տասնյակ հազար տոննայի, այսինքն այն հասցնել մինչև այնպիսի մետաղների հանույթի մակարդակին, ինչպիսիք են վոլֆրամը և մոլիբդենը:

Պետք է նկատի ունենալ, որ, ըստ եզած հաշվումների, 1975—80 թթ. միայն ատոմային էլեկտրակայանները տարեկան կծախսեն 14000 տ. ուրան:

Անհրաժեշտ է նշել, որ արտասահմանյան երկրներում U_3O_8 -ի 1 ֆունտի այժմյան գինը հասնում է 10 գոլլարի (U^{235} 1 կգ արժե 20 հազար գոլլար, այսինքն ոսկուց 17 անգամ ավելի թանկ), որը թույլ է տալիս անտեսապես շահավետ կերպով մշակել այն հանքանյութերը, որոնք միջին հաշվով պարունակում էն 150 գ/տ., կամ $0,015\%$ U_3O_8 : Ընդամիս, ստացված մետաղի արժեքը մնում է զգալիորեն ավելի բարձր, քան ցանավոր պորֆիրային

հանքանյութերից ստացվող պղնձի, կամ ներկայումս մշակվող սսկու մի շարք արմատական հանքավայրերից ստացվող սսկու արժեքը:

Այսպիսով, U_3O_8 0,015⁰/₀ պարունակությունը (և նույնիսկ 0,01⁰/₀ ու ավելի ցածրը գուգընթաց արդյունահանման ղեկավարում) չի սահմանափակում ուրանի հանույթը միայն մի պայմանով, որ այդպիսի աղքատ հանքավայրերը խոշոր մասշտաբ ունենան:

* * *

Ուրան էլեմենտը, որի հերթական համարն է 92, վերջափակում է (չհաշված տրանսուրանային էլեմենտները) Մենդելևի աղյուսակը: Մետաղային ուրանն արծաթա-սպիտակ գույն ունի, 18,7 տեսակարար կշռով և 1850°C հալման ջերմաստիճանով. նա Cr, Mo, W-ի հետ գտնվում է մի ենթախմբում:

Ուրանի ատոմական կշիռն է 238,07. նրա կազմի մեջ մտնում են մի քանի իզոտոպներ հետևյալ հարաբերակցությամբ՝ U^{238} 99,28⁰/₀, U^{235} 0,714⁰/₀, U^{234} 0,0054⁰/₀ և մի շարք ուրիշ իզոտոպներ:

Ուրանի գեոքիմիային շատ աշխատանքներ են նվիրված, սակայն այդ էլեմենտի մի շարք առանձնահատկությունները լրիվ չափով դեռ պարզաբանված չեն:

Ուրանը լիտոֆիլ էլեմենտ է, նրա միջին պարունակությունը երկրի կեղևում կազմում է 4 գ/տ., այսինքն 0,0004⁰/₀. համեմատաբար բարձր պարունակությունները կապված են թթու և չափավոր թթու գրանիտոիդների հետ, ընդ որում սովորաբար ուրանով ամենից հարուստ են մագմատիզմի վերջին ֆազերը, որոնց սպարներն առանձնապես հարուստ են K_2O և SiO_2 :

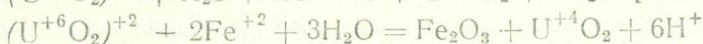
Ուրանի շատ մեծ պարունակություններ կան Նիգերիայի ակալային, պիրոքլոր պարունակող գրանիտներում (միջին հաշվով 0,012⁰/₀ U_3O_8):

Ուրանի իոնային շառավիղը հավասար է 1,05 Å, թորիումինը՝ 1,1 Å. այդ մեծությունների մոտիկությունը պայմանավորում է երկու էլեմենտների համատեղ գտնվելը և նրանց իզոտոֆիզմը բարձր ջերմաստիճանային միներալներում (պեգ-

մատիտներում և պնևմատոլիտային գոյացումներում)․ բարձր ջերմության պայմաններում ուրանը, ինչպես և թորիումը, քառարժեք է:

Պեգմատիտներում և բարձր ջերմատրոնանային պնևմատոլիտային գոյացումներում շատ բնորոշ է U ասոցիացիան Th, Ta, Nb, Ti, Zr, Be, Li, Sn, F, TR հետ:

Ալիելի ցածր ջերմություններում, հիդրոթերմալ պայմաններում, ուրանը սովորաբար վեցարժեք է և, հաճախաբար, տեղափոխվում է ուրանիլ իոնի ձևով սուլֆատային կամ կարբոնատային թթու և ալկալային լուծույթներում: Լուծույթներից ուրանիլ իոնը նստեցնում են H_2S և Fe^{+2}



Վերջին սեպտիան լավ է բացատրում ուրանային խեժի լայնորեն տարածված ասոցիացիան հեմատիտի հետ: Հարկավոր է նշել, որ թորիումի իոնը, որի արժեքականությունը հաստատուն է (հիդրոթերմալ պայմաններում Th նույնպես քառարժեք է), դժվար լուծվող է, այդ իսկ պատճառով հիդրոթերմալ պայմաններում U և Th ասոցիացիան բնորոշ չէ:

1937 թ. Փ. Բերգը գրել է՝ «ուրանի գլխավոր հայրենիքը հանդիսանում են այն սուլֆիդային, հաճախ բազմամետաղ հանքային երակները, որոնք սերտ կերպով կապված են անագաբեր գրանիտների հետ»: Այդպիսի պատկերացումը արդարացի է միայն մասամբ և կիրառելի է գլխավորապես Հանքային լեռների և հատկապես Կորնուոլլի շրջանների նկատմամբ, որոնց ուսումնասիրության հիման վրա էլ հենց նա կազմվել է: Աշխարհի անագաբեր շրջանների ճնշող մեծամասնությունում և հատկապես սուլֆիդ-կատսիտերիտային տիպի հանքավայրերի լայն զարգացման շրջաններում մինչև այժմ ուրանի փոքրիշատե զգալի քանակություն դեռ չի գտնված:

Մյուս կողմից, հիդրոթերմալ հանքավայրերում ուրանի խոշոր կուտակումներ հանդիպում են շատ ուրիշ գեոքիմիական ասոցիացիաներում՝ Fe (հեմատիտ, սիդերիտ, անկերիտ), Cu, As, Au, Pb, Zn, Mo, Se և հատկապես Ni-Co-Bi-Ag (առանց Sn) հետ:

Անհրաժեշտ է նշել, որ մինչև այժմ հայտնի էնդոգեն ծագում ունեցող ուրանի համարյա բոլոր խոշոր կուտակումները

հարում են աշխարհի՝ ծծումբով ազատ մետալուրգիկ մարզերին, որոնք բնորոշ են հեմատիտի, սիդերիտի, անկերիտի (պիրիտի փոխարեն), արսենիդների (սուլֆիդների փոխարեն), հաճախ բնածին արծաթի և ըիսմուտի (այդ մետաղների սուլֆիդների առաջացման համար բավականաչափ ծծումբ չի եղել), սելենիդների (սուլֆիդների փոխարեն) լայն տարածմամբ:

Ուրանի և ծծմբի միջև եղած անտազոնիզմն առաջին անգամ նշել է Գ. Բերգը:

Ներկայումս ուսումնասիրված են մի շարք շրջաններ, որտեղ ուրանը և սուլֆիդային հանքայնացումը գեներալիզորեն կապված են և տերիտորիալ կերպով համընկնում են. սակայն այստեղ ևս ուրանային խեժը ավելի հաճախ նստում է սուլֆիդներից անկախ, մինչև նրանց նստեցումը, հաճախ էլ սուլֆիդների գլխավոր մասի անջատումից հետո, լուծույթում ծծմբի պարունակություն անկման պայմաններում և ըստ ժամանակի հեմատիտի, կարմիր կարբոնատների (Fe_2O_3 ներծծված) և հատկապես քլորիտի (որի մեջ Fe թերօքսիդային է) նստեցման հետ միասին, հեռակապես, վերականգնման պայմաններում:

Օքսիդացման գոնայում ուրանի առաջնային միներալների մեծ մասն անկայուն է, ուրանն անցնում է լուծույթի մեջ և անջատվում է P, As, V օրթոթթուների ներկայությամբ, առաջացնելով կանաչ և դեղին գույներով վառ գունավորված ուրանային վայլարիկներ:

Նստվածքային գոյացումներում ուրանը կուտակվում է խորջրյա ծովային տիղմի (թերթաքարերի), հատկապես ածխաթթու պարունակող թերթաքարերի մեջ. դա հավանաբար կապված է պլանկտոնային միկրոօրգանիզմների հետ, որոնք ծովային ջրից կլանում են նրա մեջ լուծված U, V, Cu, Zn, Mo և ուրիշ մետաղներ:

Ուրանի նստեցումը կարող է տեղի ունենալ նաև վերականգնման պայմաններում օրգանական նյութի քայքայման հետևանքով, որի ժամանակ առաջացած H_2S վերականգնում է ուրանիլի իոնը մինչև չլուծվող UO_2 :

Նշանակալից է, որ ուրանի համեմատաբար բարձր պարունակություններ ունեն ոչ միայն թերթաքարերը, այլ նաև կայծքարային կրաքարերի ենթաշերտերը, որոնց ձևավորմանը նախորդել է օրգանական նյութով հարուստ շերտերի կուտակումը և դրա կապակցությամբ ավազանի այդ տեղամասերում վերա-

կանգնող ռեժիմի հաստատումը, որը նպաստել է ուրանի նըստեցմանը:

Օրգանական նյութը, ըստ երևույթի, ընդունակ է առաջացնելու նաև ուրանի օրգանական չլուծվող միացություններ, կամ կլանելու ուրանը, որի հեռանքով էլ հաճախ դիտվում է ուրանի համեմատաբար բարձր պարունակություն քարածուխներում, լիգնիտում, ասֆալտիտում և բուսական ու օրգանական ծագում ունեցող ուրիշ նյութերում:

Ուրանի համեմատաբար բարձր պարունակություններ կան նաև նստվածքային ծովային ծագում ունեցող ֆոսֆորիտներում:

Հայտնի են ուրանի զգալի քանակություն պարունակող ավելի քան 100 միներալ, սակայն դրանցից միայն քչերն են (բերված են ստորև), որ ներկայացնում են կարևոր արդյունաբերական հանքանյութ:

Ուրանիլիտ UO_2 , UO_3 -ի, ThO_2 -ի և PbO խառնուրդով. 50—65% U:

Ուրանային խեժ (նաստուրան)¹ U_3O_8 , PbO -ի խառնուրդով, բայց սովորաբար առանց ThO_2 . 45—65% U, ուրանի կարևորագույն հանքանյութն է:

Կարնոտիտ $\text{K}_2\text{U}_2[\text{VO}_4]_2\text{O}_4 \cdot 3\text{H}_2\text{O}$. մինչև 63% UO_3 , 20—21% V_2O_5 (դեղձանիկի և լիմոնի դեղին դույնի):

Տյուլամուլիտ $\text{CaU}_2[\text{VO}_4]_2\text{O}_4 \cdot 8\text{H}_2\text{O}$. մինչև 60% UO_3 :

Տորբերիտ $\text{CuU}_2[\text{PO}_4]_2\text{O}_4 \cdot 12\text{H}_2\text{O} \cdot 52\% \text{UO}_3$ (զմբուխտի կանաչ):

Օտունիտ $\text{CaU}_2[\text{PO}_4]_2\text{O}_4 \cdot 8\text{H}_2\text{O} \cdot 55—63\% \text{UO}_3$ (լիմոնի դեղին և ծծմբադեղին):

Ֆեյներիտ $\text{CuU}_2[\text{AsO}_4]_2\text{O}_4 \cdot 12\text{H}_2\text{O}$. 52% UO_3 (խնձորի կանաչ):

Տրյոգերիտ $\text{U}_3[\text{AsO}_4]_2\text{O}_6 \cdot 12\text{H}_2\text{O}$ (լիմոնի դեղինից մինչև դորշ դեղին):

Բացի վերը նշված միներալներից, բավական լայն տարածում ունեն և որոշ տեղերում արդյունաբերական նշանակություն են ստացել նաև հետևյալ միներալները՝ բետաֆիտ, ուրա-

¹ Ուրանային խեժի ֆորմուլան հաճախ գրում են այսպես՝ $p\text{UO}_2 \cdot q\text{UO}_3 \cdot r\text{PbO}$.

նի ջրային տիտան-տանտալ-նիոբատ (18—26% UO_3), սամարսկիտ. հազվագյուտ հողերի տանտալ-նիոբատ (4—16% UO_2), բրաունիտ (U, Ca, Fe, Y, Th) $_3Ti_5O_{16}$ (10,3% UO_2 , 33,5% UO_3 , 4,1% ThO_2), դավիդիտ. ուրանի տիտան-նիոբատ, շերալիտ, մոնացիտի խմբի միներալ ($31,5\%$ ThO_2 և $4,1\%$ U_3O_8), պիրոքլորի ուրան պարունակող տարբերակներ (մինչև 11,4% UO_2 , 15,5% UO_3 , 5% ThO_2):

Որոշ տեղերում լայն տարածում ունեն նաև ուրանինիտի և ուրանային խեժի ջրային սիլիկատները՝ հումմիտները (նաև բորո-հումմիտ, օրանժիտ), դեզինից մինչև նարնջագույն, բարդ ուրանա-օրգանական միներալներ, այդ թվում սուլիդիտ (պարունակում է Th, U, C, H, O) և ուրիշներ:

Ուրանի խառնուրդ կա շատ ուրիշ միներալներում, այդ թվում ֆլյուորիտում, օպալում, սֆինում, օրտիտում, ցիրկոնում, ապատիտում, քսենոտիմում:

Ուրանի կոնդիցիաները տարբեր երկրներում տարբեր են և ենթարկվում են զգալի փոփոխությունների: Սովորաբար մշակվում են UO_3 0,5% և ավելի բարձր պարունակություն ունեցող հանքանյութերը. սակայն հանքավայրերի խոշոր մասշտաբների և համեմատաբար հեշտ հարստացման դեպքում կոնդիցիոն են հանդիսանում նաև 0,1 և նույնիսկ 0,05% UO_3 պարունակող հանքանյութերը: Ուրանը դուրընթաց կերպով արդյունահանելու դեպքում (սակերեր կոնգլոմերատներ և ֆոսֆորիտներ) հետաքրքրություն է ներկայացնում UO_3 -ի 0,005—0,01% պարունակությունը:

ՈՒՐԱՆԻ ՀԱՆՔԱՎԱՅՐԵՐԻ ԳԵՆԵՏԻԿ ՏԻՊԵՐԸ ԵՎ ՀԱՆՔԱՅԻՆ ՖՈՐՄԱՅԻՆՆԵՐԸ, ՄԵՏԱԼՈԳԵՆԻԿ ՄԱՐՁԵՐՆ ՈՒ ԴԱՐԱՇՐՋԱՆՆԵՐԸ

Ուրանի էնդոգեն հանքավայրերի մեջ առանձնացվում են հետևյալ տիպերը՝

1. Բուց մագմատիկ, որը կապված է դրանիտների ու սիենիտների (հաճախ ալկալային) հետ և ներկայացված է բրաննիտիտի, պիրոքլորի, մոնացիտի, շերալիտի, քսենոտիմի, ցիրկոնի, էվքսենիտի ցրված ցանով և փոքր շիբրներով, գլխավորապես, մինչքեմբրի հասակի ինտրուզիվ ապարների կամ օրթոգնեսյաների մեջ:

Հանքանյութերը աղքատ են, U_3O_8 մինչև 0,01% հազվա-

դեպ ավելի բարձր պարունակությամբ, սակայն այսպիսի հանքավայրերի պաշարները հակայական են:

Այս տիպի արմատական հանքավայրեր մշակվում են միայն Հարավային Ավստրալիայում, Կրոկերս Ուելլ շրջանում (բրաննեյրի ցան): Նիգերիայում հայտնաբերված է ալկալային գրանիտները մեջ ցրված պիրոքլորի խոշոր հանքավայր. գրանիտները պարունակում են միջին հաշվով $0,012\%$ U_3O_8 , $0,03\%$ ThO_2 և $0,33\%$ Nb_2O_5 , իսկ պիրոքլորը պարունակում է $3,1\%$ U_3O_8 , $3,3\%$ ThO_2 , $41,1\%$ $(Nb,Ta)_2O_5$. հանքավայրը մոտ ապագայում հավանաբար կմշակվի որպես կոմպլեքսային U—Th—Nb-ային:

Բուն մագմատիկ տիպի հանքավայրերի քայքայման հաշվին առաջացել են մոնացիտի և շերալիտի հարստագույն ծովային մերձափնյա ցրոններ (Հնդկաստան, Բրազիլիա, Ֆեյլոն և ուրիշներ). հավանաբար առաջացել են նաև ուրանաբեր կոնգլոմերատներ (Վիտվատերսանգը Հարավային Աֆրիկայում և Բլայնդ-Ռիվերը Կանադայում):

2. Ուրանաբեր գրանիտային պեգմատիտների հանքավայրեր, ուրանինիտի, թորիանիտի, թորիտի, ուրանի տանտալ-տիտան-նիոբատները (սամարսկիտ, բետաֆիտ և ուրիշներ), մոնացիտի, ցիրկոնի, օրտիտի հետ:

Ուրանի միներալները սև և մուգ մոխրագույն են, նրանց շուրջը դաշտային շպատի և կվարցի մեջ ձառագայթաձև տարածվում են բարակ ձեղքիկներ, որոնք կապված են ուրանի տրոհման հետ: Դաշտային շպատի գունավորումը դառնում է կարմիր, կվարցինը՝ ծխագույն, ֆլյուորիտինը՝ մանուշակագույնից մինչև սև: Ուրանային հանքայնացումը ավելի բնորոշ է զոնալ դիֆերենցիված պեգմատիտներում, հարում է կվարցային միջուկին և զուգակցվում փայլարների, սպորումենի, պերտիտի հետ: Ուրանաբեր են կալիումով հարուստ գրանիտային մագմատերի պեգմատիտները, հատկապես Կանադական, Հարավ-Աֆրիկյան, Բրազիլիական, Հինդուստանյան, Ֆեննո-Սկանդինավյան և Ալստրալիական վահանների խորքային, հնագույն, ուժեղ լվացված կոմպլեքսներում, որտեղ ուրանաբեր պեգմատիտներն առանձնապես լայն տարածում ունեն:

Պեգմատիտներում բնորոշ է U ասոցիացիան Th, Ta, Nb, Ti, Zr, Hf, TR, Be, Li, F, P հետ: Շատ երկրներում (Մադագասկար, ԱՄՆ, Կանադա, Նորվեգիա, Շվեդիա, Հնդկաստան և

ուրիշներ) պեղմատիտների կոմպլեքսային մշակման ժամանակ զուգընթացաբար ստանում են ուրանի փոքր քանակություներ: Սակայն U_3O_8 միջին պարունակություները պեղմատիտներում չի գերազանցում $0,01^0/0$, պաշարները փոքր են և այս տիպի ուրանի համար խիստ երկրորդական դեր է խաղում:

Մեծ հետաքրքրություն է ներկայացնում պեղմատիտային տիպի Վիլբերֆորս հանքավայրը (Կանադա, Օնտարիո նահանգ), որտեղ ուրանինիտը ֆլյուորիտի և կալցիտի հետ միասին անջատվել է պեղմատիտային դայալայի կալսված կողում, ըստ երևույթին ավելի ուշ հիդրոթերմալ էտապում: U_3O_8 միջին պարունակություները կազմում է $0,2^0/0$, հանքավայրը մշակվում է:

Օքսիդացման զոնայում պեղմատիտների մեջ, ուրանի և թորեումի առաջնային միներալների հաջվին, դարգանում են նրանց ջրային սիլիկատները՝ հումմիտը և թորո-հումմիտը, որոնք բնորոշվում են վառ գեղին և նարնջագույն երանգներով. նրանց միջուկում հաճախ պահպանվում են առաջնային Եսեք միներալների մնացորդներ:

3. Սկառնային (կոնտակտ--մետասոմատիկ) տիպի հանքավայրեր, ուրանի համար բոլորովին բնորոշ չեն:

Հայտնի են ուրանի սկառնային տիպի երկու հանքավայր՝ Շմիդեբերգը Սիլեզիայում և Ագեգուրը Մարոկկոյում. երկու դեպքերում էլ ուրանային հանքայնացումն ավելի ուշ է, վերագրված է մագնետիտային (Շմիդեբերգ) և շեելիտային (Ագեգուր) հանքայնացում պարունակող սկառների վրա և տեղի է ունեցել հիդրոթերմալ պայմաններում:

4. Ուրանի հիդրոթերմալ հանքավայրերը շատ բազմատեսակ են, առաջանում են ջերմությունների լայն սահմաններում (բարձրից մինչև ցածր), միջին և հաճախ փոքր խորություններում:

Հանքավայրերը գենետիկորեն կապված են թթու և չափավոր թթու հրային ապարների հետ. հաճախ մայր ագրյուրների հետ նրանց ունեցած կապը պարզ չէ և դրանով էլ հենց բացատրվում է գեոլոգների մի մասի հակումը՝ աչգպիտի հանքավայրերը դասելու այլ գենետիկ տիպերի (նստվածքային--մետամորֆացած, կամ ոչ պարզ ծագման) շարքը:

Հիդրոթերմալ հանքավայրերի մեջ, ըստ առաջացման պայմանների և միներալների ու էլեմենտների բնորոշ ասոցիացիա-

ների, կարելի է առանձնացնել հետևյալ տիպերը կամ ֆորմացիաները՝

ա) Դավիդի տային ֆորմացիայի բարձր ջերմաստիճանային պնեմատոլիտային - հիդրոթերմալ հանքավայրեր, որոնք կազմված են նատրիումային ապլիտների հետ Հարավային Ավստրալիայում (Ռէդիում Հիլ) և գարբրոների հետ Մոզամբիկում:

Ռէդիում Հիլ հանքավայրը ներկայացված է մինչքեմբրի մետամորֆացած նստվածքներում տեղագրված հանքակուտակների սխեմով: Հանքանյութերի կազմութունն է՝ կվարց, գալիդիտ, մագնետիտ, հեմատիտ, իլմենիտ, սուտիլ, բիոտիտ: Ուրանի պարունակությունը (գավիդիտի հաշվին, որը պարունակում է մինչև 8⁰/₁₀ U₃O₈) բարձր չէ, հանքավայրերի մասշտաբը փոքր է և նրանք ուրանի հանույթի մեջ շատ համեստ դեր են կատարում:

բ) Անագ-վոլֆրամ-պղինձ-ուրանային ֆորմացիայի բարձր-միջին ջերմաստիճանային երակներ, որոնք կազմված են հերցինյան հասակի թթու գրանիտների հետ (Կորնուոլլ): Ուրանային խեժը սերտորեն զուգակցված է խալկոպիրիտի հետ և անջատվել է զլխավորապես կասսիտերիտի և վոլֆրամիտի նստեցումից հետո: Հավանաբար այս նույն տիպին են պատկանում Հանքային լեռների որոշ հանքավայրեր: Այս ֆորմացիայի արդյունաբերական նշանակությունը երկրորդական է:

գ) Նիկել-կոբալտ-պղինձ-ուրանային ֆորմացիայի բարձր-միջին ջերմաստիճանային շտովիերկային հանքավայրեր, որոնք շատ լավ են արտահայտված Բելգիական Կոնգոյում (Կատանգայի Շինկոլորվե, Կամբովե, Լուխվիշի և ուրիշ հանքավայրեր):

Հանքանյութերը տեղագրված են մինչքեմբրի թերթաքարերի և դոլոմիտների մեջ, առանց ինտրուզիաների հետ տեսանելի կապ ունենալու, ուստի և գեոլոգների որոշ մասի կողմից (Վ. Ս. Դոմարյով և ուրիշներ) վերագրվում են նստվածքային—մետամորֆացած հանքավայրերի տիպին: Հանքանյութերի կազմությունը՝ ուրանիլիտ, ուրանային խեժ, Ni ու Co սուլֆիդներ և սելենիդներ, Cu, Zn, Mo սուլֆիդներ, Au, Pd միներալներ և ուրիշներ: Հանքանյութերը հարուստ են (U₃O₈ 1—2⁰/₁₀ և ավելի), պաշարները և հանույթի մասշտաբը մեծ են հատկապես Շինկոլորվե հանքավայրում, որը տալիս է ուրանի արտասահմանյան հանույթի մեկ քառորդից ավելին:

Սա ուրանի հիդրոթերմալ հանքավայրերի ամենաարդյունավետ տիպն է:

դ) Պղինձ-ուրանային ֆորմացիայի միջին ջերմաստիճանային երակիկա-ցանավոր և երակային հանքավայրեր. այս տիպին են պատկանում Հյուսիսային Ալստրալիայի Ռամ-Ջանգլ և ուրիշ հանքավայրեր:

Հանքավայրերը տեղադրված են մինչքեմբրի մետամորֆացած նստվածքներում, հազվադեպ գրանիտներում: Բնորոշ է խալկոսիլիտի, բոռնիտի, խալկոզինի և ուրանային խեժի ասոցիացիան, որին երբեմն էլ խառնվում են փոքր քանակությամբ գալենիտ և հեմատիտ:

Այս ֆորմացիային շատ մոտ են կանգնած Ալստրալիայի Կվինսլենդի հանքավայրերը (Մաունթ-Այզա և ուրիշներ):

Հանքավայրերի մասշտաբը խոշոր է և չնայած նրան, որ U_3O_8 պարունակությունը համեմատաբար ցածր է ($0,1-0,5\%$), այս տիպը մեծ նշանակություն է ձեռք բերում:

ե) Միջին ջերմաստիճանային ոսկի-ուրան-բաղամետաղ հանքավայրեր, ուրանային խեժի (կամ ուրանինիտի) ասոցիացիայով պիրիտի, խալկոսիլիտի, սֆալերիտի, գալենիտի, սիդերիտի և բնածին ոսկու հետ: Այս տիպի ներկայացուցիչներն են հանդիսանում Կոլորադո նահանգի Զիրպին և Մեքսիկայի Չիուաուա երակային հանքավայրերը:

զ) Ուրանային ֆորմացիայի միջին ջերմաստիճանային հանքավայրեր, սուլֆիդների, սելենիդների շատ փոքր քանակությամբ և կարբոնատների, քլորիտի ու հեմատիտի առատությամբ: Հանքավայրերը երակիկա-ցանավոր են, խոշոր մասշտաբի, սակայն հանքանյութերը համեմատաբար աղքատ են ($0,1-0,2\%$ U_3O_8): Ինտենսիվ կերպով մշակվում են կանադայում (Գուննար, Էյս և ուրիշ հանքեր Ատարասկա լճից դեպի հյուսիս) և տալիս են կանադայի ուրանի հանույթի զգալի մասը:

ը) Հին գէլեմենտային (Co—Ni—Bi—Ag—U) ֆորմացիայի միջին—ցածր ջերմաստիճանային հանքավայրեր, որոնք տեղադրված են մետամորֆացած նստվածքային ապարների, ալեկի հազվադեպ մինչքեմբրի հասակի գրանիտների մեջ: Ուրանային խեժը զուգակցվում է Co և Ni արսենիդների, բնածին բիսմուտի և ալմոսթի, արգենտիտի, բիսմուտի, կարբոնատների (մսա-կարմիր գույնի), եղջրաքարային և խալցեդոնանման կվարցի,

քարիտի (մոխրագույն), ֆլյուորիտի (մուգ մանուշակագույնից մինչև սև գույն) հետ:

Հինգէլեմենտային ֆորմացիայի հանքանյութերի գենետիկ կապը որոշակի հրային ապարների հետ հաճախ պարզ է. հանքանյութերը գրանիտներից սովորաբար շատ ավելի երիտասարդ են և հաճախ տարածականորեն սերտ կերպով կապված են ավելի ուշ առաջացած դիարազային դայկաների հետ: Հարկավոր է նշել հանքայնացման բազմակետապոթյունը, էտապների վերագրումը միմյանց վրա և կոլոմորֆ հանքանյութերի լայն տարածումը, հատկանիշներ, որոնք հաստատում են հանքայնացման առաջացումը փոքր խորություններում:

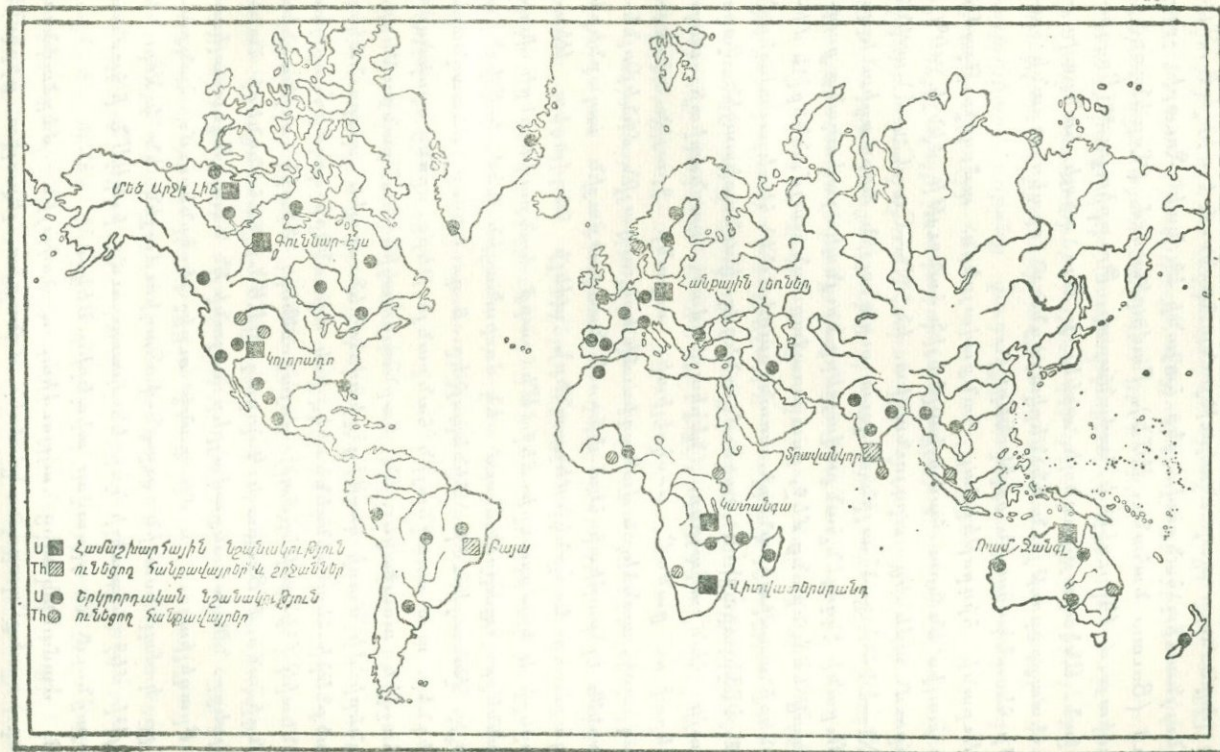
Այս տիպի հանքավայրերը գենետիկորեն ենթադրաբար կապվում են չափավոր թթու մագմայի հետ: Հանքավայրերը բավական մեծ մասշտաբ և հարուստ ($1-2^0/0 U_3O_8$) հանքանյութեր ունեն և այս տիպը հանդիսանում է ամենաարդյունավետներից մեկը: Այս ֆորմացիայի տիպիկ ներկայացուցիչներն են Մեծ Արջի լճի ու Կոնտակո լճի շրջանների (Կանադա) և Հանքային լեռների (Յախիմովը Չեխոսլովակիայում, Շնեքերգը և ուրիշ. Սաքսոնիայում) հանքավայրերը:

Թ) Ուրան - սուլֆիդ - ֆլյուորիտային ֆորմացիայի ցածր ջերմաստիճանային հանքավայրեր, որոնք կապված են ֆելզիտային ինտրուզիաների (Ուրգերիկան ֆորթուգալիայում) կամ սիլիտների (Մերիովեյլը Յուտա նահանգում, ԱՄՆ) հետ:

Հանքավայրերն ունեն երիտասարդ հասակ. Մերիովեյլի հասակը պլիոցեն է (բացարձակ հասակը, որը որոշված է ըստ ուրանային խեժի, 10 միլիոն տարի է):

Հանքային երակների կազմությունն է՝ խալցեդոնանման և յաշմանման կվարց, ուրանային խեժ, ֆլյուորիտ, պիրիտ, զալենիտ, մոլիբդենիտ: Հանքավայրերն ունեն արդյունաբերական, բայց համեմատաբար փոքր մասշտաբ:

Ճ) Ֆլյուորիտային, ուրան պարունակող ֆորմացիայի ցածր ջերմաստիճանային հանքավայրեր: Այս տիպի հանքավայրերի բնորոշ ներկայացուցիչն է Ռեկսպարը Բրիտանական Կոլումբիայում (Կանադա): Տրախիտում և նրա տեֆերում տեղագրված են ֆլյուորիտի երակներ ցելեստի-նի հետ, փայլարի, պիրիտի ուրանային խեժի և ուրան պարունակող թորիտի խառնուրդով: U_3O_8 միջին պարունակությունը հան-



Նկ. 116. Աւրանի և քորիումի արտասահմանյան խոշորագույն հանքավայրեր:

քանյութում հաղմում է $0,11^0/0$, բացի զլանից, հանքանյութը պարունակում է հազվագյուտ հոգեր (ցերիում, իտրիում և լանտան), որոնց ընդհանուր պարունակությունը հասնում է մինչև $0,75^0/0$:

Նույնատիպ հանքավայրեր հայտնի են նաև Ջուարի շքրջանում (Յուտա նահանգ, ԱՄՆ), Բավարիայում (Վոլսենդորֆ), Ֆրանսիայում (Կրուզիլ) և, հավանաբար, Թուրքիայում (Յուզգադի շրջան, Անկարայից դեպի արևելք): Այս տիպի հանքավայրերը հետաքրքրություն են ներկայացնում որպես ուրանի հանույթի հեռանկարային օբյեկտներ:

Ուրանի հիդրոթերմալ հանքավայրերն ամբողջությամբ առած տալիս են նրա համաշխարհային հանույթի մինչև $40^0/0$, ընդ որում ամենից արդյունավետ են Ni—Co—Cu—U-ային, Co—Ni—Bi—Ag—U-ային և զուտ ուրանային ֆորմացիաները:

Ուրանի էկզոգեն հանքավայրերը նույնպես չափազանց բազմատեսակ են և նրանց մեջ, ըստ առաջացման պայմանների և միներալների ասոցիացիաների, առանձնացվում են հետևյալ տիպերը՝

1. Ինֆիլտրացիոն ծագում ունեցող կարնոտիտային ֆորմացիայի հանքավայրեր, ներկայացված կարնոտիտի ոսպնյակներով ու ցանով՝ ոսսկոէլիտի, ուրանի ջրային օքսիդների, գիպսի, պղնձի և վանադիումի երկրորդային միներալների, երբեմն էլ բարիտի հետ փխրուն նստվածքային ապարների (ավազաքարեր և կոնգլոմերատներ), ավելի հազվադեպ թերթաքարերի և կրաքարերի մեջ: Մի շարք հանքավայրերի խոր հորիզոնները պարունակում են ուրանային խեժ, կոֆֆինիտ ($USiO_4$), վանադիումի միներալներ և դունավոր մետաղները սուլֆիդներ. այս առաջնային հանքանյութերը, որոնց օքսիդացման հաշվին առաջացել են կարնոտիտային հանքանյութերը, գետրոգների մի մասի կողմից զիտվում են որպես պարունակող նստվածքների հետ սինգենետիկ, իսկ մյուսների կողմից՝ որպես էպիգենետիկ (հիդրոթերմալ) գոյացումներ: Տիպիկ օրինակներ են հանդիսանում Յուտա և Կոլորադո (ԱՄՆ) նահանգների հանքավայրերը. նման հանքավայրեր հայտնի են նաև Ալյուտարալիայում, Բրազիլիայում և մի քանի ուրիշ երկրներում: Հանքավայրերը կոմպլեքսային ուրան-վանադիումային են և ուրանի հանույթի մեջ նկատելի դեր են կատարում, իսկ ԱՄՆ-ի համար ներկայացնում են գլխավոր տիպերից մեկը:

2. Ժամանակակից ալլյուվիալ և ծովային մերձափնյա ցրոններ, որոնք պարունակում են մոնացիտ, շերալիտ, ցիրկոն,

պիւրքըրը և U ու Th պարունակող մի շարք այլ միներալներ: Որպէս Th-ի (և նրա հետ զուգընթաց U) աղբյուր կարևոր նշանակութիւն ունեն շնորհաստանի Տրավանկորի ցրոնները: Մշակում են նաև Բրազիլիայի, Յեյլոնի, Նիգերիայի, Նամակիվալենդի (Հարավ-Արևմտյան Աֆրիկա) ցրոնները:

3. Միջքեմքրի մետամորֆացած կոնգլոմերատներ, հաճախ ոչ միայն ուրանարեր, այլև ոսկերեր: Ուրանի միներալները ներկայացված են բրաններիտով, ուրանինիտով, ուրանային խեժով, տուխոլիտով, որոնք զուգակցված են ոսկու և տեղ-տեղ Co և Ni արսենիդներին հետ:

Այս տիպի շատ խոշոր հանքավայր է հանդիսանում Բլայնդ-Ռիվերը Կանադայում (Հուրոն լճի հյուսիսային ափ) մոտ 2 միլիոն տոննա հանքանյութի պաշարներով, որոնց մեջ U_3O_8 միջին պարունակութիւնը կազմում է 0,14%:

Այս նույն տիպին է պատկանում Հարավային Աֆրիկայի Վիտվատերսրանդ հանքավայրը ոսկերեր կոնգլոմերատների հսկայական պաշարներով, որոնց մեջ U_3O_8 միջին պարունակութիւնը կազմում է 0,01%: U_3O_8 ստացվում է ոսկու հետ զուգընթաց:

Ուրանարեր կոնգլոմերատների հանքավայրերը ներկայացնում են ուրան ստանալու հեռանկարային մեծ աղբյուր և արդեն սկսել են մշակվել: Միայն Վիտվատերսրանդ հանքավայրը ոսկու արդյունահանման հետ զուգընթաց տարեկան տալիս է 4000 տ. ուրան, որն ըստ արժեքի չի գիջում հիմնական մետաղի՝ ոսկու հանույթի (տարեկան մինչև 400 տ.) արժեքին:

4. Ուրանաբեր ծովային և թերթաքարեր, բիտումային, նավթ առաջացնող, հաճախ ֆոսֆորի, վանադիումի և սուլֆիդների պարունակութեամբ. ներկայացված են համեմատաբար փոքր կարողութեան (5—15 մ) շերտերով, որոնք հետամտվում են մեծ տարածութիւնների վրա և զուգակցվում են կվարցիտների, կալժքարային կրաքարերի, կարբոնատային ապարների, ավազաքարերի ու ֆոսֆորիտների հետ:

Թերթաքարերը մաքսիմալ դարգացում են ստացել լագունային ֆացիանների ծայրամասերում: Թերթաքարերն առաջացել են ուժեղ վերականգնման միջավայրում, որը նպաստել է ալյուտեղ ուրանի կուտակմանը: Գտնում են, որ բացի տիզմի շերտում ուրանի անմիջական նստեցումից, մետաղի կուտակ-

ման համար մեծ դեր կարող էր խաղալ պլանկտոնը, որը ծովա-
յին ջրից կլանել է մետաղները և նրանցով ու օրգանական նյու-
թով հարստացրել տիզմային նստվածքները:

Ուրանը թերթաքարերում ըստ երևույթին նստել է ոչ մի-
այն դեռ ճհանաչված օրգանական միացությունների, այլև օր-
գանիզմների քայքայման ընթացքում (H_2S ազդեցության տակ)
անջատված փոշիացած ուրանային խեժի (U_3O_8) ձևով: Թերթա-
քարերում U հանդիպում է Th , Cu , Mo , V , Ni , Co հետ:

Ուրանի պաշարները թերթաքարերում կազմում են միլիո-
նավոր տոննաներ, սակայն U_3O_8 պարունակությունը ցածր է
($0,01^0/0$), հազվադեպ ավելի բարձր):

Այս տիպի լավ ուսումնասիրված և խոշոր հանքավայրեր
հայտնի են Շվեդիայում (քեմբրի հասակի), ԱՄՆ-ում (Այդահո
և Ուայոմինգ նահանգներում), Բրազիլիայում (Ամազոնկայի
ավազանում), Փրանսիայում (Վոգեզներում): Այս տիպի հան-
քավայրերը մոտիկ ապագայում ձեռք կբերեն մեծ հեռանկար:

5. Ուրան պարունակող կայծքարային կրաքարեր, տեղա-
դրված սովորաբար փոքր կարողություն շերտերի ($0,5-1$ մ) ձևով
խայտարդեա լագունա-ցամաքային շերտախմբերի մեջ: Ուրա-
նային հանքայնացումը, որը ներկայացված է ապարի հետ սին-
գենետիկ ուրանային խեժի մասնը անջատումներով, ըստ տարած-
ման պահպանվում է տասնյակ կիլոմետրերի վրա:

U_3O_8 պարունակությունը տատանվում է $0,01-0,07^0/0$ սահ-
մաններում, հազվադեպ ավելի բարձր է: Ուրանով հարստացած
են շերտերի առավելապես այն հատվածները, որոնց տակ տեղա-
դրված են օրգանական նյութով հարուստ հորիզոններ: Նման
հատվածները պարունակում են միջին հաշվով $0,05^0/0$ U_3O_8 և
զգալի պաշարների դեպքում ներկայացնում են արդյունաբերա-
կան հետաքրքրություն: Ուրանի նստեցմանը հավանաբար նա-
խորդել է ավազանում վերականգնման ռեժիմի հաստատումը, որի
հետևանքով անջատված H_2S նպաստել է ավազանի ջրում լուծ-
ված ուրանի նստեցմանը: Ուրանաբեր կրաքարերի հանքավայ-
րերը ներկայացնում են նոր, վերջերս հայտնաբերված գենետիկ
տիպ. նրանք առայժմ վատ են ուսումնասիրված և նրանց ար-
դյունաբերական նշանակությունը բավարար չստիով չի պարզ-
ված:

6. Ուրանաբեր քարածուխները, լիզնիտները, ասֆալտիտները
ներկայացնում են հանքավայրերի արդյունաբերական տիպ. մի

շարք երկրներում (Գերմանիա, ԱՄՆ և ուրիշներ) այդ հանքավայրերից արդեն ուրան են ստանում: Ուրանի հետ միասին նրանք հաճախ պարունակում են Ge համեմատաբար բարձր քանակություներ: Հետաքրքրություն են ներկայացնում պերմի հասակի ուրանաբեր քարածուխները Գերմանիայում (քարածուխի մեջ $0,12\%$, մոսկովի մեջ մինչև 1% U_3O_8) և լիգնիտի ու ասֆալտիտի մի շարք հանքավայրեր ԱՄՆ-ում ($0,2-2\%$ U_3O_8): Նկատված է, որ ուրանաբեր քարածուխները և լիգնիտները սովորաբար տեղադրված են թթու էֆուզիվների հետ հերթագայող նստվածքային շերտախմբերի մեջ, որոնցից ուրանը, ըստ երևույթին, գետնաջրերով տարրալվացված և վերանստեցված է քարածուխների մեջ:

7. Ուրանաբեր ֆոսֆորիտները լայն տարածում ունեն շատ երկրներում՝ ԱՄՆ-ում, Մարոկկոյում, Թունիսում, Եգիպտոսում և այլն:

Ուրանը ցրված է ֆոսֆորիտում (կրանված է կոնկրեցիաներով), երբեմն հանդիպում են երկրորդային միներալների (կարնոտիտի) թաղանթներ: U_3O_8 պարունակությունը տատանվում է $0,005-0,01\%$ սահմաններում, հազվադեպ հասնելով $0,03\%$:

Արդյունաբերական հետաքրքրություն են ներկայացնում Ֆլորիդայի պլիոցենի ֆոսֆորիտները և Ալյադո ու Ուայոմինգ նահանգների պերմի ֆոսֆորիտները, որոնք պարունակում են $0,01-0,02\%$ U_3O_8 : 1952 թ. սուպերֆոսֆատի ստացման հետ գուգընթաց կազմակերպված է ուրանի ստացումը, ընդ որում հաշվել են, որ միայն Ֆլորիդայի հանքավայրերը տարեկան կարող են տալ մինչև 1000 տ. ուրան:

8. Ուրանաբեր ցիրկոնի հանքավայրեր, կապված Մինաս Գերաես նահանգի (Բրազիլիա) նեֆելինային սիենիտների հետ: Հանքայնացումը ներկայացված է կալցասիտի ($ZrSiO_4$ և ZrO_2 միկրոբյուրեղային խառնուրդ) բարակ երակիկների խիտ ցանցով, ուժեղ փոփոխված նեֆելինային սիենիտների մեջ: Երակներն ըստ խորության հետամտվում են ընդամենը 10—15 մ և այդ պատճառով Ֆ. Շումախերի կողմից դիտվում են որպես գետնաջրերի միջոցով վերանստեցման արդյունք:

Կոնցենտրատներում պարունակվում է $65-75\%$ ZrO_2 և ավելի քան $0,5\%$ U_3O_8 : Ապագայում այս հանքավայրերը կարող են դառնալ ուրանի հնարավոր աղբյուր:

Նկատի ունենալով ուրանի հանքավայրերի զեներտիկ ախպերի

մեծ բազմազանությունը, նպատակահարմար ենք համարում կցել ուրանի հանքավայրերի դասակարգման ընդհանուր սղյուսակը:

Մետալոգիայի գաբաշրջաններն ու մարդերը: Ուրանով ամենից հարուստ է մինչքեմբրի գաբաշրջանը (Բելգիական Կոնգոյի, Կանադայի, Բրազիլիայի, Հնդկաստանի, Հարավ-Աֆրիկյան Միության, հավանաբար նաև Ալյուտրալիայի հանքավայրերը): Ուրանի բավական խոշոր հանքավայրեր առաջացել են նաև հերցլինյան մետալոգենիկ գաբաշրջանում (Հանքային լեռներ, Ֆրանսիայի, Մեծ Բրիտանիայի, հավանաբար Իսպանիայի և Փորթուգալիայի հանքավայրերը) և Կիմմերյան-ալպյան գաբաշրջանում (ԱՄՆ-ի և Մեքսիկայի հանքավայրերը):

Ուրանի հանքավայրերի բաշխման մեջ նշվում է որոշակի օրինանշափություն՝ ուրանի խոշոր հանքավայրերի ճնշող մասը և մեծաքանակ փոքր հանքավայրեր ու հայտածուներ կենտրոնացած են վահանների սահմաններում և գլխավորապես նրանց ծայրամասներում կամ վահանները եզրապատող ծալքավոր զոնաների սահմաններում, վարնեավածք-տեղաշարժային ափսիս խոշոր խախտումների երկայնքով (էնդոգեն հանքավայրերի համար):

Այսպես, Կանադական վահանի արևմտյան ծայրամասում գտնվող լավա են Մեծ Արջի լճի և Ատաբասկա լճի խոշոր ուրանաբեր շրջանները. նրա սահմաններում է գտնվում նաև Բլաչյոգ-Ռիվերի (Օնտարիոյում, Հուրոն լճից հյուսիս) ուրանաբեր կոնգլոմերատների հանքավայրը. Աֆրիկական վահանի սահմաններում գտնվում են Կատանգայի շրջանի խոշորագույն հանքավայրերը (Շինկոլոբե և ուրիշներ) և Վիտվատերսբանդի ուրանաբեր կոնգլոմերատների հանքավայրը. Ալյուտրալիական վահանի հյուսիս-արևելյան մասում տեղավորված են Ռամ-Ջանգլ շրջանի խոշոր հանքավայրերը, իսկ մինչքեմբրի Բոնեմյան զանգվածի ծայրամասում, հերցլինյան հասակի ծալքավոր զոնայում՝ Հանքային լեռների հանքավայրերը:

Ուրանի բազմաթիվ և ըստ երևույթին երբեմն բավական խոշոր հանքավայրեր (առայժմ թույլ են ուսումնասիրված) հայտնաբերված են նաև Հինդուստանյան և Բրազիլիական վահանները սահմաններում:

Շատ խոշոր հիդրոթերմալ հանքավայրերից բացի վահանները սահմաններում լայն տարածում ունեն ուրանաբեր պեգմա-

ՈՒՐԱՆԻ ՀԱՆՔԱՎԱՅՐԵՐԻ ԳԵՆԵՏԻԿ ԴԱՍԱԿԱՐԳՈՒՄԸ

Գենետիկ տիպը	Կապը լեռնային ապարների հետ	Հանքամարմինների ձևը	Միներալոգիական կազմաթյունը	Էլեմենտների ասոցիացիան	Մասշտաբը և U ₃ O ₈ պարունակությունը	Տիպիկ օրինակներ
I. Էնդոգեն հանքավայրեր						
1. Քոուլ մագմատիկ (սեզրեզացիոն)	Գրանիտների, սիենիտների հետ (հաճախ ալկալային)	ցան, շիրներ	բրաններիտ, շերալիտ, պիրոքլոր, մոնացիտ, ցիրկոն և ուրիշներ	U, Th, TR, Nb, Zr	խոշոր, աղբառ հանքանյութերով (մինչև 0,01% U ₃ O ₈)	Կրոկոիտ-Սելվ, Նիգերիայի, Նիգերիայի, Բրազիլիայի հանքավայրերը
2. Գեզմատիտային	Գրանիտների հետ	ցան և բներ զիֆֆերենցված պեգմատիտներում	Թորանիտ, ուրանիտ, թորիտ, տանտալ-տիտան-նիոբատներ, մոնացիտ, օրտիտ	U, Th, TR, Ta, Nb, Ti	փոքր (մինչև 0,01% U ₃ O ₈) հազվադեպ ալեյի շատ U ₃ O ₈)	Մադագասկարի, Կանադայի, Նիգերիայի, Բրազիլիայի և ուրիշ հանքավայրեր
3. Կոնտակտ-մետասոմատիկ (սկառնային)	Չափավոր թթու զրանիտոիդների հետ	Սկառնային կոտակտները հատող երակիկներ	Ուրանային խեժ, կվարց, կարբոնատներ, Co և Ni արսենիդներ	U, Co, Ni վերադրված են ալեյի վաղ Fe կամ W հանքայնացման վրա	փոքր (0,1-0,5% U ₃ O ₈)	Շվեդիայի, Ազերբայջանի
4. Հիդրոթերմալ	Նատրիումային ալկալիտների, գարբոնների հետ	հանքակուտակներ մինչև քեմբրի ապարների մեջ	կվարց, զավիդիտ, մագնետիտ, իլմենիտ, ուուտիլ, հեմատիտ	U, Ti, Fe	փոքր (0,1-0,2% U ₃ O ₈)	Բեդֆորդ Նեյլ
բ) Բարձր-միջին ջերմաստիճանային, Sn-W-Cu-U ֆորմացիա	Գրանիտների հետ	երակներ	Ուրանային խեժ, խալկոպիրիտ, կասսիտերիտ, վոլֆրամիտ	U, Cu, Sn, W	միջին մասշտ. (0,5-1% U ₃ O ₈)	Կոբուտոլլ
դ) Բարձր-միջին ջերմաստիճանային, Ni-Co-Cu-U ֆորմացիա	Կապը ինտրուզիվների, հետ պարզ չէ, հավանաբար, կապված է զրանիտոիդների հետ	շտոկվերկներ	Ուրանիտ, ուրանային խեժ, Co և Ni սուլֆիդներ և սելենիդներ, Cu, Zn, Mo սուլֆիդներ	U, Ni, Co, Cu (Mo, Zn, Se, Au, Pd)	շատ խոշոր (1-2% U ₃ O ₈)	Շվեդիայի
դ) Միջին ջերմաստիճանային, Cu-U ֆորմացիա	Գրանիտների հետ	շտոկվերկներ և երակներ	ուրանային խեժ, Cu սուլֆիդներ, երբեմն Pb սուլֆիդներ, հեմատիտ	U, Cu, (Pb, Fe)	խոշոր (0,1-0,5% U ₃ O ₈)	Ռամ-Ջանգլ, Մաուլթ-Այգա
ե) Միջին ջերմաստիճանային, բազմամետաղ ֆորմացիա	Գրանիտոիդների հետ	երակներ	ուրանային խեժ, ուրանիտ, Cu, Pb, Zn սուլֆիդներ, սիդերիտ, ոսկի	U, Cu, Pb, Zn, Au	փոքր (0,1-0,5% U ₃ O ₈)	Ջիլպին, Չիուաուա
դ) Միջին ջերմաստիճանային, U ֆորմացիա	Գրանիտոիդների հետ	շտոկվերկներ, երակիկացանավոր զոնաներ	ուրանային խեժ, քլորիտ, կարբոնատներ, հեմատիտ, շատ քիչ սուլֆիդներ և սելենիդներ	U (S, Se)	խոշոր (0,1-0,2% U ₃ O ₈)	Գուննար, Էյս
բ) Միջին-ցածր ջերմաստիճանային, Co-Ni-Bi-Ag-U հինգէլեմենտային ֆորմացիա	գենետիկորեն հավանաբար կապված են զրանիտոիդների հետ, տարածականոթեն հաճախ զիաբազների հետ	երակներ, շտոկվերկներ	ուրանային խեժ, Co և Ni արսենիդներ, Ag, Bi, միներալներ, հեմատիտ, կարբոնատներ, ֆլուորիտ, բարիտ, եղջրաքարային կվարց	Co, Ni, Bi, Ag, U	խոշոր (1-2% U ₃ O ₈)	Մեծ արջի լիճ, Հանքային լեռներ
թ) Ցածր ջերմաստիճանային, ուրան-սուլֆիդ-ֆլուորիտային ֆորմացիա	սերտորեն կապված են ֆելզիտների և ուրիտների հետ	երակներ	ուրանային խեժ, ֆլուորիտ, պիրիտ, զալենիտ, մոլիբդենիտ, խալկոզոնանման կվարց	U, Pb, Mo, F	միջին և փոքր (0,5% U ₃ O ₈)	Ուրգերիկա, Մերիսկոյ
ժ) Ցածր ջերմաստիճանային, ֆլուորիտային U պարունակող ֆորմացիա	հավանաբար զրանիտոիդների և ալկալային ապարների հետ	երակներ	ֆլուորիտ, ցելեստին, պիրիտ, ուրանային խեժ, U պարունակող թորիտ	F, U, Th, Sr, TR	միջին մասշտ. (0,1% U ₃ O ₈)	Բեկսպար, Վոլանդորֆ, Կրուկել
II. Էկզոգեն հանքավայրեր						
1. Կարնոտիտային ֆորմացիայի հանքավայրեր	ինֆիլտրացիոն ծագման, փոխը նստվածքային ապարներում	ոսպնյակներ և ցանավոր հանքանյութեր	կարնոտիտ, ոսկոռիտ, Cu, V, U ջրային օքսիդներ, զիպս, բարիտ	U, V, Cu	փոքրից մինչև խոշոր (0,1-1% U ₃ O ₈)	Կոլորադո սարահարթի հանքավայրեր
2. Ալլուվիալ և մերձափնյա ծովային ցրոններ	ալլուվիայի մեջ, ծովափի երկայնքով և մերձափնյա ավազաթմբերում	շերտեր	մոնացիտ, շերալիտ, ցիրկոն, պիրոքլոր	U, Th, Zr, Nb, Ti	խոշոր (U ₃ O ₈ պարունակությունը ցածր է)	Տրավանկորի, Բրազիլիայի, Նիգերիայի ցրոններ
3. Ուրանաբեր և հաճախ ոսկեբեր կոնգլոմերատներ	մինչև քեմբրի մետամորֆոզած կոնգլոմերատների մեջ	շերտեր	բրաններիտ, ուրանիտ, ուրանային խեժ, ոսկի	U, Th, Au	խոշոր (0,01% մինչև 0,1% U ₃ O ₈)	Վիտապերսուանդ, Բլայնդ-ոսկեր
4. Բիտումային ուրանաբեր թերթաբեր	ծովային սև թերթաբերներում	շերտեր	ուրանի օրգանական միացություններ, ուրանային խեժ, սուլֆիդներ, վանադատներ	U, V	խոշոր (0,01% մինչև 0,05% U ₃ O ₈)	Շվեդիայի և ԱՄՆ-ի հանքավայրեր
5. Ուրան պարունակող երաքարեր	կայծքարային կրաքարերում	շերտեր, ոսպնյակներ	ուրանային խեժ	U	պարզ չէ, հավանաբար, միջին (0,01-0,07% U ₃ O ₈)	Կանադայի հանքավայրեր
6. Ուրան պարունակող քարածուխներ, լիգնիտներում, ածխային թերթաբերներում	քարածուխներում, լիգնիտներում, ածխային թերթաբերներում	շերտեր, ոսպնյակներ	ուրանի օրգանական միացություններ	U, C	փոքրից մինչև միջին (մինչև 0,1% և ալեյի բարձր-միջին 20% U ₃ O ₈)	Գերմանիայի, ԱՄՆ-ի և այլ երկրների քարածուխներ և լիգնիտներ
7. Ուրանաբեր ֆոսֆորիտներ	ծովային նստվածքային ֆոսֆորիտներում	շերտեր	ֆոսֆորիտների կողմից կլանված U, հազվադեպ կարնոտիտ	U, P	խոշոր (0,005-0,01% և ալեյի բարձր U ₃ O ₈)	Ֆլորիդայի, Մարոկկոյի և այլ երկրների հանքավայրեր
8. Ուրանաբեր ցիրկոնի հանքավայրեր	նեֆելինային սիենիտների հողմահարման հետ կապված	երակիկներ, որոնք արագ կերպով սեպաձև մարում են մակերեսից 10-15 մ խորություն վրա	կալցասիտ (ZrSiO ₄ և ZrO ₂ միկրոսկոպիկ խառնուրդ)	U, Zr	պարզ չէ, հավանաբար, խոշոր (կոնցենտրատում 0,5% U ₃ O ₈)	Մինաս-Գերաես հանքի հանքավայրեր (Բրազիլիա)

տիտները և ուղեկից միներալներում ուրանի բարձր պարունակութեան ունեցող ինտրուզիվ ապարները, վերջինները պեղմատիտների հետ միասին հանդիսացել են ուրանաբեր ցրոնների և կոնգլոմերատների առաջացման աղբյուր:

Ուշագրավ է, որ այնտեղ, որտեղ լայն տարածում ունեն ուրանաբեր պեղմատիտները, հիդրոթերմալ տիպի ուրանի խոշոր արդյունաբերական հանքավայրեր չկան և, ընդհակառակը, հիդրոթերմալ ուրանային հանքայնացման լայն տարածումը բացառում է պեղմատիտների փոքրիշատե զգալի տարածում (Մեծ Արջի լճի, Ատարասկա լճի, Կատանգայի, Հանքային լեռների շրջանները):

Ուրանի զգալիորեն ավելի փոքր կուտակումներ հարում են արևմտյան Եվրոպայի (Կորնուոլլ, Իսպանական Մեդետոս, Ֆրանսիայի Կենտրոնական դանգվածի հանքավայրերը), Թուրքիայի ու Իրանի հերցինյան գրանիտոիդային դանգվածներին:

Ուրանի չպարզված ծագում ունեցող բավական խոշոր հանքավայրեր գտնվում են վերին պալեոզոյան և մեզոզոյան հասակի փխրուն նստվածքները մեջ (Յուտա և Կոլորադո նահանգներ) և համեմատաբար փոքր, այնուամենայնիվ հաճախ արդյունաբերական հանքավայրեր սերտ կերպով կապված են մեզո-կայնոզոյան հասակի գրանիտոիդների, պորֆիրների և ֆելզիտների հետ (Բրիտանական Կոլումբիայի, ԱՄՆ-ի Արևմտյան նահանգները, Մեքսիկայի, Պերուի, Չիլիի, Բոլիվիայի հիդրոթերմալ հանքավայրերը):

Ուրանաբեր թերթաքարերի և ֆոսֆորիտների տիպի նըստվածքային աղքատ հանքանյութերի հսկայական հանքավայրեր կապված են տարրեր հասակի (քեմբրից մինչև պլիոցեն) նըստվածքային շերտախմբերի հետ և հայտնի են շատ երկրներում (Շվեդիա, ԱՄՆ, Մարսիկո, Բրազիլիա, Թունիս, Եգիպտոս, Ֆրանսիա և ուրիշներ): Ուրանի նստվածքային փոքր հանքավայրերը կապված են կայծքարացած կրաքարերի հորիզոնների հետ:

Ուրանի էնդոգեն հանքավայրերի առաջացման համար տարրեր հասակի ու կազմութեան ինտրուզիվ կոմպլեքսների ունեցած մետալոգենիկ դերը վերաբերյալ անհրաժեշտ է նշել հետևյալը:

Ուրանաբեր պեղմատիտները և անագ-վոլֆրամ-պղինձ-ուրանային ֆորմացիայի հանքավայրերը (Կորնուոլլի տիպ), անկասկած, սերտ կերպով կապված են թթու գրանիտային մագ-

մայրի հետ: Ուրանի համար ամենից կարևոր Ni—Co—Cu—U, Cu—U, դուռ U և Co—Ni—Bi—Ag—U ֆորմացիաների վերաբերյալ այդպիսի համոզմունք չկա, ուղղակի կապերն ինտրուզիվ ապարների հետ հաճախ անորոշ են. գեոլոգների մի մասը այն կարծիքին է, որ առաջին երկու ֆորմացիաները մետամորֆոզեն ծագման են, իսկ հինգելեմենտային ֆորմացիայի վերաբերյալ ենթադրում են, որ նա կապված է հիմքային մագմայի հետ, քանի որ հանքայնացման և դիսրագային դայկաների ներգրման ժամանակը մոտ է, իսկ Co, Ni, Ag, Cu հաճախակի հարում են հիմքային ապարներին:

Ուրանի մի քանի խոշոր հանքավայրերի առաջացման մետամորֆոզեն հիպոթեզը մեզ թվում է թույլ հիմնավորված (նրա դեմ եղած առարկությունները բերվում են Շինկոլորվե հանքավայրի նկարագրության ժամանակ), իսկ հինգելեմենտային ֆորմացիայի սերտ գեներտիկ կապը հիմքային ապարների հետ՝ քիչ հավանական: Հայտնի է, որ այն շրջաններում, որտեղ հանքայնացումը կապված է հիմքային ապարների հետ (Սյոդբերգի, Կորալտ, Սաուս-Լորեն), Cu—Ni և Co—Ni—Ag հանքանյութերը ուրան չեն պարունակում: Անհրաժեշտ է նաև հաշվի առնել կվարցացման լայն գրասերումը, հեմատիտ պարունակող հզոր կվարցային երակների զարգացումը, որոնք անմիջականորեն նախորդում են ուրանային հանքայնացմանը, վերջապես, գեոքիմիայի տվյալները՝ կալիումով հարուստ թթու մագմաների հետ ուրանի ունեցած առավելագույն կապը:

Հինգելեմենտային (ինչպես նաև Ni—Co—Cu—U, Cu—U և դուռ U) ֆորմացիան ավելի շուտ կապված է չափավոր թթու մագմայի հետ (նրա համար բնորոշ են Cu, Co, Ni, Ag, Pb, Zn), որն օջախի անսովոր գիֆերենցիացիայի (հավանաբար հիբրիդացման, հիմքային ապարների ասիմիլյացիայով) բնթացքում թթու ֆրակցիաների հետ միասին տալիս է հիմքային ֆրակցիաներ՝ դիսրագներ: Հիմքային կազմի դայկաները ավելի շարժունակ են և վարնետվածքների խոր ու մեծ զոնաներով թափանցում են վերին ստրուկտուրային հարկերը, որտեղ նրանց հետևից բարձրանում են հանքային լուծույթները, նստեցնելով իրենց օգտակար բնուր նաև վերին հորիզոններում (խոշոր խախտումների գերը «ոչ խորքային» հանքավայրերի առաջացման մեջ առանձնապես ընդգծել է Ս. Ս. Սմիրնովը):

Իսկ ինչ վերաբերվում է ուրան-սուլֆիդ-ֆլյուորիտային և

ուրանարեր Ֆլյուորիտի ֆորմացիաների հիդրոթերմալ ցածր ջերմաստիճանային հանքավայրերին, ապա առաջինները երբեմն պարզորոշ կերպով կապված են ֆելզիտների և սիսլիտների, իսկ երկրորդները՝ տրախիտների, սիենիտների և ալկալային գրանիտոիդների հետ:

ՈՒՐԱՆԻ ՀԱՆՔԱՎԱՅՐԵՐԻ ՆԿԱՐԱԳՐՈՒԹՅՈՒՆԸ

Շինկուրովե հանքավայրը (Կատանզա, Բելգիական Կոնգո) հայտնաբերված է 1915թ., ներկայացնում է հարուստ ուրանային հանքանյութերի աշխարհում ամենախոշոր և մինչև այժմ ամենաարդյունավետ հանքավայրերից մեկը:

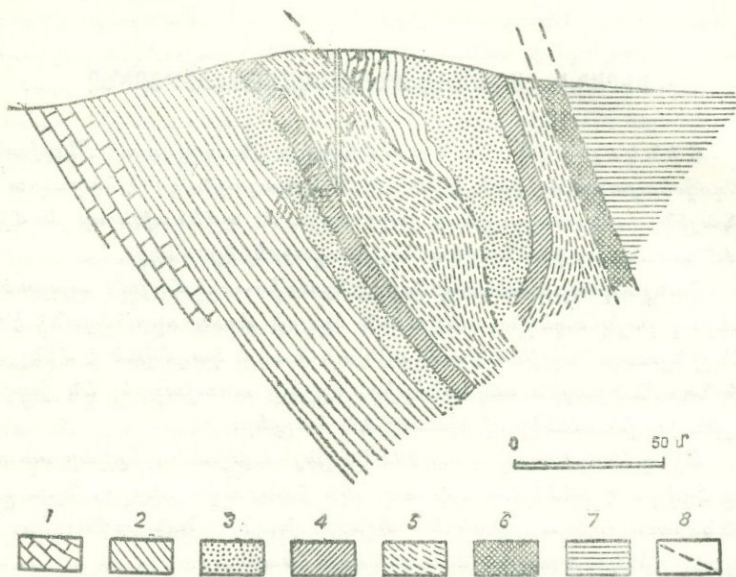
Հանքավայրը տեղադրված է հյուսիս-արևմտյան տարածում ունեցող լայն ազեղի արևմտյան ծայրի մոտ, որը հայտնի է Կատանզինյան սինկլինորիում անվան տակ և կազմված է մինչքեմբրի նստվածքային ապարներից, որոնք առաջացրել են խզվածքային խախտումներով պատռված ծալքեր:

Սինկլինորիումը, մոտ 105 կմ լայնությամբ, երկար առանցքով ձգված է 320 կմ. բացի ուրանի հանքավայրերից, նրա սահմաններում տեղադրված են պղնձի խոշոր հանքավայրեր, կոբալտի, ցինկի և ուրիշ մետաղների հետ:

Հանքավայրի շրջանը կազմված է մինչքեմբրի ապարների երկու կոմպլեքսներից՝ Կունդելուսու սիստեմից (աբզիլիտներ, կվարցային և փայլարային թերթաքարեր, կոնգլոմերատներ) և հանքայնացում պարսնակող ավելի հին Հանքային սերիայից (վերաբյուրեղացած կարբոնատային ապարներ): Այդ շերտախումբերի կոնտակտը տեկտոնական է և նրանք երկուսն էլ ջարդված են բազմաթիվ վարնետվածքներով և ճեղքերով, որոնք նպաստել են հանքաբեր լուծույթների շրջանառությամբ և վերահըսկում են հանքայնացումը:

Հանքայնացումը տեղայնացված է կայծքարացած դոլոմիտում և արտահայտված է երակներով ու շտոկվերկներով, ինչպես նաև հանքային միներալների ցանով. առանձին հանքամարմիններ ըստ տարածման հետամտվում են տասնյակ մետրեր, փոխարինելով մեկը մյուսին. նրանց կարողութունը տատանվում է մի քանի սանտիմետրից մինչև 1 մ սահմաններում, իսկ տարածման խորութունն ավելի քան 350 մ է (նկ. 117):

Օքսիդացման դոնայում լայն կերպով տարածված են ուրանի վառ գունավորված երկրորդային միներալները՝ հիդրօքսիդները, կապարի ուրանատները, ուրանի դեղին, նարնջի և կանաչ գույնի ջրային սիլիկատներն ու ֆոսֆատները ուրանինիտի մնացորդներով:



Նկ. 117. Կատանգայի Շինկուրովե հանքավայրի կտրվածք (ըստ Գ. Բուտեներախի)

1—զոլոմիտացած կրաքարեր, 2—զոլոմիտային թերթաքարեր, 3—ծակոտկեն ապարներ, 4—կայծքարային թերթավորված ապարներ, 5—տալկային թերթաքար, 6—կայծքար-տալկային ֆորմացիա, 7—կունդելուդայի սերիա, 8—վարնեավածքներ: Հանքահորի երկու կողմից սխեմատիկ ձևով ցույց է տրված շտակվերկը:

Խոր հորիզոններում հայտնաբերված են հարուստ առաջնային հանքանյութեր, որոնք ներկայացված են ուրանինիտով (ըստ կողի 4 սմ լավ ձևավորված խորանաբազային բյուրեղներով) և ուրանային խեժով, վերջիններս դուրակացված են կոբալտի և նիկելի սուլֆիդների՝ կատտիերիտի — CoS_2 , վաէսիտի — NiS_2 , զիդենիտի — $(\text{Co, Ni})_3\text{S}_4$ մեծ քանակությամբ և նրանց սելենային տարրերակներին (մինչև 19% Se պարունակությամբ) հետ: Ավելի փոքր քանակություներով հանդիպում են պիրիտ, խալ-

կոպիրիտ, դիզենիտ, կովելլին, բոռնիտ, մոլիբդենիտ (և մոլիբդենիտի սելենային տարրերակը), կարբոլիտ, ինչպես նաև զգալի քանակի մագնեզիտ (զարգանում է ըստ դոլոմիտի մինչ հանքայնացումը), կվարց, մոնացիտ և քլորիտ:

Հանքանյութերը պարունակում են Pd, Pt և քիչ Au, Cd, Ge, Te: Ուրանի (U_3O_8) պարունակությունը $2-3\%$ է: Այստեղ հանդիպում են մի քանի տոննա կշիռ ունեցող մաքուր ուրանիինիտի եզակի կուտակումներ (թանդարանում պահվում է 700կգ կշիռ ունեցող մի զանգված), որոնք հատված են մոնացիտի երակիկներով:

Հանքավայրի գլխավոր մետաղներն են (բերված ըստ նրանց նշանակության) U, Co, Ni: Կորալտը և նիկելը փոխադարձաբար սերտորեն կապված են միմյանց հետ, ընդ որում ըստ առաջացման ժամանակի Ni ավելի մոտ է ուրանին: Ուրանի ասոցիացիան Cu հետ ապացուցված չէ:

Փ. Փ. Գերիկսը և Փ. Ֆ. Վալսը, որոնք վերջին տարիներս մանրամասնորեն ուսումնասիրել են հանքավայրը և հանքանյութերի միներալոգիական կազմությունը, սահմանում են հանքայնացման հինգ հաջորդական ստադիա՝

1) մագնեզիտի երակների առաջացում և հանքային սերիայի գոլոմիտի մագնեզիտացում,

2) ուրանիինիտի անջատում,

3) Se և Mo ներմուծում, մոնացիտի նստեցում, քլորիտացում,

4) Co և Ni սուլֆիդների և նրանց սելենային տարրերակների նստեցում, հանքավայրի ճմլում և սուլֆիդների բեկորատում, դոլոմիտի նստեցում,

5) պղնձի հանքայնացում:

Այդ հեղինակները հանքավայրը համարում են մագմատոգեն, որն առաջացել է վերընթաց լուծույթներով: Վերջիններս ենթադրաբար կապված են պրոտերոզոյան հասակի գրանիտոիդների հետ. դա համապատասխանում է ուրանիինիտի հասակին (610 միլիոն տարի), որը համընկնում է հարեան մարզում՝ Արևելյան Տանգանիկայում, գրանիտացման ժամանակաշրջանի հետ: Անհրաժեշտ է նշել, որ հանքից անմիջապես արևելք գտնված են հավանաբար տրախիտների լամբի փոփոխված մագմատիկ ապարներ:

Շինկոլոգիկ հանքավայրի ծագման վերաբերյալ կա նաև մի այլ տեսակետ (Վ. Գարլիկ և ուրիշներ) այն մասին, որ ցրված

ցանաւոր հանքանյութերն ունեն սինգենետիկ (հավանաբար բիոգեն), իսկ հարուստ հանքանյութերը՝ էպիգենետիկ (հիդրոթերմալ) ծագում և առաջացել են սինգենետիկ հանքանյութերից դիսսոլուցիոն ժամանակաշրջանում տեղի ունեցած երկրորդային միգրացիայի հետեանքով:

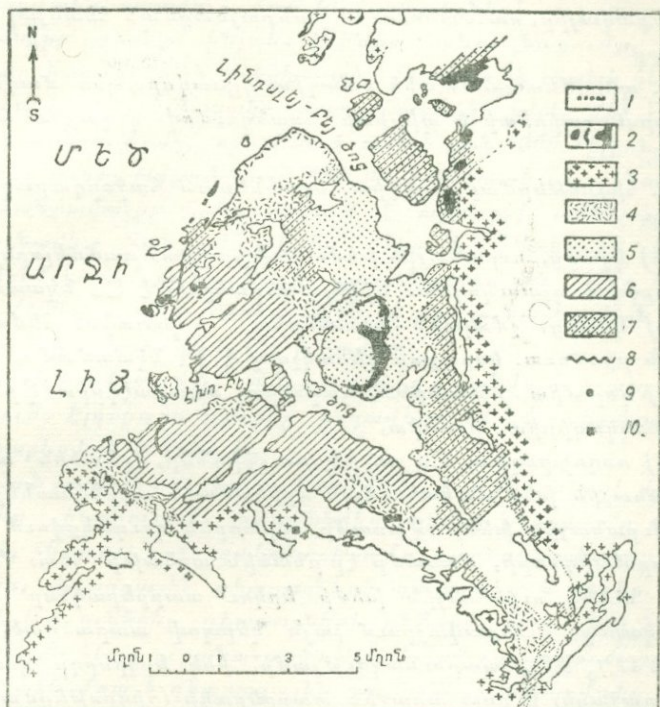
Ուրանի այս հարստագույն հանքավայրի առաջացման պայմանները վերջնականապես պարզված չի կարելի համարել, բայց մեզ ավելի հիմնավորված է թվում առաջին տեսակետը, որի օգտին է խոսում հանքայնացման և գրանիտոիդների ներդրման ժամանակի համընկնելը, ինչպես նաև հանքայնացման էնդոգեն պրոցեսների համար բնորոշ բազմաէտապ բարախոդ (пульсирующий) ընթացքը:

Հանքավայրի էպիգենետիկ առաջացման տեսակետի ընդունումը թույլ է տալիս, բացի ուրանային հանքայնացման հայտնի հորիզոններից, հեռանկարային համարել նաև ուրիշ ստրատիգրաֆիական հորիզոններ:

Մեծ Արջի լճի հանքավայրը (Լարին-Պոյնտ, Էլզորադո) գտնվում է Կանադայում, Հյուսիս-Արևմտյան Երկրամասի Բևեռային շրջանի մոտ: Նա հայտնաբերված է 1930 թ. Կանադայի հյուսիս-արևմտյան երկրամասի աէրոֆոտոհանութի ընթացքում: Շրջանը կազմված է կայծքարային թերթաքարերի, յաշմաների և մետաարգիլիտների մինչքեմբրի շերտախմբից, որի շերտերը հերթադադում են ուժեղ կերպով փոփոխված բեկորային հրաբխածին ապարների հետ և պորֆիրների հոսքեր ու սիլիեր են ներվաղում: Այդ շերտախմբի մեջ ներգրված են գրանիտներ և գրանոգիորիտներ, որոնք կազմում են միջօրեականի ուղղությամբ ձգված զանգվածներ: Արխեյի շերտախումբը և գրանիտոիդների զանգվածներն իրենց հերթին հատվում են դիաբազների և վարդագույն ապլիտի դաշկաներով: Դիաբազային դաշկաների մի մասն ավելի հին է, քան հանքայնացումը, իսկ մյուս մասն ավելի երիտասարդ է և հատում է ուրանային ու արծաթային հանքայնացում պարունակող երակները:

Շրջանի ապարները ջարդված են միջօրեական և հյուսիս-արևելյան տարածում ունեցող վարնետովածքներով, որոնք ըստ տարածման հետամտված են մի քանի կիլոմետր. այս վարնետովածքներին հարում են հզոր կվարցային երակներ հեմատիտային հանքայնացումով (նկ. 118):

Ուրանային հանքայնացումը հարուստ է հյուսիս-արևելյան տարածում և գեպի հյուսիս-արևմուտք զառիթափ անկում ունեցող ճեղքերին և վերահակվում է մինչև 10—12 մ կարողություն բեկորատման ու ճմլման զոնաներով, որոնք հետամտված են հարյուրավոր մետրեր (մինչև 1500 մ):



Նկ. 118. Մեծ Արզի լճի էխո-Բեյ ծոցի շրջանի գեոլոգիան և աշխարհագրությունը (ըստ Դ. Ֆ. Կիզիի)

1—կվարցային երակներ, 2—փոքրաթեք հիմքային գալաններ, 3—դրանիտներ և նրանց հետ կապված ապարներ, 4—զբանոդիորիտներ և գիորիտներ, 5—կամերոն կոմպլեքս, 6—էխո-Բեյ կոմպլեքս, 7—չմասնատված կոմպլեքս, 8—վարենավածք, 9—Ag հանքավայրեր, 10—Ս խեժի հանքավայրեր:

Հանքայնացումը ընդհատումներով հետամտվում է այդ զոնաների երկայնքով, ընդ որում հանքայնացած տեղամասերի երկարությունը տատանվում է 15—200 մ սահմաններում, ունենալով սովորաբար 1 մ ոչ ավելի (տեղ-տեղ 4,5 մ) կարողություն: Երակներում հանքայնացումը ունի հանքայունների բնույթ,

որոնք հարում են այն տեղամասերին, որտեղ երակները հատում են նստվածքային ապարները և զիարազները, մինչդեռ պորֆիրներում գտնվող նույն երակի հատվածները համարյա բոլորովին հանքազուրկ են:

Կիզդը և Հայկովը, որոնք մանրամասնորեն ուսումնասիրել են հանքավայրը, սահմանում են հանքայնացման հետևյալ ստադիաները՝

1. պիրոմետամորֆատիկ ստադիա գլխավորապես մագնետիտի, արսենոպիրիտի և պիրիտի նստեցումով կոդային ապարներում,

2. հիդրոթերմալ ստադիա, երակներում հաջորդաբար նըստել են՝

ա) կվարց, ուրանային խեժ, սաֆֆիրիտ, ուամեկսբերգիտ, հերսդորֆիտ, գլաուկոդոտ. նիկելը գերակշռել է Co նկատմամբ,

բ) կվարց, շմալտին - խլոսանտիտ, կորալտին, հեմատիտ, բնածին բիսմուտ. կորալտը գերակշռել է Ni նկատմամբ,

գ) դոլոմիտ, սֆալերիտ, գալենիտ, տետրաէդրիտ, ֆրեյբերգիտ, խալկոպիրիտ, բոռնիտ,

դ) ռոզիտրոզիտ, Cu ու Ag սուլֆիդներ, բնածին արծաթ և ուրանային խեժ մակահոսման երիկամածե ազրեգատներով:

Ուրանային խեժը մասամբ սերտորեն զուգակցվում է նիկելի արսենիդների, մասամբ էլ բնածին արծաթի հետ: Գոյություն ունեն ուրանային խեժի երկու տարբերակներ՝ առաջինը կարծր, հանքավայրում լայն կերպով տարածված, $77\% \text{UO}_2$ և $17\% \text{UO}_3$ պարունակությամբ, իսկ երկրորդը փափուկ, որն առաջացել է ըստ առաջին տարբերակի (հիդրոթերմալ լուծույթների առավել ուշ ներգործություն հետևանքով) $9\% \text{UO}_2$ և $90\% \text{UO}_3$ պարունակությամբ:

Հանքայնացումը, առանց իր բնույթի էական փոփոխություն, ըստ խորություն հետամտված է ավելի քան 500 մ. խոր հորիզոններում արծաթի պարունակությունը փոքր-ինչ պակասում է, իսկ ուրանային խեժը կորցնում է իր կոլոմորֆ կառուցվածքը:

Օքսիդացման զոնայում զարգացած են կանաչ երկրորդային պղինձ-ուրանային փայլարիկներ և տեղ-տեղ էրիտրին:

Հանքավայրը պատկանում է փոքր խորություն հիդրոթերմալ միջին-ցածր ջերմաստիճանային տիպին, որի մասին մասնավորապես վկայում է ուրանային խեժի և մյուս միներալ-

ների կողմորձ ստրուկտուրաների լայն զարգացումը, Հանքայնացման աղբյուրի վերաբերյալ հարցը մնում է անորոշ, քանի որ վարենեավածքները, որոնց հարում է հանքավայրը, գրանիտներից զլավելորեն ավելի երիտասարդ են. ըստ ժամանակի հանքայնացմանն առավել մոտ են դիարազների ու շտաջացած դաշկաները, որոնք, ինչպես և ինքը հանքայնացումը, ենթադրաբար կապվում են չմերկացած մագմատիկ օջախի հետ:

Հանքավայրի հասակը, ըստ ուրանային խեժի մեջ Pb և U հարաբերակցության, որոշված է ավելի քան 1300 միլիոն տարի (արխեյ), ուրիշ տվյալներով՝ 580 միլիոն տարի (կյուրինոս):

Հանքավայրը հանդիսանում է աշխարհի ամենախոշոր և արդյունավետ հանքավայրերից մեկը և ինտենսիվ կերպով մշակվում է: Հանքանյութերը պարունակում են 1% U_3O_8 և 0,07% (700 գ/ա.) Ag, ներկայացնելով արդյունաբերական հետաքրքրություն նաև Ni և Co-ի համար:

Կոնտակտ լճի հանքավայրը գտնվում է այդ նույն շրջանում, էլզբորգո հանքից բնդամենը 14 կմ հարավ-արևելք-հայտնաբերված է 1931 թ.:

Հանքավայրի շրջանը կազմված է մինչքեմբրի հասակի տարրեր ինտրուզիվ ապարներից, որոնց ներգրումը տեղի է ունեցել հետևյալ հաջորդականությամբ՝ գրանոդիորիտներ, գրանիտներ, կվարցային դիարազների դաշկաներ և սիլեր. ավելի ուշ տեղի է ունեցել դիարազների դեֆորմացիա, իսկ նրանից անմիջապես հետո ուրանա-արծաթային հանքայնացում, որն ըստ ժամանակի մոտ է դիարազային դաշկաների ներգրմանը և շատ ավելի երիտասարդ է, քան գրանիտոիդները:

Հանքային երակները կազմված են սիլիկատից, անկերիտից, սոգոլորոզիտից, գոլոմեխից, կալցիտից և բարիտից, Co ու Ni արսենիդների, բնածին արծաթի և տեղ-տեղ ուրանային խեժի հետ և տեղադրված են հնագույն գրանոդիորիտների մեջ: Գրանոդիորիտները հանքայուների մոտ հեմատիտի առատ ցանի շնորհիվ ստացել են կարմիր գույն:

Զ. Մ. Ֆորնիվալը, որն ուսումնասիրել է հանքավայրը, ժխտում է հանքայնացման կապը գրանիտոիդների հետ և գրում է՝ «Արծաթը և ուրանը կոմագմատիկ են կվարց-դիարազային դաշկաների և սիլերի (հավանաբար կյուրինոսյի հասակի)՝ շրջանի ամենաերիտասարդ ինտրուզիվ ապարների հետ, կամ կապված

էն ինչ-որ դեռ չմերկացած ինտրուզիվները հետո: Կոնտակտ լճի հանքավայրի հասակը 650 միլիոն տարի է (կյուրնոու):

Ստաբիլիտ (Գուեննար) և Բիվերլոջ լճի (էյս) շրջանները հանքավայրերը Սասկատչևանում (Կանադա):

Գուեննար հանքավայրը հայտնաբերված է 1952 թ. այն տեղադրված է Ստաբիլիտ լճի հյուսիսային ափին. նա ուրանային աղքատ հանքանյութերի խոշոր հանքավայր է հանդիսանում:

Շրջանը կազմված է մինչքեմբրի կլարցիտների, ավազաքարերի և վարդագույն գրանիտ-գնեյսների շերտախմբից, որն առաջացրել է անտիկլինալ՝ ջարդված լայնակի ու հյուսիսարևելյան տարածում ունեցող այն վարնետովածքներով, որոնց երկայնքով տեղի է ունեցել բրեկչիացում և հեմատիտային հանքայնացում:

Հանքանյութերը տեղադրված են գրանիտ-գնեյսների մեջ դանդաղ ալբիտային մոնոցոնիտներում, որոնք պահպանում են նստվածքային գոյացումների զոլավոր տեքստուրան և առաջացել են նստվածքային ապարների մագմատիկ վերամշակման հաշվին:

Հանքայնացումը հայտնաբերված է մի քանի տեղամասերում, որոնցից մեկն ըստ երկարության տարածված է 330 մ և ըստ լայնության՝ 60—180 մ: Հանքամարմնի ընդհանուր ձևը խողովականման է, ըստ անկման նա հեռամտված է 420 մ:

Հանքայնացումը վերահսկվում է խախտման գոնայով, որի երկայնքով մոնոցոնիտները բեկորատված, ինտենսիվ կերպով քլորիտացված և ներծծված են հեմատիտով: Վերջինս ապարին տալիս է տարբեր՝ վարդագույնից մինչև կարմրա-գորշ երանգներ, կախված հեմատիտով հագեցման աստիճանից: Հեմատիտի հետ համարյա միաժամանակ նստել է ուրանային խեժը, առաջացնելով ցան և բարակ երակիկներ:

Հանքանյութերի կազմութունն է՝ կալցիտ, դոլոմիտ, հեմատիտ, քլորիտ, ալբիտ, ուրանային խեժ (խիզ օքսիդացման զոնայում ուրանոֆան), շատ քիչ պիրիտ, խալկոպիրիտ, գալենիտ: Ուրանային խեժը կոլոմորֆ է և ընտրականորեն տեղակալում է ալբիտը, նստելով համարյա նրա հետ միաժամանակ, կամ նրանից անմիջապես հետո: Հեմատիտի և ուրանային խեժի բարակ երակիկները տեղ-տեղ հատում են ալբիտը և քլորիտը: Հեմատիտի և ուրանային խեժի պարունակության միջև դիտվում է

ուղղակի կապ՝ վարդագույն մոնցոնիտներում ուրանի հանքանյութերն աղքատ են, կարմրագորշերում (հեմատիտով հարուստ) զգալիորեն ավելի հարուստ են: U_3O_8 միջին պարունակությունը $0,1\%$ է (առանձին տեղամասերում մինչև $0,2-0,5\%$), քնդհանուր պաշարները զգալի են և այստեղ արդեն կազմակերպված է արդյունահանում:

Հանքավայրի հասակը 645 միլիոն տարի է (պրոտոերոզյ):

Հանքավայրն ուսումնասիրող գեոլոգներ Փրագերը և Ռոբերտսոնը այն վերագրում են ուրանային ֆորմացիայի միջին ջերմաստիճանային, հիդրոթերմալ, երակիկա-ցանավոր (ցրված) հանքավայրերին:

Էյս հանքավայրը Բիվերլոջ լճի մոտ, Ատարասկա լճից հյուսիս, հայտնաբերված է 1945 թ. և 1951 թվականից շահագործվում է, հանդիսանալով Կանադայի ամենաարդյունավետ հանքավայրերից մեկը:

Հանքայնացումը հարում է Սան-Լուի վարնետովածքին, որն ունի հյուսիս-արևելյան տարածում և 50° անկյան տակ քնկնում է դեպի հարավ-արևելք. վարնետովածքի կախված կողում տեղադրված են մինչքեմբրի հասակի Ատարասկա սերիայի պարագենյաներ, արկոզներ և կոնգլոմերատներ, լիսկ պատկած կոզում՝ Տեյզին սերիայի քլորիտ-սերիցիտային թերթաքարեր, արգիլիտներ և կվարցիտներ:

Հանքայնացած են Սան-Լուի վարնետովածքի պատկած կողի ապարները մինչև 60 մ լայնություն ունեցող գոտում, որի սահմաններում զարգացած է ուրանային խեժի շտոկվերի աստղացող փոքր երակիկների ցանց:

Հանքային գոնայում տեղի ունի կայծքարացում և կարմրավուն գունավորում, որը պայմանավորված է ապարներում հեմատիտի ցանի առկայությամբ:

Արդյունաբերական հանքայնացումը հարում է Տեյզին սերիայի արգիլիտներին, մինչդեռ կվարցիտները սովորաբար հանքազուրկ են:

Հանքային երակիկները պարունակում են բավականաչափ կալցիտ ու կվարց, քիչ պիրիտ, գալենիտ և խալկոսիլիտ, Mg, Fe, Sr-ի կարրոնատներ, բարիտ և վանադիումի միներալներ. վանադիումի պարունակությունն ըստ խորությունից աճում է: Հանքանյութերը պարունակում են ռադիոգեն Pb, ինչպես նաև Se

կրաուստալիտի ձևով (PbSe). վերջինը սերտ կերպով կապված է ուրանային խեժի հետ:

Հանքայնացման հասակը 1820 միլիոն տարի է (արխեյ):

Կ ո լ ո Ր ա զ ո ս ա Ր ա հ ա Ր Թ ի հ ա ն ք ա վ ա յ Ր Ե Ր Ը: Կ ո լ ո Ր ա զ ո ս ա Ր ա հ ա Ր Թ ի (Կոլորադո և Յուտա նահանգներում) ուրան-վանադիումային հանքանյութերի բազմաթիվ փոքր մասշտաբի հանքավայրերն ընդհատուկներով մշակվում են 1909 թ. և առանձնապես ինտենսիվ կերպով՝ 1937 թ.: Այս շրջանն ուրանի ընդհանուր հանույթով զբաղում է առաջնակարգ տեղերից մեկը, զուգընթաց կերպով տալով վանադիումի արտասահմանյան հանույթի համարյա կեսը, միջին հաշվով 20% V_2O_5 և մոտ 0,25% (հաղվադեպ ավելի շատ) U_3O_8 պարունակող հանքանյութերից:

Ուրան-վանադիումային հանքայնացումը հարում է խայտարեցեա նստվածքային շերտախմբին, որն առաջացել է ծովային ավազանների ծանծաղջրյա մասերում, մասամբ ցամաքային պայմաններում՝ լճերում և գետերի գելտաներում: Հանքանյութերը տեղադրված են ամենատարբեր հասակի (պերմից մինչև պրիոցեն) ապարների մեջ, ընդամենը 37 տարբեր ստրատիգրաֆիական հորիզոններում, որոնցից 18 պարունակում են ուրանի և վանադիումի արդյունաբերական կուտակումներ:

Հիմնական արդյունավետ հորիզոններն են Շայնարամպ և Ջինլ ֆորմացիաների կոնգլոմերատները (տրիասի հասակ), Մորբիսոն և Էնտրադա ֆորմացիաների գետային ավազաքարերը և Տոգիլտոի լճային կրաքարերը (յուրայի հասակ):

Շայնարամպ (կարողությունը 30 մ) և Ջինլ ֆորմացիաները տալիս են շրջանի ընդհանուր հանույթի 40%: Իր արդյունավետությամբ սրանցից հետո երկրորդ տեղն է զբաղում Մորբիսոն ֆորմացիան, 60—120 մ կարողությամբ:

Ինչպես նշում են մի շարք հեղինակներ, հանքավայրերի գերակշռող մասը տեղավորված է բարձրացումների և հրաբխային գմբեթների շրջանում, այսպես կոչվող Ուրամյանյան հանքային գոտու սահմաններում, վաղ երրորդական կամ ուշ կավճային (լարամյան) հասակի շտովներով և լավկոլիտներով ճեղքված նստվածքային ապարների մեջ:

Հանքանյութերը տեղադրված են մեծ մասամբ խոշորահատիկ բեկորային ապարներում, երբեմն էլ մեծ քանակի օրգանական նյութ պարունակող արգիլիտներում ու ալեվրիտներում կամ կրաքարերում:

Ըստ կազմութեան առանձնացվում են՝ ուրանային, պղինձ-
ուրանային, պղինձ-ուրան-վանադիումային և ուրան-վանա-
դիումային հանքավայրեր. վերջիններն ամենից արդյունա-
վետն են:

Հանքամարմիններն ունեն տափակ ոսպնյակները ձև և
հարթագծում գրավում են զգալի տարածութեաններ: Նրանք սո-
վորաբար ունեն տասնյակ մետր երկարութուն, որը երբեմն
հասնում է մինչև 200, հազվագեղ 600—900 մ, և մի քանի մետ-
րից մինչև 100—200 մ լայնութեան, իսկ կարողութունը տա-
տանվում է մի քանի սանտիմետրից մինչև 6 մ սահմաններում:
Հանքավայրերը հաճախ զուգահեռ են շերտերի տարածմանը (նկ.
119) կամ գետերի հուների երկար առանցքին, տեղ-տեղ հատում
են շերտավորութունը: Տողիլտոի կրաքարերում հանքավայրերն
ավելի նեղ են ձգված և պարզորոշ կերպով հատում են գեֆոր-
մացիաներին: Ուրանի և այլ մետաղների միներալները լցնում
են ծակոտիները կամ թափանցում են բեկորային ապարների
մեջ, տեղակալելով կարճոնատային ցեմենտը, իսկ կրաքարե-
րում զարգանում են մետասոմատիկ կերպով:

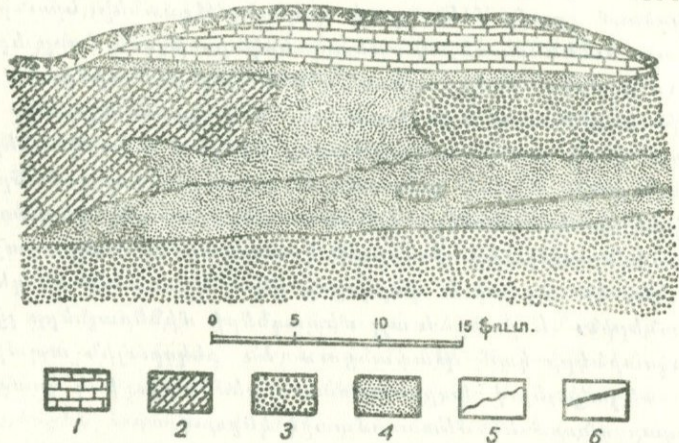
Սվազաքարերի մեջ հանդիպում են կարնոտիտով ու՝ ռոս-
կոելիտով ամբողջապես տեղակալված քարացած ծառարներ,
որոնք ներկայացնում են հարստագույն հանքանյութեր: Այսպես,
Սան-Միգուել Ռիվեր շրջանում Մորրիտոն ֆորմացիայի ավա-
զաքարերի մեջ գտնվել են երկու քարացած մեծ բուն, որոնցից
մեկն ունեցել է 1,2 մ միջին հաստութուն և 30 մ երկարու-
թուն, իսկ մյուսը՝ 0,9 մ հաստութուն և 22 մ երկարութուն:
Այս երկու բունը տվել են 105 տ. հարստագույն հանքանյութ
որից ստացվել է 1,75 գ ոսդիում, 6,19 տ. U_3O_8 և 4,26 տ. վա-
նադիում:

Վերին հորիզոններում հանքանյութերը ներկայացված են
գլխավորապես կարնոտիտով, պղինձի երկրորդային միներալնե-
րով (մալախիտ, ազուրիտ, բրոշանտիտ), երբեմն էրիտրինի փո-
քքը խառնուրդով. լայն տարածում ունի գիպսը:

Նման կազմութեան հանքանյութերը անկասկած նստեցված
են գետնաջրերով և հենց նրանց նկատմամբ է կիրառելի ին-
ֆիլտրացիոն տիպի գոյացումներ՝ կարնոտիտային ավազաքա-
րեր անունը:

Վերջին տարիներս ինտենսիվ հորատված խոր հորիզոններում
հանդիպել են բլրրովին այլ կազմութեան առաջնային հանքա-

նյութեր. ուրանի միներալների մեջ գերիշխում են ուրանինիտը (կարծր բյուրեղային տարրերակը և ամորֆ խեժը, ինչպես նաև փոշենման ուրանային սևուկները) և կոֆֆինիտը, իսկ վանադիումի միներալների մեջ՝ մոնտրոդելիտն ու ոտսկոէլիտը: Սովորաբար փոքր քանակությամբ հանդիպում են պղնձի սուլֆիդներ



Նկ. 119. Պրիմուս հանքի վանադիում պարունակող ավազաքարեր (Բէր կրիկի արևելյան ափ, Նյու-Մայրի մոտ. Կոլորադո)
 1—կրաքար, 2—շեղ շերտավոր հանքագուրկ ավազաքար, 3—խոշորահատիկ ավազաքար, 4.—վանադիումաքի մանրահատիկ ավազաքար, 5—տեսանելի աններդաշնակություն, 6—ենթաշերտ:

(խալկոպիրիտ, բոռնիտ, խալկոզին, կովելլին. և բրնձն խալկոպիրիտը բավական շատ է և Cu պարունակությունը հասնում է $0,5^0/_{10}$), վանադիումի օքսիդներ, դալենիտ, պիրիտ (Co պարունակող), սֆալերիտ, Co -ի սուլֆիդներ և արսենիդներ, մոլիբդենիտ, Cu , Ag և Pb -ի սելենիդներ. վերջիններից ամենից հաճախ հանդիպում է կլուստալիտը (PbSe), որի հետ զուգակիցվում է ուրանային խեժը: Երակային միներալներից սովորական են կալցիտը և գիպսը:

Տոգելտոսի կրաքարերում հանքանյութերի կազմությունը մի քիչ այլ է. այստեղ հանդիպում են ուրանինիտ, Ֆլյուորիտ, պիրիտ, բարիտ, հեմատիտ և կալցիտ:

Կոլորադո սարահարթի ուրանային հանքավայրերի ծագումը դեռ վերջնականապես պարզված չէ և կարնոտիտային ու հատկապես խորքում հայտնաբերված առաջնային նաստուրանային

անքանյութերի կուտակման պայմանների վերաբերյալ շատ հարցեր մնում են անորոշ: Հարցի վերջնական լուծումը դժվարանում է փաստական նյութի մեջ գոյություն ունեցող տարածայնությունների պատճառով. այսպես, որոշ գեոլոգներ ընդգծում են հանքայնացման կապը հրաբխային գմբեթների և վարնետվածքների հետ, մինչդեռ մյուսները նշում են որևիցե տեկտոնական էլեմենտների հետ հանքայնացման կապի բացակայությունը:

Կոլորադո սարահարթի հանքավայրի ծագման վերաբերյալ արտահայտվել են երեք տեսակետ՝

1) Մետաղների առաջնային կուտակման սինգենետիկ թերթիա (հեղինակն է Հեսսը), որը հիմնվում է հանքայնացման ստրատիգրաֆիական վերահսկման և խախտումների, ինչպես նաև հրային ապարների կամ հիդրոթերմալ փոփոխված ապարների հետ նրա կապի բացակայության վրա:

Գտնում են, որ ուրանը տեղափոխվել է կոլլոիդալ լուծույթներով կամ լուծված կարբոնատային աղերի ձևով: Ուրանի նըստեցումը տեղի է ունեցել վերականգնման պայմաններում, որի ժամանակ մեծ դեր են խաղացել բուսական մնացորդները:

Կարնոտիտային սվազաքարերը գիտվում են սրպես ուրանաբեր ծովային սև թերթաքարերի և ֆոսֆորիտների ցամաքային անալոգներ:

2) Ինֆիլտրացիոն թերթիա (հեղինակներն են Նոտենշտեյնը, Էինդգրենը, Ռենսոմեն և ուրիշները), որը հենվում է այն բանի վրա, որ ձորերի եզրերի մոտ կարնոտիտային կուտակները հարում են սվազաքարերի շերտերի ծայրամասերին և նրանցից հեռանալիս նկատվում է հանքամարմինների սեպաձև մարում: Այսպիսով, կարնոտիտային կուտակումները առաջացման պրոցեսը համարվում է մերձակերեսային, որն ընթացել է միայն գետնաջրերի ներգործության զոնայի սահմաններում: Գետնաջրերը լուծել են նստվածքներում ցրված, պարունակող ապարների հետ սինգենետիկորեն առաջացած վանադիումի և ուրանի միներալները ու մետաղները, վերանստեցրել բուսական մնացորդներով հարուստ ենթաշերտերի կարբոնատային ցեմենտում, կամ լուծույթների օքսիդացման հետևանքով մակերեսի մոտերքում: Հորիզոնական շրջանառության ընթացքում լուծույթները մոտենալով մակերեսին (հովիտների եզրերին) կորցրել են CO₂ գրա հետևանքով սուլֆատային լուծույթներից անջատվել և

U, V և Ca, վերջինը գրիպոի ձևով: Իրոք, U, V միներալները և գրիպոը նստել են խախտումների երկայնքով և հովիտների եզրերին:

3) Էպիգենետիկ թեորիան (հեղինակն է Էվերգարտը) արտահայտվել է վերջին տարիներս խոր հորիզոններում առաջնային հանքանյութեր հայտնաբերելուց հետո:

Այս թեորիայի համաձայն Կոլորադո սարահարթն իրենից ներկայացնում է խոշոր բարձրացում հրային ապարների ջրբոված ելքերով, որոնք ապացուցում են, որ այդ բարձրացման պատճառը հանդիսացել է բաթոլիտի ներդրումը: Ուրավանյան հանքային գոտու սահմաններում հանքայնացումը վերահսկվում է երկրորդ կարգի բարձրացումներով, հրաբխային գոմեթներով, անտիկլինալներով և վարնետվածքներով: Այս բոլորը վկայում է գեանաջրերի և հիդրոթերմալ լուծույթների խառնվելու մասին և, հավանաբար, հենց այդ հիդրոթերմալ լուծույթներն էլ հանդիսացել են ուրանի գլխավոր մատակարարողը:

Հանքայնացման հասակի որոշումը, ըստ առաջնային հանքանյութերի ուրանային խեժի մեջ գտնվող Pb/U հարաբերակցությամբ, անկախ պարունակող ապարների հասակից, ամենուրեք տվել է մոտավորապես միևնույն թիվը՝ 55 միլիոն տարի և որոշակիորեն վկայում է հանքայնացման էպիգենետիկ բնույթի և բարավյան մագմատիզմի հետ նրա հավանական գենետիկ կապի մասին:

Ըստ Դ. Էվերգարտի նստվածքային և ինֆիլտրացիոն թեորիաներն ի վիճակի չեն բացատրելու պարունակող ապարների և հանքանյութերի հասակների միջև հաստատված տարբերությունը, ինչպես նաև չեն կարող բավարար կերպով բացատրել հանքանյութերի առկայությունը 18 տարբեր սարատիգրաֆիական հորիզոններում: Կոլորադո սարահարթի հանքավայրերը Դ. Էվերգարտը վերագրել է տելեթերմալ տիպին, ընդ որում կարնոտիտային հանքանյութերն այստեղ գրիտվում են սրպես առաջնային հիդրոթերմալ հանքանյութերի օքսիդացման արդյունք, այսինքն՝ որպես յուրահատուկ կարնոտիտային գլխավոր:

ԸՆԴՀԱՆՐԱՑՈՒՄ ՌԻԱՆԻ ՎԵՐԱՔԵՐՅԱԼ ԵՎ
ՈՐՈՆՄԱՆ ՆՇԱՆՆԵՐԸ

Ուրանի համեմատաբար բարձր պարունակությունը և նրա արդյունաբերական էնդոգեն կուտակումներն ամենասերտ կերպով կառված են թթու և չավավոր թթու հրային, ավելի հազ-

վողեայ արկարային ապարների և միայն եզակի դեպքերում գաբբրոնների հետ:

Նստվածքային պայմաններում ուրանը կուտակվում է օրգանական նյութով հարուստ ծովային թերթաքարերում, ավելի հազվադեպ կրաքարերում, ածուխներում, լիզնիտում, ֆոսֆորիտում: Էնդոգեն կուտակումների մեջ ամենամեծ նշանակություն ունեն $\text{Ni}-\text{Co}-\text{Cu}-\text{U}$, $\text{Co}-\text{Ni}-\text{Bi}-\text{Ag}-\text{U}$ և զուտ U -ի ֆորմացիաների հիդրոթերմալ հանքավայրերը, որոնք միասին տալիս են ուրանի համաշխարհային (արտասահմանյան) հանույթի համարյա 40⁰/₆:

Էկզոգեն հանքավայրերի մեջ ամենաարդյունավետն են կարնոտիտային տվադաքարերի հանքավայրերը և հատկապես մետամորֆոգեն Au ու U պարունակող կոնգլոմերատները¹, իսկ ապադաշում մեծ նշանակություն կարող են ձեռք բերել ուրանարեր թերթաքարերը և ֆոսֆորիտները:

Ուրանի խոշոր հիդրոթերմալ հանքավայրերի գերակշռող մասը կենտրոնացած է վահանների սահմաններում, գլխավորապես նրանց ծայրամասերում կամ վահանները կղբապատող ծալքավոր զոնաներում, սովորաբար վարնետված ք-տեղաշարժային տիպի խոշոր խախտումների երկայնքով:

Վահանների սահմաններում գտնվում են նաև (անկախ հիդրոթերմալ հանքավայրերից) ուրանարեր պեգմատիտների բազմաթիվ և ուրանարեր կոնգլոմերատների խոշոր հանքավայրեր: Ուրանի ավելի փոքր, քան վահանների սահմաններում, կուտակումները հարում են հերցինյան և ավելի երիտասարդ ծալքավոր զոնաներին:

Ուրանի էնդոգեն հանքավայրերի կապը հրային ապարների որոշակի տիպերի հետ հաճախ պարզ չէ: Հաճախ գլխավոր տարածական հարումը գիարադային դայկաներին չի կարող գիտվել որպես գենետիկ կապ, քանի որ շատ դեպքերում հաստատվում է ուրանային հանքանյութման սերտ կապը թթու մագմայի օջախների հետ: Ուրանային հանքանյութերի հիդրոթերմալ հանքավայրերը մեծ մասամբ ձևավորվում են համեմատաբար ոչ մեծ և նույնիսկ փոքր խորոթյուններում, այդ իսկ

¹ Կապիտալիստական երկրներում ուրանի արդյունահանումը 1958 թ. կազմելու է մոտավորապես 25 հազար տ., որից 15 հազ. տ. բաժին է ընկնելու ուրան և ոսկի պարունակող կոնգլոմերատների հանքավայրերին՝ Վիտվատերսբանգ (6000 տ.) և Բլայնդ-Ռիվեր (մոտ 9000 տ.):

պատճառով վահանները խոր լվացված և պեղմատիտների լայն տարածում ունեցող տեղամասերը որոնումները համար բարենպաստ չեն: Որոնումները նպատակահարմար է կատարել նախ և առաջ խոր խախտումների երկայնքով վահանների սահմաններում կամ նրանց ծայրամասերում, այն շրջաններում, որտեղ միաժամանակ տարածված են մոտավորապես միևնույն հասակի թթու և հիմքային ապարները և նրանց հետ կապված քոչ խորքային¹, ծծմբով լրիվ չհագեցած հանքային կոմպլեքսները՝ հեմատիտի, կարբոնատների, ֆլյուորիտի և բարիտի լայն զարգացումով:

Ուրանային հանքանյութերի որոնումները ժամանակ ներկայումս լայն կերպով կիրառվում են հատուկ ռադիոմետրիկ ապարատուրա (Հեյդեր-Մյուլլերի և սցինտիլյացիոն հաշվիչներ), ինչպես նաև ռադիոմետրիկ հետազոտություններ ինքնաթիռից և ավտոմեքենայից:

Որոնումներին ուղղութուն են տալիս հանքամերձ հիդրոթերմալ փոփոխությունները՝ քլորիտացումը, արգիլիտացումը, երկաթացումը (տարածված են հեմատիտ և պիրիտ), կվարցացումը (ուրանային խեժը գուգակցվում է եղջրաքարանման կվարցի հետ), ֆլյուորիտացումը, դոլոմիտացումը և ալունիտացումը (վերջին երկու պրոցեսը սովորաբար տեղի են ունենում մինչև ուրանային հանքայնացումը):

Որոնման նշաններ են հանդիսանում հանքային զոնաներում երակային միներալների բնորոշ գունավորումները՝ դաշտային շպատինը կարմիր, կվարցինը ծխագույն և յասամանի գույնի, ֆլյուորիտինը մուգ մանուշակագույնից մինչև սև, կարբոնատներինը վարդագույն և կարմիր: Օքսիդացման զոնայում ուրանի համար ինդիկատորներ են հանդիսանում նրա երկրորդային միներալները՝ վառ դեղին, նարնջի և կանաչ գունավորումները. ուրանի որոնումները ժամանակ մի շարք դեպքերում օգնում են նաև ուրանի հանքանյութերին հաճախ ուղեկցող Co և Ni արսենիդների երկրորդային միներալները՝ վարդագույն էրիտրինը և կանաչ աննարերգիտը:

¹ Ուրանի երկրորդային որոշ միներալները (օտունիտ, մետատորբերնիտ և ուրիչներ) որոնումները չափազանց հեշտանում են այսպես կոչվող լյումինեսցենսային հանութի շնորհիվ:

Որո՞նման համար մեծ նշանակություն պետք է ունենան նաև ուրանի պարագենետիկ ասոցիացրաները որոշակի էլեմենտների և միներալների հետ (տեղական նշանակություն ունեցող նշան), որոնցով կարելի է օգտվել միայն հանքայնացման բնույթը որոշելուց հետո:

Մասնավորապես, անհրաժեշտ է հաշվի առնել մի դեպքում U ասոցիացիան Ti և Fe (դավիդիտում) հետ, այլ դեպքերում Sn, W, Cu կամ Co, Ni, Bi, Ag, ավելի հազվադեպ Pb, Zn, Mo, Au, Se հետ:

Նստվածքային կուտակումներում անհրաժեշտ է հաշվի առնել U ասոցիացիան V, P, օրգանական նյութի հետ (ածուխներ, լիգնիտներ, ասֆալտիտ, բիտումներ):

Վերջին ժամանակներս ուրանային հանքանյութերի որոնումները ժամանակ, օրինակ, Կոլորադո սարահարթի վրա, հաջողությամբ կիրառվում են որոնումների բուսաբանական մեթոդները բույսեր ինդիկատորների օգնությամբ, որոնք պարունակում են Se համեմատաբար մեծ քանակություններ: Վիկայինների խմբի *Astragalus pattersoni* բույսը ուրանային հանքանյութերից կլանում է Se (բուսական չոր նյութի 1 տոննայում մի քանի հազար գրամի չափով). այդ ինդիկատորի բաշխման տեղամասերի քարտեզը կամ ֆոտոնկարը հետազայում օգտագործում են մանրամասն հետազոտության համար:

Թ Ո Ր Ի Ո Ւ Մ (Th)

ԸՆԴՀԱՆՈՒՐ ՏԵՂԵԿՈՒԹՅՈՒՆՆԵՐ

Առաջին անգամ ThO_2 միացությունը հաստատվել է 1845 թ. Բերցելիուսի կողմից թորիտ միներալում: Մետաղային թորիումը ստացվել է 1898 թ. և այդ ժամանակ էլ որոշվել է նրա ատոմական զանգվածը:

Թորիումի հերթական համարը 90 է, ատոմային կշիռը՝ 232,12: Մետաղային թորիումն արծաթի սպիտակ գույնի մետաղ է, որն ունի 12,16 տեսակարար կշիռ և 1828°C հալման ջերմաստիճան: Կիսատրոհման ժամանակաշրջանը՝ $T = 1,389 \cdot 10^{10}$ տարի:

Թորիումը կիրառվում է շիկացման դադային կափարիչների արտադրության մեջ, որպես վոլֆրամի հալիչում էլեկտրալամպերի թելերում, բազալդամաս W, Mo, Cr, Ni, Cu պարունակող համաձուլվածքներում և որպես մեղրթորիումի՝ Ra փոխանյութի աղբյուր (բժշկության և լուսատու ներկերի արտադրության մեջ): 1940 թ. հետո, շնորհիվ նրան, որ թորիումն սկսեց օգտագործվել որպես ներմիջուկային էներգիայի աղբյուր, նրա նկատմամբ հետաքրքրությունը խիստ մեծացավ:

Բնական Th^{232} զանդաղ նեյտրոններով ուժեղացված զեպտում վեր է անվում Th^{233} , սա էլ Pa^{233} միջոցով փոխանցվում է U^{233} , որն ընդունակ է տրոհվելու:

Թորիումային գլխավոր հանքանյութի՝ մոնացիտի համաշխարհային հանույթը 1945 թ. կազմել է 7—8 հազ. տոննա ($8-12\%$ ThO_2 պարունակությամբ) և կենտրոնացած է հիմնականում Հնդկաստանում, Բրազիլիայում ու Նամալիվալենդում:

Թորիումի խոշոր պաշարներ ունեն նաև Ավստրալիան, Արևմտյան Աֆրիկան, Յեյունը, ԱՄՆ-ը (Այդահո նահանգ):

Թորիումի կլարիք $0,001\%$ է. էլեմենտը սերտորեն կապ-

ված է նատրիումային զրանիտների և ալիալային ապարների (սիենիտների և նեֆելինային սիենիտների) հետ. ի տարբերություն ուրանի, որը տալիս է շարժունակ միացություններ և դուրս է բերվում մագմատիկ օջախից, թորելումը հիմնականում մտնում է թթու և ալիալային, ինչպես նաև մնացորդային պեգմատիտային հալոցքներում և միայն մասնակիորեն է անցնում պնեմատոլիտների և հիդրոթերմերի մեջ:

Թորելումն իզոմորֆ խառնուրդի ձևով նստում է ցիրկոնի, ապատիտի, օրտիտի, քսենոտիմի և հատկապես մագմատիկ պրոցեսի վերջին էտապների մոնացիտի մեջ: Թորելումն զգալի քանակությամբ անցնում է պեգմատիտների մեջ, որտեղ և նստում է որպես մոնացիտ, թորիանիտ և թորիտ:

Պեգմատիտային պրոցեսի առաջին էտապներում (C և D ըստ Ա. Ե. Ֆերսմանի) թորելումը և ուրանը միասին մտնում են ուրանինիտի և տանտալ-տիտան-նիոբատների մեջ. ուրանինիտի ավելի ցածր ջերմաստիճանային զենեքացիաներում թորելում քիչ կա, իսկ նստուրանում նա համարյա լրիվ բացառված է:

Թորելումը հաճախ դուրս է բերվում մագմատիկ օջախից, նստում է պնեմատոլիտային ստադիայում անագի հանքանյութերի, իսկ հիդրոթերմալ ստադիայում բազամետաղ հանքանյութերի հետ միասին, ինչպես նաև զուգակցվում է հեմատիտի, բարիտի, ֆլյուորիտի, Ag, Co, Ni միներալներին հետ:

Հիպերդեն պայմաններում թորելումի կայուն միներալները՝ մոնացիտը և ուրիշները կուտակվում են ծովային և ալլյուվիալ ցրտներում:

Թորիում պարունակվում է նաև հողերում (մինչև 0,1⁰/₀), որտեղ նրա առկայությունն արագացնում է որոշ բույսերի աճը:

Թորիումի գլխավոր միներալներն են՝

բորիաճիտ—ThO₂, սովորաբար UO₂, PbO և հազվագյուտ հողերի խառնուրդով (74—93⁰/₀ ThO₂),

բորիտ—ThSiO₄ (71—82⁰/₀ ThO₂), հազվագյուտ հողերի և UO₂ խառնուրդով. ֆերրիթորիտ տարբերակը (ըստ մի անալիզի տվյալներին՝ պարունակում է 51,5⁰/₀ ThO₂, 12⁰/₀ Fe₂O₃, 3,55⁰/₀ FeO, 5,59⁰/₀ Ce₂O₃ և ուրիշներ),

մոնացիտ—(Ce, La...) PO₄, պարունակում է 5—10 մինչև 28⁰/₀ ThO₂,

քսենոտիմ—YPO₄. մինչև 2,5, հազվադեպ 5—7⁰/₀ ThO₂,

ցիրկոն — $ZrSiO_4$, մինչև 2,5, հաղվադեպ 5—7⁰/₁₀ThO₂;

Ամենից կարևոր նշանակություն ունի մոնացիտը՝ Թորիումի հիմնական հանքանյութը. նա արդյունահանվում է ցրոններից¹:

ՀԱՆՔԱՎԱՅՐԵՐԻ ԳԵՆԵՏԻԿ ՏԻՊԵՐԸ

1. Մագմատիկ հանքավայրեր՝ գրանիտների և սիենիտների զանգվածներ, որոնք պարունակում են մոնացիտի, ցիրկոնի, քսենոտիմի և ուրիշ միներալների ցրված բյուրեղներ: Արմատական հանքավայրերն աղքատ են, արդյունաբերական նշանակություն ունեն այդ զանգվածների քայքայման հետ կապված ցրոնները:

2. Պեգմատիտային հանքավայրեր, որոնք կապված են գրանիտների և սիենիտների հետ: Գլխավոր միներալներն են՝ Թորիանիտ, Թորիտ, մոնացիտ: Սովորաբար արմատական հանքավայրերն արդյունաբերական նշանակություն չունեն, սակայն պեգմատիտների քայքայման դեպքում առաջանում են արդյունաբերական ցրոններ:

3. Պեկմատիտային և հիդրոթերմալ հանքավայրեր, որոնք կապված են գրանիտոիդների հետ. ֆերրիթորիտը զուգակցվում է Sn, Pb և Zn, ինչպես նաև հեմատիտի, Ag, Co, Ni հանքանյութերի հետ:

4. Մովային և ալլյուվիալ ցրոններ, որոնք առաջացել են արմատական հանքավայրերի քայքայման հետևանքով: Խոշոր արդյունաբերական նշանակություն ունեն Հարավային Հնդկաստանի և Բրազիլիայի ծովային ցրոնները:

Թորիումի ամենախոշոր կուտակումները կապված են Բրազիլիայի և Հնդկաստանի մինչքեմբրի և մասամբ ստորին պալեոզոյի գրանիտոիդների հետ, երկրորդական նշանակություն ունեն վերին պալեոզոյի և կիմմերյան հասակի հանքավայրերը:

ԹՈՐԻՈՒՄԻ ՀԱՆՔԱՎԱՅՐԵՐԻ ՆԿԱՐԱԳՐՈՒԹՅՈՒՆԸ

Բրազիլիայի հանքավայրերը ներկայացված են մոնացիտի մերձափնյա ծովային և ալլյուվիալ ցրոններով, որոնք

¹ Տրավանկորի ցրոններում (Հարավային Հնդկաստան) կարևոր նշանակություն է ձևաք բերել նաև մոնացիտի տարբերակը՝ շերալիտը, որը պարունակում է 31,5⁰/₁₀ ThO₂ և 4,1⁰/₁₀ UO₂:

Ատրանտյան օվկիանոսի ափի երկայնքով ձգվում են 200 կմ, էսպիրիտու-Մանուս և Բայա մարզերում Մարանյասից մինչև Ռիո-Գե-Ֆանեյրո (Հարավային Բրազիլիա):

Մոնացիտի ցրոնները կապված են արխեյան գնեյսանման գրանիտի և պեգմատիտների քայքայման հետ: Պեգմատիտներում հանդիպում են մոնացիտի մինչև 0,8 մ կարողություն և 8 մ կարողություն ունեցող շիբրներ, իսկ ցրոններում՝ մոնացիտի մինչև 1 կգ և ավելի կշիռ ունեցող խոշոր բյուրեղներ: Նառ հարուստ է Ջոն-Գորդոն ալյուվիալ ցրոնը պեգմատիտների լայն տարածման շրջանում. այստեղ ալյուվիին պարունակում է մինչև 80% մոնացիտ: 20—25 մ լայնություն ունեցող մերձավելյա ծովային ցրոններում (ծովափ) մոնացիտ պարունակող ավազների կարողությունը կազմում է 7—40 սմ. մոնացիտի պարունակությունը սովորաբար 1—2% է: Բացի մոնացիտից (5—10% ThO₂ պարունակությամբ), ցրոնները պարունակում են ցիրկոն, թորիտ, իլմենիտ, քսենոտիմ, հազվադեպ ադամանդ և ուրբին:

Մոնացիտի պաշարները կազմում են 1 միլիոն տոննա:

Հարավային Հնդկաստանի հանքավայրերը (Տրավանկոր) հանդիսանում են ամենից հարուստը և արդյունավետը: Լայն տարածում ունեն պեգմատիտներով ձեղքված չարնոկիտային շարքի մինչքեմբրի գրանիտ-գնեյսները. թե մեկը և թե մյուսները պարունակում են մոնացիտ և հանդիսացել են հին ու ժամանակակից ցրոնների առաջացման աղբյուր:

Ցրոնները պատկանում են երկու տիպերի՝ մերձավելյա ալեկոման դոնայի և ավազաթմբերի. վերջինս առաջանում է ափից որոշ հեռավորության վրա:

Մոնացիտարեր ցրոնները ձգվում են 160 կմ. հատկապես հարուստ են գետերի հուներին հարող տեղամասերը: Ավազների կարողությունը 1—6 մ է, մոնացիտի պարունակությունը երբեմն հասնում է 50% սովորաբար 2—2,5% է, մնացածը բաժին է ընկնում իլմենիտին, ցիրկոնին և մյուս միներալներին:

Մոնացիտում ThO₂-ի պարունակությունը 10—12% է: Մոնացիտի պաշարները կազմում են մոտ 2 միլիոն տոննա, համարյա անսպառ են: Հնդկաստանը տալիս է Th համաշխարհային հանույթի 3/4 մասը:

Անանուսն պնևմատոլիտային-հիդրոթերմալ հանքավայրերը: Այստեղ պակեոզոյի հասակի թերթաքարերը

ձեղքված են ծայրամասերում ուժեղ կերպով կլարացած գրանոֆիրի շտոկով: Շտոկի ներքին մասերում, բեկորատման զոնաների ներկայնքով գրանոֆիրները վեր են ածվել մանրահատիկ կլարցմուսկովիտ-ֆլյուորիտային գրեյզենի՝ տուրմալինի, հազվագեպ տոպազի, կասսիտերիտի, գալենիտի խառնուրդով: լայնորեն տարածված է գրեյզենների, շտոկների և թերթաքարերի պիրիտացումը:

Թորիում պարունակող միներալներից առկա են ֆերրիթորիտը և թորիտը, որոնք հարում են գրեյզենացած տեղամասերին:

Ֆլուորիտացած թերթաքարերի մեջ գտնվող տեղամասերը ներկայացված են պիրիտ-գալենիտ-սֆալերիտային հանքանյութերի սպինյակներով ֆերրիթորիտի, թորիտի, մագնետիտի, հեմատիտի, կասսիտերիտի, խալկոպիրիտի, ավելի հազվագեպ մոլիբդենիտի և շեելիտի խառնուրդով: Երակային միներալներից առկա են կլարցը, ֆլյուորիտը (սև, իտորիում պարունակող տարբերակ), սերիցիտը, քլորիտը, կարբոնատները:

Հանքավայրերն առաջացել են պնևմատոլիտային և հիդրոթերմալ ստադիաներում: Թորիումի միներալներն անջատվել են կլարցից, սուլֆիդներից և մագնետիտից առաջ:

Պետրի հանքավայրը (Կուրագո հանանդ, Սիտի կանյոնից հարավ-արևմուտք) հայտնաբերված է վերջին տարիներս և ներկայացնում է թորիումի հիդրոթերմալ ծագման խոշոր արմատական հանքավայր:

Շրջանը կազմված է մինչքեմբրի մետամորֆոզային կոմպլեքսից, որը ծածկված է երիտասարդ հրաբխային ապարներով, վերջինների հետ սերտորեն կապված են արծաթի և ոսկու տեղուրիդների վաղուց մշակվող հանքավայրերը: Թորիումի հանքավայրը գտնվում է մինչքեմբրի գնեյաների և հրաբխային ապարների կոնտակտից դեպի արևմուտք և վերահսկվում է վարնետովածքային զոնայով, որի երկայնքով տեղի են ունեցել ապարների բեկորատում և ինտենսիվ փոփոխություն:

Մինչքեմբրի ապարների բեկորատման զոնայում սովորաբար հանդիպում են ուժեղ կերպով փոփոխված և Fe, Mn, Al-ի հիդրոքսիդներով ցեմենտացած սիենիտի, ամֆիբոլիտի, հորընբլենդիտի բեկորներ: Առաջնային միներալներից այստեղ առկա են բարիտ, ֆլյուորիտ, ֆերրիթորիտ (գլխավոր սագրոտակտիլ միներալ), կարմիր արծաթային հանքանյութեր, հեմատիտ (առատ է), տեղ-տեղ Co և Ni արսենիդներ (մինչև 3—5%),

ինչպես նաև սուլֆիդներ, այս ասոցիացիան տիպիկ է ուրանի հիդրօքսիդումը հանքավայրերից շատերի համար: Նկարագրված տիպի հանքայնացումը վարնետվածքի երկայնքով հետամտվում է 300 մ, հանքային զոնայի կարողությունը տատանվում է 0,3—2 մ սահմաններում: Հարուստ հանքանյութերը պարունակում են մինչև 33% ThO_2 , 4,5% U_3O_8 և 3—5% հազվագյուտ հողեր:

Պատուգեր-Հսրնի և Ուետի շրջանների հանքավայրերը (Կոլորադո նահանգ): Այստեղ Մինչքեմբրի մետամորֆային և հրային ապարները ճեղքված են մինչյուրայի հասակի ակալային ապարների շտեկներով ու գայկաներով: Ալկալային ապարների մեջ կամ նրանց մոտերքում հայտնաբերված են թորիտ պարունակող կարբոնատային երակներ և խախտման զոնաներ: Երակներն ունեն մի քանի սանտիմետրից մինչև 5,4 մ կարողություն և մինչև 1 կմ երկարություն:

Երակների միներալոգիական կազմը բարդ է՝ կարբոնատներ, կվարց, գաշտային շպատ, բարիտ, պիրիտ, սֆալերիտ, գալենիտ, հեմատիտ, գյոթիտ, ապատիտ, թորիտ, քսենոտիմ և ուրիշներ: Քիմիական անալիզներով որոշված է Ti, Nb, TR, Th առկայությունը (ThO_2 միջին պարունակությունը 1% -ից պակաս է, սակայն որոշ տեղամասերում և երակներում այն հասնում է մինչև 4%):

Ուետ լեռներում հայտնաբերված է թորիում պարունակող ալեի քան 350 երակ, որոնց թվում առանձին երակներ ունեն ավելի քան 1,5 կմ երկարություն և մինչև 10—15 մ կարողություն: Երակները տեղադրված են ավրիտային սիենիտի շտեկով ճեղքված մինչքեմբրի ապարների մեջ:

Երակների կազմությունն է՝ կվարց, բարիտ, սիլերիտ, թորիտանման միներալ, պիրիտ, խալկոպիրիտ, տետրաէդրիտ, գալենիտ, ֆլյուորիտ:

Թորիումի կուտակումը երակներում անհավասարաչափ է, հարուստ գրպաններում և սյուներում պարունակվում է մինչև 1%, իսկ երակներում՝ միջին հաշվով 0,1% ThO_2 :

Վերջին տարիներս Այգահո և Մոնտանա նահանգներում հայտնաբերված են հիդրօքսիդում տիպի կվարց-բարիտ-հեմատիտ-թորիտային և կվարց-խալկոպիրիտ-թորիտային երակներ:

Ուայոմինգ նահանգում թորիում և հազվագյուտ հողեր են հայտնաբերված երրորդական հասակի մոնցոնիտների և սիենիտ-պորֆիրների մեջ տեղադրված երկաթ-մանգանային երակներում:

Նրալները միներալոգիական կազմությունն է՝ հեմատիտ, լիմոնիտ, մանգանի օքսիդներ, օրթոկլազ, խալցեդոն: Թորիումի և հազվագյուտ հողերի միներալներ չեն հաստատված. ThO_2 պարունակությունը $0,04-0,25\%$ է, իսկ հազվագյուտ հողերինը՝ մինչև $12,68\%$:

ԸՆԴՀԱՆՐԱՅՈՒՄ ԹՈՐԻՈՒՄԻ ՎԵՐԱԲԵՐՅԱԼ ԵՎ ՈՐՈՆՄԱՆ ՆՇԱՆՆԵՐԸ

Թորիումը սերտորեն կապված է գրանիտոիդների և ալկալային ինտրուզիվ ապարների հետ. մետաղի գլխավոր մասը մնում է մագմատիկ օջախում և մանում ապարի ուղեկից միներալների (մոնացիտ, ցիրկոն, քսենոտիմ, օրտիտ) կազմության մեջ, մյուս մասը կուտակվում է պեգմատիտներում, իսկ երբեմն անցնում է պնեմատոլիտների և հիդրոթերմալների մեջ, կուտակվելով Sn, Pb, Zn, Ag, Co, Ni, U հանքանյութերի, հեմատիտի, բարիտի և ֆլյուորիտի հետ միասին:

Թորիումի կարևորագույն արդյունաբերական միներալը հանդիսանում է մոնացիտը, իսկ մոնացիտային կոնցենտրատները խոշորագույն աղբյուրը՝ ժամանակակից մերձավոյս ծովային ցրոնները:

Թորիումի, ինչպես նաև ուրանի հանքանյութերի որոնումները ժամանակ հատուկ նշանակություն ունեն որոնումների և հետախուզության սադրոմետրիկ մեթոդները: Որոնումներին քննահանուր ուղղություն են տալիս ինտրուզիվ ապարների որոշակի արվերը՝ նատրիումային գրանիտները, սիենիտները, նեֆելինային սիենիտները, որոնց հետ սերտորեն կապված է թորիումը: Անհրաժեշտ է հաշվի առնել նաև թորիումի ասոցիացիան ցիրկոնիումի, արտանի, տանտալի, նիոբիումի, ուրանի, հազվագյուտ հողերի, ֆտորի (ֆլյուորիտ և ֆտոր-ապատիտ) հետ:

ՀԻՄՆԱԿԱՆ ԳՐԱԿԱՆՈՒԹՅՈՒՆ ՈՒՐԱՆԻ ԵՎ ԹՈՐԻՈՒՄԻ ՎԵՐԱԲԵՐՅԱԼ

Геология атомных сырьевых материалов. Доклады иностранных ученых на международной конференции по мирному использованию атомной энергии. Женева, 1955. Госгеолтехиздат, 1956.

Глебов С. М. Радиоактивность диктионемовых сланцев. Зап. Лен. горного института, № 14, 1941.

Домарев В. С. Геология урановых месторождений капиталистических стран, 1956.

Комлев Л. В. Некоторые вопросы геохимии урана и тория в гранитных магмах. Сборник, посвящ. 50-летию научной и педагогической деятельности акад. В. И. Вернадского, т. 1, АН СССР, 1936.

Либман Э. П. Монацит, торий и редкие элементы в зарубежных странах, 1946.

Магакьян И. Г. Генетические типы зарубежных месторождений урана. Зап. ВМО, ч. 84, № 3, 1955.

Тюрин Б. А. Карагауское месторождение уранованадиевых руд. Изв. АН СССР, серия геол., № 2, 1944.

Allen R. B., Macdonald B. C. and Smith E. N. Pitchblende deposits of the Saint Louis fault, Beaverlodge area, Saskatchewan, Canad. Min. Met. Bull. v. 47, № 502, 1954.

Bain G. W. Geology of fissionable materials. Econ. Geol. v. 45. № 4, 1950.

Bateman I. D. Recent uranium developments in Ontario. Econ. Geol. v. 50, № 4, 1955.

Davidson G. F. The gold-uranium ores of the Witwatersrand. Min. Mag. v. 88, № 2, 1953.

Davidson C. F. and D. Atkin. On the occurrence of uranium in phosphate rocks. 19 th. Int. Geol. Congress (Algiers) Compte Rendu, 11, 1953.

Everhart D. L. and R. I. Wright. The geologic character of typical pitchblende veins. Econ. Geol. v. 48, № 1, 1953.

Everhart D. L. Origin of uranium deposits. Min. Eng. v. 6. № 9, 1954.

Fischer R. P. Uranium-bearing sandstone of the Colorado Plateau. Econ. Geol. v. 45, № 1, 1950.

Fisher N. H. and Sullivan C. J. Uranium exploration by the bureau of mineral resources, geology and geophysics, in the Rum Jungle province, northern territory, Australia Econ. Geol. v. 49, № 8, 1954.

Fraser I. A. and S. C. Robertson. Preliminary description of the geology and mineralogy of the Gunnar deposit, Saskatchewan. Canad. Min. Journ. v. 75, № 7, 1954.

Furnival G. M. A silver-pitchblende deposit at Contact Lake, Great Bear Lake Area. Econ. Geol. v. 34, № 7, 1939.

Hoiles R. G. New trends in prospecting for uranium Ore. Canad. Min. Journ. v. 74, № 5, 1953.

Ioubin F. R. Uranium deposits of the Algona district, Ontario. Canad. Min. and Met. Bull. v. 47, № 510, 1954.

Kidd D. F. and Haycock M. M. Great Bear Lake Canads G. S. A. Bull. 45, 1935.

Kohl E. Die metallischen Rohstoffe, ihre Lagerungsverhältnisse und ihre wirtschaftliche Bedeutung. Heft 10, Uran. Stuttgart, 1954.

Lang A. H. Canadian deposits of uranium and thorium (Interim. Account) Geol. Survey Canada, Econ. Geol. Series, 16, I 1952.

Mabile J. L'uranium en France et dans le monde. *Annales des Mines*, № 11, 1955.

McKelvey V. E. and I. M. Nelson. The characteristics of marine uranium-bearing sedimentary rocks. *Econ. Geol.* v. 45, № 1, 1950.

McKelvey V. E., Everhart D. L. and Garrels R. M. The origin of uranium deposits. *Soc. Econ. Geologists 50th Anniversary volume*, 1955.

Miholic S. Genesis of the Witwatersrand gold-uranium deposits. *Econ. Geol.* v. 49, № 5, 1954.

Parkin L. W. and Glasson K. R. The geology of the Radium Hill Uranium mine, south Australia. *Econ. Geol.* v. 49, № 8, 1954.

Phair G. and Shimamoto K. O. Hydrothermal uranothorite in fluorite breccias from the Blue Jay mine, Iamerstoun Boulder county, Colorado. *Amer. Miner.* v. 37, № 7 and 8, 1952.

Ramdohr P. Neue Beobachtungen an Erzen des Witwatersrands in Südafrika und ihre genetische Bedeutung. *Abhand. Deutsch Acad. Wissenschaften* № 5, 1954.

Rumbold R. Radioactive minerals in Cornwall and Devon *Min. Mag.* v. 91, № 1, 1954.

Ryan I. P. The geology of the Eldorado deposit *Canad. Min. and Met. Bull.* № 310, 1938.

Schumacher F. Die Uranlagerstätten der Welt, ihre Besonderheiten und ihre Wirtschaftliche Bedeutung. *Bull. of the min. research and expl. inst. of Turkey* № 46/47, 1954—1955.

Sullivan C. I. and Matheson R. S. Uranium-copper deposits Rum Jounge, Australia. *Econ. Geol.* v. 47, № 7, 1952.

Thoreau J. et du Trieu de Terdonck R. Concentrations uranifères du Katanga. *XVI Int. Geol. Congr. Washington*, v. 2, 1936.

Traill R. I. A preliminary account of the mineralogy of radioactive conglomerates in the Blind River region, Ontario. *Canad. Min. Journ.* v. 75, № 4, 1954.

Winston W. B. Uranium. *Calif. Journ. of Mines and Geology*, v. 44, № 1, 1948.

Wright R. I. Lithologic ore controls in sandstone type uranium deposits, Colorado plateau. *Econ. Geol.* v. 48, № 7, 1953.

Wright R. I. Ore controls in sandstone uranium deposits of the Colorado plateau. *Econ. Geol.* v. 50, 1955.

VI. ՅՐՎԱԾ ԵՎ ՀԱԶՎԱԳՅՈՒՏ ՀՈՂԱՅԻՆ ՄԵՏԱՂՆԵՐ

«Մենք կանգնած ենք Մենդելևի ազ-
յուսակի բոլոր էլեմենտները լրիվ կեր-
պով մեզ ենթարկելու շեմքին»:
(Ա. Ե. Ֆերոման, 1938)

Վերջին երկու-երեք տասնամյակներում, ժամանակակից տեխնիկայում (ավտոմատիկայում, էլեկտրոնիկայում, սադիս-տեխնիկայում, ատոմային արդյունաբերություն մեջ) բացառիկ նշանակություն են ձեռք բերել ցրված և հազվագյուտ հողային էլեմենտները, որոնք սովորաբար պարունակվում են որպես խառնուրդ տարրեր ախլի հանքանյութերում և ստացվում են հանքավայրերի գլխավոր օգտակար հանածոյի հետ զուգընթաց:

Ցրված էլեմենտները հիմնականում բաժանվում են երկու խմբի՝

1) էլեմենտներ, որոնք ցրված են լեռնային ապարներում (գլխավորապես ուզեկից միներալներում) նաև պեգմատիտների, գրեյզենների և սկանների մեջ: Ցրոններում նրանք հաճախ առաջացնում են արդյունաբերական կուտակումներ:

2) էլեմենտներ, որոնք ցրված են գլխավորապես գունավոր և որոշ հազվագյուտ մետաղների հիզրոթերմալ հանքավայրերի սուլֆիդային հանքանյութերում:

Առաջին խմբին են պատկանում՝ տանտալը (Ta), նիոբիումը (Nb), բերիլիումը (Be), ջիրկոնիումը (Zr), հաֆնիումը (Hf), լիթիումը (Li), ցեզիումը (Cs), ռուբիդիումը (Rb), հազվագյուտ հողերի խմբի էլեմենտները՝ լանտանոիդները և հատկություններով նրանց մոտիկ ցերիումը, իտրիումը, սկանդիումը (TR), Ce, Y, Sc), ինչպես նաև բորը (B):

Երկրորդ խմբին են պատկանում՝ կադմիումը (Cd), ցողկուրումը (Ga), գերմանիումը (Ge), ինդիումը (In), սենիումը (Re) տալիումը (Tl), տելուրը (Te) և սելենը (Se):

Նույն հերթականությամբ ստորև շարադրվում են նշված էլեմենտների արդյունաբերական կիրառությունը և նրանց գըտնըվելու բնական պայմանների վերաբերյալ համառոտ տվյալներ:

ՏԱՆՏԱԼ ԵՎ ՆԻՈՒՅԻՈՒՄ (ԿՈԼՈՒՄԲԻՈՒՄ) (Ta և Nb)

Հայտնագործված են 1801—1802 թթ., բայց մեծ կիրառում են ստացել վերջին տասնամյակում:

Տանտալը և նիոբիումը բարձր կարծրությամբ օժտված, դժվարահալ, թթվակայուն մետաղներ են. կիրառվում են հակակորոզիոն և հատուկ պողպատների և համաձուլվածքների արտադրության մեջ, որոնցից պատրաստվում են շոգեջրանիլներ, ներքին այրման շարժիչների արտափքման սխտեմներ, բժշկական գործիքներ և զենք:

Տանտալը և նիոբիումը կիրառվում են նաև էլեկտրոնային խողովակների ցանցերում, որպես պլատինի վոխարինողներ, արհեստական մետաքս մշակող արդյունաբերության ֆիլիերներ, արտադրության մեջ և ուղիորհնչունային սպարատուրայում: Տանտալի և նիոբիումի կարբիտներն իրենց կարծրությամբ մոտենում են ալմաստին և լայն կիրառվում են կտրող գործիքներում:

Կոլումբիտի և տանտալիտի կոնցենտրատների համաշխարհային (արտասահմանյան) արտադրանքը կազմում է տարեկան ավելի քան 2500 տ. (ավելի քան 2000 տ. բաժին է ընկնում կոլումբիտին): Որպես հիմնական աղբյուր հանդիսանում են գրանիտային սեգմատիտների քայքայման հետ կապված ցրոնները. կոլումբիտի կոնցենտրատների արտադրանքի 95%⁰ բաժին է ընկնում Նիդերլանդներին, իսկ տանտալիտային կոնցենտրատների գըլխավոր մատակարարողներն են Բելգիական Կոնգոյի, Բրազիլիայի և Ավստրալիայի ցրոնները: Վերջին ժամանակներս հայտնաբերված են նիոբիումի և տանտալի արդյունաբերական կուտակումներ պարունակող արմատական խոշոր հանքավայրեր:

* * *

Տանտալի կլարիդը կազմում է 0,0001%⁰, Nb-ինը՝ 0,003%⁰ (Ա. Պ. Վինոգրադով, 1950): Երկու մետաղն էլ սերտորեն կապված են գրանիտային և ալկալային ինտրուզիաների հետ:

Բնորոշ է Ta և Nb ասոցիացիան Be, Li, Sn, W, ինչպես նաև U, Ti, Zr, Rb, Cs նեո գրանիտային պեգմատիտներում և Nb (Ta շատ փոքր քանակությամբ) ասոցիացիան Zr, TR, Ti, Ga նեո, սերտորեն կապված ալիալային ինտրուզիաների (նեֆելինային սիենիտներ և ուրիշներ) նեո:

Տանտալի և նիոբիումի գլխավոր միներալներն են՝ կոլումբիտ (Fe, Mn) Nb₂O₆. մինչև 82⁰/₀ Nb₂O₅, աանտալիտ (Fe, Mn) Ta₂O₆. մինչև 86⁰/₀ Ta₂O₅, լոպարիտ (Na, Ce, Ca) (Nb, Ti) O₃. մինչև 11⁰/₀ Nb₂O₅ և մինչև 1⁰/₀ Ta₂O₅,

պիրոքլոր (Na, Ca...) (Nb, Ti)₂O₆ (F, OH) մինչև 63⁰/₀ Nb₂O₅ կամ 77⁰/₀ Ta₂O₅. նիոբիումով և ցերիումով հարուստ պիրոքլորի տարբերակը կոչվում է «կոպիտ» և պարունակում է մինչև 56—62⁰/₀ Nb₂O₅,

պերովսիտ CaTiO₃. մինչև 1,5⁰/₀Nb և 2⁰/₀ TR:

Բացի այդ, պեգմատիտներից և գրեյզներներից ստացված կասիտերիտը հաճախ պարունակում է մինչև 4⁰/₀ Ta₂O₅+Nb₂O₅, վոլֆրամիտը և էլգիալիտը պարունակում են մինչև 0,5⁰/₀ Ta₂O₅, ցիրկոնը՝ մինչև 2⁰/₀ Nb₂O₅ և 0,3⁰/₀ Ta₂O₅, սֆենը՝ մինչև մի քանի ⁰/₀ Nb₂O₅ և 0,1⁰/₀ Ta₂O₅: Տանտալը և նիոբիումը երբեմն հանդիպում են նաև ուռաիլի, իլմենիտի, մելանիտի մեջ և մասամբ անգակալում Ti-ին:

ՀԱՆՔԱՎԱՅՐԵՐԻ ԳԵՆԵՏԻԿ ՏԻՊԵՐԸ

1. Լոպարիտի մագմատիկ հանքավայրեր, որոնք կապված են ալիալային ապարների, ամենից սերտ կերպով մալինյիտների (մելանոկրատ նեֆելինային սիենիտներ) և ուրաթիտների (էգիրին-նեֆելինային ապարներ) նեո:

Այդ ապարները կազմում են ստրատիֆիկացված հորիզոններ, որոնք ըստ տարածման հետամտված են տասնյակ կիլոմետրեր, 0,1—1 մ կարողությամբ և 2,5 մինչև 20⁰/₀ լոպարիտի պարունակությամբ: Այստեղ կենտրոնացած են Nb հսկայական և Ta, TR, Ti, Th զգալի պաշարներ:

Լոպարիտից մետաղների ստացման տեխնոլոգիան մշակված է և այս արդյունք, հատկապես ՍՍՌՄ-ում, մեծ ապագա ունի:

2. Ալիալային ապարների պեգմատիտներ (լոպարիտի, իլմենոուռաիլի, պիրոքլորի նեո). հայտնի են Կոլա թերակղզում և Հարավային Ուրալում (Վիշնյովի լեռներ):

3. Փրանիտային մագմաների պրիտացված պեգմատիտներ (տանտալիտի, կոլումբիտի, բերիլի, սպողումենի, կասսիտերիտի/հետ), որոնց մեջ կոլումբիտի և տանտալիտի պարունակությունը կազմում է 0,03—0,1⁰/₀ և ավելի: Այս տիպին են պատկանում Հյուսիս-արևելյան Բրազիլիայի, Բելգիական Կոնգոյի, Նիգերիայի հանքավայրերը, ինչպես նաև Վոջինա խոշոր հանքավայրն Արևմտյան Ավստրալիայում (հարուստ է տանտալիտով, պարունակում է բերիլ և պոլուցիտ, վերջինը պարունակում է մինչև 1⁰/₀ Cs₂O):

Այս տիպի հանքավայրերի քայքայման հետ կապված ալյուվիալ ցրտները տալիս են տանտալիտի կոնցենտրատների հիմնական մասը:

4. Սկառնային և մետասոմատիկ, այսպես կոչվող «կարբոնատիտային» հանքավայրեր, որոնք գենետիկորեն կապված են ալկալային ինտրուզիվների հետ և անգաղբիված են կարբոնատային ապարների (կրաքարեր, գոլամիտներ) մեջ:

Այս տիպի հանքավայրերը լայն տարածում ունեն և հայտնի են ՄՍՌՄ մի շարք շրջաններում, Աֆրիկայում (Ռեզանդա, Տանգանիկա, Կենիա, Հյուսիսային Ռոզելիա, Մոզամբիկ, Տրանսվալ, Հարավ-արևմտյան Աֆրիկա), Բրազիլիայում, ԱՄՆ-ում, Նորվեգիայում, Գերմանիայում:

Այս հանքավայրերի մեջ առանձնացնում են «ողակային հրաբուխների» կամ պայթման խողովակների տիպի մերձակերևային և ավելի խորքային՝ սկառնային զանաներով կամ մետասոմատիկ երակներով ներկայացված հանքավայրեր:

Հանքանյութերի կազմությունն է՝ պերովսիտ, պիրոքլոր, ապատիտ, երբեմն նաև ցիրկոն, բազզելիտ, մոնացիտ, ուբանային թորիանիտ, մագնետիտ և այլ միներալներ:

Հանքավայրերի մասշտաբը հաճախ խոշոր է, Nb₂O₅ պարունակությունը հանքանյութում կազմում է 0,3—0,5⁰/₀ և ավելի, որը նրանց նկատմամբ մեծ հետաքրքրություն է առաջացնում:

Բնորոշ է Nb—Ta—Ti—TR—Zr—Th—U ասցիացիան:

5. Բարձր ջերմաստիճանային ճիգրոքերմալ և պեգմատոլիտային կվարցային երակներ և գրեյզեններ, սովորաբար անագարեր և վոլֆրամարեր, տանտալ-կոլումբիտի խառնուրդով:

Այս տիպին են պատկանում Անդրլապլալի, Նիգերիայի և Հարավ-արևմտյան Աֆրիկայի մի քանի հանքավայրեր:

6. Կոլումբիաի (Նիգերիա), տանալիաի (Բրազիլիա, Բելգիական Կոնգո) և Nb, Ta, U պարունակող պիրոքլորի (Կաֆֆո-վալեյ մեգանդալում), Էլյուվիալ գելյուվիալ և հատկապես ալ-լյուվիալ ցրոններ: Յրոնները տալիս են Ta և Nb համարյա նմ-րող ժամանակակից համաշխարհային հանույթը:

Հետաքրքիր է նշել, որ Նիգերիայի կոլումբիաի ցրոնները կապված են ոչ միայն պեգմատիտների, այլև գրանիտների քայ-քայման հետ, որոնց արմատական զանգվածները 1 մ³ ապարի մեջ պարունակում են 300 գրամ կոլումբիտ, նրանք կարող են մշակվել ցրոնների սպառումից հետո:

Բ Ե Ր Ի Լ Լ Ի Ո Ւ Մ (Be)

Բերիլ և գմբուխտ միներալները հայտնի են եղել վաղ անց-յալում, բերիլլիումի հայտնագործումից (1798) 5000 տարի առաջ¹:

Բերիլլիումի արդյունաբերությունը կազմակերպված է 1930 թ.:

Բերիլլիումը 1,85 տեսակարար կշիռ ունեցող մետաղ է, կիրառվում է համաձուլվածքներում Cu (մալորայ) և Al (բե-րալիտ) հետ ինքնաթիռաշինության, նավաշինության, շար-ժիչների արտադրության մեջ, Be-ի ընդամենը 0,01% հալելույ-թը կանխում է մագնիզիումի համաձուլվածքների բոցավառվե-լու ունակությունը, նույնիսկ մինչև 700°C ջերմության դեպ-քում: Cu—Be բրոնզն ունի պողպատի գիմացկունություն:

Բերիլլիումի կամ նրա միացությունների զգալի քանակու-թյուններ օգտագործվում են էլրանների և սենտոգենյան խողո-վակների «պատուհանների», սեսորների և զսպանակների, վառիչ մոմերի, հախճապակու, ալյումինիումը ծածկելու համար գի-մացկուն էմալի, ինչպես նաև ատոմային սեակատրոնների տար-բեր մասերի, հեռուստատեսային և էլեկտրոնային սարքավո-րումների, ցիկլոտրոնների, անտիկատոնների, նեոնային ազգա-

¹ Բերիլլիումի հայտնագործումը վերադրվում է Ֆրանսիական քիմի-կոս Վոկելենին, որը միներալոգ Գուլիի խնդրանքով փորձել է որոշել բե-րիլի և գմբուխտի քիմիական նմանությունը: Հոտմեական գիտնական Պլի-նիյ աժպը ն. թ. 1-ին դարում համարում էր, որ բերիլը և գմբուխտը հատկություններով իրար շատ մոտ են:

նշանային լամպերի էլեկտրոդների տարբեր մասերի պատրաստման գործում: α —ճառագայթների կամ գեյտրոնների ներգործութայն տակ բերիլիումն առանձին կամ Ra պրեպարատների խառնուրդի հետ սկսում է ինտենսիվ կերպով նեյտրոններ արձակել, որն օգտագործվում է ատոմային միջուկների տրոհման տեխնիկայում¹:

1953 թ. արդյունահանված է 9000 ա. բերիլի կոնցենտրատ, գլխավորապես Բրազիլիայում (արդյունահանման 70%), Հընդ-կաստանում, Արգենտինայում, Ավստրալիայում, ԱՄՆ-ում:

* * *

Բերիլիումի կյարկը կազմում է 0, 0006⁰/₁₀, էլեմենտը կապված է գրանիտային և հազվագեղ ալկալային մազմաների հետ, կուտակվում է պեգմատիտներում, բարձր ջերմաստիճանային հիդրոթերմալ հանքավայրերում, սկառներում և միջին-ցածր ջերմաստիճանային հիդրոթերմալ հանքավայրերում:

Գլխավոր միներալներն են՝

բերիլ $\text{Be}_3\text{Al}_2[\text{Si}_6\text{O}_{18}]$. 5,1⁰/₁₀ Be, (BeO 14,1⁰/₁₀),

նելվին $\text{Mn}_8[\text{BeSiO}_4]_6\text{S}_2$. 4,9⁰/₁₀ Be (BeO 13,6⁰/₁₀),

Ավելի փոքր նշանակություն ունեն՝

խրիզոբերիլ BeAl_2O_4 (մոտ 7⁰/₁₀ Be) և

ֆենակիտ Be_2SiO_4 (16⁰/₁₀ Be):

Բերիլիումի խառնուրդ հաստատված է սկառնային զոնաների վեգուլիանում և գրոսուլյարում (մինչև 1⁰/₁₀ BeO), ալտինիտում (մինչև 0,1⁰/₁₀ BeO), օրտիտում (մինչև 4⁰/₁₀ BeO): Բերիլիումը երբեմն կուտակվում է ցեոլիտներում և որոշ բույսերում (ցորենի մսխիրը պարունակում է մինչև 2⁰/₁₀ Be):

Վերջին ժամանակներս Be-ի կուտակում հաստատված է ալկալային ապարներում, հատկապես ալկալային պեգմատիտներում, որոնց մեջ հայտնաբերված են Be պարունակող նոր սիլիկատներ: Ալկալային ապարների նեֆելինը պարունակում է 0,001—0,1⁰/₁₀ Be. նեֆելինի կոնցենտրատներից և ապարներից կավահող ստանալու ժամանակ Be կարելի է անջատել որպես կոպմակի արտադրանք:

¹ Բերիլիումը կիրառվում է բնական ուրան օգտագործող սեպտորներում, որպես արագ նեյտրոնների դանդաղիչ: Բերիլիումի օգտագործումը տարբեր ակտիվ սեպտորներում որպես նեյտրոնների միջամտակ և՛ դանդաղիչ և՛ անդրադարձնող, նրանց ցրումը հասցնում է միներալների և գրանոլ բարձրացնում է սեպտորի հզորությունը:

1. Գրանիաային մագմաների պեգմատիտներ, որոնք լրիվ գիֆերենցված և բյուրեղային են, խոշորարյուրեղ բերիլի, լիթիումի միներալների (սպոդումեն և լեպիդոլիտ), տուրմալինի (հաճախ ուռքելիտ), տանտալ-նիոբատները, կասսիտերիտի հետ:

Այս տիպի հանքավայրեր հայտնի են Կալբայի հանքային շրջանում (Ղազախական ՍՍՌ), Բրազիլիայի հյուսիս-արևելյան նահանգներում, Արգենտինայում, Արևմտյան Ավստրալիայում (Վոջլինա), Կանադայում, ԱՄՆ-ում (Բլեկ Հիլ Հարավային Դա-կոտա նահանգում և ուր.¹), Հնդկաստանում (Ռաջաստանում), Տրանսվալիայում, Մոզամբիկում, Մադագասկարում, Հարավային Ռոդեզիայում, Մարոկկոյում: Ներկայումս այս տիպը Be համար գլխավորն է:

2. Ապատիլիկացված պեգմատիտներ, որոնք անզագրված են սերպենտինիտների մեջ և ունեն գմբուխտով հարստացած ֆլուգապիտ-բիոտիտային երիզներ:

Պեգմատիտների հետ սերտ կերպով կապված են ֆլյուորիտով, ապատիտով, սուլֆիդներով և բերիլիով հարուստ ավելի ուշ առաջացած հիդրոթերմալ երակները. բերիլն ունի երեք գենե-րացիա՝ ըսպ կանաչ, կաթնասպիտակ (գլխավոր դեր է կատա-րում), մանրարյուրեղ: Այս տիպին են պատկանում Ջմրուխտա-յին հանքերի (Ուրալ) շրջանի հանքավայրերը և Նամակվալեն-գի հանքավայրերը Հարավ-արևմտյան Աֆրիկայում:

3. Բարձր ջերմաստիճանային հիդրոթերմալ և պեգմատո-լիտային կվարցային երակներ ու գրեյզեններ կասսիտերիտի, վոլֆրամիտի, մոլիբդենիտի, բերիլիի հետ: Այս տիպին են պատ-կանում Անդրբայկալի հանքավայրերը, մի շարք հանքավայրեր Ղազախական ՍՍՌ-ում և գմբուխտի Մուգո ու Կոստեյ հանքերը Կոլումբիայում:

4. Ալաունային հանքավայրեր, որոնց մեջ տարբերվում են երկու ենթատիպ՝

ա) Հելվինային (Երկաթի լեռը ԱՄՆ-ում, Գորտեկոլլենը Նոր-

¹ Կինգ Մոնտան²(Հյուսիսային Կարոլինա) սպոդումենային պեգմա-տիտները պարունակում են 300000 տոննա գլխավորապես մանրարյուրեղ բերիլի, որի ստացման համար մշակվում են հարստացման ֆլոտացիոն մե-թոդներ:

վեգիտացում և մի շարք հանքավայրերի Միջին Ասիայում ու Ղազախստանի ՄՍՌ-ում):

բ) Ֆենակիտ-խրիզոթերիլլային հանքավայրեր, առատ ֆլյուորիտով (Հեռավոր Արևելքի հանքավայրերը):

Հարկավոր է նշել նաև Be կուտակումը (միջին հաշվով 0,01⁰/₀) առանձին սկանդային բազմամետաղ հանքանյութերում, կվարց-խալցեդոն-պիրիտ-հելվինային երակիկները ցածր ջերմաստիճանային շտովներկային հանքայնացման ձևով, երակիկներ, որոնք առաջացել են կապար-ցինկային հանքայնացումից ավելի ուշ¹:

Բերիլլումի սկանդային հանքավայրերից ամենից մեծ հետաքրքրություն է ներկայացնում 1941 թ. հայտնաբերված Նրկաթիլեն (Այրոն Մաունթին) հանքավայրը Նյու-Մեքսիկո նահանգում:

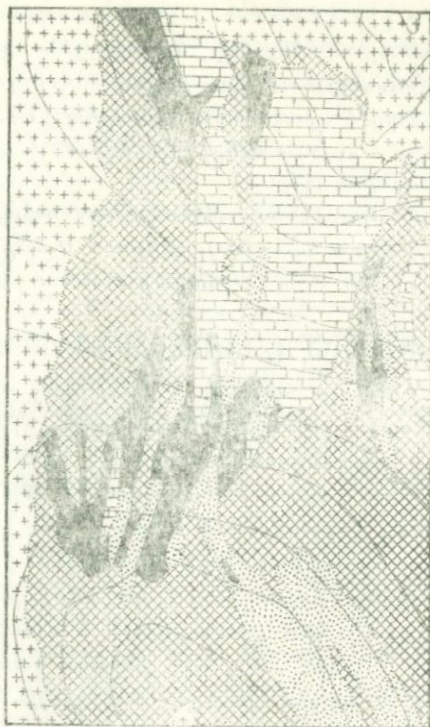
Շրջանը կազմված է պալեոզոյի հասակի նստվածքային շերտախմբից, որը հատված է երրորդական հասակի սիլիտի, մանրահատիկ գրանիտի և ապլիտի դաշկաներով: Գրանիտների և կրաքարերի կոնտակտում առաջացել են սկանդեր, ընդ որում նրանց մագնետիտով հարուստ տարբերակներում սահմանված են Be և W-ի արդյունաբերական կուտակումներ (նկ. 120):

Առանձնացնում են սկանդերի երկու տարբերակ՝ մասսիվ մագնետիտ-անդրադիտային, որը կազմում է մինչև 30 մ կարողություն ունեցող խոշոր մարմիններ և զուլվոր, որում մագնետիտով հարուստ շերտերը հերթագայում են սովորաբար 0, 2մ կարողություն ունեցող ֆլյուորիտ-հելվինային շերտիկներով: Այդ ժապավենային ապարը („ribbon rock“) ինտրուզիվ զանգվածների կոնտակտում ավելի վաղ մագնետիտ-անդրադիտային սկանդի և կրաքարի միջև առաջացնում է անկանոն ձևի մարմիններ, ընդ որում սկանդերի հետ սահմանը կտրուկ է, իսկ կրաքարերի հետ պարզ է:

Ժապավենային ապարը դիտվում է որպես սկանդերի վրա վերադրված հիդրոթերմալ մետասոմատիկ պրոցեսի ամենաուշ ստադիայի արդյունք:

Հիդրոթերմալ լուծույթները ներմուծել են Fe, Mn, Zn, Be,

¹ Մրիզոնա և Յուտա նահանգներում գրանիտներում հայտնաբերված են բերիլի ազքատ հանքանյութերի մեծ պաշարներ ունեցող պոտենցիալ արդյունաբերական հանքավայրեր: Բերիլը հարուստ է ձեղքավոր զունազբրկված գրանիտների զոնաներին և ներկայացված է մանր, բաց զունավորված բյուրեղիկներով:



Նկ. 120. Երկաթի լեռ ճանրավայրի մի մասի
գեոլոգիական ֆարանգ և կտրվածք

1—ապլիտ և մանրահատիկ գրանիտ, 2—վերա-
բյուրեղացած կոպիտ կրաքար, 3—կվարց-պիրոք-
սեն-կլինոցիտային գրանուլիտ, 4—մասսիվ
մադնետիտ-անդրադիտային տակտիտ, 5—հել-
վին պարունակող «ժապավենային» սպար:

F և մի շարք ուրիշ էլեմենտներ, այդ ստադիայում առաջացել են՝ հելիին, դանալիտ (հելիինի երկաթային տարրերակը), Be պարունակող գրոտոսուլյար, վարդագույն էպիդոտ, Ֆլյուորիտ: Հելիինը շատ նման է գրանատին, իզոտրոպ է, $N=1,730-1,758$, ի տարրերություն գրանատներին, լուծվում է կոնցենտրացված HCl մեջ, անջատելով H_2S :

Բերիլլիումի պարունակությունը նկարագրված հանքավայրերի արդյունաբերական հանքանյութերում $0,4\%$ է, իսկ նրա պաշարները կազմում են մոտ 30 հազար տոննա:

ՅՐԻԿՈՆԻՈՒՄ (Zr) ԵՎ ՀՍՖՆԻՈՒՄ (Hf)

Յիրկոն միներալը հայտնի է եղել վաղ անցյալում. ցիրկոնիում էլեմենտը հաստատվել է Կլապրոտի կողմից դեռ 1789 թ., իսկ մետաղային ցիրկոնիումն ստացվել է 1914 թ.: Մետաղային մաքուր ցիրկոնիումը սլաքատիկ է, հալվում է $1900-2130^\circ\text{C}$:

Յիրկոնիումը կիրառվում է արագ կտրող գործիքների, զբրահային սալերի արտադրության մեջ, պղնձախառն համաձուլվածքներում, որոնք փոխարինում են բերիլլիումի համաձուլվածքներին, Ni ու Co հետ թթվակայուն և մագնիսական համաձուլվածքներում (մինչև 20% Zr), ինչպես նաև W, Mo համաձուլվածքներում և որպես լեգիրող հավելույթ նավաշինության մեջ օգտագործվող պողպատներում (մինչև $0, 35\%$ Zr): Յիրկոնիումն օգտագործվում է նաև ռադիոլամպերի, էլեկտրոնային լամպերի արտադրության մեջ, վակուումային տեխնիկայում, որոշ համաձուլվածքներում էլ որպես տանտալի փոխարինող: Հալած ցիրկոնիումը դիտվում է որպես մեծ պայծառություն լույսի նոր աղբյուր, իսկ ցիրկոնիումի օքսիդը, որն ունի 2500°C -ից բարձր հալման ջերմաստիճան, հանդիսանում է շատ արժեքավոր հրակայուն նյութ:

* * *

Յիրկոնիումի կարկը կազմում է $0,025\%$, նա սերտ կերպով կապված է գրանիտային և ալկալային մագմաների հետ և ամենից հաճախ կուտակվում է պեգմատիտների մեջ (պեգմատիտների ցիրկոնային տիպ ըստ Ա. Ե. Ֆերսմանի):

Գլխավոր միներալներն են՝

ցիրկոն $ZrSiO_4 \cdot 67\%$ ZrO_2 և մինչև 2% HfO_2 ,

բազելեիտ $ZrO_2 \cdot$ մինչև 93% ZrO_2 և $0,5-1,2\%$ HfO_2 ,

եվդիալիտ $(Na,Ca)_6 ZrSi_6O_{17} (O,OH,Cl)$. $12-14,5\%$ ZrO_2

Այստրալիայի, մասամբ Հնդկաստանի և Բրազիլիայի մերձափնյա ծովային ցրտններից տարեկան արգյունահանվում է մինչև 40—50 հազար տոննա ցիրկոնային կոնցենտրատ, որը ծառայում է որպես ցիրկոնիում և նրա հետ սերտորեն կապված հաֆնիում ստանալու հիմնական աղբյուր:

Ցիրկոնի հարուստ բրածո ցրտներ (լիմենիտի և սուտիլի-հետ միասին) հայտնաբերված են ՍՍՌՄ-ում՝ Ուրալում և Ուկրաինայում:

Հաֆնիումը սերտ կերպով կապված է ցիրկոնիումի հետ և ինքնուրույն միներալներ չի առաջացնում: Հաֆնիումը 1870 թ. նախագուշակվել է Դ. Բ. Մենդելեևի կողմից, իսկ հայտնագործված է միայն 1923 թ. ռուսագրական քիմիկոս Գ. Հեվեշի կողմից, ունտոգենոսպեկտրալ ճանապարհով, ցիրկոնիումի միացություններում:

1951 թ վականից հաֆնիումը կիրառվում է որպես դժվարահալ համաձուլվածքների բաղադրամաս, սենտիկոնյան խողովակների կատոդների պատրաստման գործում, ատոմային արգյունաբերություն և վառոդի արտադրություն մեջ:

Մեծ էլեկտրոնային առաքման շնորհիվ հաֆնիումը զիտվում է որպես սագիտ և էլեկտրոտեխնիկայում կիրառվելու համար մեծ հետանկարներ ունեցող մետաղ: Հաֆնիումը հալվելու թի ձևով ($0,1-3\% \text{ HfO}_2$) կիրառվում է վոլֆրամային, մոլիբդենային և տանտալային շիկացման թելերը մեջ:

* * *

Հաֆնիումի կլարիդը $3,2 \cdot 10^{-4}\%$ է, պարունակվում է որպես խառնուրդ ($0,5-2\% \text{ HfO}_2$) ցիրկոնիումի միներալներում:

Հետաքրքիր է նշել, որ գրանիտային մագմայի հետ կապված ցիրկոններում HfO_2 : ZrO_2 համասար է 0,015, մինչդեռ նեֆելի-նային սիենիտների հետ կապված ցիրկոններում այդ հարաբերությունը հավասար է 0,04, այսինքն նեֆելիտային սիենիտների ցիրկոններն ավելի հարուստ են հաֆնիումով:

Լ Ի Թ Ի Ո Ի Մ (Li)

Լիթիումը հայտնագործված է 1817 թ., պետալիտ միներալի մեջ, շվեդական քիմիկոս Արֆեդսոնի կողմից, մաքուր վիճակում ստացվել է 1855 թ.:

Լիթիումն ամենաթեթև մետաղն է, նրա տեսակարար կշիռն է 0,534. Լիթիումի արտադրություն սկսվել է 20-րդ դարի 20-ական թվականներին և խիստ կերպով աճել է (50 անգամ) 1950—

1955 թթ. բնթացքում, ատոմային արգյունարերուծյան և մասնավորապես ջրածնային սումբերի արտադրության մեջ նրա լայն կիրառման կապակցությամբ: Լիթիումի ատոմները ցիկլոարոնում H պրոտոններով սմբակոծելիս առաջացնում են He ատոմներ: Li և H մասսաների գումարն ավելի մեծ է, քան He երկու ատոմների մասսաների գումարը: Առաջին գումարը կազմում է 8,02631, երկրորդը՝ 8,00778, կորուստը հավասար է 0,01853:

7 գ Li և 1 գ H փոխանցվելով 8 գ He, մասսայի այդպիսի փոքր կորուստով հանդերձ, անջատում են այնքան էներգիա, որը համարժեք է 50 տ. լավագույն բխումային քարածխի այրումից ստացված էներգիային:

Մետաղային Li կիրառվում է համաձուլվածքներում Mg, Al և Be հետ (70% Mg+30% Li համաձուլվածք, 1,4 տեսակարար կշռով) և օգանավաշինության մեջ մինչև 1 տեսակարար կշռով:

Լիթիումի հավելույթը տոկոսի հարյուրերորդական մասերի չափով Pb և Al հաղորդում է կարծրություն, մինչև 10% Li հավելույթը բարձրացնում է պղնձի, բրոնզների, արույրների դեմադրողականությունը խզման նկատմամբ (այսպես կոչվող թնդանոթային բրոնզ): Լիթիումն օգտագործվում է որպես անադի փոխարինող առանցքակալներում, ինչպես նաև ակալային աղումուլյատորներին, էմալի, սպաղու, հախճապակու, քսայուղերի, ներկերի, սասնարանների արտադրության մեջ:

Լիթիումի փոշենման հիդրօքսիդը կլանում է CO₂-ի մեծ քանակություններ և սուղանավերում օգտագործվում է օդը կոնդիցիտն դարձնելու համար:

Լիթիումի կարբոնատի համաշխարհային արտադրությունը 1955 թ. գերազանցել է 10 հազար տոննայից. արտադրվել է գլխավորապես ԱՄՆ-ում, Կանադայից, Հարավային Ռոդեզիայից, Բրազիլիայից, Ավստրալիայից ներմուծված, մասամբ էլ սեփական հումքի բազայի վրա:

Լիթիումի արտադրությունը կազմակերպված է նաև ՍՍՌՄ-ում:

* * *

Լիթիումի կարկը կազմում է 0,005%⁰, էլեմենտը կապված է գրանիտային մագմայի հետ և կուտակվում է պեգմատիտներում, գրեյզներում, բարձր ջերմաստիճանային պնեմատոլիտային և հիդրոթերմալ հանքավայրերում, Be, Ta, Nb, Sn, W, Cs, Rb հետ գուգակցված:

Լիթիումը երբեմն կուտակվում է ազիլ լճերում և հանքային աղբյուրներին ջրերում: Լիթիումի կուտակում նշվում է որոշ հողերի (մինչև 0,5⁰/₁₀Li) և ծխախոտի մոխրի (մինչև 0,44⁰/₁₀Li) մեջ: Լիթիում ստանալու աղբյուրներ ևն հանդիսանում գլխավորապես հետևյալ միներալները՝

- սպողումեն LiAl [Si₂O₆]. մինչև 8⁰/₁₀ Li₂O,
- պետալիտ (Li,Na) AlSi₄O₁₁ . 2—4,9⁰/₁₀ Li₂O,
- ամբլիգոնիտ LiAl (F,OH) (PO₄) . 8—10⁰/₁₀ Li₂O,
- լեպիդոլիտ KLi₂Al [Si₄O₁₀] [F,OH]₂ . մինչև 6⁰/₁₀ Li₂O:

ՀԱՆՔԱՎԱՅՐՆԵՐԻ ԳԵՆԵՏԻԿ ՏԻՊԵՐԸ

1. Գրանիտային մագմայի պեգմատիտներ: Սա շատ տարածված տիպ է և մեծ դեր է կատարում արդյունահանման մեջ: Այս տիպին են պատկանում Կանադայի հանքավայրերը (որոնց թվում 12 միլիոն տոննա 1,25⁰/₁₀ Li₂O պարունակող հանքանյութերի խոշոր պաշարներ ունեցող սպողումենային Լյա Կորն հանքավայրը), Հարավային Ռուզեղիայի (Բիկիտի անագահանքային դաշտի պեգմատիտները լեպիդոլիտի, պետալիտի, սպողումենի և ամբլիգոնիտի հետ), Հյուսիս-արևելյան Բրազիլիայի (զոլավոյ պեգմատիտների կենտրոնական զոնաներում սպողումեն և ամբլիգոնիտ, միկրոկլինի, փայլարի, բերիլի, տանտալ-կոլումբիտի հետ զուգակցված), ԱՄՆ-ի (Էտաս և Տին-Մաունթին սպողումենային հանքավայրերը), Հարավ-արևմտյան Աֆրիկայի (Կարիբիերի լեպիդոլիտ-ամբլիգոնիտային հանքանյութեր), Արևմտյան Ավստրալիայի (Պիրարա՝ պեգմատիտներ տանտալիտի, կասսիտերիտի, սպողումենի հետ) խոշոր հանքավայրերը:

Այս նույն տիպին են պատկանում ՍՄԻՄ-ի խոշոր պեգմատիտային (սպողումենային) հանքավայրերը (Ջավիտինսկի հանքավայրն Անդերբայկալում և ուրիշներ):

Հարկավոր է նկատի ունենալ, որ լիթիումային հանքանյութերը սովորաբար կոմպլեքսային են և մշակվում են միաժամանակ Li, Be, Ta, Nb, Cs, Rb, թանկարժեք քարեր (վարդագույն և պուլֆրոմային տուրմալիններ, վորոբյեվիտներ, կունցիտներ և ուրիշներ) ստանալու համար:

Ինչպես նշում է Վ. Ն. Կուզնեցովը, սպողումենային պեգմատիտային երակներում սպողումենը զուգակցվում է թերթավոր ալբիտի (կլեվելանդիտ) հետ, ընդ որում սպողումենը թարմ է և ալբիտի հետ համեմատած ալելի ուշ է առաջացել:

Պրոցեսները դարձացել են՝ հետևյալ հերթականությամբ, վալիումային մետասոմատոզ (միկրոկլինի առաջացում), նատրիումային մետասոմատոզ (միկրոկլինի տեղակալում ալբիտով), լիթիումային մետասոմատոզ (սպոդուսիտի առաջացում), որոնք իրենցից ներկայացնում են էկերի մեծություններով և K, Na ու Li իոնների շառավիղներով պայմանավորված օրինաչափ գեոքրոնական պրոցեսներ:

2. Պեկամտոլիտային երակներ ու գրեյվեցներ վոլֆրամիտի, կասսիտերիտի, լեպիդոկրիտի, ցիննվալիտի (վերջինի մեջ պարունակվում է $1-3\%$ Li_2O) հետ: Այս տիպին են պատկանում Անդրրայկալի և ՍՍԽՄ-ի Հյուսիս-Արևելքի, Հանքային լեռների, Փորթուգալիայի, Հարավ-Արևելյան Չինաստանի և այլ երկրներին հանքավայրերը: Այս տիպն ունի երկրորդական արդյունաբերական նշանակություն:

3. Որոշ լճերի աղաջրեր, որանդ Li զուգակցվում է K աղերի, սոդայի, Na սուլֆատի, բորակի և բրոմի հետ: Բյուրեղացած աղերի դատարկություններում տեղավորված է $0,02\%$ LiCl (կամ $0,0035\%$ Li) պարունակող հազեցած աղաջուր. վերջինը պոմպի օգնությամբ հանվում է և գոլորշիացվում: Այս տիպին է պատկանում Միրլու լճի (Կալիֆոռնիա) հանքավայրը Li խոշոր պաշարներով, որն զգալի զեր է կատարում ԱՄՆ-ի լիթիումային արդյունաբերության մեջ:

4. Կարլովա Վարայի (Չեխոսլովակիա), Վիշիի (Ֆրանսիա), Գյուրկհեյմի (Գերմանիա) հանքային աղբյուրների ջրերը, որոնք պարունակում են մինչև $0,4\%$ LiCl և լիթիում ստանալու համար կարող են ներկայացնել արդյունաբերական հետաքրքրություն:

ՅԵԶԻՈՒՄ (Cs) ԵՎ ԻՈՒԲԻԴԻՈՒՄ (Rb)

Հայտնաբերված են 1860—1861 թթ.:

Ցեզիումի կլարկը կազմում է $7 \cdot 10^{-4}\%$, ուլերիդիումինը՝ $3 \cdot 10^{-20}\%$:

Ցեզիումը և ուլերիդիումն արդյունաբերական կիրառում են ստացել ռադիոտեխնիկայում, ավտոմատ վերահսկիչ և հաշվիչ սարքերում, հնչուն կինոյում (ֆոտո-էլեմենտների ձևով), բժշկության մեջ, պայթուցիչներում (Cs շատ ուժեղ կատիոն է հեշտությամբ միանում է թթվածնի հետ) և վակուումային լամպերում: Շատ թույլ լույսի աղբյուրի ազդեցությամբ տակ ուլ-

բիգիտումն ընդունակ է էլեկտրոններ ճառագայթելու. Rb^{87} իզոտոպը, որի $T=6,3 \cdot 10^{10}$ տարու, սադիոակտիվ է և վոտանցվում է Sr^{87} :

Երկու էլեմենտն էլ գեոքիմիայես սերտորեն կապված են գրանիտային մագմայի հետ և կուտակվում են պեգմատիտներում Li , Be , Ta , Nb հետ միասին, առանձնապես Na -ով (ալլիտ) և Li -ով (սպորդումեն, լեպիդոլիտ) հարուստ պեգմատիտներում:

Cs և Rb ամենամեծ կուտակում տալիս են պոլլուցիտ $Cs [AlSi_2O_6] \cdot H_2O$ միներալում, որը շատ նման է կվարցին (պոլլուցիտի տեսակարար կշիռը 2,975 է, $N=1,520$, կարծրությունը 5,25-6,5), պարունակում է 23,5-ից մինչև 36,5% Cs_2O և մինչև 3,73% Rb_2O :

Cs և Rb խառնուրդ հանդիպում է լիթիումի և բերիլիումի միներալներում՝ Վոջինա հանքավայրի (Ալստրալիա) սպիտակ բերիլիումում պարունակվում է 0,72% Cs_2O , մոխրագույն բերիլիումում՝ 0,92% Cs_2O :

Լեպիդոլիտը պարունակում է մինչև 0,77% Rb , շատ պեգմատիտների կանաչ ամազոնիտը և կալիշպատը պարունակում են Cs և Rb -ի համեմատաբար բարձր քանակություները:

Երկու էլեմենտն էլ առկա են ադի կուտակներում, առավելապես կարնալիտում, ինչպես նաև մի շարք հանքային ադրյուրների ջրերում: Հողերը պարունակում են մինչև 0,2% Rb և 0,05% Cs , շաքարեղեգնի մոխիրը պարունակում է մինչև 0,2% Rb :

Պոլլուցիտի արդյունաբերական հանքավայրեր հայտնի են ԱՄՆ-ում, Հարավ-Աֆրիկյան Միությունում, Շվեդիայում, ՍՍՌՄ-ում:

Առանձին երկրների համար Cs և Rb հանույթի մասին տվյալներ չեն բերվում. Cs և Rb գլխավոր ադրյուր են հանդիսանում պոլլուցիտային հանքանյութերը, ինչպես նաև կարնալիտը (Գերմանիա):

ՀԱԶՎԱԳՅՈՒՏ ՀՈՂԵՐ՝ ԼԱՆՏԱՆԻԴՆԵՐ (TR)

ԵՎ ՍԿԱՆԴԻՈՒՄ (Sc)

Հազվագյուտ հողային էլեմենտները միասին կազմում են երկրի կեղևի մոտ 0,005%⁰, ընդ որում այդ քանակությւնի 1/3 մասը բաժին է ընկնում ցերիումին:

Հազվագյուտ հողային էլեմենտների մեջ առանձնացնում են կրկու խումբ՝ ցերիումի խումբ—Ce, La, Pr, Nd, Cy, Sm, Eu [ցերիում, լանտան, պրազեոդիմ, նեոդիմ, ցիկոնիում (№ 61), սամարիում, եվրոպիում] և իտտրիումի խումբ—Y, Gd, Tb, Dy, Ho, Er, Tu, Yb, Lu (իտտրիում, գադոլինիում, տերբիում, դիսպրոզիում, հոլմիում, էրբիում, Կուրիում, իտտերբիում՝ լյուտեցիում):

Արդյունաբերության մեջ ցերիումը վաղուց ի վեր կիրառվում է ալրիչների գաղային կախարիչներում (պարունակում են 99⁰/₁₀₀ Th+1⁰/₁₀₀ Ce), նեոնային լամպերում, Al և Mg հետ համաձուլվածքներում, ինչպես նաև CeO₂ ձևով օպտիկական ապակիների հղման համար: Վերջին տարիներս ցերիումը (0,02—0,2⁰/₁₀₀) ավելացվում է շուգունին և պողպատին, որպես լեգիրող մետաղ: Հանտանը կիրառվում է կերամիկայում և Al հետ համաձուլվածքներում, իսկ La-ի օքսիդը կիրառվում է որպես մետաքսը ծանրացնող նյութ:

Մյուս հազվագյուտ հողային էլեմենտներից սկսում է արդյունաբերական մեծ նշանակություն ձեռք բերել իտտրիումը ազեղավոր լամպերի էլեկտրոդներում, հատկապես ուլտրամանուշակագույն ճառագայթներ ստանալու համար:

Փոքր քանակությամբ կարևոր կիրառում են ստացել պրազեոդիմը (համաձուլվածքներում Al հետ, ալիսայիայում) և տուլիումը (գյուլրակիր ռենտգենյան ապարատների արտագրության մեջ):

Հանտանիդների գեոքիմիական խումբն ամենասերտ կերպով կապված է ալկալային և թթու ինտրուզիաների հետ և կուտակվում է պեգմատիտներում, գրեյզեններում, սկաններում, մասամբ հիդրոթերմալ գոյացումներում:

Հազվագյուտ հողային էլեմենտների գլխավոր աղբյուրներն են հանդիսանում՝ մոնացիտը (Ce, La...) PO₄ մինչև 68⁰/₁₀₀ TR₂O₃, բսնոտիմը YPO₄ մինչև 63⁰/₁₀₀ TR₂O₃, լուպիտը (Na, Ce, Ca) (Nb, Ti)O₃ մինչև 34⁰/₁₀₀ TR₂O₃ և գադոլինիտը Y₂FeBe₂Si₂O₁₀: Օրտիտը պարունակում է մինչև 23⁰/₁₀₀ Ce₂O₃+La₂O₃, մոնացիտը մինչև 5⁰/₁₀₀ Y₂O₃, ապատիտը և լովչորիտը մինչև 1,5⁰/₁₀₀ Y, փայլարները և առպազը պարունակում են մինչև 1⁰/₁₀₀, իսկ կասսիտերիտը՝ մինչև 0,1⁰/₁₀₀ TR₂O₃:

Արդյունաբերական նշանակություն ունեն արմատական

հանքավայրերը, ինչպես նաև մոնացիտի և քսենոտիմի ծովա-
յին և ավյուղալիալ ցրոնները (ՍՍՌՄ, Բրազիլիա, Հնդկաստան):

Սկանդիումը (Sc) մի շարք հատկութիւններով մոտ է
իտորիումին խմբի էլեմենտներին: Նախագուշակված է Գ. Ի.
Մենդելեևի կողմից 1871 թ. որպես էկարբ, իսկ հայտնաբերված
է 1879 թ. Նիլսոնի կողմից:

էլեմենտի կլարիլը կազմում է $0,0006\frac{0}{0}$:

Սկանդիումը իզոմորֆ կերպով մտնում է կոլումբիտի և
մալակոնի (մինչև $1\frac{0}{0}$), սկանդային զոնաների երկաթով աղքատ
գրանատների ($0,01-0,5\frac{0}{0}$), օրտիտի ($0,02-0,1$ -ից մինչև $1\frac{0}{0}$),
մուսկովիտի (մինչև $0,4\frac{0}{0}$), ինչպես նաև վոլֆրամիտի, կասսի-
տերիտի (մինչև $0,1-1\frac{0}{0}$ ScO_2), բերիլիի, տուրմալինի (մինչև
 $0,04\frac{0}{0}$ ScO_2), երբեմն էլ հիպերբասիտների պիրոքսենի մեջ (մին-
չև $0,01\frac{0}{0}$):

Քարածուխների մոխրի մեջ պարունակվում է $60-400$ գ/տ.
սկանդիում: Հիդրոկարբոնատային իոն պարունակող ջրերը հա-
րուստ են սկանդիումով (մինչև $50-60$ մգ/լիտր):

Սկանդիումի արդյունահանումը կատարվում է վոլֆրամի-
տային և կասսիտերիտային կոնցենտրատներից:

Սկանդիումի հալման ջերմաստիճանն է $1400^{\circ}C$, իսկ բարձր
էլեկտրահաղորդականութունն ունեցող սկանդիումի նիտրիդինը
(ScN)՝ $2900^{\circ}C$: Տվյալներ կան այն մասին, որ սկանդիումը
և նրա նիտրիդը կիրառվում են էլեկտրատեխնիկայում և բարձր
ջերմաստիճաններին դիմացող համաձուլվածքների մեջ:

ԲՈՐ (B)

Բորն առաջին անգամ մաքուր վիճակում ստացվել է
1808 թ.:

Մետաղային բորը կարծր է և դյուրաբեկ: Կախորեն կիրառ-
վում է հատուկ պողպատների (մտցվում է FeB-ի ձևով) մետա-
լուրգիայում, որտեղ B ազդեցութունը պողպատի վրա համա-
նման է C ազդեցությանը, բայց շատ ավելի էֆեկտիվ է: Ti-ի
և W-ի բորիդները շատ կարծր և դժվարահալ են, բորի կարբիդ-
ները (B_2C և B_3C) ալմաստից ավելի կարծր են և քերծում են
այն:

Կիրառվում է արագ կտրող պողպատների «բորացում» և

В-ն օգտագործվում է որպես հավելույթ Al, Cu, Ni համաձուլվածքներում:

Հայտնի են երկու իզոտոպներ՝ B^{10} (18,83⁰%) և B^{11} (81,17⁰%)։ B^{10} ուժեղ կերպով կլանում է նեյտրոնները և միջուկային ֆիզիկայում կիրառվում է տարբեր նպատակների համար. բորի նույնիսկ փոքր պարունակությունը խանգարում է միջուկային շղթայավոր սեակցիաներին:

Բորի կլարկը կազմում է $3 \cdot 10^{-4}$ 0/0, կապված է թթու գրանիտային մագմաների հետ. կուտակվում է պեգմատիտներում, պնեմատոլիտային գոյացումներում և սկաններում. էկզոգեն պայմաններում բորատների ձևով կուտակվում է Na-ի ու Mg-ի աղերի հետ միասին և աղի լճերում (B 0,06⁰%) և ավելի):

Բորի հիմնական աղբյուրներն են բորատները՝ բորակ ($Na_2B_4O_7 \cdot 10H_2O$), աշարիտ ($MgHBO_3$), բորացիտ ($Mg_3B_2O_6$ Cl_2), Ռիզոբորացիտ ($MgCaB_6O_{11} \cdot 6H_2O$) և ուրիշն., ինչպես նաև դատուիտը $CaBSiO_4[OH]$ և լյուզվիզիտը $[Mg, Fe]_2 Fe[BO_3]O_2$. վերջին երկու միներալները երկաթի և բազմամետաղ որոշ հանքավայրերի սկանային զոնաներում առաջացնում են արդյունաբերական կուտակումներ:

ԿԱԳԻՄԻՈՒՄ (Cd)

Կազմիումը հայտնագործվել է 1817 թ. և բավական լայն արդյունաբերական կիրառում է ստացել 20-րդ դարի սկզբից: 1953 թ. մետաղային կազմիումի արտադրանքը հասել է 7500 ա. արտադրվել է գլխավորապես ԱՄՆ-ում, ցինկի ստացման հետ գուզընթաց:

Կազմիումը կիրառվում է բարիտներում, հատուկ դյուրահալ համաձուլվածքներում, մետաղապատման գործում (Sn և Zn փոխարեն), կազմիումի բրոնզներում (մինչև 1⁰ Cd) և ներկերի արտադրություն մեջ: Պղինձ-կազմիումային մետաղալարը լայն կիրառում է ստացել տրոլեյի էլեկտրահաղորդալարերի (կազմիումի ոչ մեծ խառնուրդը խիստ կերպով իջեցնում է մաշումը) արտադրություն մեջ: Կազմիումը կիրառվում է նաև առանցքա-կալային համաձուլվածքներում, ավիալային ակումուլյատորներում և ֆոտոէլեմենտներում:

Տեղեկություններ կան այն մասին, որ Cd-ի սուլֆիդի (CdS)

րազայի վրա պատրաստում են բարձր օգտակար զործողության գործակից ունեցող արեգակնային մարտկոցներ ($0\text{?}\text{? } 8\%$, մարտկոցի թերությունները վերացնելուց հետո կարելի է հասցնել մինչև 20%):

* * *

Կադմիումի կլարիլը կազմում է $0, 00005\%$, պարունակվում է սովորաբար բաց գունավորված սֆալերիտների մեջ մինչև $0,5-1$, իսկ երբեմն 5% չափով (կադմիումով շատ հարուստ սֆալերիտի տարրերակ պրշիբրամիտի մեջ):

Կադմիումի արդյունահանման հիմնական աղբյուր են հանդիսանում ցինկի կոնցենտրատները:

Հայտնի են կադմիումի ինքնուրույն միներալներ՝ գրինոկիտ (CdS) 77% Cd պարունակությամբ և օտավիտ (CdCO_3) $74,5\%$ CdO պարունակությամբ, սակայն սրանք խոշոր կուտակումներ չեն տալիս և սովորաբար ներկայացնում են միայն միներալոգիական հետաքրքրություն:

Հետաքրքիր է նշել, որ որոշ փափկամորթների մարմնի չոր նյութի մեջ հայտնաբերված է (մինչև $0,04\%$) Cd :

ԳԱԼԼԻՈՒՄ (Ga)

Գալլիումի հատկություններով մի էլեմենտ 1869 թ. հատկառշակված է Դ. Ի. Մենդելեևի կողմից և նկարագրված է կապյումիինիում անվան տակ: 1874 թ. Ֆրանսիական քիմիկոս Լեկոկ-Դե-Բուաբոդրանը պիրենեյան սֆալերիտի սպեկտրալ անալիզի ժամանակ հաստատել է մի նոր էլեմենտ և անվանել գալլիում, որն իր հատկություններով համապատասխանել է կապյումիինիումին:

Հետաքրքրական է նշել, որ Մենդելեևը Ֆրանսիական Ակադեմիայի անունով ուղղված հատուկ նամակում գրել է նոր էլեմենտի տեսակարար կշռի ($4,7$) սխալ որոշման մասին և նշել է, որ գալլիումի (էկապյումիինիումի) տեսակարար կշռը իր կողմից նկարագրված մյուս հատկություններին համապատասխան, պետք է կազմի $5,9-6,0$. դա վայելուն կերպով հաստատվեց կրկնակի որոշումներով, որոնք տվեցին $5,96$ մեծություն:

Գալլիումի ուշագրավ հատկություններն են հանդիսանում հալման ցածր ($29,75^\circ\text{C}$) և եռման բարձր ($2000-2100^\circ\text{C}$) ջերմաստիճանները. այդ լայն ինտերվալում գալլիումը կիրառ-

վում է չափող և մետալուրգիական պրոցեսները վերահսկող ջերմաչափերի մեջ: Գալլիումը Cd և Zn հետ միասին կիրառվում է մետաղային գոլորշիներով աշխատող լամպերի մեջ, ինչպես նաև ազդանշանային և ավտոմատիկ սարքերում, ուղիորամպերում, բարձր բեկում ունեցող օպտիկայից ապակիներում և հոսանքի համուղղիչներում (սնդիկի փոխարեն):

Գալլիումը, անկասկած, լայն կիրառում կգտնի ավտոմատիկայում և էլեկտրոնիկայում:

* * *

Գալլիումի կյարկը կազմում է $0,0015^0/0$, նա զուգակցվում է Al հետ, սրբ, հալանարար, պայմանավորված է Al ($0, 57\text{\AA}^0$) և Ga ($0,62\text{\AA}^0$) շառավիղների մոտիկությամբ: Գալլիումի ինքնուրույն միներալներ հայտնի չեն, մաքսիմում կուտակում (մինչև $2^0/0$) հաստատված է Հարավ-արևմտյան Աֆրիկայի Տոմեելի հանքավայրի գերմանիտում $\text{Cu}_3(\text{Ge, Ga, Fe, Zn})\text{S}_4$:

Գալլիումի համեմատաբար բարձր պարունակություններ հանդիպում են ալյումինիումով հարուստ միներալներին՝ նեֆելիտին ($0,01-0,1^0/0$ և ավելի), մուսկովիտին (մինչև $0,1^0/0$), սպոդուսենին (մինչև $0,07^0/0$), ինչպես նաև բաց գունավորված սֆալերիտներին ($0,01-0,1$, մինչև $0,22^0/0$ պիրենեյան սֆալերիտում), զիսապորի, բոքսիտի, սրոշ քարածուխների (այրումից հետո մոխրի մեջ պարունակվում է $0,04-1,58^0/0$ Ga) մեջ:

Արդյունաբերական մասշտաբներով զալիումն ստացվում է սֆալերիտի կոնցենտրատներից, ինչպես նաև գալլիում պարունակող քարածուխներից գազոզեներատորային գազի արտադրության ընթացքում ստացվող փաշուց:

Գալլիումի Համաշխարհային արտադրանքը 1955 թ. կազմել է մի քանի տոննա (ԱՄՆ, Անգլիա, Գերմանիա):

Նեֆելիտային կոնցենտրատներից և նեֆելիտային սիենիտներից կավանող ստանալու կապակցությամբ մեծ հետաքրքրություն է ներկայացնում նեֆելիտի հետ կապված գալլիումի ստացման մեթոդների մշակումը:

Գալլիումը կուտակվում է ալյումինիումի հետ միասին, ընդ որում առաջին կարբոնատացումից հետո կավանողի հիդրատը պարունակում է ընդամենը $0,005^0/0$, իսկ երկրորդ կարբոնատացումից հետո արգեն մոտավորապես $0,1^0/0$ Ga.

Հաշվի առնելով նեֆելիտային ապարներից կավանող ստանալու հսկայական մասշտաբները, զուգընթացաբար կարելի է ստանալ տասնյակ տոննաներ գալլիում:

Գերմանիումը նախագուշակվել է 1871 թ. Գ. Ի. Մենդելևեի կողմից և անվանվել է կա-սիլիցիում: Նույն ժամանակ էլ նկարագրվել են էլեմենտի հիմնական հատկությունները (ատոմական կշիռը 72, տեսակարար կշիռը 5,5), որոնք համարյա ճշտորեն համընկնում են ավելի ուշ, 1886 թ. որոշված հատկությունների հետ (ատոմական կշիռը 72,6, տեսակարար կշիռը 5,47), երբ գերմանիումը հայտնագործվել է գերմանական քիմիկոս Ս. Վինկլերի կողմից:

Հետաքրքիր է նշել, որ Վինկլերն ութ անգամ կրկնել է Տաուսեր (Հարավ-Արևմտյան Աֆրիկա) հանքավայրից բերված նոր միներալի լրիվ անալիզը և ամեն անգամ գումարը համարյա 7% չի համընկել. այստեղից նա արել է ճիշտ եզրակացություն միներալի կազմում անհայտ էլեմենտի առկայության մասին, որը նա անվանել է գերմանիում: Անալիզի համաձայն միներալը պարունակել է 74,92% Ag, 6,33% Ge, 17,13% S, 0,88% Fe+Zn և 0,31% Hg. միներալն անվանվել է արգիրոգիտ. նրա ֆորմուլան է Ag_8GeS_6 :

Գերմանիումն սկսել է կիրառվել երկրորդ համաշխարհային պատերազմի տարիներին կիսահաղորդիչների հատկություններով օժտված բյուրեղային գեդեկտորներ ստանալու համար: Արդյունաբերական նշանակություն ձեռք բերած գերմանիումային գործիքները առաջին տիպը դիոդն էր, որն իրենից ներկայացնում է շատ մաքուր գերմանիումի թիթեղիկին սեղմված մետաղյա բարակ բեղիկ: Բեղիկին և թիթեղիկին զոզված են էլեկտրական հաղորդիչներ և բոլորը միասին ամփոփված է եզրպատյոցներին հատիկի մեծություն փամփուշտի մեջ: Այդպիսի էլեմենտը գործում է որպես բյուրեղային համուղղիչ և կատարում է նույն ֆունկցիաները, ինչ որ վակուումային դիոդային լամպը, ունենալով մի շարք առավելություններ չափերի, շատ փոքր հզորություն ծախսելու և հուսալի լինելու մեջ:

1948 թվականից կիրառվում են գերմանիումի տրիոդներ, որոնք հայտնի են որպես տրանզիստորներ: Նրանց փոքր չափերը, աշխատանքի մեջ հուսալիությունը և հարատևությունը (ծառայության ժամանակամիջոցը մինչև 10 տարի), թույլ են տալիս նշանակալից բարելավումներ մտցնել կոմունիկացիոն ապարատության, հաշվիչ-վճռող մեքենաների կառուցվածքների ու ցուցանիշների մեջ և էլեկտրոնիկայի այլ բնագավառներում:

Գերմանիումը կիրառվում է նաև ռադիոտեխնիկայում՝ Ֆոտո-էլեկտրական գործիքներում և փոփոխական հոսանքի ու միկրոալիքների գերմանիումային համուլղիչներում, հեռուստատեռության մեջ, ռադարային սարքավորումներում և պոլյարոգրաֆիկ ապարատներում: Գերմանիումի փոքր քանակություներ կիրառվում են համաձուլվածքներում ալյումինիումի, մագնեզիումի, պղնձի, արծաթի, ոսկու հետ, ինչպես նաև գերմանիումի կրկնօքսիդի ձևով ապակուն խառնվող հավելույթների մեջ (բարձրացնում է ապակու բեկման և դիսպերսիայի ցուցիչը):

Գերմանիումի պրեպարատները հաջողությամբ կիրառվում են սակավարյունությունը և քնախտը բուժելիս (գերմանիումը խթանում է արյան կարմիր գնդիկների առաջացումը):

Գերմանիումի համաշխարհային արտադրանքը 1955 թ. կազմել է մոտ 20 տ., որից 18 տ. ԱՄՆ-ում, մնացածը գլխավորապես Անգլիայում. գերմանիումի արտադրություն կազմակերպված է նաև ՍՍՌՄ-ում:

* * *

Գերմանիումի կլարիվ կազմում է $0,0007\%$. նա կուտակվում է հիդրոթերմալ բաղամասեռաղ և պղնձային հանքանյութերում (ավելի հաճախ արծաթով, անագով, մկնդեղով հարուստ հանքանյութերում), նստվածքային երկաթ-մանգանային հանքանյութերի և քարածուխների մի քանի տիպերում:

Ներկայումս գերմանիումի հիմնական աղբյուրն են հանդիսանում Տրիստեյտ (ԱՄՆ) հանքավայրի ցինկային կոնցենտրատները, որոնք պարունակում են $0,01-0,1\%$ Ge, ինչպես նաև Անգլիայի և ՍՍՌՄ որսչ հանքավայրերի քարածուխների մոխիրն ու մուրը:

Անհրաժեշտ է նկատի ունենալ նաև գերմանիումի հետեյալ հնարավոր աղբյուրները: Ի տարբերություն ցրված մետաղների մեծամասնության, գերմանիումը առկա է ոչ միայն ուրիշ միներալներում խառնուրդի ձևով, այլև կազմում է ինքնուրույն, գերմանիումով հարուստ միներալներ՝ գերմանիտ, արգիրոգիտ և կանֆիլիտ:

Արդյունաբերական քանակություներով գերմանիտ (պիրիտի, տեննանտիտի, էնարգիտի, գալենիտի և սֆալերիտի հետ զուգակցված) գտնված է Հարավ-Արևմտյան Աֆրիկայի Տուսեթր հանքավայրի հանքանյութերում: Գերմանիտը— $Cu_3 (Ge, Ga, Fe,$

Zn) S_4 , պարունակում է $6-10\%$ Ge և մինչև 2% Ga. Այստեղ աշխատանքներ են սկսված գերմանիումային հանքանյութերի մշակման և նրանցից գերմանիում ստանալու ուղղությամբ: Գերմանիտի հանքավայր հայտնի է նաև Հնդկաստանում:

Արգիրոգիտ— Ag_8GeS_6 , մինչև 7% Ge պարունակությամբ և կաճֆիլիդիտ— $Ag_8(Sn, Ge)S_6$, մինչև 2% Ge պարունակությամբ գտնված են Բոլիվիայի և Ֆրեյերգրի արծաթով և անագով հարուստ հանքավայրերում և նույնպես կարող են ծառայել գերմանիում ստանալու աղբյուր¹:

Պաոնուրդի ձևով գերմանիում գտնված է կատանգայի և Հյուսիսային Ռոզեզիայի հանքանյութերում (որոնցից նա ստացվում է), մի քանի հանքավայրերի բաց գույնի սֆալերիտներում (մինչև $0,01-0,1\%$), վյուրացիտում (մինչև $0,3\%$), էնարգիտում (մինչև $0,1\%$ և ավելի)², պլրարգիրիտում (մինչև 1%), ստաննինում, լավկոպիտում, կասսիտերիտում, խունացած հանքանյութերում, ինչպես նաև ուուտիլում, ցիբիկոնում, քրոմիտում, իլմենիտում, տոպազում (մինչև $0,1\%$), կալամի-նում, կվարցում ($0,001-0,01\%$):

Անգլիայի և մյուս երկրների որոշ հանքավայրերի քարածուխներում պարունակվում է մինչև $0,003\%$ Ge և համարյա նույնքան էլ Ga: Այրումից հետո մոխիրը պարունակում է $0,01-0,015\%$ Ge, իսկ որոշ նյութերի հավելումով կարելի է գերմանիումի մեծ մասը պահել մոխրում: Ծխնելու յգների մուրը պարունակում է մինչև $0,5-2\%$ Ge, որը ներկայացնում է արդյունաբերական հետաքրքրություն:

ԻՆԳԻՈՒՄ (In)

Ինդիումը հայտնաբերված է 1863 թ. Ռեյսերի և Ռիխտերի կողմից Ֆրեյերգր հանքավայրի սֆալերիտի սպեկտրալ անալիզի ժամանակ:

Ինդիումի մեծ մասը ծախսվում է փոփոխական հոսանքի գերմանիումի համուղղիչների (ծախսված գերմանիումի 10%

¹ Հայտնի են նաև գերմանիումի ուրիշ, առայժմ դեռ թույլ ուսումնասիրված միներալներ՝ սելենիերիտ, օրանդ-բորնիտ, ուլտրաբազիլտ:

² Էնարգիտի հետ երբեմն զուգակցվում են գերմանիումի միներալները՝ գերմանիտը (Cu_3GeS_4) և ուրիշներ, որոնք ըստ կազմության մոտ են էնարգիտին (Cu_2AsS_4) և մանրագույն միկրոսկոպիկ մասնիկների ձևով ցրված են նրա դաշտերի մեջ:

չափով) արտադրության մեջ, թերմոէլեմենտներում, գալվանո-
մետրերում, լուսաբծակները հայելիները ծածկելու համար, հե-
ռագրատակները օրյեկտիվների ցանցերում: Ինդիումը կիրառվում
է նաև արագընթաց ինքնաթիռների շարժիչների առանցքակա-
լային համաձուլվածքներում, պողպատե օդապուռտակները պա-
տելու համար և մետաղը ապակուն կցող զոդվածքներում ($77,5\%$
 $\text{Au} + 22,5\%$ In):

Ինդիումի ժամանակակից արտադրությունը, որը տարե-
կան կազմում է մոտ 30 տ. (Կոնադայի Սուլլիվան հանքում՝
20 տ. և ԱՄՆ-ում՝ 5 տ.), սաացվում է ցինկի կոնցենտրատներից:

* * *

Ինդիումի կլարիդ կազմում է $0,00001\%$, ինքնուրույն
միներալներ հայտնի չեն: Ինդիումը խառնուրդի ձևով մտնում
է մարմատիտի (սֆալերիտի մուգ երկաթային տարրերակ),
ինչպես նաև կոլլոիդալ կասսիտերիտի և սուլֆոստաննատների
(կիլիմդրիտ և ուրիչն.) կազմության մեջ, ընդ որում այդ մի-
ներալներում ինդիումի պարունակությունը տատանվում է լայն
սահմաններում՝ $0,01$ -ից մինչև $0,1\%$, երբեմն հասնելով 1% : Ա-
ռանձնացվում են ինդիումով հարուստ մարգեր (Բրիտանական
Կոլումբիա, Բուլիվիա, Սովետական Պրիմորյե և Հեռավոր Արե-
վելք, Միչիգն Ասիա, Անդրկովկաս և ուր.):

ՌԵՆԻՈՒՄ (Re)

Ռենիումը նախագուշակված է 1869 թ. Գ. Ի. Մենդելեևի կող-
մից և նկարագրված է դվի-մանգան անվան տակ. 1887 թ. ռուսա-
կան քիմիկոս Ս. Կերնը հրապարակում է հաղորդադրություն ուլա-
տինային մնացորդներում դվի-մանգանին իր հատկություննե-
րով շատ մոտիկ նոր էլեմենտի՝ ռենիումի հայտնաբերման մասին:

Պաշտոնապես ռենիումը հայտնագործել են 1925 թ. մոլիբ-
դենիտում, Նոգդակ ամուսինները և Ի. Տակեն, իսկ միաժամա-
նակ, նրանցից անկախ, պիրոլյուզիտից ռենիում ստացել է նաև
Ի. Գրուցեն:

Ռենիումի տեսակարար կշիռը մոտ 21 է, հալման ջերմաս-
տիճանը՝ 3440°C (այլ տվյալներով 3160°C) է, ադաթթվի ու
ֆտոր ջրածնային թթվի նկատմամբ թթվակալուն և մի շարք
հատկություններով մոտ է Mo, W, Os:

Հայտնի է ռենիումի 11 իզոտոպ և նրանց թվում Re^{187}
առդիոակտիվ իզոտոպը $4 \cdot 10^{12}$ տարի կիսատրոհման ժամանակա-

շրջանով, որը փոխանցվում է Os^{187} , Բերիլլիումի գունդադ նեյտրոններով կամ դեյտերիումով (ծանր ջրածնի ատոմներով) կամ թե Li -ի արագ նեյտրոններով ուրակոծելու ժամանակ ունի-ումը հանդես է բերում ակտիվություն 76 կամ 90 (186 էդո-տոպի համար) ժամ կիսատրոհման ժամանակաշրջանով:

Ռենիումը շատ թանկարժեք մետաղ է, որի կիրառման բնագավառն արագորեն ընդարձակվում է: Կիրառվում է թեր-մոէլեմենտներում (համաձուլվածքներում Pt հետ), էլեկտրալամ-պերի վոլֆրամային թելերը ունիումապատելու համար (որը 5 անգամ երկարացնում է լամպերի ծառայության ժամանակա-միջոցը), թերմոպարերում մինչև $2000^{\circ}C$ ջերմությունը չա-փելու համար, որպես պլատինի փոխարինող (իրրե կատալիզա-տոր), ինքնահոս գրիչների ծայրապանակների համաձուլվածք-ներում (2% Re, $50-90\%$ W և Cr, մինչև 30% Fe և Ni կամ Co): Համեմատաբար բարձր էլեկտրոնային առաքման շնորհիվ ունիումը շատ լայն կիրառում կգտնի ռադիոտեխնիկայում, հեռուստատեխնիկայի մեջ, վակուումային տեխնիկայում:

Ռենիումի ժամանակակից արտադրությունը հիմնականում կենտրոնացած է ԱՄՆ-ում և Գերմանիայում: Մանսֆելդի գոր-ծարանը (Գերմանիա) դեռ մինչև 1939—45 թթ. պատերազմը ընդամենը $0,018\%$ Mo պարունակող պղնձային թերթաքարերից (մոլիբդենի կոնցենտրատում 100 գ/տ. Re) արտադրում էր տա-րեկան 200 կգ ունիում:

1956 թ. ԱՄՆ-ում պլանավորված էր 5 տ. ունիումի ստացում մոլիբդենիտային կոնցենտրատներից. ունիումի զգալի քանա-կություն է ստացվում ՍՍՌՄ-ում:

Ռենիումի կլարիը $1 \cdot 10^{-7}\%$ է. կուտակվում է սուլֆիդա-յին հիդրոթերմալ հանքավայրերում Mo (Mo և Re իոնների շտապվիդները համընկնում են և հավասար են $0,68 \text{ \AA}$), մասամբ Sn, W, Ni հետ միասին:

Ռենիումի բարձր պարունակություն կա Ֆինլանդիայի գագոլինիտում ($Y_2 Fe Be_2 Si_2 O_{10}$), ինչպես նաև որոշ տան-տալ-նիոբատներում:

Ռենիումի ինքնուրույն միներալներ հայտնի չեն: Ամենա-ուևալ արդյունաբերական աղբյուրը, որից ստացվում է ունիում հանդիսանում են $2-20$ գ/տ. մինչև $200-300$ գ/տ. ($0,02-0,03\%$), իսկ առանձին դեպքերում ավելի շատ (մինչև $0,1-$

0,25%) ունիում պարունակող մոլիբդենիտային կոնցենտրատները¹:

Ռենիում ստանալու համար լրացուցիչ ազդու է կարող են հանդիսանալ պղինձ-մոլիբդենային հանքավայրերի պղնձային կոնցենտրատները (պարունակում են մինչև 5—10 գ/տ. Re), որոնց ձուլման ժամանակ ունիումը կուտակվում է թորանոթային (կոնվերտորային) փոշու մեջ:

Հետաքրքիր է նշել, որ այն ժամանակ, երբ մի շարք հանքավայրերի սուլֆիդային հանքանյութեր պարունակում են 0,5—5 գ/տ. Re, այդ նույն հանքանյութերի օքսիդացած տարբերակներում ունիումը բացակայում է, կամ առկա են միայն նրա հետքերը: Գա կապված է ունիումի դյուրալուծելիության հետ (հանքաջրերում պարունակվում է 0,006 մգ/լ. Re):

ՏԱԼԼԻՈՒՄ (Tl)

Տալլիումը հայտնաբերված է 1861 թ., իսկ արդյունաբերական կիրառում է ստացել վերջին տասնամյակում: Կիրառվում է առանցքակալային համաձուլվածքներում (72% Pb + 15% Sb + 5% Sn + 8% Tl), Pb, Ag, Cu հետ կազմվող համաձուլվածքներում, իրրե հավելույթ էլեկտրալամպերի վելֆրամային թելերում, որպես կիսահաղորդիչ նյութ և բարձր բեկման ցուցիչ ունեցող օպտիկական ապակիների և ֆոտոէլեմենտների արտադրության մեջ:

Տալլիումի սուլֆատը խիստ թունավոր է, կիրառվում է բժշկության մեջ և իրրե ինսեկտիսիդ:

Տալլիումի արտադրությունը տարեկան կազմում է մոտ 10 տ. արտադրվում է գլխավորապես Գերմանիայում, որտեղ ստացվում է գունավոր մետաղների հետ գուլգընթաց:

Տալլիումի կլարկը $3 \cdot 10^{-4}\%$ է, հայտնի են տալլիումով հարուստ ինքնուրույն միներալներ՝ լորանդիտ $TlAsS_2$ 60% Tl պարունակությամբ, վրեաիտ $Tl(As, Sb)_3S_5$ 32% Tl պարունակությամբ և բավական հազվագյուտ մի շարք այլ միներալներ, որոնք զուգակցվում են ցածր ջերմաստիճանային հիդրոթերմալ

¹ Ռենիումի ամենաբարձր պարունակությունները դանիա են Շվեդիայի Լայնեժուր հանքավայրի մոլիբդենիտում (0,25% Re):

հանքավայրերի ռեալգար-աուրիպիգմենտային և հազվագեղ սնտիմոնիտ-կինովարային հանքանյութերի հետ: Տալլուումի խառնուրդ մինչև $0,1^0/0$ և երբեմն ավելի (մինչև $1^0/0$) քանակությամբ հանդիպում է պիրիտում, մարկագլիտում, ցածր ջերմաստիճանային սֆալերիտում, գալենիտում, ինչպես նաև հիդրոթերմալ ծագում ունեցող բյուրեղային պիրոլյուզիտ-պսիլոմելանային հանքանյութերում (Անդրկովկաս):

Ըստ Ա. Ե. Ֆերմանի, տալլուումը կուտակվում է նաև կալիումով և ուրբիդիումով հարուստ մնացորդային աղային լուծույթներում:

ՏԵԼԼՈՒՐ (Te)

Տեղուրը հայտնաբերված է 1782 թ., սկսել է քայական լայնորեն կիրառվել վերջին երկու տասնամյակում: Կիրառվում է կարելների մեջ որպես հավելույթ կապարին (տալիս է $20^0/0$ կապարի տնտեսում), ինչպես նաև բարբիաներին ($0,1-1^0/0$ Te), թերմոպարերում (Cu և Pt հետ), ցերեկային լույսի լամպերում և, վերջին տարիներս, իրրև շատ բարձր ցուցանիշներ ունեցող կիսահաղորդիչ նյութ (PbTe և ուրիշ տեղուրիդներ):

Տեղուրի միացությունները կիրառվում են կաուչուկի արդյունաբերության մեջ և կրէկինգ-պրոցեսում:

1943 թ. ԱՄՆ-ում պղնձի հանքանյութերի ձուլման շլամից ստացվել է մոտ 100 տ. տեղուր, այնուհետև արտադրությունը խիստ կերպով կրճատվել է: Ներկայումս ԱՄՆ-ում միայն ֆիզիկոսները տարեկան 80 տ. տեղուրի պահանջ են ներկայացնում:

Տեղուրի կլարիը $1.10^{-60}/0$ է. հայտնի է տեղուրով հարուստ միներալների մի ամբողջ շարք՝ ալթաիա PbTe ($38^0/0$ Te), տետրադիմիա Bi_2Te_2S ($36^0/0$ Te), տելուրոբիսմուտաիա Bi_2Te_3 ($48^0/0$ Te) և ուրիշներ, որոնք զուգակցվում են գունավոր մետաղների, բիսմութի, արծաթի ու սսկու հիդրոթերմալ հանքանյութերի հետ:

Սովորական է Te խառնուրդը ($0,01-0,1^0/0$, երբեմն ավելի բարձր) կուլնդանային, բազմամետաղ և պղինձ-մոլիբդենային հանքանյութերի միջին և ցածր ջերմաստիճանային հիդրոթերմալ հանքավայրերի պիրիտում, խալկոպիրիտում, էնարգիտում, սֆալերիտում, գալենիտում:

Հետաքրքրութուն է ներկայացնում տելուրի ստացումը գունավոր մետաղների՝ պղնձի, կապարի և ոսկու հանքանյութերից արծաթի, ոսկու և բիսմութի հետ զուգընթաց:

Ս Ե Լ Ե Ն (Se)

Սելենը հայտնագործված է 1817 թ. շվեդական քիմիկոս Յա. Բերցելիուսի կողմից ծծմբաթթվի արտադրութայն թափուկներում:

Բավական լայնորեն կիրառվում է սելենային համուղղիչների, ֆոտոէլեմենտների, ազդանշանային և ավտոմատիկ սարքավորումների արտադրութայն մեջ, ինչպես նաև հեռուստատեսութայն և ֆոտոհեռագրութայն մեջ:

Սելենը կիրառվում է նաև ապակու արդյունաբերութայն մեջ (ապակու կանաչ գույնը չեղոքացնելու և կարմիր ապակի ստանալու համար), որպես հավելույթ մագնեզիում-մանգանային համաձուլվածքներին, կաուչուկի արտադրութայն մեջ (սելենի հավելույթը բարձրացնում է դիմադրությունը մաշման նկատմամբ 50⁰/₁₀₀-ով): Սելենի որոշ քանակություններ կիրառվում են իրրև կատալիզատոր կրեկինգ պրոցեսի ժամանակ, բժշկութայն մեջ ռենտգենյան ու ուղիղումային բուժման կապակցությամբ և որպես ինսուլինի պտղային ժանտախտի դեմ:

Սելենի համաշխարհային արտադրությունը կազմում է տարեկան 600—700 տ. գլխավորապես արդյունահանվում է Կանադայում, ԱՄՆ-ում, Շվեդիայում, ստացվում է պղնձի ուսփրնացման կողմնակի նյութից՝ անողային շլամից:

Սելեն ստանալու լրացուցիչ աղբյուր են հանդիսանում ծծմբաթթվային արտադրութայն փոշու խցերում կուտակվող թափուկները:

Սելենի կլարիդ կազմում է $6 \cdot 10^{-50}$ /₁₀₀: Էլեմենտը կուտակվում է սուլֆիդներում, գլխավորապես պիրիտում, լուսիկոպիրիտում, գալենիտում, մոլիբդենիտում¹ մինչև 0,02—0,06⁰/₁₀₀ քանակությամբ և հրարխային հանքավայրերի բնածին ծծմբի մեջ (մինչև 5⁰/₁₀₀ Se): Սելենով հարուստ են որոշ շրջանների հողերը,

¹ Որոշ հանքավայրերի մոլիբդենային կոնցենտրատներում պարունակվում է 0,03—0,04⁰/₁₀₀ Se, որը հավանաբար կապված է մոլիբդենիտ սելենաբեր տարրերակի՝ սելենոմոլիբդենիտի (?) հետ:

բացի գրանից հայտնի են բույսեր, որոնք իրենց մեջ կուտակում են մինչև 0,2⁰/₀ Se (Astralus, Xylorrhiza, Oonopsis, Stanlaya և ուրիշներ):

Հայտնի են նաև սելենով հարուստ ինքնուրույն միներալներ՝ արծաթի, կապարի, պղնձի սելենիդներ, բայց նրանք խոշոր կուտակումներ չեն առաջացնում և, որպես սելեն ստանալու հումք, երկրորդական դեր են կատարում:

Վերջերս սելենի խոշոր ինքնուրույն հանքավայր է հայտնաբերված ԱՄՆ-ի Վայոմինգ նահանգում:

ԸՆԳՀԱՆՐԱՅՈՒՄ ՅՐՎԱԾ ԷԼԵՄԵՆՏՆԵՐԻ ՈՐՈՆՄԱՆ ՆՇԱՆՆԵՐԻ ԵՎ ՄԵԹՈԴՆԵՐԻ ՎԵՐԱԲԵՐՅԱԼ

Տանալ և ճիճիում. կապված են գրանիտոիդային, ինչպես նաև ալկալային փնտրուզիլների հետ: Արդյունաբերական նշանակություն ունեն գրանիտային պեգմատիտները (տանտալիտ և կոլումբիտ) ու զրեյզենները և նրանց հետ կապված ցրոնները, ինչպես նաև ալկալային փնտրուզիաների հետ կապված լրպարիտի մագմատիկ և մետասոմատիկ «կարբոնատիտային» հանքավայրերը (պիրոքլոր-պերովսկիտային հանքանյութեր կրաքարերի և դոլոմիտների մեջ):

Բնորոշ է Ta և Nb ասոցիացիան Be, Li, Sn, W, Zr, TR, Ti, Th, U հետ:

Յերիլիում. կապված է գրանիտային և ալեյի հազվադեպ ալկալային մագմաների հետ: Արդյունաբերական կուտակումները պատկանում են պեգմատիտային և պլեմատոլիտային տիպերին, երբեմն նրանք հանդիպում են սկառներում:

Բնորոշ է Be ասոցիացիան Li, Ta, Nb, Sn, W, F (ֆլյուորիտ), B (տուրմալին) հետ:

Ցիրկոնիում և հաֆնիում. կապված են գրանիտային և ալկալային մագմաների հետ. կուտակվում են պեգմատիտներում, գլխավորապես ցիրկոնի, իսկ ալկալային ապարներում էվդիալիտի ձևով: Հաֆնիումն ինքնուրույն միներալներ չի կազմում և մտնում է ցիրկոնիումի միներալների կազմության մեջ: Արդյունաբերական նշանակություն ունեն ցրոնները:

Լիթիում. կապված է գրանիտային մագմայի հետ, կուտակվում է պեգմատիտներում և զրեյզեններում Be, Ta, Nb, Sn, W, Cs, Rb հետ գուգակցված: Լիթիումով հարուստ են.

նաև որոշ լճերի աղաջրերը և մի շարք հանքային աղբյուրների ջրերը:

Յեզիում և ռուբիդիում. կապված են գրանիտային մագմայի հետ, արդյունաբերական կուտակումներ են առաջացնում պեգմատիտներում, հատկապես նրանց Na ու Li հարուստ և հաճախ Be, Ta, Nb, Sn պարունակող տարբերակներում:

Յեզիում և ռուբիդիում պարունակվում են նաև կարնալիտում և որոշ հանքային աղբյուրների ջրերում:

Հազվագյուտ հողեր. կապված են գրանիտոիդների և ալկալային ապարների հետ: Կուտակվում են այդ ապարների առանձին ածանցյալներում, ինչպես նաև պեգմատիտներում, գրեյզեններում, սկառներում:

Բնորոշ է TR ասոցիացիան Ta, Nb, Ti, Th, Zr, U, Be հետ:

Բոր. կապված է գրանիտոիդների հետ, կուտակվում է պեգմատիտներում, պնեմատոլիտային առաջացումներում և սկառներում, ինչպես նաև որոշ աղի լճերում:

Առաջին խմբի ցրված էլեմենտների սրոնման կարևոր նըշան է հանդիսանում նրանց սերտ տարածական և գենետիկ կապը թթու և ալկալային ինտրուզիվ ապարների հետ:

Արդյունաբերական կուտակումները պատկանում են բուն մագմատիկ տիպին (ստրատիֆիկացված ինտրուզիվներում, ուղեկից միներալների շխիռների և ցանի ձևով), ինչպես նաև պեգմատիտային, պնեմատոլիտային և սկառնային տիպերին: Այս խմբի սուսնձին էլեմենտներ (B, Li, Cs, Rb) կենտրոնանում են նաև աղային կուտակների սահմաններում:

Բնորոշ են այս խմբի էլեմենտների սերտ ասոցիացիան առանձնապես Ta, Nb, Be, Li, Zr, TR, հազվագեայ Cs, Rb, B հետ և նրանց հաճախակի կապը Sn, W, U, Th, Ti հանքային թերի հետ:

Այս խմբի էլեմենտների գերակշռող մասը կապված է ծանրը և կայուն միներալների հետ (տանտալ-կոլումբիտ, պիրոքլոր, լոպարիտ, ցիրկոն, մոնացիտ, քսենոտիմ, օրտիտ), որոնք կուտակվում են ցրոններում և որոնցից ստացվում է Ta, Nb, Zr, Hf, TR համարյա ամբողջ արտադրանքը: Այդ էլեմենտների որոնման ժամանակ հաջողութամբ կիրառվում է սկզբաբաժնի հանութը: Սակայն Be, Li, Cs, Rb, B ստացվում են արմատական հանքավայրերից, երբեմն մեծ գծվարութամբ որոշվող միներալներից (պլլուցիտ, կվարցին նման, հելվին, գրանատին նման և ուր.) և այդ մետաղների որոնման ժամանակ մեծ օգնություն

ձևն ցույց տալիս լեռնային ապարների ու հանքանյութերի սպեկտրալ և քիմիական անալիզները, նրանց մանրագնին միկրոսկոպիկ ուսումնասիրությունը, մետալոմետրիկ և հիդրոքիմիական մեթոդները:

Կարմիրում. պարունակվում է սովորաբար բաց գունավորված սֆալերիտներում:

Գալիում. կուտակվում է բաց գունավորված սֆալերիտներում (որոնք պարունակում են նաև Cd և Ge), ալյումինիումով հարուստ միներալներում (նեֆելին, սպոդումեն, մուսկովիտ և ուրիշն.), ինչպես նաև որոշ քարածուխներում:

Գերմանիում. պարունակվում է բաց գունավորված սֆալերիտներում, էնարգիտում, խալկոպիրիտում, արծաթի ու անագի որոշ միներալներում, ինչպես նաև քարածուխներում:

Ինդիում. կուտակվում է սֆալերիտների մուգ երկաթային (սովորաբար Cd, Ga, Ge-ով ազքատ) տարբերակներում, կասսիտերիտում և սուլֆոստաննատներում:

Ռենիում. կուտակվում է մոլիբդենիտում:

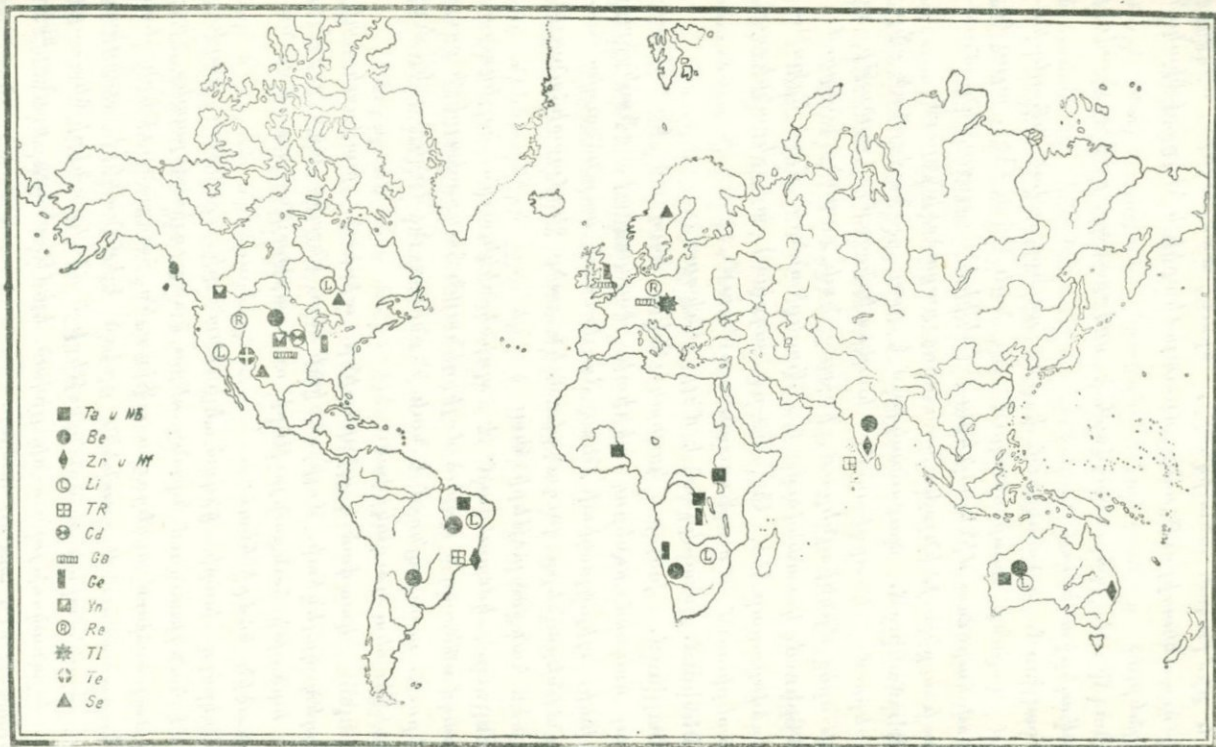
Տալիում. խոշոր կուտակումները կապված են հիդրոթերմալ ծագում ունեցող պիրիտի, մարկազիտի, սֆալերիտի, գալենիտի, պիրոլուզիտի հետ: Տալիումով առանձնապես հարուստ միներալները զուգակցվում են ցածր ջերմաստիճանային Sb-Hg-As հանքանյութերի հետ:

Տելուր. կուտակվում է պղինձ-նիկելային, կոլչեդանային, բազմամետաղ և պղինձ-մոլիբդենային հանքավայրերի սուլֆիդներում. առաջացնում է նաև ինքնուրույն միներալներ Au, Ag, Bi, Pb հետ զուգակցված:

Սելեն. կապված է պիրրոտինի, պիրիտի, խալկոպիրիտի, հազվադեպ գալենիտի, մոլիբդենիտի հետ, ինչպես նաև ուրանի, ոսկու, արծաթի հանքանյութերի ու հրաբխային ծագում ունեցող բնածին ծծմբի հետ:

Երկրորդ խմբի ցրված էլեմենտների որոնման կարևոր նշան է հանդիսանում նրանց սերտ կապը գլխավորապես հիդրոթերմալ ծագում ունեցող սուլֆիդային հանքանյութերի հետ:

Հաստատվում է առանձին ցրված էլեմենտների ասոցիացիան որոշակի տիպի հանքանյութերի և միներալների հետ, որը կարևոր նշանակություն ունի ցրված էլեմենտների որոնումներին ուղղություն տալու համար:



Նկ. 121. Յրված և հազվագյուտ հողային մետաղների արտասահմանյան խոշորագույն հանքավայրեր:

Այս խմբի ցրված էլեմենտների որոնումները կատարվում են հանքանյութերի, մոնոմիներալային նմուշների, կոնցենտրատների մասսայական սպեկտրալ, ֆոտո-կոլորիմետրիկ և քիմիական անալիզների օգնությամբ, ինչպես նաև անշիֆնե-րում հանքանյութերի մանրազնին միկրոսկոպիկ ուսումնասի-րությամբ (մեծ խոշորացումներով, խմբային կիրառելով) օգնու-թյամբ, սովորաբար մանր անջատումներով ներկայացված Cd, Ge, Tl, Te և Se ինքնուրույն միներալներ հայտնաբերելու նպա-տակով: Օժանդակ նշանակություն ունեն ցրված էլեմենտների որոնման հիդրոքիմիական, բուսաբանական և մյուս մեթոդները:

Հարկավոր է նշել, և դա հավասար չափով վերաբերվում է ցրված էլեմենտների երկու խմբին էլ, որ ինչպես առանձնաց-վում են անագահանքային, պղնձահանքային և ոսկեբեր մարդեր, այնպես էլ ցրված էլեմենտների համար առանձնացվում են հատկապես տանտալով, նիոբիումով, ցիրկոնիումով, լիթիումով կամ դերմանիումով, ինդիումով, ռենիումով, տելուրով և ուրիշ ցրված էլեմենտներով հարուստ մարդեր (նկ. 121):

ՀԻՄՆԱԿԱՆ ԳՐԱԿԱՆՈՒԹՅՈՒՆ ՅՐՎԱԾ ԵՎ ՀԱԶՎԱԳՅՈՒՑ
ՀՈՂԱՅԻՆ ԷՎԵՄԵՆՏՆԵՐԻ ՎԵՐԱԲԵՐՅԱԼ

Берус А. А. Бериллий. Оценка месторождений при поисках и разведках, 1956.
 Боровик С. А. Распространение германия в сульфидных рудах СССР. Изв. АН СССР, серия геол., № 3, 1938.
 Боровик С. А. и др. Галлий в минералах и рудах СССР. Изв. АН СССР, серия геол., № 3, 1941.
 Германий. Сборник переводов, 1955.
 Друце И. Рений. Дви-марганец, элемент с атомным номером 75, 1951 г. Перевод с английского.
 Зеликман А. Н., Самсонов Г. В., Крейн О. Е. Металлургия редких металлов, 1954.
 Иост Д., Гэссель Г. и Гарнер К. Редкоземельные элементы и их соединения. Перевод с англ., 1949.
 Иоффе А. Ф. Полупроводники в современной физике, 1954.
 Кронман Е. С. Рений. Цветметиздат, 1932.
 Крыгина Н. Е. Сподумен месторождения Алтын-тау. Зап. ВМО, ч. 77, № 4, 1948.

- Кузнецов В. И. К вопросу о месте сподумена в процессе формирования гранитных пегматитов. Минер. сборник Львовского Геол. общ., № 7, 1953.
- Менделеев Д. И. Заметка по поводу открытия галлия. Избранные сочинения, т. II, 1934.
- Неметаллические ископаемые СССР, т. II, Берилл, 1943, АН СССР.
- Ноддак В. и Ноддак И. Рений и его применение в современной технике, в книге „Рассеянные металлы“. Сборник переводов, под ред. В. И. Ивановой, Москва, 1953.
- Прокопенко Н. М. Сырьевая база индия в СССР, Ломонос. институт, 1937.
- Прокопенко Н. М. Поисковые признаки на индий. ДАН СССР, новая серия, т. XXX, № 1.
- Редкие металлы. Сборник переводных статей из иностранной периодической литературы. Рассеянные металлы, 1953 г.; Бериллий, 1953—1955 гг.; Литий, 1954 г.; Ниобий и тантал 1954—1955 гг.; Цирконий, 1954—1955 гг.; Гафний, 1955 г.
- Стрелкин М. Ф. К минералогии Чердожакского и Верхне-Баймурзинского месторождений. Тр. ИГН АН СССР, вып. 51, 1941.
- Ферсман А. Е. Геохимия, т. IV, 1939.
- Филянд М. А., Семенова Е. И. Свойства редких элементов (справочник), 1953.
- Шамрай Ф. И. Литий и его сплавы, 1952.
- Щербина В. В. Основные черты геохимии теллура. Изв. АН, серия геол., 1937, № 5.
- Щербина В. В. Геохимия, 1939, АН СССР.
- Besson Y. La préparation du glucinium et de ses composés. Bull. de la Société chimique de France, № 1—2, 1949.
- Einecke E. Das Gallium, Leipzig, 1937.
- Glass I. I., Jahns R. H., Stevens R. E. Helvite and danalite from New Mexico and the helvite group. Amer. Min. 1944, v. 29, N 5—6.
- Gmelins Handbuch der anorganischen Chemie, System—Nummer 37, Indium. 8 Aufl. B, 1936.
- Gmelins Handbuch der anorganischen Chemie, 8 Aufl. System—Nummer 10—Selen, TL A Lfg. 2 Weinheim, 1950, TL B, Clausthal—Zellerfeld, 1949.
- Jahns R. „Ribbon rock“ an unusual beryllium bearing tactite, Econ. Geol. 1944, V. 39, N 3.
- Johnston W. D. Beryl Tantalite Pegmatites of Northeastern Brazil. GSA Bull. (1945) v. 56.
- Kroll W. I. Production and Uses of Rare Metals. Min. and Met., N 473, 1946.
- Le germanium et ses applications. Techn. modern, V. 46, N 3, 1954.
- Mather W. B. Lithium. Northeast Brasil is Potential Source. Min. Eng. V. 6, N 9. 1954.

De Ment and H. C. Dake. Rarer Metals, 1946.

Rankama K. and Sahama Th. G. Geochemistry, 1949.

Rare metals handbook, 1956.

Sanderson L. Germanium. Canad. Min. Journ. May 1953, N 5, V. 74.

Schaub B. M. and Schenck B. I. Pollucite from Lithia, Massachusetts. The Amer. mineral. V. 39, N 7, 8, 1954.

Searles Lake a Major Lithium Source. Eng. and Min. Journ. 1945, V. 149, N 69.

ՀԵՂԱՆՈՒՐ ԳՐԱԿԱՆՈՒԹՅԱՆ ՅՈՒՅԱԿ

- Берг Г. Геохимия месторождений полезных ископаемых. ОНТИ, 1937.
- Бетехтин А. Г., Татаринов П. М. и др. Курс месторождений полезных ископаемых, 2-е изд. Гостехиздат, 1946.
- Билибин Ю. А. Металлогенические провинции и металлогенические эпохи, Госгеолтехиздат, 1955.
- Богданович К. И. Рудные месторождения, т. I и II, 1913.
- Бэтман А. М. Минеральные месторождения. Перев. с англ. ИЛ, 1949.
- Вернадский В. Н. Очерки геохимии. 4-е изд. ОНТИ, 1934.
- Виноградов А. П. Закономерности распределения химических элементов в земной коре. МГУ, 1955.
- Власов К. А. Генезис редкометалльных гранитных пегматитов. Изв. АН СССР, серия геол., № 5, 1955.
- Вольфсон Ф. И. и Лукин Л. Н. Некоторые итоги в изучении структур рудных месторождений в СССР. Изв. АН СССР, серия геол., № 1, 1948.
- Заварицкий А. Н. О классификации магматических рудных месторождений. Изв. Геол. ком., № 2, 1926.
- Захаров Е. Е. Металлогенический очерк Урала. Тр. Геол. ин-та АН СССР, вып. 3, 1938.
- Измененные окolorудные породы и их поисковое значение. Под ред. Н. Н. Курека. Госгеолтехиздат, 1954.
- Линдгрэн В. Минеральные месторождения, вып. I—III, ОНТИ, 1934—1935 гг.
- Магакьян И. Г. О металлогенической специализации в некоторых типах тектоно-магматических комплексов. Зап. ВМО, ч. 81, № 3, 1952.
- Магакьян И. Г. Рудные месторождения. Госгеолтехиздат 1955.
- Минеральные ресурсы зарубежных стран. Серия выпусков (1—20) 1945—1956 гг.
- Обручев В. А. Рудные месторождения. Часть описательная. ОНТИ, 1935.
- Общие принципы регионального металлогенического анализа и методики составления металлогенических карт для складчатых областей.

- Матер. ВНИГИ (ВСЕГЕИ). Нов. серия, вып. 22, Общ. сер. Госгеолтехиздат, 1957.
- Основные проблемы в учении о магматогенных рудных месторождениях. Под. ред. А. Г. Бетехтина. АН СССР, 1953.
- Оценка месторождений при поисках и разведках. Серия выпусков. Госгеолиздат, 1951.
- Сатпаев К. И. Главные закономерности пространственного размещения эндогенного оруденения в Центр. Казахстане. Сов. геология, № 58, 1957.
- Свитальский Н. И. Курс рудных месторождений, т. I и II. ГНТИ, 1933.
- Смирнов С. С. Очерк металлогении Восточного Забайкалья. Госгеолиздат, 1944.
- Смирнов С. С. О современном состоянии теории образования магматогенных рудных месторождений, Зап. ВМО, ч. 76, вып. I, 1947.
- Смирнов С. С. Зона окисления сульфидных месторождений. АН СССР, 1951.
- Татаринов П. М. и Магакьян И. Г. Опыт классификации постмагматических месторождений. Зап. ВМО, ч. 78, вып. 3, 1949.
- Татаринов П. М. Условия образования месторождений рудных и нерудных полезных ископаемых. Госгеолтехиздат, 1955.
- Требования промышленности к качеству минерального сырья, Серия выпусков. Госгеолиздат. 1946—1949.
- Усов М. А. Краткий курс рудных месторождений. Изд. Кубуч. Томск, 1933.
- Ферсман А. Е. Геохимия, т. т. I—IV, ОНТИ, 1933—39.
- Щербина В. В. Геохимия АН СССР, 1939.
- Bateman A. Economic Deposits. New-York—London, 1948.
- Cissarz A. Lagerstätten und Lagerstättenbildung in Jugoslaven in ihren Beziehungen zu Vulkanismus und Geotektonik. Belgrad, 1956.
- Emmons W. H. The Principles of Economic Geology. New York—London, 1940.
- Goldschmidt V. M. Geochemistry. 1954.
- Kostov I. Metallization of the Balkan Peninsula. Min. Mag. v. 68, No 5, 1943.
- Newhouse W. H. Ore Deposits as related to structural features, 1942.
- Petrascsek W. u. W. E. Lagerstättenlehre. Wien, 1950.
- Rankama K. and Sahama Th. G. Geochemistry. 1949.
- Schneiderhöhn H. Lehrbuch der Erzlagerstättenkunde. Bd. I. 1941.
- Schneiderhöhn H. Erzlagerstätten. Kurzvorlesungen zur Einführung und zur Wiederholung. 1955.
- Structural geology of Canadian ore Deposits. M. E. Wilson, editor. Canad. Inst. of min. and met., Montreal, 1948.
- Thiébaud L. Recherche et étude économique des gîtes métallifères, Paris, 1952.

**ՀԱՆՔԱՎԱՅՐԵՐԻ ԵՎ ՀԱՆՔԱՅԻՆ ՇՐՋԱՆՆԵՐԻ
ԱՌԱՐԿԱՅԱԿԱՆ ՅՈՒՑԱԿ**

Ե ր կ ա թ

Կիրունավարա	35
Լյուսասավարա	39
Հելլիվարա	39
Կուսա	40
Նժոմբե (շրջան)	43
Լիզանզա	44
Բլադոդատ լեռ	44
Մագնիտնայա լեռ	48
Անգարա-Իլիմյան խումբ	52
Բակալ	55
Յավոբիկ	58
Զիգերլանդ	59
Ելիզավետինսկի	61
Կուբա (կղզի)	62
Ալապահսկի	63
Կերչ	65
Լոթարինգիա	68
Անգարա-Պետի ավազան	70
Ստորին-Անգարայի	71
Կրիվոյ ռոզ	74
Կուբսկի մագնիսային անոմալիա	88
Վերին լեճ	93
Մինաս-Գերաս (շրջան)	95
Մինգրում (շրջան)	96

Մ ա ն դ ա ն

Նիկոպոլ	118
Ճիաթուրի	121
Պուլունոչնոյե	125
Ուսինսկի (Իվանովսկի)	128
Մադուսկի	129

Բալահատ և ուրիշներ Հնդկաստանում	130
Մինաս-Գերաս (շրջան)	131
Նսուսա	131
Պոստամարուզ (շրջան)	132

Ք Ր Ո Մ

Սարանա	145
Կեմպիրոսյի խումբ	145
Թուրքիա	151
Բուշվիլդի խումբ	151
Սելուկի	152
Մեծ դայկա (շրջան)	152

Տ Ի տ ա ն

Կուսա	40
Նժոմբե (շրջան)	43

Վ ա ն ա դ ի ու մ

Մինաս-Ռադրա	168
Կարա-Տաու	169

Ն Ի Կ Է Լ

Սյոդրերի	181
Պեշենդա (Պեսասմո)	184
Կաուլա	185
Մոնչեգրսկի խումբ	186
Նորիսկ	189
Նոր Կարեդոնիա	194
Ուրալյան հանքավայրեր	195

Կ ո Ր Ա Ղ Մ

Դաշքեան	204
Սոսիալիստ	206
Կոբալտ	208
Բեկիդիական Կոնգրես Հյուսիսային Ռուսիայի (շրջան)	209

Մ ո Ղ Ի Բ Գ Է Ն

Տիրնիսուդ	222
Կոնունրադ (Արևելյան)	225
Կլայմակա	227
Բինչեմ	231
Քաջարան	233
Ազարակ	236
Դաստակերտ	236

Վ ո Ղ Փ Ր Մ Մ

Սանդղոնդ	253
Չորուխ-դայրոն	254
Մայրուրա	255
Տիյանսի (շրջան)	256
Տայլիշան	259
Բուկուկա	259
Ջիդա	262
Բաուլիեր	264
Ատոլիա	265

Ա ն ա գ

Կորնուսու	281
Ալտենբերգ	285
Յիննիվալդ	286
Մալյան նահանգներ (շրջան)	287
Ինդոնեզիա (շրջան)	288
Օնոն	289
Յունան (շրջան)	290
Ունցիա Այալյադուա	292
Պոտոզի	294
Սասիկերանդա	296
Էգե-Սայա	299
Միկոյանի անվան	304
Ստալինի անվան	306

Լիֆոուսի	307
Սոսուտալնոյե	308
Սինանչա Մեծ	308

Բ ի ս մ ու ա

Տասնա	318
Ազրաբասան	320

Մ կ ն գ է դ

Բոլիդեն	328
Մոսբիֆ	330
Տակեիլի	332
Դարբի-դադ	334
Ջուլիֆա	334

Ծ ա ր ի ր

Կադամջայ	340
Սի-Գուան-շան	344

Ս ն գ ի կ

Նիկիտովկա	353
Սայաբուկան	357
Ալմադեն	358
Մոնտե-Ամիատա	361

Պ գ ի ն ձ

Տուրյինսկի հանքեր	374
Բրադեն	376
Կոնունրադ	377
Կալուտա	381
Կարպուշիսա	383
Դեկայարկա	383
Բլայվա	385
Սիրայ	386
Ուշալի	387
Բոբ	391
Ղափան	392
Բյուտո	394
Ջեզկազզան	397
Կատանդա	398

Վերբին լիճ	401
Միջնորդան	401
Մանսֆելդ	403

Կ ա ա ղ ա ը , ց ի ն կ և ա ը ծ ա թ

Տետյուսի	416
Սուլիբովն	418
Սադան	420
Չզիդ	421
Էհնինոգորսկի	423
Ռիդդեր	423
Սոկոլնոյ	423
Տուրլան	426
Միլդալիմայ	426
Միսուրի (Չրջան)	429
Տրի-Սոնյա	429
Պաշուկա	431
Վետա Մադրե	431

Ա լ լ ու ժ ի ն ի ու ժ

Արկանդաս	441
Տիկովին	443
Կրասնայա շապոշկա	445
Փրանսիա (Հարավային)	447
Պալմաթիա (Չրջան)	447

Ո ս կ ի

Կոշկար	463
Բերյոգովսկի	468
Պարսոն	472
Կալիֆորնիա (Չրջան)	474

Մայր երակ	474
Բալիյ	476
Կոմաոկ	479
Վիտվատեբուրանդ	480

Պ լ ա տ ի ն

Ուրալյան հանքավայրեր	495
Տադիլ (Ստորին)	495
Տրանսվալի հանքավայրեր	500
Վատերբերգ	501

Ու ը ա ն (և ա ա ղ ի ու ժ)

Շինկոլորդե	527
Մեծ Արջի լիճ	530
Էլդորադո	530
Կոնտակա լիճ	533
Գուննար	534
Էյս	535
Կոլորադո	536

Թ ո ը ի ու ժ

Անանուն հանքավայրեր	547
Պետրի	548
Պատդեր-ձորն	549
Ուլտ	549

Բ է ը ի լ լ ի ու ժ

Երկաթի լեռ	560
Այրոն Մաունթին	560

**ՀԱՆՔԱՎԱՅՐԵՐԻ ԵՎ ՀԱՆՔԱՅԻՆ ՇՐՋԱՆՆԵՐԻ
ԱՅԲԲԵՆԱԿԱՆ ՅՈՒՅԱԿ**

Ազարակ (Mo, Cu)	236	Երկաթի լեռ (Be)	560
Ազրաման (Bi)	320	Զդիդ (Pb, Zn)	421
Ալապակեղի (Fe)	63	Զիգերլանդ (Fe)	59
Ալմադեն (Hg)	358	Էդե-Քայա (Sn)	299
Ալտենբերգ (Sn)	285	Էլզոբազո (U)	530
Այրոն-Մաունթին (Be)	560	Էյս (U)	535
Անանուն հանքավայրեր (Th)	547	Թուրքիա (Cr)	151
Անգարա-Իլիմյան խուժք (Fe)	52	Ինգոնիզիա (Sn)	288
Անգարա-Պիտի ավազան (Fe)	70	Իվանովսկի (Mn)	128
Ատոլիա (W, Sb)	265	Լենինոգորսկի (Pb, Zn)	423
Արկանդաս (Al)	441	Լիզանդա (Fe, Ti)	44
Բալահատ (Mn)	130	Լիֆուձին (Sn)	307
Բալիյ (Au)	476	Լյալյադուա (Sn)	292
Բակալ (Fe)	55	Լյուսասավարա (Fe)	39
Բաուլիեր (W, Sb)	264	Լոթարիեզիա (Fe)	68
Բեիլիբալան կոնգո (Co)	209	Նայգաբկան (Hg)	357
Բերյոզովսկ (Au)	468	Նասլենբանդա (Sn)	296
Բինհեմ (Mo, Cu)	231	Նովոխոսի (Co)	206
Բլադոդաս լեռ (Fe)	44	Նրուստալնոյե (Sn)	308
Բլյավա (Cu)	386	Կադամջայ (Sb)	340
Բյուտտ (Cu)	394	Կալստա (Cu)	381
Բոլիդեն As)	328	Կալիֆորնիա (Au)	474
Բոբ (Cu)	391	Կարպուշիկա (Cu)	383
Բբադեն (Cu)	376	Կաուլա (Ni)	185
Բուկուկա (W)	259	Կեմպիրսայի խուժք (Cr)	145
Բուշվելդի խուժք (Cr)	151	Կերլ (Fe)	65
Գանա (Mn)	131	Կերունավարա (Fe)	35
Գուանայ (U)	534	Կլայմակա (Mo)	227
Դալմաթիա (Al)	447	Կոբալա (Co)	208
Դաշքեան (Co)	204	Կոմշտոկ (Au)	479
Դաստակերա (Mo, Cu)	236	Կոնտակո լիճ (U)	533
Դարասուն (Au)	472	Կոչկար (Au)	463
Դարբի-դադ (As)	334	Կորնուոլլ (Sn)	281
Դեզոյարկա (Cu)	383	Կոունբադ (Cu)	377
Ելիզավետլինսկի (Fe)	61	Կոունբադ Արեկլյան (Mo)	225

Կրիվոյ Ռոդ (Fe)	74	Ջուլֆա (As)	334
Կրասնայա շառոչիւ (Al)	445	Ռիդզեր (Pb, Zn)	423
Կուբա (Fe)	62	Սագոն (Pb, Zn)	420
Կուսա (Fe, Ti)	40	Սանդզոնդ (W)	253
Կուբսկի մագնիսային անոմալիա (Fe)	88	Սարանա (Cr)	145
Հելլեվարա (Fe)	39	Սելուկլե (Cr)	152
Ղափան (Cu)	392	Սիրսայ (Cu)	386
Ճիւթուրի (Mn)	121	Սի-Գուան-շան (Sb)	344
Մագնիսնայա լեռ (Fe)	48	Սինանչա Մեծ (Sn)	308
Մագուսկոյե (Mn)	129	Սիլգրուս (Fe)	96
Մալայան նահանգներ (Sn)	287	Սյոդրերի (Ni)	181
Մայսուբա (W)	255	Սոկոյնոյե (Pb, Zn)	423
Մայր երակ (Au)	474	Սոսլինի անվան (Sn)	306
Մանսֆելդ (Cu)	463	Սոսրին Անգարայի (Fe)	71
Մեծ Արջի լիճ } U)	530	Սուլիվան (Pb, Zn)	418
Մեծ Գայկա (Cr)	152	Վատերբերգ (Pt)	501
Միկոյանի անվան (Sn)	304	Վեսա-Մադրե (Ag)	431
Մինս-Գերսեո (Fe)	95	Վերին լիճ (Fe)	93
Մինս-Ռազրա (V)	168	Վերին լիճ (Cu)	401
Միչիգան (Cu)	401	Վիտվասերբուրնդ (Au)	480
Միսսուրի (Pb, Zn)	429	Տազիլ Սոսրին (Pt)	495
Միրզալիմսայ (Pb, Zn)	426	Տակելի (As)	332
Մոնչեգորսկի խուժր (Ni)	186	Տայլիշան (W)	259
Մոնտե-Ամիատա (Hg)	361	Տասնա (Bi)	318
Յավորիկ (Fe)	58	Տյեյուլե (Pb, Zn)	416
Յունան (Sn)	290	Տիլվին (Al)	443
Նժոմբե (Fe, Ti)	43	Տիրնիաուզ (Mo)	222
Նիկիտովկա (Hg)	353	Տրանսվալի հանքավայրեր (Pt)	500
Նիկոպոլ (Mn)	118	Տրի-Սաեյա (Pb, Zn)	429
Նորբիսկ (Ni)	189	Տուրան (Pb, Zn)	426
Նոր Կալեդոնիա (Ni)	194	Տուրինսկի հանքեր (Cu)	374
Նսուտա (Mn)	131	Տոլանսկ (W)	256
Շինկոլորվե (U)	527	Տիննվալդ (Sn)	286
Չորուխ-Գայրոն (W)	254	Ռւէտ (Th)	549
Պաչուկա (Ag)	431	Ռւնցիա Լայլադուա (Sn)	292
Պաուզեր չորն (Th)	549	Ռւչայի (Cu)	387
Պեչենգա (Ni)	184	Ռւսինսկի (Mn)	128
Պետրի (Th)	548	Ռւբայան հանքավայրեր (Pt)	495
Պոլուտոչնոյե (Mn)	125	Ռւբայան հանքավայրեր (Cu)	381
Պոսամաբուրգ (Mn)	132	Ռւբայան հանքավայրեր (Ni)	195
Պոտոլի (Sn)	294	Քաշարան (Mo, Cu)	233
Ջեզկազգան (Cu)	397	Օնոն (Sn)	289
Ջիզա (W)	262	Ֆրանսիա Հարավային (Al)	447

Բ Ո Վ Ա Ն Դ Ա Կ Ո Ւ Թ Յ Ո Ւ Ն

Առաջաբան	5
Ներածութիւն	7

I. Սև մետաղներ

Երկաթ	15
Ընդհանուր տեղեկութիւններ	15
Հանքավայրերի գենետիկ տիպերը և հանքային ֆորմացիաները, երկաթհանքային մարգերը և դարաշրջանները	20
Երկաթի հանքավայրերի նկարագրութիւնը	35
Հիստերոմագմատիկ հանքավայրեր (35): Սկանաւային հանքավայրեր (44): Հիդրոթերմալ հանքավայրեր (52): Մնացորդային և ինֆրալտրացիոն հանքավայրեր (61): Նստվածքային հանքավայրեր (65): Մետամորֆոզեն հանքավայրեր (73)	
Ընդհանրացում երկաթի վերաբերյալ և որոնման նշանները	98
Հիմնական գրականութիւն երկաթի վերաբերյալ	102
Մանգան	106
Ընդհանուր տեղեկութիւններ	106
Հանքավայրերի գենետիկ տիպերը, մանգանի մարգերը և դարաշրջանները	110
Մանգանի հանքավայրերի նկարագրութիւնը	118
Ընդհանրացում մանգանի վերաբերյալ և որոնման նշանները	133
Հիմնական գրականութիւն մանգանի վերաբերյալ	134
Քրոմ	135
Ընդհանուր տեղեկութիւններ	135
Հանքավայրերի գենետիկ տիպերը, քրոմիտային մարգերը և դարաշրջանները	137
Քրոմի հանքավայրերի նկարագրութիւնը	144
Ընդհանրացում քրոմի վերաբերյալ և որոնման նշանները	152
Հիմնական գրականութիւն քրոմի վերաբերյալ	153

II. Հագվագյուտ մետաղներ

Ա. Հագվագյուտ մետաղներ, որոնք կիրառւում են հատուկ պողպատների և հատուկ համաձուլվածքների մետալուրգիայում՝ տիտան, վանադիում, ցիկլո, կոբալտ, մոլիբդեն, վոլֆրամ	155
--	-----

Տ ր ա ն	155
Ընդհանուր տեղեկություններ	155
Հանքավայրերի գեներտիկ տիպերը և հանքային ֆորմացիաները, մետալոգենիկ մարզերն ու դարաշրջանները	158
Ընդհանրացում տիտանի վերաբերյալ և որոնման նշանները	161
Հիմնական գրահանություն տիտանի վերաբերյալ	162
Վ ա ն ա գ ի ու մ	163
Ընդհանուր տեղեկություններ	163
Հանքավայրերի գեներտիկ տիպերը, մետալոգենիկ մարզերը և դարաշրջանները	166
Վանազիումի հանքավայրերի նկարագրությունը	168
Ընդհանրացում վանազիումի վերաբերյալ և որոնման նշանները	171
Հիմնական գրահանություն վանազիումի վերաբերյալ	172
Ն ի կ ե լ	173
Ընդհանուր տեղեկություններ	173
Նիկելի հանքավայրերի գեներտիկ տիպերը և հանքայնութեի ֆորմացիաները, մետալոգենիկ մարզերը և դարաշրջանները	176
Նիկելի հանքավայրերի նկարագրությունը	181
Ընդհանրացում նիկելի վերաբերյալ և որոնման նշանները	198
Հիմնական գրահանություն նիկելի վերաբերյալ	199
Կ ո ռ ա լ տ	200
Ընդհանուր տեղեկություններ	200
Հանքավայրերի գեներտիկ տիպերը և հանքային ֆորմացիաները, մետալոգենիկ մարզերը և դարաշրջանները	203
Կորալտի հանքավայրերի նկարագրությունը	204
Ընդհանրացում կորալտի վերաբերյալ և որոնման նշանները	211
Հիմնական գրահանություն կորալտի վերաբերյալ	211
Մ ո լ ի ը զ Կ ն	213
Ընդհանուր տեղեկություններ	213
Հանքավայրերի գեներտիկ տիպերը, մետալոգենիկ մարզերը և դարաշրջանները	216
Մոլիբդենի հանքավայրերի նկարագրությունը	222
Ընդհանրացում մոլիբդենի վերաբերյալ և որոնման նշանները	239
Հիմնական գրահանություն մոլիբդենի վերաբերյալ	242
Վ ո լ Ֆ Ր ա մ	244
Ընդհանուր տեղեկություններ	244
Հանքավայրերի գեներտիկ տիպերը, մետալոգենիկ դարաշրջանները և մարզերը	248
Վոլֆրամի հանքավայրերի նկարագրությունը	252
Ընդհանրացում վոլֆրամի վերաբերյալ և որոնման նշանները	265
Հիմնական գրահանություն վոլֆրամի վերաբերյալ	268
Բ. Հտգվազյուտ մետաղներ, որոնք կիրառվում են արդյունաբերության տարբեր բնագավառներում	270
Ա ն ա գ	270
Ընդհանուր տեղեկություններ	270

Հանքավայրերի գենետիկ տիպերը և հանքային ֆորմացիաները,	274
մետալոգենիկ դարաշրջանները և մարզերը	281
Անագի հանքավայրերի նկարագրութունը	310
Ընդհանրացում անագի վերաբերյալ և որոնման նշանները	313
Հիմնական զրահանութուն անագի վերաբերյալ	315

Բ ի ս մ ու տ	315
Ընդհանուր տեղեկութուններ	315
Հանքավայրերի գենետիկ տիպերը, մետալոգենիկ դարաշրջանները և մարզերը	317
Բիսմութի հանքավայրերի նկարագրութունը	318
Ընդհանրացում բիսմութի վերաբերյալ և որոնման նշանները	321
Հիմնական զրահանութուն բիսմութի վերաբերյալ	322

Մ կ ն դ ե զ	323
Ընդհանուր տեղեկութուններ	323
Հանքավայրերի գենետիկ տիպերը, մետալոգենիկ դարաշրջանները և մարզերը	326
Մկնդեղի հանքավայրերի նկարագրութունը	328
Ընդհանրացում մկնդեղի վերաբերյալ և որոնման նշանները	335
Հիմնական զրահանութուն մկնդեղի վերաբերյալ	337

Մ ար ի ր	338
Ընդհանուր տեղեկութուններ	338
Հանքավայրերի գենետիկ տիպերը, հանքային ֆորմացիաները, մետալոգենիկ դարաշրջանները և մարզերը	339
Մարիբի հանքավայրերի նկարագրութունը	340
Ընդհանրացում ծարիբի վերաբերյալ և որոնման նշանները	345
Հիմնական զրահանութուն ծարիբի վերաբերյալ	347

Մ ն դ ի կ	348
Ընդհանուր տեղեկութուններ	348
Հանքավայրերի գենետիկ տիպերը, հանքային ֆորմացիաները, մետալոգենիկ դարաշրջանները և մարզերը	350
Մնդիկի հանքավայրերի նկարագրութունը	353
Ընդհանրացում սնդիկի վերաբերյալ և որոնման նշանները	362
Հիմնական զրահանութուն սնդիկի վերաբերյալ	363

III. Պուլմալուր մետաղներ

Պ զ ի ն ձ	365
Ընդհանուր տեղեկութուններ	365
Հանքավայրերի գենետիկ տիպերը և հանքային ֆորմացիաները, մետալոգենիկ դարաշրջանները և մարզերը	367
Պզնձի հանքավայրերի նկարագրութունը	374
Ընդհանրացում պզնձի վերաբերյալ և որոնման նշանները	405
Հիմնական զրահանութուն պզնձի վերաբերյալ	408
կ ա պ ա ր, ց ի ն կ (և ա ր ծ ա թ)	411
Ընդհանուր տեղեկութուններ	411
Հանքավայրերի գենետիկ տիպերը, հանքային ֆորմացիաները, մետալոգենիկ դարաշրջանները և մարզերը	414

Կապարի, ցինկի և արծաթի հանքավայրերի նկարագրութիւնը	416
Ընդհանրացում կապարի, ցինկի և արծաթի վերաբերյալ և որոնման նշանները	432
Հիմնական գրականութիւն կապարի, ցինկի և արծաթի վերաբերյալ	434
Ալյումինում	436
Ընդհանուր տեղեկութիւններ	436
Հանքավայրերի գենետիկ տիպերը	438
Ալյումինումի հանքավայրերի նկարագրութիւնը	441
Ընդհանրացում ալյումինիումի վերաբերյալ և որոնման նշանները	448
Հիմնական գրականութիւն ալյումինիումի վերաբերյալ	448
Մագնէզիում	450

IV. Ֆլուորի մետաղներ

Ոսկի	452
Ընդհանուր տեղեկութիւններ	452
Հանքավայրերի գենետիկ տիպերը և հանքային ֆորմացիաները, մետալոգենիկ դարաշրջանները և մարզերը	457
Ոսկու հանքավայրերի նկարագրութիւնը	463
Ընդհանրացում ոսկու վերաբերյալ և որոնման նշանները	487
Հիմնական գրականութիւն ոսկու վերաբերյալ	490
Պլատին և պլատինի խմբի մետաղներ	492
Ընդհանուր տեղեկութիւններ	492
Պլատինի հանքավայրերի գենետիկ տիպերը, մետալոգենիկ դարաշրջանները և մարզերը	493
Պլատինի հանքավայրերի նկարագրութիւնը	495
Ընդհանրացում պլատինի վերաբերյալ և որոնման նշանները	502
Հիմնական գրականութիւն պլատինի վերաբերյալ	503

V. Ռադիոակտիվ մետաղներ

Ուրան (և ուրգիում)	504
Ընդհանուր տեղեկութիւններ	504
Հանքավայրերի գենետիկ տիպերը, հանքային ֆորմացիաները, մետալոգենիկ դարաշրջանները և մարզերը	513
Ուրանի հանքավայրերի նկարագրութիւնը	527
Ընդհանրացում ուրանի վերաբերյալ և որոնման նշանները	540
Թորիում	544
Ընդհանուր տեղեկութիւններ	544
Հանքավայրերի գենետիկ տիպերը	546
Թորիումի հանքավայրերի նկարագրութիւնը	546
Ընդհանրացում թորիումի վերաբերյալ և որոնման նշանները	550
Հիմնական գրականութիւն ուրանի և թորիումի վերաբերյալ	550

VI. Յրված և հազվագյուտ հոդային մետաղներ

Տանտալ հնիոբիում (ընդհանուր տեղեկություններ)	554
Հանքավայրերի զեննտիկ տիպերը	555
Բերիլիում	557
Յիրկոնիում և հաֆնիում	562
Լիթիում	563
Հանքավայրերի զեննտիկ տիպերը	565
Յեզիում և ուուրիզիում	566
Հազվագյուտ հոդեր և սկանդիում	567
Բոր	569
Կադմիում	570
Պալլիում	571
Պերմանիում	572
Ինդիում	575
Ռենիում	576
Տալլիում	578
Տելլուր	579
Սելեն	580
Ընդհանրացում ցրված մետաղների որոնման նշանների և մեթոդների վերաբերյալ	581
Հիմնական գրականություն ցրված և հազվագյուտ հոդային էլեմենտների վերաբերյալ	585
Ընդհանուր գրականության ցուցակ	588
Հանքավայրերի և հանքային շրջանների առարկայական ցուցակ	590
Հանքավայրերի և հանքային շրջանների այբբենական ցուցակ	593
Բովանդակություն	595

Վ Ր Ի Պ Ա Կ Ն Ե Ր

Էջ	Տող	Տպագրված է	Պետք է լինի
128	2 վեր.	մագնետիտային	մանգանիտային
156	18 ներ.	(100—160 կգ/մ ²)	(100—160 կգ/մ ²)
181	5 ներ.	1. սորիտ	1. նորիտ
237	16 ներ.	յեոդներ	ժեոդներ
355	7 ներ.	Ջեզարնիկի	Ջեզարնիկի
512	5 ներ.	Յեյներիտ	Յեյներիտ

ՀՈՎՀԱՆՆԵՄ ԳԵՎՈՐԳԻ ՄԱՂԱՔՅԱՆ
ՄԵՏԱԳԱՑԻՆ ՀԱՆՔԱՎԱՑՐԵՐ

Պատասխանատու խմբադիր
Ա. Ե. ԲՈԶԱՐՅԱՆ

Նկարչական ձեռագրումը
Ա. Ա. ՉՈՐԲԱԶՅԱՆ

Տեխնիկական խմբադիր
Լ. Ա. ԱԶԻՋՔԵԿԵԱՆ

Վերստուգող սրբադիր
Ժ. Մ. ԱԿՈՆՑ



ՎՆ 00766, պատկեր 177, հրատ. 14-4, նշև 410
Տիրում 1000,

Հանձնված է արտադրության 15/IV 1957 թ.
Ստորադրված է տպագրության 30/I 1958 թ.

Տպագր. 57,6 մամ. + 2 ներդիր, բուղթ 60×92¹/₂,
շրատ, 31,2 մամ. Գինը կազմոյ 11 ա, 50 կ.

Հայկական ՍՍՔ ԳՄ Հրատարակչության տպարան,
Երևան, Արոճյան 124.

11892